

COMUNE DI MONTALTO UFFUGO

(PROVINCIA DI COSENZA)

PROGETTO: DEFINITIVO - ESECUTIVO

**AMPLIAMENTO SCUOLA DELL'INFANZIA SITA IN
VIA A. MANZONI FRAZIONE TAVERNA**

CLASSE D'USO III

TAV. N°. 23.2

COMMITTENTE: COMUNE DI MONTALTO UFFUGO

ELABORATI:

**VERIFICA PER LA VALUTAZIONE
DELLA SICUREZZA DELLA
STRUTTURA ESISTENTE IN C.A
ADIBITA AD EDIFICIO SCOLASTICO AI
SENSI DEL PUNTO 8.3 DELLE N.T.C.
2018 (D.M. 17/01/2018)**

- FASCICOLO DEI CALCOLI**
- PROVE SUI MATERIALI (ESISTENTI E
NUOVE)**

**IL PROGETTISTA E D.L.
ARCH. MARCELLO D'AMICO**

FASCICOLO DEI CALCOLI

DIMOSTRAZIONE NUMERICA DELLA SICUREZZA DELL'OPERA E DEL RAGGIUNGIMENTO DELLE PRESTAZIONI ATTESE

INDICE:

PRESENTAZIONE DEI RISULTATI	5
TABULATI DI INPUT	7
Dati generali	7
Impalcati	7
Percentuali Spostamento masse impalcati	7
Combinazioni del Sisma in X e Y e Verticale	7
Spettri di risposta	8
Caratteristiche del terreno	10
Materiali	10
Nodi - Geometria e vincoli	10
Nodi - Carichi	14
Input - Aste - Tabella sezioni tipo	16
Aste - Geometria e vincoli	16
Aste - Carichi	22
Pareti - geometria e vincoli	32
Muri - Carichi	35
Tabella solai tipo	37
Dati solai	37
TABULATI DI VERIFICA	38
Centri di rigidezza e Centri di massa	38
Risultati Analisi Dinamica - Baricentri masse e masse	38
Verifica Degli Spostamenti Relativi	39
Periodi di vibrazione e Masse modali	40
Risultati Analisi Dinamica - Massime tensioni sul terreno aste	45
Risultati Analisi Dinamica - Spostamenti massimi - Nodi	46
Risultati Analisi Dinamica - Reazioni massime - Nodi	50
Risultati Analisi Dinamica - Sollecitazioni massime - Involuppi - Travi	51
Risultati Analisi Dinamica - Sollecitazioni massime - Involuppi - Pilastri	54
Risultati Analisi Dinamica - Sollecitazioni massime - Involuppi - Travi di fondazione	57
Risultati Analisi Dinamica - Sollecitazioni Massime - Muri discretizzati	59
VERIFICHE STATO LIMITE ULTIMO	99
Verifica delle travi	98
Verifica dei Pilastri	134
Verifica delle travi	161
Verifica dei Muri in calcestruzzo	207
VERIFICHE STATO LIMITE DI ESERCIZIO	284
Verifica delle travi (Stati limite esercizio)	283
Verifica dei pilastri (Stati limite esercizio)	379
Verifica dei Muri (Stati limite esercizio)	426

Il Progettista

MODELLAZIONE

La struttura è costituita da diversi elementi distinti, in base alla loro funzione, in

[lista elementi del modello]

I livelli di sicurezza scelti dal Committente e dal Progettista in funzione del tipo e dell'uso della struttura, nonché in funzione delle conseguenze del danno, con riguardo a persone, beni, e possibile turbativa sociale, compreso il costo delle opere necessarie per la riduzione del rischio di danno o di collasso, hanno indirizzato al progetto di una struttura con i seguenti requisiti:

- ? sicurezza nei confronti degli Stati Limite Ultimi (SLU)
- ? sicurezza nei confronti degli Stati Limite di Esercizio (SLE)
- ? sicurezza nei confronti di deformazioni permanenti inaccettabili: Stato Limite di Danno (SLD).

La struttura è stata schematizzata con un modello spaziale agli elementi finiti che tengono conto dell'effettivo stato deformativo e di sollecitazione, secondo l'effettiva realizzazione. I vincoli esterni della struttura sono stati caratterizzati, a seconda degli elementi in fondazione se presenti, con: travi winkler, plinti diretti, plinti su pali, platee; ovvero con vincoli perfetti di incastro, appoggio, carrello, ecc. I vincoli interni sono stati schematizzati secondo le sollecitazioni mutuamente scambiate tra gli elementi strutturali, inserendo, ove opportuno, il rilascio di alcune caratteristiche della sollecitazione per schematizzare il comportamento di vincoli interni non iperstatici (cerniere, carrelli, ecc.). Il modello agli elementi finiti è stato calcolato tenendo conto dell'interazione tra strutture in fondazione e strutture in elevazione, consentendo un'accurata distribuzione delle azioni statiche e sismiche; il calcolo viene eseguito considerando il comportamento elastico lineare della struttura. I solai sono schematizzati come aree di carico, sulle quali vengono definiti i carichi permanenti (QP Solai), carichi fissi (QFissi Solai) e variabili (QV solai); tali carichi vengono assegnati alle aste in modo automatico in relazione all'influenza delle diverse aree di carico. Le masse corrispondenti ai carichi variabili sui solai nelle combinazioni sismiche vengono trattate in maniera automatica mediante un coefficiente moltiplicativo definito insieme alla tipologia del solaio.

Il modello utilizzato è stato valutato alla luce dei diversi scenari di carico a cui viene sottoposta la struttura durante la sua costruzione e la sua vita, atto a garantire la sicurezza e la durabilità della stessa. Per la tipologia strutturale affrontata non è stato necessario definire scenari di contingenza, quindi non è stata schematizzata la struttura durante le fasi costruttive, e si ritiene che non ci siano variazioni del modello di calcolo e degli schemi di vincolo, durante la vita dell'opera. Per il dettaglio degli scenari di calcolo si faccia riferimento alla "Relazione di Calcolo"

Il progetto e la verifica degli elementi strutturali è stato effettuato seguendo la teoria degli Stati limite. I parametri relativi alle verifiche effettuate sono riportati nella Relazione di Calcolo.

Il solutore agli elementi finiti impiegato nell'analisi è SpaceSolver, per il calcolo di strutture piane e spaziali schematizzabili da un insieme di elementi finiti tipo

- ? BEAM,
- ? PLATE-SHELL,
- ? WINK,
- ? BOUNDARY,

interagenti tra loro attraverso i nodi, con la possibilità di tenere in conto tutti i possibili disassamenti, mediante l'introduzione di concetti rigidi e traslazioni degli elementi bidimensionali. Il solutore lavora in campo elastico lineare, si basa sulle routines di Matlab ed è stato sviluppato in collaborazione con l'Università di Roma – Tor Vergata. Il solutore offre la possibilità di risolvere anche travi su suolo alla Winkler con molle spalmate sull'intera suola, anziché sul solo asse, plinti diretti e su pali, pali singoli, platee, piastre sottili e spesse con controllo delle rotazioni attorno all'asse normale alla

piastra (drilling). Inoltre, per gli elementi BEAM considera il centro di taglio e non il baricentro.

L'affidabilità del solutore è stata testata su una serie di esempi campioni calcolati con altri procedimenti o con formule note, di cui si rende disponibile la documentazione.

AFFIDABILITA' DEI CODICI UTILIZZATI

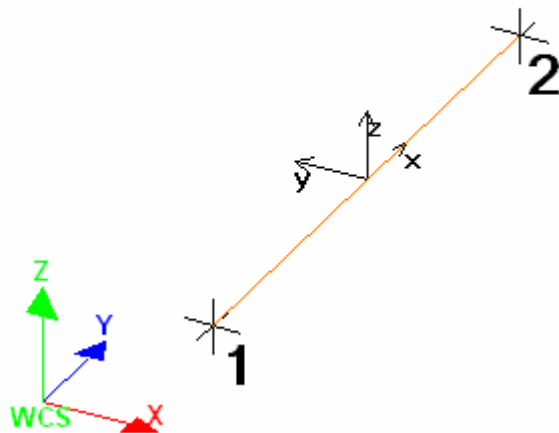
Il programma è dotato di una serie di filtri di auto diagnostica che segnalano i seguenti eventi:

- ? labilità della struttura
- ? assenza di masse
- ? nodi collegati ad aste nulle
- ? mancanza di terreno sugli elementi in fondazione
- ? controllo sull'assegnazione dei nodi all'impalcato
- ? correttezza degli spettri di progetto
- ? fattori di partecipazione modali
- ? assegnazione dei criteri di verifica agli elementi
- ? numerazione degli elementi strutturali
- ? congruenza delle connessioni tra elementi shell
- ? congruenza delle aree di carico
- ? definizione delle caratteristiche d'inerzia delle sezioni
- ? presenza del magrone sotto la travi tipo wink
- ? elementi non verificati per semi progetto allo SLU, con inserimento automatico delle armature secondo i criteri di verifica.
- ? elementi non verificati allo SLU per armature già inserite nell'elemento strutturale
- ? elementi non verificati allo SLE per armature già inserite nell'elemento strutturale

PRESENTAZIONE DEI RISULTATI

I disegni dello schema statico adottato sono riportati nel fascicolo allegato alla presente relazione

E' stato impiegato il Sistema Internazionale per le unità di misura, con riferimento al daN per le forze.



Il sistema di riferimento globale rispetto al quale è stata riferita l'intera struttura è una terna di assi cartesiani sinistrorsa OXYZ (X,Y, e Z sono disposti e orientati rispettivamente secondo il pollice, l'indice ed il medio della mano destra, una volta posizionati questi ultimi a 90° tra loro).

La terna di riferimento locale per un'asta è pure una terna sinistrorsa O'xyz che ha l'asse x orientato dal nodo iniziale I dell'asta verso il nodo finale J e gli assi y e z diretti secondo gli assi geometrici della sezione con l'asse y orizzontale e orientato in modo da portarsi a coincidere con l'asse x a mezzo di una rotazione oraria di 90° e l'asse z di conseguenza.

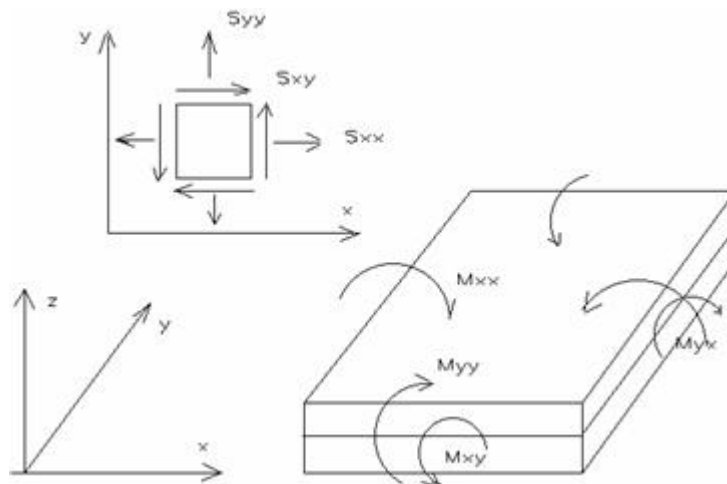
Per un'asta comunque disposta nello spazio la sua terna locale è orientata in modo tale da portarsi a coincidere con la terna globale a mezzo di rotazioni orarie degli assi locali inferiori a 180°.

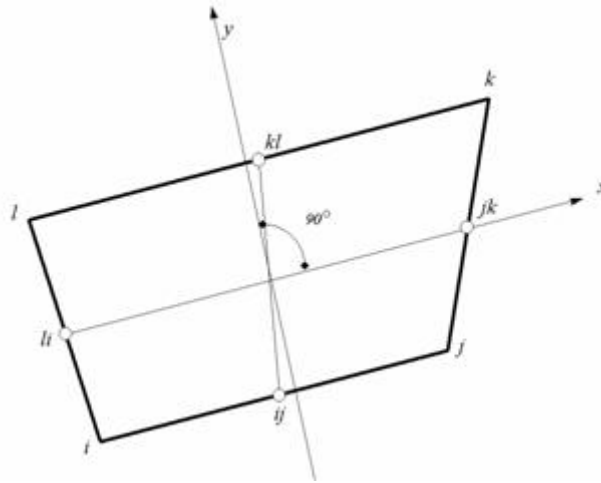
- ? Le forze, sia sulle aste che sulle pareti o lastre, sono positive se opposte agli assi locali;
- ? Le forze nodali sono positive se opposte agli assi globali;
- ? Le coppie sono positive se sinistrorse.

Le caratteristiche di sollecitazione sono positive se sulla faccia di normale positiva sono rappresentate da vettori equiversi agli assi di riferimento locali; in particolare il vettore momento positivo rappresenta una coppia che ruota come le dita della mano destra che si chiudono quando il pollice è equi verso all'asse locale.

- ? Le traslazioni sono positive se concorde con gli assi globali;
- ? Le rotazioni sono positive se sinistrorse.

Il sistema di riferimento locale per gli elementi bidimensionali è quello riportato in figura





La terna locale per l'elemento shell è costituita dall'asse x locale che va dal nodo li al nodo jk, l'asse y è diretto secondo il piano dell'elemento e orientato verso il nodo l e l'asse z di conseguenza in modo da formare la solita terna sinistrorsa. L'asse z locale rappresenta la normale positiva all'elemento. Le sollecitazioni dell'elemento sono:

a) sforzi membranali.

$$S_{xx} = s_x$$

$$S_{yy} = s_y$$

$$S_{xy} = t_{xy}$$

b) sforzi flessionali:

M_{xx} momento flettente che genera s_x , cioè intorno ad y.

M_{yy} momento flettente che genera s_y , cioè intorno ad x

M_{xy} momento torcente che genera t_{xy} .

Le sollecitazioni principali dell'elemento sono:

$$M_{1,2} = \frac{M_{xx} + M_{yy}}{2} \pm \sqrt{\left(\frac{M_{xx} - M_{yy}}{2}\right)^2 + M_{xy}^2}$$

$$S_{1,2} = \frac{S_{xx} + S_{yy}}{2} \pm \sqrt{\left(\frac{S_{xx} - S_{yy}}{2}\right)^2 + S_{xy}^2}$$

$$\tan 2\theta = \frac{M_{xy}}{M_{xx} - M_{yy}}$$

dove θ è l'angolo formato dagli assi principali di M_1 e M_2 con quelli di riferimento e

$$\tan 2\varphi = \frac{S_{xy}}{S_{xx} - S_{yy}}$$

dove φ è l'angolo formato dagli assi principali di S_1 e S_2 con quelli di riferimento

L'elemento shell usato come piastra dà i momenti flettenti e non i tagli in direzione ortogonale all'elemento che possono ottenersi come derivazione dei momenti flettenti;

$$T_{zx} = M_{xx,x} + M_{xy,y}$$

$$T_{zy} = M_{xy,y} + M_{yy,y}$$

quando invece viene usato come lastra ci restituisce una 's' costante ed una 't' costante non adatti a rappresentare momenti flettenti, ma solo sforzi normali e tagli nel piano della lastra.

I tabulati di calcolo contengono due sezioni principali: la descrizione del modello di calcolo e la presentazione dei risultati.

La descrizione del modello di calcolo contiene:

- ? i dati generali (dimensioni)
- ? le coordinate nodali;
- ? i vincoli dei nodi e i vincoli interni delle aste, con le eventuali sconnessioni;
- ? le caratteristiche sezionali;
- ? le caratteristiche dei solai;
- ? le caratteristiche delle aste;
- ? i carichi sulle aste, sui nodi e sui muri (inclusa la distribuzione delle distorsioni impresse, e delle variazioni e dei gradienti di temperatura);
- ? configurazione di sistemi che introducono stati coattivi;
- ? le caratteristiche dei materiali;
- ? legami costitutivi e criteri di verifica;
- ? le condizioni di carico;

La stampa dei risultati contiene:

- ? le combinazioni dei carichi;
- ? le forze sismiche agenti sulla struttura;
- ? gli spostamenti d'impalcato, se l'impalcato è rigido;
- ? gli spostamenti nodali;
- ? le sollecitazioni sulle membrature per ogni combinazione di carico;
- ? la sollecitazione sul terreno sotto travi di fondazione o platee;
- ? deformate;
- ? diagrammi sollecitazioni;

TABULATI DI INPUT

Dati generali

Nome struttura	
Fattore rigidità assiale pilastri	1
Numero di frequenze	100
% Filtro masse libere	0.1
% Coefficiente di smorzamento viscoso	5
Spostamenti modali con segno	Si
Deformabilità a taglio delle aste	Si
Spostamento ammissibile impalcati	0.0050*h

Impalcati

N°	Quota mm	Rigido	Incr.Soll.Pil	Inc.Soll.Par.
0	0	No	1.000	1.000
1	4600	Si	1.000	1.000
2	7100	No	1.000	1.000

Percentuali Spostamento masse impalcati

Posizione	% Spostamento direzione X	% Spostamento direzione Y
1	0	-5
2	5	0
3	0	5
4	-5	0

Combinazioni del Sisma in X e Y e Verticale

Comb	Pos. SismaX	Pos. SismaY	Fx	Fy	Fz
1	1	2	1	0.3	0
2	1	2	0.3	1	0
3	1	4	1	0.3	0
4	1	4	0.3	1	0
5	3	2	1	0.3	0
6	3	2	0.3	1	0
7	3	4	1	0.3	0
8	3	4	0.3	1	0

Comb. = Numero di combinazione dei sismi

Pos. SismaX = Posizione in cui viene scelto il sisma in direzione X

Pos. SismaY = Posizione in cui viene scelto il sisma in direzione Y

Fx = Fattore con cui il sisma X partecipa

Fy = Fattore con cui il sisma Y partecipa

Fz = Fattore con cui il sisma Verticale partecipa (quando richiesto)

Ogni combinazione genera al massimo 8 sotto-combinazioni in base a tutte le combinazioni possibili dei segni di Fx ed Fy ed Fz

Spettri di risposta

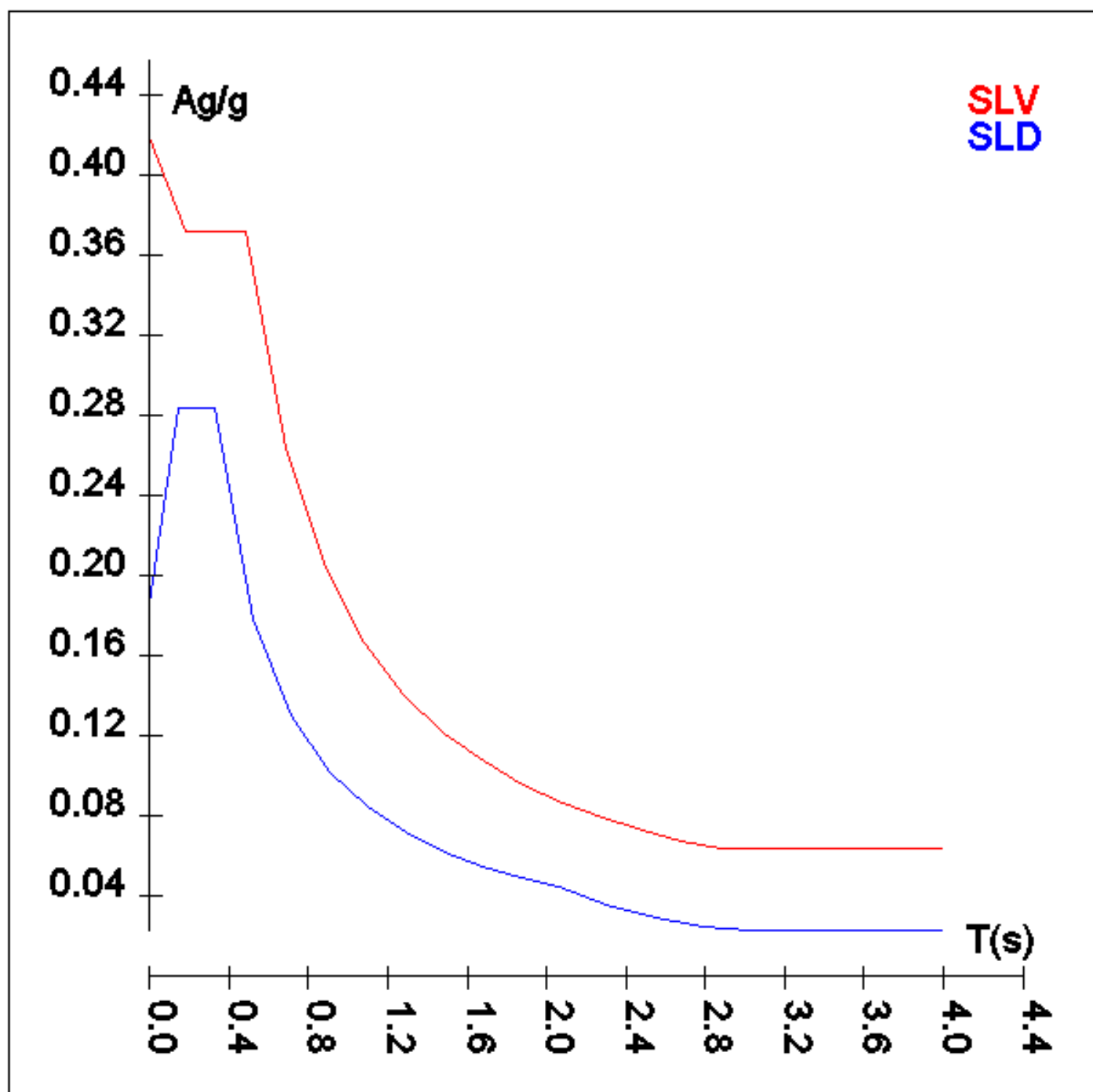
Spettro :Spettro N.T. 2018

Il calcolo degli spettri e del fattore di comportamento sono stati calcolati per la seguente tipologia di terreno e struttura

Vita della struttura	
Tipo	Opere ordinarie (50-100)
Vita nominale(anni)	50.0
Classe d'uso	III
Coefficiente d'uso	1.500
Periodo di riferimento(anni)	75.000
Stato limite di esercizio - SLD	PVR=63.0%
Stato limite ultimo - SLV	PVR=10.0%
Periodo di ritorno SLD(anni)	TR=75.4
Periodo di ritorno SLV(anni)	TR=711.8
Parametri del sito	
Comune	Montalto Uffugo - (CS)
Longitudine	16.2311
Latitudine	39.4322
Id reticolo del sito	39448-39226-39225-39447
Valori di riferimento del sito	
Ag/g(TR=75.4) SLD	0.1152
F0(TR=75.4) SLD	2.2985
T*C(TR=75.4) SLD	0.321
Ag/g(TR=711.8) SLV	0.3199
F0(TR=711.8) SLV	2.4531
T*C(TR=711.8) SLV	0.386
Coefficiente Amplificazione Topografica	St=1.000
Categoria terreno B	
stato limite SLV	
	Ss=1.31
	TB=0.18
	TC=0.48
	TD=2.88
stato limite SLD	
	Ss=1.61
	TB=0.14
	TC=0.33
	TD=2.06
Fattore di comportamento (SLV)	
Classe duttilità	B
Tipo struttura	Cemento armato
Struttura non regolare in altezza	Kr=0.800000
	Kw=1.000
Regolare in pianta	NO (cfr.NTC7.3.1)
Tipologia : struttura a telaio, a pareti accoppiate e miste	Ce=3.000
Telaio + piani + campate	Au/A1=1.300
Fattore di comportamento $q=K_w*K_r*q_0=K_w*K_r*C_e*(1+au/a1)/2$	2.760
Fattore di comportamento q SLD	1.500

TSLV [s]	SLV[a/g]	TSLD [s]	SLD[a/g]
0.00000	0.41874	0.00000	0.18535
0.18100	0.37218	0.14200	0.28402
0.48400	0.37218	0.32600	0.28402
0.68367	0.26349	0.51867	0.17851
0.88333	0.20393	0.71133	0.13016

1.08300	0.16633	0.90400	0.10242
1.28267	0.14044	1.09667	0.08443
1.48233	0.12152	1.28933	0.07181
1.68200	0.10710	1.48200	0.06248
1.88167	0.09573	1.67467	0.05529
2.08133	0.08655	1.86733	0.04958
2.28100	0.07897	2.06000	0.04495
2.48067	0.07262	2.30250	0.03598
2.68033	0.06721	2.54500	0.02945
2.88000	0.06398	2.78750	0.02455
3.10400	0.06398	3.03000	0.02304
3.32800	0.06398	3.27250	0.02304
3.55200	0.06398	3.51500	0.02304
3.77600	0.06398	3.75750	0.02304
4.00000	0.06398	4.00000	0.02304



Caratteristiche del terreno

Terreno- Cost.Winkler=8.00 kg/cmc Falda assente										
Strato n°	Spessore	γ	γ_{Sat}	ϕ	Addensato	OCR	Coesione	Cu	E	ν
	cm	kg/mc	kg/mc	°			kg/cm ^q	kg/cm ^q	kg/cm ^q	
1	600	1600	2000	28	No	--	0.00	0.00	1E02	0.30

Materiali

Materiale: C20/25		
Peso specifico	kg/mc	2500
Modulo di Young E	kg/cm ^q	3E05
Modulo di Poisson ν		0.13
Coefficiente di dilatazione termica λ	1/°C	1e-05

Materiale: ClsRcm 18.9		
Peso specifico	kg/mc	2500
Modulo di Young E	kg/cm ^q	3E05
Modulo di Poisson ν		0.13
Coefficiente di dilatazione termica λ	1/°C	1e-05

Materiale: ClsRcm 16.35		
Peso specifico	kg/mc	2500
Modulo di Young E	kg/cm ^q	3E05
Modulo di Poisson ν		0.13
Coefficiente di dilatazione termica λ	1/°C	1e-05

Materiale: ClsRcm 13.5		
Peso specifico	kg/mc	2500
Modulo di Young E	kg/cm ^q	2E05
Modulo di Poisson ν		0.13
Coefficiente di dilatazione termica λ	1/°C	1e-05

Nodi - Geometria e vincoli

Nodo	X	Y	Z	Tx	Ty	Tz	Rx	Ry	Rz	Impalcato
	Coordinate [mm]			Vincoli						
1	33280	4495	0	1	1	0	0	0	1	0
1	100	0	0	1	1	0	0	0	1	0
2	26830	6700	0	1	1	0	0	0	1	0
2	100	0	4600	0	0	0	0	0	0	1
3	-500	13105	0	1	1	0	0	0	1	0
3	6000	0	0	1	1	0	0	0	1	0

Nodo	X	Y	Z	Tx	Ty	Tz	Rx	Ry	Rz	Impalcato
4	6000	13595	0	1	1	0	0	0	1	0
4	6000	0	4600	0	0	0	0	0	0	1
5	12600	13595	0	1	1	0	0	0	1	0
6	-500	13105	4600	0	0	0	0	0	0	1
6	19700	13595	0	1	1	0	0	0	1	0
7	26830	13595	0	1	1	0	0	0	1	0
7	6000	6700	0	1	1	0	0	0	1	0
8	26830	11695	0	1	1	0	0	0	1	0
8	6000	6700	4600	0	0	0	0	0	0	1
9	-500	6700	0	1	1	0	0	0	1	0
9	33280	11695	0	1	1	0	0	0	1	0
10	6000	6000	800	0	0	0	0	0	0	0
10	6000	3500	800	0	0	0	0	0	0	0
10	-20	1345	3800	0	0	0	0	0	0	0
10	-380	5355	3800	0	0	0	0	0	0	0
10	6000	6000	3800	0	0	0	0	0	0	0
10	-380	5355	800	0	0	0	0	0	0	0
10	25280	6700	3800	0	0	0	0	0	0	0
10	21250	6700	3800	0	0	0	0	0	0	0
10	25280	6700	800	0	0	0	0	0	0	0
10	6000	3500	3800	0	0	0	0	0	0	0
10	21250	6700	800	0	0	0	0	0	0	0
10	12600	3500	800	0	0	0	0	0	0	0
10	25280	13595	3800	0	0	0	0	0	0	0
10	12600	6000	800	0	0	0	0	0	0	0
10	21250	13595	3800	0	0	0	0	0	0	0
10	12600	6000	3800	0	0	0	0	0	0	0
10	25280	13595	800	0	0	0	0	0	0	0
10	21250	13595	800	0	0	0	0	0	0	0
10	18150	13595	3800	0	0	0	0	0	0	0
10	14150	13595	3800	0	0	0	0	0	0	0
10	18150	13595	800	0	0	0	0	0	0	0
10	-500	6700	4600	0	0	0	0	0	0	1
10	14150	13595	800	0	0	0	0	0	0	0
10	11300	13595	3800	0	0	0	0	0	0	0
10	7300	13595	3800	0	0	0	0	0	0	0
10	-20	1345	800	0	0	0	0	0	0	0
10	11300	13595	800	0	0	0	0	0	0	0
10	7300	13595	800	0	0	0	0	0	0	0
10	4754	13501	3800	0	0	0	0	0	0	0
10	4754	13501	800	0	0	0	0	0	0	0
10	746	13199	3800	0	0	0	0	0	0	0
10	746	13199	800	0	0	0	0	0	0	0
10	18150	6700	800	0	0	0	0	0	0	0
10	14150	6700	800	0	0	0	0	0	0	0
10	-500	7903	3800	0	0	0	0	0	0	0
10	-500	11903	3800	0	0	0	0	0	0	0
10	-500	11902	800	0	0	0	0	0	0	0
10	-500	7902	800	0	0	0	0	0	0	0
10	18150	6700	3800	0	0	0	0	0	0	0
10	14150	6700	3800	0	0	0	0	0	0	0
10	26830	5247	7100	0	0	0	0	0	0	2
10	11300	6700	800	0	0	0	0	0	0	0
10	33280	4495	6787	0	0	0	0	0	0	2
10	7300	6700	800	0	0	0	0	0	0	0
10	4750	6700	800	0	0	0	0	0	0	0
10	750	6700	800	0	0	0	0	0	0	0
10	11300	6700	3800	0	0	0	0	0	0	0
10	7300	6700	3800	0	0	0	0	0	0	0
10	4750	6700	3800	0	0	0	0	0	0	0
10	750	6700	3800	0	0	0	0	0	0	0
10	26830	-352	3800	0	0	0	0	0	0	0
10	26830	3648	3800	0	0	0	0	0	0	0
10	26830	-353	800	0	0	0	0	0	0	0
10	1050	0	800	0	0	0	0	0	0	0
10	5050	0	800	0	0	0	0	0	0	0

Nodo	X	Y	Z	Tx	Ty	Tz	Rx	Ry	Rz	Impalcato
10	1050	0	3800	0	0	0	0	0	0	0
10	5050	0	3800	0	0	0	0	0	0	0
10	26830	3647	800	0	0	0	0	0	0	0
10	12600	3500	3800	0	0	0	0	0	0	0
10	32055	11695	3800	0	0	0	0	0	0	0
10	28055	11695	3800	0	0	0	0	0	0	0
10	7300	0	800	0	0	0	0	0	0	0
10	11300	0	800	0	0	0	0	0	0	0
10	7300	0	3800	0	0	0	0	0	0	0
10	11300	0	3800	0	0	0	0	0	0	0
10	32055	11695	800	0	0	0	0	0	0	0
10	28055	11695	800	0	0	0	0	0	0	0
10	33280	10095	3800	0	0	0	0	0	0	0
10	33280	6095	3800	0	0	0	0	0	0	0
10	33280	10095	800	0	0	0	0	0	0	0
10	33280	6095	800	0	0	0	0	0	0	0
10	33280	3648	3800	0	0	0	0	0	0	0
10	33280	-352	3800	0	0	0	0	0	0	0
10	33280	3647	800	0	0	0	0	0	0	0
10	33280	-353	800	0	0	0	0	0	0	0
12	6000	13595	4600	0	0	0	0	0	0	1
13	12600	-1200	0	1	1	0	0	0	1	0
14	12600	-1200	4600	0	0	0	0	0	0	1
15	12600	0	0	1	1	0	0	0	1	0
16	12600	0	4600	0	0	0	0	0	0	1
17	12600	6700	0	1	1	0	0	0	1	0
18	12600	6700	4600	0	0	0	0	0	0	1
18	6000	6700	7100	0	0	0	0	0	0	2
20	12600	13595	4600	0	0	0	0	0	0	1
20	-500	6700	7100	0	0	0	0	0	0	2
21	17650	-1200	0	1	1	0	0	0	1	0
22	17650	-1200	4600	0	0	0	0	0	0	0
23	21850	-1200	0	1	1	0	0	0	1	0
24	12600	-1200	7100	0	0	0	0	0	0	2
24	21850	-1200	4600	0	0	0	0	0	0	0
25	19700	6700	0	1	1	0	0	0	1	0
26	19700	6700	4600	0	0	0	0	0	0	1
28	12600	6700	7100	0	0	0	0	0	0	2
28	19700	13595	4600	0	0	0	0	0	0	1
30	26830	13595	4600	0	0	0	0	0	0	1
32	26830	11695	4600	0	0	0	0	0	0	1
32	17650	-1200	7100	0	0	0	0	0	0	2
34	21850	-1200	7100	0	0	0	0	0	0	2
34	26830	6700	4600	0	0	0	0	0	0	1
35	26830	-1200	0	1	1	0	0	0	1	0
36	26830	-1200	4600	0	0	0	0	0	0	1
36	19700	6700	7100	0	0	0	0	0	0	2
37	33280	-1200	0	1	1	0	0	0	1	0
38	33280	-1200	4600	0	0	0	0	0	0	1
38	12600	6700	8600	0	0	0	0	0	0	2
40	33280	4495	4600	0	0	0	0	0	0	1
41	26830	4495	0	1	1	0	0	0	1	0
42	26830	4495	4600	0	0	0	0	0	0	1
44	33280	11695	4600	0	0	0	0	0	0	1
44	26830	6700	7100	0	0	0	0	0	0	2
46	19700	6700	8600	0	0	0	0	0	0	2
46	26830	-1200	7100	0	0	0	0	0	0	2
54	26830	6700	8600	0	0	0	0	0	0	2
802	33280	5247	7100	0	0	0	0	0	0	2
803	26830	4495	6787	0	0	0	0	0	0	2
804	1050	0	4600	0	0	0	0	0	0	1
805	1050	0	0	1	1	0	0	0	1	0
806	5050	0	4600	0	0	0	0	0	0	1
807	5050	0	0	1	1	0	0	0	1	0
808	6000	0	800	0	0	0	0	0	0	0
809	100	0	800	0	0	0	0	0	0	0

Nodo	X	Y	Z	Tx	Ty	Tz	Rx	Ry	Rz	Impalcato
810	12600	0	800	0	0	0	0	0	0	0
811	100	0	3800	0	0	0	0	0	0	0
812	6000	0	3800	0	0	0	0	0	0	0
813	12600	0	3800	0	0	0	0	0	0	0
814	7300	0	0	1	1	0	0	0	1	0
815	7300	0	4600	0	0	0	0	0	0	1
816	11300	0	4600	0	0	0	0	0	0	1
817	11300	0	0	1	1	0	0	0	1	0
818	26830	-1200	800	0	0	0	0	0	0	0
819	33280	-1200	800	0	0	0	0	0	0	0
820	33280	4495	800	0	0	0	0	0	0	0
821	33280	11695	800	0	0	0	0	0	0	0
822	26830	11695	800	0	0	0	0	0	0	0
823	26830	13595	800	0	0	0	0	0	0	0
824	26830	-1200	3800	0	0	0	0	0	0	0
825	33280	-1200	3800	0	0	0	0	0	0	0
826	33280	4495	3800	0	0	0	0	0	0	0
827	33280	11695	3800	0	0	0	0	0	0	0
828	26830	11695	3800	0	0	0	0	0	0	0
829	26830	13595	3800	0	0	0	0	0	0	0
830	33280	-353	0	1	1	0	0	0	1	0
831	33280	-352	4600	0	0	0	0	0	0	1
832	33280	3648	4600	0	0	0	0	0	0	1
833	33280	3647	0	1	1	0	0	0	1	0
834	33280	6095	4600	0	0	0	0	0	0	1
835	33280	6095	0	1	1	0	0	0	1	0
836	33280	10095	4600	0	0	0	0	0	0	1
837	33280	10095	0	1	1	0	0	0	1	0
838	26830	4495	800	0	0	0	0	0	0	0
839	26830	4495	3800	0	0	0	0	0	0	0
840	28055	11695	0	1	1	0	0	0	1	0
841	28055	11695	4600	0	0	0	0	0	0	1
842	32055	11695	0	1	1	0	0	0	1	0
843	32055	11695	4600	0	0	0	0	0	0	1
844	26830	6700	800	0	0	0	0	0	0	0
845	26830	6700	3800	0	0	0	0	0	0	0
846	26830	-353	0	1	1	0	0	0	1	0
847	26830	-352	4600	0	0	0	0	0	0	1
848	26830	3647	0	1	1	0	0	0	1	0
849	26830	3648	4600	0	0	0	0	0	0	1
850	750	6700	0	1	1	0	0	0	1	0
851	750	6700	4600	0	0	0	0	0	0	1
852	4750	6700	4600	0	0	0	0	0	0	1
853	4750	6700	0	1	1	0	0	0	1	0
854	-500	6700	3800	0	0	0	0	0	0	0
855	6000	6700	3800	0	0	0	0	0	0	0
856	7300	6700	0	1	1	0	0	0	1	0
857	7300	6700	4600	0	0	0	0	0	0	1
858	11300	6700	0	1	1	0	0	0	1	0
859	11300	6700	4600	0	0	0	0	0	0	1
860	12600	6700	3800	0	0	0	0	0	0	0
861	-500	6700	800	0	0	0	0	0	0	0
862	6000	6700	800	0	0	0	0	0	0	0
863	12600	6700	800	0	0	0	0	0	0	0
864	19700	6700	800	0	0	0	0	0	0	0
865	12600	-1200	800	0	0	0	0	0	0	0
866	12600	-1200	3800	0	0	0	0	0	0	0
867	19700	6700	3800	0	0	0	0	0	0	0
868	14150	6700	4600	0	0	0	0	0	0	1
869	14150	6700	0	1	1	0	0	0	1	0
870	18150	6700	4600	0	0	0	0	0	0	1
871	18150	6700	0	1	1	0	0	0	1	0
872	-500	13105	800	0	0	0	0	0	0	0
873	-500	13105	3800	0	0	0	0	0	0	0
874	-500	7903	4600	0	0	0	0	0	0	1
875	-500	7902	0	1	1	0	0	0	1	0

Nodo	X	Y	Z	Tx	Ty	Tz	Rx	Ry	Rz	Impalcato
876	-500	11903	4600	0	0	0	0	0	0	1
877	-500	11902	0	1	1	0	0	0	1	0
878	19700	13595	800	0	0	0	0	0	0	0
879	12600	13595	800	0	0	0	0	0	0	0
880	6000	13595	800	0	0	0	0	0	0	0
881	746	13199	4600	0	0	0	0	0	0	1
882	746	13199	0	1	1	0	0	0	1	0
883	4754	13501	0	1	1	0	0	0	1	0
884	4754	13501	4600	0	0	0	0	0	0	1
885	6000	13595	3800	0	0	0	0	0	0	0
886	12600	13595	3800	0	0	0	0	0	0	0
887	19700	13595	3800	0	0	0	0	0	0	0
888	7300	13595	0	1	1	0	0	0	1	0
889	7300	13595	4600	0	0	0	0	0	0	1
890	11300	13595	0	1	1	0	0	0	1	0
891	11300	13595	4600	0	0	0	0	0	0	1
892	14150	13595	0	1	1	0	0	0	1	0
893	14150	13595	4600	0	0	0	0	0	0	1
894	18150	13595	4600	0	0	0	0	0	0	1
895	18150	13595	0	1	1	0	0	0	1	0
896	21250	13595	0	1	1	0	0	0	1	0
897	21250	13595	4600	0	0	0	0	0	0	1
898	25280	13595	0	1	1	0	0	0	1	0
899	25280	13595	4600	0	0	0	0	0	0	1
900	21250	6700	0	1	1	0	0	0	1	0
901	21250	6700	4600	0	0	0	0	0	0	1
902	25280	6700	0	1	1	0	0	0	1	0
903	25280	6700	4600	0	0	0	0	0	0	1
904	-20	1345	0	1	1	0	0	0	1	0
905	-20	1345	4600	0	0	0	0	0	0	1
906	-380	5355	4600	0	0	0	0	0	0	1
907	-380	5355	0	1	1	0	0	0	1	0
908	6000	6000	0	1	1	0	0	0	1	0
909	6000	6000	4600	0	0	0	0	0	0	1
910	12600	6000	4600	0	0	0	0	0	0	1
911	12600	6000	0	1	1	0	0	0	1	0
912	6000	3500	0	1	1	0	0	0	1	0
913	6000	3500	4600	0	0	0	0	0	0	1
914	12600	3500	4600	0	0	0	0	0	0	1
915	12600	3500	0	1	1	0	0	0	1	0

Nodi - Carichi

N°	C.Car.	Fx	Fy	Fz	Mx	My	Mz	Tx	Ty	Tz	Rx	Ry	Rz	Δt
		kg			kg*m			mm			mrad			°C
2	QP Solai	0	0	296	11	-17	-0							
2	QFissi Solai	0	0	267	9	-17	-0							
2	QV Solai	0	0	195	8	-10	-0							
2	QV SolaiPsi0	-0	0	76	1	-7	-0							
2	QV SolaiPsi1	-0	0	54	0	-5	-0							
2	QV SolaiPsi2	0	-0	33	0	-3	-0							
2	Neve DX	0	0	46	4	-0	0							
4	QP Solai	0	0	407	21	-17	0							
4	QFissi Solai	0	0	347	16	-17	0							
4	QV Solai	0	0	280	16	-10	0							
4	QV SolaiPsi0	0	0	70	0	-7	0							
4	QV SolaiPsi1	0	0	50	0	-5	0							
4	QV SolaiPsi2	0	0	30	0	-3	0							
4	Neve DX	0	0	46	4	0	0							
4	Neve DX	0	0	49	4	0	0							
6	QP Solai	0	-0	170	0	-17	-0							
6	QFissi Solai	-0	-0	167	0	-17	-0							
6	QV Solai	0	0	103	0	-10	-0							
6	QV SolaiPsi0	0	0	67	0	-7	-0							
6	QV SolaiPsi1	0	-0	48	0	-5	-0							

Nº	C.Car.	Fx	Fy	Fz	Mx	My	Mz	Tx	Ty	Tz	Rx	Ry	Rz	Δt
6	QV SolaiPsi2	0	-0	29	0	-3	-0							
6	Neve SX	0	-0	4	0	-0	-0							
8	QP Solai	0	0	340	0	-34	0							
8	QFissi Solai	0	0	340	0	-34	0							
8	QV Solai	0	0	204	0	-20	0							
8	QV SolaiPsi0	0	0	143	0	-14	0							
8	QV SolaiPsi1	0	0	102	0	-10	0							
8	QV SolaiPsi2	0	0	61	0	-6	0							
10	QP Solai	0	0	577	0	-154	0							
10	QFissi Solai	0	0	577	0	-154	0							
10	QV Solai	0	0	346	0	-92	0							
10	QV SolaiPsi0	0	0	243	0	-65	0							
10	QV SolaiPsi1	0	0	173	0	-46	0							
10	QV SolaiPsi2	0	0	104	0	-28	0							
12	QP Solai	0	0	172	0	-17	0							
12	QFissi Solai	0	0	172	0	-17	0							
12	QV Solai	0	0	103	0	-10	0							
12	QV SolaiPsi0	0	0	72	0	-7	0							
12	QV SolaiPsi1	0	0	52	0	-5	0							
12	QV SolaiPsi2	0	0	31	0	-3	0							
18	QP Solai	0	0	246	22	0	0							
18	QP Solai	0	0	172	0	-17	0							
18	QFissi Solai	0	0	185	16	0	0							
18	QFissi Solai	0	0	172	0	-17	0							
18	QV Solai	0	0	103	0	-10	0							
18	QV Solai	0	0	185	16	0	0							
18	QV SolaiPsi0	0	0	72	0	-7	0							
18	QV SolaiPsi1	0	0	52	0	-5	0							
18	QV SolaiPsi2	0	0	31	0	-3	0							
18	Neve SX	0	0	49	4	0	0							
18	Neve SX	0	0	50	4	0	0							
20	QP Solai	0	0	172	0	-17	0							
20	QP Solai	0	0	2	0	-0	0							
20	QFissi Solai	0	0	172	0	-17	0							
20	QFissi Solai	0	0	1	0	-0	0							
20	QV Solai	0	0	1	0	-0	0							
20	QV Solai	0	0	103	0	-10	0							
20	QV SolaiPsi0	0	0	72	0	-7	0							
20	QV SolaiPsi1	0	0	52	0	-5	0							
20	QV SolaiPsi2	0	0	31	0	-3	0							
20	Neve SX	0	0	1	0	-0	0							
28	QP Solai	0	0	268	-23	0	0							
28	QFissi Solai	0	0	201	-18	0	0							
28	QV Solai	0	0	201	-18	0	0							
28	Neve SX	0	0	53	-5	0	0							
28	Neve SX	0	0	54	-5	0	0							
30	QP Solai	-0	0	306	-12	17	0							
30	QFissi Solai	-0	0	273	-9	17	0							
30	QV Solai	0	0	204	-9	10	0							
30	QV SolaiPsi0	0	0	72	0	7	0							
30	QV SolaiPsi1	0	0	52	0	5	0							
30	QV SolaiPsi2	0	0	31	0	3	0							
30	Neve SX	0	-0	54	-5	0	0							
32	QP Solai	0	0	120	-10	0	0							
32	QFissi Solai	0	0	90	-8	0	0							
32	QV Solai	0	0	90	-8	0	0							
32	Neve SX	0	0	48	-4	0	0							
34	QP Solai	-0	0	172	0	17	0							
34	QFissi Solai	-0	0	172	0	17	0							
34	QV Solai	0	0	103	0	10	0							
34	QV SolaiPsi0	0	0	72	0	7	0							
34	QV SolaiPsi1	0	0	52	0	5	0							
34	QV SolaiPsi2	0	0	31	0	3	0							
36	QP Solai	0	0	268	23	0	0							
36	QFissi Solai	0	0	201	18	0	0							
36	QV Solai	0	0	201	18	0	0							
36	Neve SX	0	-0	54	5	0	0							
36	Neve SX	0	0	53	5	0	0							
38	QP Solai	0	0	142	0	14	0							
38	QFissi Solai	0	0	142	0	14	0							
38	QV Solai	0	0	85	0	9	0							
38	QV SolaiPsi0	0	0	60	0	6	0							
38	QV SolaiPsi1	0	0	43	0	4	0							
38	QV SolaiPsi2	0	0	26	0	3	0							
40	QP Solai	0	0	322	0	32	0							
40	QFissi Solai	0	0	322	0	32	0							
40	QV Solai	-0	0	193	0	19	0							
40	QV SolaiPsi0	0	0	135	0	14	0							
40	QV SolaiPsi1	-0	0	97	0	10	0							
40	QV SolaiPsi2	0	0	58	0	6	0							
44	QP Solai	0	0	180	0	18	0							
44	QP Solai	0	0	134	12	0	0							
44	QFissi Solai	0	-0	101	9	0	0							
44	QFissi Solai	0	0	180	0	18	0							

N°	C.Car.	Fx	Fy	Fz	Mx	My	Mz	Tx	Ty	Tz	Rx	Ry	Rz	Δt
44	QV Solai	0	0	108	0	11	0							
44	QV Solai	0	-0	101	9	0	0							
44	QV SolaiPsi0	0	0	76	0	8	0							
44	QV SolaiPsi1	0	0	54	0	5	0							
44	QV SolaiPsi2	-0	0	32	0	3	0							
44	Neve SX	0	0	54	5	0	0							

Input - Aste - Tabella sezioni tipo

Tipo	Nome	Base	Altezza	Larg.mag.
R		cm	cm	cm
	80x20	80	20	0
	40x40	40	40	0
	40x90	40	90	0
	40x50	40	50	0
	F40x70	40	70	80
	40x60	40	60	0
	100x40	100	40	0

Aste - Geometria e vincoli

	Ni	Nf	Vinc.	Sez.	Mat.	Crit.pr.	Rot. °	f.f.	xi	yi	zi	xf	yf	zf	Tipo	L2	L3
														cm			cm
1	1	820	I-I	40x40	ClsRcm_1 8.9	CLS_Pilast ri-Esist	0	3030	0	0	0	0	0	0	Pila.	80	80
1	820	826	I-I	40x40	ClsRcm_1 8.9	CLS_Pilast ri-Esist	0	3030	0	0	0	0	0	0	Pila.	300	300
1	826	40	I-I	40x40	ClsRcm_1 8.9	CLS_Pilast ri-Esist	0	3030	0	0	0	0	0	0	Pila.	80	80
1	40	10	I-I	40x40	ClsRcm_1 8.9	CLS_Pilast ri-Esist	0	3030	0	0	0	0	0	0	Pila.	219	219
2	2	844	I-I	40x40	ClsRcm_1 8.9	CLS_Pilast ri-Esist	0	3030	0	0	0	0	0	0	Pila.	80	80
2	844	845	I-I	40x40	ClsRcm_1 8.9	CLS_Pilast ri-Esist	0	3030	0	0	0	0	0	0	Pila.	300	300
2	845	34	I-I	40x40	ClsRcm_1 8.9	CLS_Pilast ri-Esist	0	3030	0	0	0	0	0	0	Pila.	80	80
2	34	44	I-I	40x40	ClsRcm_1 8.9	CLS_Pilast ri-Esist	0	3030	0	0	0	0	0	0	Pila.	250	250
2	44	54	I-I	40x40	ClsRcm_1 8.9	CLS_Pilast ri-Esist	0	3030	0	0	0	0	0	0	Pila.	150	150
3	3	872	I-I	40x40	ClsRcm_1 8.9	CLS_Pilast ri-Esist	0	7070	0	0	0	0	0	0	Pila.	80	80
3	872	873	I-I	40x40	ClsRcm_1 8.9	CLS_Pilast ri-Esist	0	7070	0	0	0	0	0	0	Pila.	300	300
3	873	6	I-I	40x40	ClsRcm_1 8.9	CLS_Pilast ri-Esist	0	7070	0	0	0	0	0	0	Pila.	80	80
4	4	880	I-I	40x90	ClsRcm_1 8.9	CLS_Pilast ri-Esist	0	7070	0	0	0	0	0	0	Pila.	80	80
4	880	885	I-I	40x90	ClsRcm_1 8.9	CLS_Pilast ri-Esist	0	7070	0	0	0	0	0	0	Pila.	300	300
4	885	12	I-I	40x90	ClsRcm_1 8.9	CLS_Pilast ri-Esist	0	7070	0	0	0	0	0	0	Pila.	80	80
5	5	879	I-I	40x40	ClsRcm_1 8.9	CLS_Pilast ri-Esist	0	7070	0	0	0	0	0	0	Pila.	80	80
5	879	886	I-I	40x40	ClsRcm_1 8.9	CLS_Pilast ri-Esist	0	7070	0	0	0	0	0	0	Pila.	300	300
5	886	20	I-I	40x40	ClsRcm_1 8.9	CLS_Pilast ri-Esist	0	7070	0	0	0	0	0	0	Pila.	80	80
6	6	878	I-I	40x40	ClsRcm_1 8.9	CLS_Pilast ri-Esist	0	8080	0	0	0	0	0	0	Pila.	80	80
6	878	887	I-I	40x40	ClsRcm_1 8.9	CLS_Pilast ri-Esist	0	8080	0	0	0	0	0	0	Pila.	300	300
6	887	28	I-I	40x40	ClsRcm_1 8.9	CLS_Pilast ri-Esist	0	8080	0	0	0	0	0	0	Pila.	80	80
7	7	862	I-I	40x40	ClsRcm_1 8.9	CLS_Pilast ri-Esist	0	1010	0	0	0	0	0	0	Pila.	80	80

	Ni	Nf	Vinc.	Sez.	Mat.	Crit.pr.	Rot.	f.f.	xi	yi	zi	xf	yf	zf	Tipo	L2	L3
7	862	855	I-I	40x40	ClsRcm_1 8.9	CLS_Pilast ri-Esist	0	1010	0	0	0	0	0	0	Pila.	300	300
7	855	8	I-I	40x40	ClsRcm_1 8.9	CLS_Pilast ri-Esist	0	1010	0	0	0	0	0	0	Pila.	80	80
7	8	18	I-I	40x40	ClsRcm_1 8.9	CLS_Pilast ri-Esist	0	1010	0	0	0	0	0	0	Pila.	250	250
8	8	822	I-I	40x40	ClsRcm_1 8.9	CLS_Pilast ri-Esist	0	9090	0	0	0	0	0	0	Pila.	80	80
8	822	828	I-I	40x40	ClsRcm_1 8.9	CLS_Pilast ri-Esist	0	9090	0	0	0	0	0	0	Pila.	300	300
8	828	32	I-I	40x40	ClsRcm_1 8.9	CLS_Pilast ri-Esist	0	9090	0	0	0	0	0	0	Pila.	80	80
9	9	861	I-I	100x40	ClsRcm_1 8.9	CLS_Pilast ri-Esist	0	1010	0	0	0	0	0	0	Pila.	80	80
9	861	854	I-I	100x40	ClsRcm_1 8.9	CLS_Pilast ri-Esist	0	1010	0	0	0	0	0	0	Pila.	300	300
9	854	10	I-I	100x40	ClsRcm_1 8.9	CLS_Pilast ri-Esist	0	1010	0	0	0	0	0	0	Pila.	80	80
9	10	20	I-I	100x40	ClsRcm_1 8.9	CLS_Pilast ri-Esist	0	1010	0	0	0	0	0	0	Pila.	250	250
10	9	821	I-I	40x40	ClsRcm_1 8.9	CLS_Pilast ri-Esist	0	9090	0	0	0	0	0	0	Pila.	80	80
10	821	827	I-I	40x40	ClsRcm_1 8.9	CLS_Pilast ri-Esist	0	9090	0	0	0	0	0	0	Pila.	300	300
10	827	44	I-I	40x40	ClsRcm_1 8.9	CLS_Pilast ri-Esist	0	9090	0	0	0	0	0	0	Pila.	80	80
11	7	823	I-I	40x40	ClsRcm_1 8.9	CLS_Pilast ri-Esist	0	9090	0	0	0	0	0	0	Pila.	80	80
11	823	829	I-I	40x40	ClsRcm_1 8.9	CLS_Pilast ri-Esist	0	9090	0	0	0	0	0	0	Pila.	300	300
11	829	30	I-I	40x40	ClsRcm_1 8.9	CLS_Pilast ri-Esist	0	9090	0	0	0	0	0	0	Pila.	80	80
12	1	809	I-I	40x40	ClsRcm_1 8.9	CLS_Pilast ri-Esist	0	1010	0	0	0	0	0	0	Pila.	80	80
12	809	811	I-I	40x40	ClsRcm_1 8.9	CLS_Pilast ri-Esist	0	1010	0	0	0	0	0	0	Pila.	300	300
12	811	2	I-I	40x40	ClsRcm_1 8.9	CLS_Pilast ri-Esist	0	1010	0	0	0	0	0	0	Pila.	80	80
13	13	865	I-I	40x40	ClsRcm_1 8.9	CLS_Pilast ri-Esist	0	1010	0	0	0	0	0	0	Pila.	80	80
13	865	866	I-I	40x40	ClsRcm_1 8.9	CLS_Pilast ri-Esist	0	1010	0	0	0	0	0	0	Pila.	300	300
13	866	14	I-I	40x40	ClsRcm_1 8.9	CLS_Pilast ri-Esist	0	1010	0	0	0	0	0	0	Pila.	80	80
13	14	24	I-I	40x40	ClsRcm_1 8.9	CLS_Pilast ri-Esist	0	1010	0	0	0	0	0	0	Pila.	250	250
14	3	808	I-I	40x40	ClsRcm_1 8.9	CLS_Pilast ri-Esist	0	1010	0	0	0	0	0	0	Pila.	80	80
14	808	812	I-I	40x40	ClsRcm_1 8.9	CLS_Pilast ri-Esist	0	1010	0	0	0	0	0	0	Pila.	300	300
14	812	4	I-I	40x40	ClsRcm_1 8.9	CLS_Pilast ri-Esist	0	1010	0	0	0	0	0	0	Pila.	80	80
15	15	810	I-I	40x40	ClsRcm_1 8.9	CLS_Pilast ri-Esist	0	1010	0	0	0	0	0	0	Pila.	80	80
15	810	813	I-I	40x40	ClsRcm_1 8.9	CLS_Pilast ri-Esist	0	1010	0	0	0	0	0	0	Pila.	300	300
15	813	16	I-I	40x40	ClsRcm_1 8.9	CLS_Pilast ri-Esist	0	1010	0	0	0	0	0	0	Pila.	80	80
17	17	863	I-I	40x40	ClsRcm_1 8.9	CLS_Pilast ri-Esist	0	1010	0	0	0	0	0	0	Pila.	80	80
17	863	860	I-I	40x40	ClsRcm_1 8.9	CLS_Pilast ri-Esist	0	1010	0	0	0	0	0	0	Pila.	300	300
17	860	18	I-I	40x40	ClsRcm_1 8.9	CLS_Pilast ri-Esist	0	1010	0	0	0	0	0	0	Pila.	80	80
17	18	28	I-I	40x40	ClsRcm_1 8.9	CLS_Pilast ri-Esist	0	1010	0	0	0	0	0	0	Pila.	250	250
17	28	38	I-I	40x40	ClsRcm_1 8.9	CLS_Pilast ri-Esist	0	1010	0	0	0	0	0	0	Pila.	150	150
21	21	22	I-I	40x40	ClsRcm_1 8.9	CLS_Pilast ri-Esist	0	1010	0	0	0	0	0	0	Pila.	460	460
21	22	32	I-I	40x40	ClsRcm_1 8.9	CLS_Pilast ri-Esist	0	1010	0	0	0	0	0	0	Pila.	250	250
23	23	24	I-I	40x40	ClsRcm_1 8.9	CLS_Pilast ri-Esist	0	3030	0	0	0	0	0	0	Pila.	460	460
23	24	34	I-I	40x40	ClsRcm_1 8.9	CLS_Pilast ri-Esist	0	3030	0	0	0	0	0	0	Pila.	250	250
25	25	864	I-I	40x40	ClsRcm_1 8.9	CLS_Pilast ri-Esist	0	2020	0	0	0	0	0	0	Pila.	80	80
25	864	867	I-I	40x40	ClsRcm_1 8.9	CLS_Pilast ri-Esist	0	2020	0	0	0	0	0	0	Pila.	300	300
25	867	26	I-I	40x40	ClsRcm_1 8.9	CLS_Pilast ri-Esist	0	2020	0	0	0	0	0	0	Pila.	80	80
25	26	36	I-I	40x40	ClsRcm_1 8.9	CLS_Pilast ri-Esist	0	2020	0	0	0	0	0	0	Pila.	250	250
25	36	46	I-I	40x40	ClsRcm_1	CLS_Pilast	0	2020	0	0	0	0	0	0	Pila.	150	150

	Ni	Nf	Vinc.	Sez.	Mat.	Crit.pr.	Rot.	f.f.	xi	yi	zi	xf	yf	zf	Tipo	L2	L3
					8.9	ri-Esist											
35	35	818	I-I	40x40	ClsRcm_1 8.9	CLS_Pilast ri-Esist	0	3030	0	0	0	0	0	0	Pila.	80	80
35	818	824	I-I	40x40	ClsRcm_1 8.9	CLS_Pilast ri-Esist	0	3030	0	0	0	0	0	0	Pila.	300	300
35	824	36	I-I	40x40	ClsRcm_1 8.9	CLS_Pilast ri-Esist	0	3030	0	0	0	0	0	0	Pila.	80	80
35	36	46	I-I	40x40	ClsRcm_1 8.9	CLS_Pilast ri-Esist	0	3030	0	0	0	0	0	0	Pila.	250	250
37	37	819	I-I	40x40	ClsRcm_1 8.9	CLS_Pilast ri-Esist	0	3030	0	0	0	0	0	0	Pila.	80	80
37	819	825	I-I	40x40	ClsRcm_1 8.9	CLS_Pilast ri-Esist	0	3030	0	0	0	0	0	0	Pila.	300	300
37	825	38	I-I	40x40	ClsRcm_1 8.9	CLS_Pilast ri-Esist	0	3030	0	0	0	0	0	0	Pila.	80	80
41	41	838	I-I	40x40	ClsRcm_1 8.9	CLS_Pilast ri-Esist	0	3030	0	0	0	0	0	0	Pila.	80	80
41	838	839	I-I	40x40	ClsRcm_1 8.9	CLS_Pilast ri-Esist	0	3030	0	0	0	0	0	0	Pila.	300	300
41	839	42	I-I	40x40	ClsRcm_1 8.9	CLS_Pilast ri-Esist	0	3030	0	0	0	0	0	0	Pila.	80	80
41	42	803	I-I	40x40	ClsRcm_1 8.9	CLS_Pilast ri-Esist	0	3030	0	0	0	0	0	0	Pila.	219	219
101	2	804	I-I	40x60	ClsRcm_1 3.5	CLS_Travi Alte_Esist	0	7270	0	0	0	0	0	0	Trave	95	95
101	804	806	I-I	40x60	ClsRcm_1 3.5	CLS_Travi Alte_Esist	0	7070	0	0	0	0	0	0	Trave	400	400
101	806	4	I-I	40x60	ClsRcm_1 3.5	CLS_Travi Alte_Esist	0	7072	0	0	0	0	0	0	Trave	95	95
101	4	815	I-I	40x60	ClsRcm_1 3.5	CLS_Travi Alte_Esist	0	7270	0	0	0	0	0	0	Trave	130	130
101	815	816	I-I	40x60	ClsRcm_1 3.5	CLS_Travi Alte_Esist	0	7070	0	0	0	0	0	0	Trave	400	400
101	816	16	I-I	40x60	ClsRcm_1 3.5	CLS_Travi Alte_Esist	0	7072	0	0	0	0	0	0	Trave	130	130
102	10	851	I-I	40x60	ClsRcm_1 3.5		0	7270	0	0	0	0	0	0	Trave	125	125
103	851	852	I-I	40x60	ClsRcm_1 3.5	CLS_Travi Alte_Esist	0	7070	0	0	0	0	0	0	Trave	400	400
103	852	8	I-I	40x60	ClsRcm_1 3.5	CLS_Travi Alte_Esist	0	7072	0	0	0	0	0	0	Trave	125	125
103	8	857	I-I	40x60	ClsRcm_1 3.5	CLS_Travi Alte_Esist	0	7270	0	0	0	0	0	0	Trave	130	130
103	857	859	I-I	40x60	ClsRcm_1 3.5	CLS_Travi Alte_Esist	0	7070	0	0	0	0	0	0	Trave	400	400
103	859	18	I-I	40x60	ClsRcm_1 3.5	CLS_Travi Alte_Esist	0	7072	0	0	0	0	0	0	Trave	130	130
103	18	868	I-I	40x60	ClsRcm_1 3.5	CLS_Travi Alte_Esist	0	7270	0	0	0	0	0	0	Trave	155	155
103	868	870	I-I	40x60	ClsRcm_1 3.5	CLS_Travi Alte_Esist	0	7070	0	0	0	0	0	0	Trave	400	400
103	870	26	I-I	40x60	ClsRcm_1 3.5	CLS_Travi Alte_Esist	0	7072	0	0	0	0	0	0	Trave	155	155
103	26	901	I-I	40x60	ClsRcm_1 3.5	CLS_Travi Alte_Esist	0	7270	0	0	0	0	0	0	Trave	155	155
103	901	903	I-I	40x60	ClsRcm_1 3.5	CLS_Travi Alte_Esist	0	7070	0	0	0	0	0	0	Trave	403	403
103	903	34	I-I	40x60	ClsRcm_1 3.5	CLS_Travi Alte_Esist	0	7072	0	0	0	0	0	0	Trave	155	155
104	12	889	I-I	40x60	ClsRcm_1 3.5	CLS_Travi Alte_Esist	0	9890	0	0	0	0	0	0	Trave	130	130
104	889	891	I-I	40x60	ClsRcm_1 3.5	CLS_Travi Alte_Esist	0	9090	0	0	0	0	0	0	Trave	400	400
104	891	20	I-I	40x60	ClsRcm_1 3.5	CLS_Travi Alte_Esist	0	9098	0	0	0	0	0	0	Trave	130	130
104	20	893	I-I	40x60	ClsRcm_1 3.5	CLS_Travi Alte_Esist	0	9890	0	0	0	0	0	0	Trave	155	155
104	893	894	I-I	40x60	ClsRcm_1 3.5	CLS_Travi Alte_Esist	0	9090	0	0	0	0	0	0	Trave	400	400
104	894	28	I-I	40x60	ClsRcm_1 3.5	CLS_Travi Alte_Esist	0	9098	0	0	0	0	0	0	Trave	155	155
104	28	897	I-I	40x60	ClsRcm_1 3.5	CLS_Travi Alte_Esist	0	9890	0	0	0	0	0	0	Trave	155	155
104	897	899	I-I	40x60	ClsRcm_1 3.5	CLS_Travi Alte_Esist	0	9090	0	0	0	0	0	0	Trave	403	403
104	899	30	I-I	40x60	ClsRcm_1 3.5	CLS_Travi Alte_Esist	0	9098	0	0	0	0	0	0	Trave	155	155
105	6	881	I-I	40x60	ClsRcm_1 3.5	CLS_Travi Alte_Esist	0	9800	0	0	0	0	-29	-25	Trave	125	125
105	881	884	I-I	40x60	ClsRcm_1 3.5	CLS_Travi Alte_Esist	0	0000	0	-29	-25	0	-57	-25	Trave	402	402
105	884	12	I-I	40x60	ClsRcm_1 3.5	CLS_Travi Alte_Esist	0	0095	0	-57	-25	0	0	0	Trave	125	125
106	2	905	I-I	40x60	ClsRcm_1 3.5	CLS_Travi Alte_Esist	0	9400	0	0	0	0	-29	-25	Trave	135	135

	Ni	Nf	Vinc.	Sez.	Mat.	Crit.pr.	Rot.	f.f.	xi	yi	zi	xf	yf	zf	Tipo	L2	L3
106	905	906	I-I	40x60	ClsRcm_1 3.5	CLS_Travi Alte_Esist	0	0000	0	-29	-25	0	-65	-25	Trave	403	403
106	906	10	I-I	40x60	ClsRcm_1 3.5	CLS_Travi Alte_Esist	0	0095	0	-65	-25	0	-5	0	Trave	135	135
107	10	874	I-I	40x60	ClsRcm_1 3.5	CLS_Travi Alte_Esist	0	9490	0	0	0	0	0	0	Trave	120	120
107	874	876	I-I	40x60	ClsRcm_1 3.5	CLS_Travi Alte_Esist	0	9090	0	0	0	0	0	0	Trave	400	400
107	876	6	I-I	40x60	ClsRcm_1 3.5	CLS_Travi Alte_Esist	0	9094	0	0	0	0	0	0	Trave	120	120
108	4	913	I-I	40x60	ClsRcm_1 3.5	CLS_Travi Alte_Esist	0	9490	0	0	0	0	0	0	Trave	350	350
108	913	909	I-I	40x60	ClsRcm_1 3.5	CLS_Travi Alte_Esist	0	9090	0	0	0	0	0	0	Trave	250	250
108	909	8	I-I	40x60	ClsRcm_1 3.5	CLS_Travi Alte_Esist	0	9094	0	0	0	0	0	0	Trave	70	70
108	8	12	I-I	40x60	ClsRcm_1 3.5	CLS_Travi Alte_Esist	0	9494	0	0	0	0	0	0	Trave	690	690
109	36	38	I-I	40x60	ClsRcm_1 3.5	CLS_Travi Alte_Esist	0	7272	0	0	0	0	0	0	Trave	645	645
110	16	914	I-I	40x60	ClsRcm_1 3.5	CLS_Travi Alte_Esist	0	9490	0	0	0	0	0	0	Trave	350	350
110	914	910	I-I	40x60	ClsRcm_1 3.5	CLS_Travi Alte_Esist	0	9090	0	0	0	0	0	0	Trave	250	250
110	910	18	I-I	40x60	ClsRcm_1 3.5	CLS_Travi Alte_Esist	0	9094	0	0	0	0	0	0	Trave	70	70
110	18	20	I-I	40x60	ClsRcm_1 3.5	CLS_Travi Alte_Esist	0	9494	0	0	0	0	0	0	Trave	690	690
111	26	28	I-I	40x60	ClsRcm_1 3.5	CLS_Travi Alte_Esist	0	8885	0	0	0	0	0	0	Trave	690	690
112	36	847	I-I	40x60	ClsRcm_1 3.5	CLS_Travi Alte_Esist	0	7670	0	0	0	0	0	0	Trave	85	85
112	847	849	I-I	40x60	ClsRcm_1 3.5	CLS_Travi Alte_Esist	0	7070	0	0	0	0	0	0	Trave	400	400
112	849	42	I-I	40x60	ClsRcm_1 3.5	CLS_Travi Alte_Esist	0	7076	0	0	0	0	0	0	Trave	85	85
112	42	34	I-I	40x60	ClsRcm_1 3.5	CLS_Travi Alte_Esist	0	7676	0	0	0	0	0	0	Trave	221	221
112	34	32	I-I	40x60	ClsRcm_1 3.5	CLS_Travi Alte_Esist	0	7676	0	0	0	0	0	0	Trave	500	500
112	32	30	I-I	40x60	ClsRcm_1 3.5	CLS_Travi Alte_Esist	0	7679	0	0	0	0	0	0	Trave	190	190
113	38	831	I-I	40x60	ClsRcm_1 3.5	CLS_Travi Alte_Esist	0	7670	0	0	0	0	0	0	Trave	85	85
113	831	832	I-I	40x60	ClsRcm_1 3.5	CLS_Travi Alte_Esist	0	7070	0	0	0	0	0	0	Trave	400	400
113	832	40	I-I	40x60	ClsRcm_1 3.5	CLS_Travi Alte_Esist	0	7076	0	0	0	0	0	0	Trave	85	85
113	40	834	I-I	40x60	ClsRcm_1 3.5	CLS_Travi Alte_Esist	0	7670	0	0	0	0	0	0	Trave	160	160
113	834	836	I-I	40x60	ClsRcm_1 3.5	CLS_Travi Alte_Esist	0	7070	0	0	0	0	0	0	Trave	400	400
113	836	44	I-I	40x60	ClsRcm_1 3.5	CLS_Travi Alte_Esist	0	7076	0	0	0	0	0	0	Trave	160	160
114	42	40	I-I	40x60	ClsRcm_1 3.5	CLS_Travi Alte_Esist	0	8585	0	0	0	0	0	0	Trave	645	645
115	32	841	I-I	40x60	ClsRcm_1 3.5	CLS_Travi Alte_Esist	0	9890	0	0	0	0	0	0	Trave	123	123
115	841	843	I-I	40x60	ClsRcm_1 3.5	CLS_Travi Alte_Esist	0	9090	0	0	0	0	0	0	Trave	400	400
115	843	44	I-I	40x60	ClsRcm_1 3.5	CLS_Travi Alte_Esist	0	9098	0	0	0	0	0	0	Trave	123	123
116	14	16	I-I	40x60	ClsRcm_1 3.5	CLS_Travi Alte_Esist	0	9494	0	0	0	0	0	40	Trave	120	120
116	16	28	I-I	40x50	ClsRcm_1 3.5	CLS_Travi Alte_Esist	0	7385	0	0	30	0	0	0	Trave	715	715
116	28	20	I-I	40x50	ClsRcm_1 3.5	CLS_Travi Alte_Esist	0	9197	0	0	0	0	0	0	Trave	733	733
201	20	18	I-I	40x50	ClsRcm_1 3.5	CLS_Travi Alte_Esist	0	7272	0	0	0	0	0	0	Trave	650	650
201	18	28	I-I	40x50	ClsRcm_1 3.5	CLS_Travi Alte_Esist	0	7272	0	0	0	0	0	0	Trave	660	660
201	28	36	I-I	40x50	ClsRcm_1 3.5	CLS_Travi Alte_Esist	0	7272	0	0	0	0	0	0	Trave	710	710
201	36	44	I-I	40x50	ClsRcm_1 3.5	CLS_Travi Alte_Esist	0	7272	0	0	0	0	0	0	Trave	713	713
202	24	32	I-I	40x60	ClsRcm_1 3.5	CLS_Travi Alte_Esist	0	7272	0	0	0	0	0	0	Trave	505	505
202	32	34	I-I	40x60	ClsRcm_1 3.5	CLS_Travi Alte_Esist	0	7272	0	0	0	0	0	0	Trave	420	420
202	34	46	I-I	40x60	ClsRcm_1 3.5	CLS_Travi Alte_Esist	0	7272	0	0	0	0	0	0	Trave	498	498
203	38	46	I-I	40x60	ClsRcm_1 3.5	CLS_Travi Alte_Esist	0	7272	0	0	0	0	0	0	Trave	710	710
203	46	54	I-I	40x60	ClsRcm_1	CLS_Travi	0	7272	0	0	0	0	0	0	Trave	713	713

	Ni	Nf	Vinc.	Sez.	Mat.	Crit.pr.	Rot.	f.f.	xi	yi	zi	xf	yf	zf	Tipo	L2	L3
					3.5	Alte_Esist											
204	46	54	I-I	40x60	ClsRcm_1 3.5	CLS_Travi Alte_Esist	0	8585	0	0	0	0	0	0	Trave	804	804
205	24	38	I-I	40x60	ClsRcm_1 3.5	CLS_Travi Alte_Esist	0	8585	0	0	0	0	0	0	Trave	804	804
206	10	802	I-I	80x20	ClsRcm_1 3.5	CLS_Travi Spessore_ Esist	15	9595	0	0	0	0	0	0	Trave	645	645
207	803	10	I-I	40x50	ClsRcm_1 3.5	CLS_Travi Alte_Esist	0	8585	0	0	0	0	0	0	Trave	645	645
8000	20	6	I-I	40x50	ClsRcm_1 3.5	CLS_Travi Alte_Esist	0	9197	0	0	0	0	0	0	Trave	688	688
8001	4	18	I-I	40x50	ClsRcm_1 3.5	CLS_Travi Alte_Esist	0	8585	0	0	0	0	0	0	Trave	715	715
8001	18	12	I-I	40x50	ClsRcm_1 3.5	CLS_Travi Alte_Esist	0	7679	0	0	0	0	0	0	Trave	733	733
8002	36	28	I-I	40x50	ClsRcm_1 3.5	CLS_Travi Alte_Esist	0	8585	0	0	0	0	0	0	Trave	733	733
8003	44	30	I-I	40x50	ClsRcm_1 3.5	CLS_Travi Alte_Esist	0	8585	0	0	0	0	0	0	Trave	733	733
8004	2	20	I-I	40x50	ClsRcm_1 3.5	CLS_Travi Alte_Esist	0	9476	0	0	0	0	0	0	Trave	718	718
8005	38	10	I-I	40x50	ClsRcm_1 3.5	CLS_Travi Alte_Esist	0	7373	0	0	0	0	0	0	Trave	610	610
8005	10	802	I-I	40x50	ClsRcm_1 3.5	CLS_Travi Alte_Esist	0	7375	0	0	0	0	0	0	Trave	81	81
8005	802	44	I-I	40x50	ClsRcm_1 3.5	CLS_Travi Alte_Esist	0	7079	0	0	0	0	0	0	Trave	692	692
8006	36	803	I-I	40x50	ClsRcm_1 3.5	CLS_Travi Alte_Esist	0	7373	0	0	0	0	0	0	Trave	610	610
8006	803	10	I-I	40x50	ClsRcm_1 3.5	CLS_Travi Alte_Esist	0	7370	0	0	0	0	0	0	Trave	81	81
8006	10	32	I-I	40x50	ClsRcm_1 3.5	CLS_Travi Alte_Esist	0	7085	0	0	0	0	0	0	Trave	692	692
9001	1	805	I-I	F40x70	ClsRcm_1 6.35	CLS_Travi Fondazion e_Esist	0	7270	0	0	0	0	0	0	Fond.	95	95
9001	805	807	I-I	F40x70	ClsRcm_1 6.35	CLS_Travi Fondazion e_Esist	0	7070	0	0	0	0	0	0	Fond.	400	400
9001	807	3	I-I	F40x70	ClsRcm_1 6.35	CLS_Travi Fondazion e_Esist	0	7072	0	0	0	0	0	0	Fond.	95	95
9001	3	814	I-I	F40x70	ClsRcm_1 6.35	CLS_Travi Fondazion e_Esist	0	7270	0	0	0	0	0	0	Fond.	130	130
9001	814	817	I-I	F40x70	ClsRcm_1 6.35	CLS_Travi Fondazion e_Esist	0	7070	0	0	0	0	0	0	Fond.	400	400
9001	817	15	I-I	F40x70	ClsRcm_1 6.35	CLS_Travi Fondazion e_Esist	0	7072	0	0	0	0	0	0	Fond.	130	130
9002	9	850	I-I	F40x70	ClsRcm_1 6.35	CLS_Travi Fondazion e_Esist	0	7270	0	0	0	0	0	0	Fond.	125	125
9002	850	853	I-I	F40x70	ClsRcm_1 6.35	CLS_Travi Fondazion e_Esist	0	7070	0	0	0	0	0	0	Fond.	400	400
9002	853	7	I-I	F40x70	ClsRcm_1 6.35	CLS_Travi Fondazion e_Esist	0	7072	0	0	0	0	0	0	Fond.	125	125
9002	7	856	I-I	F40x70	ClsRcm_1 6.35	CLS_Travi Fondazion e_Esist	0	7270	0	0	0	0	0	0	Fond.	130	130
9002	856	858	I-I	F40x70	ClsRcm_1 6.35	CLS_Travi Fondazion e_Esist	0	7070	0	0	0	0	0	0	Fond.	400	400
9002	858	17	I-I	F40x70	ClsRcm_1 6.35	CLS_Travi Fondazion e_Esist	0	7072	0	0	0	0	0	0	Fond.	130	130
9002	17	869	I-I	F40x70	ClsRcm_1 6.35	CLS_Travi Fondazion e_Esist	0	7270	0	0	0	0	0	0	Fond.	155	155
9002	869	871	I-I	F40x70	ClsRcm_1 6.35	CLS_Travi Fondazion e_Esist	0	7070	0	0	0	0	0	0	Fond.	400	400
9002	871	25	I-I	F40x70	ClsRcm_1 6.35	CLS_Travi Fondazion e_Esist	0	7072	0	0	0	0	0	0	Fond.	155	155
9002	25	900	I-I	F40x70	ClsRcm_1 6.35	CLS_Travi Fondazion e_Esist	0	7270	0	0	0	0	0	0	Fond.	155	155
9002	900	902	I-I	F40x70	ClsRcm_1 6.35	CLS_Travi Fondazion e_Esist	0	7070	0	0	0	0	0	0	Fond.	403	403
9002	902	2	I-I	F40x70	ClsRcm_1	CLS_Travi	0	7072	0	0	0	0	0	0	Fond.	155	155

	Ni	Nf	Vinc.	Sez.	Mat.	Crit.pr.	Rot.	f.f.	xi	yi	zi	xf	yf	zf	Tipo	L2	L3
					6.35	Fondazion e_Esist											
9003	4	888	I-I	F40x70	ClcRcm_1 6.35	CLS_Travi Fondazion e_Esist	0	9890	0	0	0	0	0	0	Fond.	130	130
9003	888	890	I-I	F40x70	ClcRcm_1 6.35	CLS_Travi Fondazion e_Esist	0	9090	0	0	0	0	0	0	Fond.	400	400
9003	890	5	I-I	F40x70	ClcRcm_1 6.35	CLS_Travi Fondazion e_Esist	0	9098	0	0	0	0	0	0	Fond.	130	130
9003	5	892	I-I	F40x70	ClcRcm_1 6.35	CLS_Travi Fondazion e_Esist	0	9890	0	0	0	0	0	0	Fond.	155	155
9003	892	895	I-I	F40x70	ClcRcm_1 6.35	CLS_Travi Fondazion e_Esist	0	9090	0	0	0	0	0	0	Fond.	400	400
9003	895	6	I-I	F40x70	ClcRcm_1 6.35	CLS_Travi Fondazion e_Esist	0	9098	0	0	0	0	0	0	Fond.	155	155
9003	6	896	I-I	F40x70	ClcRcm_1 6.35	CLS_Travi Fondazion e_Esist	0	9890	0	0	0	0	0	0	Fond.	155	155
9003	896	898	I-I	F40x70	ClcRcm_1 6.35	CLS_Travi Fondazion e_Esist	0	9090	0	0	0	0	0	0	Fond.	403	403
9003	898	7	I-I	F40x70	ClcRcm_1 6.35	CLS_Travi Fondazion e_Esist	0	9098	0	0	0	0	0	0	Fond.	155	155
9004	3	882	I-I	F40x70	ClcRcm_1 6.35	CLS_Travi Fondazion e_Esist	0	9800	0	0	0	0	-30	-35	Fond.	125	125
9004	882	883	I-I	F40x70	ClcRcm_1 6.35	CLS_Travi Fondazion e_Esist	0	0000	19	-30	-35	0	-58	-35	Fond.	402	402
9004	883	4	I-I	F40x70	ClcRcm_1 6.35	CLS_Travi Fondazion e_Esist	0	0095	17	-58	-35	0	0	0	Fond.	125	125
9005	1	904	I-I	F40x70	ClcRcm_1 6.35	CLS_Travi Fondazion e_Esist	0	9400	0	0	0	0	-32	-35	Fond.	135	135
9005	904	907	I-I	F40x70	ClcRcm_1 6.35	CLS_Travi Fondazion e_Esist	0	0000	0	-32	-35	0	-62	-35	Fond.	403	403
9005	907	9	I-I	F40x70	ClcRcm_1 6.35	CLS_Travi Fondazion e_Esist	0	0095	0	-62	-35	0	0	0	Fond.	135	135
9006	9	875	I-I	F40x70	ClcRcm_1 6.35	CLS_Travi Fondazion e_Esist	0	9490	0	0	0	0	0	0	Fond.	120	120
9006	875	877	I-I	F40x70	ClcRcm_1 6.35	CLS_Travi Fondazion e_Esist	0	9090	0	0	0	0	0	0	Fond.	400	400
9006	877	3	I-I	F40x70	ClcRcm_1 6.35	CLS_Travi Fondazion e_Esist	0	9094	0	0	0	0	0	0	Fond.	120	120
9007	3	912	I-I	F40x70	ClcRcm_1 6.35	CLS_Travi Fondazion e_Esist	0	9490	0	0	0	0	0	0	Fond.	350	350
9007	912	908	I-I	F40x70	ClcRcm_1 6.35	CLS_Travi Fondazion e_Esist	0	9090	0	0	0	0	0	0	Fond.	250	250
9007	908	7	I-I	F40x70	ClcRcm_1 6.35	CLS_Travi Fondazion e_Esist	0	9094	0	0	0	0	0	0	Fond.	70	70
9007	7	4	I-I	F40x70	ClcRcm_1 6.35	CLS_Travi Fondazion e_Esist	0	9494	0	0	0	0	0	0	Fond.	690	690
9008	13	21	I-I	F40x70	ClcRcm_1 6.35	CLS_Travi Fondazion e_Esist	0	7272	0	0	0	0	0	0	Fond.	505	505
9008	21	23	I-I	F40x70	ClcRcm_1 6.35	CLS_Travi Fondazion e_Esist	0	7272	0	0	0	0	0	0	Fond.	420	420
9008	23	35	I-I	F40x70	ClcRcm_1 6.35	CLS_Travi Fondazion e_Esist	0	7272	0	0	0	0	0	0	Fond.	498	498
9008	35	37	I-I	F40x70	ClcRcm_1 6.35	CLS_Travi Fondazion e_Esist	0	7272	0	0	0	0	0	0	Fond.	645	645
9009	13	15	I-I	F40x70	ClcRcm_1 6.35	CLS_Travi Fondazion e_Esist	0	9494	0	0	0	0	0	0	Fond.	120	120
9009	15	915	I-I	F40x70	ClcRcm_1 6.35	CLS_Travi Fondazion e_Esist	0	9490	0	0	0	0	0	0	Fond.	350	350

	Ni	Nf	Vinc.	Sez.	Mat.	Crit.pr.	Rot.	f.f.	xi	yi	zi	xf	yf	zf	Tipo	L2	L3
9009	915	911	I-I	F40x70	ClsRcm_1 6.35	CLS_Travi Fondazion e_Esist	0	9090	0	0	0	0	0	0	Fond.	250	250
9009	911	17	I-I	F40x70	ClsRcm_1 6.35	CLS_Travi Fondazion e_Esist	0	9094	0	0	0	0	0	0	Fond.	70	70
9009	17	5	I-I	F40x70	ClsRcm_1 6.35	CLS_Travi Fondazion e_Esist	0	9494	0	0	0	0	0	0	Fond.	690	690
9010	25	6	I-I	F40x70	ClsRcm_1 6.35	CLS_Travi Fondazion e_Esist	0	8885	0	0	0	0	0	0	Fond.	690	690
9011	35	846	I-I	F40x70	ClsRcm_1 6.35	CLS_Travi Fondazion e_Esist	0	7670	0	0	0	0	0	0	Fond.	85	85
9011	846	848	I-I	F40x70	ClsRcm_1 6.35	CLS_Travi Fondazion e_Esist	0	7070	0	0	0	0	0	0	Fond.	400	400
9011	848	41	I-I	F40x70	ClsRcm_1 6.35	CLS_Travi Fondazion e_Esist	0	7076	0	0	0	0	0	0	Fond.	85	85
9011	41	2	I-I	F40x70	ClsRcm_1 6.35	CLS_Travi Fondazion e_Esist	0	7676	0	0	0	0	0	0	Fond.	220	220
9011	2	8	I-I	F40x70	ClsRcm_1 6.35	CLS_Travi Fondazion e_Esist	0	7676	0	0	0	0	0	0	Fond.	499	499
9011	8	7	I-I	F40x70	ClsRcm_1 6.35	CLS_Travi Fondazion e_Esist	0	7679	0	0	0	0	0	0	Fond.	190	190
9012	37	830	I-I	F40x70	ClsRcm_1 6.35	CLS_Travi Fondazion e_Esist	0	7670	0	0	0	0	0	0	Fond.	85	85
9012	830	833	I-I	F40x70	ClsRcm_1 6.35	CLS_Travi Fondazion e_Esist	0	7070	0	0	0	0	0	0	Fond.	400	400
9012	833	1	I-I	F40x70	ClsRcm_1 6.35	CLS_Travi Fondazion e_Esist	0	7076	0	0	0	0	0	0	Fond.	85	85
9012	1	835	I-I	F40x70	ClsRcm_1 6.35	CLS_Travi Fondazion e_Esist	0	7670	0	0	0	0	0	0	Fond.	160	160
9012	835	837	I-I	F40x70	ClsRcm_1 6.35	CLS_Travi Fondazion e_Esist	0	7070	0	0	0	0	0	0	Fond.	400	400
9012	837	9	I-I	F40x70	ClsRcm_1 6.35	CLS_Travi Fondazion e_Esist	0	7076	0	0	0	0	0	0	Fond.	160	160
9013	41	1	I-I	F40x70	ClsRcm_1 6.35	CLS_Travi Fondazion e_Esist	0	8585	0	0	0	0	0	0	Fond.	645	645
9014	8	840	I-I	F40x70	ClsRcm_1 6.35	CLS_Travi Fondazion e_Esist	0	9890	0	0	0	0	0	0	Fond.	123	123
9014	840	842	I-I	F40x70	ClsRcm_1 6.35	CLS_Travi Fondazion e_Esist	0	9090	0	0	0	0	0	0	Fond.	400	400
9014	842	9	I-I	F40x70	ClsRcm_1 6.35	CLS_Travi Fondazion e_Esist	0	9098	0	0	0	0	0	0	Fond.	123	123

Aste - Carichi

Descrizione carichi aste

UnifG	Uniforme globale
UnifL	Uniforme locale
VarG	Variabile lineare globale
VarL	Variabile lineare locale
PolG	Poligonale globale
Termico	Distorsione termica
Torcente	Carico torcente
Precomp.	Carico da precompressione
PolL	Poligonale locale

Sezione	Ni	Nf	Cond.	Tipo c.	Xi	QXi	QYi	QZi	Xf	QXf	QYf	QZf
---------	----	----	-------	---------	----	-----	-----	-----	----	-----	-----	-----

Sezione	Ni	Nf	Cond.	Tipo c.	Xi	QXi	QYi	QZi	Xf	QXf	QYf	QZf
					cm	car. dist. kg/m coppie torc. kg*m/m			cm	car. dist. kg/m coppie torc. kg*m/m		
Pilastro 1												
40x40	1	820	Peso Proprio	UnifG	0	0	0	400	80	0	0	400
40x40	40	10	Peso Proprio	UnifG	0	0	0	400	219	0	0	400
40x40	820	826	Peso Proprio	UnifG	0	0	0	400	300	0	0	400
40x40	826	40	Peso Proprio	UnifG	0	0	0	400	80	0	0	400
Pilastro 2												
40x40	2	844	Peso Proprio	UnifG	0	0	0	400	80	0	0	400
40x40	34	44	Peso Proprio	UnifG	0	0	0	400	250	0	0	400
40x40	44	54	Peso Proprio	UnifG	0	0	0	400	150	0	0	400
40x40	844	845	Peso Proprio	UnifG	0	0	0	400	300	0	0	400
40x40	845	34	Peso Proprio	UnifG	0	0	0	400	80	0	0	400
Pilastro 3												
40x40	3	872	Peso Proprio	UnifG	0	0	0	400	80	0	0	400
40x40	872	873	Peso Proprio	UnifG	0	0	0	400	300	0	0	400
40x40	873	6	Peso Proprio	UnifG	0	0	0	400	80	0	0	400
Pilastro 4												
40x90	4	880	Peso Proprio	UnifG	0	0	0	900	80	0	0	900
40x90	880	885	Peso Proprio	UnifG	0	0	0	900	300	0	0	900
40x90	885	12	Peso Proprio	UnifG	0	0	0	900	80	0	0	900
Pilastro 5												
40x40	5	879	Peso Proprio	UnifG	0	0	0	400	80	0	0	400
40x40	879	886	Peso Proprio	UnifG	0	0	0	400	300	0	0	400
40x40	886	20	Peso Proprio	UnifG	0	0	0	400	80	0	0	400
Pilastro 6												
40x40	6	878	Peso Proprio	UnifG	0	0	0	400	80	0	0	400
40x40	878	887	Peso Proprio	UnifG	0	0	0	400	300	0	0	400
40x40	887	28	Peso Proprio	UnifG	0	0	0	400	80	0	0	400
Pilastro 7												
40x40	7	862	Peso Proprio	UnifG	0	0	0	400	80	0	0	400
40x40	8	18	Peso Proprio	UnifG	0	0	0	400	250	0	0	400
40x40	855	8	Peso Proprio	UnifG	0	0	0	400	80	0	0	400
40x40	862	855	Peso Proprio	UnifG	0	0	0	400	300	0	0	400
Pilastro 8												
40x40	8	822	Peso Proprio	UnifG	0	0	0	400	80	0	0	400
40x40	822	828	Peso Proprio	UnifG	0	0	0	400	300	0	0	400
40x40	828	32	Peso Proprio	UnifG	0	0	0	400	80	0	0	400
Pilastro 9												
100x40	9	861	Peso Proprio	UnifG	0	0	0	1000	80	0	0	1000
100x40	10	20	Peso Proprio	UnifG	0	0	0	1000	250	0	0	1000
100x40	854	10	Peso Proprio	UnifG	0	0	0	1000	80	0	0	1000
100x40	861	854	Peso Proprio	UnifG	0	0	0	1000	300	0	0	1000
Pilastro 10												
40x40	9	821	Peso Proprio	UnifG	0	0	0	400	80	0	0	400
40x40	821	827	Peso Proprio	UnifG	0	0	0	400	300	0	0	400
40x40	827	44	Peso Proprio	UnifG	0	0	0	400	80	0	0	400
Pilastro 11												
40x40	7	823	Peso Proprio	UnifG	0	0	0	400	80	0	0	400
40x40	823	829	Peso Proprio	UnifG	0	0	0	400	300	0	0	400
40x40	829	30	Peso Proprio	UnifG	0	0	0	400	80	0	0	400
Pilastro 12												
40x40	1	809	Peso Proprio	UnifG	0	0	0	400	80	0	0	400
40x40	809	811	Peso Proprio	UnifG	0	0	0	400	300	0	0	400
40x40	811	2	Peso Proprio	UnifG	0	0	0	400	80	0	0	400
Pilastro 13												
40x40	13	865	Peso Proprio	UnifG	0	0	0	400	80	0	0	400
40x40	14	24	Peso Proprio	UnifG	0	0	0	400	250	0	0	400
40x40	865	866	Peso Proprio	UnifG	0	0	0	400	300	0	0	400
40x40	866	14	Peso Proprio	UnifG	0	0	0	400	80	0	0	400
Pilastro 14												
40x40	3	808	Peso Proprio	UnifG	0	0	0	400	80	0	0	400
40x40	808	812	Peso Proprio	UnifG	0	0	0	400	300	0	0	400
40x40	812	4	Peso Proprio	UnifG	0	0	0	400	80	0	0	400
Pilastro 15												
40x40	15	810	Peso Proprio	UnifG	0	0	0	400	80	0	0	400

Sezione	Ni	Nf	Cond.	Tipo c.	Xi	QXi	QYi	QZi	Xf	QXf	QYf	QZf
40x40	810	813	Peso Proprio	UnifG	0	0	0	400	300	0	0	400
40x40	813	16	Peso Proprio	UnifG	0	0	0	400	80	0	0	400
Pilastro 17												
40x40	17	863	Peso Proprio	UnifG	0	0	0	400	80	0	0	400
40x40	18	28	Peso Proprio	UnifG	0	0	0	400	250	0	0	400
40x40	28	38	Peso Proprio	UnifG	0	0	0	400	150	0	0	400
40x40	860	18	Peso Proprio	UnifG	0	0	0	400	80	0	0	400
40x40	863	860	Peso Proprio	UnifG	0	0	0	400	300	0	0	400
Pilastro 21												
40x40	21	22	Peso Proprio	UnifG	0	0	0	400	460	0	0	400
40x40	22	32	Peso Proprio	UnifG	0	0	0	400	250	0	0	400
Pilastro 23												
40x40	23	24	Peso Proprio	UnifG	0	0	0	400	460	0	0	400
40x40	24	34	Peso Proprio	UnifG	0	0	0	400	250	0	0	400
Pilastro 25												
40x40	25	864	Peso Proprio	UnifG	0	0	0	400	80	0	0	400
40x40	26	36	Peso Proprio	UnifG	0	0	0	400	250	0	0	400
40x40	36	46	Peso Proprio	UnifG	0	0	0	400	150	0	0	400
40x40	864	867	Peso Proprio	UnifG	0	0	0	400	300	0	0	400
40x40	867	26	Peso Proprio	UnifG	0	0	0	400	80	0	0	400
Pilastro 35												
40x40	35	818	Peso Proprio	UnifG	0	0	0	400	80	0	0	400
40x40	36	46	Peso Proprio	UnifG	0	0	0	400	250	0	0	400
40x40	818	824	Peso Proprio	UnifG	0	0	0	400	300	0	0	400
40x40	824	36	Peso Proprio	UnifG	0	0	0	400	80	0	0	400
Pilastro 37												
40x40	37	819	Peso Proprio	UnifG	0	0	0	400	80	0	0	400
40x40	819	825	Peso Proprio	UnifG	0	0	0	400	300	0	0	400
40x40	825	38	Peso Proprio	UnifG	0	0	0	400	80	0	0	400
Pilastro 41												
40x40	41	838	Peso Proprio	UnifG	0	0	0	400	80	0	0	400
40x40	42	803	Peso Proprio	UnifG	0	0	0	400	219	0	0	400
40x40	838	839	Peso Proprio	UnifG	0	0	0	400	300	0	0	400
40x40	839	42	Peso Proprio	UnifG	0	0	0	400	80	0	0	400
Trave 101												
40x60	2	804	Peso Proprio	UnifG	0	0	0	600	75	0	0	600
40x60	2	804	QP Solai	PolG	0	0	0	838	95	0	0	838
40x60	2	804	QFissi Solai	PolG	0	0	0	838	95	0	0	838
40x60	2	804	QV Solai	PolG	0	0	0	503	95	0	0	503
40x60	2	804	QV SolaiPsi0	PolG	0	0	0	352	95	0	0	352
40x60	2	804	QV SolaiPsi1	PolG	0	0	0	251	95	0	0	251
40x60	2	804	QV SolaiPsi2	PolG	0	0	0	151	95	0	0	151
40x60	4	815	Peso Proprio	UnifG	0	0	0	600	110	0	0	600
40x60	4	815	QP Solai	PolG	0	0	0	838	130	0	0	838
40x60	4	815	QFissi Solai	PolG	0	0	0	838	130	0	0	838
40x60	4	815	QV Solai	PolG	0	0	0	503	130	0	0	503
40x60	4	815	QV SolaiPsi0	PolG	0	0	0	352	130	0	0	352
40x60	4	815	QV SolaiPsi1	PolG	0	0	0	251	130	0	0	251
40x60	4	815	QV SolaiPsi2	PolG	0	0	0	151	130	0	0	151
40x60	804	806	Peso Proprio	UnifG	0	0	0	600	400	0	0	600
40x60	804	806	QP Solai	PolG	0	0	0	838	400	0	0	838
40x60	804	806	QFissi Solai	PolG	0	0	0	838	400	0	0	838
40x60	804	806	QV Solai	PolG	0	0	0	503	400	0	0	503
40x60	804	806	QV SolaiPsi0	PolG	0	0	0	352	400	0	0	352
40x60	804	806	QV SolaiPsi1	PolG	0	0	0	251	400	0	0	251
40x60	804	806	QV SolaiPsi2	PolG	0	0	0	151	400	0	0	151
40x60	806	4	Peso Proprio	UnifG	0	0	0	600	115	0	0	600
40x60	806	4	QP Solai	PolG	0	0	0	838	95	0	0	838
40x60	806	4	QFissi Solai	PolG	0	0	0	838	95	0	0	838
40x60	806	4	QV Solai	PolG	0	0	0	503	95	0	0	503
40x60	806	4	QV SolaiPsi0	PolG	0	0	0	352	95	0	0	352
40x60	806	4	QV SolaiPsi1	PolG	0	0	0	251	95	0	0	251
40x60	806	4	QV SolaiPsi2	PolG	0	0	0	151	95	0	0	151
40x60	815	816	Peso Proprio	UnifG	0	0	0	600	400	0	0	600
40x60	815	816	QP Solai	PolG	0	0	0	838	400	0	0	838
40x60	815	816	QFissi Solai	PolG	0	0	0	838	400	0	0	838

Sezione	Ni	Nf	Cond.	Tipo c.	Xi	QXi	QYi	QZi	Xf	QXf	QYf	QZf
40x60	815	816	QV Solai	PolG	0	0	0	503	400	0	0	503
40x60	815	816	QV SolaiPsi0	PolG	0	0	0	352	400	0	0	352
40x60	815	816	QV SolaiPsi1	PolG	0	0	0	251	400	0	0	251
40x60	815	816	QV SolaiPsi2	PolG	0	0	0	151	400	0	0	151
40x60	816	16	Peso Proprio	UnifG	0	0	0	600	150	0	0	600
40x60	816	16	QP Solai	PolG	0	0	0	838	130	0	0	838
40x60	816	16	QFissi Solai	PolG	0	0	0	838	130	0	0	838
40x60	816	16	QV Solai	PolG	0	0	0	503	130	0	0	503
40x60	816	16	QV SolaiPsi0	PolG	0	0	0	352	130	0	0	352
40x60	816	16	QV SolaiPsi1	PolG	0	0	0	251	130	0	0	251
40x60	816	16	QV SolaiPsi2	PolG	0	0	0	151	130	0	0	151
Trave 102												
40x60	10	851	Peso Proprio	UnifG	0	0	0	600	75	0	0	600
40x60	10	851	QP Solai	PolG	0	0	0	801	12	0	0	970
					12	0	0	970	48	0	0	1475
					48	0	0	1475	60	0	0	1644
					60	0	0	1644	125	0	0	1650
40x60	10	851	QFissi Solai	PolG	0	0	0	801	12	0	0	970
					12	0	0	970	48	0	0	1475
					48	0	0	1475	60	0	0	1644
					60	0	0	1644	125	0	0	1650
40x60	10	851	QV Solai	PolG	0	0	0	480	12	0	0	582
					12	0	0	582	48	0	0	885
					48	0	0	885	60	0	0	986
					60	0	0	986	125	0	0	990
40x60	10	851	QV SolaiPsi0	PolG	0	0	0	336	12	0	0	407
					12	0	0	407	48	0	0	619
					48	0	0	619	60	0	0	690
					60	0	0	690	125	0	0	693
40x60	10	851	QV SolaiPsi1	PolG	0	0	0	240	12	0	0	291
					12	0	0	291	48	0	0	442
					48	0	0	442	60	0	0	493
					60	0	0	493	125	0	0	495
40x60	10	851	QV SolaiPsi2	PolG	0	0	0	144	12	0	0	175
					12	0	0	175	48	0	0	265
					48	0	0	265	60	0	0	296
					60	0	0	296	125	0	0	297
Trave 103												
40x60	8	857	Peso Proprio	UnifG	0	0	0	600	110	0	0	600
40x60	8	857	QP Solai	PolG	0	0	0	1699	130	0	0	1699
40x60	8	857	QFissi Solai	PolG	0	0	0	1699	130	0	0	1699
40x60	8	857	QV Solai	PolG	0	0	0	1020	130	0	0	1020
40x60	8	857	QV SolaiPsi0	PolG	0	0	0	714	130	0	0	714
40x60	8	857	QV SolaiPsi1	PolG	0	0	0	510	130	0	0	510
40x60	8	857	QV SolaiPsi2	PolG	0	0	0	306	130	0	0	306
40x60	18	868	Peso Proprio	UnifG	0	0	0	600	135	0	0	600
40x60	18	868	QP Solai	PolG	0	0	0	862	155	0	0	862
40x60	18	868	QFissi Solai	PolG	0	0	0	862	155	0	0	862
40x60	18	868	QV Solai	PolG	0	0	0	517	155	0	0	517
40x60	18	868	QV SolaiPsi0	PolG	0	0	0	362	155	0	0	362
40x60	18	868	QV SolaiPsi1	PolG	0	0	0	259	155	0	0	259
40x60	18	868	QV SolaiPsi2	PolG	0	0	0	155	155	0	0	155
40x60	26	901	Peso Proprio	UnifG	0	0	0	600	155	0	0	600
40x60	26	901	QP Solai	PolG	0	0	0	862	155	0	0	862
40x60	26	901	QFissi Solai	PolG	0	0	0	862	155	0	0	862
40x60	26	901	QV Solai	PolG	0	0	0	517	155	0	0	517
40x60	26	901	QV SolaiPsi0	PolG	0	0	0	362	155	0	0	362
40x60	26	901	QV SolaiPsi1	PolG	0	0	0	259	155	0	0	259
40x60	26	901	QV SolaiPsi2	PolG	0	0	0	155	155	0	0	155
40x60	851	852	Peso Proprio	UnifG	0	0	0	600	400	0	0	600
40x60	851	852	QP Solai	PolG	0	0	0	1650	400	0	0	1688
40x60	851	852	QFissi Solai	PolG	0	0	0	1650	400	0	0	1688
40x60	851	852	QV Solai	PolG	0	0	0	990	400	0	0	1013
40x60	851	852	QV SolaiPsi0	PolG	0	0	0	693	400	0	0	709
40x60	851	852	QV SolaiPsi1	PolG	0	0	0	495	400	0	0	506
40x60	851	852	QV SolaiPsi2	PolG	0	0	0	297	400	0	0	304

Sezione	Ni	Nf	Cond.	Tipo c.	Xi	QXi	QYi	QZi	Xf	QXf	QYf	QZf
40x60	852	8	Peso Proprio	UnifG	0	0	0	600	145	0	0	600
40x60	852	8	QP Solai	PolG	0	0	0	1688	125	0	0	1699
40x60	852	8	QFissi Solai	PolG	0	0	0	1688	125	0	0	1699
40x60	852	8	QV Solai	PolG	0	0	0	1013	125	0	0	1020
40x60	852	8	QV SolaiPsi0	PolG	0	0	0	709	125	0	0	714
40x60	852	8	QV SolaiPsi1	PolG	0	0	0	506	125	0	0	510
40x60	852	8	QV SolaiPsi2	PolG	0	0	0	304	125	0	0	306
40x60	857	859	Peso Proprio	UnifG	0	0	0	600	400	0	0	600
40x60	857	859	QP Solai	PolG	0	0	0	1699	400	0	0	1699
40x60	857	859	QFissi Solai	PolG	0	0	0	1699	400	0	0	1699
40x60	857	859	QV Solai	PolG	0	0	0	1020	400	0	0	1020
40x60	857	859	QV SolaiPsi0	PolG	0	0	0	714	400	0	0	714
40x60	857	859	QV SolaiPsi1	PolG	0	0	0	510	400	0	0	510
40x60	857	859	QV SolaiPsi2	PolG	0	0	0	306	400	0	0	306
40x60	859	18	Peso Proprio	UnifG	0	0	0	600	150	0	0	600
40x60	859	18	QP Solai	PolG	0	0	0	1699	130	0	0	1699
40x60	859	18	QFissi Solai	PolG	0	0	0	1699	130	0	0	1699
40x60	859	18	QV Solai	PolG	0	0	0	1020	130	0	0	1020
40x60	859	18	QV SolaiPsi0	PolG	0	0	0	714	130	0	0	714
40x60	859	18	QV SolaiPsi1	PolG	0	0	0	510	130	0	0	510
40x60	859	18	QV SolaiPsi2	PolG	0	0	0	306	130	0	0	306
40x60	868	870	Peso Proprio	UnifG	0	0	0	600	400	0	0	600
40x60	868	870	QP Solai	PolG	0	0	0	862	400	0	0	862
40x60	868	870	QFissi Solai	PolG	0	0	0	862	400	0	0	862
40x60	868	870	QV Solai	PolG	0	0	0	517	400	0	0	517
40x60	868	870	QV SolaiPsi0	PolG	0	0	0	362	400	0	0	362
40x60	868	870	QV SolaiPsi1	PolG	0	0	0	259	400	0	0	259
40x60	868	870	QV SolaiPsi2	PolG	0	0	0	155	400	0	0	155
40x60	870	26	Peso Proprio	UnifG	0	0	0	600	155	0	0	600
40x60	870	26	QP Solai	PolG	0	0	0	862	155	0	0	862
40x60	870	26	QFissi Solai	PolG	0	0	0	862	155	0	0	862
40x60	870	26	QV Solai	PolG	0	0	0	517	155	0	0	517
40x60	870	26	QV SolaiPsi0	PolG	0	0	0	362	155	0	0	362
40x60	870	26	QV SolaiPsi1	PolG	0	0	0	259	155	0	0	259
40x60	870	26	QV SolaiPsi2	PolG	0	0	0	155	155	0	0	155
40x60	901	903	Peso Proprio	UnifG	0	0	0	600	403	0	0	600
40x60	901	903	QP Solai	PolG	0	0	0	862	403	0	0	862
40x60	901	903	QFissi Solai	PolG	0	0	0	862	403	0	0	862
40x60	901	903	QV Solai	PolG	0	0	0	517	403	0	0	517
40x60	901	903	QV SolaiPsi0	PolG	0	0	0	362	403	0	0	362
40x60	901	903	QV SolaiPsi1	PolG	0	0	0	259	403	0	0	259
40x60	901	903	QV SolaiPsi2	PolG	0	0	0	155	403	0	0	155
40x60	903	34	Peso Proprio	UnifG	0	0	0	600	135	0	0	600
40x60	903	34	QP Solai	PolG	0	0	0	862	155	0	0	862
40x60	903	34	QFissi Solai	PolG	0	0	0	862	155	0	0	862
40x60	903	34	QV Solai	PolG	0	0	0	517	155	0	0	517
40x60	903	34	QV SolaiPsi0	PolG	0	0	0	362	155	0	0	362
40x60	903	34	QV SolaiPsi1	PolG	0	0	0	259	155	0	0	259
40x60	903	34	QV SolaiPsi2	PolG	0	0	0	155	155	0	0	155
Trave 104												
40x60	12	889	Peso Proprio	UnifG	0	0	0	600	110	0	0	600
40x60	12	889	QP Solai	PolG	0	0	0	862	130	0	0	862
40x60	12	889	QFissi Solai	PolG	0	0	0	862	130	0	0	862
40x60	12	889	QV Solai	PolG	0	0	0	517	130	0	0	517
40x60	12	889	QV SolaiPsi0	PolG	0	0	0	362	130	0	0	362
40x60	12	889	QV SolaiPsi1	PolG	0	0	0	259	130	0	0	259
40x60	12	889	QV SolaiPsi2	PolG	0	0	0	155	130	0	0	155
40x60	20	893	Peso Proprio	UnifG	0	0	0	600	135	0	0	600
40x60	20	893	QP Solai	PolG	0	0	0	862	155	0	0	862
40x60	20	893	QFissi Solai	PolG	0	0	0	862	155	0	0	862
40x60	20	893	QV Solai	PolG	0	0	0	517	155	0	0	517
40x60	20	893	QV SolaiPsi0	PolG	0	0	0	362	155	0	0	362
40x60	20	893	QV SolaiPsi1	PolG	0	0	0	259	155	0	0	259
40x60	20	893	QV SolaiPsi2	PolG	0	0	0	155	155	0	0	155
40x60	28	897	Peso Proprio	UnifG	0	0	0	600	155	0	0	600
40x60	28	897	QP Solai	PolG	0	0	0	862	155	0	0	862

Sezione	Ni	Nf	Cond.	Tipo c.	Xi	QXi	QYi	QZi	Xf	QXf	QYf	QZf
40x60	28	897	QFissi Solai	PolG	0	0	0	862	155	0	0	862
40x60	28	897	QV Solai	PolG	0	0	0	517	155	0	0	517
40x60	28	897	QV SolaiPsi0	PolG	0	0	0	362	155	0	0	362
40x60	28	897	QV SolaiPsi1	PolG	0	0	0	259	155	0	0	259
40x60	28	897	QV SolaiPsi2	PolG	0	0	0	155	155	0	0	155
40x60	889	891	Peso Proprio	UnifG	0	0	0	600	400	0	0	600
40x60	889	891	QP Solai	PolG	0	0	0	862	400	0	0	862
40x60	889	891	QFissi Solai	PolG	0	0	0	862	400	0	0	862
40x60	889	891	QV Solai	PolG	0	0	0	517	400	0	0	517
40x60	889	891	QV SolaiPsi0	PolG	0	0	0	362	400	0	0	362
40x60	889	891	QV SolaiPsi1	PolG	0	0	0	259	400	0	0	259
40x60	889	891	QV SolaiPsi2	PolG	0	0	0	155	400	0	0	155
40x60	891	20	Peso Proprio	UnifG	0	0	0	600	150	0	0	600
40x60	891	20	QP Solai	PolG	0	0	0	862	130	0	0	862
40x60	891	20	QFissi Solai	PolG	0	0	0	862	130	0	0	862
40x60	891	20	QV Solai	PolG	0	0	0	517	130	0	0	517
40x60	891	20	QV SolaiPsi0	PolG	0	0	0	362	130	0	0	362
40x60	891	20	QV SolaiPsi1	PolG	0	0	0	259	130	0	0	259
40x60	891	20	QV SolaiPsi2	PolG	0	0	0	155	130	0	0	155
40x60	893	894	Peso Proprio	UnifG	0	0	0	600	400	0	0	600
40x60	893	894	QP Solai	PolG	0	0	0	862	400	0	0	862
40x60	893	894	QFissi Solai	PolG	0	0	0	862	400	0	0	862
40x60	893	894	QV Solai	PolG	0	0	0	517	400	0	0	517
40x60	893	894	QV SolaiPsi0	PolG	0	0	0	362	400	0	0	362
40x60	893	894	QV SolaiPsi1	PolG	0	0	0	259	400	0	0	259
40x60	893	894	QV SolaiPsi2	PolG	0	0	0	155	400	0	0	155
40x60	894	28	Peso Proprio	UnifG	0	0	0	600	155	0	0	600
40x60	894	28	QP Solai	PolG	0	0	0	862	155	0	0	862
40x60	894	28	QFissi Solai	PolG	0	0	0	862	155	0	0	862
40x60	894	28	QV Solai	PolG	0	0	0	517	155	0	0	517
40x60	894	28	QV SolaiPsi0	PolG	0	0	0	362	155	0	0	362
40x60	894	28	QV SolaiPsi1	PolG	0	0	0	259	155	0	0	259
40x60	894	28	QV SolaiPsi2	PolG	0	0	0	155	155	0	0	155
40x60	897	899	Peso Proprio	UnifG	0	0	0	600	403	0	0	600
40x60	897	899	QP Solai	PolG	0	0	0	862	403	0	0	862
40x60	897	899	QFissi Solai	PolG	0	0	0	862	403	0	0	862
40x60	897	899	QV Solai	PolG	0	0	0	517	403	0	0	517
40x60	897	899	QV SolaiPsi0	PolG	0	0	0	362	403	0	0	362
40x60	897	899	QV SolaiPsi1	PolG	0	0	0	259	403	0	0	259
40x60	897	899	QV SolaiPsi2	PolG	0	0	0	155	403	0	0	155
40x60	899	30	Peso Proprio	UnifG	0	0	0	600	135	0	0	600
40x60	899	30	QP Solai	PolG	0	0	0	862	155	0	0	862
40x60	899	30	QFissi Solai	PolG	0	0	0	862	155	0	0	862
40x60	899	30	QV Solai	PolG	0	0	0	517	155	0	0	517
40x60	899	30	QV SolaiPsi0	PolG	0	0	0	362	155	0	0	362
40x60	899	30	QV SolaiPsi1	PolG	0	0	0	259	155	0	0	259
40x60	899	30	QV SolaiPsi2	PolG	0	0	0	155	155	0	0	155
Trave 105												
40x60	6	881	Peso Proprio	UnifG	0	0	0	600	105	0	0	600
40x60	6	881	QP Solai	PolG	0	0	0	851	125	0	0	852
40x60	6	881	QFissi Solai	PolG	0	0	0	838	125	0	0	842
40x60	6	881	QV Solai	PolG	0	0	0	518	125	0	0	518
40x60	6	881	QV SolaiPsi0	PolG	0	0	0	335	125	0	0	340
40x60	6	881	QV SolaiPsi1	PolG	0	0	0	240	125	0	0	243
40x60	6	881	QV SolaiPsi2	PolG	0	0	0	144	125	0	0	146
40x60	6	881	Neve SX	PolG	0	0	0	21	125	0	0	17
40x60	881	884	Peso Proprio	UnifG	0	0	0	600	403	0	0	600
40x60	881	884	QP Solai	PolG	0	0	0	853	402	0	0	858
40x60	881	884	QFissi Solai	PolG	0	0	0	842	402	0	0	855
40x60	881	884	QV Solai	PolG	0	0	0	518	402	0	0	516
40x60	881	884	QV SolaiPsi0	PolG	0	0	0	340	402	0	0	356
40x60	881	884	QV SolaiPsi1	PolG	0	0	0	243	402	0	0	254
40x60	881	884	QV SolaiPsi2	PolG	0	0	0	146	402	0	0	153
40x60	881	884	Neve SX	PolG	0	0	0	17	402	0	0	4
40x60	884	12	Peso Proprio	UnifG	0	0	0	600	142	0	0	600
40x60	884	12	QP Solai	PolG	0	0	0	858	125	0	0	859

Sezione	Ni	Nf	Cond.	Tipo c.	Xi	QXi	QYi	QZi	Xf	QXf	QYf	QZf
40x60	884	12	QFissi Solai	PolG	0	0	0	855	125	0	0	859
40x60	884	12	QV Solai	PolG	0	0	0	516	125	0	0	516
40x60	884	12	QV SolaiPsi0	PolG	0	0	0	356	125	0	0	361
40x60	884	12	QV SolaiPsi1	PolG	0	0	0	254	125	0	0	258
40x60	884	12	QV SolaiPsi2	PolG	0	0	0	153	125	0	0	155
40x60	884	12	Neve SX	PolG	0	0	0	4	125	0	0	0
Trave 106												
40x60	2	905	Peso Proprio	UnifG	0	0	0	600	115	0	0	600
40x60	2	905	QP Solai	PolG	0	0	0	75	135	0	0	60
40x60	2	905	QFissi Solai	PolG	0	0	0	75	135	0	0	60
40x60	2	905	QV Solai	PolG	0	0	0	45	135	0	0	36
40x60	2	905	QV SolaiPsi0	PolG	0	0	0	31	135	0	0	25
40x60	2	905	QV SolaiPsi1	PolG	0	0	0	22	135	0	0	18
40x60	2	905	QV SolaiPsi2	PolG	0	0	0	13	135	0	0	11
40x60	905	906	Peso Proprio	UnifG	0	0	0	600	404	0	0	600
40x60	905	906	QP Solai	PolG	0	0	0	60	403	0	0	15
40x60	905	906	QFissi Solai	PolG	0	0	0	60	403	0	0	15
40x60	905	906	QV Solai	PolG	0	0	0	36	403	0	0	9
40x60	905	906	QV SolaiPsi0	PolG	0	0	0	25	403	0	0	6
40x60	905	906	QV SolaiPsi1	PolG	0	0	0	18	403	0	0	4
40x60	905	906	QV SolaiPsi2	PolG	0	0	0	11	403	0	0	3
40x60	906	10	Peso Proprio	UnifG	0	0	0	600	151	0	0	600
40x60	906	10	QP Solai	PolG	0	0	0	15	135	0	0	0
40x60	906	10	QFissi Solai	PolG	0	0	0	15	135	0	0	0
40x60	906	10	QV Solai	PolG	0	0	0	9	135	0	0	0
40x60	906	10	QV SolaiPsi0	PolG	0	0	0	6	135	0	0	0
40x60	906	10	QV SolaiPsi1	PolG	0	0	0	4	135	0	0	0
40x60	906	10	QV SolaiPsi2	PolG	0	0	0	3	135	0	0	0
Trave 107												
40x60	10	874	Peso Proprio	UnifG	0	0	0	600	100	0	0	600
40x60	874	876	Peso Proprio	UnifG	0	0	0	600	400	0	0	600
40x60	876	6	Peso Proprio	UnifG	0	0	0	600	100	0	0	600
Trave 108												
40x60	4	913	Peso Proprio	UnifG	0	0	0	600	330	0	0	600
40x60	8	12	Peso Proprio	UnifG	0	0	0	600	625	0	0	600
40x60	909	8	Peso Proprio	UnifG	0	0	0	600	90	0	0	600
40x60	913	909	Peso Proprio	UnifG	0	0	0	600	250	0	0	600
Trave 109												
40x60	36	38	Peso Proprio	UnifG	0	0	0	600	645	0	0	600
40x60	36	38	QP Solai	PolG	0	0	0	712	645	0	0	712
40x60	36	38	QFissi Solai	PolG	0	0	0	712	645	0	0	712
40x60	36	38	QV Solai	PolG	0	0	0	427	645	0	0	427
40x60	36	38	QV SolaiPsi0	PolG	0	0	0	299	645	0	0	299
40x60	36	38	QV SolaiPsi1	PolG	0	0	0	214	645	0	0	214
40x60	36	38	QV SolaiPsi2	PolG	0	0	0	128	645	0	0	128
Trave 110												
40x60	16	914	Peso Proprio	UnifG	0	0	0	600	330	0	0	600
40x60	18	20	Peso Proprio	UnifG	0	0	0	600	650	0	0	600
40x60	910	18	Peso Proprio	UnifG	0	0	0	600	90	0	0	600
40x60	914	910	Peso Proprio	UnifG	0	0	0	600	250	0	0	600
Trave 111												
40x60	26	28	Peso Proprio	UnifG	0	0	0	600	630	0	0	600
Trave 112												
40x60	32	30	Peso Proprio	UnifG	0	0	0	600	210	0	0	600
40x60	34	32	Peso Proprio	UnifG	0	0	0	600	460	0	0	600
40x60	36	847	Peso Proprio	UnifG	0	0	0	600	65	0	0	600
40x60	42	34	Peso Proprio	UnifG	0	0	0	600	221	0	0	600
40x60	847	849	Peso Proprio	UnifG	0	0	0	600	400	0	0	600
40x60	849	42	Peso Proprio	UnifG	0	0	0	600	105	0	0	600
Trave 113												
40x60	38	831	Peso Proprio	UnifG	0	0	0	600	65	0	0	600
40x60	40	834	Peso Proprio	UnifG	0	0	0	600	140	0	0	600
40x60	831	832	Peso Proprio	UnifG	0	0	0	600	400	0	0	600
40x60	832	40	Peso Proprio	UnifG	0	0	0	600	105	0	0	600
40x60	834	836	Peso Proprio	UnifG	0	0	0	600	400	0	0	600
40x60	836	44	Peso Proprio	UnifG	0	0	0	600	140	0	0	600

Sezione	Ni	Nf	Cond.	Tipo c.	Xi	QXi	QYi	QZi	Xf	QXf	QYf	QZf
Trave 114												
40x60	42	40	Peso Proprio	UnifG	0	0	0	600	645	0	0	600
40x60	42	40	QP Solai	PolG	0	0	0	1612	645	0	0	1612
40x60	42	40	QFissi Solai	PolG	0	0	0	1612	645	0	0	1612
40x60	42	40	QV Solai	PolG	0	0	0	967	645	0	0	967
40x60	42	40	QV SolaiPsi0	PolG	0	0	0	677	645	0	0	677
40x60	42	40	QV SolaiPsi1	PolG	0	0	0	484	645	0	0	484
40x60	42	40	QV SolaiPsi2	PolG	0	0	0	290	645	0	0	290
Trave 115												
40x60	32	841	Peso Proprio	UnifG	0	0	0	600	143	0	0	600
40x60	32	841	QP Solai	PolG	0	0	0	900	123	0	0	900
40x60	32	841	QFissi Solai	PolG	0	0	0	900	123	0	0	900
40x60	32	841	QV Solai	PolG	0	0	0	540	123	0	0	540
40x60	32	841	QV SolaiPsi0	PolG	0	0	0	378	123	0	0	378
40x60	32	841	QV SolaiPsi1	PolG	0	0	0	270	123	0	0	270
40x60	32	841	QV SolaiPsi2	PolG	0	0	0	162	123	0	0	162
40x60	841	843	Peso Proprio	UnifG	0	0	0	600	400	0	0	600
40x60	841	843	QP Solai	PolG	0	0	0	900	400	0	0	900
40x60	841	843	QFissi Solai	PolG	0	0	0	900	400	0	0	900
40x60	841	843	QV Solai	PolG	0	0	0	540	400	0	0	540
40x60	841	843	QV SolaiPsi0	PolG	0	0	0	378	400	0	0	378
40x60	841	843	QV SolaiPsi1	PolG	0	0	0	270	400	0	0	270
40x60	841	843	QV SolaiPsi2	PolG	0	0	0	162	400	0	0	162
40x60	843	44	Peso Proprio	UnifG	0	0	0	600	103	0	0	600
40x60	843	44	QP Solai	PolG	0	0	0	900	123	0	0	900
40x60	843	44	QFissi Solai	PolG	0	0	0	900	123	0	0	900
40x60	843	44	QV Solai	PolG	0	0	0	540	123	0	0	540
40x60	843	44	QV SolaiPsi0	PolG	0	0	0	378	123	0	0	378
40x60	843	44	QV SolaiPsi1	PolG	0	0	0	270	123	0	0	270
40x60	843	44	QV SolaiPsi2	PolG	0	0	0	162	123	0	0	162
Trave 116												
40x60	14	16	Peso Proprio	UnifG	0	0	0	600	126	0	0	600
40x50	16	28	Peso Proprio	UnifG	0	0	0	500	735	0	0	500
40x50	16	28	QP Solai	PolG	0	0	0	660	715	0	0	660
40x50	16	28	QFissi Solai	PolG	0	0	0	495	715	0	0	495
40x50	16	28	QV Solai	PolG	0	0	0	495	715	0	0	495
40x50	16	28	Neve DX	PolG	0	0	0	264	715	0	0	264
40x50	28	20	Peso Proprio	UnifG	0	0	0	500	733	0	0	500
40x50	28	20	QP Solai	PolG	0	0	0	1370	733	0	0	1370
40x50	28	20	QFissi Solai	PolG	0	0	0	1028	733	0	0	1028
40x50	28	20	QV Solai	PolG	0	0	0	1028	733	0	0	1028
40x50	28	20	Neve SX	PolG	0	0	0	264	733	0	0	264
40x50	28	20	Neve SX	PolG	0	0	0	284	733	0	0	284
Trave 201												
40x50	18	28	Peso Proprio	UnifG	0	0	0	500	660	0	0	500
40x50	20	18	Peso Proprio	UnifG	0	0	0	500	620	0	0	500
40x50	20	18	QP Solai	PolG	0	0	0	0	650	0	0	7
40x50	20	18	QFissi Solai	PolG	0	0	0	0	650	0	0	5
40x50	20	18	QV Solai	PolG	0	0	0	0	650	0	0	5
40x50	20	18	Neve SX	PolG	0	0	0	0	650	0	0	3
40x50	28	36	Peso Proprio	UnifG	0	0	0	500	690	0	0	500
40x50	36	44	Peso Proprio	UnifG	0	0	0	500	693	0	0	500
Trave 202												
40x60	24	32	Peso Proprio	UnifG	0	0	0	600	505	0	0	600
40x60	32	34	Peso Proprio	UnifG	0	0	0	600	380	0	0	600
40x60	34	46	Peso Proprio	UnifG	0	0	0	600	498	0	0	600
Trave 203												
40x60	38	46	Peso Proprio	UnifG	0	0	0	600	690	0	0	600
40x60	46	54	Peso Proprio	UnifG	0	0	0	600	693	0	0	600
Trave 204												
40x60	46	54	Peso Proprio	UnifG	0	0	0	600	804	0	0	600
Trave 205												
40x60	24	38	Peso Proprio	UnifG	0	0	0	600	804	0	0	600
Trave 206												
80x20	10	802	Peso Proprio	UnifG	0	0	0	400	645	0	0	400
Trave 207												

Sezione	Ni	Nf	Cond.	Tipo c.	Xi	QXi	QYi	QZi	Xf	QXf	QYf	QZf
40x50	803	10	Peso Proprio	UnifG	0	0	0	500	645	0	0	500
Trave 8000												
40x50	20	6	Peso Proprio	UnifG	0	0	0	500	688	0	0	500
40x50	20	6	QP Solai	PolG	0	0	0	0	7	0	0	650
					7	0	0	650	688	0	0	650
40x50	20	6	QFissi Solai	PolG	0	0	0	0	7	0	0	487
					7	0	0	487	688	0	0	488
40x50	20	6	QV Solai	PolG	0	0	0	0	7	0	0	487
					7	0	0	487	688	0	0	488
40x50	20	6	Neve SX	PolG	0	0	0	0	7	0	0	260
					7	0	0	260	688	0	0	260
Trave 8001												
40x50	4	18	Peso Proprio	UnifG	0	0	0	500	715	0	0	500
40x50	4	18	QP Solai	PolG	0	0	0	1250	715	0	0	1310
40x50	4	18	QFissi Solai	PolG	0	0	0	938	715	0	0	983
40x50	4	18	QV Solai	PolG	0	0	0	938	715	0	0	983
40x50	4	18	Neve DX	PolG	0	0	0	264	715	0	0	264
40x50	4	18	Neve DX	PolG	0	0	0	236	715	0	0	260
40x50	18	12	Peso Proprio	UnifG	0	0	0	500	715	0	0	500
40x50	18	12	QP Solai	PolG	0	0	0	1310	681	0	0	1310
					681	0	0	1310	691	0	0	1186
					691	0	0	1186	723	0	0	785
					723	0	0	785	733	0	0	660
40x50	18	12	QFissi Solai	PolG	0	0	0	983	681	0	0	983
					681	0	0	983	691	0	0	889
					691	0	0	889	723	0	0	589
					723	0	0	589	733	0	0	495
40x50	18	12	QV Solai	PolG	0	0	0	983	681	0	0	983
					681	0	0	983	691	0	0	889
					691	0	0	889	723	0	0	589
					723	0	0	589	733	0	0	495
40x50	18	12	Neve SX	PolG	0	0	0	260	681	0	0	260
					681	0	0	260	691	0	0	210
					691	0	0	210	723	0	0	50
					723	0	0	50	733	0	0	0
40x50	18	12	Neve SX	PolG	0	0	0	264	733	0	0	264
Trave 8002												
40x50	36	28	Peso Proprio	UnifG	0	0	0	500	696	0	0	500
40x50	36	28	QP Solai	PolG	0	0	0	1423	733	0	0	1423
40x50	36	28	QFissi Solai	PolG	0	0	0	1067	733	0	0	1067
40x50	36	28	QV Solai	PolG	0	0	0	1067	733	0	0	1067
40x50	36	28	Neve SX	PolG	0	0	0	285	733	0	0	285
40x50	36	28	Neve SX	PolG	0	0	0	284	733	0	0	284
Trave 8003												
40x50	44	30	Peso Proprio	UnifG	0	0	0	500	696	0	0	500
40x50	44	30	QP Solai	PolG	0	0	0	713	733	0	0	713
40x50	44	30	QFissi Solai	PolG	0	0	0	535	733	0	0	535
40x50	44	30	QV Solai	PolG	0	0	0	535	733	0	0	535
40x50	44	30	Neve SX	PolG	0	0	0	285	733	0	0	285
Trave 8004												
40x50	2	20	Peso Proprio	UnifG	0	0	0	500	712	0	0	500
40x50	2	20	QP Solai	PolG	0	0	0	588	718	0	0	648
40x50	2	20	QFissi Solai	PolG	0	0	0	441	718	0	0	486
40x50	2	20	QV Solai	PolG	0	0	0	441	718	0	0	486
40x50	2	20	Neve DX	PolG	0	0	0	235	718	0	0	259
Trave 8005												
40x50	10	802	Peso Proprio	UnifG	0	0	0	500	81	0	0	500
40x50	38	10	Peso Proprio	UnifG	0	0	0	500	610	0	0	500
40x50	38	10	QP Solai	PolG	0	0	0	645	610	0	0	645
40x50	38	10	QFissi Solai	PolG	0	0	0	484	610	0	0	484
40x50	38	10	QV Solai	PolG	0	0	0	484	610	0	0	484
40x50	38	10	Neve DX	PolG	0	0	0	258	610	0	0	258
40x50	802	44	Peso Proprio	UnifG	0	0	0	500	692	0	0	500
40x50	802	44	QP Solai	PolG	0	0	0	645	692	0	0	645
40x50	802	44	QFissi Solai	PolG	0	0	0	484	692	0	0	484
40x50	802	44	QV Solai	PolG	0	0	0	484	692	0	0	484

Sezione	Ni	Nf	Cond.	Tipo c.	Xi	QXi	QYi	QZi	Xf	QXf	QYf	QZf
40x50	802	44	Neve SX	PolG	0	0	0	258	692	0	0	258
Trave 8006												
40x50	10	32	Peso Proprio	UnifG	0	0	0	500	673	0	0	500
40x50	10	32	QP Solai	PolG	0	0	0	645	692	0	0	645
40x50	10	32	QFissi Solai	PolG	0	0	0	484	692	0	0	484
40x50	10	32	QV Solai	PolG	0	0	0	484	692	0	0	484
40x50	10	32	Neve SX	PolG	0	0	0	258	692	0	0	258
40x50	36	803	Peso Proprio	UnifG	0	0	0	500	610	0	0	500
40x50	36	803	QP Solai	PolG	0	0	0	645	610	0	0	645
40x50	36	803	QFissi Solai	PolG	0	0	0	484	610	0	0	484
40x50	36	803	QV Solai	PolG	0	0	0	484	610	0	0	484
40x50	36	803	Neve DX	PolG	0	0	0	258	610	0	0	258
40x50	803	10	Peso Proprio	UnifG	0	0	0	500	81	0	0	500
Fondazione 9001												
F40x70	1	805	Peso Proprio	UnifG	0	0	0	700	75	0	0	700
F40x70	3	814	Peso Proprio	UnifG	0	0	0	700	110	0	0	700
F40x70	805	807	Peso Proprio	UnifG	0	0	0	700	400	0	0	700
F40x70	807	3	Peso Proprio	UnifG	0	0	0	700	115	0	0	700
F40x70	814	817	Peso Proprio	UnifG	0	0	0	700	400	0	0	700
F40x70	817	15	Peso Proprio	UnifG	0	0	0	700	150	0	0	700
Fondazione 9002												
F40x70	7	856	Peso Proprio	UnifG	0	0	0	700	110	0	0	700
F40x70	9	850	Peso Proprio	UnifG	0	0	0	700	75	0	0	700
F40x70	17	869	Peso Proprio	UnifG	0	0	0	700	135	0	0	700
F40x70	25	900	Peso Proprio	UnifG	0	0	0	700	155	0	0	700
F40x70	850	853	Peso Proprio	UnifG	0	0	0	700	400	0	0	700
F40x70	853	7	Peso Proprio	UnifG	0	0	0	700	145	0	0	700
F40x70	856	858	Peso Proprio	UnifG	0	0	0	700	400	0	0	700
F40x70	858	17	Peso Proprio	UnifG	0	0	0	700	150	0	0	700
F40x70	869	871	Peso Proprio	UnifG	0	0	0	700	400	0	0	700
F40x70	871	25	Peso Proprio	UnifG	0	0	0	700	155	0	0	700
F40x70	900	902	Peso Proprio	UnifG	0	0	0	700	403	0	0	700
F40x70	902	2	Peso Proprio	UnifG	0	0	0	700	135	0	0	700
Fondazione 9003												
F40x70	4	888	Peso Proprio	UnifG	0	0	0	700	110	0	0	700
F40x70	5	892	Peso Proprio	UnifG	0	0	0	700	135	0	0	700
F40x70	6	896	Peso Proprio	UnifG	0	0	0	700	155	0	0	700
F40x70	888	890	Peso Proprio	UnifG	0	0	0	700	400	0	0	700
F40x70	890	5	Peso Proprio	UnifG	0	0	0	700	150	0	0	700
F40x70	892	895	Peso Proprio	UnifG	0	0	0	700	400	0	0	700
F40x70	895	6	Peso Proprio	UnifG	0	0	0	700	155	0	0	700
F40x70	896	898	Peso Proprio	UnifG	0	0	0	700	403	0	0	700
F40x70	898	7	Peso Proprio	UnifG	0	0	0	700	135	0	0	700
Fondazione 9004												
F40x70	3	882	Peso Proprio	UnifG	0	0	0	700	105	0	0	700
F40x70	882	883	Peso Proprio	UnifG	0	0	0	700	384	0	0	700
F40x70	883	4	Peso Proprio	UnifG	0	0	0	700	125	0	0	700
Fondazione 9005												
F40x70	1	904	Peso Proprio	UnifG	0	0	0	700	116	0	0	700
F40x70	904	907	Peso Proprio	UnifG	0	0	0	700	404	0	0	700
F40x70	907	9	Peso Proprio	UnifG	0	0	0	700	151	0	0	700
Fondazione 9006												
F40x70	9	875	Peso Proprio	UnifG	0	0	0	700	100	0	0	700
F40x70	875	877	Peso Proprio	UnifG	0	0	0	700	400	0	0	700
F40x70	877	3	Peso Proprio	UnifG	0	0	0	700	100	0	0	700
Fondazione 9007												
F40x70	3	912	Peso Proprio	UnifG	0	0	0	700	330	0	0	700
F40x70	7	4	Peso Proprio	UnifG	0	0	0	700	625	0	0	700
F40x70	908	7	Peso Proprio	UnifG	0	0	0	700	90	0	0	700
F40x70	912	908	Peso Proprio	UnifG	0	0	0	700	250	0	0	700
Fondazione 9008												
F40x70	13	21	Peso Proprio	UnifG	0	0	0	700	505	0	0	700
F40x70	13	21	Tamponamenti	UnifG	0	0	0	1500	505	0	0	1500
F40x70	21	23	Peso Proprio	UnifG	0	0	0	700	380	0	0	700
F40x70	21	23	Tamponamenti	UnifG	0	0	0	1500	420	0	0	1500
F40x70	23	35	Peso Proprio	UnifG	0	0	0	700	498	0	0	700

Sezione	Ni	Nf	Cond.	Tipo c.	Xi	QXi	QYi	QZi	Xf	QXf	QYf	QZf
F40x70	23	35	Tamponamenti	UnifG	0	0	0	1500	498	0	0	1500
F40x70	35	37	Peso Proprio	UnifG	0	0	0	700	645	0	0	700
Fondazione 9009												
F40x70	13	15	Peso Proprio	UnifG	0	0	0	700	120	0	0	700
F40x70	15	915	Peso Proprio	UnifG	0	0	0	700	330	0	0	700
F40x70	17	5	Peso Proprio	UnifG	0	0	0	700	650	0	0	700
F40x70	911	17	Peso Proprio	UnifG	0	0	0	700	90	0	0	700
F40x70	915	911	Peso Proprio	UnifG	0	0	0	700	250	0	0	700
Fondazione 9010												
F40x70	25	6	Peso Proprio	UnifG	0	0	0	700	630	0	0	700
Fondazione 9011												
F40x70	2	8	Peso Proprio	UnifG	0	0	0	700	459	0	0	700
F40x70	8	7	Peso Proprio	UnifG	0	0	0	700	210	0	0	700
F40x70	35	846	Peso Proprio	UnifG	0	0	0	700	65	0	0	700
F40x70	41	2	Peso Proprio	UnifG	0	0	0	700	220	0	0	700
F40x70	846	848	Peso Proprio	UnifG	0	0	0	700	400	0	0	700
F40x70	848	41	Peso Proprio	UnifG	0	0	0	700	105	0	0	700
Fondazione 9012												
F40x70	1	835	Peso Proprio	UnifG	0	0	0	700	140	0	0	700
F40x70	37	830	Peso Proprio	UnifG	0	0	0	700	65	0	0	700
F40x70	830	833	Peso Proprio	UnifG	0	0	0	700	400	0	0	700
F40x70	833	1	Peso Proprio	UnifG	0	0	0	700	105	0	0	700
F40x70	835	837	Peso Proprio	UnifG	0	0	0	700	400	0	0	700
F40x70	837	9	Peso Proprio	UnifG	0	0	0	700	140	0	0	700
Fondazione 9013												
F40x70	41	1	Peso Proprio	UnifG	0	0	0	700	645	0	0	700
Fondazione 9014												
F40x70	8	840	Peso Proprio	UnifG	0	0	0	700	143	0	0	700
F40x70	840	842	Peso Proprio	UnifG	0	0	0	700	400	0	0	700
F40x70	842	9	Peso Proprio	UnifG	0	0	0	700	103	0	0	700

Pareti - geometria e vincoli

Parete	Nodi	Tipo	Materiale	Criterio	N.P.	N.P.X	N.P.Y	Spess.
								cm
1	1-805-10-809	Discreto	C20/25	CLS_Muri_Esist	16	4	4	30
2	805-807-10-10	Discreto	C20/25	CLS_Muri_Esist	16	4	4	30
3	807-3-808-10	Discreto	C20/25	CLS_Muri_Esist	16	4	4	30
4	10-808-812-10	Discreto	C20/25	CLS_Muri_Esist	16	4	4	30
5	10-812-4-806	Discreto	C20/25	CLS_Muri_Esist	16	4	4	30
6	809-10-10-811	Discreto	C20/25	CLS_Muri_Esist	16	4	4	30
7	811-10-804-2	Discreto	C20/25	CLS_Muri_Esist	16	4	4	30
8	10-10-806-804	Discreto	C20/25	CLS_Muri_Esist	16	4	4	30
9	10-814-3-808	Discreto	C20/25	CLS_Muri_Esist	16	4	4	30
10	10-812-4-815	Discreto	C20/25	CLS_Muri_Esist	16	4	4	30
11	16-813-10-816	Discreto	C20/25	CLS_Muri_Esist	16	4	4	30
12	10-810-15-817	Discreto	C20/25	CLS_Muri_Esist	16	4	4	30
13	817-814-10-10	Discreto	C20/25	CLS_Muri_Esist	16	4	4	30
14	10-808-812-10	Discreto	C20/25	CLS_Muri_Esist	16	4	4	30
15	10-813-810-10	Discreto	C20/25	CLS_Muri_Esist	16	4	4	30
16	10-10-815-816	Discreto	C20/25	CLS_Muri_Esist	16	4	4	30
17	819-37-35-818	Discreto	C20/25	CLS_Muri_Esist	16	4	4	30
18	818-824-825-819	Discreto	C20/25	CLS_Muri_Esist	16	4	4	30
19	825-824-36-38	Discreto	C20/25	CLS_Muri_Esist	16	4	4	30
20	10-830-37-819	Discreto	C20/25	CLS_Muri_Esist	16	4	4	30
21	10-10-833-830	Discreto	C20/25	CLS_Muri_Esist	16	4	4	30
22	10-820-1-833	Discreto	C20/25	CLS_Muri_Esist	16	4	4	30
23	10-10-819-825	Discreto	C20/25	CLS_Muri_Esist	16	4	4	30
24	10-826-820-10	Discreto	C20/25	CLS_Muri_Esist	16	4	4	30
25	10-825-38-831	Discreto	C20/25	CLS_Muri_Esist	16	4	4	30
26	831-832-10-10	Discreto	C20/25	CLS_Muri_Esist	16	4	4	30

Parete	Nodi	Tipo	Materiale	Criterio	N.P.	N.P.X	N.P.Y	Spess.
27	832-40-826-10	Discreto	C20/25	CLS_Muri_Esist	16	4	4	30
28	835-1-820-10	Discreto	C20/25	CLS_Muri_Esist	16	4	4	30
29	10-10-837-835	Discreto	C20/25	CLS_Muri_Esist	16	4	4	30
30	10-821-9-837	Discreto	C20/25	CLS_Muri_Esist	16	4	4	30
31	10-826-40-834	Discreto	C20/25	CLS_Muri_Esist	16	4	4	30
32	834-836-10-10	Discreto	C20/25	CLS_Muri_Esist	16	4	4	30
33	836-44-827-10	Discreto	C20/25	CLS_Muri_Esist	16	4	4	30
34	10-827-821-10	Discreto	C20/25	CLS_Muri_Esist	16	4	4	30
35	10-10-820-826	Discreto	C20/25	CLS_Muri_Esist	16	4	4	30
36	1-41-838-820	Discreto	C20/25	CLS_Muri_Esist	16	4	4	30
37	826-839-42-40	Discreto	C20/25	CLS_Muri_Esist	16	4	4	30
38	826-820-838-839	Discreto	C20/25	CLS_Muri_Esist	16	4	4	30
39	8-840-10-822	Discreto	C20/25	CLS_Muri_Esist	16	4	4	30
40	840-842-10-10	Discreto	C20/25	CLS_Muri_Esist	16	4	4	30
41	842-9-821-10	Discreto	C20/25	CLS_Muri_Esist	16	4	4	30
42	828-10-841-32	Discreto	C20/25	CLS_Muri_Esist	16	4	4	30
43	10-10-843-841	Discreto	C20/25	CLS_Muri_Esist	16	4	4	30
44	10-827-44-843	Discreto	C20/25	CLS_Muri_Esist	16	4	4	30
45	822-10-10-828	Discreto	C20/25	CLS_Muri_Esist	16	4	4	30
46	10-821-827-10	Discreto	C20/25	CLS_Muri_Esist	16	4	4	30
47	844-2-8-822	Discreto	C20/25	CLS_Muri_Esist	16	4	4	30
48	844-822-828-845	Discreto	C20/25	CLS_Muri_Esist	16	4	4	30
49	845-828-32-34	Discreto	C20/25	CLS_Muri_Esist	16	4	4	30
50	8-7-823-822	Discreto	C20/25	CLS_Muri_Esist	16	4	4	30
51	822-823-829-828	Discreto	C20/25	CLS_Muri_Esist	16	4	4	30
52	828-829-30-32	Discreto	C20/25	CLS_Muri_Esist	16	4	4	30
53	35-846-10-818	Discreto	C20/25	CLS_Muri_Esist	16	4	4	30
54	818-10-10-824	Discreto	C20/25	CLS_Muri_Esist	16	4	4	30
55	824-10-847-36	Discreto	C20/25	CLS_Muri_Esist	16	4	4	30
56	10-10-849-847	Discreto	C20/25	CLS_Muri_Esist	16	4	4	30
57	848-41-838-10	Discreto	C20/25	CLS_Muri_Esist	16	4	4	30
58	10-838-839-10	Discreto	C20/25	CLS_Muri_Esist	16	4	4	30
59	854-10-851-10	Discreto	C20/25	CLS_Muri_Esist	16	4	4	30
60	10-10-852-851	Discreto	C20/25	CLS_Muri_Esist	16	4	4	30
61	10-855-8-852	Discreto	C20/25	CLS_Muri_Esist	16	4	4	30
62	855-10-857-8	Discreto	C20/25	CLS_Muri_Esist	16	4	4	30
63	10-10-859-857	Discreto	C20/25	CLS_Muri_Esist	16	4	4	30
64	10-860-18-859	Discreto	C20/25	CLS_Muri_Esist	16	4	4	30
65	9-850-10-861	Discreto	C20/25	CLS_Muri_Esist	16	4	4	30
66	861-10-10-854	Discreto	C20/25	CLS_Muri_Esist	16	4	4	30
67	853-7-862-10	Discreto	C20/25	CLS_Muri_Esist	16	4	4	30
68	10-862-855-10	Discreto	C20/25	CLS_Muri_Esist	16	4	4	30
69	7-856-10-862	Discreto	C20/25	CLS_Muri_Esist	16	4	4	30
70	862-10-10-855	Discreto	C20/25	CLS_Muri_Esist	16	4	4	30
71	858-17-863-10	Discreto	C20/25	CLS_Muri_Esist	16	4	4	30
72	10-863-860-10	Discreto	C20/25	CLS_Muri_Esist	16	4	4	30
73	865-13-15-810	Discreto	C20/25	CLS_Muri_Esist	16	4	4	30
74	865-810-813-866	Discreto	C20/25	CLS_Muri_Esist	16	4	4	30
75	866-813-16-14	Discreto	C20/25	CLS_Muri_Esist	16	4	4	30
76	860-10-868-18	Discreto	C20/25	CLS_Muri_Esist	16	4	4	30
77	10-870-26-867	Discreto	C20/25	CLS_Muri_Esist	16	4	4	30
78	9-875-10-861	Discreto	C20/25	CLS_Muri_Esist	16	4	4	30
79	875-877-10-10	Discreto	C20/25	CLS_Muri_Esist	16	4	4	30
80	877-3-872-10	Discreto	C20/25	CLS_Muri_Esist	16	4	4	30
81	10-872-873-10	Discreto	C20/25	CLS_Muri_Esist	16	4	4	30
82	10-873-6-876	Discreto	C20/25	CLS_Muri_Esist	16	4	4	30
83	861-10-10-854	Discreto	C20/25	CLS_Muri_Esist	16	4	4	30
84	854-10-874-10	Discreto	C20/25	CLS_Muri_Esist	16	4	4	30
85	10-10-876-874	Discreto	C20/25	CLS_Muri_Esist	16	4	4	30
86	10-869-17-863	Discreto	C20/25	CLS_Muri_Esist	16	4	4	30
87	10-864-25-871	Discreto	C20/25	CLS_Muri_Esist	16	4	4	30
88	10-863-860-10	Discreto	C20/25	CLS_Muri_Esist	16	4	4	30
89	864-10-10-867	Discreto	C20/25	CLS_Muri_Esist	16	4	4	30
90	10-10-870-868	Discreto	C20/25	CLS_Muri_Esist	16	4	4	30
91	882-3-872-10	Discreto	C20/25	CLS_Muri_Esist	16	4	4	30
92	10-872-873-10	Discreto	C20/25	CLS_Muri_Esist	16	4	4	30

Parete	Nodi	Tipo	Materiale	Criterio	N.P.	N.P.X	N.P.Y	Spess.
93	10-873-6-881	Discreto	C20/25	CLS_Muri_Esist	16	4	4	30
94	4-883-10-880	Discreto	C20/25	CLS_Muri_Esist	16	4	4	30
95	883-882-10-10	Discreto	C20/25	CLS_Muri_Esist	16	4	4	30
96	10-10-881-884	Discreto	C20/25	CLS_Muri_Esist	16	4	4	30
97	885-10-884-12	Discreto	C20/25	CLS_Muri_Esist	16	4	4	30
98	880-10-10-885	Discreto	C20/25	CLS_Muri_Esist	16	4	4	30
99	888-4-880-10	Discreto	C20/25	CLS_Muri_Esist	16	4	4	30
100	10-10-890-888	Discreto	C20/25	CLS_Muri_Esist	16	4	4	30
101	890-10-879-5	Discreto	C20/25	CLS_Muri_Esist	16	4	4	30
102	10-885-12-889	Discreto	C20/25	CLS_Muri_Esist	16	4	4	30
103	10-10-880-885	Discreto	C20/25	CLS_Muri_Esist	16	4	4	30
104	10-10-889-891	Discreto	C20/25	CLS_Muri_Esist	16	4	4	30
105	891-20-886-10	Discreto	C20/25	CLS_Muri_Esist	16	4	4	30
106	10-886-879-10	Discreto	C20/25	CLS_Muri_Esist	16	4	4	30
107	892-5-879-10	Discreto	C20/25	CLS_Muri_Esist	16	4	4	30
108	892-10-10-895	Discreto	C20/25	CLS_Muri_Esist	16	4	4	30
109	895-10-878-6	Discreto	C20/25	CLS_Muri_Esist	16	4	4	30
110	10-886-20-893	Discreto	C20/25	CLS_Muri_Esist	16	4	4	30
111	893-894-10-10	Discreto	C20/25	CLS_Muri_Esist	16	4	4	30
112	894-28-887-10	Discreto	C20/25	CLS_Muri_Esist	16	4	4	30
113	10-879-886-10	Discreto	C20/25	CLS_Muri_Esist	16	4	4	30
114	878-10-10-887	Discreto	C20/25	CLS_Muri_Esist	16	4	4	30
115	896-6-878-10	Discreto	C20/25	CLS_Muri_Esist	16	4	4	30
116	898-896-10-10	Discreto	C20/25	CLS_Muri_Esist	16	4	4	30
117	7-898-10-823	Discreto	C20/25	CLS_Muri_Esist	16	4	4	30
118	10-878-887-10	Discreto	C20/25	CLS_Muri_Esist	16	4	4	30
119	10-887-28-897	Discreto	C20/25	CLS_Muri_Esist	16	4	4	30
120	10-10-897-899	Discreto	C20/25	CLS_Muri_Esist	16	4	4	30
121	899-30-829-10	Discreto	C20/25	CLS_Muri_Esist	16	4	4	30
122	10-829-823-10	Discreto	C20/25	CLS_Muri_Esist	16	4	4	30
123	862-7-4-880	Discreto	C20/25	CLS_Muri_Esist	16	4	4	30
124	862-880-885-855	Discreto	C20/25	CLS_Muri_Esist	16	4	4	30
125	855-885-12-8	Discreto	C20/25	CLS_Muri_Esist	16	4	4	30
126	863-17-5-879	Discreto	C20/25	CLS_Muri_Esist	16	4	4	30
127	863-879-886-860	Discreto	C20/25	CLS_Muri_Esist	16	4	4	30
128	860-886-20-18	Discreto	C20/25	CLS_Muri_Esist	16	4	4	30
129	900-25-864-10	Discreto	C20/25	CLS_Muri_Esist	16	4	4	30
130	2-902-10-844	Discreto	C20/25	CLS_Muri_Esist	16	4	4	30
131	10-864-867-10	Discreto	C20/25	CLS_Muri_Esist	16	4	4	30
132	845-844-10-10	Discreto	C20/25	CLS_Muri_Esist	16	4	4	30
133	10-903-34-845	Discreto	C20/25	CLS_Muri_Esist	16	4	4	30
134	10-867-26-901	Discreto	C20/25	CLS_Muri_Esist	16	4	4	30
135	10-10-901-903	Discreto	C20/25	CLS_Muri_Esist	16	4	4	30
136	10-809-1-904	Discreto	C20/25	CLS_Muri_Esist	16	4	4	30
137	10-904-907-10	Discreto	C20/25	CLS_Muri_Esist	16	4	4	30
138	10-907-9-861	Discreto	C20/25	CLS_Muri_Esist	16	4	4	30
139	10-10-861-854	Discreto	C20/25	CLS_Muri_Esist	16	4	4	30
140	10-811-809-10	Discreto	C20/25	CLS_Muri_Esist	16	4	4	30
141	906-10-854-10	Discreto	C20/25	CLS_Muri_Esist	16	4	4	30
142	905-2-811-10	Discreto	C20/25	CLS_Muri_Esist	16	4	4	30
143	10-10-906-905	Discreto	C20/25	CLS_Muri_Esist	16	4	4	30
144	808-3-912-10	Discreto	C20/25	CLS_Muri_Esist	16	4	4	30
145	908-7-862-10	Discreto	C20/25	CLS_Muri_Esist	16	4	4	30
146	909-10-855-8	Discreto	C20/25	CLS_Muri_Esist	16	4	4	30
147	909-913-10-10	Discreto	C20/25	CLS_Muri_Esist	16	4	4	30
148	913-4-812-10	Discreto	C20/25	CLS_Muri_Esist	16	4	4	30
149	855-10-10-862	Discreto	C20/25	CLS_Muri_Esist	16	4	4	30
150	10-812-808-10	Discreto	C20/25	CLS_Muri_Esist	16	4	4	30
151	10-810-15-915	Discreto	C20/25	CLS_Muri_Esist	16	4	4	30
152	10-915-911-10	Discreto	C20/25	CLS_Muri_Esist	16	4	4	30
153	10-911-17-863	Discreto	C20/25	CLS_Muri_Esist	16	4	4	30
154	860-10-10-863	Discreto	C20/25	CLS_Muri_Esist	16	4	4	30
155	910-10-860-18	Discreto	C20/25	CLS_Muri_Esist	16	4	4	30
156	914-10-10-910	Discreto	C20/25	CLS_Muri_Esist	16	4	4	30
157	914-16-813-10	Discreto	C20/25	CLS_Muri_Esist	16	4	4	30
158	10-813-810-10	Discreto	C20/25	CLS_Muri_Esist	16	4	4	30

Parete	Nodi	Tipo	Materiale	Criterio	N.P.	N.P.X	N.P.Y	Spess.
159	864-25-6-878	Discreto	C20/25	CLS_Muri_Esist	16	4	4	30
160	878-887-867-864	Discreto	C20/25	CLS_Muri_Esist	16	4	4	30
161	867-887-28-26	Discreto	C20/25	CLS_Muri_Esist	16	4	4	30

Muri - Carichi

Par	Pan	Condizione	Tipo		Carico	Vert.1	Vert.2	Vert.3	Vert.4	Altezza	Peso sp.	Coesione	Ang. at.	K0
									kg/mq	cm	kg/mc	kg/cmq	°	
1		Peso Proprio	Peso Proprio	kg	570									
2		Peso Proprio	Peso Proprio	kg	2400									
3		Peso Proprio	Peso Proprio	kg	570									
4		Peso Proprio	Peso Proprio	kg	2138									
5		Peso Proprio	Peso Proprio	kg	570									
6		Peso Proprio	Peso Proprio	kg	2138									
7		Peso Proprio	Peso Proprio	kg	570									
8		Peso Proprio	Peso Proprio	kg	2400									
9		Peso Proprio	Peso Proprio	kg	780									
10		Peso Proprio	Peso Proprio	kg	780									
11		Peso Proprio	Peso Proprio	kg	780									
12		Peso Proprio	Peso Proprio	kg	780									
13		Peso Proprio	Peso Proprio	kg	2400									
14		Peso Proprio	Peso Proprio	kg	2925									
15		Peso Proprio	Peso Proprio	kg	2925									
16		Peso Proprio	Peso Proprio	kg	2400									
17		Peso Proprio	Peso Proprio	kg	3870									
18		Peso Proprio	Peso Proprio	kg	14512									
19		Peso Proprio	Peso Proprio	kg	3870									
20		Peso Proprio	Peso Proprio	kg	508									
21		Peso Proprio	Peso Proprio	kg	2400									
22		Peso Proprio	Peso Proprio	kg	509									
23		Peso Proprio	Peso Proprio	kg	1907									
24		Peso Proprio	Peso Proprio	kg	1907									
25		Peso Proprio	Peso Proprio	kg	509									
26		Peso Proprio	Peso Proprio	kg	2400									
27		Peso Proprio	Peso Proprio	kg	508									
28		Peso Proprio	Peso Proprio	kg	960									
29		Peso Proprio	Peso Proprio	kg	2400									
30		Peso Proprio	Peso Proprio	kg	960									
31		Peso Proprio	Peso Proprio	kg	960									
32		Peso Proprio	Peso Proprio	kg	2400									
33		Peso Proprio	Peso Proprio	kg	960									
34		Peso Proprio	Peso Proprio	kg	3600									
35		Peso Proprio	Peso Proprio	kg	3600									
36		Peso Proprio	Peso Proprio	kg	3870									
37		Peso Proprio	Peso Proprio	kg	3870									
38		Peso Proprio	Peso Proprio	kg	14512									
39		Peso Proprio	Peso Proprio	kg	735									
40		Peso Proprio	Peso Proprio	kg	2400									
41		Peso Proprio	Peso Proprio	kg	735									
42		Peso Proprio	Peso Proprio	kg	735									
43		Peso Proprio	Peso Proprio	kg	2400									
44		Peso Proprio	Peso Proprio	kg	735									
45		Peso Proprio	Peso Proprio	kg	2756									
46		Peso Proprio	Peso Proprio	kg	2756									
47		Peso Proprio	Peso Proprio	kg	2997									
48		Peso Proprio	Peso Proprio	kg	11239									
49		Peso Proprio	Peso Proprio	kg	2997									
50		Peso Proprio	Peso Proprio	kg	1140									
51		Peso Proprio	Peso Proprio	kg	4275									
52		Peso Proprio	Peso Proprio	kg	1140									
53		Peso Proprio	Peso Proprio	kg	508									
54		Peso Proprio	Peso Proprio	kg	1907									
55		Peso Proprio	Peso Proprio	kg	509									
56		Peso Proprio	Peso Proprio	kg	2400									
57		Peso Proprio	Peso Proprio	kg	509									
58		Peso Proprio	Peso Proprio	kg	1907									
59		Peso Proprio	Peso Proprio	kg	750									
60		Peso Proprio	Peso Proprio	kg	2400									
61		Peso Proprio	Peso Proprio	kg	750									
62		Peso Proprio	Peso Proprio	kg	780									
63		Peso Proprio	Peso Proprio	kg	2400									
64		Peso Proprio	Peso Proprio	kg	780									
65		Peso Proprio	Peso Proprio	kg	750									
66		Peso Proprio	Peso Proprio	kg	2813									
67		Peso Proprio	Peso Proprio	kg	750									
68		Peso Proprio	Peso Proprio	kg	2813									

Par	Pan	Condizione	Tipo	Carico	Vert.1	Vert.2	Vert.3	Vert.4	Altezza	Peso sp.	Coesione	Ang. at.	K0
69		Peso Proprio	Peso Proprio kg	780									
70		Peso Proprio	Peso Proprio kg	2925									
71		Peso Proprio	Peso Proprio kg	780									
72		Peso Proprio	Peso Proprio kg	2925									
73		Peso Proprio	Peso Proprio kg	720									
74		Peso Proprio	Peso Proprio kg	2700									
75		Peso Proprio	Peso Proprio kg	720									
76		Peso Proprio	Peso Proprio kg	930									
77		Peso Proprio	Peso Proprio kg	930									
78		Peso Proprio	Peso Proprio kg	721									
79		Peso Proprio	Peso Proprio kg	2400									
80		Peso Proprio	Peso Proprio kg	722									
81		Peso Proprio	Peso Proprio kg	2706									
82		Peso Proprio	Peso Proprio kg	721									
83		Peso Proprio	Peso Proprio kg	2706									
84		Peso Proprio	Peso Proprio kg	722									
85		Peso Proprio	Peso Proprio kg	2400									
86		Peso Proprio	Peso Proprio kg	930									
87		Peso Proprio	Peso Proprio kg	930									
88		Peso Proprio	Peso Proprio kg	3488									
89		Peso Proprio	Peso Proprio kg	3488									
90		Peso Proprio	Peso Proprio kg	2400									
91		Peso Proprio	Peso Proprio kg	750									
92		Peso Proprio	Peso Proprio kg	2813									
93		Peso Proprio	Peso Proprio kg	750									
94		Peso Proprio	Peso Proprio kg	750									
95		Peso Proprio	Peso Proprio kg	2411									
96		Peso Proprio	Peso Proprio kg	2411									
97		Peso Proprio	Peso Proprio kg	750									
98		Peso Proprio	Peso Proprio kg	2812									
99		Peso Proprio	Peso Proprio kg	780									
100		Peso Proprio	Peso Proprio kg	2400									
101		Peso Proprio	Peso Proprio kg	780									
102		Peso Proprio	Peso Proprio kg	780									
103		Peso Proprio	Peso Proprio kg	2925									
104		Peso Proprio	Peso Proprio kg	2400									
105		Peso Proprio	Peso Proprio kg	780									
106		Peso Proprio	Peso Proprio kg	2925									
107		Peso Proprio	Peso Proprio kg	930									
108		Peso Proprio	Peso Proprio kg	2400									
109		Peso Proprio	Peso Proprio kg	930									
110		Peso Proprio	Peso Proprio kg	930									
111		Peso Proprio	Peso Proprio kg	2400									
112		Peso Proprio	Peso Proprio kg	930									
113		Peso Proprio	Peso Proprio kg	3488									
114		Peso Proprio	Peso Proprio kg	3488									
115		Peso Proprio	Peso Proprio kg	930									
116		Peso Proprio	Peso Proprio kg	2418									
117		Peso Proprio	Peso Proprio kg	930									
118		Peso Proprio	Peso Proprio kg	3488									
119		Peso Proprio	Peso Proprio kg	930									
120		Peso Proprio	Peso Proprio kg	2418									
121		Peso Proprio	Peso Proprio kg	930									
122		Peso Proprio	Peso Proprio kg	3488									
123		Peso Proprio	Peso Proprio kg	4137									
124		Peso Proprio	Peso Proprio kg	15514									
125		Peso Proprio	Peso Proprio kg	4137									
126		Peso Proprio	Peso Proprio kg	4137									
127		Peso Proprio	Peso Proprio kg	15514									
128		Peso Proprio	Peso Proprio kg	4137									
129		Peso Proprio	Peso Proprio kg	930									
130		Peso Proprio	Peso Proprio kg	930									
131		Peso Proprio	Peso Proprio kg	3488									
132		Peso Proprio	Peso Proprio kg	3488									
133		Peso Proprio	Peso Proprio kg	930									
134		Peso Proprio	Peso Proprio kg	930									
135		Peso Proprio	Peso Proprio kg	2418									
136		Peso Proprio	Peso Proprio kg	810									
137		Peso Proprio	Peso Proprio kg	2416									
138		Peso Proprio	Peso Proprio kg	810									
139		Peso Proprio	Peso Proprio kg	3038									
140		Peso Proprio	Peso Proprio kg	3038									
141		Peso Proprio	Peso Proprio kg	810									
142		Peso Proprio	Peso Proprio kg	810									
143		Peso Proprio	Peso Proprio kg	2416									
144		Peso Proprio	Peso Proprio kg	2100									
145		Peso Proprio	Peso Proprio kg	420									
146		Peso Proprio	Peso Proprio kg	420									
147		Peso Proprio	Peso Proprio kg	1500									
148		Peso Proprio	Peso Proprio kg	2100									
149		Peso Proprio	Peso Proprio kg	1575									
150		Peso Proprio	Peso Proprio kg	7875									
151		Peso Proprio	Peso Proprio kg	2100									
152		Peso Proprio	Peso Proprio kg	1500									

Par	Pan	Condizione	Tipo	Carico	Vert.1	Vert.2	Vert.3	Vert.4	Altezza	Peso sp.	Coesione	Ang. at.	K0
153		Peso Proprio	Peso Proprio kg	420									
154		Peso Proprio	Peso Proprio kg	1575									
155		Peso Proprio	Peso Proprio kg	420									
156		Peso Proprio	Peso Proprio kg	1500									
157		Peso Proprio	Peso Proprio kg	2100									
158		Peso Proprio	Peso Proprio kg	7875									
159		Peso Proprio	Peso Proprio kg	4137									
160		Peso Proprio	Peso Proprio kg	15514									
161		Peso Proprio	Peso Proprio kg	4137									

Tabella solai tipo

Sol.N°	Descrizione	Spessore	QP	QF	QVar.	ψ_0	ψ_1	ψ_2	Luce netta	Def	%QX	%QY
		cm	kg/mq	kg/mq	kg/mq							
1	Tetti e Coperture	20	200	150	150	0.00	0.00	0.00	No	No	100	0
2	Sottotetto	20	250	250	150	0.70	0.50	0.30	No	No	100	0

Dati solai

Solaio n°	Nodi	Tipo
0	12-884-881-6-876-874-10-851-852-8	Sottotetto
0	10-906-905-2-804-806-4-913-909-8-852-851	Sottotetto
0	8-909-913-4-815-816-16-914-910-18-859-857	Sottotetto
0	12-8-857-859-18-20-891-889	Sottotetto
0	20-18-868-870-26-28-894-893	Sottotetto
0	28-26-901-903-34-32-30-899-897	Sottotetto
0	32-34-42-40-834-836-44-843-841	Sottotetto
0	42-849-847-36-38-831-832-40	Sottotetto
0	6-20-18-12-884-881	Tetti e Coperture
0	12-18-28-20-891-889	Tetti e Coperture
0	20-28-36-28-894-893	Tetti e Coperture
0	28-36-44-30-899-897	Tetti e Coperture
0	20-2-804-806-4-18	Tetti e Coperture
0	18-4-815-816-16-28	Tetti e Coperture
0	32-10-802-44-843-841	Tetti e Coperture
0	803-36-38-10	Tetti e Coperture

TABULATI DI VERIFICA

L'esito di ogni elaborazione viene sintetizzato nei disegni e schemi grafici allegati, che evidenziano i valori numerici nei punti e/o nelle sezioni significative, ai fini della valutazione del comportamento complessivo della struttura, e quelli necessari ai fini delle verifiche di misura della sicurezza.

Di seguito si riportano le tabelle relative a:

- Baricentri rigidezze e masse
- Forze sismiche e masse
- Spostamenti Relativi dei nodi (SLD)

- Fattori di partecipazione e masse modali
- Massime tensioni sul terreno aste
- Massimi spostamenti dei nodi
- Massime reazioni vincolari
- Massime sollecitazioni travi
- Massime sollecitazioni pilastri
- Massime sollecitazioni travi di fondazione
- Massime sollecitazioni muri Discretizzati

Centri di rigidezza e Centri di massa

Scenario di calcolo : **Scenario di calcolo N.T. 2018**

Centri rigidezze

Piano	Kx	Ky	Kxy	K ϕ	X	Y	r ² /ls ² >=1
	kg/cm	kg/cm	kg/cm	kg*cm/rad	cm	cm	
1	5.014079E06	5.008543E06	1.424991E05	8.981557E12	1507	894	1.581
2	3.581278E05	1.829566E06	1.926482E04	3.225608E12	1705	645	1.758

Ellissi delle rigidezze

Piano	K ξ	K η	alfa	r ξ	r η
	kg/cm	kg/cm	°	cm	cm
1	5.153837E06	4.868785E06	44	1358	1320
2	3.578756E05	1.829818E06	1	1328	3002

Baricentri masse per posizione masse

Piano	Pos.Masse	X	Y	Peso Sism.
		cm	cm	kg
0	1	1660	532	174017
0	2	1660	553	174017
0	3	1660	574	174017
0	4	1660	553	174017
1	1	1567	665	384617
1	2	1736	739	384617
1	3	1567	813	384617
1	4	1398	739	384617
2	1	1683	509	139840
2	2	1836	548	139840
2	3	1683	588	139840
2	4	1529	548	139840

Risultati Analisi Dinamica - Baricentri masse e masse

Scenario di calcolo : **Scenario di calcolo N.T. 2018**

Piano	Rigido	Massa	X	Y	Z
		kg	cm	cm	cm
0	No	174017	1660	532	54
1	Si	384617	1567	665	460
2	No	139840	1683	509	722

Piano	Rigido	Massa	X	Y	Z
		kg	cm	cm	cm
0	No	174017	1660	553	54
1	Si	384617	1736	739	460
2	No	139840	1836	548	722

Piano	Rigido	Massa	X	Y	Z
		kg	cm	cm	cm
0	No	174017	1660	574	54
1	Si	384617	1567	813	460
2	No	139840	1683	588	722

Piano	Rigido	Massa	X	Y	Z
		kg	cm	cm	cm
0	No	174017	1660	553	54
1	Si	384617	1398	739	460
2	No	139840	1529	548	722

Verifica Degli Spostamenti Relativi

Scenario di calcolo : **Scenario di calcolo N.T. 2018**

Interp.	Comb.	ηX_v mm	ηX_h mm	ηY_v mm	ηY_h mm	Nodo1	Nodo2	η mm	η_{Amm} mm	Cs
0-1	(39+40)-IV-3	0.00	0.14	0.05	0.94	1	2	0.99	23.00	23
0-1	(39+40)-II-3	0.02	0.11	0.04	0.72	1	40	0.76	23.00	30
0-1	(39+40)-V-3	0.00	0.94	0.02	0.04	2	34	0.94	23.00	24
0-1	(39+40)-III-4	0.02	0.56	0.01	0.10	3	4	0.58	23.00	39
0-1	(39+40)-IV-3	0.00	0.23	0.00	0.94	3	6	0.94	23.00	25
0-1	(39+40)-VIII-3	0.02	0.16	0.02	0.51	4	12	0.53	23.00	43
0-1	(39+40)-IV-3	0.01	0.13	0.02	0.31	5	20	0.33	23.00	69
0-1	(39+40)-VIII-4	0.00	0.01	0.19	0.82	6	28	1.01	23.00	23
0-1	(39+40)-VI-4	0.01	0.31	0.04	0.88	7	30	0.92	23.00	25
0-1	(39+40)-V-3	0.04	1.11	0.02	0.18	7	8	1.15	23.00	20
0-1	(39+40)-VI-4	0.04	0.34	0.02	0.89	8	32	0.90	23.00	25
0-1	(39+40)-II-3	0.07	0.18	0.03	0.73	9	44	0.76	23.00	30
0-1	(39+40)-V-3	0.04	1.28	0.03	0.06	9	10	1.33	23.00	17
0-1	(39+40)-I-3	0.01	0.88	0.02	0.19	13	14	0.88	23.00	26
0-1	(39+40)-III-4	0.02	0.58	0.02	0.01	15	16	0.59	23.00	39
0-1	(39+40)-V-3	0.03	1.01	0.01	0.13	17	18	1.04	23.00	22
0-2	(39+40)-VIII-4	0.05	0.12	0.39	7.96	21	32	8.34	35.50	4.3
0-2	(39+40)-VIII-4	0.10	0.03	0.46	7.79	23	34	8.26	35.50	4.3
0-1	(39+40)-V-3	0.01	0.96	0.18	0.16	25	26	0.97	23.00	24
0-1	(39+40)-VI-4	0.13	0.11	0.02	0.97	35	36	0.98	23.00	23
0-1	(39+40)-I-3	0.13	0.70	0.02	0.44	37	38	0.83	23.00	28
0-1	(39+40)-VI-4	0.03	0.23	0.02	0.90	41	42	0.92	23.00	25
0-1	(39+40)-IV-3	0.00	0.15	0.06	1.00	805	804	1.06	23.00	22
0-1	(39+40)-IV-3	0.05	0.11	0.00	0.69	807	806	0.70	23.00	33
0-1	(39+40)-IV-4	0.00	0.40	0.01	0.64	814	815	0.64	23.00	36
0-1	(39+40)-IV-4	0.03	0.37	0.00	0.59	817	816	0.59	23.00	39
0-1	(39+40)-I-3	0.11	0.71	0.03	0.42	830	831	0.83	23.00	28
0-1	(39+40)-II-3	0.01	0.26	0.05	0.71	833	832	0.76	23.00	30
0-1	(39+40)-II-3	0.03	0.01	0.02	0.71	835	834	0.74	23.00	31

Interp.	Comb.	ηX_v	ηX_h	ηY_v	ηY_h	Nodo1	Nodo2	η	η_{Amm}	Cs
0-1	(39+40)-II-3	0.05	0.10	0.02	0.72	837	836	0.74	23.00	31
0-1	(39+40)-VI-4	0.03	0.33	0.06	1.05	840	841	1.11	23.00	21
0-1	(39+40)-II-3	0.08	0.18	0.06	0.97	842	843	1.03	23.00	22
0-1	(39+40)-VI-4	0.11	0.12	0.02	0.91	846	847	0.93	23.00	25
0-1	(39+40)-VI-4	0.02	0.25	0.04	0.86	848	849	0.90	23.00	26
0-1	(39+40)-V-3	0.03	1.16	0.03	0.13	850	851	1.19	23.00	19
0-1	(39+40)-VII-3	0.08	1.07	0.00	0.11	853	852	1.14	23.00	20
0-1	(39+40)-V-3	0.02	1.02	0.01	0.26	856	857	1.03	23.00	22
0-1	(39+40)-VII-3	0.06	0.96	0.02	0.27	858	859	1.01	23.00	23
0-1	(39+40)-V-3	0.00	0.92	0.02	0.18	869	868	0.92	23.00	25
0-1	(39+40)-VIII-3	0.02	0.32	0.14	0.87	871	870	1.00	23.00	23
0-1	(39+40)-VII-3	0.03	1.24	0.04	0.16	875	874	1.28	23.00	18
0-1	(39+40)-IV-3	0.01	0.24	0.02	0.91	877	876	0.92	23.00	25
0-1	(39+40)-IV-3	0.01	0.23	0.03	1.04	882	881	1.07	23.00	21
0-1	(39+40)-IV-4	0.04	0.04	0.05	0.69	883	884	0.74	23.00	31
0-1	(39+40)-VIII-3	0.00	0.16	0.04	0.48	888	889	0.52	23.00	45
0-1	(39+40)-VIII-3	0.03	0.15	0.03	0.41	890	891	0.44	23.00	53
0-1	(39+40)-VIII-4	0.01	0.01	0.05	0.49	892	893	0.54	23.00	43
0-1	(39+40)-VIII-3	0.02	0.12	0.18	0.90	895	894	1.08	23.00	21
0-1	(39+40)-VI-3	0.03	0.10	0.17	1.13	896	897	1.30	23.00	18
0-1	(39+40)-VI-3	0.00	0.17	0.03	1.26	898	899	1.29	23.00	18
0-1	(39+40)-VI-4	0.01	0.21	0.15	1.06	900	901	1.21	23.00	19
0-1	(39+40)-VI-4	0.01	0.19	0.04	1.10	902	903	1.15	23.00	20
0-1	(39+40)-IV-3	0.00	0.10	0.03	0.92	904	905	0.95	23.00	24
0-1	(39+40)-VII-4	0.04	1.19	0.01	0.35	907	906	1.23	23.00	19
0-1	(39+40)-VII-4	0.04	1.10	0.01	0.07	908	909	1.14	23.00	20
0-1	(39+40)-VII-3	0.03	1.01	0.00	0.13	911	910	1.04	23.00	22
0-1	(39+40)-I-4	0.04	0.86	0.01	0.06	912	913	0.90	23.00	26
0-1	(39+40)-III-4	0.02	0.79	0.00	0.01	915	914	0.81	23.00	28
1-2	(39+40)-V-3	0.09	2.61	0.02	0.13	8	18	2.70	12.50	4.6
1-2	(39+40)-V-3	0.13	2.31	0.04	0.04	10	20	2.44	12.50	5.1
1-2	(39+40)-III-3	0.09	2.47	0.25	0.13	14	24	2.56	12.50	4.9
1-2	(39+40)-V-3	0.05	2.90	0.08	0.11	18	28	2.96	12.50	4.2
1-2	(39+40)-V-3	0.04	3.05	0.14	0.47	26	36	3.09	12.50	4.0
1-2	(39+40)-V-3	0.03	3.08	0.14	0.10	34	44	3.12	12.50	4.0
1-2	(39+40)-I-3	0.07	2.51	0.49	0.21	36	46	2.58	12.50	4.8
1-2	(39+40)-V-4	0.07	2.21	0.07	0.13	40	10	2.27	10.94	4.8
1-2	(39+40)-VII-4	0.04	2.21	0.01	0.03	42	803	2.24	10.94	4.9
2-2	(39+40)-V-3	0.05	0.94	0.03	0.00	28	38	0.99	7.50	7.6
2-2	(39+40)-VIII-4	0.02	0.23	0.79	1.98	36	46	2.77	7.50	2.7
2-2	(39+40)-VI-3	0.10	0.29	0.23	1.13	44	54	1.37	7.50	5.5
Minimo										
2-2	(39+40)-VIII-4	0.02	0.23	0.79	1.98	36	46	2.77	7.50	2.7

Periodi di vibrazione e Masse modali

Scenario di calcolo : **Scenario di calcolo N.T. 2018**

Posizione masse 1

Numero di Frequenze calcolate =100, filtrate=63

N	T(s)	Coeff. Partecipazione		Masse Modali		Percentuali	
		Dir=0°	Dir=90°	Dir=0°	Dir=90°	Dir=0°	Dir=90°
1(1)	0.2644	0.466	40.589	2	16156	0.00	2.86
2(2)	0.1624	-139.160	5.650	189910	313	33.62	0.06
3(3)	0.1487	-75.375	-1.467	55715	21	9.86	0.00
4(4)	0.1398	17.877	9.737	3134	930	0.55	0.16
5(5)	0.1141	5.271	111.408	272	121717	0.05	21.55
6(6)	0.1056	-7.541	64.155	558	40363	0.10	7.14

N	T(s)	Coeff. Partecipazione		Masse Modali		Percentuali	
7(7)	0.1009	9.459	118.129	877	136848	0.16	24.22
8(8)	0.0989	-14.308	-42.086	2008	17370	0.36	3.07
9(9)	0.0920	-18.698	67.130	3429	44193	0.61	7.82
10(10)	0.0907	-3.379	21.035	112	4339	0.02	0.77
11(12)	0.0751	-7.994	36.902	627	13354	0.11	2.36
12(13)	0.0748	27.159	2.668	7234	70	1.28	0.01
13(14)	0.0730	24.358	11.014	5818	1190	1.03	0.21
14(15)	0.0721	85.436	-10.296	71582	1040	12.67	0.18
15(16)	0.0709	20.836	-12.579	4258	1552	0.75	0.27
16(17)	0.0689	28.198	28.402	7797	7911	1.38	1.40
17(18)	0.0679	-28.327	12.746	7869	1593	1.39	0.28
18(19)	0.0661	-13.099	8.415	1683	694	0.30	0.12
19(20)	0.0655	36.872	10.150	13333	1010	2.36	0.18
20(21)	0.0625	-20.824	5.171	4252	262	0.75	0.05
21(22)	0.0612	42.851	-1.409	18007	19	3.19	0.00
22(25)	0.0572	21.580	-11.126	4567	1214	0.81	0.21
23(26)	0.0564	8.059	-6.966	637	476	0.11	0.08
24(27)	0.0556	24.472	13.072	5873	1676	1.04	0.30
25(28)	0.0552	21.124	19.142	4376	3593	0.77	0.64
26(31)	0.0525	18.694	-4.318	3427	183	0.61	0.03
27(32)	0.0523	10.284	-1.964	1037	38	0.18	0.01
28(33)	0.0515	-45.688	3.656	20470	131	3.62	0.02
29(34)	0.0502	15.897	3.682	2478	133	0.44	0.02
30(35)	0.0485	-38.988	7.101	14907	495	2.64	0.09
31(36)	0.0484	21.336	-12.040	4464	1422	0.79	0.25
32(39)	0.0458	7.888	4.525	610	201	0.11	0.04
33(40)	0.0455	23.171	3.857	5265	146	0.93	0.03
34(41)	0.0447	42.057	25.375	17346	6314	3.07	1.12
35(42)	0.0437	-38.328	18.126	14406	3222	2.55	0.57
36(44)	0.0415	8.658	14.673	735	2111	0.13	0.37
37(45)	0.0401	1.462	-8.523	21	712	0.00	0.13
38(46)	0.0397	6.641	21.286	433	4443	0.08	0.79
39(47)	0.0391	20.289	23.763	4037	5538	0.71	0.98
40(48)	0.0367	-2.124	10.025	44	986	0.01	0.17
41(49)	0.0362	11.194	-24.527	1229	5899	0.22	1.04
42(55)	0.0313	12.097	-21.964	1435	4731	0.25	0.84
43(56)	0.0306	14.467	-8.601	2052	725	0.36	0.13
44(57)	0.0300	17.297	6.670	2934	436	0.52	0.08
45(58)	0.0297	-13.179	-11.737	1703	1351	0.30	0.24
46(60)	0.0290	-1.503	-18.005	22	3179	0.00	0.56
47(61)	0.0285	4.548	12.119	203	1440	0.04	0.25
48(63)	0.0280	3.853	-20.895	146	4282	0.03	0.76
49(64)	0.0279	-3.723	7.754	136	590	0.02	0.10
50(67)	0.0268	0.800	7.803	6	597	0.00	0.11
51(70)	0.0262	-2.270	-18.767	51	3454	0.01	0.61
52(74)	0.0250	-1.730	-8.722	29	746	0.01	0.13
53(78)	0.0240	0.362	-9.196	1	829	0.00	0.15
54(80)	0.0237	0.236	-13.488	1	1784	0.00	0.32
55(81)	0.0234	-1.895	-20.317	35	4048	0.01	0.72
56(85)	0.0226	-2.731	8.530	73	714	0.01	0.13
57(88)	0.0219	2.366	13.573	55	1807	0.01	0.32
58(89)	0.0214	2.850	-9.884	80	958	0.01	0.17
59(90)	0.0213	-2.119	-18.792	44	3463	0.01	0.61
60(94)	0.0207	4.041	-11.161	160	1222	0.03	0.22
61(98)	0.0197	-15.790	-4.062	2445	162	0.43	0.03
62(99)	0.0196	4.475	-19.671	196	3795	0.03	0.67
63(100)	0.0193	2.287	10.050	51	991	0.01	0.18
Somma delle Masse Modali [kgm*g]				516698	491180		
Masse strutturali libere [kgm*g]				564917	564917		
Percentuale				91.46	86.95	91.46	86.95

Posizione masse 2

Numero di Frequenze calcolate =100, filtrate=63

N	T(s)	Coeff. Partecipazione		Masse Modali		Percentuali	
				kgm*g			
		Dir=0°	Dir=90°	Dir=0°	Dir=90°	Dir=0°	Dir=90°
1(1)	0.2157	0.517	38.661	3	14657	0.00	2.59
2(2)	0.1651	-135.627	6.278	180391	387	31.93	0.07
3(3)	0.1588	-63.457	-6.483	39489	412	6.99	0.07
4(4)	0.1207	-0.547	138.379	3	187785	0.00	33.24
5(5)	0.1196	38.701	17.889	14688	3138	2.60	0.56
6(6)	0.1070	26.589	17.855	6933	3126	1.23	0.55
7(7)	0.0992	16.076	48.226	2534	22808	0.45	4.04
8(8)	0.0898	5.974	-106.813	350	111885	0.06	19.81
9(9)	0.0882	12.339	-65.444	1493	42001	0.26	7.43
10(10)	0.0833	2.569	-8.523	65	712	0.01	0.13
11(11)	0.0797	20.606	-22.590	4164	5004	0.74	0.89
12(12)	0.0779	27.140	-9.567	7223	898	1.28	0.16
13(13)	0.0768	1.016	15.923	10	2486	0.00	0.44
14(14)	0.0742	-2.734	-29.050	73	8276	0.01	1.47
15(15)	0.0736	-60.467	-4.978	35856	243	6.35	0.04
16(16)	0.0707	11.809	20.576	1368	4152	0.24	0.73
17(17)	0.0671	16.723	12.184	2742	1456	0.49	0.26
18(18)	0.0656	-95.918	8.360	90223	685	15.97	0.12
19(19)	0.0650	21.637	11.851	4591	1377	0.81	0.24
20(20)	0.0637	-39.997	2.658	15689	69	2.78	0.01
21(21)	0.0631	2.141	-10.823	45	1149	0.01	0.20
22(22)	0.0607	19.577	4.184	3759	172	0.67	0.03
23(25)	0.0582	0.454	-8.207	2	660	0.00	0.12
24(26)	0.0576	18.377	-5.131	3312	258	0.59	0.05
25(27)	0.0568	-8.373	7.769	687	592	0.12	0.10
26(29)	0.0545	-19.039	3.574	3555	125	0.63	0.02
27(31)	0.0523	20.837	6.888	4258	465	0.75	0.08
28(32)	0.0522	5.215	-9.568	267	898	0.05	0.16
29(33)	0.0497	56.692	-3.958	31519	154	5.58	0.03
30(36)	0.0481	-45.215	-16.042	20049	2524	3.55	0.45
31(38)	0.0456	16.543	-6.352	2684	396	0.48	0.07
32(40)	0.0438	29.023	-15.135	8261	2246	1.46	0.40
33(41)	0.0431	-1.588	-27.054	25	7178	0.00	1.27
34(42)	0.0429	-4.847	-9.778	230	938	0.04	0.17
35(44)	0.0420	22.868	21.448	5128	4511	0.91	0.80
36(45)	0.0410	29.743	-1.088	8675	12	1.54	0.00
37(49)	0.0354	7.507	13.204	553	1710	0.10	0.30
38(50)	0.0345	10.960	24.374	1178	5826	0.21	1.03
39(51)	0.0331	-25.790	-8.428	6523	697	1.15	0.12
40(52)	0.0327	-2.482	23.923	60	5612	0.01	0.99
41(53)	0.0325	-0.183	-11.534	0	1305	0.00	0.23
42(54)	0.0321	6.715	-21.793	442	4657	0.08	0.82
43(55)	0.0311	8.411	5.239	694	269	0.12	0.05
44(56)	0.0305	-5.093	13.850	254	1881	0.05	0.33
45(58)	0.0298	-2.061	7.606	42	567	0.01	0.10
46(60)	0.0293	-1.363	-13.503	18	1788	0.00	0.32
47(61)	0.0291	-9.807	-2.546	943	64	0.17	0.01
48(62)	0.0285	-3.987	16.106	156	2544	0.03	0.45
49(66)	0.0275	-1.199	15.322	14	2302	0.00	0.41
50(75)	0.0250	4.620	-11.689	209	1340	0.04	0.24
51(77)	0.0244	0.980	24.751	9	6008	0.00	1.06
52(78)	0.0243	-0.058	-22.258	0	4859	0.00	0.86
53(79)	0.0238	-1.362	7.817	18	599	0.00	0.11
54(82)	0.0231	-5.082	7.724	253	585	0.04	0.10
55(83)	0.0228	0.413	-7.990	2	626	0.00	0.11
56(84)	0.0224	-3.644	15.551	130	2371	0.02	0.42
57(86)	0.0221	0.979	-10.797	9	1143	0.00	0.20
58(88)	0.0216	-2.351	-9.662	54	915	0.01	0.16
59(89)	0.0214	-0.926	-8.536	8	715	0.00	0.13
60(90)	0.0212	-2.052	13.564	41	1804	0.01	0.32
61(91)	0.0210	-1.432	13.480	20	1782	0.00	0.32
62(94)	0.0207	2.323	-10.058	53	992	0.01	0.18
63(95)	0.0203	19.976	-3.445	3913	116	0.69	0.02

N	T(s)	Coeff. Partecipazione	Masse Modali		Percentuali	
Somma delle Masse Modali [kgm*g]			515941	486914		
Masse strutturali libere [kgm*g]			564917	564917		
Percentuale			91.33	86.19	91.33	86.19

Posizione masse 3

Numero di Frequenze calcolate =100, filtrate=69

N	T(s)	Coeff. Partecipazione		Masse Modali		Percentuali	
		kgm*g					
		Dir=0°	Dir=90°	Dir=0°	Dir=90°	Dir=0°	Dir=90°
1(1)	0.1752	-35.008	37.551	12019	13828	2.13	2.45
2(2)	0.1728	128.045	6.185	160785	375	28.46	0.07
3(3)	0.1463	-67.770	-6.207	45039	378	7.97	0.07
4(4)	0.1178	5.962	119.354	349	139699	0.06	24.73
5(5)	0.1025	-9.469	-0.838	879	7	0.16	0.00
6(6)	0.0992	-27.561	-33.482	7449	10994	1.32	1.95
7(7)	0.0979	9.611	-131.937	906	170707	0.16	30.22
8(8)	0.0889	-37.846	53.081	14046	27631	2.49	4.89
9(9)	0.0882	-25.035	-47.939	6146	22537	1.09	3.99
10(10)	0.0815	12.000	26.798	1412	7042	0.25	1.25
11(11)	0.0787	6.706	-10.410	441	1063	0.08	0.19
12(12)	0.0752	5.508	-20.073	298	3951	0.05	0.70
13(13)	0.0721	-10.568	-25.162	1095	6209	0.19	1.10
14(14)	0.0719	26.209	1.634	6736	26	1.19	0.00
15(15)	0.0689	-73.167	2.951	52499	85	9.29	0.02
16(16)	0.0686	-39.602	-6.201	15380	377	2.72	0.07
17(17)	0.0674	12.101	5.035	1436	249	0.25	0.04
18(18)	0.0664	-92.074	1.201	83138	14	14.72	0.00
19(19)	0.0653	7.625	3.221	570	102	0.10	0.02
20(21)	0.0620	-16.334	3.920	2616	151	0.46	0.03
21(22)	0.0609	29.885	2.993	8758	88	1.55	0.02
22(23)	0.0603	-2.952	9.840	85	950	0.02	0.17
23(24)	0.0585	0.002	10.303	0	1041	0.00	0.18
24(25)	0.0575	15.388	0.838	2322	7	0.41	0.00
25(26)	0.0565	12.207	-13.042	1461	1668	0.26	0.30
26(27)	0.0555	18.628	-8.782	3403	756	0.60	0.13
27(28)	0.0537	7.597	3.813	566	143	0.10	0.03
28(31)	0.0516	67.985	1.368	45327	18	8.02	0.00
29(32)	0.0512	6.121	13.751	367	1854	0.07	0.33
30(34)	0.0496	20.092	11.174	3959	1224	0.70	0.22
31(35)	0.0466	-24.039	3.622	5667	129	1.00	0.02
32(38)	0.0460	22.480	6.759	4956	448	0.88	0.08
33(39)	0.0454	-11.947	-21.835	1400	4676	0.25	0.83
34(40)	0.0448	-32.113	13.417	10113	1765	1.79	0.31
35(41)	0.0441	-18.063	4.123	3200	167	0.57	0.03
36(44)	0.0401	0.741	19.368	5	3679	0.00	0.65
37(45)	0.0398	0.244	8.009	1	629	0.00	0.11
38(47)	0.0364	22.529	-4.578	4977	206	0.88	0.04
39(48)	0.0362	-3.321	11.228	108	1236	0.02	0.22
40(49)	0.0350	1.017	31.758	10	9890	0.00	1.75
41(50)	0.0344	7.013	20.536	482	4136	0.09	0.73
42(51)	0.0337	-7.547	-8.817	559	762	0.10	0.13
43(54)	0.0318	2.669	-14.644	70	2103	0.01	0.37
44(55)	0.0311	15.513	23.427	2360	5382	0.42	0.95
45(56)	0.0311	8.757	0.545	752	3	0.13	0.00
46(59)	0.0297	14.457	-14.806	2050	2150	0.36	0.38
47(61)	0.0291	3.968	-15.504	154	2357	0.03	0.42
48(62)	0.0286	3.419	17.484	115	2998	0.02	0.53
49(63)	0.0285	0.054	-8.321	0	679	0.00	0.12
50(68)	0.0269	2.919	12.647	84	1569	0.01	0.28
51(69)	0.0267	5.101	-9.203	255	831	0.05	0.15
52(72)	0.0262	0.895	-17.516	8	3009	0.00	0.53
53(74)	0.0251	-1.628	-15.361	26	2314	0.00	0.41
54(75)	0.0250	-0.291	13.127	1	1690	0.00	0.30
55(76)	0.0246	-6.832	14.958	458	2194	0.08	0.39

N	T(s)	Coeff. Partecipazione		Masse Modali		Percentuali	
56(77)	0.0245	0.641	11.557	4	1310	0.00	0.23
57(80)	0.0234	-0.355	-9.818	1	945	0.00	0.17
58(81)	0.0233	0.981	-21.046	9	4344	0.00	0.77
59(84)	0.0225	1.557	-16.599	24	2702	0.00	0.48
60(86)	0.0221	-1.100	11.000	12	1187	0.00	0.21
61(88)	0.0217	-0.899	-10.651	8	1113	0.00	0.20
62(90)	0.0214	0.088	11.041	0	1196	0.00	0.21
63(91)	0.0212	2.971	-13.570	87	1806	0.02	0.32
64(92)	0.0212	-1.113	-11.045	12	1196	0.00	0.21
65(95)	0.0203	-4.819	-10.626	228	1107	0.04	0.20
66(96)	0.0201	-4.024	11.224	159	1235	0.03	0.22
67(97)	0.0200	0.101	26.302	0	6784	0.00	1.20
68(98)	0.0195	1.000	-11.297	10	1252	0.00	0.22
69(99)	0.0194	-1.692	-10.162	28	1013	0.00	0.18
Somma delle Masse Modali [kgm*g]				517880	495364		
Masse strutturali libere [kgm*g]				564917	564917		
Percentuale				91.67	87.69	91.67	87.69

Posizione masse 4

Numero di Frequenze calcolate =100, filtrate=65

N	T(s)	Coeff. Partecipazione		Masse Modali		Percentuali	
				kgm*g			
		Dir=0°	Dir=90°	Dir=0°	Dir=90°	Dir=0°	Dir=90°
1(1)	0.2318	-0.272	37.630	1	13886	0.00	2.46
2(2)	0.1706	-136.368	3.301	182368	107	32.28	0.02
3(3)	0.1322	78.339	7.646	60184	573	10.65	0.10
4(4)	0.1242	-9.657	2.835	915	79	0.16	0.01
5(5)	0.1101	-3.476	-60.212	118	35554	0.02	6.29
6(6)	0.1076	3.201	-158.377	101	245982	0.02	43.54
7(7)	0.0998	15.338	-19.616	2307	3773	0.41	0.67
8(8)	0.0918	-5.097	81.358	255	64911	0.05	11.49
9(9)	0.0883	-18.580	-40.150	3386	15809	0.60	2.80
10(10)	0.0852	11.391	-14.531	1272	2071	0.23	0.37
11(11)	0.0823	4.405	22.331	190	4890	0.03	0.87
12(12)	0.0772	-21.546	-16.702	4553	2735	0.81	0.48
13(13)	0.0741	-16.902	-3.690	2801	133	0.50	0.02
14(14)	0.0720	-91.747	15.617	82548	2392	14.61	0.42
15(15)	0.0707	-15.126	-19.422	2244	3699	0.40	0.65
16(16)	0.0688	11.051	29.749	1198	8679	0.21	1.54
17(17)	0.0679	-3.155	7.830	98	601	0.02	0.11
18(18)	0.0668	-26.942	-4.640	7118	211	1.26	0.04
19(19)	0.0644	-6.528	-10.344	418	1049	0.07	0.19
20(20)	0.0635	-52.427	-5.787	26954	328	4.77	0.06
21(21)	0.0635	-28.452	1.536	7939	23	1.41	0.00
22(23)	0.0601	-7.594	4.421	565	192	0.10	0.03
23(24)	0.0589	24.494	9.793	5884	941	1.04	0.17
24(25)	0.0578	-9.082	5.692	809	318	0.14	0.06
25(26)	0.0566	64.967	9.742	41391	931	7.33	0.16
26(28)	0.0548	48.960	-11.000	23507	1187	4.16	0.21
27(29)	0.0540	-5.638	-7.696	312	581	0.06	0.10
28(30)	0.0524	-12.041	-0.177	1422	0	0.25	0.00
29(31)	0.0513	-1.886	12.642	35	1567	0.01	0.28
30(32)	0.0507	-27.942	-12.329	7656	1491	1.36	0.26
31(33)	0.0501	9.056	-0.530	804	3	0.14	0.00
32(34)	0.0499	12.738	-1.054	1591	11	0.28	0.00
33(35)	0.0493	-36.510	7.397	13072	537	2.31	0.09
34(36)	0.0485	6.864	-22.994	462	5185	0.08	0.92
35(38)	0.0470	-35.670	6.627	12477	431	2.21	0.08
36(40)	0.0447	-22.589	-17.020	5004	2841	0.89	0.50
37(45)	0.0407	-26.863	-9.253	7077	840	1.25	0.15
38(47)	0.0382	5.911	-38.030	343	14183	0.06	2.51
39(48)	0.0366	-4.445	21.366	194	4477	0.03	0.79
40(50)	0.0349	6.580	8.200	425	659	0.08	0.12

N	T(s)	Coeff. Partecipazione		Masse Modali		Percentuali	
41(51)	0.0338	12.052	-16.242	1424	2587	0.25	0.46
42(52)	0.0335	-12.994	1.569	1656	24	0.29	0.00
43(53)	0.0330	1.433	-14.907	20	2179	0.00	0.39
44(55)	0.0315	3.722	-18.567	136	3381	0.02	0.60
45(56)	0.0312	3.104	-11.961	94	1403	0.02	0.25
46(58)	0.0297	-6.474	-8.442	411	699	0.07	0.12
47(62)	0.0288	6.600	-9.976	427	976	0.08	0.17
48(63)	0.0282	-4.564	-18.049	204	3195	0.04	0.57
49(64)	0.0275	0.513	-8.312	3	678	0.00	0.12
50(65)	0.0271	-15.753	-3.363	2434	111	0.43	0.02
51(66)	0.0268	9.570	16.687	898	2731	0.16	0.48
52(68)	0.0263	6.781	-23.951	451	5626	0.08	1.00
53(69)	0.0261	-2.929	-11.003	84	1187	0.01	0.21
54(71)	0.0257	-2.091	9.893	43	960	0.01	0.17
55(73)	0.0250	1.336	17.215	17	2906	0.00	0.51
56(76)	0.0240	0.371	9.385	1	864	0.00	0.15
57(79)	0.0235	0.305	12.532	1	1540	0.00	0.27
58(82)	0.0227	-0.219	-13.778	0	1862	0.00	0.33
59(83)	0.0226	-0.798	-16.683	6	2729	0.00	0.48
60(86)	0.0217	3.099	9.191	94	828	0.02	0.15
61(90)	0.0208	-1.733	-26.064	29	6662	0.01	1.18
62(91)	0.0207	1.732	-10.808	29	1145	0.01	0.20
63(93)	0.0204	0.720	17.868	5	3131	0.00	0.55
64(94)	0.0204	2.013	-10.370	40	1054	0.01	0.19
65(96)	0.0200	-2.121	13.396	44	1760	0.01	0.31
Somma delle Masse Modali [kgm*g]				518549	494076		
Masse strutturali libere [kgm*g]				564917	564917		
Percentuale				91.79	87.46	91.79	87.46

Risultati Analisi Dinamica - Massime tensioni sul terreno aste

Scenario di calcolo : **Scenario di calcolo N.T. 2018**

Asta	N.in.	N.fin.	0/5	1/5	2/5	3/5	4/5	5/5
			kg/cmq	kg/cmq	kg/cmq	kg/cmq	kg/cmq	kg/cmq
9001	1	805	1.42(23-II-4)	1.40(23-II-4)	1.38(23-II-4)	1.36(23-II-4)	1.34(23-II-4)	1.32(23-II-4)
9001	817	15	1.15(2)	1.15(2)	1.16(2)	1.16(2)	1.17(2)	1.17(2)
9001	814	817	1.22(2)	1.17(2)	1.13(2)	1.11(2)	1.12(2)	1.15(2)
9001	807	3	1.23(2)	1.24(2)	1.24(2)	1.24(2)	1.24(2)	1.24(2)
9001	805	807	1.32(23-II-4)	1.22(23-II-4)	1.16(23-II-4)	1.15(2)	1.19(2)	1.23(2)
9001	3	814	1.24(2)	1.24(2)	1.24(2)	1.23(2)	1.23(2)	1.22(2)
9002	7	856	1.45(2)	1.44(2)	1.44(2)	1.43(2)	1.41(2)	1.38(2)
9002	871	25	1.46(2)	1.50(2)	1.51(2)	1.52(2)	1.52(2)	1.52(2)
9002	900	902	1.45(2)	1.21(2)	1.03(2)	0.98(2)	1.08(2)	1.25(2)
9002	858	17	1.30(2)	1.33(2)	1.34(2)	1.34(2)	1.33(2)	1.34(2)
9002	856	858	1.38(2)	1.17(2)	1.02(2)	1.00(2)	1.12(2)	1.30(2)
9002	853	7	1.41(2)	1.45(2)	1.46(2)	1.46(2)	1.46(2)	1.45(2)
9002	17	869	1.34(2)	1.33(2)	1.33(2)	1.32(2)	1.31(2)	1.28(2)
9002	9	850	1.33(2)	1.31(2)	1.29(2)	1.28(2)	1.26(2)	1.23(2)
9002	25	900	1.52(2)	1.52(2)	1.52(2)	1.51(2)	1.49(2)	1.45(2)
9002	850	853	1.23(2)	1.05(2)	0.95(2)	1.00(2)	1.19(2)	1.41(2)
9002	902	2	1.25(2)	1.28(2)	1.30(2)	1.31(2)	1.31(2)	1.32(2)
9002	869	871	1.28(2)	1.11(2)	1.01(2)	1.05(2)	1.23(2)	1.46(2)
9003	4	888	1.41(2)	1.40(2)	1.40(2)	1.39(2)	1.38(2)	1.38(2)
9003	898	7	1.36(23-I-2)	1.38(23-I-2)	1.40(23-I-2)	1.42(23-I-2)	1.43(23-I-2)	1.45(23-I-2)
9003	896	898	1.23(23-I-2)	1.21(23-I-2)	1.20(23-I-2)	1.23(23-I-2)	1.29(23-I-2)	1.36(23-I-2)
9003	895	6	1.22(2)	1.23(2)	1.23(2)	1.24(2)	1.24(2)	1.25(2)
9003	892	895	1.31(2)	1.26(2)	1.21(2)	1.19(2)	1.20(2)	1.22(2)

Asta	N.in.	N.fin.	0/5	1/5	2/5	3/5	4/5	5/5
9003	888	890	1.38(2)	1.33(2)	1.29(2)	1.28(2)	1.30(2)	1.33(2)
9003	6	896	1.25(2)	1.24(2)	1.23(2)	1.23(23-I-3)	1.23(23-I-3)	1.23(23-I-2)
9003	5	892	1.34(2)	1.34(2)	1.33(2)	1.33(2)	1.32(2)	1.31(2)
9003	890	5	1.33(2)	1.34(2)	1.34(2)	1.34(2)	1.34(2)	1.34(2)
9004	882	883	1.33(23-I-4)	1.28(2)	1.27(2)	1.28(2)	1.32(2)	1.37(2)
9004	883	4	1.38(2)	1.39(2)	1.40(2)	1.40(2)	1.40(2)	1.40(2)
9004	3	882	1.41(23-I-4)	1.40(23-I-4)	1.39(23-I-4)	1.37(23-I-4)	1.36(23-I-4)	1.35(23-I-4)
9005	904	907	1.29(2)	1.25(2)	1.22(2)	1.22(2)	1.25(2)	1.30(2)
9005	1	904	1.41(23-II-4)	1.37(23-II-4)	1.34(23-II-4)	1.31(2)	1.30(2)	1.29(2)
9005	907	9	1.30(2)	1.31(2)	1.32(2)	1.33(2)	1.34(2)	1.35(2)
9006	9	875	1.41(2)	1.40(2)	1.40(2)	1.39(2)	1.38(2)	1.37(2)
9006	877	3	1.31(2)	1.32(2)	1.34(2)	1.35(2)	1.37(2)	1.38(2)
9006	875	877	1.37(2)	1.31(2)	1.26(2)	1.23(2)	1.25(2)	1.31(2)
9007	7	4	1.46(2)	1.45(2)	1.43(2)	1.41(2)	1.40(2)	1.39(2)
9007	912	908	1.19(2)	1.18(2)	1.19(2)	1.24(2)	1.33(2)	1.42(2)
9007	3	912	1.23(2)	1.23(2)	1.23(2)	1.22(2)	1.21(2)	1.19(2)
9007	908	7	1.42(2)	1.44(2)	1.45(2)	1.46(2)	1.46(2)	1.46(2)
9008	13	21	1.16(2)	0.92(2)	0.71(2)	0.60(2)	0.60(5)	0.67(23-II-1)
9008	35	37	1.13(2)	1.17(2)	1.20(2)	1.24(2)	1.29(2)	1.35(2)
9008	21	23	0.67(23-II-1)	0.65(23-II-1)	0.64(23-II-1)	0.64(23-II-1)	0.66(23-II-1)	0.68(23-II-1)
9008	23	35	0.68(23-II-1)	0.63(2)	0.66(2)	0.77(2)	0.95(2)	1.13(2)
9009	911	17	1.31(2)	1.32(2)	1.33(2)	1.33(2)	1.34(2)	1.34(2)
9009	13	15	1.23(2)	1.21(2)	1.20(2)	1.19(2)	1.17(2)	1.16(2)
9009	915	911	1.18(2)	1.19(2)	1.21(2)	1.24(2)	1.28(2)	1.31(2)
9009	17	5	1.34(2)	1.34(2)	1.33(2)	1.33(2)	1.34(2)	1.34(2)
9009	15	915	1.16(2)	1.16(2)	1.16(2)	1.17(2)	1.17(2)	1.18(2)
9010	25	6	1.48(2)	1.42(2)	1.37(2)	1.32(2)	1.28(2)	1.24(2)
9011	35	846	1.11(2)	1.09(2)	1.08(2)	1.06(2)	1.04(2)	1.02(2)
9011	41	2	1.28(2)	1.27(2)	1.27(2)	1.29(2)	1.31(2)	1.34(2)
9011	846	848	1.02(2)	0.86(2)	0.79(2)	0.85(2)	1.02(2)	1.22(2)
9011	848	41	1.22(2)	1.25(2)	1.27(2)	1.28(2)	1.28(2)	1.28(2)
9011	8	7	1.34(2)	1.33(2)	1.32(2)	1.33(2)	1.39(23-I-2)	1.45(23-I-2)
9011	2	8	1.34(2)	1.33(2)	1.32(2)	1.31(2)	1.32(2)	1.34(2)
9012	837	9	1.19(2)	1.21(2)	1.22(2)	1.23(2)	1.24(2)	1.26(2)
9012	833	1	1.21(2)	1.22(2)	1.22(2)	1.22(2)	1.22(2)	1.22(2)
9012	37	830	1.34(22-I-1)	1.32(22-I-1)	1.31(22-I-1)	1.29(22-I-1)	1.28(2)	1.27(2)
9012	1	835	1.22(2)	1.22(2)	1.22(2)	1.21(2)	1.21(2)	1.20(2)
9012	835	837	1.20(2)	1.16(2)	1.13(2)	1.12(2)	1.15(2)	1.19(2)
9012	830	833	1.27(2)	1.20(2)	1.15(2)	1.15(2)	1.17(2)	1.21(2)
9013	41	1	1.28(2)	1.27(2)	1.26(2)	1.25(2)	1.24(2)	1.22(2)
9014	8	840	1.33(2)	1.31(2)	1.30(2)	1.29(2)	1.27(2)	1.26(2)
9014	842	9	1.19(2)	1.21(2)	1.22(2)	1.23(2)	1.24(2)	1.25(2)
9014	840	842	1.26(2)	1.19(2)	1.14(2)	1.12(2)	1.14(2)	1.19(2)

Risultati Analisi Dinamica - Spostamenti massimi - Nodi

Scenario di calcolo : **Scenario di calcolo N.T. 2018**

la tripletta (Cb [-SubC-Cbm]) indica la Combinazione - SottoCombinazione sismica - Posizione Masse, nel caso non sismico mancano SubC-Cbm

Nodo	Trasl. X	Trasl. Y	Trasl. Z	Rotaz. X	Rotaz. Y	Rotaz. Z
	mm	mm	mm	mrad	mrad	mrad
1	0.00(1)	0.00(1)	-1.77(23-II-4)	0.23(23-II-4)	-0.19(23-II-1)	0.00(1)
1	0.00(1)	0.00(1)	-1.53(2)	0.11(23-II-2)	0.12(22-I-2)	0.00(1)
2	0.00(1)	0.00(1)	-1.66(2)	-0.08(23-I-2)	0.20(22-I-4)	0.00(1)
2	0.45(22-I-1)	0.87(23-I-4)	-1.71(23-II-4)	-0.32(23-I-4)	0.19(22-I-1)	0.16(22-II-4)
3	0.00(1)	0.00(1)	-1.75(23-I-4)	-0.23(23-I-4)	-0.13(22-II-3)	0.00(1)
3	0.00(1)	0.00(1)	-1.55(2)	0.12(23-II-4)	-0.07(22-II-1)	0.00(1)

Nodo	Trasl. X	Trasl. Y	Trasl. Z	Rotaz. X	Rotaz. Y	Rotaz. Z
4	0.00(1)	0.00(1)	-1.75(2)	-0.12(23-I-4)	0.05(22-I-3)	0.00(1)
4	-0.49(22-II-1)	-0.49(23-II-4)	-1.54(2)	-0.26(2)	-0.12(22-II-1)	0.15(22-I-1)
5	0.00(1)	0.00(1)	-1.67(2)	-0.07(23-I-4)	-0.05(22-II-3)	0.00(1)
6	0.00(1)	0.00(1)	-1.55(2)	0.18(23-II-3)	-0.04(22-II-3)	0.00(1)
6	-0.30(22-II-3)	0.82(23-I-4)	-1.70(23-I-4)	0.30(23-II-4)	0.14(22-I-3)	-0.14(22-II-4)
7	0.00(1)	0.00(1)	-1.79(23-I-2)	-0.17(23-I-2)	0.09(23-I-2)	0.00(1)
7	0.00(1)	0.00(1)	-1.81(2)	-0.08(23-I-4)	-0.22(22-II-4)	0.00(1)
8	0.00(1)	0.00(1)	-1.64(2)	-0.16(23-I-2)	-0.10(22-II-2)	0.00(1)
8	-1.04(22-II-4)	-0.45(23-II-4)	-1.89(2)	-0.09(23-I-4)	0.25(22-I-4)	0.12(23-I-4)
9	0.00(1)	0.00(1)	-1.57(2)	-0.17(23-I-2)	0.13(22-I-2)	0.00(1)
9	0.00(1)	0.00(1)	-1.73(2)	-0.14(23-I-4)	-0.29(22-II-4)	0.00(1)
10	-0.59(22-II-4)	-0.24(23-II-4)	-1.49(2)	-0.06(23-I-4)	0.16(22-I-4)	0.14(22-II-4)
10	-0.77(22-II-4)	-0.24(23-II-4)	-1.72(2)	-0.05(23-I-4)	-0.18(22-II-4)	-0.10(23-I-4)
10	-0.16(22-II-4)	0.05(23-I-4)	-1.65(2)	-0.10(2)	-0.20(22-II-4)	-0.03(22-I-1)
10	-0.13(22-II-4)	0.03(23-I-4)	-1.46(2)	0.07(23-II-4)	-0.15(22-II-4)	0.03(22-II-4)
10	-0.64(22-II-4)	-0.42(23-II-4)	-1.55(2)	-0.08(23-I-4)	0.18(22-I-4)	0.15(22-II-4)
10	-0.88(22-II-4)	-0.41(23-II-4)	-1.87(2)	0.09(23-II-4)	-0.19(22-II-4)	-0.06(23-II-4)
10	-0.14(22-II-1)	-0.09(23-II-4)	-1.49(2)	0.11(23-II-4)	-0.17(22-II-1)	0.03(22-II-4)
10	-0.19(22-II-4)	0.07(23-I-4)	-1.82(2)	-0.06(23-I-4)	-0.23(22-II-4)	-0.02(23-II-4)
10	-0.56(22-II-1)	-0.72(23-II-4)	-1.68(2)	-0.26(23-I-4)	0.23(22-I-4)	0.17(22-II-4)
10	-0.93(22-II-4)	0.68(23-I-4)	-1.69(2)	-0.19(23-I-4)	0.38(22-I-4)	-0.10(22-I-4)
10	-0.23(22-II-4)	-0.16(23-II-4)	-1.59(2)	0.29(23-II-4)	-0.23(22-II-1)	0.10(2)
10	-0.32(22-II-4)	0.11(23-I-4)	-1.69(2)	-0.17(23-I-4)	-0.33(22-II-4)	-0.12(2)
10	0.74(22-I-4)	-0.83(23-II-2)	-1.75(2)	0.22(23-II-2)	-0.25(22-II-4)	0.19(23-II-2)
10	-0.73(22-II-4)	-0.87(23-II-2)	-1.94(2)	0.26(23-II-2)	0.20(22-I-4)	0.18(23-I-2)
10	0.17(22-I-4)	-0.16(23-II-2)	-1.60(2)	0.20(23-II-2)	0.18(22-I-4)	0.04(23-II-2)
10	-0.15(22-II-4)	-0.19(23-II-2)	-1.86(2)	0.21(23-II-2)	0.22(22-I-4)	-0.03(23-II-2)
10	0.25(22-I-3)	0.88(23-I-2)	-1.78(23-I-2)	0.32(23-II-2)	-0.12(22-II-3)	-0.24(23-I-3)
10	-0.23(22-II-3)	-0.89(23-II-3)	-1.60(2)	0.33(23-II-3)	0.10(22-I-3)	0.23(23-I-2)
10	0.08(23-I-2)	0.19(23-I-2)	-1.67(23-I-2)	-0.24(23-I-2)	0.15(23-I-2)	-0.03(23-I-3)
10	-0.03(22-II-3)	0.15(23-I-3)	-1.52(2)	0.19(23-II-3)	-0.08(22-II-3)	0.04(23-I-2)
10	0.23(22-I-3)	-0.73(23-II-4)	-1.59(2)	0.27(23-II-3)	-0.09(22-II-3)	-0.11(23-I-2)
10	-0.23(22-II-3)	-0.33(23-II-4)	-1.71(2)	0.16(23-II-4)	0.09(22-I-3)	-0.16(23-II-3)
10	0.05(23-I-2)	-0.12(23-II-4)	-1.53(2)	0.16(23-II-4)	0.08(22-I-3)	-0.03(23-II-2)
10	-0.05(23-II-2)	0.08(23-I-4)	-1.64(2)	-0.08(23-I-4)	-0.08(22-II-3)	0.03(23-I-3)
10	-0.23(22-II-3)	0.29(23-I-3)	-1.72(2)	0.15(23-II-3)	-0.10(22-II-3)	-0.10(23-I-3)
10	-0.26(22-II-3)	-0.33(23-II-4)	-1.78(2)	0.14(23-II-3)	0.08(22-I-3)	0.08(23-I-3)
10	0.03(23-I-3)	0.07(23-I-4)	-1.66(2)	-0.08(23-I-3)	0.08(22-I-3)	-0.03(23-I-3)
10	-0.05(23-I-3)	0.08(23-I-4)	-1.72(2)	-0.08(23-I-4)	-0.09(22-II-3)	0.02(2)
10	-0.24(22-II-3)	0.53(23-I-4)	-1.79(2)	0.22(23-II-4)	-0.10(22-II-3)	-0.16(23-I-3)
10	0.05(22-I-3)	0.21(23-I-4)	-1.74(2)	-0.19(23-I-4)	0.07(22-I-3)	-0.13(2)
10	-0.31(22-II-3)	0.80(23-I-4)	-1.75(23-I-4)	0.30(23-II-4)	0.16(2)	0.09(23-I-3)
10	-0.11(23-I-3)	0.25(23-I-4)	-1.65(23-I-4)	-0.26(23-I-4)	-0.18(23-I-3)	0.09(2)
10	0.15(22-I-4)	-0.17(23-II-3)	-1.87(2)	0.19(23-II-3)	-0.22(22-II-4)	0.02(23-I-4)
10	-0.16(22-II-4)	-0.06(23-II-4)	-1.65(2)	-0.06(23-I-4)	0.24(22-I-4)	-0.04(23-I-4)
10	-0.94(22-II-4)	0.67(23-I-4)	-1.72(2)	-0.19(23-I-4)	0.35(22-I-4)	-0.08(22-II-4)
10	-0.35(22-II-3)	0.74(23-I-4)	-1.74(2)	0.25(23-II-4)	0.15(22-I-3)	-0.16(22-II-4)
10	-0.12(22-II-3)	0.16(23-I-4)	-1.62(2)	-0.30(23-I-4)	-0.12(22-II-3)	-0.04(22-II-4)
10	-0.22(22-II-4)	-0.11(23-II-4)	-1.69(2)	0.17(23-II-4)	-0.27(22-II-4)	0.02(22-I-4)
10	-0.75(22-II-4)	-0.73(23-II-4)	-1.94(2)	0.21(23-II-4)	-0.22(22-II-4)	-0.12(23-II-4)
10	-0.80(22-II-4)	-0.32(23-II-4)	-1.73(2)	-0.11(23-I-4)	0.20(22-I-4)	-0.19(23-I-4)
10	0.15(22-I-4)	-0.07(23-II-4)	-1.67(2)	-0.08(23-I-4)	-0.25(22-II-4)	0.03(23-II-4)
10	-0.18(22-II-4)	-0.08(23-II-4)	-1.78(2)	-0.09(23-I-4)	0.27(22-I-4)	-0.03(23-II-4)
10	-0.17(22-II-4)	-0.10(23-II-4)	-1.83(2)	0.11(23-II-4)	-0.28(22-II-4)	0.03(23-II-4)
10	-0.22(22-II-4)	-0.14(23-II-4)	-1.59(2)	0.18(23-II-4)	-0.21(22-II-4)	-0.03(23-II-4)
10	-0.80(22-II-4)	-0.45(23-II-4)	-1.77(2)	-0.19(23-I-4)	-0.28(22-II-4)	-0.25(23-I-3)
10	-0.90(22-II-4)	-0.47(23-II-4)	-1.89(2)	-0.18(23-I-4)	0.24(22-I-4)	0.22(23-I-4)
10	-0.91(22-II-4)	-0.60(23-II-4)	-1.92(2)	-0.24(23-I-4)	-0.29(22-II-4)	-0.27(23-I-4)
10	-1.00(22-II-4)	0.77(23-I-4)	-1.80(2)	-0.26(23-I-4)	0.44(22-I-4)	-0.18(23-II-4)
10	0.57(22-I-1)	-0.78(23-II-2)	-1.48(2)	-0.34(23-I-2)	0.16(22-I-1)	0.08(22-I-3)
10	-0.43(22-II-2)	-0.73(23-II-2)	-1.68(2)	0.26(23-II-2)	-0.15(22-II-2)	0.07(22-II-4)
10	0.12(22-I-1)	-0.21(23-II-2)	-1.30(2)	0.26(23-II-2)	0.15(22-I-1)	-0.02(22-II-1)
10	-0.08(22-II-2)	0.13(23-I-2)	-1.58(2)	0.16(23-II-2)	-0.12(22-II-2)	0.02(22-II-3)
10	-0.35(22-II-2)	0.65(23-I-2)	-1.63(2)	0.26(23-II-2)	-0.19(22-II-2)	0.20(22-I-2)
10	-0.39(22-II-2)	-0.74(23-II-2)	-1.71(2)	0.25(23-II-2)	0.15(22-I-2)	-0.20(22-I-2)
10	0.09(22-I-2)	0.15(23-I-2)	-1.49(2)	-0.18(23-I-2)	0.18(22-I-2)	-0.02(23-I-2)

Nodo	Trasl. X	Trasl. Y	Trasl. Z	Rotaz. X	Rotaz. Y	Rotaz. Z
10	-0.08(22-II-2)	0.14(23-I-2)	-1.57(2)	0.16(23-II-2)	-0.14(22-II-2)	0.03(23-I-3)
10	0.39(22-I-2)	0.53(23-I-2)	-1.58(2)	0.19(23-II-2)	-0.17(22-II-2)	0.10(22-I-2)
10	-0.44(22-II-2)	-0.54(23-II-2)	-1.55(2)	0.14(23-II-2)	-0.16(22-II-2)	-0.08(22-I-2)
10	0.12(22-I-2)	0.11(23-I-2)	-1.48(2)	-0.22(23-I-2)	0.14(22-I-2)	0.02(22-I-2)
10	0.11(22-I-2)	-0.09(23-II-2)	-1.50(2)	0.15(23-II-2)	0.12(22-I-2)	-0.03(2)
10	-0.45(22-II-2)	-0.53(23-II-2)	-1.59(2)	0.15(23-II-2)	-0.15(22-II-2)	0.08(23-II-2)
10	0.58(22-I-1)	-0.59(23-II-2)	-1.72(2)	-0.19(23-I-2)	0.15(22-I-1)	0.08(22-I-2)
10	0.11(22-I-2)	0.08(23-I-2)	-1.52(2)	-0.13(23-I-2)	0.12(22-I-2)	0.03(23-II-2)
10	0.14(22-I-1)	-0.13(23-II-2)	-1.58(2)	0.26(23-II-2)	0.16(22-I-1)	-0.02(22-I-2)
10	0.39(22-I-1)	-0.38(23-II-4)	-1.54(2)	-0.14(23-I-1)	-0.17(22-II-1)	0.16(22-II-1)
10	-0.42(22-II-1)	-0.46(23-II-4)	-1.58(2)	-0.17(23-I-4)	0.13(22-I-1)	-0.17(22-II-1)
10	0.06(22-I-1)	-0.07(23-II-4)	-1.43(2)	0.08(23-II-4)	0.14(22-I-1)	0.03(23-II-4)
10	-0.05(22-II-1)	-0.10(23-II-4)	-1.52(2)	0.11(23-II-4)	-0.11(22-II-1)	-0.02(22-II-1)
10	-0.40(22-II-1)	-0.51(23-II-4)	-1.61(2)	-0.20(23-I-4)	-0.14(22-II-1)	0.14(23-II-1)
10	-0.45(22-II-1)	-0.72(23-II-4)	-1.76(23-II-4)	-0.27(23-I-4)	0.22(22-I-1)	-0.09(22-I-1)
10	0.06(22-I-1)	-0.12(23-II-4)	-1.54(2)	0.13(23-II-4)	0.10(22-I-1)	0.03(23-II-1)
10	-0.13(23-II-1)	-0.17(23-II-4)	-1.62(23-II-4)	0.20(23-II-4)	-0.25(23-II-1)	-0.01(23-II-4)
10	-2.97(22-II-2)	-0.92(23-II-2)	-1.67(22-I-2)	0.11(23-II-2)	-0.98(22-II-2)	-0.14(22-I-2)
10	3.20(22-I-2)	0.99(23-I-2)	-2.04(2)	-0.56(2)	1.06(22-I-2)	0.12(22-I-2)
10	-1.20(22-II-4)	0.80(23-I-4)	-1.69(2)	-0.18(23-I-4)	0.51(22-I-4)	-0.09(23-II-4)
12	-0.30(22-II-3)	-0.48(23-II-4)	-1.76(2)	0.17(23-II-4)	-0.08(22-II-3)	-0.11(23-I-4)
13	0.00(1)	0.00(1)	-1.49(2)	0.06(23-II-4)	-0.24(23-II-4)	0.00(1)
14	-0.72(22-II-1)	-0.34(23-II-4)	-1.48(2)	0.13(23-II-1)	0.47(22-I-1)	0.26(22-I-1)
15	0.00(1)	0.00(1)	-1.46(2)	0.07(23-II-4)	0.07(22-I-1)	0.00(1)
16	-0.49(22-II-1)	-0.32(23-II-4)	-1.49(2)	-0.10(23-I-4)	-0.14(22-II-1)	-0.17(22-II-1)
17	0.00(1)	0.00(1)	-1.67(2)	-0.05(23-I-4)	-0.20(22-II-4)	0.00(1)
18	3.35(22-I-4)	0.73(23-I-4)	-2.11(2)	-0.23(23-I-4)	0.46(22-I-4)	-0.18(22-II-4)
18	-0.93(22-II-4)	-0.27(23-II-4)	-1.74(2)	0.05(23-II-4)	0.24(22-I-4)	-0.15(23-I-4)
20	3.30(22-I-4)	-1.21(23-II-4)	-1.86(23-II-4)	0.24(23-II-4)	0.94(22-I-4)	0.19(22-I-4)
20	-0.27(22-II-3)	-0.29(23-II-4)	-1.67(2)	0.22(2)	0.07(22-I-3)	-0.10(22-II-3)
21	0.00(1)	0.00(1)	-0.78(1)	0.67(23-II-1)	0.03(22-I-1)	0.00(1)
22	2.16(22-I-1)	5.47(23-I-1)	-0.88(23-II-1)	-1.42(23-I-1)	0.46(22-I-1)	0.68(23-I-1)
23	0.00(1)	0.00(1)	-0.80(5)	0.68(23-II-1)	-0.02(22-I-2)	0.00(1)
24	2.78(22-I-1)	1.42(23-I-1)	-1.41(2)	-0.60(23-I-1)	0.43(22-I-1)	1.10(23-I-1)
24	-2.06(22-II-1)	5.41(23-I-1)	-0.88(23-II-1)	-1.41(23-I-1)	0.47(22-I-1)	0.71(23-II-1)
25	0.00(1)	0.00(1)	-1.89(2)	0.21(23-II-3)	-0.18(22-II-4)	0.00(1)
26	-0.86(22-II-4)	-0.90(23-II-3)	-1.95(2)	0.22(23-II-3)	0.25(22-I-4)	-0.08(22-II-3)
28	3.43(22-I-4)	0.62(23-I-4)	-1.90(2)	-0.56(23-I-1)	-0.62(22-II-3)	-0.14(23-II-3)
28	0.26(22-I-3)	-0.96(23-II-3)	-1.53(2)	0.34(23-II-3)	0.06(22-I-3)	0.11(22-I-2)
30	0.27(22-I-3)	-0.78(23-II-2)	-1.78(23-I-2)	0.31(23-II-2)	-0.09(22-II-3)	-0.21(23-II-3)
32	2.61(22-I-1)	8.71(23-I-1)	-0.86(5)	-1.23(23-I-1)	-0.13(22-I-1)	1.07(23-I-1)
32	-0.43(22-II-2)	-0.77(23-II-2)	-1.68(2)	0.21(23-II-2)	0.10(22-I-2)	-0.16(22-I-2)
34	2.65(22-I-1)	8.63(23-I-1)	-0.86(5)	-1.23(23-I-1)	0.16(22-II-1)	1.11(23-II-1)
34	0.83(22-I-4)	-0.72(23-II-2)	-1.70(2)	0.09(23-II-2)	-0.29(22-II-4)	0.12(23-II-2)
35	0.00(1)	0.00(1)	-1.40(2)	0.26(23-II-2)	0.15(22-I-1)	0.00(1)
36	3.48(22-I-3)	-1.59(23-II-3)	-2.03(23-II-3)	-1.54(23-I-3)	-0.58(22-II-3)	-0.22(22-II-3)
36	0.73(22-I-1)	-0.84(23-II-2)	-1.37(2)	-0.30(23-I-2)	0.21(22-I-1)	0.12(23-II-1)
37	0.00(1)	0.00(1)	-1.67(2)	0.19(23-II-2)	0.17(22-I-1)	0.00(1)
38	4.25(22-I-3)	1.37(23-I-1)	-2.00(2)	0.50(23-II-1)	0.47(22-I-3)	0.36(23-I-3)
38	0.70(22-I-1)	-0.64(23-II-2)	-1.65(22-I-1)	-0.21(23-I-2)	0.16(22-I-1)	0.10(23-II-1)
40	-0.59(22-II-2)	-0.63(23-II-2)	-1.58(2)	0.15(23-II-2)	-0.24(22-II-2)	-0.12(23-I-2)
41	0.00(1)	0.00(1)	-1.60(2)	-0.07(22-I-2)	0.10(22-I-2)	0.00(1)
42	-0.58(22-II-2)	-0.78(23-II-2)	-1.68(2)	-0.07(22-I-2)	-0.24(22-II-2)	0.16(22-II-4)
44	-0.48(22-II-2)	-0.64(23-II-2)	-1.49(23-I-2)	0.26(23-II-2)	-0.17(22-II-2)	0.19(22-I-2)
44	3.49(22-I-3)	1.51(23-I-2)	-1.63(2)	-0.98(23-I-2)	-0.77(22-II-3)	0.20(22-I-2)
46	4.18(22-I-3)	4.01(23-I-3)	-2.18(23-II-3)	-1.52(23-I-4)	-0.11(22-II-3)	0.16(23-I-2)
46	2.73(22-I-1)	2.69(23-I-2)	-1.33(2)	-0.67(23-I-1)	-0.46(22-II-1)	-1.04(23-I-1)
54	-4.26(22-II-3)	2.55(23-I-2)	-1.81(2)	0.48(23-II-2)	-0.46(22-II-3)	-0.31(23-II-4)
802	-3.30(22-II-2)	0.88(23-I-2)	-1.86(2)	-0.65(2)	-1.07(22-II-2)	-0.11(22-I-2)
803	2.88(22-I-2)	-0.89(23-II-2)	-1.85(2)	0.10(23-II-2)	0.96(22-I-2)	0.14(22-II-2)
804	0.44(22-I-1)	0.93(23-I-4)	-1.76(23-II-4)	-0.33(23-I-4)	0.14(22-I-1)	0.10(22-II-1)
805	0.00(1)	0.00(1)	-1.61(23-II-4)	0.23(23-II-4)	-0.17(23-II-1)	0.00(1)
806	-0.50(22-II-1)	0.60(23-I-4)	-1.61(2)	-0.27(23-I-1)	-0.13(22-II-1)	-0.18(23-I-1)
807	0.00(1)	0.00(1)	-1.52(2)	0.17(23-II-4)	0.08(22-I-1)	0.00(1)
808	0.05(22-I-1)	-0.10(23-II-4)	-1.55(2)	0.11(23-II-4)	0.08(22-I-1)	0.03(22-I-1)
809	-0.13(23-II-1)	-0.17(23-II-4)	-1.76(23-II-4)	0.20(23-II-4)	-0.16(22-II-1)	0.04(22-II-4)

Nodo	Trasl. X	Trasl. Y	Trasl. Z	Rotaz. X	Rotaz. Y	Rotaz. Z
810	0.07(22-I-1)	-0.05(23-II-4)	-1.46(2)	0.06(23-II-4)	0.10(22-I-1)	-0.03(22-I-4)
811	-0.44(22-II-1)	-0.70(23-II-4)	-1.72(23-II-4)	-0.23(23-I-4)	0.17(22-I-1)	0.13(22-II-4)
812	-0.39(22-II-1)	-0.43(23-II-4)	-1.58(2)	-0.12(23-I-4)	-0.12(22-II-1)	0.13(22-I-1)
813	-0.38(22-II-1)	-0.26(23-II-4)	-1.49(2)	0.07(23-II-4)	-0.13(22-II-1)	-0.13(22-I-1)
814	0.00(1)	0.00(1)	-1.51(2)	0.14(23-II-4)	-0.08(23-II-1)	0.00(1)
815	-0.45(22-II-1)	-0.54(23-II-4)	-1.57(2)	-0.23(23-I-1)	0.09(22-I-1)	0.19(22-I-1)
816	-0.47(22-II-1)	0.47(23-I-4)	-1.54(2)	-0.18(23-I-1)	-0.10(22-II-1)	-0.17(22-I-1)
817	0.00(1)	0.00(1)	-1.43(2)	0.11(23-II-4)	0.08(22-I-1)	0.00(1)
818	0.12(22-I-1)	-0.21(23-II-2)	-1.40(2)	0.26(23-II-2)	0.15(22-I-1)	0.02(23-I-1)
819	0.12(22-I-1)	-0.14(23-II-2)	-1.67(2)	0.18(23-II-2)	0.15(22-I-1)	-0.03(23-I-2)
820	0.09(22-I-2)	-0.08(23-II-2)	-1.53(2)	0.11(23-II-2)	-0.12(22-II-2)	0.03(23-II-2)
821	0.10(22-I-2)	0.12(23-I-2)	-1.56(2)	-0.15(23-I-2)	0.12(22-I-2)	-0.02(22-II-2)
822	-0.08(22-II-2)	0.13(23-I-2)	-1.65(2)	0.16(23-II-2)	-0.11(22-II-2)	-0.03(22-II-2)
823	0.08(23-I-2)	-0.13(23-II-2)	-1.79(23-I-2)	-0.16(23-I-2)	0.08(23-I-2)	-0.06(23-II-3)
824	0.58(22-I-1)	-0.78(23-II-2)	-1.38(2)	-0.22(23-I-2)	0.17(22-I-1)	0.09(23-II-1)
825	0.58(22-I-1)	-0.59(23-II-2)	-1.66(2)	-0.17(23-I-2)	0.15(22-I-1)	0.09(23-II-1)
826	-0.45(22-II-2)	-0.52(23-II-2)	-1.57(2)	0.15(23-II-2)	-0.14(22-II-2)	0.11(23-II-2)
827	-0.35(22-II-2)	0.51(23-I-2)	-1.50(2)	0.17(23-II-2)	-0.15(22-II-2)	0.15(22-I-2)
828	-0.36(22-II-2)	-0.62(23-II-2)	-1.68(2)	0.17(23-II-2)	0.10(22-I-2)	-0.14(22-II-2)
829	0.24(22-I-3)	-0.61(23-II-2)	-1.79(23-I-2)	0.19(23-II-2)	-0.09(22-II-3)	-0.22(23-II-3)
830	0.00(1)	0.00(1)	-1.57(2)	0.17(23-II-2)	0.18(22-I-1)	0.00(1)
831	0.70(22-I-1)	-0.64(23-II-2)	-1.72(2)	-0.13(23-I-2)	0.15(22-I-1)	0.09(22-II-2)
832	-0.58(22-II-2)	-0.64(23-II-2)	-1.59(2)	0.13(23-II-2)	-0.19(22-II-2)	0.09(23-II-2)
833	0.00(1)	0.00(1)	-1.50(2)	-0.10(23-I-2)	0.15(22-I-2)	0.00(1)
834	-0.57(22-II-2)	-0.61(23-II-2)	-1.55(2)	-0.11(23-I-2)	-0.18(22-II-2)	0.09(22-II-2)
835	0.00(1)	0.00(1)	-1.49(2)	0.11(23-II-2)	0.15(22-I-2)	0.00(1)
836	-0.53(22-II-2)	-0.62(23-II-2)	-1.58(2)	0.12(23-II-2)	-0.19(22-II-2)	0.10(22-I-2)
837	0.00(1)	0.00(1)	-1.47(2)	-0.14(23-I-2)	0.16(22-I-2)	0.00(1)
838	-0.09(22-II-2)	0.13(23-I-2)	-1.61(2)	-0.18(23-I-2)	-0.11(22-II-2)	-0.03(23-II-2)
839	-0.45(22-II-2)	-0.71(23-II-2)	-1.66(2)	0.13(23-II-2)	-0.15(22-II-2)	-0.11(22-I-3)
840	0.00(1)	0.00(1)	-1.56(2)	-0.19(23-I-2)	-0.11(23-II-3)	0.00(1)
841	-0.41(22-II-2)	-0.95(23-II-2)	-1.71(2)	0.28(23-II-2)	0.11(22-I-2)	-0.23(22-I-2)
842	0.00(1)	0.00(1)	-1.47(2)	-0.20(23-I-2)	0.12(23-I-3)	0.00(1)
843	-0.47(22-II-2)	-0.87(23-II-2)	-1.63(2)	0.30(23-II-2)	-0.14(22-II-2)	0.23(22-I-2)
844	0.17(22-I-4)	0.12(23-I-2)	-1.67(2)	0.17(23-II-2)	0.21(22-I-4)	0.03(23-II-2)
845	0.70(22-I-4)	-0.60(23-II-2)	-1.68(2)	0.16(23-II-2)	-0.20(22-II-4)	0.13(23-II-2)
846	0.00(1)	0.00(1)	-1.25(2)	0.24(23-II-2)	0.15(22-I-1)	0.00(1)
847	0.71(22-I-1)	-0.79(23-II-2)	-1.49(2)	-0.17(23-I-2)	0.18(22-I-1)	0.09(22-II-2)
848	0.00(1)	0.00(1)	-1.51(2)	-0.22(2)	0.12(22-I-2)	0.00(1)
849	-0.56(22-II-2)	-0.77(23-II-2)	-1.69(2)	0.07(23-II-2)	-0.20(22-II-2)	0.07(22-II-4)
850	0.00(1)	0.00(1)	-1.53(2)	0.16(23-II-4)	-0.28(22-II-4)	0.00(1)
851	-1.08(22-II-4)	0.99(23-I-4)	-1.81(2)	-0.29(23-I-4)	0.26(22-I-4)	0.20(23-I-4)
852	-1.03(22-II-4)	0.76(23-I-4)	-1.93(2)	-0.27(23-I-4)	-0.15(22-II-4)	-0.32(23-I-4)
853	0.00(1)	0.00(1)	-1.75(2)	0.15(23-II-4)	0.23(2)	0.00(1)
854	-0.96(22-II-4)	0.66(23-I-4)	-1.69(2)	-0.19(23-I-4)	0.37(22-I-4)	-0.08(23-II-4)
855	-0.87(22-II-4)	-0.39(23-II-4)	-1.87(2)	0.09(23-II-4)	-0.20(22-II-4)	0.11(23-I-4)
856	0.00(1)	0.00(1)	-1.71(2)	0.12(23-II-4)	-0.23(2)	0.00(1)
857	-0.93(22-II-4)	0.59(23-I-4)	-1.90(2)	-0.21(23-I-4)	0.11(22-I-4)	0.27(23-I-4)
858	0.00(1)	0.00(1)	-1.61(2)	0.10(23-II-4)	0.19(2)	0.00(1)
859	-0.91(22-II-4)	0.61(23-I-4)	-1.79(2)	-0.22(23-I-4)	-0.13(22-II-4)	-0.28(23-I-3)
860	-0.77(22-II-4)	-0.23(23-II-4)	-1.72(2)	0.06(23-II-4)	-0.19(22-II-4)	-0.13(23-I-4)
861	-0.23(22-II-4)	0.11(23-I-4)	-1.72(2)	-0.16(23-I-4)	-0.27(22-II-4)	-0.04(23-II-4)
862	-0.18(22-II-4)	0.07(23-I-4)	-1.82(2)	-0.09(23-I-4)	-0.23(22-II-4)	0.02(23-I-4)
863	-0.16(22-II-4)	0.04(23-I-4)	-1.67(2)	-0.06(23-I-4)	-0.20(22-II-4)	0.02(23-II-4)
864	-0.15(22-II-4)	-0.16(23-II-3)	-1.88(2)	0.19(23-II-3)	-0.19(22-II-4)	-0.01(22-II-3)
865	-0.09(23-II-1)	0.05(23-I-4)	-1.46(2)	0.07(23-II-4)	-0.08(22-II-1)	-0.06(22-I-4)
866	-0.47(22-II-1)	-0.26(23-II-4)	-1.48(2)	0.07(23-II-4)	-0.23(22-II-1)	-0.19(22-II-1)
867	-0.71(22-II-4)	-0.74(23-II-3)	-1.93(2)	0.20(23-II-3)	0.17(22-I-4)	-0.07(22-II-3)
868	-0.82(22-II-4)	-0.40(23-II-4)	-1.74(2)	-0.13(23-I-4)	0.11(23-II-3)	-0.21(23-I-4)
869	0.00(1)	0.00(1)	-1.59(2)	0.10(23-II-4)	-0.19(2)	0.00(1)
870	-0.81(22-II-4)	-0.90(23-II-4)	-1.95(2)	0.21(23-II-4)	-0.08(23-I-3)	-0.14(23-II-4)
871	0.00(1)	0.00(1)	-1.79(2)	0.25(23-II-3)	0.26(23-II-3)	0.00(1)
872	-0.10(23-I-3)	0.17(23-I-4)	-1.74(23-I-4)	-0.22(23-I-4)	-0.11(22-II-3)	0.03(23-I-3)
873	-0.30(22-II-3)	0.73(23-I-4)	-1.71(23-I-4)	0.23(23-II-4)	0.11(22-I-3)	0.10(22-I-4)
874	-1.14(22-II-4)	0.81(23-I-4)	-1.72(2)	-0.16(23-I-4)	0.39(22-I-4)	-0.10(22-II-4)
875	0.00(1)	0.00(1)	-1.68(2)	0.15(23-II-4)	-0.28(22-II-4)	0.00(1)

Nodo	Trasl. X	Trasl. Y	Trasl. Z	Rotaz. X	Rotaz. Y	Rotaz. Z
876	-0.39(22-II-3)	0.81(23-I-4)	-1.75(2)	0.17(23-II-4)	0.18(22-I-3)	-0.19(22-II-4)
877	0.00(1)	0.00(1)	-1.61(2)	-0.19(23-I-4)	-0.17(22-II-3)	0.00(1)
878	-0.03(22-II-3)	-0.15(23-II-3)	-1.55(2)	0.19(23-II-3)	-0.04(22-II-3)	0.02(22-I-2)
879	-0.03(22-II-3)	0.05(23-I-4)	-1.67(2)	-0.06(23-I-4)	-0.05(22-II-3)	-0.02(22-II-3)
880	0.04(22-I-3)	0.09(23-I-4)	-1.75(2)	-0.10(23-I-4)	-0.06(22-II-3)	-0.04(23-I-3)
881	0.29(22-I-3)	-0.93(23-II-4)	-1.76(23-I-4)	0.37(23-II-4)	0.14(2)	-0.10(23-II-3)
882	0.00(1)	0.00(1)	-1.65(23-I-4)	-0.36(23-I-4)	-0.14(23-I-3)	0.00(1)
883	0.00(1)	0.00(1)	-1.76(2)	-0.36(23-I-4)	0.09(2)	0.00(1)
884	-0.32(22-II-3)	-0.66(23-II-4)	-1.78(2)	0.31(23-II-3)	-0.10(22-II-3)	0.14(23-II-3)
885	-0.24(22-II-3)	0.37(23-I-4)	-1.77(2)	0.12(23-II-4)	-0.07(22-II-3)	-0.10(23-I-3)
886	-0.22(22-II-3)	0.22(23-I-4)	-1.70(2)	0.07(23-II-4)	-0.06(22-II-3)	-0.09(22-II-3)
887	0.21(22-I-3)	-0.74(23-II-3)	-1.57(2)	0.23(23-II-3)	0.06(22-I-3)	0.09(22-I-2)
888	0.00(1)	0.00(1)	-1.71(2)	-0.13(23-I-4)	-0.09(23-I-3)	0.00(1)
889	-0.26(22-II-3)	-0.46(23-II-3)	-1.78(2)	0.19(23-II-3)	0.07(23-II-3)	-0.11(23-II-3)
890	0.00(1)	0.00(1)	-1.65(2)	-0.11(23-I-4)	0.05(23-II-3)	0.00(1)
891	-0.28(22-II-3)	-0.40(23-II-3)	-1.72(2)	0.19(23-II-3)	-0.08(23-I-3)	0.12(23-II-3)
892	0.00(1)	0.00(1)	-1.63(2)	-0.11(23-I-4)	-0.08(23-II-2)	0.00(1)
893	0.25(22-I-3)	-0.48(23-II-4)	-1.71(2)	0.21(23-II-4)	0.08(23-I-2)	-0.21(23-II-3)
894	-0.26(22-II-3)	-0.97(23-II-4)	-1.59(2)	0.32(23-II-3)	-0.10(23-II-2)	-0.11(23-I-2)
895	0.00(1)	0.00(1)	-1.52(2)	-0.16(23-I-4)	0.08(23-I-2)	0.00(1)
896	0.00(1)	0.00(1)	-1.52(2)	-0.20(23-I-3)	-0.06(23-I-4)	0.00(1)
897	0.26(22-I-3)	-1.18(23-II-3)	-1.60(2)	0.38(23-II-3)	0.09(23-I-2)	0.24(23-I-2)
898	0.00(1)	0.00(1)	-1.65(23-I-2)	-0.24(23-I-2)	0.11(23-I-2)	0.00(1)
899	-0.25(22-II-3)	-1.09(23-II-2)	-1.79(23-I-2)	0.36(23-II-2)	-0.08(23-II-2)	0.27(23-II-3)
900	0.00(1)	0.00(1)	-1.78(2)	0.27(23-II-3)	-0.25(23-II-4)	0.00(1)
901	0.79(22-I-4)	-1.08(23-II-2)	-1.95(2)	0.25(23-II-2)	0.08(22-I-4)	0.20(23-I-2)
902	0.00(1)	0.00(1)	-1.54(2)	0.21(23-II-2)	0.20(2)	0.00(1)
903	-0.78(22-II-4)	-1.00(23-II-2)	-1.76(2)	-0.22(23-I-2)	-0.12(22-II-4)	0.20(23-II-2)
904	0.00(1)	0.00(1)	-1.59(2)	0.21(23-II-4)	-0.34(22-II-4)	0.00(1)
905	-0.59(22-II-1)	0.84(23-I-4)	-1.68(2)	-0.18(23-I-4)	0.27(22-I-4)	0.19(22-II-4)
906	-1.11(22-II-4)	0.77(23-I-4)	-1.69(2)	0.13(23-II-4)	0.45(22-I-4)	0.10(22-II-4)
907	0.00(1)	0.00(1)	-1.71(2)	-0.14(23-I-4)	-0.49(22-II-4)	0.00(1)
908	0.00(1)	0.00(1)	-1.76(2)	-0.16(2)	-0.24(22-II-4)	0.00(1)
909	-1.03(22-II-4)	-0.41(23-II-4)	-1.86(2)	-0.07(2)	0.22(22-I-4)	0.06(23-I-4)
910	-0.92(22-II-4)	0.25(23-I-4)	-1.71(2)	-0.05(23-I-4)	0.21(22-I-4)	-0.10(23-I-4)
911	0.00(1)	0.00(1)	-1.63(2)	-0.07(2)	-0.20(22-II-4)	0.00(1)
912	0.00(1)	0.00(1)	-1.47(2)	0.06(23-II-4)	-0.19(22-II-1)	0.00(1)
913	-0.77(22-II-4)	-0.42(23-II-4)	-1.56(2)	-0.07(2)	0.18(22-I-4)	0.17(22-II-4)
914	-0.72(22-II-4)	-0.24(23-II-4)	-1.50(2)	-0.06(2)	0.16(22-I-4)	0.15(22-II-4)
915	0.00(1)	0.00(1)	-1.46(2)	-0.03(23-I-4)	-0.16(22-II-4)	0.00(1)

Risultati Analisi Dinamica - Reazioni massime - Nodi

Scenario di calcolo : **Scenario di calcolo N.T. 2018**

Nodo	Rx	Ry	Rz	Mx	My	Mz
	kg	kg	kg	kg*m	kg*m	kg*m
1	-2977(22-I-2)	-4813(23-II-2)	0	0	0	553(22-I-2)
1	-2178(22-II-1)	-2027(23-II-4)	0	0	0	-432(23-II-4)
2	-2125(22-I-4)	10494(23-II-2)	0	0	0	-1799(23-II-2)
3	-1242(22-II-3)	2162(23-I-4)	0	0	0	-351(22-I-3)
3	-4528(22-II-1)	1258(23-II-3)	0	0	0	617(22-II-1)
4	3619(22-I-3)	-1256(23-I-1)	0	0	0	2563(23-I-4)
5	3463(22-I-3)	-1768(23-I-1)	0	0	0	484(22-I-3)
6	3237(22-I-3)	-1869(23-I-3)	0	0	0	478(22-I-3)
7	-1962(22-II-3)	783(23-I-3)	0	0	0	435(23-II-3)
7	-1886(22-I-4)	-3484(23-I-4)	0	0	0	-438(23-I-3)
8	4888(22-I-3)	-2842(23-I-2)	0	0	0	1171(23-I-2)
9	-1179(22-II-3)	-1427(23-II-2)	0	0	0	196(22-I-2)

Nodo	Rx	Ry	Rz	Mx	My	Mz
9	5485(22-I-4)	6455(23-I-4)	0	0	0	2208(22-II-4)
13	-3888(23-II-1)	1273(23-I-1)	0	0	0	1350(23-II-3)
15	-4500(22-II-1)	874(23-I-1)	0	0	0	930(22-II-1)
17	-1515(22-I-4)	-5525(2)	0	0	0	-724(23-II-4)
21	-703(22-I-1)	668(23-II-1)	0	0	0	-691(23-I-1)
23	711(22-II-1)	644(23-II-1)	0	0	0	-746(23-II-1)
25	752(22-II-1)	-3181(23-I-3)	0	0	0	-144(22-II-3)
35	7595(22-II-1)	1445(23-II-2)	0	0	0	-1518(22-II-1)
37	934(22-II-1)	-2260(23-II-2)	0	0	0	-202(22-II-1)
41	5419(22-II-2)	-9907(23-I-2)	0	0	0	597(22-I-2)
805	-6710(23-II-4)	-338(22-II-4)	0	0	0	1009(23-II-4)
807	11453(2)	-253(22-II-1)	0	0	0	-1819(2)
814	-9928(2)	-254(22-I-1)	0	0	0	1554(2)
817	7473(23-II-1)	-275(22-I-1)	0	0	0	-1228(23-II-1)
830	244(23-II-2)	-6808(2)	0	0	0	1063(2)
833	229(22-I-1)	10804(22-I-2)	0	0	0	-1694(22-I-2)
835	186(23-II-2)	-10432(2)	0	0	0	1701(2)
837	177(22-II-2)	7338(2)	0	0	0	-1139(2)
840	-9693(2)	296(22-I-2)	0	0	0	-1553(2)
842	7281(2)	224(22-I-2)	0	0	0	1136(2)
846	189(23-I-1)	-2554(23-I-2)	0	0	0	409(23-I-2)
848	477(23-II-2)	5709(23-II-2)	0	0	0	-925(23-II-2)
850	-4025(22-I-4)	-205(23-I-4)	0	0	0	638(22-I-4)
853	8931(22-II-4)	-342(22-II-1)	0	0	0	-1424(22-II-4)
856	-8136(22-I-4)	-307(23-I-4)	0	0	0	1289(22-I-4)
858	8351(22-II-4)	-342(23-I-4)	0	0	0	-1332(22-II-4)
869	-8572(22-I-4)	-338(23-II-4)	0	0	0	1372(22-I-4)
871	9662(22-II-4)	-330(22-II-3)	0	0	0	-1530(22-II-4)
875	-180(22-II-4)	-12460(2)	0	0	0	-1897(2)
877	-223(22-I-4)	6947(2)	0	0	0	1123(2)
882	-7322(23-I-4)	-280(23-I-3)	0	0	0	-1467(23-I-4)
883	13224(2)	2045(2)	0	0	0	2504(2)
888	-10909(2)	300(23-I-4)	0	0	0	-1726(2)
890	9913(2)	180(22-I-3)	0	0	0	1582(2)
892	-10518(2)	201(22-II-3)	0	0	0	-1655(2)
895	9960(23-I-4)	191(23-I-2)	0	0	0	1537(23-I-4)
896	-10827(23-I-3)	175(22-II-2)	0	0	0	-1763(23-I-2)
898	9016(23-I-2)	-241(23-II-3)	0	0	0	1473(23-I-2)
900	-9716(22-I-4)	-322(22-I-3)	0	0	0	1543(22-I-4)
902	6673(22-II-2)	-209(23-I-2)	0	0	0	-1072(22-II-2)
904	340(22-II-4)	-7113(2)	0	0	0	-1557(2)
907	-2147(23-II-4)	12851(23-II-4)	0	0	0	2422(23-II-4)
908	-309(22-I-4)	4461(23-II-4)	0	0	0	712(23-II-4)
911	-315(23-II-4)	6710(23-II-4)	0	0	0	1042(23-II-4)
912	-231(22-I-4)	-5312(23-I-4)	0	0	0	-874(23-I-4)
915	-181(22-I-4)	-3862(23-I-4)	0	0	0	-654(23-I-4)

Risultati Analisi Dinamica - Sollecitazioni massime - Involuppi - Travi

Scenario di calcolo : **Scenario di calcolo N.T. 2018**

Asta	N.in.	N	Ty	Tz	Mt	My	Mz
	N.fin.	kg	kg	kg	kg*m	kg*m	kg*m
101	2	2568(22-II-4)	2799(22-II-1)	1356(22-I-4)	935(23-II-1)	-1322(22-I-4)	1412(22-II-1)
	804	3719(22-II-4)	1128(23-I-1)	798(22-I-4)	557(23-II-1)	-1413(22-I-1)	-780(22-II-4)
101	4	7265(23-II-1)	3712(23-I-1)	-1711(23-I-1)	1496(2)	1358(22-II-4)	1871(23-I-1)
	815	6568(22-II-4)	970(23-I-1)	1555(22-II-1)	525(22-II-1)	2289(22-II-1)	400(22-I-4)
101	804	-3369(22-I-4)	455(22-II-1)	-2636(2)	317(23-II-1)	-1421(22-I-1)	-738(22-II-4)
	806	3350(23-II-4)	534(23-II-1)	2867(2)	443(23-I-1)	2005(22-I-1)	-549(22-II-1)

Asta	N.in.	N	Ty	Tz	Mt	My	Mz
101	806	5321(23-II-4)	-730(23-I-1)	-1295(22-I-1)	-550(23-II-1)	2050(22-I-1)	514(22-II-1)
	4	7097(23-II-4)	-1842(2)	-868(23-II-4)	-1106(2)	965(22-I-4)	1586(23-I-1)
101	815	3657(22-II-4)	440(23-I-1)	-2552(2)	327(22-II-1)	1992(22-II-1)	-432(22-II-4)
	816	3209(22-I-1)	476(22-II-1)	2822(2)	407(23-I-1)	1924(22-I-1)	-565(22-II-4)
101	816	4063(22-I-1)	551(22-II-1)	-948(22-I-4)	482(23-I-1)	1844(22-I-1)	-502(22-II-4)
	16	3693(22-I-1)	-590(2)	1445(22-I-1)	-388(23-II-1)	1692(22-I-1)	948(22-I-1)
102	10	16663(22-II-4)	-6916(23-II-4)	22548(22-I-4)	-1501(23-I-4)	10647(22-II-4)	2540(23-I-4)
	851	25786(22-II-4)	-2897(23-II-4)	5155(22-I-4)	-1019(23-I-4)	6558(22-II-4)	618(22-II-1)
103	8	14151(22-II-4)	4336(23-I-4)	5670(22-I-4)	-1158(23-I-4)	-3247(22-I-4)	3002(23-I-4)
	857	19117(22-II-4)	-1671(23-II-4)	1831(22-II-3)	-893(23-I-4)	4788(22-II-4)	467(23-I-4)
103	18	11324(22-II-4)	-2126(23-II-4)	6805(22-I-4)	-664(23-II-4)	-3602(22-I-4)	-1630(23-II-4)
	868	16462(22-II-4)	-716(23-II-4)	2134(22-II-3)	-504(23-II-4)	4626(22-II-4)	-389(23-II-3)
103	26	4413(22-II-4)	-1077(23-II-2)	5474(22-I-3)	-803(23-I-2)	-3748(22-I-3)	1525(23-I-2)
	901	8352(22-II-4)	-692(23-II-2)	1552(22-II-2)	-581(23-I-2)	3321(22-II-4)	399(22-II-3)
103	851	18609(22-II-4)	-1167(23-II-4)	-4781(2)	-627(23-I-4)	5061(22-II-4)	-430(22-I-1)
	852	7531(22-II-4)	904(23-II-4)	4892(2)	740(23-I-4)	4196(22-I-4)	-364(23-II-4)
103	852	7525(22-II-4)	1200(23-II-4)	-2480(22-I-4)	987(23-I-4)	4214(22-I-4)	513(23-I-4)
	8	10992(22-II-4)	689(23-I-4)	1833(22-I-4)	927(23-I-4)	2635(22-I-4)	1953(23-I-4)
103	857	14216(22-II-4)	-920(23-II-4)	-4651(2)	-643(23-I-4)	4288(22-II-4)	-320(22-I-1)
	859	4646(22-II-4)	789(23-II-4)	4890(2)	621(23-I-4)	4373(22-I-4)	-494(23-I-4)
103	859	5200(22-II-4)	1077(23-II-4)	-2606(22-I-4)	850(23-I-4)	4306(22-I-4)	337(23-I-4)
	18	8616(22-II-4)	562(23-I-3)	2022(22-I-4)	876(23-I-4)	2696(22-I-4)	1403(23-I-4)
103	868	12176(22-II-4)	-440(23-II-4)	-2675(2)	-403(23-II-4)	4230(22-II-4)	-448(23-II-3)
	870	3935(23-II-4)	358(23-I-4)	2756(2)	311(23-I-2)	3429(22-I-4)	418(23-I-4)
103	870	5114(23-I-3)	601(23-I-4)	-1802(22-I-4)	447(23-II-4)	3481(22-I-4)	436(23-II-3)
	26	4437(22-II-4)	969(23-II-4)	-5038(22-II-3)	665(23-II-4)	-3519(22-II-3)	1094(23-I-4)
103	901	6083(22-II-4)	-464(23-II-2)	-2817(2)	-389(23-I-2)	3224(22-II-4)	358(23-II-4)
	903	5162(22-I-2)	401(23-II-2)	2910(2)	395(23-I-2)	3658(22-I-4)	-397(23-I-2)
103	903	8019(22-I-2)	717(23-II-2)	-1150(22-I-1)	649(23-I-2)	3894(22-I-4)	293(23-II-3)
	34	2664(22-I-3)	1458(23-II-4)	-9049(22-II-3)	1323(23-I-2)	-5185(22-II-3)	-1392(23-II-2)
104	12	5137(23-I-4)	-3100(23-II-3)	-3226(2)	-529(23-I-3)	1707(22-II-3)	-1762(23-II-3)
	889	6105(22-II-4)	-834(23-II-3)	828(22-II-3)	361(23-II-3)	1680(22-II-3)	340(23-I-4)
104	20	6759(23-I-4)	-3533(23-II-3)	-1145(22-II-4)	-975(2)	826(22-II-3)	-2042(23-II-3)
	893	5999(23-I-4)	-621(23-II-3)	1328(23-I-4)	474(23-II-3)	1602(22-II-3)	-428(23-II-2)
104	28	7088(23-I-2)	-2681(2)	-1802(23-II-3)	-1304(2)	945(23-II-3)	-1895(23-II-2)
	897	6532(23-I-3)	790(23-I-3)	1504(22-II-3)	-584(23-I-2)	1930(22-II-3)	443(22-II-2)
104	889	4182(22-II-4)	431(23-I-3)	-2672(2)	319(23-II-3)	1516(22-II-3)	389(22-II-4)
	891	3521(23-I-3)	-294(23-I-3)	2745(2)	278(23-I-3)	1666(22-I-3)	351(22-I-4)
104	891	4735(23-I-3)	440(23-II-3)	-1346(22-I-3)	377(23-I-3)	1711(22-I-3)	-351(22-II-4)
	20	5952(23-I-4)	1543(2)	1147(23-II-3)	941(2)	788(22-I-4)	-1102(23-II-3)
104	893	3821(22-II-4)	352(23-I-4)	-2674(2)	490(23-II-3)	1449(22-II-3)	-365(22-I-3)
	894	4432(23-II-3)	-357(23-I-3)	2655(2)	225(23-I-3)	1753(22-I-3)	486(23-II-2)
104	894	5992(23-II-3)	-547(23-I-3)	-1555(22-I-3)	329(23-I-3)	1895(22-I-3)	438(23-II-2)
	28	6589(23-I-3)	2696(2)	1831(23-II-3)	1325(2)	978(23-II-3)	-1353(23-II-3)
104	897	4916(23-I-3)	582(23-I-2)	-2733(2)	369(23-II-2)	1788(22-II-3)	511(22-II-2)
	899	-2374(22-II-2)	403(23-II-2)	2853(2)	-489(23-II-3)	1264(22-I-3)	-712(23-II-2)
104	899	3834(22-I-2)	744(23-II-2)	-912(23-I-3)	575(23-I-3)	1416(22-I-3)	-602(23-II-2)
	30	-2678(22-II-2)	3173(23-II-3)	1154(22-I-3)	1271(23-I-2)	848(22-I-3)	-1730(23-II-3)
105	6	-2888(22-I-4)	-2419(22-I-4)	-2052(22-II-4)	496(23-II-3)	1224(22-II-4)	-1585(22-I-4)
	881	4729(22-II-4)	1061(23-I-3)	683(23-I-3)	608(23-II-3)	1160(22-II-3)	-658(23-I-3)
105	881	-3925(22-I-4)	492(22-II-4)	-3389(2)	484(2)	1206(22-II-3)	578(22-II-4)
	884	2922(22-I-1)	-1117(23-I-3)	3722(2)	-614(23-II-3)	1244(22-I-3)	487(23-I-3)
105	884	4905(23-I-4)	-1580(23-I-3)	2025(23-II-3)	-746(23-II-3)	-609(22-II-4)	-406(23-I-3)
	12	-7718(23-II-4)	1355(23-II-3)	4181(23-II-3)	-808(10)	2179(2)	-500(23-II-3)
106	2	9173(23-II-4)	1574(23-II-1)	12651(2)	724(22-I-4)	-7082(2)	-1014(23-I-1)
	905	7211(23-II-4)	870(23-II-4)	1983(23-II-4)	570(22-I-4)	-1701(23-I-4)	-343(23-II-3)
106	905	3703(23-II-4)	535(23-II-4)	-1123(22-I-4)	523(22-I-4)	-1564(23-I-4)	280(22-I-1)
	906	4731(22-I-3)	-313(22-II-1)	1644(22-II-4)	-506(22-II-4)	1776(23-I-4)	-326(22-II-1)
106	906	5283(22-I-1)	-468(22-II-4)	1583(22-II-4)	-520(22-II-3)	1173(23-I-4)	-458(22-II-4)
	10	5415(22-I-1)	-1343(22-II-4)	1952(22-II-4)	-1240(22-II-4)	1461(22-II-4)	307(22-II-1)
107	10	4280(22-I-4)	844(23-II-4)	10080(22-II-4)	1566(22-II-4)	2448(22-I-4)	1182(22-I-3)
	874	4015(22-I-4)	247(23-II-4)	1346(23-II-4)	654(22-II-4)	1809(23-II-4)	-877(22-II-4)
107	874	2847(22-II-4)	143(23-II-4)	-842(22-II-4)	527(22-II-4)	1576(23-II-4)	715(22-I-4)
	876	5988(23-I-4)	157(23-II-4)	592(22-I-4)	504(22-II-4)	-1649(23-II-4)	365(22-II-4)
107	876	8487(23-I-4)	359(22-I-4)	-2320(2)	488(22-II-4)	-1755(23-II-4)	-480(22-I-4)
	6	9610(23-I-4)	1489(22-I-4)	-11141(2)	-394(22-I-4)	-6001(2)	-1098(22-I-4)

Asta	N.in.	N	Ty	Tz	Mt	My	Mz
108	4	11731(23-II-4)	1032(22-II-1)	15056(2)	388(22-II-1)	-12104(2)	1052(22-II-1)
	913	10329(23-II-4)	141(22-II-1)	1457(23-II-4)	261(22-I-4)	2747(23-II-4)	-268(23-II-1)
108	8	2286(23-II-1)	-465(23-I-4)	1112(2)	-405(22-I-4)	-1535(2)	-990(23-II-4)
	12	3697(23-I-3)	-1004(23-II-3)	-3218(2)	-262(22-I-4)	-4155(2)	1409(23-II-3)
108	909	-2024(23-II-3)	396(22-I-4)	1412(23-II-4)	320(22-I-4)	-2513(23-II-4)	772(22-I-4)
	8	-2829(23-II-3)	1308(22-I-4)	-1972(23-I-4)	423(22-I-4)	-1496(23-II-4)	-615(23-I-4)
108	913	8759(23-II-4)	200(23-II-4)	-814(23-II-4)	-238(22-II-4)	2651(23-II-4)	-211(23-I-1)
	909	-1543(23-II-4)	207(23-I-4)	656(23-I-4)	-276(22-II-4)	-2507(23-II-4)	706(22-I-4)
109	36	3054(22-II-1)	345(23-I-1)	-3086(2)	496(23-II-1)	2561(22-II-1)	-432(23-II-1)
	38	-1332(22-II-2)	-632(23-I-1)	2225(2)	-510(23-II-2)	781(22-I-2)	872(23-I-1)
110	16	7136(23-II-1)	-1467(22-I-1)	4483(2)	316(22-II-1)	-3276(2)	1565(22-II-1)
	914	6121(23-II-1)	169(22-II-1)	953(23-II-4)	263(22-I-4)	1504(23-II-4)	-367(22-II-1)
110	18	1862(22-I-1)	471(23-II-3)	625(2)	376(22-II-4)	-976(2)	1073(23-II-3)
	20	5384(23-I-3)	319(23-II-3)	-5386(2)	-260(22-I-4)	-7333(2)	-723(23-II-3)
110	910	-2507(22-II-1)	385(22-I-4)	720(23-II-1)	340(22-I-4)	-1297(23-II-4)	-667(22-II-4)
	18	-2436(22-II-1)	1186(22-I-4)	-1667(23-I-4)	454(22-I-4)	-1397(2)	-585(23-I-3)
110	914	5240(23-II-1)	228(23-I-3)	-590(23-II-1)	-222(22-II-4)	1430(23-II-4)	-312(22-II-1)
	910	-2487(23-I-1)	206(22-I-1)	541(23-I-4)	-284(22-II-4)	-1318(23-II-4)	-652(23-I-3)
111	26	3120(2)	617(23-II-2)	-1213(2)	469(22-II-3)	1323(2)	973(23-II-2)
	28	10743(23-I-3)	-334(23-I-2)	-6972(2)	-190(22-I-3)	-9276(2)	805(23-I-2)
112	32	-6708(23-II-2)	718(23-I-2)	-4743(2)	-368(22-I-2)	3417(2)	-1032(22-II-2)
	30	11078(23-I-2)	-1419(22-II-2)	-9690(2)	-358(23-I-3)	-8848(2)	1524(22-II-2)
112	34	6710(23-II-2)	1334(22-I-4)	-2611(23-I-2)	-706(22-I-3)	2644(23-I-2)	2210(22-I-4)
	32	7463(23-I-2)	896(23-II-3)	-4121(2)	385(22-II-4)	-4035(2)	-1625(23-II-3)
112	36	10212(23-II-2)	1555(23-II-1)	11803(2)	-533(22-I-1)	-5300(23-I-2)	1202(23-II-1)
	847	11252(23-II-2)	498(23-II-1)	4378(2)	-300(22-I-2)	-2700(23-I-2)	815(23-II-1)
112	42	8137(23-II-2)	-4065(22-I-4)	-6693(23-II-2)	1108(22-I-4)	6418(23-II-2)	-4254(22-I-4)
	34	8137(23-II-2)	-4065(22-I-4)	5892(23-I-2)	1108(22-I-4)	-6884(23-II-2)	4721(22-I-4)
112	847	8452(23-II-2)	-201(23-I-1)	-881(23-II-2)	-208(22-II-2)	-2486(23-I-2)	678(23-II-1)
	849	6208(23-II-2)	313(23-II-2)	1118(23-I-2)	-276(22-II-2)	-2253(23-II-2)	-714(23-II-2)
112	849	7405(22-II-2)	-574(22-II-1)	5406(23-II-2)	-450(22-II-2)	2916(23-I-2)	-982(23-II-2)
	42	7405(22-II-2)	-574(22-II-1)	6035(23-II-2)	-450(22-II-2)	3607(23-II-2)	1389(23-I-2)
113	38	8340(23-II-2)	1142(23-I-2)	8154(2)	-305(2)	-4082(2)	867(23-I-1)
	831	7609(23-II-2)	419(23-I-2)	3213(2)	-221(22-II-2)	-1945(23-I-2)	515(23-I-1)
113	40	5866(23-II-2)	1333(22-II-2)	4311(22-I-2)	-944(22-I-2)	-1343(22-I-2)	947(23-I-2)
	834	6490(23-II-2)	-315(22-I-2)	1046(23-II-2)	-382(22-I-2)	1725(23-II-2)	384(23-I-2)
113	831	5175(23-II-2)	215(23-I-2)	-333(23-II-2)	-205(22-II-2)	-1748(23-I-2)	476(23-I-1)
	832	4004(2)	201(23-I-2)	865(2)	-244(22-II-2)	1675(23-I-2)	-536(23-I-2)
113	832	4560(2)	321(22-I-2)	-960(23-I-2)	-320(22-II-2)	1724(23-I-2)	-519(23-I-2)
	40	5364(2)	-979(22-II-2)	-1923(2)	701(22-I-2)	-478(22-I-2)	-530(22-I-1)
113	834	4554(2)	-239(22-I-2)	-740(2)	-311(22-I-2)	1517(23-II-2)	-440(23-II-2)
	836	5216(23-I-2)	-214(23-II-2)	620(10)	-254(22-I-2)	-1212(23-II-2)	526(22-I-2)
113	836	7087(23-I-2)	-343(23-II-2)	-1280(23-I-2)	-276(22-I-2)	1280(23-I-2)	489(22-I-2)
	44	8758(23-I-2)	-1363(23-II-2)	-12098(2)	231(22-II-2)	-6824(2)	1175(23-II-2)
114	42	3922(22-II-2)	267(22-I-2)	-6088(2)	-1047(23-I-2)	3849(22-II-2)	-784(22-II-4)
	40	2463(22-I-2)	-911(23-I-2)	5983(22-I-2)	729(23-I-2)	4744(22-I-2)	1271(23-I-2)
115	32	3423(22-II-2)	-984(22-II-2)	-700(22-II-2)	-513(23-I-2)	769(22-II-2)	-1210(22-I-2)
	841	3185(22-II-2)	697(22-II-2)	1041(22-II-2)	532(23-II-3)	1578(22-II-3)	573(22-II-2)
115	841	2084(22-II-1)	667(22-II-2)	-3112(2)	450(23-II-3)	1503(22-II-3)	570(22-II-2)
	843	-2432(22-II-2)	574(22-I-2)	2929(2)	375(23-I-2)	1253(22-I-3)	482(22-I-2)
115	843	3797(22-I-2)	1026(22-I-2)	-817(22-II-2)	531(23-I-2)	1381(22-I-3)	414(22-I-2)
	44	2326(22-I-2)	2754(22-I-2)	-1296(22-II-2)	869(23-I-2)	-903(22-II-2)	-1439(22-I-2)
116	14	2063(23-I-1)	1797(22-I-1)	3777(23-I-1)	-2763(22-I-1)	-2176(23-I-1)	1870(22-I-1)
	16	5835(22-II-1)	2816(22-I-1)	2329(23-I-1)	-2227(22-I-1)	2001(2)	-2104(22-I-1)
116	16	-11004(23-II-4)	-480(22-I-1)	-10825(2)	467(22-I-3)	12867(2)	-1890(22-I-1)
	28	-7332(23-II-4)	-480(22-I-1)	11528(2)	467(22-I-3)	15448(2)	1687(22-I-4)
116	28	-4934(23-I-1)	409(22-I-4)	-20179(2)	469(22-II-3)	23211(2)	1371(22-I-4)
	20	-15226(2)	409(22-I-4)	20671(2)	469(22-II-3)	25014(2)	-1637(22-I-4)
201	18	-14007(22-II-3)	220(22-II-4)	-2951(22-II-4)	-383(23-I-1)	5849(22-II-4)	834(22-II-4)
	28	-14007(22-II-3)	220(22-II-4)	3037(22-I-4)	-383(23-I-1)	6690(22-I-3)	-631(22-II-4)
201	20	-15851(22-II-3)	-254(22-I-4)	-3436(22-II-4)	-172(23-I-4)	8093(22-II-4)	-773(22-I-4)
	18	-15851(22-II-3)	-254(22-I-4)	3548(22-I-4)	-172(23-I-4)	6962(22-I-4)	894(22-I-4)
201	28	7332(22-I-2)	-275(22-I-3)	-3243(22-II-3)	-1131(23-I-3)	7275(22-II-3)	-797(22-I-3)
	36	7332(22-I-2)	-275(22-I-3)	3143(22-I-3)	-1131(23-I-3)	6836(22-I-3)	1106(22-I-3)
201	36	3261(22-II-4)	341(22-II-3)	-3297(22-II-3)	745(23-II-4)	7146(22-II-3)	1273(22-II-3)
	44	3261(22-II-4)	341(22-II-3)	3255(22-I-3)	745(23-II-4)	7368(22-I-3)	-1095(22-II-3)

Asta	N.in.	N	Ty	Tz	Mt	My	Mz
202	24	1263(23-II-1)	2252(23-I-1)	-2470(22-II-1)	1682(23-II-1)	-5150(22-I-1)	5227(23-I-1)
	32	1263(23-II-1)	2252(23-I-1)	3302(22-I-1)	1682(23-II-1)	3893(22-I-1)	-6276(23-I-1)
202	32	1225(22-II-1)	-1587(23-I-1)	-1524(2)	-553(23-I-1)	2209(2)	-5195(23-I-1)
	34	1225(22-II-1)	-1587(23-I-1)	1443(1)	-553(23-I-1)	2048(2)	-4913(23-I-1)
202	34	2867(22-II-1)	-2193(23-I-1)	-3458(22-II-1)	-1684(23-II-1)	4016(22-II-1)	-5958(23-I-1)
	46	2867(22-II-1)	-2193(23-I-1)	2722(22-I-1)	-1684(23-II-1)	-5788(22-II-1)	5129(23-I-1)
203	38	-1947(22-II-2)	502(23-I-3)	-2735(22-II-3)	-1861(23-I-3)	4851(22-II-3)	1503(23-I-3)
	46	-1947(22-II-2)	502(23-I-3)	3196(22-I-3)	-1861(23-I-3)	5302(22-I-3)	-1983(23-I-3)
203	46	-3565(22-II-2)	-446(23-I-3)	-3110(22-II-3)	1685(23-I-4)	5100(22-II-3)	-1836(23-I-3)
	54	-3565(22-II-2)	-446(23-I-3)	2598(22-I-3)	1685(23-I-4)	4304(22-I-3)	1290(23-I-3)
204	46	-2653(23-I-1)	584(23-I-1)	-3125(23-II-2)	-429(22-II-2)	5149(23-II-1)	3559(23-I-1)
	54	1888(23-II-1)	584(23-I-1)	3633(23-I-2)	-429(22-II-2)	7311(23-I-2)	-1549(22-II-3)
205	24	-3388(23-I-1)	-619(23-I-1)	-3019(23-II-1)	431(22-II-4)	4585(23-II-1)	-3662(23-I-1)
	38	-2488(23-I-1)	-619(23-I-1)	3363(2)	431(22-II-4)	5801(23-I-1)	1599(22-I-4)
206	10	-3583(22-I-2)	-829(22-II-2)	-1597(2)	-61(22-II-2)	2050(22-II-2)	-1625(22-II-2)
	802	-3583(22-I-2)	817(22-I-2)	1642(5)	-61(22-II-2)	2178(22-I-2)	-1813(22-I-2)
207	803	2136(2)	-130(22-I-2)	-3571(22-II-2)	-94(22-II-2)	7486(22-II-2)	-565(23-II-3)
	10	2136(2)	-130(22-I-2)	3629(22-I-2)	-94(22-II-2)	7742(22-I-2)	-355(22-II-2)
8000	20	7467(23-II-4)	-403(22-II-4)	-10359(2)	745(22-II-4)	12615(2)	-1321(22-II-4)
	6	-9533(23-I-4)	-403(22-II-4)	9754(2)	745(22-II-4)	10258(2)	1475(22-II-4)
8001	4	-15808(2)	-563(22-I-4)	-18367(2)	397(22-I-4)	21250(2)	-1942(22-I-4)
	18	-8535(23-II-3)	-563(22-I-4)	19006(2)	397(22-I-4)	22614(2)	2085(22-I-4)
8001	18	-3959(23-I-4)	429(22-I-3)	-19059(2)	-316(22-I-4)	22514(2)	1344(22-I-3)
	12	-15977(2)	429(22-I-3)	18456(2)	-316(22-I-4)	22417(2)	-1758(22-I-4)
8002	36	14580(23-II-3)	378(22-I-4)	-18363(2)	408(22-II-3)	15115(2)	1044(22-I-4)
	28	-20841(23-I-3)	378(22-I-4)	21442(2)	408(22-II-3)	25831(2)	-1592(22-I-4)
8003	44	-8483(23-I-2)	437(22-I-4)	-10325(2)	560(22-II-3)	8764(2)	1248(22-I-4)
	30	-12852(23-I-2)	437(22-I-4)	11726(2)	560(22-II-3)	13640(2)	-1801(22-I-4)
8004	2	-6725(22-II-4)	-252(22-I-4)	-9834(2)	-677(22-II-4)	11003(2)	-1037(22-I-4)
	20	3661(22-I-4)	-252(22-I-4)	10350(2)	-677(22-II-4)	11933(2)	801(22-I-4)
8005	10	-9345(2)	-6204(22-I-2)	-6952(2)	-869(22-II-2)	11290(2)	-1338(22-I-2)
	802	-9142(2)	-6204(22-I-2)	-6463(2)	-869(22-II-2)	5824(2)	3756(22-I-2)
8005	38	-9449(2)	419(22-II-2)	-8750(2)	-850(22-II-2)	8219(2)	1540(22-II-2)
	10	-5029(23-II-2)	419(22-II-2)	9094(2)	-850(22-II-2)	9268(2)	-1030(22-II-2)
8005	802	-4147(22-I-2)	417(22-I-2)	-9417(2)	735(22-II-2)	8061(2)	1250(22-I-2)
	44	-10594(2)	417(22-I-2)	10785(2)	735(22-II-2)	12792(2)	-1645(22-I-2)
8006	10	-6022(22-II-2)	-413(22-II-2)	-9099(2)	-802(22-I-2)	7697(2)	-1252(22-II-2)
	32	-12504(2)	-413(22-II-2)	10476(2)	-802(22-I-2)	12331(2)	1535(22-II-2)
8006	36	-12085(2)	412(22-II-2)	-8904(2)	796(22-I-2)	8551(2)	1506(22-II-2)
	803	-7290(22-II-2)	412(22-II-2)	8940(2)	796(22-I-2)	8660(2)	-1010(22-II-2)
8006	803	-10558(2)	6614(22-II-2)	-5250(2)	1018(22-I-2)	9811(2)	1081(22-II-2)
	10	-10355(2)	6614(22-II-2)	-4805(22-I-2)	1018(22-I-2)	5732(2)	-4351(22-II-2)

Risultati Analisi Dinamica - Sollecitazioni massime - Involuppi - Pilastri

Scenario di calcolo : **Scenario di calcolo N.T. 2018**

Asta	N.in.	N	Ty	Tz	Mt	My	Mz
	N.fin.	kg	kg	kg	kg*m	kg*m	kg*m
1	1	-4388(2)	-534(23-II-2)	-676(23-I-2)	217(23-II-2)	-263(23-II-2)	-186(2)
	820	-3420(2)	365(23-I-2)	-571(23-II-2)	150(23-II-2)	-152(23-I-2)	-83(2)
1	40	-20835(2)	8193(22-I-2)	-446(23-I-2)	-394(23-II-2)	661(23-I-2)	10047(22-I-2)
	10	-19698(2)	8193(22-I-2)	-446(23-I-2)	-394(23-II-2)	-509(22-II-2)	-7875(22-I-2)
1	820	-4294(2)	183(23-I-2)	-634(23-II-2)	-117(23-I-2)	432(23-II-2)	57(23-I-2)
	826	-4853(22-I-2)	296(22-II-2)	451(23-I-2)	-139(23-I-2)	250(23-I-2)	258(22-I-2)
1	826	-5495(22-I-2)	854(22-II-2)	-789(23-II-2)	-219(23-I-2)	48(22-I-1)	243(22-I-2)
	40	-7416(2)	1134(22-II-2)	-444(23-I-2)	-162(23-II-2)	-171(23-I-2)	-960(22-II-2)
2	2	-6480(23-II-2)	-290(23-II-2)	-4262(23-II-2)	163(23-II-2)	1875(23-II-2)	-241(22-II-4)
	844	-5905(23-II-2)	-393(22-I-2)	-1052(23-II-2)	165(23-II-2)	-74(23-I-2)	-265(22-II-2)

Asta	N.in.	N	Ty	Tz	Mt	My	Mz
2	34	-20785(2)	6396(22-I-3)	-2980(2)	374(22-I-3)	1754(2)	8854(22-I-3)
	44	-19485(2)	6396(22-I-3)	-2980(2)	374(22-I-3)	-5697(2)	-7194(22-I-4)
2	44	-6823(2)	2815(22-I-3)	4475(23-I-1)	-862(22-I-3)	3989(23-II-1)	1753(22-II-3)
	54	-6043(2)	2815(22-I-3)	4475(23-I-1)	-862(22-I-3)	6366(23-I-1)	-3889(22-I-3)
2	844	-4961(23-II-2)	-196(22-I-1)	-205(23-II-2)	164(23-II-2)	-101(23-I-2)	-259(2)
	845	-4528(2)	259(22-II-2)	240(23-I-2)	-162(22-I-4)	194(23-I-2)	-181(22-I-3)
2	845	-5476(2)	897(22-II-2)	807(23-I-2)	-266(22-I-4)	181(23-I-2)	228(22-I-3)
	34	-6971(2)	-444(23-II-3)	-1796(23-II-2)	-542(22-I-4)	-1030(23-II-2)	1473(22-I-3)
3	3	-3473(23-I-4)	711(23-I-2)	-660(23-I-4)	187(23-I-3)	414(23-I-4)	380(2)
	872	-2505(23-I-4)	237(23-I-3)	140(23-II-4)	153(22-I-4)	372(23-II-4)	234(22-I-4)
3	872	-2126(23-I-4)	63(22-I-4)	104(22-I-3)	134(22-I-4)	376(23-II-4)	270(22-I-4)
	873	1165(23-II-4)	-126(22-I-3)	195(23-II-4)	-199(22-II-4)	367(2)	358(2)
3	873	-1430(22-II-4)	-322(22-I-3)	894(2)	-225(22-II-4)	421(2)	228(2)
	6	-3420(2)	-487(22-I-4)	-1014(23-II-4)	-244(22-II-4)	1196(2)	402(22-I-4)
4	4	-14025(2)	-3831(23-I-4)	-1938(2)	-776(23-I-3)	3101(2)	-1000(23-I-4)
	880	-11838(2)	-2197(23-I-4)	-1453(23-I-3)	-657(23-I-3)	1597(2)	357(22-I-3)
4	880	-11460(2)	-1019(23-I-4)	-1049(23-I-4)	-532(23-I-4)	1204(2)	-439(22-II-3)
	885	-13709(2)	751(23-II-3)	3265(2)	629(23-II-3)	3327(2)	-222(23-II-4)
4	885	-18378(2)	1493(23-II-4)	4920(2)	648(23-II-3)	3560(2)	226(23-II-3)
	12	-24337(2)	2301(23-II-3)	5645(2)	345(22-I-4)	7942(2)	-883(22-II-4)
5	5	-4362(2)	-714(22-I-3)	-479(22-II-3)	-149(22-II-3)	186(2)	216(22-II-3)
	879	-3773(2)	-576(22-II-3)	184(22-I-3)	-109(22-II-4)	59(2)	145(22-I-3)
5	879	-4412(2)	-323(22-II-3)	103(22-I-3)	-92(22-II-3)	35(22-II-3)	-192(22-II-3)
	886	-3483(2)	-168(22-II-3)	582(2)	109(22-I-3)	386(2)	79(22-II-3)
5	886	-3369(2)	-386(22-II-4)	1773(2)	145(22-I-4)	228(2)	46(22-I-4)
	20	-6114(2)	-385(23-II-3)	4209(2)	-140(22-II-4)	2155(2)	214(22-I-4)
6	6	-3215(2)	-554(22-I-3)	-316(2)	97(22-I-2)	200(2)	-161(22-I-3)
	878	-3326(2)	-252(22-II-4)	-146(23-II-4)	90(22-I-2)	53(23-I-3)	95(22-I-3)
6	878	-4042(2)	138(22-I-3)	-59(23-II-4)	89(22-I-2)	43(23-I-3)	136(22-I-3)
	887	-3587(23-I-3)	153(22-I-3)	702(2)	115(22-I-2)	491(2)	-71(22-I-3)
6	887	-3342(23-I-3)	249(22-I-3)	2072(2)	126(22-I-2)	324(2)	39(22-I-3)
	28	-5338(2)	339(23-I-2)	4849(2)	144(22-I-3)	2599(2)	-178(22-II-3)
7	7	-3758(22-I-4)	483(22-I-4)	487(23-I-3)	95(23-I-4)	-148(23-I-3)	446(22-I-4)
	862	-4851(2)	-318(23-I-4)	-836(23-II-3)	103(23-I-4)	24(23-I-4)	123(22-I-4)
7	8	-40721(2)	6292(22-I-4)	-394(23-I-4)	-263(22-II-4)	-209(5)	8312(22-I-4)
	18	-39421(2)	6292(22-I-4)	-394(23-I-4)	-263(22-II-4)	-831(23-I-4)	-7463(22-I-3)
7	855	-8833(2)	1369(22-II-4)	363(23-II-4)	-124(23-II-4)	-70(23-II-4)	157(22-II-4)
	8	-11948(2)	-710(22-I-4)	-370(23-II-4)	170(23-I-4)	-47(23-II-4)	950(22-I-4)
7	862	-6519(2)	-278(22-II-4)	-406(23-II-3)	112(23-I-4)	227(23-II-3)	-168(22-II-4)
	855	-7518(2)	296(22-II-4)	-391(23-II-4)	-139(23-II-4)	-224(23-II-4)	-87(22-I-4)
8	8	-5006(2)	-1239(22-I-3)	424(23-I-2)	-122(22-II-2)	141(23-II-2)	-292(2)
	822	-3099(22-II-3)	-733(22-II-3)	440(23-II-2)	-151(22-II-2)	54(22-II-2)	204(22-I-3)
8	822	-3035(22-II-3)	-384(22-II-2)	240(22-II-2)	-172(22-II-2)	-84(23-II-2)	254(22-I-2)
	828	-3317(2)	539(22-I-2)	308(22-I-2)	-153(23-II-3)	139(22-I-2)	-140(22-I-2)
8	828	-5243(2)	941(23-I-3)	981(2)	-159(22-I-2)	79(2)	109(22-I-2)
	32	-10801(2)	726(2)	2010(2)	191(22-II-2)	1182(2)	-382(22-II-2)
9	9	-16468(2)	-2964(22-I-4)	-4454(2)	-975(23-II-4)	1131(23-II-4)	4169(2)
	861	-19121(2)	-2384(22-I-4)	-2720(2)	-790(23-II-4)	-633(23-I-4)	5926(2)
9	10	-25832(2)	-21120(22-II-4)	1510(23-II-4)	1845(23-II-4)	-1400(23-II-4)	-41609(22-II-4)
	20	-22582(2)	-21120(22-II-4)	1510(23-II-4)	1845(23-II-4)	2391(23-II-4)	11809(22-II-3)
9	854	-26756(22-I-4)	12018(22-II-4)	1665(22-II-4)	455(22-I-4)	-422(22-II-4)	11740(22-I-4)
	10	-24082(22-I-4)	1394(23-II-4)	2196(22-II-4)	-336(22-II-4)	705(23-I-4)	18051(22-I-4)
9	861	-22174(2)	-1522(22-I-4)	-1533(23-II-4)	-532(23-II-4)	896(23-II-4)	5532(2)
	854	-23697(22-I-4)	7823(22-II-4)	1102(23-I-4)	473(22-I-4)	532(23-I-4)	11603(22-I-4)
10	9	-2297(23-I-2)	363(22-II-3)	353(23-II-2)	-112(22-II-2)	220(23-I-2)	-192(22-I-3)
	821	-1748(23-I-2)	140(22-I-2)	110(22-II-2)	-119(22-II-2)	228(23-II-2)	-306(22-II-3)
10	821	1584(23-II-2)	83(22-I-2)	88(22-II-2)	142(22-I-2)	252(23-II-2)	-330(22-II-3)
	827	681(22-I-2)	137(22-II-2)	190(2)	225(22-I-2)	241(2)	-307(2)
10	827	-1711(2)	335(22-II-2)	1056(2)	221(22-I-2)	351(2)	-192(22-II-3)
	44	-4323(2)	-323(22-II-2)	671(23-I-2)	235(22-I-2)	1553(2)	299(22-I-2)
11	7	-2481(23-I-2)	-350(23-I-3)	277(23-II-2)	-343(23-II-3)	96(23-I-3)	-92(22-I-3)
	823	-2027(23-I-2)	-329(23-II-3)	248(23-II-3)	-325(23-II-3)	58(2)	-246(22-II-3)
11	823	-2064(23-I-2)	-165(23-II-3)	155(23-II-3)	-324(23-II-3)	-51(23-II-3)	-296(22-II-3)
	829	-2167(23-I-2)	257(23-I-3)	298(2)	324(23-I-3)	281(2)	-207(2)
11	829	-3452(23-I-2)	499(23-II-3)	1841(2)	309(23-II-3)	607(2)	-61(23-II-3)
	30	-8980(2)	616(22-II-2)	1987(23-I-2)	398(22-I-3)	2858(2)	337(23-I-2)

Asta	N.in.	N	Ty	Tz	Mt	My	Mz
12	1	-3925(23-II-4)	641(22-II-1)	1089(23-II-4)	246(22-II-4)	-525(23-II-4)	372(22-II-4)
	809	-3355(23-II-4)	-249(22-I-4)	256(22-II-4)	207(22-II-4)	-340(23-I-4)	468(22-I-1)
12	809	-3141(23-II-4)	-138(23-II-4)	-84(22-I-4)	165(22-II-4)	-357(23-I-4)	483(22-I-1)
	811	-669(23-II-1)	88(22-II-4)	-223(22-I-4)	-158(22-I-4)	-391(2)	407(22-II-1)
12	811	-1433(2)	-363(22-I-4)	-1118(2)	144(22-II-4)	-486(2)	342(22-II-1)
	2	-3144(2)	352(22-I-4)	-602(23-II-4)	186(22-II-4)	-1646(2)	264(22-I-4)
13	13	-8156(23-II-4)	3509(23-II-3)	-861(23-I-1)	-375(22-I-4)	410(23-I-1)	2899(23-II-1)
	865	-6615(23-II-4)	1783(23-II-3)	246(23-II-1)	-266(22-I-4)	-23(23-II-1)	775(22-I-1)
13	14	-6146(23-II-1)	4309(22-I-1)	-2701(23-II-1)	1639(23-I-1)	2892(23-II-1)	5320(22-I-1)
	24	-5146(23-II-1)	4309(22-I-1)	-2701(23-II-1)	1639(23-I-1)	-3890(23-II-1)	-5467(22-I-1)
13	865	-5507(23-II-4)	775(23-II-3)	162(23-II-1)	-170(22-II-4)	-89(22-I-1)	696(22-I-1)
	866	-3871(23-II-1)	-888(22-I-1)	129(23-II-4)	514(22-I-1)	-118(23-I-1)	973(22-I-1)
13	866	-4215(23-II-1)	-1572(22-I-1)	454(23-II-1)	571(22-I-1)	156(23-II-1)	1050(22-I-1)
	14	-4634(23-II-1)	-523(23-II-1)	-830(22-II-1)	410(23-I-1)	602(23-II-1)	2289(22-I-1)
14	3	-4175(2)	1184(22-II-1)	428(22-II-1)	154(22-I-1)	-115(22-II-1)	315(22-II-1)
	808	-3431(2)	-691(22-I-1)	304(22-I-1)	132(22-I-1)	-67(22-II-1)	215(22-I-1)
14	808	-4310(2)	-446(22-II-1)	192(22-I-1)	137(22-I-1)	-85(22-I-1)	-360(22-II-1)
	812	-3456(2)	254(22-I-1)	-467(2)	-192(22-II-1)	-380(2)	-167(22-I-1)
14	812	-4574(2)	-399(22-I-1)	-2063(2)	-219(22-II-1)	-587(2)	62(22-II-1)
	4	-10587(2)	-365(22-II-4)	-2347(23-II-4)	266(22-II-4)	-2931(2)	191(22-I-4)
15	15	-5165(2)	1617(22-II-1)	-549(22-I-4)	-206(22-I-4)	-68(22-II-4)	386(2)
	810	-4709(22-I-1)	872(22-II-1)	-431(22-I-4)	-157(22-I-4)	-63(22-I-4)	-183(22-II-1)
15	810	-4477(22-I-1)	432(22-I-4)	-227(22-I-4)	-128(22-I-4)	71(22-II-4)	-221(22-II-4)
	813	-2753(2)	-651(22-II-1)	-284(22-I-1)	261(22-I-1)	-114(23-I-1)	262(22-I-1)
15	813	-4581(2)	-1472(22-I-1)	-752(22-II-1)	274(22-I-1)	-85(22-I-1)	-94(22-II-1)
	16	-9647(2)	-676(22-II-1)	-2279(2)	-210(22-I-4)	-1031(2)	444(22-I-1)
17	17	-4421(2)	372(23-I-4)	822(2)	110(23-II-4)	-222(2)	295(22-I-4)
	863	-4108(2)	-297(23-II-4)	-255(23-I-4)	108(23-II-4)	83(23-II-4)	75(22-I-4)
17	18	-41577(2)	6475(22-I-4)	-1559(23-I-1)	160(23-II-3)	804(2)	8826(22-I-4)
	28	-40277(2)	6475(22-I-4)	-1559(23-I-1)	160(23-II-3)	-3135(23-I-1)	-7373(22-I-4)
17	28	-6516(2)	-4696(22-II-3)	5094(23-I-1)	738(22-II-3)	3822(23-II-1)	-2120(22-II-3)
	38	-5736(2)	-4696(22-II-3)	5094(23-I-1)	738(22-II-3)	5582(23-I-1)	5089(22-II-3)
17	860	-7712(2)	-1301(22-I-4)	291(23-II-3)	-160(23-I-4)	-35(23-II-4)	83(23-I-4)
	18	-11005(2)	-637(22-I-4)	-333(23-II-4)	-104(23-II-4)	64(23-I-1)	928(22-I-4)
17	863	-5583(2)	-205(22-II-4)	-462(23-II-4)	-128(23-I-4)	290(23-II-4)	-138(22-II-4)
	860	-6514(2)	292(22-II-4)	-265(23-I-4)	-170(23-I-4)	-130(23-I-4)	-84(23-I-4)
21	21	-7789(2)	703(22-I-1)	-668(23-II-1)	633(23-I-1)	-2279(23-I-1)	2144(22-I-1)
	22	-5696(22-I-1)	703(22-I-1)	-668(23-II-1)	633(23-I-1)	-1000(23-II-3)	-1091(22-I-1)
21	22	-5698(22-I-1)	356(22-II-3)	-348(23-I-1)	669(23-I-1)	-1005(23-II-3)	-1092(22-I-1)
	32	-4698(22-I-1)	356(22-II-3)	-348(23-I-1)	669(23-I-1)	-1145(23-II-1)	-1613(22-I-1)
23	23	-7630(22-II-1)	-711(22-II-1)	-644(23-II-1)	655(23-II-1)	-2306(23-I-1)	-2164(22-II-1)
	24	-5790(22-II-1)	-711(22-II-1)	-644(23-II-1)	655(23-II-1)	-1034(23-II-3)	1108(22-II-1)
23	24	-5791(22-II-1)	-325(22-I-3)	-355(23-II-1)	690(23-II-1)	-1040(23-II-3)	1108(22-II-1)
	34	-4791(22-II-1)	-325(22-I-3)	-355(23-II-1)	690(23-II-1)	-1078(23-II-1)	1639(22-II-1)
25	25	-2957(2)	-152(22-II-3)	539(2)	-72(22-II-3)	-345(2)	-131(22-II-4)
	864	-2856(2)	-168(22-I-3)	245(23-I-3)	-76(22-II-3)	-90(23-I-3)	37(22-I-3)
25	26	-31167(2)	6755(22-I-4)	-5549(2)	295(22-I-3)	3318(2)	9196(22-I-3)
	36	-29867(2)	6755(22-I-4)	-5549(2)	295(22-I-3)	-10556(2)	-7772(22-I-4)
25	36	-6807(1)	-4831(22-II-3)	-4174(23-II-3)	310(22-II-1)	5675(23-II-4)	-2000(22-II-3)
	46	-6027(1)	-4831(22-II-3)	-4174(23-II-3)	310(22-II-1)	3002(23-I-3)	5353(22-II-3)
25	864	-4257(2)	-148(22-II-3)	103(23-I-3)	-84(22-II-3)	-54(23-I-3)	91(22-I-3)
	867	-6165(2)	257(22-II-3)	160(2)	-87(23-I-2)	163(2)	75(22-I-3)
25	867	-6902(2)	1148(22-II-4)	388(2)	-74(22-II-3)	133(2)	63(22-I-3)
	26	-8921(2)	470(22-II-4)	79(2)	48(23-II-2)	286(2)	970(22-I-3)
35	35	-15615(22-II-1)	-3847(22-II-1)	-425(23-II-2)	93(23-I-1)	-621(23-I-2)	-1063(22-II-1)
	818	-8588(22-II-1)	-1887(22-II-1)	-259(22-I-1)	81(23-I-1)	-522(23-I-2)	60(23-I-2)
35	36	-6185(22-I-1)	-5895(22-II-1)	-3857(23-II-2)	-1690(23-I-1)	-4551(23-I-2)	-8041(22-II-1)
	46	-5185(22-I-1)	-5895(22-II-1)	-3857(23-II-2)	-1690(23-I-1)	-5207(23-II-2)	6709(22-II-1)
35	818	-6928(22-II-1)	-649(22-II-1)	-187(22-II-2)	94(23-II-1)	-401(2)	-323(22-II-1)
	824	-6324(22-II-1)	471(22-II-1)	-360(23-I-1)	134(23-I-1)	-478(2)	-306(22-II-1)
35	824	-8254(22-II-1)	1151(22-II-1)	-1558(23-I-2)	173(23-I-1)	-402(23-II-2)	-124(22-II-1)
	36	-12009(22-II-1)	1110(22-II-1)	-2134(23-II-2)	203(22-II-2)	-1124(2)	-650(22-II-1)
37	37	-4168(23-II-2)	-511(23-II-2)	317(23-II-3)	-157(23-I-2)	-266(23-II-2)	-234(2)
	819	-3284(23-II-2)	-219(23-II-2)	-330(23-II-2)	-132(23-I-2)	-450(23-I-2)	-62(23-I-2)
37	819	-3482(23-II-2)	-95(23-II-2)	-200(23-II-2)	-90(23-I-1)	-525(23-I-2)	-47(23-II-1)
	825	-2659(2)	119(23-I-2)	-182(23-II-1)	134(23-II-1)	-400(23-II-2)	-61(23-I-1)

Asta	N.in.	N	Ty	Tz	Mt	My	Mz
37	825	-3259(2)	321(23-I-2)	-655(23-II-1)	164(23-II-2)	-271(23-II-2)	-56(22-II-2)
	38	-4842(2)	384(22-II-2)	-778(2)	158(22-II-2)	-1008(2)	-241(22-II-2)
41	41	-19578(23-I-2)	-1423(23-I-2)	5208(23-I-2)	-158(23-II-3)	-2119(23-I-2)	-426(23-I-2)
	838	-12093(23-I-2)	-1084(22-II-2)	-1212(23-II-2)	-117(23-II-2)	347(23-II-2)	119(23-II-2)
41	42	-18567(2)	-8445(22-II-2)	785(22-II-2)	401(22-I-3)	-791(22-II-2)	-10214(22-II-2)
	803	-17430(2)	-8445(22-II-2)	785(22-II-2)	401(22-I-3)	935(22-II-2)	8258(22-II-2)
41	838	-9080(23-I-2)	-496(22-II-2)	-997(23-II-2)	-113(23-II-2)	715(23-II-2)	-230(22-II-2)
	839	-13154(23-II-2)	524(22-II-3)	-1116(23-II-2)	200(22-II-3)	-887(23-II-2)	-379(22-II-2)
41	839	-16285(23-II-2)	1579(22-II-2)	-3290(23-I-2)	427(23-I-2)	1408(23-I-2)	-297(22-II-2)
	42	-19987(22-II-2)	1814(22-II-3)	-2934(22-II-4)	398(22-II-4)	-1244(22-I-2)	-988(22-II-2)

Risultati Analisi Dinamica - Sollecitazioni massime - Involuppi - Travi di fondazione

Scenario di calcolo : **Scenario di calcolo N.T. 2018**

Asta	N.in.	N	Ty	Tz	Mt	My	Mz
	N.fin.	kg	kg	kg	kg*m	kg*m	kg*m
9001	1	0	0	1947(22-II-4)	133(22-I-4)	885(22-II-4)	0
	805	0	0	-950(22-I-1)	143(22-I-1)	1688(22-II-1)	0
9001	3	0	0	3820(22-II-1)	328(22-II-1)	-1979(2)	0
	814	0	0	-1035(22-I-1)	308(22-II-1)	-1958(22-I-1)	0
9001	805	0	0	5929(23-II-4)	157(23-I-4)	1265(22-II-1)	0
	807	0	0	-6811(2)	-335(23-II-4)	-2938(22-II-1)	0
9001	807	0	0	-737(22-I-1)	-430(23-II-1)	-1929(22-II-1)	0
	3	0	0	-3534(22-I-1)	-518(23-II-1)	-2053(2)	0
9001	814	0	0	6202(2)	206(23-I-3)	-2900(22-I-1)	0
	817	0	0	-5738(2)	-262(23-II-3)	-2549(22-II-1)	0
9001	817	0	0	1029(22-II-1)	-330(23-II-4)	-1776(22-II-1)	0
	15	0	0	-3896(22-I-1)	-318(22-II-4)	-1505(22-I-1)	0
9002	7	0	0	-2714(22-I-4)	611(2)	-2755(2)	0
	856	0	0	-6137(22-I-4)	712(22-I-4)	-11889(22-I-4)	0
9002	9	0	0	-2702(22-I-3)	878(2)	-2759(22-I-4)	0
	850	0	0	3223(22-II-4)	621(22-I-4)	-7684(22-I-4)	0
9002	17	0	0	-1602(22-I-4)	551(23-I-4)	-1465(2)	0
	869	0	0	-6706(22-I-4)	782(22-I-4)	-11019(22-I-4)	0
9002	25	0	0	2698(22-II-4)	319(23-II-2)	-2098(23-II-3)	0
	900	0	0	-7566(22-I-4)	650(22-I-4)	-12100(22-I-4)	0
9002	850	0	0	13579(2)	220(23-I-4)	-7389(22-I-4)	0
	853	0	0	-17216(2)	171(22-II-3)	-11877(22-II-4)	0
9002	853	0	0	6165(22-II-4)	-708(22-II-4)	-12216(22-II-4)	0
	7	0	0	-4043(22-I-4)	-615(23-II-4)	-2735(2)	0
9002	856	0	0	16239(2)	-153(23-II-3)	-11564(22-I-4)	0
	858	0	0	-15414(2)	162(22-II-4)	-11031(22-II-4)	0
9002	858	0	0	6093(22-II-4)	-645(22-II-4)	-11349(22-II-4)	0
	17	0	0	-3469(22-I-4)	-502(23-II-4)	-1773(2)	0
9002	869	0	0	15058(2)	360(23-II-3)	-10669(22-I-4)	0
	871	0	0	-17086(2)	580(23-II-3)	-11820(22-II-4)	0
9002	871	0	0	7752(22-II-4)	-609(22-II-4)	-12182(22-II-4)	0
	25	0	0	-2929(22-I-4)	-237(23-II-2)	-2118(23-II-3)	0
9002	900	0	0	17050(2)	-487(23-II-4)	-11714(22-I-4)	0
	902	0	0	-14357(2)	-254(23-I-4)	-8776(22-II-2)	0
9002	902	0	0	5485(22-II-2)	-708(23-II-2)	-9146(22-II-2)	0
	2	0	0	4371(23-II-2)	-1844(23-II-2)	462(23-II-2)	0
9003	4	0	0	5749(2)	-185(23-II-3)	-3468(2)	0
	888	0	0	-714(22-I-3)	-312(23-II-3)	-1726(22-I-3)	0
9003	5	0	0	2527(22-II-3)	-356(23-I-3)	-1417(2)	0
	892	0	0	-1394(22-I-3)	-440(23-I-3)	-1866(22-I-3)	0

Asta	N.in.	N	Ty	Tz	Mt	My	Mz
9003	6	0	0	2751(23-I-4)	-491(23-I-2)	-1418(23-I-3)	0
	896	0	0	-1128(22-I-3)	-511(23-I-2)	-1558(22-I-3)	0
9003	888	0	0	7060(2)	-262(23-II-3)	-2709(22-I-3)	0
	890	0	0	-6710(2)	241(23-I-3)	-2403(22-II-3)	0
9003	890	0	0	930(22-II-3)	324(23-I-3)	-1508(22-II-3)	0
	5	0	0	-3982(2)	392(23-I-3)	-1734(2)	0
9003	892	0	0	6708(2)	-353(23-I-3)	-2816(22-I-3)	0
	895	0	0	-6103(2)	438(23-II-3)	-2348(23-I-4)	0
9003	895	0	0	1201(23-I-4)	417(23-II-2)	-1452(22-II-3)	0
	6	0	0	-2954(2)	370(23-II-2)	-1394(23-I-3)	0
9003	896	0	0	6445(23-I-3)	-378(23-I-4)	-2450(22-I-3)	0
	898	0	0	-6622(23-I-2)	279(23-II-4)	-2224(22-II-3)	0
9003	898	0	0	1335(22-II-3)	544(23-I-3)	-1443(22-II-3)	0
	7	0	0	-1684(23-I-3)	706(23-I-3)	-514(23-II-3)	0
9004	3	0	0	2290(22-II-3)	-1227(2)	-456(22-I-4)	0
	882	0	0	-661(22-I-4)	-1370(2)	876(22-II-3)	0
9004	882	0	0	5645(23-I-4)	-1137(2)	876(22-II-3)	0
	883	0	0	-8388(2)	1100(23-I-4)	-2265(22-II-3)	0
9004	883	0	0	-3062(23-I-4)	1950(2)	774(22-I-3)	0
	4	0	0	-10650(2)	2243(2)	-5942(2)	0
9005	1	0	0	3479(23-II-4)	-1449(22-II-4)	-705(23-II-4)	0
	904	0	0	1112(23-II-4)	-1654(22-II-4)	1691(23-II-4)	0
9005	904	0	0	6900(2)	-1271(22-II-4)	-2376(23-I-4)	0
	907	0	0	-7334(2)	879(2)	-2968(23-II-4)	0
9005	907	0	0	-2412(2)	1696(23-II-4)	1946(23-I-4)	0
	9	0	0	-11785(2)	1885(23-II-4)	-6911(2)	0
9006	9	0	0	8097(2)	295(23-II-4)	-4507(2)	0
	875	0	0	1127(23-II-4)	-347(23-I-4)	-2331(23-I-4)	0
9006	875	0	0	7249(2)	-371(22-I-4)	-3531(23-I-4)	0
	877	0	0	-6062(2)	472(22-II-4)	-1570(23-II-4)	0
9006	877	0	0	958(23-II-4)	517(22-II-4)	1911(23-I-4)	0
	3	0	0	-2052(23-I-4)	389(22-II-4)	783(2)	0
9007	3	0	0	1722(2)	-468(22-I-1)	672(23-II-4)	0
	912	0	0	-3727(23-I-4)	-451(22-II-4)	-3402(23-I-4)	0
9007	7	0	0	8945(2)	-363(22-I-4)	-3054(2)	0
	4	0	0	-5604(2)	549(22-II-4)	516(23-I-4)	0
9007	908	0	0	-2285(23-I-4)	589(22-I-4)	-7053(23-II-4)	0
	7	0	0	3353(23-II-4)	519(23-II-3)	-3528(2)	0
9007	912	0	0	8016(2)	315(22-I-4)	3906(23-II-4)	0
	908	0	0	-14120(2)	383(22-I-4)	-6939(23-II-4)	0
9008	13	0	0	9631(23-II-4)	1214(23-II-1)	-5974(23-II-3)	0
	21	0	0	-4417(2)	1767(23-II-1)	-2207(1)	0
9008	21	0	0	3862(22-I-1)	717(23-II-1)	-3762(22-I-1)	0
	23	0	0	-3860(22-II-1)	721(23-I-1)	-3422(22-II-1)	0
9008	23	0	0	4311(2)	1886(23-I-1)	-2197(22-II-2)	0
	35	0	0	-11599(22-II-1)	1476(23-I-1)	-11246(22-II-1)	0
9008	35	0	0	8567(2)	-380(23-II-1)	-4740(22-II-1)	0
	37	0	0	-6680(2)	-286(23-II-2)	-1264(23-II-2)	0
9009	13	0	0	-1573(23-II-1)	2705(23-II-3)	1056(23-II-1)	0
	15	0	0	-3659(2)	1808(22-I-1)	-844(2)	0
9009	15	0	0	2798(2)	-328(22-II-4)	-415(22-II-1)	0
	915	0	0	-2585(2)	-418(22-II-4)	1324(23-II-4)	0
9009	17	0	0	8121(2)	-326(22-I-4)	-2697(2)	0
	5	0	0	-6768(2)	434(22-II-4)	-954(2)	0
9009	911	0	0	-306(23-I-4)	345(22-I-1)	-1903(23-II-4)	0
	17	0	0	-2605(2)	367(23-I-4)	-2050(2)	0
9009	915	0	0	3038(2)	-306(22-II-4)	1738(23-II-4)	0
	911	0	0	-5456(2)	371(22-I-1)	-2425(23-II-4)	0
9010	25	0	0	6715(2)	263(22-II-4)	-609(2)	0
	6	0	0	-6286(2)	-238(22-I-4)	-867(2)	0
9011	2	0	0	8930(23-II-2)	-358(22-I-2)	-5894(23-II-2)	0
	8	0	0	-5044(2)	-516(22-I-4)	-731(2)	0
9011	8	0	0	4760(2)	773(23-II-3)	-1069(2)	0
	7	0	0	-2943(23-I-2)	588(23-II-3)	-308(23-I-3)	0
9011	35	0	0	-7066(22-II-1)	186(23-I-2)	-1695(23-I-2)	0
	846	0	0	3978(23-II-2)	290(23-I-2)	-4876(23-I-2)	0

Asta	N.in.	N	Ty	Tz	Mt	My	Mz
9011	41	0	0	13496(23-I-2)	914(22-I-4)	-10610(23-I-2)	0
	2	0	0	-17810(23-II-2)	982(22-I-4)	-13193(23-II-2)	0
9011	846	0	0	10446(2)	-227(23-II-3)	-4741(23-I-2)	0
	848	0	0	-14605(2)	-153(22-II-2)	-9192(23-II-2)	0
9011	848	0	0	-3204(23-I-2)	-685(23-II-2)	-9398(23-II-2)	0
	41	0	0	10614(23-II-2)	-736(23-II-2)	-5873(23-I-2)	0
9012	1	0	0	3626(23-II-2)	446(23-I-2)	-1859(22-I-2)	0
	835	0	0	-1288(23-I-2)	450(23-I-2)	-1907(23-I-2)	0
9012	37	0	0	2779(23-II-2)	253(22-I-2)	-306(22-I-1)	0
	830	0	0	1179(23-II-2)	274(22-I-2)	1310(23-II-2)	0
9012	830	0	0	5968(2)	198(22-II-2)	-1194(23-I-2)	0
	833	0	0	-6640(2)	-299(23-II-3)	-3022(23-II-2)	0
9012	833	0	0	-754(23-I-2)	-437(23-II-2)	-1923(23-II-2)	0
	1	0	0	-3215(23-I-2)	-590(23-II-2)	-1903(2)	0
9012	835	0	0	6215(2)	371(22-I-2)	-2909(23-I-2)	0
	837	0	0	-5730(2)	-186(22-I-2)	-1901(23-II-2)	0
9012	837	0	0	1105(23-II-2)	-305(22-I-2)	-1336(23-II-2)	0
	9	0	0	-1820(23-I-2)	-353(22-I-2)	258(22-II-2)	0
9013	41	0	0	8517(2)	948(23-II-2)	-2912(2)	0
	1	0	0	-5727(2)	-421(23-II-2)	-651(2)	0
9014	8	0	0	2449(22-II-3)	-472(23-I-3)	-721(23-I-2)	0
	840	0	0	-823(22-I-3)	-402(23-I-3)	-1593(22-I-3)	0
9014	840	0	0	6727(2)	-344(23-I-3)	-2476(22-I-3)	0
	842	0	0	-5811(2)	190(23-I-3)	-1351(22-II-3)	0
9014	842	0	0	759(22-II-3)	323(23-I-2)	1124(22-I-3)	0
	9	0	0	-1842(22-I-3)	344(23-I-2)	234(22-I-2)	0

Risultati Analisi Dinamica - Sollecitazioni Massime - Muri discretizzati

Scenario di calcolo : **Scenario di calcolo N.T. 2018**

Muro	Pann.	Sxx	Syy	Sxy	Mxx	Myy	Mxy
		kg/cmq	kg/cmq	kg/cmq	kg*m/m	kg*m/m	kg*m/m
1	1	0.82(22-II-1)	1.05(23-I-4)	2.05(22-II-1)	-35(22-II-1)	464(23-II-4)	149(22-II-4)
1	2	1.76(22-II-1)	1.37(23-I-1)	1.65(22-II-1)	-189(22-II-4)	316(2)	160(22-II-4)
1	3	1.87(22-II-1)	1.78(22-I-1)	-1.11(22-I-1)	-324(22-II-4)	303(23-I-4)	171(22-II-4)
1	4	1.56(22-II-1)	2.50(22-I-1)	-0.84(22-I-1)	-409(22-II-4)	374(23-I-4)	161(22-II-4)
1	5	0.94(22-II-1)	-3.37(23-II-4)	2.34(22-II-1)	29(23-II-4)	446(23-II-4)	106(22-II-4)
1	6	2.46(22-II-1)	-3.76(23-II-4)	2.16(22-II-1)	-108(22-II-4)	351(2)	142(22-II-4)
1	7	3.10(22-II-1)	-4.15(23-II-4)	-1.52(22-I-1)	-197(22-II-4)	300(2)	174(22-II-4)
1	8	2.83(22-II-1)	-4.09(23-II-4)	-1.10(22-I-1)	-269(22-II-4)	359(23-I-4)	204(22-II-4)
1	9	0.91(22-II-4)	-4.60(23-II-4)	2.59(22-II-1)	46(23-II-4)	476(2)	-80(22-I-1)
1	10	3.20(22-II-1)	-5.69(23-II-4)	2.37(22-II-1)	-68(22-II-4)	381(2)	-88(22-I-4)
1	11	4.71(22-II-1)	-6.71(23-II-4)	1.64(22-II-1)	-155(22-II-4)	336(2)	-97(22-I-4)
1	12	4.65(22-II-1)	-7.25(23-II-4)	-0.90(22-I-1)	-226(22-II-4)	371(23-I-4)	154(22-II-4)
1	13	1.03(22-II-1)	-4.53(23-II-4)	2.84(23-II-1)	51(23-II-4)	467(22-II-4)	-83(23-II-4)
1	14	3.79(22-II-1)	-6.12(23-II-4)	2.88(23-II-1)	-46(22-II-4)	391(22-II-4)	-101(23-II-4)
1	15	5.87(22-II-1)	-7.62(23-II-4)	2.39(23-II-4)	-161(22-II-4)	351(2)	-104(22-I-1)
1	16	8.75(22-II-1)	-10.95(23-II-4)	0.88(23-II-1)	-270(22-II-4)	349(2)	-104(22-I-4)
2	1	1.40(22-II-1)	-2.77(23-II-4)	3.28(23-II-4)	41(2)	327(22-II-4)	-98(23-I-4)
2	2	4.77(22-II-1)	-2.00(22-I-1)	3.33(23-II-4)	45(23-II-4)	258(22-II-4)	-121(23-I-4)
2	3	8.57(22-II-1)	-1.16(22-I-1)	2.86(23-II-4)	55(23-II-1)	195(2)	-152(23-I-4)
2	4	13.30(22-II-1)	2.07(22-I-1)	2.25(22-I-1)	64(23-II-1)	139(2)	-152(2)
2	5	1.55(2)	-1.96(2)	-2.03(22-II-1)	30(2)	144(2)	-87(23-I-4)
2	6	5.29(2)	-0.88(2)	-1.72(22-II-1)	49(2)	94(2)	-96(23-I-4)
2	7	9.28(2)	-0.85(2)	-1.19(22-II-1)	71(2)	42(23-II-4)	-96(23-I-4)
2	8	13.67(2)	-0.75(22-II-1)	-0.39(22-II-1)	80(2)	-19(23-I-4)	-57(23-I-4)
2	9	0.90(23-II-4)	-1.69(2)	-4.80(22-II-1)	28(2)	131(2)	157(23-II-4)
2	10	3.30(23-II-4)	-0.76(2)	-4.19(22-II-1)	48(2)	89(2)	164(23-II-4)

Muro	Pann.	Sxx	Syy	Sxy	Mxx	Myy	Mxy
2	11	6.05(23-II-4)	-0.74(2)	-2.75(22-II-1)	69(2)	41(2)	163(23-II-4)
2	12	9.57(23-II-4)	-0.67(22-I-1)	-0.80(22-II-1)	79(2)	-14(23-II-4)	103(23-II-4)
2	13	-1.26(22-II-1)	-3.48(2)	-6.05(2)	41(2)	273(22-II-1)	224(23-II-4)
2	14	-3.34(22-II-1)	-3.25(22-II-1)	-6.13(2)	51(2)	215(22-II-1)	250(23-II-4)
2	15	-6.12(22-II-1)	-2.38(22-II-1)	-5.44(2)	69(22-I-1)	167(23-II-4)	278(23-II-4)
2	16	-9.80(22-II-1)	2.05(22-II-1)	-4.41(22-II-1)	92(22-I-1)	133(23-II-4)	248(23-II-4)
3	1	-1.36(22-II-1)	-4.24(2)	-4.07(2)	51(2)	378(22-II-1)	272(23-II-1)
3	2	-3.45(22-II-1)	-6.17(22-II-1)	-4.28(2)	59(22-I-1)	318(22-II-1)	269(23-II-1)
3	3	-5.67(22-II-1)	-8.59(22-II-1)	-3.76(2)	-95(22-II-1)	286(22-II-1)	249(23-II-1)
3	4	-11.56(22-II-1)	-12.71(22-II-1)	-2.40(2)	-162(22-II-1)	284(23-II-4)	181(23-II-1)
3	5	-1.37(22-II-1)	-3.89(2)	-3.27(22-I-1)	38(2)	350(2)	270(23-II-1)
3	6	-3.41(22-II-1)	-4.95(22-II-1)	-3.04(22-I-1)	37(22-I-1)	277(22-II-1)	239(23-II-1)
3	7	-6.20(22-II-1)	-6.25(22-II-1)	-2.52(22-I-1)	-72(22-II-1)	245(22-II-1)	206(22-I-1)
3	8	-7.92(22-II-1)	-6.74(22-II-1)	-2.69(2)	-114(22-II-1)	238(22-II-1)	211(22-I-1)
3	9	-1.58(2)	-2.84(2)	-3.56(22-I-1)	21(22-II-1)	275(22-II-1)	257(23-II-1)
3	10	-3.44(22-II-1)	-3.51(23-II-1)	-3.23(22-I-1)	-37(22-I-1)	219(2)	221(22-I-1)
3	11	-5.07(22-II-1)	-4.04(22-II-1)	-2.66(22-I-1)	-75(22-I-1)	180(22-II-1)	215(22-I-1)
3	12	-6.26(22-II-1)	-4.48(22-II-1)	-2.22(2)	-110(22-I-1)	157(22-II-1)	213(22-I-1)
3	13	-1.50(2)	-1.65(2)	-3.78(22-I-1)	-15(22-I-1)	153(2)	264(22-I-1)
3	14	-3.53(2)	-2.19(23-II-1)	-3.31(22-I-1)	-74(22-I-1)	147(2)	255(22-I-1)
3	15	-4.75(2)	-2.78(23-II-1)	-2.63(22-I-1)	-120(22-I-1)	121(2)	247(22-I-1)
3	16	-5.53(2)	-3.31(22-II-1)	-1.81(22-I-1)	-153(22-I-1)	93(22-II-1)	248(22-I-1)
4	1	-1.93(2)	-14.94(22-II-1)	-4.78(22-II-1)	-69(22-II-1)	191(22-II-1)	194(22-I-1)
4	2	-2.50(2)	-7.21(22-II-1)	0.37(22-I-1)	-24(23-II-1)	-93(23-II-4)	158(22-I-1)
4	3	-2.49(2)	-5.31(23-II-1)	-0.39(22-II-1)	-37(23-I-1)	-168(23-II-1)	169(22-I-1)
4	4	-1.96(2)	-9.86(2)	4.13(22-I-1)	375(23-I-1)	747(23-I-1)	-583(23-I-1)
4	5	-4.67(22-II-1)	-9.31(22-II-1)	-3.90(22-II-1)	-86(22-II-1)	138(22-II-1)	209(22-I-1)
4	6	-0.60(2)	-7.24(22-II-1)	-1.75(22-II-1)	-73(23-II-4)	-80(23-II-4)	-213(22-II-1)
4	7	-0.53(2)	-5.86(2)	1.67(22-I-1)	-116(23-II-1)	-150(23-II-1)	221(22-I-1)
4	8	-3.89(22-I-1)	-5.68(2)	3.48(22-I-1)	431(23-I-1)	561(23-I-1)	-492(23-I-1)
4	9	-4.77(2)	-6.20(22-II-1)	-3.01(22-II-1)	-118(23-II-4)	90(22-II-1)	202(22-I-1)
4	10	-0.69(2)	-6.00(22-II-4)	-2.64(22-II-1)	-144(23-II-4)	-59(23-II-1)	217(22-I-1)
4	11	-0.59(2)	-5.37(2)	2.45(22-I-1)	-236(23-II-1)	-117(23-II-1)	234(22-I-1)
4	12	-3.93(22-I-1)	-3.57(2)	2.62(22-I-1)	488(23-I-1)	429(23-I-1)	-367(23-I-1)
4	13	-4.78(2)	-4.42(22-II-1)	-2.31(22-II-1)	-181(23-II-4)	43(22-II-1)	240(22-I-1)
4	14	-1.30(2)	-5.01(2)	-2.96(22-II-1)	-205(23-II-4)	-44(23-II-4)	243(22-I-1)
4	15	-1.17(2)	-4.57(2)	2.65(22-I-1)	-354(23-II-1)	-91(23-II-1)	268(22-I-1)
4	16	-3.30(2)	-2.77(23-II-1)	1.80(22-I-1)	-647(23-II-1)	318(23-I-1)	-330(22-II-1)
5	1	-9.20(22-I-1)	-8.20(2)	1.22(2)	706(23-I-1)	970(2)	-664(23-I-1)
5	2	1.94(22-II-4)	-5.15(2)	1.83(2)	639(23-I-4)	1068(2)	-647(23-I-1)
5	3	3.32(22-I-1)	-3.19(2)	1.57(2)	674(23-I-4)	1150(2)	-513(23-I-1)
5	4	10.25(22-I-1)	-2.47(2)	1.02(23-II-1)	688(23-I-4)	1162(2)	-142(23-I-1)
5	5	-5.14(22-I-1)	-3.30(2)	1.24(2)	757(23-I-1)	1033(2)	-691(23-I-1)
5	6	-1.96(22-I-4)	-3.09(2)	1.01(22-II-1)	809(23-I-1)	1264(2)	-599(23-I-1)
5	7	3.60(2)	-2.38(2)	1.00(22-II-1)	838(23-I-1)	1484(2)	-482(23-I-1)
5	8	9.08(22-I-1)	-2.06(2)	0.72(23-II-1)	914(23-I-1)	1654(2)	-161(22-II-1)
5	9	-3.44(22-I-4)	-1.95(23-II-1)	0.77(10)	879(23-I-1)	1033(2)	-583(23-I-1)
5	10	1.41(22-II-4)	-1.77(23-II-1)	0.84(22-II-1)	1032(23-I-1)	1433(2)	-546(23-I-1)
5	11	3.59(2)	-1.61(23-II-1)	0.82(22-II-1)	1147(23-I-1)	1879(2)	-431(23-I-1)
5	12	7.70(22-I-1)	-1.32(23-II-1)	0.55(22-II-1)	1266(23-I-1)	2304(2)	-158(22-II-1)
5	13	-2.36(22-I-4)	-1.66(23-II-1)	0.40(22-II-1)	963(23-I-1)	984(2)	-416(22-II-1)
5	14	1.26(22-II-4)	-1.32(23-II-1)	-0.85(22-I-1)	1329(23-I-1)	1667(2)	-392(22-II-1)
5	15	3.36(2)	1.52(23-I-1)	0.82(22-II-1)	1699(23-I-1)	2459(2)	266(22-I-1)
5	16	7.22(2)	-1.14(23-II-1)	1.10(2)	1829(23-I-1)	3019(2)	357(22-I-1)
6	1	0.53(22-II-1)	3.26(22-I-1)	-1.12(22-II-1)	-396(22-II-4)	412(23-I-4)	166(22-II-4)
6	2	0.40(22-I-1)	2.70(23-I-1)	1.63(22-I-1)	-271(2)	300(2)	-143(22-I-4)
6	3	0.34(22-II-1)	2.72(2)	1.57(22-I-1)	-260(22-I-1)	279(2)	-177(22-I-4)
6	4	-0.49(22-II-1)	2.91(22-II-1)	1.21(22-I-1)	-398(22-I-1)	354(2)	-136(22-I-4)
6	5	-1.05(22-I-1)	-3.89(23-II-4)	-1.54(22-II-1)	-268(22-II-4)	401(23-I-4)	252(22-II-4)
6	6	0.17(2)	-3.79(23-II-4)	1.78(22-I-1)	-192(22-II-4)	276(2)	205(22-II-4)
6	7	0.15(2)	-3.04(23-II-4)	1.86(22-I-1)	-185(22-I-1)	268(2)	-214(22-I-4)
6	8	-1.36(22-II-1)	-1.99(23-II-1)	1.63(22-I-1)	-337(22-I-1)	428(2)	-190(23-II-1)
6	9	-1.91(22-I-1)	-8.40(23-II-4)	-1.61(22-II-1)	-181(22-II-4)	404(23-I-4)	274(22-II-4)
6	10	-0.05(23-II-4)	-8.44(23-II-4)	1.44(22-I-1)	-97(22-II-4)	259(23-I-4)	223(22-II-4)
6	11	-0.12(23-II-4)	-7.75(2)	1.38(22-I-1)	-91(22-I-1)	254(2)	-204(22-I-4)
6	12	-2.12(22-II-1)	-6.49(2)	1.70(22-I-1)	-292(22-I-1)	521(2)	-230(23-II-1)

Muro	Pann.	Sxx	Syy	Sxy	Mxx	Myy	Mxy
6	13	-2.41(2)	-14.89(22-I-1)	2.28(22-I-1)	-128(22-II-4)	435(23-I-4)	247(22-II-4)
6	14	-1.87(2)	-12.81(2)	-0.49(22-II-1)	-19(23-II-1)	248(23-I-4)	157(22-II-4)
6	15	-1.80(2)	-12.48(2)	0.55(22-I-1)	-29(22-II-1)	245(2)	-155(22-I-4)
6	16	-1.93(2)	-12.58(22-II-4)	-2.30(22-I-1)	-228(22-I-1)	640(2)	236(23-I-1)
7	1	0.66(22-I-1)	2.34(22-II-1)	1.21(2)	-467(22-I-1)	685(2)	159(23-I-1)
7	2	0.43(22-I-1)	1.93(22-I-4)	1.50(22-II-1)	-478(22-I-1)	1026(2)	189(23-I-1)
7	3	-1.07(22-I-4)	1.83(22-I-4)	1.40(22-II-1)	568(23-I-1)	1481(2)	-178(23-II-1)
7	4	-3.32(22-I-4)	1.87(22-I-4)	0.77(22-II-1)	778(22-II-1)	1824(2)	-186(23-II-1)
7	5	1.58(22-I-1)	-1.66(23-II-4)	1.45(22-II-1)	-480(22-I-1)	715(2)	323(23-I-1)
7	6	1.00(22-I-1)	-1.65(23-II-4)	1.93(22-II-1)	-542(22-I-1)	949(2)	322(23-I-1)
7	7	1.36(22-II-4)	-1.40(23-II-4)	1.82(22-II-1)	664(22-II-1)	1231(2)	265(23-I-1)
7	8	-3.73(22-I-4)	-1.11(22-I-4)	1.13(22-II-1)	764(22-II-1)	1513(2)	-153(23-II-1)
7	9	2.98(22-I-1)	-4.64(2)	1.08(2)	-525(22-I-1)	767(2)	374(23-I-1)
7	10	1.96(22-I-1)	-3.97(2)	1.66(22-II-1)	-585(22-I-1)	882(2)	352(23-I-1)
7	11	1.93(22-II-4)	-2.95(2)	1.28(22-II-1)	643(22-I-1)	1025(2)	309(23-I-1)
7	12	-4.29(22-I-4)	-2.15(2)	-0.94(22-I-1)	669(22-I-4)	1183(2)	157(23-I-1)
7	13	6.52(22-I-1)	-8.65(22-II-4)	-0.80(22-I-1)	-590(22-I-1)	726(2)	372(23-I-1)
7	14	2.43(22-I-1)	-5.32(2)	-1.46(22-I-1)	-627(22-II-1)	779(2)	399(23-I-1)
7	15	2.08(22-II-4)	-3.59(2)	-1.37(22-I-1)	-622(22-II-4)	850(2)	332(23-I-1)
7	16	-5.13(22-I-4)	-2.39(2)	-1.11(22-I-1)	587(22-I-4)	895(2)	118(23-I-1)
8	1	10.34(22-I-1)	1.45(22-II-1)	-2.42(22-II-1)	-555(22-II-4)	269(2)	316(23-I-1)
8	2	3.94(22-I-1)	-1.01(22-II-1)	-2.81(22-II-4)	-543(22-II-4)	360(2)	319(23-I-1)
8	3	-2.06(22-I-4)	-1.52(22-II-1)	-2.51(22-II-4)	-539(22-II-4)	423(2)	250(23-I-1)
8	4	-7.45(22-I-4)	-1.47(22-II-4)	-1.72(22-II-4)	-536(22-II-4)	460(2)	78(23-I-1)
8	5	10.12(2)	-0.60(22-I-4)	-0.48(22-II-1)	-753(23-I-1)	-28(2)	-57(23-II-4)
8	6	4.52(23-II-4)	-0.65(2)	-1.33(22-II-1)	-770(23-I-1)	43(23-I-1)	75(23-I-4)
8	7	-2.56(23-I-4)	-0.98(2)	-1.57(22-II-1)	-808(23-I-1)	87(23-I-1)	72(23-I-4)
8	8	-8.09(2)	-0.87(2)	-1.16(22-II-1)	-812(23-I-1)	103(22-I-4)	45(22-II-4)
8	9	7.91(22-II-4)	-0.60(2)	0.76(22-I-1)	-579(23-I-1)	-52(2)	-111(23-I-4)
8	10	3.57(23-II-1)	-0.56(2)	2.29(22-I-1)	-598(23-I-1)	29(23-I-1)	-195(23-I-4)
8	11	-2.26(23-I-4)	-0.82(2)	2.71(22-I-1)	-630(23-I-1)	74(23-I-1)	-191(23-I-4)
8	12	-5.90(2)	-0.64(23-II-1)	2.06(22-I-1)	-636(23-I-1)	109(22-I-4)	-90(23-I-4)
8	13	-9.99(22-I-1)	1.33(22-I-1)	3.57(22-I-1)	616(22-I-1)	374(2)	-505(23-I-1)
8	14	-3.91(22-I-4)	-1.75(22-I-1)	3.87(2)	577(22-I-1)	477(2)	-497(23-I-1)
8	15	1.73(22-I-1)	-2.09(22-I-1)	3.42(2)	557(22-I-1)	536(2)	-399(23-I-1)
8	16	6.40(22-I-1)	-1.91(2)	2.13(2)	537(22-I-1)	556(2)	-112(2)
9	1	-9.04(22-I-1)	-11.40(22-I-1)	2.26(2)	-234(22-I-1)	159(22-I-1)	153(22-II-1)
9	2	-4.66(22-I-1)	-7.00(22-I-1)	2.45(2)	-177(22-I-1)	93(22-I-1)	182(22-II-1)
9	3	-2.59(2)	-4.95(22-I-1)	1.92(2)	-91(22-I-1)	135(2)	159(22-II-1)
9	4	-2.60(2)	-4.45(2)	1.31(22-II-1)	-52(2)	281(2)	-132(22-I-1)
9	5	-7.32(22-I-1)	-6.00(22-I-1)	3.05(2)	-252(22-I-1)	90(22-I-1)	169(22-II-1)
9	6	-3.84(22-I-1)	-5.84(22-I-1)	2.63(22-II-1)	-200(22-I-1)	60(22-I-1)	176(22-II-1)
9	7	-2.40(2)	-4.20(22-I-1)	2.60(22-II-1)	-134(2)	92(2)	161(22-II-1)
9	8	-2.29(2)	-3.62(2)	2.00(22-II-1)	-87(2)	228(2)	-130(22-I-1)
9	9	-5.37(22-I-1)	-3.57(22-I-1)	3.49(2)	-290(22-I-1)	-44(22-II-1)	168(22-II-1)
9	10	-3.42(2)	-3.39(22-I-1)	3.14(22-II-1)	-250(2)	-22(22-II-1)	174(22-II-1)
9	11	-2.13(2)	-2.84(22-I-1)	3.16(22-II-1)	-198(2)	48(22-II-4)	163(22-II-1)
9	12	-1.77(2)	-2.37(2)	2.54(22-II-1)	-128(2)	143(2)	-114(22-I-1)
9	13	-3.82(22-I-1)	-1.28(22-I-1)	3.22(2)	-348(22-I-1)	-42(2)	153(22-II-1)
9	14	-2.82(2)	-1.28(22-I-1)	3.31(22-II-1)	-342(2)	-34(2)	170(22-II-1)
9	15	-1.90(2)	-1.15(22-I-1)	3.32(22-II-1)	-277(2)	-14(22-I-1)	164(22-II-1)
9	16	-1.02(2)	-0.94(2)	2.64(22-II-1)	-158(2)	36(2)	111(22-II-1)
10	1	-8.91(22-II-1)	-5.39(2)	1.21(2)	-464(23-I-1)	-809(2)	440(23-I-1)
10	2	-2.06(22-II-1)	-4.12(2)	1.51(2)	-450(22-I-4)	-910(2)	405(22-I-1)
10	3	3.16(22-II-4)	-2.71(2)	1.45(22-I-1)	-496(22-I-4)	-1013(2)	317(22-I-1)
10	4	8.80(22-II-4)	-2.07(2)	1.06(22-I-1)	-471(22-I-4)	-1077(2)	129(22-I-1)
10	5	-4.20(22-II-1)	-2.29(2)	1.12(2)	-525(23-I-1)	-905(2)	466(22-I-1)
10	6	-1.58(22-II-1)	-1.93(2)	1.18(22-I-1)	-605(23-I-1)	-1129(2)	404(22-I-1)
10	7	3.15(22-II-4)	-1.60(2)	1.22(22-I-1)	-657(23-I-1)	-1371(2)	319(22-I-1)
10	8	7.74(22-II-4)	-1.28(22-I-1)	0.81(22-I-1)	-640(23-I-1)	-1612(2)	185(22-I-1)
10	9	-2.06(22-II-1)	-1.11(22-I-1)	0.70(10)	-624(23-I-1)	-929(2)	392(22-I-1)
10	10	0.92(22-I-1)	-1.20(22-I-1)	1.01(22-I-1)	-755(23-I-1)	-1318(2)	361(22-I-1)
10	11	3.20(22-II-4)	-1.04(22-I-1)	0.99(22-I-1)	-887(23-I-1)	-1773(2)	-300(22-II-1)
10	12	6.63(22-II-4)	-0.92(22-I-1)	-0.69(22-II-1)	-927(23-I-1)	-2344(2)	194(22-I-1)
10	13	-1.11(2)	-1.35(23-II-1)	0.27(22-I-1)	809(23-II-1)	-915(2)	-217(22-II-1)
10	14	1.03(22-II-4)	1.07(23-I-1)	0.65(22-I-1)	-880(23-I-1)	-1591(2)	-251(22-II-1)

Muro	Pann.	Sxx	Syy	Sxy	Mxx	Myy	Mxy
10	15	3.24(22-II-4)	1.38(23-I-1)	0.83(22-I-1)	-1040(23-I-1)	-2375(2)	-341(22-II-1)
10	16	5.92(22-II-4)	1.14(23-I-1)	0.61(22-I-1)	-1155(23-I-1)	-3027(2)	-292(23-II-1)
11	1	-3.17(22-II-1)	8.81(22-I-1)	-2.33(22-II-1)	-907(2)	-1088(22-I-1)	227(22-II-4)
11	2	-2.28(22-II-1)	8.20(22-I-1)	-0.89(22-I-1)	-685(2)	-706(22-I-4)	207(22-II-1)
11	3	-1.75(2)	8.97(22-I-1)	-0.63(22-I-1)	-507(2)	-556(22-I-4)	171(22-I-1)
11	4	-2.15(2)	9.90(22-I-1)	0.99(22-II-1)	-402(2)	482(22-II-4)	134(23-I-1)
11	5	-3.57(22-II-1)	3.42(22-I-1)	-1.80(22-II-1)	-565(2)	-1077(22-I-1)	389(22-I-1)
11	6	-2.65(22-II-1)	4.28(22-I-1)	-1.58(22-I-1)	-517(2)	-637(22-I-4)	428(23-I-1)
11	7	-2.49(22-II-1)	4.46(22-I-1)	-1.17(22-I-4)	-454(2)	-501(22-I-4)	427(23-I-1)
11	8	-3.06(2)	4.31(22-I-1)	1.20(22-II-1)	-395(2)	453(22-II-4)	395(23-I-1)
11	9	-3.22(22-II-1)	0.70(22-I-1)	-1.55(2)	-331(23-I-1)	-843(22-I-1)	412(22-I-1)
11	10	-3.25(22-II-1)	1.18(22-I-1)	-1.57(22-II-1)	-363(2)	-580(22-II-4)	448(23-I-1)
11	11	-3.22(22-II-1)	1.56(22-II-4)	-1.21(22-I-4)	-391(2)	-461(22-II-4)	452(23-I-1)
11	12	-4.63(2)	2.21(22-II-4)	1.14(22-II-1)	-382(2)	447(22-I-4)	430(23-I-1)
11	13	-3.04(22-II-1)	-0.96(22-I-4)	-1.48(2)	-227(23-I-1)	632(22-II-1)	422(22-I-1)
11	14	-3.30(22-II-1)	-1.72(22-I-4)	-1.39(22-II-1)	-298(23-I-1)	-502(22-II-4)	425(23-I-1)
11	15	-3.57(2)	-3.31(22-I-4)	-0.90(22-II-1)	-331(2)	-408(22-II-4)	467(23-I-1)
11	16	-6.45(2)	-7.02(22-I-1)	0.67(2)	-377(2)	424(22-I-4)	397(23-I-1)
12	1	-9.17(22-II-1)	-9.34(22-II-1)	1.29(2)	175(22-I-4)	-258(22-I-1)	155(23-II-4)
12	2	-4.64(22-II-1)	-7.33(22-II-1)	2.15(2)	102(22-I-4)	-279(22-I-1)	213(23-II-4)
12	3	-2.76(22-II-1)	-5.38(22-II-1)	2.60(2)	-54(22-II-4)	-326(22-II-1)	228(23-II-4)
12	4	-1.18(22-II-1)	-3.81(2)	2.59(2)	-51(2)	-411(2)	219(23-II-4)
12	5	-5.62(22-II-1)	-5.29(22-II-1)	0.68(23-II-4)	115(22-I-4)	-174(22-I-1)	169(22-II-1)
12	6	-4.63(22-II-1)	-4.89(2)	1.67(22-I-1)	69(22-I-4)	-209(22-II-1)	179(22-II-1)
12	7	-2.63(22-II-1)	-4.37(2)	2.35(22-I-1)	-27(22-II-4)	-284(2)	208(23-II-4)
12	8	-1.08(22-II-1)	-3.57(2)	2.65(22-I-1)	-46(2)	-431(2)	222(23-II-4)
12	9	-3.87(22-II-1)	-3.75(2)	-0.84(22-II-1)	206(23-II-4)	62(22-I-1)	-143(22-I-1)
12	10	-3.36(22-II-1)	-3.58(2)	-1.60(22-II-1)	137(23-II-4)	-106(22-II-1)	154(22-II-1)
12	11	-2.37(22-II-1)	-3.25(2)	2.12(22-I-1)	64(23-II-4)	-200(2)	173(22-II-1)
12	12	-1.07(22-II-1)	-2.67(2)	2.55(22-I-1)	-22(22-I-1)	-391(2)	194(23-II-4)
12	13	-2.57(22-II-1)	-2.87(2)	-1.40(22-II-1)	504(23-II-4)	87(23-II-4)	-235(22-I-4)
12	14	-2.46(22-II-1)	-2.53(2)	-2.06(22-II-1)	424(23-II-4)	39(23-II-4)	-224(22-I-4)
12	15	-1.99(22-II-1)	-2.04(2)	-2.46(22-II-1)	277(23-II-4)	-67(2)	-196(22-I-4)
12	16	-0.90(23-II-1)	-1.63(2)	2.43(22-I-1)	77(23-II-4)	-200(2)	-137(22-I-4)
13	1	-1.17(22-II-1)	-2.74(22-II-1)	4.18(22-II-1)	-41(2)	-278(2)	174(23-II-3)
13	2	3.47(22-I-1)	-2.79(22-II-1)	4.38(22-II-1)	-47(23-II-4)	-218(2)	197(23-II-3)
13	3	6.32(22-I-1)	-2.04(22-II-1)	4.19(22-II-1)	-65(22-II-1)	-166(22-I-1)	221(23-II-3)
13	4	9.94(22-I-1)	1.56(22-II-1)	3.71(22-II-1)	-86(22-II-1)	-118(22-II-1)	197(2)
13	5	0.94(22-I-1)	-1.84(2)	3.59(22-II-1)	-29(2)	-135(2)	112(23-II-3)
13	6	3.26(22-I-1)	-0.75(2)	3.11(22-II-1)	-48(2)	-90(2)	118(23-II-3)
13	7	5.69(22-I-1)	-0.78(2)	2.03(22-II-1)	-69(2)	-41(2)	118(23-II-3)
13	8	8.20(22-I-1)	-1.61(2)	0.55(22-II-1)	-78(2)	13(22-II-4)	74(23-II-3)
13	9	0.73(22-II-1)	-1.74(2)	-4.40(22-I-1)	-29(2)	-135(2)	-74(23-I-3)
13	10	2.62(22-II-1)	-0.71(2)	-3.82(22-I-1)	-49(2)	-90(2)	-78(23-I-3)
13	11	4.63(22-II-1)	-0.71(2)	-2.49(22-I-1)	-69(2)	-42(2)	-77(23-I-3)
13	12	6.80(22-II-1)	-1.59(2)	-0.66(22-I-1)	-78(2)	9(22-II-4)	-48(23-I-3)
13	13	-1.41(22-I-1)	-3.36(2)	-4.94(22-I-1)	-37(2)	-256(22-I-1)	-121(23-I-3)
13	14	-3.87(22-I-1)	-3.29(22-I-1)	-5.18(22-I-1)	-44(2)	-200(22-I-1)	-136(23-I-3)
13	15	-7.09(22-I-1)	-2.51(22-I-1)	-4.96(22-I-1)	-59(22-II-1)	-150(22-I-1)	-153(23-I-3)
13	16	-11.43(22-I-1)	-1.55(22-II-1)	-4.40(22-I-1)	-80(22-II-1)	-103(22-I-1)	-142(2)
14	1	-2.72(22-I-1)	-12.55(22-I-1)	-4.73(22-I-1)	77(22-I-1)	-149(22-I-1)	218(22-I-1)
14	2	-1.14(22-I-1)	-5.59(22-I-1)	0.40(22-II-1)	31(22-II-1)	113(23-II-1)	213(22-I-1)
14	3	-1.01(2)	-3.60(2)	0.50(22-II-1)	17(22-I-1)	154(23-II-1)	-257(22-II-1)
14	4	-2.34(22-II-1)	-8.20(22-II-1)	4.35(22-I-1)	-253(23-I-1)	-611(2)	448(22-I-1)
14	5	-4.83(22-I-1)	-6.14(22-I-1)	-3.54(22-I-1)	96(22-II-4)	-93(22-I-1)	208(22-I-1)
14	6	-0.80(2)	-5.65(22-I-1)	-2.23(22-I-1)	108(23-II-1)	93(22-II-1)	249(22-I-1)
14	7	-0.71(2)	-4.60(2)	2.34(22-II-1)	153(23-II-1)	134(23-II-1)	-303(22-II-1)
14	8	-4.04(22-II-1)	-3.57(2)	3.38(22-II-1)	-304(23-I-1)	-443(2)	390(22-I-1)
14	9	-4.34(2)	-3.70(2)	-2.49(22-I-1)	183(2)	-45(22-I-1)	200(22-I-1)
14	10	-1.41(2)	-4.88(2)	-2.75(22-I-1)	221(2)	76(2)	-234(22-II-1)
14	11	-1.20(2)	-4.38(2)	2.76(22-II-1)	294(23-II-1)	110(23-II-1)	-289(22-II-1)
14	12	-3.37(22-II-1)	-2.33(2)	2.36(22-II-1)	429(23-II-1)	-337(23-I-1)	322(22-I-1)
14	13	-4.38(2)	-3.57(2)	-1.57(22-I-1)	311(2)	9(22-II-1)	162(22-I-1)
14	14	-2.11(2)	-4.56(2)	-2.50(22-I-1)	349(2)	70(2)	199(22-I-1)
14	15	-1.80(2)	-4.14(2)	2.38(22-II-1)	473(2)	97(23-II-1)	-239(22-II-1)
14	16	-2.46(2)	-2.33(23-II-1)	1.46(22-II-1)	695(23-II-1)	-263(23-I-1)	-227(22-II-1)

Muro	Pann.	Sxx	Syy	Sxy	Mxx	Myy	Mxy
15	1	-2.16(22-I-1)	-9.53(2)	-3.61(22-I-1)	-188(22-II-4)	-383(23-I-1)	-376(22-I-1)
15	2	-1.00(2)	-7.65(2)	0.38(22-II-1)	15(23-II-1)	184(23-II-1)	-247(22-I-1)
15	3	-1.10(22-II-1)	-8.47(22-II-1)	-0.32(22-I-4)	33(22-II-1)	189(23-II-1)	-241(22-I-1)
15	4	-2.41(22-II-1)	-13.34(22-II-1)	3.75(22-II-1)	84(22-I-4)	-157(22-I-1)	-236(22-I-1)
15	5	-3.57(22-I-1)	-5.36(2)	-2.36(22-I-1)	272(22-I-4)	-268(23-I-1)	-358(22-I-1)
15	6	-0.45(22-I-1)	-6.84(2)	-1.61(22-I-1)	143(23-II-1)	156(23-II-1)	290(22-II-1)
15	7	-0.40(2)	-7.26(22-II-1)	1.60(22-II-4)	132(23-II-1)	165(23-II-1)	-283(22-I-1)
15	8	-3.96(22-II-1)	-7.07(22-II-1)	2.27(22-II-4)	124(22-I-4)	96(22-II-1)	-226(22-I-1)
15	9	-2.98(22-I-1)	-3.69(2)	1.68(22-II-1)	360(22-I-4)	-186(23-I-1)	-322(22-I-1)
15	10	-0.69(22-I-1)	-5.18(2)	-1.90(22-I-1)	255(23-II-1)	118(23-II-1)	293(22-II-1)
15	11	-0.51(23-II-1)	-5.42(2)	2.01(22-II-4)	261(23-II-1)	133(23-II-1)	-255(22-I-1)
15	12	-3.26(22-II-1)	-4.57(2)	1.23(22-II-4)	258(23-II-4)	99(23-II-1)	-213(22-I-1)
15	13	-2.00(22-I-1)	-2.95(2)	1.58(22-II-4)	476(22-II-1)	-111(23-I-1)	397(22-II-1)
15	14	-0.74(22-I-1)	-3.56(2)	2.00(22-II-1)	366(22-II-1)	83(23-II-1)	325(22-II-1)
15	15	-0.48(23-II-4)	-3.71(2)	1.99(22-II-4)	390(23-II-1)	106(23-II-4)	237(22-II-1)
15	16	-2.11(22-II-1)	-3.41(2)	-1.13(22-I-4)	494(23-II-4)	104(23-II-4)	-223(22-I-4)
16	1	-8.54(22-I-1)	0.90(22-I-1)	-3.34(22-I-1)	467(22-II-1)	-156(23-I-1)	-313(23-I-1)
16	2	3.49(22-II-4)	-1.67(22-I-1)	-3.36(22-I-1)	486(22-I-1)	-191(2)	-344(23-I-1)
16	3	2.29(22-I-1)	-1.98(22-I-1)	-2.80(22-I-1)	511(22-I-1)	-216(2)	-302(23-I-1)
16	4	-6.38(22-II-1)	-1.71(22-I-1)	-1.71(22-I-1)	521(22-I-1)	-236(2)	-99(23-I-1)
16	5	7.31(22-II-4)	-1.48(2)	-0.60(22-I-1)	841(22-I-1)	15(23-I-1)	-103(23-I-1)
16	6	3.48(22-II-4)	-0.59(2)	-1.89(22-I-1)	853(22-I-1)	-30(23-I-1)	-162(23-I-1)
16	7	-2.51(22-I-1)	-0.80(2)	-2.23(22-I-1)	875(22-I-1)	-59(23-I-1)	-157(23-I-1)
16	8	-6.34(22-II-1)	-0.78(2)	-1.67(22-I-1)	875(22-I-1)	-87(22-II-1)	-89(23-I-1)
16	9	6.99(22-I-1)	-1.51(2)	0.70(22-II-1)	782(22-I-1)	43(2)	-69(22-II-1)
16	10	3.26(22-I-1)	-0.56(2)	2.23(22-II-1)	796(22-I-1)	-28(23-I-1)	-79(22-II-1)
16	11	-2.29(22-I-1)	-0.78(2)	2.65(22-II-1)	821(22-I-1)	-66(23-II-1)	-82(22-II-1)
16	12	-5.75(22-I-4)	-0.76(2)	2.03(22-II-1)	823(22-I-1)	-106(22-II-1)	-39(22-II-1)
16	13	-11.11(22-II-1)	-0.90(22-I-1)	3.76(22-II-1)	-459(22-I-4)	-302(2)	314(23-I-1)
16	14	-4.37(22-II-1)	-1.95(22-II-1)	3.76(22-II-1)	-430(22-I-4)	-399(2)	288(23-I-1)
16	15	1.96(22-II-4)	-2.21(22-II-1)	3.28(22-II-1)	-416(22-II-1)	-463(2)	216(22-I-1)
16	16	6.82(22-II-4)	-2.08(22-II-1)	2.19(22-II-1)	-414(22-II-1)	-497(2)	64(22-I-1)
17	1	-2.45(23-II-2)	0.30(2)	-0.42(22-II-1)	-452(23-I-2)	-39(22-I-2)	173(23-I-2)
17	2	-2.74(2)	-0.13(23-II-2)	0.80(22-I-1)	-380(2)	-69(23-II-2)	-142(23-II-2)
17	3	-2.74(2)	-0.55(22-II-1)	0.66(22-I-1)	-418(2)	-68(23-II-1)	-124(23-I-3)
17	4	-1.39(22-I-1)	-1.52(22-II-1)	-0.77(22-II-1)	-527(23-I-2)	-83(22-II-1)	-127(23-I-1)
17	5	-2.60(23-II-2)	0.23(2)	-0.38(22-II-1)	-378(23-I-2)	-35(22-I-2)	185(23-I-2)
17	6	-2.85(2)	-0.18(23-II-2)	0.84(22-I-1)	-386(2)	-59(23-II-2)	-147(23-II-2)
17	7	-2.69(2)	-0.48(22-II-1)	0.70(23-II-2)	-407(2)	-56(23-II-2)	-128(23-I-3)
17	8	-1.63(22-I-1)	-1.43(22-II-1)	-0.62(22-II-1)	-541(23-I-2)	-73(22-II-1)	-141(23-I-1)
17	9	-2.57(23-II-2)	0.15(23-I-2)	-0.35(22-II-1)	-298(2)	-33(22-I-1)	185(23-I-2)
17	10	-2.61(2)	-0.16(23-II-2)	0.86(22-I-1)	-392(2)	-48(2)	-145(23-II-2)
17	11	-2.55(2)	-0.46(2)	0.68(22-I-1)	-400(2)	-43(23-II-2)	-126(23-I-3)
17	12	2.07(22-II-1)	-1.21(22-II-1)	0.48(23-II-2)	-542(23-I-2)	-69(23-I-2)	-153(23-I-1)
17	13	-2.30(23-II-2)	-0.16(23-II-2)	0.72(22-I-1)	-313(2)	-37(2)	-195(23-II-2)
17	14	-2.41(2)	-0.21(2)	1.01(22-I-1)	-394(2)	-49(2)	-145(23-II-2)
17	15	-3.23(2)	-0.48(2)	0.80(23-II-2)	-396(2)	-46(2)	-120(23-I-3)
17	16	2.18(22-II-1)	-0.41(23-II-2)	2.29(22-II-1)	-537(23-I-2)	-67(23-I-2)	-164(23-I-1)
18	1	-1.78(23-II-2)	-1.49(22-II-1)	-0.93(22-II-1)	-488(2)	-90(22-II-1)	-124(23-I-1)
18	2	-2.41(2)	-0.48(22-II-1)	0.68(22-I-1)	-428(2)	-97(23-II-1)	-123(23-I-3)
18	3	-2.45(2)	0.15(23-I-2)	0.71(22-I-1)	-380(2)	-95(23-II-1)	-130(23-II-2)
18	4	-2.19(23-II-2)	0.30(23-I-2)	-0.45(22-II-1)	-499(23-I-2)	-56(22-I-2)	137(23-I-1)
18	5	-1.99(2)	-0.89(22-II-1)	-0.72(22-II-1)	-488(2)	-111(23-I-3)	-119(23-I-1)
18	6	-2.02(2)	-0.47(22-II-1)	0.75(22-I-1)	-427(2)	-150(23-II-1)	122(23-II-3)
18	7	-2.12(2)	0.15(22-I-1)	0.65(22-I-1)	-380(2)	-144(23-II-1)	132(23-I-2)
18	8	-1.70(23-II-2)	0.17(2)	-0.38(22-II-1)	-396(2)	-85(22-I-2)	-149(23-II-1)
18	9	-1.83(2)	-0.78(22-II-1)	-0.50(22-II-2)	-481(2)	-143(23-I-3)	136(23-II-1)
18	10	-1.77(2)	-0.32(22-II-2)	-0.94(22-II-1)	-412(2)	-223(23-II-1)	145(23-II-3)
18	11	-1.85(2)	0.19(22-I-2)	-0.73(22-II-1)	-364(2)	-211(23-II-1)	155(23-I-1)
18	12	-1.44(2)	0.16(22-II-1)	0.39(22-I-1)	-352(2)	-140(23-II-3)	-179(23-II-1)
18	13	-2.49(22-I-1)	-0.57(22-II-1)	0.45(22-I-1)	-465(2)	212(23-II-3)	228(23-II-1)
18	14	-1.53(2)	-0.59(22-I-1)	-1.09(22-II-1)	-380(2)	-338(23-II-1)	167(23-II-3)
18	15	-1.55(2)	0.37(23-II-2)	-0.74(22-II-1)	-339(2)	-315(23-II-1)	190(23-I-1)
18	16	-1.47(2)	0.25(23-II-2)	0.40(22-I-1)	-316(2)	-222(23-I-1)	-220(23-II-1)
19	1	0.25(22-I-2)	-1.49(2)	-0.39(22-I-1)	-292(23-I-1)	-367(2)	257(23-II-2)
19	2	-0.47(22-II-2)	-1.72(22-II-2)	-0.38(22-I-1)	-325(23-I-1)	-450(2)	265(23-II-2)

Muro	Pann.	Sxx	Syy	Sxy	Mxx	Myy	Mxy
19	3	-0.93(22-II-2)	-2.10(22-II-2)	0.48(22-II-1)	-363(23-I-1)	-582(2)	248(23-II-2)
19	4	-1.61(22-II-2)	-1.28(22-II-2)	0.82(22-II-2)	-392(23-I-1)	-712(2)	95(22-II-2)
19	5	-0.58(23-I-2)	-1.35(2)	0.71(22-II-1)	-395(23-II-1)	-319(2)	-219(23-I-1)
19	6	-0.69(23-I-2)	-1.28(2)	0.64(22-II-1)	-430(23-II-1)	-305(2)	-209(23-I-1)
19	7	-0.80(23-I-2)	-1.16(2)	0.54(22-II-1)	-463(23-II-1)	-277(2)	-180(23-I-1)
19	8	-0.93(23-I-2)	-0.92(2)	0.45(22-II-1)	-482(23-II-1)	-267(2)	-62(23-I-2)
19	9	-0.84(22-I-1)	-1.43(2)	1.07(22-II-1)	-429(23-II-1)	-340(2)	-189(23-II-3)
19	10	-0.99(22-I-1)	-1.33(2)	0.88(22-II-1)	-472(23-II-1)	-306(2)	-198(23-II-3)
19	11	-0.98(22-I-1)	-1.17(2)	0.48(22-II-1)	-509(23-II-1)	-264(2)	-179(23-II-1)
19	12	-0.91(23-I-1)	-1.33(2)	0.45(22-II-1)	-514(23-II-1)	-255(23-II-1)	-131(23-II-1)
19	13	-0.86(22-I-1)	-3.52(22-I-1)	0.77(22-II-1)	274(23-II-3)	-474(2)	-285(23-II-1)
19	14	-1.73(22-I-1)	-4.77(22-I-1)	1.00(22-II-1)	304(23-II-3)	-513(2)	-290(23-II-1)
19	15	3.22(22-II-1)	-5.17(22-I-1)	1.55(22-II-1)	336(23-II-3)	-603(2)	-251(23-II-1)
19	16	5.54(22-II-1)	-4.59(22-I-1)	3.44(22-II-1)	353(23-II-3)	-703(2)	-161(23-I-1)
20	1	-10.41(23-I-2)	6.87(23-II-2)	1.12(23-II-2)	-180(2)	171(23-II-2)	124(23-I-2)
20	2	-6.56(2)	3.52(23-II-2)	-0.62(23-I-2)	-146(2)	156(23-II-2)	154(23-I-2)
20	3	-3.75(2)	2.05(23-II-2)	-0.84(23-I-2)	-98(2)	189(23-II-2)	156(23-I-2)
20	4	-3.18(23-II-2)	1.08(23-II-2)	-0.73(23-I-2)	-64(23-I-2)	278(23-II-2)	102(23-I-2)
20	5	-6.81(2)	4.68(23-II-2)	2.50(22-I-1)	-200(2)	103(23-II-2)	151(22-I-2)
20	6	-5.98(2)	3.62(23-II-2)	1.96(23-II-2)	-178(2)	110(23-II-2)	146(23-I-2)
20	7	-3.63(2)	2.32(23-II-2)	-1.47(23-I-2)	-143(2)	145(23-II-2)	164(23-I-2)
20	8	-2.97(23-II-2)	1.34(23-II-2)	-1.10(23-I-2)	-119(2)	233(23-II-2)	114(23-I-2)
20	9	-5.37(2)	3.08(23-II-2)	3.11(23-II-2)	-243(23-II-2)	-62(23-I-2)	156(22-I-2)
20	10	-4.82(2)	2.53(23-II-2)	2.71(23-II-2)	-236(2)	-65(23-I-2)	145(23-I-2)
20	11	-3.16(2)	1.83(23-II-2)	2.23(23-II-2)	-218(2)	87(23-II-2)	169(23-I-2)
20	12	-2.20(23-II-2)	1.26(23-II-2)	1.44(23-II-2)	-188(2)	154(23-II-2)	121(23-I-2)
20	13	-3.85(2)	0.75(23-II-2)	3.24(23-II-2)	-314(23-II-2)	-41(2)	140(22-I-2)
20	14	-3.72(2)	0.62(23-II-2)	2.93(23-II-2)	-327(2)	-38(22-I-1)	138(22-I-2)
20	15	-2.60(2)	0.67(23-II-2)	2.43(23-II-2)	-321(2)	-42(23-I-2)	162(23-I-2)
20	16	-1.00(23-II-2)	0.55(23-II-2)	1.67(23-II-2)	-271(2)	38(23-II-2)	135(23-I-2)
21	1	11.55(23-II-2)	2.17(23-I-2)	-2.30(23-I-2)	-76(23-I-1)	-82(2)	-140(22-I-2)
21	2	7.45(23-II-2)	-1.19(23-I-2)	-3.05(22-I-1)	-60(22-I-1)	-124(2)	-156(22-I-2)
21	3	4.14(23-II-2)	-1.97(23-I-2)	-3.48(2)	-43(22-I-1)	-178(23-II-2)	-140(22-I-2)
21	4	1.18(23-II-2)	-2.72(2)	-3.44(2)	-34(2)	-239(23-II-2)	-126(22-I-2)
21	5	12.39(2)	-0.47(23-II-2)	-0.39(23-I-2)	-76(2)	-4(23-II-3)	47(22-I-2)
21	6	8.27(2)	-0.80(2)	-1.17(23-I-2)	-68(2)	-43(2)	-74(22-II-2)
21	7	4.66(2)	-0.84(2)	-1.84(23-I-2)	-48(2)	-88(2)	-75(22-II-2)
21	8	1.34(23-II-2)	-1.96(2)	-2.11(23-I-2)	-28(2)	-130(23-II-2)	-70(22-II-2)
21	9	9.37(2)	-0.46(23-I-2)	0.79(23-II-2)	-82(2)	13(22-I-1)	90(22-I-2)
21	10	5.90(2)	-0.73(2)	2.76(23-II-2)	-73(2)	-42(2)	143(22-I-2)
21	11	3.19(2)	-0.75(2)	4.20(23-II-2)	-50(2)	-95(2)	144(22-I-2)
21	12	0.85(23-I-2)	-1.75(2)	4.81(23-II-2)	-30(2)	-143(2)	137(22-I-2)
21	13	-9.69(23-II-2)	2.35(23-II-2)	4.50(23-II-2)	-104(23-II-2)	-136(2)	226(2)
21	14	-6.09(23-II-2)	-2.39(23-II-2)	5.65(23-II-2)	-79(23-II-2)	-182(2)	249(2)
21	15	-3.33(23-II-2)	-3.31(23-II-2)	6.12(23-II-2)	-55(23-II-2)	-236(2)	217(22-I-1)
21	16	-1.27(23-II-2)	-3.42(23-II-2)	5.94(23-II-2)	-43(2)	-298(2)	192(22-I-1)
22	1	-12.15(23-II-2)	-13.71(23-II-2)	2.15(2)	184(23-I-2)	-301(2)	213(23-II-2)
22	2	-6.02(23-II-2)	-8.79(23-II-2)	3.73(2)	110(23-I-2)	-309(2)	264(23-II-2)
22	3	-3.64(23-II-2)	-6.34(23-II-2)	4.30(2)	-61(23-II-2)	-346(2)	276(23-II-2)
22	4	-1.44(23-II-2)	-4.18(23-II-2)	4.12(2)	-51(2)	-414(2)	276(23-II-2)
22	5	-8.71(23-II-2)	-7.07(23-II-2)	2.73(22-I-2)	149(23-I-2)	-243(2)	236(23-II-2)
22	6	-6.64(23-II-2)	-6.86(23-II-2)	2.35(23-I-2)	99(23-I-2)	-271(2)	247(23-II-2)
22	7	-3.65(23-II-2)	-5.29(23-II-2)	2.84(2)	-40(23-II-2)	-313(2)	268(23-II-2)
22	8	-1.51(23-II-2)	-3.92(23-II-2)	3.14(2)	-38(2)	-394(2)	290(23-II-2)
22	9	-7.11(23-II-2)	-5.02(23-II-2)	2.41(22-I-2)	149(23-I-2)	-173(2)	239(23-II-2)
22	10	-5.68(23-II-2)	-4.49(23-II-2)	2.46(23-I-2)	106(23-I-2)	-212(2)	255(23-II-2)
22	11	-3.81(23-II-2)	-3.81(23-II-2)	3.02(23-I-2)	55(23-I-2)	-269(2)	276(23-II-2)
22	12	-1.68(23-II-2)	-3.08(2)	3.31(23-I-2)	-23(23-II-2)	-323(2)	301(23-II-2)
22	13	-5.96(22-I-2)	-3.65(23-II-2)	1.84(22-I-2)	196(23-I-2)	-105(2)	290(23-II-2)
22	14	-5.08(22-I-2)	-3.11(23-II-2)	2.51(23-I-2)	153(23-I-2)	-178(2)	305(23-II-2)
22	15	-3.70(22-I-2)	-2.53(2)	3.14(23-I-2)	103(23-I-2)	-201(2)	332(23-II-2)
22	16	-1.60(23-II-2)	-1.99(2)	3.47(23-I-2)	-34(23-II-2)	-237(2)	353(23-II-2)
23	1	-10.93(23-II-2)	-1.77(2)	-1.68(23-II-2)	-149(22-II-2)	-165(23-I-1)	-195(22-I-2)
23	2	-6.02(23-II-2)	-1.44(23-II-2)	1.72(23-I-2)	-103(22-II-2)	-188(23-I-1)	-195(22-II-2)
23	3	-3.10(2)	1.10(23-I-2)	1.47(23-I-2)	-74(22-II-2)	-189(23-I-1)	-175(22-II-2)
23	4	-1.47(23-I-2)	0.65(23-I-2)	1.12(23-I-2)	-53(22-II-2)	-162(23-I-1)	-102(22-I-2)

Muro	Pann.	Sxx	Syy	Sxy	Mxx	Myy	Mxy
23	5	-10.22(2)	-1.59(2)	0.53(23-I-2)	-46(23-I-1)	20(23-I-1)	-100(23-II-1)
23	6	-7.10(2)	-0.09(22-I-1)	1.39(23-I-2)	-42(23-I-1)	-26(23-I-1)	-138(22-I-2)
23	7	-3.82(2)	0.11(23-II-2)	1.88(23-I-2)	-30(23-I-1)	-54(23-I-1)	-139(22-I-2)
23	8	-0.87(22-I-2)	-0.24(23-I-2)	1.62(23-I-2)	-32(23-I-2)	-69(23-I-1)	-105(22-I-2)
23	9	-11.48(2)	-1.68(2)	-0.42(23-II-2)	-40(23-I-2)	-10(22-I-2)	-117(23-II-1)
23	10	-8.08(2)	-0.04(22-I-2)	1.48(23-I-2)	35(23-II-2)	30(23-II-2)	-172(23-II-1)
23	11	-4.20(2)	0.09(23-I-2)	1.88(23-I-2)	23(23-II-2)	64(23-II-2)	-165(23-II-1)
23	12	-1.53(23-II-2)	0.29(23-I-2)	1.69(23-I-2)	11(23-II-1)	93(23-II-2)	-115(23-II-1)
23	13	-13.92(23-I-2)	-1.89(2)	2.43(23-I-2)	-108(2)	80(23-II-2)	-151(23-II-2)
23	14	-8.04(2)	-1.99(23-I-2)	1.59(23-I-2)	-78(23-I-2)	106(23-II-2)	-174(23-II-2)
23	15	-3.76(2)	-1.44(23-I-2)	1.07(23-I-2)	-58(23-I-2)	152(23-II-2)	-149(23-II-2)
23	16	2.69(23-I-2)	-0.70(23-I-2)	-0.74(23-II-2)	-51(23-I-2)	223(23-II-2)	-97(23-II-2)
24	1	-1.94(23-II-2)	-7.16(23-I-2)	-3.02(23-I-2)	171(23-I-2)	296(22-I-2)	162(22-I-1)
24	2	-2.26(2)	-4.60(2)	0.34(23-II-2)	-14(23-I-1)	87(22-I-1)	-93(23-I-2)
24	3	-2.21(2)	-6.85(23-II-2)	-0.33(23-I-2)	9(22-I-2)	63(22-I-2)	-128(23-I-2)
24	4	-1.29(23-I-2)	-14.95(23-II-2)	4.86(23-II-2)	84(23-I-2)	-170(2)	-169(23-I-2)
24	5	-2.69(23-I-2)	-4.81(2)	-2.63(23-I-2)	238(23-I-2)	249(22-I-2)	139(22-I-1)
24	6	-0.32(2)	-4.94(2)	-1.28(23-I-2)	51(23-I-2)	77(22-I-1)	-115(23-I-2)
24	7	-0.50(22-I-2)	-7.00(23-II-2)	1.51(23-II-2)	43(23-I-1)	58(22-I-2)	-190(23-I-2)
24	8	-4.56(23-II-2)	-9.82(23-II-2)	4.22(23-II-2)	105(23-I-2)	-114(2)	-199(23-I-2)
24	9	-2.85(23-I-2)	-4.04(2)	-2.10(23-I-2)	296(23-I-2)	216(22-I-2)	113(22-I-1)
24	10	-0.22(22-II-2)	-4.75(2)	-2.04(23-I-2)	101(23-I-1)	59(22-I-1)	-133(23-I-2)
24	11	-0.51(22-I-2)	-5.99(23-II-2)	2.48(23-II-2)	93(23-I-1)	48(22-I-2)	-190(23-I-2)
24	12	-5.00(23-II-2)	-6.71(23-II-2)	3.44(23-II-2)	140(23-I-2)	-70(23-II-2)	-186(23-I-2)
24	13	-2.09(23-I-2)	-4.01(22-I-2)	-1.68(23-I-2)	325(23-I-2)	190(22-I-2)	-195(23-I-2)
24	14	-0.51(2)	-4.40(2)	-2.38(23-I-2)	141(22-II-2)	43(22-I-1)	-177(23-I-2)
24	15	-1.02(2)	-4.57(23-II-2)	2.91(23-II-2)	143(22-I-2)	42(22-I-2)	-205(23-I-2)
24	16	-4.86(22-I-2)	-4.86(23-II-2)	2.79(23-II-2)	195(23-I-2)	-31(23-II-2)	212(23-II-2)
25	1	7.21(23-I-2)	-7.71(23-II-2)	0.92(23-I-2)	-411(23-I-1)	-183(22-II-2)	209(22-II-2)
25	2	2.89(2)	-4.78(23-II-2)	1.22(23-I-2)	-451(23-I-1)	-187(22-II-2)	233(22-II-2)
25	3	2.16(23-II-2)	-3.80(2)	1.16(2)	-473(23-I-1)	-204(22-II-2)	204(22-II-2)
25	4	-6.62(23-I-2)	-3.00(2)	0.85(23-I-2)	-438(23-I-1)	-250(23-I-1)	90(22-II-2)
25	5	3.66(23-I-2)	-5.14(2)	-0.82(23-II-2)	-386(23-I-1)	-159(22-II-2)	235(22-II-2)
25	6	2.51(2)	-4.80(2)	1.55(23-I-2)	-447(23-I-1)	-198(22-II-2)	223(22-II-2)
25	7	2.13(23-II-2)	-4.47(2)	1.43(23-I-2)	-484(23-I-1)	-241(22-II-2)	209(22-II-2)
25	8	-6.24(23-I-2)	-3.72(2)	1.04(23-I-2)	-479(23-I-1)	-318(23-I-1)	122(22-II-2)
25	9	2.19(23-I-2)	-3.07(2)	-1.01(23-II-2)	-364(23-I-1)	-153(22-II-2)	213(22-II-2)
25	10	2.05(2)	-3.21(2)	1.31(23-I-2)	-450(23-I-1)	-196(22-II-2)	221(22-II-2)
25	11	1.65(23-II-2)	-3.02(2)	1.54(23-I-2)	-516(23-I-1)	-263(22-II-2)	214(22-II-2)
25	12	-5.76(23-I-2)	-3.40(2)	1.02(23-I-2)	-530(23-I-1)	-369(22-II-2)	141(22-II-2)
25	13	1.38(2)	-1.57(22-I-1)	-0.83(23-II-2)	-322(23-I-1)	-119(22-II-2)	117(22-II-2)
25	14	1.47(2)	-1.30(22-I-1)	-1.01(23-II-2)	-443(23-I-1)	-217(22-II-2)	143(22-II-2)
25	15	1.65(23-II-2)	1.45(22-II-2)	1.24(23-I-2)	-526(23-I-1)	-298(22-II-2)	134(22-II-2)
25	16	-5.70(2)	1.77(22-II-2)	0.96(23-I-2)	-559(23-I-1)	-342(22-II-2)	113(22-II-2)
26	1	-7.29(23-I-2)	-1.25(23-II-2)	1.05(23-II-2)	-362(23-I-1)	-113(23-I-1)	73(22-II-2)
26	2	2.01(23-II-2)	-1.05(23-II-2)	1.61(23-II-2)	-376(23-I-1)	-99(22-II-2)	174(22-II-2)
26	3	3.60(23-I-2)	-0.62(23-II-2)	1.73(23-II-2)	-395(23-I-1)	-90(22-II-2)	201(22-II-2)
26	4	9.89(23-I-2)	1.48(23-II-2)	1.49(23-II-2)	-423(23-I-1)	-85(22-II-2)	184(22-II-2)
26	5	-4.43(23-I-2)	-0.34(23-I-2)	-1.26(23-I-2)	230(22-II-1)	-20(22-II-2)	72(22-II-2)
26	6	1.39(23-II-2)	-0.38(2)	-1.56(23-I-2)	228(22-II-1)	-16(22-II-2)	138(22-II-2)
26	7	3.68(2)	-0.33(2)	-1.35(23-I-2)	221(22-II-1)	-8(22-II-2)	141(22-II-2)
26	8	6.85(2)	-0.47(23-I-2)	-0.48(23-I-2)	218(22-II-1)	10(22-II-2)	91(22-II-2)
26	9	-1.37(23-II-2)	-0.18(23-II-2)	-1.65(23-I-2)	256(22-II-2)	-38(22-II-2)	56(22-II-2)
26	10	1.26(23-II-2)	-0.23(23-II-2)	-2.16(23-I-2)	255(22-II-2)	-21(22-II-2)	116(22-II-2)
26	11	3.74(23-II-2)	-0.23(2)	-1.84(23-I-2)	246(22-II-2)	-9(22-II-2)	114(22-II-2)
26	12	6.20(23-II-2)	-0.46(22-I-2)	-0.65(23-I-2)	243(22-II-2)	-20(22-I-2)	90(22-II-2)
26	13	5.87(23-I-2)	-1.08(23-I-2)	-1.28(23-I-2)	380(23-I-2)	-223(22-II-2)	-47(23-I-2)
26	14	2.07(2)	-1.30(23-I-2)	-2.11(23-I-2)	388(23-I-2)	-210(22-II-2)	98(22-I-2)
26	15	3.88(23-II-2)	-1.21(23-I-2)	-2.50(23-I-2)	397(23-I-2)	-176(22-II-2)	83(22-I-1)
26	16	-9.43(23-I-2)	1.10(23-I-2)	-2.50(23-I-2)	415(23-I-2)	-121(22-II-2)	99(22-I-1)
27	1	8.34(23-I-2)	-1.09(2)	-0.59(23-II-2)	530(23-I-2)	-468(22-II-2)	-71(23-I-2)
27	2	2.83(2)	-1.63(23-I-2)	-0.66(23-II-2)	485(23-I-2)	-451(22-II-2)	105(22-I-2)
27	3	2.86(23-II-2)	-3.41(23-I-2)	-0.68(23-II-2)	470(23-I-2)	-408(22-II-2)	121(22-I-1)
27	4	-7.84(23-I-2)	-6.17(23-I-2)	-0.52(23-II-2)	432(23-I-2)	-354(22-II-2)	161(22-I-1)
27	5	7.11(23-I-2)	-1.21(2)	-0.49(23-II-2)	556(23-I-2)	-664(22-II-2)	-118(23-I-2)
27	6	2.89(2)	-1.78(2)	1.10(23-I-2)	511(23-I-2)	-586(22-II-2)	-142(22-II-2)

Muro	Pann.	Sxx	Syy	Sxy	Mxx	Myy	Mxy
27	7	2.63(23-II-2)	-2.57(2)	1.18(23-I-2)	489(23-I-2)	-504(22-II-2)	108(22-I-1)
27	8	-4.62(23-I-2)	-2.96(2)	0.56(22-I-2)	445(23-I-2)	-423(22-II-2)	159(22-I-1)
27	9	5.71(23-I-2)	-2.13(22-I-2)	0.67(23-I-2)	601(23-I-2)	-908(22-II-2)	-153(23-I-2)
27	10	2.57(2)	-2.75(22-I-2)	1.58(23-I-2)	605(23-I-2)	-748(22-II-2)	-175(22-I-2)
27	11	1.96(23-II-2)	-3.20(22-I-2)	1.19(23-I-2)	574(23-I-2)	-596(22-II-2)	-112(22-II-1)
27	12	-3.01(23-I-2)	-3.30(22-I-2)	0.83(22-I-2)	507(23-I-2)	451(22-I-2)	132(22-I-1)
27	13	4.13(22-II-2)	-4.40(22-I-2)	1.78(22-I-2)	733(23-I-2)	-1033(22-II-2)	-287(22-I-2)
27	14	2.64(2)	-5.06(22-I-2)	1.67(23-I-2)	898(23-I-2)	-1065(22-II-2)	-270(22-I-2)
27	15	1.79(23-II-2)	-4.89(22-I-2)	1.17(23-I-2)	775(23-I-2)	787(22-I-2)	-193(23-I-2)
27	16	-1.78(23-I-2)	-4.34(22-I-2)	0.63(22-I-2)	588(23-I-2)	431(22-I-2)	-232(23-I-2)
28	1	-1.26(23-I-2)	-4.08(23-I-2)	-3.09(2)	-47(2)	-413(2)	-224(23-I-2)
28	2	-3.34(23-I-2)	-5.61(23-I-2)	-3.32(2)	-47(23-I-2)	-371(2)	-235(23-I-2)
28	3	-5.66(23-I-2)	-7.43(23-I-2)	-2.88(2)	85(23-II-2)	-344(2)	-232(23-I-2)
28	4	-10.32(23-I-2)	-8.35(23-I-2)	-2.09(2)	136(23-II-2)	-337(2)	-198(23-I-2)
28	5	-1.23(23-I-2)	-2.89(2)	-3.11(23-II-2)	-46(2)	-434(2)	-240(23-I-2)
28	6	-3.13(23-I-2)	-3.38(2)	-2.93(23-II-2)	-35(23-I-2)	-345(2)	-233(23-I-2)
28	7	-5.15(23-I-2)	-3.52(2)	-2.43(23-II-2)	47(23-II-2)	-284(2)	-221(23-I-2)
28	8	-6.18(23-I-2)	-4.47(23-I-2)	-2.21(22-I-2)	80(23-II-2)	-238(2)	-210(23-I-2)
28	9	-1.04(22-I-2)	-1.98(2)	-3.08(23-II-2)	-28(23-I-2)	-381(2)	-240(23-I-2)
28	10	-2.49(22-I-2)	-2.21(2)	-2.93(23-II-2)	46(23-II-2)	-283(2)	-231(23-I-2)
28	11	-3.77(22-I-2)	-2.41(2)	-2.44(23-II-2)	93(23-II-2)	-194(2)	-213(23-I-2)
28	12	-4.53(22-I-2)	-2.71(2)	-1.78(23-II-2)	135(23-II-2)	-138(2)	-194(23-I-2)
28	13	-0.92(22-I-2)	-1.27(2)	-2.29(23-II-2)	39(23-II-2)	-265(2)	-187(23-I-2)
28	14	-2.35(22-I-2)	-1.94(2)	-2.26(23-II-2)	157(2)	-190(2)	-166(23-I-2)
28	15	-3.57(22-I-2)	-2.35(2)	-1.79(23-II-2)	259(2)	-142(2)	-158(23-I-2)
28	16	-4.34(22-I-2)	-2.56(2)	-1.15(23-II-2)	330(2)	-61(2)	-152(23-I-2)
29	1	-10.51(23-I-2)	1.30(23-I-2)	-4.69(23-I-2)	-88(23-I-2)	-158(2)	-253(2)
29	2	-6.39(23-I-2)	-2.66(23-I-2)	-5.33(23-I-2)	-65(23-I-2)	-199(2)	-270(2)
29	3	-3.45(23-I-2)	-3.43(23-I-2)	-5.66(23-I-2)	-45(23-I-2)	-239(2)	-241(22-I-2)
29	4	-1.28(23-I-2)	-3.35(23-I-2)	-5.40(23-I-2)	-40(2)	-283(2)	-219(22-I-2)
29	5	7.76(2)	-1.42(2)	-0.69(23-I-2)	-79(2)	17(22-I-3)	-114(22-II-2)
29	6	4.76(2)	-0.68(2)	-2.68(23-I-2)	-70(2)	-38(2)	-179(22-II-2)
29	7	2.52(2)	-0.70(2)	-4.08(23-I-2)	-49(2)	-91(2)	-181(22-II-2)
29	8	0.69(23-II-2)	-1.70(2)	-4.68(23-I-2)	-29(2)	-139(2)	-174(22-II-2)
29	9	10.42(23-I-2)	-1.46(23-I-2)	0.45(23-II-2)	-74(2)	17(22-II-2)	-76(22-II-2)
29	10	7.20(23-I-2)	-0.76(2)	1.63(23-II-2)	-66(2)	-37(2)	-103(22-I-2)
29	11	4.12(23-I-2)	-0.78(2)	2.50(23-II-2)	-45(2)	-83(2)	-108(22-I-2)
29	12	1.20(23-I-2)	-1.84(2)	2.88(23-II-2)	-27(2)	-125(2)	-110(22-II-2)
29	13	11.35(23-I-2)	1.40(23-II-2)	2.96(23-II-2)	-96(22-I-2)	-138(22-II-2)	171(22-I-2)
29	14	7.21(23-I-2)	-1.61(23-II-2)	3.31(23-II-2)	-71(22-I-2)	-173(22-II-2)	174(22-I-2)
29	15	3.97(23-I-2)	-2.25(23-II-2)	3.55(2)	-46(2)	-206(22-II-2)	144(22-I-2)
29	16	1.13(23-I-2)	-2.72(2)	3.51(2)	-36(2)	-243(22-II-2)	123(22-I-2)
30	1	-6.05(23-II-2)	-9.00(2)	0.67(22-I-2)	-135(22-I-2)	-349(2)	182(22-I-2)
30	2	4.42(23-I-2)	-7.23(2)	1.63(23-I-2)	-93(22-I-2)	-331(2)	185(22-I-2)
30	3	2.73(23-I-2)	-5.91(2)	2.30(23-I-2)	-65(22-I-2)	-334(2)	177(22-I-2)
30	4	0.71(23-I-2)	-4.42(2)	2.49(23-I-2)	-47(2)	-350(2)	158(22-I-2)
30	5	-3.32(23-II-2)	-5.46(2)	-0.58(23-II-2)	-64(22-I-2)	-352(2)	206(22-I-2)
30	6	-2.70(23-II-2)	-5.05(2)	-1.43(23-II-2)	-63(22-I-2)	-333(2)	198(22-I-2)
30	7	1.80(23-I-2)	-4.65(2)	-1.68(23-II-2)	-51(22-I-2)	-336(2)	194(22-I-2)
30	8	-0.59(23-II-2)	-3.92(2)	1.75(23-I-2)	-46(2)	-363(2)	188(22-I-2)
30	9	-1.61(23-II-2)	-2.50(23-I-2)	-1.01(23-II-2)	44(22-II-2)	-320(22-II-3)	191(22-I-2)
30	10	-1.48(23-II-2)	-2.83(23-I-2)	-1.66(23-II-2)	-33(22-I-2)	-293(2)	201(22-I-2)
30	11	-1.06(23-II-2)	-2.77(23-I-2)	-2.10(23-II-2)	-35(22-I-2)	-293(2)	209(22-I-2)
30	12	-0.50(23-II-2)	-2.63(23-I-2)	-2.26(23-II-2)	-36(22-I-2)	-308(2)	209(22-I-2)
30	13	0.53(23-I-2)	1.96(23-II-2)	-0.70(23-II-2)	142(22-I-2)	-340(22-II-3)	129(22-I-2)
30	14	0.66(23-I-2)	1.41(23-II-2)	-1.14(23-II-2)	112(22-I-2)	-272(22-II-3)	145(22-I-2)
30	15	0.60(23-I-2)	-1.15(23-I-2)	-1.45(23-II-2)	63(22-I-2)	-220(2)	157(22-I-2)
30	16	-0.29(23-II-2)	-0.73(23-I-2)	-1.52(23-II-2)	-11(22-I-2)	-236(22-I-2)	166(22-I-2)
31	1	-5.52(23-II-2)	-2.75(2)	0.22(22-II-2)	345(23-II-2)	-287(22-II-2)	213(22-II-2)
31	2	2.44(23-I-2)	-2.27(23-II-2)	0.66(23-I-2)	367(23-II-2)	-297(22-II-2)	229(22-II-2)
31	3	2.86(2)	-1.08(2)	0.74(23-I-2)	-377(23-I-2)	-303(22-II-2)	223(22-II-2)
31	4	7.06(23-II-2)	-0.76(23-II-2)	0.63(23-I-2)	-362(23-I-2)	-299(22-II-2)	98(22-II-2)
31	5	-2.04(23-II-2)	-1.92(22-I-2)	-0.60(22-I-2)	347(23-II-2)	-346(22-II-2)	208(22-II-2)
31	6	1.65(23-I-2)	-1.63(22-I-2)	-1.08(23-II-2)	-382(23-I-2)	-397(22-II-2)	211(22-II-2)
31	7	2.56(2)	-1.20(22-I-2)	-1.24(23-II-2)	-415(23-I-2)	-441(22-II-2)	230(22-II-2)
31	8	5.49(23-II-2)	-0.94(23-I-2)	-0.80(23-II-2)	-420(23-I-2)	-464(22-II-2)	144(22-II-2)

Muro	Pann.	Sxx	Syy	Sxy	Mxx	Myy	Mxy
31	9	0.83(22-I-2)	-2.56(22-I-2)	-1.09(22-I-2)	400(23-II-2)	-402(22-II-2)	144(22-II-2)
31	10	1.28(2)	-2.56(22-I-2)	-1.31(22-I-2)	435(23-II-2)	-501(22-II-2)	165(22-II-2)
31	11	2.18(2)	-2.26(22-I-2)	-1.31(23-II-2)	-476(23-I-2)	-608(22-II-2)	212(22-II-2)
31	12	3.73(23-II-2)	-2.22(22-I-2)	-0.84(23-II-2)	-499(23-I-2)	-770(22-II-2)	153(22-II-2)
31	13	1.18(22-I-2)	-4.30(22-I-2)	-0.82(2)	446(23-II-2)	402(22-I-2)	152(23-II-2)
31	14	1.68(23-II-2)	-4.83(22-I-2)	-1.01(22-I-2)	480(23-II-2)	-737(22-II-2)	156(23-II-2)
31	15	2.10(23-II-1)	-5.33(22-I-2)	-1.44(22-I-2)	-540(23-I-2)	-1001(22-II-2)	206(22-I-2)
31	16	2.77(22-II-2)	-4.34(22-I-2)	-1.88(22-I-2)	-601(23-I-2)	-992(22-II-2)	217(22-I-2)
32	1	6.37(23-II-2)	-1.14(23-II-2)	1.29(23-II-2)	-305(23-I-2)	-143(22-II-2)	88(22-I-2)
32	2	2.32(2)	-1.26(23-II-2)	2.01(23-II-2)	-317(23-I-2)	-137(22-II-2)	200(22-II-2)
32	3	3.93(23-I-2)	-1.29(23-II-2)	2.34(23-II-2)	-330(23-I-2)	-123(22-II-2)	205(22-II-2)
32	4	-8.44(23-II-2)	0.78(23-II-2)	2.50(23-II-2)	-354(23-I-2)	-100(22-II-2)	174(22-II-2)
32	5	-1.35(23-I-2)	-0.21(23-I-2)	1.53(23-II-2)	235(22-II-2)	-32(22-I-2)	100(22-I-2)
32	6	1.46(2)	-0.24(23-I-2)	2.00(23-II-2)	-236(22-I-2)	-18(22-II-2)	180(22-I-2)
32	7	3.42(23-I-2)	-0.17(23-I-2)	1.70(23-II-2)	-234(22-I-2)	-7(23-II-2)	181(22-I-2)
32	8	5.63(23-I-2)	-0.43(5)	0.57(23-II-2)	-231(22-I-2)	15(22-II-2)	127(22-I-2)
32	9	-2.92(23-II-2)	-0.29(23-II-2)	1.15(23-II-2)	-370(22-I-2)	-23(22-II-3)	94(22-I-2)
32	10	1.45(23-I-3)	-0.26(23-II-2)	1.43(23-II-2)	-373(22-I-2)	-18(22-II-2)	170(22-I-2)
32	11	3.33(2)	-0.25(2)	-1.22(23-I-2)	-372(22-I-2)	-9(22-II-2)	171(22-I-2)
32	12	5.34(2)	-0.62(23-II-2)	-0.46(23-I-2)	-373(22-I-2)	10(22-I-2)	119(22-I-2)
32	13	5.26(23-I-2)	-0.94(23-I-2)	-1.15(23-I-2)	-450(22-I-2)	-103(22-I-2)	69(22-I-2)
32	14	2.39(23-I-2)	-0.90(23-I-2)	-1.67(23-I-2)	-459(22-I-2)	-93(22-I-2)	156(22-I-2)
32	15	3.91(23-II-2)	0.86(23-II-2)	-1.85(23-I-2)	-469(22-I-2)	-86(22-I-2)	158(22-I-2)
32	16	9.43(23-II-2)	1.06(23-I-2)	-1.77(23-I-2)	-487(22-I-2)	-78(22-I-2)	125(22-I-2)
33	1	5.83(23-I-2)	-2.04(2)	-0.67(23-II-2)	-441(22-I-2)	-246(22-I-2)	60(22-I-2)
33	2	2.68(23-I-2)	-2.77(2)	-0.58(23-II-2)	-445(22-I-2)	-221(22-I-2)	149(22-I-2)
33	3	2.08(23-II-2)	-3.77(2)	0.46(23-I-2)	-413(22-I-2)	-209(22-I-2)	150(22-I-2)
33	4	5.44(23-II-2)	-5.41(2)	0.57(2)	-381(23-II-2)	-216(22-I-2)	-136(22-II-2)
33	5	-3.80(23-II-2)	-3.63(2)	0.77(23-I-2)	-465(23-II-2)	-355(23-II-2)	79(22-I-2)
33	6	1.76(23-I-2)	-4.05(2)	1.61(23-I-2)	-463(23-II-2)	-285(22-I-2)	166(22-I-2)
33	7	1.14(2)	-4.63(2)	1.76(23-I-2)	-436(23-II-2)	-254(22-I-2)	180(22-I-2)
33	8	2.35(23-II-2)	-4.67(2)	1.81(2)	-387(23-II-2)	-249(22-I-2)	186(22-I-2)
33	9	-4.91(23-II-2)	-5.70(2)	0.73(23-I-2)	-572(23-II-2)	-401(23-II-2)	-79(22-II-2)
33	10	-1.73(23-II-2)	-4.50(2)	1.45(23-I-2)	-543(23-II-2)	-289(22-I-2)	198(22-I-2)
33	11	1.15(2)	-4.39(2)	1.43(23-I-2)	-489(23-II-2)	-245(22-II-2)	243(22-I-2)
33	12	1.71(2)	-3.52(2)	1.12(22-I-2)	-424(23-II-2)	-233(22-II-2)	261(22-I-2)
33	13	-9.88(2)	1.34(22-II-2)	0.38(22-I-2)	-655(23-II-2)	-305(22-II-2)	102(22-I-2)
33	14	-1.39(23-II-2)	-1.06(22-I-2)	-0.46(23-II-2)	-510(23-II-2)	-260(22-II-2)	229(22-I-2)
33	15	1.53(2)	1.11(22-I-2)	-0.47(23-II-2)	-435(23-II-2)	-220(22-II-2)	264(22-I-2)
33	16	1.63(2)	1.12(22-I-2)	0.40(22-I-2)	-380(23-II-2)	-225(22-II-3)	246(22-I-2)
34	1	-1.57(23-I-2)	-7.53(23-I-2)	2.01(23-II-2)	-181(23-II-2)	-323(22-I-2)	-149(22-II-1)
34	2	-0.40(23-I-2)	-8.74(2)	0.46(23-II-2)	16(22-II-2)	-330(2)	-145(22-II-2)
34	3	-0.68(23-II-2)	-9.72(2)	0.33(23-II-2)	13(23-I-2)	-361(2)	-177(22-II-2)
34	4	-2.52(23-II-2)	-11.64(2)	2.76(23-II-2)	-76(22-I-2)	-446(2)	227(22-I-2)
34	5	1.85(23-II-2)	-4.84(2)	1.87(23-II-2)	-250(23-II-2)	-282(2)	167(22-I-2)
34	6	-0.23(23-I-2)	-5.47(2)	1.55(23-II-2)	103(23-I-2)	-337(2)	168(22-I-2)
34	7	-0.28(2)	-6.35(2)	1.65(23-II-2)	64(23-I-2)	-364(2)	-197(22-II-2)
34	8	-2.52(23-II-2)	-5.83(2)	1.29(23-II-2)	56(22-II-2)	-381(2)	196(22-I-2)
34	9	1.60(23-II-2)	-2.46(2)	1.21(22-I-3)	-287(23-II-2)	-298(2)	239(22-I-2)
34	10	0.31(23-II-2)	-2.26(2)	1.84(23-II-2)	150(23-I-2)	-348(2)	202(22-I-2)
34	11	-0.23(23-II-2)	-2.37(2)	1.76(23-II-2)	107(23-I-2)	-368(2)	-199(22-II-2)
34	12	-1.42(23-II-2)	-2.26(22-I-2)	-0.59(23-I-2)	76(23-I-2)	-367(22-II-3)	189(22-I-2)
34	13	1.01(2)	1.00(23-I-2)	0.75(22-I-3)	-278(23-II-2)	-328(22-I-3)	223(22-I-2)
34	14	0.10(2)	1.18(10)	1.32(23-II-2)	171(22-II-2)	-364(2)	223(22-I-2)
34	15	0.15(23-II-2)	1.96(23-II-2)	1.34(23-II-2)	132(22-II-2)	-373(2)	203(22-I-2)
34	16	-0.28(23-II-2)	2.49(23-II-2)	0.45(22-I-3)	144(22-II-2)	-393(22-II-3)	-149(22-II-2)
35	1	-5.46(23-II-2)	-2.04(23-II-2)	-2.86(23-II-2)	-258(22-II-2)	-164(23-I-2)	-237(22-II-2)
35	2	-2.74(2)	-2.27(23-II-2)	-1.90(23-II-2)	-208(22-II-2)	252(23-II-2)	-168(22-II-2)
35	3	-3.23(22-I-2)	-1.29(23-II-2)	1.60(23-I-2)	184(22-I-2)	323(23-II-2)	-123(23-II-2)
35	4	-3.79(22-I-2)	-1.10(22-II-2)	1.80(23-I-2)	185(22-I-2)	368(23-II-2)	-131(23-II-2)
35	5	-3.59(2)	-0.48(23-II-2)	-0.56(23-II-2)	111(22-I-2)	19(23-II-2)	-129(22-II-2)
35	6	-4.08(2)	-0.50(2)	-2.01(23-II-2)	91(22-I-2)	143(23-II-2)	-130(22-II-2)
35	7	-4.11(2)	-0.72(22-II-2)	2.61(23-I-2)	68(22-I-2)	237(23-II-2)	-131(23-II-2)
35	8	-4.08(2)	-0.91(2)	2.76(23-I-2)	50(22-I-2)	327(22-I-2)	-139(23-II-2)
35	9	-6.06(23-I-2)	-0.91(23-I-2)	0.59(23-I-2)	65(23-II-2)	19(22-I-2)	-142(23-II-2)
35	10	-5.70(23-I-2)	-0.95(2)	2.74(23-I-2)	55(23-II-2)	111(23-II-2)	-161(23-II-2)

Muro	Pann.	Sxx	Syy	Sxy	Mxx	Myy	Mxy
35	11	-4.45(2)	-1.60(22-I-2)	3.07(23-I-2)	49(23-II-2)	214(23-II-2)	-160(23-II-2)
35	12	-4.19(2)	-1.91(22-I-2)	2.66(23-I-2)	59(23-II-2)	321(22-II-3)	-143(23-II-2)
35	13	-12.59(23-I-2)	-3.80(23-I-2)	4.81(23-I-2)	-237(2)	65(23-II-2)	-158(23-II-2)
35	14	-5.45(23-I-2)	-4.65(23-I-2)	3.27(23-I-2)	-129(2)	102(23-II-2)	147(23-I-2)
35	15	-3.39(2)	-4.29(22-I-2)	2.14(23-I-2)	-52(2)	186(23-II-2)	149(23-I-2)
35	16	-3.40(2)	-4.32(22-I-2)	1.35(23-I-2)	19(23-II-2)	344(2)	134(23-I-2)
36	1	-0.16(2)	-2.66(2)	-1.93(22-I-2)	-32(2)	-241(2)	271(23-II-2)
36	2	0.12(22-II-2)	-3.03(2)	-1.44(22-I-2)	-29(22-I-1)	-181(23-I-2)	268(23-II-2)
36	3	0.27(2)	-3.10(2)	-1.36(22-I-2)	-35(23-II-2)	-204(23-I-2)	258(23-II-2)
36	4	0.31(2)	-3.00(2)	-1.40(22-I-2)	-41(23-II-2)	-215(23-I-2)	238(23-II-2)
36	5	-0.24(2)	-2.52(2)	-1.61(22-I-2)	-44(2)	-376(23-I-2)	163(23-II-2)
36	6	-0.21(2)	-2.72(2)	-1.45(22-I-2)	-55(2)	-357(23-I-2)	168(23-II-2)
36	7	-0.27(2)	-2.91(2)	-1.44(22-I-2)	-70(23-II-2)	-329(23-I-2)	180(23-II-2)
36	8	-0.28(2)	-2.97(2)	-1.44(22-I-2)	-95(23-II-2)	-311(23-I-2)	180(23-II-2)
36	9	-0.51(2)	-3.40(2)	-1.18(22-I-2)	-45(2)	-450(23-I-2)	-156(23-II-3)
36	10	-0.56(2)	-2.91(2)	-1.14(22-I-2)	-58(23-II-2)	-438(23-I-2)	-163(23-II-3)
36	11	-0.58(23-I-2)	-3.00(2)	-1.15(22-I-2)	-99(23-II-2)	-429(23-I-2)	-165(23-II-3)
36	12	-0.65(23-I-2)	-3.05(2)	-1.14(22-I-2)	-133(23-II-2)	-394(23-I-2)	-156(23-II-3)
36	13	-0.58(23-I-2)	-3.24(2)	-0.87(22-I-2)	-161(23-I-2)	-1189(23-I-2)	-346(23-II-2)
36	14	-0.89(23-I-2)	-3.19(2)	1.32(22-II-2)	-130(23-I-2)	-765(23-I-2)	-301(23-II-2)
36	15	-1.02(23-I-2)	-3.22(2)	1.42(22-II-2)	-112(23-I-2)	-540(23-I-2)	-259(23-II-2)
36	16	-1.08(23-I-2)	-3.31(2)	1.39(22-II-2)	101(23-II-2)	471(23-II-2)	-221(23-II-2)
37	1	0.62(22-I-2)	-3.94(22-II-2)	-0.86(22-I-2)	-466(23-I-2)	-175(23-I-2)	-424(23-I-2)
37	2	2.01(22-I-2)	-7.16(22-II-2)	-1.15(22-I-2)	-503(23-I-2)	-234(23-I-2)	-439(23-I-2)
37	3	4.43(22-I-2)	-8.55(22-II-2)	-1.82(22-I-2)	-530(23-I-2)	-277(23-I-2)	-406(23-I-2)
37	4	7.93(22-I-2)	-5.18(22-II-2)	3.93(22-II-2)	-530(23-I-2)	-295(23-I-2)	-145(23-I-2)
37	5	-0.79(22-II-2)	-2.26(2)	-1.72(22-I-2)	-681(23-II-2)	-168(22-II-2)	-307(23-I-2)
37	6	-1.06(22-II-2)	-2.68(2)	-1.43(22-I-2)	-737(23-II-2)	-196(22-II-2)	-287(23-I-2)
37	7	1.11(22-I-2)	-2.45(2)	0.79(22-II-2)	-789(23-II-2)	-233(2)	-225(23-I-2)
37	8	0.91(23-II-2)	-1.73(2)	0.63(22-II-2)	-818(23-II-2)	-260(2)	-76(23-II-2)
37	9	-0.89(22-I-2)	-2.35(2)	1.73(22-II-2)	-795(23-II-2)	-222(22-I-2)	280(23-I-2)
37	10	-1.14(22-I-2)	-2.62(2)	1.42(22-II-2)	-868(23-II-2)	-243(23-II-2)	283(23-I-2)
37	11	-1.10(22-I-2)	-2.58(2)	0.78(22-II-2)	-926(23-II-2)	-316(23-II-2)	255(23-I-2)
37	12	-0.78(23-I-2)	-2.55(2)	0.63(22-II-2)	-934(23-II-2)	-470(23-II-2)	260(23-I-2)
37	13	-1.22(22-I-2)	-5.07(22-I-2)	-1.10(22-I-2)	483(22-II-4)	588(23-I-2)	574(23-I-2)
37	14	-2.08(22-I-2)	-6.59(22-I-2)	-1.37(22-I-2)	523(22-II-4)	-537(23-II-2)	648(23-I-2)
37	15	4.32(22-II-2)	-7.75(22-I-2)	-1.97(22-I-2)	-579(22-I-4)	-645(22-I-2)	622(23-I-2)
37	16	7.68(22-II-2)	-6.40(22-I-2)	4.43(22-II-2)	-634(22-I-4)	-844(23-I-2)	414(23-I-2)
38	1	-3.04(2)	-0.65(22-I-2)	0.59(22-I-2)	-90(23-I-2)	-354(23-I-2)	361(23-I-2)
38	2	-2.37(2)	-0.51(22-II-2)	1.72(22-I-2)	-173(23-I-2)	-551(23-II-2)	273(23-I-2)
38	3	-2.38(2)	-0.76(22-I-2)	-1.79(22-II-2)	-148(22-I-2)	-645(23-II-2)	-205(23-I-3)
38	4	-3.98(22-I-2)	-0.91(22-II-3)	0.77(22-I-2)	-349(23-II-2)	375(22-II-4)	-384(23-I-2)
38	5	-3.15(2)	-0.68(22-I-2)	0.68(22-I-2)	94(23-II-2)	230(23-II-2)	270(23-I-2)
38	6	-2.63(2)	-0.37(22-I-2)	1.61(22-I-2)	-192(23-I-2)	-381(23-II-2)	246(23-I-2)
38	7	-2.66(2)	-0.63(2)	-1.70(22-II-2)	-140(23-I-2)	-447(23-II-2)	-176(23-I-3)
38	8	-3.95(2)	-1.00(22-II-2)	-0.69(22-II-2)	63(23-I-2)	253(22-II-4)	-239(23-I-1)
38	9	-3.25(2)	-0.29(22-I-2)	0.94(22-I-2)	-149(23-I-2)	142(23-II-2)	238(23-I-2)
38	10	-2.73(2)	-0.44(22-I-2)	1.42(22-I-2)	-229(23-I-2)	-261(23-II-2)	208(23-I-2)
38	11	-2.80(2)	-0.73(22-II-2)	1.46(22-I-2)	-206(23-I-2)	-299(23-II-2)	-143(23-I-3)
38	12	-3.92(2)	-0.77(22-II-2)	-1.07(22-II-2)	170(23-II-2)	155(22-II-4)	-184(23-I-1)
38	13	-3.14(2)	0.26(22-II-2)	1.25(22-I-2)	-205(23-I-2)	73(23-II-2)	-216(23-II-2)
38	14	-2.86(2)	-0.31(2)	1.38(22-I-2)	-280(23-I-2)	-158(23-II-2)	-185(23-II-2)
38	15	-2.93(2)	-0.72(23-I-2)	1.24(22-I-2)	-305(23-I-2)	-192(23-II-2)	149(23-II-3)
38	16	-3.62(2)	-0.97(23-I-2)	-1.41(22-II-2)	368(23-II-2)	82(23-II-2)	194(23-II-2)
39	1	-0.90(2)	-2.32(2)	-2.11(22-I-3)	34(23-I-2)	-232(2)	209(23-I-3)
39	2	-1.95(22-I-3)	-2.93(2)	-2.34(22-I-3)	156(2)	-128(2)	172(23-I-3)
39	3	-2.41(22-I-3)	-3.38(2)	-1.95(22-I-3)	260(2)	-58(23-II-2)	-214(23-II-3)
39	4	-2.56(22-I-3)	-3.77(2)	-1.26(22-I-3)	325(2)	-35(23-II-2)	-246(23-II-3)
39	5	-1.07(22-I-3)	-3.61(2)	-1.81(22-I-3)	-30(2)	-424(2)	248(23-I-3)
39	6	-2.24(22-I-3)	-4.34(2)	-1.80(22-I-3)	40(23-I-2)	-274(2)	215(23-I-3)
39	7	-3.17(22-I-3)	-4.90(2)	-1.43(22-I-3)	97(2)	-172(2)	180(23-I-3)
39	8	-3.77(22-I-3)	-5.18(2)	-0.73(22-I-2)	157(2)	-113(22-I-2)	-167(23-II-3)
39	9	-0.98(22-I-3)	-4.66(2)	1.57(22-II-3)	-52(2)	-508(2)	265(23-I-3)
39	10	-2.27(22-I-3)	-5.80(2)	1.31(22-II-3)	-28(22-I-2)	-370(2)	246(23-I-3)
39	11	-4.17(22-I-3)	-6.75(2)	0.80(22-II-3)	74(22-II-2)	-283(2)	216(23-I-3)
39	12	-5.25(22-I-3)	-7.52(2)	0.46(23-I-2)	121(22-II-2)	-235(22-I-2)	188(23-I-3)

Muro	Pann.	Sxx	Syy	Sxy	Mxx	Myy	Mxy
39	13	-1.00(22-I-3)	-4.85(2)	2.91(2)	-59(2)	-509(2)	261(23-I-3)
39	14	-2.20(22-I-3)	-6.73(2)	2.96(2)	-50(22-I-2)	-419(2)	268(23-I-3)
39	15	-3.71(22-I-3)	-8.67(2)	2.53(2)	118(22-II-2)	-359(2)	253(23-I-3)
39	16	-8.19(22-I-3)	-11.60(2)	1.42(2)	202(22-II-2)	-332(2)	192(23-I-3)
40	1	-0.89(22-I-3)	-3.14(2)	5.06(2)	-47(2)	-345(2)	214(23-I-3)
40	2	2.32(22-II-3)	-2.90(22-I-3)	5.12(22-I-3)	-49(2)	-276(2)	237(23-I-3)
40	3	4.20(22-II-3)	-2.06(22-I-3)	4.75(22-I-3)	-66(22-I-2)	-213(2)	262(2)
40	4	6.52(22-II-3)	1.76(22-I-3)	3.89(22-I-3)	-86(22-I-2)	-157(2)	243(2)
40	5	1.04(2)	-1.71(2)	3.91(22-I-3)	-31(2)	-148(2)	158(23-I-3)
40	6	3.75(2)	-0.80(2)	3.41(22-I-3)	-51(2)	-97(2)	164(23-I-3)
40	7	6.80(2)	-0.79(2)	2.23(22-I-3)	-74(2)	-42(2)	162(23-I-3)
40	8	10.55(2)	-0.78(2)	0.65(22-I-3)	-83(2)	17(22-II-2)	104(23-I-3)
40	9	1.36(2)	-1.81(2)	-2.29(22-II-3)	-27(2)	-125(2)	92(23-I-3)
40	10	4.71(2)	-0.85(2)	-2.00(22-II-3)	-46(2)	-84(2)	90(23-I-3)
40	11	8.34(2)	-0.83(2)	-1.29(22-II-3)	-66(2)	-39(2)	-86(23-II-3)
40	12	12.46(2)	-0.91(22-I-3)	-0.41(22-II-3)	-75(2)	14(22-I-2)	63(23-I-3)
40	13	1.09(22-I-3)	-2.64(2)	-3.62(2)	-34(2)	-270(22-I-2)	-126(23-I-2)
40	14	3.82(22-I-3)	-1.99(22-II-3)	-3.63(2)	-46(23-I-2)	-221(22-I-2)	-143(23-I-2)
40	15	6.88(22-I-3)	-1.28(22-II-3)	-3.11(2)	-70(23-I-3)	-178(22-I-2)	-166(23-II-3)
40	16	10.69(22-I-3)	1.51(22-II-3)	-2.47(22-I-3)	-92(23-I-3)	-133(22-I-2)	-158(23-II-3)
41	1	0.75(22-I-3)	-4.37(2)	-2.46(23-I-2)	-43(2)	-367(22-I-2)	-168(23-I-2)
41	2	2.79(22-I-3)	-5.99(2)	-2.45(23-I-2)	-63(22-II-2)	-333(22-I-2)	-189(23-I-2)
41	3	4.40(22-I-3)	-7.58(2)	-1.93(23-I-2)	101(22-I-2)	-322(22-I-2)	-191(23-I-2)
41	4	5.86(22-I-3)	-10.51(2)	-0.75(23-I-2)	177(22-I-2)	-336(22-I-2)	-167(23-I-2)
41	5	0.54(22-I-3)	-4.11(2)	-1.81(22-I-3)	-41(23-I-2)	-341(22-I-2)	-189(23-I-2)
41	6	2.07(22-I-3)	-5.07(2)	-1.50(22-I-3)	-50(23-I-3)	-294(22-I-2)	-194(23-I-2)
41	7	2.96(22-I-3)	-5.85(2)	1.26(22-II-3)	-67(22-II-2)	-285(22-I-2)	-188(23-I-2)
41	8	2.81(22-I-3)	-6.31(2)	0.83(2)	87(22-I-2)	-305(22-I-2)	-198(22-II-2)
41	9	0.36(22-I-3)	-2.66(23-I-2)	1.78(22-II-3)	-37(23-I-2)	-301(23-I-2)	-200(23-I-2)
41	10	1.27(22-I-3)	-2.98(23-I-2)	1.79(22-II-3)	-33(22-II-2)	-246(2)	-197(23-I-2)
41	11	1.63(22-I-3)	-3.22(23-I-2)	1.57(22-II-3)	52(22-I-2)	-233(2)	-183(22-II-2)
41	12	1.44(22-I-3)	-3.12(23-I-2)	1.10(22-II-2)	77(22-I-2)	-251(23-II-2)	-187(22-II-2)
41	13	-0.30(22-II-3)	-0.75(23-I-2)	1.40(22-II-3)	15(22-I-2)	-271(23-I-2)	-149(23-I-2)
41	14	0.65(22-I-3)	-0.96(23-I-2)	1.36(22-II-3)	70(22-I-2)	-189(2)	-137(23-I-2)
41	15	0.71(22-I-3)	1.30(22-II-2)	1.16(22-II-3)	113(23-I-2)	-200(23-II-2)	-132(22-II-2)
41	16	0.53(22-I-3)	1.88(22-II-2)	0.83(22-II-3)	146(23-I-2)	-259(23-II-2)	-124(22-II-2)
42	1	-1.53(22-II-2)	-2.87(2)	2.11(2)	1181(22-II-2)	-286(22-I-2)	-395(23-II-3)
42	2	-0.92(22-II-2)	-2.53(2)	2.19(2)	1298(22-II-2)	-483(2)	-408(23-II-3)
42	3	1.62(22-I-2)	-2.30(22-I-2)	1.89(2)	-1491(22-I-2)	-809(2)	-395(23-II-2)
42	4	3.62(22-I-2)	-2.22(22-I-2)	1.11(22-I-2)	-1466(22-I-2)	-1138(2)	-147(22-II-2)
42	5	-2.17(22-II-2)	-2.98(2)	1.60(2)	849(22-II-2)	-334(22-I-2)	-522(22-I-2)
42	6	1.03(22-I-2)	-2.61(2)	1.74(2)	873(22-II-2)	-460(2)	-529(22-I-2)
42	7	2.14(22-I-2)	-2.10(2)	1.50(2)	-895(22-I-2)	-672(2)	-498(23-II-3)
42	8	4.63(22-I-2)	-1.76(22-I-2)	0.77(22-I-2)	-967(22-I-2)	-900(2)	-175(22-II-2)
42	9	-3.36(22-II-2)	-4.51(2)	0.79(22-I-2)	676(22-II-2)	-379(2)	-592(22-I-2)
42	10	-1.54(22-II-2)	-3.63(2)	1.08(22-I-2)	688(22-II-2)	-471(2)	-538(22-I-2)
42	11	2.59(22-I-2)	-2.73(2)	0.97(22-I-2)	676(22-II-2)	-566(2)	-493(23-II-3)
42	12	5.99(22-II-3)	-2.08(2)	0.58(22-I-2)	731(22-II-2)	-649(2)	-192(23-II-3)
42	13	-6.34(22-II-2)	-8.22(2)	-0.61(2)	685(22-II-2)	-421(2)	-499(22-I-2)
42	14	2.10(22-I-2)	-5.49(2)	-1.16(2)	617(22-II-2)	-443(2)	-501(22-I-2)
42	15	2.65(2)	-3.45(2)	-1.07(2)	562(22-II-2)	-473(2)	-445(23-II-3)
42	16	7.10(22-II-3)	-2.46(2)	-0.81(23-I-2)	568(22-II-2)	-490(2)	-147(23-II-3)
43	1	-6.87(22-II-2)	1.00(22-II-3)	-2.95(22-II-3)	473(22-I-2)	-174(2)	-331(23-II-3)
43	2	-2.95(22-II-2)	-1.38(22-II-3)	-3.45(2)	492(22-I-2)	-218(2)	-369(23-II-3)
43	3	1.01(23-I-3)	-1.70(2)	-3.10(2)	518(22-I-2)	-251(2)	-329(23-II-3)
43	4	3.80(22-II-3)	-1.62(2)	-1.97(2)	530(22-I-2)	-300(22-II-2)	-103(23-II-3)
43	5	8.30(2)	-0.78(2)	-0.59(22-II-3)	1068(22-I-2)	20(2)	-122(23-II-3)
43	6	3.72(22-I-2)	-0.58(2)	-1.78(22-II-3)	1085(22-I-2)	-32(23-II-2)	-191(23-II-3)
43	7	-2.40(23-II-3)	-0.87(2)	-2.12(22-II-3)	1111(22-I-2)	-67(22-II-2)	-187(23-II-3)
43	8	-6.71(2)	-0.72(2)	-1.62(22-II-3)	1108(22-I-2)	-138(22-II-2)	-99(23-II-3)
43	9	9.30(2)	-0.74(2)	0.54(22-I-3)	1105(22-I-2)	21(23-II-2)	-106(23-I-2)
43	10	3.68(23-I-3)	-0.62(2)	1.54(22-I-3)	1122(22-I-2)	-33(23-II-2)	-145(23-I-2)
43	11	-2.48(23-II-3)	-0.94(2)	1.81(22-I-3)	1151(22-I-2)	-67(23-II-2)	-145(23-I-2)
43	12	-7.46(2)	-0.83(2)	1.34(22-I-2)	1148(22-I-2)	-125(22-II-2)	-70(23-I-2)
43	13	7.00(22-II-3)	1.21(22-I-3)	2.76(22-I-3)	-509(22-II-2)	-181(2)	318(23-II-2)
43	14	2.71(22-II-3)	-1.20(22-I-3)	3.09(22-I-3)	-513(22-II-2)	-236(2)	326(23-II-2)

Muro	Pann.	Sxx	Syy	Sxy	Mxx	Myy	Mxy
43	15	-1.52(22-II-2)	-1.66(22-I-3)	2.74(22-I-2)	533(22-I-2)	-273(2)	276(23-II-2)
43	16	-4.95(22-II-2)	-1.59(22-I-3)	1.89(22-I-2)	560(22-I-2)	-290(2)	82(23-II-2)
44	1	-4.45(22-I-3)	-8.70(2)	0.40(22-II-3)	-482(22-I-2)	-489(2)	475(23-II-2)
44	2	1.66(22-II-3)	-5.75(2)	1.01(22-II-3)	-422(22-I-2)	-529(2)	476(23-II-2)
44	3	2.36(22-I-2)	-3.77(2)	1.07(22-II-2)	-420(22-II-2)	-573(2)	402(23-II-2)
44	4	5.55(22-I-3)	-2.56(2)	0.91(22-II-2)	-378(22-II-2)	-591(2)	151(23-II-2)
44	5	-2.19(22-I-3)	-4.56(2)	-1.28(2)	-467(22-I-2)	-549(2)	544(22-I-2)
44	6	1.00(22-II-2)	-3.84(2)	-1.77(22-I-3)	-511(22-I-2)	-652(2)	487(23-II-2)
44	7	2.09(22-I-2)	-2.94(2)	-1.54(22-I-3)	-531(22-I-2)	-765(2)	429(23-II-2)
44	8	4.84(22-I-2)	-2.15(2)	-1.05(22-I-2)	-510(22-I-2)	-866(2)	234(23-II-2)
44	9	-1.13(22-I-2)	-1.60(2)	-1.81(2)	-481(22-I-2)	-547(2)	486(22-I-2)
44	10	0.53(22-I-2)	-1.67(22-II-2)	-1.98(22-I-2)	-570(22-I-2)	-754(2)	470(22-I-2)
44	11	1.52(22-I-2)	-1.50(22-II-2)	-1.92(22-I-3)	-663(22-I-2)	-995(2)	408(22-I-2)
44	12	3.58(22-I-2)	-1.40(22-II-2)	-1.30(22-I-2)	-703(22-I-2)	-1259(2)	256(22-I-2)
44	13	-0.45(22-I-2)	1.29(22-II-3)	-1.51(2)	440(22-II-2)	-530(2)	278(22-I-2)
44	14	0.35(22-I-2)	1.08(22-II-2)	-1.55(22-I-2)	-573(23-II-2)	-855(2)	303(22-I-2)
44	15	1.07(22-I-2)	0.92(22-II-2)	-1.47(22-I-2)	-723(23-II-2)	-1289(2)	258(22-I-2)
44	16	2.45(22-I-2)	-1.30(22-I-2)	-1.00(22-I-2)	-856(22-I-2)	-1649(2)	-181(22-II-2)
45	1	-2.11(22-I-3)	-4.32(2)	-0.81(22-II-3)	368(2)	54(23-I-2)	-285(23-II-3)
45	2	-0.52(2)	-4.66(2)	2.03(22-I-3)	412(22-II-2)	100(23-I-2)	-281(23-II-3)
45	3	-0.55(2)	-4.52(2)	1.93(22-I-3)	601(22-II-2)	102(22-II-2)	-272(23-II-3)
45	4	-1.78(22-II-2)	-3.73(2)	1.85(22-I-3)	928(22-II-2)	-132(22-I-2)	-329(23-II-3)
45	5	-3.28(22-I-3)	-6.31(2)	1.24(22-I-3)	213(2)	-66(23-II-2)	-236(22-I-2)
45	6	-0.49(2)	-7.27(2)	2.02(22-I-3)	289(22-II-2)	128(23-I-2)	-287(22-I-2)
45	7	-0.46(2)	-6.76(2)	1.64(22-I-3)	429(22-II-2)	143(23-I-2)	-299(22-I-2)
45	8	-2.67(22-II-2)	-4.79(2)	1.53(22-I-3)	680(22-II-2)	-184(22-I-2)	-405(22-I-2)
45	9	-3.98(22-I-3)	-9.23(2)	2.33(22-I-3)	125(22-II-2)	-126(23-II-2)	-248(22-I-2)
45	10	-0.44(2)	-9.80(2)	1.60(22-I-3)	153(22-II-2)	163(23-I-2)	-311(22-I-2)
45	11	-0.46(2)	-8.95(2)	-1.00(22-II-3)	237(22-II-2)	197(22-II-2)	-348(22-I-2)
45	12	-3.13(22-II-2)	-6.93(2)	-1.71(22-II-3)	479(22-II-2)	-259(23-II-2)	-508(22-I-2)
45	13	-2.68(2)	-15.33(22-I-3)	3.86(22-I-3)	93(22-II-2)	-204(22-I-2)	-253(22-I-2)
45	14	-1.56(2)	-11.15(2)	-0.19(22-II-3)	43(22-II-2)	188(23-I-2)	-259(22-I-2)
45	15	-1.40(2)	-10.15(2)	0.40(22-I-3)	22(23-II-2)	239(22-II-2)	-297(22-I-2)
45	16	-2.14(2)	-11.74(2)	-2.97(22-II-3)	333(22-II-2)	-371(23-II-2)	-582(22-I-2)
46	1	-2.31(2)	-13.88(2)	-2.30(22-II-3)	-77(22-II-2)	-350(22-I-2)	-243(22-II-2)
46	2	-1.27(2)	-12.49(2)	0.37(22-I-3)	-27(22-I-2)	-236(23-II-2)	255(22-I-2)
46	3	-1.22(2)	-12.01(2)	-0.43(22-II-3)	17(22-I-2)	-207(23-II-2)	295(22-I-2)
46	4	-2.00(2)	-12.62(2)	2.51(22-I-3)	-259(22-I-2)	-466(2)	538(22-I-2)
46	5	-2.08(22-II-3)	-7.30(2)	1.14(22-I-3)	63(22-I-2)	-308(23-II-2)	240(22-I-2)
46	6	-0.20(2)	-8.19(2)	-1.25(22-II-3)	46(23-I-2)	-232(23-II-2)	304(22-I-2)
46	7	-0.23(2)	-7.92(2)	1.13(22-I-3)	-83(22-I-2)	-195(2)	347(22-I-2)
46	8	-2.46(22-I-3)	-6.37(2)	-1.21(22-II-3)	-281(22-I-2)	-363(2)	482(22-I-2)
46	9	-1.16(22-II-3)	-3.11(23-I-2)	1.19(22-I-3)	82(22-I-2)	-294(23-II-2)	223(22-I-2)
46	10	-0.05(22-II-3)	-3.33(23-I-2)	-1.40(22-II-3)	92(23-I-2)	-222(23-II-2)	280(22-I-2)
46	11	-0.05(22-I-3)	-3.14(2)	-1.43(22-II-3)	144(22-II-2)	-175(2)	312(22-I-2)
46	12	-1.50(22-I-3)	-2.25(2)	-1.31(22-II-3)	-295(22-I-2)	-280(2)	411(22-I-2)
46	13	-0.31(22-II-2)	2.46(22-II-2)	0.93(22-I-3)	152(23-I-2)	-302(23-II-2)	148(22-I-2)
46	14	0.22(22-II-3)	2.03(23-II-2)	1.21(22-I-3)	133(23-I-2)	-227(23-II-2)	209(22-I-2)
46	15	0.18(22-I-3)	1.70(2)	1.18(22-I-3)	195(22-II-2)	-158(2)	231(22-I-2)
46	16	-0.46(22-I-2)	1.82(22-I-3)	-1.02(22-II-3)	342(22-II-2)	-206(2)	245(22-I-2)
47	1	-2.32(22-I-4)	-2.19(23-II-2)	-2.52(23-I-2)	271(22-II-2)	77(22-I-4)	-222(22-I-2)
47	2	-2.67(2)	-0.84(23-II-2)	-1.49(23-I-2)	229(22-II-2)	72(22-I-4)	-332(22-I-4)
47	3	-2.83(2)	0.16(23-I-2)	-1.43(23-I-2)	172(22-II-2)	63(23-I-3)	-359(22-I-4)
47	4	-2.41(2)	0.19(22-II-2)	-1.09(23-I-2)	-151(22-I-3)	-230(23-II-3)	-172(22-I-4)
47	5	-2.23(23-I-2)	-2.61(23-II-2)	-2.38(23-I-2)	286(22-II-4)	49(22-I-4)	-221(22-I-2)
47	6	-2.87(2)	-0.70(23-II-2)	-1.29(23-I-2)	262(22-II-2)	56(23-I-2)	-327(22-I-4)
47	7	-3.00(2)	-0.18(23-II-2)	-1.44(23-I-2)	231(22-II-2)	54(23-I-3)	-378(22-I-4)
47	8	-2.53(2)	0.10(22-II-2)	-1.06(23-I-2)	98(22-II-2)	-158(23-II-3)	-199(22-I-4)
47	9	-3.71(23-I-2)	-2.53(23-II-2)	-2.08(23-I-2)	303(22-II-4)	25(23-I-4)	-213(22-I-2)
47	10	-3.11(2)	-0.51(23-II-2)	-1.28(23-I-2)	302(22-II-2)	48(2)	-312(22-I-4)
47	11	-3.36(2)	-0.22(23-II-2)	-1.42(23-I-2)	307(2)	52(2)	-376(22-I-4)
47	12	-2.71(2)	-0.12(22-I-2)	-1.04(23-I-2)	184(22-II-2)	-74(22-I-3)	-221(22-I-4)
47	13	-2.69(23-I-2)	-1.36(23-II-2)	-1.00(23-I-2)	326(22-II-4)	31(22-II-4)	-203(22-I-2)
47	14	-3.35(2)	-0.34(2)	-1.12(23-I-2)	343(22-II-2)	43(2)	-292(22-I-4)
47	15	-3.31(2)	-0.32(2)	-1.47(23-I-2)	415(2)	57(2)	-357(22-I-4)
47	16	-2.61(2)	-0.24(2)	-1.12(23-I-2)	353(2)	19(2)	-233(22-I-4)

Muro	Pann.	Sxx	Syy	Sxy	Mxx	Myy	Mxy
48	1	-1.09(23-II-2)	-2.47(23-II-2)	2.40(23-I-2)	145(22-I-4)	226(22-II-2)	220(22-I-2)
48	2	0.22(23-I-2)	-2.06(2)	1.97(23-I-2)	268(22-I-4)	184(2)	223(23-II-2)
48	3	0.15(22-I-2)	-1.94(2)	1.84(23-I-2)	414(22-I-4)	202(22-I-4)	189(23-II-2)
48	4	0.65(23-II-2)	-2.00(2)	1.92(23-I-2)	580(22-I-4)	146(22-I-4)	-159(23-I-2)
48	5	-0.77(23-II-2)	-2.39(2)	1.84(23-I-2)	102(22-I-4)	159(22-II-2)	331(22-I-4)
48	6	0.54(23-I-2)	-1.92(2)	2.01(23-I-2)	144(22-I-4)	89(23-II-2)	285(22-I-4)
48	7	0.25(23-I-2)	-1.36(2)	1.81(23-I-2)	193(22-I-4)	69(23-II-3)	226(22-I-4)
48	8	0.47(22-I-2)	-0.91(23-II-2)	1.25(23-I-2)	-301(22-II-4)	71(22-II-2)	-261(22-II-3)
48	9	0.42(23-I-2)	-2.59(2)	1.48(23-I-2)	-98(23-II-3)	-87(22-I-2)	329(22-I-4)
48	10	0.57(23-I-2)	-2.18(2)	-1.50(23-II-2)	-212(23-II-3)	-126(22-I-3)	274(22-I-4)
48	11	0.82(23-I-2)	-1.86(2)	-1.67(23-II-2)	-316(23-II-3)	-119(22-I-2)	-301(22-II-4)
48	12	1.06(23-I-2)	-1.33(2)	-1.69(23-II-2)	-417(23-II-3)	-102(22-I-2)	-356(22-II-4)
48	13	0.37(22-II-2)	-2.24(2)	1.19(23-I-2)	-368(23-II-3)	-234(22-I-3)	-169(22-II-4)
48	14	0.61(2)	-2.22(2)	1.23(23-I-2)	-557(23-II-3)	-228(22-I-3)	-212(22-II-3)
48	15	0.95(23-I-2)	-2.24(2)	1.29(23-I-2)	-713(23-II-3)	-202(2)	-223(22-II-3)
48	16	1.59(23-I-2)	-2.83(2)	1.37(23-I-2)	-832(23-II-3)	-176(22-I-2)	-227(22-II-3)
49	1	1.10(23-II-2)	-2.34(22-I-3)	1.71(23-I-2)	690(22-I-4)	238(22-II-2)	-163(23-I-3)
49	2	1.21(23-II-2)	-2.99(22-I-2)	1.51(23-I-2)	777(22-I-4)	-445(22-I-2)	-153(23-I-3)
49	3	2.18(22-II-2)	-3.65(23-II-2)	1.10(23-I-2)	903(22-I-4)	-661(22-I-2)	-151(22-II-2)
49	4	4.27(22-I-2)	-3.60(22-I-3)	1.37(22-I-2)	1031(22-I-4)	-769(22-I-2)	-120(22-II-2)
49	5	0.99(2)	-0.58(23-II-2)	-0.89(23-II-2)	-393(22-II-4)	85(22-II-2)	-301(22-II-4)
49	6	1.44(2)	-0.28(1)	-0.76(23-II-2)	-422(22-II-4)	66(22-II-2)	-339(22-II-4)
49	7	1.88(2)	-0.20(22-I-2)	-0.90(23-II-2)	-434(22-II-4)	92(22-I-4)	-335(22-II-4)
49	8	2.18(2)	-0.63(22-I-2)	-0.73(23-II-2)	-426(22-II-4)	140(22-I-4)	-152(22-II-3)
49	9	1.46(23-I-2)	-0.61(23-II-2)	-1.57(23-II-2)	-480(23-II-3)	99(23-I-3)	-379(22-II-4)
49	10	1.55(23-I-2)	-0.58(22-II-2)	-1.37(23-II-2)	-501(23-II-3)	135(23-I-3)	-364(22-II-4)
49	11	1.78(23-I-2)	-0.86(23-I-2)	-0.88(23-II-2)	-517(23-II-3)	166(23-I-3)	-327(22-II-4)
49	12	2.21(23-I-2)	-0.90(23-II-2)	0.70(23-I-2)	-514(23-II-3)	205(23-I-3)	-160(22-II-4)
49	13	1.97(23-I-2)	-3.90(2)	1.28(23-I-2)	-894(23-II-3)	-143(22-I-2)	-240(22-II-3)
49	14	2.08(23-I-2)	-5.35(2)	-1.20(23-II-2)	-919(23-II-3)	206(22-II-2)	-247(22-II-3)
49	15	-2.82(23-II-2)	-6.64(2)	-1.25(23-II-2)	-934(23-II-3)	289(22-II-2)	-237(22-II-4)
49	16	-4.59(23-II-2)	-5.55(2)	-2.34(2)	-924(23-II-3)	389(22-II-2)	-158(22-II-2)
50	1	-0.39(2)	-2.43(2)	1.37(23-I-2)	-51(2)	319(2)	-379(23-II-3)
50	2	-0.42(2)	-2.22(2)	1.18(23-I-2)	-252(2)	97(22-II-3)	-364(23-II-3)
50	3	-0.37(22-I-3)	-2.23(2)	1.05(23-I-2)	-420(2)	-146(22-I-3)	-347(23-II-3)
50	4	-0.28(22-I-3)	-2.09(2)	0.93(23-I-2)	-552(2)	-236(22-I-3)	-338(23-II-3)
50	5	-0.30(2)	-2.91(2)	0.88(23-I-2)	37(2)	390(23-I-2)	-510(23-II-2)
50	6	-0.15(22-I-3)	-2.76(2)	0.82(23-I-2)	-30(22-II-3)	190(23-I-2)	-516(23-II-2)
50	7	0.13(22-II-3)	-2.49(2)	0.75(23-I-2)	-89(23-I-2)	109(22-II-3)	-500(23-II-3)
50	8	0.25(22-II-3)	-2.31(2)	0.68(23-I-2)	-164(23-I-2)	-147(22-I-3)	-474(23-II-3)
50	9	-0.20(2)	-3.03(23-I-2)	0.38(22-II-3)	25(23-I-2)	212(23-I-2)	-532(23-II-2)
50	10	0.13(23-I-3)	-2.73(23-I-2)	0.38(22-II-3)	34(23-I-3)	179(23-I-2)	-566(23-II-2)
50	11	0.27(23-I-2)	-2.39(23-I-2)	-0.40(22-I-3)	49(23-II-3)	164(22-II-3)	-565(23-II-3)
50	12	0.34(23-I-2)	-2.17(23-I-2)	-0.45(22-I-3)	67(23-II-3)	182(22-II-3)	-552(23-II-3)
50	13	-0.05(23-I-4)	-1.92(23-I-2)	-0.65(10)	30(23-I-2)	84(23-I-2)	-433(23-II-3)
50	14	0.26(23-I-3)	-1.66(23-I-2)	-0.58(10)	93(2)	151(23-I-2)	-453(23-II-3)
50	15	0.26(23-I-3)	-1.41(23-I-2)	-0.55(22-I-3)	156(22-II-2)	223(22-II-3)	-453(23-II-3)
50	16	0.21(2)	-1.32(22-I-3)	-0.55(22-I-3)	220(22-II-2)	289(22-II-3)	-420(23-II-3)
51	1	0.35(22-II-3)	-1.90(2)	0.72(23-I-2)	-718(23-I-2)	-296(22-I-3)	-325(23-II-3)
51	2	0.54(2)	-1.84(2)	0.65(22-II-3)	-880(23-I-2)	-255(2)	-270(23-II-3)
51	3	0.64(2)	-1.99(2)	0.66(22-II-3)	-968(23-I-2)	-229(2)	-245(23-II-3)
51	4	0.75(23-I-2)	-1.75(2)	0.92(23-I-2)	-1033(22-II-2)	-205(23-I-2)	268(23-I-3)
51	5	0.39(2)	-1.89(2)	0.56(22-II-3)	-324(23-I-2)	-205(22-I-3)	-407(23-II-3)
51	6	0.50(2)	-1.55(2)	0.62(22-II-3)	-502(23-I-2)	-160(22-I-3)	-317(23-II-3)
51	7	0.64(2)	-1.52(2)	0.76(23-I-2)	-601(23-I-2)	-112(23-I-2)	306(23-I-3)
51	8	0.88(23-I-2)	-1.69(2)	-1.06(23-II-2)	-648(23-I-2)	-127(23-I-2)	396(23-I-3)
51	9	0.39(2)	-1.65(23-I-2)	-0.47(22-I-3)	116(23-II-3)	187(22-II-3)	-485(23-II-3)
51	10	0.36(2)	-1.32(23-I-2)	0.64(22-II-3)	201(23-II-3)	116(22-II-3)	-355(23-II-3)
51	11	0.71(2)	-1.13(23-I-2)	0.89(22-II-3)	317(23-II-2)	52(23-II-2)	351(23-I-3)
51	12	1.75(2)	-1.67(2)	0.96(23-I-2)	485(23-II-2)	109(23-II-2)	454(23-I-3)
51	13	0.13(23-I-4)	-1.18(22-I-3)	-0.55(22-I-3)	316(22-II-2)	326(22-II-3)	-389(23-II-3)
51	14	0.10(22-II-3)	-1.14(23-I-2)	0.72(22-II-3)	405(22-II-2)	239(22-II-3)	-361(23-II-3)
51	15	0.29(2)	-1.12(23-I-2)	1.02(22-II-3)	491(23-II-3)	182(2)	351(23-I-3)
51	16	1.97(2)	-1.13(23-I-2)	1.26(22-II-3)	634(23-II-3)	172(23-II-3)	381(23-I-3)
52	1	-1.46(23-II-2)	-0.42(22-II-2)	-1.06(23-II-2)	-1104(22-II-2)	-150(22-II-2)	267(23-I-3)
52	2	-1.72(23-II-2)	1.68(2)	-1.13(23-II-2)	-1124(22-II-2)	207(22-I-2)	272(23-I-3)

Muro	Pann.	Sxx	Syy	Sxy	Mxx	Myy	Mxy
52	3	1.64(23-I-2)	3.99(2)	-1.34(23-II-2)	-1128(22-II-2)	319(22-I-2)	252(22-I-2)
52	4	6.43(2)	2.99(2)	-2.64(2)	-1039(22-II-2)	454(22-II-2)	217(22-II-2)
52	5	1.11(23-I-2)	-1.63(2)	-1.93(23-II-2)	-651(23-I-2)	148(23-II-2)	428(23-I-3)
52	6	-1.47(23-II-2)	-1.56(2)	-2.14(23-II-2)	-640(23-I-2)	208(23-II-2)	420(23-I-3)
52	7	-2.08(23-II-2)	-0.66(2)	-1.79(23-II-2)	-640(23-I-2)	258(22-II-2)	376(23-I-3)
52	8	-2.19(23-II-2)	-0.31(23-I-1)	0.79(23-I-2)	-667(23-I-2)	377(22-II-2)	190(22-II-2)
52	9	1.77(23-I-2)	-3.47(2)	-1.34(23-II-2)	606(23-II-2)	160(23-II-2)	473(23-I-3)
52	10	1.61(23-I-2)	-4.11(2)	-1.77(23-II-2)	649(23-II-2)	188(23-II-2)	446(23-I-3)
52	11	-3.40(23-II-2)	-3.90(2)	-1.78(23-II-2)	681(23-II-2)	225(23-II-2)	390(23-I-3)
52	12	-7.47(2)	-5.75(2)	-0.78(23-II-2)	729(23-II-2)	279(22-II-2)	167(22-I-2)
52	13	2.79(2)	1.55(23-II-2)	1.24(23-I-2)	747(23-II-3)	168(23-II-3)	385(23-I-3)
52	14	2.45(23-I-2)	1.38(23-II-2)	1.21(23-I-2)	824(23-II-3)	171(23-II-3)	397(23-I-3)
52	15	-3.27(23-II-2)	-1.52(2)	0.90(23-I-2)	935(23-II-3)	207(22-II-2)	364(23-I-3)
52	16	-18.28(2)	3.07(2)	-2.52(2)	1079(23-II-3)	-298(23-I-3)	213(22-I-2)
53	1	-1.03(22-II-1)	-6.85(23-II-2)	-2.20(2)	53(23-II-2)	1075(22-II-1)	139(22-II-2)
53	2	-0.65(23-I-1)	-6.17(23-II-2)	-0.98(2)	-144(22-II-1)	776(22-II-1)	178(22-II-1)
53	3	-0.38(23-I-1)	-5.54(23-II-2)	-0.55(23-II-2)	-284(22-II-1)	381(22-II-1)	193(22-II-1)
53	4	-0.19(23-I-1)	-4.64(23-II-2)	0.72(23-I-2)	-318(22-II-1)	151(22-II-1)	221(22-II-1)
53	5	-1.21(22-II-1)	-5.57(23-II-2)	-1.35(2)	141(22-II-1)	1317(22-II-1)	-141(22-II-1)
53	6	-1.46(22-II-1)	-6.35(22-II-1)	-0.83(23-II-2)	50(23-II-2)	798(22-II-1)	-124(22-II-1)
53	7	-0.90(22-II-1)	-7.05(22-II-1)	1.02(23-I-2)	-49(23-I-2)	436(22-II-1)	101(23-I-1)
53	8	-0.45(2)	-7.20(22-II-1)	1.31(23-I-2)	-81(22-II-1)	210(22-II-1)	148(23-II-1)
53	9	-2.46(23-I-2)	-8.65(2)	0.96(23-I-2)	151(22-II-1)	1284(22-II-1)	-161(22-II-1)
53	10	-1.90(23-I-2)	-10.65(2)	1.95(23-I-2)	88(22-II-1)	879(22-II-1)	-134(22-II-1)
53	11	-0.92(23-I-2)	-11.17(2)	1.54(23-I-2)	43(22-II-1)	534(22-II-1)	-104(23-II-1)
53	12	-0.43(23-I-2)	-11.24(2)	1.25(23-I-2)	17(23-II-2)	296(22-II-1)	133(23-II-1)
53	13	-3.86(23-I-2)	-19.58(23-I-2)	4.07(23-I-2)	114(22-II-1)	1313(22-II-1)	-148(22-II-1)
53	14	-0.42(23-I-2)	-17.55(23-I-2)	1.84(23-I-2)	31(22-II-1)	914(22-II-1)	-88(22-II-1)
53	15	-0.11(23-I-2)	-16.42(2)	0.91(23-I-2)	20(22-II-1)	584(22-II-1)	-69(23-II-1)
53	16	0.36(23-II-2)	-15.95(2)	0.59(23-I-2)	13(22-II-1)	338(22-II-1)	90(23-II-1)
54	1	-0.12(23-I-1)	-3.24(23-II-2)	1.12(23-I-2)	-244(22-II-1)	43(22-II-1)	187(22-II-2)
54	2	0.06(23-II-1)	-2.31(22-II-1)	1.25(23-I-2)	-148(22-II-1)	-22(23-I-3)	144(23-II-1)
54	3	0.30(23-II-2)	-2.42(22-II-1)	1.16(23-I-2)	-153(22-II-1)	-38(22-I-1)	123(23-II-1)
54	4	-0.95(23-II-2)	-3.00(22-II-1)	0.74(22-II-1)	190(22-I-1)	139(22-II-1)	117(23-I-1)
54	5	0.13(23-II-2)	-6.48(22-II-1)	1.36(23-I-2)	-108(22-II-1)	32(22-II-1)	169(23-II-1)
54	6	0.18(23-II-2)	-6.15(2)	1.30(23-I-2)	-88(22-II-1)	-47(22-II-1)	157(23-II-1)
54	7	0.30(23-II-2)	-5.86(2)	1.38(23-I-2)	-90(22-II-1)	-35(23-I-2)	133(23-II-1)
54	8	-1.79(23-II-2)	-5.12(22-II-1)	1.07(23-I-2)	224(23-II-1)	163(23-II-1)	146(23-II-1)
54	9	-0.10(23-I-2)	-11.16(2)	1.09(23-I-2)	-33(22-II-1)	40(22-II-2)	166(23-II-1)
54	10	-0.10(23-II-2)	-10.83(2)	1.07(23-I-2)	-43(22-II-1)	-58(22-II-1)	157(23-II-1)
54	11	0.13(23-I-2)	-10.66(2)	0.98(23-I-2)	-39(22-II-1)	-48(23-I-3)	128(23-II-1)
54	12	-2.18(23-II-2)	-9.55(2)	1.43(23-I-2)	233(23-II-1)	202(22-II-1)	158(22-II-2)
54	13	-0.54(23-II-2)	-15.74(2)	0.42(23-I-2)	-4(22-II-1)	48(22-II-2)	120(23-II-1)
54	14	-1.18(23-II-2)	-15.52(2)	0.45(23-I-2)	-11(23-I-3)	-65(22-II-1)	112(23-II-1)
54	15	-0.96(2)	-15.13(2)	0.43(23-I-2)	-35(23-II-2)	-55(23-I-3)	96(23-II-1)
54	16	-1.78(23-I-2)	-16.06(23-II-2)	-2.51(23-II-2)	211(23-II-1)	260(23-II-1)	178(23-II-3)
55	1	1.52(23-I-2)	-4.01(22-II-1)	2.22(23-II-2)	400(23-II-1)	288(22-II-1)	132(23-I-1)
55	2	1.57(2)	-4.61(22-II-1)	2.86(23-II-2)	553(23-II-1)	480(22-II-1)	159(23-I-1)
55	3	3.48(23-II-2)	-5.08(22-II-1)	2.80(23-II-2)	656(23-II-1)	687(22-II-1)	175(22-I-2)
55	4	-11.47(23-I-2)	-4.31(22-II-1)	1.76(23-II-2)	730(23-II-1)	777(22-II-1)	169(22-I-2)
55	5	2.92(23-I-2)	-4.99(22-II-1)	2.65(23-II-2)	471(23-II-1)	332(22-II-1)	194(22-II-2)
55	6	1.97(2)	-5.08(22-II-1)	3.59(23-II-2)	589(23-II-1)	444(22-II-1)	223(22-II-2)
55	7	3.97(23-II-2)	-4.80(22-II-1)	3.32(23-II-2)	687(23-II-1)	607(22-II-1)	245(22-II-2)
55	8	-10.57(23-I-2)	-5.04(2)	1.92(23-II-2)	734(23-II-1)	814(22-II-1)	166(22-II-2)
55	9	4.67(23-I-2)	-7.90(2)	2.15(23-II-2)	506(23-II-1)	366(22-II-1)	221(22-II-2)
55	10	2.10(23-I-2)	-7.23(2)	3.35(23-II-2)	606(23-II-1)	439(22-II-1)	226(22-II-2)
55	11	4.94(23-II-2)	-6.30(2)	2.49(23-II-2)	680(23-II-1)	541(22-II-1)	225(22-II-2)
55	12	-10.81(23-I-2)	-5.05(2)	1.42(23-II-2)	702(23-II-1)	656(22-II-1)	132(22-II-2)
55	13	9.20(23-I-2)	-11.68(23-II-2)	1.59(23-II-2)	540(23-II-1)	366(22-II-1)	210(22-II-2)
55	14	2.25(2)	-7.12(2)	-1.64(23-I-2)	622(23-II-1)	405(22-II-1)	238(22-II-2)
55	15	5.08(23-II-2)	-5.39(2)	-1.46(23-I-2)	682(23-II-1)	461(22-II-1)	215(22-II-2)
55	16	12.07(23-II-2)	-4.18(2)	-1.16(23-I-2)	666(23-II-1)	500(22-II-1)	104(22-II-2)
56	1	11.92(23-I-2)	4.39(23-II-2)	-2.32(23-II-2)	620(23-II-1)	141(22-II-1)	195(22-II-2)
56	2	3.68(23-I-2)	-0.62(23-II-2)	-2.60(23-II-2)	584(23-II-1)	187(22-II-1)	209(22-II-2)
56	3	5.33(23-II-2)	-1.09(23-II-2)	-2.31(23-II-2)	563(23-II-1)	219(22-II-1)	178(22-II-2)
56	4	11.31(23-II-2)	-1.74(2)	-1.57(23-II-2)	545(23-II-1)	234(22-II-1)	86(22-II-2)

Muro	Pann.	Sxx	Syy	Sxy	Mxx	Myy	Mxy
56	5	7.31(23-I-2)	2.79(23-II-2)	-0.83(23-II-2)	-261(23-II-1)	-16(22-II-1)	93(22-II-2)
56	6	3.73(2)	-0.92(23-I-2)	-1.89(23-II-2)	-259(23-II-1)	7(23-I-1)	144(22-II-2)
56	7	3.23(23-II-2)	-0.55(23-I-2)	-2.12(23-II-2)	-264(23-II-1)	16(22-II-1)	141(22-II-2)
56	8	-7.07(23-I-2)	-0.17(22-I-1)	-1.53(23-II-2)	-267(23-II-1)	26(22-II-1)	83(22-II-2)
56	9	8.00(23-II-2)	3.25(22-II-2)	1.31(23-I-2)	-267(22-I-1)	-34(22-II-1)	85(22-II-2)
56	10	5.18(23-II-2)	-1.94(23-I-2)	1.68(23-I-2)	-271(22-I-1)	11(22-I-4)	104(22-II-2)
56	11	2.14(23-II-2)	-0.81(22-II-2)	1.90(23-I-2)	-276(22-I-1)	24(22-II-2)	111(22-II-2)
56	12	-2.29(22-I-1)	-0.60(23-II-2)	1.24(23-I-2)	-276(22-I-1)	45(22-II-2)	60(22-II-2)
56	13	11.64(23-II-2)	10.92(23-I-2)	-2.51(23-II-2)	-528(23-II-2)	209(22-II-1)	-212(23-I-2)
56	14	5.37(23-II-2)	2.99(23-II-2)	2.25(23-I-2)	-418(23-II-2)	226(22-II-2)	-142(22-II-1)
56	15	0.90(22-II-1)	-1.23(23-I-2)	1.89(23-I-2)	-402(23-II-2)	304(22-II-2)	-72(22-II-1)
56	16	5.25(23-I-2)	-2.57(23-I-2)	1.84(23-I-2)	-448(23-II-2)	378(22-II-2)	-104(23-II-1)
57	1	-8.75(23-II-2)	-34.07(23-II-2)	-9.25(23-II-2)	162(23-II-2)	1633(23-II-2)	258(22-II-2)
57	2	-1.08(2)	-29.34(23-II-2)	-4.33(23-II-2)	46(23-II-2)	826(23-II-2)	109(22-II-3)
57	3	-0.31(22-II-2)	-24.73(23-II-2)	-2.21(23-II-2)	25(23-II-2)	378(22-II-3)	-96(23-II-2)
57	4	-0.99(23-II-2)	-21.37(23-II-2)	-1.27(23-II-2)	4(22-II-4)	152(22-II-3)	-144(23-II-2)
57	5	-5.29(23-II-2)	-9.76(23-II-2)	-4.90(22-II-2)	140(23-II-2)	1163(23-II-2)	285(22-II-2)
57	6	-4.47(2)	-15.22(23-II-2)	-5.60(22-II-2)	64(23-II-2)	642(2)	157(22-II-3)
57	7	-2.58(22-II-2)	-15.86(23-II-2)	-4.08(23-II-2)	-14(22-II-4)	307(22-II-3)	-142(23-II-2)
57	8	-1.39(22-II-2)	-15.15(23-II-2)	-3.44(23-II-2)	-47(2)	114(22-I-3)	-220(23-II-2)
57	9	-3.54(22-II-2)	-4.93(23-II-2)	-2.61(23-I-2)	56(22-II-3)	809(2)	247(23-II-2)
57	10	-4.57(22-II-2)	-7.04(23-II-2)	-2.79(22-II-2)	-73(23-II-2)	438(22-II-2)	131(22-II-3)
57	11	-3.86(22-II-2)	-8.88(23-II-2)	-3.54(23-II-2)	-153(2)	189(22-II-2)	-170(23-II-2)
57	12	-2.35(22-II-2)	-9.52(23-II-2)	-3.94(23-II-2)	-207(2)	49(23-I-2)	-248(23-II-2)
57	13	-2.69(22-II-2)	-5.00(23-II-2)	2.90(23-II-2)	-99(2)	460(22-II-2)	139(23-II-2)
57	14	-5.08(22-II-2)	-4.30(23-II-2)	1.06(23-I-2)	-365(2)	257(22-II-2)	-188(22-I-3)
57	15	-3.74(22-II-2)	-5.39(2)	-2.83(23-II-2)	-499(2)	140(23-I-2)	-267(23-II-1)
57	16	-2.21(22-II-2)	-6.25(2)	-3.48(23-II-2)	-492(2)	-146(23-II-2)	-308(23-II-2)
58	1	1.11(23-II-2)	-16.16(23-II-2)	-0.98(23-II-2)	-12(2)	-94(23-II-2)	-169(23-II-2)
58	2	2.19(23-II-2)	-9.27(2)	-1.00(23-II-2)	-35(23-II-2)	-89(23-II-3)	-118(22-I-3)
58	3	-2.20(23-I-2)	-6.54(23-I-2)	-0.96(23-II-2)	77(23-II-2)	-102(22-I-2)	117(22-II-4)
58	4	-5.37(22-II-2)	-12.46(23-I-2)	4.90(23-I-2)	-508(23-II-2)	291(22-II-1)	362(23-II-1)
58	5	-0.34(22-II-2)	-12.06(23-II-2)	-2.93(23-II-2)	-72(2)	-94(23-II-2)	-234(23-II-2)
58	6	-0.18(23-I-2)	-8.21(2)	-2.77(23-II-2)	-61(23-II-2)	-77(23-II-3)	-168(22-I-3)
58	7	0.68(23-II-2)	-6.53(23-I-2)	-2.33(23-II-2)	-84(23-II-1)	-99(22-I-2)	166(22-II-4)
58	8	-5.79(23-I-2)	-5.36(23-I-2)	-2.61(23-II-2)	-491(23-II-2)	165(22-II-1)	240(23-II-1)
58	9	-0.49(22-II-2)	-8.52(2)	-3.91(23-II-2)	-179(2)	-95(23-II-2)	-239(23-II-2)
58	10	-0.08(23-II-2)	-7.26(2)	-3.80(23-II-2)	-104(23-II-2)	-58(22-II-4)	-173(22-I-3)
58	11	-0.29(23-II-2)	-5.96(2)	-3.76(23-II-2)	-179(23-II-1)	-80(22-I-2)	186(22-II-4)
58	12	-3.66(23-I-2)	-3.90(23-I-2)	-2.31(23-II-2)	-541(23-II-1)	137(22-II-2)	197(22-II-4)
58	13	-0.67(22-II-2)	-6.51(2)	-4.21(23-II-2)	-326(2)	-101(23-II-2)	-306(23-II-2)
58	14	-0.25(23-II-2)	-6.08(2)	-4.22(23-II-2)	-149(2)	-38(22-II-4)	-236(23-II-2)
58	15	-0.68(23-II-2)	-5.77(2)	-4.33(23-II-2)	-236(23-II-1)	-67(22-I-2)	233(22-II-3)
58	16	1.57(23-II-2)	-5.23(2)	-3.15(2)	-654(23-II-1)	191(22-II-2)	303(22-II-3)
59	1	-1.16(22-II-3)	-8.09(22-II-4)	3.02(22-II-4)	-389(23-II-4)	100(23-II-4)	131(23-I-4)
59	2	3.27(22-II-4)	-9.46(22-II-4)	4.75(22-II-4)	478(23-I-4)	104(2)	148(23-I-4)
59	3	10.44(22-II-4)	-9.95(22-II-4)	6.20(22-II-4)	614(23-I-4)	135(22-I-1)	173(23-I-4)
59	4	22.41(22-II-4)	-10.08(22-II-4)	7.69(22-II-4)	872(23-I-4)	275(22-I-1)	335(23-I-4)
59	5	-3.91(22-II-4)	-5.12(22-I-4)	2.74(22-II-4)	613(23-I-4)	145(22-I-4)	340(23-I-4)
59	6	1.19(22-II-4)	-6.03(22-I-4)	4.39(22-II-4)	762(23-I-4)	198(22-I-3)	373(23-I-4)
59	7	9.93(22-II-4)	-6.44(22-I-4)	4.72(22-II-4)	924(23-I-4)	347(23-I-4)	420(23-I-4)
59	8	23.00(22-II-4)	-7.21(22-I-4)	3.94(22-II-4)	994(23-I-4)	751(23-I-4)	461(23-I-4)
59	9	-6.94(22-II-4)	-10.59(22-I-4)	1.59(22-I-4)	694(23-I-4)	232(22-I-4)	515(23-I-4)
59	10	-1.06(22-II-3)	-10.90(22-I-4)	3.05(22-II-4)	808(23-I-4)	287(22-I-3)	517(23-I-4)
59	11	10.31(22-II-4)	-10.39(22-I-4)	2.93(22-II-4)	884(23-I-4)	417(23-I-4)	546(23-I-4)
59	12	23.84(22-II-4)	-9.74(22-I-4)	2.45(22-II-4)	863(23-I-4)	768(23-I-4)	406(23-I-4)
59	13	-15.34(22-II-4)	-12.98(2)	-0.94(22-I-4)	722(23-I-4)	300(22-I-4)	550(23-I-4)
59	14	1.96(22-I-3)	-9.49(22-I-4)	-2.18(22-I-4)	696(23-I-4)	327(22-I-4)	612(23-I-4)
59	15	10.87(22-II-4)	-8.54(22-I-4)	-1.84(22-I-4)	724(23-I-4)	395(22-I-3)	568(23-I-4)
59	16	24.12(22-II-4)	-7.23(22-I-4)	-1.20(22-I-4)	624(23-I-4)	572(23-I-4)	218(23-I-4)
60	1	-19.32(22-II-4)	1.90(22-II-4)	-6.26(22-II-4)	317(23-II-1)	155(23-I-4)	430(23-I-4)
60	2	3.91(22-I-4)	-2.85(22-II-4)	-6.59(22-II-4)	341(23-II-1)	184(22-I-3)	488(23-I-4)
60	3	10.17(22-II-4)	-2.85(22-II-4)	-5.97(22-II-1)	375(23-II-1)	234(22-I-4)	455(23-I-4)
60	4	23.03(22-II-4)	-2.97(2)	-4.45(22-II-4)	396(23-II-1)	279(22-I-4)	120(22-I-3)
60	5	12.22(2)	-1.49(22-I-4)	-1.54(22-II-4)	-1362(23-I-4)	-12(22-I-3)	93(23-II-4)
60	6	4.65(2)	-0.96(22-I-4)	-4.71(22-II-4)	-1392(23-I-4)	59(23-I-4)	146(23-II-4)

Muro	Pann.	Sxx	Syy	Sxy	Mxx	Myy	Mxy
60	7	-8.02(22-I-4)	-1.46(2)	-5.39(22-II-4)	-1444(23-I-4)	108(22-I-4)	140(23-II-4)
60	8	-18.51(22-I-4)	-1.48(2)	-4.03(22-II-4)	-1440(23-I-4)	150(22-II-4)	81(22-I-1)
60	9	18.11(22-II-4)	-1.26(2)	1.52(22-I-4)	-1372(23-I-4)	-24(23-I-4)	-114(23-I-4)
60	10	11.00(22-II-4)	-0.87(2)	4.72(22-I-4)	-1403(23-I-4)	50(22-I-4)	-176(23-I-4)
60	11	-6.51(22-I-4)	-1.41(2)	5.54(22-I-4)	-1450(23-I-4)	105(22-I-4)	-174(23-I-4)
60	12	-9.45(2)	-1.52(22-II-4)	4.10(22-I-4)	-1445(23-I-4)	165(23-II-4)	-86(23-I-4)
60	13	-26.33(22-I-4)	1.81(22-I-4)	7.42(22-I-4)	413(23-I-4)	200(23-I-4)	-486(23-I-4)
60	14	-12.62(22-I-4)	-3.84(22-I-4)	7.23(22-I-4)	451(23-I-4)	184(23-I-4)	-531(23-I-4)
60	15	2.38(22-II-4)	-4.26(22-I-4)	6.00(22-I-4)	502(23-II-4)	220(22-I-4)	-489(23-I-4)
60	16	9.19(22-I-4)	-3.69(22-I-4)	3.66(22-I-4)	528(23-II-4)	266(23-II-4)	-112(23-I-4)
61	1	-20.59(22-I-4)	-11.12(22-I-4)	1.61(2)	865(23-I-4)	432(23-I-4)	-796(23-I-4)
61	2	8.21(22-II-4)	-7.76(22-I-4)	2.94(22-II-4)	682(23-I-4)	353(23-I-4)	-814(23-I-4)
61	3	4.16(2)	-4.60(2)	3.06(22-II-4)	600(23-I-4)	333(2)	-740(23-I-4)
61	4	15.64(22-I-4)	-3.63(2)	2.37(22-II-4)	602(23-I-4)	350(2)	-194(23-I-4)
61	5	-10.96(22-I-4)	-5.22(2)	1.33(10)	937(23-I-4)	407(23-I-4)	-939(23-I-4)
61	6	6.71(22-II-4)	-4.30(2)	2.89(22-II-4)	957(23-I-4)	412(23-I-4)	-873(23-I-4)
61	7	4.52(2)	-3.57(22-II-4)	3.20(22-II-4)	936(23-I-4)	361(23-I-4)	-817(23-I-4)
61	8	12.53(22-I-4)	-3.09(22-II-4)	2.07(22-II-4)	1040(23-I-4)	340(2)	-234(23-I-4)
61	9	-7.25(22-I-4)	-4.15(22-II-4)	2.04(22-II-4)	1294(23-I-4)	421(23-I-4)	-819(23-I-4)
61	10	5.32(22-II-4)	-4.54(22-II-4)	2.58(22-II-4)	1399(23-I-4)	445(23-I-4)	-850(23-I-4)
61	11	4.32(23-I-3)	-4.54(22-II-4)	2.46(22-II-4)	1450(23-I-4)	405(23-I-4)	-804(23-I-4)
61	12	9.50(22-I-3)	-4.11(22-II-4)	1.63(22-II-4)	1579(23-I-4)	279(23-I-4)	-125(23-II-4)
61	13	-5.35(22-I-4)	-3.91(2)	3.22(22-II-4)	1746(23-I-4)	315(23-I-4)	-549(23-I-4)
61	14	5.64(22-II-4)	-5.40(22-II-4)	3.54(22-II-4)	2223(23-I-4)	449(23-I-4)	-610(23-I-4)
61	15	5.73(22-II-4)	-6.35(22-II-4)	-2.57(22-I-4)	2694(23-I-4)	470(23-I-4)	-645(23-I-4)
61	16	8.38(22-I-3)	-6.73(22-II-4)	1.22(22-I-3)	2510(23-I-4)	278(23-I-4)	-166(23-II-4)
62	1	-1.64(22-I-4)	-4.75(2)	-2.89(22-I-4)	1098(23-I-4)	177(23-I-4)	248(23-I-4)
62	2	4.57(22-II-4)	-5.03(2)	3.62(22-II-4)	1383(23-I-4)	292(23-I-4)	275(23-I-4)
62	3	8.80(22-II-4)	-5.50(2)	3.97(22-II-4)	1676(23-I-4)	387(23-I-4)	321(23-I-4)
62	4	15.00(22-II-4)	-4.55(2)	3.12(22-II-4)	1845(23-I-4)	551(23-I-4)	400(23-I-4)
62	5	-1.51(22-II-2)	-4.68(2)	-2.83(22-I-4)	1054(23-I-4)	269(23-I-4)	512(23-I-4)
62	6	3.13(22-II-4)	-5.00(22-I-4)	3.93(22-II-4)	1226(23-I-4)	341(23-I-4)	557(23-I-4)
62	7	9.44(22-II-4)	-4.77(22-I-4)	4.23(22-II-4)	1377(23-I-4)	498(23-I-4)	597(23-I-4)
62	8	17.57(22-II-4)	-4.84(22-I-4)	2.97(22-II-4)	1426(23-I-4)	821(23-I-4)	464(23-I-4)
62	9	-5.16(22-II-3)	-6.17(2)	-2.05(22-I-4)	898(23-I-4)	309(23-I-4)	711(23-I-4)
62	10	-1.45(22-I-4)	-5.24(2)	3.55(22-II-4)	989(23-I-4)	388(23-I-4)	690(23-I-4)
62	11	10.12(22-II-4)	-4.40(2)	3.54(22-II-4)	1027(23-I-4)	505(23-I-4)	683(23-I-4)
62	12	20.50(22-II-4)	-3.84(22-I-4)	2.55(22-II-4)	1002(23-I-4)	685(23-I-4)	411(23-I-4)
62	13	-13.52(22-II-4)	-11.55(22-II-4)	-2.23(22-I-4)	840(23-I-4)	381(23-I-4)	687(23-I-4)
62	14	-1.07(22-I-4)	-8.02(22-II-4)	-3.11(22-I-4)	737(23-I-4)	365(23-I-4)	717(23-I-4)
62	15	10.54(22-II-4)	-5.18(2)	-3.05(22-I-4)	698(23-I-4)	400(23-I-4)	652(23-I-4)
62	16	22.84(22-II-4)	-3.91(2)	-2.36(22-I-4)	606(23-I-4)	457(23-I-4)	244(23-I-4)
63	1	-17.39(22-II-4)	2.80(22-II-4)	-6.59(22-II-4)	284(22-II-1)	190(23-I-4)	458(23-I-4)
63	2	-3.96(22-II-3)	-3.16(22-II-4)	-6.68(22-II-4)	266(22-II-1)	195(23-I-4)	498(23-I-4)
63	3	8.10(22-II-4)	-3.74(22-II-4)	-5.76(22-II-4)	301(23-II-4)	222(2)	456(23-I-4)
63	4	19.10(22-II-4)	-3.54(22-II-4)	-3.78(22-II-4)	334(23-II-4)	251(2)	121(23-I-4)
63	5	10.55(2)	-2.19(22-I-4)	-1.46(22-II-4)	-1277(23-I-4)	-20(23-I-4)	96(23-I-3)
63	6	3.83(22-II-4)	-0.95(2)	-4.29(22-II-4)	-1305(23-I-4)	49(23-I-4)	153(23-I-3)
63	7	-6.31(22-I-4)	-1.44(2)	-4.99(22-II-4)	-1349(23-I-4)	89(2)	150(23-I-3)
63	8	-14.23(22-I-4)	-1.53(2)	-3.75(22-II-4)	-1347(23-I-4)	148(23-II-4)	73(23-I-3)
63	9	17.04(22-II-4)	-1.93(2)	1.35(22-I-4)	-1399(23-I-4)	-16(23-I-4)	-89(23-I-3)
63	10	9.66(22-II-4)	-0.91(2)	4.34(22-I-4)	-1425(23-I-4)	50(23-I-4)	-138(23-I-3)
63	11	-4.96(22-I-4)	-1.37(2)	5.10(22-I-4)	-1470(23-I-4)	92(23-I-4)	-135(23-I-3)
63	12	-8.31(2)	-1.45(2)	3.84(22-I-4)	-1465(23-I-4)	149(23-II-4)	-73(23-I-3)
63	13	-26.51(22-I-4)	2.14(22-I-4)	7.26(22-I-4)	526(23-II-4)	161(23-I-4)	-390(23-I-4)
63	14	-12.02(22-I-4)	-3.77(22-I-4)	6.85(22-I-4)	-574(23-I-4)	175(2)	-437(23-I-4)
63	15	1.43(23-II-4)	-4.26(22-I-4)	5.59(22-I-4)	-640(23-I-4)	217(2)	-405(23-I-4)
63	16	11.32(22-I-4)	-3.74(22-I-4)	3.36(22-I-4)	-667(23-I-4)	266(23-II-4)	-99(23-I-3)
64	1	-20.09(22-I-4)	-10.10(22-I-4)	1.41(2)	-520(23-II-4)	353(23-I-4)	-636(23-I-4)
64	2	6.64(22-II-4)	-7.48(22-I-4)	2.74(22-II-4)	-384(23-II-4)	296(2)	-667(23-I-4)
64	3	4.43(2)	-4.92(2)	2.91(22-II-4)	321(23-I-4)	318(2)	-619(23-I-4)
64	4	17.16(22-I-4)	-3.77(2)	2.29(22-II-4)	336(23-I-4)	344(2)	-173(23-I-3)
64	5	-10.14(22-I-4)	-5.37(2)	0.91(10)	597(23-I-4)	321(23-I-4)	-784(23-I-4)
64	6	5.18(22-II-4)	-4.50(22-II-4)	-2.47(22-I-4)	601(23-I-4)	315(23-I-4)	-740(23-I-4)
64	7	4.56(2)	-3.87(22-II-4)	-2.70(22-I-4)	578(23-I-4)	284(2)	-704(23-I-4)
64	8	13.76(22-I-3)	-3.17(22-II-4)	1.85(22-II-4)	648(23-I-4)	338(23-II-4)	-234(23-I-3)

Muro	Pann.	Sxx	Syy	Sxy	Mxx	Myy	Mxy
64	9	-6.30(22-I-4)	-4.86(22-II-4)	1.38(22-II-4)	899(23-I-4)	329(23-I-4)	-712(23-I-4)
64	10	3.90(22-II-4)	-5.17(22-II-4)	-2.36(22-I-4)	964(23-I-4)	332(23-I-4)	-737(23-I-4)
64	11	4.07(2)	-4.90(22-II-4)	-2.41(22-I-4)	993(23-I-4)	286(23-I-4)	-704(23-I-4)
64	12	10.73(22-I-3)	-4.49(22-II-4)	1.19(22-II-4)	1091(23-I-4)	278(23-II-4)	-149(23-I-4)
64	13	-4.50(22-I-4)	-4.56(22-II-4)	2.57(22-II-4)	1291(23-I-4)	242(23-I-4)	-537(23-I-3)
64	14	4.50(22-II-4)	-6.25(22-II-4)	-3.23(22-I-4)	1643(23-I-4)	331(23-I-4)	-581(23-I-3)
64	15	3.79(22-II-4)	-7.43(22-II-4)	-2.34(22-I-4)	1989(23-I-4)	318(23-I-4)	-608(23-I-3)
64	16	9.83(22-I-3)	-7.43(22-II-4)	-1.64(22-II-3)	1831(23-I-4)	165(23-I-4)	-174(23-I-4)
65	1	-0.45(22-I-4)	3.44(22-I-4)	-4.36(22-I-4)	-30(22-I-4)	-167(23-II-4)	-198(23-II-4)
65	2	-0.42(22-I-4)	2.93(22-I-4)	-3.48(22-I-4)	-50(22-I-4)	-186(23-II-4)	-147(23-II-4)
65	3	-0.50(22-I-4)	2.90(22-I-4)	-2.75(22-I-4)	-53(22-I-4)	237(23-I-4)	-131(23-II-4)
65	4	-0.51(22-I-4)	2.82(22-I-4)	-2.18(22-I-4)	74(22-II-1)	280(23-I-4)	-105(23-II-4)
65	5	-0.88(22-I-4)	-2.30(22-II-4)	-3.62(22-I-4)	23(23-II-4)	158(23-I-4)	-280(23-II-4)
65	6	-1.68(22-I-4)	-2.46(22-II-4)	-2.55(22-I-4)	40(23-II-4)	254(23-I-4)	-275(23-II-4)
65	7	-1.83(22-I-4)	-2.62(2)	-1.71(22-I-3)	50(23-II-4)	299(23-I-4)	-250(23-II-4)
65	8	-1.38(22-I-4)	-3.36(2)	-1.33(22-I-3)	57(23-II-4)	320(23-I-4)	-223(23-II-4)
65	9	-2.42(22-I-4)	-5.06(2)	-0.84(22-II-3)	54(23-I-4)	467(23-I-4)	-235(23-II-4)
65	10	-3.13(22-I-4)	-7.67(2)	1.22(22-I-4)	41(2)	399(23-I-4)	-237(23-II-4)
65	11	-2.25(22-I-4)	-9.00(2)	1.19(22-I-4)	38(2)	359(23-I-4)	-227(23-II-4)
65	12	-1.28(22-I-4)	-9.67(2)	0.88(22-I-3)	38(23-II-4)	329(23-I-4)	-215(23-II-4)
65	13	-4.39(22-I-4)	-19.73(2)	5.00(23-I-4)	73(23-I-4)	724(23-I-4)	-186(22-I-4)
65	14	-1.41(22-I-4)	-19.54(2)	3.07(22-I-4)	31(23-I-4)	523(23-I-4)	-176(23-II-4)
65	15	-0.66(22-I-4)	-18.30(2)	1.48(22-I-4)	19(2)	411(23-I-4)	-173(23-II-4)
65	16	-0.37(22-I-4)	-17.60(2)	0.76(22-I-4)	16(2)	350(23-I-4)	-164(23-II-4)
66	1	0.26(22-II-4)	2.75(22-I-4)	-1.43(22-I-3)	113(22-II-1)	264(23-I-4)	-105(23-II-4)
66	2	0.62(22-I-4)	-2.83(22-II-4)	-0.84(22-II-3)	121(22-II-1)	149(23-I-4)	-91(23-II-4)
66	3	-2.14(22-II-4)	-3.98(22-II-4)	-0.81(22-II-4)	-127(23-II-4)	15(23-II-4)	99(23-I-4)
66	4	-4.97(22-II-4)	-5.40(22-II-4)	0.92(22-II-4)	-290(23-II-4)	78(23-II-4)	111(23-I-4)
66	5	-0.40(22-I-4)	-4.68(2)	-1.09(22-I-4)	73(22-II-1)	272(23-I-4)	-173(23-II-4)
66	6	0.12(22-II-3)	-5.73(2)	-0.85(22-I-4)	84(22-II-1)	156(23-I-4)	-137(23-II-4)
66	7	-1.27(22-II-4)	-5.87(2)	-0.98(22-II-4)	140(23-I-4)	44(23-I-4)	164(23-I-4)
66	8	-6.58(22-II-4)	-4.27(2)	1.26(22-I-4)	368(23-I-4)	83(22-I-4)	247(23-I-4)
66	9	-0.41(22-I-4)	-10.76(2)	0.66(22-II-4)	40(22-II-1)	273(23-I-4)	-184(23-II-4)
66	10	-0.22(2)	-11.17(2)	0.73(22-II-4)	46(22-II-1)	169(23-I-4)	-162(23-II-4)
66	11	-0.85(22-II-4)	-11.68(2)	-0.81(22-II-4)	106(23-I-4)	83(23-I-4)	213(23-I-4)
66	12	-7.26(22-II-4)	-9.63(2)	-3.09(22-II-4)	392(23-I-4)	143(22-I-4)	387(23-I-4)
66	13	-0.26(22-II-4)	-16.99(2)	0.40(22-II-4)	13(23-II-4)	275(23-I-4)	-161(23-II-4)
66	14	-0.90(22-II-4)	-16.65(2)	0.41(22-II-4)	21(23-I-4)	176(23-I-4)	-146(23-II-4)
66	15	-1.54(22-II-4)	-17.06(22-I-4)	0.49(22-II-4)	22(23-II-4)	111(23-I-4)	185(23-I-4)
66	16	-3.17(2)	-18.92(2)	-6.12(22-II-4)	356(23-I-4)	245(23-I-4)	541(23-I-4)
67	1	-9.31(22-II-4)	-26.28(22-II-4)	-11.94(22-II-4)	130(22-II-4)	1218(22-II-4)	298(2)
67	2	-3.20(22-II-4)	-24.48(22-II-4)	-7.95(22-II-4)	59(22-II-4)	748(22-II-4)	218(23-II-4)
67	3	-1.29(22-II-4)	-19.26(22-II-4)	-4.77(22-II-4)	36(22-II-4)	448(22-II-4)	175(23-II-4)
67	4	-1.14(22-II-4)	-14.61(22-II-4)	-3.06(22-II-4)	23(2)	257(22-II-4)	151(23-II-4)
67	5	-4.79(22-II-4)	-2.69(22-I-4)	-4.76(2)	93(22-II-4)	733(22-II-4)	349(23-II-4)
67	6	-6.33(22-II-4)	-6.51(2)	-7.24(22-II-4)	68(22-II-4)	517(22-II-4)	277(23-II-4)
67	7	-4.81(22-II-4)	-8.01(2)	-6.85(22-II-4)	54(23-I-4)	327(22-II-4)	223(23-II-4)
67	8	-3.13(22-II-4)	-8.54(2)	-5.65(22-II-4)	47(23-I-4)	196(23-I-4)	190(23-II-4)
67	9	-2.39(2)	-1.17(22-I-4)	-2.38(2)	39(23-I-4)	350(22-II-4)	321(23-II-4)
67	10	-4.32(2)	-1.73(2)	-3.14(2)	-43(23-II-4)	260(22-II-4)	255(23-II-4)
67	11	-5.03(2)	-3.29(2)	-4.12(22-II-4)	-75(23-II-4)	176(23-I-4)	201(23-I-4)
67	12	-4.49(2)	-4.53(2)	-4.51(22-II-4)	-102(23-II-4)	115(23-I-4)	169(23-I-4)
67	13	-1.79(2)	0.49(23-II-4)	-1.75(22-I-4)	-66(23-II-4)	181(23-I-4)	291(23-II-4)
67	14	-4.02(2)	-0.80(23-I-4)	-1.11(2)	-180(2)	-131(23-II-4)	259(23-II-4)
67	15	-4.69(2)	-2.26(2)	-1.87(22-II-4)	-253(2)	-152(23-II-4)	221(23-I-4)
67	16	-4.58(2)	-3.54(2)	-2.62(22-II-4)	-266(2)	-126(23-II-4)	220(23-I-4)
68	1	0.28(22-II-4)	-9.72(2)	-1.43(22-II-4)	12(23-I-4)	122(23-I-4)	-176(23-I-4)
68	2	1.12(22-II-4)	-7.15(2)	-0.64(22-II-4)	-47(23-II-4)	-195(23-II-4)	-255(23-I-4)
68	3	-2.13(22-I-4)	-7.50(22-I-4)	-0.25(22-II-4)	-11(23-I-4)	265(23-I-4)	-393(23-I-4)
68	4	-3.91(22-I-4)	-17.64(22-I-4)	8.03(22-I-4)	487(23-I-4)	580(23-I-4)	-914(23-I-4)
68	5	-1.40(2)	-8.29(2)	-3.56(22-II-4)	-67(23-II-4)	-120(23-II-4)	-207(23-I-4)
68	6	-0.55(2)	-7.31(2)	-1.87(22-II-4)	-138(23-II-4)	-164(23-II-4)	-293(23-I-4)
68	7	-0.80(22-I-4)	-8.26(22-I-4)	2.77(22-I-4)	-269(23-II-4)	206(23-I-4)	-455(23-I-4)
68	8	-8.58(22-I-4)	-7.31(22-I-4)	5.23(22-I-4)	641(23-I-4)	394(23-I-4)	-773(23-I-4)
68	9	-2.48(2)	-6.47(2)	-3.88(22-II-4)	-153(23-II-4)	-117(23-II-4)	-196(23-I-4)
68	10	-1.01(2)	-7.09(2)	-2.80(22-II-4)	-243(23-II-4)	-126(23-II-4)	-258(23-I-4)

Muro	Pann.	Sxx	Syy	Sxy	Mxx	Myy	Mxy
68	11	-1.47(2)	-6.84(2)	3.52(22-I-4)	-437(23-II-4)	122(23-I-4)	-360(23-I-4)
68	12	-7.74(22-I-4)	-4.97(2)	2.57(22-I-4)	882(23-I-4)	266(23-I-4)	-592(23-I-4)
68	13	-3.15(2)	-5.41(2)	-3.24(22-II-4)	-256(23-II-4)	-125(23-II-4)	221(23-II-4)
68	14	-1.45(2)	-6.45(2)	-3.24(22-II-4)	-308(23-II-4)	-102(23-II-4)	225(23-II-4)
68	15	-1.94(2)	-6.10(2)	3.42(22-I-4)	-548(23-II-4)	60(23-I-4)	-268(23-I-4)
68	16	-5.34(22-I-4)	-4.80(2)	1.04(10)	-1100(23-II-4)	161(23-I-4)	-403(23-I-4)
69	1	-1.07(2)	2.19(22-I-4)	-1.17(22-I-4)	-70(2)	179(23-I-4)	-177(23-II-4)
69	2	-2.06(2)	-1.82(22-II-4)	-0.21(22-II-4)	-220(2)	-133(23-II-4)	-152(23-II-4)
69	3	-2.98(2)	-2.38(2)	1.08(22-I-4)	-308(2)	-151(23-II-4)	-123(23-II-4)
69	4	-3.37(2)	-3.59(2)	1.98(22-I-4)	-334(2)	-124(23-II-4)	-112(23-II-4)
69	5	-1.59(22-I-4)	-2.24(22-II-4)	0.79(2)	29(23-I-3)	321(23-I-3)	-246(23-II-4)
69	6	-3.17(22-I-4)	-2.34(22-II-4)	2.19(22-I-4)	-37(23-II-4)	221(23-I-3)	-203(23-II-4)
69	7	-3.96(22-I-4)	-3.23(2)	3.51(22-I-4)	-69(2)	135(23-I-3)	-163(23-II-4)
69	8	-3.64(2)	-4.35(2)	4.03(22-I-4)	-104(2)	-90(23-II-3)	156(23-I-4)
69	9	-4.23(22-I-4)	-3.44(22-II-4)	3.78(22-I-4)	77(2)	595(2)	-267(23-II-4)
69	10	-5.77(22-I-4)	-6.25(2)	6.47(22-I-4)	55(2)	400(22-I-4)	-223(23-II-4)
69	11	-4.39(22-I-4)	-7.63(2)	6.37(22-I-4)	40(23-I-4)	243(23-I-3)	-186(23-II-4)
69	12	-2.96(22-I-4)	-8.20(2)	5.39(22-I-4)	27(23-I-4)	146(23-I-3)	-161(23-II-4)
69	13	-7.93(22-I-4)	-24.91(22-I-4)	10.71(22-I-4)	105(22-I-4)	978(22-I-4)	-228(2)
69	14	-2.97(22-I-4)	-23.18(22-I-4)	7.50(22-I-4)	49(22-I-4)	595(22-I-4)	-178(23-II-4)
69	15	-1.28(22-I-4)	-18.45(22-I-4)	4.60(22-I-4)	30(22-I-4)	345(22-I-4)	-148(23-II-4)
69	16	-1.06(22-I-4)	-14.08(22-I-4)	3.06(22-I-4)	19(2)	197(23-I-3)	-130(23-II-4)
70	1	-2.96(2)	-5.27(2)	2.68(22-I-4)	-285(2)	-117(23-II-4)	128(23-I-4)
70	2	-2.00(2)	-6.40(2)	-2.94(22-II-4)	-277(23-II-4)	-89(23-II-4)	-168(23-II-4)
70	3	-2.23(2)	-6.13(2)	-3.27(22-II-4)	-449(23-II-4)	-39(23-II-4)	-201(23-II-4)
70	4	-2.57(10)	-5.09(2)	-1.28(2)	-760(23-II-4)	95(23-I-4)	-203(23-II-4)
70	5	-2.35(2)	-6.31(2)	3.60(22-I-4)	-139(23-II-4)	-106(23-II-4)	207(23-I-4)
70	6	-1.20(2)	-7.23(2)	-2.61(22-II-4)	-210(23-II-4)	-105(23-II-4)	225(23-I-4)
70	7	-1.58(2)	-7.14(2)	-3.81(22-II-4)	-355(23-II-4)	-67(23-II-4)	260(23-I-4)
70	8	-4.84(22-II-4)	-5.66(2)	-2.10(22-II-4)	-682(23-II-4)	161(23-I-4)	375(23-I-4)
70	9	-1.35(2)	-8.22(2)	3.52(22-I-4)	-60(23-II-4)	-106(23-II-4)	207(23-I-4)
70	10	-0.67(2)	-7.63(2)	1.93(22-I-4)	-117(23-II-4)	-136(23-II-4)	249(23-I-4)
70	11	-0.85(22-II-4)	-8.45(2)	-3.32(22-II-4)	-221(23-II-4)	-121(23-II-4)	333(23-I-4)
70	12	-6.66(22-II-4)	-7.70(2)	-4.34(22-II-4)	560(23-I-4)	265(23-I-4)	556(23-I-4)
70	13	0.17(2)	-9.88(2)	1.50(22-I-4)	-7(23-II-4)	-105(23-II-4)	177(23-I-4)
70	14	0.79(22-I-4)	-7.64(2)	0.73(22-I-4)	-40(23-II-4)	-160(23-II-4)	218(23-I-4)
70	15	-1.89(22-II-4)	-8.74(22-II-4)	-0.57(22-II-4)	-13(23-I-4)	-163(23-II-4)	295(23-I-4)
70	16	-4.24(22-II-4)	-18.73(22-II-4)	-7.18(22-II-4)	445(23-I-4)	438(23-I-4)	733(23-I-4)
71	1	-8.38(22-II-4)	-23.13(22-II-4)	-10.73(22-II-4)	114(22-II-4)	1068(22-II-4)	283(2)
71	2	-3.13(22-II-4)	-22.07(22-II-4)	-7.31(22-II-4)	53(2)	666(22-II-4)	228(23-II-4)
71	3	-1.27(22-II-4)	-17.62(22-II-4)	-4.40(22-II-4)	36(2)	420(23-I-4)	197(23-II-4)
71	4	-1.05(22-II-4)	-13.56(22-II-4)	-2.83(22-II-4)	26(2)	278(23-I-4)	176(23-II-4)
71	5	-4.21(22-II-4)	-3.36(22-I-4)	-3.79(22-II-4)	92(2)	703(2)	332(23-II-3)
71	6	-5.74(22-II-4)	-5.96(2)	-6.19(22-II-4)	72(2)	478(2)	290(23-II-4)
71	7	-4.49(22-II-4)	-7.26(2)	-6.01(22-II-4)	58(23-I-4)	328(23-I-4)	252(23-II-4)
71	8	-2.96(22-II-4)	-7.80(2)	-5.00(22-II-4)	48(23-I-3)	222(23-I-4)	223(23-II-4)
71	9	-1.91(22-II-4)	-2.06(22-I-4)	-1.46(2)	46(23-I-4)	453(2)	313(23-II-4)
71	10	-3.57(22-II-4)	-2.24(2)	-2.18(22-II-4)	27(23-I-3)	295(23-I-4)	276(23-II-4)
71	11	-4.20(22-II-4)	-3.41(2)	-3.30(22-II-4)	-54(23-II-3)	203(23-I-4)	238(23-II-4)
71	12	-3.62(2)	-4.34(2)	-3.72(22-II-4)	-84(23-II-4)	-142(23-II-4)	204(23-II-4)
71	13	-1.37(2)	-0.88(2)	-1.11(22-I-4)	-37(22-II-4)	258(2)	263(23-II-4)
71	14	-2.99(2)	-1.56(2)	-0.62(23-II-3)	-163(2)	141(23-I-4)	249(23-II-4)
71	15	-3.57(2)	-2.64(2)	-1.29(22-II-4)	-262(2)	-140(23-II-4)	226(23-II-4)
71	16	-3.64(2)	-3.50(2)	-1.96(22-II-4)	-306(2)	-176(23-II-4)	224(23-II-4)
72	1	0.22(22-II-4)	-9.39(2)	-1.29(22-II-4)	12(23-I-4)	-153(23-II-4)	-209(23-I-4)
72	2	0.89(22-II-4)	-7.55(2)	-0.51(22-II-4)	-39(23-II-4)	-205(23-II-4)	-281(23-I-4)
72	3	-1.98(22-I-4)	-8.04(2)	0.29(22-I-4)	-14(23-II-3)	208(23-I-4)	-382(23-I-3)
72	4	-4.08(22-I-4)	-17.12(22-I-4)	7.99(22-I-4)	321(23-I-4)	463(23-I-4)	-730(23-I-4)
72	5	-1.24(2)	-7.90(2)	-3.10(22-II-4)	-55(23-II-4)	-164(23-II-4)	-242(23-I-4)
72	6	-0.61(2)	-7.46(2)	-1.47(22-II-4)	-123(23-II-4)	-176(23-II-4)	-323(23-I-4)
72	7	-0.90(22-I-4)	-8.39(2)	2.82(22-I-4)	-220(23-II-4)	163(23-I-4)	-436(23-I-3)
72	8	-8.45(22-I-4)	-7.31(2)	5.09(22-I-4)	-434(23-II-4)	318(23-I-4)	-658(23-I-4)
72	9	-2.12(2)	-6.12(2)	-3.21(22-II-4)	-143(23-II-4)	-178(23-II-4)	-235(23-I-4)
72	10	-1.02(2)	-7.00(2)	2.31(22-I-4)	-224(23-II-4)	-139(23-II-4)	-296(23-I-4)
72	11	-1.55(22-I-4)	-7.01(2)	3.41(22-I-4)	-359(23-II-4)	101(23-I-4)	-369(23-I-4)
72	12	-7.46(22-I-4)	-5.14(2)	2.40(22-I-4)	-652(23-II-4)	220(23-I-4)	-544(23-I-3)

Muro	Pann.	Sxx	Syy	Sxy	Mxx	Myy	Mxy
72	13	-2.74(2)	-4.95(2)	-2.52(22-II-4)	-290(23-II-4)	-190(23-II-4)	234(23-II-4)
72	14	-1.53(2)	-6.13(2)	2.92(22-I-4)	-291(23-II-4)	-114(23-II-4)	-264(23-I-4)
72	15	-1.93(2)	-5.95(2)	3.21(22-I-4)	-448(23-II-4)	-56(23-II-4)	-302(23-I-4)
72	16	-5.06(22-I-4)	-4.78(2)	1.01(23-II-4)	-866(23-II-4)	136(23-I-4)	-419(23-I-4)
73	1	-2.12(23-II-4)	-0.36(23-I-1)	0.70(2)	-1135(22-I-1)	-622(23-II-1)	276(22-I-4)
73	2	-2.22(2)	-0.35(23-I-1)	0.73(23-I-1)	-871(22-I-1)	-190(23-II-1)	341(22-I-4)
73	3	-2.32(2)	-0.43(23-I-1)	0.66(23-I-1)	-527(22-I-1)	275(2)	318(22-I-4)
73	4	-2.65(22-I-1)	-0.44(23-I-1)	0.60(23-I-1)	177(22-II-1)	866(23-II-4)	286(22-I-4)
73	5	-1.86(23-I-4)	-0.56(23-I-1)	0.66(23-I-1)	-1501(22-I-1)	-661(23-II-1)	385(22-I-4)
73	6	-2.32(2)	-0.51(23-I-1)	0.72(23-I-1)	-1104(22-I-1)	-204(23-II-1)	493(22-I-4)
73	7	-2.36(2)	-0.48(23-I-1)	0.66(2)	-675(22-I-1)	187(2)	460(22-I-4)
73	8	-2.60(22-I-1)	-0.49(23-I-1)	0.64(22-II-1)	-251(22-I-1)	735(23-II-4)	383(22-I-4)
73	9	-1.90(23-I-1)	-0.75(23-I-1)	0.66(23-I-1)	-1969(23-II-1)	-619(23-II-1)	575(22-I-1)
73	10	-2.33(2)	-0.58(23-I-1)	0.67(23-I-1)	-1345(23-II-1)	-214(23-II-1)	726(22-I-1)
73	11	-2.45(2)	-0.45(23-I-1)	0.73(2)	-822(23-II-1)	81(23-II-3)	673(23-II-3)
73	12	-2.52(22-I-1)	-0.52(2)	0.75(22-II-1)	-344(22-I-1)	488(23-II-4)	534(22-I-4)
73	13	-2.03(23-I-1)	-0.64(23-I-1)	0.54(23-I-1)	-2475(23-II-1)	-452(23-II-1)	898(23-II-3)
73	14	-2.50(2)	-0.44(23-I-1)	0.62(2)	-1543(23-II-1)	-210(23-II-1)	993(23-II-3)
73	15	-2.51(2)	-0.39(2)	0.80(2)	-1014(23-II-1)	-61(23-II-1)	896(23-II-3)
73	16	-2.42(2)	-0.44(2)	0.88(22-II-1)	-528(23-II-1)	124(23-II-4)	686(22-I-1)
74	1	0.17(23-II-1)	-2.64(23-II-4)	-0.52(2)	-408(23-II-4)	-531(22-I-1)	-163(22-II-4)
74	2	0.17(22-I-1)	-2.94(23-II-1)	-0.34(23-I-1)	-216(22-I-1)	253(22-II-1)	264(22-I-1)
74	3	0.16(22-I-1)	-3.00(23-II-1)	-0.27(23-I-1)	-275(22-I-1)	439(22-II-1)	396(22-I-1)
74	4	-0.26(23-II-1)	-3.10(23-II-1)	0.47(23-I-1)	-366(22-I-1)	831(22-II-1)	576(22-I-1)
74	5	-0.14(23-I-1)	-2.40(23-II-4)	-0.59(23-I-1)	-102(22-I-1)	-401(22-I-1)	193(22-I-4)
74	6	-0.08(23-II-1)	-2.52(23-II-1)	-0.46(23-I-1)	153(22-II-1)	255(22-II-1)	332(22-I-1)
74	7	-0.07(23-I-1)	-2.56(23-II-1)	-0.38(23-I-1)	282(22-II-1)	371(22-II-1)	426(22-I-1)
74	8	-0.42(23-II-1)	-2.26(23-II-1)	0.46(23-I-1)	387(22-II-1)	674(22-II-1)	759(22-I-1)
74	9	-0.22(23-I-1)	-2.25(22-I-1)	-0.59(23-I-1)	342(2)	-230(22-I-1)	199(22-I-4)
74	10	-0.14(22-II-1)	-2.20(23-II-4)	-0.52(23-I-1)	332(23-II-1)	248(22-II-1)	320(22-I-1)
74	11	-0.16(22-II-1)	-2.14(23-II-1)	-0.45(23-I-1)	315(23-II-1)	287(22-II-1)	378(22-I-1)
74	12	-0.47(22-II-1)	-1.69(23-II-1)	-0.41(22-I-1)	459(22-II-1)	462(22-II-1)	679(22-I-1)
74	13	-0.35(22-II-1)	-2.54(22-I-1)	-0.57(23-I-1)	841(2)	253(22-II-1)	204(22-I-4)
74	14	-0.23(22-II-1)	-2.06(22-I-1)	-0.56(23-I-1)	628(2)	231(22-II-1)	299(22-I-1)
74	15	-0.26(22-II-1)	-1.90(2)	-0.55(22-I-1)	462(23-II-1)	199(22-II-1)	348(22-I-1)
74	16	-0.55(22-I-1)	-1.74(2)	-0.57(22-I-1)	465(22-II-1)	268(22-II-1)	553(22-I-1)
75	1	-0.53(23-II-1)	-3.59(23-II-1)	0.71(22-II-1)	275(22-II-1)	-1322(22-I-1)	795(22-I-1)
75	2	-0.45(23-II-1)	-3.79(23-II-1)	1.10(22-II-1)	203(23-II-1)	-1557(22-I-1)	1006(22-I-1)
75	3	0.64(23-II-1)	-3.68(23-II-1)	1.56(22-II-1)	542(22-I-1)	-1753(22-I-1)	1293(22-I-1)
75	4	4.70(23-II-1)	-3.65(23-II-1)	2.28(22-II-1)	629(23-II-1)	-1947(22-I-1)	1129(22-I-1)
75	5	-0.62(23-II-1)	-1.43(23-II-1)	0.94(22-II-1)	400(22-II-1)	-989(22-I-1)	1155(22-I-1)
75	6	-0.58(22-II-1)	-1.14(22-II-1)	1.32(22-II-1)	375(22-II-1)	-1109(22-I-1)	1353(22-I-1)
75	7	0.89(23-I-1)	-0.92(22-II-1)	1.74(22-II-1)	-443(23-I-1)	-1144(22-I-1)	1549(22-I-1)
75	8	3.31(23-II-1)	-1.31(23-I-1)	2.01(22-II-1)	-541(23-I-1)	-1131(22-I-1)	1089(22-I-1)
75	9	-0.93(22-II-1)	-0.87(23-II-1)	0.68(22-II-1)	672(22-II-1)	-667(22-I-1)	1071(22-I-1)
75	10	-1.13(22-II-1)	-0.50(23-II-1)	1.13(23-I-4)	-840(22-I-1)	-810(22-I-1)	1219(22-I-1)
75	11	-1.28(23-II-1)	0.70(23-I-1)	1.65(23-I-4)	-1022(22-I-1)	-873(22-I-1)	1333(22-I-1)
75	12	2.15(23-I-1)	1.28(2)	1.93(23-I-4)	-1184(22-I-1)	-819(22-I-1)	860(22-I-1)
75	13	-1.26(23-I-4)	-1.24(23-II-4)	-0.91(23-II-4)	843(22-II-1)	-399(22-I-1)	772(22-I-1)
75	14	-1.85(23-I-1)	-0.82(23-II-4)	-1.32(23-II-4)	-1306(22-I-1)	-580(22-I-1)	867(22-I-1)
75	15	-2.30(23-I-1)	1.14(23-I-4)	-1.51(23-II-1)	-1927(22-I-1)	-744(22-I-1)	949(22-I-1)
75	16	-1.65(22-II-1)	1.96(2)	2.39(23-I-1)	-2214(22-I-1)	-796(22-I-1)	545(22-I-1)
76	1	1.57(22-II-4)	-4.45(2)	2.47(22-II-4)	-696(23-II-4)	103(23-I-4)	191(23-II-4)
76	2	3.76(22-II-4)	-4.85(2)	3.35(22-II-4)	-778(23-II-4)	179(23-I-4)	213(23-II-4)
76	3	6.71(22-II-4)	-5.48(2)	3.47(22-II-4)	897(23-I-4)	224(23-I-4)	225(23-II-4)
76	4	11.45(22-II-4)	-4.56(2)	2.60(22-II-4)	986(23-I-4)	306(23-I-4)	230(23-I-4)
76	5	-1.47(23-II-4)	-4.23(22-I-4)	2.51(22-II-4)	-644(23-II-4)	170(23-I-4)	338(23-II-4)
76	6	2.66(22-II-4)	-4.71(22-I-4)	3.71(22-II-4)	-715(23-II-4)	212(23-I-4)	358(23-II-4)
76	7	7.73(22-II-4)	-4.43(22-I-4)	3.79(22-II-4)	-778(23-II-4)	303(23-I-4)	368(23-II-4)
76	8	14.06(22-II-4)	-4.61(22-I-4)	2.55(22-II-4)	-782(23-II-4)	473(23-I-4)	269(23-I-4)
76	9	-4.71(22-II-3)	-3.77(2)	-1.28(22-I-4)	-540(23-II-4)	203(23-I-4)	436(23-II-4)
76	10	-1.15(23-II-4)	-3.86(22-I-4)	3.54(22-II-4)	-582(23-II-4)	242(23-I-4)	422(23-II-4)
76	11	8.49(22-II-4)	-3.49(22-I-4)	3.74(22-II-4)	-596(23-II-4)	296(23-I-4)	406(23-II-4)
76	12	17.57(22-II-4)	-3.11(22-I-4)	2.70(22-II-4)	-565(23-II-4)	376(23-I-4)	239(23-I-4)
76	13	-13.38(22-II-4)	-7.52(22-II-4)	-1.50(22-I-4)	-555(23-II-4)	237(23-I-4)	409(23-I-4)
76	14	-1.78(23-II-4)	-6.05(22-II-4)	-2.27(22-I-4)	-502(23-II-4)	220(23-I-4)	420(23-I-4)

Muro	Pann.	Sxx	Syy	Sxy	Mxx	Myy	Mxy
76	15	9.18(22-II-4)	-3.24(2)	-2.35(22-I-4)	-466(23-II-4)	229(23-I-4)	378(23-I-4)
76	16	21.07(22-II-4)	-2.49(2)	-1.95(22-I-4)	-396(23-II-4)	252(23-I-4)	147(23-I-4)
77	1	-5.66(22-I-4)	-13.76(22-I-4)	1.07(22-II-2)	-172(23-I-4)	-288(23-II-3)	305(23-II-4)
77	2	-3.59(22-II-4)	-6.15(22-I-4)	0.44(22-II-2)	-134(23-I-1)	-269(23-I-2)	372(23-II-4)
77	3	-4.86(22-II-4)	3.05(22-II-4)	-1.80(22-I-4)	164(23-II-1)	-419(23-I-4)	324(23-II-4)
77	4	-4.94(2)	2.35(22-II-4)	-2.60(22-I-4)	203(23-II-1)	-603(23-I-4)	197(23-II-4)
77	5	-4.79(22-I-4)	5.20(22-II-4)	2.39(22-II-4)	-150(23-I-4)	-289(23-II-3)	322(23-II-4)
77	6	-4.27(22-II-4)	3.24(22-II-4)	-2.35(22-I-4)	-139(23-I-1)	-290(23-I-2)	368(23-II-4)
77	7	-5.35(22-II-4)	1.70(22-II-4)	-2.53(22-I-4)	153(23-II-1)	-456(23-I-4)	354(23-II-4)
77	8	-5.89(22-II-3)	2.19(22-II-4)	-3.08(22-I-4)	240(2)	-753(23-I-4)	229(23-II-4)
77	9	-2.67(2)	4.35(22-I-2)	2.66(22-II-4)	-143(23-I-4)	-311(23-II-3)	304(23-II-4)
77	10	-3.63(22-II-4)	4.16(22-I-2)	2.69(22-II-4)	-140(23-I-1)	-295(23-I-2)	364(23-II-4)
77	11	-4.96(22-II-4)	3.63(22-I-2)	-2.46(22-I-4)	-119(23-I-1)	-480(23-I-4)	363(23-II-4)
77	12	-6.87(22-II-3)	3.20(23-I-4)	-2.60(22-I-4)	278(2)	-916(23-I-4)	282(23-II-4)
77	13	-1.97(2)	13.67(22-I-4)	2.30(22-II-4)	-138(23-II-3)	-327(23-II-3)	104(23-I-2)
77	14	-3.03(22-II-4)	10.85(22-I-3)	2.03(22-II-4)	-138(23-I-1)	-308(23-I-2)	169(23-II-4)
77	15	-4.87(22-II-4)	8.73(22-I-3)	-1.54(22-I-4)	-110(23-I-1)	-511(23-I-4)	161(23-II-4)
77	16	-5.69(22-II-3)	8.22(22-I-3)	-1.71(22-II-3)	203(2)	-927(23-I-4)	157(23-II-4)
78	1	-1.58(2)	1.01(22-I-4)	3.45(23-II-4)	-17(23-I-4)	-256(2)	-181(23-II-4)
78	2	-3.49(2)	1.63(22-I-4)	3.36(23-II-4)	48(23-II-4)	-366(2)	-168(23-II-4)
78	3	-4.62(2)	1.65(22-I-4)	2.86(23-II-4)	111(23-II-4)	-420(2)	-151(23-II-4)
78	4	-5.48(2)	2.02(22-I-4)	2.13(2)	166(23-II-4)	-441(2)	-116(23-II-4)
78	5	-1.47(23-I-4)	1.21(22-I-4)	3.94(23-II-4)	19(23-II-4)	-250(2)	-185(23-II-4)
78	6	-3.73(23-I-4)	-1.17(22-II-4)	3.44(23-II-4)	68(23-II-4)	-357(2)	-197(23-II-4)
78	7	-5.57(23-I-4)	-1.54(22-II-4)	2.82(23-II-4)	106(23-II-4)	-419(2)	-186(23-II-4)
78	8	-6.60(23-I-4)	-1.94(22-II-4)	2.69(2)	138(22-I-3)	-452(2)	-171(23-II-4)
78	9	-1.50(23-I-4)	-2.31(23-I-4)	3.68(23-II-4)	-27(23-I-4)	-366(2)	152(23-I-4)
78	10	-4.15(23-I-4)	-3.33(23-I-4)	3.38(23-II-4)	48(23-II-4)	-381(2)	141(23-I-4)
78	11	-7.46(23-I-4)	-4.02(23-I-4)	2.73(23-II-4)	94(22-I-4)	-432(22-I-4)	134(23-I-4)
78	12	-8.96(23-I-4)	-4.93(23-I-4)	3.07(2)	134(22-I-4)	-496(22-I-4)	-133(23-II-4)
78	13	-1.43(23-I-4)	-4.18(23-I-4)	4.16(2)	-37(23-I-4)	-400(2)	157(22-I-1)
78	14	-4.23(23-I-4)	-6.11(23-I-4)	4.39(2)	41(22-I-4)	-405(22-I-4)	164(23-I-4)
78	15	-7.22(23-I-4)	-8.63(23-I-4)	3.77(2)	134(22-I-4)	-447(22-I-4)	168(23-I-4)
78	16	-14.36(23-I-4)	-11.42(23-I-4)	2.51(2)	191(22-I-4)	-512(22-I-4)	149(23-I-4)
79	1	-1.57(23-I-4)	-3.85(23-I-4)	6.67(23-I-4)	-40(2)	-304(2)	214(22-I-4)
79	2	-4.30(23-I-4)	-4.06(23-I-4)	6.96(23-I-4)	-42(23-I-4)	-260(22-I-4)	245(22-I-4)
79	3	-8.02(23-I-4)	-3.09(23-I-4)	6.55(23-I-4)	-55(23-I-4)	-232(22-I-4)	291(22-I-4)
79	4	-13.15(23-I-4)	1.97(23-I-4)	5.58(23-I-4)	-72(23-I-4)	-199(22-I-4)	273(22-I-4)
79	5	0.77(23-II-4)	-1.84(2)	5.96(23-I-4)	-31(2)	-149(2)	197(22-I-4)
79	6	2.88(2)	-0.75(2)	5.20(23-I-4)	-52(2)	-98(2)	211(22-I-4)
79	7	5.48(2)	-0.69(2)	3.42(23-I-4)	-76(2)	-41(2)	209(22-I-4)
79	8	9.03(2)	-0.87(2)	0.93(23-I-4)	-85(2)	30(22-I-4)	129(22-I-4)
79	9	1.61(23-I-4)	-2.11(2)	2.59(23-I-4)	-30(2)	-144(2)	-251(22-II-4)
79	10	5.44(23-I-4)	-0.89(2)	2.21(23-I-4)	-50(2)	-95(2)	-260(22-II-4)
79	11	9.42(23-I-4)	-0.85(2)	1.53(23-I-4)	-74(2)	-40(2)	-255(22-II-4)
79	12	13.52(23-I-4)	-1.13(23-I-4)	0.49(23-I-4)	-83(2)	26(22-II-4)	-164(22-II-4)
79	13	1.64(23-I-4)	-2.70(2)	-3.21(2)	-42(2)	-320(2)	-292(22-II-4)
79	14	5.61(23-I-4)	-2.05(23-II-4)	-3.24(2)	-42(2)	-271(2)	-322(22-II-4)
79	15	10.14(23-I-4)	-1.31(23-II-4)	-3.06(23-II-4)	-46(2)	-223(2)	-359(22-II-4)
79	16	15.91(23-I-4)	1.87(23-II-4)	-2.59(23-II-4)	-58(22-II-4)	-180(22-II-4)	-322(22-II-4)
80	1	1.15(23-I-4)	-4.63(2)	-3.19(23-I-4)	-52(2)	-483(2)	-276(22-II-4)
80	2	4.22(23-I-4)	-6.24(2)	-2.98(23-I-4)	-25(23-II-4)	-434(2)	-301(22-II-4)
80	3	6.72(23-I-4)	-7.58(2)	-2.16(23-I-4)	89(23-I-4)	-408(2)	-296(22-II-4)
80	4	9.42(23-I-4)	-10.30(2)	-0.77(23-I-4)	155(23-I-3)	-416(22-II-4)	-226(22-II-4)
80	5	0.90(23-I-4)	-4.67(2)	-2.84(23-I-4)	-49(2)	-524(2)	-257(22-II-4)
80	6	3.35(23-I-4)	-5.65(2)	-2.52(23-I-4)	-17(23-II-4)	-424(2)	-255(22-II-4)
80	7	4.93(23-I-4)	-6.36(2)	-1.65(23-I-4)	67(23-I-4)	-372(2)	-231(22-II-4)
80	8	4.87(23-I-4)	-6.72(2)	0.87(23-II-4)	114(23-I-3)	-359(2)	-201(22-II-4)
80	9	0.81(23-I-4)	-3.22(2)	-2.30(23-I-4)	-29(22-II-3)	-478(2)	-219(22-II-4)
80	10	2.41(23-I-4)	-3.39(2)	2.23(23-II-4)	55(23-I-4)	-372(2)	-203(22-II-4)
80	11	3.07(23-I-4)	-3.53(2)	1.85(23-II-4)	117(23-I-4)	-302(2)	-176(22-II-4)
80	12	2.85(23-I-4)	-3.27(2)	1.16(23-II-4)	175(2)	-290(22-I-4)	172(22-I-4)
80	13	0.72(23-I-4)	-0.39(23-I-3)	-1.92(23-I-4)	25(22-II-4)	-401(2)	129(22-I-4)
80	14	1.66(23-I-4)	-1.27(23-I-4)	-1.65(23-I-4)	168(2)	-300(2)	141(22-I-4)
80	15	1.76(23-I-4)	1.81(23-II-4)	1.30(23-II-4)	293(2)	-247(22-I-4)	149(22-I-4)
80	16	1.49(23-I-4)	2.45(23-II-4)	0.82(23-II-4)	373(2)	-260(22-I-4)	141(22-I-4)

Muro	Pann.	Sxx	Syy	Sxy	Mxx	Myy	Mxy
81	1	-2.11(2)	-13.35(2)	-2.51(23-II-4)	71(23-I-3)	-406(22-II-4)	184(22-I-4)
81	2	-0.91(2)	-12.19(2)	0.39(23-I-4)	29(22-II-4)	-250(2)	167(22-I-4)
81	3	-0.72(2)	-11.59(2)	-0.45(23-II-4)	27(22-I-4)	-291(2)	-177(22-II-4)
81	4	-1.40(23-I-4)	-11.01(23-I-4)	2.02(23-I-4)	254(22-II-4)	-499(22-I-4)	-425(22-II-4)
81	5	-2.21(23-II-4)	-7.19(2)	1.49(23-I-4)	119(23-I-3)	-335(22-I-4)	195(22-I-4)
81	6	-0.07(2)	-7.76(2)	-1.57(23-II-4)	104(22-II-4)	-268(2)	203(22-I-4)
81	7	-0.12(23-I-4)	-7.09(2)	-1.53(23-II-4)	124(22-II-4)	-310(2)	-220(22-II-4)
81	8	1.82(23-II-4)	-6.14(2)	-2.05(23-II-4)	273(22-II-4)	-384(22-I-4)	-362(22-II-4)
81	9	-1.20(23-II-4)	-2.77(2)	1.23(23-I-4)	219(2)	-304(22-I-4)	195(22-I-4)
81	10	0.06(23-I-4)	-2.82(2)	-1.90(23-II-4)	204(22-II-4)	-294(2)	185(22-I-4)
81	11	0.17(23-II-4)	-2.45(2)	-2.05(23-II-4)	199(22-II-4)	-335(2)	-202(22-II-4)
81	12	1.65(23-II-4)	-2.16(2)	-1.49(23-II-4)	291(22-II-4)	-360(2)	-312(22-II-4)
81	13	0.62(23-I-4)	3.09(23-II-4)	0.78(23-I-4)	382(2)	-292(22-I-4)	146(22-I-4)
81	14	0.35(23-II-4)	2.62(23-II-4)	-1.70(23-II-4)	301(22-II-4)	-307(2)	144(22-I-4)
81	15	0.22(23-I-4)	2.25(2)	-1.70(23-II-4)	232(22-II-4)	-357(2)	-166(22-II-4)
81	16	0.92(2)	2.15(2)	-0.90(23-II-4)	268(22-II-4)	-370(2)	-211(22-II-4)
82	1	6.37(23-II-4)	-7.52(2)	-0.54(23-I-4)	509(22-II-4)	-418(22-I-4)	420(22-I-4)
82	2	1.50(2)	-5.42(2)	0.56(23-II-4)	-468(22-I-4)	-377(22-I-4)	439(22-I-4)
82	3	-3.03(23-II-4)	-4.10(2)	0.54(23-II-4)	-496(22-I-4)	-363(22-I-4)	382(22-I-4)
82	4	-8.04(23-II-4)	-3.09(2)	0.62(23-II-4)	-459(22-I-4)	-369(22-I-4)	169(22-I-4)
82	5	2.77(23-II-4)	-5.81(2)	-1.65(2)	-433(22-I-4)	-390(22-I-4)	-423(22-II-4)
82	6	1.07(22-I-4)	-5.72(2)	-2.05(23-I-4)	-497(22-I-4)	-407(22-I-4)	-392(22-II-4)
82	7	-3.15(23-II-4)	-5.29(2)	-1.83(23-I-4)	-533(22-I-4)	-448(22-I-4)	-362(22-II-4)
82	8	-7.91(23-II-4)	-4.37(2)	-0.91(23-I-4)	-535(22-I-4)	-533(22-I-4)	228(22-I-4)
82	9	1.56(23-II-4)	-2.99(2)	-1.32(23-I-4)	-410(22-I-4)	-360(22-I-4)	-388(22-II-4)
82	10	1.09(23-I-3)	-3.81(2)	-1.79(23-I-4)	-505(22-I-4)	-393(22-I-4)	-388(22-II-4)
82	11	-3.17(23-II-4)	-4.04(2)	-1.86(23-I-4)	-590(22-I-4)	-477(22-I-4)	-355(22-II-4)
82	12	-8.34(23-II-4)	-4.95(2)	-1.04(23-I-4)	-627(22-I-4)	-652(22-I-4)	241(22-I-4)
82	13	1.35(2)	2.07(2)	-0.75(23-I-3)	354(22-II-4)	-318(22-I-4)	-257(22-II-4)
82	14	1.30(23-I-4)	2.13(22-I-4)	-0.90(23-I-4)	-458(22-I-4)	-360(22-I-4)	-284(22-II-4)
82	15	-2.65(23-II-4)	1.82(22-I-4)	-0.77(23-I-4)	-596(22-I-4)	-455(22-I-4)	-270(22-II-4)
82	16	-10.19(2)	2.04(22-I-4)	-0.51(23-I-4)	-707(22-I-4)	-610(22-I-4)	-208(22-II-4)
83	1	-5.21(2)	2.03(22-I-4)	2.61(23-I-4)	232(22-I-3)	-441(22-I-4)	-100(23-II-4)
83	2	-2.35(2)	-3.18(22-II-4)	3.38(23-I-4)	270(22-I-4)	-455(22-I-4)	-89(22-II-4)
83	3	-1.46(2)	-3.68(22-II-4)	-2.74(23-II-4)	290(22-I-4)	-511(22-I-4)	83(22-I-4)
83	4	-2.16(22-I-4)	-5.02(22-II-4)	-2.08(23-II-4)	-309(22-II-4)	-668(22-I-4)	-156(22-II-4)
83	5	-5.56(23-I-4)	-3.04(22-II-4)	3.68(23-I-4)	172(22-I-3)	-477(22-I-4)	-153(23-II-4)
83	6	-1.54(2)	-4.38(22-II-4)	3.51(23-I-4)	184(22-I-4)	-445(22-I-4)	-125(22-II-4)
83	7	-0.87(22-I-4)	-4.40(22-II-4)	-2.73(23-II-4)	198(22-I-4)	-488(22-I-4)	-91(22-II-4)
83	8	-2.46(23-II-4)	-5.06(22-II-4)	-2.41(23-II-4)	314(22-I-4)	-630(22-I-4)	98(22-I-4)
83	9	-6.05(23-I-4)	-6.70(23-I-4)	4.79(23-I-4)	121(22-I-4)	-520(22-I-4)	-159(23-II-4)
83	10	-0.82(2)	-5.46(22-II-4)	2.66(23-I-4)	92(22-I-3)	-431(22-I-4)	-139(22-II-4)
83	11	-0.44(22-I-4)	-4.70(22-II-4)	-2.06(23-II-4)	112(22-I-4)	-468(22-I-4)	-97(22-II-4)
83	12	-3.03(23-II-4)	-4.62(22-II-4)	-2.83(23-II-4)	309(22-I-4)	-601(22-I-4)	122(22-I-4)
83	13	-2.87(23-I-4)	-14.92(23-I-4)	5.95(23-I-4)	81(23-II-4)	-601(22-I-4)	-162(23-II-4)
83	14	-1.39(23-I-4)	-5.79(23-I-4)	0.40(23-I-4)	17(22-I-4)	-419(22-I-4)	-112(22-II-4)
83	15	-0.96(2)	-4.69(22-II-4)	-0.47(23-II-4)	24(22-II-4)	-449(22-I-4)	-84(22-II-4)
83	16	-1.37(23-II-4)	-6.18(23-II-4)	-3.33(23-II-4)	259(22-I-4)	-585(22-I-4)	-224(22-II-4)
84	1	2.30(22-II-4)	-8.34(22-II-4)	-0.80(22-II-4)	-337(22-II-4)	-861(22-I-4)	-217(22-II-4)
84	2	2.80(22-II-4)	-10.42(22-II-4)	-0.55(23-I-4)	-434(22-II-3)	-971(22-I-4)	196(22-I-4)
84	3	2.20(22-II-4)	-12.35(22-II-4)	1.18(22-II-4)	-646(22-II-4)	-1050(22-I-4)	-320(22-II-4)
84	4	5.03(22-I-4)	-14.02(22-II-4)	3.39(22-II-4)	-753(22-II-3)	-1062(22-I-4)	-368(22-II-4)
84	5	-2.15(23-II-4)	-5.64(22-II-4)	-1.15(22-I-4)	-466(22-II-4)	-736(22-I-4)	112(22-I-4)
84	6	1.93(23-I-4)	-6.09(22-II-4)	1.51(22-II-4)	-555(22-II-4)	-768(22-I-4)	189(22-I-4)
84	7	1.75(22-II-4)	-6.13(22-II-4)	1.87(22-II-4)	-613(22-II-4)	-750(22-I-4)	321(22-I-4)
84	8	3.23(23-II-1)	-5.82(22-II-4)	1.32(22-II-4)	-663(22-II-4)	-653(22-I-4)	269(22-I-4)
84	9	-4.09(23-II-4)	-4.11(22-II-4)	-1.32(22-I-4)	-519(22-II-4)	-634(22-I-4)	186(22-I-4)
84	10	2.81(23-I-4)	-3.80(22-II-4)	1.06(22-II-4)	-587(22-II-4)	-574(22-I-4)	251(22-I-4)
84	11	1.59(22-I-4)	-3.15(22-II-4)	1.14(23-II-4)	-623(22-II-4)	-502(22-I-4)	337(22-I-4)
84	12	4.52(23-II-4)	-2.38(22-II-4)	0.72(23-II-4)	-656(22-II-4)	-403(22-I-4)	234(22-I-4)
84	13	-8.14(23-II-4)	-4.07(23-II-4)	-0.65(22-I-4)	623(22-I-4)	-429(22-I-4)	-222(22-II-4)
84	14	3.34(23-I-4)	-2.91(23-II-4)	-0.82(23-I-4)	-636(22-II-4)	-411(22-I-4)	-301(22-II-4)
84	15	1.67(22-II-4)	-1.51(22-II-4)	-0.80(23-I-4)	-655(22-II-4)	-377(22-I-4)	-335(22-II-4)
84	16	5.79(23-II-4)	-1.08(22-II-4)	-0.72(23-I-4)	-641(22-II-4)	-312(22-I-4)	-156(22-II-4)
85	1	-10.81(23-II-4)	-0.96(23-I-4)	-2.75(23-II-4)	-669(22-II-4)	-100(22-I-4)	-252(22-II-4)
85	2	5.05(23-I-4)	-1.44(23-II-4)	-2.60(23-II-4)	-636(22-II-4)	-161(22-I-4)	-320(22-II-4)

Muro	Pann.	Sxx	Syy	Sxy	Mxx	Myy	Mxy
85	3	1.42(22-II-4)	-1.48(23-II-4)	-2.20(23-II-4)	-625(22-II-4)	-191(22-I-4)	-330(22-II-4)
85	4	4.92(23-II-4)	-1.34(23-II-4)	-1.40(23-II-4)	-618(22-II-4)	-193(22-I-4)	-137(22-II-4)
85	5	7.19(23-I-4)	-0.58(2)	-0.64(23-II-4)	395(22-I-4)	11(22-I-4)	-224(22-II-4)
85	6	4.29(23-I-4)	-0.23(22-II-4)	-1.90(23-II-4)	397(22-I-4)	-9(22-I-4)	-320(22-II-4)
85	7	-1.57(23-II-3)	-0.28(23-I-4)	-2.23(23-II-4)	411(22-I-4)	-30(22-I-4)	-321(22-II-4)
85	8	-2.27(22-I-4)	-0.23(23-I-4)	-1.68(23-II-4)	411(22-I-4)	-55(22-I-4)	-161(22-II-4)
85	9	5.26(2)	-0.67(23-II-4)	0.58(23-I-4)	188(22-I-4)	30(22-I-4)	-217(22-II-4)
85	10	2.47(2)	-0.34(2)	1.41(23-I-4)	192(22-I-4)	-11(22-II-3)	324(22-I-4)
85	11	-2.14(23-II-4)	-0.30(2)	1.65(23-I-4)	199(22-I-4)	-25(22-II-3)	320(22-I-4)
85	12	-5.76(23-II-4)	-0.32(23-II-4)	-1.33(23-II-4)	201(22-I-4)	-47(22-II-4)	158(22-I-4)
85	13	9.58(23-II-4)	1.62(23-I-4)	1.99(23-I-4)	-409(22-I-4)	-183(22-I-4)	397(22-I-4)
85	14	2.78(23-II-4)	-0.83(23-I-4)	2.15(23-I-4)	-361(22-I-4)	-171(22-I-4)	425(22-I-4)
85	15	-3.20(23-II-4)	-1.15(23-I-4)	1.96(23-I-4)	-334(22-I-4)	-159(2)	368(22-I-4)
85	16	-8.73(23-II-4)	-1.28(23-I-4)	1.32(23-I-4)	-314(22-I-4)	-173(2)	144(22-I-4)
86	1	-12.82(22-I-4)	-1.13(22-I-4)	3.28(22-I-4)	-247(22-I-4)	-29(2)	188(23-I-4)
86	2	-6.39(2)	-3.16(22-I-4)	5.01(22-I-4)	-165(22-I-4)	-39(23-II-4)	229(23-I-4)
86	3	-3.49(2)	-3.14(22-I-4)	3.17(22-I-4)	89(23-II-4)	84(23-II-3)	205(23-I-4)
86	4	-3.14(2)	-2.65(2)	1.45(22-I-4)	172(23-II-4)	397(2)	143(23-I-4)
86	5	-16.57(22-I-4)	-1.60(22-I-4)	4.77(22-I-4)	-406(22-I-4)	-39(2)	209(23-I-4)
86	6	-5.62(2)	-4.40(22-I-4)	5.53(22-I-4)	-284(22-I-4)	-52(2)	256(23-I-4)
86	7	-2.68(2)	-3.27(22-I-4)	2.49(23-I-4)	-129(23-I-4)	47(23-II-3)	238(23-I-4)
86	8	-2.45(2)	-2.21(2)	0.68(22-I-4)	132(23-II-4)	339(2)	161(23-I-4)
86	9	-19.76(22-I-4)	-3.62(22-I-4)	7.41(22-I-4)	-646(2)	-57(2)	241(23-I-4)
86	10	-4.40(2)	-5.19(22-I-4)	5.06(22-I-4)	-457(2)	-68(2)	291(23-I-4)
86	11	-2.34(22-II-4)	-2.31(22-I-4)	1.35(22-I-4)	-258(2)	12(22-I-4)	277(23-I-4)
86	12	-1.88(22-II-4)	-1.50(2)	-0.37(23-II-3)	-104(23-I-2)	219(2)	183(23-I-4)
86	13	-19.77(22-I-4)	-6.82(22-I-4)	9.54(22-I-4)	-975(2)	-107(2)	294(23-II-3)
86	14	-3.47(22-II-4)	-3.32(22-I-4)	2.62(22-I-4)	-647(2)	-84(2)	325(23-I-4)
86	15	-2.37(22-II-4)	-1.20(22-I-4)	0.46(23-I-3)	-438(2)	-42(2)	307(23-I-4)
86	16	-1.41(22-II-4)	-0.78(2)	-0.84(22-I-4)	-259(2)	51(2)	200(23-I-4)
87	1	-1.26(22-II-4)	-13.79(2)	3.55(22-II-4)	-26(2)	-385(2)	97(23-II-2)
87	2	-1.79(22-II-4)	-17.66(22-II-4)	5.24(22-II-4)	-36(22-II-4)	-543(2)	115(23-I-4)
87	3	-4.14(22-II-4)	-21.07(22-II-4)	8.19(22-II-4)	-58(22-II-4)	-755(2)	146(23-I-4)
87	4	-7.78(22-II-4)	-20.75(22-II-4)	10.62(22-II-4)	-116(22-II-4)	-1080(22-II-4)	227(2)
87	5	-3.58(22-II-4)	-6.73(2)	5.49(22-II-4)	-39(23-II-4)	-315(2)	122(23-II-2)
87	6	-4.99(22-II-4)	-5.78(2)	6.13(22-II-4)	-53(2)	-443(2)	141(23-II-2)
87	7	-5.74(22-II-4)	-4.39(2)	5.67(22-II-4)	-69(2)	-586(2)	170(23-I-4)
87	8	-3.66(22-II-4)	-2.89(22-I-4)	3.38(23-II-3)	-89(2)	-728(2)	230(2)
87	9	-3.98(23-II-3)	-3.11(2)	3.67(22-II-4)	48(22-II-4)	-215(2)	116(22-I-3)
87	10	-3.99(23-II-3)	-2.17(2)	3.15(23-II-3)	27(22-II-4)	-313(2)	133(23-II-3)
87	11	-2.96(23-II-3)	-1.90(22-I-4)	2.31(23-II-3)	-23(22-I-4)	-426(2)	157(23-II-3)
87	12	-1.53(23-II-3)	-1.71(22-I-4)	1.64(23-II-3)	-54(2)	-530(2)	182(2)
87	13	-3.52(2)	-2.26(2)	2.01(22-II-4)	207(2)	-111(2)	105(22-I-3)
87	14	-3.07(2)	-1.77(2)	1.56(23-II-3)	156(2)	-231(2)	104(22-I-3)
87	15	-2.25(2)	-1.14(22-I-4)	1.28(23-II-2)	100(22-II-4)	-337(2)	108(23-II-2)
87	16	-1.08(2)	-0.93(22-I-4)	1.02(23-II-2)	-23(22-I-4)	-413(2)	111(23-II-3)
88	1	0.13(22-II-4)	-8.63(2)	-1.69(22-I-4)	-11(23-I-4)	75(23-II-4)	-189(23-I-4)
88	2	0.52(22-I-4)	-6.27(2)	-0.81(22-I-4)	33(23-II-4)	158(23-II-4)	223(23-II-4)
88	3	-1.43(22-II-4)	-6.98(22-II-4)	0.68(22-II-4)	17(23-II-4)	150(23-II-4)	260(23-II-4)
88	4	-4.80(22-II-4)	-15.34(22-II-4)	6.74(22-II-4)	289(23-II-4)	-264(23-I-4)	-480(23-II-4)
88	5	-1.41(22-I-4)	-6.84(2)	-3.58(22-I-4)	44(23-II-4)	102(23-II-4)	203(23-II-4)
88	6	-0.76(2)	-6.33(2)	-2.14(22-I-4)	111(23-II-4)	137(23-II-4)	246(23-II-4)
88	7	-1.14(22-II-4)	-6.66(22-II-4)	3.18(22-II-4)	199(23-II-4)	108(23-II-4)	274(23-II-4)
88	8	-6.11(22-II-4)	-5.07(2)	3.47(22-II-4)	384(23-II-4)	-160(23-I-4)	363(23-II-4)
88	9	-2.26(2)	-5.18(2)	-3.31(22-I-4)	146(23-II-4)	144(23-II-4)	215(23-II-4)
88	10	-1.38(2)	-6.10(2)	-2.80(22-I-4)	216(23-II-4)	111(23-II-4)	240(23-II-4)
88	11	-1.66(2)	-5.73(2)	3.15(22-II-4)	305(23-II-4)	60(23-II-4)	240(23-II-4)
88	12	-4.04(22-II-3)	-4.19(2)	1.12(22-II-3)	488(23-II-4)	-99(23-I-4)	283(23-II-4)
88	13	-2.58(2)	-4.54(2)	-2.33(22-I-4)	362(2)	185(23-II-4)	-154(23-I-4)
88	14	-1.90(2)	-5.72(2)	-2.62(22-I-4)	302(23-II-4)	101(23-II-4)	202(23-II-4)
88	15	-2.15(2)	-5.43(2)	2.45(22-II-4)	368(23-II-4)	41(23-II-1)	-222(23-I-4)
88	16	-2.15(23-II-4)	-4.55(2)	0.54(22-I-3)	545(23-II-4)	-59(23-I-1)	-206(23-I-4)
89	1	-3.27(2)	-3.43(2)	2.69(22-II-4)	212(22-II-4)	-15(23-II-4)	-123(22-II-3)
89	2	-1.90(2)	-4.61(2)	2.82(22-II-4)	197(23-I-4)	57(23-II-4)	-146(22-II-3)
89	3	-1.42(23-I-4)	-4.75(2)	1.99(22-II-4)	241(23-I-4)	72(23-II-1)	-138(23-I-2)
89	4	-2.37(22-I-4)	-4.59(2)	0.56(22-I-3)	-384(23-I-4)	141(23-II-1)	-158(23-II-4)

Muro	Pann.	Sxx	Syy	Sxy	Mxx	Myy	Mxy
89	5	-2.76(2)	-4.65(2)	3.56(22-II-4)	82(22-II-4)	-62(23-I-2)	-128(22-II-3)
89	6	-1.42(2)	-5.36(2)	2.83(22-II-4)	127(23-I-4)	56(23-I-4)	-159(23-II-4)
89	7	-1.47(22-I-4)	-5.08(2)	-2.30(22-I-4)	173(23-I-4)	92(23-II-1)	-185(23-II-4)
89	8	-4.61(22-I-4)	-4.24(2)	-0.89(23-I-4)	-293(23-I-4)	137(23-II-1)	-248(23-II-4)
89	9	-1.73(2)	-7.01(2)	3.76(22-II-4)	-31(23-II-4)	-113(2)	-122(22-II-3)
89	10	-0.74(2)	-6.00(2)	2.04(22-II-4)	61(23-I-4)	65(23-I-4)	-175(23-II-4)
89	11	-0.99(22-I-4)	-5.74(22-I-4)	-2.30(22-I-4)	-95(23-II-4)	118(23-II-4)	-223(23-II-4)
89	12	-5.94(22-I-4)	-4.47(2)	-3.08(22-I-4)	-195(23-I-1)	136(23-II-4)	-308(23-II-4)
89	13	0.08(22-I-4)	-9.46(2)	1.74(22-II-4)	-13(23-II-4)	-148(2)	-113(23-II-4)
89	14	0.65(22-II-4)	-6.37(2)	0.71(22-II-4)	-18(23-II-4)	74(23-I-4)	-163(23-II-4)
89	15	-1.20(22-I-4)	-5.48(2)	0.47(22-II-4)	20(23-II-4)	136(23-II-4)	-212(23-II-4)
89	16	-4.07(22-I-4)	-12.22(22-I-4)	-5.88(22-I-4)	-152(23-I-2)	-197(23-I-4)	-354(23-II-4)
90	1	-20.37(22-II-4)	2.71(22-II-4)	-6.21(22-II-4)	-355(23-II-3)	110(23-I-4)	277(23-I-4)
90	2	-5.91(22-II-2)	-3.12(22-II-4)	-5.83(22-II-4)	-339(23-II-4)	112(23-I-4)	304(23-I-4)
90	3	7.07(22-II-4)	-3.34(22-II-4)	-4.87(22-II-4)	-345(23-II-4)	132(2)	279(23-I-4)
90	4	18.93(22-II-4)	-3.08(22-II-4)	-3.14(22-II-4)	-349(23-II-4)	174(23-I-4)	89(23-II-4)
90	5	7.21(22-I-2)	-1.63(22-I-4)	-1.43(22-II-4)	-672(23-II-4)	-13(23-I-4)	-120(23-II-3)
90	6	2.34(23-I-3)	-0.50(2)	-4.22(22-II-4)	-684(23-II-4)	27(23-I-4)	-173(23-II-3)
90	7	-3.73(22-I-4)	-0.76(22-I-4)	-4.90(22-II-4)	-704(23-II-4)	58(23-I-4)	-174(23-II-3)
90	8	-9.45(22-I-4)	-0.89(22-I-4)	-3.69(22-II-4)	-704(23-II-4)	101(23-I-4)	-70(23-II-2)
90	9	13.54(22-II-4)	-1.50(2)	1.06(22-I-4)	-735(23-II-4)	-7(23-I-2)	-121(23-II-2)
90	10	7.54(22-II-4)	-0.56(2)	3.37(22-I-4)	-749(23-II-4)	33(23-I-4)	-178(23-II-2)
90	11	-2.53(22-I-4)	-0.88(22-II-4)	3.93(22-I-4)	-772(23-II-4)	61(23-I-4)	-178(23-II-3)
90	12	-6.20(22-II-2)	-1.01(22-II-3)	2.94(22-I-4)	-770(23-II-4)	77(23-I-4)	-88(23-II-2)
90	13	23.22(22-II-4)	-2.09(22-II-4)	5.47(22-I-4)	491(23-I-4)	79(23-I-4)	-197(23-II-2)
90	14	10.12(22-II-4)	-2.86(22-I-4)	4.97(22-I-4)	495(23-I-4)	91(23-I-4)	-225(23-II-2)
90	15	1.93(22-I-2)	-3.05(22-I-4)	4.02(22-I-4)	511(23-I-4)	103(23-I-4)	-211(23-II-2)
90	16	-11.93(22-II-4)	-2.68(22-I-4)	2.44(22-I-4)	516(23-I-4)	112(23-I-3)	-86(23-II-2)
91	1	0.72(22-II-3)	-3.88(23-I-4)	-2.04(2)	125(23-I-4)	1013(2)	668(2)
91	2	2.62(22-II-3)	-5.48(23-I-4)	-2.47(2)	87(23-I-4)	937(2)	695(2)
91	3	4.41(22-II-3)	-7.09(23-I-4)	-1.93(23-I-4)	-148(22-II-4)	927(2)	657(2)
91	4	5.91(22-II-3)	-9.52(23-I-4)	-0.76(23-I-4)	-225(22-II-4)	978(2)	481(2)
91	5	0.50(22-II-3)	-3.95(23-I-4)	-1.42(22-II-3)	112(23-I-4)	1019(2)	656(23-I-3)
91	6	2.12(22-II-3)	-5.11(23-I-4)	-1.27(22-II-3)	64(23-I-4)	850(2)	606(23-I-3)
91	7	3.07(22-II-3)	-5.77(23-I-4)	0.75(22-I-3)	-77(22-II-4)	770(2)	512(23-I-3)
91	8	2.94(22-II-3)	-6.17(23-I-4)	0.74(2)	-146(22-II-4)	753(2)	415(23-I-3)
91	9	0.46(22-II-3)	-3.04(23-I-4)	1.24(22-I-3)	81(23-I-4)	868(2)	630(23-I-3)
91	10	1.49(22-II-3)	-3.21(23-I-4)	1.16(22-I-3)	-51(22-II-4)	663(2)	553(23-I-3)
91	11	1.85(22-II-3)	-3.51(23-I-4)	1.06(22-I-4)	-137(22-II-4)	540(2)	442(23-I-3)
91	12	1.63(22-II-3)	-3.37(23-I-4)	0.89(22-I-4)	-229(2)	484(2)	338(23-I-3)
91	13	0.37(22-II-3)	0.82(23-II-4)	1.00(22-I-4)	-50(2)	608(23-I-4)	443(23-I-3)
91	14	0.97(22-II-3)	-1.01(23-I-4)	0.95(22-I-4)	-281(23-I-4)	410(2)	359(23-I-3)
91	15	1.02(22-II-3)	1.16(23-II-3)	0.88(22-I-4)	-452(23-I-4)	343(23-II-4)	268(23-I-3)
91	16	0.80(22-II-3)	1.54(23-II-3)	0.72(22-I-4)	-557(23-I-4)	409(23-II-4)	189(23-I-3)
92	1	-2.13(23-I-4)	-12.40(23-I-4)	-1.54(22-I-4)	-74(22-II-4)	882(2)	166(22-I-4)
92	2	-0.99(2)	-11.03(2)	0.34(22-II-3)	-12(22-I-1)	353(2)	-198(22-II-4)
92	3	-1.13(2)	-11.19(2)	-0.31(22-II-4)	-26(23-I-4)	369(2)	-151(22-II-4)
92	4	-2.13(2)	-12.51(2)	2.22(22-II-3)	258(22-I-4)	871(2)	-327(22-II-1)
92	5	-1.37(22-I-4)	-6.86(23-I-4)	1.15(22-II-3)	-148(22-II-4)	634(2)	160(22-I-4)
92	6	-0.18(2)	-7.22(23-I-4)	0.87(22-II-3)	-114(22-II-4)	361(2)	-245(22-II-4)
92	7	-0.22(2)	-7.21(2)	1.06(22-II-3)	-119(22-II-4)	368(2)	-170(22-II-4)
92	8	-2.17(22-II-3)	-5.86(2)	0.89(22-II-3)	276(22-I-4)	663(2)	-323(23-II-3)
92	9	-0.66(22-I-3)	-3.36(23-I-4)	1.14(22-II-3)	-278(2)	478(23-II-4)	161(22-I-4)
92	10	0.04(23-II-4)	-3.37(23-I-4)	1.30(22-II-3)	-237(22-II-4)	362(2)	-224(22-II-4)
92	11	-0.05(22-II-3)	-2.85(23-I-4)	1.22(22-II-3)	-221(22-II-4)	354(2)	-183(22-II-4)
92	12	-1.30(22-II-3)	-1.86(23-I-4)	-1.17(23-I-4)	-317(22-II-4)	516(2)	-308(23-II-3)
92	13	0.24(22-II-3)	2.09(23-II-3)	0.87(22-II-3)	-527(23-I-4)	455(23-II-4)	124(22-I-4)
92	14	0.16(22-I-4)	2.19(23-II-3)	1.23(23-II-4)	-362(2)	359(2)	-168(22-II-4)
92	15	0.19(22-II-3)	2.26(2)	1.21(23-II-4)	-306(22-II-4)	341(2)	-165(22-II-4)
92	16	-0.42(22-II-3)	2.29(2)	-1.05(23-I-4)	-383(22-II-4)	398(2)	-191(22-II-4)
93	1	-3.74(22-II-3)	-8.39(2)	0.31(22-I-4)	516(22-I-4)	887(2)	-498(2)
93	2	2.22(23-I-4)	-5.71(2)	0.94(23-I-4)	546(22-I-4)	862(2)	-545(2)
93	3	2.49(23-I-3)	-3.65(2)	1.24(23-I-3)	613(22-I-4)	867(2)	-482(2)
93	4	4.71(22-II-3)	-2.44(2)	1.02(23-I-3)	609(22-I-4)	877(2)	-244(2)
93	5	-1.91(22-II-3)	-4.14(2)	-1.25(2)	508(22-I-4)	845(2)	-501(23-II-3)
93	6	1.26(23-I-4)	-3.47(2)	-1.51(22-II-3)	606(22-I-4)	904(2)	-491(23-II-3)

Muro	Pann.	Sxx	Syy	Sxy	Mxx	Myy	Mxy
93	7	1.96(23-I-3)	-2.68(2)	-1.35(22-II-3)	675(22-I-4)	975(2)	-467(23-II-3)
93	8	4.07(22-II-3)	-1.92(22-I-4)	-1.32(23-II-4)	705(22-I-4)	1052(2)	-250(22-I-4)
93	9	-1.05(22-II-3)	-1.42(23-I-4)	-1.73(2)	485(22-I-4)	748(2)	-484(23-II-3)
93	10	0.81(22-I-4)	-1.45(23-I-4)	-1.88(2)	611(22-I-4)	908(2)	-494(23-II-3)
93	11	1.43(22-II-4)	-1.30(22-I-4)	-1.74(2)	745(22-I-4)	1081(2)	-455(23-II-3)
93	12	2.96(22-II-3)	-1.44(22-I-4)	-1.32(23-II-4)	829(22-I-4)	1250(2)	-232(22-I-4)
93	13	-0.49(22-II-4)	2.08(22-I-4)	-1.43(2)	-413(22-II-4)	648(2)	-289(23-II-3)
93	14	0.63(22-I-4)	2.02(22-I-4)	-1.52(2)	517(22-I-4)	899(2)	-340(23-II-3)
93	15	0.97(22-II-4)	1.78(23-II-4)	-1.35(22-II-3)	713(22-I-4)	1216(2)	-318(23-II-3)
93	16	2.03(22-II-3)	1.90(22-I-4)	-0.96(22-II-4)	936(22-I-4)	1424(2)	-169(23-II-3)
94	1	-1.80(2)	-0.58(23-I-4)	-2.68(22-II-3)	-127(2)	602(2)	-757(2)
94	2	-2.50(2)	-1.46(2)	-1.81(22-II-3)	-509(2)	441(2)	-579(23-I-3)
94	3	-3.64(2)	-1.53(2)	1.37(22-I-3)	-776(2)	293(2)	-435(23-I-3)
94	4	-4.63(2)	-1.57(22-II-3)	1.13(22-I-3)	-940(2)	181(2)	-346(23-I-3)
94	5	-1.28(2)	-1.49(2)	-2.05(22-II-3)	90(2)	1285(2)	-1030(2)
94	6	-2.89(2)	-1.43(2)	-1.47(22-II-3)	-89(23-I-4)	952(2)	-797(2)
94	7	-4.60(2)	-1.79(2)	1.48(22-I-3)	-244(2)	694(2)	-593(23-I-3)
94	8	-5.56(2)	-2.16(22-II-3)	1.49(22-I-3)	-396(2)	521(2)	-447(23-I-3)
94	9	-1.67(2)	-1.19(2)	1.22(22-I-3)	217(2)	1832(2)	-1099(2)
94	10	-3.61(2)	-2.92(2)	1.56(22-I-3)	115(2)	1376(2)	-924(2)
94	11	-5.81(2)	-3.27(2)	1.52(22-I-3)	25(22-II-4)	1100(2)	-724(23-I-3)
94	12	-6.83(2)	-3.98(22-II-3)	2.20(2)	-121(2)	933(2)	-572(23-I-3)
94	13	-1.08(22-II-3)	-2.09(2)	1.57(2)	284(2)	1997(2)	-1046(2)
94	14	-4.10(2)	-3.39(2)	3.65(2)	223(2)	1626(2)	-1056(2)
94	15	-5.62(22-II-3)	-6.04(2)	3.15(2)	39(22-II-4)	1399(2)	-973(2)
94	16	-10.34(22-II-3)	-8.21(2)	2.23(2)	-105(22-I-4)	1313(2)	-717(2)
95	1	-0.94(22-II-3)	-4.74(2)	5.00(2)	227(2)	1448(2)	-719(2)
95	2	-2.73(22-II-3)	-4.15(2)	6.51(2)	293(2)	1139(2)	-856(2)
95	3	-5.41(22-II-3)	-2.80(2)	5.78(2)	377(2)	867(2)	-1004(2)
95	4	-9.04(22-II-3)	1.06(22-II-3)	4.57(2)	463(2)	631(2)	-959(2)
95	5	0.81(23-I-4)	-2.63(2)	3.99(22-II-3)	161(2)	747(2)	-278(23-I-4)
95	6	2.91(23-I-4)	-1.03(2)	3.68(22-II-3)	268(2)	492(2)	-309(23-I-4)
95	7	5.15(23-I-4)	-0.73(2)	2.41(22-II-3)	381(2)	224(2)	-320(23-I-4)
95	8	8.15(23-I-4)	-1.15(23-I-4)	0.62(22-II-3)	430(2)	-43(2)	-179(23-I-4)
95	9	1.39(2)	-2.72(2)	1.67(22-II-3)	127(2)	589(2)	308(2)
95	10	4.82(2)	-0.90(2)	1.26(22-II-3)	214(2)	396(2)	321(2)
95	11	8.43(2)	-0.85(2)	0.87(22-II-3)	302(2)	183(2)	311(2)
95	12	12.41(2)	-1.21(2)	0.30(22-II-3)	339(2)	-19(23-II-4)	183(2)
95	13	1.12(22-II-3)	-2.84(23-I-4)	-2.90(23-I-4)	115(2)	796(2)	620(2)
95	14	3.81(22-II-3)	-1.80(23-I-4)	-3.38(23-I-4)	145(23-I-4)	671(2)	683(2)
95	15	6.82(22-II-3)	-0.97(23-I-4)	-2.89(23-I-4)	190(23-I-4)	556(2)	769(2)
95	16	10.62(22-II-3)	0.98(22-I-4)	-1.92(23-I-4)	240(23-I-4)	440(2)	712(2)
96	1	-6.40(22-I-3)	0.45(22-I-3)	-2.95(2)	388(22-II-4)	463(2)	676(2)
96	2	-3.28(22-I-4)	-1.55(2)	-3.38(2)	333(22-II-4)	612(2)	686(2)
96	3	-1.94(22-I-4)	-2.36(2)	-2.93(2)	290(22-II-4)	766(2)	548(2)
96	4	3.03(22-II-4)	-2.31(2)	-1.89(23-I-3)	274(22-II-4)	896(2)	304(2)
96	5	7.30(22-II-3)	-1.27(2)	-0.45(22-I-4)	353(23-I-3)	-41(2)	157(23-II-4)
96	6	3.76(23-I-3)	-0.58(2)	-1.55(22-I-4)	-353(23-II-3)	118(2)	261(23-II-4)
96	7	-3.91(23-II-4)	-0.96(2)	-1.90(22-I-4)	-396(23-II-3)	264(2)	243(23-II-4)
96	8	-7.41(2)	-0.96(2)	-1.45(22-I-4)	-399(23-II-3)	379(2)	162(22-I-4)
96	9	8.61(23-I-4)	-1.14(2)	0.43(22-II-3)	-557(23-II-3)	-27(2)	-119(23-I-4)
96	10	4.76(23-I-4)	-0.63(2)	1.29(22-II-3)	-581(23-II-3)	100(2)	-193(23-I-4)
96	11	-4.39(23-II-3)	-0.92(2)	1.53(22-II-3)	-630(23-II-3)	222(2)	-192(23-I-4)
96	12	-7.80(23-II-3)	-1.08(2)	1.08(22-II-3)	-629(23-II-3)	309(2)	-127(22-II-3)
96	13	4.76(22-I-3)	0.89(22-II-3)	2.48(22-II-3)	583(23-I-3)	368(2)	-531(2)
96	14	2.95(23-I-4)	-1.10(22-II-3)	2.89(2)	564(23-I-3)	452(2)	-537(2)
96	15	-2.70(23-II-3)	-1.60(2)	2.59(2)	564(23-I-3)	521(2)	-436(2)
96	16	-3.87(22-I-3)	-1.72(2)	1.62(22-II-3)	561(23-I-3)	576(2)	-239(2)
97	1	-1.26(22-I-4)	1.24(23-II-3)	0.37(2)	-569(23-I-3)	450(2)	392(23-II-3)
97	2	2.93(22-II-4)	1.37(23-II-3)	0.58(22-I-4)	-504(23-I-3)	655(2)	454(23-II-3)
97	3	5.04(22-II-4)	1.44(23-II-3)	0.47(22-I-4)	693(23-II-3)	865(2)	485(23-II-3)
97	4	7.56(23-II-3)	1.37(22-I-3)	0.59(23-II-4)	553(23-II-3)	1005(2)	172(10)
97	5	-1.92(22-I-4)	-1.26(23-I-3)	-0.34(23-II-4)	-273(23-I-3)	648(2)	541(23-II-3)
97	6	2.74(22-II-4)	-1.22(23-I-3)	0.47(22-I-4)	283(23-II-3)	827(2)	586(23-II-3)
97	7	4.73(22-II-4)	-0.97(23-I-3)	0.93(23-II-2)	319(23-II-3)	1046(2)	609(2)
97	8	6.80(22-II-4)	-1.01(23-I-3)	1.69(23-II-3)	354(22-II-4)	1283(2)	284(2)

Muro	Pann.	Sxx	Syy	Sxy	Mxx	Myy	Mxy
97	9	-3.16(22-I-4)	-2.34(23-I-3)	-0.70(22-I-4)	220(23-II-3)	866(2)	600(23-II-3)
97	10	2.38(22-II-4)	-1.97(23-I-3)	0.60(22-I-3)	271(22-II-4)	1002(2)	608(2)
97	11	4.20(22-II-4)	-1.59(23-I-3)	1.11(23-II-3)	302(22-II-4)	1188(2)	651(2)
97	12	7.15(22-II-4)	-0.94(23-I-3)	1.98(23-II-3)	388(22-II-4)	1411(2)	335(2)
97	13	-5.98(22-I-4)	-5.79(2)	-1.02(2)	275(23-II-3)	1031(2)	613(2)
97	14	2.43(22-II-4)	-3.87(2)	-1.39(23-I-3)	269(22-II-4)	1085(2)	727(2)
97	15	3.72(22-II-4)	-1.93(23-I-3)	-1.49(23-I-3)	319(22-II-4)	1221(2)	695(2)
97	16	7.52(22-II-4)	-1.50(23-I-3)	1.88(23-II-3)	402(22-II-4)	1374(2)	338(2)
98	1	-4.85(2)	-2.65(2)	1.18(22-II-3)	-950(2)	38(22-II-3)	-195(23-I-3)
98	2	-2.14(2)	-4.05(2)	1.89(22-II-3)	-757(2)	-100(23-I-3)	176(23-II-3)
98	3	-1.72(2)	-3.54(2)	-1.38(22-I-3)	-607(2)	-106(23-I-3)	201(23-II-3)
98	4	-2.27(2)	-2.08(23-I-3)	-0.73(22-I-3)	-578(23-I-3)	209(23-II-3)	284(23-II-3)
98	5	-5.02(2)	-3.47(2)	2.25(2)	-496(2)	254(2)	-157(23-I-3)
98	6	-1.49(2)	-4.89(2)	1.96(22-II-3)	-452(2)	-86(23-I-3)	209(23-II-3)
98	7	-1.12(2)	-4.19(2)	-1.59(22-I-3)	-365(23-I-3)	-121(23-I-3)	218(23-II-3)
98	8	-2.63(22-I-4)	-2.43(23-I-3)	-1.51(22-I-3)	-335(23-I-3)	329(2)	358(23-II-3)
98	9	-5.04(2)	-5.60(22-II-3)	3.41(2)	-196(2)	521(2)	-160(23-I-3)
98	10	-0.89(2)	-5.55(2)	1.56(22-II-3)	-193(2)	-94(23-I-3)	236(23-II-3)
98	11	-0.71(2)	-4.81(2)	-1.39(22-I-3)	-175(23-I-3)	-144(23-I-3)	237(23-II-3)
98	12	-3.02(22-I-4)	-3.68(2)	-2.28(22-I-4)	-172(23-I-3)	511(2)	403(23-II-3)
98	13	-2.69(2)	-10.93(22-II-3)	4.54(2)	30(22-II-4)	878(2)	-168(23-I-3)
98	14	-1.41(2)	-5.04(22-II-3)	-0.20(22-I-3)	-36(23-I-3)	-108(23-I-3)	196(23-II-3)
98	15	-1.30(2)	-4.22(2)	-0.26(22-I-3)	-35(2)	-169(23-I-3)	205(23-II-3)
98	16	-2.27(2)	-8.01(2)	-3.12(22-I-4)	177(23-II-3)	768(2)	441(23-II-3)
99	1	-1.25(22-I-3)	-3.91(2)	-3.69(2)	49(2)	493(2)	164(2)
99	2	-3.48(22-I-3)	-4.96(2)	-3.94(2)	-22(22-II-4)	423(2)	180(2)
99	3	-5.81(22-I-3)	-6.41(22-I-3)	-3.39(2)	-101(22-II-4)	373(2)	172(23-II-3)
99	4	-10.87(22-I-3)	-7.73(22-I-3)	-2.46(2)	-177(23-I-4)	348(2)	133(23-II-3)
99	5	-1.33(22-I-3)	-2.47(2)	-2.88(22-II-3)	41(2)	513(2)	148(23-II-3)
99	6	-3.48(22-I-3)	-3.15(2)	-2.66(22-II-3)	-31(22-II-4)	399(2)	146(23-II-3)
99	7	-5.88(22-I-3)	-3.41(2)	-2.17(22-II-3)	-83(22-II-4)	321(2)	135(23-II-3)
99	8	-6.98(22-I-3)	-3.77(2)	-2.62(2)	-135(2)	265(2)	124(23-II-3)
99	9	-1.30(22-I-3)	-1.05(2)	-2.68(22-II-3)	17(22-I-4)	453(2)	112(23-II-3)
99	10	-3.23(22-I-3)	-1.45(2)	-2.38(22-II-3)	-78(2)	345(2)	106(23-II-3)
99	11	-4.64(22-I-3)	-1.81(2)	-1.95(22-II-3)	-157(2)	251(2)	-114(23-I-3)
99	12	-5.39(22-I-3)	-2.02(2)	-1.98(2)	-230(2)	178(2)	-137(23-I-3)
99	13	-1.56(2)	-1.08(23-I-4)	-1.98(22-II-3)	-34(22-II-3)	350(2)	-142(23-I-3)
99	14	-3.07(2)	-1.25(2)	-1.91(22-II-3)	-192(2)	281(2)	-164(23-I-3)
99	15	-4.15(2)	-1.38(2)	-1.58(22-II-3)	-340(2)	202(2)	-171(23-I-3)
99	16	-4.83(2)	-1.59(2)	-1.29(23-I-3)	-446(2)	128(2)	-159(23-I-3)
100	1	-10.42(22-I-3)	-1.20(22-II-3)	-4.24(22-I-3)	59(22-I-4)	160(2)	233(2)
100	2	-6.44(22-I-3)	-2.48(22-I-3)	-4.90(2)	50(2)	219(2)	248(2)
100	3	-3.50(22-I-3)	-3.22(22-I-3)	-5.45(2)	46(2)	280(2)	206(2)
100	4	-1.29(22-I-3)	-3.71(2)	-5.28(2)	46(2)	346(2)	171(2)
100	5	7.11(2)	-2.07(2)	-0.52(22-I-3)	95(2)	-14(22-II-4)	67(23-II-3)
100	6	4.65(22-II-3)	-0.82(2)	-2.20(22-I-3)	85(2)	48(2)	109(2)
100	7	2.58(22-II-3)	-0.80(2)	-3.38(22-I-3)	59(2)	112(2)	108(23-II-3)
100	8	0.69(22-II-3)	-2.07(2)	-3.90(22-I-3)	36(2)	172(2)	103(23-II-3)
100	9	7.83(2)	-2.10(2)	0.46(22-II-3)	89(2)	-10(22-I-4)	-54(23-I-3)
100	10	4.89(23-I-4)	-0.86(2)	1.91(22-II-3)	78(2)	47(2)	-93(23-I-3)
100	11	2.68(22-I-3)	-0.82(2)	2.94(22-II-3)	54(2)	99(2)	-93(23-I-3)
100	12	0.73(22-I-3)	-2.12(2)	3.39(22-II-3)	32(2)	146(2)	-87(23-I-3)
100	13	-8.15(22-II-3)	-1.31(22-I-3)	3.79(22-II-3)	100(2)	133(23-I-4)	-200(23-I-4)
100	14	-5.06(22-II-3)	-2.18(22-II-3)	4.41(22-II-3)	79(2)	177(23-I-4)	-213(23-I-3)
100	15	-2.77(22-II-3)	-2.90(22-II-3)	4.79(2)	59(2)	222(23-I-4)	-185(23-I-3)
100	16	-1.07(22-II-3)	-3.42(2)	4.69(2)	44(2)	274(2)	-160(23-I-3)
101	1	-4.28(2)	-1.19(22-II-3)	-3.56(2)	393(2)	57(2)	208(23-I-3)
101	2	-3.75(2)	-1.19(22-II-3)	-2.88(22-I-3)	399(2)	49(2)	214(23-I-3)
101	3	-2.85(2)	-1.17(22-II-3)	-2.99(22-I-3)	343(2)	34(2)	208(23-I-3)
101	4	-1.86(2)	-1.08(2)	-3.10(22-I-3)	241(2)	28(22-II-3)	220(22-II-3)
101	5	-5.41(2)	-2.83(22-II-3)	-3.71(2)	339(23-I-4)	58(22-II-3)	217(23-I-3)
101	6	-4.35(2)	-2.80(22-II-3)	-2.68(22-I-3)	317(2)	40(22-II-3)	202(23-I-3)
101	7	-3.17(2)	-2.58(22-II-3)	-2.72(22-I-3)	271(2)	23(22-II-3)	187(23-I-3)
101	8	-2.01(2)	-2.40(2)	-2.70(22-I-3)	218(2)	-72(22-I-3)	207(22-II-3)
101	9	-6.66(22-II-3)	-4.67(22-II-3)	-3.19(2)	307(23-I-4)	66(22-II-3)	211(23-I-3)
101	10	-4.55(2)	-4.80(22-II-3)	-2.19(22-I-3)	266(23-I-4)	47(22-II-4)	185(23-I-3)

Muro	Pann.	Sxx	Syy	Sxy	Mxx	Myy	Mxy
101	11	-3.24(2)	-3.71(22-II-3)	-2.24(22-I-3)	206(2)	-44(22-I-3)	179(22-II-3)
101	12	-2.38(2)	-3.17(2)	-2.17(22-I-3)	171(2)	-111(22-I-3)	201(22-II-3)
101	13	-8.08(22-II-3)	-9.04(22-II-3)	-2.26(2)	296(23-I-4)	94(22-II-3)	172(23-I-3)
101	14	-4.75(2)	-5.81(22-II-3)	-2.29(2)	232(23-I-4)	-50(22-I-4)	177(22-II-3)
101	15	-3.24(2)	-4.38(22-II-3)	-1.96(2)	157(2)	-75(22-I-3)	172(22-II-3)
101	16	-2.53(2)	-3.71(2)	-1.52(22-I-3)	88(2)	-156(22-I-3)	200(22-II-3)
102	1	-5.88(22-II-3)	-5.07(2)	1.17(2)	-453(23-I-3)	450(2)	-352(23-II-3)
102	2	-1.11(23-II-3)	-3.85(2)	1.40(2)	-423(23-I-3)	466(2)	-370(23-II-3)
102	3	3.09(22-II-4)	-2.51(2)	1.30(23-I-3)	411(23-II-4)	495(2)	-324(23-II-3)
102	4	7.31(22-II-3)	-1.76(2)	0.89(23-I-3)	390(23-II-4)	523(2)	-128(23-II-3)
102	5	-2.63(22-II-3)	-1.95(2)	0.87(2)	-462(23-I-3)	435(2)	-305(23-II-3)
102	6	-0.95(23-II-3)	-1.61(2)	0.87(22-I-3)	520(23-II-3)	498(2)	-299(23-II-3)
102	7	3.20(22-II-4)	-1.24(22-I-3)	0.86(22-I-3)	579(23-II-3)	580(2)	-290(23-II-3)
102	8	6.77(22-II-3)	-0.97(22-I-3)	-0.62(22-II-3)	586(23-II-3)	697(23-II-3)	-181(23-II-3)
102	9	-1.30(23-II-2)	-0.91(23-I-3)	0.43(22-I-4)	-539(23-I-3)	383(2)	-182(23-II-3)
102	10	1.15(23-I-3)	-0.90(22-I-3)	0.58(22-I-3)	630(23-II-3)	491(2)	-197(23-II-3)
102	11	3.32(22-II-4)	0.77(22-II-3)	-0.89(22-II-3)	758(23-II-3)	650(2)	-205(23-II-3)
102	12	6.19(22-II-3)	0.92(22-II-3)	-0.76(22-II-3)	818(23-II-3)	889(2)	-177(23-II-3)
102	13	-1.09(22-I-4)	1.18(23-II-3)	-0.34(23-I-4)	-634(23-I-3)	374(2)	177(23-II-3)
102	14	1.57(22-II-4)	1.63(23-II-3)	-0.54(22-II-3)	-672(23-I-3)	534(2)	186(23-II-3)
102	15	3.52(22-II-3)	1.59(23-II-3)	-0.77(22-II-3)	810(23-II-3)	707(2)	189(23-II-3)
102	16	6.07(22-II-3)	1.20(2)	-0.86(22-II-4)	994(23-II-3)	904(2)	171(23-I-3)
103	1	-7.18(2)	-2.23(2)	-3.39(22-II-3)	423(23-II-3)	-220(23-I-3)	284(23-II-3)
103	2	-3.28(2)	-3.10(22-II-3)	-2.54(22-II-3)	303(23-II-3)	-325(23-I-3)	204(23-II-3)
103	3	-2.07(23-I-3)	-2.55(22-II-3)	-1.67(22-II-3)	235(23-II-3)	-435(23-I-3)	-152(23-I-3)
103	4	-1.98(23-I-3)	-1.86(2)	-0.93(22-II-3)	197(23-II-3)	-552(23-I-3)	-176(23-II-3)
103	5	-3.58(2)	-1.02(2)	-0.34(22-II-3)	-179(23-I-3)	-20(2)	-117(23-I-3)
103	6	-4.31(2)	-0.71(2)	-1.68(22-II-3)	-149(23-I-3)	-176(23-I-3)	-139(23-II-3)
103	7	-3.89(2)	-1.19(2)	-1.86(22-II-3)	-114(23-I-3)	-317(23-I-3)	-141(23-II-3)
103	8	-3.48(2)	-1.60(2)	-1.54(22-II-3)	-90(23-I-3)	-448(23-I-3)	-159(23-II-4)
103	9	-4.24(22-I-3)	-1.09(2)	-0.22(22-II-3)	-135(23-I-3)	-28(23-I-3)	154(23-I-4)
103	10	-4.88(2)	-0.90(2)	1.75(22-I-3)	-115(23-I-3)	-146(2)	183(23-I-4)
103	11	-4.41(2)	-1.62(2)	2.11(22-I-3)	-95(2)	-315(2)	169(23-I-4)
103	12	-3.93(2)	-2.14(2)	1.88(22-I-3)	-79(2)	-521(2)	136(23-I-4)
103	13	-10.59(22-I-3)	-2.71(2)	4.52(22-I-3)	176(2)	-87(23-I-4)	189(23-I-4)
103	14	-5.02(22-I-3)	-4.83(22-I-3)	3.48(22-I-3)	106(23-I-4)	-158(2)	175(23-I-4)
103	15	-3.23(2)	-4.56(22-I-3)	2.44(22-I-3)	61(23-I-4)	-303(2)	176(23-I-4)
103	16	-2.68(2)	-4.38(2)	1.50(22-I-3)	28(23-I-3)	-525(2)	156(23-I-4)
104	1	-9.44(22-I-3)	-0.63(22-II-3)	-3.31(22-I-3)	378(22-II-3)	231(2)	305(23-II-3)
104	2	-4.20(22-I-3)	-1.75(22-I-3)	-3.30(22-I-3)	348(22-II-3)	289(2)	300(23-II-3)
104	3	1.66(23-I-3)	-2.01(22-I-3)	-2.90(2)	338(23-I-3)	320(2)	241(23-II-3)
104	4	4.24(22-I-3)	-1.87(2)	-1.80(2)	334(23-I-3)	327(2)	79(23-II-3)
104	5	6.61(22-II-3)	-1.81(2)	-0.53(22-I-3)	-534(23-II-3)	-30(2)	-79(23-I-3)
104	6	3.23(22-II-4)	-0.61(2)	-1.81(22-I-3)	-548(23-II-3)	30(23-II-3)	-103(23-I-3)
104	7	-2.53(23-II-3)	-0.79(2)	-2.16(22-I-3)	-574(23-II-3)	67(23-II-3)	-103(23-I-3)
104	8	-5.39(2)	-0.79(2)	-1.65(22-I-3)	-577(23-II-3)	89(23-II-4)	53(23-II-3)
104	9	6.03(23-I-3)	-1.87(2)	0.50(22-II-3)	-485(23-II-3)	-19(23-II-3)	-85(23-I-3)
104	10	2.83(23-I-3)	-0.61(2)	1.67(22-II-3)	-499(23-II-3)	36(23-II-3)	-135(23-I-3)
104	11	-2.64(22-I-4)	-0.82(2)	1.98(22-II-3)	-524(23-II-3)	76(23-II-3)	-131(23-I-3)
104	12	-6.16(22-I-4)	-0.81(2)	1.51(22-II-3)	-528(23-II-3)	98(23-II-4)	-72(23-I-3)
104	13	-6.88(22-II-3)	-0.97(22-I-3)	3.02(22-II-3)	-290(22-II-4)	186(23-II-3)	-309(23-II-3)
104	14	-2.31(22-II-3)	-1.55(22-II-3)	3.12(22-II-3)	-286(22-II-4)	227(2)	-318(23-II-3)
104	15	-2.11(22-I-4)	-1.86(2)	2.78(2)	-286(22-I-4)	262(2)	-268(23-II-3)
104	16	5.08(22-II-3)	-1.78(2)	1.78(22-II-3)	-282(22-I-4)	287(2)	-91(23-II-3)
105	1	7.22(22-I-3)	-2.26(2)	-0.68(22-II-3)	418(22-II-4)	685(2)	107(23-II-3)
105	2	3.29(23-I-3)	-3.00(2)	-1.14(2)	407(22-II-4)	697(2)	326(23-II-3)
105	3	-2.26(22-I-4)	-4.50(2)	-1.32(2)	382(22-II-4)	674(2)	401(23-II-3)
105	4	-7.74(22-I-3)	-5.83(2)	-1.11(2)	379(22-II-4)	635(2)	418(23-II-3)
105	5	5.89(22-I-3)	-1.66(2)	-0.35(23-I-3)	486(22-II-4)	1041(2)	113(23-II-3)
105	6	3.32(23-I-3)	-1.99(2)	-0.60(22-II-3)	464(22-II-4)	991(2)	329(23-II-3)
105	7	-1.87(22-I-4)	-2.33(2)	-0.56(22-II-3)	432(22-II-4)	871(2)	406(23-II-3)
105	8	-3.90(22-I-3)	-2.70(2)	-0.89(22-I-3)	388(22-II-4)	731(2)	464(23-II-3)
105	9	5.12(23-I-3)	-1.15(22-II-3)	-0.26(23-I-3)	709(23-II-3)	1681(2)	109(22-I-4)
105	10	3.22(23-I-3)	-1.34(22-II-3)	0.44(22-I-3)	648(23-II-3)	1317(2)	311(23-II-3)
105	11	1.68(22-II-4)	-1.40(22-II-3)	-0.36(23-II-3)	600(23-II-3)	1043(2)	393(23-II-3)
105	12	-2.29(22-I-4)	-1.38(22-II-3)	-0.54(23-II-3)	540(23-II-3)	785(2)	415(23-II-3)

Muro	Pann.	Sxx	Syy	Sxy	Mxx	Myy	Mxy
105	13	5.02(23-I-3)	1.05(22-I-4)	-0.86(23-II-3)	1168(23-II-3)	2141(2)	-293(2)
105	14	3.06(23-I-3)	1.11(22-I-4)	-0.40(23-II-3)	1134(23-II-3)	2113(2)	-269(23-I-3)
105	15	1.57(22-II-4)	0.76(23-II-3)	0.47(23-I-3)	924(23-II-3)	1406(2)	285(23-II-3)
105	16	-1.58(22-I-4)	-1.17(23-I-3)	0.37(23-I-2)	679(23-II-3)	648(2)	282(23-II-3)
106	1	-2.34(2)	-8.31(2)	-3.72(22-I-3)	200(23-II-3)	551(2)	401(23-II-3)
106	2	-1.02(2)	-4.39(2)	-0.31(22-I-3)	-10(23-I-3)	169(23-II-3)	160(23-II-3)
106	3	-1.02(2)	-5.11(22-II-3)	0.21(22-II-3)	-19(23-I-3)	-84(23-I-3)	105(23-II-3)
106	4	-2.54(2)	-10.83(22-II-3)	4.02(22-II-3)	53(22-II-3)	204(23-I-4)	-158(22-II-3)
106	5	-3.62(22-I-3)	-4.03(2)	-2.81(22-I-3)	255(23-II-3)	417(2)	354(23-II-3)
106	6	-0.73(2)	-5.03(2)	-1.74(22-I-3)	97(23-II-3)	134(23-II-3)	181(23-II-3)
106	7	-0.82(2)	-5.39(2)	1.65(22-II-3)	-71(23-I-3)	-77(23-I-3)	125(22-I-3)
106	8	-4.20(22-II-3)	-5.75(22-II-3)	3.05(22-II-3)	-61(22-I-4)	129(23-I-4)	-150(22-II-3)
106	9	-3.16(22-I-3)	-2.54(2)	-1.91(22-I-3)	338(23-II-3)	312(2)	290(23-II-3)
106	10	-1.21(2)	-4.42(2)	-2.09(22-I-3)	-192(23-I-3)	-85(23-I-3)	150(23-II-3)
106	11	-1.45(2)	-4.86(2)	2.08(22-II-3)	-151(23-I-3)	-70(23-I-3)	-124(22-II-3)
106	12	-3.86(22-II-3)	-3.95(2)	2.18(22-II-3)	-113(22-I-3)	70(23-I-4)	-143(22-II-3)
106	13	-2.25(2)	-2.23(2)	-1.10(22-I-3)	-424(23-I-3)	221(23-II-3)	189(23-II-3)
106	14	-1.69(2)	-3.86(2)	-2.00(22-I-3)	-302(23-I-4)	-68(23-I-3)	-145(22-II-3)
106	15	-2.05(2)	-4.13(2)	2.10(22-II-3)	-238(23-I-3)	-74(23-I-3)	-141(22-II-3)
106	16	-3.74(2)	-3.32(2)	1.50(22-II-3)	-202(22-I-3)	28(22-II-3)	-168(22-II-3)
107	1	-1.30(22-I-3)	-4.59(2)	-2.92(2)	52(2)	393(2)	232(23-I-3)
107	2	-3.45(22-I-3)	-5.77(2)	-3.20(2)	47(22-I-4)	329(2)	249(23-I-3)
107	3	-5.80(22-I-3)	-7.07(2)	-2.84(2)	51(22-I-4)	278(2)	245(23-I-3)
107	4	-10.44(22-I-3)	-7.84(2)	-2.16(2)	-91(22-II-4)	262(23-I-2)	196(23-I-3)
107	5	-1.26(22-I-3)	-3.40(2)	-2.30(22-II-3)	48(2)	418(2)	225(23-I-3)
107	6	-3.22(22-I-3)	-4.02(2)	-2.15(22-II-3)	31(22-I-4)	317(2)	220(23-I-3)
107	7	-5.28(22-I-3)	-4.24(2)	-1.77(22-II-3)	29(22-I-4)	241(2)	204(23-I-3)
107	8	-6.32(22-I-3)	-4.76(2)	-1.99(2)	-55(22-II-4)	182(2)	187(23-I-3)
107	9	-1.04(22-I-3)	-2.36(2)	-2.00(22-II-3)	28(2)	374(2)	194(23-I-3)
107	10	-2.46(22-I-3)	-2.58(2)	-1.94(22-II-3)	-31(22-II-4)	265(2)	180(23-I-3)
107	11	-3.62(22-I-3)	-2.76(2)	-1.65(22-II-3)	-76(23-I-4)	174(2)	159(23-I-3)
107	12	-4.20(22-I-3)	-2.94(2)	-1.40(2)	-122(23-I-4)	111(2)	138(23-I-3)
107	13	-0.79(2)	-1.39(2)	1.47(22-I-3)	-31(22-II-3)	256(2)	97(23-I-3)
107	14	-1.81(2)	-1.94(2)	-1.46(22-II-3)	-143(23-I-4)	202(2)	81(23-I-3)
107	15	-2.73(2)	-2.26(2)	-1.19(22-II-3)	-238(23-I-4)	136(2)	-82(22-II-3)
107	16	-3.38(2)	-2.51(2)	-0.84(22-II-3)	-307(23-I-4)	46(2)	85(22-I-3)
108	1	-3.71(2)	-1.37(22-I-3)	5.12(2)	271(2)	42(2)	-215(23-I-3)
108	2	-1.92(2)	0.73(23-I-4)	4.15(22-I-3)	146(2)	32(2)	-151(23-I-3)
108	3	-1.97(2)	0.83(22-I-3)	-3.34(23-I-4)	146(2)	31(2)	206(23-II-3)
108	4	-3.46(23-I-4)	-1.03(22-II-3)	-5.01(23-I-4)	283(2)	42(2)	244(23-II-3)
108	5	-3.33(22-I-3)	-3.70(22-I-3)	5.30(2)	217(2)	54(2)	-236(23-I-3)
108	6	-0.75(2)	2.78(23-I-4)	3.59(22-I-3)	98(2)	53(2)	-156(23-I-3)
108	7	-0.78(2)	2.94(22-I-3)	-2.89(23-I-4)	97(2)	52(2)	212(23-II-3)
108	8	-3.17(23-I-4)	2.92(22-I-3)	-5.19(23-I-4)	237(2)	54(2)	264(23-II-3)
108	9	-2.58(22-I-3)	-6.79(22-I-3)	4.89(22-I-3)	166(2)	70(2)	-261(23-I-3)
108	10	-0.80(2)	5.08(23-I-4)	2.34(22-I-3)	46(2)	76(2)	-154(23-I-3)
108	11	-0.84(2)	5.18(22-I-3)	-1.87(23-I-4)	42(2)	75(2)	207(23-II-3)
108	12	-2.43(23-I-4)	5.28(22-I-3)	-4.79(23-I-4)	194(2)	70(2)	290(23-II-3)
108	13	-1.15(22-II-3)	-11.00(22-I-3)	4.42(22-I-3)	127(23-I-2)	87(2)	-237(23-I-3)
108	14	-2.12(2)	7.81(23-I-4)	0.58(22-I-3)	-13(23-I-2)	85(2)	-98(23-I-3)
108	15	-2.31(2)	8.00(2)	-0.44(22-II-3)	-19(23-II-2)	85(2)	134(23-II-3)
108	16	-1.54(22-I-3)	8.25(22-I-3)	-4.10(23-I-4)	151(2)	90(2)	259(23-II-2)
109	1	-4.14(23-I-4)	-1.14(23-I-4)	-3.07(2)	420(2)	53(2)	249(23-II-2)
109	2	-3.29(2)	-1.22(23-I-4)	-2.59(22-I-3)	454(2)	51(2)	239(23-II-2)
109	3	-2.57(2)	-1.13(23-I-4)	-2.42(22-I-3)	433(2)	38(2)	220(23-II-2)
109	4	-1.93(2)	-0.96(23-I-4)	-2.08(22-I-3)	305(2)	-24(22-I-3)	153(22-II-2)
109	5	-5.30(23-I-4)	-2.79(23-I-4)	-3.20(2)	371(2)	46(22-II-2)	260(23-II-2)
109	6	-3.86(2)	-2.86(23-I-4)	-2.39(22-I-3)	360(2)	30(22-II-3)	236(23-II-2)
109	7	-2.82(2)	-2.52(23-I-4)	-2.24(22-I-3)	304(2)	-18(22-I-3)	209(23-II-2)
109	8	-2.10(2)	-2.16(23-I-4)	-1.99(22-I-3)	236(2)	-117(2)	141(23-II-2)
109	9	-6.61(23-I-4)	-4.63(23-I-4)	-2.71(2)	335(2)	-59(22-I-2)	254(23-II-2)
109	10	-4.00(2)	-4.67(23-I-4)	-1.88(22-I-3)	287(2)	26(22-II-3)	221(23-II-2)
109	11	-2.90(2)	-3.69(23-I-4)	-1.83(22-I-3)	208(2)	-60(22-I-3)	190(23-II-2)
109	12	-2.34(2)	-3.08(23-I-4)	-1.60(22-I-3)	145(2)	-209(2)	133(22-II-2)
109	13	-7.22(23-I-4)	-8.50(23-I-4)	-2.05(23-I-4)	318(2)	-99(22-I-2)	204(23-II-2)
109	14	-4.26(23-I-4)	-5.63(23-I-4)	-2.07(23-I-3)	230(2)	-55(22-I-3)	206(23-II-2)

Muro	Pann.	Sxx	Syy	Sxy	Mxx	Myy	Mxy
109	15	-2.87(2)	-4.38(23-I-4)	-1.69(23-I-3)	140(2)	-104(2)	171(23-II-2)
109	16	-2.47(2)	-3.69(23-I-4)	-1.18(23-I-3)	55(2)	-282(2)	130(22-II-2)
110	1	-5.28(22-II-3)	-5.01(2)	1.01(2)	595(23-II-3)	695(2)	-573(23-II-3)
110	2	1.50(23-I-3)	-4.02(2)	1.31(2)	543(23-II-3)	728(2)	-565(23-II-3)
110	3	3.01(22-II-4)	-2.82(2)	1.25(22-I-3)	545(23-II-3)	760(2)	-476(23-II-3)
110	4	6.86(22-II-3)	-2.14(2)	0.90(22-I-3)	492(23-II-3)	778(2)	-202(23-II-3)
110	5	-2.18(22-II-3)	-2.62(2)	0.54(10)	593(23-II-4)	745(2)	-559(23-II-3)
110	6	1.33(23-I-3)	-2.29(2)	0.65(22-I-3)	673(23-II-3)	908(2)	-518(23-II-3)
110	7	2.98(22-II-4)	-1.90(2)	0.73(22-I-3)	719(23-II-3)	1075(2)	-456(23-II-3)
110	8	5.91(22-II-3)	-1.50(2)	-0.52(22-II-3)	699(23-II-3)	1207(2)	-279(23-II-3)
110	9	-1.08(23-I-3)	-1.48(22-I-3)	0.30(23-II-4)	686(23-II-4)	763(2)	-399(23-II-3)
110	10	1.58(23-I-3)	-1.58(22-I-3)	-0.43(23-I-4)	810(23-II-4)	1038(2)	-400(23-II-3)
110	11	3.06(22-II-4)	-1.35(22-I-3)	-0.63(22-II-3)	933(23-II-4)	1375(2)	-367(23-II-3)
110	12	4.96(22-II-4)	-1.23(22-I-3)	-0.44(22-II-3)	977(23-II-4)	1920(2)	-295(23-II-3)
110	13	-1.02(23-II-3)	-1.29(23-I-3)	-0.62(2)	-665(23-I-4)	605(2)	-158(23-II-3)
110	14	1.59(23-I-3)	0.84(23-II-3)	-0.48(23-I-4)	812(23-II-4)	1366(2)	-162(23-II-3)
110	15	2.97(22-II-4)	0.93(23-II-3)	-0.41(22-II-3)	1008(23-II-4)	2106(2)	238(23-I-3)
110	16	4.61(22-II-4)	0.79(23-II-3)	0.26(22-I-3)	1180(23-II-4)	2257(2)	286(23-I-4)
111	1	-4.75(22-I-3)	-1.74(2)	1.80(23-I-4)	343(22-I-4)	355(2)	-142(23-II-3)
111	2	1.80(23-I-3)	-1.81(22-II-3)	2.66(23-I-4)	360(22-I-4)	344(2)	-397(23-II-3)
111	3	-2.31(22-II-3)	-1.56(22-II-3)	3.04(22-I-3)	382(22-I-4)	317(2)	-465(23-II-3)
111	4	-6.70(22-II-3)	-0.98(22-I-3)	3.00(22-II-3)	418(22-I-4)	265(2)	-448(23-II-3)
111	5	-5.69(22-I-4)	-0.86(2)	1.43(22-II-3)	-534(23-I-3)	81(23-II-3)	-121(23-II-3)
111	6	-2.60(23-II-3)	-0.82(2)	1.90(22-II-3)	-529(23-I-3)	55(23-I-3)	-249(23-II-3)
111	7	3.22(23-I-3)	-0.62(2)	1.60(22-II-3)	-506(23-I-3)	23(23-II-3)	-253(23-II-3)
111	8	6.75(2)	-1.96(2)	0.48(22-II-3)	-492(23-I-3)	-34(2)	-158(23-II-3)
111	9	-4.78(2)	-0.77(2)	-1.81(22-I-3)	-698(23-II-4)	94(2)	69(23-I-3)
111	10	-2.54(23-II-3)	-0.75(2)	-2.35(22-I-3)	-697(23-II-4)	65(23-II-3)	-149(23-II-3)
111	11	3.24(23-I-3)	-0.59(2)	-1.97(22-I-3)	-668(23-II-4)	29(23-II-3)	-145(23-II-3)
111	12	6.33(23-I-4)	-1.85(2)	-0.59(22-I-3)	-656(23-II-4)	-30(2)	-110(23-II-3)
111	13	5.41(22-I-3)	-2.05(2)	-2.00(2)	-474(23-II-3)	367(2)	79(23-I-3)
111	14	1.83(23-I-3)	-2.10(2)	-3.14(2)	-462(23-II-3)	351(2)	174(23-II-3)
111	15	-3.83(22-I-3)	-1.87(22-I-3)	-3.54(2)	-433(23-II-3)	314(2)	227(23-II-3)
111	16	-9.61(22-I-3)	-0.68(22-II-3)	-3.52(22-I-3)	-414(23-II-2)	246(2)	236(23-II-3)
112	1	7.83(22-I-3)	-2.28(2)	-0.91(23-I-4)	-338(22-I-3)	756(2)	91(23-II-2)
112	2	3.24(23-I-3)	-2.96(2)	-1.21(23-I-4)	-331(22-I-3)	760(2)	225(23-II-3)
112	3	-1.84(22-I-4)	-4.47(2)	-1.15(23-I-4)	-337(22-I-3)	739(2)	294(23-II-3)
112	4	-7.20(22-I-3)	-5.37(2)	-0.98(2)	-317(22-I-4)	702(2)	318(23-II-3)
112	5	6.24(22-I-3)	-1.34(22-II-3)	0.59(23-II-4)	-330(22-I-1)	1171(2)	104(23-II-3)
112	6	3.28(23-I-3)	-1.67(23-I-4)	0.75(22-I-3)	316(22-II-1)	1107(2)	225(23-II-3)
112	7	1.40(23-I-3)	-2.03(23-I-4)	0.51(22-I-3)	-293(22-I-4)	970(2)	299(23-II-3)
112	8	-3.14(22-I-3)	-2.32(2)	-0.75(2)	-276(22-I-4)	817(2)	350(23-II-3)
112	9	5.10(23-II-3)	-1.17(23-I-3)	0.36(23-II-3)	562(23-II-3)	2009(2)	99(23-II-2)
112	10	3.47(23-II-3)	-1.29(23-I-4)	0.43(22-I-3)	533(23-II-3)	1506(2)	195(23-II-3)
112	11	1.84(23-I-3)	-1.55(23-I-4)	-0.28(22-II-3)	472(23-II-3)	1184(2)	272(23-II-3)
112	12	-1.39(22-I-4)	-1.56(23-I-4)	-0.70(23-II-4)	419(23-II-3)	891(2)	303(23-II-3)
112	13	5.88(23-II-3)	1.57(23-II-3)	-0.88(2)	985(23-II-3)	2584(2)	-332(2)
112	14	3.67(23-II-3)	2.39(23-II-3)	-0.52(23-II-4)	923(23-II-3)	2509(2)	-277(22-II-2)
112	15	1.93(23-I-3)	2.21(23-II-3)	0.49(23-I-4)	780(23-II-3)	1664(2)	184(22-I-2)
112	16	-1.07(23-II-3)	1.62(23-II-3)	0.63(23-I-4)	-783(23-I-3)	761(2)	199(22-I-2)
113	1	-3.44(22-I-3)	-11.71(22-I-3)	-4.64(22-I-3)	-43(22-II-4)	160(23-I-2)	127(23-II-3)
113	2	-0.87(22-I-3)	-5.53(22-I-3)	-0.43(22-I-3)	-31(23-I-4)	-113(23-I-4)	-152(23-I-3)
113	3	-0.56(22-II-3)	-4.80(2)	0.41(22-II-3)	-16(23-I-3)	170(23-II-4)	-233(23-II-4)
113	4	-2.47(22-II-3)	-7.19(2)	3.24(22-II-3)	328(23-II-3)	579(2)	-575(23-II-3)
113	5	-4.69(22-I-3)	-5.47(2)	-3.23(22-I-3)	-84(23-I-4)	80(23-I-2)	126(23-II-3)
113	6	-1.14(2)	-5.97(2)	-2.26(22-I-3)	-124(23-I-4)	-99(23-I-4)	-158(23-I-3)
113	7	-0.91(2)	-5.06(2)	1.74(22-II-3)	-168(23-I-4)	120(23-II-4)	-234(23-II-4)
113	8	-2.81(22-II-3)	-3.59(2)	2.19(22-II-3)	380(23-II-4)	407(2)	-423(23-II-4)
113	9	-4.02(2)	-3.81(2)	-2.12(22-I-3)	-191(23-I-4)	29(22-I-2)	-111(22-II-3)
113	10	-1.90(2)	-4.88(2)	-2.51(22-I-3)	-258(23-I-4)	-86(23-I-4)	-132(23-I-3)
113	11	-1.46(2)	-4.33(2)	1.73(22-II-3)	-316(23-I-4)	-98(23-I-4)	-169(23-II-4)
113	12	-2.12(22-II-3)	-2.45(2)	1.32(22-II-3)	417(23-II-4)	281(2)	-290(23-II-4)
113	13	-3.72(2)	-3.25(2)	-1.26(22-I-3)	-360(23-I-4)	-31(23-I-4)	-97(22-II-3)
113	14	-2.42(2)	-4.05(2)	-2.18(22-I-3)	-399(23-I-4)	-99(2)	-120(22-II-3)
113	15	-1.89(2)	-3.76(2)	-1.92(22-I-3)	-478(23-I-4)	-88(23-I-4)	123(22-I-3)
113	16	-1.57(2)	-2.23(2)	-1.03(22-I-3)	-607(23-I-4)	188(23-II-3)	122(23-II-3)

Muro	Pann.	Sxx	Syy	Sxy	Mxx	Myy	Mxy
114	1	-3.90(23-I-4)	-3.03(2)	1.37(23-I-4)	-358(2)	-24(22-I-3)	-123(22-II-2)
114	2	-2.30(23-I-3)	-3.58(2)	1.82(22-II-3)	-428(2)	-107(2)	137(22-I-2)
114	3	-2.19(2)	-3.44(23-I-3)	-1.80(22-I-3)	-494(23-I-3)	-113(23-I-3)	-153(22-II-2)
114	4	-2.09(2)	-2.50(23-I-3)	-0.98(22-I-3)	-689(23-I-3)	276(23-II-3)	156(22-I-2)
114	5	-4.26(23-I-4)	-3.45(2)	2.22(23-I-4)	-177(2)	51(22-II-3)	-141(22-II-2)
114	6	-1.83(23-I-4)	-4.23(23-I-4)	1.98(22-II-3)	-231(2)	-97(23-I-3)	138(22-I-2)
114	7	-1.73(2)	-3.73(23-I-4)	-2.14(22-I-3)	-306(23-I-3)	-127(23-I-3)	149(22-I-2)
114	8	-2.80(22-I-3)	-2.44(23-I-4)	-1.76(22-I-3)	-382(23-I-3)	341(23-II-3)	222(22-I-2)
114	9	-4.48(23-I-4)	-4.92(23-I-4)	3.17(23-I-4)	-80(22-I-3)	121(23-II-2)	-156(22-II-2)
114	10	-1.07(23-I-4)	-5.25(23-I-4)	1.77(22-II-3)	-109(23-I-3)	-108(23-I-3)	146(22-I-2)
114	11	-1.05(2)	-4.67(2)	-2.04(22-I-3)	-152(23-I-3)	144(23-II-3)	156(22-I-2)
114	12	-3.52(22-I-3)	-3.29(2)	-2.72(22-I-3)	-220(23-I-3)	451(2)	272(23-II-3)
114	13	-3.25(23-I-4)	-10.10(23-I-4)	4.25(23-I-4)	41(22-II-2)	216(23-II-2)	-166(22-II-2)
114	14	-0.73(23-I-4)	-4.74(22-II-3)	0.31(22-II-3)	-25(23-II-3)	-121(23-I-3)	132(22-I-2)
114	15	-0.63(22-I-3)	-4.40(2)	-0.46(22-I-3)	-20(23-I-3)	177(23-II-3)	144(22-I-2)
114	16	-2.80(2)	-8.35(2)	-3.88(22-I-3)	-139(23-I-2)	589(2)	299(23-II-3)
115	1	-1.12(22-I-3)	-4.31(23-I-3)	-3.10(23-I-2)	55(2)	427(2)	292(23-I-2)
115	2	-2.82(22-I-3)	-5.54(23-I-3)	-3.28(23-I-2)	58(23-I-3)	379(2)	312(23-I-2)
115	3	-4.71(22-I-3)	-6.97(23-I-3)	-2.83(23-I-2)	-62(23-II-3)	346(2)	310(23-I-2)
115	4	-8.66(22-I-3)	-7.85(23-I-3)	-2.11(23-I-3)	-98(22-II-2)	333(2)	264(23-I-2)
115	5	-1.18(23-I-3)	-3.41(2)	-2.34(22-II-3)	52(2)	460(2)	304(23-I-2)
115	6	-2.75(23-I-3)	-4.04(2)	-2.15(22-II-3)	32(22-I-2)	367(2)	301(23-I-2)
115	7	-4.52(23-I-3)	-4.29(2)	-1.69(22-II-3)	28(22-I-2)	295(2)	288(23-I-2)
115	8	-5.48(23-I-3)	-4.73(2)	-2.01(23-I-3)	-54(22-II-2)	239(2)	277(23-I-2)
115	9	-1.12(23-I-3)	-2.56(2)	-2.09(22-II-3)	39(2)	436(2)	285(23-I-2)
115	10	-2.46(23-I-3)	-2.86(2)	-1.93(22-II-3)	-19(22-II-3)	309(2)	269(23-I-2)
115	11	-3.61(23-I-3)	-3.01(2)	-1.59(22-II-3)	-62(23-I-2)	214(2)	247(23-I-2)
115	12	-4.30(23-I-3)	-3.08(2)	-1.55(23-I-4)	-107(23-I-2)	146(2)	225(23-I-2)
115	13	-0.97(23-I-3)	-1.90(2)	-1.76(22-II-3)	-24(22-II-3)	306(2)	201(23-I-2)
115	14	-2.14(23-I-3)	-2.09(2)	-1.67(22-II-3)	-118(22-II-3)	238(2)	180(23-I-2)
115	15	-3.03(23-I-3)	-2.36(2)	-1.33(22-II-3)	-207(2)	148(2)	170(23-I-2)
115	16	-3.64(23-I-3)	-2.55(2)	-1.02(23-I-4)	-280(2)	58(2)	159(23-I-2)
116	1	-0.88(22-II-3)	-3.27(23-I-2)	4.42(23-I-2)	31(2)	205(23-I-3)	-166(23-II-4)
116	2	2.88(22-I-3)	-2.78(22-II-3)	4.54(23-I-2)	64(23-I-2)	162(23-I-3)	-174(23-II-4)
116	3	5.21(22-I-3)	-1.98(22-II-3)	4.14(22-II-3)	109(23-I-2)	123(23-I-3)	-183(23-I-4)
116	4	8.15(22-I-3)	1.51(22-II-3)	3.62(22-II-3)	151(23-I-2)	92(23-I-2)	-171(23-I-4)
116	5	0.98(23-I-3)	-1.93(23-I-2)	3.27(22-II-3)	26(2)	112(2)	117(23-I-4)
116	6	3.58(23-I-3)	-0.81(2)	2.83(22-II-3)	44(2)	78(2)	115(23-I-4)
116	7	6.47(23-I-2)	-0.84(2)	1.83(22-II-3)	62(2)	39(2)	110(23-I-4)
116	8	9.99(23-I-2)	-1.79(23-I-3)	0.50(22-II-3)	71(2)	10(23-II-2)	79(23-I-4)
116	9	0.91(22-II-3)	-1.81(2)	-3.71(22-I-3)	30(2)	143(2)	182(23-I-4)
116	10	3.14(22-II-3)	-0.76(2)	-3.23(22-I-3)	50(2)	93(2)	189(23-I-4)
116	11	5.69(23-I-2)	-0.80(2)	-2.11(22-I-3)	71(2)	38(2)	186(23-I-4)
116	12	8.94(23-I-2)	-1.87(2)	-0.53(22-I-3)	80(2)	-20(23-I-4)	119(23-I-4)
116	13	-1.06(22-I-3)	-3.52(23-I-3)	-5.35(23-I-3)	43(2)	282(2)	232(23-II-2)
116	14	-2.79(22-I-3)	-3.18(23-I-3)	-5.53(23-I-3)	56(23-I-3)	240(2)	255(23-I-2)
116	15	-5.13(22-I-3)	-2.41(23-I-3)	-5.03(23-I-3)	82(23-I-3)	199(2)	288(2)
116	16	-8.37(22-I-3)	-1.23(22-II-3)	-4.18(23-I-3)	111(23-I-2)	159(2)	270(2)
117	1	-0.49(22-II-3)	-1.16(2)	-1.83(22-II-3)	36(23-II-2)	237(23-I-3)	-389(23-I-3)
117	2	-0.72(22-II-3)	-1.48(22-I-3)	-1.70(22-II-3)	64(22-II-2)	146(2)	-384(23-II-3)
117	3	-0.75(22-II-3)	-1.55(22-I-3)	-1.32(22-II-3)	102(22-II-2)	103(2)	-372(23-II-3)
117	4	-0.76(22-II-3)	-1.59(22-I-3)	-0.81(10)	135(22-II-2)	75(2)	-337(23-II-3)
117	5	-0.67(22-II-3)	-2.79(23-I-2)	-2.33(22-II-3)	54(2)	267(2)	-423(23-I-3)
117	6	-1.35(22-II-3)	-3.09(23-I-2)	-2.15(22-II-3)	83(23-II-2)	196(2)	-444(23-I-3)
117	7	-1.89(22-II-3)	-3.26(23-I-2)	-1.66(22-II-3)	100(23-II-2)	150(2)	-445(23-I-3)
117	8	-2.11(22-II-3)	-3.29(23-I-2)	-0.92(22-II-3)	118(22-II-2)	124(2)	-441(23-II-3)
117	9	-0.74(22-II-3)	-4.22(23-I-2)	-1.52(22-II-3)	46(2)	252(23-I-3)	-352(23-I-3)
117	10	-1.78(22-II-3)	-5.11(23-I-2)	-1.48(22-II-3)	84(23-I-2)	209(23-I-3)	-377(23-I-3)
117	11	-3.19(22-II-3)	-5.61(23-I-2)	-1.27(22-II-3)	120(23-I-2)	183(23-I-3)	-399(23-I-3)
117	12	-4.01(22-II-3)	-6.15(23-I-2)	-0.44(23-II-2)	138(23-II-2)	175(23-I-3)	-427(23-I-3)
117	13	-0.79(22-II-3)	-4.96(23-I-2)	2.44(23-I-2)	47(2)	278(23-I-3)	-273(23-I-3)
117	14	1.88(22-I-3)	-6.62(23-I-2)	2.53(23-I-2)	108(23-I-2)	239(23-I-3)	-301(23-I-3)
117	15	-3.28(22-II-3)	-8.28(23-I-2)	2.08(23-I-2)	178(23-I-2)	214(23-I-3)	-317(23-I-3)
117	16	-6.98(22-II-3)	-10.09(23-I-2)	1.11(23-I-2)	274(23-II-3)	215(23-I-2)	-322(23-I-3)
118	1	-3.37(23-I-3)	-10.75(22-I-3)	-4.26(23-I-3)	48(22-I-2)	228(23-II-3)	246(23-I-2)
118	2	-0.79(23-I-3)	-5.44(22-I-3)	-0.33(22-I-3)	-47(23-I-2)	-167(23-I-2)	236(23-I-2)

Muro	Pann.	Sxx	Syy	Sxy	Mxx	Myy	Mxy
118	3	-0.66(2)	-5.24(2)	0.43(22-II-3)	-20(23-I-3)	245(23-II-2)	325(23-I-2)
118	4	-2.84(2)	-9.04(2)	3.85(22-II-3)	-267(23-I-2)	624(2)	-587(23-II-2)
118	5	-4.48(23-I-3)	-5.34(23-I-3)	-3.09(23-I-3)	-81(23-I-2)	138(23-II-3)	233(23-I-2)
118	6	-1.09(23-I-3)	-5.81(23-I-3)	-1.87(22-I-3)	-155(23-I-2)	-146(23-I-3)	247(23-I-2)
118	7	-1.08(2)	-5.30(2)	1.95(22-II-3)	-241(23-I-2)	196(23-II-3)	342(23-I-2)
118	8	-3.49(22-II-3)	-3.66(2)	2.59(22-II-3)	-388(23-I-2)	473(23-II-3)	-510(23-II-2)
118	9	-4.23(23-I-3)	-3.80(2)	-2.09(23-I-3)	-197(23-I-2)	65(23-II-3)	194(23-I-2)
118	10	-1.85(23-I-3)	-4.67(2)	-2.07(22-I-3)	-317(23-I-2)	-125(23-I-3)	212(23-I-2)
118	11	-1.75(2)	-4.19(23-I-3)	1.99(22-II-3)	-444(23-I-2)	-157(23-I-3)	282(23-I-2)
118	12	-2.73(22-II-3)	-2.69(23-I-3)	1.57(22-II-3)	-605(23-I-2)	386(23-II-3)	-416(23-II-2)
118	13	-3.88(23-I-3)	-3.15(2)	-1.22(23-I-3)	-361(2)	-38(23-I-2)	149(23-I-2)
118	14	-2.28(23-I-3)	-3.74(2)	-1.90(22-I-3)	-478(23-I-2)	-126(23-I-3)	165(23-I-2)
118	15	-2.20(2)	-3.61(23-I-3)	1.63(22-II-3)	-664(23-I-2)	-136(23-I-3)	208(23-I-2)
118	16	-2.11(2)	-2.60(23-I-3)	-0.82(22-I-3)	-940(23-I-2)	309(23-II-3)	232(23-I-2)
119	1	-7.03(22-II-3)	-5.90(2)	0.87(2)	-501(23-I-2)	744(2)	-531(23-II-2)
119	2	-1.46(22-II-2)	-4.72(2)	1.12(23-I-3)	-400(23-I-2)	775(2)	-509(23-II-2)
119	3	3.64(23-I-3)	-3.05(2)	1.21(23-I-3)	-351(22-II-2)	791(2)	-424(23-II-2)
119	4	8.24(22-II-3)	-2.34(2)	0.95(23-I-3)	-350(22-II-2)	784(2)	-146(23-II-2)
119	5	-2.95(22-II-3)	-2.56(2)	0.65(23-II-2)	-491(23-I-2)	844(2)	-604(23-II-2)
119	6	1.02(22-I-2)	-2.01(23-I-3)	-0.69(22-II-3)	-500(23-I-2)	995(2)	-539(23-II-2)
119	7	3.65(23-I-3)	-1.66(2)	-0.90(22-II-3)	-485(23-I-2)	1130(2)	-455(23-II-2)
119	8	6.83(23-I-3)	-1.36(2)	-0.71(23-II-3)	-503(23-I-2)	1194(2)	-208(23-II-2)
119	9	-1.12(22-II-2)	-1.60(23-I-3)	0.66(23-II-2)	-697(23-I-2)	903(2)	-519(23-II-2)
119	10	1.73(23-I-3)	-1.51(23-I-3)	-0.67(23-I-2)	756(23-II-2)	1197(2)	-487(23-II-2)
119	11	3.85(23-II-3)	-1.20(23-I-3)	-0.68(23-I-2)	837(23-II-2)	1519(2)	-400(23-II-2)
119	12	5.95(23-II-3)	-1.04(23-I-3)	-0.48(23-II-3)	885(23-II-2)	2021(2)	-176(23-II-2)
119	13	-1.00(23-II-3)	1.65(23-II-3)	-1.01(23-I-2)	-1129(23-I-2)	762(2)	-295(23-II-2)
119	14	1.99(23-I-3)	2.21(23-II-3)	-0.96(23-I-2)	-1185(23-I-2)	1666(2)	-295(23-II-2)
119	15	3.99(23-II-3)	2.36(23-II-3)	-0.71(23-I-2)	1363(23-II-2)	2512(2)	395(23-I-2)
119	16	6.58(23-II-3)	1.48(23-II-3)	0.86(23-II-2)	1451(23-II-2)	2586(2)	328(2)
120	1	7.93(22-II-3)	-0.73(22-II-3)	-2.67(22-I-3)	798(23-I-2)	262(2)	409(23-II-3)
120	2	3.22(22-I-3)	-1.26(22-I-3)	-2.84(22-I-3)	793(23-I-2)	304(2)	426(23-II-3)
120	3	-1.34(22-II-2)	-1.56(22-I-3)	-2.52(22-I-3)	803(23-I-2)	317(2)	368(23-II-3)
120	4	-5.16(22-II-3)	-1.50(22-I-3)	-1.69(23-I-3)	803(23-I-2)	315(2)	117(23-II-3)
120	5	8.39(2)	-1.53(2)	-0.45(22-I-3)	1097(23-I-2)	-33(2)	108(23-II-4)
120	6	4.03(23-I-2)	-0.62(2)	-1.43(22-I-3)	1105(23-I-2)	30(23-II-2)	177(23-II-4)
120	7	-2.38(23-II-2)	-0.87(2)	-1.68(22-I-3)	1117(23-I-2)	64(23-II-2)	175(23-II-4)
120	8	-6.25(2)	-0.86(2)	-1.26(22-I-3)	1103(23-I-2)	84(23-I-3)	82(23-II-3)
120	9	6.70(22-I-2)	-1.44(2)	0.64(22-II-3)	-991(23-II-3)	-34(2)	-66(23-II-4)
120	10	3.16(23-I-2)	-0.56(2)	2.06(22-II-3)	-1008(23-II-3)	32(23-II-3)	-114(23-II-4)
120	11	-2.32(23-II-2)	-0.76(2)	2.45(22-II-3)	-1040(23-II-3)	70(23-II-3)	-111(23-II-4)
120	12	-5.02(2)	-0.73(23-I-3)	1.87(22-II-3)	-1040(23-II-3)	105(23-II-2)	-67(23-II-4)
120	13	-9.22(22-II-3)	0.82(22-II-3)	3.52(22-II-3)	-419(23-II-4)	266(2)	-338(23-II-2)
120	14	-3.51(22-II-3)	-1.80(22-II-3)	3.72(2)	-465(23-II-3)	333(2)	-343(23-II-2)
120	15	1.98(23-I-3)	-2.09(2)	3.33(2)	-515(23-II-3)	370(2)	-287(23-II-2)
120	16	5.63(22-II-3)	-2.03(2)	2.13(2)	-540(23-II-3)	384(2)	-80(23-II-2)
121	1	5.86(22-I-3)	-2.23(2)	-0.82(23-I-2)	586(22-II-2)	722(2)	195(23-II-3)
121	2	2.54(22-I-3)	-3.26(2)	-1.01(22-II-3)	628(22-II-2)	745(2)	515(23-II-3)
121	3	1.96(23-I-3)	-4.75(2)	-0.97(22-II-3)	615(22-II-2)	739(2)	617(23-II-3)
121	4	-4.21(22-I-3)	-6.61(2)	-0.38(22-II-3)	628(22-II-2)	724(2)	639(23-II-3)
121	5	4.77(22-I-3)	-1.75(2)	0.85(22-I-3)	677(22-II-2)	1191(2)	307(23-II-3)
121	6	2.16(22-I-3)	-2.33(2)	1.28(22-I-3)	704(22-II-2)	1113(2)	569(23-II-3)
121	7	1.25(23-I-3)	-2.99(2)	1.34(22-I-3)	672(22-II-2)	991(2)	668(23-II-3)
121	8	-1.84(22-I-3)	-3.54(2)	1.07(2)	615(22-II-2)	855(2)	743(23-II-3)
121	9	3.26(22-I-3)	-1.46(22-II-3)	0.96(2)	837(22-II-2)	2011(2)	352(23-II-3)
121	10	1.63(22-I-3)	-1.58(22-II-3)	1.47(2)	833(22-II-2)	1594(2)	550(23-II-3)
121	11	0.75(23-II-3)	-1.89(22-II-3)	1.70(23-I-2)	756(22-II-2)	1235(2)	653(23-II-3)
121	12	-0.79(23-I-3)	-1.85(23-I-2)	1.80(23-I-2)	687(22-II-2)	902(2)	691(23-II-3)
121	13	2.19(22-I-3)	-2.06(23-I-2)	0.82(23-I-2)	1087(23-II-3)	2926(2)	217(23-II-3)
121	14	1.08(22-I-3)	-1.86(23-I-2)	1.37(23-I-2)	991(23-II-3)	2288(2)	343(23-II-3)
121	15	-0.53(22-I-3)	-1.66(23-I-2)	1.64(23-I-2)	885(23-II-3)	1520(2)	446(23-II-3)
121	16	-0.54(23-I-3)	-1.65(23-I-2)	1.78(23-I-2)	738(23-II-3)	927(2)	426(23-II-3)
122	1	-2.27(22-I-3)	-9.63(2)	-2.46(22-I-3)	335(22-II-2)	728(2)	721(23-II-3)
122	2	-0.60(22-I-3)	-9.39(2)	0.52(22-II-3)	30(22-II-2)	309(23-II-3)	392(23-II-3)
122	3	-0.87(22-II-3)	-10.46(2)	0.44(22-II-3)	46(23-II-3)	192(23-II-3)	-364(23-I-3)
122	4	-3.10(22-II-3)	-13.52(23-I-2)	3.49(22-II-3)	153(23-II-3)	222(23-I-2)	-473(23-II-3)

Muro	Pann.	Sxx	Syy	Sxy	Mxx	Myy	Mxy
122	5	-2.28(22-I-3)	-4.89(2)	1.42(22-II-3)	438(22-II-2)	544(2)	633(23-II-3)
122	6	-0.48(2)	-6.78(2)	1.50(22-II-3)	232(22-II-2)	240(23-II-3)	418(23-II-3)
122	7	-0.53(2)	-7.67(2)	2.05(22-II-3)	147(22-II-2)	153(23-II-3)	-399(23-I-3)
122	8	-3.17(22-II-3)	-6.93(2)	1.84(22-II-3)	128(22-II-2)	155(23-II-2)	-428(23-II-3)
122	9	-1.38(22-I-3)	-2.73(23-I-2)	1.60(22-II-3)	524(22-II-2)	389(2)	574(23-II-3)
122	10	-0.44(2)	-3.79(23-I-2)	2.06(22-II-3)	333(22-II-2)	145(23-II-2)	372(23-II-3)
122	11	-0.53(2)	-4.04(23-I-2)	2.17(22-II-3)	233(22-II-2)	99(23-II-3)	-385(23-II-3)
122	12	-1.95(22-II-3)	-3.51(23-I-2)	0.94(22-II-3)	163(22-II-2)	94(23-II-3)	-424(23-II-3)
122	13	-0.48(23-I-3)	-1.51(23-I-2)	1.61(23-I-2)	512(23-II-3)	255(23-II-2)	380(23-II-3)
122	14	-0.33(22-II-2)	-1.46(23-I-2)	1.77(22-II-3)	364(22-II-2)	78(23-II-2)	312(23-I-3)
122	15	-0.29(2)	-1.11(23-I-2)	1.68(22-II-3)	295(22-II-2)	61(23-II-3)	-344(23-II-3)
122	16	-0.61(22-II-3)	-1.53(22-I-3)	-0.67(22-I-3)	201(22-II-2)	54(23-II-3)	-331(23-II-3)
123	1	-2.75(2)	-1.20(23-II-4)	-1.42(23-I-4)	-154(22-I-4)	64(22-I-4)	-160(22-I-4)
123	2	-3.28(2)	-0.40(2)	-1.84(23-I-4)	-219(2)	-67(2)	-253(22-I-4)
123	3	-3.30(2)	0.17(2)	-1.69(23-I-4)	-213(2)	-68(22-I-4)	247(22-II-4)
123	4	-2.81(2)	1.36(2)	-1.27(23-I-4)	-146(22-I-3)	-124(23-I-3)	188(22-II-4)
123	5	-2.18(2)	-1.09(23-II-4)	-1.40(23-I-4)	-222(22-I-4)	-48(22-II-4)	-164(22-I-4)
123	6	-3.39(2)	-0.38(2)	-1.89(23-I-4)	-261(2)	-62(2)	-260(22-I-4)
123	7	-3.45(2)	0.03(22-II-3)	-1.69(23-I-4)	-250(2)	-59(2)	248(22-II-4)
123	8	-2.94(2)	1.12(2)	-1.25(23-I-4)	-126(22-I-3)	-89(23-I-3)	209(22-II-4)
123	9	-2.12(2)	-0.84(23-II-4)	-1.40(23-I-4)	-314(22-I-4)	-34(23-II-4)	-165(22-I-4)
123	10	-3.54(2)	-0.39(2)	-1.87(23-I-4)	-308(2)	-57(2)	-251(22-I-4)
123	11	-3.50(2)	-0.09(23-I-4)	-1.73(23-I-4)	-291(2)	-56(2)	248(22-II-4)
123	12	-3.09(2)	0.66(2)	-1.47(23-I-4)	-94(22-II-3)	-47(22-I-4)	232(22-II-4)
123	13	-2.42(2)	-0.51(2)	-1.22(23-I-4)	-446(22-I-4)	-46(22-I-4)	-165(22-I-4)
123	14	-4.27(2)	-0.49(2)	-1.67(23-I-4)	-354(2)	-51(2)	-236(22-I-4)
123	15	-3.55(2)	-0.28(2)	-2.04(23-I-4)	-330(2)	-49(2)	248(22-II-4)
123	16	-2.41(2)	0.07(2)	-2.19(23-I-4)	-80(23-II-3)	-9(2)	259(22-II-4)
124	1	-1.09(23-II-4)	-3.49(2)	1.46(23-I-4)	125(22-I-4)	-69(22-I-4)	153(22-I-4)
124	2	-0.32(2)	-4.02(2)	1.58(23-I-4)	220(22-I-4)	-40(22-II-4)	-167(22-II-4)
124	3	1.17(23-II-4)	-4.31(2)	1.74(23-I-4)	317(23-I-4)	-141(22-II-4)	-164(22-II-4)
124	4	2.21(23-II-4)	-4.62(2)	1.75(23-I-4)	419(23-I-4)	-180(22-II-4)	-119(22-II-1)
124	5	-0.28(2)	-2.85(2)	1.81(23-I-4)	-89(23-I-4)	-152(2)	253(22-I-4)
124	6	-0.23(23-I-1)	-2.42(2)	1.72(23-I-4)	-127(23-I-4)	-91(2)	-240(22-II-4)
124	7	0.31(23-II-1)	-1.81(2)	1.51(23-I-4)	-154(23-I-4)	-80(22-II-4)	-237(22-II-4)
124	8	0.64(23-II-1)	-1.01(2)	1.18(23-I-4)	-182(23-I-4)	-72(22-II-3)	-226(22-II-4)
124	9	0.41(2)	-2.92(2)	1.44(23-I-4)	-97(23-I-3)	-162(2)	-240(22-II-4)
124	10	0.63(2)	-2.53(2)	1.10(23-I-4)	-141(23-I-3)	-110(2)	-231(22-II-4)
124	11	0.67(2)	-1.96(2)	-1.25(23-II-4)	-175(23-I-3)	-76(2)	-230(22-II-4)
124	12	0.83(23-I-3)	-1.20(2)	-1.36(23-II-4)	-209(23-I-3)	-57(22-I-3)	-228(22-II-4)
124	13	1.50(2)	-2.97(2)	0.87(23-I-4)	-179(22-I-4)	-141(22-I-3)	-166(22-II-4)
124	14	1.37(2)	-2.93(2)	-0.60(23-II-4)	-260(22-I-4)	-96(22-I-3)	-144(22-II-4)
124	15	1.77(2)	-3.10(2)	-0.65(23-II-4)	-332(22-I-4)	-55(22-I-4)	160(22-I-4)
124	16	2.08(2)	-3.50(2)	-0.99(23-II-4)	-401(22-I-4)	-67(22-I-4)	151(22-I-4)
125	1	2.11(23-II-1)	-4.74(2)	1.99(2)	480(23-I-4)	-136(23-II-4)	-106(22-II-1)
125	2	1.75(23-II-1)	-4.50(2)	2.23(2)	506(23-I-4)	-180(22-I-4)	-108(22-II-1)
125	3	-1.81(23-I-1)	-3.71(2)	2.38(2)	-532(23-II-4)	-355(22-I-4)	-124(22-II-4)
125	4	-2.37(23-I-1)	-4.11(2)	2.99(2)	-540(23-II-4)	-497(22-I-4)	110(22-I-4)
125	5	0.98(23-II-1)	-0.66(2)	0.87(23-I-4)	-203(23-I-4)	-78(23-I-4)	-221(22-II-4)
125	6	1.24(23-II-1)	-0.30(23-I-3)	0.65(23-I-4)	-213(23-I-4)	-88(23-I-4)	-229(22-II-4)
125	7	1.66(2)	0.37(2)	-0.60(23-II-4)	-222(23-I-4)	-98(23-I-4)	-206(22-II-4)
125	8	2.04(2)	-0.57(2)	-0.34(23-II-4)	-226(23-I-4)	-114(23-I-4)	-103(22-II-4)
125	9	1.21(23-I-3)	-0.51(10)	-1.33(23-II-4)	-233(23-I-3)	-62(22-I-4)	-230(22-II-4)
125	10	1.41(23-I-3)	-0.29(1)	-1.00(23-II-4)	-240(23-I-3)	-80(22-I-4)	-233(22-II-4)
125	11	1.72(23-I-3)	-0.19(20)	-0.52(23-II-4)	-244(23-I-3)	-101(22-I-4)	-206(22-II-4)
125	12	2.04(23-I-3)	-0.18(23-II-4)	-0.37(23-II-4)	-242(23-I-3)	-122(22-I-4)	-115(22-II-4)
125	13	1.65(23-I-3)	-3.68(2)	-1.43(23-II-4)	-442(22-I-4)	-96(22-I-4)	156(22-I-4)
125	14	-1.69(23-II-3)	-4.79(2)	-1.38(23-II-3)	460(22-II-4)	108(22-II-4)	162(22-I-4)
125	15	-3.30(23-II-3)	-5.83(2)	-1.57(23-II-3)	500(22-II-4)	187(22-II-4)	162(22-I-4)
125	16	-5.34(23-II-3)	-3.66(2)	-2.86(2)	526(23-II-3)	313(22-II-4)	125(22-I-4)
126	1	-2.47(2)	-2.23(23-II-4)	-1.07(2)	-120(22-I-4)	75(22-I-4)	-116(23-II-4)
126	2	-2.74(2)	-0.69(2)	-1.17(23-I-3)	-208(2)	-63(23-II-4)	-221(22-I-4)
126	3	-2.99(2)	-0.27(2)	-0.97(23-I-1)	-217(2)	-69(2)	231(22-II-4)
126	4	-3.08(2)	0.33(2)	-0.79(23-I-1)	-151(22-I-3)	-62(23-II-3)	189(22-II-4)
126	5	-2.14(2)	-1.79(23-II-4)	-1.35(2)	-177(22-I-4)	-46(22-II-4)	-122(23-II-4)
126	6	-2.85(2)	-0.58(2)	-1.19(23-I-3)	-250(2)	-57(2)	-231(22-I-4)

Muro	Pann.	Sxx	Syy	Sxy	Mxx	Myy	Mxy
126	7	-3.21(2)	-0.32(2)	-0.97(23-I-1)	-258(2)	-64(2)	237(22-II-4)
126	8	-3.49(2)	0.25(2)	-0.79(23-I-1)	-153(22-I-3)	-50(23-II-3)	203(22-II-4)
126	9	-2.32(2)	-1.20(23-II-4)	-1.57(2)	-253(22-I-4)	-29(23-I-3)	-129(22-I-4)
126	10	-3.04(2)	-0.48(2)	-1.18(23-I-3)	-296(2)	-53(2)	-225(22-I-4)
126	11	-3.33(2)	-0.34(2)	-0.96(23-I-1)	-298(2)	-57(2)	232(22-II-4)
126	12	-3.68(2)	0.09(23-I-4)	-0.91(23-I-1)	-191(2)	-35(23-II-3)	216(22-II-4)
126	13	-2.71(2)	-0.58(2)	-1.37(2)	-361(22-I-4)	-35(22-I-4)	-138(22-I-4)
126	14	-3.47(2)	-0.45(2)	-1.01(23-I-3)	-341(2)	-48(2)	-213(22-I-4)
126	15	-3.54(2)	-0.39(2)	-1.07(23-I-1)	-334(2)	-48(2)	224(22-II-4)
126	16	-3.24(2)	-0.19(2)	-1.32(2)	-265(2)	-35(2)	228(22-II-4)
127	1	-2.39(23-II-4)	-2.92(2)	0.96(23-I-4)	137(22-I-4)	-54(22-I-4)	112(23-II-4)
127	2	-1.42(23-II-4)	-3.50(2)	1.02(23-I-4)	229(23-I-3)	32(22-I-4)	-128(23-I-4)
127	3	-0.19(23-I-1)	-3.81(2)	1.17(23-I-4)	338(23-I-3)	120(22-I-4)	-137(23-I-4)
127	4	1.07(23-II-1)	-3.97(2)	1.32(23-I-1)	448(23-I-3)	-103(22-II-4)	-142(23-I-4)
127	5	-0.81(2)	-2.35(2)	1.16(23-I-3)	-91(23-II-3)	-137(2)	215(22-I-4)
127	6	-0.84(2)	-1.96(2)	1.15(23-I-4)	-131(23-II-3)	-69(2)	-194(22-II-4)
127	7	-0.65(2)	-1.50(2)	1.08(23-I-4)	-161(23-II-3)	-53(22-II-4)	-189(22-II-4)
127	8	-0.32(23-I-4)	-0.97(2)	0.91(23-I-4)	-190(23-II-3)	-54(23-II-3)	-184(22-II-4)
127	9	-0.21(23-II-4)	-2.67(2)	0.88(23-I-1)	-76(23-I-3)	-156(22-I-3)	-225(22-II-4)
127	10	-0.19(23-II-4)	-2.38(2)	0.71(23-I-1)	-101(23-I-3)	-98(22-I-3)	-213(22-II-4)
127	11	-0.26(23-II-4)	-2.01(2)	-0.83(23-II-3)	-119(23-I-3)	-63(22-I-3)	214(22-I-4)
127	12	-0.49(23-II-3)	-0.98(2)	-1.06(23-II-3)	-134(23-I-3)	-52(22-I-3)	211(22-I-4)
127	13	0.31(2)	-3.08(2)	0.70(23-I-1)	-90(23-II-3)	-134(22-I-3)	-174(22-II-4)
127	14	0.35(2)	-3.11(2)	0.61(23-I-1)	-148(23-II-3)	-83(22-I-3)	164(22-I-4)
127	15	1.07(2)	-3.37(2)	0.62(23-I-1)	-227(23-II-3)	-39(22-I-4)	171(22-I-4)
127	16	1.85(2)	-4.61(2)	0.69(23-I-3)	-316(23-II-3)	-57(22-I-4)	180(22-I-4)
128	1	1.25(23-II-1)	-4.16(2)	1.51(2)	515(23-I-3)	-107(23-II-3)	-135(23-I-4)
128	2	1.20(23-II-1)	-3.29(2)	1.72(2)	545(23-I-3)	-197(22-I-4)	-129(23-I-4)
128	3	-1.31(23-I-1)	-2.19(2)	1.82(2)	574(23-I-3)	-360(22-I-4)	-125(22-II-4)
128	4	-1.78(23-I-1)	-3.70(2)	2.38(2)	586(23-I-3)	-486(22-I-4)	-109(22-II-4)
128	5	0.65(23-II-4)	-0.80(2)	0.69(23-I-4)	-210(23-II-3)	-76(23-II-3)	-188(22-II-4)
128	6	1.04(2)	0.27(2)	0.51(23-I-4)	-220(23-II-3)	-87(23-II-3)	-198(22-II-4)
128	7	1.53(2)	0.97(2)	-0.53(23-II-4)	-229(23-II-3)	-93(23-II-3)	-184(22-II-4)
128	8	1.64(2)	-1.23(2)	-0.31(23-II-4)	-231(23-II-3)	-107(23-II-3)	-95(22-II-4)
128	9	0.86(23-I-3)	0.48(2)	-1.10(23-II-3)	-144(23-I-3)	-61(23-I-3)	210(22-I-4)
128	10	1.06(23-I-3)	0.48(2)	-0.80(23-II-3)	-150(23-I-3)	-76(23-I-3)	195(22-I-4)
128	11	1.44(23-I-3)	-0.22(20)	0.66(23-I-4)	-155(23-I-3)	-90(23-II-3)	-177(22-II-4)
128	12	2.05(2)	0.18(2)	0.69(2)	-155(23-I-3)	-97(23-II-3)	-106(22-II-4)
128	13	1.39(23-I-3)	-6.65(2)	0.60(23-I-3)	-369(23-II-3)	-102(22-I-4)	197(22-I-4)
128	14	-1.50(23-II-3)	-12.31(2)	-0.93(23-II-3)	-385(23-II-3)	-119(22-I-3)	196(22-I-4)
128	15	-3.65(2)	-15.82(2)	-2.05(2)	-400(23-II-3)	-148(22-I-3)	188(22-I-4)
128	16	-8.38(2)	-10.28(2)	-6.53(2)	-410(23-II-3)	-212(22-I-4)	140(22-I-4)
129	1	-7.82(22-I-4)	-21.23(22-I-4)	-10.72(22-I-4)	-120(22-I-4)	-1116(22-I-4)	-266(23-II-2)
129	2	-4.16(22-I-4)	-21.51(22-I-4)	-8.24(22-I-4)	-60(22-I-4)	-779(22-I-4)	-203(23-II-2)
129	3	-1.80(22-I-4)	-18.07(22-I-4)	-5.28(22-I-4)	-37(22-I-4)	-543(22-I-4)	-165(23-II-2)
129	4	-1.26(22-I-4)	-14.00(2)	-3.58(22-I-4)	-26(2)	-383(2)	-142(23-II-2)
129	5	-3.70(22-I-4)	-2.64(22-II-4)	-3.17(23-II-3)	-88(2)	-721(2)	-289(23-II-2)
129	6	-5.78(22-I-4)	-4.42(2)	-5.70(22-I-4)	-68(2)	-581(2)	-237(23-II-2)
129	7	-5.02(22-I-4)	-5.85(2)	-6.16(22-I-4)	-52(2)	-440(2)	-197(23-II-2)
129	8	-3.61(22-I-4)	-6.84(2)	-5.52(22-I-4)	-45(23-I-2)	-313(2)	-172(23-II-2)
129	9	-1.54(2)	-1.56(22-II-4)	-1.35(23-II-3)	-53(2)	-526(2)	-242(23-II-2)
129	10	-2.94(23-II-3)	-1.76(22-II-4)	-2.02(23-II-3)	-27(23-I-2)	-423(2)	-212(23-II-2)
129	11	-3.96(23-II-3)	-2.21(2)	-3.00(22-I-4)	36(23-II-2)	-312(2)	-179(23-II-2)
129	12	-3.95(23-II-3)	-3.16(2)	-3.64(22-I-4)	62(23-II-2)	-214(2)	-153(23-II-2)
129	13	-1.10(2)	-0.82(22-II-3)	-0.71(23-II-4)	-24(22-II-4)	-412(2)	-148(23-II-2)
129	14	-2.28(2)	-1.03(2)	-0.94(23-II-4)	103(22-I-4)	-336(2)	-142(23-II-2)
129	15	-3.09(2)	-1.77(2)	-1.27(22-I-4)	159(22-I-4)	-230(2)	-134(23-II-2)
129	16	-3.55(2)	-2.28(2)	-1.92(22-I-4)	206(2)	-111(2)	-125(23-II-2)
130	1	-0.83(23-II-2)	-4.90(23-II-2)	-3.05(23-II-2)	207(23-II-2)	1341(23-II-2)	481(23-II-2)
130	2	-0.76(22-I-4)	-5.17(23-II-2)	-2.17(2)	223(23-II-2)	973(23-II-2)	269(23-II-2)
130	3	-0.60(22-I-4)	-4.79(23-II-2)	-1.61(2)	172(23-II-2)	512(23-II-2)	179(23-II-2)
130	4	-0.51(2)	-4.10(23-II-2)	-1.31(22-I-4)	163(22-II-4)	217(23-II-2)	162(23-II-2)
130	5	-1.05(23-II-2)	-3.34(22-I-2)	-2.34(2)	-115(23-I-2)	-857(23-I-2)	422(23-II-2)
130	6	-1.64(23-II-2)	-3.51(22-I-2)	-1.66(2)	-103(23-I-2)	-658(23-I-2)	292(23-II-2)
130	7	-1.89(23-II-2)	-3.97(23-II-2)	-1.41(22-I-2)	98(23-II-2)	-488(23-I-2)	215(23-II-2)
130	8	-1.63(22-II-2)	-4.46(23-II-2)	-1.43(22-I-2)	107(23-II-2)	-329(23-I-2)	188(23-II-2)

Muro	Pann.	Sxx	Syy	Sxy	Mxx	Myy	Mxy
130	9	-2.65(22-II-2)	-4.00(22-I-4)	-0.48(22-I-2)	-93(23-I-2)	-761(23-I-2)	400(23-II-2)
130	10	-3.95(22-II-2)	-5.83(2)	2.35(22-II-2)	-84(23-I-2)	-670(23-I-2)	310(23-II-2)
130	11	-3.22(22-II-2)	-7.25(2)	2.90(22-II-2)	-79(23-I-2)	-540(23-I-2)	244(23-II-2)
130	12	-2.12(22-II-2)	-8.18(2)	2.68(22-II-2)	-81(23-I-2)	-413(23-I-2)	211(23-II-2)
130	13	-5.60(22-II-2)	-18.10(22-II-2)	7.01(22-II-2)	-99(22-II-2)	-943(22-II-2)	304(23-II-2)
130	14	-2.89(22-II-2)	-18.83(22-II-2)	5.25(22-II-2)	-49(22-II-2)	-723(23-I-2)	252(23-II-2)
130	15	-1.23(22-II-2)	-16.80(22-II-2)	3.17(22-II-2)	-34(2)	-583(23-I-2)	212(23-II-2)
130	16	-0.79(22-II-2)	-15.17(2)	2.08(22-II-2)	-28(2)	-458(23-I-2)	187(23-II-2)
131	1	0.10(22-II-4)	-9.75(2)	-1.76(22-I-4)	-15(23-I-2)	-148(2)	140(23-I-2)
131	2	0.57(22-I-4)	-6.82(2)	-0.75(22-I-4)	-30(23-I-2)	111(23-II-2)	207(23-I-2)
131	3	-1.10(22-II-4)	-6.10(2)	-0.51(22-I-4)	20(23-II-2)	184(23-II-2)	294(23-I-2)
131	4	-3.88(22-II-4)	-12.39(22-II-4)	5.32(22-II-4)	-253(23-I-2)	-246(23-I-2)	536(23-I-2)
131	5	-1.74(2)	-7.22(2)	-3.78(22-I-4)	-49(23-I-2)	-112(23-I-2)	147(23-I-2)
131	6	-0.75(2)	-6.34(2)	-2.05(22-I-4)	96(23-II-2)	95(23-II-2)	218(23-I-2)
131	7	-0.89(22-II-2)	-6.13(2)	2.34(22-II-4)	-163(23-I-2)	152(23-II-2)	305(23-I-2)
131	8	-5.04(22-II-2)	-4.87(2)	2.65(22-II-2)	-333(23-I-2)	161(23-II-2)	433(23-I-2)
131	9	-2.77(2)	-4.77(2)	-3.53(22-I-4)	118(23-II-2)	-64(23-I-2)	133(23-I-2)
131	10	-1.43(2)	-5.58(2)	-2.76(22-I-4)	190(23-II-2)	77(23-II-2)	188(23-I-2)
131	11	-1.26(22-II-2)	-5.35(2)	2.31(22-II-4)	275(23-II-2)	112(23-II-2)	242(23-I-2)
131	12	-3.60(22-II-2)	-4.43(2)	0.94(23-I-3)	-466(23-I-2)	158(23-II-2)	333(23-I-2)
131	13	-3.28(2)	-3.47(2)	-2.59(22-I-4)	247(23-II-2)	-23(23-I-2)	-113(23-I-2)
131	14	-1.89(2)	-4.68(2)	-2.69(22-I-4)	282(23-II-2)	73(23-II-2)	142(23-I-2)
131	15	-1.41(23-I-4)	-4.83(2)	1.92(22-II-4)	361(23-II-2)	82(23-II-2)	163(23-I-2)
131	16	-1.37(22-II-2)	-4.66(2)	-0.71(23-II-3)	573(23-II-2)	162(23-II-2)	202(23-I-2)
132	1	-3.29(22-II-2)	-1.55(22-I-3)	-1.72(23-II-2)	132(22-II-2)	334(23-II-2)	191(23-I-2)
132	2	-4.27(2)	-4.02(22-I-4)	-1.53(2)	120(22-II-2)	-278(23-I-4)	291(23-I-2)
132	3	-6.42(2)	-5.78(22-I-4)	-2.08(22-II-2)	-108(22-I-2)	-229(23-I-4)	341(23-I-2)
132	4	-14.43(22-I-4)	-4.10(22-I-4)	5.39(22-I-4)	-146(22-I-2)	-191(23-I-4)	382(23-I-2)
132	5	-2.54(2)	0.12(23-II-3)	-1.46(22-II-1)	56(22-II-2)	-295(22-I-4)	-220(23-II-2)
132	6	-5.50(2)	-0.68(22-I-2)	-2.03(22-II-2)	71(22-II-4)	-179(22-I-3)	-278(23-II-2)
132	7	-8.77(2)	-0.69(22-I-4)	-1.84(22-II-2)	-96(22-I-2)	-110(23-I-4)	-303(23-II-2)
132	8	-11.19(2)	-1.36(22-I-4)	-0.62(22-II-2)	-117(22-I-2)	-13(22-I-4)	-280(23-II-2)
132	9	-2.35(2)	0.13(2)	-1.57(22-II-1)	-58(22-I-4)	-226(22-I-4)	-228(23-II-2)
132	10	-5.76(2)	-0.21(22-II-2)	-2.04(22-II-2)	-67(22-I-4)	-140(22-I-4)	-259(23-II-2)
132	11	-8.99(2)	-0.24(2)	-1.68(22-II-2)	-87(22-I-4)	-70(22-I-4)	-262(23-II-2)
132	12	-12.23(2)	-0.34(22-I-4)	-0.66(22-II-2)	-100(22-I-4)	-25(23-I-3)	-240(23-II-2)
132	13	-2.94(22-I-2)	-0.17(23-II-2)	1.23(22-I-4)	-53(23-I-2)	192(22-II-4)	-175(23-II-2)
132	14	-5.34(23-II-2)	-0.73(22-II-2)	-1.68(22-II-2)	-116(23-I-2)	84(23-II-2)	-211(23-II-2)
132	15	-9.20(2)	-0.73(22-II-2)	-2.10(22-II-2)	-197(23-I-2)	-74(23-I-2)	-216(23-II-2)
132	16	-13.53(2)	0.05(22-I-2)	-1.06(22-II-2)	-245(23-I-2)	-23(23-I-2)	-209(23-II-2)
133	1	-7.58(2)	-13.25(22-I-4)	-0.72(22-I-4)	-121(23-II-2)	357(23-II-4)	321(23-I-4)
133	2	-5.04(22-II-2)	-5.83(22-I-4)	-1.82(22-I-4)	-147(23-II-2)	338(23-II-4)	398(23-I-2)
133	3	-5.22(22-II-2)	-3.00(22-I-4)	-3.85(22-I-4)	183(23-I-2)	401(23-II-4)	341(23-I-2)
133	4	-3.97(2)	-1.65(22-I-4)	-3.59(22-I-4)	245(23-I-2)	477(23-II-2)	228(22-I-4)
133	5	-5.47(2)	3.09(22-II-4)	1.66(22-II-4)	-160(23-II-2)	317(23-II-4)	357(23-I-2)
133	6	-5.33(22-I-3)	-1.97(22-I-4)	-3.67(22-I-4)	-189(23-II-2)	375(23-II-4)	415(23-I-2)
133	7	-5.76(22-II-2)	-0.92(22-I-4)	-4.46(22-I-4)	241(23-I-2)	469(23-II-4)	389(23-I-2)
133	8	-4.63(2)	-0.80(22-I-4)	-4.29(22-I-4)	436(23-I-2)	550(23-II-2)	298(22-I-4)
133	9	-3.43(2)	5.98(22-I-2)	1.90(22-II-4)	-197(23-II-2)	296(23-II-4)	359(23-I-2)
133	10	-4.62(22-II-3)	5.50(22-I-2)	-3.63(22-I-4)	-232(23-II-2)	391(23-II-4)	441(23-I-2)
133	11	-5.30(22-II-2)	4.34(22-I-2)	-4.02(22-I-4)	-305(23-II-2)	536(23-II-4)	440(23-I-2)
133	12	-5.40(2)	2.49(22-I-2)	-4.15(22-I-4)	635(23-I-2)	659(23-II-2)	344(23-I-2)
133	13	-2.31(2)	15.71(22-I-2)	1.70(22-II-4)	-233(23-II-2)	-255(23-II-4)	128(23-I-4)
133	14	-4.00(22-II-3)	13.24(22-I-2)	-2.76(22-I-4)	-288(22-II-4)	377(23-II-4)	233(23-I-2)
133	15	-5.65(22-II-3)	11.10(22-I-2)	-2.65(22-I-4)	-406(23-II-2)	563(23-II-4)	267(23-I-2)
133	16	-5.40(22-I-3)	10.52(22-I-2)	-3.06(22-I-4)	-728(23-II-2)	764(23-II-2)	293(23-I-2)
134	1	-10.88(22-II-2)	-6.26(22-II-4)	1.23(22-I-4)	-436(23-I-2)	-177(23-I-2)	438(23-I-2)
134	2	2.29(22-I-2)	-4.96(22-II-4)	2.24(22-I-4)	-339(23-I-2)	-148(23-I-1)	447(23-I-2)
134	3	6.79(22-II-4)	-2.81(2)	2.43(22-I-4)	-294(23-I-4)	-138(23-II-4)	413(23-I-2)
134	4	16.03(22-II-4)	-2.11(2)	2.06(22-I-4)	-313(22-II-3)	-141(22-II-2)	141(23-I-2)
134	5	-4.22(22-II-2)	-3.83(2)	-0.74(22-II-4)	-458(23-I-2)	-151(23-I-2)	512(23-I-2)
134	6	0.91(22-I-2)	-4.03(22-I-3)	-2.54(22-II-4)	-483(23-I-2)	-160(23-I-2)	495(23-I-2)
134	7	6.48(22-II-4)	-3.43(22-I-3)	-2.65(22-II-4)	-480(23-I-2)	-165(23-I-1)	481(23-I-2)
134	8	13.41(22-II-4)	-2.85(22-I-3)	-1.88(22-II-4)	-490(23-I-2)	-166(23-I-1)	226(23-I-2)
134	9	-1.38(22-II-2)	-4.87(22-I-3)	-2.11(22-II-4)	-650(23-I-2)	192(23-II-2)	425(23-I-2)
134	10	1.57(22-II-4)	-5.25(22-I-3)	-2.76(22-II-4)	-709(23-I-2)	184(23-II-2)	458(23-I-2)

Muro	Pann.	Sxx	Syy	Sxy	Mxx	Myy	Mxy
134	11	5.78(22-II-4)	-4.87(22-I-3)	-2.61(22-II-4)	-750(23-I-2)	-163(23-I-2)	463(23-I-2)
134	12	11.14(22-II-4)	-4.88(22-I-3)	-1.63(22-II-4)	-796(23-I-2)	-158(23-I-2)	209(23-I-2)
134	13	0.79(22-I-2)	-5.04(2)	-2.81(22-II-4)	-862(23-I-2)	234(23-II-2)	245(23-I-2)
134	14	1.79(23-I-4)	-6.05(22-I-3)	-3.26(22-II-4)	-1053(23-I-2)	269(23-II-2)	286(23-I-2)
134	15	4.14(22-II-4)	-7.10(22-I-3)	-2.75(22-II-4)	-1259(23-I-2)	283(23-II-2)	345(23-I-2)
134	16	10.28(22-II-4)	-5.89(22-I-3)	-1.99(2)	-1294(23-I-2)	237(23-II-2)	184(23-I-2)
135	1	-19.56(22-I-4)	2.38(22-I-2)	-5.48(22-I-4)	-394(23-II-2)	-61(23-II-4)	-212(23-I-4)
135	2	-7.39(22-I-4)	-2.67(22-I-4)	-5.12(22-I-4)	425(23-I-2)	-76(22-I-4)	-247(23-I-4)
135	3	3.59(22-I-2)	-2.89(22-I-4)	-4.20(22-I-2)	461(23-I-2)	-116(23-II-2)	-239(23-I-4)
135	4	13.12(22-I-2)	-2.52(22-I-4)	-2.71(22-I-2)	477(23-I-2)	-169(23-II-2)	-79(23-I-4)
135	5	10.66(22-II-4)	-1.09(22-II-2)	-1.19(22-I-2)	858(23-I-2)	-7(23-I-4)	100(23-II-4)
135	6	5.21(22-II-4)	-0.51(2)	-3.59(22-I-4)	872(23-I-2)	-32(23-I-2)	145(23-II-4)
135	7	-1.63(23-I-2)	-0.79(22-II-4)	-4.17(22-I-4)	894(23-I-2)	-50(23-I-2)	145(23-II-4)
135	8	-7.21(22-II-2)	-0.83(22-II-4)	-3.12(22-I-4)	891(23-I-2)	-71(23-II-2)	60(23-II-4)
135	9	10.12(22-I-2)	-1.19(22-I-4)	1.07(22-II-4)	-822(23-II-2)	10(23-I-2)	95(23-I-4)
135	10	4.39(22-I-2)	-0.52(2)	3.20(22-II-4)	-831(23-II-2)	-28(23-I-4)	140(23-I-4)
135	11	-2.35(22-I-4)	-0.82(22-I-2)	3.72(22-II-4)	-841(23-II-2)	-51(23-I-4)	141(23-I-4)
135	12	-8.74(22-I-4)	-0.92(22-I-3)	2.77(22-II-4)	-830(23-II-2)	-62(23-II-2)	70(23-I-4)
135	13	16.81(22-I-2)	2.03(22-II-4)	4.98(22-II-4)	-418(23-II-4)	-85(23-I-2)	240(23-I-2)
135	14	6.10(22-I-2)	-2.48(22-II-2)	4.75(22-II-4)	-419(23-II-4)	-81(23-I-4)	266(23-I-2)
135	15	4.31(22-II-4)	-2.71(22-II-2)	3.92(22-II-4)	-430(23-II-4)	-94(23-I-4)	250(23-I-2)
135	16	-13.01(22-I-4)	-2.41(22-II-2)	2.43(22-II-4)	-434(23-II-4)	-112(23-II-2)	76(2)
136	1	9.37(23-II-4)	-9.52(2)	0.69(23-II-1)	182(22-I-1)	-1224(2)	608(22-II-4)
136	2	6.62(23-II-4)	-7.22(2)	2.07(23-II-4)	122(22-I-1)	-1157(2)	801(22-II-4)
136	3	3.82(23-II-4)	-5.74(2)	2.99(23-II-4)	-87(22-II-4)	-1164(2)	844(22-II-4)
136	4	1.05(23-II-4)	-4.18(2)	2.81(23-II-4)	-150(2)	-1247(2)	814(22-II-4)
136	5	4.65(23-II-4)	-6.10(2)	-0.87(23-I-4)	102(22-I-1)	-944(2)	542(22-II-4)
136	6	4.56(23-II-4)	-5.73(2)	-1.95(23-I-4)	43(22-I-1)	-957(2)	646(22-II-4)
136	7	3.00(23-II-4)	-5.20(2)	2.43(23-II-4)	-73(22-II-1)	-1045(2)	752(22-II-4)
136	8	0.70(23-II-4)	-4.07(2)	2.63(23-II-4)	-134(2)	-1230(2)	812(22-II-4)
136	9	2.50(23-II-4)	-2.97(23-II-1)	-1.30(23-I-4)	215(2)	-606(22-I-1)	443(22-II-4)
136	10	2.66(23-II-4)	-3.26(23-II-1)	-2.14(23-I-4)	110(2)	-654(2)	562(22-II-4)
136	11	2.11(23-II-4)	-3.05(23-II-1)	-2.71(23-I-4)	18(22-I-1)	-795(2)	690(22-II-4)
136	12	0.65(23-II-4)	-2.94(23-II-1)	-2.94(23-I-4)	-94(2)	-1030(2)	778(22-II-4)
136	13	1.16(23-II-4)	2.58(23-I-4)	-0.96(23-I-4)	595(22-II-4)	-522(22-I-1)	257(22-II-4)
136	14	1.41(23-II-4)	2.01(23-I-4)	-1.57(23-I-4)	487(22-II-4)	-448(22-I-1)	350(22-II-4)
136	15	1.34(23-II-4)	1.37(23-I-4)	-2.01(23-I-4)	310(2)	-460(2)	457(22-II-4)
136	16	0.52(23-II-4)	0.81(23-I-1)	-2.20(23-I-4)	51(2)	-652(2)	553(22-II-4)
137	1	1.99(23-I-4)	16.24(23-II-4)	-2.90(23-I-4)	-548(2)	-261(2)	-870(2)
137	2	-1.33(23-II-4)	12.94(23-II-4)	0.56(23-II-4)	32(22-II-4)	-368(2)	-296(22-II-4)
137	3	-1.03(2)	8.04(2)	0.89(23-II-4)	51(2)	-446(2)	162(22-I-4)
137	4	1.76(23-II-4)	-14.53(23-II-4)	5.75(23-II-4)	-699(2)	-470(2)	961(2)
137	5	-1.48(23-I-4)	10.32(23-II-4)	-3.24(23-I-4)	-682(2)	-206(2)	-933(2)
137	6	-0.77(2)	9.13(23-II-4)	-1.74(23-I-4)	-192(2)	-328(2)	-473(22-II-4)
137	7	-0.67(2)	5.02(2)	3.45(23-II-4)	-228(2)	-394(2)	286(22-I-4)
137	8	-3.39(23-I-4)	-8.74(23-II-4)	6.66(23-II-4)	-942(2)	-382(2)	974(2)
137	9	-2.14(23-I-4)	5.73(23-II-4)	-3.32(23-I-4)	-812(2)	-165(2)	-822(2)
137	10	-0.88(2)	5.36(23-II-4)	-2.65(23-I-4)	-427(2)	-230(2)	-487(22-II-4)
137	11	-1.07(2)	2.80(23-I-4)	5.26(23-II-4)	-508(2)	-276(2)	281(22-I-4)
137	12	-4.94(23-II-4)	-4.43(23-II-4)	7.15(23-II-4)	-1210(2)	-299(2)	805(2)
137	13	-2.56(2)	1.71(23-II-4)	-2.82(23-I-4)	-956(2)	-138(2)	-748(22-II-4)
137	14	-2.59(2)	1.61(23-II-4)	3.27(23-II-4)	-637(2)	-137(2)	-475(22-II-4)
137	15	-2.79(2)	0.83(23-I-4)	5.72(23-II-4)	-770(2)	-165(2)	257(22-I-4)
137	16	-5.07(23-II-4)	-1.46(23-II-4)	5.52(23-II-4)	-1510(2)	-234(2)	657(2)
138	1	-9.65(23-II-4)	-14.87(23-II-4)	2.13(2)	-1537(2)	117(23-I-4)	708(23-II-4)
138	2	-4.28(23-II-4)	-8.93(23-II-4)	2.42(2)	-1207(2)	87(2)	548(23-II-4)
138	3	-1.52(23-II-4)	-5.89(23-II-4)	2.37(23-I-4)	-808(2)	338(2)	424(23-II-4)
138	4	1.95(22-I-4)	-4.45(2)	2.45(23-I-4)	-471(2)	830(2)	384(23-II-4)
138	5	-7.36(23-II-4)	-8.32(23-II-4)	3.10(2)	-1574(2)	-74(23-II-4)	921(2)
138	6	-3.07(23-II-4)	-7.68(23-II-4)	2.82(23-I-4)	-1295(2)	-56(23-II-4)	693(23-II-4)
138	7	-1.01(23-II-4)	-5.08(23-II-4)	3.34(23-I-4)	-898(2)	210(2)	567(23-II-4)
138	8	1.36(22-I-4)	-3.56(22-II-4)	3.66(23-I-4)	-501(2)	683(2)	473(23-II-4)
138	9	-3.97(23-II-4)	-5.67(23-II-4)	3.69(2)	-1755(2)	-246(23-II-4)	988(2)
138	10	-2.65(23-II-4)	-4.79(23-II-4)	3.37(23-I-4)	-1490(2)	-134(23-II-4)	880(23-II-4)
138	11	-0.82(22-II-4)	-3.13(23-II-4)	4.04(23-I-4)	-1028(2)	77(2)	768(23-II-4)
138	12	1.17(22-I-4)	-2.57(2)	4.64(23-I-4)	-532(2)	445(2)	621(23-II-4)

Muro	Pann.	Sxx	Syy	Sxy	Mxx	Myy	Mxy
138	13	-2.49(23-II-4)	-1.40(23-II-4)	2.21(23-I-4)	-2084(2)	-291(2)	986(23-II-4)
138	14	-0.90(22-II-4)	-1.92(23-II-4)	3.32(23-I-4)	-1862(2)	-219(2)	1070(23-II-4)
138	15	-0.98(22-II-4)	-1.39(23-II-4)	4.24(23-I-4)	-1176(2)	-78(22-II-4)	999(23-II-4)
138	16	1.18(22-I-4)	-1.87(2)	5.09(23-I-4)	-528(2)	116(2)	773(23-II-4)
139	1	-5.94(23-I-4)	-1.91(23-I-4)	-3.65(23-I-4)	-802(22-I-4)	-125(22-II-4)	-281(22-II-4)
139	2	-2.25(22-II-4)	-3.16(23-I-4)	-2.91(23-I-4)	-723(22-I-4)	78(22-I-1)	-234(22-I-4)
139	3	-3.22(22-II-4)	-2.25(23-I-4)	-2.34(23-I-4)	-692(22-I-4)	125(22-II-1)	-185(22-I-4)
139	4	-4.36(22-II-4)	-2.11(22-I-4)	-1.95(23-I-4)	-692(22-I-4)	188(22-II-1)	-348(22-II-4)
139	5	-2.58(23-II-4)	-0.64(23-I-4)	-0.59(23-I-4)	-507(22-I-4)	33(22-II-4)	-248(22-II-4)
139	6	-2.96(22-II-4)	-0.47(22-I-4)	-2.48(23-I-4)	-513(22-I-4)	84(22-II-1)	-273(22-II-4)
139	7	-3.28(22-II-4)	-0.93(22-I-4)	-3.18(23-I-4)	-508(22-I-4)	177(2)	-245(22-II-4)
139	8	-3.31(22-II-4)	-1.34(22-I-4)	-3.23(23-I-4)	-514(22-I-4)	282(22-I-3)	-248(22-II-4)
139	9	-5.71(23-II-4)	-1.31(23-II-4)	0.46(23-II-4)	-480(22-I-4)	16(22-I-4)	-272(22-II-4)
139	10	-5.41(23-II-4)	-0.85(2)	2.87(23-II-4)	-481(22-I-4)	138(2)	-311(22-II-4)
139	11	-3.26(22-II-4)	-1.57(2)	3.65(23-II-4)	-470(22-I-4)	326(2)	-266(22-II-4)
139	12	-2.81(22-II-4)	-2.17(2)	3.61(23-II-4)	-449(22-I-4)	542(2)	-217(22-II-4)
139	13	-14.21(23-II-4)	-3.54(23-II-4)	5.92(23-II-4)	-1344(2)	-53(23-II-4)	130(22-II-4)
139	14	-5.98(23-II-4)	-6.08(23-II-4)	4.36(23-II-4)	-944(2)	154(2)	123(22-II-4)
139	15	-2.53(23-II-4)	-5.22(23-II-4)	3.12(23-II-4)	-661(2)	410(2)	119(22-II-4)
139	16	2.00(22-I-4)	-4.77(2)	2.17(23-I-4)	-433(22-I-4)	805(2)	195(22-II-4)
140	1	-1.81(23-II-4)	-10.99(23-II-4)	-2.39(23-II-4)	-211(22-I-4)	-647(22-I-4)	-476(22-I-4)
140	2	-0.66(23-II-4)	-10.74(2)	0.47(23-I-4)	25(2)	-461(2)	-262(22-I-4)
140	3	-0.83(23-I-4)	-11.09(2)	-0.45(23-II-4)	19(22-II-4)	-527(2)	-244(22-I-4)
140	4	-2.09(23-I-4)	-12.60(23-I-4)	2.86(23-I-4)	55(22-I-4)	-1159(2)	196(22-II-4)
140	5	2.15(23-I-4)	-6.04(2)	2.11(23-I-4)	-192(22-II-1)	-520(2)	-404(22-I-4)
140	6	-0.17(23-II-4)	-6.65(2)	1.66(23-I-4)	115(22-II-1)	-478(2)	-292(22-I-4)
140	7	-0.16(2)	-7.15(2)	1.74(23-I-4)	106(22-II-1)	-527(2)	-285(22-I-4)
140	8	-2.59(23-I-4)	-6.51(2)	-1.59(23-II-4)	127(2)	-831(2)	200(22-II-4)
140	9	1.84(23-I-4)	-2.40(2)	1.37(23-I-4)	260(22-I-1)	-493(2)	-334(22-I-4)
140	10	0.21(23-I-4)	-2.42(2)	2.12(23-I-4)	198(22-I-1)	-490(2)	-262(22-I-4)
140	11	-0.11(23-I-4)	-2.69(2)	2.04(23-I-4)	233(2)	-517(2)	-256(22-I-4)
140	12	-1.46(23-I-4)	-2.66(22-II-4)	-1.27(23-II-4)	279(2)	-637(22-I-1)	196(22-II-4)
140	13	1.04(2)	1.80(2)	0.77(22-II-4)	336(22-I-1)	-509(22-II-1)	-199(22-I-4)
140	14	0.14(23-II-3)	1.84(2)	1.68(23-I-4)	262(22-I-1)	-500(2)	-209(22-I-4)
140	15	0.25(23-I-4)	2.47(23-I-4)	1.70(23-I-4)	366(2)	-500(2)	-198(22-I-4)
140	16	0.34(23-II-4)	3.13(23-I-4)	-0.86(23-II-4)	558(22-II-4)	-591(22-I-1)	148(22-II-4)
141	1	-0.89(22-I-4)	9.58(23-I-4)	1.42(23-I-4)	-720(22-I-4)	-310(22-II-3)	-164(23-I-4)
141	2	0.58(22-II-3)	7.52(23-I-4)	1.28(23-I-4)	-867(22-I-4)	-236(22-II-1)	-175(22-II-4)
141	3	-1.12(22-II-4)	5.82(22-II-4)	0.85(23-I-4)	-1060(22-I-4)	-154(22-II-1)	-154(22-II-4)
141	4	-9.29(22-II-4)	4.98(22-I-1)	5.11(22-II-4)	-1293(22-I-4)	-196(22-I-1)	-364(22-II-4)
141	5	-1.06(22-I-4)	3.87(22-II-4)	-1.10(23-II-4)	-706(22-I-4)	-263(22-II-3)	-335(22-II-4)
141	6	-0.54(23-II-4)	3.76(22-II-4)	1.63(23-I-4)	-832(22-I-4)	-190(22-II-1)	-355(22-II-4)
141	7	-1.40(22-II-4)	3.24(23-I-3)	1.62(22-II-4)	-1006(22-I-4)	-141(22-II-1)	-357(22-II-4)
141	8	-9.50(22-II-4)	3.30(22-II-1)	-2.75(22-I-4)	-1186(22-I-4)	-191(22-I-1)	-500(22-II-4)
141	9	-2.22(23-I-4)	3.29(23-II-4)	-1.02(23-II-4)	-679(22-I-4)	-266(22-II-3)	-296(22-II-4)
141	10	-0.81(23-II-4)	2.46(23-II-4)	1.30(23-I-4)	-814(22-I-4)	-182(22-II-1)	-292(22-II-4)
141	11	2.22(22-I-4)	1.95(22-II-1)	1.87(22-II-4)	-935(22-I-4)	-124(22-II-1)	-266(22-II-4)
141	12	-8.29(22-II-4)	2.91(22-II-4)	-1.74(22-I-4)	-1048(22-I-4)	138(22-II-1)	-397(22-II-4)
141	13	-3.11(23-I-4)	-8.08(23-I-4)	-0.49(23-II-4)	-669(22-I-4)	-291(22-II-4)	-252(23-I-4)
141	14	-1.19(22-II-4)	-3.40(23-I-4)	-1.03(22-I-4)	-812(22-I-4)	-160(22-II-1)	-250(22-II-4)
141	15	2.67(22-I-4)	1.42(22-II-1)	-1.60(22-I-4)	-855(22-I-4)	-104(22-I-1)	-208(22-I-4)
141	16	-6.79(22-II-4)	2.25(22-II-4)	-1.12(22-I-4)	-908(22-I-4)	155(22-II-1)	-407(22-II-4)
142	1	-6.73(23-I-4)	-3.07(2)	-0.78(22-II-4)	-312(22-II-1)	-546(2)	-214(22-I-4)
142	2	2.50(23-II-4)	-4.02(2)	-0.58(23-I-3)	-342(22-II-1)	-512(2)	-471(22-I-4)
142	3	1.96(23-I-4)	-5.35(2)	-0.53(23-I-4)	-334(22-II-1)	-477(2)	-531(22-I-4)
142	4	6.89(23-I-4)	-7.34(2)	0.52(23-II-4)	-375(22-II-1)	-532(22-I-4)	-500(22-I-4)
142	5	-6.36(23-I-4)	-4.67(2)	0.99(23-II-4)	-407(22-II-1)	-660(2)	-293(22-I-4)
142	6	-2.30(23-I-4)	-5.52(2)	2.03(23-II-4)	-402(22-II-1)	-567(2)	-485(22-I-4)
142	7	1.38(23-I-4)	-5.97(2)	2.17(23-II-4)	-388(22-II-1)	-513(2)	-504(22-I-4)
142	8	3.08(23-I-4)	-5.97(2)	1.70(2)	-341(22-II-1)	-507(2)	-521(22-I-4)
142	9	-6.91(23-I-4)	-6.11(2)	1.13(23-II-4)	-526(22-II-1)	-694(22-I-4)	-316(22-I-4)
142	10	-2.33(23-I-4)	-4.82(2)	1.98(23-II-4)	-495(22-II-1)	-558(22-I-4)	-460(22-I-4)
142	11	1.16(2)	-4.56(2)	1.76(23-II-4)	-426(22-II-1)	-486(22-I-4)	-457(22-I-4)
142	12	1.82(23-I-4)	-3.57(2)	1.12(23-II-4)	-345(22-II-1)	-473(2)	-431(22-I-4)
142	13	-11.64(2)	2.34(2)	0.61(23-II-4)	-677(22-I-1)	-614(22-I-4)	-244(22-I-4)
142	14	-1.75(23-I-4)	1.43(22-I-4)	-0.79(23-I-4)	-583(22-I-4)	-511(22-I-4)	-291(22-I-4)

Muro	Pann.	Sxx	Syy	Sxy	Mxx	Myy	Mxy
142	15	1.52(2)	2.09(2)	-0.73(23-I-4)	-415(22-I-1)	-422(22-I-4)	-273(22-I-4)
142	16	1.69(2)	2.00(2)	0.45(23-II-1)	391(22-I-1)	-427(22-II-4)	-235(22-I-4)
143	1	10.73(23-I-4)	1.67(23-II-4)	-2.35(23-II-4)	-280(23-II-3)	-221(22-I-4)	-447(22-I-4)
143	2	3.67(23-I-4)	-1.03(23-II-4)	-2.49(23-II-4)	-259(23-II-3)	-225(2)	-482(22-I-4)
143	3	2.61(23-II-4)	-1.32(23-II-4)	-2.34(23-II-4)	-248(23-II-4)	-259(2)	-414(22-I-4)
143	4	-8.16(23-I-4)	-1.47(23-II-4)	-1.69(23-II-4)	-248(23-II-4)	-277(2)	-161(22-I-4)
143	5	5.53(22-II-4)	-0.75(23-I-4)	-0.63(23-II-4)	258(23-I-4)	32(22-I-4)	221(22-II-4)
143	6	3.40(22-II-4)	-0.33(2)	-1.64(23-II-4)	264(23-I-4)	-25(22-I-4)	317(22-II-4)
143	7	-2.11(23-I-4)	-0.30(2)	-1.96(23-II-4)	276(23-I-4)	-61(23-II-4)	312(22-II-4)
143	8	-6.07(23-I-4)	-0.62(22-II-4)	1.55(23-I-4)	284(22-I-4)	-108(23-II-4)	137(22-II-4)
143	9	7.26(23-II-4)	-0.60(2)	0.65(23-I-4)	-256(22-II-4)	24(22-I-4)	235(22-II-4)
143	10	4.41(23-II-4)	-0.23(23-II-4)	1.98(23-I-4)	-255(22-II-4)	-33(22-I-4)	328(22-II-4)
143	11	2.41(22-II-4)	-0.31(23-II-4)	2.30(23-I-4)	-258(22-II-4)	-88(22-I-4)	327(22-II-4)
143	12	-3.86(22-I-4)	-0.36(23-II-4)	1.68(23-I-4)	258(22-I-4)	-135(22-I-4)	165(22-II-4)
143	13	-11.33(23-I-4)	-1.08(23-II-4)	3.06(23-I-4)	-320(22-II-3)	-228(22-I-4)	238(23-I-4)
143	14	5.31(23-II-4)	-1.71(23-I-4)	2.80(23-I-4)	-298(22-II-3)	-320(22-I-4)	306(22-II-4)
143	15	3.47(22-II-4)	-1.99(23-I-4)	2.21(23-I-4)	-288(22-II-4)	-397(22-I-4)	321(22-II-4)
143	16	6.40(23-I-4)	-1.75(23-I-4)	1.21(22-I-4)	-278(22-II-4)	-449(22-I-4)	151(22-II-4)
144	1	-2.61(2)	0.28(2)	1.29(23-II-3)	-192(22-I-1)	116(22-II-4)	-200(22-I-1)
144	2	-3.21(2)	-0.28(23-I-4)	1.12(23-II-3)	-214(22-I-1)	-73(23-II-1)	-247(22-II-4)
144	3	-3.29(2)	-1.08(23-I-4)	0.81(23-II-4)	-249(22-I-1)	-68(23-II-1)	-253(22-II-4)
144	4	-5.50(2)	-0.93(23-I-4)	-1.64(23-I-4)	-298(2)	-31(2)	-231(22-II-4)
144	5	-2.51(2)	0.28(2)	1.22(23-II-3)	-177(22-I-1)	78(22-II-4)	-220(22-I-1)
144	6	-3.22(2)	-0.21(23-I-3)	1.14(23-II-3)	-218(22-I-1)	-62(23-II-1)	-265(22-II-4)
144	7	-3.26(2)	-1.10(23-I-4)	0.68(23-II-4)	-285(2)	-59(23-II-1)	-254(22-II-4)
144	8	-5.76(2)	-1.46(23-I-4)	-2.07(23-I-4)	-340(2)	-35(2)	-235(22-II-4)
144	9	-2.94(2)	0.16(23-I-1)	1.25(23-II-4)	-150(2)	33(22-II-4)	-240(22-II-1)
144	10	-3.34(2)	-0.19(2)	1.19(23-II-3)	-261(2)	-51(2)	-275(22-II-4)
144	11	-3.13(2)	-0.92(23-I-4)	0.59(23-II-4)	-326(2)	-54(2)	-254(22-II-4)
144	12	-5.61(2)	-2.02(23-I-4)	-2.49(23-I-4)	-386(2)	-41(2)	-237(22-II-4)
144	13	-2.39(2)	-0.12(2)	1.50(2)	-283(2)	-29(23-II-1)	-246(22-II-1)
144	14	-2.99(2)	-0.30(2)	1.34(23-II-4)	-329(2)	-48(2)	-273(22-II-4)
144	15	-3.19(23-II-4)	-0.47(2)	0.48(23-II-3)	-369(2)	-50(2)	-255(22-II-4)
144	16	-5.73(2)	-1.53(23-I-4)	-1.92(23-I-4)	-437(2)	-51(2)	-241(22-II-4)
145	1	-7.44(23-II-4)	-28.20(2)	-8.94(23-II-4)	-133(22-I-4)	-1432(22-I-4)	-211(22-I-4)
145	2	-0.68(2)	-20.57(2)	-3.79(23-II-4)	-28(22-I-4)	-785(22-I-4)	-94(23-II-4)
145	3	0.03(23-I-4)	-15.57(2)	-1.91(23-II-4)	-14(22-I-4)	-427(22-I-4)	90(23-I-4)
145	4	-0.22(23-II-3)	-12.50(2)	-0.92(2)	-2(22-I-4)	-230(22-I-4)	117(23-I-4)
145	5	-5.37(23-II-4)	-9.80(2)	-6.04(23-II-4)	-126(22-I-4)	-1107(22-I-4)	-247(23-II-3)
145	6	-3.73(23-II-4)	-12.52(2)	-6.56(23-II-4)	-56(22-I-4)	-683(22-I-4)	-148(23-II-4)
145	7	-1.94(23-II-4)	-11.59(2)	-4.25(23-II-4)	16(22-II-4)	-385(22-I-4)	139(23-I-4)
145	8	-0.93(2)	-10.36(2)	-2.86(23-II-4)	34(2)	-214(22-I-4)	185(23-I-4)
145	9	-3.41(2)	-4.27(2)	-4.06(2)	-72(22-I-4)	-830(22-I-4)	-230(23-II-3)
145	10	-4.31(23-II-4)	-6.43(2)	-4.90(23-II-4)	44(2)	-520(22-I-4)	-145(23-II-4)
145	11	-3.24(2)	-7.82(2)	-4.53(23-II-4)	103(2)	-301(22-I-4)	156(23-I-4)
145	12	-1.91(2)	-8.10(2)	-3.55(23-II-4)	132(2)	-181(22-I-4)	201(23-I-4)
145	13	-2.46(2)	-2.23(2)	-2.77(2)	49(2)	-582(22-I-4)	-183(23-II-4)
145	14	-4.27(2)	-3.74(2)	-3.30(23-II-4)	240(2)	-347(22-I-4)	-147(23-II-4)
145	15	-3.69(2)	-5.12(2)	-3.72(23-II-4)	314(2)	-202(22-I-4)	203(23-I-4)
145	16	-2.76(2)	-5.36(2)	-3.21(23-II-4)	290(2)	-127(22-I-4)	222(23-I-4)
146	1	-1.12(23-I-4)	-12.18(23-II-4)	-0.27(22-I-4)	-497(22-I-4)	716(23-II-4)	-45(22-I-1)
146	2	-1.22(23-I-4)	-10.91(23-II-4)	-0.18(22-I-4)	-660(22-I-4)	-744(23-I-4)	-88(23-I-4)
146	3	-2.86(2)	-9.91(23-II-4)	0.41(2)	-829(22-I-4)	-809(23-I-4)	-125(23-I-4)
146	4	-6.25(2)	-9.49(23-II-4)	1.71(2)	-956(22-I-4)	-971(23-I-4)	138(23-II-4)
146	5	-1.67(23-I-4)	-2.57(23-II-3)	-0.37(23-I-4)	-378(22-I-4)	639(23-II-4)	-157(22-II-4)
146	6	-1.77(23-I-4)	-2.90(23-II-3)	-0.63(23-II-4)	-457(22-I-4)	675(23-II-4)	-157(22-II-4)
146	7	-3.55(2)	-2.87(23-II-3)	0.80(23-I-4)	-567(22-I-4)	-795(23-I-4)	-153(22-II-4)
146	8	-5.95(2)	-2.69(23-II-3)	0.71(23-I-3)	-671(22-I-4)	-1101(23-I-4)	161(22-I-4)
146	9	3.11(23-II-4)	5.22(23-II-4)	-0.36(23-I-4)	-268(22-I-4)	641(23-II-4)	-176(23-I-1)
146	10	-2.52(23-I-4)	4.71(23-II-4)	-0.59(23-II-4)	-285(22-I-4)	651(23-II-4)	-147(22-II-4)
146	11	-4.04(2)	3.54(23-II-1)	0.59(23-I-3)	-297(22-I-1)	732(23-II-4)	-121(22-I-4)
146	12	-5.13(2)	2.89(23-II-1)	0.55(23-I-3)	-312(22-I-1)	898(23-II-4)	126(23-II-4)
146	13	6.40(23-II-4)	14.48(23-II-4)	0.73(23-II-4)	-205(23-I-4)	580(22-I-4)	-207(23-I-1)
146	14	-2.72(2)	9.76(23-II-4)	2.08(23-II-4)	-210(23-I-4)	586(23-II-4)	-170(23-I-1)
146	15	-4.01(2)	7.31(23-II-4)	1.90(23-II-4)	-212(23-I-4)	651(23-II-4)	-120(22-II-4)
146	16	-5.15(2)	5.92(23-II-4)	1.22(23-II-4)	-197(23-I-4)	728(23-II-4)	-139(23-I-4)

Muro	Pann.	Sxx	Syy	Sxy	Mxx	Myy	Mxy
147	1	-9.57(23-II-4)	1.69(23-II-4)	-1.75(23-II-4)	572(23-II-4)	-293(22-I-4)	38(22-I-4)
147	2	-1.91(23-II-3)	2.81(23-II-4)	-3.13(23-II-4)	582(23-II-4)	-224(22-I-4)	144(22-II-4)
147	3	7.22(23-II-4)	3.68(23-II-4)	-4.13(23-II-4)	608(23-II-4)	-150(22-I-4)	150(22-I-4)
147	4	19.54(23-II-4)	1.97(23-II-4)	-4.95(23-II-4)	675(23-II-4)	-105(23-I-4)	175(23-I-1)
147	5	-2.96(23-II-3)	-0.36(23-II-4)	-3.30(23-II-4)	434(22-I-4)	-91(22-I-4)	58(22-II-4)
147	6	1.50(23-II-1)	0.20(23-II-4)	-4.70(23-II-4)	-429(22-II-4)	-66(22-I-4)	132(22-II-4)
147	7	5.05(23-II-1)	-0.03(23-II-4)	-4.15(23-II-4)	-419(22-II-4)	-34(22-I-4)	126(22-II-4)
147	8	7.80(23-II-4)	0.39(23-II-4)	-1.20(23-II-4)	-415(22-II-4)	12(23-I-1)	81(22-II-4)
147	9	5.38(23-II-4)	0.23(23-II-4)	-3.50(23-II-4)	-301(22-II-4)	-43(22-II-4)	56(22-II-4)
147	10	2.55(23-II-1)	0.24(23-II-4)	-5.10(23-II-4)	-300(22-II-4)	-27(23-I-4)	132(22-II-4)
147	11	0.84(23-I-3)	0.26(23-II-4)	-4.48(23-II-4)	-303(22-II-4)	-14(23-II-4)	125(22-II-4)
147	12	-1.89(23-II-3)	-1.42(23-II-4)	-1.23(23-II-4)	-303(22-II-4)	-6(22-I-1)	82(22-II-4)
147	13	13.29(23-II-4)	-2.04(23-II-4)	-2.47(23-II-4)	-211(23-II-4)	-108(22-II-4)	-47(22-I-4)
147	14	5.47(23-II-4)	-2.79(23-II-4)	-3.74(23-II-4)	-214(23-II-4)	-72(22-II-4)	136(22-II-4)
147	15	-3.03(23-II-3)	-4.23(23-II-4)	-4.88(23-II-4)	-223(23-II-4)	-47(23-II-4)	131(22-II-4)
147	16	-15.07(23-II-4)	-2.72(23-II-4)	-6.07(23-II-4)	-256(23-I-1)	-32(23-II-4)	-105(22-I-4)
148	1	12.93(23-II-4)	-0.96(23-II-4)	1.26(23-II-4)	-224(23-II-1)	-102(22-II-4)	-87(22-I-4)
148	2	6.66(23-II-4)	-0.43(23-II-1)	1.49(23-II-4)	-224(23-II-1)	-78(23-II-4)	-189(22-I-4)
148	3	1.14(23-II-1)	-1.36(23-II-4)	1.43(23-II-4)	-222(23-II-1)	-71(23-II-4)	-212(22-I-4)
148	4	-3.91(23-II-3)	-1.26(2)	0.38(23-II-1)	-216(23-II-1)	-68(23-II-4)	-227(22-I-4)
148	5	7.30(23-II-4)	-1.09(23-I-4)	1.09(23-II-4)	-215(23-II-1)	-112(22-I-1)	118(22-II-4)
148	6	4.81(23-II-4)	1.48(23-II-4)	1.61(2)	-212(23-II-1)	-112(22-I-1)	-208(22-I-4)
148	7	2.66(23-II-1)	-0.93(23-I-4)	1.84(2)	-202(23-II-1)	-112(22-I-1)	-230(22-I-4)
148	8	-0.94(23-I-1)	-1.22(23-I-4)	1.82(2)	-190(23-II-1)	-108(22-I-1)	-243(22-I-4)
148	9	3.94(23-II-4)	-4.49(2)	0.95(2)	351(22-II-1)	-272(22-I-1)	-136(22-I-4)
148	10	-3.15(23-I-4)	-3.37(2)	2.13(2)	349(22-II-1)	-216(22-I-1)	-223(22-I-4)
148	11	2.50(23-II-4)	-3.30(2)	3.21(2)	334(22-II-1)	-161(22-I-1)	-247(22-I-4)
148	12	2.04(23-II-4)	-4.23(2)	3.08(2)	315(22-II-1)	-116(22-I-4)	-258(22-I-4)
148	13	-15.81(2)	-5.80(2)	4.06(2)	-541(22-I-1)	-328(22-I-4)	-210(22-I-4)
148	14	-5.16(23-I-1)	-11.30(2)	1.33(23-I-4)	515(22-II-1)	-230(22-I-4)	-263(22-II-1)
148	15	2.60(23-II-4)	-7.55(2)	0.70(23-I-4)	484(22-II-1)	-145(22-I-4)	-266(22-II-1)
148	16	2.70(2)	-4.57(2)	0.50(23-I-4)	442(22-II-1)	-92(22-I-4)	-247(22-II-1)
149	1	4.93(23-II-4)	-4.17(2)	-2.85(23-II-4)	541(22-I-4)	-260(22-II-4)	188(23-I-4)
149	2	0.24(2)	-4.96(2)	-2.34(23-II-4)	220(22-I-4)	193(22-I-4)	224(23-I-4)
149	3	-0.19(23-I-4)	-5.86(2)	-1.44(23-II-4)	79(22-I-4)	48(22-I-4)	237(23-I-4)
149	4	-1.02(23-II-4)	-5.91(2)	-2.10(23-II-4)	173(2)	93(22-II-4)	224(23-I-4)
149	5	4.76(23-II-4)	-3.61(23-I-4)	-3.63(23-II-4)	398(22-I-4)	-264(22-II-4)	-124(22-I-4)
149	6	0.06(2)	-4.49(2)	-1.83(23-II-4)	137(22-I-4)	216(22-I-4)	-167(23-II-4)
149	7	-0.18(2)	-6.07(2)	-1.12(23-II-4)	64(22-I-4)	60(22-I-4)	188(23-I-4)
149	8	-0.60(23-II-4)	-7.06(2)	-1.98(23-II-4)	100(2)	96(22-II-4)	204(23-I-4)
149	9	3.44(23-II-4)	-4.36(23-I-4)	-4.20(23-II-4)	303(22-I-4)	-269(22-II-4)	-190(22-I-4)
149	10	0.40(23-II-4)	-4.34(2)	-0.95(23-II-4)	54(22-I-4)	240(22-I-4)	-144(23-II-4)
149	11	0.28(23-II-4)	-6.25(2)	-0.74(23-II-4)	39(22-I-4)	77(22-I-4)	173(23-I-4)
149	12	-0.18(23-II-4)	-8.17(2)	-1.41(23-II-4)	41(2)	101(22-II-4)	198(23-I-4)
149	13	-1.95(23-II-4)	-5.62(23-I-4)	-4.26(23-II-4)	223(22-I-4)	-288(22-II-4)	-208(22-I-4)
149	14	0.86(23-II-4)	-4.60(2)	-0.12(2)	30(23-I-4)	246(22-I-4)	-110(23-II-4)
149	15	1.83(23-II-4)	-6.41(2)	-0.34(23-II-4)	17(22-I-4)	86(22-I-4)	113(23-I-4)
149	16	1.31(23-II-4)	-8.93(2)	-0.40(23-II-4)	8(2)	103(22-II-4)	132(23-I-4)
150	1	-4.61(23-II-4)	-5.97(23-II-4)	-3.44(23-II-4)	-132(23-II-1)	-98(22-I-4)	-303(22-I-4)
150	2	-0.33(23-II-4)	-4.95(23-II-4)	-1.19(23-II-4)	-45(23-II-1)	-139(22-I-4)	-257(22-I-4)
150	3	-0.10(2)	-5.02(2)	0.70(23-I-4)	-36(23-II-1)	-179(22-I-4)	236(22-II-4)
150	4	-0.27(23-I-4)	-5.29(2)	1.07(23-I-4)	-29(23-II-1)	-237(22-I-1)	250(22-II-4)
150	5	-1.10(23-II-3)	-1.83(23-I-4)	1.09(23-I-4)	-168(23-II-1)	-97(22-I-4)	-243(22-I-4)
150	6	-1.64(23-II-4)	-3.28(2)	-1.52(23-II-4)	-134(23-II-1)	-111(22-I-4)	-228(22-I-4)
150	7	-0.54(23-II-4)	-3.71(2)	-1.23(23-II-4)	-105(23-II-1)	-151(22-I-1)	213(22-II-4)
150	8	-0.74(23-I-4)	-3.74(2)	1.02(23-I-4)	-82(23-II-1)	-207(22-I-1)	235(22-II-4)
150	9	0.91(2)	-3.89(2)	1.64(2)	260(22-II-1)	-72(22-I-4)	-241(22-I-4)
150	10	0.50(23-I-4)	-3.40(2)	0.73(23-I-3)	-191(22-I-1)	-73(22-I-4)	-212(22-I-4)
150	11	-0.58(23-II-4)	-3.29(2)	-0.94(23-II-3)	-131(22-I-1)	-125(22-I-1)	182(22-II-4)
150	12	-0.26(10)	-3.25(2)	-1.03(23-II-3)	-88(23-II-1)	-187(22-I-1)	211(22-II-4)
150	13	2.65(2)	-3.35(2)	-0.51(2)	365(22-II-1)	57(22-I-4)	-222(22-II-1)
150	14	0.62(2)	-3.30(2)	-0.42(2)	278(22-II-1)	59(22-II-4)	-218(22-II-1)
150	15	0.11(23-I-1)	-3.51(2)	-0.69(23-II-3)	222(22-II-4)	139(22-II-1)	-215(22-II-1)
150	16	0.21(2)	-3.07(2)	-1.10(23-II-3)	167(22-II-4)	211(22-II-1)	183(22-I-1)
151	1	5.16(23-II-4)	-4.01(2)	0.80(23-I-4)	-63(22-II-4)	-294(22-I-1)	235(22-II-4)
151	2	4.21(23-II-4)	-3.50(2)	1.02(2)	-48(22-I-4)	-291(22-I-1)	247(22-II-4)

Muro	Pann.	Sxx	Syy	Sxy	Mxx	Myy	Mxy
151	3	2.52(23-II-4)	-3.38(2)	1.48(2)	-41(2)	-300(22-I-1)	238(22-II-4)
151	4	0.68(23-II-4)	-3.09(2)	1.59(2)	-39(2)	-323(22-I-4)	225(22-II-4)
151	5	1.78(23-II-4)	-3.16(2)	0.45(23-I-4)	-71(22-II-1)	-242(22-I-1)	255(22-II-4)
151	6	1.43(23-II-4)	-3.17(2)	0.42(2)	-57(22-II-1)	-284(22-I-1)	256(22-II-4)
151	7	0.90(23-II-4)	-3.33(2)	0.63(2)	-47(2)	-325(22-I-1)	255(22-II-4)
151	8	-0.37(23-I-4)	-3.25(2)	0.91(23-II-4)	-44(2)	-366(22-I-1)	248(22-II-4)
151	9	0.50(23-II-4)	-2.51(2)	0.23(23-I-4)	-59(22-II-1)	-182(22-I-1)	243(22-II-4)
151	10	-0.40(23-I-4)	-2.78(2)	0.21(22-I-1)	-53(22-II-1)	-237(22-I-1)	264(22-II-4)
151	11	-0.30(23-I-4)	-2.92(2)	0.25(23-II-1)	-48(23-II-4)	-311(22-I-1)	273(22-II-4)
151	12	-0.23(2)	-2.77(2)	0.16(23-II-1)	-53(2)	-396(22-I-1)	263(22-II-4)
151	13	-0.18(23-I-3)	-2.63(22-I-1)	-0.14(22-I-1)	274(2)	157(22-II-1)	-152(22-I-4)
151	14	-0.17(23-I-4)	-2.52(2)	-0.19(22-I-1)	207(2)	-152(22-I-1)	147(22-II-4)
151	15	-0.16(23-I-4)	-2.53(2)	-0.28(22-I-1)	111(23-II-3)	-228(22-I-1)	151(22-II-4)
151	16	-0.25(2)	-2.27(2)	-0.49(22-I-1)	-7(22-I-4)	-380(2)	149(22-II-4)
152	1	1.55(23-II-4)	13.26(23-II-4)	2.93(23-II-4)	-147(22-I-1)	-117(22-II-4)	-235(22-I-1)
152	2	-0.77(23-I-4)	6.38(23-II-4)	0.68(23-II-4)	-15(22-II-1)	-88(2)	120(22-I-1)
152	3	-0.69(2)	2.79(23-I-4)	0.96(23-II-4)	-18(22-II-1)	-100(2)	167(22-I-1)
152	4	-0.94(23-II-4)	-12.51(23-II-4)	5.30(23-II-4)	-160(22-I-4)	-95(23-I-3)	287(22-I-1)
152	5	1.99(23-II-4)	6.94(23-II-4)	-2.21(23-I-4)	-174(22-I-1)	-72(22-II-4)	-230(22-II-1)
152	6	-0.56(2)	4.67(23-II-4)	2.83(23-II-4)	-63(22-I-4)	-77(2)	168(22-I-1)
152	7	-0.53(2)	1.54(23-I-4)	3.80(23-II-4)	-75(22-I-4)	-89(2)	257(22-I-1)
152	8	-4.35(23-II-4)	-6.76(23-II-4)	5.91(23-II-4)	-210(22-I-4)	-69(23-I-3)	316(22-I-1)
152	9	-2.04(23-I-4)	3.46(23-II-4)	-2.29(23-I-4)	-201(22-I-4)	-50(2)	-200(22-II-1)
152	10	-0.88(2)	2.43(23-II-4)	4.05(23-II-4)	-124(22-I-4)	-53(2)	172(22-I-1)
152	11	-1.05(2)	-1.01(23-II-4)	5.58(23-II-4)	-152(22-I-4)	-62(2)	246(22-I-1)
152	12	-4.42(23-II-4)	-3.48(23-II-4)	6.10(23-II-4)	-284(22-I-4)	-49(23-II-3)	276(22-I-1)
152	13	-2.08(23-I-4)	1.01(23-II-4)	-2.12(23-I-4)	-243(22-I-4)	-34(2)	-184(22-II-4)
152	14	-1.96(2)	0.64(23-II-4)	4.50(23-II-4)	-171(22-I-4)	-32(22-I-4)	169(22-I-1)
152	15	-1.97(2)	-0.48(23-II-4)	6.24(23-II-4)	-216(22-I-4)	-40(2)	222(22-I-1)
152	16	-4.09(2)	-1.31(23-II-4)	5.86(23-II-4)	-383(22-I-4)	-51(2)	241(22-I-1)
153	1	-12.59(23-II-4)	-11.85(23-II-4)	2.27(2)	-338(22-I-4)	186(23-II-3)	122(23-I-4)
153	2	-7.12(2)	-9.15(23-II-4)	2.95(23-II-4)	-251(22-I-4)	194(22-I-4)	147(23-I-4)
153	3	-5.84(2)	-7.70(23-II-4)	2.56(23-II-4)	-161(22-I-4)	256(22-I-4)	-163(23-II-4)
153	4	-4.41(2)	-6.86(23-II-4)	1.81(23-II-4)	95(22-II-4)	354(2)	-211(23-II-4)
153	5	-8.20(2)	-6.57(23-II-4)	3.53(2)	-315(22-I-4)	115(22-I-4)	210(22-I-1)
153	6	-7.14(2)	-6.78(23-II-4)	1.82(2)	-264(22-I-4)	131(22-I-4)	166(23-I-4)
153	7	-5.23(2)	-6.25(23-II-4)	1.47(2)	-189(22-I-4)	191(22-I-4)	162(23-I-4)
153	8	-4.11(2)	-5.78(23-II-4)	0.95(2)	-111(22-I-4)	328(2)	188(23-I-4)
153	9	-6.44(2)	-3.73(23-II-4)	3.89(2)	-361(22-I-4)	-42(23-II-3)	235(22-I-1)
153	10	-5.73(2)	-3.90(23-II-4)	2.46(2)	-323(22-I-4)	46(22-I-4)	192(22-I-1)
153	11	-4.62(2)	-4.05(23-II-4)	1.57(2)	-263(22-I-4)	106(22-I-1)	178(23-I-4)
153	12	-3.25(2)	-4.16(23-II-4)	0.82(2)	-187(22-I-4)	232(2)	185(23-I-4)
153	13	-4.74(2)	-1.58(23-II-4)	3.80(2)	-484(22-I-4)	-54(2)	245(22-I-1)
153	14	-4.58(2)	-1.67(23-II-4)	2.76(2)	-469(22-I-4)	-39(2)	225(22-I-1)
153	15	-3.69(2)	-1.84(23-II-4)	2.01(2)	-421(22-I-4)	-11(22-I-4)	201(23-I-4)
153	16	-2.40(2)	-1.65(23-II-4)	1.58(2)	-346(22-I-4)	59(22-I-1)	182(23-I-4)
154	1	2.42(23-II-4)	-4.19(2)	-1.68(23-II-4)	464(22-I-1)	162(22-I-4)	-246(23-I-4)
154	2	-0.13(23-II-3)	-4.86(2)	-1.68(23-II-4)	196(22-I-1)	172(22-I-4)	261(23-II-4)
154	3	-0.27(2)	-5.91(2)	-2.19(23-II-4)	128(22-I-1)	45(2)	276(23-II-4)
154	4	-4.72(23-II-4)	-5.91(2)	-2.83(23-II-4)	278(22-I-1)	85(22-II-4)	248(23-II-4)
154	5	2.40(23-II-4)	-3.70(2)	-2.06(23-II-4)	342(22-I-1)	162(22-I-4)	-166(23-I-4)
154	6	0.07(2)	-4.70(2)	-1.29(23-II-4)	124(22-I-1)	194(22-I-4)	-214(23-I-4)
154	7	-0.17(23-II-4)	-6.57(2)	-1.73(23-II-4)	92(22-I-1)	61(22-I-1)	232(23-II-4)
154	8	-4.52(23-II-4)	-7.30(2)	-3.49(23-II-4)	197(22-I-4)	92(22-II-4)	228(23-II-4)
154	9	1.49(23-II-4)	-3.28(23-I-4)	-2.28(23-II-4)	-264(22-I-1)	-155(22-II-4)	-215(22-II-1)
154	10	-0.15(2)	-4.68(2)	-0.69(23-II-4)	51(22-I-1)	214(22-I-4)	-190(23-I-4)
154	11	-0.22(2)	-6.90(2)	-0.93(23-II-4)	46(22-I-1)	85(22-I-1)	219(23-II-4)
154	12	-3.35(23-II-4)	-9.52(2)	-3.98(23-II-4)	127(22-I-4)	102(22-II-4)	242(23-II-4)
154	13	-2.76(23-II-4)	-3.80(23-I-4)	-1.98(23-II-4)	-205(22-I-1)	-171(22-II-4)	-217(22-II-1)
154	14	-1.85(2)	-4.90(2)	-0.23(23-II-4)	30(22-I-1)	221(22-I-4)	-135(23-I-4)
154	15	-0.83(2)	-6.52(2)	0.10(23-I-4)	-10(23-II-4)	92(22-I-1)	133(23-II-4)
154	16	1.62(23-II-4)	-12.70(2)	-4.12(23-II-4)	86(23-II-3)	-114(22-I-4)	188(23-II-4)
155	1	-0.89(23-I-4)	-6.85(23-II-4)	-0.30(22-II-1)	-497(22-I-4)	-680(23-I-3)	-60(23-II-4)
155	2	-1.39(2)	-6.26(23-II-4)	-0.21(22-II-1)	-666(22-I-4)	-715(23-I-3)	98(23-I-4)
155	3	-2.99(2)	-5.93(23-II-4)	0.54(2)	-842(22-I-4)	-776(23-I-3)	134(23-I-3)
155	4	-6.18(2)	-6.16(23-II-4)	2.05(2)	-973(22-I-4)	-930(23-I-3)	131(23-I-4)

Muro	Pann.	Sxx	Syy	Sxy	Mxx	Myy	Mxy
155	5	-1.23(23-I-4)	-1.82(23-II-3)	-0.23(23-I-3)	-393(22-I-4)	-604(23-I-3)	-177(22-I-1)
155	6	-1.95(2)	-2.00(23-II-4)	-0.32(23-II-4)	-484(22-I-4)	-644(23-I-3)	-182(22-I-1)
155	7	-3.72(2)	-2.02(23-II-3)	0.69(23-I-4)	-602(22-I-4)	-758(23-I-3)	-179(22-I-1)
155	8	-6.30(2)	-1.80(23-II-4)	0.80(2)	-712(22-I-4)	-1049(23-I-3)	199(22-I-1)
155	9	-1.87(23-I-4)	2.90(23-II-1)	-0.23(23-I-4)	-286(22-I-4)	-575(23-I-3)	-197(22-I-1)
155	10	-2.21(23-I-4)	2.58(23-II-1)	-0.36(23-II-4)	-318(22-I-4)	-602(23-I-3)	-184(22-I-1)
155	11	-4.15(2)	1.91(23-II-1)	0.62(2)	-340(22-I-4)	-696(23-I-3)	-158(22-I-1)
155	12	-5.47(2)	1.69(23-II-1)	0.46(23-II-4)	-363(22-I-4)	-854(23-I-3)	209(23-I-4)
155	13	3.10(23-II-4)	8.18(23-II-4)	-0.23(23-I-1)	-197(22-I-1)	-521(22-I-1)	-206(22-I-1)
155	14	-3.04(2)	4.99(23-II-1)	1.29(23-II-4)	-172(22-I-4)	-521(22-I-1)	-204(22-I-1)
155	15	-4.09(2)	3.71(23-II-1)	1.26(23-II-1)	-163(23-I-3)	-588(23-I-3)	-161(22-I-1)
155	16	-5.14(2)	3.19(23-II-1)	0.88(23-II-1)	-152(23-I-3)	639(23-II-3)	224(23-I-4)
156	1	-1.29(23-II-4)	6.95(23-II-4)	1.41(23-II-4)	-75(22-II-4)	-272(22-II-1)	58(22-I-4)
156	2	-0.12(23-I-4)	2.59(23-II-1)	1.89(23-II-4)	-31(22-II-1)	-284(23-I-4)	-56(22-II-4)
156	3	-0.23(23-II-4)	-2.24(23-II-3)	1.67(23-II-4)	-91(22-I-1)	-397(23-I-3)	-56(22-II-4)
156	4	0.77(23-II-4)	-5.55(23-II-4)	0.79(23-II-4)	-289(22-I-4)	-527(23-I-3)	-40(23-II-4)
156	5	-1.78(23-II-4)	3.01(23-II-1)	2.18(23-II-4)	-50(23-I-3)	-290(22-II-1)	145(22-I-4)
156	6	-0.06(23-I-4)	1.35(23-II-1)	2.80(23-II-4)	-22(23-I-3)	-287(23-I-4)	-133(22-II-4)
156	7	-0.05(23-I-4)	0.79(23-II-1)	2.40(23-II-4)	-65(22-I-1)	-401(23-I-3)	-129(22-II-4)
156	8	1.30(23-II-4)	-1.49(23-II-3)	1.50(23-II-4)	-227(22-I-4)	-539(23-I-3)	-148(22-I-4)
156	9	-2.53(23-II-4)	-1.89(23-II-4)	2.84(23-II-4)	-47(23-I-4)	-316(22-II-1)	152(22-I-4)
156	10	0.07(23-II-4)	-0.77(23-II-3)	2.47(23-II-4)	-11(23-I-3)	-290(23-I-4)	-127(22-II-4)
156	11	-0.07(2)	2.80(23-II-1)	2.12(23-II-4)	-34(22-I-4)	-404(23-I-3)	-121(22-II-4)
156	12	1.67(23-II-4)	3.81(23-II-1)	2.03(23-II-4)	-157(22-I-4)	-561(23-I-3)	-153(22-I-1)
156	13	-1.58(23-II-4)	-8.48(23-II-4)	3.54(23-II-4)	-47(23-I-4)	-370(22-II-1)	148(22-II-1)
156	14	-1.05(23-II-4)	-1.00(23-II-4)	0.68(23-II-4)	-9(23-II-4)	-291(23-I-4)	-82(22-II-4)
156	15	-0.38(2)	4.53(23-II-1)	0.67(23-II-4)	9(23-I-1)	-403(23-I-3)	-79(22-II-4)
156	16	0.43(23-II-1)	10.13(23-II-4)	2.33(23-II-4)	-86(22-I-4)	-622(23-I-3)	-156(22-I-4)
157	1	7.02(23-II-1)	-0.69(23-II-1)	0.63(23-II-4)	-326(22-II-1)	-96(22-II-1)	-92(22-I-4)
157	2	3.76(23-II-1)	-0.60(10)	0.67(23-II-4)	-328(22-II-1)	-87(22-I-1)	-193(22-I-4)
157	3	0.84(23-II-1)	-1.05(2)	0.62(23-II-4)	-322(22-II-1)	-94(22-II-1)	-216(22-I-4)
157	4	-2.25(23-II-4)	-0.84(23-I-4)	-0.17(22-I-1)	-311(22-II-1)	-109(22-II-1)	-232(22-I-1)
157	5	4.30(23-II-1)	-0.40(23-I-4)	0.47(23-II-4)	418(22-I-1)	-211(22-II-1)	-115(22-I-4)
157	6	3.02(23-II-1)	0.56(23-II-4)	0.64(2)	417(22-I-1)	-201(22-I-1)	-198(22-I-4)
157	7	1.85(23-II-1)	-0.52(23-I-4)	0.67(2)	390(22-I-1)	-188(22-I-1)	-217(22-I-4)
157	8	-0.83(23-I-1)	-0.63(23-I-4)	0.59(2)	359(22-I-1)	-169(22-I-1)	-227(22-I-4)
157	9	3.42(23-II-1)	-1.28(2)	0.36(22-I-1)	600(22-I-1)	-437(22-I-1)	-113(22-I-4)
157	10	2.83(23-II-1)	-1.05(2)	0.62(22-I-1)	601(22-I-1)	-349(22-I-1)	-201(22-I-4)
157	11	2.20(23-II-1)	-1.01(2)	0.87(22-I-1)	581(22-I-1)	-280(22-I-1)	-230(22-I-4)
157	12	1.63(23-II-1)	-1.44(2)	0.97(23-I-4)	552(22-I-1)	-216(22-I-1)	-244(22-I-4)
157	13	-4.95(23-I-1)	-3.51(2)	0.97(23-I-1)	855(22-II-1)	-626(22-I-1)	-155(22-I-4)
157	14	-2.95(23-I-1)	-4.42(2)	-0.64(23-II-1)	808(22-I-1)	-479(22-I-1)	-248(22-II-4)
157	15	2.17(23-II-1)	-3.42(2)	-0.65(23-II-1)	739(22-I-1)	-352(22-I-1)	-262(22-II-4)
157	16	1.66(23-II-1)	-2.95(2)	-0.68(23-II-1)	669(22-I-1)	-241(22-I-1)	-247(22-II-4)
158	1	-2.65(23-II-4)	-3.34(23-II-4)	-2.17(23-II-4)	-195(22-II-1)	150(22-I-1)	-290(22-I-1)
158	2	-0.17(23-II-4)	-2.98(2)	-0.96(23-II-4)	-70(22-II-1)	124(22-II-1)	-221(22-I-4)
158	3	0.14(23-II-4)	-2.80(2)	-0.87(23-II-4)	-51(22-II-1)	-105(22-I-1)	196(22-II-4)
158	4	2.55(23-II-4)	-3.48(23-I-4)	-2.21(23-II-4)	-49(22-I-4)	-238(22-I-1)	238(22-II-4)
158	5	-0.77(2)	-1.10(23-I-4)	0.62(23-I-4)	298(22-I-1)	134(22-II-1)	-226(22-I-4)
158	6	-0.78(2)	-1.82(2)	-1.58(23-II-4)	-214(22-II-1)	119(22-II-1)	-203(22-I-4)
158	7	-0.64(23-I-4)	-2.27(2)	-1.65(23-II-4)	-149(22-II-1)	94(22-II-1)	177(22-II-4)
158	8	1.43(23-II-4)	-2.93(2)	-0.95(23-II-4)	-99(22-II-1)	-152(22-I-1)	224(22-II-4)
158	9	-0.67(23-I-1)	-1.41(23-I-1)	0.95(23-I-4)	463(22-I-1)	148(22-I-1)	-237(22-I-4)
158	10	-0.40(22-I-1)	-1.76(2)	-0.88(23-II-4)	339(22-I-1)	128(22-II-1)	-205(22-I-4)
158	11	-0.37(23-I-4)	-2.20(2)	-0.94(23-II-4)	229(22-I-1)	152(22-II-1)	-173(22-I-4)
158	12	0.64(23-II-4)	-2.64(2)	-0.46(23-II-4)	111(22-I-1)	138(22-II-1)	203(22-II-4)
158	13	0.79(23-II-1)	-2.18(2)	-0.62(23-II-4)	559(22-I-1)	175(22-I-1)	-225(22-II-4)
158	14	-0.32(22-II-1)	-1.89(2)	0.55(23-I-4)	451(22-I-1)	155(22-I-1)	209(22-I-4)
158	15	-0.25(22-II-1)	-2.10(2)	-0.49(22-II-4)	404(22-I-1)	197(22-II-1)	182(22-I-4)
158	16	-0.22(23-I-3)	-2.50(22-I-1)	-0.30(23-II-4)	342(22-I-1)	223(22-II-1)	-158(22-I-4)
159	1	-2.87(2)	0.53(2)	-1.39(23-I-3)	-41(22-I-3)	48(23-II-2)	121(22-II-3)
159	2	-3.02(2)	-0.12(23-II-3)	1.39(23-II-3)	-56(22-I-3)	18(23-II-2)	186(22-II-4)
159	3	-3.20(2)	-0.10(23-II-3)	1.25(23-II-3)	-54(22-I-3)	20(22-I-2)	-183(22-I-4)
159	4	-3.02(2)	0.49(2)	0.87(23-II-3)	-80(22-I-3)	61(23-I-2)	-131(22-I-3)
159	5	-3.22(2)	0.49(2)	-1.29(23-I-3)	-58(22-I-3)	33(23-II-2)	119(22-II-3)
159	6	-3.12(2)	-0.15(23-II-3)	1.39(23-II-3)	-67(22-I-3)	10(23-II-2)	187(22-II-4)

Muro	Pann.	Sxx	Syy	Sxy	Mxx	Myy	Mxy
159	7	-3.23(2)	-0.17(2)	1.25(23-II-3)	-50(22-I-2)	12(22-I-2)	185(22-II-4)
159	8	-3.41(2)	0.39(2)	-0.88(23-I-3)	-59(22-I-3)	42(23-I-2)	-131(22-I-3)
159	9	-3.30(2)	0.28(2)	1.19(23-II-3)	88(22-II-4)	16(23-II-2)	118(22-II-3)
159	10	-3.24(2)	-0.17(2)	1.39(23-II-3)	-75(22-I-3)	3(23-II-2)	181(22-II-4)
159	11	-3.38(2)	-0.26(2)	1.25(23-II-3)	-54(22-I-2)	5(22-II-3)	180(22-II-4)
159	12	-3.66(2)	0.17(2)	-1.00(23-I-3)	-39(23-I-2)	20(23-I-2)	-132(22-I-3)
159	13	-2.85(2)	-0.10(23-II-3)	1.82(23-II-3)	135(22-II-4)	12(22-II-4)	120(22-II-3)
159	14	-3.57(2)	-0.33(2)	1.63(23-II-3)	-86(22-I-3)	-8(22-I-3)	173(22-II-4)
159	15	-3.93(2)	-0.42(2)	-1.15(23-I-3)	-58(23-I-2)	-4(23-I-2)	-173(22-I-4)
159	16	-3.27(2)	-0.16(2)	-1.30(23-I-3)	73(22-I-3)	8(22-I-3)	-134(22-I-3)
160	1	-2.98(2)	0.52(2)	0.96(23-II-3)	-91(22-I-3)	102(23-I-2)	-132(22-I-2)
160	2	-2.96(2)	0.17(2)	1.37(23-II-3)	-56(22-I-3)	40(23-I-2)	187(22-II-4)
160	3	-2.65(2)	-0.15(23-I-3)	-1.39(23-I-3)	-37(22-I-3)	37(23-I-2)	190(22-II-4)
160	4	-2.92(2)	0.33(2)	-1.49(23-I-3)	-31(22-I-3)	82(23-II-2)	132(22-II-3)
160	5	-3.05(2)	0.63(2)	0.94(23-II-3)	-67(22-I-3)	178(23-I-2)	-146(22-I-2)
160	6	-2.65(2)	0.42(23-I-3)	1.60(23-II-3)	-47(22-I-3)	74(23-I-2)	185(22-II-4)
160	7	-2.00(2)	-0.34(23-II-3)	-1.39(23-I-3)	-21(22-I-3)	68(23-II-2)	182(22-II-4)
160	8	-2.89(2)	-0.12(23-II-3)	-1.46(23-I-3)	-16(22-II-1)	149(23-II-2)	160(22-II-3)
160	9	-3.46(2)	1.51(2)	-1.06(23-I-3)	-38(22-I-3)	271(23-I-2)	-153(22-I-2)
160	10	-2.26(2)	0.76(23-I-3)	1.95(23-II-3)	-41(22-I-3)	103(23-I-2)	185(22-II-4)
160	11	-1.34(2)	-0.51(23-II-3)	-1.28(23-I-3)	-17(22-II-2)	96(23-I-2)	168(22-II-4)
160	12	-2.70(2)	-0.28(23-II-3)	-1.41(23-I-3)	-81(22-II-4)	230(23-II-2)	155(22-II-3)
160	13	-5.14(2)	2.32(2)	-1.40(23-I-3)	-49(23-II-2)	362(23-I-2)	-151(22-I-2)
160	14	-1.05(2)	1.19(23-I-3)	2.15(23-II-3)	-38(22-I-3)	135(23-I-2)	184(22-II-4)
160	15	-0.87(2)	1.00(23-I-3)	1.19(23-II-3)	-27(22-II-2)	131(22-II-3)	161(22-II-4)
160	16	-2.38(2)	0.20(23-I-3)	-1.32(23-I-3)	-57(22-II-1)	314(23-II-2)	112(22-II-3)
161	1	0.61(23-II-1)	-2.17(23-II-3)	1.09(23-I-3)	363(23-II-2)	-133(22-I-3)	-103(22-II-3)
161	2	1.26(2)	-0.68(23-II-4)	0.93(23-I-2)	384(23-II-2)	-258(22-I-3)	-113(22-II-3)
161	3	2.38(2)	2.06(2)	0.70(23-I-2)	405(23-II-2)	-422(22-I-3)	-141(22-II-3)
161	4	3.61(2)	-1.66(23-II-3)	0.61(23-I-4)	414(23-II-2)	-537(22-I-3)	133(22-I-4)
161	5	1.40(23-I-3)	-1.14(2)	-1.09(23-II-3)	160(22-II-3)	-42(22-I-3)	-170(22-II-4)
161	6	1.94(2)	0.30(2)	-1.01(23-II-3)	170(22-II-3)	-49(23-I-2)	-186(22-II-4)
161	7	2.30(2)	1.19(2)	-0.94(23-II-3)	176(22-II-3)	57(23-II-2)	-182(22-II-4)
161	8	2.07(2)	-1.53(2)	-0.60(23-II-3)	175(22-II-3)	73(23-II-2)	-103(22-II-4)
161	9	1.86(23-I-3)	0.85(2)	-2.10(23-II-3)	156(23-I-2)	43(22-I-2)	-185(22-II-4)
161	10	2.12(23-I-3)	0.57(2)	-1.66(23-II-3)	165(23-I-2)	47(22-I-2)	-177(22-II-4)
161	11	2.63(23-I-3)	-0.33(1)	1.10(23-I-3)	171(23-I-2)	49(23-I-2)	-161(22-II-4)
161	12	3.43(23-I-3)	0.46(2)	0.94(23-I-3)	173(23-I-2)	56(23-I-2)	-98(22-II-4)
161	13	2.56(23-I-3)	-7.79(2)	-1.70(23-II-3)	415(23-I-2)	74(22-II-3)	161(22-I-3)
161	14	-3.40(23-II-3)	-15.27(2)	-2.09(23-II-3)	435(23-I-2)	95(22-II-3)	156(22-I-3)
161	15	-6.26(23-II-3)	-19.76(2)	-2.94(23-II-3)	453(23-I-2)	122(22-II-3)	150(22-I-4)
161	16	-11.34(2)	-12.38(2)	-8.07(2)	458(23-I-2)	153(22-II-3)	114(22-I-4)

VERIFICHE STATO LIMITE ULTIMO

Verifica delle travi
Scenario di calcolo : Scenario di calcolo N.T. 2018

Simbologia:

L[cm] :Lunghezza teorica elemento (distanza tra i nodi)
Ln[cm] :Lunghezza netta elemento (tiene conto dei conchi rigidi)
Terreno :Nome della stratigrafia per travi Winkler

L2,L3[cm] :Lunghezze libere di inflessione

Sez. R :Sezione Rettangolare

By[cm] :Larghezza (asse locale y)

Bz[cm] :Larghezza (asse locale z)

Sez. T : Sezione a T (rovescia e non)

Ba[cm] :Larghezza base inferiore

Ha[cm] :Altezza inferiore

Bs[cm] :Larghezza superiore

Hs[cm] :Altezza superiore

Sez. L : Sezione ad L (rovescia e non)

Ba[cm] :Larghezza base inferiore

Ha[cm] :Altezza inferiore

Bs[cm] :Larghezza superiore

Hs[cm] :Altezza superiore

Sez. C : Sezione circolare

R[cm] :Raggio

Criterio : Criterio di verifica adottato

Fatt.Ampl.Sisma = fattore moltiplicativo di gruppo per le azioni sismiche (solo se diverso da 1.0)

X[cm] : Punto di verifica

ILN : Inizio luce netta

CAMP : rappresenta il punto di massimo momento sia superiore che inferiore ad esclusione degli estremi

FLN :Fine luce netta

M-[kg*m]⁽¹⁾ : Momento negativo massimo di calcolo

N-[kg] : Sforzo normale corrispondente ad M-

M+[kg*m]⁽¹⁾ : Momento positivo massimo di calcolo

N+[kg] : Sforzo normale corrispondente ad M+

ΔM-[kg*m] : Incremento di M- per la traslazione del diagramma del momento a causa del taglio

ΔM+[kg*m] : Incremento di M+ per la traslazione del diagramma del momento a causa del taglio

Afs[cmq] : Area di ferro superiore

Afi[cmq] : Area di ferro inferiore

εc- : Deformazione nel cls per effetto di M-:N-⁽⁴⁾

εc+ : Deformazione nel cls per effetto di M+:N+⁽⁴⁾

εf- : Deformazione nell'acciaio per effetto di M-:N-⁽⁴⁾

εf+ : Deformazione nell'acciaio per effetto di M+:N+⁽⁴⁾

C- : Combinazione di carico generatore di M-:N-

C+ : Combinazione di carico generatore di M+:N+

x-[cm]⁽⁵⁾ : profondità asse neutro per la combinazione C-

d-[cm]⁽⁶⁾ : altezza utile della sezione per la combinazione C-

x+[cm]⁽⁵⁾ : profondità asse neutro per la combinazione C+

d+[cm]⁽⁶⁾ : altezza utile della sezione per la combinazione C+

Mr-[kg*m]: Momento resistente superiore

Mr+[kg*m]: Momento resistente inferiore

Stato-⁽⁷⁾ : Stato della sezione per la combinazione C-

Stato+⁽⁷⁾ : Stato della sezione per la combinazione C+

Comb: Combinazione di Carico individuata dal codice [C] se Comb è non sismica, ovvero [(Cx+Cy) Cm Sc] se Comb è sismica.

- C individua la Combinazione di Carico non sismica (1, 2, ecc. come da scenario);

- Cx individua la Combinazione di Carico sismica in direzione x (SismaX, come da scenario);

- Cy individua la Combinazione di Carico sismica in direzione y (SismaY, come da scenario);

- Cm individua la Combinazione spostamento masse (I, II, III, IV, V, ecc. come da Combinazioni sisma in

Spostamento masse impalcato);

- Sc individua la sottocombinazione ottenuta mediante la permutazione dei segni (1, 2, 3, 4, 5, 6, 7, 8):

1) Sc = + SismaZ*fz + SismaX*fx + SismaY*fy

2) Sc = + SismaZ*fz + SismaX*fx - SismaY*fy

- 3) $S_c = + S_{ismaZ} \cdot f_z - S_{ismaX} \cdot f_x + S_{ismaY} \cdot f_y$
- 4) $S_c = + S_{ismaZ} \cdot f_z - S_{ismaX} \cdot f_x - S_{ismaY} \cdot f_y$.
- 1) $S_c = - S_{ismaZ} \cdot f_z + S_{ismaX} \cdot f_x + S_{ismaY} \cdot f_y$
- 2) $S_c = - S_{ismaZ} \cdot f_z + S_{ismaX} \cdot f_x - S_{ismaY} \cdot f_y$
- 3) $S_c = - S_{ismaZ} \cdot f_z - S_{ismaX} \cdot f_x + S_{ismaY} \cdot f_y$
- 4) $S_c = - S_{ismaZ} \cdot f_z - S_{ismaX} \cdot f_x - S_{ismaY} \cdot f_y$.

- Quando non è richiesto il contributo del sisma in direzione Z le ultime quattro sono assenti

Le combinazioni delle azioni sismiche così ottenute vengono combinate con i carichi verticali (come da scenario).

Sez : Sezione di verifica [Sinistra/Destra]

Td[kg]⁽²⁾ : Taglio di verifica

VRdns[kg] : Resistenza a taglio in assenza di armature

VRcd[kg] : Resistenza taglio-compressione calcestruzzo

VRsd[kg] : Resistenza taglio-trazione acciaio

VRd[kg] : Resistenza a taglio = min(VRcd, VRsd)

VRd,f[kg] : Resistenza a taglio dovuta alla resistenza a trazione del calcestruzzo ad alte prestazioni (quando presente)(cfr. eq 4.2 CNR204/2006), oppure resistenza rinforzo composito (quando presente)(cfr. eq 4.19 CNR200/2013)

Mt[kg*m] : Momento torcente

Tpl[kg] : Taglio dovuto ai momenti resistenti alle estremità della trave

Mr[kg*m] : Momento resistente (ultimo) utilizzato per il calcolo di Tpl quando richiesto

Dx[cm] : Distanza dall'estremo da armare con staffe

Staffe[cmq] : Area delle staffe

cot(θ): cotangente teta secondo il punto 4.1.2.1.3 delle Norme Tecniche

F.Parete[cmq]⁽³⁾ : Area armatura longitudinale di parete

Cs : Coefficiente di sicurezza definito dal rapporto Fr/Fd (Fr=resistenza, Fd=azione)

ζ_E : Livello di sicurezza sismico definito come rapporto tra l'accelerazione sopportabile e l'accelerazione di progetto, quando richiesto dal criterio di verifica

rcm[kg/cm] = resistenza media calcestruzzo

fym[kg/cm] = resistenza media acciaio

FC = fattore di confidenza

qd = fattore di comportamento verifiche duttili

qf = fattore di comportamento verifiche fragili

Verifiche duttilità (quando richieste):

Zona : Sezione di verifica dell'elemento

Comb. : Combinazione di verifica

Nmax[kg] : Sforzo Normale massimo

Dir : Direzione di flessione (pilastri=Y o Z, travi =Z, pareti= ortogonale alla base)

Mry[kg*m] : Momento di snervamento corrispondente a Nmax

MrU[kg*m] : Momento ultimo (resistente) corrispondente a Nmax sulla sezione depurata del calcestruzzo non confinato, considerando il confinamento

φy[1/m] : Curvatura allo snervamento ($\phi_y = MrU/Mry \cdot \phi'_y$)

φu[1/m] : Curvatura allo corrispondente a MrU

μ : Capacità in duttilità della sezione

F.Conf : Fattore di confinamento adottato (= fck,c/fck)

μd : Richiesta in duttilità della sezione

Cs : Livello di sicurezza ($Cs = \mu/\mu_d$)

Note Verifica travi:

⁽¹⁾: il valore del momento di verifica è dato da $M + \Delta M$

⁽²⁾: Td è il valore di verifica a taglio esso è calcolato in funzione della somma tra taglio da carichi verticali il valore di Tpl ovvero quando la trave è tozza amplificando il taglio di calcolo dovuto al sisma per il fattore di comportamento

⁽³⁾: armatura necessaria per la sola verifica a torsione

⁽⁴⁾: le deformazioni sono stampate a meno del fattore 10^{-3}

⁽⁵⁾: distanza tra la fibra di cls compressa più lontana e l'asse neutro in direzione ortogonale all'asse neutro

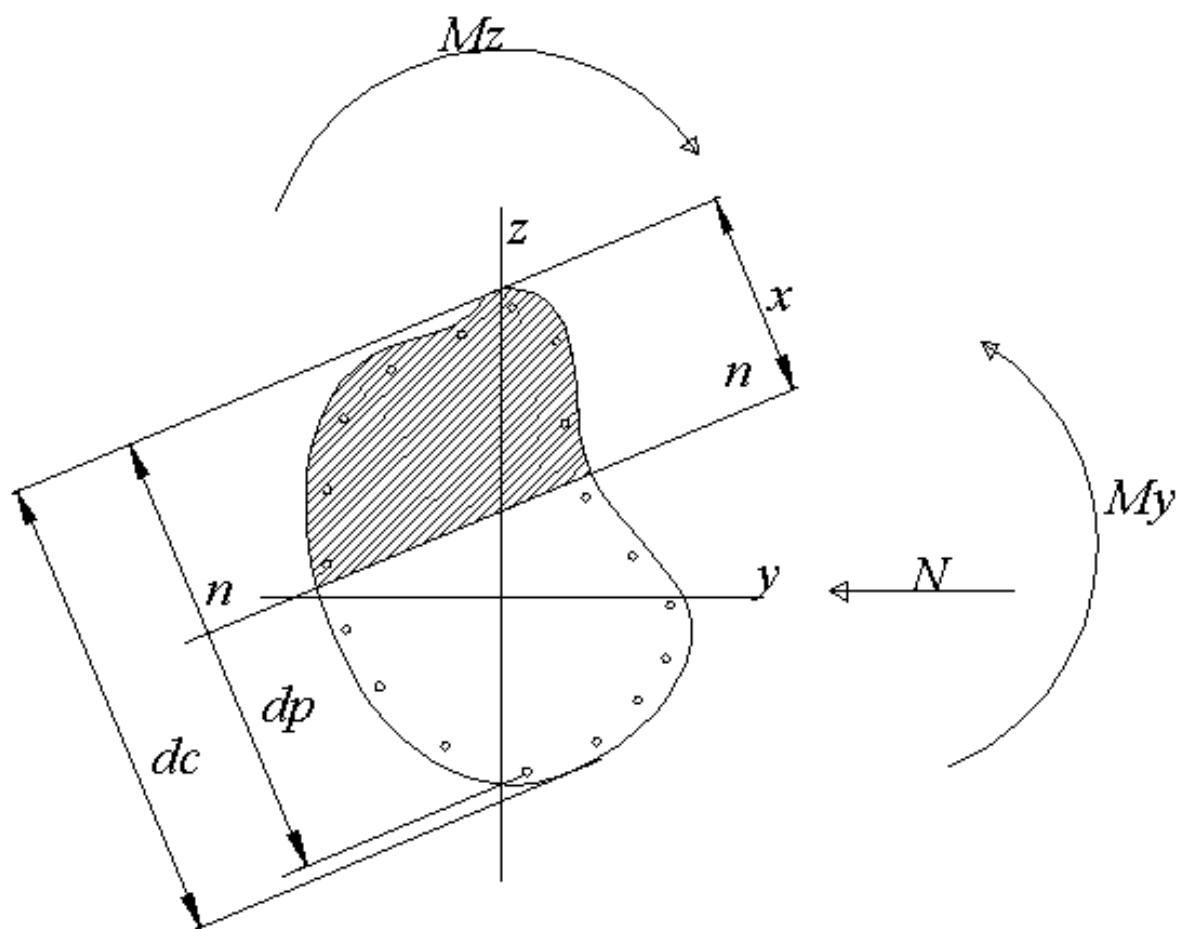
⁽⁶⁾: distanza tra le fibre sollecitate più lontane dall'asse neutro:

nel caso di sezione parzializzata le due fibre sono quella di cls compresso e quella dell'acciaio teso più lontane da n-n

nel caso di sezione completamente compressa le due fibre sono le due di cls compresso più lontane da n-n

⁽⁷⁾: Indica lo stato della sezione se: completamente compressa (Compr.), completamente tesa (Tesa), parzializzata

(Parz.)



$M_z=0$ per presso-flessione retta e z asse di simmetria
 $d = d_p$ per sezione parzializzata
 $d = d_c$ per sezione completamente compressa ($x \geq d_c$)

Schema geometrico verifica della sezione

Trave di Fond. : 9001 [1 , 805] Pilastrate [12 , -]

Sez. R: $B_y = 40.0 \text{ cm}$ $B_z = 70.0 \text{ cm}$ $L = 95.0 \text{ cm}$ $L_n = 75.0 \text{ cm}$ Terreno: **Terreno**

Criterio : CLS_TraviFondazione_Esist - Verifica a flessione $r_{cm} = 164 \text{ [kg/cmq]}$, $f_{ym} = 4200 \text{ [kg/cmq]}$, $FC = 1.20$ $q_d = 2.5$, $q_f = 1.5$:: **Verificato**

X	M-	M+	$\Delta M-$	$\Delta M+$	Afs	Afi	Mr-	Mr+	C-	C+	CS
cm	kg*m	kg*m	kg*m	kg*m	cmq	cmq	kg*m	kg*m			
ILN	958	--	--	--	4.02	8.04	9264	18378	(22+23)-VII-4	(22+23)-VII-1	9.7
7.5	943	--	--	--	4.02	8.04	9264	18378	(22+23)-III-4	(22+23)-III-1	9.8
CAMP	1668	456	--	--	4.02	8.04	9264	18378	(22+23)-I-4	(22+23)-I-1	5.6
67.5	1783	498	--	--	4.02	8.04	9264	18378	(22+23)-I-4	(22+23)-I-1	5.2
FLN	1856	563	--	--	4.02	8.04	9264	18378	(22+23)-I-4	(22+23)-I-1	5.0

X	x-	d-	x-/d-	x+	d+	x+/d+	Mr-	Mr+	C-	C+	Stato-	Stato+
cm	cm	cm		cm	cm		kg*m	kg*m				
ILN	12.5	67.5	0.185	--	--	--	9264	18378	(22+23)-VII-4	(22+23)-VII-1	Parz.	--
7.5	12.5	67.5	0.185	--	--	--	9264	18378	(22+23)-III-4	(22+23)-III-1	Parz.	--
CAMP	12.5	67.5	0.185	18.9	67.5	0.280	9264	18378	(22+23)-I-4	(22+23)-I-1	Parz.	Parz.
67.5	12.5	67.5	0.185	18.9	67.5	0.280	9264	18378	(22+23)-I-4	(22+23)-I-1	Parz.	Parz.
FLN	12.5	67.5	0.185	18.9	67.5	0.280	9264	18378	(22+23)-I-4	(22+23)-I-1	Parz.	Parz.

Verifica a taglio: $\cot(\theta) = 2.500$

Comb =(22+23)-III-2

Sez	Td	VRdns	VRcd	VRsd	VRd	Tpl	Mr	Dx	Staffe	CS
	kg	kg	kg	kg	kg	kg	kg*m	cm	cmq/m	
Sin	3979	--	26849	50693	26849	0	18378	75.0	10.97	6.7
Des							9264			

Trave di Fond. : 9001 [805 , 807] Pilastrate [- , -]

Sez. R: By= 40.0 cm Bz=70.0 cm L=400.0 cm Ln=400.0 cm Terreno: **Terreno**

Criterio : CLS_TraviFondazione_Esist - Verifica a flessione $r_{cm}=164$ [kg/cmq], $f_{ym}=4200$ [kg/cmq], $FC=1.20$ $q_d=2.5$, $q_f=1.5$:: **Verificato**

X	M-	M+	$\Delta M-$	$\Delta M+$	Afs	Afi	Mr-	Mr+	C-	C+	CS
cm	kg*m	kg*m	kg*m	kg*m	cmq	cmq	kg*m	kg*m			
ILN	1447	1197	--	--	4.02	8.04	9264	18378	(22+23)-III-3	(22+23)-III-2	6.4
40.0	2487	220	--	--	4.02	8.04	9264	18378	(22+23)-III-4	(22+23)-III-1	3.7
CAMP	2691	--	--	--	4.02	8.04	9264	18378	(22+23)-IV-4	(22+23)-IV-1	3.4
360.0	1158	1405	--	--	4.02	8.04	9264	18378	(22+23)-I-1	(22+23)-I-4	8.0
FLN	430	3284	--	--	4.02	8.04	9264	18378	(22+23)-I-1	(22+23)-I-4	5.6

X	x-	d-	x-/d-	x+	d+	x+/d+	Mr-	Mr+	C-	C+	Stato-	Stato+
cm	cm	cm		cm	cm		kg*m	kg*m				
ILN	12.5	67.5	0.185	18.9	67.5	0.280	9264	18378	(22+23)-III-3	(22+23)-III-2	Parz.	Parz.
40.0	12.5	67.5	0.185	18.9	67.5	0.279	9264	18378	(22+23)-III-4	(22+23)-III-1	Parz.	Parz.
CAMP	12.5	67.5	0.185	--	--	--	9264	18378	(22+23)-IV-4	(22+23)-IV-1	Parz.	--
360.0	12.5	67.5	0.185	18.9	67.5	0.280	9264	18378	(22+23)-I-1	(22+23)-I-4	Parz.	Parz.
FLN	12.4	67.5	0.184	19.0	67.5	0.281	9264	18378	(22+23)-I-1	(22+23)-I-4	Parz.	Parz.

Verifica a taglio: $\cot(\theta)$ Sin=2.500, $\cot(\theta)$ Cen=2.500, $\cot(\theta)$ Des=2.500

Comb Sin=(22+23)-VIII-4 Cen=(22+23)-III-4 Des=(22+23)-IV-4

Sez	Td	VRdns	VRcd	VRsd	VRd	Tpl	Mr	Dx	Staffe	CS
	kg	kg	kg	kg	kg	kg	kg*m	cm	cmq/m	
Sin	7246	--	26849	46468	26849	0	18378	70.0	10.05	3.7
Cen	4815	--	26849	18587	18587	--	--	--	4.02	3.9
Des	7905	--	26849	46468	26849	0	9264	70.0	10.05	3.4

Trave di Fond. : 9001 [807 , 3] Pilastrate [- , 14]

Sez. R: By= 40.0 cm Bz=70.0 cm L=95.0 cm Ln=115.0 cm Terreno: **Terreno**

Criterio : CLS_TraviFondazione_Esist - Verifica a flessione $r_{cm}=164$ [kg/cmq], $f_{ym}=4200$ [kg/cmq], $FC=1.20$ $q_d=2.5$, $q_f=1.5$:: **Verificato**

X	M-	M+	$\Delta M-$	$\Delta M+$	Afs	Afi	Mr-	Mr+	C-	C+	CS
cm	kg*m	kg*m	kg*m	kg*m	cmq	cmq	kg*m	kg*m			
ILN	771	2165	--	--	4.02	8.04	9264	18378	(22+23)-I-1	(22+23)-I-4	8.5
11.5	650	2140	--	--	4.02	8.04	9264	18378	(22+23)-I-1	(22+23)-I-4	8.6
CAMP	--	2208	--	--	4.02	8.04	9264	18378	(22+23)-IV-1	(22+23)-I-4	8.3
103.5	--	1757	--	--	4.02	8.04	9264	18378	(22+23)-VIII-3		2 10
FLN	--	2053	--	--	4.02	8.04	9264	18378	(22+23)-IV-3		2 9.0

X	x-	d-	x-/d-	x+	d+	x+/d+	Mr-	Mr+	C-	C+	Stato-	Stato+
cm	cm	cm		cm	cm		kg*m	kg*m				
ILN	12.5	67.5	0.185	19.0	67.5	0.281	9264	18378	(22+23)-I-1	(22+23)-I-4	Parz.	Parz.

X	x-	d-	x-/d-	x+	d+	x+/d+	Mr-	Mr+	C-	C+	Stato-	Stato+
11.5	12.5	67.5	0.184	18.9	67.5	0.281	9264	18378	(22+23)-I-1	(22+23)-I-4	Parz.	Parz.
CAMP	--	--	--	19.0	67.5	0.281	9264	18378	(22+23)-IV-1	(22+23)-I-4	--	Parz.
103.5	--	--	--	18.9	67.5	0.280	9264	18378	(22+23)-VIII-3	2	--	Parz.
FLN	--	--	--	18.9	67.5	0.281	9264	18378	(22+23)-IV-3	2	--	Parz.

Verifica a taglio: $\cot(\theta) = 2.500$

Comb =(22+23)-III-2

Sez	Td	VRdns	VRcd	VRsd	VRd	Tpl	Mr	Dx	Staffe	CS
	kg	kg	kg	kg	kg	kg	kg*m	cm	cmq/m	
Sin	4972	--	26849	48914	26849	0	18378	115.0	10.58	5.4
Des							9264			

Trave di Fond. : 9001 [3 , 814] Pilastrate [14 , -]

Sez. R: $B_y = 40.0 \text{ cm}$ $B_z = 70.0 \text{ cm}$ $L = 130.0 \text{ cm}$ $L_n = 110.0 \text{ cm}$ Terreno: **Terreno**

Criterio : CLS_TraviFondazione_Esist - Verifica a flessione $r_{cm} = 164 \text{ [kg/cmq]}$, $f_{ym} = 4200 \text{ [kg/cmq]}$, $FC = 1.20$ $q_d = 2.5$,

$q_f = 1.5$:: **Verificato**

X	M-	M+	$\Delta M-$	$\Delta M+$	Afs	Afi	Mr-	Mr+	C-	C+	CS
cm	kg*m	kg*m	kg*m	kg*m	cmq	cmq	kg*m	kg*m			
ILN	--	1979	--	--	4.02	8.04	9264	18378	(22+23)-IV-1	2	9.3
11.0	--	1722	--	--	4.02	8.04	9264	18378	(22+23)-IV-3	2	11
CAMP	991	2139	--	--	4.02	8.04	9264	18378	(22+23)-III-4	(22+23)-III-1	8.6
99.0	1181	2163	--	--	4.02	8.04	9264	18378	(22+23)-III-4	(22+23)-III-1	7.8
FLN	1304	2260	--	--	4.02	8.04	9264	18378	(22+23)-III-4	(22+23)-III-1	7.1

X	x-	d-	x-/d-	x+	d+	x+/d+	Mr-	Mr+	C-	C+	Stato-	Stato+
cm	cm	cm		cm	cm		kg*m	kg*m				
ILN	--	--	--	18.9	67.5	0.281	9264	18378	(22+23)-IV-1	2	--	Parz.
11.0	--	--	--	18.9	67.5	0.280	9264	18378	(22+23)-IV-3	2	--	Parz.
CAMP	12.5	67.5	0.185	18.9	67.5	0.281	9264	18378	(22+23)-III-4	(22+23)-III-1	Parz.	Parz.
99.0	12.5	67.5	0.185	18.9	67.5	0.281	9264	18378	(22+23)-III-4	(22+23)-III-1	Parz.	Parz.
FLN	12.5	67.5	0.185	19.0	67.5	0.281	9264	18378	(22+23)-III-4	(22+23)-III-1	Parz.	Parz.

Verifica a taglio: $\cot(\theta) = 2.500$

Comb =(22+23)-III-4

Sez	Td	VRdns	VRcd	VRsd	VRd	Tpl	Mr	Dx	Staffe	CS
	kg	kg	kg	kg	kg	kg	kg*m	cm	cmq/m	
Sin	5828	--	26849	46468	26849	0	18378	110.0	10.05	4.6
Des							9264			

Trave di Fond. : 9001 [814 , 817] Pilastrate [- , -]

Sez. R: $B_y = 40.0 \text{ cm}$ $B_z = 70.0 \text{ cm}$ $L = 400.0 \text{ cm}$ $L_n = 400.0 \text{ cm}$ Terreno: **Terreno**

Criterio : CLS_TraviFondazione_Esist - Verifica a flessione $r_{cm} = 164 \text{ [kg/cmq]}$, $f_{ym} = 4200 \text{ [kg/cmq]}$, $FC = 1.20$ $q_d = 2.5$,

$q_f = 1.5$:: **Verificato**

X	M-	M+	$\Delta M-$	$\Delta M+$	Afs	Afi	Mr-	Mr+	C-	C+	CS
cm	kg*m	kg*m	kg*m	kg*m	cmq	cmq	kg*m	kg*m			
ILN	938	3259	--	--	4.02	8.04	9264	18378	(22+23)-III-3	(22+23)-III-2	5.6
40.0	1697	1698	--	--	4.02	8.04	9264	18378	(22+23)-III-4	(22+23)-III-1	5.5
CAMP	1886	--	--	--	4.02	8.04	9264	18378	(22+23)-III-1	(22+23)-VIII-3	4.9
360.0	1959	1471	--	--	4.02	8.04	9264	18378	(22+23)-III-1	(22+23)-III-4	4.7
FLN	1197	2951	--	--	4.02	8.04	9264	18378	(22+23)-III-1	(22+23)-III-4	6.2

X	x-	d-	x-/d-	x+	d+	x+/d+	Mr-	Mr+	C-	C+	Stato-	Stato+
cm	cm	cm		cm	cm		kg*m	kg*m				
ILN	12.5	67.5	0.185	19.0	67.5	0.281	9264	18378	(22+23)-III-3	(22+23)-III-2	Parz.	Parz.
40.0	12.5	67.5	0.185	18.9	67.5	0.280	9264	18378	(22+23)-III-4	(22+23)-III-1	Parz.	Parz.
CAMP	12.5	67.5	0.185	--	--	--	9264	18378	(22+23)-III-1	(22+23)-VIII-3	Parz.	--
360.0	12.5	67.5	0.185	18.9	67.5	0.280	9264	18378	(22+23)-III-1	(22+23)-III-4	Parz.	Parz.

X	x-	d-	x-/d-	x+	d+	x+/d+	Mr-	Mr+	C-	C+	Stato-	Stato+
FLN	12.5	67.5	0.185	19.0	67.5	0.281	9264	18378	(22+23)-III-1	(22+23)-III-4	Parz.	Parz.

Verifica a taglio: $\cot(\theta) \sin=2.500, \cot(\theta) \cos=2.500, \cot(\theta) \tan=2.500$

Comb Sin=(22+23)-IV-2 Cen=(22+23)-III-2 Des=(22+23)-IV-4

Sez	Td	VRdns	VRcd	VRsd	VRd	Tpl	Mr	Dx	Staffe	CS
	kg	kg	kg	kg	kg	kg	kg*m	cm	cmq/m	
Sin	6420	--	26849	46468	26849	0	18378	70.0	10.05	4.2
Cen	4280	--	26849	18587	18587	--	--	--	4.02	4.3
Des	6211	--	26849	46468	26849	0	9264	70.0	10.05	4.3

Trave di Fond. : 9001 [817 , 15] Pilastrate [- , 15]

Sez. R: By= 40.0 cm Bz=70.0 cm L=130.0 cm Ln=150.0 cm Terreno: **Terreno**

Criterio : CLS_TraviFondazione_Esist - Verifica a flessione $r_{cm}=164$ [kg/cmq], $f_{ym}=4200$ [kg/cmq], $FC=1.20$ $q_d=2.5$, $q_f=1.5$:: **Verificato**

X	M-	M+	$\Delta M-$	$\Delta M+$	Afs	Afi	Mr-	Mr+	C-	C+	CS
cm	kg*m	kg*m	kg*m	kg*m	cmq	cmq	kg*m	kg*m			
ILN	1392	2089	--	--	4.02	8.04	9264	18378	(22+23)-III-1	(22+23)-III-4	6.7
15.0	1220	1972	--	--	4.02	8.04	9264	18378	(22+23)-III-1	(22+23)-III-4	7.6
CAMP	924	1983	--	--	4.02	8.04	9264	18378	(22+23)-III-1	(22+23)-III-4	9.3
135.0	--	1134	--	--	4.02	8.04	9264	18378	(22+23)-III-3	(22+23)-III-2	16
FLN	--	1697	--	--	4.02	8.04	9264	18378	(22+23)-III-3	(22+23)-III-2	11

X	x-	d-	x-/d-	x+	d+	x+/d+	Mr-	Mr+	C-	C+	Stato-	Stato+
cm	cm	cm		cm	cm		kg*m	kg*m				
ILN	12.5	67.5	0.185	18.9	67.5	0.281	9264	18378	(22+23)-III-1	(22+23)-III-4	Parz.	Parz.
15.0	12.5	67.5	0.185	18.9	67.5	0.281	9264	18378	(22+23)-III-1	(22+23)-III-4	Parz.	Parz.
CAMP	12.5	67.5	0.185	18.9	67.5	0.281	9264	18378	(22+23)-III-1	(22+23)-III-4	Parz.	Parz.
135.0	--	--	--	18.9	67.5	0.280	9264	18378	(22+23)-III-3	(22+23)-III-2	--	Parz.
FLN	--	--	--	18.9	67.5	0.280	9264	18378	(22+23)-III-3	(22+23)-III-2	--	Parz.

Verifica a taglio: $\cot(\theta) = 2.500$

Comb =(22+23)-III-2

Sez	Td	VRdns	VRcd	VRsd	VRd	Tpl	Mr	Dx	Staffe	CS
	kg	kg	kg	kg	kg	kg	kg*m	cm	cmq/m	
Sin	5611	--	26849	46468	26849	0	18378	150.0	10.05	4.8
Des							9264			

Trave di Fond. : 9002 [9 , 850] Pilastrate [9 , -]

Sez. R: By= 40.0 cm Bz=70.0 cm L=125.0 cm Ln=75.0 cm Terreno: **Terreno**

Criterio : CLS_TraviFondazione_Esist - Verifica a flessione $r_{cm}=164$ [kg/cmq], $f_{ym}=4200$ [kg/cmq], $FC=1.20$ $q_d=2.5$, $q_f=1.5$:: **Verificato**

X	M-	M+	$\Delta M-$	$\Delta M+$	Afs	Afi	Mr-	Mr+	C-	C+	CS
cm	kg*m	kg*m	kg*m	kg*m	cmq	cmq	kg*m	kg*m			
ILN	321	2922	--	--	4.02	8.04	9264	18378	(22+23)-V-4	(22+23)-V-1	6.3
7.5	233	3099	--	--	4.02	8.04	9264	18378	(22+23)-V-4	(22+23)-V-1	5.9
CAMP	1816	7714	--	--	4.02	8.04	9264	18378	(22+23)-V-4	(22+23)-V-1	2.4
67.5	2130	7892	--	--	4.02	8.04	9264	18378	(22+23)-V-4	(22+23)-V-1	2.3
FLN	2408	8100	--	--	4.02	8.04	9264	18378	(22+23)-V-4	(22+23)-V-1	2.3

X	x-	d-	x-/d-	x+	d+	x+/d+	Mr-	Mr+	C-	C+	Stato-	Stato+
cm	cm	cm		cm	cm		kg*m	kg*m				
ILN	12.4	67.5	0.184	19.0	67.5	0.281	9264	18378	(22+23)-V-4	(22+23)-V-1	Parz.	Parz.
7.5	12.4	67.5	0.184	19.0	67.5	0.281	9264	18378	(22+23)-V-4	(22+23)-V-1	Parz.	Parz.
CAMP	12.5	67.5	0.185	19.2	67.5	0.285	9264	18378	(22+23)-V-4	(22+23)-V-1	Parz.	Parz.
67.5	12.5	67.5	0.185	19.2	67.5	0.285	9264	18378	(22+23)-V-4	(22+23)-V-1	Parz.	Parz.
FLN	12.5	67.5	0.185	19.2	67.5	0.285	9264	18378	(22+23)-V-4	(22+23)-V-1	Parz.	Parz.

Verifica a taglio: $\cot(\theta) = 2.500$

Comb = (22+23)-VII-2

Sez	Td	VRdns	VRcd	VRsd	VRd	Tpl	Mr	Dx	Staffe	CS
	kg	kg	kg	kg	kg	kg	kg*m	cm	cmq/m	
Sin	11828	--	26849	55762	26849	0	18378	75.0	12.06	2.3
Des							9264			

Trave di Fond. : 9002 [850 , 853] Pilastrate [- , -]

Sez. R: By= 40.0 cm Bz=70.0 cm L=400.0 cm Ln=400.0 cm Terreno: **Terreno**

Criterio : CLS_TraviFondazione_Esist - Verifica a flessione $r_{cm}=164$ [kg/cmq], $f_{ym}=4200$ [kg/cmq], $FC=1.20$ $q_d=2.5$, $q_f=1.5$:: **Verificato**

X	M-	M+	$\Delta M-$	$\Delta M+$	Afs	Afi	Mr-	Mr+	C-	C+	CS
cm	kg*m	kg*m	kg*m	kg*m	cmq	cmq	kg*m	kg*m			
ILN	2639	7806	--	--	4.02	8.04	9264	18378	(22+23)-V-4	(22+23)-V-1	2.4
40.0	5040	3913	--	--	4.02	8.04	9264	18378	(22+23)-V-4	(22+23)-V-1	1.8
CAMP	8106	--	--	--	4.02	8.04	9264	18378	2	20	1.1
360.0	3131	6449	--	--	4.02	8.04	9264	18378	(22+23)-V-1	(22+23)-V-4	2.8
FLN	1356	12504	--	--	4.02	8.04	9264	18378	(22+23)-V-1	(22+23)-V-4	1.5

X	x-	d-	x-/d-	x+	d+	x+/d+	Mr-	Mr+	C-	C+	Stato-	Stato+
cm	cm	cm		cm	cm		kg*m	kg*m				
ILN	12.5	67.5	0.185	19.2	67.5	0.285	9264	18378	(22+23)-V-4	(22+23)-V-1	Parz.	Parz.
40.0	12.6	67.5	0.186	19.0	67.5	0.282	9264	18378	(22+23)-V-4	(22+23)-V-1	Parz.	Parz.
CAMP	12.7	67.5	0.188	--	--	--	9264	18378	2	20	Parz.	--
360.0	12.5	67.5	0.186	19.1	67.5	0.284	9264	18378	(22+23)-V-1	(22+23)-V-4	Parz.	Parz.
FLN	12.5	67.5	0.185	19.5	67.5	0.288	9264	18378	(22+23)-V-1	(22+23)-V-4	Parz.	Parz.

Verifica a taglio: $\cot(\theta)$ Sin=2.500, $\cot(\theta)$ Cen=2.500, $\cot(\theta)$ Des=2.500

Comb Sin=3 Cen=(22+23)-VII-4 Des=(22+23)-VII-4

Sez	Td	VRdns	VRcd	VRsd	VRd	Tpl	Mr	Dx	Staffe	CS
	kg	kg	kg	kg	kg	kg	kg*m	cm	cmq/m	
Sin	13579	--	26849	46468	26849	0	18378	70.0	10.05	2.0
Cen	13052	--	26849	18587	18587	--	--	--	4.02	1.4
Des	20347	--	26849	46468	26849	0	9264	70.0	10.05	1.3

Trave di Fond. : 9002 [853 , 7] Pilastrate [- , 7]

Sez. R: By= 40.0 cm Bz=70.0 cm L=125.0 cm Ln=145.0 cm Terreno: **Terreno**

Criterio : CLS_TraviFondazione_Esist - Verifica a flessione $r_{cm}=164$ [kg/cmq], $f_{ym}=4200$ [kg/cmq], $FC=1.20$ $q_d=2.5$, $q_f=1.5$:: **Verificato**

X	M-	M+	$\Delta M-$	$\Delta M+$	Afs	Afi	Mr-	Mr+	C-	C+	CS
cm	kg*m	kg*m	kg*m	kg*m	cmq	cmq	kg*m	kg*m			
ILN	1180	12853	--	--	4.02	8.04	9264	18378	(22+23)-V-1	(22+23)-V-4	1.4
14.5	798	11992	--	--	4.02	8.04	9264	18378	(22+23)-V-1	(22+23)-V-4	1.5
CAMP	--	11310	--	--	4.02	8.04	9264	18378	(22+23)-VII-1	(22+23)-V-4	1.6
130.5	--	2693	--	--	4.02	8.04	9264	18378	(22+23)-VIII-1	2	6.8
FLN	--	2735	--	--	4.02	8.04	9264	18378	(22+23)-VII-3	2	6.7

X	x-	d-	x-/d-	x+	d+	x+/d+	Mr-	Mr+	C-	C+	Stato-	Stato+
cm	cm	cm		cm	cm		kg*m	kg*m				
ILN	12.5	67.5	0.185	19.5	67.5	0.288	9264	18378	(22+23)-V-1	(22+23)-V-4	Parz.	Parz.
14.5	12.5	67.5	0.185	19.4	67.5	0.288	9264	18378	(22+23)-V-1	(22+23)-V-4	Parz.	Parz.
CAMP	--	--	--	19.4	67.5	0.287	9264	18378	(22+23)-VII-1	(22+23)-V-4	--	Parz.
130.5	--	--	--	19.0	67.5	0.281	9264	18378	(22+23)-VIII-1	2	--	Parz.
FLN	--	--	--	19.0	67.5	0.281	9264	18378	(22+23)-VII-3	2	--	Parz.

Verifica a taglio: $\cot(\theta) = 2.500$

Comb = (22+23)-V-4

Sez	Td	VRdns	VRcd	VRsd	VRd	Tpl	Mr	Dx	Staffe	CS
	kg	kg	kg	kg	kg	kg	kg*m	cm	cmq/m	
Sin	16315	--	26849	48327	26849	0	18378	145.0	10.46	1.6
Des							9264			

Trave di Fond. : 9002 [7 , 856] Pilastrate [7 , -]

Sez. R: By= 40.0 cm Bz=70.0 cm L=130.0 cm Ln=110.0 cm Terreno: **Terreno**

Criterio : CLS_TraviFondazione_Esist - Verifica a flessione rcm=164 [kg/cm²],fym=4200 [kg/cm²], FC=1.20 qd=2.5, qf=1.5 ::**Verificato**

X	M-	M+	ΔM-	ΔM+	Afs	Afi	Mr-	Mr+	C-	C+	CS
cm	kg*m	kg*m	kg*m	kg*m	cmq	cmq	kg*m	kg*m			
ILN	--	2839	--	--	4.02	8.04	9264	18378	(22+23)-VII-3	(22+23)-VII-2	6.5
11.0	--	3182	--	--	4.02	8.04	9264	18378	(22+23)-VII-3	(22+23)-VII-2	5.8
CAMP	1867	11309	--	--	4.02	8.04	9264	18378	(22+23)-VII-3	(22+23)-VII-2	1.6
99.0	2366	11884	--	--	4.02	8.04	9264	18378	(22+23)-VII-3	(22+23)-VII-2	1.5
FLN	2805	12557	--	--	4.02	8.04	9264	18378	(22+23)-VII-3	(22+23)-VII-2	1.5

X	x-	d-	x-/d-	x+	d+	x+/d+	Mr-	Mr+	C-	C+	Stato-	Stato+
cm	cm	cm		cm	cm		kg*m	kg*m				
ILN	--	--	--	19.0	67.5	0.281	9264	18378	(22+23)-VII-3	(22+23)-VII-2	--	Parz.
11.0	--	--	--	19.0	67.5	0.281	9264	18378	(22+23)-VII-3	(22+23)-VII-2	--	Parz.
CAMP	12.5	67.5	0.185	19.4	67.5	0.287	9264	18378	(22+23)-VII-3	(22+23)-VII-2	Parz.	Parz.
99.0	12.5	67.5	0.185	19.4	67.5	0.288	9264	18378	(22+23)-VII-3	(22+23)-VII-2	Parz.	Parz.
FLN	12.5	67.5	0.185	19.5	67.5	0.288	9264	18378	(22+23)-VII-3	(22+23)-VII-2	Parz.	Parz.

Verifica a taglio:cot(θ)=2.500

Comb =(22+23)-VII-2

Sez	Td	VRdns	VRcd	VRsd	VRd	Tpl	Mr	Dx	Staffe	CS
	kg	kg	kg	kg	kg	kg	kg*m	cm	cmq/m	
Sin	17618	--	26849	46468	26849	0	18378	110.0	10.05	1.5
Des							9264			

Trave di Fond. : 9002 [856 , 858] Pilastrate [- , -]

Sez. R: By= 40.0 cm Bz=70.0 cm L=400.0 cm Ln=400.0 cm Terreno: **Terreno**

Criterio : CLS_TraviFondazione_Esist - Verifica a flessione rcm=164 [kg/cm²],fym=4200 [kg/cm²], FC=1.20 qd=2.5, qf=1.5 ::**Verificato**

X	M-	M+	ΔM-	ΔM+	Afs	Afi	Mr-	Mr+	C-	C+	CS
cm	kg*m	kg*m	kg*m	kg*m	cmq	cmq	kg*m	kg*m			
ILN	2988	12221	--	--	4.02	8.04	9264	18378	(22+23)-VII-3	(22+23)-VII-2	1.5
40.0	4737	6619	--	--	4.02	8.04	9264	18378	(22+23)-VII-3	(22+23)-VII-2	2.0
CAMP	7873	--	--	--	4.02	8.04	9264	18378	2	20	1.2
360.0	4461	6159	--	--	4.02	8.04	9264	18378	(22+23)-V-2	(22+23)-V-3	2.1
FLN	2694	11556	--	--	4.02	8.04	9264	18378	(22+23)-V-2	(22+23)-V-3	1.6

X	x-	d-	x-/d-	x+	d+	x+/d+	Mr-	Mr+	C-	C+	Stato-	Stato+
cm	cm	cm		cm	cm		kg*m	kg*m				
ILN	12.5	67.5	0.185	19.4	67.5	0.288	9264	18378	(22+23)-VII-3	(22+23)-VII-2	Parz.	Parz.
40.0	12.6	67.5	0.186	19.2	67.5	0.284	9264	18378	(22+23)-VII-3	(22+23)-VII-2	Parz.	Parz.
CAMP	12.7	67.5	0.188	--	--	--	9264	18378	2	20	Parz.	--
360.0	12.6	67.5	0.186	19.1	67.5	0.283	9264	18378	(22+23)-V-2	(22+23)-V-3	Parz.	Parz.
FLN	12.5	67.5	0.185	19.4	67.5	0.287	9264	18378	(22+23)-V-2	(22+23)-V-3	Parz.	Parz.

Verifica a taglio:cot(θ) Sin=2.500,cot(θ) Cen=2.500,cot(θ) Des=2.500

Comb Sin=(22+23)-VII-2 Cen=(22+23)-VII-2 Des=(22+23)-VII-4

Sez	Td	VRdns	VRcd	VRsd	VRd	Tpl	Mr	Dx	Staffe	CS
	kg	kg	kg	kg	kg	kg	kg*m	cm	cmq/m	
Sin	18629	--	26849	46468	26849	0	18378	70.0	10.05	1.4
Cen	11928	--	26849	18587	18587	--	--	--	4.02	1.6

Sez	Td	VRdns	VRcd	VRsd	VRd	Tpl	Mr	Dx	Staffe	CS
Des	18051	--	26849	46468	26849	0	9264	70.0	10.05	1.5

Trave di Fond. : 9002 [858 , 17] Pilastrate [- , 17]

Sez. R: By= 40.0 cm Bz=70.0 cm L=130.0 cm Ln=150.0 cm Terreno: **Terreno**

Criterio : CLS_TraviFondazione_Esist - Verifica a flessione rcm=164 [kg/cm²], fym=4200 [kg/cm²], FC=1.20 qd=2.5, qf=1.5 :: **Verificato**

X	M-	M+	ΔM-	ΔM+	Afs	Afi	Mr-	Mr+	C-	C+	CS
cm	kg*m	kg*m	kg*m	kg*m	cmq	cmq	kg*m	kg*m			
ILN	2490	11878	--	--	4.02	8.04	9264	18378	(22+23)-V-2	(22+23)-V-3	1.5
15.0	1941	10996	--	--	4.02	8.04	9264	18378	(22+23)-V-2	(22+23)-V-3	1.7
CAMP	1285	10286	--	--	4.02	8.04	9264	18378	(22+23)-V-2	(22+23)-V-3	1.8
135.0	--	1742	--	--	4.02	8.04	9264	18378	(22+23)-VII-1	2	11
FLN	--	1773	--	--	4.02	8.04	9264	18378	(22+23)-III-3	2	10

X	x-	d-	x-/d-	x+	d+	x+/d+	Mr-	Mr+	C-	C+	Stato-	Stato+
cm	cm	cm		cm	cm		kg*m	kg*m				
ILN	12.5	67.5	0.185	19.4	67.5	0.288	9264	18378	(22+23)-V-2	(22+23)-V-3	Parz.	Parz.
15.0	12.5	67.5	0.185	19.4	67.5	0.287	9264	18378	(22+23)-V-2	(22+23)-V-3	Parz.	Parz.
CAMP	12.5	67.5	0.185	19.3	67.5	0.286	9264	18378	(22+23)-V-2	(22+23)-V-3	Parz.	Parz.
135.0	--	--	--	18.9	67.5	0.280	9264	18378	(22+23)-VII-1	2	--	Parz.
FLN	--	--	--	18.9	67.5	0.280	9264	18378	(22+23)-III-3	2	--	Parz.

Verifica a taglio: cot(θ) = 2.500

Comb =(22+23)-V-3

Sez	Td	VRdns	VRcd	VRsd	VRd	Tpl	Mr	Dx	Staffe	CS
	kg	kg	kg	kg	kg	kg	kg*m	cm	cmq/m	
Sin	15327	--	26849	46468	26849	0	18378	150.0	10.05	1.8
Des							9264			

Trave di Fond. : 9002 [17 , 869] Pilastrate [17 , -]

Sez. R: By= 40.0 cm Bz=70.0 cm L=155.0 cm Ln=135.0 cm Terreno: **Terreno**

Criterio : CLS_TraviFondazione_Esist - Verifica a flessione rcm=164 [kg/cm²], fym=4200 [kg/cm²], FC=1.20 qd=2.5, qf=1.5 :: **Verificato**

X	M-	M+	ΔM-	ΔM+	Afs	Afi	Mr-	Mr+	C-	C+	CS
cm	kg*m	kg*m	kg*m	kg*m	cmq	cmq	kg*m	kg*m			
ILN	--	1465	--	--	4.02	8.04	9264	18378	(22+23)-III-4	2	13
13.5	--	1745	--	--	4.02	8.04	9264	18378	(22+23)-VII-4	(22+23)-VII-1	11
CAMP	2258	10142	--	--	4.02	8.04	9264	18378	(22+23)-VII-4	(22+23)-VII-1	1.8
121.5	2912	10934	--	--	4.02	8.04	9264	18378	(22+23)-VII-4	(22+23)-VII-1	1.7
FLN	3482	11867	--	--	4.02	8.04	9264	18378	(22+23)-VII-4	(22+23)-VII-1	1.5

X	x-	d-	x-/d-	x+	d+	x+/d+	Mr-	Mr+	C-	C+	Stato-	Stato+
cm	cm	cm		cm	cm		kg*m	kg*m				
ILN	--	--	--	18.9	67.5	0.280	9264	18378	(22+23)-III-4	2	--	Parz.
13.5	--	--	--	18.9	67.5	0.280	9264	18378	(22+23)-VII-4	(22+23)-VII-1	--	Parz.
CAMP	12.5	67.5	0.185	19.3	67.5	0.286	9264	18378	(22+23)-VII-4	(22+23)-VII-1	Parz.	Parz.
121.5	12.5	67.5	0.185	19.4	67.5	0.287	9264	18378	(22+23)-VII-4	(22+23)-VII-1	Parz.	Parz.
FLN	12.5	67.5	0.186	19.4	67.5	0.288	9264	18378	(22+23)-VII-4	(22+23)-VII-1	Parz.	Parz.

Verifica a taglio: cot(θ) = 2.500

Comb =(22+23)-VII-1

Sez	Td	VRdns	VRcd	VRsd	VRd	Tpl	Mr	Dx	Staffe	CS
	kg	kg	kg	kg	kg	kg	kg*m	cm	cmq/m	
Sin	15903	--	26849	48489	26849	0	18378	135.0	10.49	1.7
Des							9264			

Trave di Fond. : 9002 [869 , 871] Pilastrate [- , -]Sez. R: By= 40.0 cm Bz=70.0 cm L=400.0 cm Ln=400.0 cm Terreno: **Terreno**Criterio : CLS_TraviFondazione_Esist - Verifica a flessione rcm=164 [kg/cm²],fym=4200 [kg/cm²], FC=1.20 qd=2.5, qf=1.5 :: **Verificato**

X	M-	M+	ΔM-	ΔM+	Afs	Afi	Mr-	Mr+	C-	C+	CS
cm	kg*m	kg*m	kg*m	kg*m	cmq	cmq	kg*m	kg*m			
ILN	3737	11522	--	--	4.02	8.04	9264	18378	(22+23)-VII-4	(22+23)-VII-1	1.6
40.0	5415	6194	--	--	4.02	8.04	9264	18378	(22+23)-VII-4	(22+23)-VII-1	1.7
CAMP	7992	--	--	--	4.02	8.04	9264	18378	2	(22+23)-IV-3	1.2
360.0	4269	7183	--	--	4.02	8.04	9264	18378	(22+23)-VII-1	(22+23)-VII-4	2.2
FLN	2539	13439	--	--	4.02	14.07	9264	31244	(22+23)-VII-1	(22+23)-VII-4	2.3

X	x-	d-	x-/d-	x+	d+	x+/d+	Mr-	Mr+	C-	C+	Stato-	Stato+
cm	cm	cm		cm	cm		kg*m	kg*m				
ILN	12.5	67.5	0.186	19.4	67.5	0.287	9264	18378	(22+23)-VII-4	(22+23)-VII-1	Parz.	Parz.
40.0	12.6	67.5	0.187	19.1	67.5	0.283	9264	18378	(22+23)-VII-4	(22+23)-VII-1	Parz.	Parz.
CAMP	12.7	67.5	0.188	--	--	--	9264	18378	2	(22+23)-IV-3	Parz.	--
360.0	12.6	67.5	0.186	19.2	67.5	0.284	9264	18378	(22+23)-VII-1	(22+23)-VII-4	Parz.	Parz.
FLN	11.0	67.5	0.162	24.6	67.5	0.365	9264	31244	(22+23)-VII-1	(22+23)-VII-4	Parz.	Parz.

Verifica a taglio: cot(θ) Sin=2.500, cot(θ) Cen=2.500, cot(θ) Des=2.500

Comb Sin=(22+23)-VII-2 Cen=(22+23)-VII-4 Des=(22+23)-VII-4

Sez	Td	VRdns	VRcd	VRsd	VRd	Tpl	Mr	Dx	Staffe	CS
	kg	kg	kg	kg	kg	kg	kg*m	cm	cmq/m	
Sin	18125	--	26849	46468	26849	0	9264	70.0	10.05	1.5
Cen	13055	--	26849	18587	18587	--	--	--	4.02	1.4
Des	20814	--	26849	46468	26849	0	31244	70.0	10.05	1.3

Trave di Fond. : 9002 [871 , 25] Pilastrate [- , 25]Sez. R: By= 40.0 cm Bz=70.0 cm L=155.0 cm Ln=155.0 cm Terreno: **Terreno**Criterio : CLS_TraviFondazione_Esist - Verifica a flessione rcm=164 [kg/cm²],fym=4200 [kg/cm²], FC=1.20 qd=2.5, qf=1.5 :: **Verificato**

X	M-	M+	ΔM-	ΔM+	Afs	Afi	Mr-	Mr+	C-	C+	CS
cm	kg*m	kg*m	kg*m	kg*m	cmq	cmq	kg*m	kg*m			
ILN	2281	13841	--	--	4.02	8.04	9264	18378	(22+23)-VII-1	(22+23)-VII-4	1.3
15.5	1791	12573	--	--	4.02	8.04	9264	18378	(22+23)-VII-1	(22+23)-VII-4	1.5
CAMP	1190	11529	--	--	4.02	8.04	9264	18378	(22+23)-VII-1	(22+23)-VII-4	1.6
139.5	--	2099	--	--	4.02	8.04	9264	18378	(22+23)-VIII-1	(22+23)-VIII-4	8.8
FLN	--	2168	--	--	4.02	8.04	9264	18378	(22+23)-VIII-1	(22+23)-VIII-4	8.5

X	x-	d-	x-/d-	x+	d+	x+/d+	Mr-	Mr+	C-	C+	Stato-	Stato+
cm	cm	cm		cm	cm		kg*m	kg*m				
ILN	12.5	67.5	0.185	19.5	67.5	0.289	9264	18378	(22+23)-VII-1	(22+23)-VII-4	Parz.	Parz.
15.5	12.5	67.5	0.185	19.5	67.5	0.288	9264	18378	(22+23)-VII-1	(22+23)-VII-4	Parz.	Parz.
CAMP	12.5	67.5	0.185	19.4	67.5	0.287	9264	18378	(22+23)-VII-1	(22+23)-VII-4	Parz.	Parz.
139.5	--	--	--	18.9	67.5	0.281	9264	18378	(22+23)-VIII-1	(22+23)-VIII-4	--	Parz.
FLN	--	--	--	19.0	67.5	0.281	9264	18378	(22+23)-VIII-1	(22+23)-VIII-4	--	Parz.

Verifica a taglio: cot(θ) =2.500

Comb =(22+23)-VII-4

Sez	Td	VRdns	VRcd	VRsd	VRd	Tpl	Mr	Dx	Staffe	CS
	kg	kg	kg	kg	kg	kg	kg*m	cm	cmq/m	
Sin	17150	--	26849	48189	26849	0	18378	155.0	10.43	1.6
Des							9264			

Trave di Fond. : 9002 [25 , 900] Pilastrate [25 , -]Sez. R: By= 40.0 cm Bz=70.0 cm L=155.0 cm Ln=155.0 cm Terreno: **Terreno**Criterio : CLS_TraviFondazione_Esist - Verifica a flessione rcm=164 [kg/cm²],fym=4200 [kg/cm²], FC=1.20 qd=2.5,

qf=1.5 :: **Verificato**

X	M-	M+	ΔM-	ΔM+	Afs	Afi	Mr-	Mr+	C-	C+	CS
cm	kg*m	kg*m	kg*m	kg*m	cmq	cmq	kg*m	kg*m			
ILN	--	2163	--	--	4.02	8.04	9264	18378	(22+23)-VIII-3	(22+23)-VIII-2	8.5
15.5	--	2103	--	--	4.02	8.04	9264	18378	(22+23)-VIII-3	(22+23)-VIII-2	8.7
CAMP	968	11454	--	--	4.02	8.04	9264	18378	(22+23)-VII-3	(22+23)-VII-2	1.6
139.5	1496	12444	--	--	4.02	8.04	9264	18378	(22+23)-VII-3	(22+23)-VII-2	1.5
FLN	1922	13667	--	--	4.02	8.04	9264	18378	(22+23)-VII-3	(22+23)-VII-2	1.3

X	x-	d-	x-/d-	x+	d+	x+/d+	Mr-	Mr+	C-	C+	Stato-	Stato+
cm	cm	cm		cm	cm		kg*m	kg*m				
ILN	--	--	--	18.9	67.5	0.281	9264	18378	(22+23)-VIII-3	(22+23)-VIII-2	--	Parz.
15.5	--	--	--	18.9	67.5	0.281	9264	18378	(22+23)-VIII-3	(22+23)-VIII-2	--	Parz.
CAMP	12.5	67.5	0.185	19.4	67.5	0.287	9264	18378	(22+23)-VII-3	(22+23)-VII-2	Parz.	Parz.
139.5	12.5	67.5	0.185	19.4	67.5	0.288	9264	18378	(22+23)-VII-3	(22+23)-VII-2	Parz.	Parz.
FLN	12.5	67.5	0.185	19.5	67.5	0.289	9264	18378	(22+23)-VII-3	(22+23)-VII-2	Parz.	Parz.

Verifica a taglio: $\cot(\theta) = 2.500$

Comb =(22+23)-VII-2

Sez	Td	VRdns	VRcd	VRsd	VRd	Tpl	Mr	Dx	Staffe	CS
	kg	kg	kg	kg	kg	kg	kg*m	cm	cmq/m	
Sin	16947	--	26849	48189	26849	0	18378	155.0	10.43	1.6
Des							9264			

Trave di Fond. : 9002 [900 , 902] Pilastrate [- , -]

Sez. R: By= 40.0 cm Bz=70.0 cm L=403.0 cm Ln=403.0 cm Terreno: **Terreno**

Criterio : CLS_TraviFondazione_Esist - Verifica a flessione $r_{cm}=164$ [kg/cmq], $f_{ym}=4200$ [kg/cmq], $FC=1.20$ $q_d=2.5$,

qf=1.5 :: **Verificato**

X	M-	M+	ΔM-	ΔM+	Afs	Afi	Mr-	Mr+	C-	C+	CS
cm	kg*m	kg*m	kg*m	kg*m	cmq	cmq	kg*m	kg*m			
ILN	2155	13241	--	--	4.02	8.04	9264	18378	(22+23)-VII-3	(22+23)-VII-2	1.4
40.3	3733	6763	--	--	4.02	8.04	9264	18378	(22+23)-VII-3	(22+23)-VII-2	2.5
CAMP	8036	--	--	--	4.02	8.04	9264	18378	2	(22+23)-VI-3	1.2
362.7	4816	4886	--	--	4.02	8.04	9264	18378	(22+23)-VII-1	(22+23)-VII-4	1.9
FLN	2656	9532	--	--	4.02	8.04	9264	18378	(22+23)-III-1	(22+23)-III-4	1.9

X	x-	d-	x-/d-	x+	d+	x+/d+	Mr-	Mr+	C-	C+	Stato-	Stato+
cm	cm	cm		cm	cm		kg*m	kg*m				
ILN	12.5	67.5	0.185	19.5	67.5	0.289	9264	18378	(22+23)-VII-3	(22+23)-VII-2	Parz.	Parz.
40.3	12.5	67.5	0.186	19.2	67.5	0.284	9264	18378	(22+23)-VII-3	(22+23)-VII-2	Parz.	Parz.
CAMP	12.7	67.5	0.188	--	--	--	9264	18378	2	(22+23)-VI-3	Parz.	--
362.7	12.6	67.5	0.186	19.1	67.5	0.283	9264	18378	(22+23)-VII-1	(22+23)-VII-4	Parz.	Parz.
FLN	12.5	67.5	0.185	19.3	67.5	0.286	9264	18378	(22+23)-III-1	(22+23)-III-4	Parz.	Parz.

Verifica a taglio: $\cot(\theta)$ Sin=2.500, $\cot(\theta)$ Cen=2.500, $\cot(\theta)$ Des=2.500

Comb Sin=(22+23)-VII-2 Cen=(22+23)-VII-2 Des=(22+23)-I-4

Sez	Td	VRdns	VRcd	VRsd	VRd	Tpl	Mr	Dx	Staffe	CS
	kg	kg	kg	kg	kg	kg	kg*m	cm	cmq/m	
Sin	21654	--	26849	46468	26849	0	18378	70.0	10.05	1.2
Cen	13421	--	26849	19435	19435	--	--	--	4.20	1.4
Des	16469	--	26849	46468	26849	0	9264	70.0	10.05	1.6

Trave di Fond. : 9002 [902 , 2] Pilastrate [- , 2]

Sez. R: By= 40.0 cm Bz=70.0 cm L=155.0 cm Ln=135.0 cm Terreno: **Terreno**

Criterio : CLS_TraviFondazione_Esist - Verifica a flessione $r_{cm}=164$ [kg/cmq], $f_{ym}=4200$ [kg/cmq], $FC=1.20$ $q_d=2.5$,

qf=1.5 :: **Verificato**

X	M-	M+	ΔM-	ΔM+	Afs	Afi	Mr-	Mr+	C-	C+	CS
cm	kg*m	kg*m	kg*m	kg*m	cmq	cmq	kg*m	kg*m			

X	M-	M+	ΔM-	ΔM+	Afs	Afi	Mr-	Mr+	C-	C+	CS
ILN	2360	9896	--	--	4.02	8.04	9264	18378	(22+23)-III-1	(22+23)-III-4	1.9
13.5	1894	9152	--	--	4.02	8.04	9264	18378	(22+23)-I-1	(22+23)-I-4	2.0
CAMP	1353	8551	--	--	4.02	8.04	9264	18378	(22+23)-I-1	(22+23)-I-4	2.1
121.5	114	575	--	--	4.02	8.04	9264	18378	(22+23)-III-1	(22+23)-III-4	32
FLN	580	325	--	--	4.02	8.04	9264	18378	(22+23)-VI-2	(22+23)-VI-3	16

X	x-	d-	x-/d-	x+	d+	x+/d+	Mr-	Mr+	C-	C+	Stato-	Stato+
cm	cm	cm		cm	cm		kg*m	kg*m				
ILN	12.5	67.5	0.185	19.3	67.5	0.286	9264	18378	(22+23)-III-1	(22+23)-III-4	Parz.	Parz.
13.5	12.5	67.5	0.185	19.3	67.5	0.286	9264	18378	(22+23)-I-1	(22+23)-I-4	Parz.	Parz.
CAMP	12.5	67.5	0.185	19.2	67.5	0.285	9264	18378	(22+23)-I-1	(22+23)-I-4	Parz.	Parz.
121.5	12.4	67.5	0.184	18.9	67.5	0.280	9264	18378	(22+23)-III-1	(22+23)-III-4	Parz.	Parz.
FLN	12.5	67.5	0.184	18.9	67.5	0.280	9264	18378	(22+23)-VI-2	(22+23)-VI-3	Parz.	Parz.

Verifica a taglio: $\cot(\theta) = 2.500$

Comb =(22+23)-I-4

Sez	Td	VRdns	VRcd	VRsd	VRd	Tpl	Mr	Dx	Staffe	CS
	kg	kg	kg	kg	kg	kg	kg*m	cm	cmq/m	
Sin	14398	--	26849	46468	26849	0	18378	135.0	10.05	1.9
Des							9264			

Trave di Fond. : 9003 [4 , 888] Pilastrate [4 , -]

Sez. R: By= 40.0 cm Bz=70.0 cm L=130.0 cm Ln=110.0 cm Terreno: **Terreno**

Criterio : CLS_TraviFondazione_Esist - Verifica a flessione $r_{cm}=164$ [kg/cmq], $f_{ym}=4200$ [kg/cmq], $FC=1.20$ $q_d=2.5$,

$q_f=1.5$:: **Verificato**

X	M-	M+	ΔM-	ΔM+	Afs	Afi	Mr-	Mr+	C-	C+	CS
cm	kg*m	kg*m	kg*m	kg*m	cmq	cmq	kg*m	kg*m			
ILN	--	3468	--	--	4.02	8.04	9264	18378	(22+23)-VIII-2	2	5.3
11.0	--	2898	--	--	4.02	8.04	9264	18378	(22+23)-VIII-2	2	6.3
CAMP	--	2452	--	--	4.02	8.04	9264	18378	(22+23)-VIII-4	2	7.5
99.0	719	1929	--	--	4.02	8.04	9264	18378	(22+23)-VII-4	(22+23)-VII-1	9.5
FLN	832	1974	--	--	4.02	8.04	9264	18378	(22+23)-VII-4	(22+23)-VII-1	9.3

X	x-	d-	x-/d-	x+	d+	x+/d+	Mr-	Mr+	C-	C+	Stato-	Stato+
cm	cm	cm		cm	cm		kg*m	kg*m				
ILN	--	--	--	19.0	67.5	0.282	9264	18378	(22+23)-VIII-2	2	--	Parz.
11.0	--	--	--	19.0	67.5	0.281	9264	18378	(22+23)-VIII-2	2	--	Parz.
CAMP	--	--	--	19.0	67.5	0.281	9264	18378	(22+23)-VIII-4	2	--	Parz.
99.0	12.5	67.5	0.185	18.9	67.5	0.281	9264	18378	(22+23)-VII-4	(22+23)-VII-1	Parz.	Parz.
FLN	12.5	67.5	0.185	18.9	67.5	0.281	9264	18378	(22+23)-VII-4	(22+23)-VII-1	Parz.	Parz.

Verifica a taglio: $\cot(\theta) = 2.500$

Comb =(22+23)-V-3

Sez	Td	VRdns	VRcd	VRsd	VRd	Tpl	Mr	Dx	Staffe	CS
	kg	kg	kg	kg	kg	kg	kg*m	cm	cmq/m	
Sin	6636	--	26849	46468	26849	0	18378	110.0	10.05	4.0
Des							9264			

Trave di Fond. : 9003 [888 , 890] Pilastrate [- , -]

Sez. R: By= 40.0 cm Bz=70.0 cm L=400.0 cm Ln=400.0 cm Terreno: **Terreno**

Criterio : CLS_TraviFondazione_Esist - Verifica a flessione $r_{cm}=164$ [kg/cmq], $f_{ym}=4200$ [kg/cmq], $FC=1.20$ $q_d=2.5$,

$q_f=1.5$:: **Verificato**

X	M-	M+	ΔM-	ΔM+	Afs	Afi	Mr-	Mr+	C-	C+	CS
cm	kg*m	kg*m	kg*m	kg*m	cmq	cmq	kg*m	kg*m			
ILN	400	3076	--	--	4.02	8.04	9264	18378	(22+23)-VII-4	(22+23)-VII-1	6.0
40.0	1307	1341	--	--	4.02	8.04	9264	18378	(22+23)-V-4	(22+23)-V-1	7.1
CAMP	1890	--	--	--	4.02	8.04	9264	18378	2	(22+23)-IV-2	4.9

X	M-	M+	$\Delta M-$	$\Delta M+$	Afs	Afi	Mr-	Mr+	C-	C+	CS
360.0	1488	1100	--	--	4.02	8.04	9264	18378	(22+23)-V-1	(22+23)-V-4	6.2
FLN	575	2680	--	--	4.02	8.04	9264	18378	(22+23)-V-1	(22+23)-V-4	6.9

X	x-	d-	x-/d-	x+	d+	x+/d+	Mr-	Mr+	C-	C+	Stato-	Stato+
cm	cm	cm		cm	cm		kg*m	kg*m				
ILN	12.4	67.5	0.184	19.0	67.5	0.281	9264	18378	(22+23)-VII-4	(22+23)-VII-1	Parz.	Parz.
40.0	12.5	67.5	0.185	18.9	67.5	0.280	9264	18378	(22+23)-V-4	(22+23)-V-1	Parz.	Parz.
CAMP	12.5	67.5	0.185	--	--	--	9264	18378	2	(22+23)-IV-2	Parz.	--
360.0	12.5	67.5	0.185	18.9	67.5	0.280	9264	18378	(22+23)-V-1	(22+23)-V-4	Parz.	Parz.
FLN	12.5	67.5	0.184	19.0	67.5	0.281	9264	18378	(22+23)-V-1	(22+23)-V-4	Parz.	Parz.

Verifica a taglio: $\cot(\theta) \sin=2.500, \cot(\theta) \cos=2.500, \cot(\theta) \tan=2.500$

Comb $\sin=(22+23)$ -VIII-1 $\cos=(22+23)$ -VIII-1 $\tan=3$

Sez	Td	VRdns	VRcd	VRsd	VRd	Tpl	Mr	Dx	Staffe	CS
	kg	kg	kg	kg	kg	kg	kg*m	cm	cmq/m	
Sin	7684	--	26849	46468	26849	0	18378	70.0	10.05	3.5
Cen	4321	--	26849	18587	18587	--	--	--	4.02	4.3
Des	6710	--	26849	46468	26849	0	9264	70.0	10.05	4.0

Trave di Fond. : 9003 [890 , 5] Pilastrate [- , 5]

Sez. R: $B_y=40.0 \text{ cm}$ $B_z=70.0 \text{ cm}$ $L=130.0 \text{ cm}$ $L_n=150.0 \text{ cm}$ Terreno: **Terreno**

Criterio : CLS_TraviFondazione_Esist - Verifica a flessione $r_{cm}=164 \text{ [kg/cmq]}$, $f_{ym}=4200 \text{ [kg/cmq]}$, $FC=1.20$ $q_d=2.5$,

$q_f=1.5$:: **Verificato**

X	M-	M+	$\Delta M-$	$\Delta M+$	Afs	Afi	Mr-	Mr+	C-	C+	CS
cm	kg*m	kg*m	kg*m	kg*m	cmq	cmq	kg*m	kg*m			
ILN	965	1722	--	--	4.02	8.04	9264	18378	(22+23)-V-1	(22+23)-V-4	9.6
15.0	844	1641	--	--	4.02	8.04	9264	18378	(22+23)-V-1	(22+23)-V-4	11
CAMP	593	1713	--	--	4.02	8.04	9264	18378	(22+23)-V-1	(22+23)-V-4	11
135.0	--	1246	--	--	4.02	8.04	9264	18378	(22+23)-VI-4	2	15
FLN	--	1734	--	--	4.02	8.04	9264	18378	(22+23)-VIII-4	2	11

X	x-	d-	x-/d-	x+	d+	x+/d+	Mr-	Mr+	C-	C+	Stato-	Stato+
cm	cm	cm		cm	cm		kg*m	kg*m				
ILN	12.5	67.5	0.185	18.9	67.5	0.280	9264	18378	(22+23)-V-1	(22+23)-V-4	Parz.	Parz.
15.0	12.5	67.5	0.185	18.9	67.5	0.280	9264	18378	(22+23)-V-1	(22+23)-V-4	Parz.	Parz.
CAMP	12.5	67.5	0.184	18.9	67.5	0.280	9264	18378	(22+23)-V-1	(22+23)-V-4	Parz.	Parz.
135.0	--	--	--	18.9	67.5	0.280	9264	18378	(22+23)-VI-4	2	--	Parz.
FLN	--	--	--	18.9	67.5	0.280	9264	18378	(22+23)-VIII-4	2	--	Parz.

Verifica a taglio: $\cot(\theta) = 2.500$

Comb $= (22+23)$ -VII-1

Sez	Td	VRdns	VRcd	VRsd	VRd	Tpl	Mr	Dx	Staffe	CS
	kg	kg	kg	kg	kg	kg	kg*m	cm	cmq/m	
Sin	4718	--	26849	46468	26849	0	18378	150.0	10.05	5.7
Des							9264			

Trave di Fond. : 9003 [5 , 892] Pilastrate [5 , -]

Sez. R: $B_y=40.0 \text{ cm}$ $B_z=70.0 \text{ cm}$ $L=155.0 \text{ cm}$ $L_n=135.0 \text{ cm}$ Terreno: **Terreno**

Criterio : CLS_TraviFondazione_Esist - Verifica a flessione $r_{cm}=164 \text{ [kg/cmq]}$, $f_{ym}=4200 \text{ [kg/cmq]}$, $FC=1.20$ $q_d=2.5$,

$q_f=1.5$:: **Verificato**

X	M-	M+	$\Delta M-$	$\Delta M+$	Afs	Afi	Mr-	Mr+	C-	C+	CS
cm	kg*m	kg*m	kg*m	kg*m	cmq	cmq	kg*m	kg*m			
ILN	--	1417	--	--	4.02	8.04	9264	18378	(22+23)-VIII-4	2	13
13.5	--	1218	--	--	4.02	8.04	9264	18378	(22+23)-VIII-4	2	15
CAMP	768	2074	--	--	4.02	8.04	9264	18378	(22+23)-VII-3	(22+23)-VII-2	8.9
121.5	964	2118	--	--	4.02	8.04	9264	18378	(22+23)-VII-3	(22+23)-VII-2	8.7
FLN	1053	2280	--	--	4.02	8.04	9264	18378	(22+23)-VII-3	(22+23)-VII-2	8.1

X	x-	d-	x-/d-	x+	d+	x+/d+	Mr-	Mr+	C-	C+	Stato-	Stato+
cm	cm	cm		cm	cm		kg*m	kg*m				
ILN	--	--	--	18.9	67.5	0.280	9264	18378	(22+23)-VIII-4	2	--	Parz.
13.5	--	--	--	18.9	67.5	0.280	9264	18378	(22+23)-VIII-4	2	--	Parz.
CAMP	12.5	67.5	0.185	18.9	67.5	0.281	9264	18378	(22+23)-VII-3	(22+23)-VII-2	Parz.	Parz.
121.5	12.5	67.5	0.185	18.9	67.5	0.281	9264	18378	(22+23)-VII-3	(22+23)-VII-2	Parz.	Parz.
FLN	12.5	67.5	0.185	19.0	67.5	0.281	9264	18378	(22+23)-VII-3	(22+23)-VII-2	Parz.	Parz.

Verifica a taglio: $\cot(\theta) = 2.500$

Comb = (22+23)-VII-3

Sez	Td	VRdns	VRcd	VRsd	VRd	Tpl	Mr	Dx	Staffe	CS
	kg	kg	kg	kg	kg	kg	kg*m	cm	cmq/m	
Sin	3773	--	26849	48489	26849	0	18378	135.0	10.49	7.1
Des							9264			

Trave di Fond. : 9003 [892 , 895] Pilastrate [- , -]

Sez. R: $B_y = 40.0 \text{ cm}$ $B_z = 70.0 \text{ cm}$ $L = 400.0 \text{ cm}$ $L_n = 400.0 \text{ cm}$ Terreno: **Terreno**

Criterio : CLS_TraviFondazione_Esist - Verifica a flessione $r_{cm} = 164 \text{ [kg/cmq]}$, $f_{ym} = 4200 \text{ [kg/cmq]}$, $FC = 1.20$ $q_d = 2.5$, $q_f = 1.5$:: **Verificato**

X	M-	M+	$\Delta M-$	$\Delta M+$	Afs	Afi	Mr-	Mr+	C-	C+	CS
cm	kg*m	kg*m	kg*m	kg*m	cmq	cmq	kg*m	kg*m			
ILN	627	3283	--	--	4.02	8.04	9264	18378	(22+23)-VII-3	(22+23)-VII-2	5.6
40.0	1542	1699	--	--	4.02	8.04	9264	18378	(22+23)-VII-3	(22+23)-VII-2	6.0
CAMP	1845	--	--	--	4.02	8.04	9264	18378	2	(22+23)-VI-4	5.0
360.0	1891	1292	--	--	4.02	8.04	9264	18378	(22+23)-VII-2	(22+23)-VII-3	4.9
FLN	1230	2909	--	--	4.02	8.04	9264	18378	(22+23)-VII-2	(22+23)-VII-3	6.3

X	x-	d-	x-/d-	x+	d+	x+/d+	Mr-	Mr+	C-	C+	Stato-	Stato+
cm	cm	cm		cm	cm		kg*m	kg*m				
ILN	12.5	67.5	0.184	19.0	67.5	0.281	9264	18378	(22+23)-VII-3	(22+23)-VII-2	Parz.	Parz.
40.0	12.5	67.5	0.185	18.9	67.5	0.280	9264	18378	(22+23)-VII-3	(22+23)-VII-2	Parz.	Parz.
CAMP	12.5	67.5	0.185	--	--	--	9264	18378	2	(22+23)-VI-4	Parz.	--
360.0	12.5	67.5	0.185	18.9	67.5	0.280	9264	18378	(22+23)-VII-2	(22+23)-VII-3	Parz.	Parz.
FLN	12.5	67.5	0.185	19.0	67.5	0.281	9264	18378	(22+23)-VII-2	(22+23)-VII-3	Parz.	Parz.

Verifica a taglio: $\cot(\theta)$ Sin=2.500, $\cot(\theta)$ Des=2.500

Comb Sin=3 Des=(22+23)-VIII-3

Sez	Td	VRdns	VRcd	VRsd	VRd	Tpl	Mr	Dx	Staffe	CS
	kg	kg	kg	kg	kg	kg	kg*m	cm	cmq/m	
Sin	6708	--	26849	46468	26849	0	18378	200.0	10.05	4.0
Des	7388	--	26849	18823	18823	0	9264	200.0	4.07	2.5

Trave di Fond. : 9003 [895 , 6] Pilastrate [- , 6]

Sez. R: $B_y = 40.0 \text{ cm}$ $B_z = 70.0 \text{ cm}$ $L = 155.0 \text{ cm}$ $L_n = 155.0 \text{ cm}$ Terreno: **Terreno**

Criterio : CLS_TraviFondazione_Esist - Verifica a flessione $r_{cm} = 164 \text{ [kg/cmq]}$, $f_{ym} = 4200 \text{ [kg/cmq]}$, $FC = 1.20$ $q_d = 2.5$, $q_f = 1.5$:: **Verificato**

X	M-	M+	$\Delta M-$	$\Delta M+$	Afs	Afi	Mr-	Mr+	C-	C+	CS
cm	kg*m	kg*m	kg*m	kg*m	cmq	cmq	kg*m	kg*m			
ILN	1463	1917	--	--	4.02	8.04	9264	18378	(22+23)-VII-2	(22+23)-VII-3	6.3
15.5	1323	1779	--	--	4.02	8.04	9264	18378	(22+23)-VII-2	(22+23)-VII-3	7.0
CAMP	1068	1805	--	--	4.02	8.04	9264	18378	(22+23)-VII-2	(22+23)-VII-3	8.7
139.5	--	1129	--	--	4.02	8.04	9264	18378	(22+23)-VIII-2	(22+23)-VIII-3	16
FLN	--	1427	--	--	4.02	8.04	9264	18378	(22+23)-VIII-2	(22+23)-VIII-3	13

X	x-	d-	x-/d-	x+	d+	x+/d+	Mr-	Mr+	C-	C+	Stato-	Stato+
cm	cm	cm		cm	cm		kg*m	kg*m				

X	x-	d-	x-/d-	x+	d+	x+/d+	Mr-	Mr+	C-	C+	Stato-	Stato+
ILN	12.5	67.5	0.185	18.9	67.5	0.281	9264	18378	(22+23)-VII-2	(22+23)-VII-3	Parz.	Parz.
15.5	12.5	67.5	0.185	18.9	67.5	0.280	9264	18378	(22+23)-VII-2	(22+23)-VII-3	Parz.	Parz.
CAMP	12.5	67.5	0.185	18.9	67.5	0.281	9264	18378	(22+23)-VII-2	(22+23)-VII-3	Parz.	Parz.
139.5	--	--	--	18.9	67.5	0.280	9264	18378	(22+23)-VIII-2	(22+23)-VIII-3	--	Parz.
FLN	--	--	--	18.9	67.5	0.280	9264	18378	(22+23)-VIII-2	(22+23)-VIII-3	--	Parz.

Verifica a taglio: $\cot(\theta) \sin = 2.500, \cot(\theta) \cos = 2.500$

Comb $\sin = (22+23)$ -VII-3 $\cos = (22+23)$ -V-1

Sez	Td	VRdns	VRcd	VRsd	VRd	Tpl	Mr	Dx	Staffe	CS
	kg	kg	kg	kg	kg	kg	kg*m	cm	cmq/m	
Sin	3001	--	26849	18823	18823	0	18378	77.5	4.07	6.3
Des	3969	--	26849	46468	26849	0	9264	77.5	10.05	6.8

Trave di Fond. : 9003 [6 , 896] Pilastrate [6 , -]

Sez. R: $B_y = 40.0 \text{ cm}$ $B_z = 70.0 \text{ cm}$ $L = 155.0 \text{ cm}$ $L_n = 155.0 \text{ cm}$ Terreno: **Terreno**

Criterio : CLS_TraviFondazione_Esist - Verifica a flessione $r_{cm} = 164 \text{ [kg/cmq]}$, $f_{ym} = 4200 \text{ [kg/cmq]}$, $FC = 1.20$ $q_d = 2.5$,

$q_f = 1.5$:: **Verificato**

X	M-	M+	$\Delta M-$	$\Delta M+$	Afs	Afi	Mr-	Mr+	C-	C+	CS
cm	kg*m	kg*m	kg*m	kg*m	cmq	cmq	kg*m	kg*m			
ILN	--	1498	--	--	4.02	8.04	9264	18378	(22+23)-VIII-2	(22+23)-VIII-3	12
15.5	--	1146	--	--	4.02	8.04	9264	18378	(22+23)-VIII-2	(22+23)-VIII-3	16
CAMP	765	1797	--	--	4.02	8.04	9264	18378	(22+23)-V-4	(22+23)-V-1	10
139.5	996	1754	--	--	4.02	8.04	9264	18378	(22+23)-V-3	(22+23)-V-2	9.3
FLN	1116	1877	--	--	4.02	8.04	9264	18378	(22+23)-V-3	(22+23)-V-2	8.3

X	x-	d-	x-/d-	x+	d+	x+/d+	Mr-	Mr+	C-	C+	Stato-	Stato+
cm	cm	cm		cm	cm		kg*m	kg*m				
ILN	--	--	--	18.9	67.5	0.280	9264	18378	(22+23)-VIII-2	(22+23)-VIII-3	--	Parz.
15.5	--	--	--	18.9	67.5	0.280	9264	18378	(22+23)-VIII-2	(22+23)-VIII-3	--	Parz.
CAMP	12.5	67.5	0.185	18.9	67.5	0.280	9264	18378	(22+23)-V-4	(22+23)-V-1	Parz.	Parz.
139.5	12.5	67.5	0.185	18.9	67.5	0.280	9264	18378	(22+23)-V-3	(22+23)-V-2	Parz.	Parz.
FLN	12.5	67.5	0.185	18.9	67.5	0.281	9264	18378	(22+23)-V-3	(22+23)-V-2	Parz.	Parz.

Verifica a taglio: $\cot(\theta) \sin = 2.500, \cot(\theta) \cos = 2.500$

Comb $\sin = (22+23)$ -VII-3 $\cos = (22+23)$ -VI-3

Sez	Td	VRdns	VRcd	VRsd	VRd	Tpl	Mr	Dx	Staffe	CS
	kg	kg	kg	kg	kg	kg	kg*m	cm	cmq/m	
Sin	3761	--	26849	46468	26849	0	18378	77.5	10.05	7.1
Des	2575	--	26849	18681	18681	0	9264	77.5	4.04	7.3

Trave di Fond. : 9003 [896 , 898] Pilastrate [- , -]

Sez. R: $B_y = 40.0 \text{ cm}$ $B_z = 70.0 \text{ cm}$ $L = 403.0 \text{ cm}$ $L_n = 403.0 \text{ cm}$ Terreno: **Terreno**

Criterio : CLS_TraviFondazione_Esist - Verifica a flessione $r_{cm} = 164 \text{ [kg/cmq]}$, $f_{ym} = 4200 \text{ [kg/cmq]}$, $FC = 1.20$ $q_d = 2.5$,

$q_f = 1.5$:: **Verificato**

X	M-	M+	$\Delta M-$	$\Delta M+$	Afs	Afi	Mr-	Mr+	C-	C+	CS
cm	kg*m	kg*m	kg*m	kg*m	cmq	cmq	kg*m	kg*m			
ILN	825	2899	--	--	4.02	8.04	9264	18378	(22+23)-V-4	(22+23)-V-1	6.3
40.3	1575	1219	--	--	4.02	8.04	9264	18378	(22+23)-V-3	(22+23)-V-2	5.9
CAMP	2270	--	--	--	4.02	8.04	9264	18378	(22+23)-VI-1	(22+23)-II-2	4.1
362.7	1691	1060	--	--	4.02	8.04	9264	18378	(22+23)-V-2	(22+23)-V-3	5.5
FLN	765	2572	--	--	4.02	8.04	9264	18378	(22+23)-V-2	(22+23)-V-3	7.1

X	x-	d-	x-/d-	x+	d+	x+/d+	Mr-	Mr+	C-	C+	Stato-	Stato+
cm	cm	cm		cm	cm		kg*m	kg*m				
ILN	12.5	67.5	0.185	19.0	67.5	0.281	9264	18378	(22+23)-V-4	(22+23)-V-1	Parz.	Parz.
40.3	12.5	67.5	0.185	18.9	67.5	0.280	9264	18378	(22+23)-V-3	(22+23)-V-2	Parz.	Parz.
CAMP	12.5	67.5	0.185	--	--	--	9264	18378	(22+23)-VI-1	(22+23)-II-2	Parz.	--

X	x-	d-	x-/d-	x+	d+	x+/d+	Mr-	Mr+	C-	C+	Stato-	Stato+
362.7	12.5	67.5	0.185	18.9	67.5	0.280	9264	18378	(22+23)-V-2	(22+23)-V-3	Parz.	Parz.
FLN	12.5	67.5	0.185	19.0	67.5	0.281	9264	18378	(22+23)-V-2	(22+23)-V-3	Parz.	Parz.

Verifica a taglio: $\cot(\theta) \sin = 2.500, \cot(\theta) \cos = 2.500$

Comb Sin=(22+23)-VI-1 Des=(22+23)-VI-3

Sez	Td	VRdns	VRcd	VRsd	VRd	Tpl	Mr	Dx	Staffe	CS
	kg	kg	kg	kg	kg	kg	kg*m	cm	cmq/m	
Sin	7893	--	26849	18681	18681	0	18378	201.5	4.04	2.4
Des	8060	--	26849	46468	26849	0	9264	201.5	10.05	3.3

Trave di Fond. : 9003 [898 , 7] Pilastrate [- , 11]

Sez. R: $B_y = 40.0 \text{ cm}$ $B_z = 70.0 \text{ cm}$ $L = 155.0 \text{ cm}$ $L_n = 135.0 \text{ cm}$ Terreno: **Terreno**

Criterio : CLS_TraviFondazione_Esist - Verifica a flessione $r_{cm} = 164 \text{ [kg/cmq]}$, $f_{ym} = 4200 \text{ [kg/cmq]}$, $FC = 1.20$ $q_d = 2.5$, $q_f = 1.5$:: **Verificato**

X	M-	M+	$\Delta M-$	$\Delta M+$	Afs	Afi	Mr-	Mr+	C-	C+	CS
cm	kg*m	kg*m	kg*m	kg*m	cmq	cmq	kg*m	kg*m			
ILN	1073	1714	--	--	4.02	8.04	9264	18378	(22+23)-V-2	(22+23)-V-3	8.6
13.5	988	1568	--	--	4.02	8.04	9264	18378	(22+23)-V-2	(22+23)-V-3	9.4
CAMP	798	1539	--	--	4.02	8.04	9264	18378	(22+23)-V-2	(22+23)-V-3	12
121.5	76	376	--	--	4.02	8.04	9264	18378	(22+23)-VI-2	(22+23)-VI-3	49
FLN	167	493	--	--	4.02	8.04	9264	18378	(22+23)-VI-2	(22+23)-VI-3	37

X	x-	d-	x-/d-	x+	d+	x+/d+	Mr-	Mr+	C-	C+	Stato-	Stato+
cm	cm	cm		cm	cm		kg*m	kg*m				
ILN	12.5	67.5	0.185	18.9	67.5	0.280	9264	18378	(22+23)-V-2	(22+23)-V-3	Parz.	Parz.
13.5	12.5	67.5	0.185	18.9	67.5	0.280	9264	18378	(22+23)-V-2	(22+23)-V-3	Parz.	Parz.
CAMP	12.5	67.5	0.185	18.9	67.5	0.280	9264	18378	(22+23)-V-2	(22+23)-V-3	Parz.	Parz.
121.5	12.4	67.5	0.184	18.9	67.5	0.280	9264	18378	(22+23)-VI-2	(22+23)-VI-3	Parz.	Parz.
FLN	12.4	67.5	0.184	18.9	67.5	0.280	9264	18378	(22+23)-VI-2	(22+23)-VI-3	Parz.	Parz.

Verifica a taglio: $\cot(\theta) = 2.500$

Comb =(22+23)-V-3

Sez	Td	VRdns	VRcd	VRsd	VRd	Tpl	Mr	Dx	Staffe	CS
	kg	kg	kg	kg	kg	kg	kg*m	cm	cmq/m	
Sin	4428	--	26849	46468	26849	0	18378	135.0	10.05	6.1
Des							9264			

Trave di Fond. : 9004 [3 , 882] Pilastrate [3 , -]

Sez. R: $B_y = 40.0 \text{ cm}$ $B_z = 70.0 \text{ cm}$ $L = 125.0 \text{ cm}$ $L_n = 105.4 \text{ cm}$ Terreno: **Terreno**

Criterio : CLS_TraviFondazione_Esist - Verifica a flessione $r_{cm} = 164 \text{ [kg/cmq]}$, $f_{ym} = 4200 \text{ [kg/cmq]}$, $FC = 1.20$ $q_d = 2.5$, $q_f = 1.5$:: **Verificato**

X	M-	M+	$\Delta M-$	$\Delta M+$	Afs	Afi	Mr-	Mr+	C-	C+	CS
cm	kg*m	kg*m	kg*m	kg*m	cmq	cmq	kg*m	kg*m			
ILN	70	532	--	--	4.02	8.04	9264	18378	(22+23)-V-4	(22+23)-V-1	35
10.5	106	402	--	--	4.02	8.04	9264	18378	(22+23)-VIII-4	(22+23)-VIII-1	46
CAMP	845	845	--	--	4.02	8.04	9264	18378	(22+23)-VII-4	(22+23)-VII-1	11
94.9	993	811	--	--	4.02	8.04	9264	18378	(22+23)-VII-4	(22+23)-VII-1	9.3
FLN	1077	859	--	--	4.02	8.04	9264	18378	(22+23)-VII-4	(22+23)-VII-1	8.6

X	x-	d-	x-/d-	x+	d+	x+/d+	Mr-	Mr+	C-	C+	Stato-	Stato+
cm	cm	cm		cm	cm		kg*m	kg*m				
ILN	12.4	67.5	0.184	18.9	67.5	0.280	9264	18378	(22+23)-V-4	(22+23)-V-1	Parz.	Parz.
10.5	12.4	67.5	0.184	18.9	67.5	0.280	9264	18378	(22+23)-VIII-4	(22+23)-VIII-1	Parz.	Parz.
CAMP	12.5	67.5	0.185	18.9	67.5	0.280	9264	18378	(22+23)-VII-4	(22+23)-VII-1	Parz.	Parz.
94.9	12.5	67.5	0.185	18.9	67.5	0.280	9264	18378	(22+23)-VII-4	(22+23)-VII-1	Parz.	Parz.
FLN	12.5	67.5	0.185	18.9	67.5	0.280	9264	18378	(22+23)-VII-4	(22+23)-VII-1	Parz.	Parz.

Verifica a taglio: $\cot(\theta) = 2.500$

Comb = (22+23)-V-4

Sez	Td	VRdns	VRcd	VRsd	VRd	Tpl	Mr	Dx	Staffe	CS
	kg	kg	kg	kg	kg	kg	kg*m	cm	cmq/m	
Sin	3400	--	26849	46468	26849	0	18378	105.4	10.05	7.9
Des							9264			

Trave di Fond. : 9004 [882 , 883] Pilastrate [- , -]

Sez. R: By= 40.0 cm Bz=70.0 cm L=401.8 cm Ln=383.5 cm Terreno: **Terreno**

Criterio : CLS_TraviFondazione_Esist - Verifica a flessione $r_{cm}=164$ [kg/cmq], $f_{ym}=4200$ [kg/cmq], $FC=1.20$ $q_d=2.5$, $q_f=1.5$:: **Verificato**

X	M-	M+	$\Delta M-$	$\Delta M+$	Afs	Afi	Mr-	Mr+	C-	C+	CS
cm	kg*m	kg*m	kg*m	kg*m	cmq	cmq	kg*m	kg*m			
ILN	1093	1026	--	--	4.02	8.04	9264	18378	(22+23)-VII-4	(22+23)-VII-1	8.5
38.4	1977	--	--	--	4.02	8.04	9264	18378	(22+23)-V-3	(22+23)-V-2	4.7
CAMP	2657	--	--	--	4.02	8.04	9264	18378	(22+23)-VIII-3	(22+23)-VIII-2	3.5
345.2	1122	578	--	--	4.02	8.04	9264	18378	(22+23)-VII-1	(22+23)-VII-4	8.3
FLN	--	2581	--	--	4.02	8.04	9264	18378	(22+23)-V-2	(22+23)-V-3	7.1

X	x-	d-	x-/d-	x+	d+	x+/d+	Mr-	Mr+	C-	C+	Stato-	Stato+
cm	cm	cm		cm	cm		kg*m	kg*m				
ILN	12.5	67.5	0.185	18.9	67.5	0.280	9264	18378	(22+23)-VII-4	(22+23)-VII-1	Parz.	Parz.
38.4	12.5	67.5	0.185	--	--	--	9264	18378	(22+23)-V-3	(22+23)-V-2	Parz.	--
CAMP	12.5	67.5	0.185	--	--	--	9264	18378	(22+23)-VIII-3	(22+23)-VIII-2	Parz.	--
345.2	12.5	67.5	0.185	18.9	67.5	0.280	9264	18378	(22+23)-VII-1	(22+23)-VII-4	Parz.	Parz.
FLN	--	--	--	19.0	67.5	0.281	9264	18378	(22+23)-V-2	(22+23)-V-3	--	Parz.

Verifica a taglio: $\cot(\theta)$ Sin=2.500, $\cot(\theta)$ Cen=2.500, $\cot(\theta)$ Des=2.500

Comb Sin=(22+23)-IV-3 Cen=(22+23)-VI-3 Des=(22+23)-VIII-3

Sez	Td	VRdns	VRcd	VRsd	VRd	Tpl	Mr	Dx	Staffe	CS
	kg	kg	kg	kg	kg	kg	kg*m	cm	cmq/m	
Sin	6939	--	26849	46468	26849	0	18378	70.0	10.05	3.9
Cen	4898	--	26849	18587	18587	--	--	--	4.02	3.8
Des	9226	--	26849	46468	26849	0	9264	70.0	10.05	2.9

Trave di Fond. : 9004 [883 , 4] Pilastrate [- , 4]

Sez. R: By= 40.0 cm Bz=70.0 cm L=125.0 cm Ln=124.6 cm Terreno: **Terreno**

Criterio : CLS_TraviFondazione_Esist - Verifica a flessione $r_{cm}=164$ [kg/cmq], $f_{ym}=4200$ [kg/cmq], $FC=1.20$ $q_d=2.5$, $q_f=1.5$:: **Verificato**

X	M-	M+	$\Delta M-$	$\Delta M+$	Afs	Afi	Mr-	Mr+	C-	C+	CS
cm	kg*m	kg*m	kg*m	kg*m	cmq	cmq	kg*m	kg*m			
ILN	963	596	--	--	4.02	8.04	9264	18378	(22+23)-VII-1	(22+23)-VII-4	9.6
12.5	610	821	--	--	4.02	8.04	9264	18378	(22+23)-VII-1	(22+23)-VII-4	15
CAMP	--	3602	--	--	4.02	8.04	9264	18378	(22+23)-VIII-2		2 5.1
112.2	--	4693	--	--	4.02	8.04	9264	18378	(22+23)-VIII-2		2 3.9
FLN	--	5942	--	--	4.02	8.04	9264	18378	(22+23)-VIII-2		2 3.1

X	x-	d-	x-/d-	x+	d+	x+/d+	Mr-	Mr+	C-	C+	Stato-	Stato+
cm	cm	cm		cm	cm		kg*m	kg*m				
ILN	12.5	67.5	0.185	18.9	67.5	0.280	9264	18378	(22+23)-VII-1	(22+23)-VII-4	Parz.	Parz.
12.5	12.5	67.5	0.184	18.9	67.5	0.280	9264	18378	(22+23)-VII-1	(22+23)-VII-4	Parz.	Parz.
CAMP	--	--	--	19.0	67.5	0.282	9264	18378	(22+23)-VIII-2	2	--	Parz.
112.2	--	--	--	19.1	67.5	0.282	9264	18378	(22+23)-VIII-2	2	--	Parz.
FLN	--	--	--	19.1	67.5	0.283	9264	18378	(22+23)-VIII-2	2	--	Parz.

Verifica a taglio: $\cot(\theta) = 2.500$

Comb = (22+23)-IV-3

Sez	Td	VRdns	VRcd	VRsd	VRd	Tpl	Mr	Dx	Staffe	CS
	kg	kg	kg	kg	kg	kg	kg*m	cm	cmq/m	
Sin	11935	--	26849	46468	26849	0	18378	124.6	10.05	2.2
Des							9264			

Trave di Fond. : 9005 [1 , 904] Pilastrate [12 , -]

Sez. R: By= 40.0 cm Bz=70.0 cm L=135.0 cm Ln=115.5 cm Terreno: **Terreno**

Criterio : CLS_TraviFondazione_Esist - Verifica a flessione rcm=164 [kg/cm²],fym=4200 [kg/cm²], FC=1.20 qd=2.5, qf=1.5 ::**Verificato**

X	M-	M+	ΔM-	ΔM+	Afs	Afi	Mr-	Mr+	C-	C+	CS
cm	kg*m	kg*m	kg*m	kg*m	cmq	cmq	kg*m	kg*m			
ILN	131	815	--	--	4.02	8.04	9264	18378	(22+23)-VIII-1	(22+23)-VIII-4	23
11.6	9	540	--	--	4.02	8.04	9264	18378	(22+23)-III-1	(22+23)-III-4	34
CAMP	1477	1760	--	--	4.02	8.04	9264	18378	(22+23)-IV-2	(22+23)-IV-3	6.3
104.0	1791	1787	--	--	4.02	8.04	9264	18378	(22+23)-IV-2	(22+23)-IV-3	5.2
FLN	1994	1855	--	--	4.02	8.04	9264	18378	(22+23)-IV-2	(22+23)-IV-3	4.6

X	x-	d-	x-/d-	x+	d+	x+/d+	Mr-	Mr+	C-	C+	Stato-	Stato+
cm	cm	cm		cm	cm		kg*m	kg*m				
ILN	12.4	67.5	0.184	18.9	67.5	0.280	9264	18378	(22+23)-VIII-1	(22+23)-VIII-4	Parz.	Parz.
11.6	12.4	67.5	0.184	18.9	67.5	0.280	9264	18378	(22+23)-III-1	(22+23)-III-4	Parz.	Parz.
CAMP	12.5	67.5	0.185	18.9	67.5	0.280	9264	18378	(22+23)-IV-2	(22+23)-IV-3	Parz.	Parz.
104.0	12.5	67.5	0.185	18.9	67.5	0.280	9264	18378	(22+23)-IV-2	(22+23)-IV-3	Parz.	Parz.
FLN	12.5	67.5	0.185	18.9	67.5	0.281	9264	18378	(22+23)-IV-2	(22+23)-IV-3	Parz.	Parz.

Verifica a taglio: cot(θ) =2.500

Comb =(22+23)-IV-2

Sez	Td	VRdns	VRcd	VRsd	VRd	Tpl	Mr	Dx	Staffe	CS
	kg	kg	kg	kg	kg	kg	kg*m	cm	cmq/m	
Sin	5165	--	26849	46468	26849	0	18378	115.5	10.05	5.2
Des							9264			

Trave di Fond. : 9005 [904 , 907] Pilastrate [- , -]

Sez. R: By= 40.0 cm Bz=70.0 cm L=402.7 cm Ln=403.8 cm Terreno: **Terreno**

Criterio : CLS_TraviFondazione_Esist - Verifica a flessione rcm=164 [kg/cm²],fym=4200 [kg/cm²], FC=1.20 qd=2.5, qf=1.5 ::**Verificato**

X	M-	M+	ΔM-	ΔM+	Afs	Afi	Mr-	Mr+	C-	C+	CS
cm	kg*m	kg*m	kg*m	kg*m	cmq	cmq	kg*m	kg*m			
ILN	1128	2732	--	--	4.02	8.04	9264	18378	(22+23)-IV-2	(22+23)-IV-3	6.7
40.4	2642	1499	--	--	4.02	8.04	9264	18378	(22+23)-IV-2	(22+23)-IV-3	3.5
CAMP	2928	--	--	--	4.02	8.04	9264	18378	(22+23)-IV-2	(22+23)-III-1	3.2
363.4	2153	1033	--	--	4.02	8.04	9264	18378	(22+23)-IV-3	(22+23)-IV-2	4.3
FLN	1426	3316	--	--	4.02	8.04	9264	18378	(22+23)-IV-3	(22+23)-IV-2	5.5

X	x-	d-	x-/d-	x+	d+	x+/d+	Mr-	Mr+	C-	C+	Stato-	Stato+
cm	cm	cm		cm	cm		kg*m	kg*m				
ILN	12.5	67.5	0.185	19.0	67.5	0.281	9264	18378	(22+23)-IV-2	(22+23)-IV-3	Parz.	Parz.
40.4	12.5	67.5	0.185	18.9	67.5	0.280	9264	18378	(22+23)-IV-2	(22+23)-IV-3	Parz.	Parz.
CAMP	12.5	67.5	0.185	--	--	--	9264	18378	(22+23)-IV-2	(22+23)-III-1	Parz.	--
363.4	12.5	67.5	0.185	18.9	67.5	0.280	9264	18378	(22+23)-IV-3	(22+23)-IV-2	Parz.	Parz.
FLN	12.5	67.5	0.185	19.0	67.5	0.282	9264	18378	(22+23)-IV-3	(22+23)-IV-2	Parz.	Parz.

Verifica a taglio: cot(θ) Sin=2.500, cot(θ) Des=2.500

Comb Sin=(22+23)-III-4 Des=(22+23)-VIII-4

Sez	Td	VRdns	VRcd	VRsd	VRd	Tpl	Mr	Dx	Staffe	CS
	kg	kg	kg	kg	kg	kg	kg*m	cm	cmq/m	
Sin	7485	--	26849	46468	26849	0	18378	201.9	10.05	3.6
Des	8369	--	26849	18871	18871	0	9264	201.9	4.08	2.3

Trave di Fond. : 9005 [907 , 9] Pilastrate [- , 9]Sez. R: By= 40.0 cm Bz=70.0 cm L=135.0 cm Ln=150.8 cm Terreno: **Terreno**Criterio : CLS_TraviFondazione_Esist - Verifica a flessione rcm=164 [kg/cm²], fym=4200 [kg/cm²], FC=1.20 qd=2.5,qf=1.5 :: **Verificato**

X	M-	M+	ΔM-	ΔM+	Afs	Afi	Mr-	Mr+	C-	C+	CS
cm	kg*m	kg*m	kg*m	kg*m	cmq	cmq	kg*m	kg*m			
ILN	2219	281	--	--	4.02	8.04	9264	18378	(22+23)-IV-3	(22+23)-IV-2	4.2
15.1	1947	613	--	--	4.02	8.04	9264	18378	(22+23)-IV-3	(22+23)-IV-2	4.8
CAMP	1510	3787	--	--	4.02	8.04	9264	18378	(22+23)-VIII-1	2	4.9
135.7	--	5242	--	--	4.02	8.04	9264	18378	(22+23)-VIII-1	2	3.5
FLN	--	6911	--	--	4.02	8.04	9264	18378	(22+23)-VII-1	2	2.7

X	x-	d-	x-/d-	x+	d+	x+/d+	Mr-	Mr+	C-	C+	Stato-	Stato+
cm	cm	cm		cm	cm		kg*m	kg*m				
ILN	12.5	67.5	0.185	18.9	67.5	0.280	9264	18378	(22+23)-IV-3	(22+23)-IV-2	Parz.	Parz.
15.1	12.5	67.5	0.185	18.9	67.5	0.280	9264	18378	(22+23)-IV-3	(22+23)-IV-2	Parz.	Parz.
CAMP	12.5	67.5	0.185	19.0	67.5	0.282	9264	18378	(22+23)-VIII-1	2	Parz.	Parz.
135.7	--	--	--	19.1	67.5	0.283	9264	18378	(22+23)-VIII-1	2	--	Parz.
FLN	--	--	--	19.2	67.5	0.284	9264	18378	(22+23)-VII-1	2	--	Parz.

Verifica a taglio: cot(θ) Sin=2.500, cot(θ) Des=2.500

Comb Sin=3 Des=3

Sez	Td	VRdns	VRcd	VRsd	VRd	Tpl	Mr	Dx	Staffe	CS
	kg	kg	kg	kg	kg	kg	kg*m	cm	cmq/m	
Sin	4983	--	26849	18871	18871	0	18378	75.4	4.08	3.8
Des	11785	--	26849	46468	26849	0	9264	75.4	10.05	2.3

Trave di Fond. : 9006 [9 , 875] Pilastrate [9 , -]Sez. R: By= 40.0 cm Bz=70.0 cm L=120.2 cm Ln=100.2 cm Terreno: **Terreno**Criterio : CLS_TraviFondazione_Esist - Verifica a flessione rcm=164 [kg/cm²], fym=4200 [kg/cm²], FC=1.20 qd=2.5,qf=1.5 :: **Verificato**

X	M-	M+	ΔM-	ΔM+	Afs	Afi	Mr-	Mr+	C-	C+	CS
cm	kg*m	kg*m	kg*m	kg*m	cmq	cmq	kg*m	kg*m			
ILN	--	4507	--	--	4.02	8.04	9264	18378	(22+23)-VII-1	2	4.1
10.0	--	3745	--	--	4.02	8.04	9264	18378	(22+23)-VII-2	2	4.9
CAMP	--	3083	--	--	4.02	8.04	9264	18378	(22+23)-III-2	2	6.0
90.2	955	2618	--	--	4.02	8.04	9264	18378	(22+23)-IV-2	(22+23)-IV-3	7.0
FLN	1110	2654	--	--	4.02	8.04	9264	18378	(22+23)-IV-2	(22+23)-IV-3	6.9

X	x-	d-	x-/d-	x+	d+	x+/d+	Mr-	Mr+	C-	C+	Stato-	Stato+
cm	cm	cm		cm	cm		kg*m	kg*m				
ILN	--	--	--	19.1	67.5	0.282	9264	18378	(22+23)-VII-1	2	--	Parz.
10.0	--	--	--	19.0	67.5	0.282	9264	18378	(22+23)-VII-2	2	--	Parz.
CAMP	--	--	--	19.0	67.5	0.281	9264	18378	(22+23)-III-2	2	--	Parz.
90.2	12.5	67.5	0.185	19.0	67.5	0.281	9264	18378	(22+23)-IV-2	(22+23)-IV-3	Parz.	Parz.
FLN	12.5	67.5	0.185	19.0	67.5	0.281	9264	18378	(22+23)-IV-2	(22+23)-IV-3	Parz.	Parz.

Verifica a taglio: cot(θ) =2.500

Comb =(22+23)-VIII-2

Sez	Td	VRdns	VRcd	VRsd	VRd	Tpl	Mr	Dx	Staffe	CS
	kg	kg	kg	kg	kg	kg	kg*m	cm	cmq/m	
Sin	9186	--	26849	46468	26849	0	18378	100.2	10.05	2.9
Des							9264			

Trave di Fond. : 9006 [875 , 877] Pilastrate [- , -]Sez. R: By= 40.0 cm Bz=70.0 cm L=400.0 cm Ln=400.0 cm Terreno: **Terreno**

Criterio : CLS_TraviFondazione_Esist - Verifica a flessione $r_{cm}=164$ [kg/cmq], $f_{ym}=4200$ [kg/cmq], $FC=1.20$ $q_d=2.5$, $q_f=1.5$:: **Verificato**

X	M-	M+	$\Delta M-$	$\Delta M+$	Afs	Afi	Mr-	Mr+	C-	C+	CS
cm	kg*m	kg*m	kg*m	kg*m	cmq	cmq	kg*m	kg*m			
ILN	786	3955	--	--	4.02	8.04	9264	18378	(22+23)-IV-2	(22+23)-IV-3	4.6
40.0	1494	1854	--	--	4.02	8.04	9264	18378	(22+23)-IV-2	(22+23)-IV-3	6.2
CAMP	2861	--	--	--	4.02	8.04	9264	18378	(22+23)-IV-3	(22+23)-VII-2	3.2
360.0	2950	856	--	--	4.02	8.04	9264	18378	(22+23)-IV-3	(22+23)-IV-2	3.1
FLN	1698	1840	--	--	4.02	8.04	9264	18378	(22+23)-IV-3	(22+23)-IV-2	5.5

X	x-	d-	x-/d-	x+	d+	x+/d+	Mr-	Mr+	C-	C+	Stato-	Stato+
cm	cm	cm		cm	cm		kg*m	kg*m				
ILN	12.5	67.5	0.185	19.0	67.5	0.282	9264	18378	(22+23)-IV-2	(22+23)-IV-3	Parz.	Parz.
40.0	12.5	67.5	0.185	18.9	67.5	0.281	9264	18378	(22+23)-IV-2	(22+23)-IV-3	Parz.	Parz.
CAMP	12.5	67.5	0.185	--	--	--	9264	18378	(22+23)-IV-3	(22+23)-VII-2	Parz.	--
360.0	12.5	67.5	0.185	18.9	67.5	0.280	9264	18378	(22+23)-IV-3	(22+23)-IV-2	Parz.	Parz.
FLN	12.5	67.5	0.185	18.9	67.5	0.281	9264	18378	(22+23)-IV-3	(22+23)-IV-2	Parz.	Parz.

Verifica a taglio: $\cot(\theta)$ Sin=2.500, $\cot(\theta)$ Cen=2.500, $\cot(\theta)$ Des=2.500

Comb Sin=(22+23)-VII-3 Cen=(22+23)-IV-3 Des=(22+23)-VII-3

Sez	Td	VRdns	VRcd	VRsd	VRd	Tpl	Mr	Dx	Staffe	CS
	kg	kg	kg	kg	kg	kg	kg*m	cm	cmq/m	
Sin	8009	--	26849	46468	26849	0	18378	70.0	10.05	3.4
Cen	5579	--	26849	18587	18587	--	--	--	4.02	3.3
Des	6321	--	26849	46468	26849	0	9264	70.0	10.05	4.2

Trave di Fond. : 9006 [877 , 3] Pilastrate [- , 3]

Sez. R: $B_y=40.0$ cm $B_z=70.0$ cm $L=120.3$ cm $L_n=100.3$ cm Terreno: **Terreno**

Criterio : CLS_TraviFondazione_Esist - Verifica a flessione $r_{cm}=164$ [kg/cmq], $f_{ym}=4200$ [kg/cmq], $FC=1.20$ $q_d=2.5$, $q_f=1.5$:: **Verificato**

X	M-	M+	$\Delta M-$	$\Delta M+$	Afs	Afi	Mr-	Mr+	C-	C+	CS
cm	kg*m	kg*m	kg*m	kg*m	cmq	cmq	kg*m	kg*m			
ILN	2178	1264	--	--	4.02	8.04	9264	18378	(22+23)-IV-3	(22+23)-IV-2	4.3
10.0	2073	1170	--	--	4.02	8.04	9264	18378	(22+23)-IV-3	(22+23)-IV-2	4.5
CAMP	1877	1110	--	--	4.02	8.04	9264	18378	(22+23)-IV-3	(22+23)-IV-2	4.9
90.2	746	--	--	--	4.02	8.04	9264	18378	(22+23)-VIII-3	(22+23)-VIII-2	12
FLN	783	--	--	--	4.02	8.04	9264	18378	2	(22+23)-V-2	12

X	x-	d-	x-/d-	x+	d+	x+/d+	Mr-	Mr+	C-	C+	Stato-	Stato+
cm	cm	cm		cm	cm		kg*m	kg*m				
ILN	12.5	67.5	0.185	18.9	67.5	0.280	9264	18378	(22+23)-IV-3	(22+23)-IV-2	Parz.	Parz.
10.0	12.5	67.5	0.185	18.9	67.5	0.280	9264	18378	(22+23)-IV-3	(22+23)-IV-2	Parz.	Parz.
CAMP	12.5	67.5	0.185	18.9	67.5	0.280	9264	18378	(22+23)-IV-3	(22+23)-IV-2	Parz.	Parz.
90.2	12.5	67.5	0.185	--	--	--	9264	18378	(22+23)-VIII-3	(22+23)-VIII-2	Parz.	--
FLN	12.5	67.5	0.185	--	--	--	9264	18378	2	(22+23)-V-2	Parz.	--

Verifica a taglio: $\cot(\theta)=2.500$

Comb =(22+23)-VII-4

Sez	Td	VRdns	VRcd	VRsd	VRd	Tpl	Mr	Dx	Staffe	CS
	kg	kg	kg	kg	kg	kg	kg*m	cm	cmq/m	
Sin	3872	--	26849	46468	26849	0	18378	100.3	10.05	6.9
Des							9264			

Trave di Fond. : 9007 [3 , 912] Pilastrate [14 , -]

Sez. R: $B_y=40.0$ cm $B_z=70.0$ cm $L=350.0$ cm $L_n=330.0$ cm Terreno: **Terreno**

Criterio : CLS_TraviFondazione_Esist - Verifica a flessione $r_{cm}=164$ [kg/cmq], $f_{ym}=4200$ [kg/cmq], $FC=1.20$ $q_d=2.5$, $q_f=1.5$:: **Verificato**

X	M-	M+	$\Delta M-$	$\Delta M+$	Afs	Afi	Mr-	Mr+	C-	C+	CS
---	----	----	-------------	-------------	-----	-----	-----	-----	----	----	----

X	M-	M+	$\Delta M-$	$\Delta M+$	Afs	Afi	Mr-	Mr+	C-	C+	CS
cm	kg*m	kg*m	kg*m	kg*m	cmq	cmq	kg*m	kg*m			
ILN	706	--	--	--	4.02	8.04	9264	18378	(22+23)-VIII-2	(22+23)-VIII-3	13
33.0	744	--	--	--	4.02	8.04	9264	18378	2	(22+23)-VIII-3	12
CAMP	1383	2282	--	--	4.02	8.04	9264	18378	(22+23)-VIII-2	(22+23)-VIII-3	6.7
297.0	2544	2760	--	--	4.02	8.04	9264	18378	(22+23)-VIII-2	(22+23)-VIII-3	3.6
FLN	3048	3794	--	--	4.02	8.04	9264	18378	(22+23)-VIII-2	(22+23)-VIII-3	3.0

X	x-	d-	x-/d-	x+	d+	x+/d+	Mr-	Mr+	C-	C+	Stato-	Stato+
cm	cm	cm		cm	cm		kg*m	kg*m				
ILN	12.5	67.5	0.185	--	--	--	9264	18378	(22+23)-VIII-2	(22+23)-VIII-3	Parz.	--
33.0	12.5	67.5	0.185	--	--	--	9264	18378	2	(22+23)-VIII-3	Parz.	--
CAMP	12.5	67.5	0.185	19.0	67.5	0.281	9264	18378	(22+23)-VIII-2	(22+23)-VIII-3	Parz.	Parz.
297.0	12.5	67.5	0.185	19.0	67.5	0.281	9264	18378	(22+23)-VIII-2	(22+23)-VIII-3	Parz.	Parz.
FLN	12.5	67.5	0.186	19.0	67.5	0.282	9264	18378	(22+23)-VIII-2	(22+23)-VIII-3	Parz.	Parz.

Verifica a taglio: $\cot(\theta) \sin = 2.500, \cot(\theta) \cos = 2.500$

Comb $\sin = (22+23)$ -VIII-2 $\cos = (22+23)$ -VIII-2

Sez	Td	VRdns	VRcd	VRsd	VRd	Tpl	Mr	Dx	Staffe	CS
	kg	kg	kg	kg	kg	kg	kg*m	cm	cmq/m	
Sin	4327	--	26849	46468	26849	0	18378	165.0	10.05	6.2
Des	5540	--	26849	18809	18809	0	9264	165.0	4.07	3.4

Trave di Fond. : 9007 [912 , 908] Pilastrate [- , -]

Sez. R: $B_y = 40.0 \text{ cm}$ $B_z = 70.0 \text{ cm}$ $L = 250.0 \text{ cm}$ $L_n = 250.0 \text{ cm}$ Terreno: **Terreno**

Criterio : CLS_TraviFondazione_Esist - Verifica a flessione $r_{cm} = 164 \text{ [kg/cmq]}$, $f_{ym} = 4200 \text{ [kg/cmq]}$, $FC = 1.20$ $q_d = 2.5$,

$q_f = 1.5$:: **Verificato**

X	M-	M+	$\Delta M-$	$\Delta M+$	Afs	Afi	Mr-	Mr+	C-	C+	CS
cm	kg*m	kg*m	kg*m	kg*m	cmq	cmq	kg*m	kg*m			
ILN	4368	3626	--	--	4.02	8.04	9264	18378	(22+23)-VIII-2	(22+23)-VIII-3	2.1
25.0	4924	1792	--	--	4.02	8.04	9264	18378	(22+23)-VIII-2	(22+23)-VIII-3	1.9
CAMP	5119	--	--	--	4.02	8.04	9264	18378	(22+23)-VIII-2	20	1.8
225.0	1761	4352	--	--	4.02	8.04	9264	18378	(22+23)-VIII-3	(22+23)-VIII-2	4.2
FLN	819	7448	--	--	4.02	8.04	9264	18378	(22+23)-VIII-3	(22+23)-VIII-2	2.5

X	x-	d-	x-/d-	x+	d+	x+/d+	Mr-	Mr+	C-	C+	Stato-	Stato+
cm	cm	cm		cm	cm		kg*m	kg*m				
ILN	12.6	67.5	0.186	19.0	67.5	0.282	9264	18378	(22+23)-VIII-2	(22+23)-VIII-3	Parz.	Parz.
25.0	12.6	67.5	0.186	18.9	67.5	0.280	9264	18378	(22+23)-VIII-2	(22+23)-VIII-3	Parz.	Parz.
CAMP	12.6	67.5	0.186	--	--	--	9264	18378	(22+23)-VIII-2	20	Parz.	--
225.0	12.5	67.5	0.185	19.0	67.5	0.282	9264	18378	(22+23)-VIII-3	(22+23)-VIII-2	Parz.	Parz.
FLN	12.5	67.5	0.185	19.2	67.5	0.284	9264	18378	(22+23)-VIII-3	(22+23)-VIII-2	Parz.	Parz.

Verifica a taglio: $\cot(\theta) \sin = 2.500, \cot(\theta) \cos = 2.500$

Comb $\sin = (22+23)$ -VIII-3 $\cos = (22+23)$ -VIII-2

Sez	Td	VRdns	VRcd	VRsd	VRd	Tpl	Mr	Dx	Staffe	CS
	kg	kg	kg	kg	kg	kg	kg*m	cm	cmq/m	
Sin	9036	--	26849	18809	18809	0	18378	125.0	4.07	2.1
Des	15136	--	26849	46468	26849	0	9264	125.0	10.05	1.8

Trave di Fond. : 9007 [908 , 7] Pilastrate [- , 7]

Sez. R: $B_y = 40.0 \text{ cm}$ $B_z = 70.0 \text{ cm}$ $L = 70.0 \text{ cm}$ $L_n = 90.0 \text{ cm}$ Terreno: **Terreno**

Criterio : CLS_TraviFondazione_Esist - Verifica a flessione $r_{cm} = 164 \text{ [kg/cmq]}$, $f_{ym} = 4200 \text{ [kg/cmq]}$, $FC = 1.20$ $q_d = 2.5$,

$q_f = 1.5$:: **Verificato**

X	M-	M+	$\Delta M-$	$\Delta M+$	Afs	Afi	Mr-	Mr+	C-	C+	CS
cm	kg*m	kg*m	kg*m	kg*m	cmq	cmq	kg*m	kg*m			
ILN	751	7565	--	--	4.02	8.04	9264	18378	(22+23)-VIII-3	(22+23)-VIII-2	2.4
9.0	517	7653	--	--	4.02	8.04	9264	18378	(22+23)-VIII-3	(22+23)-VIII-2	2.4

X	M-	M+	ΔM-	ΔM+	Afs	Afi	Mr-	Mr+	C-	C+	CS
CAMP	--	7806	--	--	4.02	8.04	9264	18378	(22+23)-VIII-3	(22+23)-VIII-2	2.4
81.0	--	3833	--	--	4.02	8.04	9264	18378	(22+23)-VIII-3	(22+23)-VIII-2	4.8
FLN	--	3528	--	--	4.02	8.04	9264	18378	(22+23)-VIII-3	2	5.2

X	x-	d-	x-/d-	x+	d+	x+/d+	Mr-	Mr+	C-	C+	Stato-	Stato+
cm	cm	cm		cm	cm		kg*m	kg*m				
ILN	12.5	67.5	0.185	19.2	67.5	0.284	9264	18378	(22+23)-VIII-3	(22+23)-VIII-2	Parz.	Parz.
9.0	12.4	67.5	0.184	19.2	67.5	0.285	9264	18378	(22+23)-VIII-3	(22+23)-VIII-2	Parz.	Parz.
CAMP	--	--	--	19.2	67.5	0.285	9264	18378	(22+23)-VIII-3	(22+23)-VIII-2	--	Parz.
81.0	--	--	--	19.0	67.5	0.282	9264	18378	(22+23)-VIII-3	(22+23)-VIII-2	--	Parz.
FLN	--	--	--	19.0	67.5	0.282	9264	18378	(22+23)-VIII-3	2	--	Parz.

Verifica a taglio: $\cot(\theta) = 2.500$

Comb =(22+23)-VIII-2

Sez	Td	VRdns	VRcd	VRsd	VRd	Tpl	Mr	Dx	Staffe	CS
	kg	kg	kg	kg	kg	kg	kg*m	cm	cmq/m	
Sin	8043	--	26849	46468	26849	0	18378	90.0	10.05	3.3
Des							9264			

Trave di Fond. : 9007 [7 , 4] Pilastrate [7 , 4]

Sez. R: By= 40.0 cm Bz=70.0 cm L=689.5 cm Ln=624.5 cm Terreno: **Terreno**

Criterio : CLS_TraviFondazione_Esist - Verifica a flessione $r_{cm}=164$ [kg/cm²], $f_{ym}=4200$ [kg/cm²], FC=1.20 qd=2.5,

qf=1.5 :: **Verificato**

X	M-	M+	ΔM-	ΔM+	Afs	Afi	Mr-	Mr+	C-	C+	CS
cm	kg*m	kg*m	kg*m	kg*m	cmq	cmq	kg*m	kg*m			
ILN	--	3054	--	--	4.02	8.04	9264	18378	20	2	6.0
62.5	461	--	--	--	4.02	8.04	9264	18378	2	(22+23)-VIII-2	20
CAMP	--	3256	--	--	4.02	8.04	9264	18378	(22+23)-VIII-2	2	5.6
562.1	1716	--	--	--	4.02	8.04	9264	18378	(22+23)-VIII-3	(22+23)-VIII-2	5.4
FLN	564	330	--	--	4.02	8.04	9264	18378	(22+23)-VIII-1	(22+23)-VIII-4	16

X	x-	d-	x-/d-	x+	d+	x+/d+	Mr-	Mr+	C-	C+	Stato-	Stato+
cm	cm	cm		cm	cm		kg*m	kg*m				
ILN	--	--	--	19.0	67.5	0.281	9264	18378	20	2	--	Parz.
62.5	12.4	67.5	0.184	--	--	--	9264	18378	2	(22+23)-VIII-2	Parz.	--
CAMP	--	--	--	19.0	67.5	0.281	9264	18378	(22+23)-VIII-2	2	--	Parz.
562.1	12.5	67.5	0.185	--	--	--	9264	18378	(22+23)-VIII-3	(22+23)-VIII-2	Parz.	--
FLN	12.5	67.5	0.184	18.9	67.5	0.280	9264	18378	(22+23)-VIII-1	(22+23)-VIII-4	Parz.	Parz.

Verifica a taglio: $\cot(\theta)$ Sin=2.500, $\cot(\theta)$ Cen=2.500, $\cot(\theta)$ Des=2.500

Comb Sin=3 Cen=3 Des=3

Sez	Td	VRdns	VRcd	VRsd	VRd	Tpl	Mr	Dx	Staffe	CS
	kg	kg	kg	kg	kg	kg	kg*m	cm	cmq/m	
Sin	8945	--	26849	46468	26849	0	18378	70.0	10.05	3.0
Cen	9727	--	26849	18831	18831	--	--	--	4.07	1.9
Des	5604	--	26849	46468	26849	0	9264	70.0	10.05	4.8

Trave di Fond. : 9008 [13 , 21] Pilastrate [13 , 21]

Sez. R: By= 40.0 cm Bz=70.0 cm L=505.0 cm Ln=505.0 cm Terreno: **Terreno**

Criterio : CLS_TraviFondazione_Esist - Verifica a flessione $r_{cm}=164$ [kg/cm²], $f_{ym}=4200$ [kg/cm²], FC=1.20 qd=2.5,

qf=1.5 :: **Verificato**

X	M-	M+	ΔM-	ΔM+	Afs	Afi	Mr-	Mr+	C-	C+	CS
cm	kg*m	kg*m	kg*m	kg*m	cmq	cmq	kg*m	kg*m			
ILN	--	6671	--	--	4.02	8.04	9264	18378	(22+23)-III-3	(22+23)-III-2	2.8
50.5	251	2477	--	--	4.02	8.04	9264	18378	(22+23)-III-3	(22+23)-III-2	7.4
CAMP	3900	--	--	--	4.02	8.04	9264	18378	(22+23)-IV-2	(22+23)-IV-3	2.4
454.5	474	824	--	--	4.02	8.04	9264	18378	(22+23)-IV-4	(22+23)-IV-1	20

X	M-	M+	ΔM-	ΔM+	Afs	Afi	Mr-	Mr+	C-	C+	CS
FLN	--	2207	--	--	4.02	8.04	9264	18378	(22+23)-VII-2	1	8.3

X	x-	d-	x-/d-	x+	d+	x+/d+	Mr-	Mr+	C-	C+	Stato-	Stato+
cm	cm	cm		cm	cm		kg*m	kg*m				
ILN	--	--	--	19.2	67.5	0.284	9264	18378	(22+23)-III-3	(22+23)-III-2	--	Parz.
50.5	12.4	67.5	0.184	19.0	67.5	0.281	9264	18378	(22+23)-III-3	(22+23)-III-2	Parz.	Parz.
CAMP	12.5	67.5	0.186	--	--	--	9264	18378	(22+23)-IV-2	(22+23)-IV-3	Parz.	--
454.5	12.4	67.5	0.184	18.9	67.5	0.280	9264	18378	(22+23)-IV-4	(22+23)-IV-1	Parz.	Parz.
FLN	--	--	--	19.0	67.5	0.281	9264	18378	(22+23)-VII-2	1	--	Parz.

Verifica a taglio: $\cot(\theta) \sin = 2.500, \cot(\theta) \cos = 2.500, \cot(\theta) \tan = 2.500$

Comb $\sin = (22+23)$ -IV-2 $\cos = (22+23)$ -III-2 $\tan = 3$

Sez	Td	VRdns	VRcd	VRsd	VRd	Tpl	Mr	Dx	Staffe	CS
	kg	kg	kg	kg	kg	kg	kg*m	cm	cmq/m	
Sin	12065	--	26849	46468	26849	0	18378	70.0	10.05	2.2
Cen	5442	--	26849	18587	18587	--	--	--	4.02	3.4
Des	4417	--	26849	46468	26849	0	9264	70.0	10.05	6.1

Trave di Fond. : 9008 [21 , 23] Pilastrate [21 , 23]

Sez. R: $B_y = 40.0 \text{ cm}$ $B_z = 70.0 \text{ cm}$ $L = 420.0 \text{ cm}$ $L_n = 380.0 \text{ cm}$ Terreno: **Terreno**

Criterio : CLS_TraviFondazione_Esist - Verifica a flessione $r_{cm} = 164 \text{ [kg/cmq]}$, $f_{ym} = 4200 \text{ [kg/cmq]}$, $FC = 1.20$ $q_d = 2.5$,

$q_f = 1.5$:: **Verificato**

X	M-	M+	ΔM-	ΔM+	Afs	Afi	Mr-	Mr+	C-	C+	CS
cm	kg*m	kg*m	kg*m	kg*m	cmq	cmq	kg*m	kg*m			
ILN	455	4077	--	--	4.02	8.04	9264	18378	(22+23)-III-3	(22+23)-III-2	4.5
38.0	826	2664	--	--	4.02	8.04	9264	18378	(22+23)-III-3	(22+23)-III-2	6.9
CAMP	1030	1510	--	--	4.02	8.04	9264	18378	(22+23)-I-4	(22+23)-III-2	9.0
342.0	801	2371	--	--	4.02	8.04	9264	18378	(22+23)-I-2	(22+23)-I-3	7.8
FLN	483	3789	--	--	4.02	8.04	9264	18378	(22+23)-I-2	(22+23)-I-3	4.9

X	x-	d-	x-/d-	x+	d+	x+/d+	Mr-	Mr+	C-	C+	Stato-	Stato+
cm	cm	cm		cm	cm		kg*m	kg*m				
ILN	12.4	67.5	0.184	19.0	67.5	0.282	9264	18378	(22+23)-III-3	(22+23)-III-2	Parz.	Parz.
38.0	12.5	67.5	0.185	19.0	67.5	0.281	9264	18378	(22+23)-III-3	(22+23)-III-2	Parz.	Parz.
CAMP	12.5	67.5	0.185	18.9	67.5	0.280	9264	18378	(22+23)-I-4	(22+23)-III-2	Parz.	Parz.
342.0	12.5	67.5	0.185	19.0	67.5	0.281	9264	18378	(22+23)-I-2	(22+23)-I-3	Parz.	Parz.
FLN	12.4	67.5	0.184	19.0	67.5	0.282	9264	18378	(22+23)-I-2	(22+23)-I-3	Parz.	Parz.

Verifica a taglio: $\cot(\theta) \sin = 2.500, \cot(\theta) \cos = 2.500, \cot(\theta) \tan = 2.500$

Comb $\sin = (22+23)$ -III-2 $\cos = (22+23)$ -III-2 $\tan = (22+23)$ -I-3

Sez	Td	VRdns	VRcd	VRsd	VRd	Tpl	Mr	Dx	Staffe	CS
	kg	kg	kg	kg	kg	kg	kg*m	cm	cmq/m	
Sin	4911	--	26849	46468	26849	0	18378	70.0	10.05	5.5
Cen	3383	--	26849	18587	18587	--	--	--	4.02	5.5
Des	5004	--	26849	46468	26849	0	9264	70.0	10.05	5.4

Trave di Fond. : 9008 [23 , 35] Pilastrate [23 , 35]

Sez. R: $B_y = 40.0 \text{ cm}$ $B_z = 70.0 \text{ cm}$ $L = 498.0 \text{ cm}$ $L_n = 498.0 \text{ cm}$ Terreno: **Terreno**

Criterio : CLS_TraviFondazione_Esist - Verifica a flessione $r_{cm} = 164 \text{ [kg/cmq]}$, $f_{ym} = 4200 \text{ [kg/cmq]}$, $FC = 1.20$ $q_d = 2.5$,

$q_f = 1.5$:: **Verificato**

X	M-	M+	ΔM-	ΔM+	Afs	Afi	Mr-	Mr+	C-	C+	CS
cm	kg*m	kg*m	kg*m	kg*m	cmq	cmq	kg*m	kg*m			
ILN	--	2328	--	--	4.02	8.04	9264	18378	(22+23)-I-4	(22+23)-I-1	7.9
49.8	825	1132	--	--	4.02	8.04	9264	18378	(22+23)-I-4	(22+23)-I-1	11
CAMP	3245	--	--	--	4.02	8.04	9264	18378	(22+23)-I-4	(22+23)-II-1	2.9
448.2	2028	6817	--	--	4.02	8.04	9264	18378	(22+23)-I-2	(22+23)-I-3	2.7
FLN	1715	12360	--	--	4.02	8.04	9264	18378	(22+23)-I-2	(22+23)-I-3	1.5

X	x-	d-	x-/d-	x+	d+	x+/d+	Mr-	Mr+	C-	C+	Stato-	Stato+
cm	cm	cm		cm	cm		kg*m	kg*m				
ILN	--	--	--	19.0	67.5	0.281	9264	18378	(22+23)-I-4	(22+23)-I-1	--	Parz.
49.8	12.5	67.5	0.185	18.9	67.5	0.280	9264	18378	(22+23)-I-4	(22+23)-I-1	Parz.	Parz.
CAMP	12.5	67.5	0.186	--	--	--	9264	18378	(22+23)-I-4	(22+23)-II-1	Parz.	--
448.2	12.5	67.5	0.185	19.2	67.5	0.284	9264	18378	(22+23)-I-2	(22+23)-I-3	Parz.	Parz.
FLN	12.5	67.5	0.185	19.4	67.5	0.288	9264	18378	(22+23)-I-2	(22+23)-I-3	Parz.	Parz.

Verifica a taglio: $\cot(\theta) \sin = 2.500, \cot(\theta) \cos = 2.500, \cot(\theta) \tan = 2.500$

Comb $\sin = (22+23)$ -I-3 $\cos = (22+23)$ -I-3 $\tan = (22+23)$ -I-4

Sez	Td	VRdns	VRcd	VRsd	VRd	Tpl	Mr	Dx	Staffe	CS
	kg	kg	kg	kg	kg	kg	kg*m	cm	cmq/m	
Sin	4501	--	26849	46468	26849	0	18378	70.0	10.05	6.0
Cen	8987	--	26849	18996	18996	--	--	--	4.11	2.1
Des	16083	--	26849	46468	26849	0	9264	70.0	10.05	1.7

Trave di Fond. : 9008 [35 , 37] Pilastrate [35 , 37]

Sez. R: $B_y = 40.0 \text{ cm}$ $B_z = 70.0 \text{ cm}$ $L = 645.0 \text{ cm}$ $L_n = 645.0 \text{ cm}$ Terreno: **Terreno**

Criterio : CLS_TraviFondazione_Esist - Verifica a flessione $r_{cm} = 164 \text{ [kg/cmq]}$, $f_{ym} = 4200 \text{ [kg/cmq]}$, $FC = 1.20$ $q_d = 2.5$,

$q_f = 1.5$:: **Verificato**

X	M-	M+	$\Delta M-$	$\Delta M+$	Afs	Afi	Mr-	Mr+	C-	C+	CS
cm	kg*m	kg*m	kg*m	kg*m	cmq	cmq	kg*m	kg*m			
ILN	--	5220	--	--	4.02	8.04	9264	18378	(22+23)-I-1	(22+23)-I-4	3.5
64.5	617	1102	--	--	4.02	8.04	9264	18378	(22+23)-I-2	(22+23)-I-3	15
CAMP	--	3112	--	--	4.02	8.04	9264	18378	(22+23)-II-3	2	5.9
580.5	1270	--	--	--	4.02	8.04	9264	18378	(22+23)-I-2	(22+23)-I-3	7.3
FLN	--	1353	--	--	4.02	8.04	9264	18378	(22+23)-II-3	(22+23)-II-2	14

X	x-	d-	x-/d-	x+	d+	x+/d+	Mr-	Mr+	C-	C+	Stato-	Stato+
cm	cm	cm		cm	cm		kg*m	kg*m				
ILN	--	--	--	19.1	67.5	0.283	9264	18378	(22+23)-I-1	(22+23)-I-4	--	Parz.
64.5	12.5	67.5	0.184	18.9	67.5	0.280	9264	18378	(22+23)-I-2	(22+23)-I-3	Parz.	Parz.
CAMP	--	--	--	19.0	67.5	0.281	9264	18378	(22+23)-II-3	2	--	Parz.
580.5	12.5	67.5	0.185	--	--	--	9264	18378	(22+23)-I-2	(22+23)-I-3	Parz.	--
FLN	--	--	--	18.9	67.5	0.280	9264	18378	(22+23)-II-3	(22+23)-II-2	--	Parz.

Verifica a taglio: $\cot(\theta) \sin = 2.500, \cot(\theta) \cos = 2.500, \cot(\theta) \tan = 2.500$

Comb $\sin = (22+23)$ -I-4 $\cos = (22+23)$ -II-2 $\tan = (22+23)$ -I-2

Sez	Td	VRdns	VRcd	VRsd	VRd	Tpl	Mr	Dx	Staffe	CS
	kg	kg	kg	kg	kg	kg	kg*m	cm	cmq/m	
Sin	10549	--	26849	46468	26849	0	18378	72.6	10.05	2.5
Cen	9145	--	26849	18587	18587	--	--	--	4.02	2.0
Des	8499	--	26849	46468	26849	0	9264	72.6	10.05	3.2

Trave di Fond. : 9009 [13 , 15] Pilastrate [13 , 15]

Sez. R: $B_y = 40.0 \text{ cm}$ $B_z = 70.0 \text{ cm}$ $L = 120.0 \text{ cm}$ $L_n = 120.0 \text{ cm}$ Terreno: **Terreno**

Criterio : CLS_TraviFondazione_Esist - Verifica a flessione $r_{cm} = 164 \text{ [kg/cmq]}$, $f_{ym} = 4200 \text{ [kg/cmq]}$, $FC = 1.20$ $q_d = 2.5$,

$q_f = 1.5$:: **Verificato**

X	M-	M+	$\Delta M-$	$\Delta M+$	Afs	Afi	Mr-	Mr+	C-	C+	CS
cm	kg*m	kg*m	kg*m	kg*m	cmq	cmq	kg*m	kg*m			
ILN	1009	531	--	--	4.02	8.04	9264	18378	(22+23)-VIII-2	(22+23)-VIII-3	9.2
12.0	784	519	--	--	4.02	8.04	9264	18378	(22+23)-VIII-2	(22+23)-VIII-3	12
CAMP	531	589	--	--	4.02	8.04	9264	18378	(22+23)-VIII-2	(22+23)-VIII-1	17
108.0	--	466	--	--	4.02	8.04	9264	18378	(22+23)-IV-2	2	39
FLN	--	844	--	--	4.02	8.04	9264	18378	(22+23)-IV-1	2	22

X	x-	d-	x-/d-	x+	d+	x+/d+	Mr-	Mr+	C-	C+	Stato-	Stato+
cm	cm	cm		cm	cm		kg*m	kg*m				
ILN	12.5	67.5	0.185	18.9	67.5	0.280	9264	18378	(22+23)-VIII-2	(22+23)-VIII-3	Parz.	Parz.
12.0	12.5	67.5	0.185	18.9	67.5	0.280	9264	18378	(22+23)-VIII-2	(22+23)-VIII-3	Parz.	Parz.
CAMP	12.4	67.5	0.184	18.9	67.5	0.280	9264	18378	(22+23)-VIII-2	(22+23)-VIII-1	Parz.	Parz.
108.0	--	--	--	18.9	67.5	0.280	9264	18378	(22+23)-IV-2	2	--	Parz.
FLN	--	--	--	18.9	67.5	0.280	9264	18378	(22+23)-IV-1	2	--	Parz.

Verifica a taglio: $\cot(\theta) = 2.500$

Comb =(22+23)-IV-2

Sez	Td	VRdns	VRcd	VRsd	VRd	Tpl	Mr	Dx	Staffe	CS
	kg	kg	kg	kg	kg	kg	kg*m	cm	cmq/m	
Sin	3744	--	26849	46468	26849	0	18378	120.0	10.05	7.2
Des							9264			

Trave di Fond. : 9009 [15 , 915] Pilastrate [15 , -]

Sez. R: By= 40.0 cm Bz=70.0 cm L=350.0 cm Ln=330.0 cm Terreno: **Terreno**

Criterio : CLS_TraviFondazione_Esist - Verifica a flessione $r_{cm}=164$ [kg/cmq], $f_{ym}=4200$ [kg/cmq], $FC=1.20$ $q_d=2.5$, $q_f=1.5$:: **Verificato**

X	M-	M+	$\Delta M-$	$\Delta M+$	Afs	Afi	Mr-	Mr+	C-	C+	CS
cm	kg*m	kg*m	kg*m	kg*m	cmq	cmq	kg*m	kg*m			
ILN	--	451	--	--	4.02	8.04	9264	18378	(22+23)-III-2	(22+23)-III-3	41
33.0	238	52	--	--	4.02	8.04	9264	18378	(22+23)-IV-2	(22+23)-IV-3	39
CAMP	1123	496	--	--	4.02	8.04	9264	18378	(22+23)-IV-4	(22+23)-IV-1	8.3
297.0	1634	353	--	--	4.02	8.04	9264	18378	(22+23)-IV-4	(22+23)-IV-1	5.7
FLN	1490	783	--	--	4.02	8.04	9264	18378	(22+23)-IV-4	(22+23)-IV-1	6.2

X	x-	d-	x-/d-	x+	d+	x+/d+	Mr-	Mr+	C-	C+	Stato-	Stato+
cm	cm	cm		cm	cm		kg*m	kg*m				
ILN	--	--	--	18.9	67.5	0.280	9264	18378	(22+23)-III-2	(22+23)-III-3	--	Parz.
33.0	12.4	67.5	0.184	18.9	67.5	0.279	9264	18378	(22+23)-IV-2	(22+23)-IV-3	Parz.	Parz.
CAMP	12.5	67.5	0.185	18.9	67.5	0.280	9264	18378	(22+23)-IV-4	(22+23)-IV-1	Parz.	Parz.
297.0	12.5	67.5	0.185	18.9	67.5	0.280	9264	18378	(22+23)-IV-4	(22+23)-IV-1	Parz.	Parz.
FLN	12.5	67.5	0.185	18.9	67.5	0.280	9264	18378	(22+23)-IV-4	(22+23)-IV-1	Parz.	Parz.

Verifica a taglio: $\cot(\theta)$ Sin=2.500, $\cot(\theta)$ Des=2.500

Comb Sin=(22+23)-III-2 Des=3

Sez	Td	VRdns	VRcd	VRsd	VRd	Tpl	Mr	Dx	Staffe	CS
	kg	kg	kg	kg	kg	kg	kg*m	cm	cmq/m	
Sin	3222	--	26849	46468	26849	0	18378	165.0	10.05	8.3
Des	2908	--	26849	18809	18809	0	9264	165.0	4.07	6.5

Trave di Fond. : 9009 [915 , 911] Pilastrate [- , -]

Sez. R: By= 40.0 cm Bz=70.0 cm L=250.0 cm Ln=250.0 cm Terreno: **Terreno**

Criterio : CLS_TraviFondazione_Esist - Verifica a flessione $r_{cm}=164$ [kg/cmq], $f_{ym}=4200$ [kg/cmq], $FC=1.20$ $q_d=2.5$, $q_f=1.5$:: **Verificato**

X	M-	M+	$\Delta M-$	$\Delta M+$	Afs	Afi	Mr-	Mr+	C-	C+	CS
cm	kg*m	kg*m	kg*m	kg*m	cmq	cmq	kg*m	kg*m			
ILN	1931	784	--	--	4.02	8.04	9264	18378	(22+23)-IV-4	(22+23)-IV-1	4.8
25.0	2100	253	--	--	4.02	8.04	9264	18378	(22+23)-IV-4	(22+23)-IV-1	4.4
CAMP	1897	--	--	--	4.02	8.04	9264	18378	(22+23)-IV-4	(22+23)-II-3	4.9
225.0	543	1644	--	--	4.02	8.04	9264	18378	(22+23)-IV-1	(22+23)-IV-4	11
FLN	123	2604	--	--	4.02	8.04	9264	18378	(22+23)-IV-1	(22+23)-IV-4	7.1

X	x-	d-	x-/d-	x+	d+	x+/d+	Mr-	Mr+	C-	C+	Stato-	Stato+
cm	cm	cm		cm	cm		kg*m	kg*m				
ILN	12.5	67.5	0.185	18.9	67.5	0.280	9264	18378	(22+23)-IV-4	(22+23)-IV-1	Parz.	Parz.
25.0	12.5	67.5	0.185	18.9	67.5	0.279	9264	18378	(22+23)-IV-4	(22+23)-IV-1	Parz.	Parz.

X	x-	d-	x-/d-	x+	d+	x+/d+	Mr-	Mr+	C-	C+	Stato-	Stato+
CAMP	12.5	67.5	0.185	--	--	--	9264	18378	(22+23)-IV-4	(22+23)-II-3	Parz.	--
225.0	12.4	67.5	0.184	18.9	67.5	0.280	9264	18378	(22+23)-IV-1	(22+23)-IV-4	Parz.	Parz.
FLN	12.4	67.5	0.184	19.0	67.5	0.281	9264	18378	(22+23)-IV-1	(22+23)-IV-4	Parz.	Parz.

Verifica a taglio: $\cot(\theta) \sin=2.500, \cot(\theta) \cos=2.500$

Comb Sin=(22+23)-III-1 Des=3

Sez	Td	VRdns	VRcd	VRsd	VRd	Tpl	Mr	Dx	Staffe	CS
	kg	kg	kg	kg	kg	kg	kg*m	cm	cmq/m	
Sin	3180	--	26849	18809	18809	0	18378	125.0	4.07	5.9
Des	5456	--	26849	46468	26849	0	9264	125.0	10.05	4.9

Trave di Fond. : 9009 [911 , 17] Pilastrate [- , 17]

Sez. R: By= 40.0 cm Bz=70.0 cm L=70.0 cm Ln=90.0 cm Terreno: **Terreno**

Criterio : CLS_TraviFondazione_Esist - Verifica a flessione $r_{cm}=164$ [kg/cmq], $f_{ym}=4200$ [kg/cmq], $FC=1.20$ $q_d=2.5$,

$q_f=1.5$:: **Verificato**

X	M-	M+	$\Delta M-$	$\Delta M+$	Afs	Afi	Mr-	Mr+	C-	C+	CS
cm	kg*m	kg*m	kg*m	kg*m	cmq	cmq	kg*m	kg*m			
ILN	269	2058	--	--	4.02	8.04	9264	18378	(22+23)-IV-1	(22+23)-IV-4	8.9
9.0	216	2088	--	--	4.02	8.04	9264	18378	(22+23)-IV-1	(22+23)-IV-4	8.8
CAMP	--	2174	--	--	4.02	8.04	9264	18378	(22+23)-IV-1	(22+23)-IV-4	8.5
81.0	--	1855	--	--	4.02	8.04	9264	18378	(22+23)-IV-1	2	9.9
FLN	--	2050	--	--	4.02	8.04	9264	18378	(22+23)-IV-1	2	9.0

X	x-	d-	x-/d-	x+	d+	x+/d+	Mr-	Mr+	C-	C+	Stato-	Stato+
cm	cm	cm		cm	cm		kg*m	kg*m				
ILN	12.4	67.5	0.184	18.9	67.5	0.281	9264	18378	(22+23)-IV-1	(22+23)-IV-4	Parz.	Parz.
9.0	12.4	67.5	0.184	18.9	67.5	0.281	9264	18378	(22+23)-IV-1	(22+23)-IV-4	Parz.	Parz.
CAMP	--	--	--	19.0	67.5	0.281	9264	18378	(22+23)-IV-1	(22+23)-IV-4	--	Parz.
81.0	--	--	--	18.9	67.5	0.281	9264	18378	(22+23)-IV-1	2	--	Parz.
FLN	--	--	--	18.9	67.5	0.281	9264	18378	(22+23)-IV-1	2	--	Parz.

Verifica a taglio: $\cot(\theta) = 2.500$

Comb =(22+23)-IV-1

Sez	Td	VRdns	VRcd	VRsd	VRd	Tpl	Mr	Dx	Staffe	CS
	kg	kg	kg	kg	kg	kg	kg*m	cm	cmq/m	
Sin	2997	--	26849	46468	26849	0	18378	90.0	10.05	9.0
Des							9264			

Trave di Fond. : 9009 [17 , 5] Pilastrate [17 , 5]

Sez. R: By= 40.0 cm Bz=70.0 cm L=689.5 cm Ln=649.5 cm Terreno: **Terreno**

Criterio : CLS_TraviFondazione_Esist - Verifica a flessione $r_{cm}=164$ [kg/cmq], $f_{ym}=4200$ [kg/cmq], $FC=1.20$ $q_d=2.5$,

$q_f=1.5$:: **Verificato**

X	M-	M+	$\Delta M-$	$\Delta M+$	Afs	Afi	Mr-	Mr+	C-	C+	CS
cm	kg*m	kg*m	kg*m	kg*m	cmq	cmq	kg*m	kg*m			
ILN	--	2697	--	--	4.02	8.04	9264	18378	20	2	6.8
65.0	585	--	--	--	4.02	8.04	9264	18378	(22+23)-IV-1	(22+23)-IV-4	16
CAMP	--	2232	--	--	4.02	8.04	9264	18378	(22+23)-VIII-2	2	8.2
584.6	1398	--	--	--	4.02	8.04	9264	18378	2	(22+23)-VIII-2	6.6
FLN	--	954	--	--	4.02	8.04	9264	18378	20	2	19

X	x-	d-	x-/d-	x+	d+	x+/d+	Mr-	Mr+	C-	C+	Stato-	Stato+
cm	cm	cm		cm	cm		kg*m	kg*m				
ILN	--	--	--	19.0	67.5	0.281	9264	18378	20	2	--	Parz.
65.0	12.5	67.5	0.184	--	--	--	9264	18378	(22+23)-IV-1	(22+23)-IV-4	Parz.	--
CAMP	--	--	--	19.0	67.5	0.281	9264	18378	(22+23)-VIII-2	2	--	Parz.
584.6	12.5	67.5	0.185	--	--	--	9264	18378	2	(22+23)-VIII-2	Parz.	--
FLN	--	--	--	18.9	67.5	0.280	9264	18378	20	2	--	Parz.

Verifica a taglio: $\cot(\theta)$ Sin=2.500, $\cot(\theta)$ Cen=2.500, $\cot(\theta)$ Des=2.500

Comb Sin=3 Cen=3 Des=3

Sez	Td	VRdns	VRcd	VRsd	VRd	Tpl	Mr	Dx	Staffe	CS
	kg	kg	kg	kg	kg	kg	kg*m	cm	cmq/m	
Sin	8121	--	26849	46468	26849	0	18378	73.1	10.05	3.3
Cen	8139	--	26849	19060	19060	--	--	--	4.12	2.3
Des	6768	--	26849	46468	26849	0	9264	73.1	10.05	4.0

Trave di Fond. : 9010 [25 , 6] Pilastrate [25 , 6]

Sez. R: By= 40.0 cm Bz=70.0 cm L=689.5 cm Ln=629.5 cm Terreno: **Terreno**

Criterio : CLS_TraviFondazione_Esist - Verifica a flessione $r_{cm}=164$ [kg/cmq], $f_{ym}=4200$ [kg/cmq], $FC=1.20$ $q_d=2.5$, $q_f=1.5$:: **Verificato**

X	M-	M+	$\Delta M-$	$\Delta M+$	Afs	Afi	Mr-	Mr+	C-	C+	CS
cm	kg*m	kg*m	kg*m	kg*m	cmq	cmq	kg*m	kg*m			
ILN	--	609	--	--	4.02	8.04	9264	18378	(22+23)-VI-2	2	30
63.0	1506	--	--	--	4.02	8.04	9264	18378	(22+23)-VIII-4	(22+23)-VIII-1	6.2
CAMP	--	1404	--	--	4.02	8.04	9264	18378	(22+23)-VI-2	2	13
566.6	1302	--	--	--	4.02	8.04	9264	18378	2	(22+23)-VI-2	7.1
FLN	--	867	--	--	4.02	8.04	9264	18378	20	2	21

X	x-	d-	x-/d-	x+	d+	x+/d+	Mr-	Mr+	C-	C+	Stato-	Stato+
cm	cm	cm		cm	cm		kg*m	kg*m				
ILN	--	--	--	18.9	67.5	0.280	9264	18378	(22+23)-VI-2	2	--	Parz.
63.0	12.5	67.5	0.185	--	--	--	9264	18378	(22+23)-VIII-4	(22+23)-VIII-1	Parz.	--
CAMP	--	--	--	18.9	67.5	0.280	9264	18378	(22+23)-VI-2	2	--	Parz.
566.6	12.5	67.5	0.185	--	--	--	9264	18378	2	(22+23)-VI-2	Parz.	--
FLN	--	--	--	18.9	67.5	0.280	9264	18378	20	2	--	Parz.

Verifica a taglio: $\cot(\theta)$ Sin=2.500, $\cot(\theta)$ Cen=2.500, $\cot(\theta)$ Des=2.500

Comb Sin=3 Cen=3 Des=3

Sez	Td	VRdns	VRcd	VRsd	VRd	Tpl	Mr	Dx	Staffe	CS
	kg	kg	kg	kg	kg	kg	kg*m	cm	cmq/m	
Sin	6715	--	26849	46468	26849	0	18378	73.1	10.05	4.0
Cen	7181	--	26849	19060	19060	--	--	--	4.12	2.7
Des	6286	--	26849	46468	26849	0	9264	73.1	10.05	4.3

Trave di Fond. : 9011 [35 , 846] Pilastrate [35 , -]

Sez. R: By= 40.0 cm Bz=70.0 cm L=84.8 cm Ln=64.7 cm Terreno: **Terreno**

Criterio : CLS_TraviFondazione_Esist - Verifica a flessione $r_{cm}=164$ [kg/cmq], $f_{ym}=4200$ [kg/cmq], $FC=1.20$ $q_d=2.5$, $q_f=1.5$:: **Verificato**

X	M-	M+	$\Delta M-$	$\Delta M+$	Afs	Afi	Mr-	Mr+	C-	C+	CS
cm	kg*m	kg*m	kg*m	kg*m	cmq	cmq	kg*m	kg*m			
ILN	575	1857	--	--	4.02	8.04	9264	18378	(22+23)-II-2	(22+23)-II-3	9.9
6.5	427	2261	--	--	4.02	8.04	9264	18378	(22+23)-II-2	(22+23)-II-3	8.1
CAMP	1814	5388	--	--	4.02	8.04	9264	18378	(22+23)-II-2	(22+23)-II-3	3.4
58.3	2115	5429	--	--	4.02	8.04	9264	18378	(22+23)-II-2	(22+23)-II-3	3.4
FLN	2395	5491	--	--	4.02	8.04	9264	18378	(22+23)-II-2	(22+23)-II-3	3.3

X	x-	d-	x-/d-	x+	d+	x+/d+	Mr-	Mr+	C-	C+	Stato-	Stato+
cm	cm	cm		cm	cm		kg*m	kg*m				
ILN	12.5	67.5	0.184	18.9	67.5	0.281	9264	18378	(22+23)-II-2	(22+23)-II-3	Parz.	Parz.
6.5	12.4	67.5	0.184	19.0	67.5	0.281	9264	18378	(22+23)-II-2	(22+23)-II-3	Parz.	Parz.
CAMP	12.5	67.5	0.185	19.1	67.5	0.283	9264	18378	(22+23)-II-2	(22+23)-II-3	Parz.	Parz.
58.3	12.5	67.5	0.185	19.1	67.5	0.283	9264	18378	(22+23)-II-2	(22+23)-II-3	Parz.	Parz.
FLN	12.5	67.5	0.185	19.1	67.5	0.283	9264	18378	(22+23)-II-2	(22+23)-II-3	Parz.	Parz.

Verifica a taglio: $\cot(\theta) = 2.500$

Comb = (22+23)-I-3

Sez	Td	VRdns	VRcd	VRsd	VRd	Tpl	Mr	Dx	Staffe	CS
	kg	kg	kg	kg	kg	kg	kg*m	cm	cmq/m	
Sin	11100	--	26849	46468	26849	0	18378	64.7	10.05	2.4
Des							9264			

Trave di Fond. : 9011 [846 , 848] Pilastrate [- , -]

Sez. R: $B_y = 40.0 \text{ cm}$ $B_z = 70.0 \text{ cm}$ $L = 400.0 \text{ cm}$ $L_n = 400.0 \text{ cm}$ Terreno: **Terreno**

Criterio : CLS_TraviFondazione_Esist - Verifica a flessione $r_{cm} = 164 \text{ [kg/cmq]}$, $f_{ym} = 4200 \text{ [kg/cmq]}$, $FC = 1.20$ $q_d = 2.5$,

$q_f = 1.5$:: **Verificato**

X	M-	M+	$\Delta M-$	$\Delta M+$	Afs	Afi	Mr-	Mr+	C-	C+	CS
cm	kg*m	kg*m	kg*m	kg*m	cmq	cmq	kg*m	kg*m			
ILN	2499	5344	--	--	4.02	8.04	9264	18378	(22+23)-II-2	(22+23)-II-3	3.4
40.0	4565	2411	--	--	4.02	8.04	9264	18378	(22+23)-VI-4	(22+23)-VI-1	2.0
CAMP	6945	--	--	--	4.02	8.04	9264	18378	2	(22+23)-I-1	1.3
360.0	1920	4854	--	--	4.02	8.04	9264	18378	(22+23)-VI-1	(22+23)-VI-4	3.8
FLN	400	10193	--	--	4.02	8.04	9264	18378	(22+23)-VI-1	(22+23)-VI-4	1.8

X	x-	d-	x-/d-	x+	d+	x+/d+	Mr-	Mr+	C-	C+	Stato-	Stato+
cm	cm	cm		cm	cm		kg*m	kg*m				
ILN	12.5	67.5	0.185	19.1	67.5	0.283	9264	18378	(22+23)-II-2	(22+23)-II-3	Parz.	Parz.
40.0	12.6	67.5	0.186	19.0	67.5	0.281	9264	18378	(22+23)-VI-4	(22+23)-VI-1	Parz.	Parz.
CAMP	12.6	67.5	0.187	--	--	--	9264	18378	2	(22+23)-I-1	Parz.	--
360.0	12.5	67.5	0.185	19.1	67.5	0.283	9264	18378	(22+23)-VI-1	(22+23)-VI-4	Parz.	Parz.
FLN	12.4	67.5	0.184	19.3	67.5	0.286	9264	18378	(22+23)-VI-1	(22+23)-VI-4	Parz.	Parz.

Verifica a taglio: $\cot(\theta)$ Sin=2.500, $\cot(\theta)$ Cen=2.500, $\cot(\theta)$ Des=2.500

Comb Sin=(22+23)-I-3 Cen=(22+23)-VI-4 Des=(22+23)-II-4

Sez	Td	VRdns	VRcd	VRsd	VRd	Tpl	Mr	Dx	Staffe	CS
	kg	kg	kg	kg	kg	kg	kg*m	cm	cmq/m	
Sin	12155	--	26849	46468	26849	0	18378	70.0	10.05	2.2
Cen	10570	--	26849	18587	18587	--	--	--	4.02	1.8
Des	17089	--	26849	46468	26849	0	9264	70.0	10.05	1.6

Trave di Fond. : 9011 [848 , 41] Pilastrate [- , 41]

Sez. R: $B_y = 40.0 \text{ cm}$ $B_z = 70.0 \text{ cm}$ $L = 84.8 \text{ cm}$ $L_n = 104.8 \text{ cm}$ Terreno: **Terreno**

Criterio : CLS_TraviFondazione_Esist - Verifica a flessione $r_{cm} = 164 \text{ [kg/cmq]}$, $f_{ym} = 4200 \text{ [kg/cmq]}$, $FC = 1.20$ $q_d = 2.5$,

$q_f = 1.5$:: **Verificato**

X	M-	M+	$\Delta M-$	$\Delta M+$	Afs	Afi	Mr-	Mr+	C-	C+	CS
cm	kg*m	kg*m	kg*m	kg*m	cmq	cmq	kg*m	kg*m			
ILN	342	10412	--	--	4.02	8.04	9264	18378	(22+23)-VI-1	(22+23)-VI-4	1.8
10.5	--	10124	--	--	4.02	8.04	9264	18378	(22+23)-VI-1	(22+23)-VI-4	1.8
CAMP	--	9925	--	--	4.02	8.04	9264	18378	(22+23)-V-1	(22+23)-VI-4	1.9
94.3	1705	6134	--	--	4.02	8.04	9264	18378	(22+23)-II-2	(22+23)-II-3	3.0
FLN	2971	6946	--	--	4.02	8.04	9264	18378	(22+23)-II-2	(22+23)-II-3	2.6

X	x-	d-	x-/d-	x+	d+	x+/d+	Mr-	Mr+	C-	C+	Stato-	Stato+
cm	cm	cm		cm	cm		kg*m	kg*m				
ILN	12.4	67.5	0.184	19.3	67.5	0.287	9264	18378	(22+23)-VI-1	(22+23)-VI-4	Parz.	Parz.
10.5	--	--	--	19.3	67.5	0.286	9264	18378	(22+23)-VI-1	(22+23)-VI-4	--	Parz.
CAMP	--	--	--	19.3	67.5	0.286	9264	18378	(22+23)-V-1	(22+23)-VI-4	--	Parz.
94.3	12.5	67.5	0.185	19.1	67.5	0.283	9264	18378	(22+23)-II-2	(22+23)-II-3	Parz.	Parz.
FLN	12.5	67.5	0.185	19.2	67.5	0.284	9264	18378	(22+23)-II-2	(22+23)-II-3	Parz.	Parz.

Verifica a taglio: $\cot(\theta) = 2.500$

Comb = (22+23)-VI-4

Sez	Td	VRdns	VRcd	VRsd	VRd	Tpl	Mr	Dx	Staffe	CS
-----	----	-------	------	------	-----	-----	----	----	--------	----

Sez	Td	VRdns	VRcd	VRsd	VRd	Tpl	Mr	Dx	Staffe	CS
	kg	kg	kg	kg	kg	kg	kg*m	cm	cmq/m	
Sin	18607	--	26849	46468	26849	0	18378	104.8	10.05	1.4
Des							9264			

Trave di Fond. : 9011 [41 , 2] Pilastrate [41 , 2]

Sez. R: By= 40.0 cm Bz=70.0 cm L=220.5 cm Ln=220.5 cm Terreno: **Terreno**

Criterio : CLS_TraviFondazione_Esist - Verifica a flessione rcm=164 [kg/cm²],fym=4200 [kg/cm²], FC=1.20 qd=2.5, qf=1.5 ::**Verificato**

X	M-	M+	ΔM-	ΔM+	Afs	Afi	Mr-	Mr+	C-	C+	CS
cm	kg*m	kg*m	kg*m	kg*m	cmq	cmq	kg*m	kg*m			
ILN	8456	12628	--	--	6.03	8.04	13839	18403	(22+23)-II-2	(22+23)-II-3	1.5
22.0	7686	9338	--	--	6.03	8.04	13839	18403	(22+23)-II-2	(22+23)-II-3	1.8
CAMP	6615	7406	--	--	6.03	8.04	13839	18403	(22+23)-II-3	(22+23)-II-2	2.1
198.4	8018	11108	--	--	6.03	8.04	13839	18403	(22+23)-II-3	(22+23)-II-2	1.7
FLN	9226	15238	--	--	6.03	8.04	13839	18403	(22+23)-II-3	(22+23)-II-2	1.2

X	x-	d-	x-/d-	x+	d+	x+/d+	Mr-	Mr+	C-	C+	Stato-	Stato+
cm	cm	cm		cm	cm		kg*m	kg*m				
ILN	15.5	67.5	0.230	18.7	67.5	0.277	13839	18403	(22+23)-II-2	(22+23)-II-3	Parz.	Parz.
22.0	15.5	67.5	0.230	18.5	67.5	0.275	13839	18403	(22+23)-II-2	(22+23)-II-3	Parz.	Parz.
CAMP	15.5	67.5	0.229	18.5	67.5	0.273	13839	18403	(22+23)-II-3	(22+23)-II-2	Parz.	Parz.
198.4	15.5	67.5	0.230	18.6	67.5	0.276	13839	18403	(22+23)-II-3	(22+23)-II-2	Parz.	Parz.
FLN	15.5	67.5	0.230	18.8	67.5	0.279	13839	18403	(22+23)-II-3	(22+23)-II-2	Parz.	Parz.

Verifica a taglio:cot(θ)=2.500

Comb =(22+23)-VI-2

Sez	Td	VRdns	VRcd	VRsd	VRd	Tpl	Mr	Dx	Staffe	CS
	kg	kg	kg	kg	kg	kg	kg*m	cm	cmq/m	
Sin	24623	--	26849	46468	26849	0	18403	220.5	10.05	1.1
Des							13839			

Trave di Fond. : 9011 [2 , 8] Pilastrate [2 , 8]

Sez. R: By= 40.0 cm Bz=70.0 cm L=499.5 cm Ln=459.5 cm Terreno: **Terreno**

Criterio : CLS_TraviFondazione_Esist - Verifica a flessione rcm=164 [kg/cm²],fym=4200 [kg/cm²], FC=1.20 qd=2.5, qf=1.5 ::**Verificato**

X	M-	M+	ΔM-	ΔM+	Afs	Afi	Mr-	Mr+	C-	C+	CS
cm	kg*m	kg*m	kg*m	kg*m	cmq	cmq	kg*m	kg*m			
ILN	3707	6816	--	--	4.02	8.04	9264	18378	(22+23)-II-3	(22+23)-II-2	2.5
45.9	2777	3237	--	--	4.02	8.04	9264	18378	(22+23)-II-3	(22+23)-II-2	3.3
CAMP	928	1458	--	--	4.02	8.04	9264	18378	(22+23)-II-3	(22+23)-II-2	10.0
413.5	655	--	--	--	4.02	8.04	9264	18378	(22+23)-VI-1	(22+23)-VI-4	14
FLN	--	731	--	--	4.02	8.04	9264	18378	(22+23)-VI-3	2	25

X	x-	d-	x-/d-	x+	d+	x+/d+	Mr-	Mr+	C-	C+	Stato-	Stato+
cm	cm	cm		cm	cm		kg*m	kg*m				
ILN	12.5	67.5	0.186	19.2	67.5	0.284	9264	18378	(22+23)-II-3	(22+23)-II-2	Parz.	Parz.
45.9	12.5	67.5	0.185	19.0	67.5	0.281	9264	18378	(22+23)-II-3	(22+23)-II-2	Parz.	Parz.
CAMP	12.5	67.5	0.185	18.9	67.5	0.280	9264	18378	(22+23)-II-3	(22+23)-II-2	Parz.	Parz.
413.5	12.5	67.5	0.184	--	--	--	9264	18378	(22+23)-VI-1	(22+23)-VI-4	Parz.	--
FLN	--	--	--	18.9	67.5	0.280	9264	18378	(22+23)-VI-3	2	--	Parz.

Verifica a taglio:cot(θ) Sin=2.500,cot(θ) Cen=2.500,cot(θ) Des=2.500

Comb Sin=(22+23)-VI-2 Cen=(22+23)-II-3 Des=3

Sez	Td	VRdns	VRcd	VRsd	VRd	Tpl	Mr	Dx	Staffe	CS
	kg	kg	kg	kg	kg	kg	kg*m	cm	cmq/m	
Sin	11998	--	26849	46468	26849	0	18378	70.0	10.05	2.2
Cen	6528	--	26849	18587	18587	--	--	--	4.02	2.8

Sez	Td	VRdns	VRcd	VRsd	VRd	Tpl	Mr	Dx	Staffe	CS
Des	5044	--	26849	46468	26849	0	9264	70.0	10.05	5.3

Trave di Fond. : 9011 [8 , 7] Pilastrate [8 , 11]

Sez. R: By= 40.0 cm Bz=70.0 cm L=190.0 cm Ln=210.0 cm Terreno: **Terreno**

Criterio : CLS_TraviFondazione_Esist - Verifica a flessione rcm=164 [kg/cmq],fym=4200 [kg/cmq], FC=1.20 qd=2.5, qf=1.5 ::**Verificato**

X	M-	M+	ΔM-	ΔM+	Afs	Afi	Mr-	Mr+	C-	C+	CS
cm	kg*m	kg*m	kg*m	kg*m	cmq	cmq	kg*m	kg*m			
ILN	--	1069	--	--	4.02	8.04	9264	18378	(22+23)-VI-4	2	17
21.0	--	282	--	--	4.02	8.04	9264	18378	(22+23)-V-4	2	65
CAMP	492	95	--	--	4.02	8.04	9264	18378	(22+23)-VI-3	(22+23)-VI-2	19
189.0	509	68	--	--	4.02	8.04	9264	18378	(22+23)-VI-3	(22+23)-VI-2	18
FLN	178	265	--	--	4.02	8.04	9264	18378	(22+23)-VIII-3	(22+23)-VIII-2	52

X	x-	d-	x-/d-	x+	d+	x+/d+	Mr-	Mr+	C-	C+	Stato-	Stato+
cm	cm	cm		cm	cm		kg*m	kg*m				
ILN	--	--	--	18.9	67.5	0.280	9264	18378	(22+23)-VI-4	2	--	Parz.
21.0	--	--	--	18.9	67.5	0.280	9264	18378	(22+23)-V-4	2	--	Parz.
CAMP	12.4	67.5	0.184	18.9	67.5	0.279	9264	18378	(22+23)-VI-3	(22+23)-VI-2	Parz.	Parz.
189.0	12.4	67.5	0.184	18.9	67.5	0.279	9264	18378	(22+23)-VI-3	(22+23)-VI-2	Parz.	Parz.
FLN	12.4	67.5	0.184	18.9	67.5	0.280	9264	18378	(22+23)-VIII-3	(22+23)-VIII-2	Parz.	Parz.

Verifica a taglio:cot(θ)=2.500

Comb =(22+23)-VI-1

Sez	Td	VRdns	VRcd	VRsd	VRd	Tpl	Mr	Dx	Staffe	CS
	kg	kg	kg	kg	kg	kg	kg*m	cm	cmq/m	
Sin	4970	--	26849	46468	26849	0	18378	210.0	10.05	5.4
Des							9264			

Trave di Fond. : 9012 [37 , 830] Pilastrate [37 , -]

Sez. R: By= 40.0 cm Bz=70.0 cm L=84.8 cm Ln=64.7 cm Terreno: **Terreno**

Criterio : CLS_TraviFondazione_Esist - Verifica a flessione rcm=164 [kg/cmq],fym=4200 [kg/cmq], FC=1.20 qd=2.5, qf=1.5 ::**Verificato**

X	M-	M+	ΔM-	ΔM+	Afs	Afi	Mr-	Mr+	C-	C+	CS
cm	kg*m	kg*m	kg*m	kg*m	cmq	cmq	kg*m	kg*m			
ILN	60	343	--	--	4.02	8.04	9264	18378	(22+23)-I-3	(22+23)-I-2	54
6.5	83	269	--	--	4.02	8.04	9264	18378	(22+23)-I-4	(22+23)-I-1	68
CAMP	1247	719	--	--	4.02	8.04	9264	18378	(22+23)-VI-2	(22+23)-VI-3	7.4
58.3	1392	751	--	--	4.02	8.04	9264	18378	(22+23)-VI-2	(22+23)-VI-3	6.7
FLN	1500	797	--	--	4.02	8.04	9264	18378	(22+23)-VI-2	(22+23)-VI-3	6.2

X	x-	d-	x-/d-	x+	d+	x+/d+	Mr-	Mr+	C-	C+	Stato-	Stato+
cm	cm	cm		cm	cm		kg*m	kg*m				
ILN	12.4	67.5	0.184	18.9	67.5	0.280	9264	18378	(22+23)-I-3	(22+23)-I-2	Parz.	Parz.
6.5	12.4	67.5	0.184	18.9	67.5	0.280	9264	18378	(22+23)-I-4	(22+23)-I-1	Parz.	Parz.
CAMP	12.5	67.5	0.185	18.9	67.5	0.280	9264	18378	(22+23)-VI-2	(22+23)-VI-3	Parz.	Parz.
58.3	12.5	67.5	0.185	18.9	67.5	0.280	9264	18378	(22+23)-VI-2	(22+23)-VI-3	Parz.	Parz.
FLN	12.5	67.5	0.185	18.9	67.5	0.280	9264	18378	(22+23)-VI-2	(22+23)-VI-3	Parz.	Parz.

Verifica a taglio:cot(θ)=2.500

Comb =(22+23)-II-2

Sez	Td	VRdns	VRcd	VRsd	VRd	Tpl	Mr	Dx	Staffe	CS
	kg	kg	kg	kg	kg	kg	kg*m	cm	cmq/m	
Sin	4097	--	26849	46468	26849	0	18378	64.7	10.05	6.6
Des							9264			

Trave di Fond. : 9012 [830 , 833] Pilastrate [- , -]Sez. R: By= 40.0 cm Bz=70.0 cm L=400.0 cm Ln=400.0 cm Terreno: **Terreno**Criterio : CLS_TraviFondazione_Esist - Verifica a flessione rcm=164 [kg/cm²],fym=4200 [kg/cm²], FC=1.20 qd=2.5, qf=1.5 :: **Verificato**

X	M-	M+	ΔM-	ΔM+	Afs	Afi	Mr-	Mr+	C-	C+	CS
cm	kg*m	kg*m	kg*m	kg*m	cmq	cmq	kg*m	kg*m			
ILN	949	1385	--	--	4.02	8.04	9264	18378	(22+23)-VI-2	(22+23)-VI-3	9.8
40.0	2305	472	--	--	4.02	8.04	9264	18378	(22+23)-II-2	(22+23)-II-3	4.0
CAMP	2560	--	--	--	4.02	8.04	9264	18378	(22+23)-I-2	(22+23)-III-3	3.6
360.0	1341	1431	--	--	4.02	8.04	9264	18378	(22+23)-VI-3	(22+23)-VI-2	6.9
FLN	678	3428	--	--	4.02	8.04	9264	18378	(22+23)-VI-3	(22+23)-VI-2	5.4

X	x-	d-	x-/d-	x+	d+	x+/d+	Mr-	Mr+	C-	C+	Stato-	Stato+
cm	cm	cm		cm	cm		kg*m	kg*m				
ILN	12.5	67.5	0.185	18.9	67.5	0.280	9264	18378	(22+23)-VI-2	(22+23)-VI-3	Parz.	Parz.
40.0	12.5	67.5	0.185	18.9	67.5	0.280	9264	18378	(22+23)-II-2	(22+23)-II-3	Parz.	Parz.
CAMP	12.5	67.5	0.185	--	--	--	9264	18378	(22+23)-I-2	(22+23)-III-3	Parz.	--
360.0	12.5	67.5	0.185	18.9	67.5	0.280	9264	18378	(22+23)-VI-3	(22+23)-VI-2	Parz.	Parz.
FLN	12.5	67.5	0.184	19.0	67.5	0.282	9264	18378	(22+23)-VI-3	(22+23)-VI-2	Parz.	Parz.

Verifica a taglio: cot(θ) Sin=2.500, cot(θ) Cen=2.500, cot(θ) Des=2.500

Comb Sin=(22+23)-I-2 Cen=(22+23)-I-2 Des=(22+23)-I-2

Sez	Td	VRdns	VRcd	VRsd	VRd	Tpl	Mr	Dx	Staffe	CS
	kg	kg	kg	kg	kg	kg	kg*m	cm	cmq/m	
Sin	7580	--	26849	46468	26849	0	18378	70.0	10.05	3.5
Cen	4988	--	26849	18587	18587	--	--	--	4.02	3.7
Des	8356	--	26849	46468	26849	0	9264	70.0	10.05	3.2

Trave di Fond. : 9012 [833 , 1] Pilastrate [- , 1]Sez. R: By= 40.0 cm Bz=70.0 cm L=84.8 cm Ln=104.8 cm Terreno: **Terreno**Criterio : CLS_TraviFondazione_Esist - Verifica a flessione rcm=164 [kg/cm²],fym=4200 [kg/cm²], FC=1.20 qd=2.5, qf=1.5 :: **Verificato**

X	M-	M+	ΔM-	ΔM+	Afs	Afi	Mr-	Mr+	C-	C+	CS
cm	kg*m	kg*m	kg*m	kg*m	cmq	cmq	kg*m	kg*m			
ILN	934	2219	--	--	4.02	8.04	9264	18378	(22+23)-VI-3	(22+23)-VI-2	8.3
10.5	821	2222	--	--	4.02	8.04	9264	18378	(22+23)-VI-3	(22+23)-VI-2	8.3
CAMP	660	2306	--	--	4.02	8.04	9264	18378	(22+23)-VI-3	(22+23)-VI-2	8.0
94.3	--	1728	--	--	4.02	8.04	9264	18378	(22+23)-I-3	(22+23)-I-2	11
FLN	--	1917	--	--	4.02	8.04	9264	18378	(22+23)-I-3	(22+23)-I-2	9.6

X	x-	d-	x-/d-	x+	d+	x+/d+	Mr-	Mr+	C-	C+	Stato-	Stato+
cm	cm	cm		cm	cm		kg*m	kg*m				
ILN	12.5	67.5	0.185	19.0	67.5	0.281	9264	18378	(22+23)-VI-3	(22+23)-VI-2	Parz.	Parz.
10.5	12.5	67.5	0.185	19.0	67.5	0.281	9264	18378	(22+23)-VI-3	(22+23)-VI-2	Parz.	Parz.
CAMP	12.5	67.5	0.184	19.0	67.5	0.281	9264	18378	(22+23)-VI-3	(22+23)-VI-2	Parz.	Parz.
94.3	--	--	--	18.9	67.5	0.280	9264	18378	(22+23)-I-3	(22+23)-I-2	--	Parz.
FLN	--	--	--	18.9	67.5	0.281	9264	18378	(22+23)-I-3	(22+23)-I-2	--	Parz.

Verifica a taglio: cot(θ) =2.500

Comb =(22+23)-II-1

Sez	Td	VRdns	VRcd	VRsd	VRd	Tpl	Mr	Dx	Staffe	CS
	kg	kg	kg	kg	kg	kg	kg*m	cm	cmq/m	
Sin	4133	--	26849	46468	26849	0	18378	104.8	10.05	6.5
Des							9264			

Trave di Fond. : 9012 [1 , 835] Pilastrate [1 , -]Sez. R: By= 40.0 cm Bz=70.0 cm L=160.0 cm Ln=140.0 cm Terreno: **Terreno**Criterio : CLS_TraviFondazione_Esist - Verifica a flessione rcm=164 [kg/cm²],fym=4200 [kg/cm²], FC=1.20 qd=2.5,

qf=1.5 :: **Verificato**

X	M-	M+	ΔM-	ΔM+	Afs	Afi	Mr-	Mr+	C-	C+	CS
cm	kg*m	kg*m	kg*m	kg*m	cmq	cmq	kg*m	kg*m			
ILN	--	1891	--	--	4.02	8.04	9264	18378	(22+23)-V-3	(22+23)-V-2	9.7
14.0	--	1493	--	--	4.02	8.04	9264	18378	(22+23)-V-3	(22+23)-V-2	12
CAMP	824	2019	--	--	4.02	8.04	9264	18378	(22+23)-VI-4	(22+23)-VI-1	9.1
126.0	1025	2029	--	--	4.02	8.04	9264	18378	(22+23)-VI-4	(22+23)-VI-1	9.0
FLN	1128	2166	--	--	4.02	8.04	9264	18378	(22+23)-VI-4	(22+23)-VI-1	8.2

X	x-	d-	x-/d-	x+	d+	x+/d+	Mr-	Mr+	C-	C+	Stato-	Stato+
cm	cm	cm		cm	cm		kg*m	kg*m				
ILN	--	--	--	18.9	67.5	0.281	9264	18378	(22+23)-V-3	(22+23)-V-2	--	Parz.
14.0	--	--	--	18.9	67.5	0.280	9264	18378	(22+23)-V-3	(22+23)-V-2	--	Parz.
CAMP	12.5	67.5	0.185	18.9	67.5	0.281	9264	18378	(22+23)-VI-4	(22+23)-VI-1	Parz.	Parz.
126.0	12.5	67.5	0.185	18.9	67.5	0.281	9264	18378	(22+23)-VI-4	(22+23)-VI-1	Parz.	Parz.
FLN	12.5	67.5	0.185	19.0	67.5	0.281	9264	18378	(22+23)-VI-4	(22+23)-VI-1	Parz.	Parz.

Verifica a taglio: $\cot(\theta) \sin = 2.500, \cot(\theta) \cos = 2.500$

Comb $\sin = (22+23)-II-2$ Des $= (22+23)-VI-1$

Sez	Td	VRdns	VRcd	VRsd	VRd	Tpl	Mr	Dx	Staffe	CS
	kg	kg	kg	kg	kg	kg	kg*m	cm	cmq/m	
Sin	4963	--	26849	48404	26849	0	18378	70.0	10.47	5.4
Des	3131	--	26849	18587	18587	0	9264	70.0	4.02	5.9

Trave di Fond. : 9012 [835 , 837] Pilastrate [- , -]

Sez. R: $B_y = 40.0 \text{ cm}$ $B_z = 70.0 \text{ cm}$ $L = 400.0 \text{ cm}$ $L_n = 400.0 \text{ cm}$ Terreno: **Terreno**

Criterio : CLS_TraviFondazione_Esist - Verifica a flessione $r_{cm} = 164 \text{ [kg/cmq]}$, $f_{ym} = 4200 \text{ [kg/cmq]}$, $FC = 1.20$ $q_d = 2.5$,

qf=1.5 :: **Verificato**

X	M-	M+	ΔM-	ΔM+	Afs	Afi	Mr-	Mr+	C-	C+	CS
cm	kg*m	kg*m	kg*m	kg*m	cmq	cmq	kg*m	kg*m			
ILN	791	3240	--	--	4.02	8.04	9264	18378	(22+23)-VI-4	(22+23)-VI-1	5.7
40.0	1469	1491	--	--	4.02	8.04	9264	18378	(22+23)-VI-4	(22+23)-VI-1	6.3
CAMP	2124	--	--	--	4.02	8.04	9264	18378	(22+23)-VI-1	(22+23)-VII-4	4.4
360.0	2151	1089	--	--	4.02	8.04	9264	18378	(22+23)-VI-1	(22+23)-VI-4	4.3
FLN	1095	2195	--	--	4.02	8.04	9264	18378	(22+23)-VI-3	(22+23)-VI-2	8.4

X	x-	d-	x-/d-	x+	d+	x+/d+	Mr-	Mr+	C-	C+	Stato-	Stato+
cm	cm	cm		cm	cm		kg*m	kg*m				
ILN	12.5	67.5	0.185	19.0	67.5	0.281	9264	18378	(22+23)-VI-4	(22+23)-VI-1	Parz.	Parz.
40.0	12.5	67.5	0.185	18.9	67.5	0.280	9264	18378	(22+23)-VI-4	(22+23)-VI-1	Parz.	Parz.
CAMP	12.5	67.5	0.185	--	--	--	9264	18378	(22+23)-VI-1	(22+23)-VII-4	Parz.	--
360.0	12.5	67.5	0.185	18.9	67.5	0.280	9264	18378	(22+23)-VI-1	(22+23)-VI-4	Parz.	Parz.
FLN	12.5	67.5	0.185	19.0	67.5	0.281	9264	18378	(22+23)-VI-3	(22+23)-VI-2	Parz.	Parz.

Verifica a taglio: $\cot(\theta) = 2.500$

Comb $= (22+23)-I-1$

Sez	Td	VRdns	VRcd	VRsd	VRd	Tpl	Mr	Dx	Staffe	CS
	kg	kg	kg	kg	kg	kg	kg*m	cm	cmq/m	
Sin	6872	--	26849	18587	18587	0	18378	400.0	4.02	2.7
Des							9264			

Trave di Fond. : 9012 [837 , 9] Pilastrate [- , 10]

Sez. R: $B_y = 40.0 \text{ cm}$ $B_z = 70.0 \text{ cm}$ $L = 160.0 \text{ cm}$ $L_n = 140.0 \text{ cm}$ Terreno: **Terreno**

Criterio : CLS_TraviFondazione_Esist - Verifica a flessione $r_{cm} = 164 \text{ [kg/cmq]}$, $f_{ym} = 4200 \text{ [kg/cmq]}$, $FC = 1.20$ $q_d = 2.5$,

qf=1.5 :: **Verificato**

X	M-	M+	ΔM-	ΔM+	Afs	Afi	Mr-	Mr+	C-	C+	CS
cm	kg*m	kg*m	kg*m	kg*m	cmq	cmq	kg*m	kg*m			
ILN	1439	1583	--	--	4.02	8.04	9264	18378	(22+23)-VI-3	(22+23)-VI-2	6.4

X	M-	M+	$\Delta M-$	$\Delta M+$	Afs	Afi	Mr-	Mr+	C-	C+	CS
14.0	1359	1448	--	--	4.02	8.04	9264	18378	(22+23)-VI-3	(22+23)-VI-2	6.8
CAMP	1137	1392	--	--	4.02	8.04	9264	18378	(22+23)-VI-3	(22+23)-VI-2	8.2
126.0	227	--	--	--	4.02	8.04	9264	18378	(22+23)-II-1	(22+23)-II-4	41
FLN	265	51	--	--	4.02	8.04	9264	18378	(22+23)-V-2	(22+23)-V-3	35

X	x-	d-	x-/d-	x+	d+	x+/d+	Mr-	Mr+	C-	C+	Stato-	Stato+
cm	cm	cm		cm	cm		kg*m	kg*m				
ILN	12.5	67.5	0.185	18.9	67.5	0.280	9264	18378	(22+23)-VI-3	(22+23)-VI-2	Parz.	Parz.
14.0	12.5	67.5	0.185	18.9	67.5	0.280	9264	18378	(22+23)-VI-3	(22+23)-VI-2	Parz.	Parz.
CAMP	12.5	67.5	0.185	18.9	67.5	0.280	9264	18378	(22+23)-VI-3	(22+23)-VI-2	Parz.	Parz.
126.0	12.4	67.5	0.184	--	--	--	9264	18378	(22+23)-II-1	(22+23)-II-4	Parz.	--
FLN	12.4	67.5	0.184	18.9	67.5	0.279	9264	18378	(22+23)-V-2	(22+23)-V-3	Parz.	Parz.

Verifica a taglio: $\cot(\theta) \sin = 2.500, \cot(\theta) \cos = 2.500$

Comb $\sin = (22+23)-V-2$ $\cos = (22+23)-V-2$

Sez	Td	VRdns	VRcd	VRsd	VRd	Tpl	Mr	Dx	Staffe	CS
	kg	kg	kg	kg	kg	kg	kg*m	cm	cmq/m	
Sin	3771	--	26849	18587	18587	0	18378	70.0	4.02	4.9
Des	2782	--	26849	48404	26849	0	9264	70.0	10.47	9.7

Trave di Fond. : 9013 [41 , 1] Pilastrate [41 , 1]

Sez. R: $B_y = 40.0 \text{ cm}$ $B_z = 70.0 \text{ cm}$ $L = 645.0 \text{ cm}$ $L_n = 645.0 \text{ cm}$ Terreno: **Terreno**

Criterio : CLS_TraviFondazione_Esist - Verifica a flessione $r_{cm} = 164 \text{ [kg/cm}^2\text{]}$, $f_{ym} = 4200 \text{ [kg/cm}^2\text{]}$, $FC = 1.20$ $q_d = 2.5$,

$q_f = 1.5$:: **Verificato**

X	M-	M+	$\Delta M-$	$\Delta M+$	Afs	Afi	Mr-	Mr+	C-	C+	CS
cm	kg*m	kg*m	kg*m	kg*m	cmq	cmq	kg*m	kg*m			
ILN	--	2912	--	--	4.02	8.04	9264	18378	(22+23)-V-1	2	6.3
64.5	873	--	--	--	4.02	8.04	9264	18378	(22+23)-VI-4	(22+23)-VI-1	11
CAMP	--	3290	--	--	4.02	8.04	9264	18378	20	2	5.6
580.5	1210	--	--	--	4.02	8.04	9264	18378	2	(22+23)-I-3	7.7
FLN	--	651	--	--	4.02	8.04	9264	18378	(22+23)-VI-3	2	28

X	x-	d-	x-/d-	x+	d+	x+/d+	Mr-	Mr+	C-	C+	Stato-	Stato+
cm	cm	cm		cm	cm		kg*m	kg*m				
ILN	--	--	--	19.0	67.5	0.281	9264	18378	(22+23)-V-1	2	--	Parz.
64.5	12.5	67.5	0.185	--	--	--	9264	18378	(22+23)-VI-4	(22+23)-VI-1	Parz.	--
CAMP	--	--	--	19.0	67.5	0.281	9264	18378	20	2	--	Parz.
580.5	12.5	67.5	0.185	--	--	--	9264	18378	2	(22+23)-I-3	Parz.	--
FLN	--	--	--	18.9	67.5	0.280	9264	18378	(22+23)-VI-3	2	--	Parz.

Verifica a taglio: $\cot(\theta) \sin = 2.500, \cot(\theta) \cos = 2.500, \cot(\theta) \tan = 2.500$

Comb $\sin = 3$ $\cos = 3$ $\tan = (22+23)-I-2$

Sez	Td	VRdns	VRcd	VRsd	VRd	Tpl	Mr	Dx	Staffe	CS
	kg	kg	kg	kg	kg	kg	kg*m	cm	cmq/m	
Sin	8517	--	26849	46468	26849	0	18378	72.6	10.05	3.2
Cen	8755	--	26849	18587	18587	--	--	--	4.02	2.1
Des	5949	--	26849	46468	26849	0	9264	72.6	10.05	4.5

Trave di Fond. : 9014 [8 , 840] Pilastrate [8 , -]

Sez. R: $B_y = 40.0 \text{ cm}$ $B_z = 70.0 \text{ cm}$ $L = 122.5 \text{ cm}$ $L_n = 142.5 \text{ cm}$ Terreno: **Terreno**

Criterio : CLS_TraviFondazione_Esist - Verifica a flessione $r_{cm} = 164 \text{ [kg/cm}^2\text{]}$, $f_{ym} = 4200 \text{ [kg/cm}^2\text{]}$, $FC = 1.20$ $q_d = 2.5$,

$q_f = 1.5$:: **Verificato**

X	M-	M+	$\Delta M-$	$\Delta M+$	Afs	Afi	Mr-	Mr+	C-	C+	CS
cm	kg*m	kg*m	kg*m	kg*m	cmq	cmq	kg*m	kg*m			
ILN	--	808	--	--	4.02	8.04	9264	18378	(22+23)-VI-2	(22+23)-VI-3	23
14.3	--	552	--	--	4.02	8.04	9264	18378	(22+23)-VI-4	(22+23)-VI-1	33
CAMP	406	1865	--	--	4.02	8.04	9264	18378	(22+23)-V-4	(22+23)-V-1	9.9

X	M-	M+	ΔM-	ΔM+	Afs	Afi	Mr-	Mr+	C-	C+	CS
128.3	609	1776	--	--	4.02	8.04	9264	18378	(22+23)-V-4	(22+23)-V-1	10
FLN	718	1837	--	--	4.02	8.04	9264	18378	(22+23)-V-4	(22+23)-V-1	10

X	x-	d-	x-/d-	x+	d+	x+/d+	Mr-	Mr+	C-	C+	Stato-	Stato+
cm	cm	cm		cm	cm		kg*m	kg*m				
ILN	--	--	--	18.9	67.5	0.280	9264	18378	(22+23)-VI-2	(22+23)-VI-3	--	Parz.
14.3	--	--	--	18.9	67.5	0.280	9264	18378	(22+23)-VI-4	(22+23)-VI-1	--	Parz.
CAMP	12.4	67.5	0.184	18.9	67.5	0.281	9264	18378	(22+23)-V-4	(22+23)-V-1	Parz.	Parz.
128.3	12.5	67.5	0.184	18.9	67.5	0.280	9264	18378	(22+23)-V-4	(22+23)-V-1	Parz.	Parz.
FLN	12.5	67.5	0.185	18.9	67.5	0.281	9264	18378	(22+23)-V-4	(22+23)-V-1	Parz.	Parz.

Verifica a taglio: $\cot(\theta) = 2.500$

Comb =(22+23)-V-3

Sez	Td	VRdns	VRcd	VRsd	VRd	Tpl	Mr	Dx	Staffe	CS
	kg	kg	kg	kg	kg	kg	kg*m	cm	cmq/m	
Sin	3395	--	26849	46468	26849	0	18378	142.5	10.05	7.9
Des							9264			

Trave di Fond. : 9014 [840 , 842] Pilastrate [- , -]

Sez. R: By= 40.0 cm Bz=70.0 cm L=400.0 cm Ln=400.0 cm Terreno: **Terreno**

Criterio : CLS_TraviFondazione_Esist - Verifica a flessione $r_{cm}=164$ [kg/cmq], $f_{ym}=4200$ [kg/cmq], $FC=1.20$ $q_d=2.5$,

$q_f=1.5$:: **Verificato**

X	M-	M+	ΔM-	ΔM+	Afs	Afi	Mr-	Mr+	C-	C+	CS
cm	kg*m	kg*m	kg*m	kg*m	cmq	cmq	kg*m	kg*m			
ILN	466	2824	--	--	4.02	8.04	9264	18378	(22+23)-V-4	(22+23)-V-1	6.5
40.0	1250	995	--	--	4.02	8.04	9264	18378	(22+23)-V-3	(22+23)-V-2	7.4
CAMP	2408	--	--	--	4.02	8.04	9264	18378	(22+23)-VI-1	(22+23)-VI-4	3.8
360.0	2020	485	--	--	4.02	8.04	9264	18378	(22+23)-V-1	(22+23)-V-4	4.6
FLN	894	1548	--	--	4.02	8.04	9264	18378	(22+23)-V-2	(22+23)-V-3	10

X	x-	d-	x-/d-	x+	d+	x+/d+	Mr-	Mr+	C-	C+	Stato-	Stato+
cm	cm	cm		cm	cm		kg*m	kg*m				
ILN	12.4	67.5	0.184	19.0	67.5	0.281	9264	18378	(22+23)-V-4	(22+23)-V-1	Parz.	Parz.
40.0	12.5	67.5	0.185	18.9	67.5	0.280	9264	18378	(22+23)-V-3	(22+23)-V-2	Parz.	Parz.
CAMP	12.5	67.5	0.185	--	--	--	9264	18378	(22+23)-VI-1	(22+23)-VI-4	Parz.	--
360.0	12.5	67.5	0.185	18.9	67.5	0.280	9264	18378	(22+23)-V-1	(22+23)-V-4	Parz.	Parz.
FLN	12.5	67.5	0.185	18.9	67.5	0.280	9264	18378	(22+23)-V-2	(22+23)-V-3	Parz.	Parz.

Verifica a taglio: $\cot(\theta)$ Sin=2.500, $\cot(\theta)$ Cen=2.500, $\cot(\theta)$ Des=2.500

Comb Sin=(22+23)-VI-1 Cen=(22+23)-V-1 Des=(22+23)-VI-3

Sez	Td	VRdns	VRcd	VRsd	VRd	Tpl	Mr	Dx	Staffe	CS
	kg	kg	kg	kg	kg	kg	kg*m	cm	cmq/m	
Sin	7486	--	26849	46468	26849	0	18378	70.0	10.05	3.6
Cen	4512	--	26849	18587	18587	--	--	--	4.02	4.1
Des	6475	--	26849	46468	26849	0	9264	70.0	10.05	4.1

Trave di Fond. : 9014 [842 , 9] Pilastrate [- , 10]

Sez. R: By= 40.0 cm Bz=70.0 cm L=122.5 cm Ln=102.5 cm Terreno: **Terreno**

Criterio : CLS_TraviFondazione_Esist - Verifica a flessione $r_{cm}=164$ [kg/cmq], $f_{ym}=4200$ [kg/cmq], $FC=1.20$ $q_d=2.5$,

$q_f=1.5$:: **Verificato**

X	M-	M+	ΔM-	ΔM+	Afs	Afi	Mr-	Mr+	C-	C+	CS
cm	kg*m	kg*m	kg*m	kg*m	cmq	cmq	kg*m	kg*m			
ILN	1312	955	--	--	4.02	8.04	9264	18378	(22+23)-V-1	(22+23)-V-4	7.1
10.3	1224	888	--	--	4.02	8.04	9264	18378	(22+23)-V-1	(22+23)-V-4	7.6
CAMP	1062	866	--	--	4.02	8.04	9264	18378	(22+23)-V-2	(22+23)-V-3	8.7
92.3	204	51	--	--	4.02	8.04	9264	18378	(22+23)-I-2	(22+23)-I-3	45
FLN	263	143	--	--	4.02	8.04	9264	18378	(22+23)-V-4	(22+23)-V-1	35

X	x-	d-	x-/d-	x+	d+	x+/d+	Mr-	Mr+	C-	C+	Stato-	Stato+
cm	cm	cm		cm	cm		kg*m	kg*m				
ILN	12.5	67.5	0.185	18.9	67.5	0.280	9264	18378	(22+23)-V-1	(22+23)-V-4	Parz.	Parz.
10.3	12.5	67.5	0.185	18.9	67.5	0.280	9264	18378	(22+23)-V-1	(22+23)-V-4	Parz.	Parz.
CAMP	12.5	67.5	0.185	18.9	67.5	0.280	9264	18378	(22+23)-V-2	(22+23)-V-3	Parz.	Parz.
92.3	12.4	67.5	0.184	18.9	67.5	0.279	9264	18378	(22+23)-I-2	(22+23)-I-3	Parz.	Parz.
FLN	12.4	67.5	0.184	18.9	67.5	0.279	9264	18378	(22+23)-V-4	(22+23)-V-1	Parz.	Parz.

Verifica a taglio: $\cot(\theta) = 2.500$

Comb =(22+23)-V-3

Sez	Td	VRdns	VRcd	VRsd	VRd	Tpl	Mr	Dx	Staffe	CS
	kg	kg	kg	kg	kg	kg	kg*m	cm	cmq/m	
Sin	3552	--	26849	46468	26849	0	18378	102.5	10.05	7.6
Des							9264			

Verifica dei Pilastri

Scenario di calcolo : **Scenario di calcolo N.T. 2018**

Simbologia:

L[cm] :Lunghezza teorica elemento (distanza tra i nodi)

Ln[cm] :Lunghezza netta elemento (tiene conto dei concetti rigidi)

Sez. R :Sezione Rettangolare

By[cm] :Larghezza (asse locale y)

Bz[cm] :Larghezza (asse locale z)

Sez. T : Sezione a T (rovescia e non)

Ba[cm] :Larghezza base inferiore

Ha[cm] :Altezza inferiore

Bs[cm] :Larghezza superiore

Hs[cm] :Altezza superiore

Sez. L : Sezione ad L

Ba[cm] :Larghezza base inferiore

Ha[cm] :Altezza inferiore

Bs[cm] :Larghezza superiore

Hs[cm] :Altezza superiore

Sez. C : Sezione circolare

R[cm] :Raggio

Sez. G : Sezione generica

B[cm] :Larghezza

H[cm] :Altezza

Criterio : Criterio di verifica adottato

Aspigholi :Area di ferro negli spigholi

Afy :Area di ferro sul lato Y

Afz :Area di ferro sul lato Z

Zona : Punto di verifica
 l/N : Distanza dall'inizio della lunghezza netta
 Piede : Inizio lunghezza netta
 Testa : Fine lunghezza netta

Comb: Combinazione di Carico individuata dal codice [(+/-)C] se Comb è non sismica, ovvero [(+/-)(Cx+Cy) Cm Sc] se Comb è sismica.

- (+/-) indica la eventuale traslazione del diagramma del momento dovuta al taglio, come da criterio di verifica [positiva (+) o negativa (-)]

- C individua la Combinazione di Carico non sismica (1, 2, ecc. come da scenario);

- Cx individua la Combinazione di Carico sismica in direzione x (SismaX, come da scenario);

- Cy individua la Combinazione di Carico sismica in direzione y (SismaY, come da scenario);

- Cm individua la Combinazione spostamento masse (I, II, III, IV, V, ecc. come da Combinazioni sisma in Spostamento masse impalcato);

- Sc individua la sottocombinazione ottenuta mediante la permutazione dei segni (1, 2, 3, 4, 5, 6, 7, 8):

1) $Sc = + SismaZ*fx + SismaX*fy + SismaY*fz$

2) $Sc = + SismaZ*fx + SismaX*fz - SismaY*fy$

3) $Sc = + SismaZ*fx - SismaX*fy + SismaY*fz$

4) $Sc = + SismaZ*fx - SismaX*fz - SismaY*fy$

1) $Sc = - SismaZ*fx + SismaX*fy + SismaY*fz$

2) $Sc = - SismaZ*fx + SismaX*fz - SismaY*fy$

3) $Sc = - SismaZ*fx - SismaX*fy + SismaY*fz$

4) $Sc = - SismaZ*fx - SismaX*fz - SismaY*fy$

- Quando non è richiesto il contributo del sisma in direzione Z le ultime quattro sono assenti

Le combinazioni delle azioni sismiche così ottenute vengono combinate con i carichi verticali (come da scenario).

N[kg] :Sforzo Normale

N^{*}_y[kg] :Sforzo Normale x Omega2

N^{*}_z[kg] :Sforzo Normale x Omega3

My[kg*m] :Momento flettente dir Y

M^{*}_y[kg*m] :Momento flettente dir Y x cy

cy :coefficiente moltiplicativo momento flettente dir Y per verifica a carico di punta

cz :coefficiente moltiplicativo momento flettente dir Z per verifica a carico di punta

Mz[kg*m] :Momento flettente dir Z

M^{*}_z[kg*m] :Momento flettente dir Z x cz

ε_{max} :Deformazione massima cls ⁽¹⁾

ε_{fmax} :Deformazione massima acciaio ⁽¹⁾

ε_{cMy} :Deformazione massima cls int direzione Y per pressoflessione retta ⁽¹⁾

ε_{fMy} :Deformazione massima acciaio int direzione Y per pressoflessione retta ⁽¹⁾

ε_{cMz} :Deformazione massima cls int direzione Z per pressoflessione retta ⁽¹⁾

ε_{fMz} :Deformazione massima acciaio int direzione Z per pressoflessione retta ⁽¹⁾

Gerarchia resistenze⁽²⁾:

ΣM_{rtY} :Somma dei momenti resistenti delle travi in direzione Y

ΣM_{rtZ} :Somma dei momenti resistenti delle travi in direzione Z

ΣM_{yRich.} :Momento resistente richiesto direzione Y per rispettare la gerarchia

ΣM_{zRich.} :Momento resistente richiesto direzione Z per rispettare la gerarchia

T[kg] :Valore del taglio

Dir :[Y-Z] Direzione della componente di taglio

VR_{dns}[kg] :Resistenza a taglio in assenza di armature

VR_{cd}[kg] :Resistenza taglio-compressione calcestruzzo

VR_{sd}[kg] :Resistenza taglio-trazione acciaio

VR_d[kg] :Resistenza a taglio =min(VR_{cd},VR_{sd})

VR_{d,f}[kg] :Resistenza a taglio dovuta alla resistenza a trazione del calcestruzzo ad alte prestazioni (quando presente)(cfr. eq 4.2 CNR204/2006)

oppure resistenza rinforzo composito (quando presente)(cfr. eq 4.19 CNR200/2013)

A_{st}/m[cmq/m] :Armatura staffe

Min.Norm. :valore minimo di norma dell' area delle staffe

cot(θ): cotangente teta secondo il punto 4.1.2.3.5 delle Norme Tecniche

r_{cm}[kg/cm²] = resistenza media calcestruzzo

f_{ym}[kg/cm²] = resistenza media acciaio

FC = fattore di confidenza

qd = fattore di comportamento verifiche duttili

qf = fattore di comportamento verifiche fragili

Fatt.Ampl.Sisma = fattore moltiplicativo di gruppo per le azioni sismiche (solo se diverso da 1.0)

Cs : Coefficiente di sicurezza definito dal rapporto $|Fr|/|Fd|$ (Fr =punto sul dominio di resistenza ottenuto aumentando proporzionalmente Fd , Fd =azione), quando richiesto dal criterio di verifica

ζ_E : Livello di sicurezza sismico definito come rapporto tra l'accelerazione sopportabile e l'accelerazione di progetto, quando richiesto dal criterio di verifica

Verifiche duttilità (quando richieste):

Zona : Sezione di verifica dell'elemento

Comb. : Combinazione di verifica

Nmax[kg] : Sforzo Normale massimo

Dir : Direzione di flessione (pilastri=Y o Z, travi =Z, pareti= ortogonale alla base)

Mry[kg*m] : Momento di snervamento corrispondente a Nmax

MrU[kg*m] : Momento ultimo (resistente) corrispondente a Nmax sulla sezione depurata del calcestruzzo non confinato, considerando il confinamento

ϕ_y [1/m] : Curvatura allo snervamento ($\phi_y = MrU/Mry * \phi'_y$)

ϕ_u [1/m] : Curvatura allo corrispondente a MrU

μ : Capacità in duttilità della sezione

F.Conf : Fattore di confinamento adottato (= $f_{ck,c}/f_{ck}$)

μ_d : Richiesta in duttilità della sezione

Cs : Livello di sicurezza ($Cs=\mu/\mu_d$)

Note Verifica pilastri:

(¹): le deformazioni sono stampate a meno del fattore 10^{-3}

(²): I momenti resistenti richiesti sono quelli dovuti alla ripartizione della somma dei momenti resistenti delle travi quando nella tabella dei momenti appare '--' significa che la gerarchia in quella direzione non è applicabile a seconda che il pilastro sia al piano terra o all'ultimo piano oppure la combinazione corrente non è sismica oppure la combinazione è sismica ma la sua direzione non è nella direzione del pilastro considerata. Un valore nullo dei momenti resistenti è relativo a piede o testa di pilastri in fondazione o copertura

Pilastro : 1 [1 , 820]

Sez. R: $B_y = 40.0 \text{ cm}$ $B_z = 40.0 \text{ cm}$ $L = 80.0 \text{ cm}$ $L_n = 80.0 \text{ cm}$

Criterio : CLS_Pilastri-Exist - Verifica a presso-flessione deviata:rcm=189 [kg/cmq],fym=4200 [kg/cmq], FC=1.20

qd=2.5, qf=1.5 : **Verificato**

Piede	AfSpigolo = 2.54	Afy = 2.54	Afz = 2.54
Testa	AfSpigolo = 2.54	Afy = 2.54	Afz = 2.54

$v_{max} = N/(f_{cd} \cdot A) = 0.023 \leq 0.65$ [Comb. (22+23)-I-2(+)]

Zona	C.	N	My	Mz	Mry+	Mrz+	Mry-	Mrz-	CS
		kg	kg*m	kg*m	kg*m	kg*m	kg*m	kg*m	
Piede	(22+23)-VI-2(-)	-3991	-299	-195	13964	13964	13964	13964	38
Testa	3(+)	-3420	-149	-99	13879	13879	13879	13879	54

Verifica a taglio

Dir	C.	MrSup	MrInf	T	Vrdns	Vrcd	Vrsd	Vrd	Ast/m	cot(θ)	Cs
		kg*m	kg*m	kg	kg	kg	kg	kg	cmq/m		
Y	(22+23)-VI-2	--	--	785	--	18536	26848	18536	10.05	2.500	24
Z	(22+23)-VI-3	--	--	1145	--	18222	26848	18222	10.05	2.500	16

Pilastro : 1 [820 , 826]

Sez. R: $B_y = 40.0 \text{ cm}$ $B_z = 40.0 \text{ cm}$ $L = 300.0 \text{ cm}$ $L_n = 300.0 \text{ cm}$

Criterio : CLS_Pilastri-Exist - Verifica a presso-flessione deviata:rcm=189 [kg/cmq],fym=4200 [kg/cmq], FC=1.20

qd=2.5, qf=1.5 : **Verificato**

Piede	AfSpigolo = 2.54	Afy = 2.54	Afz = 2.54
Testa	AfSpigolo = 2.54	Afy = 2.54	Afz = 2.54

$v_{max} = N/(f_{cd} \cdot A) = 0.027 \leq 0.65$ [Comb. (22+23)-V-2(-)]

Zona	C.	N	My	Mz	Mry+	Mrz+	Mry-	Mrz-	CS
		kg	kg*m	kg*m	kg*m	kg*m	kg*m	kg*m	
Piede	(22+23)-II-2(-)	-2703	483	-66	13770	13770	13770	13770	37

Zona	C.	N	My	Mz	Mry+	Mrz+	Mry-	Mrz-	CS
Testa	(22+23)-V-2(+)	-4839	-115	252	14090	14090	14090	14090	37

Verifica a taglio

Dir	C.	MrSup	MrInf	T	Vrdns	Vrcd	Vrsd	Vrd	Ast/m	cot(θ)	Cs
		kg*m	kg*m	kg	kg	kg	kg	kg	cmq/m		
Y	(22+23)-I-3	--	--	500	--	18080	10739	10739	4.02	2.500	21
Z	(22+23)-VI-2	--	--	883	--	18332	10739	10739	4.02	2.500	12

Pilastro : 1 [826 , 40]

Sez. R: By= 40.0 cm Bz=40.0 cm L=80.0 cm Ln=80.0 cm

Criterio : CLS_Pilastri-Esist - Verifica a presso-flessione deviata:rcm=189 [kg/cmq],fym=4200 [kg/cmq], FC=1.20

qd=2.5, qf=1.5 :**Verificato**

Piede	AfSpigolo = 2.54	Afy = 2.54	Afz = 2.54
Testa	AfSpigolo = 2.54	Afy = 2.54	Afz = 2.54

$v_{max}=N/(fcd*A)=0.033 \leq 0.65$ [Comb. (22+23)-I-1(+)]

Zona	C.	N	My	Mz	Mry+	Mrz+	Mry-	Mrz-	CS
		kg	kg*m	kg*m	kg*m	kg*m	kg*m	kg*m	
Piede	(22+23)-V-2(+)	-5453	-55	411	14181	14181	14181	14181	30
Testa	(22+23)-VII-3(+)	-3105	-154	-1070	13831	13831	13831	13831	16

Verifica a taglio

Dir	C.	MrSup	MrInf	T	Vrdns	Vrcd	Vrsd	Vrd	Ast/m	cot(θ)	Cs
		kg*m	kg*m	kg	kg	kg	kg	kg	cmq/m		
Y	(22+23)-V-4	--	--	1667	--	18380	26848	18380	10.05	2.500	11
Z	(22+23)-II-2	--	--	1276	--	18636	26848	18636	10.05	2.500	15

Pilastro : 1 [40 , 10]

Sez. R: By= 40.0 cm Bz=40.0 cm L=218.7 cm Ln=218.7 cm

Criterio : CLS_Pilastri-Esist - Verifica a presso-flessione deviata:rcm=189 [kg/cmq],fym=4200 [kg/cmq], FC=1.20

qd=2.5, qf=1.5 :**Verificato**

Piede	AfSpigolo = 2.54	Afy = 0.00	Afz = 5.09
Testa	AfSpigolo = 2.54	Afy = 0.00	Afz = 5.09

$v_{max}=N/(fcd*A)=0.087 \leq 0.65$ [Comb. (22+23)-I-1(-)]

Zona	C.	N	My	Mz	Mry+	Mrz+	Mry-	Mrz-	CS
		kg	kg*m	kg*m	kg*m	kg*m	kg*m	kg*m	
Piede	(22+23)-V-4(-)	-8707	244	-8386	13090	15191	13090	15191	2.0
Testa	(22+23)-VII-1(+)	-14593	302	-7358	13586	16210	13586	16210	2.6

Verifica a taglio

Dir	C.	MrSup	MrInf	T	Vrdns	Vrcd	Vrsd	Vrd	Ast/m	cot(θ)	Cs
		kg*m	kg*m	kg	kg	kg	kg	kg	cmq/m		
Y	(22+23)-V-1	--	--	11640	--	20284	26848	20284	10.05	2.500	1.7
Z	(22+23)-VI-3	--	--	702	--	19739	26848	19739	10.05	2.500	28

Pilastro : 2 [2 , 844]

Sez. R: By= 40.0 cm Bz=40.0 cm L=80.0 cm Ln=80.0 cm

Criterio : CLS_Pilastri-Esist - Verifica a presso-flessione deviata:rcm=189 [kg/cmq],fym=4200 [kg/cmq], FC=1.20

qd=2.5, qf=1.5 :**Verificato**

Piede	AfSpigolo = 2.54	Afy = 2.54	Afz = 2.54
Testa	AfSpigolo = 2.54	Afy = 2.54	Afz = 2.54

$v_{max}=N/(fcd*A)=0.04 \leq 0.65$ [Comb. (22+23)-VI-2(+)]

Zona	C.	N	My	Mz	Mry+	Mrz+	Mry-	Mrz-	CS
		kg	kg*m	kg*m	kg*m	kg*m	kg*m	kg*m	
Piede	(22+23)-II-3(-)	509	-1638	-27	13268	13268	13268	13268	7.7
Testa	(22+23)-II-3(-)	1477	-279	-172	13112	13112	13112	13112	24

Verifica a taglio

Dir	C.	MrSup	MrInf	T	Vrdns	Vrcd	Vrsd	Vrd	Ast/m	cot(θ)	Cs
		kg*m	kg*m	kg	kg	kg	kg	kg	cmq/m		
Y	(22+23)-I-2	--	--	627	--	18825	26848	18825	10.05	2.500	30
Z	(22+23)-II-2	--	--	6616	--	19010	26848	19010	10.05	2.500	2.9

Pilastro : 2 [844 , 845]

Sez. R: By= 40.0 cm Bz=40.0 cm L=300.0 cm Ln=300.0 cm

Criterio : CLS_Pilastr-Esist - Verifica a presso-flessione deviata:rcm=189 [kg/cmq],fym=4200 [kg/cmq], FC=1.20

qd=2.5, qf=1.5 :Verificato

Piede	AfSpigolo = 2.54	Afy = 2.54	Afz = 2.54
Testa	AfSpigolo = 2.54	Afy = 2.54	Afz = 2.54

$v_{max}=N/(fcd*A)=0.031 \leq 0.65$ [Comb. (22+23)-VI-2(+)]

Zona	C.	N	My	Mz	Mry+	Mrz+	Mry-	Mrz-	CS
		kg	kg*m	kg*m	kg*m	kg*m	kg*m	kg*m	
Piede	(22+23)-II-2(-)	-5620	116	-212	14205	14205	14205	14205	35
Testa	3(+)	-4528	108	-144	14045	14045	14045	14045	44

Verifica a taglio

Dir	C.	MrSup	MrInf	T	Vrdns	Vrcd	Vrsd	Vrd	Ast/m	cot(θ)	Cs
		kg*m	kg*m	kg	kg	kg	kg	kg	cmq/m		
Y	(22+23)-I-3	--	--	445	--	18544	10739	10739	4.02	2.500	24
Z	(22+23)-VI-3	--	--	372	--	18543	10739	10739	4.02	2.500	29

Pilastro : 2 [845 , 34]

Sez. R: By= 40.0 cm Bz=40.0 cm L=80.0 cm Ln=80.0 cm

Criterio : CLS_Pilastr-Esist - Verifica a presso-flessione deviata:rcm=189 [kg/cmq],fym=4200 [kg/cmq], FC=1.20

qd=2.5, qf=1.5 :Verificato

Piede	AfSpigolo = 2.54	Afy = 2.54	Afz = 2.54
Testa	AfSpigolo = 2.54	Afy = 2.54	Afz = 2.54

$v_{max}=N/(fcd*A)=0.033 \leq 0.65$ [Comb. (22+23)-V-3(-)]

Zona	C.	N	My	Mz	Mry+	Mrz+	Mry-	Mrz-	CS
		kg	kg*m	kg*m	kg*m	kg*m	kg*m	kg*m	
Piede	(22+23)-V-3(+)	-5084	311	-418	14127	14127	14127	14127	27
Testa	(22+23)-V-2(+)	-2578	-767	1642	13751	13751	13751	13751	8.2

Verifica a taglio

Dir	C.	MrSup	MrInf	T	Vrdns	Vrcd	Vrsd	Vrd	Ast/m	cot(θ)	Cs
		kg*m	kg*m	kg	kg	kg	kg	kg	cmq/m		
Y	(22+23)-V-3	--	--	1560	--	18701	26848	18701	10.05	2.500	12
Z	(22+23)-II-2	--	--	2640	--	18357	26848	18357	10.05	2.500	7.0

Pilastro : 2 [34 , 44]

Sez. R: By= 40.0 cm Bz=40.0 cm L=250.0 cm Ln=250.0 cm

Criterio : CLS_Pilastr-Esist - Verifica a presso-flessione deviata:rcm=189 [kg/cmq],fym=4200 [kg/cmq], FC=1.20

qd=2.5, qf=1.5 :Verificato

Piede	AfSpigolo = 2.54	Afy = 0.00	Afz = 5.09
Testa	AfSpigolo = 2.54	Afy = 0.00	Afz = 5.09

$v_{max}=N/(fcd*A)=0.107 \leq 0.65$ [Comb. (22+23)-VI-2(+)]

Zona	C.	N	My	Mz	Mry+	Mrz+	Mry-	Mrz-	CS
		kg	kg*m	kg*m	kg*m	kg*m	kg*m	kg*m	
Piede	(22+23)-V-1(-)	-14384	1151	9815	13569	16175	13569	16175	1.8
Testa	(22+23)-V-1(+)	-13384	-4041	-7901	13485	16007	13485	16007	1.8

Verifica a taglio

Dir	C.	MrSup	MrInf	T	Vrdns	Vrcd	Vrsd	Vrd	Ast/m	cot(θ)	Cs
		kg*m	kg*m	kg	kg	kg	kg	kg	cmq/m		

Dir	C.	MrSup	MrInf	T	Vrdns	Vrcd	Vrsd	Vrd	Ast/m	cot(θ)	Cs
Y	(22+23)-V-1	--	--	10948	--	20108	26848	20108	10.05	2.500	1.8
Z	3	--	--	2980	--	21076	26848	21076	10.05	2.500	7.1

Pilastro : 2 [44 , 54]

Sez. R: $B_y = 40.0 \text{ cm}$ $B_z = 40.0 \text{ cm}$ $L = 150.0 \text{ cm}$ $L_n = 150.0 \text{ cm}$

Criterio : CLS_Pilastrini-Esist - Verifica a presso-flessione deviata:rcm=189 [kg/cm²],fym=4200 [kg/cm²], FC=1.20

qd=2.5, qf=1.5 : **Verificato**

Piede	AfSpigolo = 2.54	Afy = 2.54	Afz = 2.54
Testa	AfSpigolo = 2.54	Afy = 2.54	Afz = 2.54

$v_{\max} = N/(fcd \cdot A) = 0.036 \leq 0.65$ [Comb. (22+23)-VI-1(+)]

Zona	C.	N	My	Mz	Mry+	Mrz+	Mry-	Mrz-	CS
		kg	kg*m	kg*m	kg*m	kg*m	kg*m	kg*m	
Piede	(22+23)-VI-4(-)	-3587	3833	701	13904	13904	13904	13904	3.8
Testa	(22+23)-II-3(+)	-5292	6331	-350	14157	14157	14157	14157	2.4

Verifica a taglio

Dir	C.	MrSup	MrInf	T	Vrdns	Vrcd	Vrsd	Vrd	Ast/m	cot(θ)	Cs
		kg*m	kg*m	kg	kg	kg	kg	kg	cmq/m		
Y	(22+23)-VII-1	--	--	4095	--	18816	26848	18816	10.05	2.500	4.6
Z	(22+23)-II-3	--	--	5873	--	18823	26848	18823	10.05	2.500	3.2

Pilastro : 3 [3 , 872]

Sez. R: $B_y = 40.0 \text{ cm}$ $B_z = 40.0 \text{ cm}$ $L = 80.0 \text{ cm}$ $L_n = 80.0 \text{ cm}$

Criterio : CLS_Pilastrini-Esist - Verifica a presso-flessione deviata:rcm=189 [kg/cm²],fym=4200 [kg/cm²], FC=1.20

qd=2.5, qf=1.5 : **Verificato**

Piede	AfSpigolo = 2.54	Afy = 2.54	Afz = 2.54
Testa	AfSpigolo = 2.54	Afy = 2.54	Afz = 2.54

$v_{\max} = N/(fcd \cdot A) = 0.021 \leq 0.65$ [Comb. (22+23)-VIII-3(-)]

Zona	C.	N	My	Mz	Mry+	Mrz+	Mry-	Mrz-	CS
		kg	kg*m	kg*m	kg*m	kg*m	kg*m	kg*m	
Piede	(22+23)-VIII-3(-)	-3814	453	367	13938	13938	13938	13938	28
Testa	(22+23)-IV-2(+)	1322	410	52	13137	13137	13137	13137	20

Verifica a taglio

Dir	C.	MrSup	MrInf	T	Vrdns	Vrcd	Vrsd	Vrd	Ast/m	cot(θ)	Cs
		kg*m	kg*m	kg	kg	kg	kg	kg	cmq/m		
Y	(22+23)-V-3	--	--	1005	--	18381	26848	18381	10.05	2.500	18
Z	(22+23)-IV-3	--	--	1029	--	18504	26848	18504	10.05	2.500	18

Pilastro : 3 [872 , 873]

Sez. R: $B_y = 40.0 \text{ cm}$ $B_z = 40.0 \text{ cm}$ $L = 300.0 \text{ cm}$ $L_n = 300.0 \text{ cm}$

Criterio : CLS_Pilastrini-Esist - Verifica a presso-flessione deviata:rcm=189 [kg/cm²],fym=4200 [kg/cm²], FC=1.20

qd=2.5, qf=1.5 : **Verificato**

Piede	AfSpigolo = 2.54	Afy = 2.54	Afz = 2.54
Testa	AfSpigolo = 2.54	Afy = 2.54	Afz = 2.54

$v_{\max} = N/(fcd \cdot A) = 0.013 \leq 0.65$ [Comb. (22+23)-VIII-3(+)]

Zona	C.	N	My	Mz	Mry+	Mrz+	Mry-	Mrz-	CS
		kg	kg*m	kg*m	kg*m	kg*m	kg*m	kg*m	
Piede	(22+23)-IV-2(+)	1465	392	94	13114	13114	13114	13114	20
Testa	2(+)	365	367	358	13291	13291	13291	13291	23

Verifica a taglio

Dir	C.	MrSup	MrInf	T	Vrdns	Vrcd	Vrsd	Vrd	Ast/m	cot(θ)	Cs
		kg*m	kg*m	kg	kg	kg	kg	kg	cmq/m		
Y	(22+23)-V-2	--	--	211	--	17932	10739	10739	4.02	2.500	51

Dir	C.	MrSup	MrInf	T	Vrdns	Vrcd	Vrsd	Vrd	Ast/m	cot(θ)	Cs
Z	(22+23)-VIII-2	--	--	295	--	17932	10739	10739	4.02	2.500	36

Pilastro : 3 [873 , 6]

Sez. R: By= 40.0 cm Bz=40.0 cm L=80.0 cm Ln=80.0 cm

Criterio : CLS_Pilastr-Esist - Verifica a presso-flessione deviata:rcm=189 [kg/cmq],fym=4200 [kg/cmq], FC=1.20

qd=2.5, qf=1.5 :**Verificato**

Piede	AfSpigolo = 2.54	Afy = 2.54	Afz = 2.54
Testa	AfSpigolo = 2.54	Afy = 2.54	Afz = 2.54

$v_{max}=N/(fcd*A)=0.021 \leq 0.65$ [Comb. (22+23)-IV-3(+)]

Zona	C.	N	My	Mz	Mry+	Mrz+	Mry-	Mrz-	CS
		kg	kg*m	kg*m	kg*m	kg*m	kg*m	kg*m	
Piede	3(+)	-1177	583	230	13534	13534	13534	13534	25
Testa	3(+)	-3420	1182	69	13879	13879	13879	13879	15

Verifica a taglio

Dir	C.	MrSup	MrInf	T	Vrdns	Vrcd	Vrsd	Vrd	Ast/m	cot(θ)	Cs
		kg*m	kg*m	kg	kg	kg	kg	kg	cmq/m		
Y	(22+23)-VII-1	--	--	802	--	18418	26848	18418	10.05	2.500	23
Z	(22+23)-IV-2	--	--	1671	--	17932	26848	17932	10.05	2.500	11

Pilastro : 4 [4 , 880]

Sez. R: By= 40.0 cm Bz=90.0 cm L=80.0 cm Ln=80.0 cm

Criterio : CLS_Pilastr-Esist - Verifica a presso-flessione deviata:rcm=189 [kg/cmq],fym=4200 [kg/cmq], FC=1.20

qd=2.5, qf=1.5 :**Verificato**

Piede	AfSpigolo = 2.54	Afy = 0.00	Afz = 15.27
Testa	AfSpigolo = 2.54	Afy = 0.00	Afz = 15.27

$v_{max}=N/(fcd*A)=0.031 \leq 0.65$ [Comb. (22+23)-VIII-3(-)]

Zona	C.	N	My	Mz	Mry+	Mrz+	Mry-	Mrz-	CS
		kg	kg*m	kg*m	kg*m	kg*m	kg*m	kg*m	
Piede	2(-)	-14025	3101	-929	55892	29773	55892	29773	19
Testa	2(-)	-11838	2564	-83	55341	29360	55341	29360	25

Verifica a taglio

Dir	C.	MrSup	MrInf	T	Vrdns	Vrcd	Vrsd	Vrd	Ast/m	cot(θ)	Cs
		kg*m	kg*m	kg	kg	kg	kg	kg	cmq/m		
Y	(22+23)-IV-3	--	--	5013	--	42226	26848	26848	10.05	2.500	5.4
Z	(22+23)-VIII-3	--	--	2400	--	42842	61269	42842	10.05	2.500	18

Pilastro : 4 [880 , 885]

Sez. R: By= 40.0 cm Bz=90.0 cm L=300.0 cm Ln=300.0 cm

Criterio : CLS_Pilastr-Esist - Verifica a presso-flessione deviata:rcm=189 [kg/cmq],fym=4200 [kg/cmq], FC=1.20

qd=2.5, qf=1.5 :**Verificato**

Piede	AfSpigolo = 2.54	Afy = 0.00	Afz = 15.27
Testa	AfSpigolo = 2.54	Afy = 0.00	Afz = 15.27

$v_{max}=N/(fcd*A)=0.025 \leq 0.65$ [Comb. (22+23)-VIII-1(-)]

Zona	C.	N	My	Mz	Mry+	Mrz+	Mry-	Mrz-	CS
		kg	kg*m	kg*m	kg*m	kg*m	kg*m	kg*m	
Piede	2(-)	-11460	1551	-248	55246	29288	55246	29288	32
Testa	3(+)	-13709	3327	270	55813	29714	55813	29714	20

Verifica a taglio

Dir	C.	MrSup	MrInf	T	Vrdns	Vrcd	Vrsd	Vrd	Ast/m	cot(θ)	Cs
		kg*m	kg*m	kg	kg	kg	kg	kg	cmq/m		

Dir	C.	MrSup	MrInf	T	Vrdns	Vrcd	Vrsd	Vrd	Ast/m	cot(θ)	Cs
Y	(22+23)-IV-3	--	--	1480	--	41788	10739	10739	4.02	2.500	7.3
Z	3	--	--	3265	--	43025	24508	24508	4.02	2.500	7.5

Pilastro : 4 [885 , 12]

Sez. R: By= 40.0 cm Bz=90.0 cm L=80.0 cm Ln=80.0 cm

Criterio : CLS_Pilastri-Exist - Verifica a presso-flessione deviata:rcm=189 [kg/cm²],fym=4200 [kg/cm²], FC=1.20

qd=2.5, qf=1.5 : **Verificato**

Piede	AfSpigolo = 2.54	Afy = 0.00	Afz = 15.27
Testa	AfSpigolo = 2.54	Afy = 0.00	Afz = 15.27

$v_{max}=N/(fcd \cdot A)=0.035 \leq 0.65$ [Comb. (22+23)-VIII-1(-)]

Zona	C.	N	My	Mz	Mry+	Mrz+	Mry-	Mrz-	CS
		kg	kg*m	kg*m	kg*m	kg*m	kg*m	kg*m	
Piede	3(+)	-18378	6313	116	56981	30577	56981	30577	12
Testa	3(+)	-24337	7942	-670	58452	31638	58452	31638	9.1

Verifica a taglio

Dir	C.	MrSup	MrInf	T	Vrdns	Vrcd	Vrsd	Vrd	Ast/m	cot(θ)	Cs
		kg*m	kg*m	kg	kg	kg	kg	kg	cmq/m		
Y	(22+23)-IV-4	--	--	3218	--	41991	26848	26848	10.05	2.500	8.3
Z	3	--	--	5645	--	44656	61269	44656	10.05	2.500	7.9

Pilastro : 5 [5 , 879]

Sez. R: By= 40.0 cm Bz=40.0 cm L=80.0 cm Ln=80.0 cm

Criterio : CLS_Pilastri-Exist - Verifica a presso-flessione deviata:rcm=189 [kg/cm²],fym=4200 [kg/cm²], FC=1.20

qd=2.5, qf=1.5 : **Verificato**

Piede	AfSpigolo = 2.54	Afy = 2.54	Afz = 2.54
Testa	AfSpigolo = 2.54	Afy = 2.54	Afz = 2.54

$v_{max}=N/(fcd \cdot A)=0.022 \leq 0.65$ [Comb. (22+23)-VIII-3(-)]

Zona	C.	N	My	Mz	Mry+	Mrz+	Mry-	Mrz-	CS
		kg	kg*m	kg*m	kg*m	kg*m	kg*m	kg*m	
Piede	3(-)	-4362	186	113	14020	14020	14020	14020	43
Testa	3(-)	-3773	97	77	13932	13932	13932	13932	55

Verifica a taglio

Dir	C.	MrSup	MrInf	T	Vrdns	Vrcd	Vrsd	Vrd	Ast/m	cot(θ)	Cs
		kg*m	kg*m	kg	kg	kg	kg	kg	cmq/m		
Y	(22+23)-VII-2	--	--	1288	--	18247	26848	18247	10.05	2.500	14
Z	(22+23)-VII-3	--	--	690	--	18475	26848	18475	10.05	2.500	27

Pilastro : 5 [879 , 886]

Sez. R: By= 40.0 cm Bz=40.0 cm L=300.0 cm Ln=300.0 cm

Criterio : CLS_Pilastri-Exist - Verifica a presso-flessione deviata:rcm=189 [kg/cm²],fym=4200 [kg/cm²], FC=1.20

qd=2.5, qf=1.5 : **Verificato**

Piede	AfSpigolo = 2.54	Afy = 2.54	Afz = 2.54
Testa	AfSpigolo = 2.54	Afy = 2.54	Afz = 2.54

$v_{max}=N/(fcd \cdot A)=0.021 \leq 0.65$ [Comb. (22+23)-VIII-1(-)]

Zona	C.	N	My	Mz	Mry+	Mrz+	Mry-	Mrz-	CS
		kg	kg*m	kg*m	kg*m	kg*m	kg*m	kg*m	
Piede	2(-)	-4412	-98	-98	14027	14027	14027	14027	48
Testa	3(+)	-3483	386	83	13888	13888	13888	13888	39

Verifica a taglio

Dir	C.	MrSup	MrInf	T	Vrdns	Vrcd	Vrsd	Vrd	Ast/m	cot(θ)	Cs
		kg*m	kg*m	kg	kg	kg	kg	kg	cmq/m		

Dir	C.	MrSup	MrInf	T	Vrdns	Vrcd	Vrsd	Vrd	Ast/m	cot(θ)	Cs
Y	(22+23)-V-3	--	--	470	--	18279	10739	10739	4.02	2.500	23
Z	3	--	--	582	--	18459	10739	10739	4.02	2.500	18

Pilastro : 5 [886 , 20]

Sez. R: $B_y = 40.0 \text{ cm}$ $B_z = 40.0 \text{ cm}$ $L = 80.0 \text{ cm}$ $L_n = 80.0 \text{ cm}$

Criterio : CLS_Pilastr-Esist - Verifica a presso-flessione deviata:rcm=189 [kg/cmq],fym=4200 [kg/cmq], FC=1.20

qd=2.5, qf=1.5 : **Verificato**

Piede	AfSpigolo = 2.54	Afy = 2.54	Afz = 2.54
Testa	AfSpigolo = 2.54	Afy = 2.54	Afz = 2.54

$v_{\max} = N/(fcd \cdot A) = 0.025 \leq 0.65$ [Comb. (22+23)-VI-1(-)]

Zona	C.	N	My	Mz	Mry+	Mrz+	Mry-	Mrz-	CS
		kg	kg*m	kg*m	kg*m	kg*m	kg*m	kg*m	
Piede	3(+)	-3369	724	20	13871	13871	13871	13871	26
Testa	3(+)	-6114	2437	120	14277	14277	14277	14277	7.2

Verifica a taglio

Dir	C.	MrSup	MrInf	T	Vrdns	Vrcd	Vrsd	Vrd	Ast/m	cot(θ)	Cs
		kg*m	kg*m	kg	kg	kg	kg	kg	cmq/m		
Y	(22+23)-V-2	--	--	666	--	18486	26848	18486	10.05	2.500	28
Z	3	--	--	4209	--	18857	26848	18857	10.05	2.500	4.5

Pilastro : 6 [6 , 878]

Sez. R: $B_y = 40.0 \text{ cm}$ $B_z = 40.0 \text{ cm}$ $L = 80.0 \text{ cm}$ $L_n = 80.0 \text{ cm}$

Criterio : CLS_Pilastr-Esist - Verifica a presso-flessione deviata:rcm=189 [kg/cmq],fym=4200 [kg/cmq], FC=1.20

qd=2.5, qf=1.5 : **Verificato**

Piede	AfSpigolo = 2.54	Afy = 2.54	Afz = 2.54
Testa	AfSpigolo = 2.54	Afy = 2.54	Afz = 2.54

$v_{\max} = N/(fcd \cdot A) = 0.016 \leq 0.65$ [Comb. (22+23)-VI-3(+)]

Zona	C.	N	My	Mz	Mry+	Mrz+	Mry-	Mrz-	CS
		kg	kg*m	kg*m	kg*m	kg*m	kg*m	kg*m	
Piede	2(-)	-3215	206	-65	13848	13848	13848	13848	53
Testa	2(-)	-3326	89	67	13864	13864	13864	13864	62

Verifica a taglio

Dir	C.	MrSup	MrInf	T	Vrdns	Vrcd	Vrsd	Vrd	Ast/m	cot(θ)	Cs
		kg*m	kg*m	kg	kg	kg	kg	kg	cmq/m		
Y	(22+23)-VII-2	--	--	1001	--	18199	26848	18199	10.05	2.500	18
Z	(22+23)-VIII-3	--	--	378	--	18367	26848	18367	10.05	2.500	49

Pilastro : 6 [878 , 887]

Sez. R: $B_y = 40.0 \text{ cm}$ $B_z = 40.0 \text{ cm}$ $L = 300.0 \text{ cm}$ $L_n = 300.0 \text{ cm}$

Criterio : CLS_Pilastr-Esist - Verifica a presso-flessione deviata:rcm=189 [kg/cmq],fym=4200 [kg/cmq], FC=1.20

qd=2.5, qf=1.5 : **Verificato**

Piede	AfSpigolo = 2.54	Afy = 2.54	Afz = 2.54
Testa	AfSpigolo = 2.54	Afy = 2.54	Afz = 2.54

$v_{\max} = N/(fcd \cdot A) = 0.02 \leq 0.65$ [Comb. (22+23)-VIII-3(-)]

Zona	C.	N	My	Mz	Mry+	Mrz+	Mry-	Mrz-	CS
		kg	kg*m	kg*m	kg*m	kg*m	kg*m	kg*m	
Piede	2(-)	-4042	83	83	13972	13972	13972	13972	53
Testa	(22+23)-VIII-2(+)	605	314	-42	13253	13253	13253	13253	32

Verifica a taglio

Dir	C.	MrSup	MrInf	T	Vrdns	Vrcd	Vrsd	Vrd	Ast/m	cot(θ)	Cs
		kg*m	kg*m	kg	kg	kg	kg	kg	cmq/m		

Dir	C.	MrSup	MrInf	T	Vrdns	Vrcd	Vrsd	Vrd	Ast/m	cot(θ)	Cs
Y	(22+23)-V-1	--	--	276	--	18178	10739	10739	4.02	2.500	39
Z	3	--	--	702	--	18346	10739	10739	4.02	2.500	15

Pilastrino : 6 [887 , 28]

Sez. R: $B_y = 40.0 \text{ cm}$ $B_z = 40.0 \text{ cm}$ $L = 80.0 \text{ cm}$ $L_n = 80.0 \text{ cm}$

Criterio : CLS_Pilastrino-Esist - Verifica a presso-flessione deviata:rcm=189 [kg/cm²],fym=4200 [kg/cm²], FC=1.20

qd=2.5, qf=1.5 : **Verificato**

Piede	AfSpigolo = 2.54	Afy = 2.54	Afz = 2.54
Testa	AfSpigolo = 2.54	Afy = 2.54	Afz = 2.54

$v_{\max} = N/(fcd \cdot A) = 0.028 \leq 0.65$ [Comb. (22+23)-VIII-3(-)]

Zona	C.	N	My	Mz	Mry+	Mrz+	Mry-	Mrz-	CS
		kg	kg*m	kg*m	kg*m	kg*m	kg*m	kg*m	
Piede	2(+)	-2492	919	13	13738	13738	13738	13738	19
Testa	2(+)	-5338	2989	-105	14164	14164	14164	14164	5.7

Verifica a taglio

Dir	C.	MrSup	MrInf	T	Vrdns	Vrcd	Vrsd	Vrd	Ast/m	cot(θ)	Cs
		kg*m	kg*m	kg	kg	kg	kg	kg	cmq/m		
Y	(22+23)-V-1	--	--	627	--	18358	26848	18358	10.05	2.500	29
Z	2	--	--	4849	--	18739	26848	18739	10.05	2.500	3.9

Pilastrino : 7 [7 , 862]

Sez. R: $B_y = 40.0 \text{ cm}$ $B_z = 40.0 \text{ cm}$ $L = 80.0 \text{ cm}$ $L_n = 80.0 \text{ cm}$

Criterio : CLS_Pilastrino-Esist - Verifica a presso-flessione deviata:rcm=189 [kg/cm²],fym=4200 [kg/cm²], FC=1.20

qd=2.5, qf=1.5 : **Verificato**

Piede	AfSpigolo = 2.54	Afy = 2.54	Afz = 2.54
Testa	AfSpigolo = 2.54	Afy = 2.54	Afz = 2.54

$v_{\max} = N/(fcd \cdot A) = 0.022 \leq 0.65$ [Comb. (22+23)-VII-1(-)]

Zona	C.	N	My	Mz	Mry+	Mrz+	Mry-	Mrz-	CS
		kg	kg*m	kg*m	kg*m	kg*m	kg*m	kg*m	
Piede	(22+23)-VII-1(-)	-4022	-41	447	13969	13969	13969	13969	34
Testa	3(-)	-4851	96	99	14092	14092	14092	14092	44

Verifica a taglio

Dir	C.	MrSup	MrInf	T	Vrdns	Vrcd	Vrsd	Vrd	Ast/m	cot(θ)	Cs
		kg*m	kg*m	kg	kg	kg	kg	kg	cmq/m		
Y	(22+23)-VII-2	--	--	678	--	18480	26848	18480	10.05	2.500	27
Z	(22+23)-IV-4	--	--	1097	--	18356	26848	18356	10.05	2.500	17

Pilastrino : 7 [862 , 855]

Sez. R: $B_y = 40.0 \text{ cm}$ $B_z = 40.0 \text{ cm}$ $L = 300.0 \text{ cm}$ $L_n = 300.0 \text{ cm}$

Criterio : CLS_Pilastrino-Esist - Verifica a presso-flessione deviata:rcm=189 [kg/cm²],fym=4200 [kg/cm²], FC=1.20

qd=2.5, qf=1.5 : **Verificato**

Piede	AfSpigolo = 2.54	Afy = 2.54	Afz = 2.54
Testa	AfSpigolo = 2.54	Afy = 2.54	Afz = 2.54

$v_{\max} = N/(fcd \cdot A) = 0.031 \leq 0.65$ [Comb. (22+23)-VII-4(-)]

Zona	C.	N	My	Mz	Mry+	Mrz+	Mry-	Mrz-	CS
		kg	kg*m	kg*m	kg*m	kg*m	kg*m	kg*m	
Piede	3(-)	-6519	172	-155	14335	14335	14335	14335	32
Testa	2(+)	-7518	-149	-155	14478	14478	14478	14478	28

Verifica a taglio

Dir	C.	MrSup	MrInf	T	Vrdns	Vrcd	Vrsd	Vrd	Ast/m	cot(θ)	Cs
		kg*m	kg*m	kg	kg	kg	kg	kg	cmq/m		
Y	(22+23)-III-4	--	--	486	--	18752	10739	10739	4.02	2.500	22

Dir	C.	MrSup	MrInf	T	Vrdns	Vrcd	Vrsd	Vrd	Ast/m	cot(θ)	Cs
Z	(22+23)-IV-4	--	--	541	--	18708	10739	10739	4.02	2.500	20

Pilastro : 7 [855 , 8]

Sez. R: By= 40.0 cm Bz=40.0 cm L=80.0 cm Ln=80.0 cm

Criterio : CLS_Pilastr-Esist - Verifica a presso-flessione deviata:rcm=189 [kg/cm²],fym=4200 [kg/cm²], FC=1.20

qd=2.5, qf=1.5 :**Verificato**

Piede	AfSpigolo = 2.54	Afy = 2.54	Afz = 2.54
Testa	AfSpigolo = 2.54	Afy = 2.54	Afz = 2.54

$v_{max}=N/(fcd \cdot A)=0.054 \leq 0.65$ [Comb. (22+23)-VII-2(-)]

Zona	C.	N	My	Mz	Mry+	Mrz+	Mry-	Mrz-	CS
		kg	kg*m	kg*m	kg*m	kg*m	kg*m	kg*m	
Piede	3(+)	-8833	-190	190	14662	14662	14662	14662	24
Testa	(22+23)-V-1(+)	-9354	22	1032	14733	14733	14733	14733	15

Verifica a taglio

Dir	C.	MrSup	MrInf	T	Vrdns	Vrcd	Vrsd	Vrd	Ast/m	cot(θ)	Cs
		kg*m	kg*m	kg	kg	kg	kg	kg	cmq/m		
Y	(22+23)-VII-4	--	--	2409	--	18563	26848	18563	10.05	2.500	7.7
Z	(22+23)-IV-4	--	--	548	--	18764	26848	18764	10.05	2.500	34

Pilastro : 7 [8 , 18]

Sez. R: By= 40.0 cm Bz=40.0 cm L=250.0 cm Ln=250.0 cm

Criterio : CLS_Pilastr-Esist - Verifica a presso-flessione deviata:rcm=189 [kg/cm²],fym=4200 [kg/cm²], FC=1.20

qd=2.5, qf=1.5 :**Verificato**

Piede	AfSpigolo = 2.54	Afy = 0.00	Afz = 5.09
Testa	AfSpigolo = 2.54	Afy = 0.00	Afz = 5.09

$v_{max}=N/(fcd \cdot A)=0.15 \leq 0.65$ [Comb. (22+23)-VII-1(+)]

Zona	C.	N	My	Mz	Mry+	Mrz+	Mry-	Mrz-	CS
		kg	kg*m	kg*m	kg*m	kg*m	kg*m	kg*m	
Piede	(22+23)-V-4(-)	-16152	140	-8456	13717	16467	13717	16467	2.3
Testa	(22+23)-V-4(+)	-15152	-314	7771	13633	16303	13633	16303	2.5

Verifica a taglio

Dir	C.	MrSup	MrInf	T	Vrdns	Vrcd	Vrsd	Vrd	Ast/m	cot(θ)	Cs
		kg*m	kg*m	kg	kg	kg	kg	kg	cmq/m		
Y	(22+23)-V-1	--	--	10935	--	21932	12785	12785	4.79	2.500	1.2
Z	(22+23)-VIII-3	--	--	698	--	21336	12785	12785	4.79	2.500	18

Pilastro : 8 [8 , 822]

Sez. R: By= 40.0 cm Bz=40.0 cm L=80.0 cm Ln=80.0 cm

Criterio : CLS_Pilastr-Esist - Verifica a presso-flessione deviata:rcm=189 [kg/cm²],fym=4200 [kg/cm²], FC=1.20

qd=2.5, qf=1.5 :**Verificato**

Piede	AfSpigolo = 2.54	Afy = 2.54	Afz = 2.54
Testa	AfSpigolo = 2.54	Afy = 2.54	Afz = 2.54

$v_{max}=N/(fcd \cdot A)=0.022 \leq 0.65$ [Comb. (22+23)-VI-1(-)]

Zona	C.	N	My	Mz	Mry+	Mrz+	Mry-	Mrz-	CS
		kg	kg*m	kg*m	kg*m	kg*m	kg*m	kg*m	
Piede	2(-)	-5006	100	-292	14115	14115	14115	14115	35
Testa	(22+23)-V-1(+)	-16	-9	229	13352	13352	13352	13352	59

Verifica a taglio

Dir	C.	MrSup	MrInf	T	Vrdns	Vrcd	Vrsd	Vrd	Ast/m	cot(θ)	Cs
		kg*m	kg*m	kg	kg	kg	kg	kg	cmq/m		
Y	(22+23)-V-1	--	--	1787	--	18524	26848	18524	10.05	2.500	10

Dir	C.	MrSup	MrInf	T	Vrdns	Vrcd	Vrsd	Vrd	Ast/m	cot(θ)	Cs
Z	(22+23)-VI-3	--	--	764	--	18506	26848	18506	10.05	2.500	24

Pilastro : 8 [822 , 828]

Sez. R: By= 40.0 cm Bz=40.0 cm L=300.0 cm Ln=300.0 cm

Criterio : CLS_Pilastri-Esist - Verifica a presso-flessione deviata:rcm=189 [kg/cm²],fym=4200 [kg/cm²], FC=1.20

qd=2.5, qf=1.5 : **Verificato**

Piede	AfSpigolo = 2.54	Afy = 2.54	Afz = 2.54
Testa	AfSpigolo = 2.54	Afy = 2.54	Afz = 2.54

$v_{max}=N/(fcd*A)=0.018 \leq 0.65$ [Comb. (22+23)-V-4(+)]

Zona	C.	N	My	Mz	Mry+	Mrz+	Mry-	Mrz-	CS
		kg	kg*m	kg*m	kg*m	kg*m	kg*m	kg*m	
Piede	(22+23)-V-1(-)	375	63	333	13289	13289	13289	13289	33
Testa	3(+)	-3317	127	-66	13863	13863	13863	13863	59

Verifica a taglio

Dir	C.	MrSup	MrInf	T	Vrdns	Vrcd	Vrsd	Vrd	Ast/m	cot(θ)	Cs
		kg*m	kg*m	kg	kg	kg	kg	kg	cmq/m		
Y	(22+23)-V-1	--	--	809	--	18124	10739	10739	4.02	2.500	13
Z	(22+23)-V-4	--	--	417	--	18262	10739	10739	4.02	2.500	26

Pilastro : 8 [828 , 32]

Sez. R: By= 40.0 cm Bz=40.0 cm L=80.0 cm Ln=80.0 cm

Criterio : CLS_Pilastri-Esist - Verifica a presso-flessione deviata:rcm=189 [kg/cm²],fym=4200 [kg/cm²], FC=1.20

qd=2.5, qf=1.5 : **Verificato**

Piede	AfSpigolo = 2.54	Afy = 2.54	Afz = 2.54
Testa	AfSpigolo = 2.54	Afy = 2.54	Afz = 2.54

$v_{max}=N/(fcd*A)=0.043 \leq 0.65$ [Comb. (22+23)-II-3(+)]

Zona	C.	N	My	Mz	Mry+	Mrz+	Mry-	Mrz-	CS
		kg	kg*m	kg*m	kg*m	kg*m	kg*m	kg*m	
Piede	3(+)	-5243	266	-116	14150	14150	14150	14150	35
Testa	3(+)	-10801	1182	-311	14929	14929	14929	14929	12

Verifica a taglio

Dir	C.	MrSup	MrInf	T	Vrdns	Vrcd	Vrsd	Vrd	Ast/m	cot(θ)	Cs
		kg*m	kg*m	kg	kg	kg	kg	kg	cmq/m		
Y	(22+23)-V-1	--	--	1308	--	18290	26848	18290	10.05	2.500	14
Z	(22+23)-II-3	--	--	2188	--	19105	26848	19105	10.05	2.500	8.7

Pilastro : 9 [9 , 861]

Sez. R: By= 100.0 cm Bz=40.0 cm L=80.0 cm Ln=80.0 cm

Criterio : CLS_Pilastri-Esist - Verifica a presso-flessione deviata:rcm=189 [kg/cm²],fym=4200 [kg/cm²], FC=1.20

qd=2.5, qf=1.5 : **Verificato**

Piede	AfSpigolo = 2.54	Afy = 15.27	Afz = 0.00
Testa	AfSpigolo = 2.54	Afy = 15.27	Afz = 0.00

$v_{max}=N/(fcd*A)=0.035 \leq 0.65$ [Comb. (22+23)-VII-1(+)]

Zona	C.	N	My	Mz	Mry+	Mrz+	Mry-	Mrz-	CS
		kg	kg*m	kg*m	kg*m	kg*m	kg*m	kg*m	
Piede	3(+)	-16468	392	5441	30241	63884	30241	63884	16
Testa	3(+)	-19121	-451	5926	30731	64636	30731	64636	14

Verifica a taglio

Dir	C.	MrSup	MrInf	T	Vrdns	Vrcd	Vrsd	Vrd	Ast/m	cot(θ)	Cs
		kg*m	kg*m	kg	kg	kg	kg	kg	cmq/m		
Y	(22+23)-VII-1	--	--	4067	--	47536	68153	47536	10.05	2.500	12
Z	(22+23)-III-4	--	--	4845	--	46714	26848	26848	10.05	2.500	5.5

Pilastro : 9 [861 , 854]

Sez. R: By= 100.0 cm Bz=40.0 cm L=300.0 cm Ln=300.0 cm

Criterio : CLS_Pilastr-Esist - Verifica a presso-flessione deviata:rcm=189 [kg/cmq],fym=4200 [kg/cmq], FC=1.20

qd=2.5, qf=1.5 :**Verificato**

Piede	AfSpigolo = 2.54	Afy = 15.27	Afz = 0.00
Testa	AfSpigolo = 2.54	Afy = 15.27	Afz = 0.00

 $v_{max}=N/(fcd*A)=0.056 \leq 0.65$ [Comb. (22+23)-V-2(+)]

Zona	C.	N	My	Mz	Mry+	Mrz+	Mry-	Mrz-	CS
		kg	kg*m	kg*m	kg*m	kg*m	kg*m	kg*m	
Piede	(22+23)-VII-2(+)	-17705	421	6452	30472	64235	30472	64235	13
Testa	(22+23)-V-1(+)	-24255	-163	12388	31654	66080	31654	66080	7.2

Verifica a taglio

Dir	C.	MrSup	MrInf	T	Vrdns	Vrcd	Vrsd	Vrd	Ast/m	cot(θ)	Cs
		kg*m	kg*m	kg	kg	kg	kg	kg	cmq/m		
Y	(22+23)-VII-4	--	--	12562	--	45519	27261	27261	4.02	2.500	2.2
Z	(22+23)-VIII-2	--	--	2179	--	46944	10739	10739	4.02	2.500	4.9

Pilastro : 9 [854 , 10]

Sez. R: By= 100.0 cm Bz=40.0 cm L=80.0 cm Ln=80.0 cm

Criterio : CLS_Pilastr-Esist - Verifica a presso-flessione deviata:rcm=189 [kg/cmq],fym=4200 [kg/cmq], FC=1.20

qd=2.5, qf=1.5 :**Verificato**

Piede	AfSpigolo = 2.54	Afy = 15.27	Afz = 0.00
Testa	AfSpigolo = 2.54	Afy = 15.27	Afz = 0.00

 $v_{max}=N/(fcd*A)=0.063 \leq 0.65$ [Comb. (22+23)-V-1(-)]

Zona	C.	N	My	Mz	Mry+	Mrz+	Mry-	Mrz-	CS
		kg	kg*m	kg*m	kg*m	kg*m	kg*m	kg*m	
Piede	(22+23)-V-4(+)	5692	-279	-15649	26044	57480	26044	57480	3.4
Testa	(22+23)-V-4(+)	3642	529	-18644	26433	58080	26433	58080	3.0

Verifica a taglio

Dir	C.	MrSup	MrInf	T	Vrdns	Vrcd	Vrsd	Vrd	Ast/m	cot(θ)	Cs
		kg*m	kg*m	kg	kg	kg	kg	kg	cmq/m		
Y	(22+23)-VII-4	--	--	19406	--	45519	68153	45519	10.05	2.500	2.3
Z	(22+23)-VII-3	--	--	3706	--	44830	26848	26848	10.05	2.500	7.2

Pilastro : 9 [10 , 20]

Sez. R: By= 100.0 cm Bz=40.0 cm L=250.0 cm Ln=250.0 cm

Criterio : CLS_Pilastr-Esist - Verifica a presso-flessione deviata:rcm=189 [kg/cmq],fym=4200 [kg/cmq], FC=1.20

qd=2.5, qf=1.5 :**Verificato**

Piede	AfSpigolo = 2.54	Afy = 10.18	Afz = 10.18
Testa	AfSpigolo = 2.54	Afy = 10.18	Afz = 10.18

 $v_{max}=N/(fcd*A)=0.045 \leq 0.65$ [Comb. (22+23)-VII-2(+)]

Zona	C.	N	My	Mz	Mry+	Mrz+	Mry-	Mrz-	CS
		kg	kg*m	kg*m	kg*m	kg*m	kg*m	kg*m	
Piede	(22+23)-VII-3(-)	-9023	992	-44514	33162	84565	33162	84565	2.0
Testa	(22+23)-VII-4(+)	-7879	2191	12378	33015	84191	33015	84191	6.9

Verifica a taglio

Dir	C.	MrSup	MrInf	T	Vrdns	Vrcd	Vrsd	Vrd	Ast/m	cot(θ)	Cs
		kg*m	kg*m	kg	kg	kg	kg	kg	cmq/m		
Y	(22+23)-V-4	--	--	35819	--	47063	42596	42596	6.28	2.500	1.2

Dir	C.	MrSup	MrInf	T	Vrdns	Vrcd	Vrsd	Vrd	Ast/m	cot(θ)	Cs
Z	(22+23)-VIII-4	--	--	2216	--	47160	16780	16780	6.28	2.500	7.6

Pilastro : 10 [9 , 821]

Sez. R: $B_y = 40.0 \text{ cm}$ $B_z = 40.0 \text{ cm}$ $L = 80.0 \text{ cm}$ $L_n = 80.0 \text{ cm}$

Criterio : CLS_Pilastr-Esist - Verifica a presso-flessione deviata:rcm=189 [kg/cm²],fym=4200 [kg/cm²], FC=1.20

qd=2.5, qf=1.5 :**Verificato**

Piede	AfSpigolo = 2.54	Afy = 2.54	Afz = 2.54
Testa	AfSpigolo = 2.54	Afy = 2.54	Afz = 2.54

$v_{\max} = N/(fcd \cdot A) = 0.015 \leq 0.65$ [Comb. (22+23)-VI-1(+)]

Zona	C.	N	My	Mz	Mry+	Mrz+	Mry-	Mrz-	CS
		kg	kg*m	kg*m	kg*m	kg*m	kg*m	kg*m	
Piede	(22+23)-VI-4(-)	929	-114	13	13200	13200	13200	13200	47
Testa	(22+23)-V-4(+)	1470	85	-303	13113	13113	13113	13113	23

Verifica a taglio

Dir	C.	MrSup	MrInf	T	Vrdns	Vrcd	Vrsd	Vrd	Ast/m	cot(θ)	Cs
		kg*m	kg*m	kg	kg	kg	kg	kg	cmq/m		
Y	(22+23)-V-4	--	--	684	--	17932	26848	17932	10.05	2.500	26
Z	(22+23)-VI-2	--	--	559	--	17932	26848	17932	10.05	2.500	32

Pilastro : 10 [821 , 827]

Sez. R: $B_y = 40.0 \text{ cm}$ $B_z = 40.0 \text{ cm}$ $L = 300.0 \text{ cm}$ $L_n = 300.0 \text{ cm}$

Criterio : CLS_Pilastr-Esist - Verifica a presso-flessione deviata:rcm=189 [kg/cm²],fym=4200 [kg/cm²], FC=1.20

qd=2.5, qf=1.5 :**Verificato**

Piede	AfSpigolo = 2.54	Afy = 2.54	Afz = 2.54
Testa	AfSpigolo = 2.54	Afy = 2.54	Afz = 2.54

$v_{\max} = N/(fcd \cdot A) = 0.011 \leq 0.65$ [Comb. (22+23)-VI-1(-)]

Zona	C.	N	My	Mz	Mry+	Mrz+	Mry-	Mrz-	CS
		kg	kg*m	kg*m	kg*m	kg*m	kg*m	kg*m	
Piede	(22+23)-II-4(-)	1913	275	-146	13041	13041	13041	13041	21
Testa	(22+23)-VII-1(-)	732	101	-293	13232	13232	13232	13232	31

Verifica a taglio

Dir	C.	MrSup	MrInf	T	Vrdns	Vrcd	Vrsd	Vrd	Ast/m	cot(θ)	Cs
		kg*m	kg*m	kg	kg	kg	kg	kg	cmq/m		
Y	(22+23)-I-4	--	--	200	--	17968	10739	10739	4.02	2.500	54
Z	(22+23)-V-2	--	--	240	--	17932	10739	10739	4.02	2.500	45

Pilastro : 10 [827 , 44]

Sez. R: $B_y = 40.0 \text{ cm}$ $B_z = 40.0 \text{ cm}$ $L = 80.0 \text{ cm}$ $L_n = 80.0 \text{ cm}$

Criterio : CLS_Pilastr-Esist - Verifica a presso-flessione deviata:rcm=189 [kg/cm²],fym=4200 [kg/cm²], FC=1.20

qd=2.5, qf=1.5 :**Verificato**

Piede	AfSpigolo = 2.54	Afy = 2.54	Afz = 2.54
Testa	AfSpigolo = 2.54	Afy = 2.54	Afz = 2.54

$v_{\max} = N/(fcd \cdot A) = 0.018 \leq 0.65$ [Comb. (22+23)-V-3(+)]

Zona	C.	N	My	Mz	Mry+	Mrz+	Mry-	Mrz-	CS
		kg	kg*m	kg*m	kg*m	kg*m	kg*m	kg*m	
Piede	3(+)	-1711	558	-160	13617	13617	13617	13617	30
Testa	3(+)	-4323	1553	115	14014	14014	14014	14014	11

Verifica a taglio

Dir	C.	MrSup	MrInf	T	Vrdns	Vrcd	Vrsd	Vrd	Ast/m	cot(θ)	Cs
		kg*m	kg*m	kg	kg	kg	kg	kg	cmq/m		
Y	(22+23)-V-3	--	--	598	--	18423	26848	18423	10.05	2.500	31
Z	3	--	--	1056	--	18191	26848	18191	10.05	2.500	17

Pilastro : 11 [7 , 823]

Sez. R: By= 40.0 cm Bz=40.0 cm L=80.0 cm Ln=80.0 cm

Criterio : CLS_Pilastr-Esist - Verifica a presso-flessione deviata:rcm=189 [kg/cmq],fym=4200 [kg/cmq], FC=1.20

qd=2.5, qf=1.5 :Verificato

Piede	AfSpigolo = 2.54	Afy = 2.54	Afz = 2.54
Testa	AfSpigolo = 2.54	Afy = 2.54	Afz = 2.54

 $v_{max}=N/(fcd*A)=0.015 \leq 0.65$ [Comb. (22+23)-VI-1(-)]

Zona	C.	N	My	Mz	Mry+	Mrz+	Mry-	Mrz-	CS
		kg	kg*m	kg*m	kg*m	kg*m	kg*m	kg*m	
Piede	(22+23)-VI-1(-)	-2807	62	-164	13786	13786	13786	13786	63
Testa	(22+23)-V-4(+)	511	70	-226	13268	13268	13268	13268	42

Verifica a taglio

Dir	C.	MrSup	MrInf	T	Vrdns	Vrcd	Vrsd	Vrd	Ast/m	cot(θ)	Cs
		kg*m	kg*m	kg	kg	kg	kg	kg	cmq/m		
Y	(22+23)-V-1	--	--	577	--	18327	26848	18327	10.05	2.500	32
Z	(22+23)-V-4	--	--	395	--	17954	26848	17954	10.05	2.500	45

Pilastro : 11 [823 , 829]

Sez. R: By= 40.0 cm Bz=40.0 cm L=300.0 cm Ln=300.0 cm

Criterio : CLS_Pilastr-Esist - Verifica a presso-flessione deviata:rcm=189 [kg/cmq],fym=4200 [kg/cmq], FC=1.20

qd=2.5, qf=1.5 :Verificato

Piede	AfSpigolo = 2.54	Afy = 2.54	Afz = 2.54
Testa	AfSpigolo = 2.54	Afy = 2.54	Afz = 2.54

 $v_{max}=N/(fcd*A)=0.013 \leq 0.65$ [Comb. (22+23)-VI-1(-)]

Zona	C.	N	My	Mz	Mry+	Mrz+	Mry-	Mrz-	CS
		kg	kg*m	kg*m	kg*m	kg*m	kg*m	kg*m	
Piede	(22+23)-V-4(-)	498	-24	-276	13270	13270	13270	13270	37
Testa	(22+23)-VI-4(+)	1227	225	-67	13152	13152	13152	13152	30

Verifica a taglio

Dir	C.	MrSup	MrInf	T	Vrdns	Vrcd	Vrsd	Vrd	Ast/m	cot(θ)	Cs
		kg*m	kg*m	kg	kg	kg	kg	kg	cmq/m		
Y	(22+23)-V-4	--	--	336	--	17932	10739	10739	4.02	2.500	32
Z	2	--	--	298	--	18090	10739	10739	4.02	2.500	36

Pilastro : 11 [829 , 30]

Sez. R: By= 40.0 cm Bz=40.0 cm L=80.0 cm Ln=80.0 cm

Criterio : CLS_Pilastr-Esist - Verifica a presso-flessione deviata:rcm=189 [kg/cmq],fym=4200 [kg/cmq], FC=1.20

qd=2.5, qf=1.5 :Verificato

Piede	AfSpigolo = 2.54	Afy = 2.54	Afz = 2.54
Testa	AfSpigolo = 2.54	Afy = 2.54	Afz = 2.54

 $v_{max}=N/(fcd*A)=0.042 \leq 0.65$ [Comb. (22+23)-VI-3(-)]

Zona	C.	N	My	Mz	Mry+	Mrz+	Mry-	Mrz-	CS
		kg	kg*m	kg*m	kg*m	kg*m	kg*m	kg*m	
Piede	2(+)	-3329	986	-18	13865	13865	13865	13865	19
Testa	2(+)	-8980	2858	139	14682	14682	14682	14682	6.3

Verifica a taglio

Dir	C.	MrSup	MrInf	T	Vrdns	Vrcd	Vrsd	Vrd	Ast/m	cot(θ)	Cs
		kg*m	kg*m	kg	kg	kg	kg	kg	cmq/m		
Y	(22+23)-II-2	--	--	895	--	18246	26848	18246	10.05	2.500	20
Z	(22+23)-VI-1	--	--	2729	--	18998	26848	18998	10.05	2.500	7.0

Pilastro : 12 [1 , 809]

Sez. R: By= 40.0 cm Bz=40.0 cm L=80.0 cm Ln=80.0 cm

Criterio : CLS_Pilastr-Esist - Verifica a presso-flessione deviata:rcm=189 [kg/cmq],fym=4200 [kg/cmq], FC=1.20

qd=2.5, qf=1.5 : **Verificato**

Piede	AfSpigolo = 2.54	Afy = 2.54	Afz = 2.54
Testa	AfSpigolo = 2.54	Afy = 2.54	Afz = 2.54

$v_{max}=N/(fcd*A)=0.024 \leq 0.65$ [Comb. (22+23)-IV-4(+)]

Zona	C.	N	My	Mz	Mry+	Mrz+	Mry-	Mrz-	CS
		kg	kg*m	kg*m	kg*m	kg*m	kg*m	kg*m	
Piede	(22+23)-IV-4(-)	-4436	-581	336	14031	14031	14031	14031	24
Testa	(22+23)-VIII-1(+)	1997	-365	123	13027	13027	13027	13027	18

Verifica a taglio

Dir	C.	MrSup	MrInf	T	Vrdns	Vrcd	Vrsd	Vrd	Ast/m	cot(θ)	Cs
		kg*m	kg*m	kg	kg	kg	kg	kg	cmq/m		
Y	(22+23)-I-4	--	--	1067	--	18480	26848	18480	10.05	2.500	17
Z	(22+23)-VIII-4	--	--	1568	--	18590	26848	18590	10.05	2.500	12

Pilastro : 12 [809 , 811]

Sez. R: By= 40.0 cm Bz=40.0 cm L=300.0 cm Ln=300.0 cm

Criterio : CLS_Pilastr-Esist - Verifica a presso-flessione deviata:rcm=189 [kg/cmq],fym=4200 [kg/cmq], FC=1.20

qd=2.5, qf=1.5 : **Verificato**

Piede	AfSpigolo = 2.54	Afy = 2.54	Afz = 2.54
Testa	AfSpigolo = 2.54	Afy = 2.54	Afz = 2.54

$v_{max}=N/(fcd*A)=0.02 \leq 0.65$ [Comb. (22+23)-IV-4(-)]

Zona	C.	N	My	Mz	Mry+	Mrz+	Mry-	Mrz-	CS
		kg	kg*m	kg*m	kg*m	kg*m	kg*m	kg*m	
Piede	(22+23)-VIII-1(+)	2100	-386	160	13010	13010	13010	13010	17
Testa	(22+23)-I-4(-)	398	-186	449	13286	13286	13286	13286	24

Verifica a taglio

Dir	C.	MrSup	MrInf	T	Vrdns	Vrcd	Vrsd	Vrd	Ast/m	cot(θ)	Cs
		kg*m	kg*m	kg	kg	kg	kg	kg	cmq/m		
Y	(22+23)-VII-4	--	--	198	--	18278	10739	10739	4.02	2.500	54
Z	(22+23)-III-1	--	--	333	--	18008	10739	10739	4.02	2.500	32

Pilastro : 12 [811 , 2]

Sez. R: By= 40.0 cm Bz=40.0 cm L=80.0 cm Ln=80.0 cm

Criterio : CLS_Pilastr-Esist - Verifica a presso-flessione deviata:rcm=189 [kg/cmq],fym=4200 [kg/cmq], FC=1.20

qd=2.5, qf=1.5 : **Verificato**

Piede	AfSpigolo = 2.54	Afy = 2.54	Afz = 2.54
Testa	AfSpigolo = 2.54	Afy = 2.54	Afz = 2.54

$v_{max}=N/(fcd*A)=0.016 \leq 0.65$ [Comb. (22+23)-IV-2(-)]

Zona	C.	N	My	Mz	Mry+	Mrz+	Mry-	Mrz-	CS
		kg	kg*m	kg*m	kg*m	kg*m	kg*m	kg*m	
Piede	3(+)	-1433	-701	265	13574	13574	13574	13574	21
Testa	3(+)	-3144	-1646	63	13837	13837	13837	13837	10

Verifica a taglio

Dir	C.	MrSup	MrInf	T	Vrdns	Vrcd	Vrsd	Vrd	Ast/m	cot(θ)	Cs
		kg*m	kg*m	kg	kg	kg	kg	kg	cmq/m		
Y	(22+23)-III-1	--	--	625	--	18131	26848	18131	10.05	2.500	29
Z	3	--	--	1118	--	18149	26848	18149	10.05	2.500	16

Pilastro : 13 [13 , 865]

Sez. R: By= 40.0 cm Bz=40.0 cm L=80.0 cm Ln=80.0 cm

Criterio : CLS_Pilastrini-Esist - Verifica a presso-flessione deviata:rcm=189 [kg/cm²],fym=4200 [kg/cm²], FC=1.20

qd=2.5, qf=1.5 :**Verificato**

Piede	AfSpigolo = 2.54	Afy = 2.54	Afz = 2.54
Testa	AfSpigolo = 2.54	Afy = 2.54	Afz = 2.54

$v_{max}=N/(fcd \cdot A)=0.05 \leq 0.65$ [Comb. (22+23)-IV-2(+)]

Zona	C.	N	My	Mz	Mry+	Mrz+	Mry-	Mrz-	CS
		kg	kg*m	kg*m	kg*m	kg*m	kg*m	kg*m	
Piede	(22+23)-III-2(-)	-8517	157	3219	14618	14618	14618	14618	5.5
Testa	(22+23)-III-2(-)	-6915	-44	1233	14392	14392	14392	14392	15

Verifica a taglio

Dir	C.	MrSup	MrInf	T	Vrdns	Vrcd	Vrsd	Vrd	Ast/m	cot(θ)	Cs
		kg*m	kg*m	kg	kg	kg	kg	kg	cmq/m		
Y	(22+23)-III-2	--	--	4627	--	19220	26848	19220	10.05	2.500	4.2
Z	(22+23)-IV-1	--	--	1062	--	18477	26848	18477	10.05	2.500	17

Pilastrino : 13 [865 , 866]

Sez. R: By= 40.0 cm Bz=40.0 cm L=300.0 cm Ln=300.0 cm

Criterio : CLS_Pilastrini-Esist - Verifica a presso-flessione deviata:rcm=189 [kg/cm²],fym=4200 [kg/cm²], FC=1.20

qd=2.5, qf=1.5 :**Verificato**

Piede	AfSpigolo = 2.54	Afy = 2.54	Afz = 2.54
Testa	AfSpigolo = 2.54	Afy = 2.54	Afz = 2.54

$v_{max}=N/(fcd \cdot A)=0.034 \leq 0.65$ [Comb. (22+23)-IV-2(-)]

Zona	C.	N	My	Mz	Mry+	Mrz+	Mry-	Mrz-	CS
		kg	kg*m	kg*m	kg*m	kg*m	kg*m	kg*m	
Piede	(22+23)-III-2(-)	-5696	-99	940	14216	14216	14216	14216	19
Testa	(22+23)-III-3(+)	1205	-109	-1114	13156	13156	13156	13156	10

Verifica a taglio

Dir	C.	MrSup	MrInf	T	Vrdns	Vrcd	Vrsd	Vrd	Ast/m	cot(θ)	Cs
		kg*m	kg*m	kg	kg	kg	kg	kg	cmq/m		
Y	(22+23)-III-2	--	--	1553	--	18577	10739	10739	4.02	2.500	6.9
Z	(22+23)-III-2	--	--	274	--	18577	10739	10739	4.02	2.500	39

Pilastrino : 13 [866 , 14]

Sez. R: By= 40.0 cm Bz=40.0 cm L=80.0 cm Ln=80.0 cm

Criterio : CLS_Pilastrini-Esist - Verifica a presso-flessione deviata:rcm=189 [kg/cm²],fym=4200 [kg/cm²], FC=1.20

qd=2.5, qf=1.5 :**Verificato**

Piede	AfSpigolo = 2.54	Afy = 2.54	Afz = 2.54
Testa	AfSpigolo = 2.54	Afy = 2.54	Afz = 2.54

$v_{max}=N/(fcd \cdot A)=0.028 \leq 0.65$ [Comb. (22+23)-IV-2(-)]

Zona	C.	N	My	Mz	Mry+	Mrz+	Mry-	Mrz-	CS
		kg	kg*m	kg*m	kg*m	kg*m	kg*m	kg*m	
Piede	(22+23)-III-3(+)	1184	72	-1483	13159	13159	13159	13159	7.9
Testa	(22+23)-III-3(+)	-133	-420	-2435	13370	13370	13370	13370	5.3

Verifica a taglio

Dir	C.	MrSup	MrInf	T	Vrdns	Vrcd	Vrsd	Vrd	Ast/m	cot(θ)	Cs
		kg*m	kg*m	kg	kg	kg	kg	kg	cmq/m		
Y	(22+23)-III-2	--	--	2769	--	18683	26848	18683	10.05	2.500	6.7
Z	(22+23)-III-4	--	--	1551	--	18161	26848	18161	10.05	2.500	12

Pilastrino : 13 [14 , 24]

Sez. R: By= 40.0 cm Bz=40.0 cm L=250.0 cm Ln=250.0 cm

Criterio : CLS_Pilastrini-Esist - Verifica a presso-flessione deviata:rcm=189 [kg/cm²],fym=4200 [kg/cm²], FC=1.20

qd=2.5, qf=1.5 :**Verificato**

Piede	AfSpigolo = 2.54	Afy = 0.00	Afz = 5.09
--------------	------------------	------------	------------

Testa	AfSpigolo = 2.54	Afy = 0.00	Afz = 5.09
--------------	------------------	------------	------------

$$v_{\max} = N / (fcd \cdot A) = 0.037 \leq 0.65 \quad [\text{Comb. (22+23)-III-4(+)}]$$

Zona	C.	N	My	Mz	Mry+	Mrz+	Mry-	Mrz-	CS
		kg	kg*m	kg*m	kg*m	kg*m	kg*m	kg*m	
Piede	(22+23)-III-2(-)	-3161	-599	6243	12617	14155	12617	14155	2.4
Testa	(22+23)-III-2(+)	-2161	-1082	-6409	12532	13966	12532	13966	2.2

Verifica a taglio

Dir	C.	MrSup	MrInf	T	Vrdns	Vrcd	Vrsd	Vrd	Ast/m	cot(θ)	Cs
		kg*m	kg*m	kg	kg	kg	kg	kg	cmq/m		
Y	(22+23)-III-2	--	--	7905	--	18410	26848	18410	10.05	2.500	2.3
Z	(22+23)-IV-4	--	--	3769	--	18908	26848	18908	10.05	2.500	5.0

Pilastro : 14 [3 , 808]

Sez. R: By= 40.0 cm Bz=40.0 cm L=80.0 cm Ln=80.0 cm

Criterio : CLS_Pilastr-Esist - Verifica a presso-flessione deviata:rcm=189 [kg/cmq],fym=4200 [kg/cmq], FC=1.20

qd=2.5, qf=1.5 : **Verificato**

Piede	AfSpigolo = 2.54	Afy = 2.54	Afz = 2.54
Testa	AfSpigolo = 2.54	Afy = 2.54	Afz = 2.54

$$v_{\max} = N / (fcd \cdot A) = 0.022 \leq 0.65 \quad [\text{Comb. (22+23)-IV-4(+)}]$$

Zona	C.	N	My	Mz	Mry+	Mrz+	Mry-	Mrz-	CS
		kg	kg*m	kg*m	kg*m	kg*m	kg*m	kg*m	
Piede	(22+23)-III-4(-)	-3731	-127	353	13925	13925	13925	13925	38
Testa	3(+)	-3431	-69	210	13880	13880	13880	13880	51

Verifica a taglio

Dir	C.	MrSup	MrInf	T	Vrdns	Vrcd	Vrsd	Vrd	Ast/m	cot(θ)	Cs
		kg*m	kg*m	kg	kg	kg	kg	kg	cmq/m		
Y	(22+23)-III-4	--	--	2098	--	18496	26848	18496	10.05	2.500	8.8
Z	(22+23)-III-4	--	--	670	--	18496	26848	18496	10.05	2.500	28

Pilastro : 14 [808 , 812]

Sez. R: By= 40.0 cm Bz=40.0 cm L=300.0 cm Ln=300.0 cm

Criterio : CLS_Pilastr-Esist - Verifica a presso-flessione deviata:rcm=189 [kg/cmq],fym=4200 [kg/cmq], FC=1.20

qd=2.5, qf=1.5 : **Verificato**

Piede	AfSpigolo = 2.54	Afy = 2.54	Afz = 2.54
Testa	AfSpigolo = 2.54	Afy = 2.54	Afz = 2.54

$$v_{\max} = N / (fcd \cdot A) = 0.022 \leq 0.65 \quad [\text{Comb. (22+23)-IV-2(+)}]$$

Zona	C.	N	My	Mz	Mry+	Mrz+	Mry-	Mrz-	CS
		kg	kg*m	kg*m	kg*m	kg*m	kg*m	kg*m	
Piede	2(-)	-4310	-88	-205	14012	14012	14012	14012	43
Testa	3(+)	-3456	-380	-67	13884	13884	13884	13884	39

Verifica a taglio

Dir	C.	MrSup	MrInf	T	Vrdns	Vrcd	Vrsd	Vrd	Ast/m	cot(θ)	Cs
		kg*m	kg*m	kg	kg	kg	kg	kg	cmq/m		
Y	(22+23)-I-4	--	--	640	--	18253	10739	10739	4.02	2.500	17
Z	(22+23)-III-3	--	--	678	--	18275	10739	10739	4.02	2.500	16

Pilastro : 14 [812 , 4]

Sez. R: By= 40.0 cm Bz=40.0 cm L=80.0 cm Ln=80.0 cm

Criterio : CLS_Pilastr-Esist - Verifica a presso-flessione deviata:rcm=189 [kg/cmq],fym=4200 [kg/cmq], FC=1.20

qd=2.5, qf=1.5 : **Verificato**

Piede	AfSpigolo = 2.54	Afy = 2.54	Afz = 2.54
Testa	AfSpigolo = 2.54	Afy = 2.54	Afz = 2.54

$$v_{\max} = N / (fcd \cdot A) = 0.043 \leq 0.65 \quad [\text{Comb. (22+23)-VIII-2(-)}]$$

Zona	C.	N	My	Mz	Mry+	Mrz+	Mry-	Mrz-	CS
		kg	kg*m	kg*m	kg*m	kg*m	kg*m	kg*m	
Piede	3(+)	-4574	-1026	27	14051	14051	14051	14051	18
Testa	3(+)	-10587	-2931	210	14901	14901	14901	14901	6.2

Verifica a taglio

Dir	C.	MrSup	MrInf	T	Vrdns	Vrcd	Vrsd	Vrd	Ast/m	cot(θ)	Cs
		kg*m	kg*m	kg	kg	kg	kg	kg	cmq/m		
Y	(22+23)-III-2	--	--	731	--	18270	26848	18270	10.05	2.500	25
Z	(22+23)-VIII-2	--	--	3132	--	19102	26848	19102	10.05	2.500	6.1

Pilastro : 15 [15 , 810]

Sez. R: By= 40.0 cm Bz=40.0 cm L=80.0 cm Ln=80.0 cm

Criterio : CLS_Pilastri-Exist - Verifica a presso-flessione deviata:rcm=189 [kg/cmq],fym=4200 [kg/cmq], FC=1.20

qd=2.5, qf=1.5 :**Verificato**

Piede	AfSpigolo = 2.54	Afy = 2.54	Afz = 2.54
Testa	AfSpigolo = 2.54	Afy = 2.54	Afz = 2.54

$v_{max}=N/(fcd*A)=0.029 \leq 0.65$ [Comb. (22+23)-III-1(-)]

Zona	C.	N	My	Mz	Mry+	Mrz+	Mry-	Mrz-	CS
		kg	kg*m	kg*m	kg*m	kg*m	kg*m	kg*m	
Piede	2(-)	-5165	-103	386	14138	14138	14138	14138	32
Testa	(22+23)-III-4(+)	738	25	-207	13231	13231	13231	13231	39

Verifica a taglio

Dir	C.	MrSup	MrInf	T	Vrdns	Vrcd	Vrsd	Vrd	Ast/m	cot(θ)	Cs
		kg*m	kg*m	kg	kg	kg	kg	kg	cmq/m		
Y	(22+23)-III-4	--	--	2282	--	18338	26848	18338	10.05	2.500	8.0
Z	(22+23)-III-1	--	--	838	--	18596	26848	18596	10.05	2.500	22

Pilastro : 15 [810 , 813]

Sez. R: By= 40.0 cm Bz=40.0 cm L=300.0 cm Ln=300.0 cm

Criterio : CLS_Pilastri-Exist - Verifica a presso-flessione deviata:rcm=189 [kg/cmq],fym=4200 [kg/cmq], FC=1.20

qd=2.5, qf=1.5 :**Verificato**

Piede	AfSpigolo = 2.54	Afy = 2.54	Afz = 2.54
Testa	AfSpigolo = 2.54	Afy = 2.54	Afz = 2.54

$v_{max}=N/(fcd*A)=0.028 \leq 0.65$ [Comb. (22+23)-III-1(-)]

Zona	C.	N	My	Mz	Mry+	Mrz+	Mry-	Mrz-	CS
		kg	kg*m	kg*m	kg*m	kg*m	kg*m	kg*m	
Piede	(22+23)-III-4(-)	1045	-100	-306	13182	13182	13182	13182	27
Testa	(22+23)-III-2(+)	-2505	-90	328	13740	13740	13740	13740	48

Verifica a taglio

Dir	C.	MrSup	MrInf	T	Vrdns	Vrcd	Vrsd	Vrd	Ast/m	cot(θ)	Cs
		kg*m	kg*m	kg	kg	kg	kg	kg	cmq/m		
Y	(22+23)-III-4	--	--	1128	--	18059	10739	10739	4.02	2.500	9.5
Z	(22+23)-III-1	--	--	555	--	18260	10739	10739	4.02	2.500	19

Pilastro : 15 [813 , 16]

Sez. R: By= 40.0 cm Bz=40.0 cm L=80.0 cm Ln=80.0 cm

Criterio : CLS_Pilastri-Exist - Verifica a presso-flessione deviata:rcm=189 [kg/cmq],fym=4200 [kg/cmq], FC=1.20

qd=2.5, qf=1.5 :**Verificato**

Piede	AfSpigolo = 2.54	Afy = 2.54	Afz = 2.54
Testa	AfSpigolo = 2.54	Afy = 2.54	Afz = 2.54

$v_{max}=N/(fcd*A)=0.042 \leq 0.65$ [Comb. (22+23)-III-2(+)]

Zona	C.	N	My	Mz	Mry+	Mrz+	Mry-	Mrz-	CS
		kg	kg*m	kg*m	kg*m	kg*m	kg*m	kg*m	

Zona	C.	N	My	Mz	Mry+	Mrz+	Mry-	Mrz-	CS
Piede	3(+)	-4581	-159	100	14052	14052	14052	14052	43
Testa	3(+)	-9647	-1031	264	14774	14774	14774	14774	14

Verifica a taglio

Dir	C.	MrSup	MrInf	T	Vrdns	Vrcd	Vrsd	Vrd	Ast/m	cot(θ)	Cs
		kg*m	kg*m	kg	kg	kg	kg	kg	cmq/m		
Y	(22+23)-III-2	--	--	2414	--	18542	26848	18542	10.05	2.500	7.7
Z	3	--	--	2279	--	19391	26848	19391	10.05	2.500	8.5

Pilastro : 17 [17 , 863]

Sez. R: By= 40.0 cm Bz=40.0 cm L=80.0 cm Ln=80.0 cm

Criterio : CLS_Pilastr-Esist - Verifica a presso-flessione deviata:rcm=189 [kg/cmq],fym=4200 [kg/cmq], FC=1.20

qd=2.5, qf=1.5 :Verificato

Piede	AfSpigolo = 2.54	Afy = 2.54	Afz = 2.54
Testa	AfSpigolo = 2.54	Afy = 2.54	Afz = 2.54

$v_{max}=N/(fcd*A)=0.023 \leq 0.65$ [Comb. (22+23)-III-1(-)]

Zona	C.	N	My	Mz	Mry+	Mrz+	Mry-	Mrz-	CS
		kg	kg*m	kg*m	kg*m	kg*m	kg*m	kg*m	
Piede	2(-)	-4421	-222	212	14029	14029	14029	14029	38
Testa	3(+)	-4108	80	80	13982	13982	13982	13982	52

Verifica a taglio

Dir	C.	MrSup	MrInf	T	Vrdns	Vrcd	Vrsd	Vrd	Ast/m	cot(θ)	Cs
		kg*m	kg*m	kg	kg	kg	kg	kg	cmq/m		
Y	(22+23)-VIII-1	--	--	512	--	18451	26848	18451	10.05	2.500	36
Z	(22+23)-IV-2	--	--	1003	--	18402	26848	18402	10.05	2.500	18

Pilastro : 17 [863 , 860]

Sez. R: By= 40.0 cm Bz=40.0 cm L=300.0 cm Ln=300.0 cm

Criterio : CLS_Pilastr-Esist - Verifica a presso-flessione deviata:rcm=189 [kg/cmq],fym=4200 [kg/cmq], FC=1.20

qd=2.5, qf=1.5 :Verificato

Piede	AfSpigolo = 2.54	Afy = 2.54	Afz = 2.54
Testa	AfSpigolo = 2.54	Afy = 2.54	Afz = 2.54

$v_{max}=N/(fcd*A)=0.027 \leq 0.65$ [Comb. (22+23)-VII-4(-)]

Zona	C.	N	My	Mz	Mry+	Mrz+	Mry-	Mrz-	CS
		kg	kg*m	kg*m	kg*m	kg*m	kg*m	kg*m	
Piede	2(-)	-5583	231	-113	14200	14200	14200	14200	35
Testa	3(+)	-6514	-139	-142	14335	14335	14335	14335	33

Verifica a taglio

Dir	C.	MrSup	MrInf	T	Vrdns	Vrcd	Vrsd	Vrd	Ast/m	cot(θ)	Cs
		kg*m	kg*m	kg	kg	kg	kg	kg	cmq/m		
Y	(22+23)-VII-3	--	--	515	--	18625	10739	10739	4.02	2.500	21
Z	(22+23)-IV-4	--	--	618	--	18483	10739	10739	4.02	2.500	17

Pilastro : 17 [860 , 18]

Sez. R: By= 40.0 cm Bz=40.0 cm L=80.0 cm Ln=80.0 cm

Criterio : CLS_Pilastr-Esist - Verifica a presso-flessione deviata:rcm=189 [kg/cmq],fym=4200 [kg/cmq], FC=1.20

qd=2.5, qf=1.5 :Verificato

Piede	AfSpigolo = 2.54	Afy = 2.54	Afz = 2.54
Testa	AfSpigolo = 2.54	Afy = 2.54	Afz = 2.54

$v_{max}=N/(fcd*A)=0.053 \leq 0.65$ [Comb. (22+23)-V-1(-)]

Zona	C.	N	My	Mz	Mry+	Mrz+	Mry-	Mrz-	CS
		kg	kg*m	kg*m	kg*m	kg*m	kg*m	kg*m	

Zona	C.	N	My	Mz	Mry+	Mrz+	Mry-	Mrz-	CS
Piede	2(-)	-7712	-231	156	14505	14505	14505	14505	27
Testa	(22+23)-V-1(+)	-9472	44	1036	14750	14750	14750	14750	15

Verifica a taglio

Dir	C.	MrSup	MrInf	T	Vrdns	Vrcd	Vrsd	Vrd	Ast/m	cot(θ)	Cs
		kg*m	kg*m	kg	kg	kg	kg	kg	cmq/m		
Y	(22+23)-VII-2	--	--	2306	--	18565	26848	18565	10.05	2.500	8.1
Z	(22+23)-VIII-2	--	--	472	--	19167	26848	19167	10.05	2.500	41

Pilastro : 17 [18 , 28]

Sez. R: By= 40.0 cm Bz=40.0 cm L=250.0 cm Ln=250.0 cm

Criterio : CLS_Pilastr-Esist - Verifica a presso-flessione deviata:rcm=189 [kg/cmq],fym=4200 [kg/cmq], FC=1.20

qd=2.5, qf=1.5 : **Verificato**

Piede	AfSpigolo = 2.54	Afy = 0.00	Afz = 5.09
Testa	AfSpigolo = 2.54	Afy = 0.00	Afz = 5.09

$v_{max}=N/(fcd*A)=0.154 \leq 0.65$ [Comb. (22+23)-VII-3(+)]

Zona	C.	N	My	Mz	Mry+	Mrz+	Mry-	Mrz-	CS
		kg	kg*m	kg*m	kg*m	kg*m	kg*m	kg*m	
Piede	(22+23)-V-1(-)	-20052	568	9741	14039	17083	14039	17083	2.0
Testa	(22+23)-V-1(+)	-19052	-2247	-7939	13956	16929	13956	16929	2.2

Verifica a taglio

Dir	C.	MrSup	MrInf	T	Vrdns	Vrcd	Vrsd	Vrd	Ast/m	cot(θ)	Cs
		kg*m	kg*m	kg	kg	kg	kg	kg	cmq/m		
Y	(22+23)-V-1	--	--	11096	--	20966	13424	13424	5.03	2.500	1.2
Z	(22+23)-IV-1	--	--	2015	--	21758	13424	13424	5.03	2.500	6.7

Pilastro : 17 [28 , 38]

Sez. R: By= 40.0 cm Bz=40.0 cm L=150.0 cm Ln=150.0 cm

Criterio : CLS_Pilastr-Esist - Verifica a presso-flessione deviata:rcm=189 [kg/cmq],fym=4200 [kg/cmq], FC=1.20

qd=2.5, qf=1.5 : **Verificato**

Piede	AfSpigolo = 2.54	Afy = 2.54	Afz = 2.54
Testa	AfSpigolo = 2.54	Afy = 2.54	Afz = 2.54

$v_{max}=N/(fcd*A)=0.035 \leq 0.65$ [Comb. (22+23)-V-3(+)]

Zona	C.	N	My	Mz	Mry+	Mrz+	Mry-	Mrz-	CS
		kg	kg*m	kg*m	kg*m	kg*m	kg*m	kg*m	
Piede	(22+23)-IV-4(-)	-4621	3854	-983	14058	14058	14058	14058	3.7
Testa	(22+23)-VII-3(+)	-5712	1763	5221	14218	14218	14218	14218	2.6

Verifica a taglio

Dir	C.	MrSup	MrInf	T	Vrdns	Vrcd	Vrsd	Vrd	Ast/m	cot(θ)	Cs
		kg*m	kg*m	kg	kg	kg	kg	kg	cmq/m		
Y	(22+23)-V-4	--	--	7600	--	18834	26848	18834	10.05	2.500	2.5
Z	(22+23)-IV-1	--	--	6722	--	18702	26848	18702	10.05	2.500	2.8

Pilastro : 21 [21 , 22]

Sez. R: By= 40.0 cm Bz=40.0 cm L=460.0 cm Ln=460.0 cm

Criterio : CLS_Pilastr-Esist - Verifica a presso-flessione deviata:rcm=189 [kg/cmq],fym=4200 [kg/cmq], FC=1.20

qd=2.5, qf=1.5 : **Verificato**

Piede	AfSpigolo = 2.54	Afy = 2.54	Afz = 2.54
Testa	AfSpigolo = 2.54	Afy = 2.54	Afz = 2.54

$v_{max}=N/(fcd*A)=0.044 \leq 0.65$ [Comb. (22+23)-III-2(+)]

Zona	C.	N	My	Mz	Mry+	Mrz+	Mry-	Mrz-	CS
		kg	kg*m	kg*m	kg*m	kg*m	kg*m	kg*m	

Zona	C.	N	My	Mz	Mry+	Mrz+	Mry-	Mrz-	CS
Piede	(22+23)-I-2(-)	-7815	353	2493	14520	14520	14520	14520	7.1
Testa	(22+23)-V-2(+)	-5115	-882	-1039	14131	14131	14131	14131	12

Verifica a taglio

Dir	C.	MrSup	MrInf	T	Vrdns	Vrcd	Vrsd	Vrd	Ast/m	cot(θ)	Cs
		kg*m	kg*m	kg	kg	kg	kg	kg	cmq/m		
Y	(22+23)-I-2	--	--	1257	--	19114	10739	10739	4.02	2.500	8.5
Z	(22+23)-VI-4	--	--	934	--	18579	10739	10739	4.02	2.500	11

Pilastro : 21 [22 , 32]

Sez. R: By= 40.0 cm Bz=40.0 cm L=250.0 cm Ln=250.0 cm

Criterio : CLS_Pilastri-Esist - Verifica a presso-flessione deviata:rcm=189 [kg/cmq],fym=4200 [kg/cmq], FC=1.20

qd=2.5, qf=1.5 :**Verificato**

Piede	AfSpigolo = 2.54	Afy = 2.54	Afz = 2.54
Testa	AfSpigolo = 2.54	Afy = 2.54	Afz = 2.54

$v_{max}=N/(fcd*A)=0.033 \leq 0.65$ [Comb. (22+23)-III-2(+)]

Zona	C.	N	My	Mz	Mry+	Mrz+	Mry-	Mrz-	CS
		kg	kg*m	kg*m	kg*m	kg*m	kg*m	kg*m	
Piede	(22+23)-V-2(-)	-5098	-884	-1036	14129	14129	14129	14129	12
Testa	(22+23)-I-2(+)	-4977	-559	-1809	14111	14111	14111	14111	9.0

Verifica a taglio

Dir	C.	MrSup	MrInf	T	Vrdns	Vrcd	Vrsd	Vrd	Ast/m	cot(θ)	Cs
		kg*m	kg*m	kg	kg	kg	kg	kg	cmq/m		
Y	(22+23)-V-4	--	--	614	--	18442	10739	10739	4.02	2.500	17
Z	(22+23)-V-3	--	--	589	--	18402	10739	10739	4.02	2.500	18

Pilastro : 23 [23 , 24]

Sez. R: By= 40.0 cm Bz=40.0 cm L=460.0 cm Ln=460.0 cm

Criterio : CLS_Pilastri-Esist - Verifica a presso-flessione deviata:rcm=189 [kg/cmq],fym=4200 [kg/cmq], FC=1.20

qd=2.5, qf=1.5 :**Verificato**

Piede	AfSpigolo = 2.54	Afy = 2.54	Afz = 2.54
Testa	AfSpigolo = 2.54	Afy = 2.54	Afz = 2.54

$v_{max}=N/(fcd*A)=0.044 \leq 0.65$ [Comb. (22+23)-I-3(+)]

Zona	C.	N	My	Mz	Mry+	Mrz+	Mry-	Mrz-	CS
		kg	kg*m	kg*m	kg*m	kg*m	kg*m	kg*m	
Piede	(22+23)-I-2(-)	-3691	699	2368	13919	13919	13919	13919	6.2
Testa	(22+23)-VI-3(+)	-4719	-1246	648	14073	14073	14073	14073	12

Verifica a taglio

Dir	C.	MrSup	MrInf	T	Vrdns	Vrcd	Vrsd	Vrd	Ast/m	cot(θ)	Cs
		kg*m	kg*m	kg	kg	kg	kg	kg	cmq/m		
Y	(22+23)-I-3	--	--	1277	--	19132	10739	10739	4.02	2.500	8.4
Z	(22+23)-VI-4	--	--	896	--	18512	10739	10739	4.02	2.500	12

Pilastro : 23 [24 , 34]

Sez. R: By= 40.0 cm Bz=40.0 cm L=250.0 cm Ln=250.0 cm

Criterio : CLS_Pilastri-Esist - Verifica a presso-flessione deviata:rcm=189 [kg/cmq],fym=4200 [kg/cmq], FC=1.20

qd=2.5, qf=1.5 :**Verificato**

Piede	AfSpigolo = 2.54	Afy = 2.54	Afz = 2.54
Testa	AfSpigolo = 2.54	Afy = 2.54	Afz = 2.54

$v_{max}=N/(fcd*A)=0.034 \leq 0.65$ [Comb. (22+23)-I-3(+)]

Zona	C.	N	My	Mz	Mry+	Mrz+	Mry-	Mrz-	CS
		kg	kg*m	kg*m	kg*m	kg*m	kg*m	kg*m	
Piede	(22+23)-VI-3(-)	-4708	-1151	646	14071	14071	14071	14071	13
Testa	(22+23)-III-4(+)	-4851	-579	1736	14092	14092	14092	14092	9.3

Verifica a taglio

Dir	C.	MrSup	MrInf	T	Vrdns	Vrcd	Vrsd	Vrd	Ast/m	cot(θ)	Cs
		kg*m	kg*m	kg	kg	kg	kg	kg	cmq/m		
Y	(22+23)-V-2	--	--	575	--	18360	10739	10739	4.02	2.500	19
Z	(22+23)-VI-2	--	--	582	--	18421	10739	10739	4.02	2.500	18

Pilastro : 25 [25 , 864]

Sez. R: By= 40.0 cm Bz=40.0 cm L=80.0 cm Ln=80.0 cm

Criterio : CLS_Pilastri-Esist - Verifica a presso-flessione deviata:rcm=189 [kg/cmq],fym=4200 [kg/cmq], FC=1.20

qd=2.5, qf=1.5 : **Verificato**

Piede	AfSpigolo = 2.54	Afy = 2.54	Afz = 2.54
Testa	AfSpigolo = 2.54	Afy = 2.54	Afz = 2.54

$v_{max}=N/(fcd*A)=0.014 \leq 0.65$ [Comb. (22+23)-VIII-2(-)]

Zona	C.	N	My	Mz	Mry+	Mrz+	Mry-	Mrz-	CS
		kg	kg*m	kg*m	kg*m	kg*m	kg*m	kg*m	
Piede	2(-)	-2957	-345	-61	13809	13809	13809	13809	45
Testa	2(-)	-2856	-121	58	13793	13793	13793	13793	67

Verifica a taglio

Dir	C.	MrSup	MrInf	T	Vrdns	Vrcd	Vrsd	Vrd	Ast/m	cot(θ)	Cs
		kg*m	kg*m	kg	kg	kg	kg	kg	cmq/m		
Y	(22+23)-V-2	--	--	328	--	18260	26848	18260	10.05	2.500	56
Z	(22+23)-VIII-3	--	--	562	--	18129	26848	18129	10.05	2.500	32

Pilastro : 25 [864 , 867]

Sez. R: By= 40.0 cm Bz=40.0 cm L=300.0 cm Ln=300.0 cm

Criterio : CLS_Pilastri-Esist - Verifica a presso-flessione deviata:rcm=189 [kg/cmq],fym=4200 [kg/cmq], FC=1.20

qd=2.5, qf=1.5 : **Verificato**

Piede	AfSpigolo = 2.54	Afy = 2.54	Afz = 2.54
Testa	AfSpigolo = 2.54	Afy = 2.54	Afz = 2.54

$v_{max}=N/(fcd*A)=0.034 \leq 0.65$ [Comb. (22+23)-VIII-4(+)]

Zona	C.	N	My	Mz	Mry+	Mrz+	Mry-	Mrz-	CS
		kg	kg*m	kg*m	kg*m	kg*m	kg*m	kg*m	
Piede	2(-)	-4257	-85	-85	14004	14004	14004	14004	50
Testa	3(+)	-6165	163	121	14284	14284	14284	14284	34

Verifica a taglio

Dir	C.	MrSup	MrInf	T	Vrdns	Vrcd	Vrsd	Vrd	Ast/m	cot(θ)	Cs
		kg*m	kg*m	kg	kg	kg	kg	kg	cmq/m		
Y	(22+23)-V-3	--	--	467	--	18477	10739	10739	4.02	2.500	23
Z	3	--	--	160	--	18865	10739	10739	4.02	2.500	67

Pilastro : 25 [867 , 26]

Sez. R: By= 40.0 cm Bz=40.0 cm L=80.0 cm Ln=80.0 cm

Criterio : CLS_Pilastri-Esist - Verifica a presso-flessione deviata:rcm=189 [kg/cmq],fym=4200 [kg/cmq], FC=1.20

qd=2.5, qf=1.5 : **Verificato**

Piede	AfSpigolo = 2.54	Afy = 2.54	Afz = 2.54
Testa	AfSpigolo = 2.54	Afy = 2.54	Afz = 2.54

$v_{max}=N/(fcd*A)=0.046 \leq 0.65$ [Comb. (22+23)-VIII-4(+)]

Zona	C.	N	My	Mz	Mry+	Mrz+	Mry-	Mrz-	CS
		kg	kg*m	kg*m	kg*m	kg*m	kg*m	kg*m	
Piede	3(+)	-6902	218	150	14390	14390	14390	14390	29
Testa	(22+23)-V-4(+)	-6722	145	-1090	14364	14364	14364	14364	16

Verifica a taglio

Dir	C.	MrSup	MrInf	T	Vrdns	Vrcd	Vrsd	Vrd	Ast/m	cot(θ)	Cs
		kg*m	kg*m	kg	kg	kg	kg	kg	cmq/m		
Y	(22+23)-V-3	--	--	2029	--	18551	26848	18551	10.05	2.500	9.1
Z	3	--	--	388	--	18976	26848	18976	10.05	2.500	49

Pilastro : 25 [26 , 36]

Sez. R: By= 40.0 cm Bz=40.0 cm L=250.0 cm Ln=250.0 cm

Criterio : CLS_Pilastr-Esist - Verifica a presso-flessione deviata:rcm=189 [kg/cmq],fym=4200 [kg/cmq], FC=1.20

qd=2.5, qf=1.5 :**Verificato**

Piede	AfSpigolo = 2.54	Afy = 2.54	Afz = 5.09
Testa	AfSpigolo = 2.54	Afy = 2.54	Afz = 5.09

$v_{max}=N/(fcd*A)=0.168 \leq 0.65$ [Comb. (22+23)-VIII-4(+)]

Zona	C.	N	My	Mz	Mry+	Mrz+	Mry-	Mrz-	CS
		kg	kg*m	kg*m	kg*m	kg*m	kg*m	kg*m	
Piede	(22+23)-V-1(-)	-13557	1903	10260	16884	18674	16884	18674	1.8
Testa	(22+23)-V-1(+)	-12557	-6713	-8595	16800	18545	16800	18545	1.6

Verifica a taglio

Dir	C.	MrSup	MrInf	T	Vrdns	Vrcd	Vrsd	Vrd	Ast/m	cot(θ)	Cs
		kg*m	kg*m	kg	kg	kg	kg	kg	cmq/m		
Y	(22+23)-V-1	--	--	11897	--	19983	14131	14131	5.29	2.500	1.2
Z	3	--	--	5549	--	22415	14131	14131	5.29	2.500	2.5

Pilastro : 25 [36 , 46]

Sez. R: By= 40.0 cm Bz=40.0 cm L=150.0 cm Ln=150.0 cm

Criterio : CLS_Pilastr-Esist - Verifica a presso-flessione deviata:rcm=189 [kg/cmq],fym=4200 [kg/cmq], FC=1.20

qd=2.5, qf=1.5 :**Verificato**

Piede	AfSpigolo = 2.54	Afy = 2.54	Afz = 2.54
Testa	AfSpigolo = 2.54	Afy = 2.54	Afz = 2.54

$v_{max}=N/(fcd*A)=0.036 \leq 0.65$ [Comb. (22+23)-VIII-4(+)]

Zona	C.	N	My	Mz	Mry+	Mrz+	Mry-	Mrz-	CS
		kg	kg*m	kg*m	kg*m	kg*m	kg*m	kg*m	
Piede	(22+23)-VIII-4(-)	-6439	6127	-1082	14324	14324	14324	14324	2.4
Testa	(22+23)-V-1(+)	-3876	2016	-5535	13947	13947	13947	13947	2.4

Verifica a taglio

Dir	C.	MrSup	MrInf	T	Vrdns	Vrcd	Vrsd	Vrd	Ast/m	cot(θ)	Cs
		kg*m	kg*m	kg	kg	kg	kg	kg	cmq/m		
Y	(22+23)-V-4	--	--	8395	--	18839	26848	18839	10.05	2.500	2.2
Z	(22+23)-VIII-4	--	--	6239	--	18906	26848	18906	10.05	2.500	3.0

Pilastro : 35 [35 , 818]

Sez. R: By= 40.0 cm Bz=40.0 cm L=80.0 cm Ln=80.0 cm

Criterio : CLS_Pilastr-Esist - Verifica a presso-flessione deviata:rcm=189 [kg/cmq],fym=4200 [kg/cmq], FC=1.20

qd=2.5, qf=1.5 :**Verificato**

Piede	AfSpigolo = 2.54	Afy = 2.54	Afz = 2.54
Testa	AfSpigolo = 2.54	Afy = 2.54	Afz = 2.54

$v_{max}=N/(fcd*A)=0.097 \leq 0.65$ [Comb. (22+23)-I-4(+)]

Zona	C.	N	My	Mz	Mry+	Mrz+	Mry-	Mrz-	CS
		kg	kg*m	kg*m	kg*m	kg*m	kg*m	kg*m	
Piede	(22+23)-III-4(-)	-16941	-474	-1162	15708	15708	15708	15708	9.7
Testa	(22+23)-I-4(-)	-9712	-352	-260	14782	14782	14782	14782	20

Verifica a taglio

Dir	C.	MrSup	MrInf	T	Vrdns	Vrcd	Vrsd	Vrd	Ast/m	cot(θ)	Cs
		kg*m	kg*m	kg	kg	kg	kg	kg	cmq/m		

Dir	C.	MrSup	MrInf	T	Vrdns	Vrcd	Vrsd	Vrd	Ast/m	cot(θ)	Cs
Y	(22+23)-I-3	--	--	5681	--	20244	26848	20244	10.05	2.500	3.6
Z	(22+23)-I-2	--	--	809	--	18199	26848	18199	10.05	2.500	22

Pilastro : 35 [818 , 824]

Sez. R: $B_y = 40.0 \text{ cm}$ $B_z = 40.0 \text{ cm}$ $L = 300.0 \text{ cm}$ $L_n = 300.0 \text{ cm}$

Criterio : CLS_Pilastr-Esist - Verifica a presso-flessione deviata:rcm=189 [kg/cm²],fym=4200 [kg/cm²], FC=1.20

qd=2.5, qf=1.5 : **Verificato**

Piede	AfSpigolo = 2.54	Afy = 2.54	Afz = 2.54
Testa	AfSpigolo = 2.54	Afy = 2.54	Afz = 2.54

$v_{\max} = N/(fcd \cdot A) = 0.043 \leq 0.65$ [Comb. (22+23)-I-4(-)]

Zona	C.	N	My	Mz	Mry+	Mrz+	Mry-	Mrz-	CS
		kg	kg*m	kg*m	kg*m	kg*m	kg*m	kg*m	
Piede	(22+23)-I-4(-)	-7772	-339	-360	14514	14514	14514	14514	22
Testa	(22+23)-III-2(+)	440	-422	296	13279	13279	13279	13279	22

Verifica a taglio

Dir	C.	MrSup	MrInf	T	Vrdns	Vrcd	Vrsd	Vrd	Ast/m	cot(θ)	Cs
		kg*m	kg*m	kg	kg	kg	kg	kg	cmq/m		
Y	(22+23)-I-3	--	--	995	--	18927	10739	10739	4.02	2.500	11
Z	(22+23)-VI-3	--	--	536	--	18350	10739	10739	4.02	2.500	20

Pilastro : 35 [824 , 36]

Sez. R: $B_y = 40.0 \text{ cm}$ $B_z = 40.0 \text{ cm}$ $L = 80.0 \text{ cm}$ $L_n = 80.0 \text{ cm}$

Criterio : CLS_Pilastr-Esist - Verifica a presso-flessione deviata:rcm=189 [kg/cm²],fym=4200 [kg/cm²], FC=1.20

qd=2.5, qf=1.5 : **Verificato**

Piede	AfSpigolo = 2.54	Afy = 2.54	Afz = 2.54
Testa	AfSpigolo = 2.54	Afy = 2.54	Afz = 2.54

$v_{\max} = N/(fcd \cdot A) = 0.074 \leq 0.65$ [Comb. (22+23)-I-4(-)]

Zona	C.	N	My	Mz	Mry+	Mrz+	Mry-	Mrz-	CS
		kg	kg*m	kg*m	kg*m	kg*m	kg*m	kg*m	
Piede	(22+23)-I-2(-)	1551	-385	96	13100	13100	13100	13100	20
Testa	(22+23)-I-1(+)	3238	-810	604	12823	12823	12823	12823	8.9

Verifica a taglio

Dir	C.	MrSup	MrInf	T	Vrdns	Vrcd	Vrsd	Vrd	Ast/m	cot(θ)	Cs
		kg*m	kg*m	kg	kg	kg	kg	kg	cmq/m		
Y	(22+23)-I-4	--	--	2091	--	19197	26848	19197	10.05	2.500	9.2
Z	(22+23)-VI-4	--	--	3162	--	19194	26848	19194	10.05	2.500	6.1

Pilastro : 35 [36 , 46]

Sez. R: $B_y = 40.0 \text{ cm}$ $B_z = 40.0 \text{ cm}$ $L = 250.0 \text{ cm}$ $L_n = 250.0 \text{ cm}$

Criterio : CLS_Pilastr-Esist - Verifica a presso-flessione deviata:rcm=189 [kg/cm²],fym=4200 [kg/cm²], FC=1.20

qd=2.5, qf=1.5 : **Verificato**

Piede	AfSpigolo = 2.54	Afy = 0.00	Afz = 5.09
Testa	AfSpigolo = 2.54	Afy = 0.00	Afz = 5.09

$v_{\max} = N/(fcd \cdot A) = 0.038 \leq 0.65$ [Comb. (22+23)-I-2(+)]

Zona	C.	N	My	Mz	Mry+	Mrz+	Mry-	Mrz-	CS
		kg	kg*m	kg*m	kg*m	kg*m	kg*m	kg*m	
Piede	(22+23)-I-3(-)	-1840	-2513	-9529	12504	13905	12504	13905	1.4
Testa	(22+23)-I-3(+)	-840	1174	7900	12419	13715	12419	13715	1.7

Verifica a taglio

Dir	C.	MrSup	MrInf	T	Vrdns	Vrcd	Vrsd	Vrd	Ast/m	cot(θ)	Cs
		kg*m	kg*m	kg	kg	kg	kg	kg	cmq/m		
Y	(22+23)-I-3	--	--	10913	--	18210	26848	18210	10.05	2.500	1.7
Z	(22+23)-VI-2	--	--	5779	--	18897	26848	18897	10.05	2.500	3.3

Pilastro : 37 [37 , 819]

Sez. R: By= 40.0 cm Bz=40.0 cm L=80.0 cm Ln=80.0 cm

Criterio : CLS_Pilastr-Esist - Verifica a presso-flessione deviata:rcm=189 [kg/cmq],fym=4200 [kg/cmq], FC=1.20

qd=2.5, qf=1.5 :Verificato

Piede	AfSpigolo = 2.54	Afy = 2.54	Afz = 2.54
Testa	AfSpigolo = 2.54	Afy = 2.54	Afz = 2.54

 $v_{max}=N/(fcd*A)=0.025 \leq 0.65$ [Comb. (22+23)-II-2(-)]

Zona	C.	N	My	Mz	Mry+	Mrz+	Mry-	Mrz-	CS
		kg	kg*m	kg*m	kg*m	kg*m	kg*m	kg*m	
Piede	(22+23)-II-2(-)	-4607	-299	-237	14056	14056	14056	14056	34
Testa	(22+23)-VI-3(+)	-79	-510	-69	13362	13362	13362	13362	26

Verifica a taglio

Dir	C.	MrSup	MrInf	T	Vrdns	Vrcd	Vrsd	Vrd	Ast/m	cot(θ)	Cs
		kg*m	kg*m	kg	kg	kg	kg	kg	cmq/m		
Y	(22+23)-VI-2	--	--	669	--	18618	26848	18618	10.05	2.500	28
Z	(22+23)-V-2	--	--	560	--	18511	26848	18511	10.05	2.500	33

Pilastro : 37 [819 , 825]

Sez. R: By= 40.0 cm Bz=40.0 cm L=300.0 cm Ln=300.0 cm

Criterio : CLS_Pilastr-Esist - Verifica a presso-flessione deviata:rcm=189 [kg/cmq],fym=4200 [kg/cmq], FC=1.20

qd=2.5, qf=1.5 :Verificato

Piede	AfSpigolo = 2.54	Afy = 2.54	Afz = 2.54
Testa	AfSpigolo = 2.54	Afy = 2.54	Afz = 2.54

 $v_{max}=N/(fcd*A)=0.021 \leq 0.65$ [Comb. (22+23)-II-2(+)]

Zona	C.	N	My	Mz	Mry+	Mrz+	Mry-	Mrz-	CS
		kg	kg*m	kg*m	kg*m	kg*m	kg*m	kg*m	
Piede	(22+23)-II-1(-)	-928	-593	14	13495	13495	13495	13495	28
Testa	(22+23)-VI-2(+)	-2398	-442	39	13723	13723	13723	13723	42

Verifica a taglio

Dir	C.	MrSup	MrInf	T	Vrdns	Vrcd	Vrsd	Vrd	Ast/m	cot(θ)	Cs
		kg*m	kg*m	kg	kg	kg	kg	kg	cmq/m		
Y	(22+23)-II-3	--	--	190	--	18031	10739	10739	4.02	2.500	57
Z	(22+23)-II-2	--	--	291	--	18515	10739	10739	4.02	2.500	37

Pilastro : 37 [825 , 38]

Sez. R: By= 40.0 cm Bz=40.0 cm L=80.0 cm Ln=80.0 cm

Criterio : CLS_Pilastr-Esist - Verifica a presso-flessione deviata:rcm=189 [kg/cmq],fym=4200 [kg/cmq], FC=1.20

qd=2.5, qf=1.5 :Verificato

Piede	AfSpigolo = 2.54	Afy = 2.54	Afz = 2.54
Testa	AfSpigolo = 2.54	Afy = 2.54	Afz = 2.54

 $v_{max}=N/(fcd*A)=0.02 \leq 0.65$ [Comb. (22+23)-I-2(+)]

Zona	C.	N	My	Mz	Mry+	Mrz+	Mry-	Mrz-	CS
		kg	kg*m	kg*m	kg*m	kg*m	kg*m	kg*m	
Piede	2(+)	-3259	-346	-68	13854	13854	13854	13854	43
Testa	2(+)	-4842	-1008	-125	14091	14091	14091	14091	18

Verifica a taglio

Dir	C.	MrSup	MrInf	T	Vrdns	Vrcd	Vrsd	Vrd	Ast/m	cot(θ)	Cs
		kg*m	kg*m	kg	kg	kg	kg	kg	cmq/m		
Y	(22+23)-V-4	--	--	530	--	18262	26848	18262	10.05	2.500	34
Z	(22+23)-II-2	--	--	948	--	18453	26848	18453	10.05	2.500	19

Pilastro : 41 [41 , 838]

Sez. R: $B_y = 40.0 \text{ cm}$ $B_z = 40.0 \text{ cm}$ $L = 80.0 \text{ cm}$ $L_n = 80.0 \text{ cm}$

Criterio : CLS_Pilastrini-Esist - Verifica a presso-flessione deviata:rcm=189 [kg/cmq],fym=4200 [kg/cmq], FC=1.20

qd=2.5, qf=1.5 : **Verificato**

Piede	AfSpigolo = 2.54	Afy = 2.54	Afz = 2.54
Testa	AfSpigolo = 2.54	Afy = 2.54	Afz = 2.54

$v_{\max} = N/(fcd \cdot A) = 0.127 \leq 0.65$ [Comb. (22+23)-II-3(+)]

Zona	C.	N	My	Mz	Mry+	Mrz+	Mry-	Mrz-	CS
		kg	kg*m	kg*m	kg*m	kg*m	kg*m	kg*m	
Piede	(22+23)-II-2(-)	11890	1811	226	11294	11294	11294	11294	3.3
Testa	(22+23)-II-2(-)	7529	589	126	12088	12088	12088	12088	6.7

Verifica a taglio

Dir	C.	MrSup	MrInf	T	Vrdns	Vrcd	Vrsd	Vrd	Ast/m	cot(θ)	Cs
		kg*m	kg*m	kg	kg	kg	kg	kg	cmq/m		
Y	(22+23)-II-3	--	--	2237	--	21352	26848	21352	10.05	2.500	9.5
Z	(22+23)-II-3	--	--	7895	--	21352	26848	21352	10.05	2.500	2.7

Pilastro : 41 [838 , 839]

Sez. R: $B_y = 40.0 \text{ cm}$ $B_z = 40.0 \text{ cm}$ $L = 300.0 \text{ cm}$ $L_n = 300.0 \text{ cm}$

Criterio : CLS_Pilastrini-Esist - Verifica a presso-flessione deviata:rcm=189 [kg/cmq],fym=4200 [kg/cmq], FC=1.20

qd=2.5, qf=1.5 : **Verificato**

Piede	AfSpigolo = 2.54	Afy = 2.54	Afz = 2.54
Testa	AfSpigolo = 2.54	Afy = 2.54	Afz = 2.54

$v_{\max} = N/(fcd \cdot A) = 0.083 \leq 0.65$ [Comb. (22+23)-VI-4(+)]

Zona	C.	N	My	Mz	Mry+	Mrz+	Mry-	Mrz-	CS
		kg	kg*m	kg*m	kg*m	kg*m	kg*m	kg*m	
Piede	(22+23)-II-2(-)	3397	768	17	12796	12796	12796	12796	9.6
Testa	(22+23)-VI-4(+)	-14837	-978	-291	15451	15451	15451	15451	11

Verifica a taglio

Dir	C.	MrSup	MrInf	T	Vrdns	Vrcd	Vrsd	Vrd	Ast/m	cot(θ)	Cs
		kg*m	kg*m	kg	kg	kg	kg	kg	cmq/m		
Y	(22+23)-V-4	--	--	940	--	19917	10739	10739	4.02	2.500	11
Z	(22+23)-VI-4	--	--	1576	--	20177	10739	10739	4.02	2.500	6.8

Pilastro : 41 [839 , 42]

Sez. R: $B_y = 40.0 \text{ cm}$ $B_z = 40.0 \text{ cm}$ $L = 80.0 \text{ cm}$ $L_n = 80.0 \text{ cm}$

Criterio : CLS_Pilastrini-Esist - Verifica a presso-flessione deviata:rcm=189 [kg/cmq],fym=4200 [kg/cmq], FC=1.20

qd=2.5, qf=1.5 : **Verificato**

Piede	AfSpigolo = 2.54	Afy = 2.54	Afz = 2.54
Testa	AfSpigolo = 2.54	Afy = 2.54	Afz = 2.54

$v_{\max} = N/(fcd \cdot A) = 0.125 \leq 0.65$ [Comb. (22+23)-V-4(-)]

Zona	C.	N	My	Mz	Mry+	Mrz+	Mry-	Mrz-	CS
		kg	kg*m	kg*m	kg*m	kg*m	kg*m	kg*m	
Piede	(22+23)-VI-4(-)	-18596	-724	-141	15903	15903	15903	15903	11
Testa	(22+23)-V-4(+)	-22322	13	-987	16318	16318	16318	16318	8.8

Verifica a taglio

Dir	C.	MrSup	MrInf	T	Vrdns	Vrcd	Vrsd	Vrd	Ast/m	cot(θ)	Cs
		kg*m	kg*m	kg	kg	kg	kg	kg	cmq/m		
Y	(22+23)-V-4	--	--	2868	--	21309	26848	21309	10.05	2.500	7.4
Z	(22+23)-VI-1	--	--	4847	--	18127	26848	18127	10.05	2.500	3.7

Pilastro : 41 [42 , 803]

Sez. R: $B_y = 40.0 \text{ cm}$ $B_z = 40.0 \text{ cm}$ $L = 218.7 \text{ cm}$ $L_n = 218.7 \text{ cm}$

Criterio : CLS_Pilastrini-Esist - Verifica a presso-flessione deviata:rcm=189 [kg/cmq],fym=4200 [kg/cmq], FC=1.20

qd=2.5, qf=1.5 : **Verificato**

Piede	AfSpigolo = 2.54	Afy = 0.00	Afz = 5.09
Testa	AfSpigolo = 2.54	Afy = 0.00	Afz = 5.09

$$v_{\max} = N / (fcd \cdot A) = 0.074 \leq 0.65 \quad [\text{Comb. (22+23)-I-3(-)}]$$

Zona	C.	N	My	Mz	Mry+	Mrz+	Mry-	Mrz-	CS
		kg	kg*m	kg*m	kg*m	kg*m	kg*m	kg*m	
Piede	(22+23)-V-4(-)	-11906	-569	-9490	13361	15755	13361	15755	1.8
Testa	(22+23)-V-4(+)	-11032	775	7719	13287	15603	13287	15603	2.3

Verifica a taglio

Dir	C.	MrSup	MrInf	T	Vrdns	Vrcd	Vrsd	Vrd	Ast/m	cot(θ)	Cs
		kg*m	kg*m	kg	kg	kg	kg	kg	cmq/m		
Y	(22+23)-V-4	--	--	12060	--	19733	26848	19733	10.05	2.500	1.6
Z	(22+23)-V-3	--	--	1077	--	19860	26848	19860	10.05	2.500	18

Verifica delle travi

Scenario di calcolo : **Scenario di calcolo N.T. 2018**

Simbologia:

L[cm] :Lunghezza teorica elemento (distanza tra i nodi)
 Ln[cm] :Lunghezza netta elemento (tiene conto dei conchi rigidi)
 Terreno :Nome della stratigrafia per travi Winkler
 L2,L3[cm] :Lunghezze libere di inflessione
 Sez. R :Sezione Rettangolare
 By[cm] :Larghezza (asse locale y)
 Bz[cm] :Larghezza (asse locale z)

Sez. T : Sezione a T (rovescia e non)
 Ba[cm] :Larghezza base inferiore
 Ha[cm] :Altezza inferiore
 Bs[cm] :Larghezza superiore
 Hs[cm] :Altezza superiore

Sez. L : Sezione ad L (rovescia e non)
 Ba[cm] :Larghezza base inferiore
 Ha[cm] :Altezza inferiore
 Bs[cm] :Larghezza superiore
 Hs[cm] :Altezza superiore

Sez. C : Sezione circolare
 R[cm] :Raggio

Criterio : Criterio di verifica adottato

Fatt.Ampl.Sisma = fattore moltiplicativo di gruppo per le azioni sismiche (solo se diverso da 1.0)

X[cm] : Punto di verifica

ILN : Inizio luce netta

CAMP : rappresenta il punto di massimo momento sia superiore che inferiore ad esclusione degli estremi

FLN :Fine luce netta

M-[kg*m]⁽¹⁾ : Momento negativo massimo di calcolo

N-[kg] : Sforzo normale corrispondente ad M-

M+[kg*m]⁽¹⁾ : Momento positivo massimo di calcolo

N+[kg] : Sforzo normale corrispondente ad M+

ΔM -[kg*m] : Incremento di M- per la traslazione del diagramma del momento a causa del taglio

ΔM + [kg*m] : Incremento di M+ per la traslazione del diagramma del momento a causa del taglio

Afs[cmq] : Area di ferro superiore

Afi[cmq] : Area di ferro inferiore

ϵ_{c-} : Deformazione nel cls per effetto di M-:N-(⁴)

ϵ_{c+} : Deformazione nel cls per effetto di M+:N+(⁴)

ϵ_{f-} : Deformazione nell'acciaio per effetto di M-:N-(⁴)

ϵ_{f+} : Deformazione nell'acciaio per effetto di M+:N+(⁴)

C- : Combinazione di carico generatore di M-:N-

C+ : Combinazione di carico generatore di M+:N+

x-[cm](⁵) : profondità asse neutro per la combinazione C-

d-[cm](⁶) : altezza utile della sezione per la combinazione C-

x+[cm](⁵) : profondità asse neutro per la combinazione C+

d+[cm](⁶) : altezza utile della sezione per la combinazione C+

Mr-[kg*m]: Momento resistente superiore

Mr+[kg*m]: Momento resistente inferiore

Stato-(⁷) : Stato della sezione per la combinazione C-

Stato+(⁷) : Stato della sezione per la combinazione C+

Comb: Combinazione di Carico individuata dal codice [C] se Comb è non sismica, ovvero [(Cx+Cy) Cm Sc] se Comb è sismica.

- C individua la Combinazione di Carico non sismica (1, 2, ecc. come da scenario);

- Cx individua la Combinazione di Carico sismica in direzione x (SismaX, come da scenario);

- Cy individua la Combinazione di Carico sismica in direzione y (SismaY, come da scenario);

- Cm individua la Combinazione spostamento masse (I, II, III, IV, V, ecc. come da Combinazioni sisma in

Spostamento masse impalcato);

- Sc individua la sottocombinazione ottenuta mediante la permutazione dei segni (1, 2, 3, 4, 5, 6, 7, 8):

1) Sc = + SismaZ*fz + SismaX*fx + SismaY*fy

2) Sc = + SismaZ*fz + SismaX*fx - SismaY*fy

3) Sc = + SismaZ*fz - SismaX*fx + SismaY*fy

4) Sc = + SismaZ*fz - SismaX*fx - SismaY*fy.

1) Sc = - SismaZ*fz + SismaX*fx + SismaY*fy

2) Sc = - SismaZ*fz + SismaX*fx - SismaY*fy

3) Sc = - SismaZ*fz - SismaX*fx + SismaY*fy

4) Sc = - SismaZ*fz - SismaX*fx - SismaY*fy.

- Quando non è richiesto il contributo del sisma in direzione Z le ultime quattro sono assenti

Le combinazioni delle azioni sismiche così ottenute vengono combinate con i carichi verticali (come da scenario).

Sez : Sezione di verifica [Sinistra/Destra]

Td[kg](²) : Taglio di verifica

VRdns[kg] : Resistenza a taglio in assenza di armature

VRcd[kg] : Resistenza taglio-compressione calcestruzzo

VRsd[kg] : Resistenza taglio-trazione acciaio

VRd[kg] : Resistenza a taglio =min(VRcd,VRsd)

VRd,f[kg] : Resistenza a taglio dovuta alla resistenza a trazione del calcestruzzo ad alte prestazioni (quando presente)(cfr. eq 4.2 CNR204/2006), oppure resistenza rinforzo composito (quando presente)(cfr. eq 4.19 CNR200/2013)

Mt[kg*m] : Momento torcente

Tpl[kg] : Taglio dovuto ai momenti resistenti alle estremità della trave

Mr[kg*m] : Momento resistente (ultimo) utilizzato per il calcolo di Tpl quando richiesto

Dx[cm] : Distanza dall'estremo da armare con staffe

Staffe[cmq] : Area delle staffe

cot(θ): cotangente teta secondo il punto 4.1.2.1.3 delle Norme Tecniche

F.Parete[cmq](³) : Area armatura longitudinale di parete

Cs : Coefficiente di sicurezza definito dal rapporto Fr/Fd (Fr=resistenza,Fd=azione)

ζ_E : Livello di sicurezza sismico definito come rapporto tra l'accelerazione sopportabile e l'accelerazione di progetto, quando richiesto dal criterio di verifica

rcm[kg/cm] = resistenza media calcestruzzo

fym[kg/cm] = resistenza media acciaio

FC = fattore di confidenza
qd = fattore di comportamento verifiche duttili
qf = fattore di comportamento verifiche fragili

Verifiche duttilità (quando richieste):

Zona : Sezione di verifica dell'elemento
Comb. : Combinazione di verifica
Nmax[kg] : Sforzo Normale massimo
Dir : Direzione di flessione (pilastri=Y o Z, travi =Z, pareti= ortogonale alla base)
Mry[kg*m] : Momento di snervamento corrispondente a Nmax
MrU[kg*m] : Momento ultimo (resistente) corrispondente a Nmax sulla sezione depurata del calcestruzzo non confinato, considerando il confinamento
 $\phi_y[1/m]$: Curvatura allo snervamento ($\phi_y = MrU/Mry * \phi'_y$)
 $\phi_u[1/m]$: Curvatura allo corrispondente a MrU
 μ : Capacità in duttilità della sezione
F.Conf : Fattore di confinamento adottato (= $f_{ck,c}/f_{ck}$)
 μ_d : Richiesta in duttilità della sezione
Cs : Livello di sicurezza ($Cs=\mu/\mu_d$)

Note Verifica travi:

(¹): il valore del momento di verifica è dato da $M + \Delta M$

(²): Td è il valore di verifica a taglio esso è calcolato in funzione della somma tra taglio da carichi verticali il valore di Tpl ovvero quando la trave è tozza amplificando il taglio di calcolo dovuto al sisma per il fattore di comportamento

(³): armatura necessaria per la sola verifica a torsione

(⁴): le deformazioni sono stampate a meno del fattore 10^{-3}

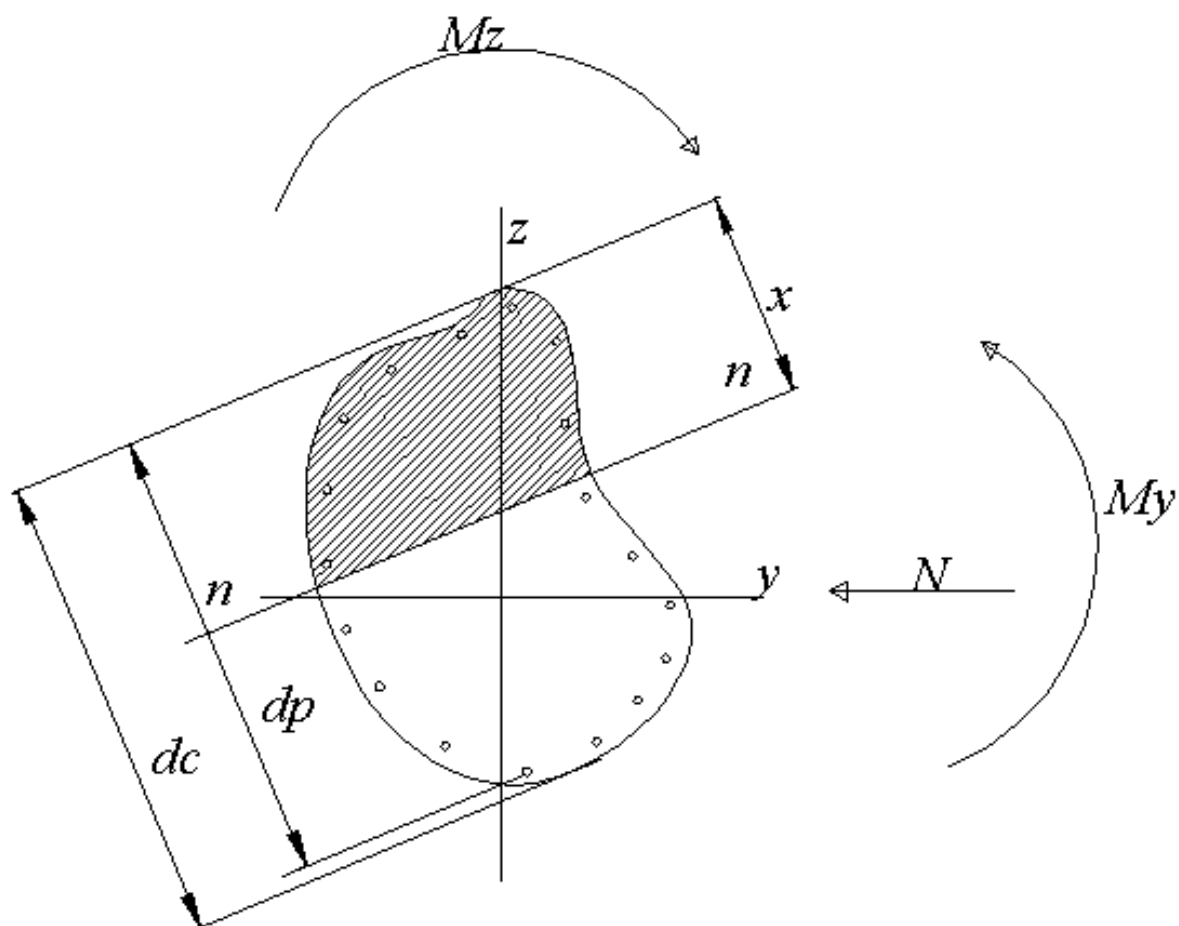
(⁵): distanza tra la fibra di cls compressa più lontana e l'asse neutro in direzione ortogonale all'asse neutro

(⁶): distanza tra le fibre sollecitate più lontane dall'asse neutro:

nel caso di sezione parzializzata le due fibre sono quella di cls compresso e quella dell'acciaio teso più lontane da n-n

nel caso di sezione completamente compressa le due fibre sono le due di cls compresso più lontane da n-n

(⁷): Indica lo stato della sezione se: completamente compressa (Compr.),completamente tesa (Tesa), parzializzata (Parz.)



$M_z=0$ per pressoflessione retta e z asse di simmetria
 $d = d_p$ per sezione parzializzata
 $d = d_c$ per sezione completamente compressa ($x \geq d_c$)

Schema geometrico verifica della sezione

Trave : 101 [2 , 804] Pilastrate [12 , -]

Sez. R: $B_y = 40.0 \text{ cm}$ $B_z = 60.0 \text{ cm}$ $L = 95.0 \text{ cm}$ $L_n = 75.0 \text{ cm}$

Criterio : CLS_TraviAlte_Esist - Verifica a flessione $r_{cm} = 135 \text{ [kg/cmq]}$, $f_{ym} = 4200 \text{ [kg/cmq]}$, $FC = 1.20$ $q_d = 2.5$, $q_f = 1.5$

::Verificato

X	M-	M+	$\Delta M-$	$\Delta M+$	Afs	Afi	Mr-	Mr+	C-	C+	CS
cm	kg*m	kg*m	kg*m	kg*m	cmq	cmq	kg*m	kg*m			
ILN	978	1374	--	--	9.42	6.28	19047	12770	(22+23)-III-4	(22+23)-III-1	9.3
7.5	928	1307	--	--	9.42	6.28	19047	12770	(22+23)-III-4	(22+23)-III-1	9.8
CAMP	1293	1559	--	--	9.42	6.28	19047	12770	(22+23)-I-4	(22+23)-I-1	8.2
67.5	1297	1583	--	--	9.42	6.28	19047	12770	(22+23)-I-4	(22+23)-I-1	8.1
FLN	1316	1595	--	--	9.42	6.28	19047	12770	(22+23)-I-4	(22+23)-I-1	8.0

X	x-	d-	x-/d-	x+	d+	x+/d+	Mr-	Mr+	C-	C+	Stato-	Stato+
---	----	----	-------	----	----	-------	-----	-----	----	----	--------	--------

X	x-	d-	x-/d-	x+	d+	x+/d+	Mr-	Mr+	C-	C+	Stato-	Stato+
cm	cm	cm		cm	cm		kg*m	kg*m				
ILN	18.8	59.0	0.319	14.4	59.0	0.244	19047	12770	(22+23)-III-4	(22+23)-III-1	Parz.	Parz.
7.5	18.8	59.0	0.319	14.4	59.0	0.243	19047	12770	(22+23)-III-4	(22+23)-III-1	Parz.	Parz.
CAMP	18.9	59.0	0.320	14.4	59.0	0.244	19047	12770	(22+23)-I-4	(22+23)-I-1	Parz.	Parz.
67.5	18.9	59.0	0.320	14.4	59.0	0.244	19047	12770	(22+23)-I-4	(22+23)-I-1	Parz.	Parz.
FLN	18.9	59.0	0.320	14.4	59.0	0.244	19047	12770	(22+23)-I-4	(22+23)-I-1	Parz.	Parz.

Verifica a taglio: $\cot(\theta) = 2.500$

Comb =(22+23)-V-2

Sez	Td	VRdns	VRcd	VRsd	VRd	Tpl	Mr	Dx	Staffe	CS
	kg	kg	kg	kg	kg	kg	kg*m	cm	cmq/m	
Sin	2972	--	19377	40617	19377	0	12770	75.0	10.05	6.5
Des							19047			

Trave : 101 [804 , 806] Pilastrate [- , -]

Sez. R: By= 40.0 cm Bz=60.0 cm L=400.0 cm Ln=400.0 cm

Criterio : CLS_TraviAlte_Esist - Verifica a flessione $r_{cm}=135$ [kg/cm²], $f_{ym}=4200$ [kg/cm²], FC=1.20 qd=2.5, qf=1.5

::Verificato

X	M-	M+	ΔM-	ΔM+	Afs	Afi	Mr-	Mr+	C-	C+	CS
cm	kg*m	kg*m	kg*m	kg*m	cmq	cmq	kg*m	kg*m			
ILN	1189	1592	--	--	9.42	6.28	19047	12770	(22+23)-III-3	(22+23)-III-2	8.0
40.0	571	1914	--	--	9.42	6.28	19047	12770	(22+23)-III-3	(22+23)-III-2	6.7
CAMP	--	2031	--	--	9.42	6.28	19047	12770	20	2	6.3
360.0	1600	925	--	--	9.42	6.28	19047	12770	(22+23)-III-2	(22+23)-III-3	12
FLN	2166	421	--	--	9.42	6.28	19047	12770	(22+23)-I-1	(22+23)-I-4	8.8

X	x-	d-	x-/d-	x+	d+	x+/d+	Mr-	Mr+	C-	C+	Stato-	Stato+
cm	cm	cm		cm	cm		kg*m	kg*m				
ILN	18.8	59.0	0.319	14.4	59.0	0.244	19047	12770	(22+23)-III-3	(22+23)-III-2	Parz.	Parz.
40.0	18.8	59.0	0.319	14.4	59.0	0.244	19047	12770	(22+23)-III-3	(22+23)-III-2	Parz.	Parz.
CAMP	--	--	--	14.4	59.0	0.244	19047	12770	20	2	--	Parz.
360.0	18.9	59.0	0.320	14.4	59.0	0.243	19047	12770	(22+23)-III-2	(22+23)-III-3	Parz.	Parz.
FLN	18.9	59.0	0.320	14.3	59.0	0.243	19047	12770	(22+23)-I-1	(22+23)-I-4	Parz.	Parz.

Verifica a taglio: $\cot(\theta)$ Sin=2.500, $\cot(\theta)$ Cen=2.500, $\cot(\theta)$ Des=2.500

Comb Sin=3 Cen=(22+23)-III-1 Des=3

Sez	Td	VRdns	VRcd	VRsd	VRd	Tpl	Mr	Dx	Staffe	CS
	kg	kg	kg	kg	kg	kg	kg*m	cm	cmq/m	
Sin	2636	--	19377	40617	19377	0	12770	60.0	10.05	7.4
Cen	1849	--	19377	16247	16247	--	--	--	4.02	8.8
Des	2867	--	19377	40617	19377	0	19047	60.0	10.05	6.8

Trave : 101 [806 , 4] Pilastrate [- , 14]

Sez. R: By= 40.0 cm Bz=60.0 cm L=95.0 cm Ln=115.0 cm

Criterio : CLS_TraviAlte_Esist - Verifica a flessione $r_{cm}=135$ [kg/cm²], $f_{ym}=4200$ [kg/cm²], FC=1.20 qd=2.5, qf=1.5

::Verificato

X	M-	M+	ΔM-	ΔM+	Afs	Afi	Mr-	Mr+	C-	C+	CS
cm	kg*m	kg*m	kg*m	kg*m	cmq	cmq	kg*m	kg*m			
ILN	2244	363	--	--	9.42	6.28	19047	12770	(22+23)-III-2	(22+23)-III-3	8.5
11.5	2091	300	--	--	9.42	6.28	19047	12770	(22+23)-III-2	(22+23)-III-3	9.1
CAMP	1971	206	--	--	9.42	6.28	19047	12770	(22+23)-III-2	(22+23)-III-3	9.7
103.5	1045	--	--	--	9.42	6.28	19047	12770	(22+23)-I-1	(22+23)-I-4	18
FLN	1030	--	--	--	9.42	6.28	19047	12770	(22+23)-VII-1	(22+23)-VII-4	18

X	x-	d-	x-/d-	x+	d+	x+/d+	Mr-	Mr+	C-	C+	Stato-	Stato+
cm	cm	cm		cm	cm		kg*m	kg*m				
ILN	18.9	59.0	0.320	14.3	59.0	0.243	19047	12770	(22+23)-III-2	(22+23)-III-3	Parz.	Parz.

X	x-	d-	x-/d-	x+	d+	x+/d+	Mr-	Mr+	C-	C+	Stato-	Stato+
11.5	18.9	59.0	0.320	14.3	59.0	0.243	19047	12770	(22+23)-III-2	(22+23)-III-3	Parz.	Parz.
CAMP	18.9	59.0	0.320	14.3	59.0	0.243	19047	12770	(22+23)-III-2	(22+23)-III-3	Parz.	Parz.
103.5	18.8	59.0	0.319	--	--	--	19047	12770	(22+23)-I-1	(22+23)-I-4	Parz.	--
FLN	18.8	59.0	0.319	--	--	--	19047	12770	(22+23)-VII-1	(22+23)-VII-4	Parz.	--

Verifica a taglio: $\cot(\theta) = 2.500$

Comb =(22+23)-III-2

Sez	Td	VRdns	VRcd	VRsd	VRd	Tpl	Mr	Dx	Staffe	CS
	kg	kg	kg	kg	kg	kg	kg*m	cm	cmq/m	
Sin	2610	--	19377	42754	19377	0	12770	115.0	10.58	7.4
Des							19047			

Trave : 101 [4 , 815] Pilastrate [14 , -]

Sez. R: By= 40.0 cm Bz=60.0 cm L=130.0 cm Ln=110.0 cm

Criterio : CLS_TraviAlte_Esist - Verifica a flessione $r_{cm}=135$ [kg/cmq], $f_{ym}=4200$ [kg/cmq], $FC=1.20$ $q_d=2.5$, $q_f=1.5$

::Verificato

X	M-	M+	$\Delta M-$	$\Delta M+$	Afs	Afi	Mr-	Mr+	C-	C+	CS
cm	kg*m	kg*m	kg*m	kg*m	cmq	cmq	kg*m	kg*m			
ILN	1441	90	--	--	9.42	6.28	19047	12770	(22+23)-III-3	(22+23)-III-2	13
11.0	1332	82	--	--	9.42	6.28	19047	12770	(22+23)-III-4	(22+23)-III-1	14
CAMP	2299	833	--	--	9.42	6.28	19047	12770	(22+23)-III-4	(22+23)-III-1	8.3
99.0	2443	918	--	--	9.42	6.28	19047	12770	(22+23)-III-4	(22+23)-III-1	7.8
FLN	2617	975	--	--	9.42	6.28	19047	12770	(22+23)-III-4	(22+23)-III-1	7.3

X	x-	d-	x-/d-	x+	d+	x+/d+	Mr-	Mr+	C-	C+	Stato-	Stato+
cm	cm	cm		cm	cm		kg*m	kg*m				
ILN	18.9	59.0	0.320	14.3	59.0	0.243	19047	12770	(22+23)-III-3	(22+23)-III-2	Parz.	Parz.
11.0	18.9	59.0	0.320	14.3	59.0	0.243	19047	12770	(22+23)-III-4	(22+23)-III-1	Parz.	Parz.
CAMP	18.9	59.0	0.320	14.4	59.0	0.243	19047	12770	(22+23)-III-4	(22+23)-III-1	Parz.	Parz.
99.0	18.9	59.0	0.320	14.4	59.0	0.243	19047	12770	(22+23)-III-4	(22+23)-III-1	Parz.	Parz.
FLN	18.9	59.0	0.321	14.4	59.0	0.243	19047	12770	(22+23)-III-4	(22+23)-III-1	Parz.	Parz.

Verifica a taglio: $\cot(\theta) = 2.500$

Comb =(22+23)-VIII-3

Sez	Td	VRdns	VRcd	VRsd	VRd	Tpl	Mr	Dx	Staffe	CS
	kg	kg	kg	kg	kg	kg	kg*m	cm	cmq/m	
Sin	2616	--	19377	40617	19377	0	12770	110.0	10.05	7.4
Des							19047			

Trave : 101 [815 , 816] Pilastrate [- , -]

Sez. R: By= 40.0 cm Bz=60.0 cm L=400.0 cm Ln=400.0 cm

Criterio : CLS_TraviAlte_Esist - Verifica a flessione $r_{cm}=135$ [kg/cmq], $f_{ym}=4200$ [kg/cmq], $FC=1.20$ $q_d=2.5$, $q_f=1.5$

::Verificato

X	M-	M+	$\Delta M-$	$\Delta M+$	Afs	Afi	Mr-	Mr+	C-	C+	CS
cm	kg*m	kg*m	kg*m	kg*m	cmq	cmq	kg*m	kg*m			
ILN	2278	1028	--	--	12.57	6.28	24947	12770	(22+23)-III-4	(22+23)-III-1	11
40.0	1782	1436	--	--	12.57	6.28	24947	12770	(22+23)-III-4	(22+23)-III-1	8.9
CAMP	--	1688	--	--	6.28	6.28	12768	12768	20	(22+23)-III-4	7.6
360.0	1570	1679	--	--	6.28	6.28	12768	12768	(22+23)-III-1	(22+23)-III-4	7.6
FLN	2212	1289	--	--	9.42	6.28	19047	12770	(22+23)-III-1	(22+23)-III-4	8.6

X	x-	d-	x-/d-	x+	d+	x+/d+	Mr-	Mr+	C-	C+	Stato-	Stato+
cm	cm	cm		cm	cm		kg*m	kg*m				
ILN	21.5	59.0	0.364	13.3	59.0	0.225	24947	12770	(22+23)-III-4	(22+23)-III-1	Parz.	Parz.
40.0	21.4	59.0	0.363	13.3	59.0	0.225	24947	12770	(22+23)-III-4	(22+23)-III-1	Parz.	Parz.
CAMP	--	--	--	15.6	59.0	0.264	12768	12768	20	(22+23)-III-4	--	Parz.
360.0	15.6	59.0	0.264	15.6	59.0	0.264	12768	12768	(22+23)-III-1	(22+23)-III-4	Parz.	Parz.

X	x-	d-	x-/d-	x+	d+	x+/d+	Mr-	Mr+	C-	C+	Stato-	Stato+
FLN	18.9	59.0	0.320	14.4	59.0	0.243	19047	12770	(22+23)-III-1	(22+23)-III-4	Parz.	Parz.

Verifica a taglio: $\cot(\theta) \sin = 2.500, \cot(\theta) \cos = 2.500$

Comb $\sin = 3 \cos = 3$

Sez	Td	VRdns	VRcd	VRsd	VRd	Tpl	Mr	Dx	Staffe	CS
	kg	kg	kg	kg	kg	kg	kg*m	cm	cmq/m	
Sin	2552	--	19377	40617	19377	0	24947	200.0	10.05	7.6
Des	2822	--	19377	16247	16247	0	12770	200.0	4.02	5.8

Trave : 101 [816 , 16] Pilastrate [- , 15]

Sez. R: $B_y = 40.0 \text{ cm}$ $B_z = 60.0 \text{ cm}$ $L = 130.0 \text{ cm}$ $L_n = 150.0 \text{ cm}$

Criterio : CLS_TraviAlte_Esist - Verifica a flessione $r_{cm} = 135 \text{ [kg/cmq]}$, $f_{ym} = 4200 \text{ [kg/cmq]}$, $FC = 1.20$ $q_d = 2.5$, $q_f = 1.5$

::Verificato

X	M-	M+	$\Delta M-$	$\Delta M+$	Afs	Afi	Mr-	Mr+	C-	C+	CS
cm	kg*m	kg*m	kg*m	kg*m	cmq	cmq	kg*m	kg*m			
ILN	2112	1081	--	--	9.42	6.28	19047	12770	(22+23)-III-1	(22+23)-III-4	9.0
15.0	1982	971	--	--	9.42	6.28	19047	12770	(22+23)-III-1	(22+23)-III-4	9.6
CAMP	1909	1086	--	--	9.42	6.28	19047	12770	(22+23)-III-1	(22+23)-III-3	10.0
135.0	1700	1288	--	--	9.42	6.28	19047	12770	(22+23)-III-2	(22+23)-III-3	9.9
FLN	1906	1441	--	--	9.42	6.28	19047	12770	(22+23)-III-2	(22+23)-III-3	8.9

X	x-	d-	x-/d-	x+	d+	x+/d+	Mr-	Mr+	C-	C+	Stato-	Stato+
cm	cm	cm		cm	cm		kg*m	kg*m				
ILN	18.9	59.0	0.320	14.4	59.0	0.243	19047	12770	(22+23)-III-1	(22+23)-III-4	Parz.	Parz.
15.0	18.9	59.0	0.320	14.4	59.0	0.243	19047	12770	(22+23)-III-1	(22+23)-III-4	Parz.	Parz.
CAMP	18.9	59.0	0.320	14.4	59.0	0.243	19047	12770	(22+23)-III-1	(22+23)-III-3	Parz.	Parz.
135.0	18.9	59.0	0.320	14.4	59.0	0.243	19047	12770	(22+23)-III-2	(22+23)-III-3	Parz.	Parz.
FLN	18.9	59.0	0.320	14.4	59.0	0.244	19047	12770	(22+23)-III-2	(22+23)-III-3	Parz.	Parz.

Verifica a taglio: $\cot(\theta) \sin = 2.500, \cot(\theta) \cos = 2.500$

Comb $\sin = (22+23)\text{-III-3}$ $\cos = (22+23)\text{-III-3}$

Sez	Td	VRdns	VRcd	VRsd	VRd	Tpl	Mr	Dx	Staffe	CS
	kg	kg	kg	kg	kg	kg	kg*m	cm	cmq/m	
Sin	2010	--	19377	16247	16247	0	12770	75.0	4.02	8.1
Des	2427	--	19377	40617	19377	0	19047	75.0	10.05	8.0

Trave : 103 [851 , 852] Pilastrate [- , -]

Sez. R: $B_y = 40.0 \text{ cm}$ $B_z = 60.0 \text{ cm}$ $L = 400.0 \text{ cm}$ $L_n = 400.0 \text{ cm}$

Criterio : CLS_TraviAlte_Esist - Verifica a flessione $r_{cm} = 135 \text{ [kg/cmq]}$, $f_{ym} = 4200 \text{ [kg/cmq]}$, $FC = 1.20$ $q_d = 2.5$, $q_f = 1.5$

::Verificato

X	M-	M+	$\Delta M-$	$\Delta M+$	Afs	Afi	Mr-	Mr+	C-	C+	CS
cm	kg*m	kg*m	kg*m	kg*m	cmq	cmq	kg*m	kg*m			
ILN	5368	3881	--	--	9.42	6.28	19047	12770	(22+23)-V-3	(22+23)-V-2	3.3
40.0	4155	4343	--	--	9.42	6.28	19047	12770	(22+23)-V-3	(22+23)-V-2	2.9
CAMP	3625	4142	--	--	6.28	6.28	12768	12768	(22+23)-VII-4	(22+23)-VII-1	3.1
360.0	3413	3420	--	--	6.28	6.28	12768	12768	(22+23)-V-1	(22+23)-V-4	3.7
FLN	4506	2796	--	--	6.28	6.28	12768	12768	(22+23)-VII-1	(22+23)-VII-4	2.8

X	x-	d-	x-/d-	x+	d+	x+/d+	Mr-	Mr+	C-	C+	Stato-	Stato+
cm	cm	cm		cm	cm		kg*m	kg*m				
ILN	19.0	59.0	0.323	14.4	59.0	0.245	19047	12770	(22+23)-V-3	(22+23)-V-2	Parz.	Parz.
40.0	19.0	59.0	0.322	14.5	59.0	0.245	19047	12770	(22+23)-V-3	(22+23)-V-2	Parz.	Parz.
CAMP	15.7	59.0	0.266	15.7	59.0	0.266	12768	12768	(22+23)-VII-4	(22+23)-VII-1	Parz.	Parz.
360.0	15.7	59.0	0.265	15.7	59.0	0.265	12768	12768	(22+23)-V-1	(22+23)-V-4	Parz.	Parz.
FLN	15.7	59.0	0.266	15.6	59.0	0.265	12768	12768	(22+23)-VII-1	(22+23)-VII-4	Parz.	Parz.

Verifica a taglio: $\cot(\theta) \sin=2.500, \cot(\theta) \cos=2.500$

Comb Sin=3 Des=3

Sez	Td	VRdns	VRcd	VRsd	VRd	Tpl	Mr	Dx	Staffe	CS
	kg	kg	kg	kg	kg	kg	kg*m	cm	cmq/m	
Sin	4781	--	19377	40617	19377	0	19047	200.0	10.05	4.1
Des	4892	--	19377	16287	16287	0	12768	200.0	4.03	3.3

Trave : 103 [852 , 8] Pilastrate [- , 7]

Sez. R: By= 40.0 cm Bz=60.0 cm L=125.0 cm Ln=145.0 cm

Criterio : CLS_TraviAlte_Esist - Verifica a flessione $r_{cm}=135$ [kg/cm²], $f_{ym}=4200$ [kg/cm²], FC=1.20 qd=2.5, qf=1.5

::Verificato

X	M-	M+	ΔM-	ΔM+	Afs	Afi	Mr-	Mr+	C-	C+	CS
cm	kg*m	kg*m	kg*m	kg*m	cmq	cmq	kg*m	kg*m			
ILN	4465	2550	--	--	6.28	6.28	12768	12768	(22+23)-VII-1	(22+23)-VII-4	2.9
14.5	4136	2305	--	--	6.28	6.28	12768	12768	(22+23)-VII-1	(22+23)-VII-4	3.1
CAMP	3910	1983	--	--	6.28	6.28	12768	12768	(22+23)-VII-1	(22+23)-VII-4	3.3
130.5	2632	1322	--	--	9.42	6.28	19047	12770	(22+23)-VII-1	(22+23)-VII-4	7.2
FLN	2886	1521	--	--	9.42	6.28	19047	12770	(22+23)-VII-1	(22+23)-VII-4	6.6

X	x-	d-	x-/d-	x+	d+	x+/d+	Mr-	Mr+	C-	C+	Stato-	Stato+
cm	cm	cm		cm	cm		kg*m	kg*m				
ILN	15.7	59.0	0.266	15.6	59.0	0.265	12768	12768	(22+23)-VII-1	(22+23)-VII-4	Parz.	Parz.
14.5	15.7	59.0	0.266	15.6	59.0	0.265	12768	12768	(22+23)-VII-1	(22+23)-VII-4	Parz.	Parz.
CAMP	15.7	59.0	0.266	15.6	59.0	0.264	12768	12768	(22+23)-VII-1	(22+23)-VII-4	Parz.	Parz.
130.5	18.9	59.0	0.321	14.4	59.0	0.243	19047	12770	(22+23)-VII-1	(22+23)-VII-4	Parz.	Parz.
FLN	18.9	59.0	0.321	14.4	59.0	0.244	19047	12770	(22+23)-VII-1	(22+23)-VII-4	Parz.	Parz.

Verifica a taglio: $\cot(\theta) \sin=2.500, \cot(\theta) \cos=2.500$

Comb Sin=(22+23)-VII-3 Des=(22+23)-VII-4

Sez	Td	VRdns	VRcd	VRsd	VRd	Tpl	Mr	Dx	Staffe	CS
	kg	kg	kg	kg	kg	kg	kg*m	cm	cmq/m	
Sin	4112	--	19377	16287	16287	0	12768	72.5	4.03	4.0
Des	3313	--	19377	40617	19377	0	19047	72.5	10.05	5.8

Trave : 103 [8 , 857] Pilastrate [7 , -]

Sez. R: By= 40.0 cm Bz=60.0 cm L=130.0 cm Ln=110.0 cm

Criterio : CLS_TraviAlte_Esist - Verifica a flessione $r_{cm}=135$ [kg/cm²], $f_{ym}=4200$ [kg/cm²], FC=1.20 qd=2.5, qf=1.5

::Verificato

X	M-	M+	ΔM-	ΔM+	Afs	Afi	Mr-	Mr+	C-	C+	CS
cm	kg*m	kg*m	kg*m	kg*m	cmq	cmq	kg*m	kg*m			
ILN	3494	3554	--	--	9.42	12.57	19147	25424	(22+23)-V-4	(22+23)-V-1	5.5
11.0	3247	2855	--	--	9.42	12.57	19147	25424	(22+23)-V-4	(22+23)-V-1	5.9
CAMP	4819	2894	--	--	9.42	12.57	19147	25424	(22+23)-VII-3	(22+23)-VII-2	4.0
99.0	4929	2939	--	--	9.42	12.57	19147	25424	(22+23)-VII-3	(22+23)-VII-2	3.9
FLN	5095	2937	--	--	9.42	12.57	19147	25424	(22+23)-VII-3	(22+23)-VII-2	3.8

X	x-	d-	x-/d-	x+	d+	x+/d+	Mr-	Mr+	C-	C+	Stato-	Stato+
cm	cm	cm		cm	cm		kg*m	kg*m				
ILN	16.6	59.0	0.281	20.3	59.0	0.344	19147	25424	(22+23)-V-4	(22+23)-V-1	Parz.	Parz.
11.0	16.6	59.0	0.281	20.3	59.0	0.344	19147	25424	(22+23)-V-4	(22+23)-V-1	Parz.	Parz.
CAMP	16.6	59.0	0.282	20.3	59.0	0.344	19147	25424	(22+23)-VII-3	(22+23)-VII-2	Parz.	Parz.
99.0	16.6	59.0	0.282	20.3	59.0	0.344	19147	25424	(22+23)-VII-3	(22+23)-VII-2	Parz.	Parz.
FLN	16.6	59.0	0.282	20.3	59.0	0.344	19147	25424	(22+23)-VII-3	(22+23)-VII-2	Parz.	Parz.

Verifica a taglio: $\cot(\theta) = 2.500$

Comb =(22+23)-V-2

Sez	Td	VRdns	VRcd	VRsd	VRd	Tpl	Mr	Dx	Staffe	CS
	kg	kg	kg	kg	kg	kg	kg*m	cm	cmq/m	

Sez	Td	VRdns	VRcd	VRsd	VRd	Tpl	Mr	Dx	Staffe	CS
Sin	9800	--	19377	40617	19377	0	25424	110.0	10.05	2.0
Des							19147			

Trave : 103 [857 , 859] Pilastrate [- , -]

Sez. R: By= 40.0 cm Bz=60.0 cm L=400.0 cm Ln=400.0 cm

Criterio : CLS_TraviAlte_Esist - Verifica a flessione rcm=135 [kg/cm²],fym=4200 [kg/cm²], FC=1.20 qd=2.5, qf=1.5

::Verificato

X	M-	M+	ΔM-	ΔM+	Afs	Afi	Mr-	Mr+	C-	C+	CS
cm	kg*m	kg*m	kg*m	kg*m	cmq	cmq	kg*m	kg*m			
ILN	4614	2924	--	--	12.57	6.28	24947	12770	(22+23)-VII-3	(22+23)-VII-2	4.4
40.0	3541	3441	--	--	12.57	6.28	24947	12770	(22+23)-VII-3	(22+23)-VII-2	3.7
CAMP	3338	3320	--	--	6.28	6.28	12768	12768	(22+23)-VII-2	(22+23)-VII-3	3.8
360.0	3641	3296	--	--	6.28	6.28	12768	12768	(22+23)-VII-2	(22+23)-VII-3	3.5
FLN	4651	2601	--	--	6.28	6.28	12768	12768	(22+23)-VII-2	(22+23)-VII-3	2.7

X	x-	d-	x-/d-	x+	d+	x+/d+	Mr-	Mr+	C-	C+	Stato-	Stato+
cm	cm	cm		cm	cm		kg*m	kg*m				
ILN	21.6	59.0	0.366	13.3	59.0	0.226	24947	12770	(22+23)-VII-3	(22+23)-VII-2	Parz.	Parz.
40.0	21.5	59.0	0.365	13.3	59.0	0.226	24947	12770	(22+23)-VII-3	(22+23)-VII-2	Parz.	Parz.
CAMP	15.7	59.0	0.265	15.7	59.0	0.265	12768	12768	(22+23)-VII-2	(22+23)-VII-3	Parz.	Parz.
360.0	15.7	59.0	0.266	15.7	59.0	0.265	12768	12768	(22+23)-VII-2	(22+23)-VII-3	Parz.	Parz.
FLN	15.7	59.0	0.266	15.6	59.0	0.265	12768	12768	(22+23)-VII-2	(22+23)-VII-3	Parz.	Parz.

Verifica a taglio:cot(θ) Sin=2.500,cot(θ) Des=2.500

Comb Sin=3 Des=3

Sez	Td	VRdns	VRcd	VRsd	VRd	Tpl	Mr	Dx	Staffe	CS
	kg	kg	kg	kg	kg	kg	kg*m	cm	cmq/m	
Sin	4651	--	19377	40617	19377	0	24947	200.0	10.05	4.2
Des	4890	--	19377	16247	16247	0	12768	200.0	4.02	3.3

Trave : 103 [859 , 18] Pilastrate [- , 17]

Sez. R: By= 40.0 cm Bz=60.0 cm L=130.0 cm Ln=150.0 cm

Criterio : CLS_TraviAlte_Esist - Verifica a flessione rcm=135 [kg/cm²],fym=4200 [kg/cm²], FC=1.20 qd=2.5, qf=1.5

::Verificato

X	M-	M+	ΔM-	ΔM+	Afs	Afi	Mr-	Mr+	C-	C+	CS
cm	kg*m	kg*m	kg*m	kg*m	cmq	cmq	kg*m	kg*m			
ILN	4627	2411	--	--	6.28	6.28	12768	12768	(22+23)-VII-2	(22+23)-VII-3	2.8
15.0	4240	2164	--	--	6.28	6.28	12768	12768	(22+23)-VII-2	(22+23)-VII-3	3.0
CAMP	3954	1826	--	--	6.28	6.28	12768	12768	(22+23)-VII-2	(22+23)-VII-3	3.2
135.0	2658	1809	--	--	12.57	6.28	24947	12770	(22+23)-V-1	(22+23)-V-4	7.1
FLN	2958	2133	--	--	12.57	6.28	24947	12770	(22+23)-V-1	(22+23)-V-4	6.0

X	x-	d-	x-/d-	x+	d+	x+/d+	Mr-	Mr+	C-	C+	Stato-	Stato+
cm	cm	cm		cm	cm		kg*m	kg*m				
ILN	15.7	59.0	0.266	15.6	59.0	0.265	12768	12768	(22+23)-VII-2	(22+23)-VII-3	Parz.	Parz.
15.0	15.7	59.0	0.266	15.6	59.0	0.265	12768	12768	(22+23)-VII-2	(22+23)-VII-3	Parz.	Parz.
CAMP	15.7	59.0	0.266	15.6	59.0	0.264	12768	12768	(22+23)-VII-2	(22+23)-VII-3	Parz.	Parz.
135.0	21.5	59.0	0.364	13.3	59.0	0.226	24947	12770	(22+23)-V-1	(22+23)-V-4	Parz.	Parz.
FLN	21.5	59.0	0.364	13.3	59.0	0.226	24947	12770	(22+23)-V-1	(22+23)-V-4	Parz.	Parz.

Verifica a taglio:cot(θ) Sin=2.500,cot(θ) Des=2.500

Comb Sin=(22+23)-VII-2 Des=(22+23)-VII-4

Sez	Td	VRdns	VRcd	VRsd	VRd	Tpl	Mr	Dx	Staffe	CS
	kg	kg	kg	kg	kg	kg	kg*m	cm	cmq/m	
Sin	4163	--	19377	16247	16247	0	12768	75.0	4.02	3.9
Des	4451	--	19377	40617	19377	0	24947	75.0	10.05	4.4

Trave : 103 [18 , 868] Pilastrate [17 , -]

Sez. R: By= 40.0 cm Bz=60.0 cm L=155.0 cm Ln=135.0 cm

Criterio : CLS_TraviAlte_Esist - Verifica a flessione rcm=135 [kg/cm²],fym=4200 [kg/cm²], FC=1.20 qd=2.5, qf=1.5

::Verificato

X	M-	M+	ΔM-	ΔM+	Afs	Afi	Mr-	Mr+	C-	C+	CS
cm	kg*m	kg*m	kg*m	kg*m	cmq	cmq	kg*m	kg*m			
ILN	2790	3920	--	--	9.42	6.28	19047	12770	(22+23)-V-4	(22+23)-V-1	3.3
13.5	2554	2936	--	--	9.42	6.28	19047	12770	(22+23)-V-4	(22+23)-V-1	4.3
CAMP	4698	2642	--	--	9.42	6.28	19047	12770	(22+23)-VII-4	(22+23)-VII-1	4.1
121.5	4970	2789	--	--	6.28	6.28	12768	12768	(22+23)-VII-4	(22+23)-VII-1	2.6
FLN	5288	2892	--	--	6.28	6.28	12768	12768	(22+23)-VII-4	(22+23)-VII-1	2.4

X	x-	d-	x-/d-	x+	d+	x+/d+	Mr-	Mr+	C-	C+	Stato-	Stato+
cm	cm	cm		cm	cm		kg*m	kg*m				
ILN	18.9	59.0	0.321	14.4	59.0	0.245	19047	12770	(22+23)-V-4	(22+23)-V-1	Parz.	Parz.
13.5	18.9	59.0	0.321	14.4	59.0	0.244	19047	12770	(22+23)-V-4	(22+23)-V-1	Parz.	Parz.
CAMP	19.0	59.0	0.322	14.4	59.0	0.244	19047	12770	(22+23)-VII-4	(22+23)-VII-1	Parz.	Parz.
121.5	15.7	59.0	0.267	15.6	59.0	0.265	12768	12768	(22+23)-VII-4	(22+23)-VII-1	Parz.	Parz.
FLN	15.7	59.0	0.267	15.6	59.0	0.265	12768	12768	(22+23)-VII-4	(22+23)-VII-1	Parz.	Parz.

Verifica a taglio:cot(θ) Sin=2.500,cot(θ) Des=2.500

Comb Sin=(22+23)-VII-2 Des=(22+23)-VII-4

Sez	Td	VRdns	VRcd	VRsd	VRd	Tpl	Mr	Dx	Staffe	CS
	kg	kg	kg	kg	kg	kg	kg*m	cm	cmq/m	
Sin	10649	--	19377	41658	19377	0	19047	67.5	10.31	1.8
Des	3469	--	19377	16444	16444	0	12768	67.5	4.07	4.7

Trave : 103 [868 , 870] Pilastrate [- , -]

Sez. R: By= 40.0 cm Bz=60.0 cm L=400.0 cm Ln=400.0 cm

Criterio : CLS_TraviAlte_Esist - Verifica a flessione rcm=135 [kg/cm²],fym=4200 [kg/cm²], FC=1.20 qd=2.5, qf=1.5

::Verificato

X	M-	M+	ΔM-	ΔM+	Afs	Afi	Mr-	Mr+	C-	C+	CS
cm	kg*m	kg*m	kg*m	kg*m	cmq	cmq	kg*m	kg*m			
ILN	4802	2863	--	--	6.28	6.28	12768	12768	(22+23)-VII-4	(22+23)-VII-1	2.7
40.0	4150	3168	--	--	6.28	6.28	12768	12768	(22+23)-VII-4	(22+23)-VII-1	3.1
CAMP	3897	3184	--	--	6.28	6.28	12768	12768	(22+23)-VII-4	(22+23)-V-3	3.3
360.0	3356	3934	--	--	6.28	6.28	12768	12768	(22+23)-VII-1	(22+23)-VII-4	3.2
FLN	4022	3610	--	--	6.28	6.28	12768	12768	(22+23)-VII-1	(22+23)-VII-4	3.2

X	x-	d-	x-/d-	x+	d+	x+/d+	Mr-	Mr+	C-	C+	Stato-	Stato+
cm	cm	cm		cm	cm		kg*m	kg*m				
ILN	15.7	59.0	0.266	15.6	59.0	0.265	12768	12768	(22+23)-VII-4	(22+23)-VII-1	Parz.	Parz.
40.0	15.7	59.0	0.266	15.7	59.0	0.265	12768	12768	(22+23)-VII-4	(22+23)-VII-1	Parz.	Parz.
CAMP	15.7	59.0	0.266	15.7	59.0	0.265	12768	12768	(22+23)-VII-4	(22+23)-V-3	Parz.	Parz.
360.0	15.7	59.0	0.265	15.7	59.0	0.266	12768	12768	(22+23)-VII-1	(22+23)-VII-4	Parz.	Parz.
FLN	15.7	59.0	0.266	15.7	59.0	0.266	12768	12768	(22+23)-VII-1	(22+23)-VII-4	Parz.	Parz.

Verifica a taglio:cot(θ) =2.500

Comb =(22+23)-VII-4

Sez	Td	VRdns	VRcd	VRsd	VRd	Tpl	Mr	Dx	Staffe	CS
	kg	kg	kg	kg	kg	kg	kg*m	cm	cmq/m	
Sin	2882	--	19377	16444	16444	0	12768	400.0	4.07	5.7
Des							12768			

Trave : 103 [870 , 26] Pilastrate [- , 25]

Sez. R: By= 40.0 cm Bz=60.0 cm L=155.0 cm Ln=155.0 cm

Criterio : CLS_TraviAlte_Esist - Verifica a flessione rcm=135 [kg/cm²],fym=4200 [kg/cm²], FC=1.20 qd=2.5, qf=1.5

::Verificato

X	M-	M+	ΔM-	ΔM+	Afs	Afi	Mr-	Mr+	C-	C+	CS
cm	kg*m	kg*m	kg*m	kg*m	cmq	cmq	kg*m	kg*m			
ILN	4044	3438	--	--	6.28	6.28	12768	12768	(22+23)-VII-1	(22+23)-VII-4	3.2
15.5	3753	3154	--	--	6.28	6.28	12768	12768	(22+23)-VII-1	(22+23)-VII-4	3.4
CAMP	3522	2811	--	--	12.57	6.28	24947	12770	(22+23)-VII-1	(22+23)-VII-4	4.5
139.5	2885	3123	--	--	12.57	6.28	24947	12770	(22+23)-V-1	(22+23)-V-4	4.1
FLN	3443	4047	--	--	12.57	6.28	24947	12770	(22+23)-V-1	(22+23)-V-4	3.2

X	x-	d-	x-/d-	x+	d+	x+/d+	Mr-	Mr+	C-	C+	Stato-	Stato+
cm	cm	cm		cm	cm		kg*m	kg*m				
ILN	15.7	59.0	0.266	15.7	59.0	0.265	12768	12768	(22+23)-VII-1	(22+23)-VII-4	Parz.	Parz.
15.5	15.7	59.0	0.266	15.7	59.0	0.265	12768	12768	(22+23)-VII-1	(22+23)-VII-4	Parz.	Parz.
CAMP	21.5	59.0	0.365	13.3	59.0	0.226	24947	12770	(22+23)-VII-1	(22+23)-VII-4	Parz.	Parz.
139.5	21.5	59.0	0.364	13.3	59.0	0.226	24947	12770	(22+23)-V-1	(22+23)-V-4	Parz.	Parz.
FLN	21.5	59.0	0.365	13.4	59.0	0.226	24947	12770	(22+23)-V-1	(22+23)-V-4	Parz.	Parz.

Verifica a taglio: $\cot(\theta) \sin = 2.500, \cot(\theta) \cos = 2.500$

Comb $\sin = (22+23)-V-4$ $\cos = (22+23)-V-4$

Sez	Td	VRdns	VRcd	VRsd	VRd	Tpl	Mr	Dx	Staffe	CS
	kg	kg	kg	kg	kg	kg	kg*m	cm	cmq/m	
Sin	4330	--	19377	16444	16444	0	12768	77.5	4.07	3.8
Des	9325	--	19377	41658	19377	0	24947	77.5	10.31	2.1

Trave : 103 [26 , 901] Pilastrate [25 , -]

Sez. R: $B_y = 40.0 \text{ cm}$ $B_z = 60.0 \text{ cm}$ $L = 155.0 \text{ cm}$ $L_n = 155.0 \text{ cm}$

Criterio : CLS_TraviAlte_Esist - Verifica a flessione $r_{cm} = 135 \text{ [kg/cmq]}$, $f_{ym} = 4200 \text{ [kg/cmq]}$, $FC = 1.20$ $q_d = 2.5$, $q_f = 1.5$

::Verificato

X	M-	M+	ΔM-	ΔM+	Afs	Afi	Mr-	Mr+	C-	C+	CS
cm	kg*m	kg*m	kg*m	kg*m	cmq	cmq	kg*m	kg*m			
ILN	3318	4222	--	--	12.57	6.28	24947	12770	(22+23)-VII-3	(22+23)-VII-2	3.0
15.5	2789	3240	--	--	12.57	6.28	24947	12770	(22+23)-VII-3	(22+23)-VII-2	3.9
CAMP	3395	2392	--	--	6.28	6.28	12768	12768	(22+23)-VII-4	(22+23)-VII-1	3.8
139.5	3582	2656	--	--	6.28	6.28	12768	12768	(22+23)-VII-4	(22+23)-VII-1	3.6
FLN	3829	2861	--	--	6.28	6.28	12768	12768	(22+23)-VII-4	(22+23)-VII-1	3.3

X	x-	d-	x-/d-	x+	d+	x+/d+	Mr-	Mr+	C-	C+	Stato-	Stato+
cm	cm	cm		cm	cm		kg*m	kg*m				
ILN	21.5	59.0	0.365	13.4	59.0	0.227	24947	12770	(22+23)-VII-3	(22+23)-VII-2	Parz.	Parz.
15.5	21.5	59.0	0.364	13.3	59.0	0.226	24947	12770	(22+23)-VII-3	(22+23)-VII-2	Parz.	Parz.
CAMP	15.7	59.0	0.265	15.6	59.0	0.265	12768	12768	(22+23)-VII-4	(22+23)-VII-1	Parz.	Parz.
139.5	15.7	59.0	0.266	15.6	59.0	0.265	12768	12768	(22+23)-VII-4	(22+23)-VII-1	Parz.	Parz.
FLN	15.7	59.0	0.266	15.6	59.0	0.265	12768	12768	(22+23)-VII-4	(22+23)-VII-1	Parz.	Parz.

Verifica a taglio: $\cot(\theta) \sin = 2.500, \cot(\theta) \cos = 2.500$

Comb $\sin = (22+23)-VII-2$ $\cos = (22+23)-III-1$

Sez	Td	VRdns	VRcd	VRsd	VRd	Tpl	Mr	Dx	Staffe	CS
	kg	kg	kg	kg	kg	kg	kg*m	cm	cmq/m	
Sin	9783	--	19377	41467	19377	0	24947	77.5	10.26	2.0
Des	2761	--	19377	16368	16368	0	12768	77.5	4.05	5.9

Trave : 103 [901 , 903] Pilastrate [- , -]

Sez. R: $B_y = 40.0 \text{ cm}$ $B_z = 60.0 \text{ cm}$ $L = 403.0 \text{ cm}$ $L_n = 403.0 \text{ cm}$

Criterio : CLS_TraviAlte_Esist - Verifica a flessione $r_{cm} = 135 \text{ [kg/cmq]}$, $f_{ym} = 4200 \text{ [kg/cmq]}$, $FC = 1.20$ $q_d = 2.5$, $q_f = 1.5$

::Verificato

X	M-	M+	ΔM-	ΔM+	Afs	Afi	Mr-	Mr+	C-	C+	CS
cm	kg*m	kg*m	kg*m	kg*m	cmq	cmq	kg*m	kg*m			
ILN	3759	3039	--	--	6.28	6.28	12768	12768	(22+23)-VII-3	(22+23)-VII-2	3.4

X	M-	M+	ΔM-	ΔM+	Afs	Afi	Mr-	Mr+	C-	C+	CS
40.3	3069	3377	--	--	6.28	6.28	12768	12768	(22+23)-VII-3	(22+23)-VII-2	3.8
CAMP	3174	3313	--	--	6.28	6.28	12768	12768	(22+23)-VII-2	(22+23)-VII-1	3.9
362.7	3477	3029	--	--	6.28	6.28	12768	12768	(22+23)-VII-2	(22+23)-VII-3	3.7
FLN	4183	2654	--	--	9.42	6.28	19047	12770	(22+23)-VII-1	(22+23)-VII-4	4.6

X	x-	d-	x-/d-	x+	d+	x+/d+	Mr-	Mr+	C-	C+	Stato-	Stato+
cm	cm	cm		cm	cm		kg*m	kg*m				
ILN	15.7	59.0	0.266	15.6	59.0	0.265	12768	12768	(22+23)-VII-3	(22+23)-VII-2	Parz.	Parz.
40.3	15.6	59.0	0.265	15.7	59.0	0.265	12768	12768	(22+23)-VII-3	(22+23)-VII-2	Parz.	Parz.
CAMP	15.7	59.0	0.265	15.7	59.0	0.265	12768	12768	(22+23)-VII-2	(22+23)-VII-1	Parz.	Parz.
362.7	15.7	59.0	0.266	15.6	59.0	0.265	12768	12768	(22+23)-VII-2	(22+23)-VII-3	Parz.	Parz.
FLN	19.0	59.0	0.322	14.4	59.0	0.244	19047	12770	(22+23)-VII-1	(22+23)-VII-4	Parz.	Parz.

Verifica a taglio: $\cot(\theta) = 2.500$

Comb = 3

Sez	Td	VRdns	VRcd	VRsd	VRd	Tpl	Mr	Dx	Staffe	CS
	kg	kg	kg	kg	kg	kg	kg*m	cm	cmq/m	
Sin	2910	--	19377	16368	16368	0	12768	403.0	4.05	5.6
Des							19047			

Trave : 103 [903 , 34] Pilastrate [- , 2]

Sez. R: By= 40.0 cm Bz=60.0 cm L=155.0 cm Ln=135.0 cm

Criterio : CLS_TraviAlte_Esist - Verifica a flessione $r_{cm}=135$ [kg/cm²], $f_{ym}=4200$ [kg/cm²], $FC=1.20$ $q_d=2.5$, $q_f=1.5$

::Verificato

X	M-	M+	ΔM-	ΔM+	Afs	Afi	Mr-	Mr+	C-	C+	CS
cm	kg*m	kg*m	kg*m	kg*m	cmq	cmq	kg*m	kg*m			
ILN	4487	2609	--	--	9.42	6.28	19047	12770	(22+23)-VII-2	(22+23)-VII-3	4.2
13.5	4340	2518	--	--	9.42	6.28	19047	12770	(22+23)-VII-2	(22+23)-VII-3	4.4
CAMP	4241	3001	--	--	9.42	6.28	19047	12770	(22+23)-VII-2	(22+23)-VII-4	4.3
121.5	4596	4401	--	--	9.42	6.28	19047	12770	(22+23)-V-1	(22+23)-V-4	2.9
FLN	5499	5759	--	--	9.42	6.28	19047	12770	(22+23)-V-1	(22+23)-V-4	2.2

X	x-	d-	x-/d-	x+	d+	x+/d+	Mr-	Mr+	C-	C+	Stato-	Stato+
cm	cm	cm		cm	cm		kg*m	kg*m				
ILN	19.0	59.0	0.322	14.4	59.0	0.244	19047	12770	(22+23)-VII-2	(22+23)-VII-3	Parz.	Parz.
13.5	19.0	59.0	0.322	14.4	59.0	0.244	19047	12770	(22+23)-VII-2	(22+23)-VII-3	Parz.	Parz.
CAMP	19.0	59.0	0.322	14.4	59.0	0.244	19047	12770	(22+23)-VII-2	(22+23)-VII-4	Parz.	Parz.
121.5	19.0	59.0	0.322	14.5	59.0	0.245	19047	12770	(22+23)-V-1	(22+23)-V-4	Parz.	Parz.
FLN	19.0	59.0	0.323	14.5	59.0	0.246	19047	12770	(22+23)-V-1	(22+23)-V-4	Parz.	Parz.

Verifica a taglio: $\cot(\theta)$ Sin=2.500, $\cot(\theta)$ Des=2.500

Comb Sin=(22+23)-V-4 Des=(22+23)-V-4

Sez	Td	VRdns	VRcd	VRsd	VRd	Tpl	Mr	Dx	Staffe	CS
	kg	kg	kg	kg	kg	kg	kg*m	cm	cmq/m	
Sin	10764	--	19377	16368	16368	0	12770	67.5	4.05	1.5
Des	15560	--	19377	41467	19377	0	19047	67.5	10.26	1.2

Trave : 104 [12 , 889] Pilastrate [4 , -]

Sez. R: By= 40.0 cm Bz=60.0 cm L=130.0 cm Ln=110.0 cm

Criterio : CLS_TraviAlte_Esist - Verifica a flessione $r_{cm}=135$ [kg/cm²], $f_{ym}=4200$ [kg/cm²], $FC=1.20$ $q_d=2.5$, $q_f=1.5$

::Verificato

X	M-	M+	ΔM-	ΔM+	Afs	Afi	Mr-	Mr+	C-	C+	CS
cm	kg*m	kg*m	kg*m	kg*m	cmq	cmq	kg*m	kg*m			
ILN	1848	--	--	--	9.42	6.28	19047	12770	(22+23)-VII-4	(22+23)-VII-1	10
11.0	1517	--	--	--	9.42	6.28	19047	12770	(22+23)-VII-4	(22+23)-VII-1	13
CAMP	1741	572	--	--	9.42	6.28	19047	12770	(22+23)-V-4	(22+23)-V-1	11
99.0	1795	645	--	--	9.42	6.28	19047	12770	(22+23)-V-4	(22+23)-V-1	11

X	M-	M+	$\Delta M-$	$\Delta M+$	Afs	Afi	Mr-	Mr+	C-	C+	CS
FLN	1881	689	--	--	9.42	6.28	19047	12770	(22+23)-V-4	(22+23)-V-1	10

X	x-	d-	x-/d-	x+	d+	x+/d+	Mr-	Mr+	C-	C+	Stato-	Stato+
cm	cm	cm		cm	cm		kg*m	kg*m				
ILN	18.9	59.0	0.320	--	--	--	19047	12770	(22+23)-VII-4	(22+23)-VII-1	Parz.	--
11.0	18.9	59.0	0.320	--	--	--	19047	12770	(22+23)-VII-4	(22+23)-VII-1	Parz.	--
CAMP	18.9	59.0	0.320	14.3	59.0	0.243	19047	12770	(22+23)-V-4	(22+23)-V-1	Parz.	Parz.
99.0	18.9	59.0	0.320	14.3	59.0	0.243	19047	12770	(22+23)-V-4	(22+23)-V-1	Parz.	Parz.
FLN	18.9	59.0	0.320	14.3	59.0	0.243	19047	12770	(22+23)-V-4	(22+23)-V-1	Parz.	Parz.

Verifica a taglio: $\cot(\theta) = 2.500$

Comb = (22+23)-V-4

Sez	Td	VRdns	VRcd	VRsd	VRd	Tpl	Mr	Dx	Staffe	CS
	kg	kg	kg	kg	kg	kg	kg*m	cm	cmq/m	
Sin	4132	--	19377	40617	19377	0	12770	110.0	10.05	4.7
Des							19047			

Trave : 104 [889 , 891] Pilastrate [- , -]

Sez. R: $B_y = 40.0 \text{ cm}$ $B_z = 60.0 \text{ cm}$ $L = 400.0 \text{ cm}$ $L_n = 400.0 \text{ cm}$

Criterio : CLS_TraviAlte_Esist - Verifica a flessione $r_{cm} = 135 \text{ [kg/cm]}$, $f_{ym} = 4200 \text{ [kg/cm]}$, $FC = 1.20$ $q_d = 2.5$, $q_f = 1.5$

::Verificato

X	M-	M+	$\Delta M-$	$\Delta M+$	Afs	Afi	Mr-	Mr+	C-	C+	CS
cm	kg*m	kg*m	kg*m	kg*m	cmq	cmq	kg*m	kg*m			
ILN	1704	755	--	--	9.42	6.28	19047	12770	(22+23)-V-4	(22+23)-V-1	11
40.0	1161	1163	--	--	9.42	6.28	19047	12770	(22+23)-V-4	(22+23)-V-1	11
CAMP	--	1414	--	--	6.28	6.28	12768	12768	20	2	9.0
360.0	1321	996	--	--	6.28	6.28	12768	12768	(22+23)-V-1	(22+23)-V-4	9.7
FLN	1853	540	--	--	6.28	6.28	12768	12768	(22+23)-V-1	(22+23)-V-4	6.9

X	x-	d-	x-/d-	x+	d+	x+/d+	Mr-	Mr+	C-	C+	Stato-	Stato+
cm	cm	cm		cm	cm		kg*m	kg*m				
ILN	18.9	59.0	0.320	14.3	59.0	0.243	19047	12770	(22+23)-V-4	(22+23)-V-1	Parz.	Parz.
40.0	18.8	59.0	0.319	14.4	59.0	0.243	19047	12770	(22+23)-V-4	(22+23)-V-1	Parz.	Parz.
CAMP	--	--	--	15.6	59.0	0.264	12768	12768	20	2	--	Parz.
360.0	15.6	59.0	0.264	15.6	59.0	0.264	12768	12768	(22+23)-V-1	(22+23)-V-4	Parz.	Parz.
FLN	15.6	59.0	0.264	15.5	59.0	0.263	12768	12768	(22+23)-V-1	(22+23)-V-4	Parz.	Parz.

Verifica a taglio: $\cot(\theta)$ Sin=2.500, $\cot(\theta)$ Des=2.500

Comb Sin=3 Des=3

Sez	Td	VRdns	VRcd	VRsd	VRd	Tpl	Mr	Dx	Staffe	CS
	kg	kg	kg	kg	kg	kg	kg*m	cm	cmq/m	
Sin	2672	--	19377	40617	19377	0	19047	200.0	10.05	7.3
Des	2745	--	19377	16247	16247	0	12768	200.0	4.02	5.9

Trave : 104 [891 , 20] Pilastrate [- , 5]

Sez. R: $B_y = 40.0 \text{ cm}$ $B_z = 60.0 \text{ cm}$ $L = 130.0 \text{ cm}$ $L_n = 150.0 \text{ cm}$

Criterio : CLS_TraviAlte_Esist - Verifica a flessione $r_{cm} = 135 \text{ [kg/cm]}$, $f_{ym} = 4200 \text{ [kg/cm]}$, $FC = 1.20$ $q_d = 2.5$, $q_f = 1.5$

::Verificato

X	M-	M+	$\Delta M-$	$\Delta M+$	Afs	Afi	Mr-	Mr+	C-	C+	CS
cm	kg*m	kg*m	kg*m	kg*m	cmq	cmq	kg*m	kg*m			
ILN	1917	446	--	--	6.28	6.28	12768	12768	(22+23)-VII-1	(22+23)-VII-4	6.7
15.0	1720	380	--	--	6.28	6.28	12768	12768	(22+23)-VII-1	(22+23)-VII-4	7.4
CAMP	1579	260	--	--	6.28	6.28	12768	12768	(22+23)-VII-1	(22+23)-VII-4	8.1
135.0	752	93	--	--	12.57	6.28	24947	12770	(22+23)-V-2	(22+23)-V-3	33
FLN	880	123	--	--	12.57	6.28	24947	12770	(22+23)-V-2	(22+23)-V-3	28

X	x-	d-	x-/d-	x+	d+	x+/d+	Mr-	Mr+	C-	C+	Stato-	Stato+
cm	cm	cm		cm	cm		kg*m	kg*m				
ILN	15.6	59.0	0.264	15.5	59.0	0.263	12768	12768	(22+23)-VII-1	(22+23)-VII-4	Parz.	Parz.
15.0	15.6	59.0	0.264	15.5	59.0	0.263	12768	12768	(22+23)-VII-1	(22+23)-VII-4	Parz.	Parz.
CAMP	15.6	59.0	0.264	15.5	59.0	0.263	12768	12768	(22+23)-VII-1	(22+23)-VII-4	Parz.	Parz.
135.0	21.4	59.0	0.363	13.3	59.0	0.225	24947	12770	(22+23)-V-2	(22+23)-V-3	Parz.	Parz.
FLN	21.4	59.0	0.363	13.3	59.0	0.225	24947	12770	(22+23)-V-2	(22+23)-V-3	Parz.	Parz.

Verifica a taglio: $\cot(\theta) \sin=2.500, \cot(\theta) \cos=2.500$

Comb Sin=(22+23)-VII-1 Des=(22+23)-VII-2

Sez	Td	VRdns	VRcd	VRsd	VRd	Tpl	Mr	Dx	Staffe	CS
	kg	kg	kg	kg	kg	kg	kg*m	cm	cmq/m	
Sin	2234	--	19377	16247	16247	0	12768	75.0	4.02	7.3
Des	1745	--	19377	40617	19377	0	24947	75.0	10.05	11

Trave : 104 [20 , 893] Pilastrate [5 , -]

Sez. R: $B_y=40.0 \text{ cm}$ $B_z=60.0 \text{ cm}$ $L=155.0 \text{ cm}$ $L_n=135.0 \text{ cm}$

Criterio : CLS_TraviAlte_Esist - Verifica a flessione $r_{cm}=135 \text{ [kg/cmq]}$, $f_{ym}=4200 \text{ [kg/cmq]}$, $FC=1.20$ $q_d=2.5$, $q_f=1.5$

::Verificato

X	M-	M+	$\Delta M-$	$\Delta M+$	Afs	Afi	Mr-	Mr+	C-	C+	CS
cm	kg*m	kg*m	kg*m	kg*m	cmq	cmq	kg*m	kg*m			
ILN	952	411	--	--	12.57	6.28	24947	12770	(22+23)-VII-4	(22+23)-VII-1	26
13.5	813	315	--	--	12.57	6.28	24947	12770	(22+23)-VII-3	(22+23)-VII-2	31
CAMP	1698	778	--	--	12.57	6.28	24947	12770	(22+23)-VII-3	(22+23)-VII-2	15
121.5	1821	888	--	--	6.28	6.28	12768	12768	(22+23)-VII-3	(22+23)-VII-2	7.0
FLN	1991	954	--	--	6.28	6.28	12768	12768	(22+23)-VII-3	(22+23)-VII-2	6.4

X	x-	d-	x-/d-	x+	d+	x+/d+	Mr-	Mr+	C-	C+	Stato-	Stato+
cm	cm	cm		cm	cm		kg*m	kg*m				
ILN	21.4	59.0	0.363	13.3	59.0	0.225	24947	12770	(22+23)-VII-4	(22+23)-VII-1	Parz.	Parz.
13.5	21.4	59.0	0.363	13.3	59.0	0.225	24947	12770	(22+23)-VII-3	(22+23)-VII-2	Parz.	Parz.
CAMP	21.4	59.0	0.363	13.3	59.0	0.225	24947	12770	(22+23)-VII-3	(22+23)-VII-2	Parz.	Parz.
121.5	15.6	59.0	0.264	15.6	59.0	0.264	12768	12768	(22+23)-VII-3	(22+23)-VII-2	Parz.	Parz.
FLN	15.6	59.0	0.264	15.6	59.0	0.264	12768	12768	(22+23)-VII-3	(22+23)-VII-2	Parz.	Parz.

Verifica a taglio: $\cot(\theta) \sin=2.500, \cot(\theta) \cos=2.500$

Comb Sin=(22+23)-VII-1 Des=(22+23)-VIII-3

Sez	Td	VRdns	VRcd	VRsd	VRd	Tpl	Mr	Dx	Staffe	CS
	kg	kg	kg	kg	kg	kg	kg*m	cm	cmq/m	
Sin	2065	--	19377	41658	19377	0	24947	67.5	10.31	9.4
Des	2130	--	19377	16444	16444	0	12768	67.5	4.07	7.7

Trave : 104 [893 , 894] Pilastrate [- , -]

Sez. R: $B_y=40.0 \text{ cm}$ $B_z=60.0 \text{ cm}$ $L=400.0 \text{ cm}$ $L_n=400.0 \text{ cm}$

Criterio : CLS_TraviAlte_Esist - Verifica a flessione $r_{cm}=135 \text{ [kg/cmq]}$, $f_{ym}=4200 \text{ [kg/cmq]}$, $FC=1.20$ $q_d=2.5$, $q_f=1.5$

::Verificato

X	M-	M+	$\Delta M-$	$\Delta M+$	Afs	Afi	Mr-	Mr+	C-	C+	CS
cm	kg*m	kg*m	kg*m	kg*m	cmq	cmq	kg*m	kg*m			
ILN	1776	1023	--	--	6.28	6.28	12768	12768	(22+23)-VII-3	(22+23)-VII-2	7.2
40.0	1256	1455	--	--	6.28	6.28	12768	12768	(22+23)-VII-3	(22+23)-VII-2	8.8
CAMP	--	1493	--	--	6.28	6.28	12768	12768	20	(22+23)-VII-2	8.6
360.0	1567	1104	--	--	6.28	6.28	12768	12768	(22+23)-VII-2	(22+23)-VII-3	8.1
FLN	2081	677	--	--	6.28	6.28	12768	12768	(22+23)-VII-2	(22+23)-VII-3	6.1

X	x-	d-	x-/d-	x+	d+	x+/d+	Mr-	Mr+	C-	C+	Stato-	Stato+
cm	cm	cm		cm	cm		kg*m	kg*m				
ILN	15.6	59.0	0.264	15.6	59.0	0.264	12768	12768	(22+23)-VII-3	(22+23)-VII-2	Parz.	Parz.
40.0	15.6	59.0	0.264	15.6	59.0	0.264	12768	12768	(22+23)-VII-3	(22+23)-VII-2	Parz.	Parz.

X	x-	d-	x-/d-	x+	d+	x+/d+	Mr-	Mr+	C-	C+	Stato-	Stato+
CAMP	--	--	--	15.6	59.0	0.264	12768	12768	20	(22+23)-VII-2	--	Parz.
360.0	15.6	59.0	0.264	15.6	59.0	0.264	12768	12768	(22+23)-VII-2	(22+23)-VII-3	Parz.	Parz.
FLN	15.6	59.0	0.264	15.5	59.0	0.263	12768	12768	(22+23)-VII-2	(22+23)-VII-3	Parz.	Parz.

Verifica a taglio: $\cot(\theta) = 2.500$

Comb = 3

Sez	Td	VRdns	VRcd	VRsd	VRd	Tpl	Mr	Dx	Staffe	CS
	kg	kg	kg	kg	kg	kg	kg*m	cm	cmq/m	
Sin	2674	--	19377	16444	16444	0	12768	400.0	4.07	6.1
Des							12768			

Trave : 104 [894 , 28] Pilastrate [- , 6]

Sez. R: $B_y = 40.0 \text{ cm}$ $B_z = 60.0 \text{ cm}$ $L = 155.0 \text{ cm}$ $L_n = 155.0 \text{ cm}$

Criterio : CLS_TraviAlte_Esist - Verifica a flessione $r_{cm} = 135 \text{ [kg/cm]}$, $f_{ym} = 4200 \text{ [kg/cm]}$, $FC = 1.20$ $q_d = 2.5$, $q_f = 1.5$

:: Verificato

X	M-	M+	$\Delta M-$	$\Delta M+$	Afs	Afi	Mr-	Mr+	C-	C+	CS
cm	kg*m	kg*m	kg*m	kg*m	cmq	cmq	kg*m	kg*m			
ILN	2207	491	--	--	6.28	6.28	12768	12768	(22+23)-VII-2	(22+23)-VII-3	5.8
15.5	1966	452	--	--	6.28	6.28	12768	12768	(22+23)-VII-2	(22+23)-VII-3	6.5
CAMP	1785	355	--	--	12.57	6.28	24947	12770	(22+23)-VII-2	(22+23)-VII-3	14
139.5	902	200	--	--	12.57	6.28	24947	12770	(22+23)-VII-2	(22+23)-VII-3	28
FLN	1123	276	--	--	12.57	6.28	24947	12770	(22+23)-VII-2	(22+23)-VII-3	22

X	x-	d-	x-/d-	x+	d+	x+/d+	Mr-	Mr+	C-	C+	Stato-	Stato+
cm	cm	cm		cm	cm		kg*m	kg*m				
ILN	15.6	59.0	0.265	15.5	59.0	0.263	12768	12768	(22+23)-VII-2	(22+23)-VII-3	Parz.	Parz.
15.5	15.6	59.0	0.264	15.5	59.0	0.263	12768	12768	(22+23)-VII-2	(22+23)-VII-3	Parz.	Parz.
CAMP	21.4	59.0	0.363	13.3	59.0	0.225	24947	12770	(22+23)-VII-2	(22+23)-VII-3	Parz.	Parz.
139.5	21.4	59.0	0.363	13.3	59.0	0.225	24947	12770	(22+23)-VII-2	(22+23)-VII-3	Parz.	Parz.
FLN	21.4	59.0	0.363	13.3	59.0	0.225	24947	12770	(22+23)-VII-2	(22+23)-VII-3	Parz.	Parz.

Verifica a taglio: $\cot(\theta) \text{ Sin} = 2.500$, $\cot(\theta) \text{ Des} = 2.500$

Comb Sin = (22+23)-VII-1 Des = (22+23)-VI-2

Sez	Td	VRdns	VRcd	VRsd	VRd	Tpl	Mr	Dx	Staffe	CS
	kg	kg	kg	kg	kg	kg	kg*m	cm	cmq/m	
Sin	2308	--	19377	16444	16444	0	12768	77.5	4.07	7.1
Des	2531	--	19377	41658	19377	0	24947	77.5	10.31	7.7

Trave : 104 [28 , 897] Pilastrate [6 , -]

Sez. R: $B_y = 40.0 \text{ cm}$ $B_z = 60.0 \text{ cm}$ $L = 155.0 \text{ cm}$ $L_n = 155.0 \text{ cm}$

Criterio : CLS_TraviAlte_Esist - Verifica a flessione $r_{cm} = 135 \text{ [kg/cm]}$, $f_{ym} = 4200 \text{ [kg/cm]}$, $FC = 1.20$ $q_d = 2.5$, $q_f = 1.5$

:: Verificato

X	M-	M+	$\Delta M-$	$\Delta M+$	Afs	Afi	Mr-	Mr+	C-	C+	CS
cm	kg*m	kg*m	kg*m	kg*m	cmq	cmq	kg*m	kg*m			
ILN	1110	260	--	--	12.57	6.28	24947	12770	(22+23)-VII-4	(22+23)-VII-1	22
15.5	889	178	--	--	12.57	6.28	24947	12770	(22+23)-VII-3	(22+23)-VII-2	28
CAMP	1782	170	--	--	12.57	6.28	24947	12770	(22+23)-V-3	(22+23)-V-2	14
139.5	1951	251	--	--	6.28	6.28	12768	12768	(22+23)-V-3	(22+23)-V-2	6.5
FLN	2181	276	--	--	6.28	6.28	12768	12768	(22+23)-V-3	(22+23)-V-2	5.9

X	x-	d-	x-/d-	x+	d+	x+/d+	Mr-	Mr+	C-	C+	Stato-	Stato+
cm	cm	cm		cm	cm		kg*m	kg*m				
ILN	21.4	59.0	0.363	13.3	59.0	0.225	24947	12770	(22+23)-VII-4	(22+23)-VII-1	Parz.	Parz.
15.5	21.4	59.0	0.363	13.3	59.0	0.225	24947	12770	(22+23)-VII-3	(22+23)-VII-2	Parz.	Parz.
CAMP	21.4	59.0	0.363	13.3	59.0	0.225	24947	12770	(22+23)-V-3	(22+23)-V-2	Parz.	Parz.
139.5	15.6	59.0	0.264	15.5	59.0	0.263	12768	12768	(22+23)-V-3	(22+23)-V-2	Parz.	Parz.
FLN	15.6	59.0	0.265	15.5	59.0	0.263	12768	12768	(22+23)-V-3	(22+23)-V-2	Parz.	Parz.

Verifica a taglio: $\cot(\theta)$ Sin=2.500, $\cot(\theta)$ Des=2.500

Comb Sin=(22+23)-VIII-4 Des=(22+23)-V-3

Sez	Td	VRdns	VRcd	VRsd	VRd	Tpl	Mr	Dx	Staffe	CS
	kg	kg	kg	kg	kg	kg	kg*m	cm	cmq/m	
Sin	2572	--	19377	41467	19377	0	24947	77.5	10.26	7.5
Des	2303	--	19377	16368	16368	0	12768	77.5	4.05	7.1

Trave : 104 [897 , 899] Pilastrate [- , -]

Sez. R: By= 40.0 cm Bz=60.0 cm L=403.0 cm Ln=403.0 cm

Criterio : CLS_TraviAlte_Esist - Verifica a flessione $r_{cm}=135$ [kg/cm²], $f_{ym}=4200$ [kg/cm²], FC=1.20 qd=2.5, qf=1.5

::Verificato

X	M-	M+	$\Delta M-$	$\Delta M+$	Afs	Afi	Mr-	Mr+	C-	C+	CS
cm	kg*m	kg*m	kg*m	kg*m	cmq	cmq	kg*m	kg*m			
ILN	2023	464	--	--	6.28	6.28	12768	12768	(22+23)-V-3	(22+23)-V-2	6.3
40.3	1482	910	--	--	6.28	6.28	12768	12768	(22+23)-V-3	(22+23)-V-2	8.6
CAMP	--	1715	--	--	6.28	6.28	12768	12768	20	2	7.4
362.7	932	1500	--	--	6.28	6.28	12768	12768	(22+23)-V-2	(22+23)-V-3	8.5
FLN	1502	1024	--	--	9.42	6.28	19047	12770	(22+23)-V-2	(22+23)-V-3	12

X	x-	d-	x-/d-	x+	d+	x+/d+	Mr-	Mr+	C-	C+	Stato-	Stato+
cm	cm	cm		cm	cm		kg*m	kg*m				
ILN	15.6	59.0	0.264	15.5	59.0	0.263	12768	12768	(22+23)-V-3	(22+23)-V-2	Parz.	Parz.
40.3	15.6	59.0	0.264	15.6	59.0	0.264	12768	12768	(22+23)-V-3	(22+23)-V-2	Parz.	Parz.
CAMP	--	--	--	15.6	59.0	0.264	12768	12768	20	2	--	Parz.
362.7	15.6	59.0	0.264	15.6	59.0	0.264	12768	12768	(22+23)-V-2	(22+23)-V-3	Parz.	Parz.
FLN	18.9	59.0	0.320	14.4	59.0	0.243	19047	12770	(22+23)-V-2	(22+23)-V-3	Parz.	Parz.

Verifica a taglio: $\cot(\theta)$ =2.500

Comb =3

Sez	Td	VRdns	VRcd	VRsd	VRd	Tpl	Mr	Dx	Staffe	CS
	kg	kg	kg	kg	kg	kg	kg*m	cm	cmq/m	
Sin	2853	--	19377	16368	16368	0	12768	403.0	4.05	5.7
Des							19047			

Trave : 104 [899 , 30] Pilastrate [- , 11]

Sez. R: By= 40.0 cm Bz=60.0 cm L=155.0 cm Ln=135.0 cm

Criterio : CLS_TraviAlte_Esist - Verifica a flessione $r_{cm}=135$ [kg/cm²], $f_{ym}=4200$ [kg/cm²], FC=1.20 qd=2.5, qf=1.5

::Verificato

X	M-	M+	$\Delta M-$	$\Delta M+$	Afs	Afi	Mr-	Mr+	C-	C+	CS
cm	kg*m	kg*m	kg*m	kg*m	cmq	cmq	kg*m	kg*m			
ILN	1680	949	--	--	9.42	6.28	19047	12770	(22+23)-V-2	(22+23)-V-3	11
13.5	1569	855	--	--	9.42	6.28	19047	12770	(22+23)-V-2	(22+23)-V-3	12
CAMP	1504	717	--	--	9.42	6.28	19047	12770	(22+23)-V-2	(22+23)-V-3	13
121.5	833	630	--	--	9.42	6.28	19047	12770	(22+23)-V-1	(22+23)-V-4	20
FLN	973	808	--	--	9.42	6.28	19047	12770	(22+23)-V-1	(22+23)-V-4	16

X	x-	d-	x-/d-	x+	d+	x+/d+	Mr-	Mr+	C-	C+	Stato-	Stato+
cm	cm	cm		cm	cm		kg*m	kg*m				
ILN	18.9	59.0	0.320	14.4	59.0	0.243	19047	12770	(22+23)-V-2	(22+23)-V-3	Parz.	Parz.
13.5	18.9	59.0	0.320	14.4	59.0	0.243	19047	12770	(22+23)-V-2	(22+23)-V-3	Parz.	Parz.
CAMP	18.9	59.0	0.320	14.3	59.0	0.243	19047	12770	(22+23)-V-2	(22+23)-V-3	Parz.	Parz.
121.5	18.8	59.0	0.319	14.3	59.0	0.243	19047	12770	(22+23)-V-1	(22+23)-V-4	Parz.	Parz.
FLN	18.8	59.0	0.319	14.3	59.0	0.243	19047	12770	(22+23)-V-1	(22+23)-V-4	Parz.	Parz.

Verifica a taglio: $\cot(\theta)$ Sin=2.500, $\cot(\theta)$ Des=2.500

Comb Sin=(22+23)-V-3 Des=(22+23)-V-3

Sez	Td	VRdns	VRcd	VRsd	VRd	Tpl	Mr	Dx	Staffe	CS
	kg	kg	kg	kg	kg	kg	kg*m	cm	cmq/m	
Sin	2421	--	19377	16368	16368	0	12770	67.5	4.05	6.8
Des	3066	--	19377	41467	19377	0	19047	67.5	10.26	6.3

Trave : 105 [6 , 881] Pilastrate [3 , -]

Sez. R: By= 40.0 cm Bz=60.0 cm L=125.0 cm Ln=105.4 cm

Criterio : CLS_TraviAlte_Esist - Verifica a flessione rcm=135 [kg/cm],fym=4200 [kg/cm], FC=1.20 qd=2.5, qf=1.5

::Verificato

X	M-	M+	ΔM-	ΔM+	Afs	Afi	Mr-	Mr+	C-	C+	CS
cm	kg*m	kg*m	kg*m	kg*m	cmq	cmq	kg*m	kg*m			
ILN	1337	1095	--	--	9.42	6.28	19047	12770	(22+23)-VII-4	(22+23)-VII-1	12
10.5	1142	930	--	--	9.42	6.28	19047	12770	(22+23)-VII-3	(22+23)-VII-2	14
CAMP	1348	756	--	--	9.42	6.28	19047	12770	(22+23)-V-4	(22+23)-VII-2	14
94.9	1331	430	--	--	9.42	6.28	19047	12770	(22+23)-V-4	(22+23)-V-1	14
FLN	1347	464	--	--	9.42	6.28	19047	12770	(22+23)-V-4	(22+23)-V-1	14

X	x-	d-	x-/d-	x+	d+	x+/d+	Mr-	Mr+	C-	C+	Stato-	Stato+
cm	cm	cm		cm	cm		kg*m	kg*m				
ILN	18.9	59.0	0.320	14.4	59.0	0.243	19047	12770	(22+23)-VII-4	(22+23)-VII-1	Parz.	Parz.
10.5	18.8	59.0	0.319	14.4	59.0	0.243	19047	12770	(22+23)-VII-3	(22+23)-VII-2	Parz.	Parz.
CAMP	18.9	59.0	0.320	14.3	59.0	0.243	19047	12770	(22+23)-V-4	(22+23)-VII-2	Parz.	Parz.
94.9	18.9	59.0	0.320	14.3	59.0	0.243	19047	12770	(22+23)-V-4	(22+23)-V-1	Parz.	Parz.
FLN	18.9	59.0	0.320	14.3	59.0	0.243	19047	12770	(22+23)-V-4	(22+23)-V-1	Parz.	Parz.

Verifica a taglio:cot(θ)=2.500

Comb =(22+23)-VII-4

Sez	Td	VRdns	VRcd	VRsd	VRd	Tpl	Mr	Dx	Staffe	CS
	kg	kg	kg	kg	kg	kg	kg*m	cm	cmq/m	
Sin	3545	--	19377	41750	19377	0	12770	105.4	10.33	5.5
Des							19047			

Trave : 105 [881 , 884] Pilastrate [- , -]

Sez. R: By= 40.0 cm Bz=60.0 cm L=401.8 cm Ln=402.8 cm

Criterio : CLS_TraviAlte_Esist - Verifica a flessione rcm=135 [kg/cm],fym=4200 [kg/cm], FC=1.20 qd=2.5, qf=1.5

::Verificato

X	M-	M+	ΔM-	ΔM+	Afs	Afi	Mr-	Mr+	C-	C+	CS
cm	kg*m	kg*m	kg*m	kg*m	cmq	cmq	kg*m	kg*m			
ILN	1366	338	--	--	9.42	6.28	19047	12770	(22+23)-VII-4	(22+23)-VII-1	14
40.3	652	932	--	--	9.42	6.28	19047	12770	(22+23)-V-4	(22+23)-V-1	14
CAMP	--	1853	--	--	9.42	6.28	19047	12770	20	2	6.9
362.5	634	923	--	--	9.42	6.28	19047	12770	(22+23)-VII-1	(22+23)-VII-4	14
FLN	1438	235	--	--	9.42	6.28	19047	12770	(22+23)-V-1	(22+23)-V-4	13

X	x-	d-	x-/d-	x+	d+	x+/d+	Mr-	Mr+	C-	C+	Stato-	Stato+
cm	cm	cm		cm	cm		kg*m	kg*m				
ILN	18.9	59.0	0.320	14.3	59.0	0.243	19047	12770	(22+23)-VII-4	(22+23)-VII-1	Parz.	Parz.
40.3	18.8	59.0	0.319	14.4	59.0	0.243	19047	12770	(22+23)-V-4	(22+23)-V-1	Parz.	Parz.
CAMP	--	--	--	14.4	59.0	0.244	19047	12770	20	2	--	Parz.
362.5	18.8	59.0	0.319	14.4	59.0	0.243	19047	12770	(22+23)-VII-1	(22+23)-VII-4	Parz.	Parz.
FLN	18.9	59.0	0.320	14.3	59.0	0.243	19047	12770	(22+23)-V-1	(22+23)-V-4	Parz.	Parz.

Verifica a taglio:cot(θ) Sin=2.500,cot(θ) Cen=2.500,cot(θ) Des=2.500

Comb Sin=3 Cen=(22+23)-VIII-4 Des=3

Sez	Td	VRdns	VRcd	VRsd	VRd	Tpl	Mr	Dx	Staffe	CS
	kg	kg	kg	kg	kg	kg	kg*m	cm	cmq/m	
Sin	3389	--	19377	40617	19377	0	12770	60.0	10.05	5.7
Cen	2040	--	19377	16247	16247	--	--	--	4.02	8.0

Sez	Td	VRdns	VRcd	VRsd	VRd	Tpl	Mr	Dx	Staffe	CS
Des	3722	--	19377	40617	19377	0	19047	60.0	10.05	5.2

Trave : 105 [884 , 12] Pilastrate [- , 4]

Sez. R: By= 40.0 cm Bz=60.0 cm L=125.0 cm Ln=142.0 cm

Criterio : CLS_TraviAlte_Esist - Verifica a flessione rcm=135 [kg/cm²],fym=4200 [kg/cm²], FC=1.20 qd=2.5, qf=1.5

::Verificato

X	M-	M+	ΔM-	ΔM+	Afs	Afi	Mr-	Mr+	C-	C+	CS
cm	kg*m	kg*m	kg*m	kg*m	cmq	cmq	kg*m	kg*m			
ILN	792	794	--	--	9.42	6.28	19047	12770	(22+23)-VII-1	(22+23)-VII-4	16
14.2	832	561	--	--	9.42	6.28	19047	12770	(22+23)-VII-1	(22+23)-VII-4	23
CAMP	1185	--	--	--	9.42	6.28	19047	12770	2	(22+23)-V-3	16
127.8	1629	--	--	--	9.42	6.28	19047	12770	10	(22+23)-VII-3	12
FLN	2179	--	--	--	9.42	6.28	19047	12770	2	(22+23)-VIII-3	8.7

X	x-	d-	x-/d-	x+	d+	x+/d+	Mr-	Mr+	C-	C+	Stato-	Stato+
cm	cm	cm		cm	cm		kg*m	kg*m				
ILN	18.8	59.0	0.319	14.3	59.0	0.243	19047	12770	(22+23)-VII-1	(22+23)-VII-4	Parz.	Parz.
14.2	18.8	59.0	0.319	14.3	59.0	0.243	19047	12770	(22+23)-VII-1	(22+23)-VII-4	Parz.	Parz.
CAMP	18.8	59.0	0.319	--	--	--	19047	12770	2	(22+23)-V-3	Parz.	--
127.8	18.9	59.0	0.320	--	--	--	19047	12770	10	(22+23)-VII-3	Parz.	--
FLN	18.9	59.0	0.320	--	--	--	19047	12770	2	(22+23)-VIII-3	Parz.	--

Verifica a taglio:cot(θ)=2.500

Comb =(22+23)-IV-4

Sez	Td	VRdns	VRcd	VRsd	VRd	Tpl	Mr	Dx	Staffe	CS
	kg	kg	kg	kg	kg	kg	kg*m	cm	cmq/m	
Sin	5070	--	19377	40617	19377	0	12770	142.0	10.05	3.8
Des							19047			

Trave : 106 [2 , 905] Pilastrate [12 , -]

Sez. R: By= 40.0 cm Bz=60.0 cm L=135.0 cm Ln=115.4 cm

Criterio : CLS_TraviAlte_Esist - Verifica a flessione rcm=135 [kg/cm²],fym=4200 [kg/cm²], FC=1.20 qd=2.5, qf=1.5

::Verificato

X	M-	M+	ΔM-	ΔM+	Afs	Afi	Mr-	Mr+	C-	C+	CS
cm	kg*m	kg*m	kg*m	kg*m	cmq	cmq	kg*m	kg*m			
ILN	--	7082	--	--	9.42	6.28	19047	12770	20	2	1.8
11.5	--	5615	--	--	9.42	6.28	19047	12770	20	2	2.3
CAMP	--	4134	--	--	9.42	6.28	19047	12770	20	2	3.1
103.9	1565	1960	--	--	9.42	6.28	19047	12770	(22+23)-IV-2	(22+23)-IV-3	6.5
FLN	1811	1981	--	--	9.42	6.28	19047	12770	(22+23)-IV-2	(22+23)-IV-3	6.4

X	x-	d-	x-/d-	x+	d+	x+/d+	Mr-	Mr+	C-	C+	Stato-	Stato+
cm	cm	cm		cm	cm		kg*m	kg*m				
ILN	--	--	--	14.5	59.0	0.247	19047	12770	20	2	--	Parz.
11.5	--	--	--	14.5	59.0	0.246	19047	12770	20	2	--	Parz.
CAMP	--	--	--	14.5	59.0	0.245	19047	12770	20	2	--	Parz.
103.9	18.9	59.0	0.320	14.4	59.0	0.244	19047	12770	(22+23)-IV-2	(22+23)-IV-3	Parz.	Parz.
FLN	18.9	59.0	0.320	14.4	59.0	0.244	19047	12770	(22+23)-IV-2	(22+23)-IV-3	Parz.	Parz.

Verifica a taglio:cot(θ)=2.500

Comb =3

Sez	Td	VRdns	VRcd	VRsd	VRd	Tpl	Mr	Dx	Staffe	CS
	kg	kg	kg	kg	kg	kg	kg*m	cm	cmq/m	
Sin	12893	--	19377	41762	19377	0	12770	115.4	10.34	1.5
Des							19047			

Trave : 106 [905 , 906] Pilastrate [- , -]

Sez. R: By= 40.0 cm Bz=60.0 cm L=402.7 cm Ln=404.3 cm

Criterio : CLS_TraviAlte_Esist - Verifica a flessione rcm=135 [kg/cm²],fym=4200 [kg/cm²], FC=1.20 qd=2.5, qf=1.5

::Verificato

X	M-	M+	ΔM-	ΔM+	Afs	Afi	Mr-	Mr+	C-	C+	CS
cm	kg*m	kg*m	kg*m	kg*m	cmq	cmq	kg*m	kg*m			
ILN	1495	1810	--	--	9.42	6.28	19047	12770	(22+23)-IV-2	(22+23)-IV-3	7.1
40.4	1346	1985	--	--	9.42	6.28	19047	12770	(22+23)-IV-2	(22+23)-IV-3	6.4
CAMP	--	2070	--	--	9.42	6.28	19047	12770	(22+23)-VII-2	(22+23)-IV-3	6.2
363.8	1655	1564	--	--	9.42	6.28	19047	12770	(22+23)-IV-3	(22+23)-IV-2	8.2
FLN	2001	1324	--	--	9.42	6.28	19047	12770	(22+23)-IV-3	(22+23)-IV-2	9.5

X	x-	d-	x-/d-	x+	d+	x+/d+	Mr-	Mr+	C-	C+	Stato-	Stato+
cm	cm	cm		cm	cm		kg*m	kg*m				
ILN	18.9	59.0	0.320	14.4	59.0	0.244	19047	12770	(22+23)-IV-2	(22+23)-IV-3	Parz.	Parz.
40.4	18.9	59.0	0.320	14.4	59.0	0.244	19047	12770	(22+23)-IV-2	(22+23)-IV-3	Parz.	Parz.
CAMP	--	--	--	14.4	59.0	0.244	19047	12770	(22+23)-VII-2	(22+23)-IV-3	--	Parz.
363.8	18.9	59.0	0.320	14.4	59.0	0.244	19047	12770	(22+23)-IV-3	(22+23)-IV-2	Parz.	Parz.
FLN	18.9	59.0	0.320	14.4	59.0	0.243	19047	12770	(22+23)-IV-3	(22+23)-IV-2	Parz.	Parz.

Verifica a taglio:cot(θ) Sin=2.500,cot(θ) Cen=2.500,cot(θ) Des=2.500

Comb Sin=(22+23)-VII-1 Cen=(22+23)-VII-3 Des=(22+23)-VII-3

Sez	Td	VRdns	VRcd	VRsd	VRd	Tpl	Mr	Dx	Staffe	CS
	kg	kg	kg	kg	kg	kg	kg*m	cm	cmq/m	
Sin	1558	--	19377	40617	19377	0	12770	60.0	10.05	12
Cen	1777	--	19377	16247	16247	--	--	--	4.02	9.1
Des	2296	--	19377	40617	19377	0	19047	60.0	10.05	8.4

Trave : 106 [906 , 10] Pilastrate [- , 9]

Sez. R: By= 40.0 cm Bz=60.0 cm L=135.0 cm Ln=151.0 cm

Criterio : CLS_TraviAlte_Esist - Verifica a flessione rcm=135 [kg/cm²],fym=4200 [kg/cm²], FC=1.20 qd=2.5, qf=1.5

::Verificato

X	M-	M+	ΔM-	ΔM+	Afs	Afi	Mr-	Mr+	C-	C+	CS
cm	kg*m	kg*m	kg*m	kg*m	cmq	cmq	kg*m	kg*m			
ILN	1455	1308	--	--	9.42	6.28	19047	12770	(22+23)-IV-3	(22+23)-IV-2	9.8
15.1	1423	1136	--	--	9.42	6.28	19047	12770	(22+23)-IV-3	(22+23)-IV-2	11
CAMP	1411	956	--	--	9.42	6.28	19047	12770	(22+23)-IV-3	(22+23)-IV-2	13
135.9	1282	28	--	--	9.42	6.28	19047	12770	(22+23)-VII-3	(22+23)-VII-2	15
FLN	1548	47	--	--	9.42	6.28	19047	12770	(22+23)-VII-3	(22+23)-VII-2	12

X	x-	d-	x-/d-	x+	d+	x+/d+	Mr-	Mr+	C-	C+	Stato-	Stato+
cm	cm	cm		cm	cm		kg*m	kg*m				
ILN	18.9	59.0	0.320	14.4	59.0	0.243	19047	12770	(22+23)-IV-3	(22+23)-IV-2	Parz.	Parz.
15.1	18.9	59.0	0.320	14.4	59.0	0.243	19047	12770	(22+23)-IV-3	(22+23)-IV-2	Parz.	Parz.
CAMP	18.9	59.0	0.320	14.4	59.0	0.243	19047	12770	(22+23)-IV-3	(22+23)-IV-2	Parz.	Parz.
135.9	18.9	59.0	0.320	14.3	59.0	0.243	19047	12770	(22+23)-VII-3	(22+23)-VII-2	Parz.	Parz.
FLN	18.9	59.0	0.320	14.3	59.0	0.243	19047	12770	(22+23)-VII-3	(22+23)-VII-2	Parz.	Parz.

Verifica a taglio:cot(θ) =2.500

Comb =(22+23)-VII-4

Sez	Td	VRdns	VRcd	VRsd	VRd	Tpl	Mr	Dx	Staffe	CS
	kg	kg	kg	kg	kg	kg	kg*m	cm	cmq/m	
Sin	3151	--	19377	41239	19377	0	12770	151.0	10.21	6.1
Des							19047			

Trave : 107 [10 , 874] Pilastrate [9 , -]

Sez. R: By= 40.0 cm Bz=60.0 cm L=120.2 cm Ln=100.2 cm

Criterio : CLS_TraviAlte_Esist - Verifica a flessione rcm=135 [kg/cm²],fym=4200 [kg/cm²], FC=1.20 qd=2.5, qf=1.5

::Verificato

X	M-	M+	ΔM-	ΔM+	Afs	Afi	Mr-	Mr+	C-	C+	CS
cm	kg*m	kg*m	kg*m	kg*m	cmq	cmq	kg*m	kg*m			
ILN	2627	2412	--	--	9.42	6.28	19047	12770	(22+23)-V-1	(22+23)-V-4	5.3
10.0	1698	1332	--	--	9.42	6.28	19047	12770	(22+23)-V-1	(22+23)-V-4	9.6
CAMP	1753	1008	--	--	9.42	6.28	19047	12770	(22+23)-IV-2	(22+23)-IV-3	11
90.2	1898	1142	--	--	9.42	6.28	19047	12770	(22+23)-IV-2	(22+23)-IV-3	10
FLN	2051	1271	--	--	9.42	6.28	19047	12770	(22+23)-IV-2	(22+23)-IV-3	9.3

X	x-	d-	x-/d-	x+	d+	x+/d+	Mr-	Mr+	C-	C+	Stato-	Stato+
cm	cm	cm		cm	cm		kg*m	kg*m				
ILN	18.9	59.0	0.321	14.4	59.0	0.244	19047	12770	(22+23)-V-1	(22+23)-V-4	Parz.	Parz.
10.0	18.9	59.0	0.320	14.4	59.0	0.243	19047	12770	(22+23)-V-1	(22+23)-V-4	Parz.	Parz.
CAMP	18.9	59.0	0.320	14.4	59.0	0.243	19047	12770	(22+23)-IV-2	(22+23)-IV-3	Parz.	Parz.
90.2	18.9	59.0	0.320	14.4	59.0	0.243	19047	12770	(22+23)-IV-2	(22+23)-IV-3	Parz.	Parz.
FLN	18.9	59.0	0.320	14.4	59.0	0.243	19047	12770	(22+23)-IV-2	(22+23)-IV-3	Parz.	Parz.

Verifica a taglio: $\cot(\theta) = 2.500$

Comb = (22+23)-VII-4

Sez	Td	VRdns	VRcd	VRsd	VRd	Tpl	Mr	Dx	Staffe	CS
	kg	kg	kg	kg	kg	kg	kg*m	cm	cmq/m	
Sin	17217	--	19377	40617	19377	0	12770	100.2	10.05	1.1
Des							19047			

Trave : 107 [874 , 876] Pilastrate [- , -]

Sez. R: $B_y = 40.0 \text{ cm}$ $B_z = 60.0 \text{ cm}$ $L = 400.0 \text{ cm}$ $L_n = 400.0 \text{ cm}$

Criterio : CLS_TraviAlte_Esist - Verifica a flessione $r_{cm} = 135 \text{ [kg/cmq]}$, $f_{ym} = 4200 \text{ [kg/cmq]}$, $FC = 1.20$ $q_d = 2.5$, $q_f = 1.5$

::Verificato

X	M-	M+	ΔM-	ΔM+	Afs	Afi	Mr-	Mr+	C-	C+	CS
cm	kg*m	kg*m	kg*m	kg*m	cmq	cmq	kg*m	kg*m			
ILN	1799	1280	--	--	9.42	6.28	19047	12770	(22+23)-IV-2	(22+23)-IV-3	10.0
40.0	1627	1439	--	--	9.42	6.28	19047	12770	(22+23)-IV-2	(22+23)-IV-3	8.9
CAMP	--	1924	--	--	9.42	6.28	19047	12770	(22+23)-III-4	(22+23)-IV-2	6.6
360.0	1172	1957	--	--	9.42	6.28	19047	12770	(22+23)-IV-3	(22+23)-IV-2	6.5
FLN	1329	1897	--	--	9.42	6.28	19047	12770	(22+23)-IV-3	(22+23)-IV-2	6.7

X	x-	d-	x-/d-	x+	d+	x+/d+	Mr-	Mr+	C-	C+	Stato-	Stato+
cm	cm	cm		cm	cm		kg*m	kg*m				
ILN	18.9	59.0	0.320	14.4	59.0	0.243	19047	12770	(22+23)-IV-2	(22+23)-IV-3	Parz.	Parz.
40.0	18.9	59.0	0.320	14.4	59.0	0.244	19047	12770	(22+23)-IV-2	(22+23)-IV-3	Parz.	Parz.
CAMP	--	--	--	14.4	59.0	0.244	19047	12770	(22+23)-III-4	(22+23)-IV-2	--	Parz.
360.0	18.8	59.0	0.319	14.4	59.0	0.244	19047	12770	(22+23)-IV-3	(22+23)-IV-2	Parz.	Parz.
FLN	18.9	59.0	0.320	14.4	59.0	0.244	19047	12770	(22+23)-IV-3	(22+23)-IV-2	Parz.	Parz.

Verifica a taglio: $\cot(\theta)$ Sin=2.500, $\cot(\theta)$ Cen=2.500, $\cot(\theta)$ Des=2.500

Comb Sin=(22+23)-VII-4 Cen=(22+23)-IV-4 Des=(22+23)-VII-1

Sez	Td	VRdns	VRcd	VRsd	VRd	Tpl	Mr	Dx	Staffe	CS
	kg	kg	kg	kg	kg	kg	kg*m	cm	cmq/m	
Sin	1075	--	19377	40617	19377	0	12770	60.0	10.05	18
Cen	925	--	19377	16247	16247	--	--	--	4.02	18
Des	765	--	19377	40617	19377	0	19047	60.0	10.05	25

Trave : 107 [876 , 6] Pilastrate [- , 3]

Sez. R: $B_y = 40.0 \text{ cm}$ $B_z = 60.0 \text{ cm}$ $L = 120.3 \text{ cm}$ $L_n = 100.3 \text{ cm}$

Criterio : CLS_TraviAlte_Esist - Verifica a flessione $r_{cm} = 135 \text{ [kg/cmq]}$, $f_{ym} = 4200 \text{ [kg/cmq]}$, $FC = 1.20$ $q_d = 2.5$, $q_f = 1.5$

::Verificato

X	M-	M+	ΔM-	ΔM+	Afs	Afi	Mr-	Mr+	C-	C+	CS
cm	kg*m	kg*m	kg*m	kg*m	cmq	cmq	kg*m	kg*m			

X	M-	M+	$\Delta M-$	$\Delta M+$	Afs	Afi	Mr-	Mr+	C-	C+	CS
ILN	1664	2051	--	--	9.42	6.28	19047	12770	(22+23)-IV-3	(22+23)-IV-2	6.2
10.0	1449	2072	--	--	9.42	6.28	19047	12770	(22+23)-IV-3	(22+23)-IV-2	6.2
CAMP	1241	3752	--	--	9.42	6.28	19047	12770	(22+23)-IV-3	2	3.4
90.2	--	4880	--	--	9.42	6.28	19047	12770	(22+23)-IV-3	2	2.6
FLN	--	6001	--	--	9.42	6.28	19047	12770	20	2	2.1

X	x-	d-	x-/d-	x+	d+	x+/d+	Mr-	Mr+	C-	C+	Stato-	Stato+
cm	cm	cm		cm	cm		kg*m	kg*m				
ILN	18.9	59.0	0.320	14.4	59.0	0.244	19047	12770	(22+23)-IV-3	(22+23)-IV-2	Parz.	Parz.
10.0	18.9	59.0	0.320	14.4	59.0	0.244	19047	12770	(22+23)-IV-3	(22+23)-IV-2	Parz.	Parz.
CAMP	18.9	59.0	0.320	14.4	59.0	0.245	19047	12770	(22+23)-IV-3	2	Parz.	Parz.
90.2	--	--	--	14.5	59.0	0.245	19047	12770	(22+23)-IV-3	2	--	Parz.
FLN	--	--	--	14.5	59.0	0.246	19047	12770	20	2	--	Parz.

Verifica a taglio: $\cot(\theta) = 2.500$

Comb = 3

Sez	Td	VRdns	VRcd	VRsd	VRd	Tpl	Mr	Dx	Staffe	CS
	kg	kg	kg	kg	kg	kg	kg*m	cm	cmq/m	
Sin	11297	--	19377	40617	19377	0	12770	100.3	10.05	1.7
Des							19047			

Trave : 108 [4 , 913] Pilastrate [14 , -]

Sez. R: $B_y = 40.0 \text{ cm}$ $B_z = 60.0 \text{ cm}$ $L = 350.0 \text{ cm}$ $L_n = 330.0 \text{ cm}$

Criterio : CLS_TraviAlte_Esist - Verifica a flessione $r_{cm} = 135 \text{ [kg/cm]}$, $f_{ym} = 4200 \text{ [kg/cm]}$, $FC = 1.20$ $q_d = 2.5$, $q_f = 1.5$

::Verificato

X	M-	M+	$\Delta M-$	$\Delta M+$	Afs	Afi	Mr-	Mr+	C-	C+	CS
cm	kg*m	kg*m	kg*m	kg*m	cmq	cmq	kg*m	kg*m			
ILN	--	12104	--	--	9.42	9.42	19145	19145	20	2	1.6
33.0	--	7093	--	--	9.42	9.42	19145	19145	20	2	2.7
CAMP	2075	1997	--	--	6.28	9.42	12770	19047	(22+23)-VIII-2	2	6.2
297.0	2492	744	--	--	6.28	9.42	12770	19047	(22+23)-VIII-2	(22+23)-VIII-3	5.1
FLN	2976	885	--	--	6.28	9.42	12770	19047	(22+23)-VIII-2	(22+23)-VIII-3	4.3

X	x-	d-	x-/d-	x+	d+	x+/d+	Mr-	Mr+	C-	C+	Stato-	Stato+
cm	cm	cm		cm	cm		kg*m	kg*m				
ILN	--	--	--	18.0	59.0	0.306	19145	19145	20	2	--	Parz.
33.0	--	--	--	17.8	59.0	0.302	19145	19145	20	2	--	Parz.
CAMP	14.4	59.0	0.244	18.9	59.0	0.320	12770	19047	(22+23)-VIII-2	2	Parz.	Parz.
297.0	14.4	59.0	0.244	18.8	59.0	0.319	12770	19047	(22+23)-VIII-2	(22+23)-VIII-3	Parz.	Parz.
FLN	14.4	59.0	0.244	18.8	59.0	0.319	12770	19047	(22+23)-VIII-2	(22+23)-VIII-3	Parz.	Parz.

Verifica a taglio: $\cot(\theta)$ Sin=2.500, $\cot(\theta)$ Des=2.500

Comb Sin=3 Des=(22+23)-VIII-2

Sez	Td	VRdns	VRcd	VRsd	VRd	Tpl	Mr	Dx	Staffe	CS
	kg	kg	kg	kg	kg	kg	kg*m	cm	cmq/m	
Sin	15570	--	19377	42309	19377	0	19145	165.0	10.47	1.2
Des	1946	--	19377	18462	18462	0	19047	165.0	4.57	9.5

Trave : 108 [913 , 909] Pilastrate [- , -]

Sez. R: $B_y = 40.0 \text{ cm}$ $B_z = 60.0 \text{ cm}$ $L = 250.0 \text{ cm}$ $L_n = 250.0 \text{ cm}$

Criterio : CLS_TraviAlte_Esist - Verifica a flessione $r_{cm} = 135 \text{ [kg/cm]}$, $f_{ym} = 4200 \text{ [kg/cm]}$, $FC = 1.20$ $q_d = 2.5$, $q_f = 1.5$

::Verificato

X	M-	M+	$\Delta M-$	$\Delta M+$	Afs	Afi	Mr-	Mr+	C-	C+	CS
cm	kg*m	kg*m	kg*m	kg*m	cmq	cmq	kg*m	kg*m			
ILN	2883	979	--	--	6.28	9.42	12770	19047	(22+23)-VIII-2	(22+23)-VIII-3	4.4
25.0	2690	988	--	--	6.28	9.42	12770	19047	(22+23)-VIII-2	(22+23)-VIII-3	4.7
CAMP	2498	2647	--	--	6.28	9.42	12770	19047	(22+23)-IV-4	(22+23)-VIII-2	5.1

X	M-	M+	$\Delta M-$	$\Delta M+$	Afs	Afi	Mr-	Mr+	C-	C+	CS
225.0	1126	2715	--	--	12.57	9.42	25424	19147	(22+23)-VIII-3	(22+23)-VIII-2	7.1
FLN	1281	2748	--	--	12.57	9.42	25424	19147	(22+23)-VIII-3	(22+23)-VIII-2	7.0

X	x-	d-	x-/d-	x+	d+	x+/d+	Mr-	Mr+	C-	C+	Stato-	Stato+
cm	cm	cm		cm	cm		kg*m	kg*m				
ILN	14.4	59.0	0.244	18.8	59.0	0.319	12770	19047	(22+23)-VIII-2	(22+23)-VIII-3	Parz.	Parz.
25.0	14.4	59.0	0.244	18.8	59.0	0.319	12770	19047	(22+23)-VIII-2	(22+23)-VIII-3	Parz.	Parz.
CAMP	14.4	59.0	0.244	18.9	59.0	0.321	12770	19047	(22+23)-IV-4	(22+23)-VIII-2	Parz.	Parz.
225.0	20.2	59.0	0.342	16.6	59.0	0.281	25424	19147	(22+23)-VIII-3	(22+23)-VIII-2	Parz.	Parz.
FLN	20.2	59.0	0.343	16.6	59.0	0.281	25424	19147	(22+23)-VIII-3	(22+23)-VIII-2	Parz.	Parz.

Verifica a taglio: $\cot(\theta) \sin = 2.500, \cot(\theta) \cos = 2.500$

Comb $\sin = (22+23)$ -VIII-2 $\cos = (22+23)$ -VIII-2

Sez	Td	VRdns	VRcd	VRsd	VRd	Tpl	Mr	Dx	Staffe	CS
	kg	kg	kg	kg	kg	kg	kg*m	cm	cmq/m	
Sin	2154	--	19377	18462	18462	0	19047	125.0	4.57	8.6
Des	1881	--	19377	42309	19377	0	25424	125.0	10.47	10

Trave : 108 [909 , 8] Pilastrate [- , 7]

Sez. R: $B_y = 40.0 \text{ cm}$ $B_z = 60.0 \text{ cm}$ $L = 70.0 \text{ cm}$ $L_n = 90.0 \text{ cm}$

Criterio : CLS_TraviAlte_Esist - Verifica a flessione $r_{cm} = 135 \text{ [kg/cmq]}$, $f_{ym} = 4200 \text{ [kg/cmq]}$, $FC = 1.20$ $q_d = 2.5$, $q_f = 1.5$

::Verificato

X	M-	M+	$\Delta M-$	$\Delta M+$	Afs	Afi	Mr-	Mr+	C-	C+	CS
cm	kg*m	kg*m	kg*m	kg*m	cmq	cmq	kg*m	kg*m			
ILN	1277	2749	--	--	12.57	15.71	25524	31801	(22+23)-VIII-3	(22+23)-VIII-2	12
9.0	1236	2611	--	--	12.57	15.71	25524	31801	(22+23)-VIII-3	(22+23)-VIII-2	12
CAMP	1199	2468	--	--	12.57	15.71	25524	31801	(22+23)-VIII-3	(22+23)-VIII-2	13
81.0	381	1766	--	--	12.57	15.71	25524	31801	(22+23)-VIII-3	(22+23)-VIII-2	18
FLN	194	1647	--	--	12.57	15.71	25524	31801	(22+23)-VIII-3	(22+23)-VIII-2	19

X	x-	d-	x-/d-	x+	d+	x+/d+	Mr-	Mr+	C-	C+	Stato-	Stato+
cm	cm	cm		cm	cm		kg*m	kg*m				
ILN	18.1	59.0	0.307	21.3	59.0	0.361	25524	31801	(22+23)-VIII-3	(22+23)-VIII-2	Parz.	Parz.
9.0	18.1	59.0	0.307	21.3	59.0	0.361	25524	31801	(22+23)-VIII-3	(22+23)-VIII-2	Parz.	Parz.
CAMP	18.1	59.0	0.307	21.3	59.0	0.361	25524	31801	(22+23)-VIII-3	(22+23)-VIII-2	Parz.	Parz.
81.0	18.1	59.0	0.306	21.3	59.0	0.360	25524	31801	(22+23)-VIII-3	(22+23)-VIII-2	Parz.	Parz.
FLN	18.1	59.0	0.306	21.3	59.0	0.360	25524	31801	(22+23)-VIII-3	(22+23)-VIII-2	Parz.	Parz.

Verifica a taglio: $\cot(\theta) = 2.500$

Comb $= (22+23)$ -VIII-3

Sez	Td	VRdns	VRcd	VRsd	VRd	Tpl	Mr	Dx	Staffe	CS
	kg	kg	kg	kg	kg	kg	kg*m	cm	cmq/m	
Sin	2965	--	19377	40617	19377	0	31801	90.0	10.05	6.5
Des							25524			

Trave : 108 [8 , 12] Pilastrate [7 , 4]

Sez. R: $B_y = 40.0 \text{ cm}$ $B_z = 60.0 \text{ cm}$ $L = 689.5 \text{ cm}$ $L_n = 624.5 \text{ cm}$

Criterio : CLS_TraviAlte_Esist - Verifica a flessione $r_{cm} = 135 \text{ [kg/cmq]}$, $f_{ym} = 4200 \text{ [kg/cmq]}$, $FC = 1.20$ $q_d = 2.5$, $q_f = 1.5$

::Verificato

X	M-	M+	$\Delta M-$	$\Delta M+$	Afs	Afi	Mr-	Mr+	C-	C+	CS
cm	kg*m	kg*m	kg*m	kg*m	cmq	cmq	kg*m	kg*m			
ILN	--	1535	--	--	12.57	6.28	24947	12770	20	2	8.3
62.5	--	688	--	--	12.57	6.28	24947	12770	20	2	19
CAMP	473	--	--	--	6.28	6.28	12768	12768	2	20	27
562.1	--	1993	--	--	9.42	6.28	19047	12770	(22+23)-VIII-3	2	6.4
FLN	--	4155	--	--	9.42	6.28	19047	12770	20	2	3.1

X	x-	d-	x-/d-	x+	d+	x+/d+	Mr-	Mr+	C-	C+	Stato-	Stato+
cm	cm	cm		cm	cm		kg*m	kg*m				
ILN	--	--	--	13.3	59.0	0.226	24947	12770	20	2	--	Parz.
62.5	--	--	--	13.3	59.0	0.225	24947	12770	20	2	--	Parz.
CAMP	15.5	59.0	0.263	--	--	--	12768	12768	2	20	Parz.	--
562.1	--	--	--	14.4	59.0	0.244	19047	12770	(22+23)-VIII-3	2	--	Parz.
FLN	--	--	--	14.5	59.0	0.245	19047	12770	20	2	--	Parz.

Verifica a taglio: $\cot(\theta)$ Sin=2.500, $\cot(\theta)$ Cen=2.500, $\cot(\theta)$ Des=2.500

Comb Sin=3 Cen=3 Des=3

Sez	Td	VRdns	VRcd	VRsd	VRd	Tpl	Mr	Dx	Staffe	CS
	kg	kg	kg	kg	kg	kg	kg*m	cm	cmq/m	
Sin	1599	--	19377	42347	19377	0	24947	67.1	10.48	12
Cen	4192	--	19377	16247	16247	--	--	--	4.02	3.9
Des	3705	--	19377	42347	19377	0	12770	67.1	10.48	5.2

Trave : 109 [36 , 38] Pilastrate [35 , 37]

Sez. R: By= 40.0 cm Bz=60.0 cm L=645.0 cm Ln=645.0 cm

Criterio : CLS_TraviAlte_Esist - Verifica a flessione $r_{cm}=135$ [kg/cm], $f_{ym}=4200$ [kg/cm], FC=1.20 qd=2.5, qf=1.5

::Verificato

X	M-	M+	$\Delta M-$	$\Delta M+$	Afs	Afi	Mr-	Mr+	C-	C+	CS
cm	kg*m	kg*m	kg*m	kg*m	cmq	cmq	kg*m	kg*m			
ILN	2885	1445	--	--	9.42	6.28	19047	12770	(22+23)-I-3	(22+23)-I-2	6.6
64.5	1212	1389	--	--	9.42	6.28	19047	12770	(22+23)-I-3	(22+23)-I-2	9.2
CAMP	1121	--	--	--	6.28	6.28	12768	12768	2	20	11
580.5	17	659	--	--	9.42	6.28	19047	12770	(22+23)-I-2	(22+23)-I-3	19
FLN	731	448	--	--	9.42	6.28	19047	12770	(22+23)-I-1	(22+23)-I-4	26

X	x-	d-	x-/d-	x+	d+	x+/d+	Mr-	Mr+	C-	C+	Stato-	Stato+
cm	cm	cm		cm	cm		kg*m	kg*m				
ILN	18.9	59.0	0.321	14.4	59.0	0.244	19047	12770	(22+23)-I-3	(22+23)-I-2	Parz.	Parz.
64.5	18.9	59.0	0.320	14.4	59.0	0.244	19047	12770	(22+23)-I-3	(22+23)-I-2	Parz.	Parz.
CAMP	15.6	59.0	0.264	--	--	--	12768	12768	2	20	Parz.	--
580.5	18.8	59.0	0.319	14.3	59.0	0.243	19047	12770	(22+23)-I-2	(22+23)-I-3	Parz.	Parz.
FLN	18.8	59.0	0.319	14.3	59.0	0.243	19047	12770	(22+23)-I-1	(22+23)-I-4	Parz.	Parz.

Verifica a taglio: $\cot(\theta)$ Sin=2.500, $\cot(\theta)$ Cen=2.500, $\cot(\theta)$ Des=2.500

Comb Sin=(22+23)-I-3 Cen=3 Des=3

Sez	Td	VRdns	VRcd	VRsd	VRd	Tpl	Mr	Dx	Staffe	CS
	kg	kg	kg	kg	kg	kg	kg*m	cm	cmq/m	
Sin	4080	--	19377	40617	19377	0	12770	72.6	10.05	4.7
Cen	3184	--	19377	16247	16247	--	--	--	4.02	5.1
Des	2225	--	19377	40617	19377	0	19047	72.6	10.05	8.7

Trave : 110 [16 , 914] Pilastrate [15 , -]

Sez. R: By= 40.0 cm Bz=60.0 cm L=350.0 cm Ln=330.0 cm

Criterio : CLS_TraviAlte_Esist - Verifica a flessione $r_{cm}=135$ [kg/cm], $f_{ym}=4200$ [kg/cm], FC=1.20 qd=2.5, qf=1.5

::Verificato

X	M-	M+	$\Delta M-$	$\Delta M+$	Afs	Afi	Mr-	Mr+	C-	C+	CS
cm	kg*m	kg*m	kg*m	kg*m	cmq	cmq	kg*m	kg*m			
ILN	--	3276	--	--	9.42	6.28	19047	12770	(22+23)-IV-4	2	3.9
33.0	--	1754	--	--	9.42	6.28	19047	12770	(22+23)-IV-4	2	7.3
CAMP	1088	300	--	--	6.28	6.28	12768	12768	(22+23)-IV-4	(22+23)-IV-1	12
297.0	1321	147	--	--	6.28	6.28	12768	12768	(22+23)-IV-4	(22+23)-IV-1	9.7
FLN	1625	140	--	--	6.28	6.28	12768	12768	(22+23)-IV-4	(22+23)-IV-1	7.9

X	x-	d-	x-/d-	x+	d+	x+/d+	Mr-	Mr+	C-	C+	Stato-	Stato+
---	----	----	-------	----	----	-------	-----	-----	----	----	--------	--------

X	x-	d-	x-/d-	x+	d+	x+/d+	Mr-	Mr+	C-	C+	Stato-	Stato+
cm	cm	cm		cm	cm		kg*m	kg*m				
ILN	--	--	--	14.4	59.0	0.245	19047	12770	(22+23)-IV-4	2	--	Parz.
33.0	--	--	--	14.4	59.0	0.244	19047	12770	(22+23)-IV-4	2	--	Parz.
CAMP	15.6	59.0	0.264	15.5	59.0	0.263	12768	12768	(22+23)-IV-4	(22+23)-IV-1	Parz.	Parz.
297.0	15.6	59.0	0.264	15.5	59.0	0.263	12768	12768	(22+23)-IV-4	(22+23)-IV-1	Parz.	Parz.
FLN	15.6	59.0	0.264	15.5	59.0	0.263	12768	12768	(22+23)-IV-4	(22+23)-IV-1	Parz.	Parz.

Verifica a taglio: $\cot(\theta) \sin=2.500, \cot(\theta) \cos=2.500$

Comb Sin=3 Des=(22+23)-IV-4

Sez	Td	VRdns	VRcd	VRsd	VRd	Tpl	Mr	Dx	Staffe	CS
	kg	kg	kg	kg	kg	kg	kg*m	cm	cmq/m	
Sin	4998	--	19377	42309	19377	0	19047	165.0	10.47	3.9
Des	1239	--	19377	16247	16247	0	12768	165.0	4.02	13

Trave : 110 [914 , 910] Pilastrate [- , -]

Sez. R: By= 40.0 cm Bz=60.0 cm L=250.0 cm Ln=250.0 cm

Criterio : CLS_TraviAlte_Esist - Verifica a flessione $r_{cm}=135$ [kg/cm²], $f_{ym}=4200$ [kg/cm²], $FC=1.20$ $q_d=2.5$, $q_f=1.5$

::Verificato

X	M-	M+	ΔM-	ΔM+	Afs	Afi	Mr-	Mr+	C-	C+	CS
cm	kg*m	kg*m	kg*m	kg*m	cmq	cmq	kg*m	kg*m			
ILN	1552	267	--	--	6.28	6.28	12768	12768	(22+23)-IV-4	(22+23)-IV-1	8.2
25.0	1419	290	--	--	6.28	6.28	12768	12768	(22+23)-IV-4	(22+23)-IV-1	9.0
CAMP	1316	1416	--	--	6.28	6.28	12768	12768	(22+23)-VIII-4	(22+23)-IV-4	9.0
225.0	377	1451	--	--	12.57	6.28	24947	12770	(22+23)-IV-1	(22+23)-IV-4	8.8
FLN	502	1452	--	--	12.57	6.28	24947	12770	(22+23)-IV-1	(22+23)-IV-4	8.8

X	x-	d-	x-/d-	x+	d+	x+/d+	Mr-	Mr+	C-	C+	Stato-	Stato+
cm	cm	cm		cm	cm		kg*m	kg*m				
ILN	15.6	59.0	0.264	15.5	59.0	0.263	12768	12768	(22+23)-IV-4	(22+23)-IV-1	Parz.	Parz.
25.0	15.6	59.0	0.264	15.5	59.0	0.263	12768	12768	(22+23)-IV-4	(22+23)-IV-1	Parz.	Parz.
CAMP	15.6	59.0	0.264	15.6	59.0	0.264	12768	12768	(22+23)-VIII-4	(22+23)-IV-4	Parz.	Parz.
225.0	21.4	59.0	0.362	13.3	59.0	0.225	24947	12770	(22+23)-IV-1	(22+23)-IV-4	Parz.	Parz.
FLN	21.4	59.0	0.362	13.3	59.0	0.225	24947	12770	(22+23)-IV-1	(22+23)-IV-4	Parz.	Parz.

Verifica a taglio: $\cot(\theta) \sin=2.500, \cot(\theta) \cos=2.500$

Comb Sin=(22+23)-IV-4 Des=(22+23)-IV-4

Sez	Td	VRdns	VRcd	VRsd	VRd	Tpl	Mr	Dx	Staffe	CS
	kg	kg	kg	kg	kg	kg	kg*m	cm	cmq/m	
Sin	1322	--	19377	16247	16247	0	12768	125.0	4.02	12
Des	1080	--	19377	42309	19377	0	24947	125.0	10.47	18

Trave : 110 [910 , 18] Pilastrate [- , 17]

Sez. R: By= 40.0 cm Bz=60.0 cm L=70.0 cm Ln=90.0 cm

Criterio : CLS_TraviAlte_Esist - Verifica a flessione $r_{cm}=135$ [kg/cm²], $f_{ym}=4200$ [kg/cm²], $FC=1.20$ $q_d=2.5$, $q_f=1.5$

::Verificato

X	M-	M+	ΔM-	ΔM+	Afs	Afi	Mr-	Mr+	C-	C+	CS
cm	kg*m	kg*m	kg*m	kg*m	cmq	cmq	kg*m	kg*m			
ILN	480	1422	--	--	12.57	12.57	25522	25522	(22+23)-IV-1	(22+23)-IV-4	18
9.0	466	1353	--	--	12.57	12.57	25522	25522	(22+23)-IV-1	(22+23)-IV-4	19
CAMP	457	1279	--	--	12.57	12.57	25522	25522	(22+23)-IV-1	(22+23)-IV-4	20
81.0	--	1261	--	--	12.57	12.57	25522	25522	(22+23)-VIII-3	2	20
FLN	--	1397	--	--	12.57	12.57	25522	25522	(22+23)-VIII-3	2	18

X	x-	d-	x-/d-	x+	d+	x+/d+	Mr-	Mr+	C-	C+	Stato-	Stato+
cm	cm	cm		cm	cm		kg*m	kg*m				
ILN	19.1	59.0	0.323	19.1	59.0	0.324	25522	25522	(22+23)-IV-1	(22+23)-IV-4	Parz.	Parz.
9.0	19.1	59.0	0.323	19.1	59.0	0.324	25522	25522	(22+23)-IV-1	(22+23)-IV-4	Parz.	Parz.

X	x-	d-	x-/d-	x+	d+	x+/d+	Mr-	Mr+	C-	C+	Stato-	Stato+
CAMP	19.1	59.0	0.323	19.1	59.0	0.324	25522	25522	(22+23)-IV-1	(22+23)-IV-4	Parz.	Parz.
81.0	--	--	--	19.1	59.0	0.324	25522	25522	(22+23)-VIII-3	2	--	Parz.
FLN	--	--	--	19.1	59.0	0.324	25522	25522	(22+23)-VIII-3	2	--	Parz.

Verifica a taglio: $\cot(\theta) = 2.500$

Comb =(22+23)-IV-1

Sez	Td	VRdns	VRcd	VRsd	VRd	Tpl	Mr	Dx	Staffe	CS
	kg	kg	kg	kg	kg	kg	kg*m	cm	cmq/m	
Sin	2390	--	19377	40617	19377	0	25522	90.0	10.05	8.1
Des							25522			

Trave : 110 [18 , 20] Pilastrate [17 , 5]

Sez. R: By= 40.0 cm Bz=60.0 cm L=689.5 cm Ln=649.5 cm

Criterio : CLS_TraviAlte_Esist - Verifica a flessione $r_{cm}=135$ [kg/cm²], $f_{ym}=4200$ [kg/cm²], FC=1.20 qd=2.5, qf=1.5

::Verificato

X	M-	M+	ΔM-	ΔM+	Afs	Afi	Mr-	Mr+	C-	C+	CS
cm	kg*m	kg*m	kg*m	kg*m	cmq	cmq	kg*m	kg*m			
ILN	--	976	--	--	12.57	6.28	24947	12770	20	2	13
65.0	--	405	--	--	12.57	6.28	24947	12770	(22+23)-IV-2	2	32
CAMP	495	--	--	--	6.28	6.28	12768	12768	2	20	26
584.6	--	3670	--	--	9.42	6.28	19047	12770	20	2	3.5
FLN	--	7333	--	--	9.42	6.28	19047	12770	20	2	1.7

X	x-	d-	x-/d-	x+	d+	x+/d+	Mr-	Mr+	C-	C+	Stato-	Stato+
cm	cm	cm		cm	cm		kg*m	kg*m				
ILN	--	--	--	13.3	59.0	0.225	24947	12770	20	2	--	Parz.
65.0	--	--	--	13.3	59.0	0.225	24947	12770	(22+23)-IV-2	2	--	Parz.
CAMP	15.5	59.0	0.263	--	--	--	12768	12768	2	20	Parz.	--
584.6	--	--	--	14.4	59.0	0.245	19047	12770	20	2	--	Parz.
FLN	--	--	--	14.6	59.0	0.247	19047	12770	20	2	--	Parz.

Verifica a taglio: $\cot(\theta)$ Sin=2.500, $\cot(\theta)$ Cen=2.500, $\cot(\theta)$ Des=2.500

Comb Sin=3 Cen=3 Des=3

Sez	Td	VRdns	VRcd	VRsd	VRd	Tpl	Mr	Dx	Staffe	CS
	kg	kg	kg	kg	kg	kg	kg*m	cm	cmq/m	
Sin	1132	--	19377	40617	19377	0	24947	75.0	10.05	17
Cen	6399	--	19377	16660	16660	--	--	--	4.12	2.6
Des	5892	--	19377	40617	19377	0	12770	75.0	10.05	3.3

Trave : 111 [26 , 28] Pilastrate [25 , 6]

Sez. R: By= 40.0 cm Bz=60.0 cm L=689.5 cm Ln=629.5 cm

Criterio : CLS_TraviAlte_Esist - Verifica a flessione $r_{cm}=135$ [kg/cm²], $f_{ym}=4200$ [kg/cm²], FC=1.20 qd=2.5, qf=1.5

::Verificato

X	M-	M+	ΔM-	ΔM+	Afs	Afi	Mr-	Mr+	C-	C+	CS
cm	kg*m	kg*m	kg*m	kg*m	cmq	cmq	kg*m	kg*m			
ILN	1323	--	--	--	9.42	6.28	19047	12770	2	(22+23)-IV-3	14
63.0	715	--	--	--	9.42	6.28	19047	12770	2	(22+23)-II-3	27
CAMP	634	--	--	--	6.28	6.28	12768	12768	2	20	20
566.6	--	4733	--	--	9.42	6.28	19047	12770	20	2	2.7
FLN	--	9276	--	--	9.42	6.28	19047	12770	20	2	1.4

X	x-	d-	x-/d-	x+	d+	x+/d+	Mr-	Mr+	C-	C+	Stato-	Stato+
cm	cm	cm		cm	cm		kg*m	kg*m				
ILN	18.9	59.0	0.320	--	--	--	19047	12770	2	(22+23)-IV-3	Parz.	--
63.0	18.8	59.0	0.319	--	--	--	19047	12770	2	(22+23)-II-3	Parz.	--
CAMP	15.5	59.0	0.263	--	--	--	12768	12768	2	20	Parz.	--
566.6	--	--	--	14.5	59.0	0.245	19047	12770	20	2	--	Parz.

X	x-	d-	x-/d-	x+	d+	x+/d+	Mr-	Mr+	C-	C+	Stato-	Stato+
FLN	--	--	--	14.6	59.0	0.248	19047	12770	20	2	--	Parz.

Verifica a taglio: $\cot(\theta) \sin=2.500, \cot(\theta) \cos=2.500, \cot(\theta) \tan=2.500$

Comb $\sin=3 \cos=3 \tan=3$

Sez	Td	VRdns	VRcd	VRsd	VRd	Tpl	Mr	Dx	Staffe	CS
	kg	kg	kg	kg	kg	kg	kg*m	cm	cmq/m	
Sin	1213	--	19377	40617	19377	0	12770	73.1	10.05	16
Cen	7954	--	19377	16660	16660	--	--	--	4.12	2.1
Des	7463	--	19377	40617	19377	0	19047	73.1	10.05	2.6

Trave : 112 [36 , 847] Pilastrate [35 , -]

Sez. R: $B_y=40.0 \text{ cm}$ $B_z=60.0 \text{ cm}$ $L=84.8 \text{ cm}$ $L_n=64.8 \text{ cm}$

Criterio : CLS_TraviAlte_Esist - Verifica a flessione $r_{cm}=135 \text{ [kg/cmq]}$, $f_{ym}=4200 \text{ [kg/cmq]}$, $FC=1.20$ $q_d=2.5$, $q_f=1.5$

::Verificato

X	M-	M+	$\Delta M-$	$\Delta M+$	Afs	Afi	Mr-	Mr+	C-	C+	CS
cm	kg*m	kg*m	kg*m	kg*m	cmq	cmq	kg*m	kg*m			
ILN	1132	5662	--	--	9.42	6.28	19047	12770	(22+23)-VI-2	(22+23)-VI-3	2.3
6.5	1375	5094	--	--	9.42	6.28	19047	12770	(22+23)-VI-2	(22+23)-VI-3	2.5
CAMP	2735	4531	--	--	9.42	6.28	19047	12770	(22+23)-VI-4	(22+23)-VI-3	2.8
58.3	2809	3262	--	--	9.42	6.28	19047	12770	(22+23)-VI-4	(22+23)-VI-1	3.9
FLN	2887	3069	--	--	9.42	6.28	19047	12770	(22+23)-VI-4	(22+23)-VI-1	4.2

X	x-	d-	x-/d-	x+	d+	x+/d+	Mr-	Mr+	C-	C+	Stato-	Stato+
cm	cm	cm		cm	cm		kg*m	kg*m				
ILN	18.8	59.0	0.319	14.5	59.0	0.246	19047	12770	(22+23)-VI-2	(22+23)-VI-3	Parz.	Parz.
6.5	18.9	59.0	0.320	14.5	59.0	0.245	19047	12770	(22+23)-VI-2	(22+23)-VI-3	Parz.	Parz.
CAMP	18.9	59.0	0.321	14.5	59.0	0.245	19047	12770	(22+23)-VI-4	(22+23)-VI-3	Parz.	Parz.
58.3	18.9	59.0	0.321	14.4	59.0	0.244	19047	12770	(22+23)-VI-4	(22+23)-VI-1	Parz.	Parz.
FLN	18.9	59.0	0.321	14.4	59.0	0.244	19047	12770	(22+23)-VI-4	(22+23)-VI-1	Parz.	Parz.

Verifica a taglio: $\cot(\theta) = 2.500$

Comb $= (22+23)-I-3$

Sez	Td	VRdns	VRcd	VRsd	VRd	Tpl	Mr	Dx	Staffe	CS
	kg	kg	kg	kg	kg	kg	kg*m	cm	cmq/m	
Sin	11967	--	19377	40617	19377	0	12770	64.8	10.05	1.6
Des							19047			

Trave : 112 [847 , 849] Pilastrate [- , -]

Sez. R: $B_y=40.0 \text{ cm}$ $B_z=60.0 \text{ cm}$ $L=400.0 \text{ cm}$ $L_n=400.0 \text{ cm}$

Criterio : CLS_TraviAlte_Esist - Verifica a flessione $r_{cm}=135 \text{ [kg/cmq]}$, $f_{ym}=4200 \text{ [kg/cmq]}$, $FC=1.20$ $q_d=2.5$, $q_f=1.5$

::Verificato

X	M-	M+	$\Delta M-$	$\Delta M+$	Afs	Afi	Mr-	Mr+	C-	C+	CS
cm	kg*m	kg*m	kg*m	kg*m	cmq	cmq	kg*m	kg*m			
ILN	2433	2813	--	--	9.42	6.28	19047	12770	(22+23)-VI-4	(22+23)-VI-1	4.5
40.0	2102	2613	--	--	9.42	6.28	19047	12770	(22+23)-VI-4	(22+23)-VI-1	4.9
CAMP	834	2319	--	--	9.42	6.28	19047	12770	(22+23)-I-4	(22+23)-VI-1	5.5
360.0	1926	2388	--	--	9.42	6.28	19047	12770	(22+23)-VI-1	(22+23)-VI-4	5.3
FLN	2376	2577	--	--	9.42	6.28	19047	12770	(22+23)-VI-1	(22+23)-VI-4	5.0

X	x-	d-	x-/d-	x+	d+	x+/d+	Mr-	Mr+	C-	C+	Stato-	Stato+
cm	cm	cm		cm	cm		kg*m	kg*m				
ILN	18.9	59.0	0.320	14.4	59.0	0.244	19047	12770	(22+23)-VI-4	(22+23)-VI-1	Parz.	Parz.
40.0	18.9	59.0	0.320	14.4	59.0	0.244	19047	12770	(22+23)-VI-4	(22+23)-VI-1	Parz.	Parz.
CAMP	18.8	59.0	0.319	14.4	59.0	0.244	19047	12770	(22+23)-I-4	(22+23)-VI-1	Parz.	Parz.
360.0	18.9	59.0	0.320	14.4	59.0	0.244	19047	12770	(22+23)-VI-1	(22+23)-VI-4	Parz.	Parz.
FLN	18.9	59.0	0.320	14.4	59.0	0.244	19047	12770	(22+23)-VI-1	(22+23)-VI-4	Parz.	Parz.

Verifica a taglio: $\cot(\theta) \sin=2.500, \cot(\theta) \cos=2.500, \cot(\theta) \tan=2.500$

Comb $\sin=(22+23)$ -VI-4 $\cos=(22+23)$ -VI-4 $\tan=(22+23)$ -VI-1

Sez	Td	VRdns	VRcd	VRsd	VRd	Tpl	Mr	Dx	Staffe	CS
	kg	kg	kg	kg	kg	kg	kg*m	cm	cmq/m	
Sin	1216	--	19377	40617	19377	0	12770	60.0	10.05	16
Cen	1603	--	19377	16247	16247	--	--	--	4.02	10
Des	1598	--	19377	40617	19377	0	19047	60.0	10.05	12

Trave : 112 [849 , 42] Pilastrate [- , 41]

Sez. R: $B_y=40.0 \text{ cm}$ $B_z=60.0 \text{ cm}$ $L=84.8 \text{ cm}$ $L_n=104.8 \text{ cm}$

Criterio : CLS_TraviAlte_Esist - Verifica a flessione $r_{cm}=135 \text{ [kg/cmq]}$, $f_{ym}=4200 \text{ [kg/cmq]}$, $FC=1.20$ $q_d=2.5$, $q_f=1.5$

::Verificato

X	M-	M+	$\Delta M-$	$\Delta M+$	Afs	Afi	Mr-	Mr+	C-	C+	CS
cm	kg*m	kg*m	kg*m	kg*m	cmq	cmq	kg*m	kg*m			
ILN	3337	2827	--	--	9.42	6.28	19047	12770	(22+23)-VI-1	(22+23)-VI-4	4.5
10.5	2754	2227	--	--	9.42	6.28	19047	12770	(22+23)-VI-1	(22+23)-VI-4	5.7
CAMP	2967	1947	--	--	9.42	6.28	19047	12770	(22+23)-II-2	(22+23)-II-3	6.4
94.3	3675	2532	--	--	9.42	6.28	19047	12770	(22+23)-II-2	(22+23)-II-3	5.0
FLN	4393	3113	--	--	9.42	6.28	19047	12770	(22+23)-II-2	(22+23)-II-3	4.1

X	x-	d-	x-/d-	x+	d+	x+/d+	Mr-	Mr+	C-	C+	Stato-	Stato+
cm	cm	cm		cm	cm		kg*m	kg*m				
ILN	18.9	59.0	0.321	14.4	59.0	0.244	19047	12770	(22+23)-VI-1	(22+23)-VI-4	Parz.	Parz.
10.5	18.9	59.0	0.321	14.4	59.0	0.244	19047	12770	(22+23)-VI-1	(22+23)-VI-4	Parz.	Parz.
CAMP	18.9	59.0	0.321	14.4	59.0	0.244	19047	12770	(22+23)-II-2	(22+23)-II-3	Parz.	Parz.
94.3	19.0	59.0	0.321	14.4	59.0	0.244	19047	12770	(22+23)-II-2	(22+23)-II-3	Parz.	Parz.
FLN	19.0	59.0	0.322	14.4	59.0	0.244	19047	12770	(22+23)-II-2	(22+23)-II-3	Parz.	Parz.

Verifica a taglio: $\cot(\theta) = 2.500$

Comb $= (22+23)$ -II-2

Sez	Td	VRdns	VRcd	VRsd	VRd	Tpl	Mr	Dx	Staffe	CS
	kg	kg	kg	kg	kg	kg	kg*m	cm	cmq/m	
Sin	9395	--	19377	40617	19377	0	12770	104.8	10.05	2.1
Des							19047			

Trave : 112 [42 , 34] Pilastrate [41 , 2]

Sez. R: $B_y=40.0 \text{ cm}$ $B_z=60.0 \text{ cm}$ $L=220.5 \text{ cm}$ $L_n=220.5 \text{ cm}$

Criterio : CLS_TraviAlte_Esist - Verifica a flessione $r_{cm}=135 \text{ [kg/cmq]}$, $f_{ym}=4200 \text{ [kg/cmq]}$, $FC=1.20$ $q_d=2.5$, $q_f=1.5$

::Verificato

X	M-	M+	$\Delta M-$	$\Delta M+$	Afs	Afi	Mr-	Mr+	C-	C+	CS
cm	kg*m	kg*m	kg*m	kg*m	cmq	cmq	kg*m	kg*m			
ILN	7794	6809	--	--	9.42	6.28	19047	12770	(22+23)-II-2	(22+23)-II-3	1.9
22.1	6046	5500	--	--	9.42	6.28	19047	12770	(22+23)-II-2	(22+23)-II-3	2.3
CAMP	4484	5380	--	--	9.42	6.28	19047	12770	(22+23)-II-3	(22+23)-II-2	2.4
198.5	6027	6895	--	--	9.42	6.28	19047	12770	(22+23)-II-3	(22+23)-II-2	1.9
FLN	7598	8380	--	--	9.42	6.28	19047	12770	(22+23)-II-3	(22+23)-II-2	1.5

X	x-	d-	x-/d-	x+	d+	x+/d+	Mr-	Mr+	C-	C+	Stato-	Stato+
cm	cm	cm		cm	cm		kg*m	kg*m				
ILN	19.2	59.0	0.325	14.5	59.0	0.246	19047	12770	(22+23)-II-2	(22+23)-II-3	Parz.	Parz.
22.1	19.1	59.0	0.323	14.5	59.0	0.246	19047	12770	(22+23)-II-2	(22+23)-II-3	Parz.	Parz.
CAMP	19.0	59.0	0.322	14.5	59.0	0.246	19047	12770	(22+23)-II-3	(22+23)-II-2	Parz.	Parz.
198.5	19.1	59.0	0.323	14.5	59.0	0.246	19047	12770	(22+23)-II-3	(22+23)-II-2	Parz.	Parz.
FLN	19.2	59.0	0.325	14.6	59.0	0.247	19047	12770	(22+23)-II-3	(22+23)-II-2	Parz.	Parz.

Verifica a taglio: $\cot(\theta) = 2.500$

Comb $= (22+23)$ -II-2

Sez	Td	VRdns	VRcd	VRsd	VRd	Tpl	Mr	Dx	Staffe	CS
	kg	kg	kg	kg	kg	kg	kg*m	cm	cmq/m	
Sin	10777	--	19377	40617	19377	0	12770	220.5	10.05	1.8
Des							19047			

Trave : 112 [34 , 32] Pilastrate [2 , 8]

Sez. R: By= 40.0 cm Bz=60.0 cm L=499.5 cm Ln=459.5 cm

Criterio : CLS_TraviAlte_Esist - Verifica a flessione rcm=135 [kg/cm],fym=4200 [kg/cm], FC=1.20 qd=2.5, qf=1.5

::Verificato

X	M-	M+	ΔM-	ΔM+	Afs	Afi	Mr-	Mr+	C-	C+	CS
cm	kg*m	kg*m	kg*m	kg*m	cmq	cmq	kg*m	kg*m			
ILN	3253	3000	--	--	9.42	6.28	19047	12770	(22+23)-II-3	(22+23)-II-2	4.3
46.0	1847	1556	--	--	9.42	6.28	19047	12770	(22+23)-II-3	(22+23)-II-2	8.2
CAMP	575	183	--	--	9.42	6.28	19047	12770	(22+23)-II-3	(22+23)-VI-4	33
413.6	--	2059	--	--	9.42	6.28	19047	12770	20	2	6.2
FLN	--	4035	--	--	9.42	6.28	19047	12770	20	2	3.2

X	x-	d-	x-/d-	x+	d+	x+/d+	Mr-	Mr+	C-	C+	Stato-	Stato+
cm	cm	cm		cm	cm		kg*m	kg*m				
ILN	18.9	59.0	0.321	14.4	59.0	0.244	19047	12770	(22+23)-II-3	(22+23)-II-2	Parz.	Parz.
46.0	18.9	59.0	0.320	14.4	59.0	0.244	19047	12770	(22+23)-II-3	(22+23)-II-2	Parz.	Parz.
CAMP	18.8	59.0	0.319	14.3	59.0	0.243	19047	12770	(22+23)-II-3	(22+23)-VI-4	Parz.	Parz.
413.6	--	--	--	14.4	59.0	0.244	19047	12770	20	2	--	Parz.
FLN	--	--	--	14.4	59.0	0.245	19047	12770	20	2	--	Parz.

Verifica a taglio:cot(θ) Sin=2.500,cot(θ) Cen=2.500,cot(θ) Des=2.500

Comb Sin=(22+23)-VI-2 Cen=3 Des=3

Sez	Td	VRdns	VRcd	VRsd	VRd	Tpl	Mr	Dx	Staffe	CS
	kg	kg	kg	kg	kg	kg	kg*m	cm	cmq/m	
Sin	4530	--	19377	40617	19377	0	12770	60.0	10.05	4.3
Cen	4838	--	19377	16274	16274	--	--	--	4.03	3.4
Des	4480	--	19377	40617	19377	0	19047	60.0	10.05	4.3

Trave : 112 [32 , 30] Pilastrate [8 , 11]

Sez. R: By= 40.0 cm Bz=60.0 cm L=190.0 cm Ln=210.0 cm

Criterio : CLS_TraviAlte_Esist - Verifica a flessione rcm=135 [kg/cm],fym=4200 [kg/cm], FC=1.20 qd=2.5, qf=1.5

::Verificato

X	M-	M+	ΔM-	ΔM+	Afs	Afi	Mr-	Mr+	C-	C+	CS
cm	kg*m	kg*m	kg*m	kg*m	cmq	cmq	kg*m	kg*m			
ILN	3417	--	--	--	9.42	6.28	19047	12770	2	20	5.6
21.0	2438	--	--	--	9.42	6.28	19047	12770	2	20	7.8
CAMP	--	4709	--	--	9.42	6.28	19047	12770	20	2	2.7
189.0	--	6796	--	--	9.42	6.28	19047	12770	20	2	1.9
FLN	--	8848	--	--	9.42	6.28	19047	12770	20	2	1.4

X	x-	d-	x-/d-	x+	d+	x+/d+	Mr-	Mr+	C-	C+	Stato-	Stato+
cm	cm	cm		cm	cm		kg*m	kg*m				
ILN	19.0	59.0	0.321	--	--	--	19047	12770	2	20	Parz.	--
21.0	18.9	59.0	0.320	--	--	--	19047	12770	2	20	Parz.	--
CAMP	--	--	--	14.5	59.0	0.245	19047	12770	20	2	--	Parz.
189.0	--	--	--	14.5	59.0	0.246	19047	12770	20	2	--	Parz.
FLN	--	--	--	14.6	59.0	0.248	19047	12770	20	2	--	Parz.

Verifica a taglio:cot(θ) =2.500

Comb =3

Sez	Td	VRdns	VRcd	VRsd	VRd	Tpl	Mr	Dx	Staffe	CS
	kg	kg	kg	kg	kg	kg	kg*m	cm	cmq/m	
Sin	10018	--	19377	40617	19377	0	12770	210.0	10.05	1.9

Sez	Td	VRdns	VRcd	VRsd	VRd	Tpl	Mr	Dx	Staffe	CS
Des							19047			

Trave : 113 [38 , 831] Pilastrate [37 , -]

Sez. R: By= 40.0 cm Bz=60.0 cm L=84.8 cm Ln=64.8 cm

Criterio : CLS_TraviAlte_Esist - Verifica a flessione rcm=135 [kg/cm],fym=4200 [kg/cm], FC=1.20 qd=2.5, qf=1.5

::Verificato

X	M-	M+	ΔM-	ΔM+	Afs	Afi	Mr-	Mr+	C-	C+	CS
cm	kg*m	kg*m	kg*m	kg*m	cmq	cmq	kg*m	kg*m			
ILN	--	4082	--	--	9.42	6.28	19047	12770	(22+23)-VI-2	2	3.1
6.5	--	3552	--	--	9.42	6.28	19047	12770	(22+23)-VI-2	2	3.6
CAMP	--	3019	--	--	9.42	6.28	19047	12770	(22+23)-VI-2	2	4.2
58.3	752	2248	--	--	9.42	6.28	19047	12770	(22+23)-VI-2	(22+23)-VI-3	5.7
FLN	907	2199	--	--	9.42	6.28	19047	12770	(22+23)-VI-2	(22+23)-VI-3	5.8

X	x-	d-	x-/d-	x+	d+	x+/d+	Mr-	Mr+	C-	C+	Stato-	Stato+
cm	cm	cm		cm	cm		kg*m	kg*m				
ILN	--	--	--	14.5	59.0	0.245	19047	12770	(22+23)-VI-2	2	--	Parz.
6.5	--	--	--	14.4	59.0	0.245	19047	12770	(22+23)-VI-2	2	--	Parz.
CAMP	--	--	--	14.4	59.0	0.244	19047	12770	(22+23)-VI-2	2	--	Parz.
58.3	18.8	59.0	0.319	14.4	59.0	0.244	19047	12770	(22+23)-VI-2	(22+23)-VI-3	Parz.	Parz.
FLN	18.8	59.0	0.319	14.4	59.0	0.244	19047	12770	(22+23)-VI-2	(22+23)-VI-3	Parz.	Parz.

Verifica a taglio:cot(θ)=2.500

Comb =3

Sez	Td	VRdns	VRcd	VRsd	VRd	Tpl	Mr	Dx	Staffe	CS
	kg	kg	kg	kg	kg	kg	kg*m	cm	cmq/m	
Sin	8255	--	19377	40617	19377	0	12770	64.8	10.05	2.3
Des							19047			

Trave : 113 [831 , 832] Pilastrate [- , -]

Sez. R: By= 40.0 cm Bz=60.0 cm L=400.0 cm Ln=400.0 cm

Criterio : CLS_TraviAlte_Esist - Verifica a flessione rcm=135 [kg/cm],fym=4200 [kg/cm], FC=1.20 qd=2.5, qf=1.5

::Verificato

X	M-	M+	ΔM-	ΔM+	Afs	Afi	Mr-	Mr+	C-	C+	CS
cm	kg*m	kg*m	kg*m	kg*m	cmq	cmq	kg*m	kg*m			
ILN	659	1959	--	--	9.42	6.28	19047	12770	(22+23)-VI-2	(22+23)-VI-3	6.5
40.0	573	1938	--	--	9.42	6.28	19047	12770	(22+23)-VI-2	(22+23)-VI-3	6.6
CAMP	--	1823	--	--	9.42	6.28	19047	12770	(22+23)-VIII-4	(22+23)-VI-3	7.0
360.0	1657	944	--	--	9.42	6.28	19047	12770	(22+23)-VI-3	(22+23)-VI-2	11
FLN	1884	765	--	--	15.71	12.57	31801	25524	(22+23)-VI-3	(22+23)-VI-2	17

X	x-	d-	x-/d-	x+	d+	x+/d+	Mr-	Mr+	C-	C+	Stato-	Stato+
cm	cm	cm		cm	cm		kg*m	kg*m				
ILN	18.8	59.0	0.319	14.4	59.0	0.244	19047	12770	(22+23)-VI-2	(22+23)-VI-3	Parz.	Parz.
40.0	18.8	59.0	0.319	14.4	59.0	0.244	19047	12770	(22+23)-VI-2	(22+23)-VI-3	Parz.	Parz.
CAMP	--	--	--	14.4	59.0	0.244	19047	12770	(22+23)-VIII-4	(22+23)-VI-3	--	Parz.
360.0	18.9	59.0	0.320	14.4	59.0	0.243	19047	12770	(22+23)-VI-3	(22+23)-VI-2	Parz.	Parz.
FLN	21.3	59.0	0.360	18.1	59.0	0.306	31801	25524	(22+23)-VI-3	(22+23)-VI-2	Parz.	Parz.

Verifica a taglio:cot(θ) Sin=2.500,cot(θ) Cen=2.500,cot(θ) Des=2.500

Comb Sin=(22+23)-II-2 Cen=(22+23)-VI-3 Des=3

Sez	Td	VRdns	VRcd	VRsd	VRd	Tpl	Mr	Dx	Staffe	CS
	kg	kg	kg	kg	kg	kg	kg*m	cm	cmq/m	
Sin	429	--	19377	40617	19377	0	12770	60.0	10.05	45
Cen	823	--	19377	16247	16247	--	--	--	4.02	20
Des	865	--	19377	40617	19377	0	31801	60.0	10.05	22

Trave : 113 [832 , 40] Pilastrate [- , 1]

Sez. R: By= 40.0 cm Bz=60.0 cm L=84.8 cm Ln=104.8 cm

Criterio : CLS_TraviAlte_Esist - Verifica a flessione rcm=135 [kg/cm²],fym=4200 [kg/cm²], FC=1.20 qd=2.5, qf=1.5

::Verificato

X	M-	M+	ΔM-	ΔM+	Afs	Afi	Mr-	Mr+	C-	C+	CS
cm	kg*m	kg*m	kg*m	kg*m	cmq	cmq	kg*m	kg*m			
ILN	1931	683	--	--	12.57	12.57	25522	25522	(22+23)-VI-3	(22+23)-VI-2	13
10.5	1816	602	--	--	12.57	12.57	25522	25522	(22+23)-VI-3	(22+23)-VI-2	14
CAMP	1708	515	--	--	12.57	12.57	25522	25522	(22+23)-VI-3	(22+23)-VI-2	15
94.3	533	429	--	--	12.57	12.57	25522	25522	(22+23)-VI-3	(22+23)-VI-2	48
FLN	381	523	--	--	12.57	12.57	25522	25522	(22+23)-V-3	(22+23)-V-2	49

X	x-	d-	x-/d-	x+	d+	x+/d+	Mr-	Mr+	C-	C+	Stato-	Stato+
cm	cm	cm		cm	cm		kg*m	kg*m				
ILN	19.1	59.0	0.324	19.1	59.0	0.323	25522	25522	(22+23)-VI-3	(22+23)-VI-2	Parz.	Parz.
10.5	19.1	59.0	0.324	19.1	59.0	0.323	25522	25522	(22+23)-VI-3	(22+23)-VI-2	Parz.	Parz.
CAMP	19.1	59.0	0.324	19.1	59.0	0.323	25522	25522	(22+23)-VI-3	(22+23)-VI-2	Parz.	Parz.
94.3	19.1	59.0	0.323	19.1	59.0	0.323	25522	25522	(22+23)-VI-3	(22+23)-VI-2	Parz.	Parz.
FLN	19.1	59.0	0.323	19.1	59.0	0.323	25522	25522	(22+23)-V-3	(22+23)-V-2	Parz.	Parz.

Verifica a taglio:cot(θ)=2.500

Comb =(22+23)-I-1

Sez	Td	VRdns	VRcd	VRsd	VRd	Tpl	Mr	Dx	Staffe	CS
	kg	kg	kg	kg	kg	kg	kg*m	cm	cmq/m	
Sin	2780	--	19377	40617	19377	0	25522	104.8	10.05	7.0
Des							25522			

Trave : 113 [40 , 834] Pilastrate [1 , -]

Sez. R: By= 40.0 cm Bz=60.0 cm L=160.0 cm Ln=140.0 cm

Criterio : CLS_TraviAlte_Esist - Verifica a flessione rcm=135 [kg/cm²],fym=4200 [kg/cm²], FC=1.20 qd=2.5, qf=1.5

::Verificato

X	M-	M+	ΔM-	ΔM+	Afs	Afi	Mr-	Mr+	C-	C+	CS
cm	kg*m	kg*m	kg*m	kg*m	cmq	cmq	kg*m	kg*m			
ILN	339	1300	--	--	12.57	6.28	24947	12770	(22+23)-V-4	(22+23)-V-1	9.8
14.0	345	740	--	--	12.57	6.28	24947	12770	(22+23)-V-4	(22+23)-V-1	17
CAMP	1637	644	--	--	12.57	6.28	24947	12770	(22+23)-VI-2	(22+23)-VI-3	15
126.0	1790	774	--	--	6.28	6.28	12768	12768	(22+23)-VI-2	(22+23)-VI-3	7.1
FLN	1956	893	--	--	6.28	6.28	12768	12768	(22+23)-VI-2	(22+23)-VI-3	6.5

X	x-	d-	x-/d-	x+	d+	x+/d+	Mr-	Mr+	C-	C+	Stato-	Stato+
cm	cm	cm		cm	cm		kg*m	kg*m				
ILN	21.4	59.0	0.362	13.3	59.0	0.225	24947	12770	(22+23)-V-4	(22+23)-V-1	Parz.	Parz.
14.0	21.4	59.0	0.362	13.3	59.0	0.225	24947	12770	(22+23)-V-4	(22+23)-V-1	Parz.	Parz.
CAMP	21.4	59.0	0.363	13.3	59.0	0.225	24947	12770	(22+23)-VI-2	(22+23)-VI-3	Parz.	Parz.
126.0	15.6	59.0	0.264	15.5	59.0	0.264	12768	12768	(22+23)-VI-2	(22+23)-VI-3	Parz.	Parz.
FLN	15.6	59.0	0.264	15.6	59.0	0.264	12768	12768	(22+23)-VI-2	(22+23)-VI-3	Parz.	Parz.

Verifica a taglio:cot(θ) Sin=2.500,cot(θ) Des=2.500

Comb Sin=(22+23)-V-2 Des=(22+23)-VI-2

Sez	Td	VRdns	VRcd	VRsd	VRd	Tpl	Mr	Dx	Staffe	CS
	kg	kg	kg	kg	kg	kg	kg*m	cm	cmq/m	
Sin	5570	--	19377	42309	19377	0	24947	70.0	10.47	3.5
Des	1742	--	19377	16247	16247	0	12768	70.0	4.02	9.3

Trave : 113 [834 , 836] Pilastrate [- , -]

Sez. R: By= 40.0 cm Bz=60.0 cm L=400.0 cm Ln=400.0 cm

Criterio : CLS_TraviAlte_Esist - Verifica a flessione rcm=135 [kg/cm²],fym=4200 [kg/cm²], FC=1.20 qd=2.5, qf=1.5

::Verificato

X	M-	M+	ΔM-	ΔM+	Afs	Afi	Mr-	Mr+	C-	C+	CS
cm	kg*m	kg*m	kg*m	kg*m	cmq	cmq	kg*m	kg*m			
ILN	1718	929	--	--	6.28	6.28	12768	12768	(22+23)-VI-2	(22+23)-VI-3	7.4
40.0	1545	1098	--	--	6.28	6.28	12768	12768	(22+23)-VI-2	(22+23)-VI-3	8.3
CAMP	--	1569	--	--	6.28	6.28	12768	12768	(22+23)-III-4	(22+23)-VI-4	8.1
360.0	1068	1541	--	--	6.28	6.28	12768	12768	(22+23)-VI-1	(22+23)-VI-4	8.3
FLN	1229	1418	--	--	9.42	6.28	19047	12770	(22+23)-VI-1	(22+23)-VI-4	9.0

X	x-	d-	x-/d-	x+	d+	x+/d+	Mr-	Mr+	C-	C+	Stato-	Stato+
cm	cm	cm		cm	cm		kg*m	kg*m				
ILN	15.6	59.0	0.264	15.6	59.0	0.264	12768	12768	(22+23)-VI-2	(22+23)-VI-3	Parz.	Parz.
40.0	15.6	59.0	0.264	15.6	59.0	0.264	12768	12768	(22+23)-VI-2	(22+23)-VI-3	Parz.	Parz.
CAMP	--	--	--	15.6	59.0	0.264	12768	12768	(22+23)-III-4	(22+23)-VI-4	--	Parz.
360.0	15.6	59.0	0.264	15.6	59.0	0.264	12768	12768	(22+23)-VI-1	(22+23)-VI-4	Parz.	Parz.
FLN	18.9	59.0	0.320	14.4	59.0	0.244	19047	12770	(22+23)-VI-1	(22+23)-VI-4	Parz.	Parz.

Verifica a taglio: $\cot(\theta) = 2.500$

Comb = 3

Sez	Td	VRdns	VRcd	VRsd	VRd	Tpl	Mr	Dx	Staffe	CS
	kg	kg	kg	kg	kg	kg	kg*m	cm	cmq/m	
Sin	740	--	19377	16247	16247	0	12768	400.0	4.02	22
Des							19047			

Trave : 113 [836 , 44] Pilastrate [- , 10]

Sez. R: $B_y = 40.0 \text{ cm}$ $B_z = 60.0 \text{ cm}$ $L = 160.0 \text{ cm}$ $L_n = 140.0 \text{ cm}$

Criterio : CLS_TraviAlte_Esist - Verifica a flessione $r_{cm} = 135 \text{ [kg/cmq]}$, $f_{ym} = 4200 \text{ [kg/cmq]}$, $FC = 1.20$ $q_d = 2.5$, $q_f = 1.5$

::Verificato

X	M-	M+	ΔM-	ΔM+	Afs	Afi	Mr-	Mr+	C-	C+	CS
cm	kg*m	kg*m	kg*m	kg*m	cmq	cmq	kg*m	kg*m			
ILN	1505	1394	--	--	9.42	6.28	19047	12770	(22+23)-VI-1	(22+23)-VI-4	9.2
14.0	1311	1340	--	--	9.42	6.28	19047	12770	(22+23)-VI-1	(22+23)-VI-4	9.5
CAMP	--	3406	--	--	9.42	6.28	19047	12770	(22+23)-VI-1	2	3.7
126.0	--	5122	--	--	9.42	6.28	19047	12770	20	2	2.5
FLN	--	6824	--	--	9.42	6.28	19047	12770	20	2	1.9

X	x-	d-	x-/d-	x+	d+	x+/d+	Mr-	Mr+	C-	C+	Stato-	Stato+
cm	cm	cm		cm	cm		kg*m	kg*m				
ILN	18.9	59.0	0.320	14.4	59.0	0.244	19047	12770	(22+23)-VI-1	(22+23)-VI-4	Parz.	Parz.
14.0	18.9	59.0	0.320	14.4	59.0	0.243	19047	12770	(22+23)-VI-1	(22+23)-VI-4	Parz.	Parz.
CAMP	--	--	--	14.4	59.0	0.245	19047	12770	(22+23)-VI-1	2	--	Parz.
126.0	--	--	--	14.5	59.0	0.245	19047	12770	20	2	--	Parz.
FLN	--	--	--	14.5	59.0	0.246	19047	12770	20	2	--	Parz.

Verifica a taglio: $\cot(\theta)$ Sin=2.500, $\cot(\theta)$ Des=2.500

Comb Sin=3 Des=3

Sez	Td	VRdns	VRcd	VRsd	VRd	Tpl	Mr	Dx	Staffe	CS
	kg	kg	kg	kg	kg	kg	kg*m	cm	cmq/m	
Sin	8666	--	19377	16247	16247	0	12770	70.0	4.02	1.9
Des	12316	--	19377	42309	19377	0	19047	70.0	10.47	1.6

Trave : 114 [42 , 40] Pilastrate [41 , 1]

Sez. R: $B_y = 40.0 \text{ cm}$ $B_z = 60.0 \text{ cm}$ $L = 645.0 \text{ cm}$ $L_n = 645.0 \text{ cm}$

Criterio : CLS_TraviAlte_Esist - Verifica a flessione $r_{cm} = 135 \text{ [kg/cmq]}$, $f_{ym} = 4200 \text{ [kg/cmq]}$, $FC = 1.20$ $q_d = 2.5$, $q_f = 1.5$

::Verificato

X	M-	M+	ΔM-	ΔM+	Afs	Afi	Mr-	Mr+	C-	C+	CS
cm	kg*m	kg*m	kg*m	kg*m	cmq	cmq	kg*m	kg*m			
ILN	3628	615	--	--	9.42	6.28	19047	12770	(22+23)-V-3	(22+23)-V-2	5.2

X	M-	M+	$\Delta M-$	$\Delta M+$	Afs	Afi	Mr-	Mr+	C-	C+	CS
64.5	1258	1343	--	--	9.42	6.28	19047	12770	(22+23)-VII-4	(22+23)-VII-1	9.5
CAMP	2280	--	--	--	6.28	6.28	12768	12768	2	20	5.6
580.5	1571	2236	--	--	9.42	6.28	19047	12770	(22+23)-V-1	(22+23)-V-4	5.7
FLN	4410	2868	--	--	9.42	6.28	19047	12770	(22+23)-V-1	(22+23)-V-4	4.3

X	x-	d-	x-/d-	x+	d+	x+/d+	Mr-	Mr+	C-	C+	Stato-	Stato+
cm	cm	cm		cm	cm		kg*m	kg*m				
ILN	19.0	59.0	0.321	14.3	59.0	0.243	19047	12770	(22+23)-V-3	(22+23)-V-2	Parz.	Parz.
64.5	18.9	59.0	0.320	14.4	59.0	0.243	19047	12770	(22+23)-VII-4	(22+23)-VII-1	Parz.	Parz.
CAMP	15.6	59.0	0.265	--	--	--	12768	12768	2	20	Parz.	--
580.5	18.9	59.0	0.320	14.4	59.0	0.244	19047	12770	(22+23)-V-1	(22+23)-V-4	Parz.	Parz.
FLN	19.0	59.0	0.322	14.4	59.0	0.244	19047	12770	(22+23)-V-1	(22+23)-V-4	Parz.	Parz.

Verifica a taglio: $\cot(\theta)$ Sin=2.500, $\cot(\theta)$ Cen=2.500, $\cot(\theta)$ Des=2.500

Comb Sin=3 Cen=(22+23)-VII-4 Des=(22+23)-VII-1

Sez	Td	VRdns	VRcd	VRsd	VRd	Tpl	Mr	Dx	Staffe	CS
	kg	kg	kg	kg	kg	kg	kg*m	cm	cmq/m	
Sin	6088	--	19377	40617	19377	0	12770	72.6	10.05	3.2
Cen	6573	--	19377	16247	16247	--	--	--	4.02	2.5
Des	7341	--	19377	40617	19377	0	19047	72.6	10.05	2.6

Trave : 115 [32 , 841] Pilastrate [8 , -]

Sez. R: By= 40.0 cm Bz=60.0 cm L=122.5 cm Ln=142.5 cm

Criterio : CLS_TraviAlte_Esist - Verifica a flessione $r_{cm}=135$ [kg/cm²], $f_{ym}=4200$ [kg/cm²], FC=1.20 qd=2.5, qf=1.5

::Verificato

X	M-	M+	$\Delta M-$	$\Delta M+$	Afs	Afi	Mr-	Mr+	C-	C+	CS
cm	kg*m	kg*m	kg*m	kg*m	cmq	cmq	kg*m	kg*m			
ILN	746	347	--	--	9.42	6.28	19047	12770	(22+23)-I-3	(22+23)-I-2	26
14.3	685	280	--	--	9.42	6.28	19047	12770	(22+23)-I-3	(22+23)-I-2	28
CAMP	1549	--	--	--	9.42	6.28	19047	12770	(22+23)-V-4	(22+23)-V-1	12
128.3	1626	244	--	--	9.42	6.28	19047	12770	(22+23)-V-4	(22+23)-V-1	12
FLN	1757	348	--	--	6.28	6.28	12768	12768	(22+23)-V-4	(22+23)-V-1	7.3

X	x-	d-	x-/d-	x+	d+	x+/d+	Mr-	Mr+	C-	C+	Stato-	Stato+
cm	cm	cm		cm	cm		kg*m	kg*m				
ILN	18.8	59.0	0.319	14.3	59.0	0.243	19047	12770	(22+23)-I-3	(22+23)-I-2	Parz.	Parz.
14.3	18.8	59.0	0.319	14.3	59.0	0.243	19047	12770	(22+23)-I-3	(22+23)-I-2	Parz.	Parz.
CAMP	18.9	59.0	0.320	--	--	--	19047	12770	(22+23)-V-4	(22+23)-V-1	Parz.	--
128.3	18.9	59.0	0.320	14.3	59.0	0.243	19047	12770	(22+23)-V-4	(22+23)-V-1	Parz.	Parz.
FLN	15.6	59.0	0.264	15.5	59.0	0.263	12768	12768	(22+23)-V-4	(22+23)-V-1	Parz.	Parz.

Verifica a taglio: $\cot(\theta)$ Sin=2.500, $\cot(\theta)$ Des=2.500

Comb Sin=(22+23)-V-2 Des=(22+23)-V-3

Sez	Td	VRdns	VRcd	VRsd	VRd	Tpl	Mr	Dx	Staffe	CS
	kg	kg	kg	kg	kg	kg	kg*m	cm	cmq/m	
Sin	1805	--	19377	40617	19377	0	19047	71.3	10.05	11
Des	1881	--	19377	16365	16365	0	12768	71.3	4.05	8.7

Trave : 115 [841 , 843] Pilastrate [- , -]

Sez. R: By= 40.0 cm Bz=60.0 cm L=400.0 cm Ln=400.0 cm

Criterio : CLS_TraviAlte_Esist - Verifica a flessione $r_{cm}=135$ [kg/cm²], $f_{ym}=4200$ [kg/cm²], FC=1.20 qd=2.5, qf=1.5

::Verificato

X	M-	M+	$\Delta M-$	$\Delta M+$	Afs	Afi	Mr-	Mr+	C-	C+	CS
cm	kg*m	kg*m	kg*m	kg*m	cmq	cmq	kg*m	kg*m			
ILN	1704	457	--	--	6.28	6.28	12768	12768	(22+23)-V-4	(22+23)-V-1	7.5
40.0	1117	1026	--	--	6.28	6.28	12768	12768	(22+23)-V-4	(22+23)-V-1	11
CAMP	--	1917	--	--	6.28	6.28	12768	12768	20	2	6.7

X	M-	M+	$\Delta M-$	$\Delta M+$	Afs	Afi	Mr-	Mr+	C-	C+	CS
360.0	790	1364	--	--	9.42	6.28	19047	12770	(22+23)-V-1	(22+23)-V-4	9.4
FLN	1444	950	--	--	9.42	6.28	19047	12770	(22+23)-V-2	(22+23)-V-3	13

X	x-	d-	x-/d-	x+	d+	x+/d+	Mr-	Mr+	C-	C+	Stato-	Stato+
cm	cm	cm		cm	cm		kg*m	kg*m				
ILN	15.6	59.0	0.264	15.5	59.0	0.263	12768	12768	(22+23)-V-4	(22+23)-V-1	Parz.	Parz.
40.0	15.6	59.0	0.264	15.6	59.0	0.264	12768	12768	(22+23)-V-4	(22+23)-V-1	Parz.	Parz.
CAMP	--	--	--	15.6	59.0	0.264	12768	12768	20	2	--	Parz.
360.0	18.8	59.0	0.319	14.4	59.0	0.243	19047	12770	(22+23)-V-1	(22+23)-V-4	Parz.	Parz.
FLN	18.9	59.0	0.320	14.4	59.0	0.243	19047	12770	(22+23)-V-2	(22+23)-V-3	Parz.	Parz.

Verifica a taglio: $\cot(\theta) \sin=2.500, \cot(\theta) \cos=2.500$

Comb Sin=3 Des=3

Sez	Td	VRdns	VRcd	VRsd	VRd	Tpl	Mr	Dx	Staffe	CS
	kg	kg	kg	kg	kg	kg	kg*m	cm	cmq/m	
Sin	3112	--	19377	16365	16365	0	12768	200.0	4.05	5.3
Des	2929	--	19377	40617	19377	0	19047	200.0	10.05	6.6

Trave : 115 [843 , 44] Pilastrate [- , 10]

Sez. R: By= 40.0 cm Bz=60.0 cm L=122.5 cm Ln=102.5 cm

Criterio : CLS_TraviAlte_Esist - Verifica a flessione $r_{cm}=135$ [kg/cm²], $f_{ym}=4200$ [kg/cm²], FC=1.20 qd=2.5, qf=1.5

::Verificato

X	M-	M+	$\Delta M-$	$\Delta M+$	Afs	Afi	Mr-	Mr+	C-	C+	CS
cm	kg*m	kg*m	kg*m	kg*m	cmq	cmq	kg*m	kg*m			
ILN	1606	843	--	--	9.42	6.28	19047	12770	(22+23)-V-1	(22+23)-V-4	12
10.3	1557	819	--	--	9.42	6.28	19047	12770	(22+23)-V-1	(22+23)-V-4	12
CAMP	1537	770	--	--	9.42	6.28	19047	12770	(22+23)-V-1	(22+23)-V-4	12
92.3	779	751	--	--	9.42	6.28	19047	12770	(22+23)-V-1	(22+23)-V-4	17
FLN	817	865	--	--	9.42	6.28	19047	12770	(22+23)-V-1	(22+23)-V-4	15

X	x-	d-	x-/d-	x+	d+	x+/d+	Mr-	Mr+	C-	C+	Stato-	Stato+
cm	cm	cm		cm	cm		kg*m	kg*m				
ILN	18.9	59.0	0.320	14.4	59.0	0.243	19047	12770	(22+23)-V-1	(22+23)-V-4	Parz.	Parz.
10.3	18.9	59.0	0.320	14.3	59.0	0.243	19047	12770	(22+23)-V-1	(22+23)-V-4	Parz.	Parz.
CAMP	18.9	59.0	0.320	14.3	59.0	0.243	19047	12770	(22+23)-V-1	(22+23)-V-4	Parz.	Parz.
92.3	18.8	59.0	0.319	14.3	59.0	0.243	19047	12770	(22+23)-V-1	(22+23)-V-4	Parz.	Parz.
FLN	18.8	59.0	0.319	14.4	59.0	0.243	19047	12770	(22+23)-V-1	(22+23)-V-4	Parz.	Parz.

Verifica a taglio: $\cot(\theta) = 2.500$

Comb =(22+23)-V-3

Sez	Td	VRdns	VRcd	VRsd	VRd	Tpl	Mr	Dx	Staffe	CS
	kg	kg	kg	kg	kg	kg	kg*m	cm	cmq/m	
Sin	2758	--	19377	40617	19377	0	12770	102.5	10.05	7.0
Des							19047			

Trave : 116 [14 , 16] Pilastrate [13 , 15]

Sez. R: By= 40.0 cm Bz=60.0 cm L=120.0 cm Ln=126.5 cm

Criterio : CLS_TraviAlte_Esist - Verifica a flessione $r_{cm}=135$ [kg/cm²], $f_{ym}=4200$ [kg/cm²], FC=1.20 qd=2.5, qf=1.5

::Verificato

X	M-	M+	$\Delta M-$	$\Delta M+$	Afs	Afi	Mr-	Mr+	C-	C+	CS
cm	kg*m	kg*m	kg*m	kg*m	cmq	cmq	kg*m	kg*m			
ILN	2265	2318	--	--	9.42	6.28	19047	12770	(22+23)-IV-4	(22+23)-IV-1	5.5
12.6	1997	1812	--	--	9.42	6.28	19047	12770	(22+23)-IV-4	(22+23)-IV-1	7.0
CAMP	1739	1298	--	--	9.42	6.28	19047	12770	(22+23)-IV-4	(22+23)-IV-1	9.8
113.8	1759	--	--	--	9.42	6.28	19047	12770	2	(22+23)-I-4	11
FLN	2001	--	--	--	9.42	6.28	19047	12770	2	(22+23)-IV-4	9.5

X	x-	d-	x-/d-	x+	d+	x+/d+	Mr-	Mr+	C-	C+	Stato-	Stato+
cm	cm	cm		cm	cm		kg*m	kg*m				
ILN	18.9	59.0	0.320	14.4	59.0	0.244	19047	12770	(22+23)-IV-4	(22+23)-IV-1	Parz.	Parz.
12.6	18.9	59.0	0.320	14.4	59.0	0.244	19047	12770	(22+23)-IV-4	(22+23)-IV-1	Parz.	Parz.
CAMP	18.9	59.0	0.320	14.4	59.0	0.243	19047	12770	(22+23)-IV-4	(22+23)-IV-1	Parz.	Parz.
113.8	18.9	59.0	0.320	--	--	--	19047	12770	2	(22+23)-I-4	Parz.	--
FLN	18.9	59.0	0.320	--	--	--	19047	12770	2	(22+23)-IV-4	Parz.	--

Verifica a taglio: $\cot(\theta) = 2.500$

Comb = (22+23)-IV-1

Sez	Td	VRdns	VRcd	VRsd	VRd	Tpl	Mr	Dx	Staffe	CS
	kg	kg	kg	kg	kg	kg	kg*m	cm	cmq/m	
Sin	5371	--	19377	38532	19377	0	12770	126.5	9.54	3.6
Des							19047			

Trave : 116 [16 , 28] Pilastrate [15 , 17]

Sez. R: $B_y = 40.0 \text{ cm}$ $B_z = 50.0 \text{ cm}$ $L = 715.1 \text{ cm}$ $L_n = 734.8 \text{ cm}$

Criterio : CLS_TraviAlte_Esist - Verifica a flessione $r_{cm} = 135 \text{ [kg/cm]}$, $f_{ym} = 4200 \text{ [kg/cm]}$, $FC = 1.20$ $q_d = 2.5$, $q_f = 1.5$

::Verificato

X	M-	M+	$\Delta M-$	$\Delta M+$	Afs	Afi	Mr-	Mr+	C-	C+	CS
cm	kg*m	kg*m	kg*m	kg*m	cmq	cmq	kg*m	kg*m			
ILN	12867	--	--	--	12.57	9.42	21026	15848	2	20	1.6
73.5	5734	--	--	--	12.57	9.42	21026	15848	2	(22+23)-IV-1	3.7
CAMP	--	6373	--	--	6.28	9.42	10571	15748	20	2	2.5
661.3	7799	--	--	--	12.57	9.42	21026	15848	2	(22+23)-IV-4	2.7
FLN	15448	--	--	--	12.57	31.42	21127	46394	2	20	1.4

X	x-	d-	x-/d-	x+	d+	x+/d+	Mr-	Mr+	C-	C+	Stato-	Stato+
cm	cm	cm		cm	cm		kg*m	kg*m				
ILN	18.2	49.0	0.372	--	--	--	21026	15848	2	20	Parz.	--
73.5	17.9	49.0	0.366	--	--	--	21026	15848	2	(22+23)-IV-1	Parz.	--
CAMP	--	--	--	16.9	49.0	0.345	10571	15748	20	2	--	Parz.
661.3	18.0	49.0	0.367	--	--	--	21026	15848	2	(22+23)-IV-4	Parz.	--
FLN	12.3	49.0	0.251	--	--	--	21127	46394	2	20	Parz.	--

Verifica a taglio: $\cot(\theta) \text{ Sin} = 2.500$, $\cot(\theta) \text{ Cen} = 2.500$, $\cot(\theta) \text{ Des} = 2.500$

Comb Sin=3 Cen=3 Des=3

Sez	Td	VRdns	VRcd	VRsd	VRd	Tpl	Mr	Dx	Staffe	CS
	kg	kg	kg	kg	kg	kg	kg*m	cm	cmq/m	
Sin	10825	--	16093	34029	16093	0	21026	80.0	10.14	1.5
Cen	7057	--	16093	13493	13493	--	--	--	4.02	1.9
Des	11528	--	16093	34029	16093	0	46394	80.0	10.14	1.4

Trave : 116 [28 , 20] Pilastrate [17 , 5]

Sez. R: $B_y = 40.0 \text{ cm}$ $B_z = 50.0 \text{ cm}$ $L = 733.4 \text{ cm}$ $L_n = 733.4 \text{ cm}$

Criterio : CLS_TraviAlte_Esist - Verifica a flessione $r_{cm} = 135 \text{ [kg/cm]}$, $f_{ym} = 4200 \text{ [kg/cm]}$, $FC = 1.20$ $q_d = 2.5$, $q_f = 1.5$

::Verificato

X	M-	M+	$\Delta M-$	$\Delta M+$	Afs	Afi	Mr-	Mr+	C-	C+	CS
cm	kg*m	kg*m	kg*m	kg*m	cmq	cmq	kg*m	kg*m			
ILN	23211	--	--	--	28.27	31.42	47514	52693	2	20	2.0
73.3	9909	--	--	--	28.27	21.99	46938	36959	2	20	4.7
CAMP	--	13338	--	--	15.71	21.99	26404	36382	20	2	2.7
660.1	11352	--	--	--	31.42	21.99	51347	36960	2	20	4.5
FLN	25014	--	--	--	31.42	21.99	51347	36960	2	20	2.1

X	x-	d-	x-/d-	x+	d+	x+/d+	Mr-	Mr+	C-	C+	Stato-	Stato+
cm	cm	cm		cm	cm		kg*m	kg*m				

X	x-	d-	x-/d-	x+	d+	x+/d+	Mr-	Mr+	C-	C+	Stato-	Stato+
ILN	19.4	49.0	0.396	--	--	--	47514	52693	2	20	Parz.	--
73.3	21.4	49.0	0.437	--	--	--	46938	36959	2	20	Parz.	--
CAMP	--	--	--	20.9	49.0	0.427	26404	36382	20	2	--	Parz.
660.1	22.5	49.0	0.459	--	--	--	51347	36960	2	20	Parz.	--
FLN	22.8	49.0	0.465	--	--	--	51347	36960	2	20	Parz.	--

Verifica a taglio: $\cot(\theta) \sin = 1.741, \cot(\theta) \cos = 2.500, \cot(\theta) \tan = 1.657$

Comb $\sin = 3 \cos = 3 \tan = 3$

Sez	Td	VRdns	VRcd	VRsd	VRd	Tpl	Mr	Dx	Staffe	CS
	kg	kg	kg	kg	kg	kg	kg*m	cm	cmq/m	
Sin	20179	--	20179	24162	20179	0	52693	80.0	10.34	1.0
Cen	12501	--	16113	19854	16113	--	--	--	5.92	1.3
Des	20671	--	20671	25867	20671	0	51347	80.0	11.63	1.0

Trave : 201 [20 , 18] Pilastrate [9 , 7]

Sez. R: $B_y = 40.0 \text{ cm}$ $B_z = 50.0 \text{ cm}$ $L = 650.0 \text{ cm}$ $L_n = 620.0 \text{ cm}$

Criterio : CLS_TraviAlte_Esist - Verifica a flessione $r_{cm} = 135 \text{ [kg/cm}^2\text{]}, f_{ym} = 4200 \text{ [kg/cm}^2\text{]}, FC = 1.20$ $q_d = 2.5, q_f = 1.5$

::Verificato

X	M-	M+	$\Delta M-$	$\Delta M+$	Afs	Afi	Mr-	Mr+	C-	C+	CS
cm	kg*m	kg*m	kg*m	kg*m	cmq	cmq	kg*m	kg*m			
ILN	8506	5690	--	--	6.28	6.28	10569	10569	(22+23)-V-4	(22+23)-V-1	1.2
62.0	6404	5272	--	--	6.28	6.28	10569	10569	(22+23)-V-4	(22+23)-V-1	1.7
CAMP	4496	4661	--	--	6.28	6.28	10569	10569	(22+23)-V-4	(22+23)-V-1	2.3
558.0	5081	3464	--	--	6.28	6.28	10569	10569	(22+23)-VII-1	(22+23)-VII-4	2.1
FLN	7248	3813	--	--	6.28	6.28	10569	10569	(22+23)-VII-1	(22+23)-VII-4	1.5

X	x-	d-	x-/d-	x+	d+	x+/d+	Mr-	Mr+	C-	C+	Stato-	Stato+
cm	cm	cm		cm	cm		kg*m	kg*m				
ILN	14.1	49.0	0.288	14.0	49.0	0.285	10569	10569	(22+23)-V-4	(22+23)-V-1	Parz.	Parz.
62.0	14.0	49.0	0.286	14.0	49.0	0.285	10569	10569	(22+23)-V-4	(22+23)-V-1	Parz.	Parz.
CAMP	13.9	49.0	0.284	13.9	49.0	0.284	10569	10569	(22+23)-V-4	(22+23)-V-1	Parz.	Parz.
558.0	13.9	49.0	0.285	13.9	49.0	0.283	10569	10569	(22+23)-VII-1	(22+23)-VII-4	Parz.	Parz.
FLN	14.1	49.0	0.287	13.9	49.0	0.283	10569	10569	(22+23)-VII-1	(22+23)-VII-4	Parz.	Parz.

Verifica a taglio: $\cot(\theta) \sin = 2.500, \cot(\theta) \cos = 2.500, \cot(\theta) \tan = 2.500$

Comb $\sin = (22+23)-V-4 \cos = (22+23)-V-1 \tan = (22+23)-V-1$

Sez	Td	VRdns	VRcd	VRsd	VRd	Tpl	Mr	Dx	Staffe	CS
	kg	kg	kg	kg	kg	kg	kg*m	cm	cmq/m	
Sin	4751	--	16093	35777	16093	0	10569	66.0	10.66	3.4
Cen	4230	--	16093	13719	13719	--	--	--	4.09	3.2
Des	4863	--	16093	35777	16093	0	10569	66.0	10.66	3.3

Trave : 201 [18 , 28] Pilastrate [7 , 17]

Sez. R: $B_y = 40.0 \text{ cm}$ $B_z = 50.0 \text{ cm}$ $L = 660.0 \text{ cm}$ $L_n = 660.0 \text{ cm}$

Criterio : CLS_TraviAlte_Esist - Verifica a flessione $r_{cm} = 135 \text{ [kg/cm}^2\text{]}, f_{ym} = 4200 \text{ [kg/cm}^2\text{]}, FC = 1.20$ $q_d = 2.5, q_f = 1.5$

::Verificato

X	M-	M+	$\Delta M-$	$\Delta M+$	Afs	Afi	Mr-	Mr+	C-	C+	CS
cm	kg*m	kg*m	kg*m	kg*m	cmq	cmq	kg*m	kg*m			
ILN	6205	2950	--	--	6.28	6.28	10569	10569	(22+23)-V-3	(22+23)-V-2	1.7
66.0	4273	2921	--	--	6.28	6.28	10569	10569	(22+23)-V-4	(22+23)-V-1	2.5
CAMP	3462	3234	--	--	6.28	6.28	10569	10569	(22+23)-V-2	(22+23)-V-3	3.1
594.0	5233	3423	--	--	6.28	6.28	10569	10569	(22+23)-V-2	(22+23)-V-3	2.0
FLN	7223	3396	--	--	6.28	6.28	10569	10569	(22+23)-V-2	(22+23)-V-3	1.5

X	x-	d-	x-/d-	x+	d+	x+/d+	Mr-	Mr+	C-	C+	Stato-	Stato+
cm	cm	cm		cm	cm		kg*m	kg*m				
ILN	14.0	49.0	0.286	13.8	49.0	0.283	10569	10569	(22+23)-V-3	(22+23)-V-2	Parz.	Parz.

X	x-	d-	x-/d-	x+	d+	x+/d+	Mr-	Mr+	C-	C+	Stato-	Stato+
66.0	13.9	49.0	0.284	13.8	49.0	0.282	10569	10569	(22+23)-V-4	(22+23)-V-1	Parz.	Parz.
CAMP	13.9	49.0	0.283	13.9	49.0	0.283	10569	10569	(22+23)-V-2	(22+23)-V-3	Parz.	Parz.
594.0	14.0	49.0	0.285	13.9	49.0	0.283	10569	10569	(22+23)-V-2	(22+23)-V-3	Parz.	Parz.
FLN	14.1	49.0	0.287	13.9	49.0	0.283	10569	10569	(22+23)-V-2	(22+23)-V-3	Parz.	Parz.

Verifica a taglio: $\cot(\theta)$ Sin=2.500, $\cot(\theta)$ Cen=2.500, $\cot(\theta)$ Des=2.500

Comb Sin=(22+23)-V-3 Cen=(22+23)-V-2 Des=(22+23)-V-2

Sez	Td	VRdns	VRcd	VRsd	VRd	Tpl	Mr	Dx	Staffe	CS
	kg	kg	kg	kg	kg	kg	kg*m	cm	cmq/m	
Sin	3984	--	16093	33733	16093	0	10569	74.4	10.05	4.0
Cen	3411	--	16093	13602	13602	--	--	--	4.05	4.0
Des	4071	--	16093	33733	16093	0	10569	74.4	10.05	4.0

Trave : 201 [28 , 36] Pilastrate [17 , 25]

Sez. R: $B_y = 40.0 \text{ cm}$ $B_z = 50.0 \text{ cm}$ $L = 710.0 \text{ cm}$ $L_n = 690.0 \text{ cm}$

Criterio : CLS_TraviAlte_Esist - Verifica a flessione $r_{cm} = 135 \text{ [kg/cmq]}$, $f_{ym} = 4200 \text{ [kg/cmq]}$, $FC = 1.20$ $q_d = 2.5$, $q_f = 1.5$

::Verificato

X	M-	M+	$\Delta M-$	$\Delta M+$	Afs	Afi	Mr-	Mr+	C-	C+	CS
cm	kg*m	kg*m	kg*m	kg*m	cmq	cmq	kg*m	kg*m			
ILN	7977	3652	--	--	6.28	6.28	10569	10569	(22+23)-V-4	(22+23)-V-1	1.3
69.0	5719	3606	--	--	6.28	6.28	10569	10569	(22+23)-V-4	(22+23)-V-1	1.8
CAMP	3699	1428	--	--	6.28	6.28	10569	10569	(22+23)-V-4	(22+23)-VI-1	2.9
621.0	5340	3777	--	--	6.28	6.28	10569	10569	(22+23)-V-1	(22+23)-V-4	2.0
FLN	7529	3892	--	--	6.28	6.28	10569	10569	(22+23)-V-1	(22+23)-V-4	1.4

X	x-	d-	x-/d-	x+	d+	x+/d+	Mr-	Mr+	C-	C+	Stato-	Stato+
cm	cm	cm		cm	cm		kg*m	kg*m				
ILN	14.1	49.0	0.288	13.9	49.0	0.283	10569	10569	(22+23)-V-4	(22+23)-V-1	Parz.	Parz.
69.0	14.0	49.0	0.285	13.9	49.0	0.283	10569	10569	(22+23)-V-4	(22+23)-V-1	Parz.	Parz.
CAMP	13.9	49.0	0.283	13.8	49.0	0.281	10569	10569	(22+23)-V-4	(22+23)-VI-1	Parz.	Parz.
621.0	14.0	49.0	0.285	13.9	49.0	0.283	10569	10569	(22+23)-V-1	(22+23)-V-4	Parz.	Parz.
FLN	14.1	49.0	0.287	13.9	49.0	0.283	10569	10569	(22+23)-V-1	(22+23)-V-4	Parz.	Parz.

Verifica a taglio: $\cot(\theta)$ Sin=2.500, $\cot(\theta)$ Cen=2.500, $\cot(\theta)$ Des=2.500

Comb Sin=(22+23)-V-4 Cen=(22+23)-V-4 Des=(22+23)-V-1

Sez	Td	VRdns	VRcd	VRsd	VRd	Tpl	Mr	Dx	Staffe	CS
	kg	kg	kg	kg	kg	kg	kg*m	cm	cmq/m	
Sin	4427	--	16093	34597	16093	0	10569	78.0	10.31	3.6
Cen	3737	--	16093	13657	13657	--	--	--	4.07	3.7
Des	4327	--	16093	34597	16093	0	10569	78.0	10.31	3.7

Trave : 201 [36 , 44] Pilastrate [25 , 2]

Sez. R: $B_y = 40.0 \text{ cm}$ $B_z = 50.0 \text{ cm}$ $L = 713.0 \text{ cm}$ $L_n = 693.0 \text{ cm}$

Criterio : CLS_TraviAlte_Esist - Verifica a flessione $r_{cm} = 135 \text{ [kg/cmq]}$, $f_{ym} = 4200 \text{ [kg/cmq]}$, $FC = 1.20$ $q_d = 2.5$, $q_f = 1.5$

::Verificato

X	M-	M+	$\Delta M-$	$\Delta M+$	Afs	Afi	Mr-	Mr+	C-	C+	CS
cm	kg*m	kg*m	kg*m	kg*m	cmq	cmq	kg*m	kg*m			
ILN	7798	3834	--	--	6.28	6.28	10569	10569	(22+23)-VII-4	(22+23)-VII-1	1.4
69.3	5502	3728	--	--	6.28	6.28	10569	10569	(22+23)-VII-4	(22+23)-VII-1	1.9
CAMP	3742	3854	--	--	6.28	6.28	10569	10569	(22+23)-VII-1	(22+23)-VII-4	2.7
623.7	5769	4230	--	--	6.28	6.28	10569	10569	(22+23)-VII-1	(22+23)-VII-4	1.8
FLN	8036	4365	--	--	6.28	6.28	10569	10569	(22+23)-VII-1	(22+23)-VII-4	1.3

X	x-	d-	x-/d-	x+	d+	x+/d+	Mr-	Mr+	C-	C+	Stato-	Stato+
cm	cm	cm		cm	cm		kg*m	kg*m				
ILN	14.1	49.0	0.288	13.9	49.0	0.283	10569	10569	(22+23)-VII-4	(22+23)-VII-1	Parz.	Parz.
69.3	14.0	49.0	0.285	13.9	49.0	0.283	10569	10569	(22+23)-VII-4	(22+23)-VII-1	Parz.	Parz.

X	x-	d-	x-/d-	x+	d+	x+/d+	Mr-	Mr+	C-	C+	Stato-	Stato+
CAMP	13.9	49.0	0.283	13.9	49.0	0.283	10569	10569	(22+23)-VII-1	(22+23)-VII-4	Parz.	Parz.
623.7	14.0	49.0	0.285	13.9	49.0	0.284	10569	10569	(22+23)-VII-1	(22+23)-VII-4	Parz.	Parz.
FLN	14.1	49.0	0.288	13.9	49.0	0.284	10569	10569	(22+23)-VII-1	(22+23)-VII-4	Parz.	Parz.

Verifica a taglio: $\cot(\theta)$ Sin=2.500, $\cot(\theta)$ Cen=2.500, $\cot(\theta)$ Des=2.500

Comb Sin=(22+23)-VII-4 Cen=(22+23)-VII-4 Des=(22+23)-VII-1

Sez	Td	VRdns	VRcd	VRsd	VRd	Tpl	Mr	Dx	Staffe	CS
	kg	kg	kg	kg	kg	kg	kg*m	cm	cmq/m	
Sin	4512	--	16093	34438	16093	0	10569	78.4	10.26	3.6
Cen	3819	--	16093	13594	13594	--	--	--	4.05	3.6
Des	4469	--	16093	34438	16093	0	10569	78.4	10.26	3.6

Trave : 202 [24 , 32] Pilastrate [13 , 21]

Sez. R: By= 40.0 cm Bz=60.0 cm L=505.0 cm Ln=505.0 cm

Criterio : CLS_TraviAlte_Esist - Verifica a flessione $r_{cm}=135$ [kg/cm], $f_{ym}=4200$ [kg/cm], FC=1.20 qd=2.5, qf=1.5

::Verificato

X	M-	M+	$\Delta M-$	$\Delta M+$	Afs	Afi	Mr-	Mr+	C-	C+	CS
cm	kg*m	kg*m	kg*m	kg*m	cmq	cmq	kg*m	kg*m			
ILN	5598	6006	--	--	9.42	6.28	19047	12770	(22+23)-III-3	(22+23)-III-2	2.1
50.5	4305	5670	--	--	9.42	6.28	19047	12770	(22+23)-III-3	(22+23)-III-2	2.3
CAMP	3167	5182	--	--	6.28	6.28	12768	12768	(22+23)-III-3	(22+23)-III-2	2.5
454.5	2595	599	--	--	9.42	6.28	19047	12770	(22+23)-III-2	(22+23)-III-3	7.3
FLN	4298	504	--	--	9.42	6.28	19047	12770	(22+23)-III-2	(22+23)-III-3	4.4

X	x-	d-	x-/d-	x+	d+	x+/d+	Mr-	Mr+	C-	C+	Stato-	Stato+
cm	cm	cm		cm	cm		kg*m	kg*m				
ILN	19.1	59.0	0.323	14.5	59.0	0.246	19047	12770	(22+23)-III-3	(22+23)-III-2	Parz.	Parz.
50.5	19.0	59.0	0.322	14.5	59.0	0.246	19047	12770	(22+23)-III-3	(22+23)-III-2	Parz.	Parz.
CAMP	15.7	59.0	0.265	15.7	59.0	0.267	12768	12768	(22+23)-III-3	(22+23)-III-2	Parz.	Parz.
454.5	18.9	59.0	0.321	14.3	59.0	0.243	19047	12770	(22+23)-III-2	(22+23)-III-3	Parz.	Parz.
FLN	19.0	59.0	0.322	14.3	59.0	0.243	19047	12770	(22+23)-III-2	(22+23)-III-3	Parz.	Parz.

Verifica a taglio: $\cot(\theta)$ Sin=2.500, $\cot(\theta)$ Cen=2.500, $\cot(\theta)$ Des=2.500

Comb Sin=(22+23)-III-3 Cen=(22+23)-III-2 Des=(22+23)-III-2

Sez	Td	VRdns	VRcd	VRsd	VRd	Tpl	Mr	Dx	Staffe	CS
	kg	kg	kg	kg	kg	kg	kg*m	cm	cmq/m	
Sin	3653	--	19377	40617	19377	0	12770	60.0	10.05	5.3
Cen	3879	--	19377	16482	16482	--	--	--	4.08	4.2
Des	4485	--	19377	40617	19377	0	19047	60.0	10.05	4.3

Trave : 202 [32 , 34] Pilastrate [21 , 23]

Sez. R: By= 40.0 cm Bz=60.0 cm L=420.0 cm Ln=380.0 cm

Criterio : CLS_TraviAlte_Esist - Verifica a flessione $r_{cm}=135$ [kg/cm], $f_{ym}=4200$ [kg/cm], FC=1.20 qd=2.5, qf=1.5

::Verificato

X	M-	M+	$\Delta M-$	$\Delta M+$	Afs	Afi	Mr-	Mr+	C-	C+	CS
cm	kg*m	kg*m	kg*m	kg*m	cmq	cmq	kg*m	kg*m			
ILN	2209	--	--	--	9.42	6.28	19047	12770	2	(22+23)-VIII-3	8.6
38.0	1725	--	--	--	9.42	6.28	19047	12770	(22+23)-VIII-2	(22+23)-VIII-3	11
CAMP	1349	--	--	--	9.42	6.28	19047	12770	(22+23)-VIII-2	(22+23)-IV-1	14
342.0	1605	--	--	--	9.42	6.28	19047	12770	(22+23)-I-4	(22+23)-I-1	12
FLN	2052	--	--	--	9.42	6.28	19047	12770	(22+23)-V-4	(22+23)-V-1	9.3

X	x-	d-	x-/d-	x+	d+	x+/d+	Mr-	Mr+	C-	C+	Stato-	Stato+
cm	cm	cm		cm	cm		kg*m	kg*m				
ILN	18.9	59.0	0.320	--	--	--	19047	12770	2	(22+23)-VIII-3	Parz.	--
38.0	18.9	59.0	0.320	--	--	--	19047	12770	(22+23)-VIII-2	(22+23)-VIII-3	Parz.	--
CAMP	18.9	59.0	0.320	--	--	--	19047	12770	(22+23)-VIII-2	(22+23)-IV-1	Parz.	--

X	x-	d-	x-/d-	x+	d+	x+/d+	Mr-	Mr+	C-	C+	Stato-	Stato+
342.0	18.9	59.0	0.320	--	--	--	19047	12770	(22+23)-I-4	(22+23)-I-1	Parz.	--
FLN	18.9	59.0	0.320	--	--	--	19047	12770	(22+23)-V-4	(22+23)-V-1	Parz.	--

Verifica a taglio: $\cot(\theta)$ Sin=2.500, $\cot(\theta)$ Cen=2.500, $\cot(\theta)$ Des=2.500

Comb Sin=(22+23)-V-1 Cen=(22+23)-V-1 Des=(22+23)-V-4

Sez	Td	VRdns	VRcd	VRsd	VRd	Tpl	Mr	Dx	Staffe	CS
	kg	kg	kg	kg	kg	kg	kg*m	cm	cmq/m	
Sin	1566	--	19377	40617	19377	0	12770	60.0	10.05	12
Cen	1110	--	19377	16616	16616	--	--	--	4.11	15
Des	1504	--	19377	40617	19377	0	19047	60.0	10.05	13

Trave : 202 [34 , 46] Pilastrate [23 , 35]

Sez. R: By= 40.0 cm Bz=60.0 cm L=498.0 cm Ln=498.0 cm

Criterio : CLS_TraviAlte_Esist - Verifica a flessione $r_{cm}=135$ [kg/cmq], $f_{ym}=4200$ [kg/cmq], FC=1.20 qd=2.5, qf=1.5

::Verificato

X	M-	M+	$\Delta M-$	$\Delta M+$	Afs	Afi	Mr-	Mr+	C-	C+	CS
cm	kg*m	kg*m	kg*m	kg*m	cmq	cmq	kg*m	kg*m			
ILN	4351	954	--	--	12.57	6.28	24947	12770	(22+23)-I-3	(22+23)-I-2	5.7
49.8	2591	900	--	--	12.57	6.28	24947	12770	(22+23)-I-4	(22+23)-I-1	9.6
CAMP	3813	5728	--	--	6.28	6.28	12768	12768	(22+23)-I-2	(22+23)-I-3	2.2
448.2	5071	6312	--	--	9.42	6.28	19047	12770	(22+23)-I-2	(22+23)-I-3	2.0
FLN	6479	6747	--	--	9.42	6.28	19047	12770	(22+23)-I-2	(22+23)-I-3	1.9

X	x-	d-	x-/d-	x+	d+	x+/d+	Mr-	Mr+	C-	C+	Stato-	Stato+
cm	cm	cm		cm	cm		kg*m	kg*m				
ILN	21.6	59.0	0.366	13.3	59.0	0.225	24947	12770	(22+23)-I-3	(22+23)-I-2	Parz.	Parz.
49.8	21.5	59.0	0.364	13.3	59.0	0.225	24947	12770	(22+23)-I-4	(22+23)-I-1	Parz.	Parz.
CAMP	15.7	59.0	0.266	15.8	59.0	0.267	12768	12768	(22+23)-I-2	(22+23)-I-3	Parz.	Parz.
448.2	19.0	59.0	0.323	14.5	59.0	0.246	19047	12770	(22+23)-I-2	(22+23)-I-3	Parz.	Parz.
FLN	19.1	59.0	0.324	14.5	59.0	0.246	19047	12770	(22+23)-I-2	(22+23)-I-3	Parz.	Parz.

Verifica a taglio: $\cot(\theta)$ Sin=2.500, $\cot(\theta)$ Cen=2.500, $\cot(\theta)$ Des=2.500

Comb Sin=(22+23)-I-3 Cen=(22+23)-I-3 Des=(22+23)-I-2

Sez	Td	VRdns	VRcd	VRsd	VRd	Tpl	Mr	Dx	Staffe	CS
	kg	kg	kg	kg	kg	kg	kg*m	cm	cmq/m	
Sin	4797	--	19377	40617	19377	0	24947	60.0	10.05	4.0
Cen	4199	--	19377	16823	16823	--	--	--	4.16	4.0
Des	4061	--	19377	40617	19377	0	12770	60.0	10.05	4.8

Trave : 203 [38 , 46] Pilastrate [17 , 25]

Sez. R: By= 40.0 cm Bz=60.0 cm L=710.0 cm Ln=690.0 cm

Criterio : CLS_TraviAlte_Esist - Verifica a flessione $r_{cm}=135$ [kg/cmq], $f_{ym}=4200$ [kg/cmq], FC=1.20 qd=2.5, qf=1.5

::Verificato

X	M-	M+	$\Delta M-$	$\Delta M+$	Afs	Afi	Mr-	Mr+	C-	C+	CS
cm	kg*m	kg*m	kg*m	kg*m	cmq	cmq	kg*m	kg*m			
ILN	5377	2993	--	--	9.42	6.28	19047	12770	(22+23)-V-4	(22+23)-V-1	3.5
69.0	3536	3405	--	--	9.42	6.28	19047	12770	(22+23)-V-4	(22+23)-V-1	3.7
CAMP	1982	3532	--	--	6.28	6.28	12768	12768	(22+23)-V-4	(22+23)-V-1	3.6
621.0	3637	962	--	--	12.57	6.28	24947	12770	(22+23)-VII-1	(22+23)-VII-4	6.9
FLN	5798	234	--	--	12.57	6.28	24947	12770	(22+23)-VII-1	(22+23)-VII-4	4.3

X	x-	d-	x-/d-	x+	d+	x+/d+	Mr-	Mr+	C-	C+	Stato-	Stato+
cm	cm	cm		cm	cm		kg*m	kg*m				
ILN	19.0	59.0	0.323	14.4	59.0	0.244	19047	12770	(22+23)-V-4	(22+23)-V-1	Parz.	Parz.
69.0	19.0	59.0	0.321	14.4	59.0	0.245	19047	12770	(22+23)-V-4	(22+23)-V-1	Parz.	Parz.
CAMP	15.6	59.0	0.264	15.7	59.0	0.266	12768	12768	(22+23)-V-4	(22+23)-V-1	Parz.	Parz.
621.0	21.5	59.0	0.365	13.3	59.0	0.225	24947	12770	(22+23)-VII-1	(22+23)-VII-4	Parz.	Parz.

X	x-	d-	x-/d-	x+	d+	x+/d+	Mr-	Mr+	C-	C+	Stato-	Stato+
FLN	21.6	59.0	0.367	13.3	59.0	0.225	24947	12770	(22+23)-VII-1	(22+23)-VII-4	Parz.	Parz.

Verifica a taglio: $\cot(\theta) \sin=2.500, \cot(\theta) \cos=2.500, \cot(\theta) \tan=2.500$

Comb Sin=(22+23)-VII-4 Cen=(22+23)-VII-1 Des=(22+23)-VII-1

Sez	Td	VRdns	VRcd	VRsd	VRd	Tpl	Mr	Dx	Staffe	CS
	kg	kg	kg	kg	kg	kg	kg*m	cm	cmq/m	
Sin	3487	--	19407	41658	19407	0	12770	78.0	10.31	5.6
Cen	3120	--	19407	16444	16444	--	--	--	4.07	5.3
Des	3948	--	19407	41658	19407	0	24947	78.0	10.31	4.9

Trave : 203 [46 , 54] Pilastrate [25 , 2]

Sez. R: By= 40.0 cm Bz=60.0 cm L=713.0 cm Ln=693.0 cm

Criterio : CLS_TraviAlte_Esist - Verifica a flessione $r_{cm}=135$ [kg/cm], $f_{ym}=4200$ [kg/cm], $FC=1.20$ $q_d=2.5$, $q_f=1.5$

::Verificato

X	M-	M+	$\Delta M-$	$\Delta M+$	Afs	Afi	Mr-	Mr+	C-	C+	CS
cm	kg*m	kg*m	kg*m	kg*m	cmq	cmq	kg*m	kg*m			
ILN	5561	--	--	--	12.57	6.28	24947	12770	(22+23)-VII-3	(22+23)-VII-2	4.5
69.3	3456	601	--	--	12.57	6.28	24947	12770	(22+23)-VII-3	(22+23)-VII-2	7.2
CAMP	1578	3220	--	--	6.28	6.28	12768	12768	(22+23)-VII-2	(22+23)-VII-3	4.0
623.7	3039	3018	--	--	9.42	6.28	19047	12770	(22+23)-VII-2	(22+23)-VII-3	4.2
FLN	4789	2529	--	--	9.42	6.28	19047	12770	(22+23)-VII-2	(22+23)-VII-3	4.0

X	x-	d-	x-/d-	x+	d+	x+/d+	Mr-	Mr+	C-	C+	Stato-	Stato+
cm	cm	cm		cm	cm		kg*m	kg*m				
ILN	21.6	59.0	0.367	--	--	--	24947	12770	(22+23)-VII-3	(22+23)-VII-2	Parz.	--
69.3	21.5	59.0	0.365	13.3	59.0	0.225	24947	12770	(22+23)-VII-3	(22+23)-VII-2	Parz.	Parz.
CAMP	15.6	59.0	0.264	15.7	59.0	0.265	12768	12768	(22+23)-VII-2	(22+23)-VII-3	Parz.	Parz.
623.7	18.9	59.0	0.321	14.4	59.0	0.244	19047	12770	(22+23)-VII-2	(22+23)-VII-3	Parz.	Parz.
FLN	19.0	59.0	0.322	14.4	59.0	0.244	19047	12770	(22+23)-VII-2	(22+23)-VII-3	Parz.	Parz.

Verifica a taglio: $\cot(\theta) \sin=2.500, \cot(\theta) \cos=2.500, \cot(\theta) \tan=2.500$

Comb Sin=(22+23)-VII-3 Cen=(22+23)-VII-3 Des=(22+23)-VII-2

Sez	Td	VRdns	VRcd	VRsd	VRd	Tpl	Mr	Dx	Staffe	CS
	kg	kg	kg	kg	kg	kg	kg*m	cm	cmq/m	
Sin	3774	--	19377	41467	19377	0	24947	78.4	10.26	5.1
Cen	2943	--	19377	16368	16368	--	--	--	4.05	5.6
Des	3263	--	19377	41467	19377	0	12770	78.4	10.26	5.9

Trave : 204 [46 , 54] Pilastrate [35 , 2]

Sez. R: By= 40.0 cm Bz=60.0 cm L=804.1 cm Ln=804.1 cm

Criterio : CLS_TraviAlte_Esist - Verifica a flessione $r_{cm}=135$ [kg/cm], $f_{ym}=4200$ [kg/cm], $FC=1.20$ $q_d=2.5$, $q_f=1.5$

::Verificato

X	M-	M+	$\Delta M-$	$\Delta M+$	Afs	Afi	Mr-	Mr+	C-	C+	CS
cm	kg*m	kg*m	kg*m	kg*m	cmq	cmq	kg*m	kg*m			
ILN	5485	3328	--	--	9.42	6.28	19047	12770	(22+23)-VI-2	(22+23)-VI-3	3.5
80.4	3071	3935	--	--	9.42	6.28	19047	12770	(22+23)-VI-2	(22+23)-VI-3	3.2
CAMP	--	4163	--	--	6.28	6.28	12768	12768	(22+23)-VII-4	(22+23)-VI-3	3.1
723.7	4979	2577	--	--	9.42	6.28	19047	12770	(22+23)-VI-3	(22+23)-VI-2	3.8
FLN	7803	1561	--	--	9.42	6.28	19047	12770	(22+23)-VI-3	(22+23)-VI-2	2.4

X	x-	d-	x-/d-	x+	d+	x+/d+	Mr-	Mr+	C-	C+	Stato-	Stato+
cm	cm	cm		cm	cm		kg*m	kg*m				
ILN	19.0	59.0	0.323	14.4	59.0	0.245	19047	12770	(22+23)-VI-2	(22+23)-VI-3	Parz.	Parz.
80.4	18.9	59.0	0.321	14.4	59.0	0.245	19047	12770	(22+23)-VI-2	(22+23)-VI-3	Parz.	Parz.
CAMP	--	--	--	15.7	59.0	0.266	12768	12768	(22+23)-VII-4	(22+23)-VI-3	--	Parz.
723.7	19.0	59.0	0.322	14.4	59.0	0.244	19047	12770	(22+23)-VI-3	(22+23)-VI-2	Parz.	Parz.
FLN	19.2	59.0	0.325	14.4	59.0	0.244	19047	12770	(22+23)-VI-3	(22+23)-VI-2	Parz.	Parz.

Verifica a taglio: $\cot(\theta)$ Sin=2.500, $\cot(\theta)$ Cen=2.500, $\cot(\theta)$ Des=2.500

Comb Sin=(22+23)-VI-2 Cen=(22+23)-VI-3 Des=(22+23)-VI-3

Sez	Td	VRdns	VRcd	VRsd	VRd	Tpl	Mr	Dx	Staffe	CS
	kg	kg	kg	kg	kg	kg	kg*m	cm	cmq/m	
Sin	3673	--	19377	40617	19377	0	12770	91.6	10.05	5.3
Cen	3233	--	19377	16247	16247	--	--	--	4.02	5.0
Des	4181	--	19377	40617	19377	0	19047	91.6	10.05	4.6

Trave : 205 [24 , 38] Pilastrate [13 , 17]

Sez. R: $B_y = 40.0 \text{ cm}$ $B_z = 60.0 \text{ cm}$ $L = 804.1 \text{ cm}$ $L_n = 804.1 \text{ cm}$

Criterio : CLS_TraviAlte_Esist - Verifica a flessione $r_{cm} = 135 \text{ [kg/cmq]}$, $f_{ym} = 4200 \text{ [kg/cmq]}$, $FC = 1.20$ $q_d = 2.5$, $q_f = 1.5$

::Verificato

X	M-	M+	$\Delta M-$	$\Delta M+$	Afs	Afi	Mr-	Mr+	C-	C+	CS
cm	kg*m	kg*m	kg*m	kg*m	cmq	cmq	kg*m	kg*m			
ILN	4577	1564	--	--	9.42	6.28	19047	12770	(22+23)-IV-4	(22+23)-IV-1	4.2
80.4	2318	2524	--	--	9.42	6.28	19047	12770	(22+23)-IV-4	(22+23)-IV-1	5.1
CAMP	--	3541	--	--	6.28	6.28	12768	12768	(22+23)-III-3	1	3.6
723.7	3622	2137	--	--	9.42	6.28	19047	12770	(22+23)-IV-1	(22+23)-IV-4	5.3
FLN	6094	968	--	--	9.42	6.28	19047	12770	(22+23)-IV-1	(22+23)-IV-4	3.1

X	x-	d-	x-/d-	x+	d+	x+/d+	Mr-	Mr+	C-	C+	Stato-	Stato+
cm	cm	cm		cm	cm		kg*m	kg*m				
ILN	19.0	59.0	0.322	14.4	59.0	0.244	19047	12770	(22+23)-IV-4	(22+23)-IV-1	Parz.	Parz.
80.4	18.9	59.0	0.320	14.4	59.0	0.244	19047	12770	(22+23)-IV-4	(22+23)-IV-1	Parz.	Parz.
CAMP	--	--	--	15.7	59.0	0.266	12768	12768	(22+23)-III-3	1	--	Parz.
723.7	19.0	59.0	0.321	14.4	59.0	0.244	19047	12770	(22+23)-IV-1	(22+23)-IV-4	Parz.	Parz.
FLN	19.1	59.0	0.323	14.4	59.0	0.243	19047	12770	(22+23)-IV-1	(22+23)-IV-4	Parz.	Parz.

Verifica a taglio: $\cot(\theta)$ Sin=2.500, $\cot(\theta)$ Cen=2.500, $\cot(\theta)$ Des=2.500

Comb Sin=(22+23)-IV-4 Cen=(22+23)-IV-1 Des=(22+23)-IV-1

Sez	Td	VRdns	VRcd	VRsd	VRd	Tpl	Mr	Dx	Staffe	CS
	kg	kg	kg	kg	kg	kg	kg*m	cm	cmq/m	
Sin	3378	--	19377	40617	19377	0	12770	91.6	10.05	5.7
Cen	2693	--	19377	16247	16247	--	--	--	4.02	6.0
Des	3641	--	19377	40617	19377	0	19047	91.6	10.05	5.3

Trave : 206 [10 , 802] Pilastrate [- , -]

Sez. R: $B_y = 80.0 \text{ cm}$ $B_z = 20.0 \text{ cm}$ $L = 645.0 \text{ cm}$ $L_n = 645.0 \text{ cm}$

Criterio : CLS_TraviSpessore_Esist - Verifica a flessione $r_{cm} = 300 \text{ [kg/cmq]}$, $f_{ym} = 4400 \text{ [kg/cmq]}$, $FC = 1.20$ $q_d = 2.5$,

$q_f = 1.5$::Verificato

X	M-	M+	$\Delta M-$	$\Delta M+$	Afs	Afi	Mr-	Mr+	C-	C+	CS
cm	kg*m	kg*m	kg*m	kg*m	cmq	cmq	kg*m	kg*m			
ILN	1991	--	--	--	12.57	12.57	7064	7064	(22+23)-V-4	(22+23)-V-1	3.5
64.5	1118	165	--	--	12.57	12.57	7064	7064	(22+23)-V-4	(22+23)-V-1	6.3
CAMP	--	994	--	--	12.57	12.57	7064	7064	(22+23)-II-3	2	7.1
580.5	1215	82	--	--	12.57	12.57	7064	7064	(22+23)-V-1	(22+23)-V-4	5.8
FLN	2111	--	--	--	12.57	12.57	7064	7064	(22+23)-V-1	(22+23)-V-4	3.3

X	x-	d-	x-/d-	x+	d+	x+/d+	Mr-	Mr+	C-	C+	Stato-	Stato+
cm	cm	cm		cm	cm		kg*m	kg*m				
ILN	5.8	17.0	0.339	--	--	--	7064	7064	(22+23)-V-4	(22+23)-V-1	Parz.	--
64.5	5.7	17.0	0.337	5.7	17.0	0.335	7064	7064	(22+23)-V-4	(22+23)-V-1	Parz.	Parz.
CAMP	--	--	--	5.7	17.0	0.336	7064	7064	(22+23)-II-3	2	--	Parz.
580.5	5.7	17.0	0.337	5.7	17.0	0.334	7064	7064	(22+23)-V-1	(22+23)-V-4	Parz.	Parz.
FLN	5.8	17.0	0.339	--	--	--	7064	7064	(22+23)-V-1	(22+23)-V-4	Parz.	--

Verifica a taglio: $\cot(\theta)$ Sin=2.500, $\cot(\theta)$ Cen=2.500, $\cot(\theta)$ Des=2.500

Comb Sin=(22+23)-V-4 Cen=(22+23)-V-1 Des=(22+23)-V-1

Sez	Td	VRdns	VRcd	VRsd	VRd	Tpl	Mr	Dx	Staffe	CS
	kg	kg	kg	kg	kg	kg	kg*m	cm	cmq/m	
Sin	1625	--	24969	25345	24969	0	7064	77.4	20.78	15
Cen	1162	--	24969	18030	18030	--	--	--	14.78	16
Des	1660	--	24969	25345	24969	0	7064	77.4	20.78	15

Trave : 207 [803 , 10] Pilastrate [41 , 1]

Sez. R: By= 40.0 cm Bz=50.0 cm L=645.0 cm Ln=645.0 cm

Criterio : CLS_TraviAlte_Esist - Verifica a flessione $r_{cm}=135$ [kg/cm], $f_{ym}=4200$ [kg/cm], FC=1.20 qd=2.5, qf=1.5

::Verificato

X	M-	M+	$\Delta M-$	$\Delta M+$	Afs	Afi	Mr-	Mr+	C-	C+	CS
cm	kg*m	kg*m	kg*m	kg*m	cmq	cmq	kg*m	kg*m			
ILN	7015	4797	--	--	6.28	6.28	10569	10569	(22+23)-V-4	(22+23)-V-1	1.5
64.5	4914	4530	--	--	6.28	6.28	10569	10569	(22+23)-V-4	(22+23)-V-1	2.2
CAMP	--	4056	--	--	6.28	6.28	10569	10569	20	(22+23)-V-1	2.6
580.5	5096	4411	--	--	6.28	6.28	10569	10569	(22+23)-V-1	(22+23)-V-4	2.1
FLN	7235	4640	--	--	6.28	6.28	10569	10569	(22+23)-V-1	(22+23)-V-4	1.5

X	x-	d-	x-/d-	x+	d+	x+/d+	Mr-	Mr+	C-	C+	Stato-	Stato+
cm	cm	cm		cm	cm		kg*m	kg*m				
ILN	14.1	49.0	0.287	13.9	49.0	0.284	10569	10569	(22+23)-V-4	(22+23)-V-1	Parz.	Parz.
64.5	13.9	49.0	0.285	13.9	49.0	0.284	10569	10569	(22+23)-V-4	(22+23)-V-1	Parz.	Parz.
CAMP	--	--	--	13.9	49.0	0.284	10569	10569	20	(22+23)-V-1	--	Parz.
580.5	14.0	49.0	0.285	13.9	49.0	0.284	10569	10569	(22+23)-V-1	(22+23)-V-4	Parz.	Parz.
FLN	14.1	49.0	0.287	13.9	49.0	0.284	10569	10569	(22+23)-V-1	(22+23)-V-4	Parz.	Parz.

Verifica a taglio: $\cot(\theta)$ Sin=2.500, $\cot(\theta)$ Cen=2.500, $\cot(\theta)$ Des=2.500

Comb Sin=(22+23)-V-4 Cen=(22+23)-V-1 Des=(22+23)-V-1

Sez	Td	VRdns	VRcd	VRsd	VRd	Tpl	Mr	Dx	Staffe	CS
	kg	kg	kg	kg	kg	kg	kg*m	cm	cmq/m	
Sin	4499	--	16093	33733	16093	0	10569	72.6	10.05	3.6
Cen	3912	--	16093	13493	13493	--	--	--	4.02	3.4
Des	4557	--	16093	33733	16093	0	10569	72.6	10.05	3.5

Trave : 8000 [20 , 6] Pilastrate [9 , 3]

Sez. R: By= 40.0 cm Bz=50.0 cm L=687.6 cm Ln=687.6 cm

Criterio : CLS_TraviAlte_Esist - Verifica a flessione $r_{cm}=135$ [kg/cm], $f_{ym}=4200$ [kg/cm], FC=1.20 qd=2.5, qf=1.5

::Verificato

X	M-	M+	$\Delta M-$	$\Delta M+$	Afs	Afi	Mr-	Mr+	C-	C+	CS
cm	kg*m	kg*m	kg*m	kg*m	cmq	cmq	kg*m	kg*m			
ILN	12615	--	--	--	12.57	9.42	21026	15848	2	20	1.7
68.8	6133	--	--	--	12.57	9.42	21026	15848	2	20	3.4
CAMP	--	5919	--	--	6.28	9.42	10571	15748	20	2	2.7
618.8	4245	--	--	--	9.42	9.42	15846	15846	2	20	3.7
FLN	10258	--	--	--	9.42	9.42	15846	15846	2	20	1.5

X	x-	d-	x-/d-	x+	d+	x+/d+	Mr-	Mr+	C-	C+	Stato-	Stato+
cm	cm	cm		cm	cm		kg*m	kg*m				
ILN	18.2	49.0	0.372	--	--	--	21026	15848	2	20	Parz.	--
68.8	17.9	49.0	0.366	--	--	--	21026	15848	2	20	Parz.	--
CAMP	--	--	--	16.9	49.0	0.345	10571	15748	20	2	--	Parz.
618.8	15.6	49.0	0.318	--	--	--	15846	15846	2	20	Parz.	--
FLN	15.8	49.0	0.323	--	--	--	15846	15846	2	20	Parz.	--

Verifica a taglio: $\cot(\theta)$ Sin=2.500, $\cot(\theta)$ Cen=2.500, $\cot(\theta)$ Des=2.500

Comb Sin=3 Cen=3 Des=3

Sez	Td	VRdns	VRcd	VRsd	VRd	Tpl	Mr	Dx	Staffe	CS
	kg	kg	kg	kg	kg	kg	kg*m	cm	cmq/m	
Sin	10359	--	16093	33733	16093	0	21026	72.2	10.05	1.6
Cen	6401	--	16093	13493	13493	--	--	--	4.02	2.1
Des	9754	--	16093	33733	16093	0	15846	72.2	10.05	1.6

Trave : 8001 [4 , 18] Pilastrate [14 , 7]

Sez. R: By= 40.0 cm Bz=50.0 cm L=715.1 cm Ln=715.1 cm

Criterio : CLS_TraviAlte_Esist - Verifica a flessione rcm=135 [kg/cm],fym=4200 [kg/cm], FC=1.20 qd=2.5, qf=1.5

::Verificato

X	M-	M+	ΔM-	ΔM+	Afs	Afi	Mr-	Mr+	C-	C+	CS
cm	kg*m	kg*m	kg*m	kg*m	cmq	cmq	kg*m	kg*m			
ILN	21250	--	--	--	25.13	21.99	42137	36958	2	20	2.0
71.5	9426	--	--	--	25.13	21.99	42137	36958	2	20	4.5
CAMP	--	11475	--	--	12.57	21.99	21127	35514	20	2	3.1
643.6	10385	--	--	--	25.13	21.99	42137	36958	2	20	4.1
FLN	22614	--	--	--	25.13	43.98	42238	67505	2	20	1.9

X	x-	d-	x-/d-	x+	d+	x+/d+	Mr-	Mr+	C-	C+	Stato-	Stato+
cm	cm	cm		cm	cm		kg*m	kg*m				
ILN	20.5	49.0	0.419	--	--	--	42137	36958	2	20	Parz.	--
71.5	20.3	49.0	0.414	--	--	--	42137	36958	2	20	Parz.	--
CAMP	--	--	--	21.9	49.0	0.446	21127	35514	20	2	--	Parz.
643.6	20.3	49.0	0.415	--	--	--	42137	36958	2	20	Parz.	--
FLN	15.9	49.0	0.324	--	--	--	42238	67505	2	20	Parz.	--

Verifica a taglio:cot(θ) Sin=2.054,cot(θ) Cen=2.500,cot(θ) Des=1.940

Comb Sin=3 Cen=3 Des=3

Sez	Td	VRdns	VRcd	VRsd	VRd	Tpl	Mr	Dx	Staffe	CS
	kg	kg	kg	kg	kg	kg	kg*m	cm	cmq/m	
Sin	18367	--	18367	27717	18367	0	42137	81.0	10.05	1.0
Cen	11408	--	16093	17162	16093	--	--	--	5.11	1.4
Des	19006	--	19006	26177	19006	0	67505	81.0	10.05	1.0

Trave : 8001 [18 , 12] Pilastrate [7 , 4]

Sez. R: By= 40.0 cm Bz=50.0 cm L=733.4 cm Ln=714.7 cm

Criterio : CLS_TraviAlte_Esist - Verifica a flessione rcm=135 [kg/cm],fym=4200 [kg/cm], FC=1.20 qd=2.5, qf=1.5

::Verificato

X	M-	M+	ΔM-	ΔM+	Afs	Afi	Mr-	Mr+	C-	C+	CS
cm	kg*m	kg*m	kg*m	kg*m	cmq	cmq	kg*m	kg*m			
ILN	22514	--	--	--	25.13	43.98	42238	67505	2	20	1.9
71.5	10256	--	--	--	25.13	21.99	42137	36958	2	20	4.1
CAMP	--	11537	--	--	12.57	21.99	21127	35514	20	2	3.1
643.2	10261	--	--	--	25.13	21.99	42137	36958	2	20	4.1
FLN	22417	--	--	--	25.13	21.99	42137	36958	2	20	1.9

X	x-	d-	x-/d-	x+	d+	x+/d+	Mr-	Mr+	C-	C+	Stato-	Stato+
cm	cm	cm		cm	cm		kg*m	kg*m				
ILN	15.9	49.0	0.324	--	--	--	42238	67505	2	20	Parz.	--
71.5	20.3	49.0	0.415	--	--	--	42137	36958	2	20	Parz.	--
CAMP	--	--	--	21.9	49.0	0.446	21127	35514	20	2	--	Parz.
643.2	20.3	49.0	0.415	--	--	--	42137	36958	2	20	Parz.	--
FLN	20.6	49.0	0.420	--	--	--	42137	36958	2	20	Parz.	--

Verifica a taglio:cot(θ) Sin=1.976,cot(θ) Cen=2.500,cot(θ) Des=2.083

Comb Sin=3 Cen=3 Des=3

Sez	Td	VRdns	VRcd	VRsd	VRd	Tpl	Mr	Dx	Staffe	CS
	kg	kg	kg	kg	kg	kg	kg*m	cm	cmq/m	

Sez	Td	VRdns	VRcd	VRsd	VRd	Tpl	Mr	Dx	Staffe	CS
Sin	19059	--	19059	26668	19059	0	67505	75.0	10.05	1.0
Cen	11437	--	16314	17093	16314	--	--	--	5.09	1.4
Des	18456	--	18456	28112	18456	0	42137	75.0	10.05	1.0

Trave : 8002 [36 , 28] Pilastrate [25 , 6]

Sez. R: By= 40.0 cm Bz=50.0 cm L=733.4 cm Ln=696.0 cm

Criterio : CLS_TraviAlte_Esist - Verifica a flessione rcm=135 [kg/cm],fym=4200 [kg/cm], FC=1.20 qd=2.5, qf=1.5

::Verificato

X	M-	M+	ΔM-	ΔM+	Afs	Afi	Mr-	Mr+	C-	C+	CS
cm	kg*m	kg*m	kg*m	kg*m	cmq	cmq	kg*m	kg*m			
ILN	15115	--	--	--	18.85	25.13	31682	41660	2	(22+23)-VIII-1	2.1
69.6	5308	1649	--	--	18.85	25.13	31682	41660	(22+23)-VIII-4	(22+23)-VIII-1	6.0
CAMP	--	14155	--	--	12.57	25.13	21127	39532	20	2	2.8
626.4	12294	--	--	--	31.42	25.13	52216	42237	2	20	4.2
FLN	25831	--	--	--	31.42	25.13	52216	42237	2	20	2.0

X	x-	d-	x-/d-	x+	d+	x+/d+	Mr-	Mr+	C-	C+	Stato-	Stato+
cm	cm	cm		cm	cm		kg*m	kg*m				
ILN	17.0	49.0	0.346	--	--	--	31682	41660	2	(22+23)-VIII-1	Parz.	--
69.6	16.8	49.0	0.343	21.0	49.0	0.428	31682	41660	(22+23)-VIII-4	(22+23)-VIII-1	Parz.	Parz.
CAMP	--	--	--	23.2	49.0	0.473	21127	39532	20	2	--	Parz.
626.4	21.7	49.0	0.443	--	--	--	52216	42237	2	20	Parz.	--
FLN	22.0	49.0	0.448	--	--	--	52216	42237	2	20	Parz.	--

Verifica a taglio:cot(θ) Sin=2.055,cot(θ) Cen=2.500,cot(θ) Des=1.518

Comb Sin=3 Cen=3 Des=3

Sez	Td	VRdns	VRcd	VRsd	VRd	Tpl	Mr	Dx	Staffe	CS
	kg	kg	kg	kg	kg	kg	kg*m	cm	cmq/m	
Sin	18363	--	18363	28303	18363	0	41660	78.4	10.26	1.0
Cen	13481	--	16093	25948	16093	--	--	--	7.73	1.2
Des	21442	--	21442	29251	21442	0	52216	78.4	14.36	1.0

Trave : 8003 [44 , 30] Pilastrate [2 , 11]

Sez. R: By= 40.0 cm Bz=50.0 cm L=733.4 cm Ln=696.0 cm

Criterio : CLS_TraviAlte_Esist - Verifica a flessione rcm=135 [kg/cm],fym=4200 [kg/cm], FC=1.20 qd=2.5, qf=1.5

::Verificato

X	M-	M+	ΔM-	ΔM+	Afs	Afi	Mr-	Mr+	C-	C+	CS
cm	kg*m	kg*m	kg*m	kg*m	cmq	cmq	kg*m	kg*m			
ILN	8764	--	--	--	9.42	9.42	15846	15846	2	(22+23)-VI-1	1.8
69.6	3324	957	--	--	9.42	9.42	15846	15846	(22+23)-VI-4	(22+23)-VI-1	4.8
CAMP	--	7981	--	--	6.28	9.42	10571	15748	20	2	2.0
626.4	6246	--	--	--	12.57	9.42	21026	15848	2	20	3.4
FLN	13640	--	--	--	12.57	9.42	21026	15848	2	20	1.5

X	x-	d-	x-/d-	x+	d+	x+/d+	Mr-	Mr+	C-	C+	Stato-	Stato+
cm	cm	cm		cm	cm		kg*m	kg*m				
ILN	15.8	49.0	0.322	--	--	--	15846	15846	2	(22+23)-VI-1	Parz.	--
69.6	15.6	49.0	0.318	15.5	49.0	0.316	15846	15846	(22+23)-VI-4	(22+23)-VI-1	Parz.	Parz.
CAMP	--	--	--	17.0	49.0	0.347	10571	15748	20	2	--	Parz.
626.4	17.9	49.0	0.366	--	--	--	21026	15848	2	20	Parz.	--
FLN	18.3	49.0	0.373	--	--	--	21026	15848	2	20	Parz.	--

Verifica a taglio:cot(θ) Sin=2.500,cot(θ) Cen=2.500,cot(θ) Des=2.500

Comb Sin=3 Cen=3 Des=3

Sez	Td	VRdns	VRcd	VRsd	VRd	Tpl	Mr	Dx	Staffe	CS
	kg	kg	kg	kg	kg	kg	kg*m	cm	cmq/m	
Sin	10325	--	16093	34434	16093	0	15846	78.4	10.26	1.6

Sez	Td	VRdns	VRcd	VRsd	VRd	Tpl	Mr	Dx	Staffe	CS
Cen	7316	--	16093	13592	13592	--	--	--	4.05	1.9
Des	11726	--	16093	34434	16093	0	21026	78.4	10.26	1.4

Trave : 8004 [2 , 20] Pilastrate [12 , 9]

Sez. R: By= 40.0 cm Bz=50.0 cm L=717.6 cm Ln=711.8 cm

Criterio : CLS_TraviAlte_Esist - Verifica a flessione rcm=135 [kg/cm²],fym=4200 [kg/cm²], FC=1.20 qd=2.5, qf=1.5

::Verificato

X	M-	M+	ΔM-	ΔM+	Afs	Afi	Mr-	Mr+	C-	C+	CS
cm	kg*m	kg*m	kg*m	kg*m	cmq	cmq	kg*m	kg*m			
ILN	11003	--	--	--	9.42	9.42	15846	15846	2	20	1.4
71.2	4697	--	--	--	9.42	9.42	15846	15846	2	20	3.4
CAMP	--	6490	--	--	6.28	9.42	10571	15748	20	2	2.4
640.6	5309	--	--	--	12.57	9.42	21026	15848	2	20	4.0
FLN	11933	--	--	--	12.57	9.42	21026	15848	2	20	1.8

X	x-	d-	x-/d-	x+	d+	x+/d+	Mr-	Mr+	C-	C+	Stato-	Stato+
cm	cm	cm		cm	cm		kg*m	kg*m				
ILN	15.9	49.0	0.324	--	--	--	15846	15846	2	20	Parz.	--
71.2	15.6	49.0	0.319	--	--	--	15846	15846	2	20	Parz.	--
CAMP	--	--	--	16.9	49.0	0.345	10571	15748	20	2	--	Parz.
640.6	17.9	49.0	0.365	--	--	--	21026	15848	2	20	Parz.	--
FLN	18.2	49.0	0.371	--	--	--	21026	15848	2	20	Parz.	--

Verifica a taglio:cot(θ) Sin=2.500,cot(θ) Cen=2.500,cot(θ) Des=2.500

Comb Sin=3 Cen=3 Des=3

Sez	Td	VRdns	VRcd	VRsd	VRd	Tpl	Mr	Dx	Staffe	CS
	kg	kg	kg	kg	kg	kg	kg*m	cm	cmq/m	
Sin	9834	--	16093	33733	16093	0	15846	80.7	10.05	1.6
Cen	6191	--	16093	13493	13493	--	--	--	4.02	2.2
Des	10350	--	16093	33733	16093	0	21026	80.7	10.05	1.6

Trave : 8005 [38 , 10] Pilastrate [37 , 1]

Sez. R: By= 40.0 cm Bz=50.0 cm L=610.1 cm Ln=610.1 cm

Criterio : CLS_TraviAlte_Esist - Verifica a flessione rcm=135 [kg/cm²],fym=4200 [kg/cm²], FC=1.20 qd=2.5, qf=1.5

::Verificato

X	M-	M+	ΔM-	ΔM+	Afs	Afi	Mr-	Mr+	C-	C+	CS
cm	kg*m	kg*m	kg*m	kg*m	cmq	cmq	kg*m	kg*m			
ILN	8219	--	--	--	6.28	6.28	10569	10569	2	20	1.3
61.0	3425	--	--	--	6.28	6.28	10569	10569	2	20	3.1
CAMP	--	4864	--	--	6.28	6.28	10569	10569	20	2	2.2
549.1	4264	--	--	--	9.42	6.28	15748	10571	2	20	3.7
FLN	9268	--	--	--	9.42	6.28	15748	10571	2	20	1.7

X	x-	d-	x-/d-	x+	d+	x+/d+	Mr-	Mr+	C-	C+	Stato-	Stato+
cm	cm	cm		cm	cm		kg*m	kg*m				
ILN	14.1	49.0	0.288	--	--	--	10569	10569	2	20	Parz.	--
61.0	13.9	49.0	0.283	--	--	--	10569	10569	2	20	Parz.	--
CAMP	--	--	--	13.9	49.0	0.284	10569	10569	20	2	--	Parz.
549.1	16.8	49.0	0.343	--	--	--	15748	10571	2	20	Parz.	--
FLN	17.1	49.0	0.348	--	--	--	15748	10571	2	20	Parz.	--

Verifica a taglio:cot(θ) Sin=2.500,cot(θ) Cen=2.500,cot(θ) Des=2.500

Comb Sin=3 Cen=3 Des=3

Sez	Td	VRdns	VRcd	VRsd	VRd	Tpl	Mr	Dx	Staffe	CS
	kg	kg	kg	kg	kg	kg	kg*m	cm	cmq/m	
Sin	8750	--	16093	34692	16093	0	10569	68.1	10.34	1.8
Cen	5525	--	16093	13493	13493	--	--	--	4.02	2.4

Sez	Td	VRdns	VRcd	VRsd	VRd	Tpl	Mr	Dx	Staffe	CS
Des	9094	--	16093	34692	16093	0	15748	68.1	10.34	1.8

Trave : 8005 [10 , 802] Pilastrate [1 , -]

Sez. R: By= 40.0 cm Bz=50.0 cm L=81.5 cm Ln=81.5 cm

Criterio : CLS_TraviAlte_Esist - Verifica a flessione rcm=135 [kg/cm],fym=4200 [kg/cm], FC=1.20 qd=2.5, qf=1.5

::Verificato

X	M-	M+	ΔM-	ΔM+	Afs	Afi	Mr-	Mr+	C-	C+	CS
cm	kg*m	kg*m	kg*m	kg*m	cmq	cmq	kg*m	kg*m			
ILN	11290	--	--	--	9.42	6.28	15748	10571	2	20	1.4
8.1	10725	--	--	--	9.42	6.28	15748	10571	2	20	1.5
CAMP	10165	--	--	--	9.42	6.28	15748	10571	2	20	1.5
73.3	6353	--	--	--	9.42	15.71	15849	25827	2	20	2.5
FLN	5824	--	--	--	9.42	15.71	15849	25827	2	20	2.7

X	x-	d-	x-/d-	x+	d+	x+/d+	Mr-	Mr+	C-	C+	Stato-	Stato+
cm	cm	cm		cm	cm		kg*m	kg*m				
ILN	17.2	49.0	0.351	--	--	--	15748	10571	2	20	Parz.	--
8.1	17.2	49.0	0.350	--	--	--	15748	10571	2	20	Parz.	--
CAMP	17.1	49.0	0.350	--	--	--	15748	10571	2	20	Parz.	--
73.3	13.6	49.0	0.279	--	--	--	15849	25827	2	20	Parz.	--
FLN	13.6	49.0	0.278	--	--	--	15849	25827	2	20	Parz.	--

Verifica a taglio:cot(θ)=2.500

Comb =(22+23)-V-2

Sez	Td	VRdns	VRcd	VRsd	VRd	Tpl	Mr	Dx	Staffe	CS
	kg	kg	kg	kg	kg	kg	kg*m	cm	cmq/m	
Sin	7283	--	16465	34708	16465	0	15748	81.5	10.34	2.3
Des							25827			

Trave : 8005 [802 , 44] Pilastrate [- , 10]

Sez. R: By= 40.0 cm Bz=50.0 cm L=691.5 cm Ln=691.5 cm

Criterio : CLS_TraviAlte_Esist - Verifica a flessione rcm=135 [kg/cm],fym=4200 [kg/cm], FC=1.20 qd=2.5, qf=1.5

::Verificato

X	M-	M+	ΔM-	ΔM+	Afs	Afi	Mr-	Mr+	C-	C+	CS
cm	kg*m	kg*m	kg*m	kg*m	cmq	cmq	kg*m	kg*m			
ILN	8061	--	--	--	6.28	15.71	10571	24958	2	20	1.3
69.2	2247	--	--	--	6.28	9.42	10571	15748	2	20	4.7
CAMP	--	7036	--	--	6.28	9.42	10571	15748	20	2	2.2
622.4	6033	--	--	--	12.57	9.42	21026	15848	2	20	3.5
FLN	12792	--	--	--	12.57	9.42	21026	15848	2	20	1.6

X	x-	d-	x-/d-	x+	d+	x+/d+	Mr-	Mr+	C-	C+	Stato-	Stato+
cm	cm	cm		cm	cm		kg*m	kg*m				
ILN	10.9	49.0	0.222	--	--	--	10571	24958	2	20	Parz.	--
69.2	12.7	49.0	0.258	--	--	--	10571	15748	2	20	Parz.	--
CAMP	--	--	--	16.9	49.0	0.346	10571	15748	20	2	--	Parz.
622.4	17.9	49.0	0.366	--	--	--	21026	15848	2	20	Parz.	--
FLN	18.2	49.0	0.372	--	--	--	21026	15848	2	20	Parz.	--

Verifica a taglio:cot(θ) Sin=2.500,cot(θ) Cen=2.500,cot(θ) Des=2.500

Comb Sin=3 Cen=3 Des=3

Sez	Td	VRdns	VRcd	VRsd	VRd	Tpl	Mr	Dx	Staffe	CS
	kg	kg	kg	kg	kg	kg	kg*m	cm	cmq/m	
Sin	9417	--	16190	34708	16190	0	24958	77.8	10.34	1.7
Cen	6745	--	16190	13701	13701	--	--	--	4.08	2.0
Des	10785	--	16190	34708	16190	0	21026	77.8	10.34	1.5

Trave : 8006 [36 , 803] Pilastrate [35 , 41]

Sez. R: By= 40.0 cm Bz=50.0 cm L=610.1 cm Ln=610.1 cm

Criterio : CLS_TraviAlte_Esist - Verifica a flessione rcm=135 [kg/cm],fym=4200 [kg/cm], FC=1.20 qd=2.5, qf=1.5

::Verificato

X	M-	M+	ΔM-	ΔM+	Afs	Afi	Mr-	Mr+	C-	C+	CS
cm	kg*m	kg*m	kg*m	kg*m	cmq	cmq	kg*m	kg*m			
ILN	8551	--	--	--	9.42	6.28	15748	10571	2	(22+23)-VI-1	1.8
61.0	3663	--	--	--	9.42	6.28	15748	10571	2	(22+23)-VI-1	4.3
CAMP	--	5002	--	--	6.28	6.28	10569	10569	20	2	2.1
549.1	3750	--	--	--	6.28	6.28	10569	10569	2	(22+23)-VI-4	2.8
FLN	8660	--	--	--	9.42	6.28	15748	10571	2	20	1.8

X	x-	d-	x-/d-	x+	d+	x+/d+	Mr-	Mr+	C-	C+	Stato-	Stato+
cm	cm	cm		cm	cm		kg*m	kg*m				
ILN	17.0	49.0	0.348	--	--	--	15748	10571	2	(22+23)-VI-1	Parz.	--
61.0	16.8	49.0	0.342	--	--	--	15748	10571	2	(22+23)-VI-1	Parz.	--
CAMP	--	--	--	13.9	49.0	0.285	10569	10569	20	2	--	Parz.
549.1	13.9	49.0	0.283	--	--	--	10569	10569	2	(22+23)-VI-4	Parz.	--
FLN	17.0	49.0	0.348	--	--	--	15748	10571	2	20	Parz.	--

Verifica a taglio:cot(θ) Sin=2.500,cot(θ) Cen=2.500,cot(θ) Des=2.500

Comb Sin=3 Cen=3 Des=3

Sez	Td	VRdns	VRcd	VRsd	VRd	Tpl	Mr	Dx	Staffe	CS
	kg	kg	kg	kg	kg	kg	kg*m	cm	cmq/m	
Sin	8904	--	16093	34692	16093	0	10571	68.1	10.34	1.8
Cen	5371	--	16093	13493	13493	--	--	--	4.02	2.5
Des	8940	--	16093	34692	16093	0	15748	68.1	10.34	1.8

Trave : 8006 [803 , 10] Pilastrate [41 , -]

Sez. R: By= 40.0 cm Bz=50.0 cm L=81.5 cm Ln=81.5 cm

Criterio : CLS_TraviAlte_Esist - Verifica a flessione rcm=135 [kg/cm],fym=4200 [kg/cm], FC=1.20 qd=2.5, qf=1.5

::Verificato

X	M-	M+	ΔM-	ΔM+	Afs	Afi	Mr-	Mr+	C-	C+	CS
cm	kg*m	kg*m	kg*m	kg*m	cmq	cmq	kg*m	kg*m			
ILN	9811	--	--	--	9.42	6.28	15748	10571	2	20	1.6
8.1	9386	--	--	--	9.42	6.28	15748	10571	2	20	1.7
CAMP	8964	--	--	--	9.42	6.28	15748	10571	2	20	1.8
73.3	6122	--	--	--	9.42	15.71	15849	25827	2	20	2.6
FLN	5732	--	--	--	9.42	15.71	15849	25827	2	20	2.8

X	x-	d-	x-/d-	x+	d+	x+/d+	Mr-	Mr+	C-	C+	Stato-	Stato+
cm	cm	cm		cm	cm		kg*m	kg*m				
ILN	17.1	49.0	0.349	--	--	--	15748	10571	2	20	Parz.	--
8.1	17.1	49.0	0.349	--	--	--	15748	10571	2	20	Parz.	--
CAMP	17.1	49.0	0.348	--	--	--	15748	10571	2	20	Parz.	--
73.3	13.6	49.0	0.278	--	--	--	15849	25827	2	20	Parz.	--
FLN	13.6	49.0	0.278	--	--	--	15849	25827	2	20	Parz.	--

Verifica a taglio:cot(θ) =2.500

Comb =(22+23)-V-2

Sez	Td	VRdns	VRcd	VRsd	VRd	Tpl	Mr	Dx	Staffe	CS
	kg	kg	kg	kg	kg	kg	kg*m	cm	cmq/m	
Sin	6373	--	16464	34987	16464	0	15748	81.5	10.43	2.6
Des							25827			

Trave : 8006 [10 , 32] Pilastrate [- , 8]

Sez. R: By= 40.0 cm Bz=50.0 cm L=691.5 cm Ln=672.9 cm

Criterio : CLS_TraviAlte_Esist - Verifica a flessione $r_{cm}=135$ [kg/cmq], $f_{ym}=4200$ [kg/cmq], $FC=1.20$ $q_d=2.5$, $q_f=1.5$

::Verificato

X	M-	M+	$\Delta M-$	$\Delta M+$	Afs	Afi	Mr-	Mr+	C-	C+	CS
cm	kg*m	kg*m	kg*m	kg*m	cmq	cmq	kg*m	kg*m			
ILN	7697	--	--	--	6.28	15.71	10571	24958	2	20	1.4
67.3	2232	--	--	--	6.28	9.42	10571	15748	2	(22+23)-VI-1	4.7
CAMP	--	6452	--	--	6.28	9.42	10571	15748	20	2	2.4
605.6	5940	--	--	--	12.57	9.42	21026	15848	2	20	3.5
FLN	12331	--	--	--	12.57	9.42	21026	15848	2	20	1.7

X	x-	d-	x-/d-	x+	d+	x+/d+	Mr-	Mr+	C-	C+	Stato-	Stato+
cm	cm	cm		cm	cm		kg*m	kg*m				
ILN	10.9	49.0	0.222	--	--	--	10571	24958	2	20	Parz.	--
67.3	12.7	49.0	0.258	--	--	--	10571	15748	2	(22+23)-VI-1	Parz.	--
CAMP	--	--	--	16.9	49.0	0.345	10571	15748	20	2	--	Parz.
605.6	17.9	49.0	0.366	--	--	--	21026	15848	2	20	Parz.	--
FLN	18.2	49.0	0.372	--	--	--	21026	15848	2	20	Parz.	--

Verifica a taglio: $\cot(\theta) \sin=2.500$, $\cot(\theta) \cos=2.500$, $\cot(\theta) \tan=2.500$

Comb $\sin=3$ $\cos=3$ $\tan=3$

Sez	Td	VRdns	VRcd	VRsd	VRd	Tpl	Mr	Dx	Staffe	CS
	kg	kg	kg	kg	kg	kg	kg*m	cm	cmq/m	
Sin	9099	--	16278	34545	16278	0	24958	78.1	10.30	1.8
Cen	6561	--	16278	13636	13636	--	--	--	4.06	2.1
Des	10476	--	16278	34545	16278	0	21026	78.1	10.30	1.6

Verifica dei Muri in calcestruzzo

Scenario di calcolo : **Scenario di calcolo N.T. 2018**

Simbologia:

Muro : [n] Indice del muro in verifica

Nodi : [n1-n2-n3-n4] Indici dei nodi di attacco del muro

Pann.X : Numero di pannelli in direzione locale X del muro

Pann.Y : Numero di pannelli in direzione locale Y del muro

Spess : Spessore del muro cm

Criterio : Criterio di verifica adottato per la verifica

Pannello : [n] Indice del pannello

N_x : sforzo in direzione x locale per metro lineare ($N_x=s_{xx}*\text{spessore}$) kg

N_y : sforzo in direzione y locale per metro lineare ($N_y=s_{yy}*\text{spessore}$) kg

N_{xy} : sforzo tagliante locale per metro lineare ($N_{xy}=s_{xy}*\text{spessore}$) kg

M_x : Momento in direzione x locale per metro lineare kg*m

M_y : Momento in direzione y locale per metro lineare kg*m

M_{xy} : Momento torcente locale per metro lineare kg*m

A_x : Armatura totale pannello in direzione x locale mq

A_y : Armatura totale pannello in direzione y locale mq

Le armature A_x ed A_y vanno intese come a metro lineare di pannello.

ϵ_c : Deformazione nel cls⁽¹⁾
 ϵ_f : Deformazione nel ferro⁽¹⁾

Massimi : Armature massime riscontrate nel muro
 Massimo : massima sigma ideale riscontrata nel muro

Verifiche a punzonamento:

Nodo : Numero del nodo
 Cmb : Combinazione
 Fpunz: Forza di punzonamento
 Af X-Y: Armatura aggiuntiva nelle due direzioni

rcm[kg/cmq] = resistenza media calcestruzzo

fym[kg/cmq] = resistenza media acciaio

FC = fattore di confidenza

qd = fattore di comportamento verifiche duttili

qf = fattore di comportamento verifiche fragili

$\sigma_{id} + \sigma_{id} - (\sigma_x^2 + \sigma_y^2 - \sigma_x \sigma_y + 3 \tau_{xy}^2)^{1/2}$ Tensioni ideali ai lembi della lastra (Acciaio kg/cmq Legno kg/cmq)

Fatt.Ampl.Sisma = fattore moltiplicativo di gruppo per le azioni sismiche (solo se diverso da 1.0)

Cs : Coefficiente di sicurezza definito dal rapporto $|M_r(N)|/|M_d|$ ($M_r(N)$ =Momento resistente corrispondente allo sforzo normale N, M_d =momento agente), quando richiesto dal criterio di verifica

ζ_E : Livello di sicurezza sismico definito come rapporto tra l'accelerazione sopportabile e l'accelerazione di progetto, quando richiesto dal criterio di verifica

Note Verifica muri:

⁽¹⁾: le deformazioni sono stampate a meno del fattore 10^{-3}

esse si riferiscono alla verifica considerando quali sollecitazioni di progetto $M_{x,d} = M_x \pm |M_{xy}|$, $M_{y,d} = M_y \pm |M_{xy}|$ scegliendo il segno in modo tale da rendere massimo in valore assoluto il relativo momento flettente

Le sollecitazioni stampate si riferiscono alle sollecitazioni in una data combinazione riferite al sistema locale del pannello

Muro :1 - Nodi : [1 - 805 - 10 - 809] : Verificato

Pann.X=4 Pann.Y=4 Spess.= 30 cm Criterio CLS_Muri_Esist Materiale: C20/25rcm=200
 [kg/cmq], fym=4200 [kg/cmq], FC=1.20 qd=2.5, qf=1.5 :

Armatura a maglia doppia

Pannello	Nx	Ny	Nxy	Mx	My	Mxy	Ax	Ay	C	Cs
	kg	kg	kg	kg*m	kg*m	kg*m	cmq	cmq		
1	2599	-684	6371	-35	438	146	31.42	31.42	(22+23)-III-4	24
2	5368	-1598	5701	-184	276	180	31.42	31.42	(22+23)-III-3	30
3	6317	-5808	2665	-371	216	165	31.42	31.42	(22+23)-III-4	24
4	5248	-6435	-58	-469	202	155	31.42	31.42	(22+23)-III-4	21
5	2548	-8855	4660	3	465	88	31.42	31.42	(22+23)-VII-4	27
6	7574	-6153	7245	-118	314	165	31.42	31.42	(22+23)-III-3	30
7	9621	-6516	4289	-200	317	193	31.42	31.42	(22+23)-III-3	28
8	4490	270	-792	-157	405	147	31.42	31.42	(22+23)-IV-3	25
9	3016	-8124	8852	22	515	26	31.42	31.42	(22+23)-III-4	27
10	9786	-5846	7235	-76	382	77	31.42	31.42	(22+23)-I-3	31
11	14657	-5041	5132	-169	353	109	31.42	31.42	(22+23)-III-3	31
12	15402	-4954	-600	-242	386	167	31.42	31.42	(22+23)-III-3	26
13	2860	-12360	8536	45	519	-24	31.42	31.42	(22+23)-VII-4	28
14	10501	-16438	8241	-5	391	-84	31.42	31.42	2	33
15	17975	-2992	5295	-179	375	10	31.42	31.42	(22+23)-III-3	37
16	27591	-3079	2179	-291	390	40	31.42	31.42	(22+23)-III-3	31
Massimi/minimi										
1							31.42			
1								31.42		
4										21

Muro :2 - Nodi : [805 - 807 - 10 - 10] : Verificato

Pann.X=4 Pann.Y=4 Spess.= 30 cm Criterio CLS_Muri_Esist Materiale: C20/25rcm=200
 [kg/cmq], fym=4200 [kg/cmq], FC=1.20 qd=2.5, qf=1.5 :

Armatura a maglia doppia

Pannello	Nx	Ny	Nxy	Mx	My	Mxy	Ax	Ay	C	Cs
	kg	kg	kg	kg*m	kg*m	kg*m	cmq	cmq		
1	4734	-4268	3858	41	347	-95	31.42	31.42	(22+23)-I-4	32
2	16151	-843	3519	22	271	-126	31.42	31.42	(22+23)-I-4	35
3	26202	1001	40	-7	206	-177	31.42	31.42	(22+23)-III-3	36
4	31681	-618	-53	-23	147	-166	31.42	31.42	(22+23)-VII-3	44
5	4063	-4461	-6984	26	131	-85	31.42	31.42	(22+23)-III-3	66
6	13571	-1977	-5918	42	83	-98	31.42	31.42	(22+23)-III-3	77
7	23387	-1920	-4058	61	32	-101	31.42	31.42	(22+23)-III-3	67
8	39290	-1076	291	70	6	58	31.42	31.42	(22+23)-VIII-2	70
9	3038	-5249	-12602	29	136	177	31.42	31.42	(22+23)-VIII-4	46
10	10980	-2310	-11107	48	91	185	31.42	31.42	(22+23)-VIII-4	51
11	19991	-2363	-7288	70	40	185	31.42	31.42	(22+23)-VIII-4	44
12	31344	-1543	-1994	79	-13	117	31.42	31.42	(22+23)-VIII-4	51
13	-2487	-11011	-19383	44	307	247	31.42	31.42	(22+23)-IV-4	27
14	-5918	-10034	-19728	54	245	276	31.42	31.42	(22+23)-IV-4	29
15	-10949	-7334	-17706	53	195	308	31.42	31.42	(22+23)-IV-4	29
16	-18008	4430	-13554	65	152	274	31.42	31.42	(22+23)-IV-4	31
Massimi/minimi										
1							31.42			
1								31.42		
13										27

Muro :3 - Nodi : [807 - 3 - 808 - 10]:Verificato

Pann.X=4 Pann.Y=4 Spess.= 30 cm Criterio CLS_Muri_Esist Materiale: C20/25rcm=200
[kg/cmq],fym=4200 [kg/cmq], FC=1.20 qd=2.5, qf=1.5 :

Armatura a maglia doppia

Pannello	Nx	Ny	Nxy	Mx	My	Mxy	Ax	Ay	C	Cs
	kg	kg	kg	kg*m	kg*m	kg*m	cmq	cmq		
1	-3376	-13918	-11513	53	427	265	31.42	31.42	(22+23)-IV-4	22
2	-4919	-15894	-12691	26	342	267	31.42	31.42	(22+23)-VIII-2	26
3	-7875	-20404	-10614	2	314	245	31.42	31.42	(22+23)-VIII-2	29
4	-17340	-29174	-6589	-7	317	171	31.42	31.42	(22+23)-VIII-2	35
5	-2986	-10987	-9019	33	373	263	31.42	31.42	(22+23)-VIII-2	24
6	-5175	-12835	-8762	28	246	274	31.42	31.42	(22+23)-IV-2	29
7	-9579	-14922	-6999	-17	214	236	31.42	31.42	(22+23)-IV-2	34
8	-13054	-15151	-7285	-38	191	206	31.42	31.42	(22+23)-IV-2	39
9	-3543	-8027	-8410	7	228	294	31.42	31.42	(22+23)-IV-2	28
10	-9009	-11551	-4354	-23	226	238	31.42	31.42	(22+23)-VIII-4	33
11	-13446	-13080	-4315	-54	184	199	31.42	31.42	(22+23)-VIII-4	40
12	-3839	-3245	-6707	-133	50	252	31.42	31.42	(22+23)-III-2	37
13	-4214	-5029	-4463	-7	150	280	31.42	31.42	(22+23)-VIII-4	33
14	-4055	-2902	-11267	-90	78	304	31.42	31.42	(22+23)-III-2	36
15	-5263	-3379	-8968	-145	58	291	31.42	31.42	(22+23)-III-2	33
16	-6716	-2848	-6204	-186	36	291	31.42	31.42	(22+23)-III-2	30
Massimi/minimi										
1							31.42			
1								31.42		
1										22

Muro :4 - Nodi : [10 - 808 - 812 - 10]:Verificato

Pann.X=4 Pann.Y=4 Spess.= 30 cm Criterio CLS_Muri_Esist Materiale: C20/25rcm=200
[kg/cmq],fym=4200 [kg/cmq], FC=1.20 qd=2.5, qf=1.5 :

Armatura a maglia doppia

Pannello	Nx	Ny	Nxy	Mx	My	Mxy	Ax	Ay	C	Cs
	kg	kg	kg	kg*m	kg*m	kg*m	cmq	cmq		
1	-3936	-1854	-2234	73	45	227	31.42	31.42	(22+23)-III-2	47
2	-4499	-1366	1145	-24	-102	189	31.42	31.42	(22+23)-III-2	48

Pannello	Nx	Ny	Nxy	Mx	My	Mxy	Ax	Ay	C	Cs
3	-6444	-15353	-272	19	-189	182	31.42	31.42	(22+23)-IV-2	42
4	-3082	-11290	7461	443	785	-657	31.42	31.42	(22+23)-IV-3	10
5	-13918	-27360	-11647	-82	137	-215	31.42	31.42	(22+23)-III-3	48
6	-1113	-4590	2253	-75	-88	254	31.42	31.42	(22+23)-III-2	42
7	-1085	-11013	5148	-103	-105	294	31.42	31.42	(22+23)-III-2	35
8	-4504	-5968	2981	514	589	-563	31.42	31.42	(22+23)-IV-3	13
9	-4356	-3182	-1416	-143	7	236	31.42	31.42	(22+23)-III-2	37
10	-1342	-6436	3765	-148	-67	258	31.42	31.42	(22+23)-III-2	34
11	-1180	-10323	7538	-221	-82	297	31.42	31.42	(22+23)-III-2	27
12	-7748	-2924	3474	581	450	-436	31.42	31.42	(22+23)-IV-3	14
13	-6883	-3869	-584	-204	-6	281	31.42	31.42	(22+23)-III-2	30
14	-3306	-7206	4853	-214	-49	286	31.42	31.42	(22+23)-III-2	28
15	-2101	-9036	8103	-341	-69	324	31.42	31.42	(22+23)-III-2	21
16	-9015	-9145	1947	-752	-57	232	31.42	31.42	(22+23)-IV-2	15
Massimi/minimi										
1							31.42			
1								31.42		
4										10

Muro :5 - Nodi : [10 - 812 - 4 - 806]:Verificato

Pann.X=4 Pann.Y=4 Spess.= 30 cm Criterio CLS_Muri_Esist Materiale: C20/25rcm=200
[kg/cmq],fym=4200 [kg/cmq], FC=1.20 qd=2.5, qf=1.5 :

Armatura a maglia doppia

Pannello	Nx	Ny	Nxy	Mx	My	Mxy	Ax	Ay	C	Cs
	kg	kg	kg	kg*m	kg*m	kg*m	cmq	cmq		
1	-8522	-9765	2257	872	754	-719	31.42	31.42	(22+23)-IV-3	9.3
2	-417	-6259	3149	818	754	-702	31.42	31.42	(22+23)-IV-3	9.0
3	2924	-3997	2265	865	741	-562	31.42	31.42	(22+23)-IV-3	9.4
4	23065	-7419	2292	236	1162	-132	31.42	31.42	2	11
5	-5934	-3135	2835	911	783	-761	31.42	31.42	(22+23)-IV-3	8.6
6	-709	-3082	1770	985	891	-659	31.42	31.42	(22+23)-IV-3	8.4
7	4266	-2840	1041	1033	946	-536	31.42	31.42	(22+23)-IV-3	8.4
8	23034	-6174	1396	343	1654	-87	31.42	31.42	2	8.3
9	-4475	-663	2494	1030	824	-655	31.42	31.42	(22+23)-IV-3	8.5
10	235	-341	1978	1207	1006	-611	31.42	31.42	(22+23)-IV-3	7.5
11	10775	-3755	347	459	1879	-99	31.42	31.42	2	7.2
12	21511	-3284	1316	559	2304	-5	31.42	31.42	2	6.1
13	-3667	1113	1368	1110	820	-488	31.42	31.42	(22+23)-IV-3	8.9
14	258	2312	1412	1509	1204	-467	31.42	31.42	(22+23)-IV-3	6.9
15	10077	1841	558	513	2459	62	31.42	31.42	2	5.4
16	21662	-270	3301	865	3019	290	31.42	31.42	2	4.2
Massimi/minimi										
1							31.42			
1								31.42		
16										4.2

Muro :6 - Nodi : [809 - 10 - 10 - 811]:Verificato

Pann.X=4 Pann.Y=4 Spess.= 30 cm Criterio CLS_Muri_Esist Materiale: C20/25rcm=200
[kg/cmq],fym=4200 [kg/cmq], FC=1.20 qd=2.5, qf=1.5 :

Armatura a maglia doppia

Pannello	Nx	Ny	Nxy	Mx	My	Mxy	Ax	Ay	C	Cs
	kg	kg	kg	kg*m	kg*m	kg*m	cmq	cmq		
1	1445	-533	-1976	-453	56	186	31.42	31.42	(22+23)-VII-4	21
2	300	2968	-1426	-306	137	161	31.42	31.42	(22+23)-VII-4	29
3	-397	3363	5972	-295	191	-178	31.42	31.42	(22+23)-III-2	29
4	1194	745	4539	-473	221	-150	31.42	31.42	(22+23)-III-2	22
5	1749	1452	-3721	-148	453	172	31.42	31.42	(22+23)-IV-3	22
6	410	-1899	-6072	-189	283	209	31.42	31.42	(22+23)-III-3	28

Pannello	Nx	Ny	Nxy	Mx	My	Mxy	Ax	Ay	C	Cs
7	230	-5040	6838	-214	164	-233	31.42	31.42	(22+23)-III-2	31
8	2853	-5739	5961	-412	240	-215	31.42	31.42	(22+23)-III-2	21
9	2883	-3783	-5725	-182	372	285	31.42	31.42	(22+23)-III-3	22
10	-28	-8986	-4330	-96	267	230	31.42	31.42	(22+23)-III-3	30
11	-173	-15249	3027	-13	217	-224	31.42	31.42	(22+23)-VII-2	35
12	2694	-8227	6080	-360	385	-255	31.42	31.42	(22+23)-III-2	22
13	-5146	-4907	-4171	-136	407	257	31.42	31.42	(22+23)-III-3	22
14	-3950	-15872	-1691	11	256	163	31.42	31.42	(22+23)-III-3	37
15	-3618	-24685	1394	-18	218	-172	31.42	31.42	(22+23)-VII-2	43
16	-2804	-22566	-4462	179	477	281	31.42	31.42	(22+23)-IV-3	22
Massimi/minimi										
1							31.42			
1								31.42		
1										21

Muro :7 - Nodi : [811 - 10 - 804 - 2]:**Verificato**

Pann.X=4 Pann.Y=4 Spess.= 30 cm Criterio CLS_Muri_Esist Materiale: C20/25rcm=200
[kg/cmq],fym=4200 [kg/cmq], FC=1.20 qd=2.5, qf=1.5 :

Armatura a maglia doppia

Pannello	Nx	Ny	Nxy	Mx	My	Mxy	Ax	Ay	C	Cs
	kg	kg	kg	kg*m	kg*m	kg*m	cmq	cmq		
1	678	5614	3617	-135	685	43	31.42	31.42		2 18
2	677	4797	3166	-9	1026	59	31.42	31.42		2 12
3	-506	4451	2019	30	1481	-22	31.42	31.42		2 8.8
4	-2667	3362	59	104	1824	-108	31.42	31.42		2 6.9
5	834	-4313	4278	-34	715	147	31.42	31.42		2 17
6	2002	-4305	3463	13	949	135	31.42	31.42		2 13
7	992	-3532	2381	61	1231	34	31.42	31.42		2 11
8	-1258	-2713	1231	105	1513	-4	31.42	31.42		2 9.3
9	10318	-7484	1141	-647	494	-178	31.42	31.42	(22+23)-III-2	15
10	-1724	-9456	5216	691	411	320	31.42	31.42	(22+23)-III-3	14
11	-1439	-4804	120	472	807	307	31.42	31.42	(22+23)-VIII-1	13
12	-9347	-5843	-1299	737	1089	120	31.42	31.42	(22+23)-VII-1	12
13	22429	-6924	-2672	-713	466	-144	31.42	31.42	(22+23)-III-2	13
14	-95	-15738	-912	-636	351	377	31.42	31.42	(22+23)-I-3	14
15	5860	-9363	-637	-627	327	299	31.42	31.42	(22+23)-I-3	14
16	-1073	-7175	-2432	20	895	67	31.42	31.42		2 15
Massimi/minimi										
1							31.42			
1								31.42		
4										6.9

Muro :8 - Nodi : [10 - 10 - 806 - 804]:**Verificato**

Pann.X=4 Pann.Y=4 Spess.= 30 cm Criterio CLS_Muri_Esist Materiale: C20/25rcm=200
[kg/cmq],fym=4200 [kg/cmq], FC=1.20 qd=2.5, qf=1.5 :

Armatura a maglia doppia

Pannello	Nx	Ny	Nxy	Mx	My	Mxy	Ax	Ay	C	Cs
	kg	kg	kg	kg*m	kg*m	kg*m	cmq	cmq		
1	25550	-118	-805	628	182	178	31.42	31.42	(22+23)-VII-2	13
2	-5153	-3400	-8558	-629	162	306	31.42	31.42	(22+23)-III-3	15
3	498	-5060	-7458	-632	178	235	31.42	31.42	(22+23)-III-3	16
4	5230	-4449	-4922	-631	165	77	31.42	31.42	(22+23)-III-3	18
5	31387	-954	101	769	-10	-47	31.42	31.42	(22+23)-IV-2	12
6	15317	-1709	1185	781	-19	-51	31.42	31.42	(22+23)-IV-2	14
7	-8622	-1263	-2479	-924	95	57	31.42	31.42	(22+23)-IV-3	15
8	-19066	-665	-1676	-926	-3	50	31.42	31.42	(22+23)-IV-3	16
9	22418	-2004	-255	-757	-36	-104	31.42	31.42	(22+23)-III-3	13
10	8723	-1285	-365	-772	27	-176	31.42	31.42	(22+23)-III-3	13

Pannello	Nx	Ny	Nxy	Mx	My	Mxy	Ax	Ay	C	Cs
11	-7838	-1258	1631	-764	82	-221	31.42	31.42	(22+23)-IV-3	15
12	-19943	-1563	-1055	-805	-6	-110	31.42	31.42	(22+23)-III-3	18
13	-8012	638	4785	529	314	-499	31.42	31.42	(22+23)-VIII-3	14
14	-8608	-4680	7318	509	370	-477	31.42	31.42	(22+23)-IV-1	15
15	-2761	-2254	3306	-529	255	-329	31.42	31.42	(22+23)-III-3	16
16	22041	-5587	7165	652	427	-19	31.42	31.42	(22+23)-III-2	16
Massimi/minimi										
1							31.42			
1								31.42		
5										12

Muro :9 - Nodi : [10 - 814 - 3 - 808]:Verificato

Pann.X=4 Pann.Y=4 Spess.= 30 cm Criterio CLS_Muri_Esist Materiale: C20/25rcm=200
[kg/cmq],fym=4200 [kg/cmq], FC=1.20 qd=2.5, qf=1.5 :

Armatura a maglia doppia

Pannello	Nx	Ny	Nxy	Mx	My	Mxy	Ax	Ay	C	Cs
	kg	kg	kg	kg*m	kg*m	kg*m	cmq	cmq		
1	2540	13493	3623	-43	-112	173	31.42	31.42	(22+23)-III-3	42
2	-15797	-24064	4530	-197	107	-135	31.42	31.42	(22+23)-III-2	47
3	-2894	-1239	5283	-29	124	188	31.42	31.42	(22+23)-III-3	44
4	-6520	-5226	3817	-29	241	126	31.42	31.42	(22+23)-I-3	39
5	-4029	2596	4985	-212	73	139	31.42	31.42	(22+23)-V-3	40
6	-13034	-20113	124	-223	69	-87	31.42	31.42	(22+23)-III-2	49
7	-3385	-439	7772	-64	89	189	31.42	31.42	(22+23)-I-3	50
8	-5785	-3816	6000	-53	194	125	31.42	31.42	(22+23)-I-3	44
9	-6086	180	9129	-267	8	122	31.42	31.42	(22+23)-VII-4	37
10	-10247	-7520	6187	-250	-2	105	31.42	31.42	2	42
11	-3176	65	9531	-109	48	190	31.42	31.42	(22+23)-I-3	47
12	-4147	-1993	7544	-87	121	123	31.42	31.42	(22+23)-III-3	57
13	-11429	-2582	9675	-336	-42	131	31.42	31.42	2	32
14	-8449	-3226	6320	-342	-34	122	31.42	31.42	2	32
15	-2545	-633	2059	-224	-9	137	31.42	31.42	(22+23)-IV-3	39
16	-1490	-633	7878	-107	32	133	31.42	31.42	(22+23)-III-3	58
Massimi/minimi										
1							31.42			
1								31.42		
14										32

Muro :10 - Nodi : [10 - 812 - 4 - 815]:Verificato

Pann.X=4 Pann.Y=4 Spess.= 30 cm Criterio CLS_Muri_Esist Materiale: C20/25rcm=200
[kg/cmq],fym=4200 [kg/cmq], FC=1.20 qd=2.5, qf=1.5 :

Armatura a maglia doppia

Pannello	Nx	Ny	Nxy	Mx	My	Mxy	Ax	Ay	C	Cs
	kg	kg	kg	kg*m	kg*m	kg*m	cmq	cmq		
1	12536	-4919	3317	-561	-544	536	31.42	31.42	(22+23)-III-1	11
2	5972	-3647	4529	-525	-601	507	31.42	31.42	(22+23)-III-1	13
3	6461	-8126	4220	-228	-1013	125	31.42	31.42	2	13
4	14867	-6202	2391	-216	-1077	84	31.42	31.42	2	12
5	4815	-4748	1696	-579	-587	576	31.42	31.42	(22+23)-III-1	11
6	-506	-5791	1184	-247	-1129	176	31.42	31.42	2	11
7	7206	-4792	763	-313	-1371	45	31.42	31.42	2	10
8	15377	-3656	419	-312	-1612	38	31.42	31.42	2	8.6
9	1240	-3014	2251	-621	-620	472	31.42	31.42	(22+23)-III-1	12
10	1550	-2281	1071	-253	-1318	105	31.42	31.42	2	9.8
11	7949	-1635	167	-389	-1773	-40	31.42	31.42	2	7.7
12	15144	-1588	-82	-461	-2344	0	31.42	31.42	2	5.9
13	-1908	-3761	-262	913	-219	-136	31.42	31.42	(22+23)-IV-4	13
14	1760	567	19	-80	-1591	-42	31.42	31.42	2	8.4

Pannello	Nx	Ny	Nxy	Mx	My	Mxy	Ax	Ay	C	Cs
15	8728	1819	446	-231	-2375	-232	31.42	31.42	2	5.2
16	15638	1024	779	-480	-3027	-223	31.42	31.42	2	4.2
Massimi/minimi										
1							31.42			
1								31.42		
16										4.2

Muro :11 - Nodi : [16 - 813 - 10 - 816]:**Verificato**

Pann.X=4 Pann.Y=4 Spess.= 30 cm Criterio CLS_Muri_Esist Materiale: C20/25rcm=200
[kg/cmq],fym=4200 [kg/cmq], FC=1.20 qd=2.5, qf=1.5 :

Armatura a maglia doppia

Pannello	Nx	Ny	Nxy	Mx	My	Mxy	Ax	Ay	C	Cs
	kg	kg	kg	kg*m	kg*m	kg*m	cmq	cmq		
1	3668	29859	5730	-654	-1395	-196	31.42	31.42	(22+23)-I-2	6.4
2	2156	27613	-2664	-575	-882	-136	31.42	31.42	(22+23)-I-2	10
3	-1794	28231	-2357	-449	-597	220	31.42	31.42	(22+23)-III-1	13
4	-5138	30722	-1469	-378	-490	135	31.42	31.42	(22+23)-III-1	16
5	4275	10791	360	-539	-1368	510	31.42	31.42	(22+23)-III-1	6.6
6	1823	13434	-5531	-502	-774	531	31.42	31.42	(22+23)-III-1	9.3
7	-1239	13910	-4203	-435	-535	504	31.42	31.42	(22+23)-III-1	12
8	-7197	13346	-67	-383	-437	434	31.42	31.42	(22+23)-III-1	14
9	2789	2046	-1149	-385	-1082	540	31.42	31.42	(22+23)-III-1	8.3
10	2254	3277	-101	-413	-715	552	31.42	31.42	(22+23)-III-1	11
11	-1554	3500	-4205	-403	-503	536	31.42	31.42	(22+23)-III-1	13
12	-13799	-5043	535	-370	-388	475	31.42	31.42	(22+23)-III-1	17
13	-10093	903	-4175	70	821	-512	31.42	31.42	(22+23)-III-4	10
14	1425	-5814	187	-323	-632	534	31.42	31.42	(22+23)-III-1	12
15	-2997	-11631	1703	-359	-460	562	31.42	31.42	(22+23)-III-1	15
16	-9051	17494	2028	-71	454	-225	31.42	31.42	(22+23)-III-4	17
Massimi/minimi										
1							31.42			
1								31.42		
1										6.4

Muro :12 - Nodi : [10 - 810 - 15 - 817]:**Verificato**

Pann.X=4 Pann.Y=4 Spess.= 30 cm Criterio CLS_Muri_Esist Materiale: C20/25rcm=200
[kg/cmq],fym=4200 [kg/cmq], FC=1.20 qd=2.5, qf=1.5 :

Armatura a maglia doppia

Pannello	Nx	Ny	Nxy	Mx	My	Mxy	Ax	Ay	C	Cs
	kg	kg	kg	kg*m	kg*m	kg*m	cmq	cmq		
1	20928	-2377	2830	208	-296	-28	31.42	31.42	(22+23)-I-1	43
2	-2730	-16663	6583	6	-267	204	31.42	31.42	(22+23)-IV-2	33
3	-10010	-18567	4167	-64	-366	229	31.42	31.42	(22+23)-III-4	27
4	-3028	-12105	6537	-52	-416	248	31.42	31.42	(22+23)-IV-4	23
5	9509	-4802	1645	124	-204	-133	31.42	31.42	(22+23)-I-1	42
6	-16538	-15015	-2899	-12	-235	226	31.42	31.42	(22+23)-III-4	34
7	-2666	-11441	5424	-9	-286	189	31.42	31.42	(22+23)-IV-2	32
8	-1752	-9431	6275	-41	-434	207	31.42	31.42	(22+23)-IV-2	23
9	4031	-5640	1658	170	53	-187	31.42	31.42	(22+23)-III-1	37
10	-11899	-9075	-5625	74	-123	199	31.42	31.42	(22+23)-III-4	46
11	-6758	-8690	-3992	62	-162	211	31.42	31.42	(22+23)-IV-4	40
12	-3351	-7027	-4023	-10	-351	236	31.42	31.42	(22+23)-IV-4	25
13	-1471	-7582	1120	502	89	-221	31.42	31.42	(22+23)-I-2	19
14	-1854	-6966	3388	426	46	-213	31.42	31.42	(22+23)-I-2	22
15	-2470	-5371	5013	280	-21	-185	31.42	31.42	(22+23)-I-2	30
16	-1093	-3846	8655	62	-162	-171	31.42	31.42	(22+23)-III-1	43
Massimi/minimi										

Pannello	Nx	Ny	Nxy	Mx	My	Mxy	Ax	Ay	C	Cs
1							31.42			
1								31.42		
13										19

Muro :13 - Nodi : [817 - 814 - 10 - 10]:Verificato

Pann.X=4 Pann.Y=4 Spess.= 30 cm Criterio CLS_Muri_Esist Materiale: C20/25rcm=200
[kg/cmq],fym=4200 [kg/cmq], FC=1.20 qd=2.5, qf=1.5 :

Armatura a maglia doppia

Pannello	Nx	Ny	Nxy	Mx	My	Mxy	Ax	Ay	C	Cs
	kg	kg	kg	kg*m	kg*m	kg*m	cmq	cmq		
1	2901	-3589	3581	-25	-309	144	31.42	31.42	(22+23)-III-2	31
2	-1371	-6215	11153	-46	-214	208	31.42	31.42	(22+23)-VIII-2	34
3	-2497	-4325	9935	-59	-160	233	31.42	31.42	(22+23)-VIII-2	36
4	-33353	5587	13059	-103	-133	187	31.42	31.42	(22+23)-III-4	41
5	2015	-4940	3516	-25	-114	117	31.42	31.42	(22+23)-VI-2	62
6	7665	-1991	3116	-41	-77	125	31.42	31.42	(22+23)-VI-2	69
7	14068	-2059	1929	-59	-36	125	31.42	31.42	(22+23)-VI-2	65
8	21824	-4324	326	-67	2	77	31.42	31.42	(22+23)-VI-2	77
9	1687	-3716	1186	-21	-101	-72	31.42	31.42	(22+23)-V-3	82
10	6332	-1545	962	-29	-66	-80	31.42	31.42	(22+23)-V-3	96
11	11450	-1535	739	-41	-25	-80	31.42	31.42	(22+23)-V-3	>100
12	17346	-3796	382	-46	10	-48	31.42	31.42	(22+23)-V-3	>100
13	-1944	-10079	-14622	-37	-243	-101	31.42	31.42		2
14	-13153	-10154	-15873	-39	-205	-132	31.42	31.42	(22+23)-I-1	44
15	-24097	-7771	-15262	-7	-155	-151	31.42	31.42	(22+23)-I-1	48
16	-38804	4966	-13631	1	-106	-142	31.42	31.42	(22+23)-I-1	53
Massimi/minimi										
1							31.42			
1								31.42		
1										31

Muro :14 - Nodi : [10 - 808 - 812 - 10]:Verificato

Pann.X=4 Pann.Y=4 Spess.= 30 cm Criterio CLS_Muri_Esist Materiale: C20/25rcm=200
[kg/cmq],fym=4200 [kg/cmq], FC=1.20 qd=2.5, qf=1.5 :

Armatura a maglia doppia

Pannello	Nx	Ny	Nxy	Mx	My	Mxy	Ax	Ay	C	Cs
	kg	kg	kg	kg*m	kg*m	kg*m	cmq	cmq		
1	-9237	-42817	-16170	89	-153	254	31.42	31.42	(22+23)-III-2	43
2	-673	1953	1393	39	135	-246	31.42	31.42	(22+23)-III-4	35
3	-2956	-5350	1756	3	132	-309	31.42	31.42	(22+23)-III-4	33
4	-1554	-3562	-1586	-299	-503	572	31.42	31.42	(22+23)-III-1	13
5	-1151	-674	-198	104	27	-232	31.42	31.42	(22+23)-I-4	41
6	-1434	-3137	4261	119	111	-285	31.42	31.42	(22+23)-III-4	34
7	-1918	-9040	8118	165	114	-362	31.42	31.42	(22+23)-III-4	26
8	617	-4866	-2035	-333	-354	485	31.42	31.42	(22+23)-III-1	17
9	-3703	-4789	123	180	17	-211	31.42	31.42	(22+23)-I-4	36
10	-2571	-7300	6415	233	81	-272	31.42	31.42	(22+23)-III-4	28
11	-3368	-8613	9655	322	95	-337	31.42	31.42	(22+23)-III-4	21
12	-908	-4824	-2549	-331	-264	388	31.42	31.42	(22+23)-III-1	19
13	-5503	-7932	2269	269	9	-162	31.42	31.42	(22+23)-III-3	33
14	-5089	-10827	7087	338	59	-229	31.42	31.42	(22+23)-I-4	25
15	-4413	-8333	8156	486	85	-274	31.42	31.42	(22+23)-I-4	19
16	-7365	-4110	5151	679	-19	-263	31.42	31.42	(22+23)-III-4	15
Massimi/minimi										
1							31.42			
1								31.42		
4										13

Muro :15 - Nodi : [10 - 813 - 810 - 10]:Verificato

Pann.X=4 Pann.Y=4 Spess.= 30 cm Criterio CLS_Muri_Esist Materiale: C20/25rcm=200
 [kg/cmq],fym=4200 [kg/cmq], FC=1.20 qd=2.5, qf=1.5 :

Armatura a maglia doppia

Pannello	Nx	Ny	Nxy	Mx	My	Mxy	Ax	Ay	C	Cs
	kg	kg	kg	kg*m	kg*m	kg*m	cmq	cmq		
1	-4349	-19327	-7874	85	-412	-441	31.42	31.42	(22+23)-II-1	19
2	-1558	-22815	1402	5	198	322	31.42	31.42	(22+23)-III-4	32
3	-3782	-28670	805	42	224	243	31.42	31.42	(22+23)-III-4	37
4	-768	1806	-4043	99	-191	-296	31.42	31.42	(22+23)-III-1	28
5	3515	-15342	5940	319	52	415	31.42	31.42	(22+23)-III-4	18
6	-201	-18732	4632	174	173	381	31.42	31.42	(22+23)-III-4	25
7	-1294	-24637	5876	144	196	282	31.42	31.42	(22+23)-III-4	33
8	3642	-3250	-3962	106	-116	-284	31.42	31.42	(22+23)-III-1	34
9	3534	-12139	6075	451	67	396	31.42	31.42	(22+23)-III-4	16
10	558	-13993	6923	312	139	381	31.42	31.42	(22+23)-III-4	20
11	-1709	-16523	7446	286	158	279	31.42	31.42	(22+23)-III-4	25
12	2552	-5424	-3718	207	-46	-267	31.42	31.42	(22+23)-III-1	28
13	2555	-8554	5725	607	83	513	31.42	31.42	(22+23)-III-4	12
14	738	-8762	7533	449	97	415	31.42	31.42	(22+23)-III-4	16
15	-1550	-7188	-5239	435	16	-197	31.42	31.42	(22+23)-I-2	22
16	-1038	-8485	-3108	496	35	-207	31.42	31.42	(22+23)-I-2	20
Massimi/minimi										
1							31.42			
1								31.42		
13										12

Muro :16 - Nodi : [10 - 10 - 815 - 816]:Verificato

Pann.X=4 Pann.Y=4 Spess.= 30 cm Criterio CLS_Muri_Esist Materiale: C20/25rcm=200
 [kg/cmq],fym=4200 [kg/cmq], FC=1.20 qd=2.5, qf=1.5 :

Armatura a maglia doppia

Pannello	Nx	Ny	Nxy	Mx	My	Mxy	Ax	Ay	C	Cs
	kg	kg	kg	kg*m	kg*m	kg*m	cmq	cmq		
1	25501	-2751	746	591	-63	-72	31.42	31.42	(22+23)-I-3	16
2	-12268	-5758	-11373	619	-183	-332	31.42	31.42	(22+23)-III-1	16
3	6759	-6758	-9496	652	-212	-296	31.42	31.42	(22+23)-III-1	14
4	19015	-5824	-5132	666	-28	-88	31.42	31.42	(22+23)-III-1	15
5	24933	-4064	1345	-1020	-2	-10	31.42	31.42	(22+23)-III-4	10
6	-2043	-814	-6643	1103	-28	-138	31.42	31.42	(22+23)-III-1	11
7	-9179	-1070	-7820	1130	-55	-134	31.42	31.42	(22+23)-III-1	12
8	-3343	-463	-5903	1128	9	-83	31.42	31.42	(22+23)-III-1	12
9	21424	-3636	-1115	1004	30	15	31.42	31.42	(22+23)-III-1	11
10	9822	-1276	-2417	1009	-22	69	31.42	31.42	(22+23)-I-1	12
11	2453	-1010	8985	-979	-57	-101	31.42	31.42	(22+23)-I-4	12
12	114	-996	7099	-977	-124	-35	31.42	31.42	(22+23)-III-4	14
13	24860	-3273	-214	329	-220	343	31.42	31.42	(22+23)-III-1	16
14	8814	362	1374	367	-273	337	31.42	31.42	(22+23)-III-1	18
15	7131	-7480	11194	-496	-334	-162	31.42	31.42	(22+23)-III-4	20
16	25027	-7068	7566	-496	-393	4	31.42	31.42	(22+23)-III-4	21
Massimi/minimi										
1							31.42			
1								31.42		
5										10

Muro :17 - Nodi : [819 - 37 - 35 - 818]:Verificato

Pann.X=4 Pann.Y=4 Spess.= 30 cm Criterio CLS_Muri_Esist Materiale: C20/25rcm=200
 [kg/cmq],fym=4200 [kg/cmq], FC=1.20 qd=2.5, qf=1.5 :

Armatura a maglia doppia

Pannello	Nx	Ny	Nxy	Mx	My	Mxy	Ax	Ay	C	Cs
	kg	kg	kg	kg*m	kg*m	kg*m	cmq	cmq		
1	-1619	946	759	-519	-42	210	31.42	31.42	(22+23)-II-1	19
2	-4699	348	825	-399	18	161	31.42	31.42	(22+23)-II-1	25
3	-4523	-539	-261	-416	29	-131	31.42	31.42	(22+23)-VI-3	26
4	20	-1890	-2137	-584	-88	-150	31.42	31.42	(22+23)-II-3	19
5	-2973	722	635	-434	-8	224	31.42	31.42	(22+23)-II-1	21
6	-4297	180	913	-389	-9	157	31.42	31.42	(22+23)-II-1	26
7	-4002	-547	-163	-406	10	-134	31.42	31.42	(22+23)-VI-3	26
8	2563	-1839	-1741	-598	-85	-163	31.42	31.42	(22+23)-II-3	18
9	-2883	422	649	-329	-31	224	31.42	31.42	(22+23)-II-1	25
10	-3917	-50	1004	-388	-22	154	31.42	31.42	(22+23)-II-1	26
11	-3446	-706	-582	-372	-11	-140	31.42	31.42	(22+23)-II-3	28
12	3700	-1625	-768	-598	-80	-177	31.42	31.42	(22+23)-II-3	17
13	-6576	-466	1024	-263	-33	-235	31.42	31.42	(22+23)-II-4	29
14	-4025	-333	1381	-379	-34	154	31.42	31.42	(22+23)-II-1	27
15	-4696	-766	38	-371	-36	-134	31.42	31.42	(22+23)-II-3	28
16	4017	-571	3358	-593	-75	-192	31.42	31.42	(22+23)-II-3	17
Massimi/minimi										
1							31.42			
1								31.42		
16										17

Muro :18 - Nodi : [818 - 824 - 825 - 819]:Verificato

Pann.X=4 Pann.Y=4 Spess.= 30 cm Criterio CLS_Muri_Esist Materiale: C20/25rcm=200
[kg/cmq],fym=4200 [kg/cmq], FC=1.20 qd=2.5, qf=1.5 :

Armatura a maglia doppia

Pannello	Nx	Ny	Nxy	Mx	My	Mxy	Ax	Ay	C	Cs
	kg	kg	kg	kg*m	kg*m	kg*m	cmq	cmq		
1	-1851	-1853	-2506	-501	-93	-150	31.42	31.42	(22+23)-II-3	21
2	-4124	-285	-435	-409	68	-132	31.42	31.42	(22+23)-VI-3	26
3	-4286	585	557	-409	60	158	31.42	31.42	(22+23)-II-1	25
4	-958	1035	996	-571	-63	172	31.42	31.42	(22+23)-II-1	19
5	-2888	-930	-2038	-384	-114	-139	31.42	31.42	(22+23)-VI-3	27
6	-2957	-1097	-1145	-380	145	-124	31.42	31.42	(22+23)-II-3	28
7	-3601	438	314	-379	122	163	31.42	31.42	(22+23)-II-1	26
8	-1359	430	1277	-412	22	143	31.42	31.42	(22+23)-VI-1	25
9	-5075	-698	712	-375	73	160	31.42	31.42	(22+23)-II-4	27
10	-5316	-452	-127	-412	-12	28	31.42	31.42	2	33
11	-3244	-373	-799	-301	173	186	31.42	31.42	(22+23)-VI-3	29
12	-4632	359	-557	-277	-154	-214	31.42	31.42	(22+23)-II-2	29
13	-3812	-157	621	-396	148	269	31.42	31.42	(22+23)-II-4	21
14	-3728	435	1350	-194	-395	187	31.42	31.42	(22+23)-II-2	23
15	-3754	983	636	-158	-372	-136	31.42	31.42	(22+23)-II-2	27
16	-3607	683	-337	-339	-258	-255	31.42	31.42	(22+23)-VI-2	24
Massimi/minimi										
1							31.42			
1								31.42		
4										19

Muro :19 - Nodi : [825 - 824 - 36 - 38]:Verificato

Pann.X=4 Pann.Y=4 Spess.= 30 cm Criterio CLS_Muri_Esist Materiale: C20/25rcm=200
[kg/cmq],fym=4200 [kg/cmq], FC=1.20 qd=2.5, qf=1.5 :

Armatura a maglia doppia

Pannello	Nx	Ny	Nxy	Mx	My	Mxy	Ax	Ay	C	Cs
	kg	kg	kg	kg*m	kg*m	kg*m	cmq	cmq		
1	964	-3410	-67	-325	-268	312	31.42	31.42	(22+23)-II-2	21
2	1131	-2849	-657	-362	-164	320	31.42	31.42	(22+23)-II-2	20

Pannello	Nx	Ny	Nxy	Mx	My	Mxy	Ax	Ay	C	Cs
3	1390	-1657	-731	-404	-182	297	31.42	31.42	(22+23)-II-2	19
4	-1345	-3486	1267	-187	-712	73	31.42	31.42	2	18
5	1473	-3250	-550	-469	-167	222	31.42	31.42	(22+23)-II-2	20
6	2287	-3025	-534	-511	-154	160	31.42	31.42	(22+23)-II-2	20
7	2755	-3094	-517	-552	-209	141	31.42	31.42	(22+23)-II-2	19
8	3276	-2465	-239	-575	-206	52	31.42	31.42	(22+23)-II-2	21
9	844	-3010	-1117	-505	-166	-221	31.42	31.42	(22+23)-II-2	19
10	1035	-2109	-814	-557	-138	-230	31.42	31.42	(22+23)-II-2	17
11	1341	-3263	-394	-601	-211	-208	31.42	31.42	(22+23)-II-2	17
12	3143	-3201	82	-566	-274	-146	31.42	31.42	(22+23)-VI-2	19
13	-436	-8176	-1546	271	-212	-343	31.42	31.42	(22+23)-II-2	22
14	2706	5968	1935	-213	-420	271	31.42	31.42	(22+23)-II-3	19
15	-680	-2079	-37	-144	-658	209	31.42	31.42	(22+23)-II-1	16
16	2262	89	2429	-266	-743	-169	31.42	31.42	(22+23)-VI-1	15
Massimi/minimi										
1							31.42			
1								31.42		
16										15

Muro :20 - Nodi : [10 - 830 - 37 - 819]:Verificato

Pann.X=4 Pann.Y=4 Spess.= 30 cm Criterio CLS_Muri_Esist Materiale: C20/25rcm=200
[kg/cmq],fym=4200 [kg/cmq], FC=1.20 qd=2.5, qf=1.5 :

Armatura a maglia doppia

Pannello	Nx	Ny	Nxy	Mx	My	Mxy	Ax	Ay	C	Cs
	kg	kg	kg	kg*m	kg*m	kg*m	cmq	cmq		
1	-7457	23752	3178	-199	208	-18	31.42	31.42	(22+23)-II-4	48
2	-9206	12216	741	-141	187	-101	31.42	31.42	(22+23)-II-4	42
3	-9821	7126	440	-90	221	-127	31.42	31.42	(22+23)-II-4	37
4	-11101	3717	24	-14	318	-98	31.42	31.42	(22+23)-II-4	32
5	-16825	13088	7692	-201	75	132	31.42	31.42	(22+23)-V-2	47
6	-16901	-2008	-3018	-71	-112	173	31.42	31.42	(22+23)-II-1	49
7	-5876	-1381	-4075	-83	-110	196	31.42	31.42	(22+23)-II-1	45
8	-8477	3929	2176	-94	267	-94	31.42	31.42	(22+23)-II-4	37
9	-13309	8865	9663	-241	-22	139	31.42	31.42	(22+23)-V-2	40
10	-12826	4799	4108	-189	-48	158	31.42	31.42	(22+23)-V-1	44
11	-8848	2935	1812	-184	-53	167	31.42	31.42	(22+23)-I-1	42
12	-6356	3678	4007	-152	176	-86	31.42	31.42	(22+23)-II-4	51
13	-9643	2113	9837	-301	-34	124	31.42	31.42	(22+23)-V-2	35
14	-9837	1737	8170	-316	-29	115	31.42	31.42	(22+23)-V-2	35
15	-7175	901	2618	-282	-43	161	31.42	31.42	(22+23)-I-1	33
16	-1831	-598	1341	-240	-29	120	31.42	31.42	(22+23)-I-1	39
Massimi/minimi										
1							31.42			
1								31.42		
4										32

Muro :21 - Nodi : [10 - 10 - 833 - 830]:Verificato

Pann.X=4 Pann.Y=4 Spess.= 30 cm Criterio CLS_Muri_Esist Materiale: C20/25rcm=200
[kg/cmq],fym=4200 [kg/cmq], FC=1.20 qd=2.5, qf=1.5 :

Armatura a maglia doppia

Pannello	Nx	Ny	Nxy	Mx	My	Mxy	Ax	Ay	C	Cs
	kg	kg	kg	kg*m	kg*m	kg*m	cmq	cmq		
1	29549	393	-5163	-56	-83	-140	31.42	31.42	(22+23)-VII-2	52
2	19171	-2659	-7780	-46	-121	-156	31.42	31.42	(22+23)-VII-2	51
3	10724	-4944	-8944	-36	-166	-138	31.42	31.42	(22+23)-VII-2	47
4	2963	-7018	-8805	-31	-215	-123	31.42	31.42	(22+23)-VII-2	43
5	41141	-1151	739	-77	-5	41	31.42	31.42	(22+23)-I-2	75
6	24417	-2286	1702	-64	-40	-68	31.42	31.42	(22+23)-VII-2	82

Pannello	Nx	Ny	Nxy	Mx	My	Mxy	Ax	Ay	C	Cs
7	13840	-2351	2327	-45	-84	-68	31.42	31.42	(22+23)-VII-2	92
8	4490	-6430	3244	-29	-134	58	31.42	31.42	(22+23)-I-2	75
9	27061	-526	2241	-80	14	98	31.42	31.42	(22+23)-I-2	59
10	16833	-2273	8080	-71	-41	155	31.42	31.42	(22+23)-I-2	52
11	9048	-2243	12324	-49	-93	156	31.42	31.42	(22+23)-I-2	56
12	2395	-5465	14086	-30	-139	148	31.42	31.42	(22+23)-I-2	50
13	-24801	6313	13974	-96	-138	252	31.42	31.42	(22+23)-I-2	33
14	-13637	-7055	17317	-69	-179	275	31.42	31.42	(22+23)-III-2	32
15	-7448	-9781	19309	-53	-231	246	31.42	31.42	(22+23)-III-2	31
16	-3346	-11361	19809	-43	-282	226	31.42	31.42	(22+23)-I-2	30
Massimi/minimi										
1							31.42			
1								31.42		
16										30

Muro :22 - Nodi : [10 - 820 - 1 - 833]: **Verificato**

Pann.X=4 Pann.Y=4 Spess.= 30 cm Criterio CLS_Muri_Esist Materiale: C20/25rcm=200
[kg/cmq],fym=4200 [kg/cmq], FC=1.20 qd=2.5, qf=1.5 :

Armatura a maglia doppia

Pannello	Nx	Ny	Nxy	Mx	My	Mxy	Ax	Ay	C	Cs
	kg	kg	kg	kg*m	kg*m	kg*m	cmq	cmq		
1	-31365	-38529	6653	-44	-301	193	31.42	31.42	(22+23)-III-2	37
2	-15467	-25227	11628	62	-303	258	31.42	31.42	(22+23)-III-2	30
3	-9412	-19053	13179	-45	-337	275	31.42	31.42	(22+23)-III-2	26
4	-4182	-13899	12468	-54	-390	292	31.42	31.42	(22+23)-I-2	23
5	-25547	-21462	8354	71	-229	214	31.42	31.42	(22+23)-I-2	37
6	-19394	-21302	5701	41	-249	237	31.42	31.42	(22+23)-I-2	33
7	-10652	-17032	7557	4	-288	267	31.42	31.42	(22+23)-I-2	28
8	-4656	-13214	8395	-38	-361	294	31.42	31.42	(22+23)-I-2	23
9	-24664	-17263	5078	-12	-167	280	31.42	31.42	(22+23)-II-2	35
10	-19750	-15429	1178	-22	-188	296	31.42	31.42	(22+23)-II-2	32
11	-13239	-13118	39	-25	-194	318	31.42	31.42	(22+23)-II-2	30
12	-5338	-9989	5987	-13	-281	290	31.42	31.42	(22+23)-I-2	26
13	-389	-1132	4834	225	-36	-217	31.42	31.42	(22+23)-VI-3	31
14	-17527	-10684	-607	-22	-163	355	31.42	31.42	(22+23)-II-2	29
15	-12809	-8395	-2474	-38	-166	383	31.42	31.42	(22+23)-II-2	27
16	-5508	-4468	-1166	-32	-157	404	31.42	31.42	(22+23)-II-2	25
Massimi/minimi										
1							31.42			
1								31.42		
4										23

Muro :23 - Nodi : [10 - 10 - 819 - 825]: **Verificato**

Pann.X=4 Pann.Y=4 Spess.= 30 cm Criterio CLS_Muri_Esist Materiale: C20/25rcm=200
[kg/cmq],fym=4200 [kg/cmq], FC=1.20 qd=2.5, qf=1.5 :

Armatura a maglia doppia

Pannello	Nx	Ny	Nxy	Mx	My	Mxy	Ax	Ay	C	Cs
	kg	kg	kg	kg*m	kg*m	kg*m	cmq	cmq		
1	-6609	-3333	3068	-140	-132	-188	31.42	31.42	(22+23)-VII-3	44
2	-4796	3776	4816	-56	-221	-147	31.42	31.42	(22+23)-II-1	36
3	-7271	-3428	-1838	-5	168	-163	31.42	31.42	(22+23)-II-4	43
4	3254	-1136	-1132	1	193	-120	31.42	31.42	(22+23)-II-4	44
5	-24535	-3526	-601	46	-4	-119	31.42	31.42	(22+23)-II-4	>100
6	-17589	-171	-3235	40	30	-158	31.42	31.42	(22+23)-II-4	73
7	-9433	325	-4089	29	61	-162	31.42	31.42	(22+23)-II-4	61
8	-1510	678	-2359	21	-81	-121	31.42	31.42	(22+23)-VI-4	67
9	-16863	-3873	-1159	48	-10	-141	31.42	31.42	(22+23)-II-4	83
10	-12597	-57	-2956	42	37	-208	31.42	31.42	(22+23)-II-4	56

Pannello	Nx	Ny	Nxy	Mx	My	Mxy	Ax	Ay	C	Cs
11	-9389	40	-3942	28	78	-198	31.42	31.42	(22+23)-II-4	50
12	-5288	-265	-3387	13	113	-137	31.42	31.42	(22+23)-II-4	55
13	-9945	-5368	-1839	-40	97	-187	31.42	31.42	(22+23)-II-4	50
14	-8935	592	-3389	-20	126	-215	31.42	31.42	(22+23)-II-4	40
15	-8896	1022	-3425	1	177	-186	31.42	31.42	(22+23)-II-4	37
16	-9233	416	-2762	21	258	-121	31.42	31.42	(22+23)-II-4	36
Massimi/minimi										
1							31.42			
1								31.42		
2										36

Muro :24 - Nodi : [10 - 826 - 820 - 10]:Verificato

Pann.X=4 Pann.Y=4 Spess.= 30 cm Criterio CLS_Muri_Esist Materiale: C20/25rcm=200
[kg/cmq],fym=4200 [kg/cmq], FC=1.20 qd=2.5, qf=1.5 :

Armatura a maglia doppia

Pannello	Nx	Ny	Nxy	Mx	My	Mxy	Ax	Ay	C	Cs
	kg	kg	kg	kg*m	kg*m	kg*m	cmq	cmq		
1	-4254	-20646	-7241	175	296	195	31.42	31.42	(22+23)-III-1	33
2	-2612	-4600	-603	-16	89	-116	31.42	31.42	(22+23)-VI-3	70
3	-3327	3196	-964	-6	57	-157	31.42	31.42	(22+23)-II-3	62
4	-3721	6987	-1016	99	-61	-206	31.42	31.42	(22+23)-II-3	46
5	-4286	-12907	1751	120	224	174	31.42	31.42	(22+23)-I-2	38
6	-611	-6896	-3713	61	50	-145	31.42	31.42	(22+23)-VI-3	67
7	-644	636	-2639	41	53	-232	31.42	31.42	(22+23)-II-3	48
8	440	3160	-918	122	-56	-239	31.42	31.42	(22+23)-VI-3	38
9	-9912	-8661	-7339	353	-18	-117	31.42	31.42	(22+23)-VI-3	32
10	-309	-7043	-5891	122	-9	-167	31.42	31.42	(22+23)-VI-3	47
11	-774	-1795	-4370	108	4	-230	31.42	31.42	(22+23)-VI-3	41
12	22	864	-539	160	-26	-224	31.42	31.42	(22+23)-VI-3	36
13	-7441	-7494	-5858	389	-10	-239	31.42	31.42	(22+23)-VI-3	23
14	-875	-6618	-6854	169	-9	-221	31.42	31.42	(22+23)-VI-3	35
15	-2201	-3284	-5469	134	13	-255	31.42	31.42	(22+23)-II-3	36
16	-2240	-799	-636	222	6	-254	31.42	31.42	(22+23)-VI-3	29
Massimi/minimi										
1							31.42			
1								31.42		
13										23

Muro :25 - Nodi : [10 - 825 - 38 - 831]:Verificato

Pann.X=4 Pann.Y=4 Spess.= 30 cm Criterio CLS_Muri_Esist Materiale: C20/25rcm=200
[kg/cmq],fym=4200 [kg/cmq], FC=1.20 qd=2.5, qf=1.5 :

Armatura a maglia doppia

Pannello	Nx	Ny	Nxy	Mx	My	Mxy	Ax	Ay	C	Cs
	kg	kg	kg	kg*m	kg*m	kg*m	cmq	cmq		
1	24651	2381	3122	-461	-73	66	31.42	31.42	(22+23)-VI-3	20
2	7181	-9401	3401	-465	-13	156	31.42	31.42	(22+23)-I-1	21
3	2022	-7347	3125	-486	-47	139	31.42	31.42	(22+23)-I-1	22
4	-2700	-5738	2531	-461	-272	62	31.42	31.42	(22+23)-I-1	27
5	12507	-5400	652	-433	-118	173	31.42	31.42	(22+23)-VI-3	20
6	6714	-4954	5468	-503	-165	167	31.42	31.42	(22+23)-VI-3	19
7	-5685	-5902	4991	-547	-234	161	31.42	31.42	(22+23)-VI-3	20
8	-3828	-7179	2554	-494	-331	82	31.42	31.42	(22+23)-I-1	25
9	7306	-7233	452	-429	-80	-33	31.42	31.42	(22+23)-II-1	28
10	4202	-8179	-187	-428	1	141	31.42	31.42	(22+23)-I-1	23
11	1476	-7411	3227	-496	-38	140	31.42	31.42	(22+23)-I-1	21
12	-16652	-5684	3486	-630	-390	130	31.42	31.42	(22+23)-II-1	21
13	3864	-5665	-123	-381	-66	-71	31.42	31.42	(22+23)-II-1	29
14	1807	-3605	2269	-521	-113	-70	31.42	31.42	(22+23)-II-1	23

Pannello	Nx	Ny	Nxy	Mx	My	Mxy	Ax	Ay	C	Cs
15	-3082	1573	3586	-616	-162	-15	31.42	31.42	(22+23)-II-1	22
16	-16720	3767	2810	-660	-319	130	31.42	31.42	(22+23)-II-1	20
Massimi/minimi										
1							31.42			
1								31.42		
6										19

Muro :26 - Nodi : [831 - 832 - 10 - 10]:**Verificato**

Pann.X=4 Pann.Y=4 Spess.= 30 cm Criterio CLS_Muri_Esist Materiale: C20/25rcm=200
[kg/cmq],fym=4200 [kg/cmq], FC=1.20 qd=2.5, qf=1.5 :

Armatura a maglia doppia

Pannello	Nx	Ny	Nxy	Mx	My	Mxy	Ax	Ay	C	Cs
	kg	kg	kg	kg*m	kg*m	kg*m	cmq	cmq		
1	8959	-3674	3547	316	-25	66	31.42	31.42	(22+23)-II-4	33
2	1215	-1563	-470	-426	-18	-17	31.42	31.42	(22+23)-I-1	31
3	12142	1529	-2799	-479	-55	16	31.42	31.42	(22+23)-II-1	25
4	29203	-2619	-3890	-510	-42	58	31.42	31.42	(22+23)-II-1	18
5	-8492	-278	-1296	286	-21	58	31.42	31.42	(22+23)-III-4	43
6	-805	-598	1534	283	-16	99	31.42	31.42	(22+23)-III-4	36
7	5659	-571	1260	276	-9	101	31.42	31.42	(22+23)-III-4	35
8	11173	30	647	273	2	66	31.42	31.42	(22+23)-III-4	36
9	-2696	-16	-4211	321	-35	22	31.42	31.42	(22+23)-I-3	41
10	68	-282	-3571	299	1	86	31.42	31.42	(22+23)-III-4	36
11	2857	-402	-3086	292	1	86	31.42	31.42	(22+23)-III-4	35
12	6099	-510	-1106	290	17	66	31.42	31.42	(22+23)-III-4	36
13	20102	-3714	-4296	459	-142	-41	31.42	31.42	(22+23)-VI-3	23
14	4788	-3794	-6277	473	-21	-33	31.42	31.42	(22+23)-II-1	26
15	-13390	-4156	-8438	480	-84	-72	31.42	31.42	(22+23)-VI-3	28
16	25157	-2647	1521	-316	43	67	31.42	31.42	(22+23)-VI-2	28
Massimi/minimi										
1							31.42			
1								31.42		
4										18

Muro :27 - Nodi : [832 - 40 - 826 - 10]:**Verificato**

Pann.X=4 Pann.Y=4 Spess.= 30 cm Criterio CLS_Muri_Esist Materiale: C20/25rcm=200
[kg/cmq],fym=4200 [kg/cmq], FC=1.20 qd=2.5, qf=1.5 :

Armatura a maglia doppia

Pannello	Nx	Ny	Nxy	Mx	My	Mxy	Ax	Ay	C	Cs
	kg	kg	kg	kg*m	kg*m	kg*m	cmq	cmq		
1	28199	-3018	1078	636	-246	-84	31.42	31.42	(22+23)-VI-3	14
2	7089	-5488	-86	594	125	-48	31.42	31.42	(22+23)-II-1	20
3	-7007	-10244	-448	562	-82	-74	31.42	31.42	(22+23)-VI-3	23
4	1106	-8161	-516	400	288	188	31.42	31.42	(22+23)-III-1	23
5	23978	-1865	1461	669	-317	-143	31.42	31.42	(22+23)-VI-3	13
6	7603	-4693	3797	629	168	-70	31.42	31.42	(22+23)-II-1	18
7	-6877	-6060	3428	587	-95	-89	31.42	31.42	(22+23)-VI-3	22
8	-11053	-9319	976	453	354	152	31.42	31.42	(22+23)-I-1	25
9	19077	-2838	2368	751	285	-188	31.42	31.42	(22+23)-II-1	12
10	5906	-3993	5489	746	241	-87	31.42	31.42	(22+23)-II-1	16
11	-3376	-2545	3381	690	-88	-116	31.42	31.42	(22+23)-VI-3	18
12	-10640	-3055	-470	608	-65	-111	31.42	31.42	(22+23)-VI-3	21
13	11125	-4729	4472	920	320	-145	31.42	31.42	(22+23)-II-1	12
14	6837	-6495	5944	1089	360	-203	31.42	31.42	(22+23)-II-1	10.0
15	-1159	-2239	3380	927	-129	-230	31.42	31.42	(22+23)-VI-3	12
16	-6612	-3704	316	703	-45	-275	31.42	31.42	(22+23)-VI-3	15
Massimi/minimi										

Pannello	Nx	Ny	Nxy	Mx	My	Mxy	Ax	Ay	C	Cs
1							31.42			
1								31.42		
14										10.0

Muro :28 - Nodi : [835 - 1 - 820 - 10]:**Verificato**

Pann.X=4 Pann.Y=4 Spess.= 30 cm Criterio CLS_Muri_Esist Materiale: C20/25rcm=200
[kg/cmq],fym=4200 [kg/cmq], FC=1.20 qd=2.5, qf=1.5 :

Armatura a maglia doppia

Pannello	Nx	Ny	Nxy	Mx	My	Mxy	Ax	Ay	C	Cs
	kg	kg	kg	kg*m	kg*m	kg*m	cmq	cmq		
1	-2307	-12098	-9278	-47	-413	-212	31.42	31.42	2	24
2	-5434	-14701	-9964	-20	-371	-226	31.42	31.42	2	26
3	-16000	-20585	-8067	40	-335	-252	31.42	31.42	(22+23)-V-1	28
4	-17858	-19989	-6261	53	-337	-161	31.42	31.42	2	32
5	-2960	-8670	-5387	-46	-434	-195	31.42	31.42	2	23
6	-10725	-9293	2550	-34	-268	-269	31.42	31.42	(22+23)-II-3	28
7	-17589	-10361	1182	-42	-220	-256	31.42	31.42	(22+23)-II-3	31
8	-21050	-13369	-2771	-37	-185	-247	31.42	31.42	(22+23)-II-3	35
9	-2882	-3665	5875	-28	-288	-275	31.42	31.42	(22+23)-II-3	25
10	-6652	-4733	4801	-16	-213	-267	31.42	31.42	(22+23)-II-3	30
11	-9686	-5300	2663	-3	-146	-249	31.42	31.42	(22+23)-II-3	36
12	-11002	-6705	-277	29	-105	-230	31.42	31.42	(22+23)-II-3	43
13	-1931	-2858	4987	-4	-219	-213	31.42	31.42	(22+23)-VI-3	32
14	-4173	-2623	5226	45	-137	-196	31.42	31.42	(22+23)-II-3	42
15	-6795	-7165	-6191	281	-102	158	31.42	31.42	(22+23)-VI-2	33
16	-10815	-7770	-4030	358	-41	145	31.42	31.42	(22+23)-VI-2	30
Massimi/minimi										
1							31.42			
1								31.42		
5										23

Muro :29 - Nodi : [10 - 10 - 837 - 835]:**Verificato**

Pann.X=4 Pann.Y=4 Spess.= 30 cm Criterio CLS_Muri_Esist Materiale: C20/25rcm=200
[kg/cmq],fym=4200 [kg/cmq], FC=1.20 qd=2.5, qf=1.5 :

Armatura a maglia doppia

Pannello	Nx	Ny	Nxy	Mx	My	Mxy	Ax	Ay	C	Cs
	kg	kg	kg	kg*m	kg*m	kg*m	cmq	cmq		
1	-24076	2635	-12913	-82	-155	-265	31.42	31.42	(22+23)-I-3	32
2	-5125	-6270	-13567	-54	-199	-270	31.42	31.42	2	31
3	-2628	-8436	-15215	-45	-239	-233	31.42	31.42	2	31
4	-1442	-9908	-14782	-40	-283	-202	31.42	31.42	2	31
5	23284	-4275	-1008	-79	15	-85	31.42	31.42	2	66
6	5649	-1156	-6605	-38	-20	-198	31.42	31.42	(22+23)-I-3	55
7	2036	-1210	-4220	-27	-50	-201	31.42	31.42	(22+23)-V-3	55
8	266	-2720	-4752	-16	-75	-192	31.42	31.42	(22+23)-V-3	53
9	34601	-4290	-1223	-61	13	-66	31.42	31.42	(22+23)-II-3	75
10	19780	-1419	-1749	-38	-20	-116	31.42	31.42	(22+23)-I-3	73
11	11131	-1500	-2435	-26	-49	-122	31.42	31.42	(22+23)-I-3	82
12	3980	-4835	-6231	-23	-113	-95	31.42	31.42	(22+23)-II-3	69
13	27683	-1851	6322	-84	-71	181	31.42	31.42	(22+23)-V-1	39
14	5163	-2880	7706	-18	-181	196	31.42	31.42	(22+23)-I-1	37
15	1684	-5256	9370	-42	-209	161	31.42	31.42	(22+23)-III-1	39
16	474	-6957	8837	-34	-253	117	31.42	31.42	(22+23)-I-1	39
Massimi/minimi										
1							31.42			
1								31.42		
4										31

Muro :30 - Nodi : [10 - 821 - 9 - 837]:Verificato

Pann.X=4 Pann.Y=4 Spess.= 30 cm Criterio CLS_Muri_Esist Materiale: C20/25rcm=200
[kg/cmq],fym=4200 [kg/cmq], FC=1.20 qd=2.5, qf=1.5 :

Armatura a maglia doppia

Pannello	Nx	Ny	Nxy	Mx	My	Mxy	Ax	Ay	C	Cs
	kg	kg	kg	kg*m	kg*m	kg*m	cmq	cmq		
1	13501	-11133	653	-68	-376	151	31.42	31.42	(22+23)-V-3	29
2	777	-8333	2606	-54	-344	162	31.42	31.42	(22+23)-V-3	29
3	1593	-14767	6537	1	-344	164	31.42	31.42	(22+23)-I-1	30
4	-37	-11766	6731	-43	-366	147	31.42	31.42	(22+23)-I-1	29
5	5009	-7385	-1288	39	-372	153	31.42	31.42	(22+23)-VII-3	28
6	5239	-7781	-1717	16	-331	157	31.42	31.42	(22+23)-VII-3	30
7	279	-12636	-317	-41	-327	157	31.42	31.42	(22+23)-I-1	31
8	-420	-10677	66	-44	-369	159	31.42	31.42	(22+23)-I-1	28
9	382	-1911	-1182	22	-321	179	31.42	31.42	(22+23)-V-4	28
10	637	-1982	-1179	8	-274	194	31.42	31.42	(22+23)-V-4	30
11	2062	-4706	1271	1	-272	-101	31.42	31.42	(22+23)-I-3	38
12	-720	-7273	-2670	-35	-306	171	31.42	31.42	(22+23)-III-1	31
13	-991	5333	-579	-51	-344	118	31.42	31.42	(22+23)-V-4	28
14	-991	3718	-416	-35	-275	139	31.42	31.42	(22+23)-V-4	32
15	-1000	2710	-286	-19	-184	156	31.42	31.42	(22+23)-V-4	39
16	-696	-1532	-3679	1	-216	160	31.42	31.42	(22+23)-I-2	37
Massimi/minimi										
1							31.42			
1								31.42		
5										28

Muro :31 - Nodi : [10 - 826 - 40 - 834]:Verificato

Pann.X=4 Pann.Y=4 Spess.= 30 cm Criterio CLS_Muri_Esist Materiale: C20/25rcm=200
[kg/cmq],fym=4200 [kg/cmq], FC=1.20 qd=2.5, qf=1.5 :

Armatura a maglia doppia

Pannello	Nx	Ny	Nxy	Mx	My	Mxy	Ax	Ay	C	Cs
	kg	kg	kg	kg*m	kg*m	kg*m	cmq	cmq		
1	11080	-3376	745	-447	-203	210	31.42	31.42	(22+23)-VI-3	19
2	1384	-2095	1578	-404	-290	206	31.42	31.42	(22+23)-V-3	22
3	3170	-1656	1773	-411	-299	204	31.42	31.42	(22+23)-V-3	22
4	23988	-2529	-1472	434	70	88	31.42	31.42	(22+23)-VI-2	21
5	-1271	-2126	206	-376	-334	177	31.42	31.42	(22+23)-V-3	25
6	-1467	-1445	-3716	473	122	176	31.42	31.42	(22+23)-II-2	21
7	7690	-831	-3622	498	144	182	31.42	31.42	(22+23)-II-2	19
8	18501	-233	-2727	502	178	119	31.42	31.42	(22+23)-VI-2	18
9	93	-3870	-1806	514	171	171	31.42	31.42	(22+23)-VI-2	20
10	1913	-3012	-4074	542	184	181	31.42	31.42	(22+23)-II-2	19
11	6278	-2652	-4551	579	211	183	31.42	31.42	(22+23)-II-2	17
12	3247	-378	74	-549	-759	-73	31.42	31.42	(22+23)-V-3	17
13	3845	-7488	-900	566	206	182	31.42	31.42	(22+23)-VI-2	18
14	5724	-7845	-2756	614	309	187	31.42	31.42	(22+23)-VI-2	16
15	2580	445	491	-601	-941	-170	31.42	31.42	(22+23)-V-3	12
16	7170	492	421	-679	-945	-139	31.42	31.42	(22+23)-V-3	13
Massimi/minimi										
1							31.42			
1								31.42		
15										12

Muro :32 - Nodi : [834 - 836 - 10 - 10]:Verificato

Pann.X=4 Pann.Y=4 Spess.= 30 cm Criterio CLS_Muri_Esist Materiale: C20/25rcm=200
[kg/cmq],fym=4200 [kg/cmq], FC=1.20 qd=2.5, qf=1.5 :

Armatura a maglia doppia

Pannello	Nx	Ny	Nxy	Mx	My	Mxy	Ax	Ay	C	Cs
	kg	kg	kg	kg*m	kg*m	kg*m	cmq	cmq		
1	21917	-3310	4434	386	4	89	31.42	31.42	(22+23)-VI-2	23
2	6754	-3654	6836	398	1	178	31.42	31.42	(22+23)-VI-2	22
3	2978	-869	6471	338	34	230	31.42	31.42	(22+23)-V-2	23
4	20807	-1705	-1516	-451	-30	57	31.42	31.42	(22+23)-VI-3	22
5	2958	259	3498	279	3	112	31.42	31.42	(22+23)-I-2	34
6	3741	-320	1158	282	-2	193	31.42	31.42	(22+23)-V-2	28
7	6031	-401	1050	275	-1	194	31.42	31.42	(22+23)-V-2	28
8	9180	-1249	1483	272	-4	135	31.42	31.42	(22+23)-V-2	31
9	2506	-597	-2525	-336	-0	78	31.42	31.42	(22+23)-V-1	32
10	4661	-633	-3238	-340	3	152	31.42	31.42	(22+23)-V-1	27
11	8505	-591	-2760	-338	6	153	31.42	31.42	(22+23)-V-1	26
12	13597	-357	-1060	-338	-4	106	31.42	31.42	(22+23)-V-1	27
13	2186	-1033	-1533	-412	-18	71	31.42	31.42	(22+23)-V-2	28
14	3474	-634	-2063	-422	-20	161	31.42	31.42	(22+23)-V-2	23
15	11272	-212	-1998	-430	-22	162	31.42	31.42	(22+23)-V-2	21
16	24776	730	-1313	-448	-3	95	31.42	31.42	(22+23)-V-2	20
Massimi/minimi										
1							31.42			
1								31.42		
16										20

Muro :33 - Nodi : [836 - 44 - 827 - 10]:Verificato

Pann.X=4 Pann.Y=4 Spess.= 30 cm Criterio CLS_Muri_Esist Materiale: C20/25rcm=200
[kg/cmq],fym=4200 [kg/cmq], FC=1.20 qd=2.5, qf=1.5 :

Armatura a maglia doppia

Pannello	Nx	Ny	Nxy	Mx	My	Mxy	Ax	Ay	C	Cs
	kg	kg	kg	kg*m	kg*m	kg*m	cmq	cmq		
1	4519	-3333	-1792	-404	-90	46	31.42	31.42	(22+23)-V-2	29
2	-2237	-4597	-1963	-497	-222	-69	31.42	31.42	(22+23)-II-4	25
3	6097	-4674	-1388	-486	-195	-105	31.42	31.42	(22+23)-II-4	22
4	15952	-7334	236	-458	-186	-148	31.42	31.42	(22+23)-II-4	19
5	-10848	-8209	-1108	-556	-415	-65	31.42	31.42	(22+23)-II-4	24
6	-3710	-8870	-308	-554	-318	-68	31.42	31.42	(22+23)-II-4	23
7	3297	-10242	686	-520	-259	-80	31.42	31.42	(22+23)-II-4	22
8	7930	-9267	2875	-463	-234	-92	31.42	31.42	(22+23)-II-4	23
9	-14565	-11101	426	-677	-480	-90	31.42	31.42	(22+23)-II-4	20
10	-4791	-9458	818	-637	-325	127	31.42	31.42	(22+23)-VI-4	19
11	1459	-10302	629	-581	-251	-63	31.42	31.42	(22+23)-II-4	21
12	4317	-7662	1041	-507	-225	-65	31.42	31.42	(22+23)-II-4	23
13	-22432	789	-314	-772	-350	-44	31.42	31.42	(22+23)-II-4	20
14	-3821	1018	-1618	-597	-258	185	31.42	31.42	(22+23)-VI-4	18
15	1612	3083	-1683	-519	-216	220	31.42	31.42	(22+23)-VI-4	18
16	2324	984	-784	-460	-221	205	31.42	31.42	(22+23)-VI-4	20
Massimi/minimi										
1							31.42			
1								31.42		
14										18

Muro :34 - Nodi : [10 - 827 - 821 - 10]:Verificato

Pann.X=4 Pann.Y=4 Spess.= 30 cm Criterio CLS_Muri_Esist Materiale: C20/25rcm=200
[kg/cmq],fym=4200 [kg/cmq], FC=1.20 qd=2.5, qf=1.5 :

Armatura a maglia doppia

Pannello	Nx	Ny	Nxy	Mx	My	Mxy	Ax	Ay	C	Cs
	kg	kg	kg	kg*m	kg*m	kg*m	cmq	cmq		
1	-1351	-14572	551	-167	-320	-200	31.42	31.42	(22+23)-I-4	30
2	-443	-14740	342	-8	-298	-142	31.42	31.42	(22+23)-I-4	35

Pannello	Nx	Ny	Nxy	Mx	My	Mxy	Ax	Ay	C	Cs
3	-761	-16441	-35	-9	-328	142	31.42	31.42	(22+23)-III-4	33
4	-1244	-11110	-1577	-42	-467	123	31.42	31.42	(22+23)-V-3	26
5	3855	-7882	829	-186	-286	165	31.42	31.42	(22+23)-VII-4	32
6	-182	-8685	671	-89	-287	-156	31.42	31.42	(22+23)-I-4	33
7	-448	-10394	1055	-40	-309	171	31.42	31.42	(22+23)-I-4	31
8	-1247	-8279	-331	28	-367	172	31.42	31.42	(22+23)-V-4	27
9	5488	-5253	3184	-345	-200	176	31.42	31.42	(22+23)-VI-4	25
10	332	-2809	861	-121	-269	189	31.42	31.42	(22+23)-I-4	31
11	-295	-2542	606	-64	-309	182	31.42	31.42	(22+23)-I-4	29
12	-271	-1262	-978	-32	-371	164	31.42	31.42	(22+23)-V-4	26
13	2136	305	2350	48	-316	208	31.42	31.42	(22+23)-I-2	26
14	116	3432	13	-131	-284	205	31.42	31.42	(22+23)-I-4	27
15	176	5301	22	-80	-317	186	31.42	31.42	(22+23)-I-4	26
16	-635	6719	-848	-60	-398	120	31.42	31.42	(22+23)-V-4	25
Massimi/minimi										
1							31.42			
1								31.42		
16										25

Muro :35 - Nodi : [10 - 10 - 820 - 826]:Verificato

Pann.X=4 Pann.Y=4 Spess.= 30 cm Criterio CLS_Muri_Esist Materiale: C20/25rcm=200
[kg/cmq],fym=4200 [kg/cmq], FC=1.20 qd=2.5, qf=1.5 :

Armatura a maglia doppia

Pannello	Nx	Ny	Nxy	Mx	My	Mxy	Ax	Ay	C	Cs
	kg	kg	kg	kg*m	kg*m	kg*m	cmq	cmq		
1	-3418	228	-3368	-261	-199	-257	31.42	31.42	(22+23)-V-3	27
2	-6097	-6442	-5417	105	322	-65	31.42	31.42	(22+23)-VI-2	37
3	-5795	-3425	-3367	110	409	-158	31.42	31.42	(22+23)-VI-2	25
4	-7454	707	-2569	118	468	-159	31.42	31.42	(22+23)-VI-2	22
5	-5078	-1640	-1621	137	23	-125	31.42	31.42	(22+23)-VI-2	55
6	-7987	-1333	-5808	104	179	-141	31.42	31.42	(22+23)-VI-2	43
7	-8337	-1731	-6253	73	293	-164	31.42	31.42	(22+23)-VI-2	30
8	-7952	-1942	-6530	45	383	-122	31.42	31.42	(22+23)-VI-4	28
9	208	632	-1067	77	15	-179	31.42	31.42	(22+23)-II-2	53
10	-4343	-1804	-2932	67	133	-195	31.42	31.42	(22+23)-VI-2	42
11	-7919	-3420	-4540	45	257	-194	31.42	31.42	(22+23)-VI-2	31
12	-9436	-4190	-6529	54	381	-126	31.42	31.42	(22+23)-VI-4	28
13	958	278	-1276	-144	78	-198	31.42	31.42	(22+23)-II-2	40
14	-2831	-2939	1347	-75	120	-163	31.42	31.42	(22+23)-VI-2	50
15	-5703	-6217	484	-25	217	-177	31.42	31.42	(22+23)-VI-2	37
16	-10262	-10800	-1694	23	394	-148	31.42	31.42	(22+23)-VI-2	28
Massimi/minimi										
1							31.42			
1								31.42		
4										22

Muro :36 - Nodi : [1 - 41 - 838 - 820]:Verificato

Pann.X=4 Pann.Y=4 Spess.= 30 cm Criterio CLS_Muri_Esist Materiale: C20/25rcm=200
[kg/cmq],fym=4200 [kg/cmq], FC=1.20 qd=2.5, qf=1.5 :

Armatura a maglia doppia

Pannello	Nx	Ny	Nxy	Mx	My	Mxy	Ax	Ay	C	Cs
	kg	kg	kg	kg*m	kg*m	kg*m	cmq	cmq		
1	-421	-6765	-3832	-29	-152	311	31.42	31.42	(22+23)-VI-2	31
2	220	-5739	-1766	-1	-200	-165	31.42	31.42	(22+23)-VI-3	39
3	545	-5864	-1525	21	-229	-184	31.42	31.42	(22+23)-VI-3	35
4	698	-7357	-2244	-52	188	278	31.42	31.42	(22+23)-VI-2	31
5	-422	-3838	-1308	-46	-416	-152	31.42	31.42	(22+23)-VI-3	25
6	-538	-5391	-817	-29	-396	-159	31.42	31.42	(22+23)-VI-3	26

Pannello	Nx	Ny	Nxy	Mx	My	Mxy	Ax	Ay	C	Cs
7	-698	-5769	-741	-12	-366	-175	31.42	31.42	(22+23)-VI-3	27
8	-666	-5248	-714	5	-348	-188	31.42	31.42	(22+23)-VI-3	27
9	-1163	-6060	-680	-49	-507	59	31.42	31.42	(22+23)-II-3	25
10	-1644	-5503	-129	-15	-495	77	31.42	31.42	(22+23)-II-3	25
11	-1963	-5659	-39	19	-487	62	31.42	31.42	(22+23)-II-3	26
12	-2228	-5269	131	47	-449	64	31.42	31.42	(22+23)-VI-3	28
13	-2013	-8922	1116	-190	-1396	150	31.42	31.42	(22+23)-II-3	9.6
14	608	-5922	-915	120	702	-351	31.42	31.42	(22+23)-II-2	14
15	1023	-5259	-654	122	603	-305	31.42	31.42	(22+23)-II-2	16
16	1281	-3439	-186	117	543	-265	31.42	31.42	(22+23)-VI-2	17
Massimi/minimi										
1							31.42			
1								31.42		
13										9.6

Muro :37 - Nodi : [826 - 839 - 42 - 40]:**Verificato**

Pann.X=4 Pann.Y=4 Spess.= 30 cm Criterio CLS_Muri_Esist Materiale: C20/25rcm=200
[kg/cmq],fym=4200 [kg/cmq], FC=1.20 qd=2.5, qf=1.5 :

Armatura a maglia doppia

Pannello	Nx	Ny	Nxy	Mx	My	Mxy	Ax	Ay	C	Cs
	kg	kg	kg	kg*m	kg*m	kg*m	cmq	cmq		
1	247	-6680	797	-568	-208	-500	31.42	31.42	(22+23)-VI-3	13
2	-406	-7648	1363	-613	-277	-516	31.42	31.42	(22+23)-VI-3	12
3	-1420	-6866	2548	-646	-327	-477	31.42	31.42	(22+23)-VI-3	12
4	8921	-3621	432	-647	-348	-136	31.42	31.42	(22+23)-II-1	16
5	1904	-4536	-2190	-813	5	308	31.42	31.42	(22+23)-VI-2	12
6	2566	-6273	-2006	-880	-38	285	31.42	31.42	(22+23)-VI-2	12
7	3265	-5070	-1217	-942	-199	218	31.42	31.42	(22+23)-VI-2	11
8	3542	-4120	-329	-977	-283	-98	31.42	31.42	(22+23)-II-2	12
9	1033	-3659	119	-962	-195	-274	31.42	31.42	(22+23)-VI-2	11
10	-678	-4479	1195	1017	-18	340	31.42	31.42	(22+23)-VI-3	10
11	2420	-6305	655	-1122	-369	-268	31.42	31.42	(22+23)-VI-2	9.7
12	2977	-5150	1101	-1135	-543	-262	31.42	31.42	(22+23)-VI-2	9.6
13	739	-655	184	-57	696	683	31.42	31.42	(22+23)-VI-3	10
14	2374	2529	237	-68	516	764	31.42	31.42	(22+23)-VI-3	10
15	-519	-11646	-1010	72	-734	-570	31.42	31.42	(22+23)-VI-2	12
16	20084	7722	11409	524	274	479	31.42	31.42	(22+23)-V-3	11
Massimi/minimi										
1							31.42			
1								31.42		
12										9.6

Muro :38 - Nodi : [826 - 820 - 838 - 839]:**Verificato**

Pann.X=4 Pann.Y=4 Spess.= 30 cm Criterio CLS_Muri_Esist Materiale: C20/25rcm=200
[kg/cmq],fym=4200 [kg/cmq], FC=1.20 qd=2.5, qf=1.5 :

Armatura a maglia doppia

Pannello	Nx	Ny	Nxy	Mx	My	Mxy	Ax	Ay	C	Cs
	kg	kg	kg	kg*m	kg*m	kg*m	cmq	cmq		
1	-6224	817	-235	-111	-435	429	31.42	31.42	(22+23)-VI-3	16
2	-4128	659	2041	69	-656	-291	31.42	31.42	(22+23)-VI-2	14
3	-4234	-197	184	16	-780	200	31.42	31.42	(22+23)-VI-2	14
4	-11143	-2429	1164	-399	83	395	31.42	31.42	(22+23)-II-2	19
5	-7462	-560	1223	112	283	-305	31.42	31.42	(22+23)-VI-2	23
6	-5187	-169	891	149	-450	-281	31.42	31.42	(22+23)-VI-2	19
7	-5855	-823	2150	104	-540	163	31.42	31.42	(22+23)-VI-2	20
8	-6556	-2760	-1796	-20	213	-265	31.42	31.42	(22+23)-V-3	29
9	-5539	40	300	-171	-144	289	31.42	31.42	(22+23)-VI-3	31
10	-5579	-717	1051	188	-305	-251	31.42	31.42	(22+23)-VI-2	25

Pannello	Nx	Ny	Nxy	Mx	My	Mxy	Ax	Ay	C	Cs
11	-5701	-334	2218	205	-359	152	31.42	31.42	(22+23)-VI-2	27
12	-6811	105	-630	194	45	163	31.42	31.42	(22+23)-VI-2	41
13	-7657	539	1826	229	62	-259	31.42	31.42	(22+23)-VI-2	30
14	-5278	-756	350	-317	66	219	31.42	31.42	(22+23)-VI-3	27
15	-5487	-2514	-1123	-350	110	-106	31.42	31.42	(22+23)-VI-3	32
16	-4261	1125	153	417	101	241	31.42	31.42	(22+23)-VI-2	22
Massimi/minimi										
1							31.42			
1								31.42		
3										14

Muro :39 - Nodi : [8 - 840 - 10 - 822]:Verificato

Pann.X=4 Pann.Y=4 Spess.= 30 cm Criterio CLS_Muri_Esist Materiale: C20/25rcm=200
[kg/cmq],fym=4200 [kg/cmq], FC=1.20 qd=2.5, qf=1.5 :

Armatura a maglia doppia

Pannello	Nx	Ny	Nxy	Mx	My	Mxy	Ax	Ay	C	Cs
	kg	kg	kg	kg*m	kg*m	kg*m	cmq	cmq		
1	-3115	-4668	-7385	16	-116	229	31.42	31.42	(22+23)-V-1	41
2	-6187	-7557	-6176	145	-50	179	31.42	31.42	(22+23)-VI-1	45
3	250	-6967	404	193	-55	-232	31.42	31.42	(22+23)-V-4	32
4	310	-7737	-834	241	-26	-265	31.42	31.42	(22+23)-V-4	27
5	-3735	-9089	-6387	-27	-353	260	31.42	31.42	(22+23)-V-1	24
6	-7849	-11181	-6287	16	-230	224	31.42	31.42	(22+23)-V-1	33
7	-11150	-12937	-4933	52	-145	188	31.42	31.42	(22+23)-V-1	46
8	2347	-7273	-46	130	-61	-175	31.42	31.42	(22+23)-V-4	44
9	-3444	-13059	-2063	-48	-448	271	31.42	31.42	(22+23)-V-1	21
10	-8022	-16752	-2478	-27	-313	250	31.42	31.42	(22+23)-V-1	28
11	-14732	-19995	-2601	-11	-243	218	31.42	31.42	(22+23)-V-1	35
12	1215	-8283	-371	105	-227	-125	31.42	31.42	(22+23)-II-4	42
13	327	-8769	7428	-35	-439	252	31.42	31.42	(22+23)-I-3	21
14	2843	-11217	7327	12	-348	258	31.42	31.42	(22+23)-I-3	25
15	4540	-13418	5326	94	-307	243	31.42	31.42	(22+23)-I-3	28
16	-11670	-34814	4253	113	-332	119	31.42	31.42	2	40
Massimi/minimi										
1							31.42			
1								31.42		
9										21

Muro :40 - Nodi : [840 - 842 - 10 - 10]:Verificato

Pann.X=4 Pann.Y=4 Spess.= 30 cm Criterio CLS_Muri_Esist Materiale: C20/25rcm=200
[kg/cmq],fym=4200 [kg/cmq], FC=1.20 qd=2.5, qf=1.5 :

Armatura a maglia doppia

Pannello	Nx	Ny	Nxy	Mx	My	Mxy	Ax	Ay	C	Cs
	kg	kg	kg	kg*m	kg*m	kg*m	cmq	cmq		
1	-581	-9430	15166	-47	-345	182	31.42	31.42	2	28
2	315	-7764	15278	-49	-276	220	31.42	31.42	2	30
3	470	-5199	13516	-54	-213	262	31.42	31.42	2	30
4	38	3226	9956	-63	-157	243	31.42	31.42	2	33
5	3099	-4976	7837	-27	-126	175	31.42	31.42	(22+23)-II-3	47
6	11007	-2235	6911	-44	-83	183	31.42	31.42	(22+23)-II-3	53
7	19858	-2248	4472	-63	-35	182	31.42	31.42	(22+23)-II-3	46
8	30615	-2474	1258	-70	18	116	31.42	31.42	(22+23)-II-3	54
9	3464	-4089	3194	-13	-115	-94	31.42	31.42	(22+23)-I-2	68
10	11716	-1908	2648	-23	-75	-104	31.42	31.42	(22+23)-I-2	78
11	25474	-2239	2068	-63	-35	-92	31.42	31.42	(22+23)-VII-1	69
12	34444	-2464	-855	-65	-6	74	31.42	31.42	(22+23)-II-3	69
13	3291	-4943	-6073	-19	-237	-137	31.42	31.42	(22+23)-I-1	38
14	11640	-2256	-5851	-45	-196	-160	31.42	31.42	(22+23)-I-1	39

Pannello	Nx	Ny	Nxy	Mx	My	Mxy	Ax	Ay	C	Cs
15	20939	-717	-4359	-26	-159	-193	31.42	31.42	(22+23)-I-1	39
16	37182	-1196	-906	-92	-123	-178	31.42	31.42	(22+23)-V-1	34
Massimi/minimi										
1							31.42			
1								31.42		
1										28

Muro :41 - Nodi : [842 - 9 - 821 - 10]:**Verificato**

Pann.X=4 Pann.Y=4 Spess.= 30 cm Criterio CLS_Muri_Esist Materiale: C20/25rcm=200
[kg/cmq],fym=4200 [kg/cmq], FC=1.20 qd=2.5, qf=1.5 :

Armatura a maglia doppia

Pannello	Nx	Ny	Nxy	Mx	My	Mxy	Ax	Ay	C	Cs
	kg	kg	kg	kg*m	kg*m	kg*m	cmq	cmq		
1	2243	-8353	-7963	-28	-329	-147	31.42	31.42	(22+23)-I-1	31
2	8442	-10730	-7563	-1	-298	-165	31.42	31.42	(22+23)-I-1	32
3	13275	-12476	-5655	57	-286	-170	31.42	31.42	(22+23)-I-1	33
4	19881	-12535	-1723	-85	-347	-95	31.42	31.42	(22+23)-VII-2	34
5	462	-11787	-4386	-42	-325	-215	31.42	31.42	(22+23)-II-1	28
6	5545	-9755	-4288	2	-294	-154	31.42	31.42	(22+23)-III-1	33
7	10277	-11649	-3040	-68	-264	-168	31.42	31.42	(22+23)-V-1	35
8	8471	-11866	869	-73	-272	-181	31.42	31.42	(22+23)-V-1	33
9	-9	-8770	1256	-42	-336	-231	31.42	31.42	(22+23)-II-1	26
10	2946	-9900	1328	-17	-227	-232	31.42	31.42	(22+23)-VI-1	32
11	5664	-9106	-1161	41	-212	-175	31.42	31.42	(22+23)-V-1	38
12	630	-1114	3103	35	-247	166	31.42	31.42	(22+23)-II-4	33
13	-134	-2625	840	-6	-301	-176	31.42	31.42	(22+23)-VI-1	29
14	1500	-3781	1138	78	-175	-166	31.42	31.42	(22+23)-VI-1	41
15	-381	4856	1096	-34	-198	128	31.42	31.42	(22+23)-II-4	40
16	-700	6639	1386	-52	-289	118	31.42	31.42	(22+23)-II-4	32
Massimi/minimi										
1							31.42			
1								31.42		
9										26

Muro :42 - Nodi : [828 - 10 - 841 - 32]:**Verificato**

Pann.X=4 Pann.Y=4 Spess.= 30 cm Criterio CLS_Muri_Esist Materiale: C20/25rcm=200
[kg/cmq],fym=4200 [kg/cmq], FC=1.20 qd=2.5, qf=1.5 :

Armatura a maglia doppia

Pannello	Nx	Ny	Nxy	Mx	My	Mxy	Ax	Ay	C	Cs
	kg	kg	kg	kg*m	kg*m	kg*m	cmq	cmq		
1	-1899	-6401	5567	1148	61	222	31.42	31.42	(22+23)-VI-3	10
2	1548	-3619	2902	-1206	-460	-351	31.42	31.42	(22+23)-VI-2	8.7
3	3301	-3389	2687	-1496	-591	-360	31.42	31.42	(22+23)-II-2	7.2
4	6962	-5793	1833	-1456	-555	-42	31.42	31.42	(22+23)-II-2	8.6
5	-3210	-4771	2177	-667	-367	-446	31.42	31.42	(22+23)-II-2	13
6	-452	-4157	2458	-733	-428	-469	31.42	31.42	(22+23)-II-2	11
7	1300	-3439	3331	-767	-474	-442	31.42	31.42	(22+23)-II-2	11
8	13492	-1496	1794	869	-469	-142	31.42	31.42	(22+23)-I-3	12
9	-8639	-6692	-95	-171	-325	-660	31.42	31.42	(22+23)-VI-4	15
10	-3489	-5065	3092	-160	-391	-618	31.42	31.42	(22+23)-VI-4	14
11	7493	-3870	3164	467	-282	-468	31.42	31.42	(22+23)-I-4	14
12	19373	-3255	1057	712	-511	-111	31.42	31.42	(22+23)-I-3	14
13	3713	-13132	-1459	-537	-347	-489	31.42	31.42	(22+23)-I-2	13
14	4377	-8655	-2906	-464	-330	-498	31.42	31.42	(22+23)-I-2	14
15	7864	-7675	-1148	510	-354	-408	31.42	31.42	(22+23)-VII-4	14
16	21957	-5538	80	518	-416	-133	31.42	31.42	(22+23)-VII-4	17
Massimi/minimi										

Pannello	Nx	Ny	Nxy	Mx	My	Mxy	Ax	Ay	C	Cs
1							31.42			
1								31.42		
3										7.2

Muro :43 - Nodi : [10 - 10 - 843 - 841]:**Verificato**

Pann.X=4 Pann.Y=4 Spess.= 30 cm Criterio CLS_Muri_Esist Materiale: C20/25rcm=200
[kg/cmq],fym=4200 [kg/cmq], FC=1.20 qd=2.5, qf=1.5 :

Armatura a maglia doppia

Pannello	Nx	Ny	Nxy	Mx	My	Mxy	Ax	Ay	C	Cs
	kg	kg	kg	kg*m	kg*m	kg*m	cmq	cmq		
1	17245	97	-2231	-388	-122	-233	31.42	31.42	(22+23)-I-1	19
2	-7930	-3856	-9536	502	-181	-402	31.42	31.42	(22+23)-VI-4	16
3	-1307	-4915	-5642	549	-149	-361	31.42	31.42	(22+23)-VI-4	15
4	497	-4486	-3336	567	-143	-109	31.42	31.42	(22+23)-VI-4	20
5	7478	-1692	-1564	1080	16	-136	31.42	31.42	(22+23)-VI-4	11
6	-199	-786	-4741	1099	-38	-212	31.42	31.42	(22+23)-VI-4	10
7	-7796	-1119	-5590	1131	-77	-210	31.42	31.42	(22+23)-VI-4	11
8	-14667	-491	-4122	1130	-43	-112	31.42	31.42	(22+23)-VI-4	12
9	23164	-885	1400	-970	-3	-123	31.42	31.42	(22+23)-VI-1	10.0
10	4006	-1011	-648	1101	-38	125	31.42	31.42	(22+23)-VI-4	11
11	-8141	-1528	-829	1137	-62	122	31.42	31.42	(22+23)-VI-4	12
12	-20921	-1063	-1082	1136	-28	56	31.42	31.42	(22+23)-VI-4	14
13	21155	-1019	-118	476	-170	281	31.42	31.42	(22+23)-V-4	15
14	1310	-357	2900	480	-227	383	31.42	31.42	(22+23)-VI-4	16
15	-5236	-1497	2572	532	-242	328	31.42	31.42	(22+23)-VI-4	17
16	4746	-4268	5004	597	-72	11	31.42	31.42	(22+23)-I-2	22
Massimi/minimi										
1							31.42			
1								31.42		
9										10.0

Muro :44 - Nodi : [10 - 827 - 44 - 843]:**Verificato**

Pann.X=4 Pann.Y=4 Spess.= 30 cm Criterio CLS_Muri_Esist Materiale: C20/25rcm=200
[kg/cmq],fym=4200 [kg/cmq], FC=1.20 qd=2.5, qf=1.5 :

Armatura a maglia doppia

Pannello	Nx	Ny	Nxy	Mx	My	Mxy	Ax	Ay	C	Cs
	kg	kg	kg	kg*m	kg*m	kg*m	cmq	cmq		
1	-1303	-11047	1173	-525	-469	563	31.42	31.42	(22+23)-VI-4	13
2	1616	-7727	2977	-449	-472	566	31.42	31.42	(22+23)-II-4	13
3	-612	-5136	1354	-440	-502	481	31.42	31.42	(22+23)-VI-4	15
4	-3441	-4305	334	120	-526	179	31.42	31.42	(22+23)-II-4	20
5	2112	-7258	-1284	-518	-465	641	31.42	31.42	(22+23)-VI-4	12
6	507	-6253	-797	-562	-562	583	31.42	31.42	(22+23)-II-4	12
7	45	-4932	-338	-579	-676	518	31.42	31.42	(22+23)-II-4	12
8	-1791	-3799	-1428	-555	-813	283	31.42	31.42	(22+23)-II-4	13
9	877	-1970	-1594	-558	-472	566	31.42	31.42	(22+23)-VI-4	12
10	1449	-2210	-1464	-654	-634	555	31.42	31.42	(22+23)-II-4	11
11	-594	-1954	-1400	-758	-840	487	31.42	31.42	(22+23)-II-4	11
12	-1907	-1930	-2294	-800	-1131	309	31.42	31.42	(22+23)-II-4	9.7
13	552	2427	-1540	-510	-424	318	31.42	31.42	(22+23)-II-4	16
14	1087	2342	-1408	-705	-676	349	31.42	31.42	(22+23)-II-4	13
15	545	209	-3876	-90	-1289	45	31.42	31.42	2	10
16	343	-1003	-2187	-140	-1649	-35	31.42	31.42	2	8.2
Massimi/minimi										
1							31.42			
1								31.42		
16										8.2

Muro :45 - Nodi : [822 - 10 - 10 - 828]:**Verificato**

Pann.X=4 Pann.Y=4 Spess.= 30 cm Criterio CLS_Muri_Esist Materiale: C20/25rcm=200
[kg/cmq],fym=4200 [kg/cmq], FC=1.20 qd=2.5, qf=1.5 :

Armatura a maglia doppia

Pannello	Nx	Ny	Nxy	Mx	My	Mxy	Ax	Ay	C	Cs
	kg	kg	kg	kg*m	kg*m	kg*m	cmq	cmq		
1	45	-6885	-3127	282	-5	-297	31.42	31.42	(22+23)-V-4	24
2	-922	-8644	-2587	437	37	-184	31.42	31.42	(22+23)-V-3	22
3	-1491	-8323	-2903	612	108	-139	31.42	31.42	(22+23)-V-3	18
4	-2869	-8278	4264	901	114	206	31.42	31.42	(22+23)-VI-3	13
5	879	-7686	-2672	177	-58	-243	31.42	31.42	(22+23)-V-4	32
6	-411	-9167	-3642	223	70	-281	31.42	31.42	(22+23)-V-4	27
7	-1460	-10976	-4395	327	102	-264	31.42	31.42	(22+23)-VII-4	24
8	-3949	-11388	2749	623	61	213	31.42	31.42	(22+23)-II-3	17
9	-861	-8992	-1031	54	-147	-246	31.42	31.42	(22+23)-VI-4	38
10	-491	-10596	-2092	115	97	-303	31.42	31.42	(22+23)-V-4	33
11	-1064	-13922	-3802	156	119	-333	31.42	31.42	(22+23)-V-4	28
12	-8444	-11715	-4385	-116	-308	-534	31.42	31.42	(22+23)-II-4	18
13	-2204	-8702	-1094	94	-210	-255	31.42	31.42	(22+23)-V-4	32
14	-1592	-11556	-732	25	116	-252	31.42	31.42	(22+23)-V-4	41
15	-3014	-14552	-389	22	143	-285	31.42	31.42	(22+23)-V-4	36
16	-4798	-18259	-5353	-252	-438	-588	31.42	31.42	(22+23)-VI-2	15
Massimi/minimi										
1							31.42			
1								31.42		
4										13

Muro :46 - Nodi : [10 - 821 - 827 - 10]:**Verificato**

Pann.X=4 Pann.Y=4 Spess.= 30 cm Criterio CLS_Muri_Esist Materiale: C20/25rcm=200
[kg/cmq],fym=4200 [kg/cmq], FC=1.20 qd=2.5, qf=1.5 :

Armatura a maglia doppia

Pannello	Nx	Ny	Nxy	Mx	My	Mxy	Ax	Ay	C	Cs
	kg	kg	kg	kg*m	kg*m	kg*m	cmq	cmq		
1	-3326	-21905	-2192	38	-331	212	31.42	31.42	(22+23)-II-4	30
2	-1969	-19345	305	-29	-235	218	31.42	31.42	(22+23)-II-4	35
3	-1713	-18650	-327	15	-231	278	31.42	31.42	(22+23)-II-4	31
4	-2555	-15332	75	-292	-489	594	31.42	31.42	(22+23)-VI-4	14
5	-2176	-10182	431	27	-302	214	31.42	31.42	(22+23)-II-4	29
6	-306	-11682	-225	-33	-232	257	31.42	31.42	(22+23)-II-4	31
7	-293	-11681	389	-103	-200	324	31.42	31.42	(22+23)-II-4	29
8	-641	-8050	-238	-320	-339	525	31.42	31.42	(22+23)-VI-4	16
9	-871	-1496	1403	-27	-329	195	31.42	31.42	(22+23)-II-4	26
10	-15	-2925	381	-57	-246	230	31.42	31.42	(22+23)-II-4	30
11	-36	-3476	284	-129	-152	283	31.42	31.42	(22+23)-II-4	32
12	5	-2706	-1060	-341	-235	441	31.42	31.42	(22+23)-VI-4	18
13	-782	8387	1272	-70	-300	121	31.42	31.42	(22+23)-II-4	30
14	175	6918	755	-78	-229	161	31.42	31.42	(22+23)-II-4	33
15	445	2864	-665	204	-125	-180	31.42	31.42	(22+23)-II-1	36
16	-1228	2745	-2317	373	-102	-173	31.42	31.42	(22+23)-II-1	25
Massimi/minimi										
1							31.42			
1								31.42		
4										14

Muro :47 - Nodi : [844 - 2 - 8 - 822]:**Verificato**

Pann.X=4 Pann.Y=4 Spess.= 30 cm Criterio CLS_Muri_Esist Materiale: C20/25rcm=200
[kg/cmq],fym=4200 [kg/cmq], FC=1.20 qd=2.5, qf=1.5 :

Armatura a maglia doppia

Pannello	Nx	Ny	Nxy	Mx	My	Mxy	Ax	Ay	C	Cs
	kg	kg	kg	kg*m	kg*m	kg*m	cmq	cmq		
1	-7848	-7834	7181	152	11	-267	31.42	31.42	(22+23)-II-2	35
2	-4534	-3032	2167	174	16	-292	31.42	31.42	(22+23)-II-2	31
3	-5623	-161	-2454	-17	54	-392	31.42	31.42	(22+23)-VII-1	31
4	-3631	-147	-1724	-174	-257	-192	31.42	31.42	(22+23)-VII-1	31
5	-1850	-7279	6972	218	-13	-185	31.42	31.42	(22+23)-VI-4	35
6	-6146	-2526	1145	193	20	-285	31.42	31.42	(22+23)-II-2	30
7	-7069	-538	-525	89	11	-411	31.42	31.42	(22+23)-V-2	29
8	-4504	-298	-1728	-80	-178	-220	31.42	31.42	(22+23)-VII-1	35
9	5101	-7064	5784	211	9	-176	31.42	31.42	(22+23)-VI-4	34
10	-6644	-1802	1186	215	20	-272	31.42	31.42	(22+23)-II-2	30
11	-8657	-719	-652	166	29	-408	31.42	31.42	(22+23)-V-2	26
12	-4938	-397	-1828	41	-85	-241	31.42	31.42	(22+23)-VII-1	42
13	-7106	1460	-524	335	34	76	31.42	31.42	(22+23)-V-3	35
14	-7118	-1111	1196	233	30	-255	31.42	31.42	(22+23)-II-2	30
15	-5496	-715	-953	242	36	-386	31.42	31.42	(22+23)-V-2	23
16	-5144	-495	-2312	349	9	-252	31.42	31.42	(22+23)-VII-1	24
Massimi/minimi										
1							31.42			
1								31.42		
15										23

Muro :48 - Nodi : [844 - 822 - 828 - 845]:Verificato

Pann.X=4 Pann.Y=4 Spess.= 30 cm Criterio CLS_Muri_Esist Materiale: C20/25rcm=200
[kg/cmq],fym=4200 [kg/cmq], FC=1.20 qd=2.5, qf=1.5 :

Armatura a maglia doppia

Pannello	Nx	Ny	Nxy	Mx	My	Mxy	Ax	Ay	C	Cs
	kg	kg	kg	kg*m	kg*m	kg*m	cmq	cmq		
1	-3985	-8560	-6522	15	171	268	31.42	31.42	(22+23)-II-2	34
2	-486	-6636	225	248	152	256	31.42	31.42	(22+23)-V-2	27
3	325	-5036	2705	484	226	102	31.42	31.42	(22+23)-VII-1	23
4	751	-2169	2568	678	160	29	31.42	31.42	(22+23)-VII-1	19
5	-2065	-4192	469	86	48	386	31.42	31.42	(22+23)-V-2	30
6	-1127	-4762	-142	116	23	341	31.42	31.42	(22+23)-V-2	30
7	779	-2123	2349	233	-20	216	31.42	31.42	(22+23)-VII-1	30
8	-298	-1163	-2442	-362	67	-247	31.42	31.42	(22+23)-V-4	23
9	61	-5028	2281	65	-105	363	31.42	31.42	(22+23)-VII-1	31
10	-221	-4121	-473	-189	-108	291	31.42	31.42	(22+23)-I-2	29
11	-111	-4060	-2453	-258	-11	-343	31.42	31.42	(22+23)-VII-4	23
12	-396	-3008	-2879	-340	12	-404	31.42	31.42	(22+23)-VII-4	19
13	89	-3049	1751	-406	-264	176	31.42	31.42	(22+23)-VII-1	24
14	263	-3522	-24	-627	-221	122	31.42	31.42	(22+23)-V-2	18
15	1778	-3699	-88	-792	-183	130	31.42	31.42	(22+23)-V-2	15
16	2038	-4609	-188	-932	-185	131	31.42	31.42	(22+23)-V-2	13
Massimi/minimi										
1							31.42			
1								31.42		
16										13

Muro :49 - Nodi : [845 - 828 - 32 - 34]:Verificato

Pann.X=4 Pann.Y=4 Spess.= 30 cm Criterio CLS_Muri_Esist Materiale: C20/25rcm=200
[kg/cmq],fym=4200 [kg/cmq], FC=1.20 qd=2.5, qf=1.5 :

Armatura a maglia doppia

Pannello	Nx	Ny	Nxy	Mx	My	Mxy	Ax	Ay	C	Cs
	kg	kg	kg	kg*m	kg*m	kg*m	cmq	cmq		
1	1191	-7142	527	807	-245	-189	31.42	31.42	(22+23)-VII-1	14
2	-345	-7754	401	903	-480	-183	31.42	31.42	(22+23)-VII-1	13

Pannello	Nx	Ny	Nxy	Mx	My	Mxy	Ax	Ay	C	Cs
3	530	-8204	-359	1036	-643	-166	31.42	31.42	(22+23)-VII-1	11
4	9907	889	-2204	-1084	488	-114	31.42	31.42	(22+23)-VII-4	10
5	150	-887	-2554	-463	73	-290	31.42	31.42	(22+23)-V-4	18
6	472	-650	-2430	-495	49	-330	31.42	31.42	(22+23)-V-4	17
7	976	61	-2152	-509	78	-328	31.42	31.42	(22+23)-V-4	16
8	1994	-855	-1743	-503	-134	-149	31.42	31.42	(22+23)-V-4	21
9	1656	-1325	-1260	-425	-77	286	31.42	31.42	(22+23)-V-2	19
10	-480	-1639	-2620	-413	92	-411	31.42	31.42	(22+23)-VII-4	17
11	-115	-1594	-1685	-431	125	-369	31.42	31.42	(22+23)-VII-4	17
12	3559	-2156	716	-459	-97	116	31.42	31.42	(22+23)-V-2	23
13	1147	-6314	-334	-1016	-150	132	31.42	31.42	(22+23)-V-2	12
14	302	-8546	-422	-1053	-136	126	31.42	31.42	(22+23)-V-2	12
15	-1688	-10127	-902	-1082	-125	129	31.42	31.42	(22+23)-V-2	11
16	-5854	-8669	-3788	-1077	-141	120	31.42	31.42	(22+23)-V-2	12
Massimi/minimi										
1							31.42			
1								31.42		
4										10

Muro :50 - Nodi : [8 - 7 - 823 - 822]:Verificato

Pann.X=4 Pann.Y=4 Spess.= 30 cm Criterio CLS_Muri_Esist Materiale: C20/25rcm=200
[kg/cmq],fym=4200 [kg/cmq], FC=1.20 qd=2.5, qf=1.5 :

Armatura a maglia doppia

Pannello	Nx	Ny	Nxy	Mx	My	Mxy	Ax	Ay	C	Cs
	kg	kg	kg	kg*m	kg*m	kg*m	cmq	cmq		
1	-1175	-7296	3624	-51	319	-298	31.42	31.42	2	24
2	-1272	-6653	2651	-252	74	-274	31.42	31.42	2	26
3	-804	-6683	2138	-420	-90	-245	31.42	31.42	2	21
4	-230	-6256	1687	-552	-186	-221	31.42	31.42	2	18
5	-906	-8741	2056	37	377	-454	31.42	31.42	2	18
6	14	-5488	1916	-38	155	-528	31.42	31.42	(22+23)-V-4	21
7	347	-4984	1757	6	105	-513	31.42	31.42	(22+23)-V-4	23
8	60	-2543	-420	-3	-50	-519	31.42	31.42	(22+23)-II-4	25
9	-489	-8372	1176	21	188	-479	31.42	31.42	(22+23)-VIII-3	22
10	304	-5252	956	10	132	-584	31.42	31.42	(22+23)-V-4	20
11	688	-4626	832	11	156	-583	31.42	31.42	(22+23)-V-4	19
12	830	-4134	780	13	177	-561	31.42	31.42	(22+23)-V-4	19
13	-101	-5761	-928	30	68	-489	31.42	31.42	(22+23)-VI-3	26
14	631	-4730	-739	44	171	-515	31.42	31.42	(22+23)-VI-3	21
15	684	-3856	-518	76	249	-510	31.42	31.42	(22+23)-VI-3	19
16	336	297	106	202	341	-414	31.42	31.42	(22+23)-V-3	18
Massimi/minimi										
1							31.42			
1								31.42		
5										18

Muro :51 - Nodi : [822 - 823 - 829 - 828]:Verificato

Pann.X=4 Pann.Y=4 Spess.= 30 cm Criterio CLS_Muri_Esist Materiale: C20/25rcm=200
[kg/cmq],fym=4200 [kg/cmq], FC=1.20 qd=2.5, qf=1.5 :

Armatura a maglia doppia

Pannello	Nx	Ny	Nxy	Mx	My	Mxy	Ax	Ay	C	Cs
	kg	kg	kg	kg*m	kg*m	kg*m	cmq	cmq		
1	438	-4528	1843	-810	-310	77	31.42	31.42	(22+23)-VI-1	15
2	1470	-4269	1349	-998	-273	144	31.42	31.42	(22+23)-II-1	12
3	1810	-4335	2668	-1157	-220	203	31.42	31.42	(22+23)-VI-3	9.9
4	2149	-3882	3443	-1281	-244	248	31.42	31.42	(22+23)-VI-3	8.8
5	1222	-5106	1615	-253	-65	-323	31.42	31.42	(22+23)-IV-3	24
6	1140	-4185	1247	-586	-150	165	31.42	31.42	(22+23)-VI-1	18

Pannello	Nx	Ny	Nxy	Mx	My	Mxy	Ax	Ay	C	Cs
7	1772	-3590	1838	-714	-127	273	31.42	31.42	(22+23)-VI-1	14
8	2891	-3331	1717	-769	-149	376	31.42	31.42	(22+23)-II-1	12
9	1094	-1310	1066	3	184	-463	31.42	31.42	(22+23)-V-4	21
10	581	-17	-501	230	22	-328	31.42	31.42	(22+23)-II-4	24
11	1438	-3671	2193	-337	-1	318	31.42	31.42	(22+23)-II-1	21
12	3958	-4131	2657	-461	-52	439	31.42	31.42	(22+23)-II-1	15
13	188	760	1329	278	382	-355	31.42	31.42	(22+23)-V-3	18
14	141	2248	-296	426	248	-352	31.42	31.42	(22+23)-VI-4	18
15	690	2490	144	547	147	-233	31.42	31.42	(22+23)-II-4	17
16	2864	2401	1267	661	152	226	31.42	31.42	(22+23)-IV-4	15
Massimi/minimi										
1							31.42			
1								31.42		
4										8.8

Muro :52 - Nodi : [828 - 829 - 30 - 32]:Verificato

Pann.X=4 Pann.Y=4 Spess.= 30 cm Criterio CLS_Muri_Esist Materiale: C20/25rcm=200
[kg/cmq],fym=4200 [kg/cmq], FC=1.20 qd=2.5, qf=1.5 :

Armatura a maglia doppia

Pannello	Nx	Ny	Nxy	Mx	My	Mxy	Ax	Ay	C	Cs
	kg	kg	kg	kg*m	kg*m	kg*m	cmq	cmq		
1	1770	-1492	3823	-1348	-190	253	31.42	31.42	(22+23)-VI-3	8.4
2	2935	2201	2918	-1314	-136	256	31.42	31.42	(22+23)-II-1	8.5
3	5963	5507	1923	-1312	-58	239	31.42	31.42	(22+23)-II-1	8.4
4	7882	4182	-4849	-1294	451	239	31.42	31.42	(22+23)-V-3	8.3
5	3822	-2327	249	-784	-128	419	31.42	31.42	(22+23)-II-1	11
6	4514	-3272	-527	-775	-90	409	31.42	31.42	(22+23)-II-1	11
7	4789	-1016	-93	-777	-16	365	31.42	31.42	(22+23)-II-1	11
8	5555	-802	2792	-852	180	223	31.42	31.42	(22+23)-VI-3	12
9	5819	-6578	1469	-532	-88	472	31.42	31.42	(22+23)-II-1	13
10	5415	-7825	465	-550	-95	446	31.42	31.42	(22+23)-II-1	13
11	3046	-7401	301	-571	-95	390	31.42	31.42	(22+23)-II-1	14
12	-2333	-11059	1840	-607	-98	169	31.42	31.42	(22+23)-II-1	18
13	3072	3955	544	774	168	245	31.42	31.42	(22+23)-IV-4	13
14	1107	3644	202	850	178	254	31.42	31.42	(22+23)-IV-4	12
15	-7094	-913	-1300	963	210	229	31.42	31.42	(22+23)-IV-4	12
16	-41323	5555	-6541	1280	188	68	31.42	31.42	(22+23)-II-2	14
Massimi/minimi										
1							31.42			
1								31.42		
4										8.3

Muro :53 - Nodi : [35 - 846 - 10 - 818]:Verificato

Pann.X=4 Pann.Y=4 Spess.= 30 cm Criterio CLS_Muri_Esist Materiale: C20/25rcm=200
[kg/cmq],fym=4200 [kg/cmq], FC=1.20 qd=2.5, qf=1.5 :

Armatura a maglia doppia

Pannello	Nx	Ny	Nxy	Mx	My	Mxy	Ax	Ay	C	Cs
	kg	kg	kg	kg*m	kg*m	kg*m	cmq	cmq		
1	-3577	-12236	-7084	41	1218	163	31.42	31.42	(22+23)-I-3	11
2	-1642	-12061	-2204	-172	879	209	31.42	31.42	(22+23)-I-3	14
3	-817	-11356	1353	-327	437	228	31.42	31.42	(22+23)-I-3	23
4	268	-9473	2736	-361	145	258	31.42	31.42	(22+23)-I-3	22
5	-4048	-15081	-3714	160	1474	-167	31.42	31.42	(22+23)-I-3	9.4
6	-5082	-18643	277	40	894	-155	31.42	31.42	(22+23)-I-3	15
7	-3155	-21396	2553	-35	491	-114	31.42	31.42	(22+23)-I-3	27
8	-1065	-19868	-1175	-56	185	156	31.42	31.42	(22+23)-VII-4	47
9	-8002	-25917	3241	168	1433	-190	31.42	31.42	(22+23)-I-3	10
10	-6345	-34804	5608	99	981	-165	31.42	31.42	(22+23)-I-3	16

Pannello	Nx	Ny	Nxy	Mx	My	Mxy	Ax	Ay	C	Cs
11	-3089	-36229	4078	42	598	-124	31.42	31.42	(22+23)-I-3	25
12	-1434	-35879	3000	6	334	-96	31.42	31.42	(22+23)-I-3	42
13	-11725	-65896	12877	129	1483	-172	31.42	31.42	(22+23)-I-3	13
14	-1308	-57457	5114	35	1016	-108	31.42	31.42	(22+23)-III-3	18
15	-347	-54362	2453	23	653	-83	31.42	31.42	(22+23)-I-3	27
16	-690	-50620	1501	13	381	-65	31.42	31.42	(22+23)-I-3	44
Massimi/minimi										
1							31.42			
1								31.42		
5										9.4

Muro :54 - Nodi : [818 - 10 - 10 - 824]:Verificato

Pann.X=4 Pann.Y=4 Spess.= 30 cm Criterio CLS_Muri_Esist Materiale: C20/25rcm=200
[kg/cmq],fym=4200 [kg/cmq], FC=1.20 qd=2.5, qf=1.5 :

Armatura a maglia doppia

Pannello	Nx	Ny	Nxy	Mx	My	Mxy	Ax	Ay	C	Cs
	kg	kg	kg	kg*m	kg*m	kg*m	cmq	cmq		
1	-166	-6963	3508	-274	37	221	31.42	31.42	(22+23)-I-3	28
2	173	-5714	-955	-113	-19	155	31.42	31.42	(22+23)-VII-4	51
3	-357	-8184	2917	-181	13	-80	31.42	31.42	(22+23)-I-3	53
4	-1252	5909	66	249	-120	112	31.42	31.42	(22+23)-III-2	38
5	425	-21312	1798	-111	39	193	31.42	31.42	(22+23)-III-4	45
6	346	-16691	-1501	-69	-35	177	31.42	31.42	(22+23)-VII-4	56
7	285	-16822	3387	-109	-7	-103	31.42	31.42	(22+23)-I-3	64
8	-5999	-10636	-777	268	43	159	31.42	31.42	(22+23)-II-2	34
9	71	-27623	-1687	-21	45	184	31.42	31.42	(22+23)-V-4	67
10	-269	-27577	-1192	-34	-42	176	31.42	31.42	(22+23)-VII-4	65
11	-47	-17302	-1898	25	-26	144	31.42	31.42	(22+23)-I-2	81
12	-7300	-26838	-3937	273	66	158	31.42	31.42	(22+23)-II-2	34
13	-1825	-29313	-1088	-1	53	132	31.42	31.42	(22+23)-II-4	93
14	-2869	-38598	-536	-5	-55	127	31.42	31.42	(22+23)-VII-4	>100
15	-2776	-38983	-432	-41	8	104	31.42	31.42	(22+23)-VI-2	97
16	1829	-47838	-7306	242	130	208	31.42	31.42	(22+23)-VI-2	30
Massimi/minimi										
1							31.42			
1								31.42		
1										28

Muro :55 - Nodi : [824 - 10 - 847 - 36]:Verificato

Pann.X=4 Pann.Y=4 Spess.= 30 cm Criterio CLS_Muri_Esist Materiale: C20/25rcm=200
[kg/cmq],fym=4200 [kg/cmq], FC=1.20 qd=2.5, qf=1.5 :

Armatura a maglia doppia

Pannello	Nx	Ny	Nxy	Mx	My	Mxy	Ax	Ay	C	Cs
	kg	kg	kg	kg*m	kg*m	kg*m	cmq	cmq		
1	-1729	903	6569	446	106	-98	31.42	31.42	(22+23)-VI-2	26
2	1667	-5595	8435	626	166	-103	31.42	31.42	(22+23)-VI-2	19
3	10446	-6911	8292	772	154	176	31.42	31.42	(22+23)-II-2	13
4	19484	-6387	4870	840	261	165	31.42	31.42	(22+23)-II-2	11
5	-2041	-5859	5893	442	-75	186	31.42	31.42	(22+23)-IV-2	22
6	2297	-5699	7393	542	-90	207	31.42	31.42	(22+23)-IV-2	18
7	13206	-4334	9870	796	181	215	31.42	31.42	(22+23)-II-2	12
8	26597	-4494	5675	839	361	132	31.42	31.42	(22+23)-II-2	11
9	-10680	-15916	6424	591	79	140	31.42	31.42	(22+23)-II-2	20
10	733	-14153	9975	702	129	136	31.42	31.42	(22+23)-II-2	16
11	16389	-7087	7369	783	209	134	31.42	31.42	(22+23)-II-2	13
12	31729	-4249	4801	803	364	110	31.42	31.42	(22+23)-II-2	11
13	-22249	-35249	5333	635	96	175	31.42	31.42	(22+23)-II-2	20
14	2881	-18311	1831	725	132	168	31.42	31.42	(22+23)-II-2	15

Pannello	Nx	Ny	Nxy	Mx	My	Mxy	Ax	Ay	C	Cs
15	15269	-10754	1371	784	198	146	31.42	31.42	(22+23)-II-2	13
16	35809	-4856	1481	765	303	86	31.42	31.42	(22+23)-II-2	11
Massimi/minimi										
1							31.42			
1								31.42		
12										11

Muro :56 - Nodi : [10 - 10 - 849 - 847]:**Verificato**

Pann.X=4 Pann.Y=4 Spess.= 30 cm Criterio CLS_Muri_Esist Materiale: C20/25rcm=200
[kg/cmq],fym=4200 [kg/cmq], FC=1.20 qd=2.5, qf=1.5 :

Armatura a maglia doppia

Pannello	Nx	Ny	Nxy	Mx	My	Mxy	Ax	Ay	C	Cs
	kg	kg	kg	kg*m	kg*m	kg*m	cmq	cmq		
1	40029	-4943	3729	-531	42	41	31.42	31.42	(22+23)-II-3	16
2	-3394	-2127	-8599	670	73	126	31.42	31.42	(22+23)-II-2	18
3	15839	-3651	-7007	647	98	101	31.42	31.42	(22+23)-II-2	16
4	33338	-5117	-4745	629	135	36	31.42	31.42	(22+23)-II-2	15
5	20112	3652	-576	-296	-15	46	31.42	31.42	(22+23)-I-3	33
6	9864	-2070	-505	-298	7	76	31.42	31.42	(22+23)-I-3	33
7	5911	-894	-3315	-294	16	87	31.42	31.42	(22+23)-III-4	34
8	3941	162	-2333	-299	30	52	31.42	31.42	(22+23)-III-4	38
9	13771	2943	-86	-334	15	-50	31.42	31.42	(22+23)-V-2	31
10	7493	440	599	-339	0	-58	31.42	31.42	(22+23)-V-2	32
11	887	-895	610	-346	-5	-55	31.42	31.42	(22+23)-V-2	34
12	-6249	-421	347	-346	-13	-50	31.42	31.42	(22+23)-V-2	37
13	34815	-6885	-7441	-668	-119	253	31.42	31.42	(22+23)-II-2	10
14	16155	8942	-1797	-530	-70	123	31.42	31.42	(22+23)-II-2	18
15	-242	2125	913	-509	-50	58	31.42	31.42	(22+23)-II-2	24
16	166	2374	1240	-532	-106	-119	31.42	31.42	(22+23)-V-2	21
Massimi/minimi										
1							31.42			
1								31.42		
13										10

Muro :57 - Nodi : [848 - 41 - 838 - 10]:**Verificato**

Pann.X=4 Pann.Y=4 Spess.= 30 cm Criterio CLS_Muri_Esist Materiale: C20/25rcm=200
[kg/cmq],fym=4200 [kg/cmq], FC=1.20 qd=2.5, qf=1.5 :

Armatura a maglia doppia

Pannello	Nx	Ny	Nxy	Mx	My	Mxy	Ax	Ay	C	Cs
	kg	kg	kg	kg*m	kg*m	kg*m	cmq	cmq		
1	-29682	-114014	-31602	185	1869	286	31.42	31.42	(22+23)-VI-4	11
2	-3411	-78537	-14039	48	919	103	31.42	31.42	(22+23)-V-4	22
3	-838	-41214	-5498	2	366	93	31.42	31.42	(22+23)-V-3	40
4	-2929	-64332	-3761	-1	96	-179	31.42	31.42	(22+23)-VI-2	77
5	-16010	-17052	-14666	145	1214	317	31.42	31.42	(22+23)-I-4	10
6	-14509	-39652	-18272	22	743	148	31.42	31.42	(22+23)-V-4	21
7	-7179	-27094	-9859	-16	302	135	31.42	31.42	(22+23)-V-3	39
8	-1430	-24282	-4488	-23	131	-256	31.42	31.42	(22+23)-V-2	43
9	-9945	-4327	-4966	63	881	276	31.42	31.42	(22+23)-V-4	12
10	-12945	-4747	-7747	-58	435	164	31.42	31.42	(22+23)-V-3	24
11	-5102	-26720	-10419	-146	121	-216	31.42	31.42	(22+23)-VI-2	39
12	-1994	-28545	-11718	-191	-29	-304	31.42	31.42	(22+23)-VI-2	28
13	-8311	9252	-7463	-42	477	-155	31.42	31.42	(22+23)-II-3	20
14	-2028	-12965	-2859	-373	65	-211	31.42	31.42	(22+23)-II-4	24
15	-699	-11688	-9521	-460	-99	-321	31.42	31.42	(22+23)-VI-2	18
16	-782	-10677	-10344	-444	-164	-375	31.42	31.42	(22+23)-VI-2	17
Massimi/minimi										

Pannello	Nx	Ny	Nxy	Mx	My	Mxy	Ax	Ay	C	Cs
1							31.42			
1								31.42		
5										10

Muro :58 - Nodi : [10 - 838 - 839 - 10]:**Verificato**

Pann.X=4 Pann.Y=4 Spess.= 30 cm Criterio CLS_Muri_Esist Materiale: C20/25rcm=200
[kg/cmq],fym=4200 [kg/cmq], FC=1.20 qd=2.5, qf=1.5 :

Armatura a maglia doppia

Pannello	Nx	Ny	Nxy	Mx	My	Mxy	Ax	Ay	C	Cs
	kg	kg	kg	kg*m	kg*m	kg*m	cmq	cmq		
1	3178	-48774	-2945	-7	-93	-212	31.42	31.42	(22+23)-VI-2	61
2	3507	-18302	-2039	-33	-92	-149	31.42	31.42	(22+23)-I-2	66
3	1841	-6357	-1674	78	-125	-97	31.42	31.42	(22+23)-I-2	65
4	-11857	17969	-10576	-626	-300	455	31.42	31.42	(22+23)-II-2	14
5	-694	-36356	-8719	-64	-94	-293	31.42	31.42	(22+23)-VI-2	39
6	171	-21304	-8246	-69	-74	-221	31.42	31.42	(22+23)-VI-2	47
7	1411	-18521	1821	31	51	197	31.42	31.42	(22+23)-V-3	59
8	12184	7708	-8657	-602	-168	284	31.42	31.42	(22+23)-II-2	14
9	-217	-23828	-11657	-161	-96	-300	31.42	31.42	(22+23)-VI-2	30
10	-263	-16599	-11307	-117	-49	-231	31.42	31.42	(22+23)-VI-2	39
11	-239	-8386	-7944	-175	-85	-166	31.42	31.42	(22+23)-V-2	40
12	8397	1210	-6985	-664	-86	41	31.42	31.42	(22+23)-II-2	18
13	-669	-11155	-12546	-275	-112	-381	31.42	31.42	(22+23)-VI-2	21
14	-703	-10754	-12572	-135	-25	-313	31.42	31.42	(22+23)-VI-2	31
15	-1969	-11206	-12917	-270	-50	-257	31.42	31.42	(22+23)-VI-2	26
16	4317	-6179	-9220	-813	-50	-200	31.42	31.42	(22+23)-VI-2	13
Massimi/minimi										
1							31.42			
1								31.42		
16										13

Muro :59 - Nodi : [854 - 10 - 851 - 10]:**Verificato**

Pann.X=4 Pann.Y=4 Spess.= 30 cm Criterio CLS_Muri_Esist Materiale: C20/25rcm=200
[kg/cmq],fym=4200 [kg/cmq], FC=1.20 qd=2.5, qf=1.5 :

Armatura a maglia doppia

Pannello	Nx	Ny	Nxy	Mx	My	Mxy	Ax	Ay	C	Cs
	kg	kg	kg	kg*m	kg*m	kg*m	cmq	cmq		
1	-166	-6444	5413	467	19	148	31.42	31.42	(22+23)-IV-3	22
2	5501	-8447	7279	568	34	143	31.42	31.42	(22+23)-IV-3	18
3	14208	-9873	8647	724	108	159	31.42	31.42	(22+23)-IV-3	14
4	68474	-29476	23642	751	-199	-29	31.42	31.42	(22+23)-III-3	7.0
5	2550	-8398	3128	706	73	391	31.42	31.42	(22+23)-VIII-1	12
6	3163	-1055	7477	933	134	357	31.42	31.42	(22+23)-IV-3	10
7	13824	647	7724	1131	294	395	31.42	31.42	(22+23)-IV-3	7.9
8	70487	13949	12455	904	-205	-49	31.42	31.42	(22+23)-III-3	5.4
9	3248	-18685	3796	807	195	593	31.42	31.42	(22+23)-VIII-1	9.5
10	2494	-17124	1676	941	309	597	31.42	31.42	(22+23)-VIII-1	8.7
11	14588	-341	5858	1097	346	513	31.42	31.42	(22+23)-IV-3	7.4
12	71455	18866	8016	845	-186	-23	31.42	31.42	(22+23)-III-3	5.8
13	8537	-27491	-1109	848	324	636	31.42	31.42	(22+23)-VIII-1	8.5
14	4287	-19830	-3274	825	350	709	31.42	31.42	(22+23)-VIII-1	8.6
15	12872	-5895	-898	922	300	532	31.42	31.42	(22+23)-IV-3	8.4
16	72355	6945	863	699	-129	11	31.42	31.42	(22+23)-III-3	7.0
Massimi/minimi										
1							31.42			
1								31.42		
8										5.4

Muro :60 - Nodi : [10 - 10 - 852 - 851]:Verificato

Pann.X=4 Pann.Y=4 Spess.= 30 cm Criterio CLS_Muri_Esist Materiale: C20/25rcm=200
[kg/cmq],fym=4200 [kg/cmq], FC=1.20 qd=2.5, qf=1.5 :

Armatura a maglia doppia

Pannello	Nx	Ny	Nxy	Mx	My	Mxy	Ax	Ay	C	Cs
	kg	kg	kg	kg*m	kg*m	kg*m	cmq	cmq		
1	58777	-322	3824	-320	181	415	31.42	31.42	(22+23)-III-1	9.0
2	5728	-805	-4842	-358	215	582	31.42	31.42	(22+23)-IV-1	14
3	7536	-5716	-9925	-412	157	425	31.42	31.42	(22+23)-VIII-3	15
4	70947	-8135	-14371	347	-115	-22	31.42	31.42	(22+23)-III-4	14
5	25595	-881	-2485	1538	12	75	31.42	31.42	(22+23)-IV-4	6.6
6	14714	-1708	-7696	1561	-3	120	31.42	31.42	(22+23)-IV-4	7.1
7	6375	-2838	-9047	1593	20	114	31.42	31.42	(22+23)-IV-4	7.6
8	-184	-3518	-6909	1534	175	87	31.42	31.42	(22+23)-VIII-4	8.5
9	39360	-1580	-407	1614	7	87	31.42	31.42	(22+23)-IV-4	5.3
10	21107	-2050	-699	1636	-8	118	31.42	31.42	(22+23)-IV-4	6.4
11	4742	-3514	-770	1661	29	121	31.42	31.42	(22+23)-IV-4	7.4
12	-10777	-4603	683	1638	154	47	31.42	31.42	(22+23)-IV-4	8.9
13	75720	-2346	-6614	473	62	-128	31.42	31.42	(22+23)-VII-3	7.6
14	8338	-2163	5307	586	173	-513	31.42	31.42	(22+23)-IV-3	12
15	1481	-8702	10292	-589	217	-560	31.42	31.42	(22+23)-IV-1	12
16	29205	-11135	10657	-530	225	-118	31.42	31.42	(22+23)-III-1	16
Massimi/minimi										
1							31.42			
1								31.42		
9										5.3

Muro :61 - Nodi : [10 - 855 - 8 - 852]:Verificato

Pann.X=4 Pann.Y=4 Spess.= 30 cm Criterio CLS_Muri_Esist Materiale: C20/25rcm=200
[kg/cmq],fym=4200 [kg/cmq], FC=1.20 qd=2.5, qf=1.5 :

Armatura a maglia doppia

Pannello	Nx	Ny	Nxy	Mx	My	Mxy	Ax	Ay	C	Cs
	kg	kg	kg	kg*m	kg*m	kg*m	cmq	cmq		
1	9684	-12199	2835	862	414	-790	31.42	31.42	(22+23)-VIII-3	7.6
2	-4111	-15450	2422	777	407	-930	31.42	31.42	(22+23)-IV-1	8.3
3	11896	-9051	976	693	347	-848	31.42	31.42	(22+23)-IV-1	8.0
4	32347	-7030	-1974	703	151	-219	31.42	31.42	(22+23)-VIII-1	11
5	5217	-8129	2423	935	395	-928	31.42	31.42	(22+23)-VIII-3	7.0
6	-3231	-5784	-2778	1084	468	-1002	31.42	31.42	(22+23)-IV-1	6.8
7	13589	-4475	-3445	1061	409	-939	31.42	31.42	(22+23)-IV-1	6.0
8	30814	-3984	-3127	1178	368	-270	31.42	31.42	(22+23)-IV-1	6.9
9	-7022	-3154	-519	1474	480	-944	31.42	31.42	(22+23)-IV-1	6.0
10	694	-1915	-2839	1592	504	-979	31.42	31.42	(22+23)-IV-1	5.3
11	12591	-1564	-3502	1649	453	-925	31.42	31.42	(22+23)-IV-1	4.7
12	28573	-1176	-2229	1795	317	46	31.42	31.42	(22+23)-IV-1	5.6
13	4339	-6250	3041	1952	313	-538	31.42	31.42	(22+23)-VIII-3	5.3
14	10158	-7994	2677	2488	448	-597	31.42	31.42	(22+23)-VIII-3	4.0
15	16465	-8765	1391	3020	464	-631	31.42	31.42	(22+23)-VIII-3	3.2
16	28123	-998	2311	2865	312	96	31.42	31.42	(22+23)-IV-1	3.5
Massimi/minimi										
1							31.42			
1								31.42		
15										3.2

Muro :62 - Nodi : [855 - 10 - 857 - 8]:Verificato

Pann.X=4 Pann.Y=4 Spess.= 30 cm Criterio CLS_Muri_Esist Materiale: C20/25rcm=200
[kg/cmq],fym=4200 [kg/cmq], FC=1.20 qd=2.5, qf=1.5 :

Armatura a maglia doppia

Pannello	Nx	Ny	Nxy	Mx	My	Mxy	Ax	Ay	C	Cs
	kg	kg	kg	kg*m	kg*m	kg*m	cmq	cmq		
1	2668	-5408	2349	1250	176	247	31.42	31.42	(22+23)-VIII-3	8.9
2	9774	-5734	4682	1570	323	275	31.42	31.42	(22+23)-VIII-3	6.8
3	18611	-6898	6226	1897	432	318	31.42	31.42	(22+23)-VIII-3	5.2
4	27828	-5352	6718	2088	621	453	31.42	31.42	(22+23)-VIII-3	4.1
5	-523	-8798	-2351	1193	297	498	31.42	31.42	(22+23)-IV-1	8.1
6	6412	-4252	5706	1392	378	553	31.42	31.42	(22+23)-VIII-3	6.7
7	17517	-3508	7171	1564	554	667	31.42	31.42	(22+23)-VIII-3	5.2
8	31181	-3427	6181	1617	919	523	31.42	31.42	(22+23)-VIII-3	4.6
9	-10759	-10155	188	1023	342	796	31.42	31.42	(22+23)-VIII-3	8.2
10	2124	-7495	5136	1127	430	772	31.42	31.42	(22+23)-VIII-3	7.1
11	17106	-5709	5758	1172	561	764	31.42	31.42	(22+23)-VIII-3	6.0
12	34772	-3646	5052	1143	762	461	31.42	31.42	(22+23)-VIII-3	5.9
13	-5993	-16881	-3363	965	421	678	31.42	31.42	(22+23)-IV-1	8.8
14	53	-19342	-1424	848	405	801	31.42	31.42	(22+23)-VIII-3	8.3
15	16639	-10283	-781	807	444	729	31.42	31.42	(22+23)-VIII-3	7.6
16	71115	-8478	3189	518	219	181	31.42	31.42	(22+23)-III-3	7.3
Massimi/minimi										
1							31.42			
1								31.42		
4										4.1

Muro :63 - Nodi : [10 - 10 - 859 - 857]:Verificato

Pann.X=4 Pann.Y=4 Spess.= 30 cm Criterio CLS_Muri_Esist Materiale: C20/25rcm=200
[kg/cmq],fym=4200 [kg/cmq], FC=1.20 qd=2.5, qf=1.5 :

Armatura a maglia doppia

Pannello	Nx	Ny	Nxy	Mx	My	Mxy	Ax	Ay	C	Cs
	kg	kg	kg	kg*m	kg*m	kg*m	cmq	cmq		
1	-27264	4087	-13887	-118	211	511	31.42	31.42	(22+23)-VIII-3	18
2	-1867	-3128	-5912	-311	216	494	31.42	31.42	(22+23)-IV-1	17
3	23698	-11813	-17520	346	200	314	31.42	31.42	(22+23)-I-3	16
4	56676	-11235	-12220	382	238	78	31.42	31.42	(22+23)-III-4	15
5	27919	-5235	620	1385	5	-59	31.42	31.42	(22+23)-IV-2	7.2
6	4719	-1422	-7263	-1495	55	174	31.42	31.42	(22+23)-IV-3	7.9
7	-4105	-2037	-8528	-1544	88	171	31.42	31.42	(22+23)-IV-3	8.3
8	-13343	-1330	-4341	-1541	-6	68	31.42	31.42	(22+23)-IV-3	9.5
9	34284	-4388	276	1479	4	39	31.42	31.42	(22+23)-VIII-4	6.3
10	10407	-1687	-844	-1613	50	-127	31.42	31.42	(22+23)-IV-3	7.2
11	-5744	-2614	-1043	-1662	91	-123	31.42	31.42	(22+23)-IV-3	8.1
12	-21458	-1279	4236	-1642	-6	-68	31.42	31.42	(22+23)-VIII-1	9.5
13	68447	-4575	-4692	-390	81	-130	31.42	31.42	(22+23)-III-3	10
14	11074	-1112	5160	-675	151	-433	31.42	31.42	(22+23)-IV-3	11
15	-2053	-2851	4669	-745	81	-454	31.42	31.42	(22+23)-IV-3	12
16	7861	-6608	5197	-743	57	-97	31.42	31.42	(22+23)-VIII-1	15
Massimi/minimi										
1							31.42			
1								31.42		
9										6.3

Muro :64 - Nodi : [10 - 860 - 18 - 859]:Verificato

Pann.X=4 Pann.Y=4 Spess.= 30 cm Criterio CLS_Muri_Esist Materiale: C20/25rcm=200
[kg/cmq],fym=4200 [kg/cmq], FC=1.20 qd=2.5, qf=1.5 :

Armatura a maglia doppia

Pannello	Nx	Ny	Nxy	Mx	My	Mxy	Ax	Ay	C	Cs
	kg	kg	kg	kg*m	kg*m	kg*m	cmq	cmq		
1	8668	-13092	2802	480	397	-719	31.42	31.42	(22+23)-VIII-3	11
2	8417	-9951	4792	326	278	-751	31.42	31.42	(22+23)-VIII-3	12

Pannello	Nx	Ny	Nxy	Mx	My	Mxy	Ax	Ay	C	Cs
3	8412	-9282	955	420	287	-611	31.42	31.42	(22+23)-IV-1	12
4	51875	-8408	-3762	407	258	-74	31.42	31.42	(22+23)-III-1	15
5	4480	-10164	1086	700	361	-879	31.42	31.42	(22+23)-VIII-3	8.3
6	6772	-9215	1446	560	310	-829	31.42	31.42	(22+23)-VIII-3	9.3
7	11749	-4835	-3485	700	305	-698	31.42	31.42	(22+23)-IV-1	8.8
8	23410	-4874	-3017	766	45	-255	31.42	31.42	(22+23)-VIII-1	11
9	3946	-8276	256	1049	326	-797	31.42	31.42	(22+23)-IV-3	7.2
10	6568	-8204	-151	1125	329	-825	31.42	31.42	(22+23)-IV-3	6.6
11	9784	-9185	-317	1161	284	-786	31.42	31.42	(22+23)-IV-3	6.4
12	15339	-7108	-331	1272	25	-173	31.42	31.42	(22+23)-IV-3	8.2
13	4238	-7944	708	1493	273	-601	31.42	31.42	(22+23)-IV-3	6.3
14	7898	-9959	141	1890	328	-647	31.42	31.42	(22+23)-IV-3	5.0
15	11696	-11117	-1036	2279	312	-676	31.42	31.42	(22+23)-IV-3	4.2
16	13176	-11100	-2551	2098	160	-202	31.42	31.42	(22+23)-IV-3	5.3
Massimi/minimi										
1							31.42			
1								31.42		
15										4.2

Muro :65 - Nodi : [9 - 850 - 10 - 861]:Verificato

Pann.X=4 Pann.Y=4 Spess.= 30 cm Criterio CLS_Muri_Esist Materiale: C20/25rcm=200
[kg/cmq],fym=4200 [kg/cmq], FC=1.20 qd=2.5, qf=1.5 :

Armatura a maglia doppia

Pannello	Nx	Ny	Nxy	Mx	My	Mxy	Ax	Ay	C	Cs
	kg	kg	kg	kg*m	kg*m	kg*m	cmq	cmq		
1	-353	2765	-6168	-23	-188	-220	31.42	31.42	(22+23)-IV-4	33
2	-180	6340	-7463	-23	-207	-166	31.42	31.42	(22+23)-IV-2	35
3	-14	6502	-6369	4	-209	-149	31.42	31.42	(22+23)-IV-2	36
4	82	6699	-5136	25	-220	-120	31.42	31.42	(22+23)-IV-2	38
5	-2291	-1489	-9576	18	127	-240	31.42	31.42	2	38
6	-3087	-2058	-6260	37	-112	-311	31.42	31.42	(22+23)-VIII-2	33
7	-3076	-4586	-4211	44	-176	-285	31.42	31.42	(22+23)-VIII-2	31
8	-2033	-6189	-3113	49	-207	-257	31.42	31.42	(22+23)-VIII-2	31
9	-5469	-7550	-578	54	517	-90	31.42	31.42	(22+23)-IV-1	24
10	-4209	-13984	1561	40	442	41	31.42	31.42	(22+23)-IV-3	32
11	-2771	-15944	1469	22	366	102	31.42	31.42	(22+23)-VIII-3	33
12	-1671	-16832	901	12	335	129	31.42	31.42	(22+23)-VIII-3	34
13	-9732	-45196	11516	81	805	-95	31.42	31.42	(22+23)-IV-1	21
14	-1820	-33489	4158	31	530	28	31.42	31.42	(22+23)-VIII-3	32
15	-835	-31632	2170	18	455	41	31.42	31.42	(22+23)-IV-3	35
16	-295	-29437	1270	8	356	96	31.42	31.42	(22+23)-VIII-3	38
Massimi/minimi										
1							31.42			
1								31.42		
13										21

Muro :66 - Nodi : [861 - 10 - 10 - 854]:Verificato

Pann.X=4 Pann.Y=4 Spess.= 30 cm Criterio CLS_Muri_Esist Materiale: C20/25rcm=200
[kg/cmq],fym=4200 [kg/cmq], FC=1.20 qd=2.5, qf=1.5 :

Armatura a maglia doppia

Pannello	Nx	Ny	Nxy	Mx	My	Mxy	Ax	Ay	C	Cs
	kg	kg	kg	kg*m	kg*m	kg*m	cmq	cmq		
1	492	6457	-2703	43	-199	-124	31.42	31.42	(22+23)-IV-2	40
2	-117	-4081	-1126	119	170	99	31.42	31.42	(22+23)-IV-3	53
3	-1880	-3343	-583	168	-1	128	31.42	31.42	(22+23)-IV-3	47
4	-5113	-3444	2397	315	-37	134	31.42	31.42	(22+23)-IV-3	32
5	-544	-10502	47	22	299	132	31.42	31.42	(22+23)-VIII-3	35
6	-21	-12601	-738	87	173	156	31.42	31.42	(22+23)-VIII-3	46

Pannello	Nx	Ny	Nxy	Mx	My	Mxy	Ax	Ay	C	Cs
7	-1559	-12004	-741	178	51	205	31.42	31.42	(22+23)-IV-3	36
8	1600	-8188	2489	425	23	226	31.42	31.42	(22+23)-VIII-1	21
9	-664	-18371	-140	15	300	149	31.42	31.42	(22+23)-VIII-3	35
10	-576	-18403	377	50	189	178	31.42	31.42	(22+23)-VIII-3	43
11	-1118	-18931	-1777	101	94	264	31.42	31.42	(22+23)-VIII-3	38
12	-154	-21141	2071	454	142	451	31.42	31.42	(22+23)-VIII-1	15
13	-226	-27383	275	2	302	130	31.42	31.42	(22+23)-VIII-3	39
14	-1289	-25377	392	20	198	159	31.42	31.42	(22+23)-VIII-3	47
15	-2946	-23649	717	-18	109	227	31.42	31.42	(22+23)-VIII-3	49
16	-4523	-29291	-827	416	299	627	31.42	31.42	(22+23)-VIII-1	14
Massimi/minimi										
1							31.42			
1								31.42		
16										14

Muro :67 - Nodi : [853 - 7 - 862 - 10]:Verificato

Pann.X=4 Pann.Y=4 Spess.= 30 cm Criterio CLS_Muri_Esist Materiale: C20/25rcm=200
[kg/cmq],fym=4200 [kg/cmq], FC=1.20 qd=2.5, qf=1.5 :

Armatura a maglia doppia

Pannello	Nx	Ny	Nxy	Mx	My	Mxy	Ax	Ay	C	Cs
	kg	kg	kg	kg*m	kg*m	kg*m	cmq	cmq		
1	-29626	-83737	-38071	143	1342	337	31.42	31.42	(22+23)-III-4	14
2	-7656	-60456	-19237	53	699	218	31.42	31.42	(22+23)-VIII-4	23
3	-2581	-40243	-9479	35	456	-88	31.42	31.42	(22+23)-IV-3	34
4	-2070	-31323	-6094	25	301	-126	31.42	31.42	(22+23)-IV-3	41
5	-15272	-2187	-14840	105	820	377	31.42	31.42	(22+23)-III-4	12
6	-19705	-18000	-22479	74	561	89	31.42	31.42	(22+23)-V-3	24
7	-9815	-17226	-13570	62	355	-107	31.42	31.42	(22+23)-IV-3	34
8	-6572	-18531	-10923	53	240	-164	31.42	31.42	(22+23)-IV-3	39
9	-6795	3288	-5133	34	394	279	31.42	31.42	(22+23)-I-3	20
10	-12948	-5191	-9410	-14	203	199	31.42	31.42		2
11	-10389	-7282	-8055	13	215	199	31.42	31.42	(22+23)-VIII-3	35
12	-6987	-7701	-3987	22	102	206	31.42	31.42	(22+23)-IV-1	48
13	-3989	1858	-4782	-63	-78	323	31.42	31.42	(22+23)-IV-2	34
14	-9022	-31	-2702	-167	-151	293	31.42	31.42	(22+23)-IV-2	31
15	-11056	-4371	-4083	-270	-150	-126	31.42	31.42	(22+23)-IV-4	38
16	-10715	-7322	-4895	-292	-127	-175	31.42	31.42	(22+23)-IV-4	32
Massimi/minimi										
1							31.42			
1								31.42		
5										12

Muro :68 - Nodi : [10 - 862 - 855 - 10]:Verificato

Pann.X=4 Pann.Y=4 Spess.= 30 cm Criterio CLS_Muri_Esist Materiale: C20/25rcm=200
[kg/cmq],fym=4200 [kg/cmq], FC=1.20 qd=2.5, qf=1.5 :

Armatura a maglia doppia

Pannello	Nx	Ny	Nxy	Mx	My	Mxy	Ax	Ay	C	Cs
	kg	kg	kg	kg*m	kg*m	kg*m	cmq	cmq		
1	423	-20605	-2640	12	142	-216	31.42	31.42	(22+23)-IV-3	45
2	-431	-14918	-47	-45	-188	266	31.42	31.42	(22+23)-IV-2	34
3	-2719	-15250	320	-10	310	-460	31.42	31.42	(22+23)-IV-1	20
4	-6993	-30840	14764	552	666	-1046	31.42	31.42	(22+23)-IV-1	9.1
5	-2901	-16027	-3535	-67	-135	217	31.42	31.42	(22+23)-VIII-2	44
6	-1017	-12694	-1926	95	92	-350	31.42	31.42	(22+23)-IV-3	31
7	-1961	-16959	4890	291	242	-533	31.42	31.42	(22+23)-IV-1	17
8	-12187	-14655	9999	728	454	-892	31.42	31.42	(22+23)-IV-1	9.4
9	-5239	-12714	-2660	-146	-117	203	31.42	31.42	(22+23)-IV-2	41
10	-1992	-15607	1229	-233	-121	270	31.42	31.42	(22+23)-IV-2	28

Pannello	Nx	Ny	Nxy	Mx	My	Mxy	Ax	Ay	C	Cs
11	-3071	-16532	4504	-487	-97	379	31.42	31.42	(22+23)-VIII-2	16
12	-11192	-8790	5501	1007	308	-688	31.42	31.42	(22+23)-IV-1	8.9
13	-6974	-10748	-319	-241	-127	273	31.42	31.42	(22+23)-IV-2	28
14	-3037	-13669	1873	-292	-99	277	31.42	31.42	(22+23)-IV-2	25
15	-3356	-13711	5093	-611	-49	307	31.42	31.42	(22+23)-VIII-2	15
16	-2567	-6550	1495	1201	158	-457	31.42	31.42	(22+23)-VIII-3	8.5
Massimi/minimi										
1							31.42			
1								31.42		
16										8.5

Muro :69 - Nodi : [7 - 856 - 10 - 862]:Verificato

Pann.X=4 Pann.Y=4 Spess.= 30 cm Criterio CLS_Muri_Esist Materiale: C20/25rcm=200
[kg/cmq],fym=4200 [kg/cmq], FC=1.20 qd=2.5, qf=1.5 :

Armatura a maglia doppia

Pannello	Nx	Ny	Nxy	Mx	My	Mxy	Ax	Ay	C	Cs
	kg	kg	kg	kg*m	kg*m	kg*m	cmq	cmq		
1	-2277	1288	-887	-55	-75	-198	31.42	31.42	(22+23)-IV-4	50
2	-4811	-428	541	-180	-147	-154	31.42	31.42	(22+23)-VIII-2	43
3	-7126	-3546	2250	-245	-166	-119	31.42	31.42	(22+23)-VIII-2	40
4	-7388	-6136	5829	-282	-60	97	31.42	31.42	(22+23)-III-1	39
5	-4849	5439	1864	15	302	-204	31.42	31.42	(22+23)-I-1	26
6	-6445	-2716	3866	-4	248	49	31.42	31.42	(22+23)-IV-1	47
7	-8007	-6302	5896	-30	155	134	31.42	31.42	(22+23)-IV-1	50
8	-7366	-8688	5171	-92	-104	-171	31.42	31.42	(22+23)-IV-4	54
9	-12848	-127	11412	84	658	-243	31.42	31.42	(22+23)-I-1	15
10	-14391	-18760	16361	55	381	-156	31.42	31.42	2	30
11	-8222	-15713	11372	45	283	126	31.42	31.42	(22+23)-IV-1	38
12	-5647	-17044	9434	26	171	183	31.42	31.42	(22+23)-IV-1	45
13	-23955	-75519	32350	117	1091	-202	31.42	31.42	(22+23)-III-1	17
14	-5310	-45804	13551	49	606	39	31.42	31.42	(22+23)-IV-1	30
15	-2344	-37198	8319	32	379	103	31.42	31.42	(22+23)-IV-1	38
16	-1833	-29668	5489	20	231	139	31.42	31.42	(22+23)-IV-1	47
Massimi/minimi										
1							31.42			
1								31.42		
9										15

Muro :70 - Nodi : [862 - 10 - 10 - 855]:Verificato

Pann.X=4 Pann.Y=4 Spess.= 30 cm Criterio CLS_Muri_Esist Materiale: C20/25rcm=200
[kg/cmq],fym=4200 [kg/cmq], FC=1.20 qd=2.5, qf=1.5 :

Armatura a maglia doppia

Pannello	Nx	Ny	Nxy	Mx	My	Mxy	Ax	Ay	C	Cs
	kg	kg	kg	kg*m	kg*m	kg*m	cmq	cmq		
1	-6948	-11232	4202	-273	-128	-114	31.42	31.42	(22+23)-VIII-2	38
2	-4372	-13393	2920	-319	-99	-157	31.42	31.42	(22+23)-VIII-2	30
3	-4874	-11965	-4117	-509	-45	-240	31.42	31.42	(22+23)-IV-4	19
4	-6625	-9601	-3047	-859	-20	-240	31.42	31.42	(22+23)-IV-4	13
5	-4952	-12757	2438	-134	-108	-176	31.42	31.42	(22+23)-IV-4	46
6	-2561	-15365	-1572	-204	-105	-226	31.42	31.42	(22+23)-IV-4	33
7	-2663	-13334	-107	-404	-63	-246	31.42	31.42	(22+23)-VIII-2	22
8	-5747	-9853	-3771	765	178	359	31.42	31.42	(22+23)-IV-1	13
9	-2806	-16212	3481	-59	-106	-193	31.42	31.42	(22+23)-IV-4	52
10	-1536	-16440	-728	-114	-134	-242	31.42	31.42	(22+23)-IV-4	39
11	-1095	-12491	-547	-215	-116	-367	31.42	31.42	(22+23)-IV-2	24
12	-5967	-11504	-4870	638	294	541	31.42	31.42	(22+23)-IV-1	12
13	340	-19060	1821	-8	-104	-172	31.42	31.42	(22+23)-IV-4	58
14	-97	-16706	-59	-45	-158	-215	31.42	31.42	(22+23)-IV-4	42

Pannello	Nx	Ny	Nxy	Mx	My	Mxy	Ax	Ay	C	Cs
15	-268	-10983	367	3	-157	-322	31.42	31.42	(22+23)-IV-2	31
16	-5448	-21055	-6125	433	435	824	31.42	31.42	(22+23)-VIII-1	11
Massimi/minimi										
1							31.42			
1								31.42		
16										11

Muro :71 - Nodi : [858 - 17 - 863 - 10]:**Verificato**

Pann.X=4 Pann.Y=4 Spess.= 30 cm Criterio CLS_Muri_Esist Materiale: C20/25rcm=200
[kg/cmq],fym=4200 [kg/cmq], FC=1.20 qd=2.5, qf=1.5 :

Armatura a maglia doppia

Pannello	Nx	Ny	Nxy	Mx	My	Mxy	Ax	Ay	C	Cs
	kg	kg	kg	kg*m	kg*m	kg*m	cmq	cmq		
1	-26211	-72645	-33592	129	1206	264	31.42	31.42	(22+23)-III-3	15
2	-9800	-69303	-22876	60	762	120	31.42	31.42	(22+23)-III-3	24
3	-2760	-41264	-9569	38	489	-104	31.42	31.42	(22+23)-IV-3	31
4	-2149	-30104	-5757	25	323	-142	31.42	31.42	(22+23)-IV-3	37
5	-13472	-585	-11911	95	743	278	31.42	31.42	(22+23)-VII-3	13
6	-17991	-14946	-19118	74	539	155	31.42	31.42	(22+23)-III-3	22
7	-9966	-15913	-12188	64	381	-123	31.42	31.42	(22+23)-IV-3	31
8	-6738	-17356	-9894	53	258	-180	31.42	31.42	(22+23)-IV-3	36
9	-5629	-2578	-4376	45	453	289	31.42	31.42	2	19
10	-11019	-2205	-6962	-16	230	240	31.42	31.42	(22+23)-III-4	30
11	-10105	-6437	-6463	9	234	-115	31.42	31.42	(22+23)-IV-3	41
12	-6180	-8720	-4246	-81	-166	231	31.42	31.42	(22+23)-IV-2	37
13	-4113	-2654	-1998	-29	258	198	31.42	31.42	2	31
14	-6908	-3142	-2018	-176	-7	272	31.42	31.42	(22+23)-VIII-4	32
15	-8299	-5655	-2944	-272	-140	245	31.42	31.42	(22+23)-VIII-4	28
16	-8404	-7605	-3726	-321	-178	245	31.42	31.42	(22+23)-VIII-4	26
Massimi/minimi										
1							31.42			
1								31.42		
5										13

Muro :72 - Nodi : [10 - 863 - 860 - 10]:**Verificato**

Pann.X=4 Pann.Y=4 Spess.= 30 cm Criterio CLS_Muri_Esist Materiale: C20/25rcm=200
[kg/cmq],fym=4200 [kg/cmq], FC=1.20 qd=2.5, qf=1.5 :

Armatura a maglia doppia

Pannello	Nx	Ny	Nxy	Mx	My	Mxy	Ax	Ay	C	Cs
	kg	kg	kg	kg*m	kg*m	kg*m	cmq	cmq		
1	153	-18170	-1478	-4	-174	211	31.42	31.42	(22+23)-IV-2	41
2	-820	-17392	-17	-37	-231	257	31.42	31.42	(22+23)-IV-2	32
3	-305	-11228	-142	5	198	-429	31.42	31.42	(22+23)-IV-3	24
4	-3903	-15348	2015	374	524	-827	31.42	31.42	(22+23)-VIII-3	12
5	-2143	-15664	-2694	-63	-184	234	31.42	31.42	(22+23)-IV-2	37
6	-1159	-12887	-1928	92	91	-362	31.42	31.42	(22+23)-IV-3	30
7	-743	-11903	798	218	189	-490	31.42	31.42	(22+23)-IV-3	20
8	-1043	-10357	1175	498	361	-739	31.42	31.42	(22+23)-VIII-3	11
9	-4149	-12491	-1810	-140	-179	205	31.42	31.42	(22+23)-IV-2	40
10	-2105	-15658	2951	-255	-155	225	31.42	31.42	(22+23)-VIII-2	29
11	-4461	-16757	6210	-416	-88	375	31.42	31.42	(22+23)-IV-2	18
12	-739	-7929	836	728	217	-609	31.42	31.42	(22+23)-IV-3	10
13	-6333	-11075	-3872	-326	-194	259	31.42	31.42	(22+23)-VIII-4	25
14	-3466	-13566	4020	-333	-127	239	31.42	31.42	(22+23)-VIII-2	25
15	-5531	-13840	5464	-518	-53	331	31.42	31.42	(22+23)-IV-2	17
16	-567	-7235	802	926	133	-471	31.42	31.42	(22+23)-IV-3	9.9
Massimi/minimi										

Pannello	Nx	Ny	Nxy	Mx	My	Mxy	Ax	Ay	C	Cs
1							31.42			
1								31.42		
16										9.9

Muro :73 - Nodi : [865 - 13 - 15 - 810]:*Verificato*

Pann.X=4 Pann.Y=4 Spess.= 30 cm Criterio CLS_Muri_Esist Materiale: C20/25rcm=200
[kg/cmq],fym=4200 [kg/cmq], FC=1.20 qd=2.5, qf=1.5 :

Armatura a maglia doppia

Pannello	Nx	Ny	Nxy	Mx	My	Mxy	Ax	Ay	C	Cs
	kg	kg	kg	kg*m	kg*m	kg*m	cmq	cmq		
1	-5763	-751	1652	-1328	-690	309	31.42	31.42	(22+23)-I-2	8.8
2	-6801	-100	1609	-1018	-214	383	31.42	31.42	(22+23)-I-2	10
3	-7737	-198	297	-614	282	310	31.42	31.42	(22+23)-I-2	16
4	-9106	-142	20	-172	888	263	31.42	31.42	(22+23)-III-2	12
5	-3971	-980	1359	-1773	-746	439	31.42	31.42	(22+23)-III-2	6.4
6	-6935	-104	556	-1302	-229	563	31.42	31.42	(22+23)-III-2	7.8
7	-7855	-253	434	-795	200	525	31.42	31.42	(22+23)-III-2	11
8	-8783	-452	104	-290	750	426	31.42	31.42	(22+23)-I-2	12
9	-2985	-880	521	-2281	-703	667	31.42	31.42	(22+23)-III-2	4.8
10	-6776	-216	565	-1561	-238	841	31.42	31.42	(22+23)-III-2	6.0
11	-7758	-495	623	-964	93	776	31.42	31.42	(22+23)-III-2	8.4
12	-8649	-762	191	-402	506	617	31.42	31.42	(22+23)-III-2	12
13	-1530	40	-1171	-2842	-519	1013	31.42	31.42	(22+23)-IV-2	3.6
14	-7092	-758	614	-1738	-233	1139	31.42	31.42	(22+23)-III-2	5.1
15	-8052	-585	826	-1142	-68	1007	31.42	31.42	(22+23)-IV-2	6.8
16	-8068	-1204	446	-547	132	798	31.42	31.42	(22+23)-III-2	11
Massimi/minimi										
1							31.42			
1								31.42		
13										3.6

Muro :74 - Nodi : [865 - 810 - 813 - 866]:*Verificato*

Pann.X=4 Pann.Y=4 Spess.= 30 cm Criterio CLS_Muri_Esist Materiale: C20/25rcm=200
[kg/cmq],fym=4200 [kg/cmq], FC=1.20 qd=2.5, qf=1.5 :

Armatura a maglia doppia

Pannello	Nx	Ny	Nxy	Mx	My	Mxy	Ax	Ay	C	Cs
	kg	kg	kg	kg*m	kg*m	kg*m	cmq	cmq		
1	466	-7369	-1284	-471	-628	-144	31.42	31.42	(22+23)-III-2	19
2	577	-7927	-807	-254	-140	336	31.42	31.42	(22+23)-III-2	23
3	522	-7321	-447	-329	-273	492	31.42	31.42	(22+23)-III-2	17
4	167	-2916	186	-443	-893	695	31.42	31.42	(22+23)-III-2	8.9
5	-179	-5804	-1734	-127	-391	-215	31.42	31.42	(22+23)-III-1	24
6	-231	-8284	106	128	96	393	31.42	31.42	(22+23)-VIII-2	26
7	-219	-6450	-700	-202	-172	533	31.42	31.42	(22+23)-III-2	19
8	-391	-2718	-298	-293	-682	917	31.42	31.42	(22+23)-III-2	8.8
9	17	-6565	242	334	100	224	31.42	31.42	(22+23)-VIII-4	25
10	-97	-7303	354	349	127	387	31.42	31.42	(22+23)-VIII-2	19
11	-61	-6485	520	329	55	390	31.42	31.42	(22+23)-VIII-2	19
12	-207	-2743	-1480	-407	-390	809	31.42	31.42	(22+23)-I-2	11
13	-318	-5967	444	844	199	211	31.42	31.42	(22+23)-VIII-4	13
14	112	-6797	393	659	152	349	31.42	31.42	(22+23)-IV-2	14
15	35	-5851	362	472	68	369	31.42	31.42	(22+23)-IV-2	16
16	420	-4542	777	585	274	-443	31.42	31.42	(22+23)-I-4	13
Massimi/minimi										
1							31.42			
1								31.42		
8										8.8

Muro :75 - Nodi : [866 - 813 - 16 - 14]:Verificato

Pann.X=4 Pann.Y=4 Spess.= 30 cm Criterio CLS_Muri_Esist Materiale: C20/25rcm=200
 [kg/cmq],fym=4200 [kg/cmq], FC=1.20 qd=2.5, qf=1.5 :

Armatura a maglia doppia

Pannello	Nx	Ny	Nxy	Mx	My	Mxy	Ax	Ay	C	Cs
	kg	kg	kg	kg*m	kg*m	kg*m	cmq	cmq		
1	-1727	-915	424	-333	-1556	951	31.42	31.42	(22+23)-III-2	5.5
2	-1531	-11	-12	32	-1829	1202	31.42	31.42	(22+23)-III-2	4.5
3	-335	593	-1721	667	-2057	1540	31.42	31.42	(22+23)-III-2	3.8
4	-2478	582	-4125	809	-2285	1336	31.42	31.42	(22+23)-III-2	3.8
5	-417	-462	-617	-331	-1163	1375	31.42	31.42	(22+23)-III-2	5.4
6	-3	538	-1183	-302	-1300	1608	31.42	31.42	(22+23)-III-2	4.7
7	2742	1864	-2056	-350	-1339	1837	31.42	31.42	(22+23)-III-2	4.2
8	412	2973	-3172	-342	-1328	1286	31.42	31.42	(22+23)-III-2	5.1
9	132	-497	-2200	-819	-769	1253	31.42	31.42	(22+23)-I-2	6.6
10	995	585	-2623	-1046	-946	1439	31.42	31.42	(22+23)-III-2	5.5
11	3283	-264	-2686	-1263	-1015	1573	31.42	31.42	(22+23)-III-2	4.7
12	7078	1127	-2334	-1451	-964	1017	31.42	31.42	(22+23)-III-2	5.2
13	992	-1968	-3288	-969	-463	916	31.42	31.42	(22+23)-I-2	7.2
14	1298	-541	-4314	-1577	-674	1033	31.42	31.42	(22+23)-III-2	5.2
15	1970	1681	603	-2290	-858	1125	31.42	31.42	(22+23)-III-2	3.9
16	6047	3528	3594	-2615	-920	647	31.42	31.42	(22+23)-III-2	4.0
Massimi/minimi										
1							31.42			
1								31.42		
4										3.8

Muro :76 - Nodi : [860 - 10 - 868 - 18]:Verificato

Pann.X=4 Pann.Y=4 Spess.= 30 cm Criterio CLS_Muri_Esist Materiale: C20/25rcm=200
 [kg/cmq],fym=4200 [kg/cmq], FC=1.20 qd=2.5, qf=1.5 :

Armatura a maglia doppia

Pannello	Nx	Ny	Nxy	Mx	My	Mxy	Ax	Ay	C	Cs
	kg	kg	kg	kg*m	kg*m	kg*m	cmq	cmq		
1	-142	-9086	3812	-809	-35	182	31.42	31.42	(22+23)-IV-4	14
2	4665	-9723	5829	-905	-49	245	31.42	31.42	(22+23)-IV-4	11
3	12949	-10646	6663	-1006	-129	216	31.42	31.42	(22+23)-IV-4	9.9
4	18377	-7883	3788	-1113	-263	-224	31.42	31.42	(22+23)-IV-4	8.6
5	-4308	-6772	193	-758	-44	330	31.42	31.42	(22+23)-VIII-2	13
6	2052	-1150	7521	-831	-42	345	31.42	31.42	(22+23)-IV-4	11
7	14077	-973	8102	-904	-131	356	31.42	31.42	(22+23)-IV-4	9.5
8	27260	-1416	2267	-910	-289	-284	31.42	31.42	(22+23)-IV-4	8.7
9	-8758	-7812	-1942	-637	-39	420	31.42	31.42	(22+23)-VIII-2	14
10	-4223	-6027	1774	-688	-49	408	31.42	31.42	(22+23)-VIII-2	13
11	15697	-1263	7916	-697	-35	392	31.42	31.42	(22+23)-IV-4	11
12	37268	-109	5191	-663	-112	-240	31.42	31.42	(22+23)-IV-4	10
13	13154	-4898	-1662	541	236	469	31.42	31.42	(22+23)-IV-1	12
14	4213	-3674	-4871	486	219	479	31.42	31.42	(22+23)-IV-1	14
15	17708	-8810	1208	-547	43	-345	31.42	31.42	(22+23)-IV-4	13
16	61498	-5785	4310	300	146	108	31.42	31.42	(22+23)-VII-3	15
Massimi/minimi										
1							31.42			
1								31.42		
4										8.6

Muro :77 - Nodi : [10 - 870 - 26 - 867]:Verificato

Pann.X=4 Pann.Y=4 Spess.= 30 cm Criterio CLS_Muri_Esist Materiale: C20/25rcm=200
 [kg/cmq],fym=4200 [kg/cmq], FC=1.20 qd=2.5, qf=1.5 :

Armatura a maglia doppia

Pannello	Nx	Ny	Nxy	Mx	My	Mxy	Ax	Ay	C	Cs
	kg	kg	kg	kg*m	kg*m	kg*m	cmq	cmq		
1	-1127	44861	3714	-72	128	269	31.42	31.42	(22+23)-VII-4	21
2	-8502	-1574	73	128	-334	434	31.42	31.42	(22+23)-IV-2	18
3	-5098	1249	739	-100	-466	327	31.42	31.42	(22+23)-VI-3	17
4	-5773	3739	2081	-38	-642	215	31.42	31.42	(22+23)-VI-3	15
5	-7452	1216	3440	27	-311	372	31.42	31.42	(22+23)-IV-2	20
6	-694	-2685	-4673	-125	-366	376	31.42	31.42	(22+23)-II-1	19
7	-5066	4005	-806	-110	-507	357	31.42	31.42	(22+23)-VI-3	15
8	-7155	5911	370	-26	-783	242	31.42	31.42	(22+23)-VI-3	13
9	-6420	11445	-1258	-157	-331	327	31.42	31.42	(22+23)-II-1	19
10	-244	11264	-5388	-130	-376	370	31.42	31.42	(22+23)-II-1	17
11	-4741	5995	-1231	-127	-537	365	31.42	31.42	(22+23)-VI-3	14
12	-8379	7477	-1219	-12	-934	289	31.42	31.42	(22+23)-VI-3	10
13	-4909	47462	-4625	-155	-364	104	31.42	31.42	(22+23)-I-1	17
14	2960	37425	-6625	-70	-391	153	31.42	31.42	(22+23)-I-1	17
15	-4665	8791	-998	-128	-568	169	31.42	31.42	(22+23)-VI-3	17
16	-6783	6124	-3018	-41	-982	164	31.42	31.42	(22+23)-II-3	11
Massimi/minimi										
1							31.42			
1								31.42		
12										10

Muro :78 - Nodi : [9 - 875 - 10 - 861]:Verificato

Pann.X=4 Pann.Y=4 Spess.= 30 cm Criterio CLS_Muri_Esist Materiale: C20/25rcm=200
[kg/cmq],fym=4200 [kg/cmq], FC=1.20 qd=2.5, qf=1.5 :

Armatura a maglia doppia

Pannello	Nx	Ny	Nxy	Mx	My	Mxy	Ax	Ay	C	Cs
	kg	kg	kg	kg*m	kg*m	kg*m	cmq	cmq		
1	-3199	3035	-4298	-15	-225	136	31.42	31.42	(22+23)-IV-1	37
2	-4371	1167	11417	59	-301	-165	31.42	31.42	(22+23)-VIII-2	29
3	-5318	1721	9780	132	-355	-148	31.42	31.42	(22+23)-VIII-2	27
4	-7555	6515	5711	152	-433	68	31.42	31.42	(22+23)-VII-1	26
5	-4219	487	-2530	-14	-243	158	31.42	31.42	(22+23)-IV-1	34
6	-1826	2688	11577	81	-267	-194	31.42	31.42	(22+23)-VIII-2	29
7	-2060	3147	9515	126	-349	-183	31.42	31.42	(22+23)-VIII-2	25
8	-2488	3703	6155	163	-382	-167	31.42	31.42	(22+23)-VIII-2	24
9	-1697	-1472	5689	-11	-366	156	31.42	31.42	(22+23)-III-1	27
10	-4377	-2423	5269	36	-390	139	31.42	31.42	(22+23)-III-1	27
11	-8132	-2709	2693	78	-443	123	31.42	31.42	(22+23)-III-1	25
12	-9962	-3106	5089	114	-510	110	31.42	31.42	(22+23)-III-1	23
13	-1185	-5296	6604	-19	-401	204	31.42	31.42	(22+23)-III-1	24
14	-3574	-6943	7094	29	-415	211	31.42	31.42	(22+23)-III-1	23
15	-6227	-9334	6202	114	-460	210	31.42	31.42	(22+23)-III-1	22
16	-13096	-11203	4015	182	-546	143	31.42	31.42	(22+23)-V-1	22
Massimi/minimi										
1							31.42			
1								31.42		
16										22

Muro :79 - Nodi : [875 - 877 - 10 - 10]:Verificato

Pann.X=4 Pann.Y=4 Spess.= 30 cm Criterio CLS_Muri_Esist Materiale: C20/25rcm=200
[kg/cmq],fym=4200 [kg/cmq], FC=1.20 qd=2.5, qf=1.5 :

Armatura a maglia doppia

Pannello	Nx	Ny	Nxy	Mx	My	Mxy	Ax	Ay	C	Cs
	kg	kg	kg	kg*m	kg*m	kg*m	cmq	cmq		
1	-845	-6174	10400	-21	-302	247	31.42	31.42	(22+23)-III-1	26
2	-1228	-5595	10363	-17	-272	276	31.42	31.42	(22+23)-V-1	26

Pannello	Nx	Ny	Nxy	Mx	My	Mxy	Ax	Ay	C	Cs
3	-2824	-4316	9283	-10	-246	326	31.42	31.42	(22+23)-V-1	25
4	-9244	473	8053	-16	-214	306	31.42	31.42	(22+23)-VII-1	26
5	678	-2957	6560	-30	-144	219	31.42	31.42	(22+23)-V-1	39
6	3400	-1309	5836	-50	-93	234	31.42	31.42	(22+23)-V-1	42
7	7002	-1146	3812	-72	-20	232	31.42	31.42	(22+23)-V-1	42
8	22760	-1508	1607	-73	-9	-134	31.42	31.42	(22+23)-I-4	53
9	3638	-5139	1930	-25	-119	-275	31.42	31.42	(22+23)-I-4	36
10	12542	-2165	1535	-41	-78	-284	31.42	31.42	(22+23)-I-4	38
11	27783	-2423	3421	-70	-23	-259	31.42	31.42	(22+23)-III-3	31
12	40296	-3300	1137	-78	29	-166	31.42	31.42	(22+23)-III-3	36
13	3916	-7122	-8335	-40	-312	-296	31.42	31.42	(22+23)-VII-3	24
14	12506	-4679	-8865	-41	-261	-344	31.42	31.42	(22+23)-V-3	24
15	24498	-13	-6842	-40	-228	-385	31.42	31.42	(22+23)-I-3	22
16	41641	-1283	152	-54	-198	-344	31.42	31.42	(22+23)-III-3	22
Massimi/minimi										
1							31.42			
1								31.42		
16										22

Muro :80 - Nodi : [877 - 3 - 872 - 10]:Verificato

Pann.X=4 Pann.Y=4 Spess.= 30 cm Criterio CLS_Muri_Esist Materiale: C20/25rcm=200
[kg/cmq],fym=4200 [kg/cmq], FC=1.20 qd=2.5, qf=1.5 :

Armatura a maglia doppia

Pannello	Nx	Ny	Nxy	Mx	My	Mxy	Ax	Ay	C	Cs
	kg	kg	kg	kg*m	kg*m	kg*m	cmq	cmq		
1	2788	-12072	-8687	-49	-467	-277	31.42	31.42	(22+23)-VII-3	20
2	11251	-14503	-8622	-17	-429	-300	31.42	31.42	(22+23)-III-3	21
3	17641	-17498	-6413	21	-428	-295	31.42	31.42	(22+23)-III-3	22
4	23384	-23591	-2248	45	-457	-219	31.42	31.42	(22+23)-III-3	24
5	2195	-12809	-6202	-49	-516	-252	31.42	31.42	(22+23)-VII-3	20
6	8864	-14136	-6057	-8	-418	-242	31.42	31.42	(22+23)-III-3	23
7	12567	-14981	-3645	19	-387	-214	31.42	31.42	(22+23)-III-3	26
8	12014	-15813	696	46	-392	-176	31.42	31.42	(22+23)-III-3	27
9	1714	-9410	957	-30	-495	-211	31.42	31.42	(22+23)-V-3	21
10	3944	-7648	-1355	8	-324	-226	31.42	31.42	(22+23)-I-4	27
11	4774	-8030	-267	105	-283	-199	31.42	31.42	(22+23)-I-4	30
12	2239	-5108	179	84	-319	204	31.42	31.42	(22+23)-VII-1	27
13	830	-592	3376	21	-380	-150	31.42	31.42	(22+23)-VII-4	26
14	4956	-3677	-5732	147	-273	150	31.42	31.42	(22+23)-VIII-1	33
15	2354	50	-1890	123	-278	177	31.42	31.42	(22+23)-VII-1	30
16	4983	-6157	-834	402	-203	87	31.42	31.42	(22+23)-VIII-3	27
Massimi/minimi										
1							31.42			
1								31.42		
5										20

Muro :81 - Nodi : [10 - 872 - 873 - 10]:Verificato

Pann.X=4 Pann.Y=4 Spess.= 30 cm Criterio CLS_Muri_Esist Materiale: C20/25rcm=200
[kg/cmq],fym=4200 [kg/cmq], FC=1.20 qd=2.5, qf=1.5 :

Armatura a maglia doppia

Pannello	Nx	Ny	Nxy	Mx	My	Mxy	Ax	Ay	C	Cs
	kg	kg	kg	kg*m	kg*m	kg*m	cmq	cmq		
1	-2635	-10211	4572	81	-347	191	31.42	31.42	(22+23)-VIII-1	28
2	-979	-17785	939	-13	-261	193	31.42	31.42	(22+23)-VII-1	35
3	-1306	-20515	332	28	-278	189	31.42	31.42	(22+23)-V-1	35
4	-836	-12126	-4156	-277	-538	432	31.42	31.42	(22+23)-VII-2	16
5	2250	-8453	3519	62	-362	229	31.42	31.42	(22+23)-VII-1	25
6	-85	-10671	2315	31	-271	236	31.42	31.42	(22+23)-VII-1	30

Pannello	Nx	Ny	Nxy	Mx	My	Mxy	Ax	Ay	C	Cs
7	-115	-12389	2621	-22	-292	226	31.42	31.42	(22+23)-VII-1	29
8	3836	-8585	-1306	-273	-416	330	31.42	31.42	(22+23)-VII-2	20
9	2548	-3533	3227	97	-338	228	31.42	31.42	(22+23)-VII-1	25
10	41	-3605	3504	67	-285	217	31.42	31.42	(22+23)-VII-1	28
11	189	-3350	2358	-15	-289	195	31.42	31.42	(22+23)-V-1	29
12	-1295	-5854	-2737	336	-117	-301	31.42	31.42	(22+23)-VII-3	22
13	737	2698	2262	153	-336	170	31.42	31.42	(22+23)-VII-1	26
14	96	4389	3151	105	-300	169	31.42	31.42	(22+23)-VII-1	28
15	105	3990	-4703	220	-282	-192	31.42	31.42	(22+23)-VII-4	28
16	1185	5350	-3055	233	-355	-237	31.42	31.42	(22+23)-VII-4	22
Massimi/minimi										
1							31.42			
1								31.42		
4										16

Muro :82 - Nodi : [10 - 873 - 6 - 876]:Verificato

Pann.X=4 Pann.Y=4 Spess.= 30 cm Criterio CLS_Muri_Esist Materiale: C20/25rcm=200
[kg/cmq],fym=4200 [kg/cmq], FC=1.20 qd=2.5, qf=1.5 :

Armatura a maglia doppia

Pannello	Nx	Ny	Nxy	Mx	My	Mxy	Ax	Ay	C	Cs
	kg	kg	kg	kg*m	kg*m	kg*m	cmq	cmq		
1	15365	-9388	190	-555	-448	453	31.42	31.42	(22+23)-VII-2	12
2	4985	-6886	1213	-541	-408	471	31.42	31.42	(22+23)-VII-2	13
3	-5592	-6201	1348	-573	-397	409	31.42	31.42	(22+23)-VII-2	15
4	13731	-6641	-219	446	-14	-148	31.42	31.42	(22+23)-III-3	20
5	7227	-9440	-2349	-499	-422	427	31.42	31.42	(22+23)-VII-2	14
6	3636	-9655	-592	-572	-443	406	31.42	31.42	(22+23)-VII-2	14
7	-1423	-9114	-242	-614	-494	387	31.42	31.42	(22+23)-VII-2	14
8	-17123	-7523	-705	-614	-593	246	31.42	31.42	(22+23)-VII-2	17
9	488	-5907	-3929	453	3	-384	31.42	31.42	(22+23)-VII-3	16
10	2339	-6056	-281	-583	-432	294	31.42	31.42	(22+23)-VII-2	15
11	-2524	-6449	-664	-678	-529	301	31.42	31.42	(22+23)-VII-2	14
12	-10289	-7685	-536	-720	-727	261	31.42	31.42	(22+23)-VII-2	15
13	1525	6728	-2128	418	-24	-248	31.42	31.42	(22+23)-VII-3	20
14	1736	164	-1985	487	97	-273	31.42	31.42	(22+23)-VII-3	18
15	-1960	6344	1378	-683	-510	149	31.42	31.42	(22+23)-VII-2	17
16	-16884	7152	594	-806	-684	195	31.42	31.42	(22+23)-VII-2	15
Massimi/minimi										
1							31.42			
1								31.42		
1										12

Muro :83 - Nodi : [861 - 10 - 10 - 854]:Verificato

Pann.X=4 Pann.Y=4 Spess.= 30 cm Criterio CLS_Muri_Esist Materiale: C20/25rcm=200
[kg/cmq],fym=4200 [kg/cmq], FC=1.20 qd=2.5, qf=1.5 :

Armatura a maglia doppia

Pannello	Nx	Ny	Nxy	Mx	My	Mxy	Ax	Ay	C	Cs
	kg	kg	kg	kg*m	kg*m	kg*m	cmq	cmq		
1	-7834	6288	7039	228	-457	48	31.42	31.42	(22+23)-VII-1	26
2	-3855	5955	6722	270	-475	69	31.42	31.42	(22+23)-VII-1	24
3	-4445	8005	3825	284	-548	79	31.42	31.42	(22+23)-VII-1	20
4	-6205	14545	959	297	-721	146	31.42	31.42	(22+23)-V-1	14
5	-4089	5256	2863	201	-513	-139	31.42	31.42	(22+23)-VII-2	20
6	-2092	5512	2091	213	-479	-134	31.42	31.42	(22+23)-VII-2	21
7	-2608	5695	2867	192	-524	80	31.42	31.42	(22+23)-VII-1	22
8	-5474	10801	-2701	290	-652	100	31.42	31.42	(22+23)-I-1	16
9	-270	6620	117	135	-413	-148	31.42	31.42	(22+23)-VIII-2	23
10	-1028	5226	1839	108	-461	-146	31.42	31.42	(22+23)-VII-2	22

Pannello	Nx	Ny	Nxy	Mx	My	Mxy	Ax	Ay	C	Cs
11	-1295	3175	-1102	101	-486	94	31.42	31.42	(22+23)-III-1	23
12	-4924	6315	-4128	310	-650	129	31.42	31.42	(22+23)-V-1	17
13	-2287	1403	2845	88	-627	-146	31.42	31.42	(22+23)-VII-2	18
14	-2223	-492	730	16	-448	45	31.42	31.42	(22+23)-VII-1	28
15	-1340	2871	-169	-11	-470	74	31.42	31.42	(22+23)-III-1	25
16	-1526	811	-3854	252	-627	253	31.42	31.42	(22+23)-VII-1	15
Massimi/minimi										
1							31.42			
1								31.42		
4										14

Muro :84 - Nodi : [854 - 10 - 874 - 10]:Verificato

Pann.X=4 Pann.Y=4 Spess.= 30 cm Criterio CLS_Muri_Esist Materiale: C20/25rcm=200
[kg/cmq],fym=4200 [kg/cmq], FC=1.20 qd=2.5, qf=1.5 :

Armatura a maglia doppia

Pannello	Nx	Ny	Nxy	Mx	My	Mxy	Ax	Ay	C	Cs
	kg	kg	kg	kg*m	kg*m	kg*m	cmq	cmq		
1	-4913	22674	428	299	-929	211	31.42	31.42	(22+23)-V-1	9.6
2	-2563	27483	-337	394	-1048	216	31.42	31.42	(22+23)-V-1	8.2
3	2226	32357	-3318	610	-1135	347	31.42	31.42	(22+23)-V-1	6.6
4	15385	35306	-7630	730	-1154	360	31.42	31.42	(22+23)-V-1	6.2
5	-3566	15780	-3427	448	-795	119	31.42	31.42	(22+23)-V-1	13
6	357	15440	-4518	502	-822	214	31.42	31.42	(22+23)-VII-1	11
7	5536	15993	-4519	573	-812	351	31.42	31.42	(22+23)-V-1	10
8	8068	15113	-3137	597	-730	298	31.42	31.42	(22+23)-VII-1	12
9	-3748	7614	-3917	517	-684	211	31.42	31.42	(22+23)-V-1	14
10	6108	-12111	2449	-704	376	-237	31.42	31.42	(22+23)-VII-3	14
11	1913	-9827	1755	-748	352	-333	31.42	31.42	(22+23)-VII-3	12
12	11713	5455	-384	730	-384	240	31.42	31.42	(22+23)-VII-2	13
13	13405	-9140	-128	-712	198	-222	31.42	31.42	(22+23)-VII-3	13
14	7399	-5935	-622	-753	220	-305	31.42	31.42	(22+23)-VII-3	12
15	4866	-4111	-949	-774	245	-340	31.42	31.42	(22+23)-VII-3	12
16	6538	-2908	-677	-750	171	-159	31.42	31.42	(22+23)-VII-3	14
Massimi/minimi										
1							31.42			
1								31.42		
4										6.2

Muro :85 - Nodi : [10 - 10 - 876 - 874]:Verificato

Pann.X=4 Pann.Y=4 Spess.= 30 cm Criterio CLS_Muri_Esist Materiale: C20/25rcm=200
[kg/cmq],fym=4200 [kg/cmq], FC=1.20 qd=2.5, qf=1.5 :

Armatura a maglia doppia

Pannello	Nx	Ny	Nxy	Mx	My	Mxy	Ax	Ay	C	Cs
	kg	kg	kg	kg*m	kg*m	kg*m	cmq	cmq		
1	19551	-365	1224	-772	21	-258	31.42	31.42	(22+23)-VII-3	11
2	10944	1163	60	-734	79	-327	31.42	31.42	(22+23)-VII-3	12
3	4699	1134	-388	-719	111	-337	31.42	31.42	(22+23)-VII-3	12
4	2640	635	-251	-710	113	-136	31.42	31.42	(22+23)-VII-3	16
5	17433	-1656	-539	-420	-1	-228	31.42	31.42	(22+23)-VII-3	18
6	10603	-772	1242	-419	5	-326	31.42	31.42	(22+23)-VII-3	17
7	3863	-775	1703	-429	16	-327	31.42	31.42	(22+23)-VII-3	18
8	-2764	-506	1751	-424	37	-160	31.42	31.42	(22+23)-VII-3	24
9	15337	-1454	272	-182	-11	-232	31.42	31.42	(22+23)-VII-4	29
10	3783	-553	-226	208	9	346	31.42	31.42	(22+23)-VII-1	24
11	-1385	-374	-351	216	3	342	31.42	31.42	(22+23)-VII-1	25
12	-7833	-608	-654	219	9	172	31.42	31.42	(22+23)-VII-1	38
13	24673	-786	-2827	-494	-193	411	31.42	31.42	(22+23)-III-2	12
14	7969	1918	-1774	-441	-180	438	31.42	31.42	(22+23)-III-2	15

Pannello	Nx	Ny	Nxy	Mx	My	Mxy	Ax	Ay	C	Cs
15	6223	-2872	5119	404	-34	-326	31.42	31.42	(22+23)-III-3	18
16	12254	-3344	3633	386	-56	-125	31.42	31.42	(22+23)-III-3	24
Massimi/minimi										
1							31.42			
1								31.42		
1										11

Muro :86 - Nodi : [10 - 869 - 17 - 863]:**Verificato**

Pann.X=4 Pann.Y=4 Spess.= 30 cm Criterio CLS_Muri_Esist Materiale: C20/25rcm=200
[kg/cmq],fym=4200 [kg/cmq], FC=1.20 qd=2.5, qf=1.5 :

Armatura a maglia doppia

Pannello	Nx	Ny	Nxy	Mx	My	Mxy	Ax	Ay	C	Cs
	kg	kg	kg	kg*m	kg*m	kg*m	cmq	cmq		
1	-28174	-2671	7598	-234	-18	160	31.42	31.42	(22+23)-VI-1	43
2	-13491	-7539	11664	-164	-34	195	31.42	31.42	(22+23)-VI-1	43
3	-6128	-8265	4634	-93	29	223	31.42	31.42	(22+23)-VIII-1	46
4	-6697	-6080	601	172	383	-125	31.42	31.42	(22+23)-IV-2	28
5	-34944	-3688	11084	-382	-23	186	31.42	31.42	(22+23)-VI-1	31
6	-11247	-10334	13005	-268	-27	228	31.42	31.42	(22+23)-VI-1	30
7	-3692	-8375	3846	-151	15	258	31.42	31.42	(22+23)-VIII-1	35
8	-5098	-5069	-175	128	324	-111	31.42	31.42	(22+23)-IV-2	33
9	-51718	-7797	16736	-646	-57	172	31.42	31.42	2	24
10	-8199	-15796	15354	-422	-54	254	31.42	31.42	(22+23)-III-1	22
11	-3785	-5837	2222	-239	13	265	31.42	31.42	(22+23)-II-2	28
12	-2579	-3241	-940	-116	102	201	31.42	31.42	(22+23)-VIII-1	44
13	-62823	-20771	29160	-1050	-115	309	31.42	31.42	(22+23)-I-2	15
14	3515	-10157	7997	-626	-79	325	31.42	31.42	(22+23)-I-2	14
15	-2278	-3427	1262	-438	-42	269	31.42	31.42	2	20
16	379	-1674	-1354	-199	23	218	31.42	31.42	(22+23)-VIII-1	33
Massimi/minimi										
1							31.42			
1								31.42		
14										14

Muro :87 - Nodi : [10 - 864 - 25 - 871]:**Verificato**

Pann.X=4 Pann.Y=4 Spess.= 30 cm Criterio CLS_Muri_Esist Materiale: C20/25rcm=200
[kg/cmq],fym=4200 [kg/cmq], FC=1.20 qd=2.5, qf=1.5 :

Armatura a maglia doppia

Pannello	Nx	Ny	Nxy	Mx	My	Mxy	Ax	Ay	C	Cs
	kg	kg	kg	kg*m	kg*m	kg*m	cmq	cmq		
1	-4333	-46347	12251	-23	-403	109	31.42	31.42	(22+23)-I-4	37
2	-6128	-60345	18055	-36	-579	120	31.42	31.42	(22+23)-I-4	30
3	-14181	-72105	28157	-58	-828	144	31.42	31.42	(22+23)-I-4	22
4	-27006	-71999	36974	-130	-1210	250	31.42	31.42	(22+23)-V-4	15
5	-12344	-19375	19054	-13	-322	137	31.42	31.42	(22+23)-I-4	35
6	-17156	-15350	21269	-23	-452	148	31.42	31.42	(22+23)-I-4	26
7	-19695	-9318	19726	-59	-595	169	31.42	31.42	(22+23)-I-4	19
8	-12568	5643	10922	-89	-735	234	31.42	31.42	(22+23)-I-4	13
9	-13336	-8085	12373	47	-199	143	31.42	31.42	(22+23)-II-4	43
10	-13501	-2875	10764	32	-292	143	31.42	31.42	(22+23)-I-4	32
11	-9887	335	6863	2	-382	158	31.42	31.42	(22+23)-I-4	25
12	-4602	-376	4154	-54	-530	182	31.42	31.42	2	19
13	-9384	-4363	7248	214	-94	-116	31.42	31.42	(22+23)-VII-4	45
14	-9076	-4735	4359	111	-191	133	31.42	31.42	(22+23)-VI-2	44
15	-6759	-3114	2745	83	-337	56	31.42	31.42	2	36
16	-3248	-2017	2122	-7	-413	73	31.42	31.42	2	29
Massimi/minimi										

Pannello	Nx	Ny	Nxy	Mx	My	Mxy	Ax	Ay	C	Cs
1							31.42			
1								31.42		
8										13

Muro :88 - Nodi : [10 - 863 - 860 - 10]:**Verificato**

Pann.X=4 Pann.Y=4 Spess.= 30 cm Criterio CLS_Muri_Esist Materiale: C20/25rcm=200
[kg/cmq],fym=4200 [kg/cmq], FC=1.20 qd=2.5, qf=1.5 :

Armatura a maglia doppia

Pannello	Nx	Ny	Nxy	Mx	My	Mxy	Ax	Ay	C	Cs
	kg	kg	kg	kg*m	kg*m	kg*m	cmq	cmq		
1	36	-18778	-2767	-11	-92	-210	31.42	31.42	(22+23)-VIII-1	53
2	537	-15146	-1458	31	156	258	31.42	31.42	(22+23)-IV-2	37
3	-1548	-14166	130	17	144	302	31.42	31.42	(22+23)-IV-2	35
4	-7172	-23772	9163	341	151	-561	31.42	31.42	(22+23)-VIII-2	16
5	-2813	-14409	-3806	41	118	226	31.42	31.42	(22+23)-VIII-4	45
6	-1714	-14898	-3757	108	136	284	31.42	31.42	(22+23)-IV-2	35
7	-2478	-15233	2651	191	103	319	31.42	31.42	(22+23)-IV-2	27
8	-9284	-11410	5332	452	80	346	31.42	31.42	(22+23)-VIII-2	19
9	-5729	-12102	-6841	164	144	247	31.42	31.42	(22+23)-IV-2	35
10	-3155	-13938	-4773	211	112	276	31.42	31.42	(22+23)-IV-2	29
11	-4538	-12740	1899	355	70	235	31.42	31.42	(22+23)-VIII-2	24
12	-7978	-9817	2655	572	45	275	31.42	31.42	(22+23)-VIII-2	17
13	-5220	-9951	-1179	371	188	164	31.42	31.42	(22+23)-IV-2	27
14	-4316	-12574	-673	342	101	234	31.42	31.42	(22+23)-IV-2	25
15	-5956	-12099	493	430	48	195	31.42	31.42	(22+23)-VIII-2	23
16	-6547	-10585	1311	639	41	171	31.42	31.42	(22+23)-VIII-2	18
Massimi/minimi										
1							31.42			
1								31.42		
4										16

Muro :89 - Nodi : [864 - 10 - 10 - 867]:**Verificato**

Pann.X=4 Pann.Y=4 Spess.= 30 cm Criterio CLS_Muri_Esist Materiale: C20/25rcm=200
[kg/cmq],fym=4200 [kg/cmq], FC=1.20 qd=2.5, qf=1.5 :

Armatura a maglia doppia

Pannello	Nx	Ny	Nxy	Mx	My	Mxy	Ax	Ay	C	Cs
	kg	kg	kg	kg*m	kg*m	kg*m	cmq	cmq		
1	-8753	-8043	9467	239	-15	-162	31.42	31.42	(22+23)-VII-4	37
2	-3967	-7603	8130	175	35	-195	31.42	31.42	(22+23)-V-3	38
3	-4178	-5406	-691	301	66	134	31.42	31.42	(22+23)-IV-3	33
4	3238	-14265	1245	455	138	-204	31.42	31.42	(22+23)-VIII-4	20
5	-7150	-9663	10265	75	-66	-173	31.42	31.42	(22+23)-V-3	59
6	-3050	-8649	8170	88	35	-207	31.42	31.42	(22+23)-V-3	48
7	-1186	-13751	1007	-174	108	-226	31.42	31.42	(22+23)-IV-2	35
8	5652	-13723	3208	292	132	-300	31.42	31.42	(22+23)-VIII-4	22
9	-2440	-10878	4139	-24	-122	-163	31.42	31.42	(22+23)-VI-3	53
10	-1841	-15890	2717	-57	-47	-216	31.42	31.42	(22+23)-IV-2	51
11	565	-10397	4452	-83	138	-270	31.42	31.42	(22+23)-VIII-4	37
12	7335	-9813	5136	-171	127	-362	31.42	31.42	(22+23)-VIII-4	24
13	232	-10396	604	-12	-157	-144	31.42	31.42	(22+23)-II-1	50
14	1787	-17213	2026	-16	-48	-205	31.42	31.42	(22+23)-VIII-4	61
15	1944	-8235	1356	19	161	-256	31.42	31.42	(22+23)-VIII-4	35
16	-3025	-13348	-1818	-183	122	-418	31.42	31.42	(22+23)-IV-2	23
Massimi/minimi										
1							31.42			
1								31.42		
4										20

Muro :90 - Nodi : [10 - 10 - 870 - 868]:**Verificato**

Pann.X=4 Pann.Y=4 Spess.= 30 cm Criterio CLS_Muri_Esist Materiale: C20/25rcm=200
[kg/cmq],fym=4200 [kg/cmq], FC=1.20 qd=2.5, qf=1.5 :

Armatura a maglia doppia

Pannello	Nx	Ny	Nxy	Mx	My	Mxy	Ax	Ay	C	Cs
	kg	kg	kg	kg*m	kg*m	kg*m	cmq	cmq		
1	28025	-3498	1643	223	122	312	31.42	31.42	(22+23)-IV-1	19
2	719	-2621	-6318	289	113	343	31.42	31.42	(22+23)-VIII-3	22
3	12816	-9142	-13882	-401	46	-218	31.42	31.42	(22+23)-VIII-4	20
4	40731	-8694	-9249	-405	37	99	31.42	31.42	(22+23)-VIII-4	17
5	20978	-4045	1493	697	-13	-118	31.42	31.42	(22+23)-VIII-1	14
6	1485	-1373	-4749	-813	2	-170	31.42	31.42	(22+23)-IV-2	14
7	-1228	-573	-12563	-823	13	-192	31.42	31.42	(22+23)-VIII-4	14
8	6174	-1470	-9636	-823	3	63	31.42	31.42	(22+23)-VIII-4	15
9	32945	-4169	-2205	-880	2	25	31.42	31.42	(22+23)-VIII-4	11
10	6346	-910	1588	864	33	-172	31.42	31.42	(22+23)-IV-3	12
11	1391	-2598	-6940	-922	-13	-173	31.42	31.42	(22+23)-VIII-4	12
12	-2631	-230	6542	867	88	-77	31.42	31.42	(22+23)-VIII-1	15
13	80387	-7460	-10838	-350	2	-125	31.42	31.42	(22+23)-VII-4	8.4
14	19631	2895	-1497	476	-9	-221	31.42	31.42	(22+23)-II-4	16
15	5850	-7222	9741	630	120	-190	31.42	31.42	(22+23)-VIII-1	16
16	24634	-6380	5871	636	133	-84	31.42	31.42	(22+23)-VIII-1	15
Massimi/minimi										
1							31.42			
1								31.42		
13										8.4

Muro :91 - Nodi : [882 - 3 - 872 - 10]:**Verificato**

Pann.X=4 Pann.Y=4 Spess.= 30 cm Criterio CLS_Muri_Esist Materiale: C20/25rcm=200
[kg/cmq],fym=4200 [kg/cmq], FC=1.20 qd=2.5, qf=1.5 :

Armatura a maglia doppia

Pannello	Nx	Ny	Nxy	Mx	My	Mxy	Ax	Ay	C	Cs
	kg	kg	kg	kg*m	kg*m	kg*m	cmq	cmq		
1	907	-12886	-6687	137	1038	706	31.42	31.42	(22+23)-VIII-3	8.7
2	6746	-15234	-7419	50	937	695	31.42	31.42	2	9.5
3	11429	-19228	-5619	-109	927	657	31.42	31.42	2	10
4	17534	-13406	-1919	-214	884	445	31.42	31.42	(22+23)-V-3	12
5	352	-13031	-3347	123	1057	714	31.42	31.42	(22+23)-VIII-3	8.6
6	5628	-16828	-2989	60	813	657	31.42	31.42	(22+23)-VIII-3	11
7	6807	-16241	-38	-39	770	475	31.42	31.42	2	13
8	5266	-16860	2232	-116	753	367	31.42	31.42	2	14
9	341	-10086	1491	90	941	690	31.42	31.42	(22+23)-IV-3	9.1
10	2759	-9665	2962	1	562	607	31.42	31.42	(22+23)-IV-1	13
11	4210	-8831	1302	-133	540	372	31.42	31.42	2	16
12	3041	-8000	2425	-229	484	268	31.42	31.42	2	19
13	207	-1097	1914	-47	674	443	31.42	31.42	(22+23)-IV-3	12
14	1944	-2843	3190	-277	328	401	31.42	31.42	(22+23)-IV-1	19
15	2767	-3898	1906	-511	112	252	31.42	31.42	(22+23)-VIII-3	18
16	2155	-4140	1870	-629	1	165	31.42	31.42	(22+23)-VIII-3	17
Massimi/minimi										
1							31.42			
1								31.42		
5										8.6

Muro :92 - Nodi : [10 - 872 - 873 - 10]:**Verificato**

Pann.X=4 Pann.Y=4 Spess.= 30 cm Criterio CLS_Muri_Esist Materiale: C20/25rcm=200
[kg/cmq],fym=4200 [kg/cmq], FC=1.20 qd=2.5, qf=1.5 :

Armatura a maglia doppia

Pannello	Nx	Ny	Nxy	Mx	My	Mxy	Ax	Ay	C	Cs
	kg	kg	kg	kg*m	kg*m	kg*m	cmq	cmq		
1	-1805	-8842	3093	-86	780	-164	31.42	31.42	(22+23)-VII-4	16
2	-786	-14236	1054	10	365	-194	31.42	31.42	(22+23)-IV-4	28
3	-1838	-18009	-686	-16	313	-179	31.42	31.42	(22+23)-III-2	32
4	-2523	-15820	272	253	694	-369	31.42	31.42	(22+23)-VII-2	15
5	2363	-2695	4002	-132	607	-125	31.42	31.42	(22+23)-VIII-4	19
6	-165	-5320	3318	-57	371	-237	31.42	31.42	(22+23)-VIII-4	24
7	-245	-8674	2195	27	278	-207	31.42	31.42	(22+23)-IV-2	30
8	-5472	-17594	391	24	663	-252	31.42	31.42	2	17
9	2123	241	3925	-147	531	-112	31.42	31.42	(22+23)-VIII-4	21
10	177	-677	4895	-121	369	-210	31.42	31.42	(22+23)-VIII-4	24
11	-145	-5650	4924	-215	213	-210	31.42	31.42	(22+23)-VII-4	32
12	-2768	-4694	-1712	-50	516	-222	31.42	31.42	2	19
13	659	-2048	107	-598	-45	45	31.42	31.42	(22+23)-IV-3	21
14	-223	6476	4813	-179	376	-150	31.42	31.42	(22+23)-VIII-4	25
15	697	4198	4595	-306	201	-190	31.42	31.42	(22+23)-VII-4	27
16	-1252	7045	876	-372	267	-215	31.42	31.42	(22+23)-V-4	24
Massimi/minimi										
1							31.42			
1								31.42		
4										15

Muro :93 - Nodi : [10 - 873 - 6 - 881]:Verificato

Pann.X=4 Pann.Y=4 Spess.= 30 cm Criterio CLS_Muri_Esist Materiale: C20/25rcm=200
[kg/cmq],fym=4200 [kg/cmq], FC=1.20 qd=2.5, qf=1.5 :

Armatura a maglia doppia

Pannello	Nx	Ny	Nxy	Mx	My	Mxy	Ax	Ay	C	Cs
	kg	kg	kg	kg*m	kg*m	kg*m	cmq	cmq		
1	-4314	-25173	563	94	887	-498	31.42	31.42	2	12
2	2332	-17134	2220	75	862	-545	31.42	31.42	2	11
3	4498	-10962	2136	148	867	-482	31.42	31.42	2	11
4	8228	-7306	425	186	877	-244	31.42	31.42	2	13
5	-2720	-12412	-3759	95	845	-468	31.42	31.42	2	12
6	636	-10412	-4462	137	904	-458	31.42	31.42	2	11
7	4150	-8055	-3638	170	975	-425	31.42	31.42	2	10
8	-4160	-5658	-1004	687	1040	-281	31.42	31.42	(22+23)-VII-2	11
9	-1314	-2951	-5201	68	748	-414	31.42	31.42	2	12
10	648	-3156	-5625	130	908	-428	31.42	31.42	2	11
11	2582	-2675	-5227	193	1081	-377	31.42	31.42	2	9.6
12	4554	-2532	-3773	225	1250	-200	31.42	31.42	2	9.7
13	-180	4855	-4294	-61	648	-220	31.42	31.42	2	15
14	357	3955	-4551	106	899	-271	31.42	31.42	2	11
15	983	2918	-3894	251	1216	-239	31.42	31.42	2	9.2
16	1518	2369	-2056	293	1424	-97	31.42	31.42	2	8.8
Massimi/minimi										
1							31.42			
1								31.42		
16										8.8

Muro :94 - Nodi : [4 - 883 - 10 - 880]:Verificato

Pann.X=4 Pann.Y=4 Spess.= 30 cm Criterio CLS_Muri_Esist Materiale: C20/25rcm=200
[kg/cmq],fym=4200 [kg/cmq], FC=1.20 qd=2.5, qf=1.5 :

Armatura a maglia doppia

Pannello	Nx	Ny	Nxy	Mx	My	Mxy	Ax	Ay	C	Cs
	kg	kg	kg	kg*m	kg*m	kg*m	cmq	cmq		
1	-5270	-1918	-3490	-124	556	-818	31.42	31.42	(22+23)-VIII-3	10
2	-7405	-4572	-1143	-512	410	-641	31.42	31.42	(22+23)-VIII-3	13

Pannello	Nx	Ny	Nxy	Mx	My	Mxy	Ax	Ay	C	Cs
3	-10757	-4855	100	-776	270	-488	31.42	31.42	(22+23)-VIII-3	12
4	-13602	-4562	1619	-941	163	-393	31.42	31.42	(22+23)-VIII-3	11
5	-3833	-4478	-1785	90	1285	-1030	31.42	31.42	2	6.2
6	-8652	-4267	-423	-90	895	-862	31.42	31.42	(22+23)-VIII-3	8.1
7	-13687	-5494	1348	-236	653	-654	31.42	31.42	(22+23)-VIII-3	11
8	-16443	-6617	3780	-374	490	-497	31.42	31.42	(22+23)-VIII-3	15
9	-5012	-3566	83	217	1832	-1099	31.42	31.42	2	4.8
10	-10831	-8754	2276	115	1376	-924	31.42	31.42	2	6.4
11	-17566	-9780	2857	19	1047	-794	31.42	31.42	(22+23)-VIII-3	8.1
12	-20558	-11825	6610	-105	887	-630	31.42	31.42	(22+23)-VIII-3	10.0
13	-3172	-6269	4715	284	1997	-1046	31.42	31.42	2	4.8
14	-12296	-10172	10945	223	1626	-1056	31.42	31.42	2	5.6
15	-16267	-18126	9464	12	1399	-973	31.42	31.42	2	6.7
16	-30730	-24459	6492	-8	1270	-763	31.42	31.42	(22+23)-VIII-3	8.2
Massimi/minimi										
1							31.42			
1								31.42		
13										4.8

Muro :95 - Nodi : [883 - 882 - 10 - 10]:Verificato

Pann.X=4 Pann.Y=4 Spess.= 30 cm Criterio CLS_Muri_Esist Materiale: C20/25rcm=200
[kg/cmq],fym=4200 [kg/cmq], FC=1.20 qd=2.5, qf=1.5 :

Armatura a maglia doppia

Pannello	Nx	Ny	Nxy	Mx	My	Mxy	Ax	Ay	C	Cs
	kg	kg	kg	kg*m	kg*m	kg*m	cmq	cmq		
1	-2621	-13943	14641	219	1383	-780	31.42	31.42	(22+23)-VIII-3	7.1
2	-7587	-12168	19327	287	1091	-905	31.42	31.42	(22+23)-VIII-3	7.6
3	-14998	-8198	17134	372	837	-1042	31.42	31.42	(22+23)-VIII-3	7.8
4	-25077	806	13556	462	617	-982	31.42	31.42	(22+23)-VIII-3	8.5
5	2791	-8040	11133	156	726	-316	31.42	31.42	(22+23)-IV-3	14
6	9926	-3143	10573	260	479	-348	31.42	31.42	(22+23)-IV-3	17
7	17430	-2224	6916	370	217	-359	31.42	31.42	(22+23)-IV-3	16
8	27286	-3462	1643	417	-40	-203	31.42	31.42	(22+23)-IV-3	17
9	4068	-8605	163	131	601	309	31.42	31.42	(22+23)-VIII-3	16
10	14271	-2732	-568	220	405	320	31.42	31.42	(22+23)-VIII-3	19
11	25075	-2533	-195	309	191	309	31.42	31.42	(22+23)-VIII-3	17
12	37184	-3592	42	346	-5	188	31.42	31.42	(22+23)-VIII-3	17
13	2770	-7721	-7405	115	796	620	31.42	31.42	2	10
14	10128	-4151	-8728	139	671	683	31.42	31.42	2	10
15	17913	-1932	-7059	174	556	769	31.42	31.42	2	11
16	26564	1807	-5273	267	400	678	31.42	31.42	(22+23)-IV-3	11
Massimi/minimi										
1							31.42			
1								31.42		
1										7.1

Muro :96 - Nodi : [10 - 10 - 881 - 884]:Verificato

Pann.X=4 Pann.Y=4 Spess.= 30 cm Criterio CLS_Muri_Esist Materiale: C20/25rcm=200
[kg/cmq],fym=4200 [kg/cmq], FC=1.20 qd=2.5, qf=1.5 :

Armatura a maglia doppia

Pannello	Nx	Ny	Nxy	Mx	My	Mxy	Ax	Ay	C	Cs
	kg	kg	kg	kg*m	kg*m	kg*m	cmq	cmq		
1	-5276	123	-8846	280	463	676	31.42	31.42	2	12
2	-2168	-4665	-10149	208	612	686	31.42	31.42	2	11
3	-640	-7068	-8777	152	766	548	31.42	31.42	2	11
4	-489	-6921	-2932	138	896	304	31.42	31.42	2	12
5	9722	-3201	189	-402	-30	150	31.42	31.42	(22+23)-IV-4	23
6	-785	-941	29	-426	91	254	31.42	31.42	(22+23)-IV-4	20

Pannello	Nx	Ny	Nxy	Mx	My	Mxy	Ax	Ay	C	Cs
7	-13852	-1733	461	-471	198	236	31.42	31.42	(22+23)-IV-4	22
8	-22230	-2885	-2266	-121	379	142	31.42	31.42	2	27
9	29180	-2040	558	596	-14	-114	31.42	31.42	(22+23)-IV-1	14
10	16601	-1560	69	589	42	-188	31.42	31.42	(22+23)-IV-1	15
11	5514	-2231	-195	567	98	-187	31.42	31.42	(22+23)-IV-1	17
12	-22739	-799	2497	-707	278	-52	31.42	31.42	(22+23)-IV-4	22
13	19070	-420	1916	665	273	-414	31.42	31.42	(22+23)-VII-1	11
14	9103	-564	4145	620	322	-400	31.42	31.42	(22+23)-III-1	12
15	4922	-2128	6236	665	269	-217	31.42	31.42	(22+23)-IV-1	15
16	828	-3526	3914	648	310	-203	31.42	31.42	(22+23)-VIII-1	16
Massimi/minimi										
1							31.42			
1								31.42		
13										11

Muro :97 - Nodi : [885 - 10 - 884 - 12]:**Verificato**

Pann.X=4 Pann.Y=4 Spess.= 30 cm Criterio CLS_Muri_Esist Materiale: C20/25rcm=200
[kg/cmq],fym=4200 [kg/cmq], FC=1.20 qd=2.5, qf=1.5 :

Armatura a maglia doppia

Pannello	Nx	Ny	Nxy	Mx	My	Mxy	Ax	Ay	C	Cs
	kg	kg	kg	kg*m	kg*m	kg*m	cmq	cmq		
1	2993	3010	-114	299	373	444	31.42	31.42	(22+23)-IV-4	16
2	8323	3354	-53	542	493	507	31.42	31.42	(22+23)-IV-4	12
3	15242	3505	1560	795	608	535	31.42	31.42	(22+23)-IV-4	8.9
4	20887	3054	893	272	1005	159	31.42	31.42	2	11
5	-613	1828	-1159	163	551	583	31.42	31.42	(22+23)-VIII-2	12
6	4405	-1312	769	65	827	547	31.42	31.42	2	10
7	12042	-1282	2264	154	1046	609	31.42	31.42	2	8.4
8	18244	-2388	3914	211	1283	284	31.42	31.42	2	8.9
9	-4765	-6648	-2026	51	866	552	31.42	31.42	2	10
10	1519	-5420	718	122	1002	608	31.42	31.42	2	8.9
11	9451	-4432	2067	173	1188	651	31.42	31.42	2	7.7
12	18734	-2108	3813	291	1411	335	31.42	31.42	2	8.0
13	-10272	-17356	-3074	85	1031	613	31.42	31.42	2	9.6
14	667	-11609	-3952	86	1085	727	31.42	31.42	2	8.3
15	6876	-5334	-2940	176	1221	695	31.42	31.42	2	7.5
16	18395	-4270	2455	315	1374	338	31.42	31.42	2	8.3
Massimi/minimi										
1							31.42			
1								31.42		
15										7.5

Muro :98 - Nodi : [880 - 10 - 10 - 885]:**Verificato**

Pann.X=4 Pann.Y=4 Spess.= 30 cm Criterio CLS_Muri_Esist Materiale: C20/25rcm=200
[kg/cmq],fym=4200 [kg/cmq], FC=1.20 qd=2.5, qf=1.5 :

Armatura a maglia doppia

Pannello	Nx	Ny	Nxy	Mx	My	Mxy	Ax	Ay	C	Cs
	kg	kg	kg	kg*m	kg*m	kg*m	cmq	cmq		
1	-12954	-6202	2601	-954	10	-176	31.42	31.42	(22+23)-VIII-1	14
2	-5637	-10689	1669	-759	-110	-136	31.42	31.42	(22+23)-IV-1	16
3	-4011	-10754	-2306	-627	-114	-176	31.42	31.42	(22+23)-IV-1	18
4	-6126	-6579	-1363	-651	12	-195	31.42	31.42	(22+23)-IV-1	17
5	-12992	-8301	5636	-501	215	-192	31.42	31.42	(22+23)-IV-1	22
6	-4461	-14666	3659	-452	-63	130	31.42	31.42	2	24
7	-2816	-11831	-3276	-406	-131	-147	31.42	31.42	(22+23)-IV-1	25
8	-2799	-1033	-844	115	306	406	31.42	31.42	(22+23)-IV-4	19
9	-12669	-12970	8482	-199	454	-195	31.42	31.42	(22+23)-IV-1	24
10	-2671	-16658	3411	-193	-56	171	31.42	31.42	2	38

Pannello	Nx	Ny	Nxy	Mx	My	Mxy	Ax	Ay	C	Cs
11	-1077	-6365	-215	6	110	281	31.42	31.42	(22+23)-IV-4	37
12	-3000	-4304	-2034	151	440	457	31.42	31.42	(22+23)-IV-4	16
13	-8012	-31635	13441	37	841	-199	31.42	31.42	(22+23)-VIII-3	17
14	-2147	-7515	246	9	47	229	31.42	31.42	(22+23)-IV-4	53
15	-1791	-5832	118	-20	127	241	31.42	31.42	(22+23)-IV-4	39
16	-3021	-8968	-3196	211	635	501	31.42	31.42	(22+23)-IV-4	13
Massimi/minimi										
1							31.42			
1								31.42		
16										13

Muro :99 - Nodi : [888 - 4 - 880 - 10]:**Verificato**

Pann.X=4 Pann.Y=4 Spess.= 30 cm Criterio CLS_Muri_Esist Materiale: C20/25rcm=200
[kg/cmq],fym=4200 [kg/cmq], FC=1.20 qd=2.5, qf=1.5 :

Armatura a maglia doppia

Pannello	Nx	Ny	Nxy	Mx	My	Mxy	Ax	Ay	C	Cs
	kg	kg	kg	kg*m	kg*m	kg*m	cmq	cmq		
1	-2630	-11736	-11084	49	493	164	31.42	31.42	2	23
2	-6451	-14885	-11821	-2	423	180	31.42	31.42	2	26
3	-10830	-18501	-10180	-86	373	172	31.42	31.42	2	29
4	-21996	-21838	-7392	-139	348	110	31.42	31.42	2	36
5	-3459	-7405	-7726	41	513	121	31.42	31.42	2	23
6	-7939	-9457	-7312	-22	399	104	31.42	31.42	2	30
7	-13497	-10227	-6484	-81	321	73	31.42	31.42	2	38
8	-15423	-10615	-7491	-149	278	-103	31.42	31.42	(22+23)-IV-3	39
9	-3579	-3154	-6034	12	427	-70	31.42	31.42	(22+23)-IV-3	28
10	-8501	-4296	-5501	-74	334	-101	31.42	31.42	(22+23)-IV-3	33
11	-12009	-5403	-5446	-146	248	-132	31.42	31.42	(22+23)-IV-3	38
12	-13641	-5711	-6082	-213	166	-158	31.42	31.42	(22+23)-VIII-3	41
13	-4500	-3569	-3728	-19	325	-158	31.42	31.42	(22+23)-IV-3	29
14	-8714	-3855	-4189	-168	270	-184	31.42	31.42	(22+23)-IV-3	31
15	-11502	-4026	-4548	-306	185	-194	31.42	31.42	(22+23)-VIII-3	30
16	-7249	-4546	-3971	-407	89	-155	31.42	31.42	(22+23)-VII-3	26
Massimi/minimi										
1							31.42			
1								31.42		
1										23

Muro :100 - Nodi : [10 - 10 - 890 - 888]:**Verificato**

Pann.X=4 Pann.Y=4 Spess.= 30 cm Criterio CLS_Muri_Esist Materiale: C20/25rcm=200
[kg/cmq],fym=4200 [kg/cmq], FC=1.20 qd=2.5, qf=1.5 :

Armatura a maglia doppia

Pannello	Nx	Ny	Nxy	Mx	My	Mxy	Ax	Ay	C	Cs
	kg	kg	kg	kg*m	kg*m	kg*m	cmq	cmq		
1	-12566	-677	-11796	58	160	233	31.42	31.42	2	35
2	-7292	-7144	-14704	50	219	248	31.42	31.42	2	31
3	-3815	-9506	-16347	46	280	206	31.42	31.42	2	31
4	-1882	-11138	-15849	46	346	171	31.42	31.42	2	29
5	21331	-6201	-698	95	-13	62	31.42	31.42	2	71
6	12560	-2466	-4348	85	48	109	31.42	31.42	2	63
7	6315	-2404	-6864	59	112	107	31.42	31.42	2	64
8	1339	-6223	-7841	36	172	93	31.42	31.42	2	55
9	26444	-6022	-336	85	-12	-59	31.42	31.42	(22+23)-VIII-1	73
10	17130	-2426	169	75	43	-103	31.42	31.42	(22+23)-VIII-1	65
11	9338	-2195	464	51	96	-103	31.42	31.42	(22+23)-VIII-1	70
12	2437	-5719	459	30	143	-93	31.42	31.42	(22+23)-VIII-1	61
13	9081	-2216	6853	80	149	-221	31.42	31.42	(22+23)-IV-1	38
14	6106	-4076	9419	62	197	-233	31.42	31.42	(22+23)-IV-1	33

Pannello	Nx	Ny	Nxy	Mx	My	Mxy	Ax	Ay	C	Cs
15	3414	-5823	10966	48	247	-196	31.42	31.42	(22+23)-IV-1	32
16	547	-8084	10852	40	302	-165	31.42	31.42	(22+23)-IV-1	31
Massimi/minimi										
1							31.42			
1								31.42		
4										29

Muro :101 - Nodi : [890 - 10 - 879 - 5]:**Verificato**

Pann.X=4 Pann.Y=4 Spess.= 30 cm Criterio CLS_Muri_Esist Materiale: C20/25rcm=200
[kg/cmq],fym=4200 [kg/cmq], FC=1.20 qd=2.5, qf=1.5 :

Armatura a maglia doppia

Pannello	Nx	Ny	Nxy	Mx	My	Mxy	Ax	Ay	C	Cs
	kg	kg	kg	kg*m	kg*m	kg*m	cmq	cmq		
1	-10665	-550	-10068	432	49	207	31.42	31.42	(22+23)-IV-1	23
2	-9719	-1679	-8481	434	43	184	31.42	31.42	(22+23)-VIII-1	24
3	-7834	-2247	-7404	376	34	173	31.42	31.42	(22+23)-IV-1	27
4	-4590	-3064	-4007	205	5	230	31.42	31.42	(22+23)-VI-3	33
5	-13263	440	-9773	378	11	218	31.42	31.42	(22+23)-IV-1	26
6	-11297	-688	-7885	352	11	170	31.42	31.42	(22+23)-VIII-1	29
7	-9199	-4606	-4330	262	3	196	31.42	31.42	(22+23)-VIII-3	32
8	-4206	-6849	2622	158	50	245	31.42	31.42	(22+23)-V-4	35
9	-15286	611	-8281	344	-50	213	31.42	31.42	(22+23)-IV-1	28
10	-13489	-6554	-5138	266	1	190	31.42	31.42	(22+23)-IV-3	34
11	-9864	-6652	-4358	200	-22	184	31.42	31.42	(22+23)-VIII-3	39
12	-5144	-8982	1413	130	40	239	31.42	31.42	(22+23)-V-4	39
13	-17106	-628	-5527	333	-94	148	31.42	31.42	(22+23)-VIII-1	33
14	-14370	-11913	-5848	230	-21	186	31.42	31.42	(22+23)-IV-3	37
15	-9650	-13675	-2831	163	14	203	31.42	31.42	(22+23)-VII-3	41
16	-6350	-10025	-438	83	25	239	31.42	31.42	(22+23)-V-4	45
Massimi/minimi										
1							31.42			
1								31.42		
1										23

Muro :102 - Nodi : [10 - 885 - 12 - 889]:**Verificato**

Pann.X=4 Pann.Y=4 Spess.= 30 cm Criterio CLS_Muri_Esist Materiale: C20/25rcm=200
[kg/cmq],fym=4200 [kg/cmq], FC=1.20 qd=2.5, qf=1.5 :

Armatura a maglia doppia

Pannello	Nx	Ny	Nxy	Mx	My	Mxy	Ax	Ay	C	Cs
	kg	kg	kg	kg*m	kg*m	kg*m	cmq	cmq		
1	-6707	-6972	2061	472	467	-386	31.42	31.42	(22+23)-VIII-2	17
2	-2418	-5411	2260	484	472	-400	31.42	31.42	(22+23)-VIII-2	16
3	1879	-4043	900	524	506	-342	31.42	31.42	(22+23)-IV-4	16
4	-857	-2384	284	498	565	-138	31.42	31.42	(22+23)-VIII-2	20
5	-4302	-2468	2364	527	442	-330	31.42	31.42	(22+23)-VIII-2	17
6	-2049	-2022	543	627	503	-321	31.42	31.42	(22+23)-VIII-2	15
7	2602	-545	-1386	690	597	-305	31.42	31.42	(22+23)-IV-4	13
8	749	-816	-883	706	766	-200	31.42	31.42	(22+23)-VIII-2	14
9	-890	-2060	66	-628	25	-133	31.42	31.42	(22+23)-VIII-3	18
10	3944	-1750	-865	-681	64	-147	31.42	31.42	(22+23)-VIII-3	16
11	3117	2509	-1735	866	619	-215	31.42	31.42	(22+23)-IV-4	12
12	7446	2988	-2169	936	902	-191	31.42	31.42	(22+23)-IV-4	11
13	664	-2264	-1209	-712	47	15	31.42	31.42	(22+23)-VIII-3	19
14	-1797	4160	716	713	471	163	31.42	31.42	(22+23)-VIII-2	16
15	3725	5114	-497	884	587	162	31.42	31.42	(22+23)-IV-4	13
16	16646	2913	-1963	1104	771	-63	31.42	31.42	(22+23)-IV-4	10
Massimi/minimi										

Pannello	Nx	Ny	Nxy	Mx	My	Mxy	Ax	Ay	C	Cs
1							31.42			
1								31.42		
16										10

Muro :103 - Nodi : [10 - 10 - 880 - 885]:Verificato

Pann.X=4 Pann.Y=4 Spess.= 30 cm Criterio CLS_Muri_Esist Materiale: C20/25rcm=200
[kg/cmq],fym=4200 [kg/cmq], FC=1.20 qd=2.5, qf=1.5 :

Armatura a maglia doppia

Pannello	Nx	Ny	Nxy	Mx	My	Mxy	Ax	Ay	C	Cs
	kg	kg	kg	kg*m	kg*m	kg*m	cmq	cmq		
1	-9704	-3244	-5283	453	239	325	31.42	31.42	(22+23)-VIII-2	19
2	-8601	-5579	-2227	-52	-378	-210	31.42	31.42	(22+23)-IV-1	24
3	-6742	-5101	-720	-38	-494	95	31.42	31.42	(22+23)-IV-1	24
4	-5423	-4997	-251	-28	-621	13	31.42	31.42	(22+23)-VIII-3	23
5	-9479	-2575	-241	-161	-22	143	31.42	31.42	(22+23)-IV-3	49
6	-11455	-1818	-1815	-135	-161	162	31.42	31.42	(22+23)-IV-3	43
7	-10536	-3051	-1405	-121	-356	98	31.42	31.42	(22+23)-VIII-3	31
8	-10417	-4116	2343	-93	-498	128	31.42	31.42	(22+23)-IV-1	23
9	-10152	-2904	66	-125	-25	187	31.42	31.42	(22+23)-IV-3	48
10	-13327	-2448	3060	-107	-158	223	31.42	31.42	(22+23)-IV-3	37
11	-12104	-4438	3188	-85	-311	208	31.42	31.42	(22+23)-IV-3	27
12	-11232	-6357	1902	-79	-470	121	31.42	31.42	(22+23)-VIII-3	25
13	-25084	-7464	11142	168	-102	229	31.42	31.42	(22+23)-IV-3	42
14	-13250	-12280	8927	104	-162	212	31.42	31.42	(22+23)-IV-3	41
15	-8735	-12132	6093	61	-279	209	31.42	31.42	(22+23)-VIII-3	31
16	-7506	-12023	3538	28	-463	183	31.42	31.42	(22+23)-VIII-3	23
Massimi/minimi										
1							31.42			
1								31.42		
1										19

Muro :104 - Nodi : [10 - 10 - 889 - 891]:Verificato

Pann.X=4 Pann.Y=4 Spess.= 30 cm Criterio CLS_Muri_Esist Materiale: C20/25rcm=200
[kg/cmq],fym=4200 [kg/cmq], FC=1.20 qd=2.5, qf=1.5 :

Armatura a maglia doppia

Pannello	Nx	Ny	Nxy	Mx	My	Mxy	Ax	Ay	C	Cs
	kg	kg	kg	kg*m	kg*m	kg*m	cmq	cmq		
1	3853	-1171	-3460	438	201	317	31.42	31.42	(22+23)-IV-4	18
2	-3666	-1682	-4083	422	228	307	31.42	31.42	(22+23)-IV-4	19
3	-3510	-2495	-3534	420	235	246	31.42	31.42	(22+23)-IV-4	21
4	15803	-6059	-6127	-377	224	37	31.42	31.42	(22+23)-VII-1	28
5	19301	-4334	-595	610	-5	-78	31.42	31.42	(22+23)-VIII-3	17
6	9749	-1533	-2339	614	-8	-101	31.42	31.42	(22+23)-VIII-3	18
7	1606	-2027	-2786	619	-3	-102	31.42	31.42	(22+23)-VIII-3	19
8	-14666	-815	-1919	-678	102	53	31.42	31.42	(22+23)-VIII-2	21
9	17374	-4256	562	502	-3	-72	31.42	31.42	(22+23)-VIII-3	20
10	8140	-1483	2353	509	-9	-117	31.42	31.42	(22+23)-VIII-3	20
11	1349	-1993	2852	515	-7	-114	31.42	31.42	(22+23)-VIII-3	22
12	-13905	-735	1754	-599	98	-17	31.42	31.42	(22+23)-IV-4	25
13	12622	-2959	1249	323	166	-273	31.42	31.42	(22+23)-VII-2	20
14	-4299	-1722	4096	107	238	-337	31.42	31.42	(22+23)-VIII-2	24
15	-2625	-3557	5064	96	265	-279	31.42	31.42	(22+23)-IV-4	26
16	13068	-4983	5349	-340	188	-59	31.42	31.42	(22+23)-III-3	30
Massimi/minimi										
1							31.42			
1								31.42		
5										17

Muro :105 - Nodi : [891 - 20 - 886 - 10]:Verificato

Pann.X=4 Pann.Y=4 Spess.= 30 cm Criterio CLS_Muri_Esist Materiale: C20/25rcm=200
[kg/cmq],fym=4200 [kg/cmq], FC=1.20 qd=2.5, qf=1.5 :

Armatura a maglia doppia

Pannello	Nx	Ny	Nxy	Mx	My	Mxy	Ax	Ay	C	Cs
	kg	kg	kg	kg*m	kg*m	kg*m	cmq	cmq		
1	16503	-6780	-1719	132	685	73	31.42	31.42	2	19
2	1099	-4524	-1474	415	512	340	31.42	31.42	(22+23)-IV-4	17
3	-5425	-7553	-2001	201	529	431	31.42	31.42	(22+23)-VIII-2	15
4	-832	-7920	-2530	431	542	448	31.42	31.42	(22+23)-IV-4	15
5	15824	-4983	-413	201	1041	46	31.42	31.42	2	13
6	7633	-5980	-3	231	991	87	31.42	31.42	2	13
7	-4569	-2914	-485	326	655	435	31.42	31.42	(22+23)-VIII-2	13
8	-9087	-3566	-2588	306	593	501	31.42	31.42	(22+23)-VIII-2	13
9	13835	-2652	-273	377	1681	24	31.42	31.42	2	8.2
10	7705	-2978	333	352	1317	70	31.42	31.42	2	10
11	1569	-3098	-220	294	1043	203	31.42	31.42	2	11
12	-2962	-1614	-1477	662	626	434	31.42	31.42	(22+23)-IV-4	13
13	14101	1203	-2564	642	2141	-293	31.42	31.42	2	5.6
14	6976	1964	-85	470	2113	-151	31.42	31.42	2	6.0
15	1744	724	954	342	1406	121	31.42	31.42	2	8.9
16	-3995	956	-232	820	521	316	31.42	31.42	(22+23)-VIII-2	12
Massimi/minimi										
1							31.42			
1								31.42		
13										5.6

Muro :106 - Nodi : [10 - 886 - 879 - 10]:Verificato

Pann.X=4 Pann.Y=4 Spess.= 30 cm Criterio CLS_Muri_Esist Materiale: C20/25rcm=200
[kg/cmq],fym=4200 [kg/cmq], FC=1.20 qd=2.5, qf=1.5 :

Armatura a maglia doppia

Pannello	Nx	Ny	Nxy	Mx	My	Mxy	Ax	Ay	C	Cs
	kg	kg	kg	kg*m	kg*m	kg*m	cmq	cmq		
1	-3234	-10534	-3394	248	577	444	31.42	31.42	(22+23)-IV-4	15
2	-1765	-4923	-208	4	192	188	31.42	31.42	(22+23)-VIII-2	38
3	-1178	-2868	-628	6	-83	139	31.42	31.42	(22+23)-V-1	63
4	-7301	-32991	12192	65	174	-195	31.42	31.42	(22+23)-V-4	48
5	-6084	-5502	-4635	327	432	389	31.42	31.42	(22+23)-VIII-2	18
6	-1181	-6656	-2130	125	152	214	31.42	31.42	(22+23)-VIII-2	40
7	-1447	-5593	-1499	-81	-75	165	31.42	31.42	(22+23)-V-1	56
8	-13844	-19610	10089	21	140	-191	31.42	31.42	(22+23)-VII-3	48
9	-3090	-3558	-2676	422	325	310	31.42	31.42	(22+23)-IV-4	19
10	-2922	-11905	-1597	-240	-96	-171	31.42	31.42	(22+23)-VIII-3	34
11	-2604	-6828	-3816	-172	-69	156	31.42	31.42	(22+23)-V-1	43
12	-2592	-4968	1110	-139	21	111	31.42	31.42	(22+23)-VII-1	56
13	-4756	-6594	901	-524	-14	-191	31.42	31.42	(22+23)-VIII-3	20
14	-4430	-10123	-3775	-361	-78	161	31.42	31.42	(22+23)-IV-1	27
15	-4817	-7146	-4063	-277	-71	170	31.42	31.42	(22+23)-VII-1	32
16	-5556	-5013	440	-242	-20	144	31.42	31.42	(22+23)-VII-1	37
Massimi/minimi										
1							31.42			
1								31.42		
1										15

Muro :107 - Nodi : [892 - 5 - 879 - 10]:Verificato

Pann.X=4 Pann.Y=4 Spess.= 30 cm Criterio CLS_Muri_Esist Materiale: C20/25rcm=200
[kg/cmq],fym=4200 [kg/cmq], FC=1.20 qd=2.5, qf=1.5 :

Armatura a maglia doppia

Pannello	Nx	Ny	Nxy	Mx	My	Mxy	Ax	Ay	C	Cs
	kg	kg	kg	kg*m	kg*m	kg*m	cmq	cmq		
1	-1943	-10521	-8327	41	381	222	31.42	31.42	(22+23)-VI-3	25
2	-4653	-12821	-8739	30	334	237	31.42	31.42	(22+23)-VI-3	27
3	-7724	-15225	-7432	13	306	231	31.42	31.42	(22+23)-VI-3	29
4	-14745	-16977	-5200	2	298	176	31.42	31.42	(22+23)-VI-3	33
5	-224	-8722	-6926	41	407	214	31.42	31.42	(22+23)-IV-3	24
6	1108	-10357	-6469	20	313	208	31.42	31.42	(22+23)-IV-3	29
7	-3263	-11845	-3835	25	215	229	31.42	31.42	(22+23)-VIII-1	34
8	-4799	-13548	-5235	-33	165	215	31.42	31.42	(22+23)-VIII-1	40
9	-3481	-6498	-2412	27	351	215	31.42	31.42	(22+23)-VIII-1	26
10	-2205	-7263	-2625	-24	240	204	31.42	31.42	(22+23)-VIII-1	33
11	-3532	-7824	-2702	-70	155	186	31.42	31.42	(22+23)-VIII-1	43
12	-14058	-8237	-3327	-117	109	162	31.42	31.42	(22+23)-IV-1	54
13	-2460	-3882	-990	-26	250	112	31.42	31.42	(22+23)-IV-1	39
14	-5864	-5497	-1391	-139	191	94	31.42	31.42	(22+23)-IV-1	50
15	-8766	-6282	-1108	-234	116	96	31.42	31.42	(22+23)-VIII-1	45
16	-10472	-6870	-1452	-303	42	94	31.42	31.42	(22+23)-VIII-1	38
Massimi/minimi										
1							31.42			
1								31.42		
5										24

Muro :108 - Nodi : [892 - 10 - 10 - 895]:Verificato

Pann.X=4 Pann.Y=4 Spess.= 30 cm Criterio CLS_Muri_Esist Materiale: C20/25rcm=200
[kg/cmq],fym=4200 [kg/cmq], FC=1.20 qd=2.5, qf=1.5 :

Armatura a maglia doppia

Pannello	Nx	Ny	Nxy	Mx	My	Mxy	Ax	Ay	C	Cs
	kg	kg	kg	kg*m	kg*m	kg*m	cmq	cmq		
1	-8648	-1828	11733	259	37	-224	31.42	31.42	(22+23)-II-3	31
2	-5269	2106	5621	130	28	-164	31.42	31.42	(22+23)-VI-3	49
3	-3089	1084	2651	81	16	223	31.42	31.42	(22+23)-II-2	46
4	-10097	-2198	-14290	263	36	239	31.42	31.42	(22+23)-VIII-1	30
5	-6839	-3466	11555	217	42	-250	31.42	31.42	(22+23)-VI-3	31
6	-2082	8098	4861	86	46	-171	31.42	31.42	(22+23)-VI-3	54
7	-2096	9403	-7140	81	44	218	31.42	31.42	(22+23)-VIII-1	47
8	-623	-750	-1862	236	23	288	31.42	31.42	(22+23)-VI-2	26
9	-5060	-6393	10316	179	55	-280	31.42	31.42	(22+23)-VI-3	31
10	-2214	14900	3081	39	67	-169	31.42	31.42	(22+23)-VI-3	51
11	-2228	16503	-4567	39	63	214	31.42	31.42	(22+23)-VIII-1	42
12	-501	-3078	-1592	188	34	316	31.42	31.42	(22+23)-II-2	27
13	192	-10597	8303	144	70	-255	31.42	31.42	(22+23)-VI-3	34
14	-6623	27064	-805	-15	75	-101	31.42	31.42	(22+23)-VIII-3	59
15	-4005	14104	-286	-22	43	146	31.42	31.42	(22+23)-VI-2	64
16	-801	-5530	-394	155	44	282	31.42	31.42	(22+23)-II-2	32
Massimi/minimi										
1							31.42			
1								31.42		
8										26

Muro :109 - Nodi : [895 - 10 - 878 - 6]:Verificato

Pann.X=4 Pann.Y=4 Spess.= 30 cm Criterio CLS_Muri_Esist Materiale: C20/25rcm=200
[kg/cmq],fym=4200 [kg/cmq], FC=1.20 qd=2.5, qf=1.5 :

Armatura a maglia doppia

Pannello	Nx	Ny	Nxy	Mx	My	Mxy	Ax	Ay	C	Cs
	kg	kg	kg	kg*m	kg*m	kg*m	cmq	cmq		
1	-11763	-1411	-9211	420	53	228	31.42	31.42	2	23
2	-9860	-2087	-5828	454	51	220	31.42	31.42	2	22

Pannello	Nx	Ny	Nxy	Mx	My	Mxy	Ax	Ay	C	Cs
3	-3702	39	-4980	378	20	247	31.42	31.42	(22+23)-II-2	23
4	-3034	-2043	2258	229	7	186	31.42	31.42	(22+23)-V-4	34
5	-3857	4361	-4247	365	-5	284	31.42	31.42	(22+23)-VI-2	22
6	-4741	2812	-3534	339	3	266	31.42	31.42	(22+23)-VI-2	24
7	-4042	1006	-4961	269	-19	237	31.42	31.42	(22+23)-II-2	28
8	-4255	-4232	2073	176	-25	171	31.42	31.42	(22+23)-V-4	41
9	-8030	-41	-3208	338	-34	257	31.42	31.42	(22+23)-VI-4	25
10	-5846	-1340	-993	280	-10	253	31.42	31.42	(22+23)-VI-4	27
11	-4124	-1409	-132	193	-11	226	31.42	31.42	(22+23)-VI-4	34
12	-5697	-2975	-5641	93	-209	-98	31.42	31.42	(22+23)-V-1	46
13	-5117	8204	-1761	296	-63	225	31.42	31.42	(22+23)-II-2	28
14	-6125	-2251	-1234	242	-36	243	31.42	31.42	(22+23)-VI-4	30
15	-3992	-1903	-351	139	-29	209	31.42	31.42	(22+23)-VI-4	41
16	-5187	-4108	-3981	28	-274	-115	31.42	31.42	(22+23)-V-1	36
Massimi/minimi										
1							31.42			
1								31.42		
5										22

Muro :110 - Nodi : [10 - 886 - 20 - 893]:Verificato

Pann.X=4 Pann.Y=4 Spess.= 30 cm Criterio CLS_Muri_Esist Materiale: C20/25rcm=200
[kg/cmq],fym=4200 [kg/cmq], FC=1.20 qd=2.5, qf=1.5 :

Armatura a maglia doppia

Pannello	Nx	Ny	Nxy	Mx	My	Mxy	Ax	Ay	C	Cs
	kg	kg	kg	kg*m	kg*m	kg*m	cmq	cmq		
1	-10111	-6323	2619	726	593	-643	31.42	31.42	(22+23)-VIII-2	11
2	-1411	-4617	2274	671	573	-628	31.42	31.42	(22+23)-VIII-2	11
3	-2406	-4213	2077	669	573	-527	31.42	31.42	(22+23)-VIII-2	12
4	10499	-6416	2111	226	778	-119	31.42	31.42	2	16
5	-4740	-4434	1451	729	599	-631	31.42	31.42	(22+23)-VIII-2	11
6	-972	-3792	2274	824	707	-582	31.42	31.42	(22+23)-VIII-2	9.8
7	-1216	-3156	2385	879	832	-513	31.42	31.42	(22+23)-VIII-2	10.0
8	-3907	-2345	-593	856	971	-316	31.42	31.42	(22+23)-VIII-2	11
9	-2141	-1582	812	832	599	-459	31.42	31.42	(22+23)-VIII-2	11
10	365	-1408	1416	980	768	-458	31.42	31.42	(22+23)-VIII-2	9.5
11	-385	-1178	1257	1127	1016	-419	31.42	31.42	(22+23)-VIII-2	8.9
12	9993	-2985	-703	475	1920	-91	31.42	31.42	2	7.0
13	52	-3916	-1519	-780	152	143	31.42	31.42	(22+23)-IV-1	15
14	1777	870	-1282	139	1366	-21	31.42	31.42	2	9.8
15	5828	1270	-334	315	2106	191	31.42	31.42	2	5.9
16	9518	1259	398	500	2257	212	31.42	31.42	2	5.5
Massimi/minimi										
1							31.42			
1								31.42		
16										5.5

Muro :111 - Nodi : [893 - 894 - 10 - 10]:Verificato

Pann.X=4 Pann.Y=4 Spess.= 30 cm Criterio CLS_Muri_Esist Materiale: C20/25rcm=200
[kg/cmq],fym=4200 [kg/cmq], FC=1.20 qd=2.5, qf=1.5 :

Armatura a maglia doppia

Pannello	Nx	Ny	Nxy	Mx	My	Mxy	Ax	Ay	C	Cs
	kg	kg	kg	kg*m	kg*m	kg*m	cmq	cmq		
1	-13792	-1763	1763	436	154	-57	31.42	31.42	(22+23)-V-1	31
2	-4804	-3528	3053	427	252	-400	31.42	31.42	(22+23)-VI-2	17
3	-901	-2589	3308	453	250	-471	31.42	31.42	(22+23)-VI-2	15
4	18420	-2985	1137	533	206	-351	31.42	31.42	(22+23)-V-2	13
5	-19387	-1426	-2547	-661	73	-120	31.42	31.42	(22+23)-VIII-2	21
6	-7881	-1454	-2771	-656	55	-247	31.42	31.42	(22+23)-VIII-2	16

Pannello	Nx	Ny	Nxy	Mx	My	Mxy	Ax	Ay	C	Cs
7	2037	-1138	-2312	-632	23	-251	31.42	31.42	(22+23)-VIII-2	15
8	10615	-4606	-1007	-616	-34	-156	31.42	31.42	(22+23)-VIII-2	16
9	-12306	-529	-5618	-853	40	60	31.42	31.42	(22+23)-VIII-2	17
10	-7524	-897	-7342	-853	71	104	31.42	31.42	(22+23)-VIII-2	15
11	11411	-1536	822	704	-7	-122	31.42	31.42	(22+23)-VIII-3	15
12	22509	-3229	495	698	-11	-95	31.42	31.42	(22+23)-VIII-3	14
13	-743	-5945	-3613	-601	195	61	31.42	31.42	(22+23)-VIII-2	21
14	-1433	-4313	-6401	-578	254	167	31.42	31.42	(22+23)-VI-2	19
15	-5188	-2151	-5351	-526	212	251	31.42	31.42	(22+23)-II-4	18
16	-7231	-257	-6831	-542	189	231	31.42	31.42	(22+23)-VI-2	19
Massimi/minimi										
1							31.42			
1								31.42		
4										13

Muro :112 - Nodi : [894 - 28 - 887 - 10]:**Verificato**

Pann.X=4 Pann.Y=4 Spess.= 30 cm Criterio CLS_Muri_Esist Materiale: C20/25rcm=200
[kg/cmq],fym=4200 [kg/cmq], FC=1.20 qd=2.5, qf=1.5 :

Armatura a maglia doppia

Pannello	Nx	Ny	Nxy	Mx	My	Mxy	Ax	Ay	C	Cs
	kg	kg	kg	kg*m	kg*m	kg*m	cmq	cmq		
1	18208	-6835	-1466	-56	756	57	31.42	31.42	2	18
2	7806	-8890	-2986	-44	760	78	31.42	31.42	2	18
3	-776	-13408	-3346	-80	739	172	31.42	31.42	2	17
4	-13161	-16099	-2930	-71	702	221	31.42	31.42	2	17
5	16496	-3989	397	8	1171	19	31.42	31.42	2	12
6	8098	-4865	811	47	1107	28	31.42	31.42	2	13
7	234	-5553	264	26	970	147	31.42	31.42	2	13
8	-5781	-6948	-2236	4	817	219	31.42	31.42	2	14
9	13915	-1755	348	191	2009	22	31.42	31.42	2	6.9
10	8593	-1581	703	176	1506	5	31.42	31.42	2	9.2
11	2867	-1648	-224	100	1184	140	31.42	31.42	2	11
12	-1985	-1964	-1226	47	891	207	31.42	31.42	2	13
13	14573	3082	-2627	356	2584	-332	31.42	31.42	2	4.6
14	8412	5240	-774	164	2509	-271	31.42	31.42	2	4.7
15	2942	4364	670	38	1664	35	31.42	31.42	2	7.8
16	111	-4449	2096	-880	183	-98	31.42	31.42	(22+23)-IV-1	14
Massimi/minimi										
1							31.42			
1								31.42		
13										4.6

Muro :113 - Nodi : [10 - 879 - 886 - 10]:**Verificato**

Pann.X=4 Pann.Y=4 Spess.= 30 cm Criterio CLS_Muri_Esist Materiale: C20/25rcm=200
[kg/cmq],fym=4200 [kg/cmq], FC=1.20 qd=2.5, qf=1.5 :

Armatura a maglia doppia

Pannello	Nx	Ny	Nxy	Mx	My	Mxy	Ax	Ay	C	Cs
	kg	kg	kg	kg*m	kg*m	kg*m	cmq	cmq		
1	-1446	-2245	240	-52	167	-164	31.42	31.42	(22+23)-VII-4	42
2	-2517	-15677	-1081	-36	-128	141	31.42	31.42	(22+23)-IV-1	58
3	-236	-7770	-645	8	198	-281	31.42	31.42	(22+23)-VIII-2	31
4	-1046	-5520	-966	395	613	-666	31.42	31.42	(22+23)-VIII-2	11
5	-274	-4241	-210	-69	89	-146	31.42	31.42	(22+23)-VII-4	60
6	-3049	-17130	-6663	-115	-95	158	31.42	31.42	(22+23)-VIII-1	52
7	-1100	-8032	-2488	176	141	-285	31.42	31.42	(22+23)-VIII-2	30
8	721	-5697	-1188	468	416	-489	31.42	31.42	(22+23)-VIII-2	14
9	-13627	-10397	-6912	-184	6	138	31.42	31.42	(22+23)-VIII-1	48
10	-5054	-13055	-7314	-246	-85	146	31.42	31.42	(22+23)-VIII-1	36

Pannello	Nx	Ny	Nxy	Mx	My	Mxy	Ax	Ay	C	Cs
11	-4074	-10521	4283	-367	-96	125	31.42	31.42	(22+23)-IV-3	29
12	-289	-3631	-1771	516	295	-265	31.42	31.42	(22+23)-VIII-2	18
13	-6405	-7686	73	-362	-29	-83	31.42	31.42	(22+23)-VII-3	33
14	-6105	-10062	-6147	-387	-87	131	31.42	31.42	(22+23)-VIII-1	28
15	-4866	-9846	-4754	-543	-98	156	31.42	31.42	(22+23)-IV-1	20
16	-2030	-6660	-2664	-701	-32	157	31.42	31.42	(22+23)-IV-1	16
Massimi/minimi										
1							31.42			
1								31.42		
4										11

Muro :114 - Nodi : [878 - 10 - 10 - 887]:Verificato

Pann.X=4 Pann.Y=4 Spess.= 30 cm Criterio CLS_Muri_Esist Materiale: C20/25rcm=200
[kg/cmq],fym=4200 [kg/cmq], FC=1.20 qd=2.5, qf=1.5 :

Armatura a maglia doppia

Pannello	Nx	Ny	Nxy	Mx	My	Mxy	Ax	Ay	C	Cs
	kg	kg	kg	kg*m	kg*m	kg*m	cmq	cmq		
1	-5249	-6035	28	-340	-30	148	31.42	31.42	(22+23)-V-1	29
2	-6980	-10330	1518	-396	-105	-156	31.42	31.42	(22+23)-II-1	26
3	-5225	-9862	-70	-535	-109	-169	31.42	31.42	(22+23)-II-1	20
4	-2814	-7484	1424	-763	-50	-104	31.42	31.42	(22+23)-IV-1	16
5	-2342	-5680	876	-185	-10	126	31.42	31.42	(22+23)-V-1	45
6	-5098	-11601	2409	-257	-98	-148	31.42	31.42	(22+23)-II-1	35
7	-4124	-10551	-1259	-340	-121	-154	31.42	31.42	(22+23)-II-1	29
8	-7096	328	-4517	307	359	245	31.42	31.42	(22+23)-IV-4	23
9	2380	-2501	-1338	-76	140	116	31.42	31.42	(22+23)-V-2	55
10	-2907	-13153	2866	-124	-108	-148	31.42	31.42	(22+23)-II-1	52
11	-2537	-11924	-4416	-176	-129	-163	31.42	31.42	(22+23)-II-1	41
12	-8473	-4392	-6659	210	435	295	31.42	31.42	(22+23)-IV-4	20
13	-66	1975	-2443	-52	241	138	31.42	31.42	(22+23)-V-2	36
14	-1445	-11137	341	-28	-121	-136	31.42	31.42	(22+23)-II-1	59
15	-905	-7170	-556	16	176	170	31.42	31.42	(22+23)-II-4	42
16	-6766	-10507	-8840	149	546	334	31.42	31.42	(22+23)-VIII-4	17
Massimi/minimi										
1							31.42			
1								31.42		
4										16

Muro :115 - Nodi : [896 - 6 - 878 - 10]:Verificato

Pann.X=4 Pann.Y=4 Spess.= 30 cm Criterio CLS_Muri_Esist Materiale: C20/25rcm=200
[kg/cmq],fym=4200 [kg/cmq], FC=1.20 qd=2.5, qf=1.5 :

Armatura a maglia doppia

Pannello	Nx	Ny	Nxy	Mx	My	Mxy	Ax	Ay	C	Cs
	kg	kg	kg	kg*m	kg*m	kg*m	cmq	cmq		
1	-2083	-12431	-10285	50	401	328	31.42	31.42	(22+23)-VI-3	21
2	5819	-7204	-8613	9	363	278	31.42	31.42	(22+23)-VII-3	23
3	9649	-7293	-6965	-70	338	276	31.42	31.42	(22+23)-VII-3	24
4	13764	-8700	-5397	-74	332	236	31.42	31.42	(22+23)-VII-3	26
5	-2653	-9991	-6729	48	421	344	31.42	31.42	(22+23)-VI-3	19
6	-5574	-11856	-6296	26	333	343	31.42	31.42	(22+23)-VI-3	22
7	1569	-8014	-5964	-20	251	288	31.42	31.42	(22+23)-V-3	27
8	5519	-6981	-4767	-62	242	253	31.42	31.42	(22+23)-VII-3	29
9	-2721	-7557	-4949	30	388	327	31.42	31.42	(22+23)-VI-3	20
10	-5582	-8515	-4744	-23	271	312	31.42	31.42	(22+23)-VI-3	25
11	-8267	-9007	-4536	-74	167	292	31.42	31.42	(22+23)-VI-3	32
12	-10122	-8886	-4765	-126	75	270	31.42	31.42	(22+23)-VI-3	38
13	-3012	-5497	-990	-17	238	242	31.42	31.42	(22+23)-VI-1	30
14	-6313	-5913	-1371	-111	193	213	31.42	31.42	(22+23)-II-1	36

Pannello	Nx	Ny	Nxy	Mx	My	Mxy	Ax	Ay	C	Cs
15	-9059	-6759	-1297	-186	124	211	31.42	31.42	(22+23)-VI-1	37
16	-10799	-7042	-2110	-254	56	201	31.42	31.42	(22+23)-VI-1	33
Massimi/minimi										
1							31.42			
1								31.42		
5										19

Muro :116 - Nodi : [898 - 896 - 10 - 10]:**Verificato**

Pann.X=4 Pann.Y=4 Spess.= 30 cm Criterio CLS_Muri_Esist Materiale: C20/25rcm=200
[kg/cmq],fym=4200 [kg/cmq], FC=1.20 qd=2.5, qf=1.5 :

Armatura a maglia doppia

Pannello	Nx	Ny	Nxy	Mx	My	Mxy	Ax	Ay	C	Cs
	kg	kg	kg	kg*m	kg*m	kg*m	cmq	cmq		
1	1750	-3284	3646	18	173	-189	31.42	31.42	(22+23)-VIII-2	39
2	5965	-2159	4041	22	138	-194	31.42	31.42	(22+23)-IV-2	42
3	-982	-4358	10504	87	112	-206	31.42	31.42	(22+23)-IV-1	45
4	-1947	1967	8038	120	94	-191	31.42	31.42	(22+23)-IV-1	45
5	3051	-5650	4285	21	104	143	31.42	31.42	(22+23)-VIII-1	58
6	11050	-2341	3735	37	71	141	31.42	31.42	(22+23)-VIII-1	66
7	19891	-2463	2319	56	33	136	31.42	31.42	(22+23)-VIII-1	59
8	30172	-5420	545	64	5	97	31.42	31.42	(22+23)-VIII-1	63
9	2043	-5103	-10924	27	126	210	31.42	31.42	(22+23)-VIII-1	43
10	7802	-2063	-9509	41	82	218	31.42	31.42	(22+23)-VIII-1	47
11	14528	-2175	-6160	63	34	215	31.42	31.42	(22+23)-VIII-1	43
12	27205	-5488	-822	66	-23	134	31.42	31.42	(22+23)-IV-3	52
13	-1256	-1760	-1519	19	270	228	31.42	31.42	(22+23)-VI-4	28
14	-712	-7924	-14573	55	240	252	31.42	31.42	2	30
15	10291	-5845	-12647	71	185	304	31.42	31.42	(22+23)-IV-3	30
16	16941	-2683	-10913	110	149	279	31.42	31.42	(22+23)-II-3	30
Massimi/minimi										
1							31.42			
1								31.42		
13										28

Muro :117 - Nodi : [7 - 898 - 10 - 823]:**Verificato**

Pann.X=4 Pann.Y=4 Spess.= 30 cm Criterio CLS_Muri_Esist Materiale: C20/25rcm=200
[kg/cmq],fym=4200 [kg/cmq], FC=1.20 qd=2.5, qf=1.5 :

Armatura a maglia doppia

Pannello	Nx	Ny	Nxy	Mx	My	Mxy	Ax	Ay	C	Cs
	kg	kg	kg	kg*m	kg*m	kg*m	cmq	cmq		
1	-659	-3389	-5180	13	238	-411	31.42	31.42	(22+23)-VI-3	22
2	-637	-3198	-4807	8	145	-404	31.42	31.42	(22+23)-VI-3	26
3	-622	-2799	-3796	12	93	-391	31.42	31.42	(22+23)-VI-3	29
4	-2091	-1123	-1707	146	64	-296	31.42	31.42	(22+23)-VIII-3	32
5	-2005	-8478	-6371	59	257	-433	31.42	31.42	(22+23)-VI-3	21
6	-3674	-9376	-5901	29	175	-453	31.42	31.42	(22+23)-VI-3	24
7	-5198	-9827	-4642	33	127	-455	31.42	31.42	(22+23)-VI-3	26
8	-5970	-10095	-1289	35	104	-453	31.42	31.42	(22+23)-VI-3	27
9	-1303	-13102	-1747	44	271	-306	31.42	31.42	(22+23)-II-1	26
10	-4650	-15755	-4011	95	192	-370	31.42	31.42	(22+23)-VI-3	28
11	-8516	-17241	-3522	138	171	-396	31.42	31.42	(22+23)-VI-3	28
12	-11048	-20412	-22	16	165	-431	31.42	31.42	(22+23)-VI-3	27
13	-836	-14783	8350	46	290	-223	31.42	31.42	(22+23)-VI-1	30
14	-928	-19468	8461	103	263	-248	31.42	31.42	(22+23)-VI-1	31
15	-8230	-28454	6359	211	197	-298	31.42	31.42	(22+23)-VI-3	29
16	-18523	-34466	3410	323	199	-317	31.42	31.42	(22+23)-VI-3	25
Massimi/minimi										

Pannello	Nx	Ny	Nxy	Mx	My	Mxy	Ax	Ay	C	Cs
1							31.42			
1								31.42		
5										21

Muro :118 - Nodi : [10 - 878 - 887 - 10]:**Verificato**

Pann.X=4 Pann.Y=4 Spess.= 30 cm Criterio CLS_Muri_Esist Materiale: C20/25rcm=200
[kg/cmq],fym=4200 [kg/cmq], FC=1.20 qd=2.5, qf=1.5 :

Armatura a maglia doppia

Pannello	Nx	Ny	Nxy	Mx	My	Mxy	Ax	Ay	C	Cs
	kg	kg	kg	kg*m	kg*m	kg*m	cmq	cmq		
1	-307	-1578	1064	-48	238	-198	31.42	31.42	(22+23)-VI-4	32
2	-1883	-15095	-399	-55	-191	292	31.42	31.42	(22+23)-VI-3	32
3	-799	-6892	-232	19	282	-375	31.42	31.42	(22+23)-VI-2	22
4	-3364	-11570	2940	304	687	-699	31.42	31.42	(22+23)-VI-2	11
5	-10627	-14852	-7392	-97	40	286	31.42	31.42	(22+23)-VI-3	39
6	-3131	-16322	-3358	-179	-166	307	31.42	31.42	(22+23)-VI-3	29
7	-2823	-15864	5263	-285	-203	414	31.42	31.42	(22+23)-VI-3	20
8	-2855	-3867	1050	400	518	-601	31.42	31.42	(22+23)-VI-2	13
9	-10437	-10591	-5032	-226	-15	242	31.42	31.42	(22+23)-VI-3	32
10	-5370	-13714	-3355	-360	-139	255	31.42	31.42	(22+23)-II-3	23
11	-4416	-13364	5186	-513	-169	346	31.42	31.42	(22+23)-VI-3	17
12	-4780	-7184	878	-720	-47	376	31.42	31.42	(22+23)-VI-3	13
13	-11562	-9379	-4009	-344	-36	193	31.42	31.42	(22+23)-VI-1	28
14	-6719	-11072	-2315	-536	-137	204	31.42	31.42	(22+23)-II-3	20
15	-5293	-10506	3466	-750	-129	252	31.42	31.42	(22+23)-II-3	14
16	-5651	-7020	-1628	-1081	-54	282	31.42	31.42	(22+23)-II-3	11
Massimi/minimi										
1							31.42			
1								31.42		
16										11

Muro :119 - Nodi : [10 - 887 - 28 - 897]:**Verificato**

Pann.X=4 Pann.Y=4 Spess.= 30 cm Criterio CLS_Muri_Esist Materiale: C20/25rcm=200
[kg/cmq],fym=4200 [kg/cmq], FC=1.20 qd=2.5, qf=1.5 :

Armatura a maglia doppia

Pannello	Nx	Ny	Nxy	Mx	My	Mxy	Ax	Ay	C	Cs
	kg	kg	kg	kg*m	kg*m	kg*m	cmq	cmq		
1	67	-8336	2084	485	608	-620	31.42	31.42	(22+23)-VI-2	12
2	-1002	-6713	1773	372	565	-594	31.42	31.42	(22+23)-VI-2	13
3	3486	-4613	1167	337	539	-499	31.42	31.42	(22+23)-VI-2	14
4	19922	-7023	1446	-59	784	-69	31.42	31.42	2	17
5	-4284	-3291	1885	561	672	-706	31.42	31.42	(22+23)-VI-2	10
6	-122	-2479	799	606	730	-631	31.42	31.42	(22+23)-VI-2	10
7	4098	-2319	694	622	772	-538	31.42	31.42	(22+23)-VI-2	11
8	17955	-4078	-702	-2	1194	-28	31.42	31.42	2	12
9	-1593	624	2218	832	743	-607	31.42	31.42	(22+23)-VI-2	9.7
10	1008	793	1380	926	878	-572	31.42	31.42	(22+23)-VI-2	9.1
11	4235	259	478	1023	1024	-477	31.42	31.42	(22+23)-VI-2	8.8
12	14775	-1711	-809	174	2021	-27	31.42	31.42	2	6.8
13	423	-3706	-3334	-1316	173	191	31.42	31.42	(22+23)-II-3	9.1
14	2990	4344	-1638	11	1666	-38	31.42	31.42	2	7.7
15	8530	5265	-37	143	2512	265	31.42	31.42	2	4.7
16	14745	3180	2113	334	2586	328	31.42	31.42	2	4.6
Massimi/minimi										
1							31.42			
1								31.42		
16										4.6

Muro :120 - Nodi : [10 - 10 - 897 - 899]:Verificato

Pann.X=4 Pann.Y=4 Spess.= 30 cm Criterio CLS_Muri_Esist Materiale: C20/25rcm=200
[kg/cmq],fym=4200 [kg/cmq], FC=1.20 qd=2.5, qf=1.5 :

Armatura a maglia doppia

Pannello	Nx	Ny	Nxy	Mx	My	Mxy	Ax	Ay	C	Cs
	kg	kg	kg	kg*m	kg*m	kg*m	cmq	cmq		
1	29017	-2679	910	830	92	207	31.42	31.42	(22+23)-V-3	9.8
2	9822	-30	-6719	930	119	-96	31.42	31.42	(22+23)-II-3	12
3	3025	-1101	-6377	942	139	-134	31.42	31.42	(22+23)-II-3	12
4	-94	-1128	-4271	972	226	-6	31.42	31.42	(22+23)-VI-3	14
5	26412	-2798	503	1276	-11	-27	31.42	31.42	(22+23)-II-3	8.1
6	11642	-1627	1547	1318	-17	-48	31.42	31.42	(22+23)-VI-3	9.0
7	1215	-2319	1879	1333	-16	-21	31.42	31.42	(22+23)-VI-3	10
8	-9729	-2737	1831	1316	77	-24	31.42	31.42	(22+23)-VI-3	11
9	22237	-2471	1110	1120	-12	-49	31.42	31.42	(22+23)-VI-1	9.4
10	11394	-1496	3738	1133	-4	-92	31.42	31.42	(22+23)-VI-1	10
11	2681	-2056	4475	1142	15	-89	31.42	31.42	(22+23)-VI-1	11
12	-3342	-2331	3333	1127	2	-47	31.42	31.42	(22+23)-VI-1	12
13	-3783	-106	5745	-441	209	-333	31.42	31.42	(22+23)-II-4	18
14	-8571	-2781	6278	-492	229	-337	31.42	31.42	(22+23)-II-4	18
15	-1796	-3620	5369	-544	262	-280	31.42	31.42	(22+23)-II-4	17
16	2728	-4028	3850	-609	196	-89	31.42	31.42	(22+23)-VIII-4	19
Massimi/minimi										
1							31.42			
1								31.42		
5										8.1

Muro :121 - Nodi : [899 - 30 - 829 - 10]:Verificato

Pann.X=4 Pann.Y=4 Spess.= 30 cm Criterio CLS_Muri_Esist Materiale: C20/25rcm=200
[kg/cmq],fym=4200 [kg/cmq], FC=1.20 qd=2.5, qf=1.5 :

Armatura a maglia doppia

Pannello	Nx	Ny	Nxy	Mx	My	Mxy	Ax	Ay	C	Cs
	kg	kg	kg	kg*m	kg*m	kg*m	cmq	cmq		
1	8748	-6701	-1549	300	722	114	31.42	31.42	2	17
2	-615	-5384	-3501	633	553	529	31.42	31.42	(22+23)-VI-4	12
3	-1995	-6255	-3030	595	572	634	31.42	31.42	(22+23)-VI-4	11
4	-2607	-10242	-1012	675	585	651	31.42	31.42	(22+23)-VIII-4	11
5	8593	-5240	1795	340	1191	108	31.42	31.42	2	11
6	79	-3942	2294	689	831	599	31.42	31.42	(22+23)-VI-4	9.9
7	-39	-4839	320	669	750	702	31.42	31.42	(22+23)-VI-4	9.8
8	-2032	-5285	1029	620	673	782	31.42	31.42	(22+23)-VI-4	9.9
9	5356	-3322	2866	439	2011	126	31.42	31.42	2	6.6
10	2832	-3663	4418	456	1594	189	31.42	31.42	2	7.9
11	-332	138	1495	647	908	690	31.42	31.42	(22+23)-II-2	8.6
12	-2031	170	960	593	717	734	31.42	31.42	(22+23)-II-2	9.4
13	1961	-2269	1423	430	2926	-29	31.42	31.42	2	4.7
14	844	-761	3508	352	2288	93	31.42	31.42	2	5.8
15	-379	-333	4616	345	1520	270	31.42	31.42	2	7.7
16	474	4650	827	855	678	386	31.42	31.42	(22+23)-II-4	11
Massimi/minimi										
1							31.42			
1								31.42		
13										4.7

Muro :122 - Nodi : [10 - 829 - 823 - 10]:Verificato

Pann.X=4 Pann.Y=4 Spess.= 30 cm Criterio CLS_Muri_Esist Materiale: C20/25rcm=200
[kg/cmq],fym=4200 [kg/cmq], FC=1.20 qd=2.5, qf=1.5 :

Armatura a maglia doppia

Pannello	Nx	Ny	Nxy	Mx	My	Mxy	Ax	Ay	C	Cs
	kg	kg	kg	kg*m	kg*m	kg*m	cmq	cmq		
1	-4691	-11159	-3405	352	698	752	31.42	31.42	(22+23)-VI-4	10
2	-1775	-11934	-653	26	298	422	31.42	31.42	(22+23)-VI-2	21
3	-278	-10232	-767	42	187	301	31.42	31.42	(22+23)-VI-2	31
4	-10792	-47426	10980	173	213	-508	31.42	31.42	(22+23)-VI-3	22
5	-3695	-6683	-413	453	516	672	31.42	31.42	(22+23)-VI-4	12
6	-700	-7845	-3258	204	234	452	31.42	31.42	(22+23)-VI-2	21
7	-1683	-24889	6526	30	29	-434	31.42	31.42	(22+23)-VI-3	30
8	-9682	-23246	5791	32	33	-452	31.42	31.42	(22+23)-VI-3	31
9	-2521	-1479	335	583	388	518	31.42	31.42	(22+23)-II-4	13
10	-670	-3204	-3154	290	142	405	31.42	31.42	(22+23)-VI-2	20
11	-1755	-8273	8040	157	67	-330	31.42	31.42	(22+23)-V-3	29
12	-6887	-7364	3667	127	83	-372	31.42	31.42	(22+23)-V-3	29
13	-89	3322	572	594	284	328	31.42	31.42	(22+23)-II-4	15
14	-845	2815	-2271	306	74	331	31.42	31.42	(22+23)-VI-2	22
15	-412	742	6255	199	32	-297	31.42	31.42	(22+23)-V-3	28
16	-1803	3319	2288	157	46	-292	31.42	31.42	(22+23)-V-3	31
Massimi/minimi										
1							31.42			
1								31.42		
1										10

Muro :123 - Nodi : [862 - 7 - 4 - 880]:Verificato

Pann.X=4 Pann.Y=4 Spess.= 30 cm Criterio CLS_Muri_Esist Materiale: C20/25rcm=200
[kg/cmq],fym=4200 [kg/cmq], FC=1.20 qd=2.5, qf=1.5 :

Armatura a maglia doppia

Pannello	Nx	Ny	Nxy	Mx	My	Mxy	Ax	Ay	C	Cs
	kg	kg	kg	kg*m	kg*m	kg*m	cmq	cmq		
1	-5443	-2095	-1105	-159	83	-189	31.42	31.42	(22+23)-VII-1	41
2	-7359	-864	-2111	-217	-28	-281	31.42	31.42	(22+23)-V-1	29
3	-6666	181	-2066	-206	-79	-224	31.42	31.42	(22+23)-VII-1	34
4	-7769	3638	-4223	-75	-108	169	31.42	31.42	(22+23)-VIII-3	48
5	-4652	-1936	-1436	-227	45	-192	31.42	31.42	(22+23)-VII-1	34
6	-7612	-828	-2445	-271	-35	-291	31.42	31.42	(22+23)-VII-1	26
7	-7065	92	-1330	-215	-18	269	31.42	31.42	(22+23)-I-4	30
8	-8309	3043	-4154	-67	-78	184	31.42	31.42	(22+23)-VIII-3	51
9	-4463	-1673	-1695	-335	-4	-187	31.42	31.42	(22+23)-V-1	27
10	-7957	-855	-2356	-321	-45	-280	31.42	31.42	(22+23)-VII-1	24
11	-7159	-70	-1479	-247	-27	269	31.42	31.42	(22+23)-I-4	28
12	-7746	1668	-3393	-90	-9	263	31.42	31.42	(22+23)-VII-3	42
13	-5007	-1077	-1854	-475	-48	-188	31.42	31.42	(22+23)-V-1	22
14	-9685	-1108	-2005	-377	-48	-262	31.42	31.42	(22+23)-VII-1	23
15	-7402	-461	-2531	-287	-27	270	31.42	31.42	(22+23)-V-4	26
16	-4710	182	-3454	-82	-3	253	31.42	31.42	(22+23)-VII-4	43
Massimi/minimi										
1							31.42			
1								31.42		
13										22

Muro :124 - Nodi : [862 - 880 - 885 - 855]:Verificato

Pann.X=4 Pann.Y=4 Spess.= 30 cm Criterio CLS_Muri_Esist Materiale: C20/25rcm=200
[kg/cmq],fym=4200 [kg/cmq], FC=1.20 qd=2.5, qf=1.5 :

Armatura a maglia doppia

Pannello	Nx	Ny	Nxy	Mx	My	Mxy	Ax	Ay	C	Cs
	kg	kg	kg	kg*m	kg*m	kg*m	cmq	cmq		
1	-1494	-7653	956	166	-68	188	31.42	31.42	(22+23)-III-1	39
2	-740	-7452	1156	295	39	194	31.42	31.42	(22+23)-III-1	28

Pannello	Nx	Ny	Nxy	Mx	My	Mxy	Ax	Ay	C	Cs
3	912	-7603	1669	430	142	189	31.42	31.42	(22+23)-III-1	22
4	7246	-9696	-1426	-547	-133	-144	31.42	31.42	(22+23)-IV-4	19
5	-511	-6382	1820	-16	-142	282	31.42	31.42	(22+23)-V-1	34
6	-21	-4445	1026	-110	-87	-269	31.42	31.42	(22+23)-V-4	36
7	-113	-3934	604	-133	-83	-265	31.42	31.42	(22+23)-I-4	34
8	865	-1985	2385	-218	-87	-211	31.42	31.42	(22+23)-VII-3	32
9	621	-5897	1354	-112	-170	245	31.42	31.42	(22+23)-VII-1	35
10	1362	-5093	588	-166	-108	244	31.42	31.42	(22+23)-III-1	33
11	1609	-3767	-287	-209	-73	245	31.42	31.42	(22+23)-III-1	30
12	2190	-2199	-977	-248	-61	246	31.42	31.42	(22+23)-III-1	27
13	3923	-7998	2540	-149	-59	-148	31.42	31.42	(22+23)-VIII-3	45
14	2457	-5881	910	-327	-93	112	31.42	31.42	(22+23)-III-1	31
15	2851	-5772	679	-427	-63	134	31.42	31.42	(22+23)-III-1	24
16	4455	-5931	-838	-527	-80	133	31.42	31.42	(22+23)-III-1	20
Massimi/minimi										
1							31.42			
1								31.42		
4										19

Muro :125 - Nodi : [855 - 885 - 12 - 8]:Verificato

Pann.X=4 Pann.Y=4 Spess.= 30 cm Criterio CLS_Muri_Esist Materiale: C20/25rcm=200
[kg/cmq],fym=4200 [kg/cmq], FC=1.20 qd=2.5, qf=1.5 :

Armatura a maglia doppia

Pannello	Nx	Ny	Nxy	Mx	My	Mxy	Ax	Ay	C	Cs
	kg	kg	kg	kg*m	kg*m	kg*m	cmq	cmq		
1	6997	-9767	2045	-636	-154	-130	31.42	31.42	(22+23)-IV-4	17
2	5832	-8551	3060	-671	-143	-127	31.42	31.42	(22+23)-IV-4	16
3	4314	-5046	3430	-701	-145	-121	31.42	31.42	(22+23)-IV-4	16
4	2800	-5879	4376	-708	-163	-121	31.42	31.42	(22+23)-IV-4	16
5	1870	-1286	1837	-253	-80	-205	31.42	31.42	(22+23)-VII-3	29
6	2573	-973	1244	-267	-24	-214	31.42	31.42	(22+23)-VII-3	28
7	3571	-36	458	-279	-103	-196	31.42	31.42	(22+23)-VII-3	28
8	4206	-1360	399	-282	-114	-95	31.42	31.42	(22+23)-III-3	35
9	3047	-1205	-1351	-273	-75	253	31.42	31.42	(22+23)-III-1	25
10	3523	-921	-853	-285	-97	244	31.42	31.42	(22+23)-III-1	25
11	4366	-302	-89	-295	-125	221	31.42	31.42	(22+23)-III-1	26
12	2693	-230	-282	-290	-155	126	31.42	31.42	(22+23)-III-1	32
13	3993	-5936	-1938	-586	-113	140	31.42	31.42	(22+23)-III-1	18
14	3162	-6972	-1750	-606	-132	146	31.42	31.42	(22+23)-III-1	18
15	1372	-9531	-2279	-626	-171	149	31.42	31.42	(22+23)-III-1	17
16	-1153	-5511	-4555	-639	-227	117	31.42	31.42	(22+23)-III-1	18
Massimi/minimi										
1							31.42			
1								31.42		
3										16

Muro :126 - Nodi : [863 - 17 - 5 - 879]:Verificato

Pann.X=4 Pann.Y=4 Spess.= 30 cm Criterio CLS_Muri_Esist Materiale: C20/25rcm=200
[kg/cmq],fym=4200 [kg/cmq], FC=1.20 qd=2.5, qf=1.5 :

Armatura a maglia doppia

Pannello	Nx	Ny	Nxy	Mx	My	Mxy	Ax	Ay	C	Cs
	kg	kg	kg	kg*m	kg*m	kg*m	cmq	cmq		
1	-5569	-3684	-1061	-119	64	-145	31.42	31.42	(22+23)-III-2	54
2	-5267	-1686	-1066	-200	-27	-249	31.42	31.42	(22+23)-V-2	32
3	-6159	-601	-1311	-224	-68	-215	31.42	31.42	(22+23)-VII-1	33
4	-6375	659	-2014	-173	-73	-126	31.42	31.42	(22+23)-VII-1	49
5	-4878	-2969	-1773	-177	36	-154	31.42	31.42	(22+23)-III-2	43
6	-5910	-1142	-2086	-274	-26	-235	31.42	31.42	(22+23)-VII-1	28

Pannello	Nx	Ny	Nxy	Mx	My	Mxy	Ax	Ay	C	Cs
7	-6625	-751	-1328	-246	-58	-213	31.42	31.42	(22+23)-VII-1	32
8	-7317	528	-2009	-172	-58	-111	31.42	31.42	(22+23)-VII-1	52
9	-5261	-2106	-2544	-254	1	-161	31.42	31.42	(22+23)-III-2	35
10	-6288	-968	-2064	-325	-33	-230	31.42	31.42	(22+23)-VII-1	26
11	-6902	-782	-1311	-273	-47	-205	31.42	31.42	(22+23)-VII-1	30
12	-8496	213	-1466	-178	-0	239	31.42	31.42	(22+23)-V-3	35
13	-6132	-1188	-2010	-365	-36	-168	31.42	31.42	(22+23)-III-2	27
14	-7149	-851	-1698	-379	-47	-228	31.42	31.42	(22+23)-VII-1	24
15	-7352	-899	-1660	-294	-40	-192	31.42	31.42	(22+23)-VII-1	30
16	-7477	-447	-2525	-261	-31	251	31.42	31.42	(22+23)-V-3	29
Massimi/minimi										
1							31.42			
1								31.42		
14										24

Muro :127 - Nodi : [863 - 879 - 886 - 860]:Verificato

Pann.X=4 Pann.Y=4 Spess.= 30 cm Criterio CLS_Muri_Esist Materiale: C20/25rcm=200
[kg/cmq],fym=4200 [kg/cmq], FC=1.20 qd=2.5, qf=1.5 :

Armatura a maglia doppia

Pannello	Nx	Ny	Nxy	Mx	My	Mxy	Ax	Ay	C	Cs
	kg	kg	kg	kg*m	kg*m	kg*m	cmq	cmq		
1	-2121	-6835	2008	174	-58	91	31.42	31.42	(22+23)-I-1	53
2	-388	-7444	3534	282	24	-99	31.42	31.42	(22+23)-IV-1	36
3	-589	-7885	3990	414	77	-109	31.42	31.42	(22+23)-IV-1	26
4	-1056	-6721	3965	536	79	-169	31.42	31.42	(22+23)-VIII-1	20
5	-2016	-4445	485	-14	-127	245	31.42	31.42	(22+23)-V-2	38
6	-2172	-3668	1194	-152	-61	-193	31.42	31.42	(22+23)-III-4	40
7	-1714	-2951	835	-191	-63	-187	31.42	31.42	(22+23)-III-4	37
8	-279	-2059	779	-236	-65	-180	31.42	31.42	(22+23)-III-4	33
9	-295	-5465	984	-73	-174	232	31.42	31.42	(22+23)-VII-1	35
10	-182	-4493	-792	-112	-102	247	31.42	31.42	(22+23)-V-2	38
11	-64	-3756	-1731	-130	-64	251	31.42	31.42	(22+23)-V-2	36
12	-65	-2219	-2457	-145	-50	248	31.42	31.42	(22+23)-V-2	35
13	755	-6944	835	101	53	-196	31.42	31.42	(22+23)-V-3	46
14	669	-6077	876	-191	-87	191	31.42	31.42	(22+23)-V-2	36
15	1700	-6593	1523	-272	-48	203	31.42	31.42	(22+23)-VII-1	28
16	3077	-8222	736	-377	-71	206	31.42	31.42	(22+23)-V-2	23
Massimi/minimi										
1							31.42			
1								31.42		
4										20

Muro :128 - Nodi : [860 - 886 - 20 - 18]:Verificato

Pann.X=4 Pann.Y=4 Spess.= 30 cm Criterio CLS_Muri_Esist Materiale: C20/25rcm=200
[kg/cmq],fym=4200 [kg/cmq], FC=1.20 qd=2.5, qf=1.5 :

Armatura a maglia doppia

Pannello	Nx	Ny	Nxy	Mx	My	Mxy	Ax	Ay	C	Cs
	kg	kg	kg	kg*m	kg*m	kg*m	cmq	cmq		
1	-1949	-6852	3997	605	20	-162	31.42	31.42	(22+23)-VIII-1	18
2	-2630	-7077	4001	641	-7	-112	31.42	31.42	(22+23)-IV-1	19
3	-3641	-5421	4072	669	-44	-84	31.42	31.42	(22+23)-IV-1	19
4	2011	-6347	3811	-611	210	-77	31.42	31.42	(22+23)-II-4	20
5	802	-1684	653	-270	-67	-183	31.42	31.42	(22+23)-III-4	30
6	1758	7	268	-277	-67	-198	31.42	31.42	(22+23)-VII-4	28
7	2638	1125	-1369	-286	-84	-187	31.42	31.42	(22+23)-VII-4	28
8	3945	-1993	-28	-284	-90	-104	31.42	31.42	(22+23)-VII-4	34
9	680	418	-2698	-157	-70	249	31.42	31.42	(22+23)-V-2	34
10	-356	497	-1987	-165	-84	232	31.42	31.42	(22+23)-V-2	35

Pannello	Nx	Ny	Nxy	Mx	My	Mxy	Ax	Ay	C	Cs
11	548	-521	1227	-173	-94	205	31.42	31.42	(22+23)-V-2	36
12	2144	75	442	-171	-96	115	31.42	31.42	(22+23)-V-2	47
13	172	-11325	-997	-433	-125	224	31.42	31.42	(22+23)-V-2	21
14	-2888	-20592	-2051	-446	-147	222	31.42	31.42	(22+23)-V-2	21
15	-5380	-25082	-3180	-441	-182	213	31.42	31.42	(22+23)-VII-1	22
16	-12632	-16487	-10250	-444	-256	162	31.42	31.42	(22+23)-VII-1	25
Massimi/minimi										
1							31.42			
1								31.42		
1										18

Muro :129 - Nodi : [900 - 25 - 864 - 10]:Verificato

Pann.X=4 Pann.Y=4 Spess.= 30 cm Criterio CLS_Muri_Esist Materiale: C20/25rcm=200
[kg/cmq],fym=4200 [kg/cmq], FC=1.20 qd=2.5, qf=1.5 :

Armatura a maglia doppia

Pannello	Nx	Ny	Nxy	Mx	My	Mxy	Ax	Ay	C	Cs
	kg	kg	kg	kg*m	kg*m	kg*m	cmq	cmq		
1	-22658	-61229	-30965	-130	-1213	-236	31.42	31.42	(22+23)-VII-1	14
2	-14114	-73167	-28017	-63	-823	-171	31.42	31.42	(22+23)-I-2	22
3	-6108	-61484	-17951	-37	-573	-140	31.42	31.42	(22+23)-I-2	29
4	-4290	-47640	-12181	-23	-397	-127	31.42	31.42	(22+23)-I-2	37
5	-12574	4874	-10729	-88	-735	-276	31.42	31.42	(22+23)-I-2	13
6	-19665	-9768	-19476	-61	-593	-200	31.42	31.42	(22+23)-I-2	19
7	-17122	-16271	-20996	-23	-448	-171	31.42	31.42	(22+23)-I-2	25
8	-11410	-21253	-16827	-2	-276	-203	31.42	31.42	(22+23)-II-2	34
9	-4633	-304	-3603	-53	-526	-200	31.42	31.42	2	19
10	-9807	-2515	-6548	8	-357	-236	31.42	31.42	(22+23)-II-2	24
11	-13226	-5444	-9606	44	-261	-206	31.42	31.42	(22+23)-II-2	31
12	-13083	-9002	-11012	73	-182	-183	31.42	31.42	(22+23)-II-2	41
13	-3305	-1942	-1552	-8	-412	-92	31.42	31.42	2	28
14	-6956	-2107	-2835	107	-259	-164	31.42	31.42	(22+23)-II-2	33
15	-9450	-4615	-4004	174	-188	-161	31.42	31.42	(22+23)-II-2	41
16	-10779	-6039	-5374	232	-73	-156	31.42	31.42	(22+23)-II-2	39
Massimi/minimi										
1							31.42			
1								31.42		
5										13

Muro :130 - Nodi : [2 - 902 - 10 - 844]:Verificato

Pann.X=4 Pann.Y=4 Spess.= 30 cm Criterio CLS_Muri_Esist Materiale: C20/25rcm=200
[kg/cmq],fym=4200 [kg/cmq], FC=1.20 qd=2.5, qf=1.5 :

Armatura a maglia doppia

Pannello	Nx	Ny	Nxy	Mx	My	Mxy	Ax	Ay	C	Cs
	kg	kg	kg	kg*m	kg*m	kg*m	cmq	cmq		
1	-2928	-18388	-9853	236	1587	546	31.42	31.42	(22+23)-II-2	7.5
2	-2035	-19205	-6305	244	1154	302	31.42	31.42	(22+23)-II-2	11
3	-1599	-17778	-4072	166	609	206	31.42	31.42	(22+23)-VI-2	19
4	-1503	-15258	-1692	81	260	189	31.42	31.42	(22+23)-VI-2	35
5	-3172	-9937	-5754	105	753	461	31.42	31.42	(22+23)-II-2	12
6	-4895	-12249	-4577	102	578	327	31.42	31.42	(22+23)-VI-2	17
7	-5422	-13818	-3237	112	430	249	31.42	31.42	(22+23)-VI-2	23
8	-2122	-2563	1100	-82	-388	-69	31.42	31.42	(22+23)-VI-3	31
9	-7881	794	843	-97	-814	132	31.42	31.42	(22+23)-I-3	14
10	-5881	-7453	2553	-95	-791	-14	31.42	31.42	(22+23)-VI-3	18
11	-4651	-10428	3535	-88	-636	-50	31.42	31.42	(22+23)-VI-3	22
12	-2979	-12076	3305	-91	-484	-83	31.42	31.42	(22+23)-VI-3	27
13	-8831	-32047	10674	-107	-1074	88	31.42	31.42	(22+23)-II-3	15
14	-4442	-33451	7747	-52	-864	-6	31.42	31.42	(22+23)-II-3	20

Pannello	Nx	Ny	Nxy	Mx	My	Mxy	Ax	Ay	C	Cs
15	-1829	-30318	4537	-30	-686	-54	31.42	31.42	(22+23)-VI-3	23
16	-1163	-26767	2949	-29	-535	-79	31.42	31.42	(22+23)-VI-3	28
Massimi/minimi										
1							31.42			
1								31.42		
1										7.5

Muro :131 - Nodi : [10 - 864 - 867 - 10]: **Verificato**

Pann.X=4 Pann.Y=4 Spess.= 30 cm Criterio CLS_Muri_Esist Materiale: C20/25rcm=200
[kg/cmq],fym=4200 [kg/cmq], FC=1.20 qd=2.5, qf=1.5 :

Armatura a maglia doppia

Pannello	Nx	Ny	Nxy	Mx	My	Mxy	Ax	Ay	C	Cs
	kg	kg	kg	kg*m	kg*m	kg*m	cmq	cmq		
1	226	-9486	-796	-17	-163	172	31.42	31.42	(22+23)-II-3	44
2	101	-8171	220	-35	-109	243	31.42	31.42	(22+23)-II-3	42
3	-1973	-10822	895	-16	-162	334	31.42	31.42	(22+23)-II-3	30
4	-7876	-25747	10395	-294	-283	601	31.42	31.42	(22+23)-II-3	16
5	-2562	-10357	-4801	-47	-129	192	31.42	31.42	(22+23)-VI-1	47
6	-1275	-8619	1220	-93	-78	258	31.42	31.42	(22+23)-II-3	39
7	-2170	-10831	4641	-192	-117	348	31.42	31.42	(22+23)-II-3	26
8	-9468	-7597	6032	-389	-178	488	31.42	31.42	(22+23)-II-3	17
9	-8882	-13643	-9317	137	-11	-159	31.42	31.42	(22+23)-II-2	50
10	-3827	-14885	-5650	222	88	-174	31.42	31.42	(22+23)-II-2	36
11	-758	-13924	-3397	325	129	-235	31.42	31.42	(22+23)-II-2	25
12	-6940	-3676	2941	-543	-113	380	31.42	31.42	(22+23)-II-3	16
13	-9943	-9149	-5867	285	11	153	31.42	31.42	(22+23)-VI-2	34
14	-4861	-12389	-4893	329	83	-159	31.42	31.42	(22+23)-II-2	29
15	-1483	-13188	-3183	427	95	-190	31.42	31.42	(22+23)-II-2	22
16	805	-13796	-1523	672	183	-208	31.42	31.42	(22+23)-II-2	15
Massimi/minimi										
1							31.42			
1								31.42		
16										15

Muro :132 - Nodi : [845 - 844 - 10 - 10]: **Verificato**

Pann.X=4 Pann.Y=4 Spess.= 30 cm Criterio CLS_Muri_Esist Materiale: C20/25rcm=200
[kg/cmq],fym=4200 [kg/cmq], FC=1.20 qd=2.5, qf=1.5 :

Armatura a maglia doppia

Pannello	Nx	Ny	Nxy	Mx	My	Mxy	Ax	Ay	C	Cs
	kg	kg	kg	kg*m	kg*m	kg*m	cmq	cmq		
1	-7132	-1826	-1435	61	-437	243	31.42	31.42	(22+23)-VI-1	20
2	-6262	-4918	-1349	-48	-313	356	31.42	31.42	(22+23)-VI-1	21
3	-8976	3204	-959	86	-288	341	31.42	31.42	(22+23)-IV-3	21
4	-6341	272	-3790	117	-235	439	31.42	31.42	(22+23)-IV-3	20
5	-5450	-122	1849	-22	-293	242	31.42	31.42	(22+23)-VI-1	26
6	-13500	-558	-1562	51	190	-329	31.42	31.42	(22+23)-VI-4	27
7	-21988	-578	-1194	68	115	-358	31.42	31.42	(22+23)-VI-4	29
8	-17227	-1585	-542	-97	-14	314	31.42	31.42	(22+23)-VI-1	38
9	-8007	320	3488	-58	-213	-176	31.42	31.42	(22+23)-V-2	35
10	-15558	-227	-1485	24	126	-302	31.42	31.42	(22+23)-VI-4	32
11	-25402	-570	-1691	53	79	-307	31.42	31.42	(22+23)-VI-4	36
12	-16910	-200	-330	-122	-31	247	31.42	31.42	(22+23)-VI-1	43
13	-7543	-484	-2260	24	125	-164	31.42	31.42	(22+23)-VI-4	48
14	-17613	-1496	1903	65	64	-248	31.42	31.42	(22+23)-VI-2	44
15	-13574	-1085	-4003	-224	-69	163	31.42	31.42	(22+23)-II-3	40
16	-22779	-51	-2169	-279	-23	156	31.42	31.42	(22+23)-II-3	38
Massimi/minimi										

Pannello	Nx	Ny	Nxy	Mx	My	Mxy	Ax	Ay	C	Cs
1							31.42			
1								31.42		
4										20

Muro :133 - Nodi : [10 - 903 - 34 - 845]:*Verificato*

Pann.X=4 Pann.Y=4 Spess.= 30 cm Criterio CLS_Muri_Esist Materiale: C20/25rcm=200
[kg/cmq],fym=4200 [kg/cmq], FC=1.20 qd=2.5, qf=1.5 :

Armatura a maglia doppia

Pannello	Nx	Ny	Nxy	Mx	My	Mxy	Ax	Ay	C	Cs
	kg	kg	kg	kg*m	kg*m	kg*m	cmq	cmq		
1	-19474	14741	-699	-97	437	-305	31.42	31.42	(22+23)-VIII-4	16
2	-9446	-4492	-671	107	-413	416	31.42	31.42	(22+23)-IV-3	17
3	-4456	-3229	-5121	159	-413	415	31.42	31.42	(22+23)-VI-1	17
4	-11135	-1557	-3924	217	-537	266	31.42	31.42	(22+23)-II-1	17
5	-5204	-492	3897	58	-382	398	31.42	31.42	(22+23)-IV-3	18
6	-8511	-1551	1488	117	-448	420	31.42	31.42	(22+23)-IV-3	16
7	-163	167	-4864	119	-540	400	31.42	31.42	(22+23)-VIII-1	15
8	-15248	-81	-5377	394	-617	332	31.42	31.42	(22+23)-VI-1	14
9	-4453	6243	-2230	-8	-350	386	31.42	31.42	(22+23)-VIII-1	18
10	-731	6240	-2467	48	-455	441	31.42	31.42	(22+23)-VIII-1	14
11	515	6381	-4127	133	-595	435	31.42	31.42	(22+23)-VIII-1	13
12	-16148	4436	-6040	579	-770	429	31.42	31.42	(22+23)-VI-1	11
13	-3593	53201	-4435	-229	-286	-43	31.42	31.42	(22+23)-III-2	22
14	-1602	27437	-2123	-155	472	-193	31.42	31.42	(22+23)-IV-2	16
15	-1509	18520	-3086	166	-627	290	31.42	31.42	(22+23)-VIII-1	13
16	-15615	15188	-6998	666	-885	356	31.42	31.42	(22+23)-VI-1	9.6
Massimi/minimi										
1							31.42			
1								31.42		
16										9.6

Muro :134 - Nodi : [10 - 867 - 26 - 901]:*Verificato*

Pann.X=4 Pann.Y=4 Spess.= 30 cm Criterio CLS_Muri_Esist Materiale: C20/25rcm=200
[kg/cmq],fym=4200 [kg/cmq], FC=1.20 qd=2.5, qf=1.5 :

Armatura a maglia doppia

Pannello	Nx	Ny	Nxy	Mx	My	Mxy	Ax	Ay	C	Cs
	kg	kg	kg	kg*m	kg*m	kg*m	cmq	cmq		
1	203	-7099	1811	-407	-173	493	31.42	31.42	(22+23)-VI-1	15
2	-1735	-11672	19	-417	-162	498	31.42	31.42	(22+23)-II-3	15
3	11941	-5480	-603	-367	-147	461	31.42	31.42	(22+23)-II-3	15
4	52577	-5161	-4254	-379	-58	108	31.42	31.42	(22+23)-I-3	15
5	-6872	-4085	52	-537	-173	573	31.42	31.42	(22+23)-II-3	13
6	764	-1793	-3884	-569	-181	554	31.42	31.42	(22+23)-II-3	12
7	11891	-1290	-4288	-571	-184	537	31.42	31.42	(22+23)-II-3	11
8	24434	-884	-3389	-584	-180	251	31.42	31.42	(22+23)-II-3	13
9	-762	-1145	-1354	-749	-149	480	31.42	31.42	(22+23)-II-3	11
10	4134	-262	-3003	-815	-164	516	31.42	31.42	(22+23)-II-3	9.9
11	11689	-270	-3246	-862	-187	521	31.42	31.42	(22+23)-II-3	8.9
12	20877	-221	-3128	-912	-184	236	31.42	31.42	(22+23)-II-3	9.8
13	2320	-3297	-1364	-989	-84	284	31.42	31.42	(22+23)-II-3	11
14	5854	-3523	-2559	-1195	-75	328	31.42	31.42	(22+23)-II-3	8.5
15	11141	-3599	-2967	-1418	-62	391	31.42	31.42	(22+23)-II-3	6.8
16	19074	-3429	-1730	-1455	-91	177	31.42	31.42	(22+23)-II-3	7.0
Massimi/minimi										
1							31.42			
1								31.42		
15										6.8

Muro :135 - Nodi : [10 - 10 - 901 - 903]:Verificato

Pann.X=4 Pann.Y=4 Spess.= 30 cm Criterio CLS_Muri_Esist Materiale: C20/25rcm=200
[kg/cmq],fym=4200 [kg/cmq], FC=1.20 qd=2.5, qf=1.5 :

Armatura a maglia doppia

Pannello	Nx	Ny	Nxy	Mx	My	Mxy	Ax	Ay	C	Cs
	kg	kg	kg	kg*m	kg*m	kg*m	cmq	cmq		
1	54177	-4653	6141	288	-3	-139	31.42	31.42	(22+23)-I-3	17
2	8199	438	-1815	495	19	-254	31.42	31.42	(22+23)-II-3	17
3	1147	-4146	-6280	529	3	-262	31.42	31.42	(22+23)-VI-1	17
4	23304	-6036	-7312	-528	-196	32	31.42	31.42	(22+23)-II-2	19
5	23177	-2952	723	972	-8	-70	31.42	31.42	(22+23)-II-3	10
6	11283	-1329	-1821	-988	4	94	31.42	31.42	(22+23)-VI-4	11
7	744	-1388	-8375	-975	-14	121	31.42	31.42	(22+23)-II-2	12
8	-2956	-1613	-6268	-963	-82	53	31.42	31.42	(22+23)-II-2	14
9	27268	-2919	-991	-951	-5	82	31.42	31.42	(22+23)-II-2	10
10	12630	-1383	-2443	-961	3	122	31.42	31.42	(22+23)-II-2	11
11	969	-1657	3363	-1000	-4	100	31.42	31.42	(22+23)-VI-4	12
12	-9945	-1923	2373	-987	-72	52	31.42	31.42	(22+23)-VI-4	14
13	59226	-5217	-5519	-441	-9	26	31.42	31.42	(22+23)-III-2	14
14	2014	-1193	4280	338	-74	300	31.42	31.42	(22+23)-VI-1	21
15	6088	-5715	8544	370	-89	279	31.42	31.42	(22+23)-II-3	20
16	44245	-8174	8135	-486	-126	23	31.42	31.42	(22+23)-VII-4	16
Massimi/minimi										
1							31.42			
1								31.42		
9										10

Muro :136 - Nodi : [10 - 809 - 1 - 904]:Verificato

Pann.X=4 Pann.Y=4 Spess.= 30 cm Criterio CLS_Muri_Esist Materiale: C20/25rcm=200
[kg/cmq],fym=4200 [kg/cmq], FC=1.20 qd=2.5, qf=1.5 :

Armatura a maglia doppia

Pannello	Nx	Ny	Nxy	Mx	My	Mxy	Ax	Ay	C	Cs
	kg	kg	kg	kg*m	kg*m	kg*m	cmq	cmq		
1	31542	-13148	2354	159	-1156	571	31.42	31.42	(22+23)-VIII-4	8.8
2	14187	-16395	5731	55	-1061	880	31.42	31.42	(22+23)-VII-4	8.1
3	8037	-13452	7921	-70	-1050	923	31.42	31.42	(22+23)-VII-4	7.8
4	843	-12531	5331	-150	-1247	804	31.42	31.42	2	7.4
5	8926	-14855	-715	51	-864	588	31.42	31.42	(22+23)-VII-4	11
6	9238	-14933	2421	-8	-872	699	31.42	31.42	(22+23)-VII-4	9.9
7	6379	-13762	4189	-68	-954	811	31.42	31.42	(22+23)-VII-4	8.7
8	1287	-10779	4461	-126	-1136	874	31.42	31.42	(22+23)-VII-4	7.5
9	5022	-9002	-202	224	-592	477	31.42	31.42	(22+23)-VII-4	14
10	5635	-9609	1511	116	-613	600	31.42	31.42	(22+23)-VII-4	12
11	4690	-8921	2750	1	-739	734	31.42	31.42	(22+23)-VII-4	10
12	-88	-9199	-2621	-99	-1011	845	31.42	31.42	(22+23)-III-4	8.0
13	2997	-4495	-1351	666	35	254	31.42	31.42	(22+23)-III-4	15
14	3683	-4125	-1951	546	-68	377	31.42	31.42	(22+23)-III-4	14
15	3361	-2693	1971	329	-440	479	31.42	31.42	(22+23)-VII-4	15
16	40	-694	-2763	55	-685	599	31.42	31.42	(22+23)-III-4	11
Massimi/minimi										
1							31.42			
1								31.42		
4										7.4

Muro :137 - Nodi : [10 - 904 - 907 - 10]:Verificato

Pann.X=4 Pann.Y=4 Spess.= 30 cm Criterio CLS_Muri_Esist Materiale: C20/25rcm=200
[kg/cmq],fym=4200 [kg/cmq], FC=1.20 qd=2.5, qf=1.5 :

Armatura a maglia doppia

Pannello	Nx	Ny	Nxy	Mx	My	Mxy	Ax	Ay	C	Cs
	kg	kg	kg	kg*m	kg*m	kg*m	cmq	cmq		
1	-3605	54261	1892	-516	-244	-834	31.42	31.42	(22+23)-VIII-4	6.6
2	-4473	42975	1912	29	-354	-254	31.42	31.42	(22+23)-VIII-4	14
3	-3102	24125	1243	51	-446	98	31.42	31.42	2	20
4	5970	-49512	19287	-705	-521	997	31.42	31.42	(22+23)-VIII-4	7.6
5	265	22451	-5779	-627	-197	-1000	31.42	31.42	(22+23)-VII-4	8.4
6	-2250	24437	3010	-180	-306	-524	31.42	31.42	(22+23)-VII-4	13
7	-1998	15074	5766	-228	-394	225	31.42	31.42	2	19
8	-7387	-7023	15100	-942	-382	974	31.42	31.42	2	7.6
9	-784	12525	-7221	-733	-153	-904	31.42	31.42	(22+23)-VII-4	8.4
10	-2470	14310	4355	-399	-215	-539	31.42	31.42	(22+23)-VII-4	15
11	-2504	1630	15360	-444	-241	267	31.42	31.42	(22+23)-IV-2	20
12	-11450	-2728	17156	-1210	-299	805	31.42	31.42	2	7.5
13	-6175	3623	-5667	-854	-124	-833	31.42	31.42	(22+23)-VII-4	8.6
14	-7221	4287	6286	-594	-128	-524	31.42	31.42	(22+23)-VII-4	13
15	-8368	2203	9067	-770	-165	155	31.42	31.42	2	16
16	-16953	-4067	18802	-1550	-246	697	31.42	31.42	(22+23)-IV-4	7.0
Massimi/minimi										
1							31.42			
1								31.42		
1										6.6

Muro :138 - Nodi : [10 - 907 - 9 - 861]:Verificato

Pann.X=4 Pann.Y=4 Spess.= 30 cm Criterio CLS_Muri_Esist Materiale: C20/25rcm=200
[kg/cmq],fym=4200 [kg/cmq], FC=1.20 qd=2.5, qf=1.5 :

Armatura a maglia doppia

Pannello	Nx	Ny	Nxy	Mx	My	Mxy	Ax	Ay	C	Cs
	kg	kg	kg	kg*m	kg*m	kg*m	cmq	cmq		
1	-17770	-23363	6377	-1537	83	702	31.42	31.42	2	7.1
2	-7017	-16430	7246	-1207	87	498	31.42	31.42	2	8.5
3	-1188	-14196	6698	-808	338	351	31.42	31.42	2	12
4	1056	-9857	150	-421	710	438	31.42	31.42	(22+23)-VIII-2	13
5	-13668	-12727	9286	-1574	-19	921	31.42	31.42	2	6.1
6	-10410	-26087	-2508	-1274	-68	761	31.42	31.42	(22+23)-VIII-4	7.3
7	-3868	-17449	-3885	-851	195	624	31.42	31.42	(22+23)-VIII-4	9.6
8	-1836	-10295	-2885	-386	660	523	31.42	31.42	(22+23)-IV-4	13
9	-13386	-19141	7385	-1796	-277	1083	31.42	31.42	(22+23)-VIII-4	5.3
10	-8947	-16289	-5132	-1489	-154	966	31.42	31.42	(22+23)-VIII-4	6.0
11	-3039	-10840	-7751	-982	62	844	31.42	31.42	(22+23)-VIII-4	7.7
12	-579	-5936	-5984	-456	393	627	31.42	31.42	(22+23)-VIII-2	13
13	-8459	-4767	-216	-2175	-318	1082	31.42	31.42	(22+23)-VIII-4	4.5
14	-3070	-6472	-8423	-1885	-232	1176	31.42	31.42	(22+23)-VIII-4	4.6
15	-3170	-4740	-10844	-1130	-75	1100	31.42	31.42	(22+23)-VIII-4	6.3
16	441	-5676	-9318	-443	124	847	31.42	31.42	(22+23)-IV-4	11
Massimi/minimi										
1							31.42			
1								31.42		
13										4.5

Muro :139 - Nodi : [10 - 10 - 861 - 854]:Verificato

Pann.X=4 Pann.Y=4 Spess.= 30 cm Criterio CLS_Muri_Esist Materiale: C20/25rcm=200
[kg/cmq],fym=4200 [kg/cmq], FC=1.20 qd=2.5, qf=1.5 :

Armatura a maglia doppia

Pannello	Nx	Ny	Nxy	Mx	My	Mxy	Ax	Ay	C	Cs
	kg	kg	kg	kg*m	kg*m	kg*m	cmq	cmq		
1	-5812	-2088	-1773	-850	23	-46	31.42	31.42	(22+23)-III-1	16
2	825	-1277	-8009	-753	94	-247	31.42	31.42	(22+23)-III-1	14

Pannello	Nx	Ny	Nxy	Mx	My	Mxy	Ax	Ay	C	Cs
3	7641	-7534	-6648	-712	-25	-197	31.42	31.42	(22+23)-III-1	14
4	12626	-6199	-513	-725	154	185	31.42	31.42	(22+23)-VII-2	13
5	-286	-1554	-839	-547	9	7	31.42	31.42	(22+23)-V-1	25
6	767	-1490	-3598	-554	81	16	31.42	31.42	(22+23)-V-1	24
7	4615	-3083	-4873	-533	185	36	31.42	31.42	(22+23)-VII-1	23
8	7296	-4179	1372	-553	293	114	31.42	31.42	(22+23)-VII-2	19
9	-7099	-2651	107	-459	10	-218	31.42	31.42	2	21
10	-8578	-2547	3265	-455	138	-252	31.42	31.42	2	21
11	-5530	-4707	3333	-435	326	-194	31.42	31.42	2	23
12	-9256	-5678	5052	-36	483	-210	31.42	31.42	(22+23)-V-4	21
13	-13760	-4808	6781	-1139	-6	152	31.42	31.42	(22+23)-III-2	12
14	-5133	-7474	5947	-869	137	151	31.42	31.42	(22+23)-VII-2	14
15	774	-6796	4761	-643	257	146	31.42	31.42	(22+23)-VII-2	17
16	-478	-10997	6506	-380	700	237	31.42	31.42	(22+23)-VIII-2	16
Massimi/minimi										
1							31.42			
1								31.42		
13										12

Muro :140 - Nodi : [10 - 811 - 809 - 10]:Verificato

Pann.X=4 Pann.Y=4 Spess.= 30 cm Criterio CLS_Muri_Esist Materiale: C20/25rcm=200
[kg/cmq],fym=4200 [kg/cmq], FC=1.20 qd=2.5, qf=1.5 :

Armatura a maglia doppia

Pannello	Nx	Ny	Nxy	Mx	My	Mxy	Ax	Ay	C	Cs
	kg	kg	kg	kg*m	kg*m	kg*m	cmq	cmq		
1	-294	-11625	3750	-231	-677	-522	31.42	31.42	(22+23)-VII-1	13
2	-1084	-19331	-359	25	-421	-284	31.42	31.42	(22+23)-V-2	23
3	-149	-14545	-1205	-15	-512	-246	31.42	31.42	(22+23)-III-2	20
4	-892	-7691	-3878	65	-1090	-157	31.42	31.42	(22+23)-III-2	12
5	3808	-8907	4455	-207	-505	-443	31.42	31.42	(22+23)-VII-1	16
6	-151	-11794	498	-17	-417	-315	31.42	31.42	(22+23)-V-2	21
7	-171	-8444	-3739	35	-517	-286	31.42	31.42	(22+23)-III-2	18
8	3797	-6024	-4455	134	-849	-153	31.42	31.42	(22+23)-III-2	14
9	1812	-3364	-713	-112	-469	-338	31.42	31.42	(22+23)-V-2	17
10	249	-3629	1234	18	-412	-285	31.42	31.42	(22+23)-V-2	20
11	26	-2885	-5434	90	-514	-254	31.42	31.42	(22+23)-III-2	18
12	3089	-2224	-3940	126	-723	-147	31.42	31.42	(22+23)-III-2	16
13	1947	5021	-1339	-24	-460	-218	31.42	31.42	(22+23)-V-2	19
14	330	4523	-3116	87	-422	-229	31.42	31.42	(22+23)-VII-2	20
15	-352	4341	-5198	140	-515	-193	31.42	31.42	(22+23)-III-2	19
16	-26	3674	-3115	188	-673	-106	31.42	31.42	(22+23)-III-2	17
Massimi/minimi										
1							31.42			
1								31.42		
4										12

Muro :141 - Nodi : [906 - 10 - 854 - 10]:Verificato

Pann.X=4 Pann.Y=4 Spess.= 30 cm Criterio CLS_Muri_Esist Materiale: C20/25rcm=200
[kg/cmq],fym=4200 [kg/cmq], FC=1.20 qd=2.5, qf=1.5 :

Armatura a maglia doppia

Pannello	Nx	Ny	Nxy	Mx	My	Mxy	Ax	Ay	C	Cs
	kg	kg	kg	kg*m	kg*m	kg*m	cmq	cmq		
1	-2899	6870	294	-826	68	-49	31.42	31.42	(22+23)-VII-1	16
2	-1356	4203	2904	-969	40	-19	31.42	31.42	(22+23)-VII-1	14
3	2967	2326	-1176	-1151	58	11	31.42	31.42	(22+23)-V-1	11
4	24124	16586	-14065	-1399	-154	221	31.42	31.42	(22+23)-V-1	6.7
5	-1942	6987	2064	-570	-95	-260	31.42	31.42	(22+23)-IV-1	17
6	350	715	2988	-922	68	11	31.42	31.42	(22+23)-VII-1	15

Pannello	Nx	Ny	Nxy	Mx	My	Mxy	Ax	Ay	C	Cs
7	3646	896	-5030	-1038	59	139	31.42	31.42	(22+23)-VII-2	11
8	25305	746	-9302	-1270	15	303	31.42	31.42	(22+23)-VII-2	6.8
9	-1682	-7139	-1025	-739	100	-104	31.42	31.42	(22+23)-III-1	17
10	1082	-4228	-281	-894	78	-40	31.42	31.42	(22+23)-VII-1	15
11	7486	-1005	-4397	-1009	37	-10	31.42	31.42	(22+23)-VII-1	13
12	22439	-2976	-5986	-1119	38	219	31.42	31.42	(22+23)-VII-2	8.2
13	-3706	1596	-1300	-725	99	-140	31.42	31.42	(22+23)-III-1	16
14	1172	-7812	-3435	-887	91	-83	31.42	31.42	(22+23)-VII-1	14
15	8378	-4833	-4645	-878	-95	-229	31.42	31.42	(22+23)-III-1	11
16	18812	-5191	-3407	-949	68	223	31.42	31.42	(22+23)-VII-2	9.8
Massimi/minimi										
1							31.42			
1								31.42		
4										6.7

Muro :142 - Nodi : [905 - 2 - 811 - 10]:Verificato

Pann.X=4 Pann.Y=4 Spess.= 30 cm Criterio CLS_Muri_Esist Materiale: C20/25rcm=200
[kg/cmq],fym=4200 [kg/cmq], FC=1.20 qd=2.5, qf=1.5 :

Armatura a maglia doppia

Pannello	Nx	Ny	Nxy	Mx	My	Mxy	Ax	Ay	C	Cs
	kg	kg	kg	kg*m	kg*m	kg*m	cmq	cmq		
1	-11328	-4552	394	-295	-462	-215	31.42	31.42	(22+23)-VII-1	21
2	-2839	-6181	-5	-312	-472	-508	31.42	31.42	(22+23)-V-1	15
3	1856	-7505	25	-310	-504	-573	31.42	31.42	(22+23)-V-1	14
4	13555	-9761	121	-392	-569	-544	31.42	31.42	(22+23)-VII-1	13
5	-3480	-7858	1564	210	-665	-306	31.42	31.42	(22+23)-III-1	15
6	-4260	-10333	717	-412	-585	-526	31.42	31.42	(22+23)-VII-1	13
7	3614	-11431	1282	-403	-543	-548	31.42	31.42	(22+23)-VII-1	14
8	6540	-9783	2562	-359	-531	-568	31.42	31.42	(22+23)-VII-1	14
9	-9772	-9872	2089	277	-784	-337	31.42	31.42	(22+23)-III-1	13
10	-4726	-8230	1122	-552	-618	-497	31.42	31.42	(22+23)-VII-1	13
11	2988	-7877	623	-472	-527	-493	31.42	31.42	(22+23)-VII-1	14
12	4769	-6026	772	-379	-487	-467	31.42	31.42	(22+23)-VII-1	15
13	-22997	7143	630	-813	-699	-267	31.42	31.42	(22+23)-VII-1	13
14	-1016	4602	-175	-744	-553	-277	31.42	31.42	(22+23)-III-1	14
15	3122	5235	-130	-556	-452	-257	31.42	31.42	(22+23)-III-1	16
16	3475	1922	211	512	-41	-244	31.42	31.42	(22+23)-III-2	18
Massimi/minimi										
1							31.42			
1								31.42		
4										13

Muro :143 - Nodi : [10 - 10 - 906 - 905]:Verificato

Pann.X=4 Pann.Y=4 Spess.= 30 cm Criterio CLS_Muri_Esist Materiale: C20/25rcm=200
[kg/cmq],fym=4200 [kg/cmq], FC=1.20 qd=2.5, qf=1.5 :

Armatura a maglia doppia

Pannello	Nx	Ny	Nxy	Mx	My	Mxy	Ax	Ay	C	Cs
	kg	kg	kg	kg*m	kg*m	kg*m	cmq	cmq		
1	22023	-754	2055	96	-228	-482	31.42	31.42	(22+23)-VII-1	19
2	2927	1577	1191	104	-219	-518	31.42	31.42	(22+23)-VII-1	18
3	-4470	573	558	97	-195	-445	31.42	31.42	(22+23)-V-1	21
4	18626	-4384	-4631	-231	-261	-151	31.42	31.42	(22+23)-VIII-2	30
5	13864	-71	-1253	-327	-5	225	31.42	31.42	(22+23)-VII-4	22
6	9296	-514	-3177	-326	-25	322	31.42	31.42	(22+23)-VII-4	19
7	6727	-727	-4091	-316	-59	316	31.42	31.42	(22+23)-VII-4	20
8	4212	-2002	-3896	-313	-113	125	31.42	31.42	(22+23)-VII-4	30
9	20216	-1055	-457	-313	-9	239	31.42	31.42	(22+23)-VII-4	20
10	14354	-641	-1369	-312	4	333	31.42	31.42	(22+23)-VII-4	19

Pannello	Nx	Ny	Nxy	Mx	My	Mxy	Ax	Ay	C	Cs
11	8791	-950	-1960	-317	22	332	31.42	31.42	(22+23)-VII-4	19
12	2314	-903	-2971	-302	47	156	31.42	31.42	(22+23)-VII-4	29
13	17120	-1831	147	-333	55	219	31.42	31.42	(22+23)-V-4	21
14	5403	-1858	3925	-343	73	352	31.42	31.42	(22+23)-VII-3	19
15	11385	-2464	3339	-332	103	362	31.42	31.42	(22+23)-VII-3	18
16	18505	-4313	-1048	-312	108	179	31.42	31.42	(22+23)-III-3	23
Massimi/minimi										
1							31.42			
1								31.42		
15										18

Muro :144 - Nodi : [808 - 3 - 912 - 10]:Verificato

Pann.X=4 Pann.Y=4 Spess.= 30 cm Criterio CLS_Muri_Esist Materiale: C20/25rcm=200
[kg/cmq],fym=4200 [kg/cmq], FC=1.20 qd=2.5, qf=1.5 :

Armatura a maglia doppia

Pannello	Nx	Ny	Nxy	Mx	My	Mxy	Ax	Ay	C	Cs
	kg	kg	kg	kg*m	kg*m	kg*m	cmq	cmq		
1	-4439	380	2204	-225	-34	-203	31.42	31.42	(22+23)-III-1	33
2	-5502	-664	704	-242	-51	124	31.42	31.42	(22+23)-III-1	39
3	-4982	-2540	-1264	-114	-15	-285	31.42	31.42	(22+23)-VII-3	36
4	-10044	-758	-1019	-299	-29	149	31.42	31.42	(22+23)-III-2	33
5	-5405	411	3051	-183	-41	-250	31.42	31.42	(22+23)-I-2	33
6	-5566	-556	950	-88	-16	-266	31.42	31.42	(22+23)-V-3	41
7	-5114	-2622	-635	-149	-19	-286	31.42	31.42	(22+23)-VII-3	33
8	-10462	-952	-1375	-331	-33	138	31.42	31.42	(22+23)-III-2	32
9	-6363	421	2442	-58	28	-273	31.42	31.42	(22+23)-III-4	44
10	-7548	-357	2092	-154	-33	-291	31.42	31.42	(22+23)-V-4	33
11	-4377	-2263	-12	-184	-22	-285	31.42	31.42	(22+23)-VII-3	30
12	-8194	-6729	-8257	-326	-33	-203	31.42	31.42	(22+23)-VIII-3	28
13	-5892	-323	3790	-287	-27	-279	31.42	31.42	(22+23)-III-4	25
14	-6301	-625	2506	-289	-41	-295	31.42	31.42	(22+23)-VII-4	25
15	-3950	-1180	859	-356	-23	-276	31.42	31.42	(22+23)-III-3	22
16	-12039	-3274	-3402	-472	-25	-260	31.42	31.42	(22+23)-III-3	21
Massimi/minimi										
1							31.42			
1								31.42		
16										21

Muro :145 - Nodi : [908 - 7 - 862 - 10]:Verificato

Pann.X=4 Pann.Y=4 Spess.= 30 cm Criterio CLS_Muri_Esist Materiale: C20/25rcm=200
[kg/cmq],fym=4200 [kg/cmq], FC=1.20 qd=2.5, qf=1.5 :

Armatura a maglia doppia

Pannello	Nx	Ny	Nxy	Mx	My	Mxy	Ax	Ay	C	Cs
	kg	kg	kg	kg*m	kg*m	kg*m	cmq	cmq		
1	-14225	-58843	-18024	-148	-1596	-232	31.42	31.42	(22+23)-III-2	11
2	-1434	-42781	-7589	-32	-871	-16	31.42	31.42	(22+23)-III-2	21
3	20	-28996	-2400	-12	-398	89	31.42	31.42	(22+23)-III-1	35
4	-397	-23321	-1343	-1	-217	121	31.42	31.42	(22+23)-III-1	49
5	-13903	-24269	-16133	-147	-1282	-258	31.42	31.42	(22+23)-VII-2	11
6	-9814	-32355	-17236	-65	-785	-57	31.42	31.42	(22+23)-VII-2	21
7	-2577	-21855	-5305	-6	-361	139	31.42	31.42	(22+23)-III-1	33
8	-1429	-19698	-3161	16	-203	191	31.42	31.42	(22+23)-III-1	41
9	-9089	-9890	-10455	-82	-946	-225	31.42	31.42	(22+23)-VII-2	13
10	-11425	-15812	-13005	18	-591	-45	31.42	31.42	(22+23)-VII-2	25
11	-4487	-15161	-5473	52	-287	159	31.42	31.42	(22+23)-III-1	35
12	-2808	-15648	-5549	98	-174	213	31.42	31.42	(22+23)-III-1	40
13	-6498	-5678	-6803	27	-640	-84	31.42	31.42	(22+23)-VII-2	20
14	-6268	-7900	-4465	193	-338	110	31.42	31.42	(22+23)-III-1	33

Pannello	Nx	Ny	Nxy	Mx	My	Mxy	Ax	Ay	C	Cs
15	-5321	-10416	-5905	229	-199	196	31.42	31.42	(22+23)-III-1	34
16	-3932	-10920	-4588	206	-126	243	31.42	31.42	(22+23)-III-1	32
Massimi/minimi										
1							31.42			
1								31.42		
5										11

Muro :146 - Nodi : [909 - 10 - 855 - 8]:**Verificato**

Pann.X=4 Pann.Y=4 Spess.= 30 cm Criterio CLS_Muri_Esist Materiale: C20/25rcm=200
[kg/cmq],fym=4200 [kg/cmq], FC=1.20 qd=2.5, qf=1.5 :

Armatura a maglia doppia

Pannello	Nx	Ny	Nxy	Mx	My	Mxy	Ax	Ay	C	Cs
	kg	kg	kg	kg*m	kg*m	kg*m	cmq	cmq		
1	-3699	19008	-605	-16	-953	-37	31.42	31.42	(22+23)-VIII-3	12
2	-4000	17107	0	67	-986	-80	31.42	31.42	(22+23)-VIII-3	11
3	-5279	14552	137	85	-1044	-119	31.42	31.42	(22+23)-VIII-3	10
4	-8685	10178	1787	-10	-1210	-167	31.42	31.42	(22+23)-VIII-3	9.1
5	-5588	4869	-1280	-100	-848	-150	31.42	31.42	(22+23)-VIII-3	13
6	-5801	5199	1284	-134	-897	-142	31.42	31.42	(22+23)-VIII-3	13
7	-5519	4569	2734	-153	-1044	-140	31.42	31.42	(22+23)-VIII-3	11
8	-7981	4806	2386	-147	-1408	-166	31.42	31.42	(22+23)-VIII-3	8.3
9	10438	17325	1085	-42	869	126	31.42	31.42	(22+23)-VIII-2	12
10	1087	15651	-2025	-18	875	115	31.42	31.42	(22+23)-VIII-2	12
11	-8243	11698	-309	-1	973	100	31.42	31.42	(22+23)-VIII-2	11
12	-11054	8385	-505	-17	1178	168	31.42	31.42	(22+23)-VIII-2	9.4
13	21461	48001	2457	-10	775	201	31.42	31.42	(22+23)-VIII-2	8.1
14	-1917	32341	6919	24	793	165	31.42	31.42	(22+23)-VIII-2	10
15	-7191	24247	5690	85	875	112	31.42	31.42	(22+23)-VIII-2	11
16	-10629	19637	3603	69	989	181	31.42	31.42	(22+23)-VIII-2	9.7
Massimi/minimi										
1							31.42			
1								31.42		
13										8.1

Muro :147 - Nodi : [909 - 913 - 10 - 10]:**Verificato**

Pann.X=4 Pann.Y=4 Spess.= 30 cm Criterio CLS_Muri_Esist Materiale: C20/25rcm=200
[kg/cmq],fym=4200 [kg/cmq], FC=1.20 qd=2.5, qf=1.5 :

Armatura a maglia doppia

Pannello	Nx	Ny	Nxy	Mx	My	Mxy	Ax	Ay	C	Cs
	kg	kg	kg	kg*m	kg*m	kg*m	cmq	cmq		
1	13230	-2976	3093	-752	-19	32	31.42	31.42	(22+23)-VIII-3	15
2	2544	-840	1442	-764	110	156	31.42	31.42	(22+23)-VII-3	15
3	23907	12238	-13767	827	-31	-52	31.42	31.42	(22+23)-VIII-2	12
4	64766	6531	-16468	918	18	-86	31.42	31.42	(22+23)-VIII-2	5.9
5	545	20	501	-582	51	58	31.42	31.42	(22+23)-VII-3	21
6	2098	-87	768	-580	33	139	31.42	31.42	(22+23)-VII-3	19
7	753	-69	681	-569	16	128	31.42	31.42	(22+23)-VII-3	20
8	25720	1282	-4008	547	-3	-12	31.42	31.42	(22+23)-VIII-2	19
9	10441	402	-4971	-383	-33	49	31.42	31.42	(22+23)-III-4	29
10	5323	508	-7201	-383	-18	110	31.42	31.42	(22+23)-III-4	27
11	1328	331	-5587	-388	-7	113	31.42	31.42	(22+23)-VII-4	27
12	634	-2016	-1505	-388	1	74	31.42	31.42	(22+23)-VII-4	29
13	43376	-6665	-8063	-271	-65	-34	31.42	31.42	(22+23)-IV-2	28
14	16819	-8531	-12204	-271	-54	-77	31.42	31.42	(22+23)-IV-2	34
15	-2662	-6109	-10652	-254	-0	-115	31.42	31.42	(22+23)-III-2	38
16	-19288	-4086	-8832	-264	-6	-101	31.42	31.42	(22+23)-III-2	44
Massimi/minimi										

Pannello	Nx	Ny	Nxy	Mx	My	Mxy	Ax	Ay	C	Cs
1							31.42			
1								31.42		
4										5.9

Muro :148 - Nodi : [913 - 4 - 812 - 10]:**Verificato**

Pann.X=4 Pann.Y=4 Spess.= 30 cm Criterio CLS_Muri_Esist Materiale: C20/25rcm=200
[kg/cmq],fym=4200 [kg/cmq], FC=1.20 qd=2.5, qf=1.5 :

Armatura a maglia doppia

Pannello	Nx	Ny	Nxy	Mx	My	Mxy	Ax	Ay	C	Cs
	kg	kg	kg	kg*m	kg*m	kg*m	cmq	cmq		
1	39699	-3116	4171	-248	-73	-71	31.42	31.42	(22+23)-IV-2	28
2	21955	-1267	4949	-241	-70	-159	31.42	31.42	(22+23)-VIII-2	28
3	973	-3697	3252	-211	-23	-256	31.42	31.42	(22+23)-VII-2	29
4	-9227	-2230	929	-221	-20	-278	31.42	31.42	(22+23)-VII-2	30
5	22423	1209	3599	-253	-115	-91	31.42	31.42	(22+23)-IV-2	32
6	6479	2058	4032	-259	-132	-222	31.42	31.42	(22+23)-III-2	27
7	3081	193	4296	-251	-130	-246	31.42	31.42	(22+23)-III-2	27
8	276	-450	3898	-241	-126	-260	31.42	31.42	(22+23)-III-2	27
9	-1275	-7358	1624	459	62	116	31.42	31.42	(22+23)-III-3	24
10	1411	-5393	3756	-394	-249	-245	31.42	31.42	(22+23)-III-2	21
11	1441	-5297	5458	-393	-187	-272	31.42	31.42	(22+23)-III-2	20
12	2055	-6921	5258	-383	-134	-285	31.42	31.42	(22+23)-III-2	20
13	-22810	-9110	6354	-703	-379	-240	31.42	31.42	(22+23)-III-2	17
14	-11165	-19057	2378	681	113	-299	31.42	31.42	(22+23)-III-3	15
15	-1137	-13114	1641	643	77	-303	31.42	31.42	(22+23)-III-3	15
16	2332	-8112	1240	589	53	-283	31.42	31.42	(22+23)-III-3	15
Massimi/minimi										
1							31.42			
1								31.42		
15										15

Muro :149 - Nodi : [855 - 10 - 10 - 862]:**Verificato**

Pann.X=4 Pann.Y=4 Spess.= 30 cm Criterio CLS_Muri_Esist Materiale: C20/25rcm=200
[kg/cmq],fym=4200 [kg/cmq], FC=1.20 qd=2.5, qf=1.5 :

Armatura a maglia doppia

Pannello	Nx	Ny	Nxy	Mx	My	Mxy	Ax	Ay	C	Cs
	kg	kg	kg	kg*m	kg*m	kg*m	cmq	cmq		
1	16386	-4659	-9435	613	128	-159	31.42	31.42	(22+23)-VIII-2	15
2	543	-7434	-7756	182	100	-204	31.42	31.42	(22+23)-VIII-2	35
3	-649	-10745	777	33	26	295	31.42	31.42	(22+23)-IV-1	42
4	-708	-9589	469	102	-1	286	31.42	31.42	(22+23)-IV-1	35
5	10396	-3279	-8181	535	253	-154	31.42	31.42	(22+23)-VII-2	18
6	51	-8941	-2570	-69	-177	-145	31.42	31.42	(22+23)-III-4	46
7	-265	-10804	558	33	26	231	31.42	31.42	(22+23)-IV-1	52
8	-239	-10232	17	60	-6	250	31.42	31.42	(22+23)-IV-1	44
9	7470	1455	-9342	412	254	-228	31.42	31.42	(22+23)-VII-2	20
10	539	-8919	-1232	-31	-207	-123	31.42	31.42	(22+23)-VII-4	45
11	-374	-10205	289	19	33	211	31.42	31.42	(22+23)-IV-1	60
12	-111	-10795	-104	25	-8	240	31.42	31.42	(22+23)-IV-1	52
13	-4326	8392	-9278	303	265	-262	31.42	31.42	(22+23)-VII-2	24
14	783	-8327	-241	-20	244	51	31.42	31.42	(22+23)-VII-1	50
15	1339	-10850	-373	13	81	103	31.42	31.42	(22+23)-III-1	81
16	-1339	-11009	-132	7	-8	160	31.42	31.42	(22+23)-IV-1	83
Massimi/minimi										
1							31.42			
1								31.42		
1										15

Muro :150 - Nodi : [10 - 812 - 808 - 10]:Verificato

Pann.X=4 Pann.Y=4 Spess.= 30 cm Criterio CLS_Muri_Esist Materiale: C20/25rcm=200
[kg/cmq],fym=4200 [kg/cmq], FC=1.20 qd=2.5, qf=1.5 :

Armatura a maglia doppia

Pannello	Nx	Ny	Nxy	Mx	My	Mxy	Ax	Ay	C	Cs
	kg	kg	kg	kg*m	kg*m	kg*m	cmq	cmq		
1	-10690	-14774	-7678	-140	-108	-374	31.42	31.42	(22+23)-VII-2	29
2	-772	-13132	-2360	-46	-142	-313	31.42	31.42	(22+23)-VII-2	34
3	-255	-11795	-1095	-37	-169	-266	31.42	31.42	(22+23)-VII-2	35
4	-74	-10125	-642	-30	-224	-224	31.42	31.42	(22+23)-VII-2	33
5	-1681	-2307	1144	-220	-108	-261	31.42	31.42	(22+23)-III-2	29
6	-3576	-6259	-2491	-177	-112	-244	31.42	31.42	(22+23)-III-2	34
7	-1103	-7357	-531	-127	-158	-217	31.42	31.42	(22+23)-III-2	39
8	-1118	-7665	-313	-89	-214	-179	31.42	31.42	(22+23)-III-2	37
9	1877	-5487	2480	-334	-80	-268	31.42	31.42	(22+23)-III-2	22
10	17	-5705	489	-231	-72	-221	31.42	31.42	(22+23)-I-2	30
11	-1234	-6292	-500	-160	-129	-191	31.42	31.42	(22+23)-I-2	39
12	-730	-5509	154	-69	-213	-163	31.42	31.42	(22+23)-III-1	38
13	3702	-6369	-511	482	-29	-257	31.42	31.42	(22+23)-III-3	18
14	1015	-6447	-487	355	55	-256	31.42	31.42	(22+23)-III-3	22
15	178	-5766	-927	270	141	-250	31.42	31.42	(22+23)-III-3	26
16	244	-5946	-1770	-62	-210	209	31.42	31.42	(22+23)-I-1	34
Massimi/minimi										
1							31.42			
1								31.42		
13										18

Muro :151 - Nodi : [10 - 810 - 15 - 915]:Verificato

Pann.X=4 Pann.Y=4 Spess.= 30 cm Criterio CLS_Muri_Esist Materiale: C20/25rcm=200
[kg/cmq],fym=4200 [kg/cmq], FC=1.20 qd=2.5, qf=1.5 :

Armatura a maglia doppia

Pannello	Nx	Ny	Nxy	Mx	My	Mxy	Ax	Ay	C	Cs
	kg	kg	kg	kg*m	kg*m	kg*m	cmq	cmq		
1	5080	-7568	275	-71	-271	259	31.42	31.42	(22+23)-VII-3	28
2	4529	-7053	1958	-52	-277	271	31.42	31.42	(22+23)-VII-3	27
3	2621	-6861	2860	-25	-301	263	31.42	31.42	(22+23)-VII-3	26
4	-787	-8232	3525	-44	-374	-83	31.42	31.42	(22+23)-III-1	32
5	-2850	-4577	1303	5	-187	179	31.42	31.42	(22+23)-VIII-3	39
6	-2482	-4413	1014	-8	-227	180	31.42	31.42	(22+23)-VIII-3	35
7	-1880	-4563	405	-18	-266	179	31.42	31.42	(22+23)-VIII-3	32
8	-1076	-4552	74	-20	-303	174	31.42	31.42	(22+23)-VIII-3	30
9	1080	-4210	-392	-73	86	227	31.42	31.42	(22+23)-I-4	45
10	-1142	-4004	560	3	-171	203	31.42	31.42	(22+23)-VIII-3	38
11	-857	-4164	20	-15	-252	211	31.42	31.42	(22+23)-VIII-3	31
12	-462	-4709	251	-30	-377	292	31.42	31.42	(22+23)-VII-3	21
13	-248	-3576	71	284	136	156	31.42	31.42	(22+23)-VII-4	31
14	-273	-4246	105	215	54	167	31.42	31.42	(22+23)-VII-4	36
15	-323	-7377	-995	47	-260	-138	31.42	31.42	(22+23)-III-1	37
16	-439	-4100	-2	4	-358	169	31.42	31.42	(22+23)-VII-4	27
Massimi/minimi										
1							31.42			
1								31.42		
12										21

Muro :152 - Nodi : [10 - 915 - 911 - 10]:Verificato

Pann.X=4 Pann.Y=4 Spess.= 30 cm Criterio CLS_Muri_Esist Materiale: C20/25rcm=200
[kg/cmq],fym=4200 [kg/cmq], FC=1.20 qd=2.5, qf=1.5 :

Armatura a maglia doppia

Pannello	Nx	Ny	Nxy	Mx	My	Mxy	Ax	Ay	C	Cs
	kg	kg	kg	kg*m	kg*m	kg*m	cmq	cmq		
1	-1562	1326	-4247	-175	-37	-281	31.42	31.42	(22+23)-III-1	30
2	-829	12903	770	13	-95	146	31.42	31.42	(22+23)-III-2	50
3	-1698	4612	1423	15	-104	196	31.42	31.42	(22+23)-III-2	44
4	-1575	-16600	9582	-181	29	330	31.42	31.42	(22+23)-III-2	27
5	161	8851	-80	-169	-78	-235	31.42	31.42	(22+23)-VII-3	34
6	-1358	8241	2601	-69	-82	207	31.42	31.42	(22+23)-III-2	44
7	-1265	741	5873	-84	-93	301	31.42	31.42	(22+23)-III-2	35
8	-8227	-8827	11023	-239	7	365	31.42	31.42	(22+23)-III-2	24
9	-2367	4272	-1705	-207	-44	146	31.42	31.42	(22+23)-I-2	40
10	-2118	3975	3701	-136	-56	210	31.42	31.42	(22+23)-III-2	40
11	-2503	-380	8637	-171	-64	288	31.42	31.42	(22+23)-III-2	31
12	-8897	-4604	11548	-324	-34	321	31.42	31.42	(22+23)-III-2	23
13	-4858	994	-1697	-260	-35	152	31.42	31.42	(22+23)-I-2	35
14	-4708	818	4169	-186	-35	205	31.42	31.42	(22+23)-III-2	36
15	-4653	-606	9621	-244	-43	261	31.42	31.42	(22+23)-III-2	28
16	-10247	-1998	11138	-440	-52	282	31.42	31.42	(22+23)-III-2	21
Massimi/minimi										
1							31.42			
1								31.42		
16										21

Muro :153 - Nodi : [10 - 911 - 17 - 863]:Verificato

Pann.X=4 Pann.Y=4 Spess.= 30 cm Criterio CLS_Muri_Esist Materiale: C20/25rcm=200
[kg/cmq],fym=4200 [kg/cmq], FC=1.20 qd=2.5, qf=1.5 :

Armatura a maglia doppia

Pannello	Nx	Ny	Nxy	Mx	My	Mxy	Ax	Ay	C	Cs
	kg	kg	kg	kg*m	kg*m	kg*m	cmq	cmq		
1	-15526	-5514	3123	-332	140	141	31.42	31.42	(22+23)-III-1	33
2	-14504	-14188	5345	-288	236	-91	31.42	31.42	(22+23)-III-2	41
3	-16401	-23282	7784	-100	274	-189	31.42	31.42	(22+23)-IV-2	36
4	-11740	-20783	5482	-27	379	-244	31.42	31.42	(22+23)-IV-2	26
5	-11121	-2061	5229	-307	99	255	31.42	31.42	(22+23)-III-1	27
6	-10459	-3214	3727	-257	119	180	31.42	31.42	(22+23)-III-1	34
7	-10580	-3884	2968	-185	185	136	31.42	31.42	(22+23)-III-1	44
8	-11344	-17504	3028	-62	345	-219	31.42	31.42	(22+23)-IV-2	28
9	-12959	-4719	7888	-411	20	244	31.42	31.42	(22+23)-I-2	23
10	-11428	-1724	5057	-314	41	239	31.42	31.42	(22+23)-III-1	27
11	-9449	-2565	3532	-257	103	188	31.42	31.42	(22+23)-III-1	33
12	-7125	-3920	2333	-187	231	159	31.42	31.42	(22+23)-III-1	36
13	-11564	-2647	9586	-554	-52	293	31.42	31.42	(22+23)-III-2	18
14	-10954	-2720	6517	-531	-38	231	31.42	31.42	(22+23)-I-2	20
15	-8935	-3279	4659	-473	-11	187	31.42	31.42	(22+23)-I-2	22
16	-5791	-1835	4150	-346	58	180	31.42	31.42	(22+23)-III-1	27
Massimi/minimi										
1							31.42			
1								31.42		
13										18

Muro :154 - Nodi : [860 - 10 - 10 - 863]:Verificato

Pann.X=4 Pann.Y=4 Spess.= 30 cm Criterio CLS_Muri_Esist Materiale: C20/25rcm=200
[kg/cmq],fym=4200 [kg/cmq], FC=1.20 qd=2.5, qf=1.5 :

Armatura a maglia doppia

Pannello	Nx	Ny	Nxy	Mx	My	Mxy	Ax	Ay	C	Cs
	kg	kg	kg	kg*m	kg*m	kg*m	cmq	cmq		
1	7195	-6923	-5030	512	123	284	31.42	31.42	(22+23)-IV-2	16
2	-411	-10531	-5042	153	107	304	31.42	31.42	(22+23)-IV-2	30

Pannello	Nx	Ny	Nxy	Mx	My	Mxy	Ax	Ay	C	Cs
3	-738	-14155	-6603	95	23	320	31.42	31.42	(22+23)-IV-2	33
4	-14345	-16109	-8536	267	9	290	31.42	31.42	(22+23)-IV-2	28
5	3017	-6782	-2816	-442	-183	-224	31.42	31.42	(22+23)-III-3	20
6	135	-9997	-1699	149	216	144	31.42	31.42	(22+23)-III-2	41
7	-513	-17081	-5215	70	28	268	31.42	31.42	(22+23)-IV-2	41
8	-13744	-20166	-10569	195	-21	263	31.42	31.42	(22+23)-IV-2	34
9	3515	-2468	-5574	358	-131	-276	31.42	31.42	(22+23)-III-4	21
10	-407	-10039	-905	61	241	138	31.42	31.42	(22+23)-III-2	39
11	-666	-18241	-2805	35	42	252	31.42	31.42	(22+23)-IV-2	48
12	-10208	-27659	-12088	141	-50	278	31.42	31.42	(22+23)-IV-2	36
13	-2210	-9443	415	-274	121	270	31.42	31.42	(22+23)-III-1	26
14	-3790	-11190	-422	26	249	77	31.42	31.42	(22+23)-III-2	46
15	-2236	-9706	345	10	67	-133	31.42	31.42	(22+23)-VIII-1	74
16	4763	-38074	-12536	102	-71	215	31.42	31.42	(22+23)-IV-2	41
Massimi/minimi										
1							31.42			
1								31.42		
1										16

Muro :155 - Nodi : [910 - 10 - 860 - 18]:Verificato

Pann.X=4 Pann.Y=4 Spess.= 30 cm Criterio CLS_Muri_Esist Materiale: C20/25rcm=200
[kg/cmq],fym=4200 [kg/cmq], FC=1.20 qd=2.5, qf=1.5 :

Armatura a maglia doppia

Pannello	Nx	Ny	Nxy	Mx	My	Mxy	Ax	Ay	C	Cs
	kg	kg	kg	kg*m	kg*m	kg*m	cmq	cmq		
1	-3023	7491	-107	-255	-836	42	31.42	31.42	(22+23)-IV-1	15
2	-3969	6469	-415	-332	-872	91	31.42	31.42	(22+23)-IV-1	13
3	-6582	4807	403	-418	-934	130	31.42	31.42	(22+23)-IV-1	12
4	-10375	795	2746	-514	-1107	169	31.42	31.42	(22+23)-IV-1	11
5	-3099	808	-82	-432	-748	-228	31.42	31.42	(22+23)-III-1	14
6	-5083	720	772	-530	-790	-237	31.42	31.42	(22+23)-III-1	13
7	-8025	2041	2410	-412	-935	-204	31.42	31.42	(22+23)-IV-1	12
8	-10447	2829	2459	-465	-1287	249	31.42	31.42	(22+23)-IV-1	8.7
9	-4318	550	-636	-329	-765	-255	31.42	31.42	(22+23)-III-1	13
10	-6286	368	717	-366	-779	-241	31.42	31.42	(22+23)-III-1	13
11	-8856	239	1695	-388	-865	-215	31.42	31.42	(22+23)-III-1	13
12	-8556	595	-173	-303	-1064	171	31.42	31.42	(22+23)-IV-1	11
13	6452	20453	54	108	681	213	31.42	31.42	(22+23)-III-4	13
14	-4266	12391	1980	106	679	231	31.42	31.42	(22+23)-III-4	13
15	-6492	9179	3324	81	733	209	31.42	31.42	(22+23)-III-4	13
16	-10851	7849	2331	62	852	154	31.42	31.42	(22+23)-I-4	13
Massimi/minimi										
1							31.42			
1								31.42		
8										8.7

Muro :156 - Nodi : [914 - 10 - 10 - 910]:Verificato

Pann.X=4 Pann.Y=4 Spess.= 30 cm Criterio CLS_Muri_Esist Materiale: C20/25rcm=200
[kg/cmq],fym=4200 [kg/cmq], FC=1.20 qd=2.5, qf=1.5 :

Armatura a maglia doppia

Pannello	Nx	Ny	Nxy	Mx	My	Mxy	Ax	Ay	C	Cs
	kg	kg	kg	kg*m	kg*m	kg*m	cmq	cmq		
1	-2280	10347	2680	-85	-367	-57	31.42	31.42	(22+23)-III-3	29
2	-247	2463	2965	-35	-339	-41	31.42	31.42	(22+23)-VII-3	35
3	-75	107	-555	15	-493	22	31.42	31.42	(22+23)-VIII-3	27
4	-1262	2619	-924	38	-652	35	31.42	31.42	(22+23)-IV-3	19
5	-2975	4723	3937	-52	-389	-171	31.42	31.42	(22+23)-III-3	23
6	-136	1386	1654	-18	-339	-150	31.42	31.42	(22+23)-VII-3	28

Pannello	Nx	Ny	Nxy	Mx	My	Mxy	Ax	Ay	C	Cs
7	-149	-1383	-1044	6	-496	-127	31.42	31.42	(22+23)-VIII-3	22
8	-1362	1952	-2173	-25	-649	-150	31.42	31.42	(22+23)-VIII-3	17
9	-4132	-3607	4868	-47	-420	-185	31.42	31.42	(22+23)-III-3	23
10	-126	2075	-685	-10	-375	-122	31.42	31.42	(22+23)-VIII-3	27
11	-110	-206	-1587	-4	-495	-127	31.42	31.42	(22+23)-VIII-3	22
12	-1458	-1073	-2623	-49	-674	-164	31.42	31.42	(22+23)-VIII-3	17
13	-4148	-21271	9069	-37	-487	192	31.42	31.42	(22+23)-III-4	24
14	-401	3499	-73	4	-375	-81	31.42	31.42	(22+23)-VIII-3	29
15	-599	841	-494	9	-493	-85	31.42	31.42	(22+23)-VIII-3	24
16	1243	30590	7007	9	685	85	31.42	31.42	(22+23)-VIII-2	13
Massimi/minimi										
1							31.42			
1								31.42		
16										13

Muro :157 - Nodi : [914 - 16 - 813 - 10]:Verificato

Pann.X=4 Pann.Y=4 Spess.= 30 cm Criterio CLS_Muri_Esist Materiale: C20/25rcm=200
[kg/cmq],fym=4200 [kg/cmq], FC=1.20 qd=2.5, qf=1.5 :

Armatura a maglia doppia

Pannello	Nx	Ny	Nxy	Mx	My	Mxy	Ax	Ay	C	Cs
	kg	kg	kg	kg*m	kg*m	kg*m	cmq	cmq		
1	18426	-1970	1635	-424	-82	51	31.42	31.42	(22+23)-III-4	24
2	10060	-1738	1728	-425	77	130	31.42	31.42	(22+23)-III-4	23
3	2849	-2956	1614	-416	-80	152	31.42	31.42	(22+23)-III-4	24
4	-829	-2636	-646	362	83	-217	31.42	31.42	(22+23)-III-1	24
5	-230	-838	1275	536	194	-95	31.42	31.42	(22+23)-III-1	22
6	-1210	-439	1718	533	-189	-153	31.42	31.42	(22+23)-III-1	20
7	-1933	-1236	1852	499	-177	-174	31.42	31.42	(22+23)-III-1	21
8	-2477	-1712	1927	459	-159	-188	31.42	31.42	(22+23)-III-1	22
9	-3231	-2904	1390	763	-424	-84	31.42	31.42	(22+23)-III-1	17
10	-3247	-2629	2269	745	-350	-182	31.42	31.42	(22+23)-I-1	15
11	-3165	-2834	3127	720	-280	-212	31.42	31.42	(22+23)-I-1	15
12	-2752	-3571	3348	683	-216	-225	31.42	31.42	(22+23)-I-1	15
13	-887	-4086	307	1070	417	-131	31.42	31.42	(22+23)-I-3	12
14	6460	-5091	-2191	-1022	252	-220	31.42	31.42	(22+23)-III-4	10
15	5820	-4033	-2203	-908	218	-237	31.42	31.42	(22+23)-III-4	11
16	4765	-4068	-2319	-782	193	-224	31.42	31.42	(22+23)-III-4	13
Massimi/minimi										
1							31.42			
1								31.42		
14										10

Muro :158 - Nodi : [10 - 813 - 810 - 10]:Verificato

Pann.X=4 Pann.Y=4 Spess.= 30 cm Criterio CLS_Muri_Esist Materiale: C20/25rcm=200
[kg/cmq],fym=4200 [kg/cmq], FC=1.20 qd=2.5, qf=1.5 :

Armatura a maglia doppia

Pannello	Nx	Ny	Nxy	Mx	My	Mxy	Ax	Ay	C	Cs
	kg	kg	kg	kg*m	kg*m	kg*m	cmq	cmq		
1	-4082	-6783	-2819	162	151	-355	31.42	31.42	(22+23)-I-2	27
2	-319	-7530	-774	45	-126	-248	31.42	31.42	(22+23)-III-2	39
3	59	-6597	-515	-41	-95	-216	31.42	31.42	(22+23)-VII-2	47
4	749	-6669	-505	-57	-247	-138	31.42	31.42	(22+23)-I-2	38
5	-2517	-3210	1735	382	-105	-184	31.42	31.42	(22+23)-III-1	25
6	-1043	-5267	1589	264	-48	-153	31.42	31.42	(22+23)-III-1	33
7	1192	-3319	-3848	-184	107	162	31.42	31.42	(22+23)-I-4	39
8	3200	-5376	-2246	-121	65	209	31.42	31.42	(22+23)-I-4	40
9	-2136	-4246	3011	571	172	-218	31.42	31.42	(22+23)-I-1	18
10	-1462	-5171	2416	424	15	116	31.42	31.42	(22+23)-III-1	26

Pannello	Nx	Ny	Nxy	Mx	My	Mxy	Ax	Ay	C	Cs
11	-987	-6193	1785	284	-18	135	31.42	31.42	(22+23)-III-1	33
12	1212	-5008	-1003	51	119	231	31.42	31.42	(22+23)-V-4	41
13	-1786	-5018	2335	709	207	183	31.42	31.42	(22+23)-III-1	16
14	634	-5265	2290	547	171	187	31.42	31.42	(22+23)-III-1	19
15	385	-6552	1129	407	38	217	31.42	31.42	(22+23)-I-2	22
16	281	-7556	937	382	-67	-175	31.42	31.42	(22+23)-III-1	25
Massimi/minimi										
1							31.42			
1								31.42		
13										16

Muro :159 - Nodi : [864 - 25 - 6 - 878]:Verificato

Pann.X=4 Pann.Y=4 Spess.= 30 cm Criterio CLS_Muri_Esist Materiale: C20/25rcm=200
[kg/cmq],fym=4200 [kg/cmq], FC=1.20 qd=2.5, qf=1.5 :

Armatura a maglia doppia

Pannello	Nx	Ny	Nxy	Mx	My	Mxy	Ax	Ay	C	Cs
	kg	kg	kg	kg*m	kg*m	kg*m	cmq	cmq		
1	-5842	1214	-1968	38	-61	147	31.42	31.42	(22+23)-V-3	65
2	-6370	-119	-1481	48	11	218	31.42	31.42	(22+23)-V-3	54
3	-6226	-191	1642	-63	-20	-204	31.42	31.42	(22+23)-VII-2	54
4	-6312	922	-1062	-81	-29	-158	31.42	31.42	(22+23)-V-1	60
5	-6529	1113	-1767	66	-40	143	31.42	31.42	(22+23)-V-3	69
6	-6516	-218	-1477	58	5	221	31.42	31.42	(22+23)-V-3	52
7	-6259	-325	1591	-44	-14	-219	31.42	31.42	(22+23)-V-2	55
8	-7221	729	-1145	-57	-19	-157	31.42	31.42	(22+23)-V-1	68
9	-6648	644	-1384	104	5	142	31.42	31.42	(22+23)-V-3	59
10	-6738	-328	-1541	85	3	198	31.42	31.42	(22+23)-VII-3	51
11	-6506	-511	1633	-43	-6	-212	31.42	31.42	(22+23)-V-2	57
12	-7828	310	-1514	-46	-7	-156	31.42	31.42	(22+23)-V-1	72
13	-5762	-130	345	157	13	144	31.42	31.42	(22+23)-V-3	48
14	-7420	-660	-742	99	9	188	31.42	31.42	(22+23)-VII-3	51
15	-7617	-805	1277	-53	-4	-191	31.42	31.42	(22+23)-VII-2	60
16	-6985	-356	-2459	86	8	-153	31.42	31.42	(22+23)-VII-1	61
Massimi/minimi										
1							31.42			
1								31.42		
13										48

Muro :160 - Nodi : [878 - 887 - 867 - 864]:Verificato

Pann.X=4 Pann.Y=4 Spess.= 30 cm Criterio CLS_Muri_Esist Materiale: C20/25rcm=200
[kg/cmq],fym=4200 [kg/cmq], FC=1.20 qd=2.5, qf=1.5 :

Armatura a maglia doppia

Pannello	Nx	Ny	Nxy	Mx	My	Mxy	Ax	Ay	C	Cs
	kg	kg	kg	kg*m	kg*m	kg*m	cmq	cmq		
1	-6790	1062	-264	89	124	117	31.42	31.42	(22+23)-V-3	56
2	-6320	257	-951	47	52	222	31.42	31.42	(22+23)-V-3	50
3	-5146	-62	-935	20	-37	220	31.42	31.42	(22+23)-I-3	53
4	-5914	805	-2303	28	-103	160	31.42	31.42	(22+23)-V-3	52
5	-6644	951	-290	65	216	129	31.42	31.42	(22+23)-V-3	39
6	-5285	568	2563	-54	61	-204	31.42	31.42	(22+23)-VII-2	52
7	-4239	-53	-1001	14	-68	212	31.42	31.42	(22+23)-I-3	49
8	-5852	71	-2488	-14	-175	194	31.42	31.42	(22+23)-V-3	37
9	-6740	2356	-674	46	321	138	31.42	31.42	(22+23)-V-3	29
10	-4130	1304	1012	-49	124	-166	31.42	31.42	(22+23)-V-1	47
11	-2916	83	-765	-13	-100	199	31.42	31.42	(22+23)-I-3	46
12	-6730	-569	-962	-81	229	189	31.42	31.42	(22+23)-VII-4	33
13	-8707	4659	-980	68	424	143	31.42	31.42	(22+23)-V-3	23
14	-2103	1488	1642	-34	160	-165	31.42	31.42	(22+23)-V-1	42

Pannello	Nx	Ny	Nxy	Mx	My	Mxy	Ax	Ay	C	Cs
15	-1915	846	868	13	153	-185	31.42	31.42	(22+23)-I-2	40
16	-6884	538	544	52	393	-82	31.42	31.42	(22+23)-II-2	29
Massimi/minimi										
1							31.42			
1								31.42		
13										23

Muro :161 - Nodi : [867 - 887 - 28 - 26]:**Verificato**

Pann.X=4 Pann.Y=4 Spess.= 30 cm Criterio CLS_Muri_Esist Materiale: C20/25rcm=200
[kg/cmq],fym=4200 [kg/cmq], FC=1.20 qd=2.5, qf=1.5 :

Armatura a maglia doppia

Pannello	Nx	Ny	Nxy	Mx	My	Mxy	Ax	Ay	C	Cs
	kg	kg	kg	kg*m	kg*m	kg*m	cmq	cmq		
1	1984	-6349	-527	448	22	28	31.42	31.42	(22+23)-II-2	28
2	3814	1377	-320	473	10	78	31.42	31.42	(22+23)-II-2	24
3	3497	3518	927	-321	-481	161	31.42	31.42	(22+23)-VII-1	21
4	5297	-2319	827	-376	-642	138	31.42	31.42	(22+23)-V-1	18
5	2051	-2182	-1026	187	49	196	31.42	31.42	(22+23)-I-2	35
6	3141	197	-1009	198	46	213	31.42	31.42	(22+23)-I-2	32
7	2735	1365	-1100	228	50	-188	31.42	31.42	(22+23)-VII-4	32
8	2499	-2332	-539	239	76	-97	31.42	31.42	(22+23)-V-4	40
9	2578	1080	-1962	187	-30	168	31.42	31.42	(22+23)-V-1	38
10	1456	715	-1325	198	-30	160	31.42	31.42	(22+23)-V-1	38
11	2553	-743	1137	209	62	148	31.42	31.42	(22+23)-V-1	38
12	4680	509	1324	210	63	93	31.42	31.42	(22+23)-V-1	43
13	3894	-12017	310	483	101	-157	31.42	31.42	(22+23)-V-3	21
14	1478	-24191	77	502	128	-153	31.42	31.42	(22+23)-V-3	21
15	-3681	-29263	-2660	517	165	-147	31.42	31.42	(22+23)-V-3	21
16	-4632	-22005	-9806	591	202	-8	31.42	31.42	(22+23)-VI-3	24
Massimi/minimi										
1							31.42			
1								31.42		
4										18

VERIFICHE STATO LIMITE DI ESERCIZIO

Verifica delle travi (Stati limite esercizio)
Scenario di calcolo : Scenario di calcolo N.T. 2018

Simbologia:

L[cm] :Lunghezza teorica elemento (distanza tra i nodi)
Ln[cm] :Lunghezza netta elemento (tiene conto dei concetti rigidi)
Terreno :Nome della stratigrafia per travi Winkler
L2,L3[cm] :Lunghezze libere di inflessione

Sez. R :Sezione Rettangolare

By[cm] :Larghezza (asse locale y)

Bz[cm] :Larghezza (asse locale z)

Sez. T : Sezione a T (rovescia e non)

Ba[cm] :Larghezza base inferiore

Ha[cm] :Altezza inferiore

Bs[cm] :Larghezza superiore

Hs[cm] :Altezza superiore

Sez. L : Sezione ad L (rovescia e non)

Ba[cm] :Larghezza base inferiore

Ha[cm] :Altezza inferiore

Bs[cm] :Larghezza superiore

Hs[cm] :Altezza superiore

Sez. C : Sezione circolare

R[cm] :Raggio

Criterio : Criterio di verifica adottato

X[cm] : Punto di verifica

σ_{ca} [kg/cmq] : Tensione ammissibile nel cls

σ_{fa} [kg/cmq] : Tensione ammissibile nell'acciaio

σ_{cta} [kg/cmq] : Tensione ammissibile a trazione (quando richiesto dalla verifica)

M-[kg*m] : Momento negativo massimo di calcolo

M+[kg*m] : Momento positivo massimo di calcolo

M[kg*m] : Momento di calcolo (travi a flessione, pilastri circolari)

My[kg*m] : Momento calcolo per verifiche a pressoflessione

Mz[kg*m] : Momento calcolo per verifiche a pressoflessione (Sez. L,Pilastri)

N[kg] : Sforzo normale corrispondente ad My (e Mz per Sez. L,Pilastri)

Afsup[cmq] : Area di ferro superiore

Afinf[cmq] : Area di ferro inferiore

Afsin[cmq] : Area di ferro sinistra (Sez. L)

Afdes[cmq] : Area di ferro destra (Sez. L)

σ_c -[kg/cmq] : Tensione nel cls compresso per effetto di M-

σ_c + [kg/cmq] : Tensione nel cls compresso per effetto di M+

σ_{ct} -[kg/cmq] : Tensione nel cls teso per effetto di M-

σ_{ct} + [kg/cmq] : Tensione nel cls teso per effetto di M+

σ_f -[kg/cmq] : Tensione nell'acciaio per effetto di M-

σ_f + [kg/cmq] : Tensione nell'acciaio per effetto di M+

Cb- : Combinazione di carico generatore di M-

Cb+ : Combinazione di carico generatore di M+

σ_c : Tensione nel cls per effetto di N My

σ_f : Tensione nell'acciaio per effetto di N My

Cb : Combinazione di carico generatore di N My

Act[mq] : Area di calcestruzzo teso

Aft[cmq] : Area di acciaio teso

pAft[cm] : Perimetro area di acciaio teso

$S_{r,max}$ [cm] : Distanza massima delle fessure

σ_{fmed} [kg/cmq] : Tensione media dell'acciaio

Wd[mm] : Apertura delle fessure

Wk[mm] : Apertura caratteristica delle fessure

Wamm_Freq[mm]: Apertura ammissibile delle fessure per combinazione Frequente

Wamm_Qp[mm]: Apertura ammissibile delle fessure per combinazione Quasi Permanente

Wamm_Rara[mm]: Apertura ammissibile delle fessure per combinazione Rara

Cs : Coefficiente di sicurezza definito come minimo di σ_{Amm}/σ tra acciaio e calcestruzzo oppure Wamm/Wk

Trave : 101 [2 , 804] Pilastrate [12 , -]

Sez. R: By= 40.0 cm Bz=60.0 cm L=95.0 cm Ln=75.0 cm

Criterio : CLS_TraviAlte_Esist

Combinazione Rara: σ_{ca} [kg/cmq]=56 σ_{fa} [kg/cmq]=2800

X	M+	M-	Afsup	Afinf	σ_{c+}	σ_{f+}	σ_{c-}	σ_{f-}	Cb+	Cb-	Ver.	CS
cm	kg*m	kg*m	cmq	cmq	kg/cmq	kg/cmq	kg/cmq	kg/cmq				
0.0	250	--	9.42	6.28	-1	71	--	--	24	28	Si	39
7.5	238	--	9.42	6.28	-1	67	--	--	24	28	Si	41
37.5	110	--	9.42	6.28	-1	31	--	--	24	28	Si	90
67.5	130	--	9.42	6.28	-1	37	--	--	27	24	Si	76
75.0	123	--	9.42	6.28	-1	35	--	--	27	24	Si	80

Combinazione QP: σ_{ca} [kg/cmq]=42 σ_{fa} [kg/cmq]=2800

X	M+	M-	Afsup	Afinf	σ_{c+}	σ_{f+}	σ_{c-}	σ_{f-}	Cb+	Cb-	Ver.	CS
cm	kg*m	kg*m	cmq	cmq	kg/cmq	kg/cmq	kg/cmq	kg/cmq				
0.0	198	--	9.42	6.28	-1	56	--	--	38	38	Si	44
7.5	190	--	9.42	6.28	-1	54	--	--	38	38	Si	46
37.5	108	--	9.42	6.28	-1	31	--	--	38	38	Si	81
67.5	143	--	9.42	6.28	-1	41	--	--	38	38	Si	61
75.0	139	--	9.42	6.28	-1	40	--	--	38	38	Si	62

Verifica aperture fessure:Wamm_Freq[mm]=0.400 Wamm_Qp[mm]=0.300

X	M	Act	Aft	pAft	$S_{r,max}$	σ_{fmed}	Wd	Wk	Cb	Ver.	Cs
cm	kg*m	mq	cmq	cm	cm	kg/cmq	mm	mm			
0.0	-204	0.0	6.28	12.57	12.2	58	0.002	0.002	34(Fr)	Si	>100
0.0	-198	0.0	6.28	12.57	12.2	56	0.002	0.002	38(Qp)	Si	>100
7.5	-190	0.0	6.28	12.57	12.2	54	0.002	0.002	38(Qp)	Si	>100
7.5	-195	0.0	6.28	12.57	12.2	55	0.002	0.002	34(Fr)	Si	>100
37.5	-108	0.0	6.28	12.57	12.2	31	0.001	0.001	38(Qp)	Si	>100
37.5	-111	0.0	6.28	12.57	12.2	31	0.001	0.001	34(Fr)	Si	>100
67.5	-143	0.0	6.28	12.57	12.2	41	0.001	0.001	38(Qp)	Si	>100
67.5	-145	0.0	6.28	12.57	12.2	41	0.001	0.001	34(Fr)	Si	>100
75.0	-139	0.0	6.28	12.57	12.2	40	0.001	0.001	38(Qp)	Si	>100
75.0	-141	0.0	6.28	12.57	12.2	40	0.001	0.001	34(Fr)	Si	>100

Trave : 101 [4 , 815] Pilastrate [14 , -]

Sez. R: By= 40.0 cm Bz=60.0 cm L=130.0 cm Ln=110.0 cm

Criterio : CLS_TraviAlte_Esist

Combinazione Rara: σ_{ca} [kg/cmq]=56 σ_{fa} [kg/cmq]=2800

X	M+	M-	Afsup	Afinf	σ_{c+}	σ_{f+}	σ_{c-}	σ_{f-}	Cb+	Cb-	Ver.	CS
cm	kg*m	kg*m	cmq	cmq	kg/cmq	kg/cmq	kg/cmq	kg/cmq				
0.0	--	708	9.42	6.28	--	--	-3	137	24	29	Si	17
11.0	--	656	9.42	6.28	--	--	-3	127	24	29	Si	19
55.0	--	709	9.42	6.28	--	--	-3	137	26	29	Si	17
99.0	--	794	9.42	6.28	--	--	-4	154	26	29	Si	15
110.0	--	857	9.42	6.28	--	--	-4	166	26	24	Si	14

Combinazione QP: σ_{ca} [kg/cmq]=42 σ_{fa} [kg/cmq]=2800

X	M+	M-	Afsup	Afinf	σ_{c+}	σ_{f+}	σ_{c-}	σ_{f-}	Cb+	Cb-	Ver.	CS
cm	kg*m	kg*m	cmq	cmq	kg/cmq	kg/cmq	kg/cmq	kg/cmq				
0.0	--	676	9.42	6.28	--	--	-3	131	38	38	Si	14
11.0	--	625	9.42	6.28	--	--	-3	121	38	38	Si	15
55.0	--	678	9.42	6.28	--	--	-3	131	38	38	Si	13
99.0	--	762	9.42	6.28	--	--	-4	148	38	38	Si	12
110.0	--	821	9.42	6.28	--	--	-4	159	38	38	Si	11

Verifica aperture fessure:Wamm_Freq[mm]=0.400 Wamm_Qp[mm]=0.300

X	M	Act	Aft	pAft	$S_{r,max}$	σ_{fmed}	Wd	Wk	Cb	Ver.	Cs
---	---	-----	-----	------	-------------	-----------------	----	----	----	------	----

X	M	Act	Aft	pAft	S _{r,max}	σ _{fmed}	Wd	Wk	Cb	Ver.	Cs
cm	kg*m	mq	cmq	cm	cm	kg/cmq	mm	mm			
0.0	701	0.0	9.42	18.85	10.4	136	0.004	0.004	33(Fr)	Si	99
0.0	676	0.0	9.42	18.85	10.4	131	0.004	0.004	38(Qp)	Si	77
11.0	625	0.0	9.42	18.85	10.4	121	0.004	0.004	38(Qp)	Si	83
11.0	647	0.0	9.42	18.85	10.4	125	0.004	0.004	33(Fr)	Si	>100
55.0	678	0.0	9.42	18.85	10.4	131	0.004	0.004	38(Qp)	Si	77
55.0	697	0.0	9.42	18.85	10.4	135	0.004	0.004	33(Fr)	Si	100
99.0	762	0.0	9.42	18.85	10.4	148	0.004	0.004	38(Qp)	Si	68
99.0	782	0.0	9.42	18.85	10.4	152	0.005	0.005	33(Fr)	Si	89
110.0	821	0.0	9.42	18.85	10.4	159	0.005	0.005	38(Qp)	Si	63
110.0	842	0.0	9.42	18.85	10.4	163	0.005	0.005	33(Fr)	Si	82

Trave : 101 [804 , 806] Pilastrate [- , -]

Sez. R: By= 40.0 cm Bz=60.0 cm L=400.0 cm Ln=400.0 cm

Criterio : CLS_TraviAlte_Esist

Combinazione Rara: σ_{ca}[kg/cmq]=56 σ_{fa}[kg/cmq]=2800

X	M+	M-	Afsup	Afinf	σ _{c+}	σ _{f+}	σ _{c-}	σ _{f-}	Cb+	Cb-	Ver.	CS
cm	kg*m	kg*m	cmq	cmq	kg/cmq	kg/cmq	kg/cmq	kg/cmq				
0.0	187	--	9.42	6.28	-1	53	--	--	27	24	Si	53
40.0	713	--	9.42	6.28	-3	203	--	--	24	28	Si	14
200.0	984	--	9.42	6.28	-5	279	--	--	24	29	Si	10
360.0	--	336	9.42	6.28	--	--	-2	65	24	29	Si	36
400.0	--	935	9.42	6.28	--	--	-4	181	26	24	Si	13

Combinazione QP: σ_{ca}[kg/cmq]=42 σ_{fa}[kg/cmq]=2800

X	M+	M-	Afsup	Afinf	σ _{c+}	σ _{f+}	σ _{c-}	σ _{f-}	Cb+	Cb-	Ver.	CS
cm	kg*m	kg*m	cmq	cmq	kg/cmq	kg/cmq	kg/cmq	kg/cmq				
0.0	201	--	9.42	6.28	-1	57	--	--	38	38	Si	43
40.0	672	--	9.42	6.28	-3	191	--	--	38	38	Si	13
200.0	874	--	9.42	6.28	-4	248	--	--	38	38	Si	10.0
360.0	--	338	9.42	6.28	--	--	-2	65	38	38	Si	27
400.0	--	872	9.42	6.28	--	--	-4	169	38	38	Si	10

Verifica aperture fessure: W_{amm}_Freq[mm]=0.400 W_{amm}_Qp[mm]=0.300

X	M	Act	Aft	pAft	S _{r,max}	σ _{fmed}	Wd	Wk	Cb	Ver.	Cs
cm	kg*m	mq	cmq	cm	cm	kg/cmq	mm	mm			
0.0	-202	0.0	6.28	12.57	12.2	57	0.002	0.002	34(Fr)	Si	>100
0.0	-201	0.0	6.28	12.57	12.2	57	0.002	0.002	38(Qp)	Si	>100
40.0	-672	0.0	6.28	12.57	12.2	191	0.007	0.007	38(Qp)	Si	45
40.0	-679	0.0	6.28	12.57	12.2	193	0.007	0.007	33(Fr)	Si	59
200.0	-874	0.0	6.28	12.57	12.2	248	0.009	0.009	38(Qp)	Si	35
200.0	-900	0.0	6.28	12.57	12.2	256	0.009	0.009	33(Fr)	Si	45
360.0	338	0.0	9.42	18.85	10.4	65	0.002	0.002	38(Qp)	Si	>100
360.0	338	0.0	9.42	18.85	10.4	65	0.002	0.002	33(Fr)	Si	>100
400.0	872	0.0	9.42	18.85	10.4	169	0.005	0.005	38(Qp)	Si	60
400.0	892	0.0	9.42	18.85	10.4	173	0.005	0.005	33(Fr)	Si	78

Trave : 101 [806 , 4] Pilastrate [- , 14]

Sez. R: By= 40.0 cm Bz=60.0 cm L=95.0 cm Ln=115.0 cm

Criterio : CLS_TraviAlte_Esist

Combinazione Rara: σ_{ca}[kg/cmq]=56 σ_{fa}[kg/cmq]=2800

X	M+	M-	Afsup	Afinf	σ _{c+}	σ _{f+}	σ _{c-}	σ _{f-}	Cb+	Cb-	Ver.	CS
cm	kg*m	kg*m	cmq	cmq	kg/cmq	kg/cmq	kg/cmq	kg/cmq				
0.0	--	1013	9.42	6.28	--	--	-5	196	28	24	Si	12
11.5	--	963	9.42	6.28	--	--	-4	187	28	24	Si	13
57.5	--	844	9.42	6.28	--	--	-4	163	27	24	Si	14
103.5	--	572	9.42	6.28	--	--	-3	111	24	29	Si	21
115.0	--	555	9.42	6.28	--	--	-3	107	24	29	Si	22

Combinazione QP: $\sigma_{ca}[\text{kg/cm}^2]=42$ $\sigma_{fa}[\text{kg/cm}^2]=2800$

X	M+	M-	Afsup	Afinf	σ_{c+}	σ_{f+}	σ_{c-}	σ_{f-}	Cb+	Cb-	Ver.	CS
cm	kg*m	kg*m	cmq	cmq	kg/cmq	kg/cmq	kg/cmq	kg/cmq				
0.0	--	940	9.42	6.28	--	--	-4	182	38	38	Si	9.7
11.5	--	895	9.42	6.28	--	--	-4	173	38	38	Si	10
57.5	--	790	9.42	6.28	--	--	-4	153	38	38	Si	12
103.5	--	547	9.42	6.28	--	--	-3	106	38	38	Si	17
115.0	--	529	9.42	6.28	--	--	-2	102	38	38	Si	17

Verifica aperture fessure: Wamm_Freq[mm]=0.400 Wamm_Qp[mm]=0.300

X	M	Act	Aft	pAft	$S_{r,max}$	σ_{fmed}	Wd	Wk	Cb	Ver.	Cs
cm	kg*m	mq	cmq	cm	cm	kg/cmq	mm	mm			
0.0	960	0.0	9.42	18.85	10.4	186	0.006	0.006	33(Fr)	Si	72
0.0	940	0.0	9.42	18.85	10.4	182	0.005	0.005	38(Qp)	Si	55
11.5	895	0.0	9.42	18.85	10.4	173	0.005	0.005	38(Qp)	Si	58
11.5	914	0.0	9.42	18.85	10.4	177	0.005	0.005	33(Fr)	Si	76
57.5	790	0.0	9.42	18.85	10.4	153	0.005	0.005	38(Qp)	Si	66
57.5	809	0.0	9.42	18.85	10.4	157	0.005	0.005	33(Fr)	Si	86
103.5	547	0.0	9.42	18.85	10.4	106	0.003	0.003	38(Qp)	Si	95
103.5	566	0.0	9.42	18.85	10.4	110	0.003	0.003	33(Fr)	Si	>100
115.0	529	0.0	9.42	18.85	10.4	102	0.003	0.003	38(Qp)	Si	98
115.0	549	0.0	9.42	18.85	10.4	106	0.003	0.003	33(Fr)	Si	>100

Trave : 101 [815 , 816] Pilastrate [- , -]

Sez. R: $B_y = 40.0 \text{ cm}$ $B_z = 60.0 \text{ cm}$ $L = 400.0 \text{ cm}$ $L_n = 400.0 \text{ cm}$

Criterio : CLS_TraviAlte_Esist

Combinazione Rara: $\sigma_{ca}[\text{kg/cm}^2]=56$ $\sigma_{fa}[\text{kg/cm}^2]=2800$

X	M+	M-	Afsup	Afinf	σ_{c+}	σ_{f+}	σ_{c-}	σ_{f-}	Cb+	Cb-	Ver.	CS
cm	kg*m	kg*m	cmq	cmq	kg/cmq	kg/cmq	kg/cmq	kg/cmq				
0.0	--	652	12.57	6.28	--	--	-3	96	26	29	Si	21
40.0	--	166	12.57	6.28	--	--	-1	24	24	29	Si	81
200.0	815	--	6.28	6.28	-4	233	--	--	24	26	Si	12
360.0	42	9	6.28	6.28	-0	12	-0	3	29	24	Si	>100
400.0	--	598	9.42	6.28	--	--	-3	116	29	24	Si	20

Combinazione QP: $\sigma_{ca}[\text{kg/cm}^2]=42$ $\sigma_{fa}[\text{kg/cm}^2]=2800$

X	M+	M-	Afsup	Afinf	σ_{c+}	σ_{f+}	σ_{c-}	σ_{f-}	Cb+	Cb-	Ver.	CS
cm	kg*m	kg*m	cmq	cmq	kg/cmq	kg/cmq	kg/cmq	kg/cmq				
0.0	--	625	12.57	6.28	--	--	-3	92	38	38	Si	16
40.0	--	173	12.57	6.28	--	--	-1	25	38	38	Si	58
200.0	754	--	6.28	6.28	-4	216	--	--	38	38	Si	11
360.0	55	--	6.28	6.28	-0	16	--	--	38	38	Si	>100
400.0	--	462	9.42	6.28	--	--	-2	89	38	38	Si	20

Verifica aperture fessure: Wamm_Freq[mm]=0.400 Wamm_Qp[mm]=0.300

X	M	Act	Aft	pAft	$S_{r,max}$	σ_{fmed}	Wd	Wk	Cb	Ver.	Cs
cm	kg*m	mq	cmq	cm	cm	kg/cmq	mm	mm			
0.0	643	0.0	12.57	25.13	9.5	95	0.003	0.003	33(Fr)	Si	>100
0.0	625	0.0	12.57	25.13	9.5	92	0.002	0.002	38(Qp)	Si	>100
40.0	173	0.0	12.57	25.13	9.5	25	0.001	0.001	38(Qp)	Si	>100
40.0	174	0.0	12.57	25.13	9.5	26	0.001	0.001	33(Fr)	Si	>100
200.0	-754	0.0	6.28	12.57	12.2	216	0.008	0.008	38(Qp)	Si	40
200.0	-777	0.0	6.28	12.57	12.2	223	0.008	0.008	33(Fr)	Si	52
360.0	-55	0.0	6.28	12.57	12.2	16	0.001	0.001	38(Qp)	Si	>100
360.0	-55	0.0	6.28	12.57	12.2	16	0.001	0.001	33(Fr)	Si	>100
400.0	462	0.0	9.42	18.85	10.4	89	0.003	0.003	38(Qp)	Si	>100
400.0	480	0.0	9.42	18.85	10.4	93	0.003	0.003	33(Fr)	Si	>100

Trave : 101 [816 , 16] Pilastrate [- , 15]

Sez. R: By= 40.0 cm Bz=60.0 cm L=130.0 cm Ln=150.0 cm

Criterio : CLS_TraviAlte_Esist

Combinazione Rara: σ_{ca} [kg/cmq]=56 σ_{fa} [kg/cmq]=2800

X	M+	M-	Afsup	Afinf	σ_{c+}	σ_{f+}	σ_{c-}	σ_{f-}	Cb+	Cb-	Ver.	CS
cm	kg*m	kg*m	cmq	cmq	kg/cmq	kg/cmq	kg/cmq	kg/cmq				
0.0	--	651	9.42	6.28	--	--	-3	126	29	24	Si	19
15.0	--	635	9.42	6.28	--	--	-3	123	29	24	Si	19
75.0	--	557	9.42	6.28	--	--	-3	108	29	24	Si	22
135.0	--	257	9.42	6.28	--	--	-1	50	29	24	Si	47
150.0	--	278	9.42	6.28	--	--	-1	54	29	24	Si	44

Combinazione QP: σ_{ca} [kg/cmq]=42 σ_{fa} [kg/cmq]=2800

X	M+	M-	Afsup	Afinf	σ_{c+}	σ_{f+}	σ_{c-}	σ_{f-}	Cb+	Cb-	Ver.	CS
cm	kg*m	kg*m	cmq	cmq	kg/cmq	kg/cmq	kg/cmq	kg/cmq				
0.0	--	515	9.42	6.28	--	--	-2	100	38	38	Si	18
15.0	--	506	9.42	6.28	--	--	-2	98	38	38	Si	18
75.0	--	450	9.42	6.28	--	--	-2	87	38	38	Si	20
135.0	--	206	9.42	6.28	--	--	-1	40	38	38	Si	44
150.0	--	233	9.42	6.28	--	--	-1	45	38	38	Si	39

Verifica aperture fessure: Wamm_Freq[mm]=0.400 Wamm_Qp[mm]=0.300

X	M	Act	Aft	pAft	$S_{r,max}$	σ_{fmed}	Wd	Wk	Cb	Ver.	Cs
cm	kg*m	m	cmq	cm	cm	kg/cmq	mm	mm			
0.0	535	0.0	9.42	18.85	10.4	104	0.003	0.003	33(Fr)	Si	>100
0.0	515	0.0	9.42	18.85	10.4	100	0.003	0.003	38(Qp)	Si	>100
15.0	506	0.0	9.42	18.85	10.4	98	0.003	0.003	38(Qp)	Si	>100
15.0	523	0.0	9.42	18.85	10.4	101	0.003	0.003	33(Fr)	Si	>100
75.0	450	0.0	9.42	18.85	10.4	87	0.003	0.003	38(Qp)	Si	>100
75.0	462	0.0	9.42	18.85	10.4	90	0.003	0.003	33(Fr)	Si	>100
135.0	206	0.0	9.42	18.85	10.4	40	0.001	0.001	38(Qp)	Si	>100
135.0	212	0.0	9.42	18.85	10.4	41	0.001	0.001	33(Fr)	Si	>100
150.0	233	0.0	9.42	18.85	10.4	45	0.001	0.001	38(Qp)	Si	>100
150.0	241	0.0	9.42	18.85	10.4	47	0.001	0.001	33(Fr)	Si	>100

Trave : 103 [8 , 857] Pilastrate [7 , -]

Sez. R: By= 40.0 cm Bz=60.0 cm L=130.0 cm Ln=110.0 cm

Criterio : CLS_TraviAlte_Esist

Combinazione Rara: σ_{ca} [kg/cmq]=56 σ_{fa} [kg/cmq]=2800

X	M+	M-	Afsup	Afinf	σ_{c+}	σ_{f+}	σ_{c-}	σ_{f-}	Cb+	Cb-	Ver.	CS
cm	kg*m	kg*m	cmq	cmq	kg/cmq	kg/cmq	kg/cmq	kg/cmq				
0.0	263	--	9.42	12.57	-1	38	--	--	24	29	Si	55
11.0	--	222	9.42	12.57	--	--	-1	42	24	29	Si	64
55.0	--	880	9.42	12.57	--	--	-3	167	26	29	Si	16
99.0	--	1083	9.42	12.57	--	--	-4	206	26	24	Si	13
110.0	--	1179	9.42	12.57	--	--	-5	224	26	24	Si	12

Combinazione QP: σ_{ca} [kg/cmq]=42 σ_{fa} [kg/cmq]=2800

X	M+	M-	Afsup	Afinf	σ_{c+}	σ_{f+}	σ_{c-}	σ_{f-}	Cb+	Cb-	Ver.	CS
cm	kg*m	kg*m	cmq	cmq	kg/cmq	kg/cmq	kg/cmq	kg/cmq				
0.0	30	--	9.42	12.57	-0	4	--	--	38	38	Si	>100
11.0	--	196	9.42	12.57	--	--	-1	37	38	38	Si	54
55.0	--	821	9.42	12.57	--	--	-3	156	38	38	Si	13
99.0	--	995	9.42	12.57	--	--	-4	189	38	38	Si	11
110.0	--	1079	9.42	12.57	--	--	-4	205	38	38	Si	9.9

Verifica aperture fessure: Wamm_Freq[mm]=0.400 Wamm_Qp[mm]=0.300

X	M	Act	Aft	pAft	$S_{r,max}$	σ_{fmed}	Wd	Wk	Cb	Ver.	Cs
cm	kg*m	m	cmq	cm	cm	kg/cmq	mm	mm			

X	M	Act	Aft	pAft	S _{r,max}	σfmed	Wd	Wk	Cb	Ver.	Cs
0.0	-65	0.0	12.57	25.13	9.5	9	0.000	0.000	34(Fr)	Si	>100
0.0	-30	0.0	12.57	25.13	9.5	4	0.000	0.000	38(Qp)	Si	>100
11.0	196	0.0	9.42	18.85	10.4	37	0.001	0.001	38(Qp)	Si	>100
11.0	238	0.0	9.42	18.85	10.4	45	0.001	0.001	33(Fr)	Si	>100
55.0	821	0.0	9.42	18.85	10.4	156	0.005	0.005	38(Qp)	Si	65
55.0	858	0.0	9.42	18.85	10.4	163	0.005	0.005	33(Fr)	Si	82
99.0	995	0.0	9.42	18.85	10.4	189	0.006	0.006	38(Qp)	Si	53
99.0	1032	0.0	9.42	18.85	10.4	196	0.006	0.006	33(Fr)	Si	68
110.0	1079	0.0	9.42	18.85	10.4	205	0.006	0.006	38(Qp)	Si	49
110.0	1119	0.0	9.42	18.85	10.4	213	0.006	0.006	33(Fr)	Si	63

Trave : 103 [18 , 868] Pilastrate [17 , -]

Sez. R: By= 40.0 cm Bz=60.0 cm L=155.0 cm Ln=135.0 cm

Criterio : CLS_TraviAlte_Esist

Combinazione Rara: σca[kg/cmq]=56 σfa[kg/cmq]=2800

X	M+	M-	Afsup	Afinf	σc+	σf+	σc-	σf-	Cb+	Cb-	Ver.	CS
cm	kg*m	kg*m	cmq	cmq	kg/cmq	kg/cmq	kg/cmq	kg/cmq				
0.0	792	--	9.42	6.28	-4	225	--	--	24	29	Si	12
13.5	313	--	9.42	6.28	-2	89	--	--	24	29	Si	32
67.5	--	795	9.42	6.28	--	--	-4	154	27	24	Si	15
121.5	--	1223	6.28	6.28	--	--	-6	350	27	24	Si	8.0
135.0	--	1346	6.28	6.28	--	--	-7	385	27	24	Si	7.3

Combinazione QP: σca[kg/cmq]=42 σfa[kg/cmq]=2800

X	M+	M-	Afsup	Afinf	σc+	σf+	σc-	σf-	Cb+	Cb-	Ver.	CS
cm	kg*m	kg*m	cmq	cmq	kg/cmq	kg/cmq	kg/cmq	kg/cmq				
0.0	565	--	9.42	6.28	-3	160	--	--	38	38	Si	15
13.5	191	--	9.42	6.28	-1	54	--	--	38	38	Si	46
67.5	--	720	9.42	6.28	--	--	-3	139	38	38	Si	13
121.5	--	1090	6.28	6.28	--	--	-6	312	38	38	Si	7.3
135.0	--	1198	6.28	6.28	--	--	-6	343	38	38	Si	6.7

Verifica aperture fessure: Wamm_Freq[mm]=0.400 Wamm_Qp[mm]=0.300

X	M	Act	Aft	pAft	S _{r,max}	σfmed	Wd	Wk	Cb	Ver.	Cs
cm	kg*m	mq	cmq	cm	cm	kg/cmq	mm	mm			
0.0	-593	0.0	6.28	12.57	12.2	168	0.006	0.006	34(Fr)	Si	68
0.0	-565	0.0	6.28	12.57	12.2	160	0.006	0.006	38(Qp)	Si	54
13.5	-191	0.0	6.28	12.57	12.2	54	0.002	0.002	38(Qp)	Si	>100
13.5	-208	0.0	6.28	12.57	12.2	59	0.002	0.002	34(Fr)	Si	>100
67.5	720	0.0	9.42	18.85	10.4	139	0.004	0.004	38(Qp)	Si	72
67.5	741	0.0	9.42	18.85	10.4	144	0.004	0.004	33(Fr)	Si	94
121.5	1090	0.0	6.28	12.57	12.2	312	0.011	0.011	38(Qp)	Si	28
121.5	1117	0.0	6.28	12.57	12.2	320	0.011	0.011	33(Fr)	Si	36
135.0	1198	0.0	6.28	12.57	12.2	343	0.012	0.012	38(Qp)	Si	25
135.0	1229	0.0	6.28	12.57	12.2	352	0.012	0.012	33(Fr)	Si	33

Trave : 103 [26 , 901] Pilastrate [25 , -]

Sez. R: By= 40.0 cm Bz=60.0 cm L=155.0 cm Ln=155.0 cm

Criterio : CLS_TraviAlte_Esist

Combinazione Rara: σca[kg/cmq]=56 σfa[kg/cmq]=2800

X	M+	M-	Afsup	Afinf	σc+	σf+	σc-	σf-	Cb+	Cb-	Ver.	CS
cm	kg*m	kg*m	cmq	cmq	kg/cmq	kg/cmq	kg/cmq	kg/cmq				
0.0	611	--	12.57	6.28	-3	172	--	--	24	29	Si	16
15.5	321	--	12.57	6.28	-1	91	--	--	24	29	Si	31
77.5	--	573	6.28	6.28	--	--	-3	164	29	24	Si	17
139.5	--	514	6.28	6.28	--	--	-3	147	28	24	Si	19
155.0	--	534	6.28	6.28	--	--	-3	153	28	24	Si	18

Combinazione QP: $\sigma_{ca}[\text{kg/cm}^2]=42$ $\sigma_{fa}[\text{kg/cm}^2]=2800$

X	M+	M-	Afsup	Afinf	σ_c+	σ_f+	σ_c-	σ_f-	Cb+	Cb-	Ver.	CS
cm	kg*m	kg*m	cmq	cmq	kg/cmq	kg/cmq	kg/cmq	kg/cmq				
0.0	452	--	12.57	6.28	-2	128	--	--	38	38	Si	21
15.5	225	--	12.57	6.28	-1	64	--	--	38	38	Si	42
77.5	--	505	6.28	6.28	--	--	-3	145	38	38	Si	16
139.5	--	463	6.28	6.28	--	--	-2	133	38	38	Si	17
155.0	--	484	6.28	6.28	--	--	-3	139	38	38	Si	16

Verifica aperture fessure: $Wamm_Freq[\text{mm}]=0.400$ $Wamm_Qp[\text{mm}]=0.300$

X	M	Act	Aft	pAft	$S_{r,max}$	σ_{fmed}	Wd	Wk	Cb	Ver.	Cs
cm	kg*m	mq	cmq	cm	cm	kg/cmq	mm	mm			
0.0	-470	0.0	6.28	12.57	12.2	133	0.005	0.005	34(Fr)	Si	86
0.0	-452	0.0	6.28	12.57	12.2	128	0.004	0.004	38(Qp)	Si	67
15.5	-225	0.0	6.28	12.57	12.2	64	0.002	0.002	38(Qp)	Si	>100
15.5	-237	0.0	6.28	12.57	12.2	67	0.002	0.002	34(Fr)	Si	>100
77.5	505	0.0	6.28	12.57	12.2	145	0.005	0.005	38(Qp)	Si	59
77.5	521	0.0	6.28	12.57	12.2	149	0.005	0.005	33(Fr)	Si	77
139.5	463	0.0	6.28	12.57	12.2	133	0.005	0.005	38(Qp)	Si	65
139.5	483	0.0	6.28	12.57	12.2	138	0.005	0.005	33(Fr)	Si	83
155.0	484	0.0	6.28	12.57	12.2	139	0.005	0.005	38(Qp)	Si	62
155.0	507	0.0	6.28	12.57	12.2	145	0.005	0.005	33(Fr)	Si	79

Trave : 103 [851 , 852] Pilastrate [- , -]

Sez. R: $B_y=40.0\text{ cm}$ $B_z=60.0\text{ cm}$ $L=400.0\text{ cm}$ $L_n=400.0\text{ cm}$

Criterio : CLS_TraviAlte_Esist

Combinazione Rara: $\sigma_{ca}[\text{kg/cm}^2]=56$ $\sigma_{fa}[\text{kg/cm}^2]=2800$

X	M+	M-	Afsup	Afinf	σ_c+	σ_f+	σ_c-	σ_f-	Cb+	Cb-	Ver.	CS
cm	kg*m	kg*m	cmq	cmq	kg/cmq	kg/cmq	kg/cmq	kg/cmq				
0.0	--	917	9.42	6.28	--	--	-4	178	29	24	Si	13
40.0	77	--	9.42	6.28	-0	22	--	--	29	24	Si	>100
200.0	1441	--	6.28	6.28	-8	413	--	--	24	29	Si	6.8
360.0	52	--	6.28	6.28	-0	15	--	--	24	29	Si	>100
400.0	--	943	6.28	6.28	--	--	-5	270	27	24	Si	10

Combinazione QP: $\sigma_{ca}[\text{kg/cm}^2]=42$ $\sigma_{fa}[\text{kg/cm}^2]=2800$

X	M+	M-	Afsup	Afinf	σ_c+	σ_f+	σ_c-	σ_f-	Cb+	Cb-	Ver.	CS
cm	kg*m	kg*m	cmq	cmq	kg/cmq	kg/cmq	kg/cmq	kg/cmq				
0.0	--	743	9.42	6.28	--	--	-3	144	38	38	Si	12
40.0	94	--	9.42	6.28	-0	27	--	--	38	38	Si	93
200.0	1257	--	6.28	6.28	-7	360	--	--	38	38	Si	6.3
360.0	3	--	6.28	6.28	-0	1	--	--	38	38	Si	>100
400.0	--	855	6.28	6.28	--	--	-4	245	38	38	Si	9.3

Verifica aperture fessure: $Wamm_Freq[\text{mm}]=0.400$ $Wamm_Qp[\text{mm}]=0.300$

X	M	Act	Aft	pAft	$S_{r,max}$	σ_{fmed}	Wd	Wk	Cb	Ver.	Cs
cm	kg*m	mq	cmq	cm	cm	kg/cmq	mm	mm			
0.0	788	0.0	9.42	18.85	10.4	153	0.005	0.005	33(Fr)	Si	88
0.0	743	0.0	9.42	18.85	10.4	144	0.004	0.004	38(Qp)	Si	70
40.0	-94	0.0	6.28	12.57	12.2	27	0.001	0.001	38(Qp)	Si	>100
40.0	-94	0.0	6.28	12.57	12.2	27	0.001	0.001	35(Fr)	Si	>100
200.0	-1257	0.0	6.28	12.57	12.2	360	0.013	0.013	38(Qp)	Si	24
200.0	-1307	0.0	6.28	12.57	12.2	374	0.013	0.013	33(Fr)	Si	31
360.0	-3	0.0	6.28	12.57	12.2	1	0.000	0.000	38(Qp)	Si	>100
360.0	-14	0.0	6.28	12.57	12.2	4	0.000	0.000	33(Fr)	Si	>100
400.0	855	0.0	6.28	12.57	12.2	245	0.009	0.009	38(Qp)	Si	35
400.0	881	0.0	6.28	12.57	12.2	252	0.009	0.009	33(Fr)	Si	45

Trave : 103 [852 , 8] Pilastrate [- , 7]

Sez. R: $B_y = 40.0 \text{ cm}$ $B_z = 60.0 \text{ cm}$ $L = 125.0 \text{ cm}$ $L_n = 145.0 \text{ cm}$

Criterio : CLS_TraviAlte_Esist

Combinazione Rara: $\sigma_{ca}[\text{kg/cm}^2] = 56$ $\sigma_{fa}[\text{kg/cm}^2] = 2800$

X	M+	M-	Afsup	Afinf	σ_c+	σ_f+	σ_c-	σ_f-	Cb+	Cb-	Ver.	CS
cm	kg*m	kg*m	cmq	cmq	kg/cmq	kg/cmq	kg/cmq	kg/cmq				
0.0	--	1053	6.28	6.28	--	--	-6	302	26	24	Si	9.3
14.5	--	1013	6.28	6.28	--	--	-5	290	29	24	Si	9.6
72.5	--	1084	6.28	6.28	--	--	-6	311	29	24	Si	9.0
130.5	--	707	9.42	6.28	--	--	-3	137	26	29	Si	17
145.0	--	741	9.42	6.28	--	--	-3	144	26	29	Si	16

Combinazione QP: $\sigma_{ca}[\text{kg/cm}^2] = 42$ $\sigma_{fa}[\text{kg/cm}^2] = 2800$

X	M+	M-	Afsup	Afinf	σ_c+	σ_f+	σ_c-	σ_f-	Cb+	Cb-	Ver.	CS
cm	kg*m	kg*m	cmq	cmq	kg/cmq	kg/cmq	kg/cmq	kg/cmq				
0.0	--	958	6.28	6.28	--	--	-5	274	38	38	Si	8.3
14.5	--	916	6.28	6.28	--	--	-5	262	38	38	Si	8.7
72.5	--	950	6.28	6.28	--	--	-5	272	38	38	Si	8.4
130.5	--	655	9.42	6.28	--	--	-3	127	38	38	Si	14
145.0	--	682	9.42	6.28	--	--	-3	132	38	38	Si	13

Verifica aperture fessure: $W_{amm_Freq}[\text{mm}] = 0.400$ $W_{amm_Qp}[\text{mm}] = 0.300$

X	M	Act	Aft	pAft	$S_{r,max}$	σ_{fmed}	Wd	Wk	Cb	Ver.	Cs
cm	kg*m	mq	cmq	cm	cm	kg/cmq	mm	mm			
0.0	986	0.0	6.28	12.57	12.2	282	0.010	0.010	33(Fr)	Si	41
0.0	958	0.0	6.28	12.57	12.2	274	0.010	0.010	38(Qp)	Si	31
14.5	916	0.0	6.28	12.57	12.2	262	0.009	0.009	38(Qp)	Si	33
14.5	941	0.0	6.28	12.57	12.2	270	0.009	0.009	33(Fr)	Si	43
72.5	950	0.0	6.28	12.57	12.2	272	0.009	0.009	38(Qp)	Si	32
72.5	979	0.0	6.28	12.57	12.2	280	0.010	0.010	33(Fr)	Si	41
130.5	655	0.0	9.42	18.85	10.4	127	0.004	0.004	38(Qp)	Si	80
130.5	688	0.0	9.42	18.85	10.4	133	0.004	0.004	33(Fr)	Si	>100
145.0	682	0.0	9.42	18.85	10.4	132	0.004	0.004	38(Qp)	Si	76
145.0	723	0.0	9.42	18.85	10.4	140	0.004	0.004	33(Fr)	Si	96

Trave : 103 [857 , 859] Pilastrate [- , -]

Sez. R: $B_y = 40.0 \text{ cm}$ $B_z = 60.0 \text{ cm}$ $L = 400.0 \text{ cm}$ $L_n = 400.0 \text{ cm}$

Criterio : CLS_TraviAlte_Esist

Combinazione Rara: $\sigma_{ca}[\text{kg/cm}^2] = 56$ $\sigma_{fa}[\text{kg/cm}^2] = 2800$

X	M+	M-	Afsup	Afinf	σ_c+	σ_f+	σ_c-	σ_f-	Cb+	Cb-	Ver.	CS
cm	kg*m	kg*m	cmq	cmq	kg/cmq	kg/cmq	kg/cmq	kg/cmq				
0.0	--	923	12.57	6.28	--	--	-4	136	26	24	Si	15
40.0	--	38	12.57	6.28	--	--	-0	6	24	29	Si	>100
200.0	1213	--	6.28	6.28	-6	347	--	--	24	26	Si	8.1
360.0	--	258	6.28	6.28	--	--	-1	74	29	24	Si	38
400.0	--	1249	6.28	6.28	--	--	-7	358	29	24	Si	7.8

Combinazione QP: $\sigma_{ca}[\text{kg/cm}^2] = 42$ $\sigma_{fa}[\text{kg/cm}^2] = 2800$

X	M+	M-	Afsup	Afinf	σ_c+	σ_f+	σ_c-	σ_f-	Cb+	Cb-	Ver.	CS
cm	kg*m	kg*m	cmq	cmq	kg/cmq	kg/cmq	kg/cmq	kg/cmq				
0.0	--	845	12.57	6.28	--	--	-4	124	38	38	Si	12
40.0	--	50	12.57	6.28	--	--	-0	7	38	38	Si	>100
200.0	1080	--	6.28	6.28	-6	309	--	--	38	38	Si	7.4
360.0	--	172	6.28	6.28	--	--	-1	49	38	38	Si	46
400.0	--	1025	6.28	6.28	--	--	-5	294	38	38	Si	7.8

Verifica aperture fessure: $W_{amm_Freq}[\text{mm}] = 0.400$ $W_{amm_Qp}[\text{mm}] = 0.300$

X	M	Act	Aft	pAft	$S_{r,max}$	σ_{fmed}	Wd	Wk	Cb	Ver.	Cs
cm	kg*m	mq	cmq	cm	cm	kg/cmq	mm	mm			
0.0	879	0.0	12.57	25.13	9.5	129	0.004	0.004	33(Fr)	Si	>100

X	M	Act	Aft	pAft	S _{r,max}	σfmed	Wd	Wk	Cb	Ver.	Cs
0.0	845	0.0	12.57	25.13	9.5	124	0.003	0.003	38(Qp)	Si	89
40.0	50	0.0	12.57	25.13	9.5	7	0.000	0.000	38(Qp)	Si	>100
40.0	50	0.0	12.57	25.13	9.5	7	0.000	0.000	35(Fr)	Si	>100
200.0	-1080	0.0	6.28	12.57	12.2	309	0.011	0.011	38(Qp)	Si	28
200.0	-1124	0.0	6.28	12.57	12.2	322	0.011	0.011	33(Fr)	Si	36
360.0	172	0.0	6.28	12.57	12.2	49	0.002	0.002	38(Qp)	Si	>100
360.0	179	0.0	6.28	12.57	12.2	51	0.002	0.002	34(Fr)	Si	>100
400.0	1025	0.0	6.28	12.57	12.2	294	0.010	0.010	38(Qp)	Si	29
400.0	1065	0.0	6.28	12.57	12.2	305	0.011	0.011	33(Fr)	Si	38

Trave : 103 [859 , 18] Pilastrate [- , 17]

Sez. R: By= 40.0 cm Bz=60.0 cm L=130.0 cm Ln=150.0 cm

Criterio : CLS_TraviAlte_Esist

Combinazione Rara: σca[kg/cmq]=56 σfa[kg/cmq]=2800

X	M+	M-	Afsup	Afinf	σc+	σf+	σc-	σf-	Cb+	Cb-	Ver.	CS
cm	kg*m	kg*m	cmq	cmq	kg/cmq	kg/cmq	kg/cmq	kg/cmq				
0.0	--	1338	6.28	6.28	--	--	-7	383	29	24	Si	7.3
15.0	--	1252	6.28	6.28	--	--	-7	359	29	24	Si	7.8
75.0	--	1096	6.28	6.28	--	--	-6	314	29	24	Si	8.9
135.0	--	471	12.57	6.28	--	--	-2	69	26	24	Si	28
150.0	--	458	12.57	6.28	--	--	-2	67	26	29	Si	29

Combinazione QP: σca[kg/cmq]=42 σfa[kg/cmq]=2800

X	M+	M-	Afsup	Afinf	σc+	σf+	σc-	σf-	Cb+	Cb-	Ver.	CS
cm	kg*m	kg*m	cmq	cmq	kg/cmq	kg/cmq	kg/cmq	kg/cmq				
0.0	--	1108	6.28	6.28	--	--	-6	317	38	38	Si	7.2
15.0	--	1038	6.28	6.28	--	--	-5	297	38	38	Si	7.7
75.0	--	923	6.28	6.28	--	--	-5	264	38	38	Si	8.6
135.0	--	424	12.57	6.28	--	--	-2	62	38	38	Si	24
150.0	--	412	12.57	6.28	--	--	-2	61	38	38	Si	24

Verifica aperture fessure: Wamm_Freq[mm]=0.400 Wamm_Qp[mm]=0.300

X	M	Act	Aft	pAft	S _{r,max}	σfmed	Wd	Wk	Cb	Ver.	Cs
cm	kg*m	mq	cmq	cm	cm	kg/cmq	mm	mm			
0.0	1150	0.0	6.28	12.57	12.2	329	0.011	0.011	33(Fr)	Si	35
0.0	1108	0.0	6.28	12.57	12.2	317	0.011	0.011	38(Qp)	Si	27
15.0	1038	0.0	6.28	12.57	12.2	297	0.010	0.010	38(Qp)	Si	29
15.0	1075	0.0	6.28	12.57	12.2	308	0.011	0.011	33(Fr)	Si	37
75.0	923	0.0	6.28	12.57	12.2	264	0.009	0.009	38(Qp)	Si	33
75.0	954	0.0	6.28	12.57	12.2	273	0.010	0.010	33(Fr)	Si	42
135.0	424	0.0	12.57	25.13	9.5	62	0.002	0.002	38(Qp)	Si	>100
135.0	449	0.0	12.57	25.13	9.5	66	0.002	0.002	33(Fr)	Si	>100
150.0	412	0.0	12.57	25.13	9.5	61	0.002	0.002	38(Qp)	Si	>100
150.0	443	0.0	12.57	25.13	9.5	65	0.002	0.002	33(Fr)	Si	>100

Trave : 103 [868 , 870] Pilastrate [- , -]

Sez. R: By= 40.0 cm Bz=60.0 cm L=400.0 cm Ln=400.0 cm

Criterio : CLS_TraviAlte_Esist

Combinazione Rara: σca[kg/cmq]=56 σfa[kg/cmq]=2800

X	M+	M-	Afsup	Afinf	σc+	σf+	σc-	σf-	Cb+	Cb-	Ver.	CS
cm	kg*m	kg*m	cmq	cmq	kg/cmq	kg/cmq	kg/cmq	kg/cmq				
0.0	--	1092	6.28	6.28	--	--	-6	313	27	24	Si	9.0
40.0	--	550	6.28	6.28	--	--	-3	158	27	24	Si	18
200.0	852	--	6.28	6.28	-4	244	--	--	24	27	Si	11
360.0	317	--	6.28	6.28	-2	91	--	--	24	27	Si	31
400.0	--	248	6.28	6.28	--	--	-1	71	28	24	Si	39

Combinazione QP: σca[kg/cmq]=42 σfa[kg/cmq]=2800

X	M+	M-	Afsup	Afinf	σ_c+	σ_f+	σ_c-	σ_f-	Cb+	Cb-	Ver.	CS
cm	kg*m	kg*m	cmq	cmq	kg/cmq	kg/cmq	kg/cmq	kg/cmq				
0.0	--	969	6.28	6.28	--	--	-5	278	38	38	Si	8.2
40.0	--	491	6.28	6.28	--	--	-3	141	38	38	Si	16
200.0	771	--	6.28	6.28	-4	221	--	--	38	38	Si	10
360.0	289	--	6.28	6.28	-2	83	--	--	38	38	Si	28
400.0	--	206	6.28	6.28	--	--	-1	59	38	38	Si	39

Verifica aperture fessure: Wamm_Freq[mm]=0.400 Wamm_Qp[mm]=0.300

X	M	Act	Aft	pAft	$S_{r,max}$	σ_{fmed}	Wd	Wk	Cb	Ver.	Cs
cm	kg*m	mq	cmq	cm	cm	kg/cmq	mm	mm			
0.0	995	0.0	6.28	12.57	12.2	285	0.010	0.010	33(Fr)	Si	40
0.0	969	0.0	6.28	12.57	12.2	278	0.010	0.010	38(Qp)	Si	31
40.0	491	0.0	6.28	12.57	12.2	141	0.005	0.005	38(Qp)	Si	61
40.0	499	0.0	6.28	12.57	12.2	143	0.005	0.005	33(Fr)	Si	80
200.0	-771	0.0	6.28	12.57	12.2	221	0.008	0.008	38(Qp)	Si	39
200.0	-795	0.0	6.28	12.57	12.2	228	0.008	0.008	33(Fr)	Si	50
360.0	-289	0.0	6.28	12.57	12.2	83	0.003	0.003	38(Qp)	Si	>100
360.0	-295	0.0	6.28	12.57	12.2	85	0.003	0.003	33(Fr)	Si	>100
400.0	206	0.0	6.28	12.57	12.2	59	0.002	0.002	38(Qp)	Si	>100
400.0	218	0.0	6.28	12.57	12.2	62	0.002	0.002	33(Fr)	Si	>100

Trave : 103 [870 , 26] Pilastrate [- , 25]

Sez. R: By= 40.0 cm Bz=60.0 cm L=155.0 cm Ln=155.0 cm

Criterio : CLS_TraviAlte_Esist

Combinazione Rara: σ_{ca} [kg/cmq]=56 σ_{fa} [kg/cmq]=2800

X	M+	M-	Afsup	Afinf	σ_c+	σ_f+	σ_c-	σ_f-	Cb+	Cb-	Ver.	CS
cm	kg*m	kg*m	cmq	cmq	kg/cmq	kg/cmq	kg/cmq	kg/cmq				
0.0	--	348	6.28	6.28	--	--	-2	100	28	24	Si	28
15.5	--	346	6.28	6.28	--	--	-2	99	28	24	Si	28
77.5	--	528	12.57	6.28	--	--	-2	78	29	24	Si	25
139.5	189	--	12.57	6.28	-1	53	--	--	24	27	Si	52
155.0	427	--	12.57	6.28	-2	120	--	--	24	27	Si	23

Combinazione QP: σ_{ca} [kg/cmq]=42 σ_{fa} [kg/cmq]=2800

X	M+	M-	Afsup	Afinf	σ_c+	σ_f+	σ_c-	σ_f-	Cb+	Cb-	Ver.	CS
cm	kg*m	kg*m	cmq	cmq	kg/cmq	kg/cmq	kg/cmq	kg/cmq				
0.0	--	303	6.28	6.28	--	--	-2	87	38	38	Si	26
15.5	--	300	6.28	6.28	--	--	-2	86	38	38	Si	27
77.5	--	457	12.57	6.28	--	--	-2	67	38	38	Si	22
139.5	119	--	12.57	6.28	-1	34	--	--	38	38	Si	79
155.0	302	--	12.57	6.28	-1	85	--	--	38	38	Si	31

Verifica aperture fessure: Wamm_Freq[mm]=0.400 Wamm_Qp[mm]=0.300

X	M	Act	Aft	pAft	$S_{r,max}$	σ_{fmed}	Wd	Wk	Cb	Ver.	Cs
cm	kg*m	mq	cmq	cm	cm	kg/cmq	mm	mm			
0.0	317	0.0	6.28	12.57	12.2	91	0.003	0.003	33(Fr)	Si	>100
0.0	303	0.0	6.28	12.57	12.2	87	0.003	0.003	38(Qp)	Si	99
15.5	300	0.0	6.28	12.57	12.2	86	0.003	0.003	38(Qp)	Si	>100
15.5	312	0.0	6.28	12.57	12.2	89	0.003	0.003	33(Fr)	Si	>100
77.5	457	0.0	12.57	25.13	9.5	67	0.002	0.002	38(Qp)	Si	>100
77.5	470	0.0	12.57	25.13	9.5	69	0.002	0.002	33(Fr)	Si	>100
139.5	-119	0.0	6.28	12.57	12.2	34	0.001	0.001	38(Qp)	Si	>100
139.5	-129	0.0	6.28	12.57	12.2	36	0.001	0.001	34(Fr)	Si	>100
155.0	-302	0.0	6.28	12.57	12.2	85	0.003	0.003	38(Qp)	Si	>100
155.0	-318	0.0	6.28	12.57	12.2	90	0.003	0.003	34(Fr)	Si	>100

Trave : 103 [901 , 903] Pilastrate [- , -]

Sez. R: By= 40.0 cm Bz=60.0 cm L=403.0 cm Ln=403.0 cm

Criterio : CLS_TraviAlte_Esist

Combinazione Rara: σ_{ca} [kg/cmq]=56 σ_{fa} [kg/cmq]=2800

X	M+	M-	Afsup	Afinf	σ_{c+}	σ_{f+}	σ_{c-}	σ_{f-}	Cb+	Cb-	Ver.	CS
cm	kg*m	kg*m	cmq	cmq	kg/cmq	kg/cmq	kg/cmq	kg/cmq				
0.0	--	404	6.28	6.28	--	--	-2	116	28	24	Si	24
40.3	182	--	6.28	6.28	-1	52	--	--	24	27	Si	54
201.5	815	--	6.28	6.28	-4	233	--	--	24	28	Si	12
362.7	--	265	6.28	6.28	--	--	-1	76	27	24	Si	37
403.0	--	878	9.42	6.28	--	--	-4	170	27	24	Si	14

Combinazione QP: σ_{ca} [kg/cmq]=42 σ_{fa} [kg/cmq]=2800

X	M+	M-	Afsup	Afinf	σ_{c+}	σ_{f+}	σ_{c-}	σ_{f-}	Cb+	Cb-	Ver.	CS
cm	kg*m	kg*m	cmq	cmq	kg/cmq	kg/cmq	kg/cmq	kg/cmq				
0.0	--	360	6.28	6.28	--	--	-2	103	38	38	Si	22
40.3	154	--	6.28	6.28	-1	44	--	--	38	38	Si	52
201.5	741	--	6.28	6.28	-4	212	--	--	38	38	Si	11
362.7	--	224	6.28	6.28	--	--	-1	64	38	38	Si	36
403.0	--	765	9.42	6.28	--	--	-4	148	38	38	Si	12

Verifica aperture fessure: W_{amm_Freq} [mm]=0.400 W_{amm_Qp} [mm]=0.300

X	M	Act	Aft	pAft	$S_{r,max}$	σ_{fmed}	Wd	Wk	Cb	Ver.	Cs
cm	kg*m	mq	cmq	cm	cm	kg/cmq	mm	mm			
0.0	381	0.0	6.28	12.57	12.2	109	0.004	0.004	33(Fr)	Si	>100
0.0	360	0.0	6.28	12.57	12.2	103	0.004	0.004	38(Qp)	Si	83
40.3	-154	0.0	6.28	12.57	12.2	44	0.002	0.002	38(Qp)	Si	>100
40.3	-157	0.0	6.28	12.57	12.2	45	0.002	0.002	34(Fr)	Si	>100
201.5	-741	0.0	6.28	12.57	12.2	212	0.007	0.007	38(Qp)	Si	40
201.5	-767	0.0	6.28	12.57	12.2	220	0.008	0.008	33(Fr)	Si	52
362.7	224	0.0	6.28	12.57	12.2	64	0.002	0.002	38(Qp)	Si	>100
362.7	228	0.0	6.28	12.57	12.2	65	0.002	0.002	34(Fr)	Si	>100
403.0	765	0.0	9.42	18.85	10.4	148	0.004	0.004	38(Qp)	Si	68
403.0	781	0.0	9.42	18.85	10.4	151	0.004	0.004	33(Fr)	Si	89

Trave : 103 [903 , 34] Pilastrate [- , 2]

Sez. R: $B_y = 40.0$ cm $B_z = 60.0$ cm $L = 155.0$ cm $L_n = 135.0$ cm

Criterio : CLS_TraviAlte_Esist

Combinazione Rara: σ_{ca} [kg/cmq]=56 σ_{fa} [kg/cmq]=2800

X	M+	M-	Afsup	Afinf	σ_{c+}	σ_{f+}	σ_{c-}	σ_{f-}	Cb+	Cb-	Ver.	CS
cm	kg*m	kg*m	cmq	cmq	kg/cmq	kg/cmq	kg/cmq	kg/cmq				
0.0	--	1069	9.42	6.28	--	--	-5	207	27	24	Si	11
13.5	--	1036	9.42	6.28	--	--	-5	201	27	24	Si	12
67.5	--	813	9.42	6.28	--	--	-4	157	27	24	Si	15
121.5	--	106	9.42	6.28	--	--	-0	21	24	29	Si	>100
135.0	201	--	9.42	6.28	-1	57	--	--	24	29	Si	49

Combinazione QP: σ_{ca} [kg/cmq]=42 σ_{fa} [kg/cmq]=2800

X	M+	M-	Afsup	Afinf	σ_{c+}	σ_{f+}	σ_{c-}	σ_{f-}	Cb+	Cb-	Ver.	CS
cm	kg*m	kg*m	cmq	cmq	kg/cmq	kg/cmq	kg/cmq	kg/cmq				
0.0	--	939	9.42	6.28	--	--	-4	182	38	38	Si	9.7
13.5	--	911	9.42	6.28	--	--	-4	177	38	38	Si	10
67.5	--	710	9.42	6.28	--	--	-3	138	38	38	Si	13
121.5	--	98	9.42	6.28	--	--	-0	19	38	38	Si	94
135.0	130	--	9.42	6.28	-1	37	--	--	38	38	Si	67

Verifica aperture fessure: W_{amm_Freq} [mm]=0.400 W_{amm_Qp} [mm]=0.300

X	M	Act	Aft	pAft	$S_{r,max}$	σ_{fmed}	Wd	Wk	Cb	Ver.	Cs
cm	kg*m	mq	cmq	cm	cm	kg/cmq	mm	mm			
0.0	959	0.0	9.42	18.85	10.4	186	0.006	0.006	33(Fr)	Si	72
0.0	939	0.0	9.42	18.85	10.4	182	0.005	0.005	38(Qp)	Si	55

X	M	Act	Aft	pAft	S _{r,max}	σ _{fmed}	Wd	Wk	Cb	Ver.	Cs
13.5	911	0.0	9.42	18.85	10.4	177	0.005	0.005	38(Qp)	Si	57
13.5	929	0.0	9.42	18.85	10.4	180	0.005	0.005	33(Fr)	Si	75
67.5	710	0.0	9.42	18.85	10.4	138	0.004	0.004	38(Qp)	Si	73
67.5	725	0.0	9.42	18.85	10.4	141	0.004	0.004	33(Fr)	Si	96
121.5	98	0.0	9.42	18.85	10.4	19	0.001	0.001	38(Qp)	Si	>100
121.5	107	0.0	9.42	18.85	10.4	21	0.001	0.001	33(Fr)	Si	>100
135.0	-130	0.0	6.28	12.57	12.2	37	0.001	0.001	38(Qp)	Si	>100
135.0	-139	0.0	6.28	12.57	12.2	40	0.001	0.001	34(Fr)	Si	>100

Trave : 104 [12 , 889] Pilastrate [4 , -]

Sez. R: By= 40.0 cm Bz=60.0 cm L=130.0 cm Ln=110.0 cm

Criterio : CLS_TraviAlte_Esist

Combinazione Rara: σ_{ca}[kg/cm²]=56 σ_{fa}[kg/cm²]=2800

X	M+	M-	Afsup	Afinf	σ _{c+}	σ _{f+}	σ _{c-}	σ _{f-}	Cb+	Cb-	Ver.	CS
cm	kg*m	kg*m	cmq	cmq	kg/cm ²	kg/cm ²	kg/cm ²	kg/cm ²				
0.0	--	1157	9.42	6.28	--	--	-5	224	27	24	Si	11
11.0	--	919	9.42	6.28	--	--	-4	178	26	24	Si	13
55.0	--	721	9.42	6.28	--	--	-3	140	26	24	Si	17
99.0	--	644	9.42	6.28	--	--	-3	125	28	24	Si	19
110.0	--	670	9.42	6.28	--	--	-3	130	28	24	Si	18

Combinazione QP: σ_{ca}[kg/cm²]=42 σ_{fa}[kg/cm²]=2800

X	M+	M-	Afsup	Afinf	σ _{c+}	σ _{f+}	σ _{c-}	σ _{f-}	Cb+	Cb-	Ver.	CS
cm	kg*m	kg*m	cmq	cmq	kg/cm ²	kg/cm ²	kg/cm ²	kg/cm ²				
0.0	--	1037	9.42	6.28	--	--	-5	201	38	38	Si	8.8
11.0	--	832	9.42	6.28	--	--	-4	161	38	38	Si	11
55.0	--	652	9.42	6.28	--	--	-3	126	38	38	Si	14
99.0	--	575	9.42	6.28	--	--	-3	111	38	38	Si	16
110.0	--	596	9.42	6.28	--	--	-3	115	38	38	Si	15

Verifica aperture fessure:Wamm_Freq[mm]=0.400 Wamm_Qp[mm]=0.300

X	M	Act	Aft	pAft	S _{r,max}	σ _{fmed}	Wd	Wk	Cb	Ver.	Cs
cm	kg*m	mq	cmq	cm	cm	kg/cm ²	mm	mm			
0.0	1076	0.0	9.42	18.85	10.4	209	0.006	0.006	33(Fr)	Si	65
0.0	1037	0.0	9.42	18.85	10.4	201	0.006	0.006	38(Qp)	Si	50
11.0	832	0.0	9.42	18.85	10.4	161	0.005	0.005	38(Qp)	Si	63
11.0	865	0.0	9.42	18.85	10.4	168	0.005	0.005	33(Fr)	Si	80
55.0	652	0.0	9.42	18.85	10.4	126	0.004	0.004	38(Qp)	Si	80
55.0	677	0.0	9.42	18.85	10.4	131	0.004	0.004	33(Fr)	Si	>100
99.0	575	0.0	9.42	18.85	10.4	111	0.003	0.003	38(Qp)	Si	91
99.0	598	0.0	9.42	18.85	10.4	116	0.003	0.003	33(Fr)	Si	>100
110.0	596	0.0	9.42	18.85	10.4	115	0.003	0.003	38(Qp)	Si	87
110.0	619	0.0	9.42	18.85	10.4	120	0.004	0.004	33(Fr)	Si	>100

Trave : 104 [20 , 893] Pilastrate [5 , -]

Sez. R: By= 40.0 cm Bz=60.0 cm L=155.0 cm Ln=135.0 cm

Criterio : CLS_TraviAlte_Esist

Combinazione Rara: σ_{ca}[kg/cm²]=56 σ_{fa}[kg/cm²]=2800

X	M+	M-	Afsup	Afinf	σ _{c+}	σ _{f+}	σ _{c-}	σ _{f-}	Cb+	Cb-	Ver.	CS
cm	kg*m	kg*m	cmq	cmq	kg/cm ²	kg/cm ²	kg/cm ²	kg/cm ²				
0.0	--	289	12.57	6.28	--	--	-1	42	24	29	Si	46
13.5	--	265	12.57	6.28	--	--	-1	39	24	29	Si	50
67.5	--	436	12.57	6.28	--	--	-2	64	26	24	Si	31
121.5	--	505	6.28	6.28	--	--	-3	145	26	24	Si	19
135.0	--	563	6.28	6.28	--	--	-3	161	26	24	Si	17

Combinazione QP: σ_{ca}[kg/cm²]=42 σ_{fa}[kg/cm²]=2800

X	M+	M-	Afsup	Afinf	σ _{c+}	σ _{f+}	σ _{c-}	σ _{f-}	Cb+	Cb-	Ver.	CS
---	----	----	-------	-------	-----------------	-----------------	-----------------	-----------------	-----	-----	------	----

X	M+	M-	Afsup	Afinf	σ_c+	σ_f+	σ_c-	σ_f-	Cb+	Cb-	Ver.	CS
cm	kg*m	kg*m	cmq	cmq	kg/cmq	kg/cmq	kg/cmq	kg/cmq				
0.0	--	270	12.57	6.28	--	--	-1	40	38	38	Si	37
13.5	--	249	12.57	6.28	--	--	-1	37	38	38	Si	40
67.5	--	406	12.57	6.28	--	--	-2	60	38	38	Si	25
121.5	--	466	6.28	6.28	--	--	-2	134	38	38	Si	17
135.0	--	518	6.28	6.28	--	--	-3	148	38	38	Si	15

Verifica aperture fessure: Wamm_Freq[mm]=0.400 Wamm_Qp[mm]=0.300

X	M	Act	Aft	pAft	$S_{r,max}$	σ_{fmed}	Wd	Wk	Cb	Ver.	Cs
cm	kg*m	mq	cmq	cm	cm	kg/cmq	mm	mm			
0.0	289	0.0	12.57	25.13	9.5	43	0.001	0.001	33(Fr)	Si	>100
0.0	270	0.0	12.57	25.13	9.5	40	0.001	0.001	38(Qp)	Si	>100
13.5	249	0.0	12.57	25.13	9.5	37	0.001	0.001	38(Qp)	Si	>100
13.5	264	0.0	12.57	25.13	9.5	39	0.001	0.001	33(Fr)	Si	>100
67.5	406	0.0	12.57	25.13	9.5	60	0.002	0.002	38(Qp)	Si	>100
67.5	421	0.0	12.57	25.13	9.5	62	0.002	0.002	33(Fr)	Si	>100
121.5	466	0.0	6.28	12.57	12.2	134	0.005	0.005	38(Qp)	Si	64
121.5	483	0.0	6.28	12.57	12.2	138	0.005	0.005	33(Fr)	Si	83
135.0	518	0.0	6.28	12.57	12.2	148	0.005	0.005	38(Qp)	Si	58
135.0	537	0.0	6.28	12.57	12.2	154	0.005	0.005	33(Fr)	Si	75

Trave : 104 [28 , 897] Pilastrate [6 , -]

Sez. R: By= 40.0 cm Bz=60.0 cm L=155.0 cm Ln=155.0 cm

Criterio : CLS_TraviAlte_Esist

Combinazione Rara: σ_{ca} [kg/cmq]=56 σ_{fa} [kg/cmq]=2800

X	M+	M-	Afsup	Afinf	σ_c+	σ_f+	σ_c-	σ_f-	Cb+	Cb-	Ver.	CS
cm	kg*m	kg*m	cmq	cmq	kg/cmq	kg/cmq	kg/cmq	kg/cmq				
0.0	--	461	12.57	6.28	--	--	-2	68	28	24	Si	29
15.5	--	380	12.57	6.28	--	--	-2	56	28	24	Si	35
77.5	--	650	12.57	6.28	--	--	-3	96	27	24	Si	21
139.5	--	945	6.28	6.28	--	--	-5	271	27	24	Si	10
155.0	--	1062	6.28	6.28	--	--	-6	304	27	24	Si	9.2

Combinazione QP: σ_{ca} [kg/cmq]=42 σ_{fa} [kg/cmq]=2800

X	M+	M-	Afsup	Afinf	σ_c+	σ_f+	σ_c-	σ_f-	Cb+	Cb-	Ver.	CS
cm	kg*m	kg*m	cmq	cmq	kg/cmq	kg/cmq	kg/cmq	kg/cmq				
0.0	--	425	12.57	6.28	--	--	-2	63	38	38	Si	24
15.5	--	356	12.57	6.28	--	--	-1	52	38	38	Si	28
77.5	--	587	12.57	6.28	--	--	-2	86	38	38	Si	17
139.5	--	850	6.28	6.28	--	--	-4	243	38	38	Si	9.4
155.0	--	953	6.28	6.28	--	--	-5	273	38	38	Si	8.4

Verifica aperture fessure: Wamm_Freq[mm]=0.400 Wamm_Qp[mm]=0.300

X	M	Act	Aft	pAft	$S_{r,max}$	σ_{fmed}	Wd	Wk	Cb	Ver.	Cs
cm	kg*m	mq	cmq	cm	cm	kg/cmq	mm	mm			
0.0	443	0.0	12.57	25.13	9.5	65	0.002	0.002	33(Fr)	Si	>100
0.0	425	0.0	12.57	25.13	9.5	63	0.002	0.002	38(Qp)	Si	>100
15.5	356	0.0	12.57	25.13	9.5	52	0.001	0.001	38(Qp)	Si	>100
15.5	370	0.0	12.57	25.13	9.5	54	0.001	0.001	33(Fr)	Si	>100
77.5	587	0.0	12.57	25.13	9.5	86	0.002	0.002	38(Qp)	Si	>100
77.5	604	0.0	12.57	25.13	9.5	89	0.002	0.002	33(Fr)	Si	>100
139.5	850	0.0	6.28	12.57	12.2	243	0.008	0.008	38(Qp)	Si	35
139.5	872	0.0	6.28	12.57	12.2	250	0.009	0.009	33(Fr)	Si	46
155.0	953	0.0	6.28	12.57	12.2	273	0.010	0.010	38(Qp)	Si	32
155.0	978	0.0	6.28	12.57	12.2	280	0.010	0.010	33(Fr)	Si	41

Trave : 104 [889 , 891] Pilastrate [- , -]

Sez. R: By= 40.0 cm Bz=60.0 cm L=400.0 cm Ln=400.0 cm L2=400.0 cm L3=400.0 cm

Criterio : CLS_TraviAlte_EsistVerifica snellezza: fcd=53 [kg/cm²]**Verificato**

Cb	N	fcd*Ac	v	λ _{max}	λ _{lim}
	kg	kg			
24	1204	126990	0.009	34.641	256.728

Combinazione Rara: σ_{ca}[kg/cm²]=56 σ_{fa}[kg/cm²]=2800

X	M+	M-	Afsup	Afinf	σ _{c+}	σ _{f+}	σ _{c-}	σ _{f-}	Cb+	Cb-	Ver.	CS
cm	kg*m	kg*m	cmq	cmq	kg/cm ²	kg/cm ²	kg/cm ²	kg/cm ²				
0.0	--	541	9.42	6.28	--	--	-2	105	28	24	Si	23
40.0	--	2	9.42	6.28	--	--	-0	0	28	27	Si	>100
200.0	757	--	6.28	6.28	-4	217	--	--	24	28	Si	13
360.0	--	181	6.28	6.28	--	--	-1	52	29	24	Si	54
400.0	--	742	6.28	6.28	--	--	-4	213	29	24	Si	13

Combinazione QP: σ_{ca}[kg/cm²]=42 σ_{fa}[kg/cm²]=2800

X	M+	M-	Afsup	Afinf	σ _{c+}	σ _{f+}	σ _{c-}	σ _{f-}	Cb+	Cb-	Ver.	CS
cm	kg*m	kg*m	cmq	cmq	kg/cm ²	kg/cm ²	kg/cm ²	kg/cm ²				
0.0	--	475	9.42	6.28	--	--	-2	92	38	38	Si	19
40.0	1	--	9.42	6.28	-0	0	--	--	38	38	Si	>100
200.0	683	--	6.28	6.28	-4	196	--	--	38	38	Si	12
360.0	--	162	6.28	6.28	--	--	-1	46	38	38	Si	49
400.0	--	657	6.28	6.28	--	--	-3	188	38	38	Si	12

Verifica aperture fessure:Wamm_Freq[mm]=0.400 Wamm_Qp[mm]=0.300

X	M	Act	Aft	pAft	S _{r,max}	σ _{fmed}	Wd	Wk	Cb	Ver.	Cs
cm	kg*m	mq	cmq	cm	cm	kg/cm ²	mm	mm			
0.0	495	0.0	9.42	18.85	10.4	96	0.003	0.003	33(Fr)	Si	>100
0.0	475	0.0	9.42	18.85	10.4	92	0.003	0.003	38(Qp)	Si	>100
40.0	-1	0.0	6.28	12.57	12.2	0	0.000	0.000	38(Qp)	Si	>100
40.0	-2	0.0	6.28	12.57	12.2	0	0.000	0.000	34(Fr)	Si	>100
200.0	-683	0.0	6.28	12.57	12.2	196	0.007	0.007	38(Qp)	Si	44
200.0	-705	0.0	6.28	12.57	12.2	202	0.007	0.007	33(Fr)	Si	57
360.0	162	0.0	6.28	12.57	12.2	46	0.002	0.002	38(Qp)	Si	>100
360.0	164	0.0	6.28	12.57	12.2	47	0.002	0.002	34(Fr)	Si	>100
400.0	657	0.0	6.28	12.57	12.2	188	0.007	0.007	38(Qp)	Si	46
400.0	676	0.0	6.28	12.57	12.2	194	0.007	0.007	33(Fr)	Si	59

Trave : 104 [891 , 20] Pilastrate [- , 5]

Sez. R: B_y= 40.0 cm B_z=60.0 cm L=130.0 cm L_n=150.0 cm

Criterio : CLS_TraviAlte_Esist

Combinazione Rara: σ_{ca}[kg/cm²]=56 σ_{fa}[kg/cm²]=2800

X	M+	M-	Afsup	Afinf	σ _{c+}	σ _{f+}	σ _{c-}	σ _{f-}	Cb+	Cb-	Ver.	CS
cm	kg*m	kg*m	cmq	cmq	kg/cm ²	kg/cm ²	kg/cm ²	kg/cm ²				
0.0	--	829	6.28	6.28	--	--	-4	237	27	24	Si	12
15.0	--	753	6.28	6.28	--	--	-4	216	29	24	Si	13
75.0	--	571	6.28	6.28	--	--	-3	164	29	24	Si	17
135.0	--	356	12.57	6.28	--	--	-1	52	26	24	Si	38
150.0	--	413	12.57	6.28	--	--	-2	61	26	24	Si	32

Combinazione QP: σ_{ca}[kg/cm²]=42 σ_{fa}[kg/cm²]=2800

X	M+	M-	Afsup	Afinf	σ _{c+}	σ _{f+}	σ _{c-}	σ _{f-}	Cb+	Cb-	Ver.	CS
cm	kg*m	kg*m	cmq	cmq	kg/cm ²	kg/cm ²	kg/cm ²	kg/cm ²				
0.0	--	736	6.28	6.28	--	--	-4	211	38	38	Si	11
15.0	--	670	6.28	6.28	--	--	-4	192	38	38	Si	12
75.0	--	515	6.28	6.28	--	--	-3	148	38	38	Si	15
135.0	--	330	12.57	6.28	--	--	-1	49	38	38	Si	30
150.0	--	379	12.57	6.28	--	--	-2	56	38	38	Si	27

Verifica aperture fessure: Wamm_Freq[mm]=0.400 Wamm_Qp[mm]=0.300

X	M	Act	Aft	pAft	S _{r,max}	σ _{fmed}	Wd	Wk	Cb	Ver.	Cs
cm	kg*m	mq	cmq	cm	cm	kg/cmq	mm	mm			
0.0	755	0.0	6.28	12.57	12.2	216	0.008	0.008	33(Fr)	Si	53
0.0	736	0.0	6.28	12.57	12.2	211	0.007	0.007	38(Qp)	Si	41
15.0	670	0.0	6.28	12.57	12.2	192	0.007	0.007	38(Qp)	Si	45
15.0	688	0.0	6.28	12.57	12.2	197	0.007	0.007	33(Fr)	Si	58
75.0	515	0.0	6.28	12.57	12.2	148	0.005	0.005	38(Qp)	Si	58
75.0	531	0.0	6.28	12.57	12.2	152	0.005	0.005	33(Fr)	Si	75
135.0	330	0.0	12.57	25.13	9.5	49	0.001	0.001	38(Qp)	Si	>100
135.0	342	0.0	12.57	25.13	9.5	50	0.001	0.001	33(Fr)	Si	>100
150.0	379	0.0	12.57	25.13	9.5	56	0.002	0.002	38(Qp)	Si	>100
150.0	394	0.0	12.57	25.13	9.5	58	0.002	0.002	33(Fr)	Si	>100

Trave : 104 [893 , 894] Pilastrate [- , -]

Sez. R: By= 40.0 cm Bz=60.0 cm L=400.0 cm Ln=400.0 cm

Criterio : CLS_TraviAlte_Esist

Combinazione Rara: σ_{ca}[kg/cm²]=56 σ_{fa}[kg/cm²]=2800

X	M+	M-	Afsup	Afinf	σ _{c+}	σ _{f+}	σ _{c-}	σ _{f-}	Cb+	Cb-	Ver.	CS
cm	kg*m	kg*m	cmq	cmq	kg/cm ²	kg/cm ²	kg/cm ²	kg/cm ²				
0.0	--	410	6.28	6.28	--	--	-2	117	26	24	Si	24
40.0	131	--	6.28	6.28	-1	38	--	--	24	29	Si	74
200.0	708	--	6.28	6.28	-4	203	--	--	24	26	Si	14
360.0	--	283	6.28	6.28	--	--	-1	81	29	24	Si	35
400.0	--	818	6.28	6.28	--	--	-4	234	29	24	Si	12

Combinazione QP: σ_{ca}[kg/cm²]=42 σ_{fa}[kg/cm²]=2800

X	M+	M-	Afsup	Afinf	σ _{c+}	σ _{f+}	σ _{c-}	σ _{f-}	Cb+	Cb-	Ver.	CS
cm	kg*m	kg*m	cmq	cmq	kg/cm ²	kg/cm ²	kg/cm ²	kg/cm ²				
0.0	--	376	6.28	6.28	--	--	-2	108	38	38	Si	21
40.0	99	--	6.28	6.28	-1	28	--	--	38	38	Si	80
200.0	645	--	6.28	6.28	-3	185	--	--	38	38	Si	12
360.0	--	232	6.28	6.28	--	--	-1	66	38	38	Si	34
400.0	--	702	6.28	6.28	--	--	-4	201	38	38	Si	11

Verifica aperture fessure: Wamm_Freq[mm]=0.400 Wamm_Qp[mm]=0.300

X	M	Act	Aft	pAft	S _{r,max}	σ _{fmed}	Wd	Wk	Cb	Ver.	Cs
cm	kg*m	mq	cmq	cm	cm	kg/cm ²	mm	mm			
0.0	392	0.0	6.28	12.57	12.2	112	0.004	0.004	33(Fr)	Si	>100
0.0	376	0.0	6.28	12.57	12.2	108	0.004	0.004	38(Qp)	Si	80
40.0	-99	0.0	6.28	12.57	12.2	28	0.001	0.001	38(Qp)	Si	>100
40.0	-102	0.0	6.28	12.57	12.2	29	0.001	0.001	33(Fr)	Si	>100
200.0	-645	0.0	6.28	12.57	12.2	185	0.006	0.006	38(Qp)	Si	47
200.0	-666	0.0	6.28	12.57	12.2	191	0.007	0.007	33(Fr)	Si	60
360.0	232	0.0	6.28	12.57	12.2	66	0.002	0.002	38(Qp)	Si	>100
360.0	236	0.0	6.28	12.57	12.2	67	0.002	0.002	33(Fr)	Si	>100
400.0	702	0.0	6.28	12.57	12.2	201	0.007	0.007	38(Qp)	Si	43
400.0	724	0.0	6.28	12.57	12.2	207	0.007	0.007	33(Fr)	Si	55

Trave : 104 [894 , 28] Pilastrate [- , 6]

Sez. R: By= 40.0 cm Bz=60.0 cm L=155.0 cm Ln=155.0 cm

Criterio : CLS_TraviAlte_Esist

Combinazione Rara: σ_{ca}[kg/cm²]=56 σ_{fa}[kg/cm²]=2800

X	M+	M-	Afsup	Afinf	σ _{c+}	σ _{f+}	σ _{c-}	σ _{f-}	Cb+	Cb-	Ver.	CS
cm	kg*m	kg*m	cmq	cmq	kg/cm ²	kg/cm ²	kg/cm ²	kg/cm ²				
0.0	--	993	6.28	6.28	--	--	-5	284	29	24	Si	9.8
15.5	--	874	6.28	6.28	--	--	-5	250	29	24	Si	11
77.5	--	600	12.57	6.28	--	--	-3	88	29	24	Si	22
139.5	--	376	12.57	6.28	--	--	-2	55	28	24	Si	36
155.0	--	459	12.57	6.28	--	--	-2	68	28	24	Si	29

Combinazione QP: $\sigma_{ca}[\text{kg/cm}^2]=42$ $\sigma_{fa}[\text{kg/cm}^2]=2800$

X	M+	M-	Afsup	Afinf	σ_c+	σ_f+	σ_c-	σ_f-	Cb+	Cb-	Ver.	CS
cm	kg*m	kg*m	cmq	cmq	kg/cmq	kg/cmq	kg/cmq	kg/cmq				
0.0	--	858	6.28	6.28	--	--	-5	246	38	38	Si	9.3
15.5	--	757	6.28	6.28	--	--	-4	217	38	38	Si	11
77.5	--	533	12.57	6.28	--	--	-2	78	38	38	Si	19
139.5	--	351	12.57	6.28	--	--	-1	52	38	38	Si	29
155.0	--	423	12.57	6.28	--	--	-2	62	38	38	Si	24

Verifica aperture fessure: $Wamm_Freq[\text{mm}]=0.400$ $Wamm_Qp[\text{mm}]=0.300$

X	M	Act	Aft	pAft	$S_{r,max}$	σ_{fmed}	Wd	Wk	Cb	Ver.	Cs
cm	kg*m	mq	cmq	cm	cm	kg/cmq	mm	mm			
0.0	883	0.0	6.28	12.57	12.2	253	0.009	0.009	33(Fr)	Si	45
0.0	858	0.0	6.28	12.57	12.2	246	0.009	0.009	38(Qp)	Si	35
15.5	757	0.0	6.28	12.57	12.2	217	0.008	0.008	38(Qp)	Si	40
15.5	778	0.0	6.28	12.57	12.2	223	0.008	0.008	33(Fr)	Si	51
77.5	533	0.0	12.57	25.13	9.5	78	0.002	0.002	38(Qp)	Si	>100
77.5	550	0.0	12.57	25.13	9.5	81	0.002	0.002	33(Fr)	Si	>100
139.5	351	0.0	12.57	25.13	9.5	52	0.001	0.001	38(Qp)	Si	>100
139.5	365	0.0	12.57	25.13	9.5	54	0.001	0.001	33(Fr)	Si	>100
155.0	423	0.0	12.57	25.13	9.5	62	0.002	0.002	38(Qp)	Si	>100
155.0	441	0.0	12.57	25.13	9.5	65	0.002	0.002	33(Fr)	Si	>100

Trave : 104 [897 , 899] Pilastrate [- , -]

Sez. R: $B_y = 40.0 \text{ cm}$ $B_z = 60.0 \text{ cm}$ $L = 403.0 \text{ cm}$ $L_n = 403.0 \text{ cm}$

Criterio : CLS_TraviAlte_Esist

Combinazione Rara: $\sigma_{ca}[\text{kg/cm}^2]=56$ $\sigma_{fa}[\text{kg/cm}^2]=2800$

X	M+	M-	Afsup	Afinf	σ_c+	σ_f+	σ_c-	σ_f-	Cb+	Cb-	Ver.	CS
cm	kg*m	kg*m	cmq	cmq	kg/cmq	kg/cmq	kg/cmq	kg/cmq				
0.0	--	869	6.28	6.28	--	--	-5	249	27	24	Si	11
40.3	--	308	6.28	6.28	--	--	-2	88	27	24	Si	32
201.5	993	--	6.28	6.28	-5	284	--	--	24	27	Si	9.8
362.7	304	--	6.28	6.28	-2	87	--	--	24	27	Si	32
403.0	--	291	9.42	6.28	--	--	-1	56	28	24	Si	42

Combinazione QP: $\sigma_{ca}[\text{kg/cm}^2]=42$ $\sigma_{fa}[\text{kg/cm}^2]=2800$

X	M+	M-	Afsup	Afinf	σ_c+	σ_f+	σ_c-	σ_f-	Cb+	Cb-	Ver.	CS
cm	kg*m	kg*m	cmq	cmq	kg/cmq	kg/cmq	kg/cmq	kg/cmq				
0.0	--	779	6.28	6.28	--	--	-4	223	38	38	Si	10
40.3	--	286	6.28	6.28	--	--	-2	82	38	38	Si	28
201.5	896	--	6.28	6.28	-5	257	--	--	38	38	Si	8.9
362.7	284	--	6.28	6.28	-1	81	--	--	38	38	Si	28
403.0	--	239	9.42	6.28	--	--	-1	46	38	38	Si	38

Verifica aperture fessure: $Wamm_Freq[\text{mm}]=0.400$ $Wamm_Qp[\text{mm}]=0.300$

X	M	Act	Aft	pAft	$S_{r,max}$	σ_{fmed}	Wd	Wk	Cb	Ver.	Cs
cm	kg*m	mq	cmq	cm	cm	kg/cmq	mm	mm			
0.0	801	0.0	6.28	12.57	12.2	230	0.008	0.008	33(Fr)	Si	50
0.0	779	0.0	6.28	12.57	12.2	223	0.008	0.008	38(Qp)	Si	39
40.3	286	0.0	6.28	12.57	12.2	82	0.003	0.003	38(Qp)	Si	>100
40.3	289	0.0	6.28	12.57	12.2	83	0.003	0.003	33(Fr)	Si	>100
201.5	-896	0.0	6.28	12.57	12.2	257	0.009	0.009	38(Qp)	Si	34
201.5	-922	0.0	6.28	12.57	12.2	264	0.009	0.009	33(Fr)	Si	43
362.7	-284	0.0	6.28	12.57	12.2	81	0.003	0.003	38(Qp)	Si	>100
362.7	-289	0.0	6.28	12.57	12.2	83	0.003	0.003	33(Fr)	Si	>100
403.0	239	0.0	9.42	18.85	10.4	46	0.001	0.001	38(Qp)	Si	>100
403.0	254	0.0	9.42	18.85	10.4	49	0.001	0.001	33(Fr)	Si	>100

Trave : 104 [899 , 30] Pilastrate [- , 11]

Sez. R: By= 40.0 cm Bz=60.0 cm L=155.0 cm Ln=135.0 cm

Criterio : CLS_TraviAlte_Esist

Combinazione Rara: σ_{ca} [kg/cmq]=56 σ_{fa} [kg/cmq]=2800

X	M+	M-	Afsup	Afinf	σ_{c+}	σ_{f+}	σ_{c-}	σ_{f-}	Cb+	Cb-	Ver.	CS
cm	kg*m	kg*m	cmq	cmq	kg/cmq	kg/cmq	kg/cmq	kg/cmq				
0.0	--	431	9.42	6.28	--	--	-2	83	29	24	Si	28
13.5	--	420	9.42	6.28	--	--	-2	81	29	24	Si	29
67.5	--	413	9.42	6.28	--	--	-2	80	29	24	Si	30
121.5	--	122	9.42	6.28	--	--	-1	24	29	24	Si	100
135.0	--	97	9.42	6.28	--	--	-0	19	28	24	Si	>100

Combinazione QP: σ_{ca} [kg/cmq]=42 σ_{fa} [kg/cmq]=2800

X	M+	M-	Afsup	Afinf	σ_{c+}	σ_{f+}	σ_{c-}	σ_{f-}	Cb+	Cb-	Ver.	CS
cm	kg*m	kg*m	cmq	cmq	kg/cmq	kg/cmq	kg/cmq	kg/cmq				
0.0	--	366	9.42	6.28	--	--	-2	71	38	38	Si	25
13.5	--	357	9.42	6.28	--	--	-2	69	38	38	Si	26
67.5	--	357	9.42	6.28	--	--	-2	69	38	38	Si	26
121.5	--	102	9.42	6.28	--	--	-0	20	38	38	Si	90
135.0	--	82	9.42	6.28	--	--	-0	16	38	38	Si	>100

Verifica aperture fessure: Wamm_Freq[mm]=0.400 Wamm_Qp[mm]=0.300

X	M	Act	Aft	pAft	$S_{r,max}$	σ_{fmed}	Wd	Wk	Cb	Ver.	Cs
cm	kg*m	mq	cmq	cm	cm	kg/cmq	mm	mm			
0.0	383	0.0	9.42	18.85	10.4	74	0.002	0.002	33(Fr)	Si	>100
0.0	366	0.0	9.42	18.85	10.4	71	0.002	0.002	38(Qp)	Si	>100
13.5	357	0.0	9.42	18.85	10.4	69	0.002	0.002	38(Qp)	Si	>100
13.5	372	0.0	9.42	18.85	10.4	72	0.002	0.002	33(Fr)	Si	>100
67.5	357	0.0	9.42	18.85	10.4	69	0.002	0.002	38(Qp)	Si	>100
67.5	369	0.0	9.42	18.85	10.4	71	0.002	0.002	33(Fr)	Si	>100
121.5	102	0.0	9.42	18.85	10.4	20	0.001	0.001	38(Qp)	Si	>100
121.5	107	0.0	9.42	18.85	10.4	21	0.001	0.001	33(Fr)	Si	>100
135.0	82	0.0	9.42	18.85	10.4	16	0.000	0.000	38(Qp)	Si	>100
135.0	90	0.0	9.42	18.85	10.4	17	0.001	0.001	33(Fr)	Si	>100

Trave : 105 [6 , 881] Pilastrate [3 , -]

Sez. R: By= 40.0 cm Bz=60.0 cm L=125.0 cm Ln=105.4 cm

Criterio : CLS_TraviAlte_Esist

Combinazione Rara: σ_{ca} [kg/cmq]=56 σ_{fa} [kg/cmq]=2800

X	M+	M-	Afsup	Afinf	σ_{c+}	σ_{f+}	σ_{c-}	σ_{f-}	Cb+	Cb-	Ver.	CS
cm	kg*m	kg*m	cmq	cmq	kg/cmq	kg/cmq	kg/cmq	kg/cmq				
0.0	--	138	9.42	6.28	--	--	-1	27	26	24	Si	88
10.5	--	119	9.42	6.28	--	--	-1	23	28	24	Si	>100
52.7	--	506	9.42	6.28	--	--	-2	98	29	24	Si	24
94.9	--	532	9.42	6.28	--	--	-2	103	29	24	Si	23
105.4	--	523	9.42	6.28	--	--	-2	101	29	24	Si	23

Combinazione QP: σ_{ca} [kg/cmq]=42 σ_{fa} [kg/cmq]=2800

X	M+	M-	Afsup	Afinf	σ_{c+}	σ_{f+}	σ_{c-}	σ_{f-}	Cb+	Cb-	Ver.	CS
cm	kg*m	kg*m	cmq	cmq	kg/cmq	kg/cmq	kg/cmq	kg/cmq				
0.0	--	121	9.42	6.28	--	--	-1	24	38	38	Si	75
10.5	--	106	9.42	6.28	--	--	-0	21	38	38	Si	86
52.7	--	437	9.42	6.28	--	--	-2	85	38	38	Si	21
94.9	--	451	9.42	6.28	--	--	-2	87	38	38	Si	20
105.4	--	441	9.42	6.28	--	--	-2	85	38	38	Si	21

Verifica aperture fessure: Wamm_Freq[mm]=0.400 Wamm_Qp[mm]=0.300

X	M	Act	Aft	pAft	$S_{r,max}$	σ_{fmed}	Wd	Wk	Cb	Ver.	Cs
---	---	-----	-----	------	-------------	-----------------	----	----	----	------	----

X	M	Act	Aft	pAft	S _{r,max}	σ _{fmed}	Wd	Wk	Cb	Ver.	Cs
cm	kg*m	mq	cmq	cm	cm	kg/cmq	mm	mm			
0.0	130	0.0	9.42	18.85	10.4	25	0.001	0.001	33(Fr)	Si	>100
0.0	121	0.0	9.42	18.85	10.4	24	0.001	0.001	38(Qp)	Si	>100
10.5	106	0.0	9.42	18.85	10.4	21	0.001	0.001	38(Qp)	Si	>100
10.5	113	0.0	9.42	18.85	10.4	22	0.001	0.001	33(Fr)	Si	>100
52.7	437	0.0	9.42	18.85	10.4	85	0.003	0.003	38(Qp)	Si	>100
52.7	455	0.0	9.42	18.85	10.4	88	0.003	0.003	33(Fr)	Si	>100
94.9	451	0.0	9.42	18.85	10.4	87	0.003	0.003	38(Qp)	Si	>100
94.9	469	0.0	9.42	18.85	10.4	91	0.003	0.003	33(Fr)	Si	>100
105.4	441	0.0	9.42	18.85	10.4	85	0.003	0.003	38(Qp)	Si	>100
105.4	459	0.0	9.42	18.85	10.4	89	0.003	0.003	33(Fr)	Si	>100

Trave : 105 [881 , 884] Pilastrate [- , -]

Sez. R: By= 40.0 cm Bz=60.0 cm L=401.8 cm Ln=402.8 cm

Criterio : CLS_TraviAlte_Esist

Combinazione Rara: σ_{ca}[kg/cmq]=56 σ_{fa}[kg/cmq]=2800

X	M+	M-	Afsup	Afinf	σ _{c+}	σ _{f+}	σ _{c-}	σ _{f-}	Cb+	Cb-	Ver.	CS
cm	kg*m	kg*m	cmq	cmq	kg/cmq	kg/cmq	kg/cmq	kg/cmq				
0.0	--	614	9.42	6.28	--	--	-3	119	28	24	Si	20
40.3	141	--	9.42	6.28	-1	40	--	--	28	24	Si	70
201.4	1130	--	9.42	6.28	-5	321	--	--	24	29	Si	8.7
362.5	181	--	9.42	6.28	-1	51	--	--	24	28	Si	54
402.8	--	667	9.42	6.28	--	--	-3	129	27	24	Si	18

Combinazione QP: σ_{ca}[kg/cmq]=42 σ_{fa}[kg/cmq]=2800

X	M+	M-	Afsup	Afinf	σ _{c+}	σ _{f+}	σ _{c-}	σ _{f-}	Cb+	Cb-	Ver.	CS
cm	kg*m	kg*m	cmq	cmq	kg/cmq	kg/cmq	kg/cmq	kg/cmq				
0.0	--	514	9.42	6.28	--	--	-2	100	38	38	Si	18
40.3	140	--	9.42	6.28	-1	40	--	--	38	38	Si	62
201.4	1009	--	9.42	6.28	-5	286	--	--	38	38	Si	8.6
362.5	145	--	9.42	6.28	-1	41	--	--	38	38	Si	60
402.8	--	602	9.42	6.28	--	--	-3	117	38	38	Si	15

Verifica aperture fessure: W_{amm_Freq}[mm]=0.400 W_{amm_Qp}[mm]=0.300

X	M	Act	Aft	pAft	S _{r,max}	σ _{fmed}	Wd	Wk	Cb	Ver.	Cs
cm	kg*m	mq	cmq	cm	cm	kg/cmq	mm	mm			
0.0	539	0.0	9.42	18.85	10.4	104	0.003	0.003	33(Fr)	Si	>100
0.0	514	0.0	9.42	18.85	10.4	100	0.003	0.003	38(Qp)	Si	>100
40.3	-140	0.0	6.28	12.57	12.2	40	0.001	0.001	38(Qp)	Si	>100
40.3	-140	0.0	6.28	12.57	12.2	40	0.001	0.001	33(Fr)	Si	>100
201.4	-1009	0.0	6.28	12.57	12.2	286	0.010	0.010	38(Qp)	Si	30
201.4	-1039	0.0	6.28	12.57	12.2	295	0.010	0.010	33(Fr)	Si	39
362.5	-145	0.0	6.28	12.57	12.2	41	0.001	0.001	38(Qp)	Si	>100
362.5	-154	0.0	6.28	12.57	12.2	44	0.002	0.002	33(Fr)	Si	>100
402.8	602	0.0	9.42	18.85	10.4	117	0.003	0.003	38(Qp)	Si	87
402.8	620	0.0	9.42	18.85	10.4	120	0.004	0.004	33(Fr)	Si	>100

Trave : 105 [884 , 12] Pilastrate [- , 4]

Sez. R: By= 40.0 cm Bz=60.0 cm L=125.0 cm Ln=142.0 cm

Criterio : CLS_TraviAlte_Esist

Combinazione Rara: σ_{ca}[kg/cmq]=56 σ_{fa}[kg/cmq]=2800

X	M+	M-	Afsup	Afinf	σ _{c+}	σ _{f+}	σ _{c-}	σ _{f-}	Cb+	Cb-	Ver.	CS
cm	kg*m	kg*m	cmq	cmq	kg/cmq	kg/cmq	kg/cmq	kg/cmq				
0.0	16	--	9.42	6.28	-0	4	--	--	27	28	Si	>100
14.2	--	142	9.42	6.28	--	--	-1	28	27	24	Si	86
71.0	--	398	9.42	6.28	--	--	-2	77	26	24	Si	31
127.8	--	1178	9.42	6.28	--	--	-5	228	28	24	Si	10
142.0	--	1573	9.42	6.28	--	--	-7	305	28	24	Si	7.8

Combinazione QP: $\sigma_{ca}[\text{kg/cm}^2]=42$ $\sigma_{fa}[\text{kg/cm}^2]=2800$

X	M+	M-	Afsup	Afinf	σ_{c+}	σ_{f+}	σ_{c-}	σ_{f-}	Cb+	Cb-	Ver.	CS
cm	kg*m	kg*m	cmq	cmq	kg/cmq	kg/cmq	kg/cmq	kg/cmq				
0.0	1	--	9.42	6.28	-0	0	--	--	38	38	Si	>100
14.2	--	135	9.42	6.28	--	--	-1	26	38	38	Si	68
71.0	--	371	9.42	6.28	--	--	-2	72	38	38	Si	25
127.8	--	1087	9.42	6.28	--	--	-5	211	38	38	Si	8.4
142.0	--	1443	9.42	6.28	--	--	-7	280	38	38	Si	6.3

Verifica aperture fessure: $Wamm_Freq[\text{mm}]=0.400$ $Wamm_Qp[\text{mm}]=0.300$

X	M	Act	Aft	pAft	$S_{r,max}$	σ_{fmed}	Wd	Wk	Cb	Ver.	Cs
cm	kg*m	mq	cmq	cm	cm	kg/cmq	mm	mm			
0.0	-9	0.0	6.28	12.57	12.2	2	0.000	0.000	33(Fr)	Si	>100
0.0	-1	0.0	6.28	12.57	12.2	0	0.000	0.000	38(Qp)	Si	>100
14.2	135	0.0	9.42	18.85	10.4	26	0.001	0.001	38(Qp)	Si	>100
14.2	137	0.0	9.42	18.85	10.4	26	0.001	0.001	34(Fr)	Si	>100
71.0	371	0.0	9.42	18.85	10.4	72	0.002	0.002	38(Qp)	Si	>100
71.0	381	0.0	9.42	18.85	10.4	74	0.002	0.002	33(Fr)	Si	>100
127.8	1087	0.0	9.42	18.85	10.4	211	0.006	0.006	38(Qp)	Si	48
127.8	1133	0.0	9.42	18.85	10.4	219	0.007	0.007	33(Fr)	Si	61
142.0	1443	0.0	9.42	18.85	10.4	280	0.008	0.008	38(Qp)	Si	36
142.0	1504	0.0	9.42	18.85	10.4	291	0.009	0.009	33(Fr)	Si	46

Trave : 106 [2 , 905] Pilastrate [12 , -]

Sez. R: $B_y=40.0\text{ cm}$ $B_z=60.0\text{ cm}$ $L=135.0\text{ cm}$ $L_n=115.4\text{ cm}$

Criterio : CLS_TraviAlte_Esist

Combinazione Rara: $\sigma_{ca}[\text{kg/cm}^2]=56$ $\sigma_{fa}[\text{kg/cm}^2]=2800$

X	M+	M-	Afsup	Afinf	σ_{c+}	σ_{f+}	σ_{c-}	σ_{f-}	Cb+	Cb-	Ver.	CS
cm	kg*m	kg*m	cmq	cmq	kg/cmq	kg/cmq	kg/cmq	kg/cmq				
0.0	5066	--	9.42	6.28	-24	1438	--	--	24	28	Si	1.9
11.5	4015	--	9.42	6.28	-19	1140	--	--	24	28	Si	2.5
57.7	1386	--	9.42	6.28	-7	393	--	--	24	28	Si	7.1
103.9	337	--	9.42	6.28	-2	96	--	--	24	28	Si	29
115.4	181	--	9.42	6.28	-1	51	--	--	24	28	Si	55

Combinazione QP: $\sigma_{ca}[\text{kg/cm}^2]=42$ $\sigma_{fa}[\text{kg/cm}^2]=2800$

X	M+	M-	Afsup	Afinf	σ_{c+}	σ_{f+}	σ_{c-}	σ_{f-}	Cb+	Cb-	Ver.	CS
cm	kg*m	kg*m	cmq	cmq	kg/cmq	kg/cmq	kg/cmq	kg/cmq				
0.0	3683	--	9.42	6.28	-18	1046	--	--	38	38	Si	2.4
11.5	2915	--	9.42	6.28	-14	828	--	--	38	38	Si	3.0
57.7	961	--	9.42	6.28	-5	273	--	--	38	38	Si	9.1
103.9	198	--	9.42	6.28	-1	56	--	--	38	38	Si	44
115.4	85	--	9.42	6.28	-0	24	--	--	38	38	Si	>100

Verifica aperture fessure: $Wamm_Freq[\text{mm}]=0.400$ $Wamm_Qp[\text{mm}]=0.300$

X	M	Act	Aft	pAft	$S_{r,max}$	σ_{fmed}	Wd	Wk	Cb	Ver.	Cs
cm	kg*m	mq	cmq	cm	cm	kg/cmq	mm	mm			
0.0	-3799	0.0	6.28	12.57	12.2	1079	0.052	0.052	34(Fr)	Si	7.7
0.0	-3683	0.0	6.28	12.57	12.2	1046	0.050	0.050	38(Qp)	Si	6.0
11.5	-2915	0.0	6.28	12.57	12.2	828	0.037	0.037	38(Qp)	Si	8.0
11.5	-3007	0.0	6.28	12.57	12.2	854	0.039	0.039	34(Fr)	Si	10
57.7	-961	0.0	6.28	12.57	12.2	273	0.010	0.010	38(Qp)	Si	32
57.7	-997	0.0	6.28	12.57	12.2	283	0.010	0.010	34(Fr)	Si	40
103.9	-198	0.0	6.28	12.57	12.2	56	0.002	0.002	38(Qp)	Si	>100
103.9	-209	0.0	6.28	12.57	12.2	59	0.002	0.002	34(Fr)	Si	>100
115.4	-85	0.0	6.28	12.57	12.2	24	0.001	0.001	38(Qp)	Si	>100
115.4	-93	0.0	6.28	12.57	12.2	26	0.001	0.001	34(Fr)	Si	>100

Trave : 106 [905 , 906] Pilastrate [- , -]

Sez. R: By= 40.0 cm Bz=60.0 cm L=402.7 cm Ln=404.3 cm

Criterio : CLS_TraviAlte_Esist

Combinazione Rara: σ_{ca} [kg/cmq]=56 σ_{fa} [kg/cmq]=2800

X	M+	M-	Afsup	Afinf	σ_{c+}	σ_{f+}	σ_{c-}	σ_{f-}	Cb+	Cb-	Ver.	CS
cm	kg*m	kg*m	cmq	cmq	kg/cmq	kg/cmq	kg/cmq	kg/cmq				
0.0	264	--	9.42	6.28	-1	75	--	--	24	28	Si	37
40.4	411	--	9.42	6.28	-2	117	--	--	24	28	Si	24
202.1	555	--	9.42	6.28	-3	158	--	--	24	28	Si	18
363.8	--	83	9.42	6.28	--	--	-0	16	28	24	Si	>100
404.3	--	393	9.42	6.28	--	--	-2	76	28	24	Si	31

Combinazione QP: σ_{ca} [kg/cmq]=42 σ_{fa} [kg/cmq]=2800

X	M+	M-	Afsup	Afinf	σ_{c+}	σ_{f+}	σ_{c-}	σ_{f-}	Cb+	Cb-	Ver.	CS
cm	kg*m	kg*m	cmq	cmq	kg/cmq	kg/cmq	kg/cmq	kg/cmq				
0.0	158	--	9.42	6.28	-1	45	--	--	38	38	Si	55
40.4	319	--	9.42	6.28	-2	91	--	--	38	38	Si	27
202.1	527	--	9.42	6.28	-3	150	--	--	38	38	Si	17
363.8	--	46	9.42	6.28	--	--	-0	9	38	38	Si	>100
404.3	--	339	9.42	6.28	--	--	-2	66	38	38	Si	27

Verifica aperture fessure: Wamm_Freq[mm]=0.400 Wamm_Qp[mm]=0.300

X	M	Act	Aft	pAft	S _{r,max}	σ_{fmed}	Wd	Wk	Cb	Ver.	Cs
cm	kg*m	m	cmq	cm	cm	kg/cmq	mm	mm			
0.0	-166	0.0	6.28	12.57	12.2	47	0.002	0.002	34(Fr)	Si	>100
0.0	-158	0.0	6.28	12.57	12.2	45	0.002	0.002	38(Qp)	Si	>100
40.4	-319	0.0	6.28	12.57	12.2	91	0.003	0.003	38(Qp)	Si	95
40.4	-327	0.0	6.28	12.57	12.2	93	0.003	0.003	34(Fr)	Si	>100
202.1	-527	0.0	6.28	12.57	12.2	150	0.005	0.005	38(Qp)	Si	57
202.1	-530	0.0	6.28	12.57	12.2	151	0.005	0.005	33(Fr)	Si	76
363.8	46	0.0	9.42	18.85	10.4	9	0.000	0.000	38(Qp)	Si	>100
363.8	49	0.0	9.42	18.85	10.4	10	0.000	0.000	34(Fr)	Si	>100
404.3	339	0.0	9.42	18.85	10.4	66	0.002	0.002	38(Qp)	Si	>100
404.3	343	0.0	9.42	18.85	10.4	66	0.002	0.002	34(Fr)	Si	>100

Trave : 106 [906 , 10] Pilastrate [- , 9]

Sez. R: By= 40.0 cm Bz=60.0 cm L=135.0 cm Ln=151.0 cm

Criterio : CLS_TraviAlte_Esist

Combinazione Rara: σ_{ca} [kg/cmq]=56 σ_{fa} [kg/cmq]=2800

X	M+	M-	Afsup	Afinf	σ_{c+}	σ_{f+}	σ_{c-}	σ_{f-}	Cb+	Cb-	Ver.	CS
cm	kg*m	kg*m	cmq	cmq	kg/cmq	kg/cmq	kg/cmq	kg/cmq				
0.0	--	108	9.42	6.28	--	--	-0	21	28	24	Si	>100
15.1	--	182	9.42	6.28	--	--	-1	35	28	24	Si	67
75.5	--	347	9.42	6.28	--	--	-2	67	28	24	Si	35
135.9	--	665	9.42	6.28	--	--	-3	129	28	27	Si	18
151.0	--	791	9.42	6.28	--	--	-4	153	28	27	Si	15

Combinazione QP: σ_{ca} [kg/cmq]=42 σ_{fa} [kg/cmq]=2800

X	M+	M-	Afsup	Afinf	σ_{c+}	σ_{f+}	σ_{c-}	σ_{f-}	Cb+	Cb-	Ver.	CS
cm	kg*m	kg*m	cmq	cmq	kg/cmq	kg/cmq	kg/cmq	kg/cmq				
0.0	--	73	9.42	6.28	--	--	-0	14	38	38	Si	>100
15.1	--	143	9.42	6.28	--	--	-1	28	38	38	Si	64
75.5	--	305	9.42	6.28	--	--	-1	59	38	38	Si	30
135.9	--	627	9.42	6.28	--	--	-3	121	38	38	Si	15
151.0	--	751	9.42	6.28	--	--	-3	145	38	38	Si	12

Verifica aperture fessure: Wamm_Freq[mm]=0.400 Wamm_Qp[mm]=0.300

X	M	Act	Aft	pAft	S _{r,max}	σ_{fmed}	Wd	Wk	Cb	Ver.	Cs
cm	kg*m	m	cmq	cm	cm	kg/cmq	mm	mm			

X	M	Act	Aft	pAft	S _{r,max}	σfmed	Wd	Wk	Cb	Ver.	Cs
0.0	77	0.0	9.42	18.85	10.4	15	0.000	0.000	34(Fr)	Si	>100
0.0	73	0.0	9.42	18.85	10.4	14	0.000	0.000	38(Qp)	Si	>100
15.1	143	0.0	9.42	18.85	10.4	28	0.001	0.001	38(Qp)	Si	>100
15.1	147	0.0	9.42	18.85	10.4	28	0.001	0.001	34(Fr)	Si	>100
75.5	305	0.0	9.42	18.85	10.4	59	0.002	0.002	38(Qp)	Si	>100
75.5	308	0.0	9.42	18.85	10.4	60	0.002	0.002	34(Fr)	Si	>100
135.9	627	0.0	9.42	18.85	10.4	121	0.004	0.004	38(Qp)	Si	83
135.9	630	0.0	9.42	18.85	10.4	122	0.004	0.004	33(Fr)	Si	>100
151.0	751	0.0	9.42	18.85	10.4	145	0.004	0.004	38(Qp)	Si	69
151.0	754	0.0	9.42	18.85	10.4	146	0.004	0.004	33(Fr)	Si	92

Trave : 107 [10 , 874] Pilastrate [9 , -]

Sez. R: By= 40.0 cm Bz=60.0 cm L=120.2 cm Ln=100.2 cm

Criterio : CLS_TraviAlte_Esist

Combinazione Rara: σca[kg/cmq]=56 σfa[kg/cmq]=2800

X	M+	M-	Afsup	Afinf	σc+	σf+	σc-	σf-	Cb+	Cb-	Ver.	CS
cm	kg*m	kg*m	cmq	cmq	kg/cmq	kg/cmq	kg/cmq	kg/cmq				
0.0	19	105	9.42	6.28	-0	5	-0	20	24	28	Si	>100
10.0	--	189	9.42	6.28	--	--	-1	37	24	28	Si	65
50.1	--	365	9.42	6.28	--	--	-2	71	27	28	Si	33
90.2	--	406	9.42	6.28	--	--	-2	79	27	24	Si	30
100.2	--	422	9.42	6.28	--	--	-2	82	27	24	Si	29

Combinazione QP: σca[kg/cmq]=42 σfa[kg/cmq]=2800

X	M+	M-	Afsup	Afinf	σc+	σf+	σc-	σf-	Cb+	Cb-	Ver.	CS
cm	kg*m	kg*m	cmq	cmq	kg/cmq	kg/cmq	kg/cmq	kg/cmq				
0.0	--	108	9.42	6.28	--	--	-0	21	38	38	Si	85
10.0	--	183	9.42	6.28	--	--	-1	35	38	38	Si	50
50.1	--	345	9.42	6.28	--	--	-2	67	38	38	Si	27
90.2	--	378	9.42	6.28	--	--	-2	73	38	38	Si	24
100.2	--	390	9.42	6.28	--	--	-2	76	38	38	Si	23

Verifica aperture fessure: Wamm_Freq[mm]=0.400 Wamm_Qp[mm]=0.300

X	M	Act	Aft	pAft	S _{r,max}	σfmed	Wd	Wk	Cb	Ver.	Cs
cm	kg*m	mq	cmq	cm	cm	kg/cmq	mm	mm			
0.0	113	0.0	9.42	18.85	10.4	22	0.001	0.001	33(Fr)	Si	>100
0.0	108	0.0	9.42	18.85	10.4	21	0.001	0.001	38(Qp)	Si	>100
10.0	183	0.0	9.42	18.85	10.4	35	0.001	0.001	38(Qp)	Si	>100
10.0	187	0.0	9.42	18.85	10.4	36	0.001	0.001	33(Fr)	Si	>100
50.1	345	0.0	9.42	18.85	10.4	67	0.002	0.002	38(Qp)	Si	>100
50.1	347	0.0	9.42	18.85	10.4	67	0.002	0.002	33(Fr)	Si	>100
90.2	378	0.0	9.42	18.85	10.4	73	0.002	0.002	38(Qp)	Si	>100
90.2	380	0.0	9.42	18.85	10.4	74	0.002	0.002	34(Fr)	Si	>100
100.2	390	0.0	9.42	18.85	10.4	76	0.002	0.002	38(Qp)	Si	>100
100.2	392	0.0	9.42	18.85	10.4	76	0.002	0.002	34(Fr)	Si	>100

Trave : 107 [874 , 876] Pilastrate [- , -]

Sez. R: By= 40.0 cm Bz=60.0 cm L=400.0 cm Ln=400.0 cm

Criterio : CLS_TraviAlte_Esist

Combinazione Rara: σca[kg/cmq]=56 σfa[kg/cmq]=2800

X	M+	M-	Afsup	Afinf	σc+	σf+	σc-	σf-	Cb+	Cb-	Ver.	CS
cm	kg*m	kg*m	cmq	cmq	kg/cmq	kg/cmq	kg/cmq	kg/cmq				
0.0	--	283	9.42	6.28	--	--	-1	55	27	24	Si	43
40.0	--	113	9.42	6.28	--	--	-1	22	27	24	Si	>100
200.0	601	--	9.42	6.28	-3	171	--	--	24	27	Si	16
360.0	477	--	9.42	6.28	-2	136	--	--	24	27	Si	21
400.0	389	--	9.42	6.28	-2	110	--	--	24	27	Si	25

Combinazione QP: $\sigma_{ca}[\text{kg/cm}^2]=42$ $\sigma_{fa}[\text{kg/cm}^2]=2800$

X	M+	M-	Afsup	Afinf	σ_{c+}	σ_{f+}	σ_{c-}	σ_{f-}	Cb+	Cb-	Ver.	CS
cm	kg*m	kg*m	cmq	cmq	kg/cmq	kg/cmq	kg/cmq	kg/cmq				
0.0	--	260	9.42	6.28	--	--	-1	50	38	38	Si	35
40.0	--	94	9.42	6.28	--	--	-0	18	38	38	Si	97
200.0	560	--	9.42	6.28	-3	159	--	--	38	38	Si	16
360.0	392	--	9.42	6.28	-2	111	--	--	38	38	Si	22
400.0	284	--	9.42	6.28	-1	81	--	--	38	38	Si	31

Verifica aperture fessure: $Wamm_Freq[\text{mm}]=0.400$ $Wamm_Qp[\text{mm}]=0.300$

X	M	Act	Aft	pAft	$S_{r,max}$	σ_{fmed}	Wd	Wk	Cb	Ver.	Cs
cm	kg*m	mq	cmq	cm	cm	kg/cmq	mm	mm			
0.0	262	0.0	9.42	18.85	10.4	51	0.002	0.002	34(Fr)	Si	>100
0.0	260	0.0	9.42	18.85	10.4	50	0.001	0.001	38(Qp)	Si	>100
40.0	94	0.0	9.42	18.85	10.4	18	0.001	0.001	38(Qp)	Si	>100
40.0	95	0.0	9.42	18.85	10.4	18	0.001	0.001	34(Fr)	Si	>100
200.0	-560	0.0	6.28	12.57	12.2	159	0.006	0.006	38(Qp)	Si	54
200.0	-563	0.0	6.28	12.57	12.2	160	0.006	0.006	33(Fr)	Si	72
360.0	-392	0.0	6.28	12.57	12.2	111	0.004	0.004	38(Qp)	Si	77
360.0	-398	0.0	6.28	12.57	12.2	113	0.004	0.004	34(Fr)	Si	>100
400.0	-284	0.0	6.28	12.57	12.2	81	0.003	0.003	38(Qp)	Si	>100
400.0	-292	0.0	6.28	12.57	12.2	83	0.003	0.003	34(Fr)	Si	>100

Trave : 107 [876 , 6] Pilastrate [- , 3]

Sez. R: $B_y=40.0\text{ cm}$ $B_z=60.0\text{ cm}$ $L=120.3\text{ cm}$ $L_n=100.3\text{ cm}$

Criterio : CLS_TraviAlte_Esist

Combinazione Rara: $\sigma_{ca}[\text{kg/cm}^2]=56$ $\sigma_{fa}[\text{kg/cm}^2]=2800$

X	M+	M-	Afsup	Afinf	σ_{c+}	σ_{f+}	σ_{c-}	σ_{f-}	Cb+	Cb-	Ver.	CS
cm	kg*m	kg*m	cmq	cmq	kg/cmq	kg/cmq	kg/cmq	kg/cmq				
0.0	292	--	9.42	6.28	-1	83	--	--	24	27	Si	34
10.0	455	--	9.42	6.28	-2	129	--	--	24	27	Si	22
50.1	1025	--	9.42	6.28	-5	291	--	--	24	27	Si	9.6
90.2	3486	--	9.42	6.28	-17	990	--	--	24	27	Si	2.8
100.3	4287	--	9.42	6.28	-21	1217	--	--	24	27	Si	2.3

Combinazione QP: $\sigma_{ca}[\text{kg/cm}^2]=42$ $\sigma_{fa}[\text{kg/cm}^2]=2800$

X	M+	M-	Afsup	Afinf	σ_{c+}	σ_{f+}	σ_{c-}	σ_{f-}	Cb+	Cb-	Ver.	CS
cm	kg*m	kg*m	cmq	cmq	kg/cmq	kg/cmq	kg/cmq	kg/cmq				
0.0	193	--	9.42	6.28	-1	55	--	--	38	38	Si	45
10.0	311	--	9.42	6.28	-2	88	--	--	38	38	Si	28
50.1	730	--	9.42	6.28	-4	207	--	--	38	38	Si	12
90.2	2555	--	9.42	6.28	-12	725	--	--	38	38	Si	3.4
100.3	3145	--	9.42	6.28	-15	893	--	--	38	38	Si	2.8

Verifica aperture fessure: $Wamm_Freq[\text{mm}]=0.400$ $Wamm_Qp[\text{mm}]=0.300$

X	M	Act	Aft	pAft	$S_{r,max}$	σ_{fmed}	Wd	Wk	Cb	Ver.	Cs
cm	kg*m	mq	cmq	cm	cm	kg/cmq	mm	mm			
0.0	-201	0.0	6.28	12.57	12.2	57	0.002	0.002	34(Fr)	Si	>100
0.0	-193	0.0	6.28	12.57	12.2	55	0.002	0.002	38(Qp)	Si	>100
10.0	-311	0.0	6.28	12.57	12.2	88	0.003	0.003	38(Qp)	Si	97
10.0	-322	0.0	6.28	12.57	12.2	91	0.003	0.003	34(Fr)	Si	>100
50.1	-730	0.0	6.28	12.57	12.2	207	0.007	0.007	38(Qp)	Si	41
50.1	-753	0.0	6.28	12.57	12.2	214	0.007	0.007	34(Fr)	Si	54
90.2	-2555	0.0	6.28	12.57	12.2	725	0.031	0.031	38(Qp)	Si	9.6
90.2	-2630	0.0	6.28	12.57	12.2	747	0.033	0.033	34(Fr)	Si	12
100.3	-3145	0.0	6.28	12.57	12.2	893	0.041	0.041	38(Qp)	Si	7.3
100.3	-3238	0.0	6.28	12.57	12.2	919	0.043	0.043	34(Fr)	Si	9.4

Trave : 108 [4 , 913] Pilastrate [14 , -]

Sez. R: $B_y = 40.0 \text{ cm}$ $B_z = 60.0 \text{ cm}$ $L = 350.0 \text{ cm}$ $L_n = 330.0 \text{ cm}$

Criterio : CLS_TraviAlte_Esist

Combinazione Rara: $\sigma_{ca}[\text{kg/cm}^2] = 56$ $\sigma_{fa}[\text{kg/cm}^2] = 2800$

X	M+	M-	Afsup	Afinf	σ_c+	σ_f+	σ_c-	σ_f-	Cb+	Cb-	Ver.	CS
cm	kg*m	kg*m	cmq	cmq	kg/cmq	kg/cmq	kg/cmq	kg/cmq				
0.0	8588	--	9.42	9.42	-36	1648	--	--	24	28	Si	1.5
33.0	5036	--	9.42	9.42	-21	966	--	--	24	28	Si	2.6
165.0	--	303	6.28	9.42	--	--	-1	86	29	24	Si	33
297.0	--	1095	6.28	9.42	--	--	-5	311	29	24	Si	9.0
330.0	--	1301	6.28	9.42	--	--	-6	369	29	24	Si	7.6

Combinazione QP: $\sigma_{ca}[\text{kg/cm}^2] = 42$ $\sigma_{fa}[\text{kg/cm}^2] = 2800$

X	M+	M-	Afsup	Afinf	σ_c+	σ_f+	σ_c-	σ_f-	Cb+	Cb-	Ver.	CS
cm	kg*m	kg*m	cmq	cmq	kg/cmq	kg/cmq	kg/cmq	kg/cmq				
0.0	6017	--	9.42	9.42	-26	1154	--	--	38	38	Si	1.6
33.0	3534	--	9.42	9.42	-15	678	--	--	38	38	Si	2.8
165.0	--	257	6.28	9.42	--	--	-1	73	38	38	Si	34
297.0	--	874	6.28	9.42	--	--	-4	248	38	38	Si	10.0
330.0	--	1046	6.28	9.42	--	--	-5	297	38	38	Si	8.3

Verifica aperture fessure: $W_{amm_Freq}[\text{mm}] = 0.400$ $W_{amm_Qp}[\text{mm}] = 0.300$

X	M	Act	Aft	pAft	$S_{r,max}$	σ_{fmed}	Wd	Wk	Cb	Ver.	Cs
cm	kg*m	mq	cmq	cm	cm	kg/cmq	mm	mm			
0.0	-6229	0.0	9.42	18.85	10.4	1195	0.052	0.052	34(Fr)	Si	7.8
0.0	-6017	0.0	9.42	18.85	10.4	1154	0.050	0.050	38(Qp)	Si	6.1
33.0	-3534	0.0	9.42	18.85	10.4	678	0.026	0.026	38(Qp)	Si	12
33.0	-3659	0.0	9.42	18.85	10.4	702	0.027	0.027	34(Fr)	Si	15
165.0	257	0.0	6.28	12.57	12.2	73	0.003	0.003	38(Qp)	Si	>100
165.0	263	0.0	6.28	12.57	12.2	75	0.003	0.003	33(Fr)	Si	>100
297.0	874	0.0	6.28	12.57	12.2	248	0.009	0.009	38(Qp)	Si	35
297.0	899	0.0	6.28	12.57	12.2	255	0.009	0.009	33(Fr)	Si	45
330.0	1046	0.0	6.28	12.57	12.2	297	0.010	0.010	38(Qp)	Si	29
330.0	1075	0.0	6.28	12.57	12.2	305	0.011	0.011	33(Fr)	Si	38

Trave : 108 [8 , 12] Pilastrate [7 , 4]

Sez. R: $B_y = 40.0 \text{ cm}$ $B_z = 60.0 \text{ cm}$ $L = 689.5 \text{ cm}$ $L_n = 624.5 \text{ cm}$

Criterio : CLS_TraviAlte_Esist

Combinazione Rara: $\sigma_{ca}[\text{kg/cm}^2] = 56$ $\sigma_{fa}[\text{kg/cm}^2] = 2800$

X	M+	M-	Afsup	Afinf	σ_c+	σ_f+	σ_c-	σ_f-	Cb+	Cb-	Ver.	CS
cm	kg*m	kg*m	cmq	cmq	kg/cmq	kg/cmq	kg/cmq	kg/cmq				
0.0	1079	--	12.57	6.28	-5	304	--	--	24	28	Si	9.2
62.5	490	--	12.57	6.28	-2	138	--	--	24	28	Si	20
312.3	--	171	6.28	6.28	--	--	-1	49	28	27	Si	57
562.1	1421	--	9.42	6.28	-7	404	--	--	24	27	Si	6.9
624.5	2946	--	9.42	6.28	-14	836	--	--	24	27	Si	3.3

Combinazione QP: $\sigma_{ca}[\text{kg/cm}^2] = 42$ $\sigma_{fa}[\text{kg/cm}^2] = 2800$

X	M+	M-	Afsup	Afinf	σ_c+	σ_f+	σ_c-	σ_f-	Cb+	Cb-	Ver.	CS
cm	kg*m	kg*m	cmq	cmq	kg/cmq	kg/cmq	kg/cmq	kg/cmq				
0.0	787	--	12.57	6.28	-4	222	--	--	38	38	Si	12
62.5	382	--	12.57	6.28	-2	108	--	--	38	38	Si	25
312.3	--	165	6.28	6.28	--	--	-1	47	38	38	Si	48
562.1	1042	--	9.42	6.28	-5	296	--	--	38	38	Si	8.3
624.5	2103	--	9.42	6.28	-10	597	--	--	38	38	Si	4.1

Verifica aperture fessure: $W_{amm_Freq}[\text{mm}] = 0.400$ $W_{amm_Qp}[\text{mm}] = 0.300$

X	M	Act	Aft	pAft	$S_{r,max}$	σ_{fmed}	Wd	Wk	Cb	Ver.	Cs
cm	kg*m	mq	cmq	cm	cm	kg/cmq	mm	mm			
0.0	-806	0.0	6.28	12.57	12.2	227	0.008	0.008	33(Fr)	Si	50

X	M	Act	Aft	pAft	S _{r,max}	σ _{fmed}	Wd	Wk	Cb	Ver.	Cs
0.0	-787	0.0	6.28	12.57	12.2	222	0.008	0.008	38(Qp)	Si	39
62.5	-382	0.0	6.28	12.57	12.2	108	0.004	0.004	38(Qp)	Si	80
62.5	-392	0.0	6.28	12.57	12.2	111	0.004	0.004	33(Fr)	Si	>100
312.3	165	0.0	6.28	12.57	12.2	47	0.002	0.002	38(Qp)	Si	>100
312.3	167	0.0	6.28	12.57	12.2	48	0.002	0.002	33(Fr)	Si	>100
562.1	-1042	0.0	6.28	12.57	12.2	296	0.010	0.010	38(Qp)	Si	29
562.1	-1072	0.0	6.28	12.57	12.2	304	0.011	0.011	34(Fr)	Si	38
624.5	-2103	0.0	6.28	12.57	12.2	597	0.024	0.024	38(Qp)	Si	13
624.5	-2169	0.0	6.28	12.57	12.2	616	0.025	0.025	34(Fr)	Si	16

Trave : 108 [909 , 8] Pilastrate [- , 7]

Sez. R: By= 40.0 cm Bz=60.0 cm L=70.0 cm Ln=90.0 cm L2=70.0 cm L3=70.0 cm

Criterio : CLS_TraviAlte_EsistVerifica snellezza: fcd=53 [kg/cm²]**Verificato**

Cb	N	fcd*Ac	v	λ _{max}	λ _{lim}
	kg	kg			
24	815	126990	0.006	6.062	312.052

Combinazione Rara: σ_{ca}[kg/cm²]=56 σ_{fa}[kg/cm²]=2800

X	M+	M-	Afsup	Afinf	σ _{c+}	σ _{f+}	σ _{c-}	σ _{f-}	Cb+	Cb-	Ver.	CS
cm	kg*m	kg*m	cmq	cmq	kg/cm ²	kg/cm ²	kg/cm ²	kg/cm ²				
0.0	947	--	12.57	15.71	-3	110	--	--	24	27	Si	17
9.0	888	--	12.57	15.71	-3	103	--	--	24	27	Si	19
45.0	751	--	12.57	15.71	-3	87	--	--	24	27	Si	22
81.0	945	--	12.57	15.71	-3	110	--	--	24	27	Si	17
90.0	999	--	12.57	15.71	-3	116	--	--	24	27	Si	16

Combinazione QP: σ_{ca}[kg/cm²]=42 σ_{fa}[kg/cm²]=2800

X	M+	M-	Afsup	Afinf	σ _{c+}	σ _{f+}	σ _{c-}	σ _{f-}	Cb+	Cb-	Ver.	CS
cm	kg*m	kg*m	cmq	cmq	kg/cm ²	kg/cm ²	kg/cm ²	kg/cm ²				
0.0	736	--	12.57	15.71	-3	86	--	--	38	38	Si	17
9.0	688	--	12.57	15.71	-2	80	--	--	38	38	Si	18
45.0	565	--	12.57	15.71	-2	66	--	--	38	38	Si	22
81.0	692	--	12.57	15.71	-2	81	--	--	38	38	Si	18
90.0	727	--	12.57	15.71	-2	85	--	--	38	38	Si	17

Verifica aperture fessure: Wamm_Freq[mm]=0.400 Wamm_Qp[mm]=0.300

X	M	Act	Aft	pAft	S _{r,max}	σ _{fmed}	Wd	Wk	Cb	Ver.	Cs
cm	kg*m	mq	cmq	cm	cm	kg/cm ²	mm	mm			
0.0	-765	0.0	15.71	31.42	9.0	89	0.002	0.002	33(Fr)	Si	>100
0.0	-736	0.0	15.71	31.42	9.0	86	0.002	0.002	38(Qp)	Si	>100
9.0	-688	0.0	15.71	31.42	9.0	80	0.002	0.002	38(Qp)	Si	>100
9.0	-715	0.0	15.71	31.42	9.0	83	0.002	0.002	33(Fr)	Si	>100
45.0	-565	0.0	15.71	31.42	9.0	66	0.002	0.002	38(Qp)	Si	>100
45.0	-588	0.0	15.71	31.42	9.0	68	0.002	0.002	33(Fr)	Si	>100
81.0	-692	0.0	15.71	31.42	9.0	81	0.002	0.002	38(Qp)	Si	>100
81.0	-710	0.0	15.71	31.42	9.0	83	0.002	0.002	33(Fr)	Si	>100
90.0	-727	0.0	15.71	31.42	9.0	85	0.002	0.002	38(Qp)	Si	>100
90.0	-745	0.0	15.71	31.42	9.0	87	0.002	0.002	34(Fr)	Si	>100

Trave : 108 [913 , 909] Pilastrate [- , -]

Sez. R: By= 40.0 cm Bz=60.0 cm L=250.0 cm Ln=250.0 cm

Criterio : CLS_TraviAlte_Esist

Combinazione Rara: σ_{ca}[kg/cm²]=56 σ_{fa}[kg/cm²]=2800

X	M+	M-	Afsup	Afinf	σ _{c+}	σ _{f+}	σ _{c-}	σ _{f-}	Cb+	Cb-	Ver.	CS
cm	kg*m	kg*m	cmq	cmq	kg/cm ²	kg/cm ²	kg/cm ²	kg/cm ²				
0.0	--	1206	6.28	9.42	--	--	-6	342	29	24	Si	8.2
25.0	--	1095	6.28	9.42	--	--	-5	311	29	24	Si	9.0
125.0	388	--	6.28	9.42	-2	75	--	--	24	27	Si	31

X	M+	M-	Afsup	Afinf	σ_c+	σ_f+	σ_c-	σ_f-	Cb+	Cb-	Ver.	CS
225.0	1001	--	12.57	9.42	-4	191	--	--	24	27	Si	14
250.0	942	--	12.57	9.42	-4	179	--	--	24	27	Si	15

Combinazione QP: $\sigma_{ca}[\text{kg/cm}^2]=42$ $\sigma_{fa}[\text{kg/cm}^2]=2800$

X	M+	M-	Afsup	Afinf	σ_c+	σ_f+	σ_c-	σ_f-	Cb+	Cb-	Ver.	CS
cm	kg*m	kg*m	cmq	cmq	kg/cmq	kg/cmq	kg/cmq	kg/cmq				
0.0	--	952	6.28	9.42	--	--	-5	270	38	38	Si	9.1
25.0	--	851	6.28	9.42	--	--	-4	242	38	38	Si	10
125.0	344	--	6.28	9.42	-2	67	--	--	38	38	Si	27
225.0	795	--	12.57	9.42	-3	151	--	--	38	38	Si	13
250.0	733	--	12.57	9.42	-3	140	--	--	38	38	Si	15

Verifica aperture fessure: $W_{amm_Freq}[\text{mm}]=0.400$ $W_{amm_Qp}[\text{mm}]=0.300$

X	M	Act	Aft	pAft	$S_{r,max}$	σ_{fmed}	Wd	Wk	Cb	Ver.	Cs
cm	kg*m	mq	cmq	cm	cm	kg/cmq	mm	mm			
0.0	981	0.0	6.28	12.57	12.2	279	0.010	0.010	33(Fr)	Si	41
0.0	952	0.0	6.28	12.57	12.2	270	0.009	0.009	38(Qp)	Si	32
25.0	851	0.0	6.28	12.57	12.2	242	0.008	0.008	38(Qp)	Si	36
25.0	879	0.0	6.28	12.57	12.2	250	0.009	0.009	33(Fr)	Si	46
125.0	-344	0.0	9.42	18.85	10.4	67	0.002	0.002	38(Qp)	Si	>100
125.0	-350	0.0	9.42	18.85	10.4	68	0.002	0.002	33(Fr)	Si	>100
225.0	-795	0.0	9.42	18.85	10.4	151	0.004	0.004	38(Qp)	Si	67
225.0	-822	0.0	9.42	18.85	10.4	156	0.005	0.005	33(Fr)	Si	86
250.0	-733	0.0	9.42	18.85	10.4	140	0.004	0.004	38(Qp)	Si	72
250.0	-762	0.0	9.42	18.85	10.4	145	0.004	0.004	33(Fr)	Si	93

Trave : 109 [36 , 38] Pilastrate [35 , 37]

Sez. R: $B_y = 40.0 \text{ cm}$ $B_z = 60.0 \text{ cm}$ $L = 645.0 \text{ cm}$ $L_n = 645.0 \text{ cm}$

Criterio : CLS_TraviAlte_Esist

Combinazione Rara: $\sigma_{ca}[\text{kg/cm}^2]=56$ $\sigma_{fa}[\text{kg/cm}^2]=2800$

X	M+	M-	Afsup	Afinf	σ_c+	σ_f+	σ_c-	σ_f-	Cb+	Cb-	Ver.	CS
cm	kg*m	kg*m	cmq	cmq	kg/cmq	kg/cmq	kg/cmq	kg/cmq				
0.0	--	812	9.42	6.28	--	--	-4	157	28	24	Si	15
64.5	109	--	9.42	6.28	-1	31	--	--	24	27	Si	91
322.5	--	803	6.28	6.28	--	--	-4	230	27	24	Si	12
580.5	364	--	9.42	6.28	-2	103	--	--	24	28	Si	27
645.0	--	160	9.42	6.28	--	--	-1	31	24	29	Si	76

Combinazione QP: $\sigma_{ca}[\text{kg/cm}^2]=42$ $\sigma_{fa}[\text{kg/cm}^2]=2800$

X	M+	M-	Afsup	Afinf	σ_c+	σ_f+	σ_c-	σ_f-	Cb+	Cb-	Ver.	CS
cm	kg*m	kg*m	cmq	cmq	kg/cmq	kg/cmq	kg/cmq	kg/cmq				
0.0	--	720	9.42	6.28	--	--	-3	140	38	38	Si	13
64.5	89	--	9.42	6.28	-0	25	--	--	38	38	Si	98
322.5	--	704	6.28	6.28	--	--	-4	202	38	38	Si	11
580.5	321	--	9.42	6.28	-2	91	--	--	38	38	Si	27
645.0	--	141	9.42	6.28	--	--	-1	27	38	38	Si	65

Verifica aperture fessure: $W_{amm_Freq}[\text{mm}]=0.400$ $W_{amm_Qp}[\text{mm}]=0.300$

X	M	Act	Aft	pAft	$S_{r,max}$	σ_{fmed}	Wd	Wk	Cb	Ver.	Cs
cm	kg*m	mq	cmq	cm	cm	kg/cmq	mm	mm			
0.0	746	0.0	9.42	18.85	10.4	145	0.004	0.004	33(Fr)	Si	93
0.0	720	0.0	9.42	18.85	10.4	140	0.004	0.004	38(Qp)	Si	72
64.5	-89	0.0	6.28	12.57	12.2	25	0.001	0.001	38(Qp)	Si	>100
64.5	-96	0.0	6.28	12.57	12.2	27	0.001	0.001	33(Fr)	Si	>100
322.5	704	0.0	6.28	12.57	12.2	202	0.007	0.007	38(Qp)	Si	43
322.5	732	0.0	6.28	12.57	12.2	210	0.007	0.007	33(Fr)	Si	55
580.5	-321	0.0	6.28	12.57	12.2	91	0.003	0.003	38(Qp)	Si	94
580.5	-331	0.0	6.28	12.57	12.2	94	0.003	0.003	33(Fr)	Si	>100

X	M	Act	Aft	pAft	S _{r,max}	σfmed	Wd	Wk	Cb	Ver.	Cs
645.0	141	0.0	9.42	18.85	10.4	27	0.001	0.001	38(Qp)	Si	>100
645.0	155	0.0	9.42	18.85	10.4	30	0.001	0.001	33(Fr)	Si	>100

Trave : 110 [16 , 914] Pilastrate [15 , -]

Sez. R: By= 40.0 cm Bz=60.0 cm L=350.0 cm Ln=330.0 cm

Criterio : CLS_TraviAlte_Esist

Combinazione Rara: σca[kg/cm²]=56 σfa[kg/cm²]=2800

X	M+	M-	Afsup	Afinf	σc+	σf+	σc-	σf-	Cb+	Cb-	Ver.	CS
cm	kg*m	kg*m	cmq	cmq	kg/cm ²	kg/cm ²	kg/cm ²	kg/cm ²				
0.0	2326	--	9.42	6.28	-11	660	--	--	24	28	Si	4.2
33.0	1246	--	9.42	6.28	-6	354	--	--	24	28	Si	7.9
165.0	--	146	6.28	6.28	--	--	-1	42	29	24	Si	67
297.0	--	702	6.28	6.28	--	--	-4	201	29	24	Si	14
330.0	--	881	6.28	6.28	--	--	-5	252	29	24	Si	11

Combinazione QP: σca[kg/cm²]=42 σfa[kg/cm²]=2800

X	M+	M-	Afsup	Afinf	σc+	σf+	σc-	σf-	Cb+	Cb-	Ver.	CS
cm	kg*m	kg*m	cmq	cmq	kg/cm ²	kg/cm ²	kg/cm ²	kg/cm ²				
0.0	1628	--	9.42	6.28	-8	462	--	--	38	38	Si	5.3
33.0	873	--	9.42	6.28	-4	248	--	--	38	38	Si	10.0
165.0	--	129	6.28	6.28	--	--	-1	37	38	38	Si	62
297.0	--	587	6.28	6.28	--	--	-3	168	38	38	Si	14
330.0	--	742	6.28	6.28	--	--	-4	213	38	38	Si	11

Verifica aperture fessure: Wamm_Freq[mm]=0.400 Wamm_Qp[mm]=0.300

X	M	Act	Aft	pAft	S _{r,max}	σfmed	Wd	Wk	Cb	Ver.	Cs
cm	kg*m	mq	cmq	cm	cm	kg/cm ²	mm	mm			
0.0	-1686	0.0	6.28	12.57	12.2	479	0.017	0.017	34(Fr)	Si	23
0.0	-1628	0.0	6.28	12.57	12.2	462	0.016	0.016	38(Qp)	Si	19
33.0	-873	0.0	6.28	12.57	12.2	248	0.009	0.009	38(Qp)	Si	35
33.0	-904	0.0	6.28	12.57	12.2	257	0.009	0.009	34(Fr)	Si	45
165.0	129	0.0	6.28	12.57	12.2	37	0.001	0.001	38(Qp)	Si	>100
165.0	131	0.0	6.28	12.57	12.2	37	0.001	0.001	33(Fr)	Si	>100
297.0	587	0.0	6.28	12.57	12.2	168	0.006	0.006	38(Qp)	Si	51
297.0	597	0.0	6.28	12.57	12.2	171	0.006	0.006	33(Fr)	Si	67
330.0	742	0.0	6.28	12.57	12.2	213	0.007	0.007	38(Qp)	Si	40
330.0	755	0.0	6.28	12.57	12.2	216	0.008	0.008	33(Fr)	Si	53

Trave : 110 [18 , 20] Pilastrate [17 , 5]

Sez. R: By= 40.0 cm Bz=60.0 cm L=689.5 cm Ln=649.5 cm

Criterio : CLS_TraviAlte_Esist

Combinazione Rara: σca[kg/cm²]=56 σfa[kg/cm²]=2800

X	M+	M-	Afsup	Afinf	σc+	σf+	σc-	σf-	Cb+	Cb-	Ver.	CS
cm	kg*m	kg*m	cmq	cmq	kg/cm ²	kg/cm ²	kg/cm ²	kg/cm ²				
0.0	698	--	12.57	6.28	-3	197	--	--	24	28	Si	14
65.0	296	--	12.57	6.28	-1	83	--	--	24	28	Si	34
324.8	--	101	6.28	6.28	--	--	-1	29	24	27	Si	97
584.6	2606	--	9.42	6.28	-13	740	--	--	24	27	Si	3.8
649.5	5188	--	9.42	6.28	-25	1473	--	--	24	27	Si	1.9

Combinazione QP: σca[kg/cm²]=42 σfa[kg/cm²]=2800

X	M+	M-	Afsup	Afinf	σc+	σf+	σc-	σf-	Cb+	Cb-	Ver.	CS
cm	kg*m	kg*m	cmq	cmq	kg/cm ²	kg/cm ²	kg/cm ²	kg/cm ²				
0.0	548	--	12.57	6.28	-2	155	--	--	38	38	Si	17
65.0	256	--	12.57	6.28	-1	72	--	--	38	38	Si	37
324.8	--	100	6.28	6.28	--	--	-1	29	38	38	Si	80
584.6	1820	--	9.42	6.28	-9	517	--	--	38	38	Si	4.8
649.5	3561	--	9.42	6.28	-17	1011	--	--	38	38	Si	2.4

Verifica aperture fessure: Wamm_Freq[mm]=0.400 Wamm_Qp[mm]=0.300

X	M	Act	Aft	pAft	S _{r,max}	σfmed	Wd	Wk	Cb	Ver.	Cs
cm	kg*m	mq	cmq	cm	cm	kg/cmq	mm	mm			
0.0	-561	0.0	6.28	12.57	12.2	158	0.006	0.006	33(Fr)	Si	73
0.0	-548	0.0	6.28	12.57	12.2	155	0.005	0.005	38(Qp)	Si	56
65.0	-256	0.0	6.28	12.57	12.2	72	0.003	0.003	38(Qp)	Si	>100
65.0	-262	0.0	6.28	12.57	12.2	74	0.003	0.003	33(Fr)	Si	>100
324.8	100	0.0	6.28	12.57	12.2	29	0.001	0.001	38(Qp)	Si	>100
324.8	102	0.0	6.28	12.57	12.2	29	0.001	0.001	33(Fr)	Si	>100
584.6	-1820	0.0	6.28	12.57	12.2	517	0.019	0.019	38(Qp)	Si	16
584.6	-1886	0.0	6.28	12.57	12.2	535	0.020	0.020	34(Fr)	Si	20
649.5	-3561	0.0	6.28	12.57	12.2	1011	0.048	0.048	38(Qp)	Si	6.3
649.5	-3696	0.0	6.28	12.57	12.2	1050	0.050	0.050	34(Fr)	Si	8.0

Trave : 110 [910 , 18] Pilastrate [- , 17]

Sez. R: By= 40.0 cm Bz=60.0 cm L=70.0 cm Ln=90.0 cm L2=70.0 cm L3=70.0 cm

Criterio : CLS_TraviAlte_EsistVerifica snellezza: fcd=53 [kg/cmq] **Verificato**

Cb	N	fcd*Ac	v	λmax	λlim
	kg	kg			
24	991	126990	0.008	6.062	282.953

Combinazione Rara: σca[kg/cmq]=56 σfa[kg/cmq]=2800

X	M+	M-	Afsup	Afinf	σc+	σf+	σc-	σf-	Cb+	Cb-	Ver.	CS
cm	kg*m	kg*m	cmq	cmq	kg/cmq	kg/cmq	kg/cmq	kg/cmq				
0.0	590	--	12.57	12.57	-2	85	--	--	24	27	Si	26
9.0	561	--	12.57	12.57	-2	81	--	--	24	27	Si	28
45.0	537	--	12.57	12.57	-2	77	--	--	24	27	Si	29
81.0	896	--	12.57	12.57	-3	129	--	--	24	27	Si	17
90.0	993	--	12.57	12.57	-4	143	--	--	24	27	Si	16

Combinazione QP: σca[kg/cmq]=42 σfa[kg/cmq]=2800

X	M+	M-	Afsup	Afinf	σc+	σf+	σc-	σf-	Cb+	Cb-	Ver.	CS
cm	kg*m	kg*m	cmq	cmq	kg/cmq	kg/cmq	kg/cmq	kg/cmq				
0.0	471	--	12.57	12.57	-2	68	--	--	38	38	Si	25
9.0	443	--	12.57	12.57	-2	64	--	--	38	38	Si	26
45.0	402	--	12.57	12.57	-1	58	--	--	38	38	Si	29
81.0	659	--	12.57	12.57	-2	95	--	--	38	38	Si	18
90.0	727	--	12.57	12.57	-3	105	--	--	38	38	Si	16

Verifica aperture fessure: Wamm_Freq[mm]=0.400 Wamm_Qp[mm]=0.300

X	M	Act	Aft	pAft	S _{r,max}	σfmed	Wd	Wk	Cb	Ver.	Cs
cm	kg*m	mq	cmq	cm	cm	kg/cmq	mm	mm			
0.0	-483	0.0	12.57	25.13	9.5	70	0.002	0.002	33(Fr)	Si	>100
0.0	-471	0.0	12.57	25.13	9.5	68	0.002	0.002	38(Qp)	Si	>100
9.0	-443	0.0	12.57	25.13	9.5	64	0.002	0.002	38(Qp)	Si	>100
9.0	-455	0.0	12.57	25.13	9.5	66	0.002	0.002	33(Fr)	Si	>100
45.0	-402	0.0	12.57	25.13	9.5	58	0.002	0.002	38(Qp)	Si	>100
45.0	-412	0.0	12.57	25.13	9.5	59	0.002	0.002	33(Fr)	Si	>100
81.0	-659	0.0	12.57	25.13	9.5	95	0.003	0.003	38(Qp)	Si	>100
81.0	-676	0.0	12.57	25.13	9.5	98	0.003	0.003	34(Fr)	Si	>100
90.0	-727	0.0	12.57	25.13	9.5	105	0.003	0.003	38(Qp)	Si	>100
90.0	-747	0.0	12.57	25.13	9.5	108	0.003	0.003	34(Fr)	Si	>100

Trave : 110 [914 , 910] Pilastrate [- , -]

Sez. R: By= 40.0 cm Bz=60.0 cm L=250.0 cm Ln=250.0 cm

Criterio : CLS_TraviAlte_Esist

Combinazione Rara: σca[kg/cmq]=56 σfa[kg/cmq]=2800

X	M+	M-	Afsup	Afinf	σ_c+	σ_f+	σ_c-	σ_f-	Cb+	Cb-	Ver.	CS
cm	kg*m	kg*m	cmq	cmq	kg/cmq	kg/cmq	kg/cmq	kg/cmq				
0.0	--	782	6.28	6.28	--	--	-4	224	29	24	Si	12
25.0	--	701	6.28	6.28	--	--	-4	201	29	24	Si	14
125.0	307	--	6.28	6.28	-2	88	--	--	24	27	Si	32
225.0	654	--	12.57	6.28	-3	184	--	--	24	27	Si	15
250.0	597	--	12.57	6.28	-3	168	--	--	24	27	Si	17

Combinazione QP: σ_{ca} [kg/cmq]=42 σ_{fa} [kg/cmq]=2800

X	M+	M-	Afsup	Afinf	σ_c+	σ_f+	σ_c-	σ_f-	Cb+	Cb-	Ver.	CS
cm	kg*m	kg*m	cmq	cmq	kg/cmq	kg/cmq	kg/cmq	kg/cmq				
0.0	--	642	6.28	6.28	--	--	-3	184	38	38	Si	12
25.0	--	565	6.28	6.28	--	--	-3	162	38	38	Si	14
125.0	285	--	6.28	6.28	-1	82	--	--	38	38	Si	28
225.0	537	--	12.57	6.28	-2	152	--	--	38	38	Si	18
250.0	475	--	12.57	6.28	-2	134	--	--	38	38	Si	20

Verifica aperture fessure: Wamm_Freq[mm]=0.400 Wamm_Qp[mm]=0.300

X	M	Act	Aft	pAft	$S_{r,max}$	σ_{fmed}	Wd	Wk	Cb	Ver.	Cs
cm	kg*m	mq	cmq	cm	cm	kg/cmq	mm	mm			
0.0	655	0.0	6.28	12.57	12.2	188	0.007	0.007	33(Fr)	Si	61
0.0	642	0.0	6.28	12.57	12.2	184	0.006	0.006	38(Qp)	Si	47
25.0	565	0.0	6.28	12.57	12.2	162	0.006	0.006	38(Qp)	Si	53
25.0	577	0.0	6.28	12.57	12.2	165	0.006	0.006	33(Fr)	Si	69
125.0	-285	0.0	6.28	12.57	12.2	82	0.003	0.003	38(Qp)	Si	>100
125.0	-287	0.0	6.28	12.57	12.2	82	0.003	0.003	33(Fr)	Si	>100
225.0	-537	0.0	6.28	12.57	12.2	152	0.005	0.005	38(Qp)	Si	57
225.0	-549	0.0	6.28	12.57	12.2	155	0.005	0.005	33(Fr)	Si	74
250.0	-475	0.0	6.28	12.57	12.2	134	0.005	0.005	38(Qp)	Si	64
250.0	-488	0.0	6.28	12.57	12.2	138	0.005	0.005	33(Fr)	Si	83

Trave : 111 [26 , 28] Pilastrate [25 , 6]

Sez. R: By= 40.0 cm Bz=60.0 cm L=689.5 cm Ln=629.5 cm

Criterio : CLS_TraviAlte_Esist

Combinazione Rara: σ_{ca} [kg/cmq]=56 σ_{fa} [kg/cmq]=2800

X	M+	M-	Afsup	Afinf	σ_c+	σ_f+	σ_c-	σ_f-	Cb+	Cb-	Ver.	CS
cm	kg*m	kg*m	cmq	cmq	kg/cmq	kg/cmq	kg/cmq	kg/cmq				
0.0	--	935	9.42	6.28	--	--	-4	181	27	24	Si	13
63.0	--	501	9.42	6.28	--	--	-2	97	27	24	Si	24
314.8	100	--	6.28	6.28	-1	29	--	--	24	29	Si	98
566.6	3359	--	9.42	6.28	-16	954	--	--	24	27	Si	2.9
629.5	6566	--	9.42	6.28	-32	1864	--	--	24	27	Si	1.5

Combinazione QP: σ_{ca} [kg/cmq]=42 σ_{fa} [kg/cmq]=2800

X	M+	M-	Afsup	Afinf	σ_c+	σ_f+	σ_c-	σ_f-	Cb+	Cb-	Ver.	CS
cm	kg*m	kg*m	cmq	cmq	kg/cmq	kg/cmq	kg/cmq	kg/cmq				
0.0	--	610	9.42	6.28	--	--	-3	118	38	38	Si	15
63.0	--	316	9.42	6.28	--	--	-1	61	38	38	Si	29
314.8	39	--	6.28	6.28	-0	11	--	--	38	38	Si	>100
566.6	2347	--	9.42	6.28	-11	666	--	--	38	38	Si	3.7
629.5	4518	--	9.42	6.28	-22	1283	--	--	38	38	Si	1.9

Verifica aperture fessure: Wamm_Freq[mm]=0.400 Wamm_Qp[mm]=0.300

X	M	Act	Aft	pAft	$S_{r,max}$	σ_{fmed}	Wd	Wk	Cb	Ver.	Cs
cm	kg*m	mq	cmq	cm	cm	kg/cmq	mm	mm			
0.0	639	0.0	9.42	18.85	10.4	124	0.004	0.004	34(Fr)	Si	>100
0.0	610	0.0	9.42	18.85	10.4	118	0.004	0.004	38(Qp)	Si	85
63.0	316	0.0	9.42	18.85	10.4	61	0.002	0.002	38(Qp)	Si	>100
63.0	332	0.0	9.42	18.85	10.4	64	0.002	0.002	34(Fr)	Si	>100

X	M	Act	Aft	pAft	S _{r,max}	σ _{fmed}	Wd	Wk	Cb	Ver.	Cs
314.8	-39	0.0	6.28	12.57	12.2	11	0.000	0.000	38(Qp)	Si	>100
314.8	-45	0.0	6.28	12.57	12.2	13	0.000	0.000	34(Fr)	Si	>100
566.6	-2347	0.0	6.28	12.57	12.2	666	0.028	0.028	38(Qp)	Si	11
566.6	-2432	0.0	6.28	12.57	12.2	690	0.029	0.029	34(Fr)	Si	14
629.5	-4518	0.0	6.28	12.57	12.2	1283	0.064	0.064	38(Qp)	Si	4.7
629.5	-4689	0.0	6.28	12.57	12.2	1331	0.067	0.067	34(Fr)	Si	6.0

Trave : 112 [36 , 847] Pilastrate [35 , -]

Sez. R: By= 40.0 cm Bz=60.0 cm L=84.8 cm Ln=64.8 cm

Criterio : CLS_TraviAlte_Esist

Combinazione Rara: σ_{ca}[kg/cmq]=56 σ_{fa}[kg/cmq]=2800

X	M+	M-	Afsup	Afinf	σ _{c+}	σ _{f+}	σ _{c-}	σ _{f-}	Cb+	Cb-	Ver.	CS
cm	kg*m	kg*m	cmq	cmq	kg/cmq	kg/cmq	kg/cmq	kg/cmq				
0.0	3361	--	9.42	6.28	-16	954	--	--	24	29	Si	2.9
6.5	2811	--	9.42	6.28	-14	798	--	--	24	29	Si	3.5
32.4	1390	--	9.42	6.28	-7	395	--	--	24	29	Si	7.1
58.3	493	--	9.42	6.28	-2	140	--	--	24	29	Si	20
64.8	294	--	9.42	6.28	-1	83	--	--	24	29	Si	34

Combinazione QP: σ_{ca}[kg/cmq]=42 σ_{fa}[kg/cmq]=2800

X	M+	M-	Afsup	Afinf	σ _{c+}	σ _{f+}	σ _{c-}	σ _{f-}	Cb+	Cb-	Ver.	CS
cm	kg*m	kg*m	cmq	cmq	kg/cmq	kg/cmq	kg/cmq	kg/cmq				
0.0	2265	--	9.42	6.28	-11	643	--	--	38	38	Si	3.8
6.5	1860	--	9.42	6.28	-9	528	--	--	38	38	Si	4.7
32.4	838	--	9.42	6.28	-4	238	--	--	38	38	Si	10
58.3	226	--	9.42	6.28	-1	64	--	--	38	38	Si	38
64.8	91	--	9.42	6.28	-0	26	--	--	38	38	Si	95

Verifica aperture fessure: Wamm_Freq[mm]=0.400 Wamm_Qp[mm]=0.300

X	M	Act	Aft	pAft	S _{r,max}	σ _{fmed}	Wd	Wk	Cb	Ver.	Cs
cm	kg*m	mq	cmq	cm	cm	kg/cmq	mm	mm			
0.0	-2356	0.0	6.28	12.57	12.2	669	0.028	0.028	34(Fr)	Si	14
0.0	-2265	0.0	6.28	12.57	12.2	643	0.027	0.027	38(Qp)	Si	11
6.5	-1860	0.0	6.28	12.57	12.2	528	0.020	0.020	38(Qp)	Si	15
6.5	-1939	0.0	6.28	12.57	12.2	551	0.021	0.021	34(Fr)	Si	19
32.4	-838	0.0	6.28	12.57	12.2	238	0.008	0.008	38(Qp)	Si	36
32.4	-885	0.0	6.28	12.57	12.2	251	0.009	0.009	34(Fr)	Si	46
58.3	-226	0.0	6.28	12.57	12.2	64	0.002	0.002	38(Qp)	Si	>100
58.3	-251	0.0	6.28	12.57	12.2	71	0.002	0.002	34(Fr)	Si	>100
64.8	-91	0.0	6.28	12.57	12.2	26	0.001	0.001	38(Qp)	Si	>100
64.8	-110	0.0	6.28	12.57	12.2	31	0.001	0.001	34(Fr)	Si	>100

Trave : 112 [42 , 34] Pilastrate [41 , 2]

Sez. R: By= 40.0 cm Bz=60.0 cm L=220.5 cm Ln=220.5 cm

Criterio : CLS_TraviAlte_Esist

Combinazione Rara: σ_{ca}[kg/cmq]=56 σ_{fa}[kg/cmq]=2800

X	M+	M-	Afsup	Afinf	σ _{c+}	σ _{f+}	σ _{c-}	σ _{f-}	Cb+	Cb-	Ver.	CS
cm	kg*m	kg*m	cmq	cmq	kg/cmq	kg/cmq	kg/cmq	kg/cmq				
0.0	--	507	9.42	6.28	--	--	-2	98	27	28	Si	24
22.1	--	281	9.42	6.28	--	--	-1	54	27	28	Si	43
110.3	391	--	9.42	6.28	-2	111	--	--	24	29	Si	25
198.5	482	--	9.42	6.28	-2	137	--	--	28	27	Si	20
220.5	446	--	9.42	6.28	-2	127	--	--	28	27	Si	22

Combinazione QP: σ_{ca}[kg/cmq]=42 σ_{fa}[kg/cmq]=2800

X	M+	M-	Afsup	Afinf	σ _{c+}	σ _{f+}	σ _{c-}	σ _{f-}	Cb+	Cb-	Ver.	CS
cm	kg*m	kg*m	cmq	cmq	kg/cmq	kg/cmq	kg/cmq	kg/cmq				
0.0	--	493	9.42	6.28	--	--	-2	95	38	38	Si	19

X	M+	M-	Afsup	Afinf	σ_c+	σ_f+	σ_c-	σ_f-	Cb+	Cb-	Ver.	CS
22.1	--	273	9.42	6.28	--	--	-1	53	38	38	Si	34
110.3	314	--	9.42	6.28	-2	89	--	--	38	38	Si	28
198.5	434	--	9.42	6.28	-2	123	--	--	38	38	Si	20
220.5	391	--	9.42	6.28	-2	111	--	--	38	38	Si	22

Verifica aperture fessure: Wamm_Freq[mm]=0.400 Wamm_Qp[mm]=0.300

X	M	Act	Aft	pAft	$S_{r,max}$	σ_{fmed}	Wd	Wk	Cb	Ver.	Cs
cm	kg*m	mq	cmq	cm	cm	kg/cmq	mm	mm			
0.0	493	0.0	9.42	18.85	10.4	95	0.003	0.003	35(Fr)	Si	>100
0.0	493	0.0	9.42	18.85	10.4	95	0.003	0.003	38(Qp)	Si	>100
22.1	273	0.0	9.42	18.85	10.4	53	0.002	0.002	38(Qp)	Si	>100
22.1	273	0.0	9.42	18.85	10.4	53	0.002	0.002	35(Fr)	Si	>100
110.3	-314	0.0	6.28	12.57	12.2	89	0.003	0.003	38(Qp)	Si	97
110.3	-320	0.0	6.28	12.57	12.2	91	0.003	0.003	34(Fr)	Si	>100
198.5	-434	0.0	6.28	12.57	12.2	123	0.004	0.004	38(Qp)	Si	70
198.5	-444	0.0	6.28	12.57	12.2	126	0.004	0.004	34(Fr)	Si	91
220.5	-391	0.0	6.28	12.57	12.2	111	0.004	0.004	38(Qp)	Si	77
220.5	-403	0.0	6.28	12.57	12.2	114	0.004	0.004	34(Fr)	Si	>100

Trave : 112 [34 , 32] Pilastrate [2 , 8]

Sez. R: By= 40.0 cm Bz=60.0 cm L=499.5 cm Ln=459.5 cm

Criterio : CLS_TraviAlte_Esist

Combinazione Rara: σ_{ca} [kg/cmq]=56 σ_{fa} [kg/cmq]=2800

X	M+	M-	Afsup	Afinf	σ_c+	σ_f+	σ_c-	σ_f-	Cb+	Cb-	Ver.	CS
cm	kg*m	kg*m	cmq	cmq	kg/cmq	kg/cmq	kg/cmq	kg/cmq				
0.0	--	298	9.42	6.28	--	--	-1	58	28	24	Si	41
46.0	--	272	9.42	6.28	--	--	-1	53	29	24	Si	45
229.8	--	221	9.42	6.28	--	--	-1	43	27	24	Si	55
413.6	1473	--	9.42	6.28	-7	418	--	--	24	27	Si	6.7
459.5	2880	--	9.42	6.28	-14	818	--	--	24	27	Si	3.4

Combinazione QP: σ_{ca} [kg/cmq]=42 σ_{fa} [kg/cmq]=2800

X	M+	M-	Afsup	Afinf	σ_c+	σ_f+	σ_c-	σ_f-	Cb+	Cb-	Ver.	CS
cm	kg*m	kg*m	cmq	cmq	kg/cmq	kg/cmq	kg/cmq	kg/cmq				
0.0	--	126	9.42	6.28	--	--	-1	24	38	38	Si	72
46.0	--	145	9.42	6.28	--	--	-1	28	38	38	Si	63
229.8	--	184	9.42	6.28	--	--	-1	36	38	38	Si	50
413.6	1076	--	9.42	6.28	-5	305	--	--	38	38	Si	8.1
459.5	2072	--	9.42	6.28	-10	588	--	--	38	38	Si	4.2

Verifica aperture fessure: Wamm_Freq[mm]=0.400 Wamm_Qp[mm]=0.300

X	M	Act	Aft	pAft	$S_{r,max}$	σ_{fmed}	Wd	Wk	Cb	Ver.	Cs
cm	kg*m	mq	cmq	cm	cm	kg/cmq	mm	mm			
0.0	138	0.0	9.42	18.85	10.4	27	0.001	0.001	34(Fr)	Si	>100
0.0	126	0.0	9.42	18.85	10.4	24	0.001	0.001	38(Qp)	Si	>100
46.0	145	0.0	9.42	18.85	10.4	28	0.001	0.001	38(Qp)	Si	>100
46.0	154	0.0	9.42	18.85	10.4	30	0.001	0.001	34(Fr)	Si	>100
229.8	184	0.0	9.42	18.85	10.4	36	0.001	0.001	38(Qp)	Si	>100
229.8	187	0.0	9.42	18.85	10.4	36	0.001	0.001	34(Fr)	Si	>100
413.6	-1076	0.0	6.28	12.57	12.2	305	0.011	0.011	38(Qp)	Si	28
413.6	-1109	0.0	6.28	12.57	12.2	315	0.011	0.011	34(Fr)	Si	36
459.5	-2072	0.0	6.28	12.57	12.2	588	0.023	0.023	38(Qp)	Si	13
459.5	-2139	0.0	6.28	12.57	12.2	607	0.025	0.025	34(Fr)	Si	16

Trave : 112 [32 , 30] Pilastrate [8 , 11]

Sez. R: By= 40.0 cm Bz=60.0 cm L=190.0 cm Ln=210.0 cm

Criterio : CLS_TraviAlte_Esist

Combinazione Rara: σ_{ca} [kg/cmq]=56 σ_{fa} [kg/cmq]=2800

X	M+	M-	Afsup	Afinf	σ_c+	σ_f+	σ_c-	σ_f-	Cb+	Cb-	Ver.	CS
cm	kg*m	kg*m	cmq	cmq	kg/cmq	kg/cmq	kg/cmq	kg/cmq				
0.0	--	2450	9.42	6.28	--	--	-11	475	27	24	Si	5.0
21.0	--	1746	9.42	6.28	--	--	-8	338	27	24	Si	7.0
105.0	--	117	9.42	6.28	--	--	-1	23	27	24	Si	>100
189.0	4858	--	9.42	6.28	-23	1379	--	--	24	29	Si	2.0
210.0	6323	--	9.42	6.28	-31	1795	--	--	24	29	Si	1.6

Combinazione QP: σ_{ca} [kg/cmq]=42 σ_{fa} [kg/cmq]=2800

X	M+	M-	Afsup	Afinf	σ_c+	σ_f+	σ_c-	σ_f-	Cb+	Cb-	Ver.	CS
cm	kg*m	kg*m	cmq	cmq	kg/cmq	kg/cmq	kg/cmq	kg/cmq				
0.0	--	1816	9.42	6.28	--	--	-8	352	38	38	Si	5.0
21.0	--	1288	9.42	6.28	--	--	-6	249	38	38	Si	7.1
105.0	--	89	9.42	6.28	--	--	-0	17	38	38	Si	>100
189.0	3532	--	9.42	6.28	-17	1003	--	--	38	38	Si	2.5
210.0	4591	--	9.42	6.28	-22	1304	--	--	38	38	Si	1.9

Verifica aperture fessure: Wamm_Freq[mm]=0.400 Wamm_Qp[mm]=0.300

X	M	Act	Aft	pAft	$S_{r,max}$	σ_{fmed}	Wd	Wk	Cb	Ver.	Cs
cm	kg*m	mq	cmq	cm	cm	kg/cmq	mm	mm			
0.0	1869	0.0	9.42	18.85	10.4	362	0.011	0.011	34(Fr)	Si	37
0.0	1816	0.0	9.42	18.85	10.4	352	0.010	0.010	38(Qp)	Si	29
21.0	1288	0.0	9.42	18.85	10.4	249	0.007	0.007	38(Qp)	Si	40
21.0	1325	0.0	9.42	18.85	10.4	257	0.008	0.008	34(Fr)	Si	52
105.0	89	0.0	9.42	18.85	10.4	17	0.001	0.001	38(Qp)	Si	>100
105.0	91	0.0	9.42	18.85	10.4	18	0.001	0.001	34(Fr)	Si	>100
189.0	-3532	0.0	6.28	12.57	12.2	1003	0.048	0.048	38(Qp)	Si	6.3
189.0	-3642	0.0	6.28	12.57	12.2	1034	0.049	0.049	34(Fr)	Si	8.1
210.0	-4591	0.0	6.28	12.57	12.2	1304	0.065	0.065	38(Qp)	Si	4.6
210.0	-4735	0.0	6.28	12.57	12.2	1345	0.067	0.067	34(Fr)	Si	5.9

Trave : 112 [847 , 849] Pilastrate [- , -]

Sez. R: By= 40.0 cm Bz=60.0 cm L=400.0 cm Ln=400.0 cm

Criterio : CLS_TraviAlte_Esist

Combinazione Rara: σ_{ca} [kg/cmq]=56 σ_{fa} [kg/cmq]=2800

X	M+	M-	Afsup	Afinf	σ_c+	σ_f+	σ_c-	σ_f-	Cb+	Cb-	Ver.	CS
cm	kg*m	kg*m	cmq	cmq	kg/cmq	kg/cmq	kg/cmq	kg/cmq				
0.0	373	--	9.42	6.28	-2	106	--	--	24	29	Si	26
40.0	378	--	9.42	6.28	-2	107	--	--	24	28	Si	26
200.0	630	--	9.42	6.28	-3	179	--	--	24	29	Si	16
360.0	253	--	9.42	6.28	-1	72	--	--	28	27	Si	39
400.0	126	--	9.42	6.28	-1	36	--	--	28	27	Si	78

Combinazione QP: σ_{ca} [kg/cmq]=42 σ_{fa} [kg/cmq]=2800

X	M+	M-	Afsup	Afinf	σ_c+	σ_f+	σ_c-	σ_f-	Cb+	Cb-	Ver.	CS
cm	kg*m	kg*m	cmq	cmq	kg/cmq	kg/cmq	kg/cmq	kg/cmq				
0.0	190	--	9.42	6.28	-1	54	--	--	38	38	Si	46
40.0	256	--	9.42	6.28	-1	73	--	--	38	38	Si	34
200.0	584	--	9.42	6.28	-3	166	--	--	38	38	Si	15
360.0	231	--	9.42	6.28	-1	66	--	--	38	38	Si	38
400.0	100	--	9.42	6.28	-0	28	--	--	38	38	Si	87

Verifica aperture fessure: Wamm_Freq[mm]=0.400 Wamm_Qp[mm]=0.300

X	M	Act	Aft	pAft	$S_{r,max}$	σ_{fmed}	Wd	Wk	Cb	Ver.	Cs
cm	kg*m	mq	cmq	cm	cm	kg/cmq	mm	mm			
0.0	-207	0.0	6.28	12.57	12.2	59	0.002	0.002	34(Fr)	Si	>100
0.0	-190	0.0	6.28	12.57	12.2	54	0.002	0.002	38(Qp)	Si	>100
40.0	-256	0.0	6.28	12.57	12.2	73	0.003	0.003	38(Qp)	Si	>100
40.0	-267	0.0	6.28	12.57	12.2	76	0.003	0.003	34(Fr)	Si	>100

X	M	Act	Aft	pAft	S _{r,max}	σ _{fmed}	Wd	Wk	Cb	Ver.	Cs
200.0	-584	0.0	6.28	12.57	12.2	166	0.006	0.006	38(Qp)	Si	52
200.0	-588	0.0	6.28	12.57	12.2	167	0.006	0.006	34(Fr)	Si	69
360.0	-231	0.0	6.28	12.57	12.2	66	0.002	0.002	38(Qp)	Si	>100
360.0	-238	0.0	6.28	12.57	12.2	68	0.002	0.002	33(Fr)	Si	>100
400.0	-100	0.0	6.28	12.57	12.2	28	0.001	0.001	38(Qp)	Si	>100
400.0	-109	0.0	6.28	12.57	12.2	31	0.001	0.001	33(Fr)	Si	>100

Trave : 112 [849 , 42] Pilastrate [- , 41]

Sez. R: By= 40.0 cm Bz=60.0 cm L=84.8 cm Ln=104.8 cm

Criterio : CLS_TraviAlte_Esist

Combinazione Rara: σ_{ca}[kg/cm²]=56 σ_{fa}[kg/cm²]=2800

X	M+	M-	Afsup	Afinf	σ _{c+}	σ _{f+}	σ _{c-}	σ _{f-}	Cb+	Cb-	Ver.	CS
cm	kg*m	kg*m	cmq	cmq	kg/cm ²	kg/cm ²	kg/cm ²	kg/cm ²				
0.0	--	280	9.42	6.28	--	--	-1	54	28	24	Si	44
10.5	--	282	9.42	6.28	--	--	-1	55	28	24	Si	43
52.4	--	364	9.42	6.28	--	--	-2	70	28	27	Si	34
94.3	--	558	9.42	6.28	--	--	-3	108	24	27	Si	22
104.8	--	623	9.42	6.28	--	--	-3	121	24	27	Si	20

Combinazione QP: σ_{ca}[kg/cm²]=42 σ_{fa}[kg/cm²]=2800

X	M+	M-	Afsup	Afinf	σ _{c+}	σ _{f+}	σ _{c-}	σ _{f-}	Cb+	Cb-	Ver.	CS
cm	kg*m	kg*m	cmq	cmq	kg/cm ²	kg/cm ²	kg/cm ²	kg/cm ²				
0.0	--	255	9.42	6.28	--	--	-1	49	38	38	Si	36
10.5	--	263	9.42	6.28	--	--	-1	51	38	38	Si	35
52.4	--	365	9.42	6.28	--	--	-2	71	38	38	Si	25
94.3	--	572	9.42	6.28	--	--	-3	111	38	38	Si	16
104.8	--	640	9.42	6.28	--	--	-3	124	38	38	Si	14

Verifica aperture fessure: Wamm_Freq[mm]=0.400 Wamm_Qp[mm]=0.300

X	M	Act	Aft	pAft	S _{r,max}	σ _{fmed}	Wd	Wk	Cb	Ver.	Cs
cm	kg*m	mq	cmq	cm	cm	kg/cm ²	mm	mm			
0.0	260	0.0	9.42	18.85	10.4	50	0.001	0.001	34(Fr)	Si	>100
0.0	255	0.0	9.42	18.85	10.4	49	0.001	0.001	38(Qp)	Si	>100
10.5	263	0.0	9.42	18.85	10.4	51	0.002	0.002	38(Qp)	Si	>100
10.5	268	0.0	9.42	18.85	10.4	52	0.002	0.002	34(Fr)	Si	>100
52.4	365	0.0	9.42	18.85	10.4	71	0.002	0.002	38(Qp)	Si	>100
52.4	367	0.0	9.42	18.85	10.4	71	0.002	0.002	34(Fr)	Si	>100
94.3	572	0.0	9.42	18.85	10.4	111	0.003	0.003	38(Qp)	Si	91
94.3	572	0.0	9.42	18.85	10.4	111	0.003	0.003	34(Fr)	Si	>100
104.8	640	0.0	9.42	18.85	10.4	124	0.004	0.004	38(Qp)	Si	81
104.8	640	0.0	9.42	18.85	10.4	124	0.004	0.004	35(Fr)	Si	>100

Trave : 113 [38 , 831] Pilastrate [37 , -]

Sez. R: By= 40.0 cm Bz=60.0 cm L=84.8 cm Ln=64.8 cm

Criterio : CLS_TraviAlte_Esist

Combinazione Rara: σ_{ca}[kg/cm²]=56 σ_{fa}[kg/cm²]=2800

X	M+	M-	Afsup	Afinf	σ _{c+}	σ _{f+}	σ _{c-}	σ _{f-}	Cb+	Cb-	Ver.	CS
cm	kg*m	kg*m	cmq	cmq	kg/cm ²	kg/cm ²	kg/cm ²	kg/cm ²				
0.0	2909	--	9.42	6.28	-14	826	--	--	24	28	Si	3.4
6.5	2532	--	9.42	6.28	-12	719	--	--	24	28	Si	3.9
32.4	1625	--	9.42	6.28	-8	461	--	--	24	28	Si	6.1
58.3	1014	--	9.42	6.28	-5	288	--	--	24	28	Si	9.7
64.8	868	--	9.42	6.28	-4	246	--	--	24	28	Si	11

Combinazione QP: σ_{ca}[kg/cm²]=42 σ_{fa}[kg/cm²]=2800

X	M+	M-	Afsup	Afinf	σ _{c+}	σ _{f+}	σ _{c-}	σ _{f-}	Cb+	Cb-	Ver.	CS
cm	kg*m	kg*m	cmq	cmq	kg/cm ²	kg/cm ²	kg/cm ²	kg/cm ²				
0.0	2081	--	9.42	6.28	-10	591	--	--	38	38	Si	4.2

X	M+	M-	Afsup	Afinf	σ_{c+}	σ_{f+}	σ_{c-}	σ_{f-}	Cb+	Cb-	Ver.	CS
6.5	1810	--	9.42	6.28	-9	514	--	--	38	38	Si	4.8
32.4	1168	--	9.42	6.28	-6	331	--	--	38	38	Si	7.5
58.3	748	--	9.42	6.28	-4	212	--	--	38	38	Si	12
64.8	646	--	9.42	6.28	-3	183	--	--	38	38	Si	13

Verifica aperture fessure: Wamm_Freq[mm]=0.400 Wamm_Qp[mm]=0.300

X	M	Act	Aft	pAft	$S_{r,max}$	σ_{fmed}	Wd	Wk	Cb	Ver.	Cs
cm	kg*m	mq	cmq	cm	cm	kg/cmq	mm	mm			
0.0	-2150	0.0	6.28	12.57	12.2	611	0.025	0.025	34(Fr)	Si	16
0.0	-2081	0.0	6.28	12.57	12.2	591	0.024	0.024	38(Qp)	Si	13
6.5	-1810	0.0	6.28	12.57	12.2	514	0.019	0.019	38(Qp)	Si	16
6.5	-1871	0.0	6.28	12.57	12.2	531	0.020	0.020	34(Fr)	Si	20
32.4	-1168	0.0	6.28	12.57	12.2	331	0.012	0.012	38(Qp)	Si	26
32.4	-1206	0.0	6.28	12.57	12.2	342	0.012	0.012	34(Fr)	Si	33
58.3	-748	0.0	6.28	12.57	12.2	212	0.007	0.007	38(Qp)	Si	40
58.3	-770	0.0	6.28	12.57	12.2	219	0.008	0.008	34(Fr)	Si	52
64.8	-646	0.0	6.28	12.57	12.2	183	0.006	0.006	38(Qp)	Si	47
64.8	-664	0.0	6.28	12.57	12.2	189	0.007	0.007	34(Fr)	Si	61

Trave : 113 [40 , 834] Pilastrate [1 , -]

Sez. R: By= 40.0 cm Bz=60.0 cm L=160.0 cm Ln=140.0 cm

Criterio : CLS_TraviAlte_Esist

Combinazione Rara: σ_{ca} [kg/cmq]=56 σ_{fa} [kg/cmq]=2800

X	M+	M-	Afsup	Afinf	σ_{c+}	σ_{f+}	σ_{c-}	σ_{f-}	Cb+	Cb-	Ver.	CS
cm	kg*m	kg*m	cmq	cmq	kg/cmq	kg/cmq	kg/cmq	kg/cmq				
0.0	637	--	12.57	6.28	-3	180	--	--	24	28	Si	16
14.0	283	--	12.57	6.28	-1	80	--	--	24	28	Si	35
70.0	--	424	12.57	6.28	--	--	-2	62	27	24	Si	32
126.0	--	571	6.28	6.28	--	--	-3	163	27	24	Si	17
140.0	--	595	6.28	6.28	--	--	-3	170	27	24	Si	16

Combinazione QP: σ_{ca} [kg/cmq]=42 σ_{fa} [kg/cmq]=2800

X	M+	M-	Afsup	Afinf	σ_{c+}	σ_{f+}	σ_{c-}	σ_{f-}	Cb+	Cb-	Ver.	CS
cm	kg*m	kg*m	cmq	cmq	kg/cmq	kg/cmq	kg/cmq	kg/cmq				
0.0	480	--	12.57	6.28	-2	135	--	--	38	38	Si	20
14.0	197	--	12.57	6.28	-1	56	--	--	38	38	Si	48
70.0	--	383	12.57	6.28	--	--	-2	56	38	38	Si	26
126.0	--	508	6.28	6.28	--	--	-3	146	38	38	Si	16
140.0	--	531	6.28	6.28	--	--	-3	152	38	38	Si	15

Verifica aperture fessure: Wamm_Freq[mm]=0.400 Wamm_Qp[mm]=0.300

X	M	Act	Aft	pAft	$S_{r,max}$	σ_{fmed}	Wd	Wk	Cb	Ver.	Cs
cm	kg*m	mq	cmq	cm	cm	kg/cmq	mm	mm			
0.0	-491	0.0	6.28	12.57	12.2	138	0.005	0.005	33(Fr)	Si	83
0.0	-480	0.0	6.28	12.57	12.2	135	0.005	0.005	38(Qp)	Si	63
14.0	-197	0.0	6.28	12.57	12.2	56	0.002	0.002	38(Qp)	Si	>100
14.0	-204	0.0	6.28	12.57	12.2	58	0.002	0.002	33(Fr)	Si	>100
70.0	383	0.0	12.57	25.13	9.5	56	0.002	0.002	38(Qp)	Si	>100
70.0	386	0.0	12.57	25.13	9.5	57	0.002	0.002	34(Fr)	Si	>100
126.0	508	0.0	6.28	12.57	12.2	146	0.005	0.005	38(Qp)	Si	59
126.0	513	0.0	6.28	12.57	12.2	147	0.005	0.005	34(Fr)	Si	78
140.0	531	0.0	6.28	12.57	12.2	152	0.005	0.005	38(Qp)	Si	57
140.0	537	0.0	6.28	12.57	12.2	154	0.005	0.005	34(Fr)	Si	75

Trave : 113 [831 , 832] Pilastrate [- , -]

Sez. R: By= 40.0 cm Bz=60.0 cm L=400.0 cm Ln=400.0 cm

Criterio : CLS_TraviAlte_Esist

Combinazione Rara: σ_{ca} [kg/cmq]=56 σ_{fa} [kg/cmq]=2800

X	M+	M-	Afsup	Afinf	σ_c+	σ_f+	σ_c-	σ_f-	Cb+	Cb-	Ver.	CS
cm	kg*m	kg*m	cmq	cmq	kg/cmq	kg/cmq	kg/cmq	kg/cmq				
0.0	853	--	9.42	6.28	-4	242	--	--	24	28	Si	12
40.0	837	--	9.42	6.28	-4	238	--	--	24	28	Si	12
200.0	421	--	9.42	6.28	-2	120	--	--	24	28	Si	23
360.0	--	421	9.42	6.28	--	--	-2	82	28	24	Si	29
400.0	--	636	15.71	12.57	--	--	-2	74	28	24	Si	26

Combinazione QP: σ_{ca} [kg/cmq]=42 σ_{fa} [kg/cmq]=2800

X	M+	M-	Afsup	Afinf	σ_c+	σ_f+	σ_c-	σ_f-	Cb+	Cb-	Ver.	CS
cm	kg*m	kg*m	cmq	cmq	kg/cmq	kg/cmq	kg/cmq	kg/cmq				
0.0	650	--	9.42	6.28	-3	185	--	--	38	38	Si	13
40.0	683	--	9.42	6.28	-3	194	--	--	38	38	Si	13
200.0	404	--	9.42	6.28	-2	115	--	--	38	38	Si	22
360.0	--	356	9.42	6.28	--	--	-2	69	38	38	Si	26
400.0	--	559	15.71	12.57	--	--	-2	65	38	38	Si	22

Verifica aperture fessure: Wamm_Freq[mm]=0.400 Wamm_Qp[mm]=0.300

X	M	Act	Aft	pAft	$S_{r,max}$	σ_{fmed}	Wd	Wk	Cb	Ver.	Cs
cm	kg*m	mq	cmq	cm	cm	kg/cmq	mm	mm			
0.0	-667	0.0	6.28	12.57	12.2	189	0.007	0.007	34(Fr)	Si	61
0.0	-650	0.0	6.28	12.57	12.2	185	0.006	0.006	38(Qp)	Si	47
40.0	-683	0.0	6.28	12.57	12.2	194	0.007	0.007	38(Qp)	Si	44
40.0	-695	0.0	6.28	12.57	12.2	197	0.007	0.007	34(Fr)	Si	58
200.0	-404	0.0	6.28	12.57	12.2	115	0.004	0.004	38(Qp)	Si	75
200.0	-405	0.0	6.28	12.57	12.2	115	0.004	0.004	34(Fr)	Si	100
360.0	356	0.0	9.42	18.85	10.4	69	0.002	0.002	38(Qp)	Si	>100
360.0	361	0.0	9.42	18.85	10.4	70	0.002	0.002	34(Fr)	Si	>100
400.0	559	0.0	15.71	31.42	9.0	65	0.002	0.002	38(Qp)	Si	>100
400.0	565	0.0	15.71	31.42	9.0	66	0.002	0.002	34(Fr)	Si	>100

Trave : 113 [832 , 40] Pilastrate [- , 1]

Sez. R: By= 40.0 cm Bz=60.0 cm L=84.8 cm Ln=104.8 cm

Criterio : CLS_TraviAlte_Esist

Combinazione Rara: σ_{ca} [kg/cmq]=56 σ_{fa} [kg/cmq]=2800

X	M+	M-	Afsup	Afinf	σ_c+	σ_f+	σ_c-	σ_f-	Cb+	Cb-	Ver.	CS
cm	kg*m	kg*m	cmq	cmq	kg/cmq	kg/cmq	kg/cmq	kg/cmq				
0.0	--	705	12.57	12.57	--	--	-3	102	28	24	Si	22
10.5	--	686	12.57	12.57	--	--	-2	99	28	24	Si	23
52.4	--	554	12.57	12.57	--	--	-2	80	28	24	Si	28
94.3	--	59	12.57	12.57	--	--	-0	9	24	27	Si	>100
104.8	138	--	12.57	12.57	-0	20	--	--	24	27	Si	>100

Combinazione QP: σ_{ca} [kg/cmq]=42 σ_{fa} [kg/cmq]=2800

X	M+	M-	Afsup	Afinf	σ_c+	σ_f+	σ_c-	σ_f-	Cb+	Cb-	Ver.	CS
cm	kg*m	kg*m	cmq	cmq	kg/cmq	kg/cmq	kg/cmq	kg/cmq				
0.0	--	624	12.57	12.57	--	--	-2	90	38	38	Si	19
10.5	--	607	12.57	12.57	--	--	-2	88	38	38	Si	19
52.4	--	501	12.57	12.57	--	--	-2	72	38	38	Si	23
94.3	--	52	12.57	12.57	--	--	-0	7	38	38	Si	>100
104.8	71	--	12.57	12.57	-0	10	--	--	38	38	Si	>100

Verifica aperture fessure: Wamm_Freq[mm]=0.400 Wamm_Qp[mm]=0.300

X	M	Act	Aft	pAft	$S_{r,max}$	σ_{fmed}	Wd	Wk	Cb	Ver.	Cs
cm	kg*m	mq	cmq	cm	cm	kg/cmq	mm	mm			
0.0	631	0.0	12.57	25.13	9.5	91	0.002	0.002	34(Fr)	Si	>100
0.0	624	0.0	12.57	25.13	9.5	90	0.002	0.002	38(Qp)	Si	>100
10.5	607	0.0	12.57	25.13	9.5	88	0.002	0.002	38(Qp)	Si	>100
10.5	613	0.0	12.57	25.13	9.5	88	0.002	0.002	34(Fr)	Si	>100

X	M	Act	Aft	pAft	S _{r,max}	σ _{fmed}	Wd	Wk	Cb	Ver.	Cs
52.4	501	0.0	12.57	25.13	9.5	72	0.002	0.002	38(Qp)	Si	>100
52.4	505	0.0	12.57	25.13	9.5	73	0.002	0.002	34(Fr)	Si	>100
94.3	52	0.0	12.57	25.13	9.5	7	0.000	0.000	38(Qp)	Si	>100
94.3	52	0.0	12.57	25.13	9.5	7	0.000	0.000	35(Fr)	Si	>100
104.8	-71	0.0	12.57	25.13	9.5	10	0.000	0.000	38(Qp)	Si	>100
104.8	-75	0.0	12.57	25.13	9.5	11	0.000	0.000	34(Fr)	Si	>100

Trave : 113 [834 , 836] Pilastrate [- , -]

Sez. R: By= 40.0 cm Bz=60.0 cm L=400.0 cm Ln=400.0 cm

Criterio : CLS_TraviAlte_Esist

Combinazione Rara: σ_{ca}[kg/cmq]=56 σ_{fa}[kg/cmq]=2800

X	M+	M-	Afsup	Afinf	σ _{c+}	σ _{f+}	σ _{c-}	σ _{f-}	Cb+	Cb-	Ver.	CS
cm	kg*m	kg*m	cmq	cmq	kg/cmq	kg/cmq	kg/cmq	kg/cmq				
0.0	--	447	6.28	6.28	--	--	-2	128	27	24	Si	22
40.0	--	269	6.28	6.28	--	--	-1	77	27	24	Si	36
200.0	444	--	6.28	6.28	-2	127	--	--	24	27	Si	22
360.0	289	--	6.28	6.28	-2	83	--	--	24	27	Si	34
400.0	152	--	9.42	6.28	-1	43	--	--	24	27	Si	65

Combinazione QP: σ_{ca}[kg/cmq]=42 σ_{fa}[kg/cmq]=2800

X	M+	M-	Afsup	Afinf	σ _{c+}	σ _{f+}	σ _{c-}	σ _{f-}	Cb+	Cb-	Ver.	CS
cm	kg*m	kg*m	cmq	cmq	kg/cmq	kg/cmq	kg/cmq	kg/cmq				
0.0	--	394	6.28	6.28	--	--	-2	113	38	38	Si	20
40.0	--	223	6.28	6.28	--	--	-1	64	38	38	Si	36
200.0	427	--	6.28	6.28	-2	122	--	--	38	38	Si	19
360.0	237	--	6.28	6.28	-1	68	--	--	38	38	Si	34
400.0	95	--	9.42	6.28	-0	27	--	--	38	38	Si	92

Verifica aperture fessure: Wamm_Freq[mm]=0.400 Wamm_Qp[mm]=0.300

X	M	Act	Aft	pAft	S _{r,max}	σ _{fmed}	Wd	Wk	Cb	Ver.	Cs
cm	kg*m	mq	cmq	cm	cm	kg/cmq	mm	mm			
0.0	399	0.0	6.28	12.57	12.2	114	0.004	0.004	34(Fr)	Si	>100
0.0	394	0.0	6.28	12.57	12.2	113	0.004	0.004	38(Qp)	Si	76
40.0	223	0.0	6.28	12.57	12.2	64	0.002	0.002	38(Qp)	Si	>100
40.0	228	0.0	6.28	12.57	12.2	65	0.002	0.002	34(Fr)	Si	>100
200.0	-427	0.0	6.28	12.57	12.2	122	0.004	0.004	38(Qp)	Si	70
200.0	-428	0.0	6.28	12.57	12.2	123	0.004	0.004	34(Fr)	Si	94
360.0	-237	0.0	6.28	12.57	12.2	68	0.002	0.002	38(Qp)	Si	>100
360.0	-241	0.0	6.28	12.57	12.2	69	0.002	0.002	34(Fr)	Si	>100
400.0	-95	0.0	6.28	12.57	12.2	27	0.001	0.001	38(Qp)	Si	>100
400.0	-100	0.0	6.28	12.57	12.2	28	0.001	0.001	34(Fr)	Si	>100

Trave : 113 [836 , 44] Pilastrate [- , 10]

Sez. R: By= 40.0 cm Bz=60.0 cm L=160.0 cm Ln=140.0 cm

Criterio : CLS_TraviAlte_Esist

Combinazione Rara: σ_{ca}[kg/cmq]=56 σ_{fa}[kg/cmq]=2800

X	M+	M-	Afsup	Afinf	σ _{c+}	σ _{f+}	σ _{c-}	σ _{f-}	Cb+	Cb-	Ver.	CS
cm	kg*m	kg*m	cmq	cmq	kg/cmq	kg/cmq	kg/cmq	kg/cmq				
0.0	--	56	9.42	6.28	--	--	-0	11	24	27	Si	>100
14.0	77	--	9.42	6.28	-0	22	--	--	24	27	Si	>100
70.0	355	--	9.42	6.28	-2	101	--	--	24	27	Si	28
126.0	3664	--	9.42	6.28	-18	1040	--	--	24	27	Si	2.7
140.0	4882	--	9.42	6.28	-24	1386	--	--	24	27	Si	2.0

Combinazione QP: σ_{ca}[kg/cmq]=42 σ_{fa}[kg/cmq]=2800

X	M+	M-	Afsup	Afinf	σ _{c+}	σ _{f+}	σ _{c-}	σ _{f-}	Cb+	Cb-	Ver.	CS
cm	kg*m	kg*m	cmq	cmq	kg/cmq	kg/cmq	kg/cmq	kg/cmq				
0.0	--	56	9.42	6.28	--	--	-0	11	38	38	Si	>100

X	M+	M-	Afsup	Afinf	σ_{c+}	σ_{f+}	σ_{c-}	σ_{f-}	Cb+	Cb-	Ver.	CS
14.0	15	--	9.42	6.28	-0	4	--	--	38	38	Si	>100
70.0	231	--	9.42	6.28	-1	66	--	--	38	38	Si	38
126.0	2671	--	9.42	6.28	-13	758	--	--	38	38	Si	3.3
140.0	3561	--	9.42	6.28	-17	1011	--	--	38	38	Si	2.4

Verifica aperture fessure: Wamm_Freq[mm]=0.400 Wamm_Qp[mm]=0.300

X	M	Act	Aft	pAft	$S_{r,max}$	σ_{fmed}	Wd	Wk	Cb	Ver.	Cs
cm	kg*m	mq	cmq	cm	cm	kg/cmq	mm	mm			
0.0	57	0.0	9.42	18.85	10.4	11	0.000	0.000	33(Fr)	Si	>100
0.0	56	0.0	9.42	18.85	10.4	11	0.000	0.000	38(Qp)	Si	>100
14.0	-15	0.0	6.28	12.57	12.2	4	0.000	0.000	38(Qp)	Si	>100
14.0	-20	0.0	6.28	12.57	12.2	6	0.000	0.000	34(Fr)	Si	>100
70.0	-231	0.0	6.28	12.57	12.2	66	0.002	0.002	38(Qp)	Si	>100
70.0	-241	0.0	6.28	12.57	12.2	69	0.002	0.002	34(Fr)	Si	>100
126.0	-2671	0.0	6.28	12.57	12.2	758	0.033	0.033	38(Qp)	Si	9.0
126.0	-2754	0.0	6.28	12.57	12.2	782	0.035	0.035	34(Fr)	Si	12
140.0	-3561	0.0	6.28	12.57	12.2	1011	0.048	0.048	38(Qp)	Si	6.3
140.0	-3671	0.0	6.28	12.57	12.2	1042	0.050	0.050	34(Fr)	Si	8.0

Trave : 114 [42 , 40] Pilastrate [41 , 1]

Sez. R: By= 40.0 cm Bz=60.0 cm L=645.0 cm Ln=645.0 cm

Criterio : CLS_TraviAlte_Esist

Combinazione Rara: σ_{ca} [kg/cmq]=56 σ_{fa} [kg/cmq]=2800

X	M+	M-	Afsup	Afinf	σ_{c+}	σ_{f+}	σ_{c-}	σ_{f-}	Cb+	Cb-	Ver.	CS
cm	kg*m	kg*m	cmq	cmq	kg/cmq	kg/cmq	kg/cmq	kg/cmq				
0.0	--	1743	9.42	6.28	--	--	-8	338	29	24	Si	7.0
64.5	71	--	9.42	6.28	-0	20	--	--	29	24	Si	>100
322.5	--	1620	6.28	6.28	--	--	-9	464	29	24	Si	6.0
580.5	405	--	9.42	6.28	-2	115	--	--	24	29	Si	24
645.0	--	851	9.42	6.28	--	--	-4	165	26	24	Si	14

Combinazione QP: σ_{ca} [kg/cmq]=42 σ_{fa} [kg/cmq]=2800

X	M+	M-	Afsup	Afinf	σ_{c+}	σ_{f+}	σ_{c-}	σ_{f-}	Cb+	Cb-	Ver.	CS
cm	kg*m	kg*m	cmq	cmq	kg/cmq	kg/cmq	kg/cmq	kg/cmq				
0.0	--	1506	9.42	6.28	--	--	-7	292	38	38	Si	6.1
64.5	43	--	9.42	6.28	-0	12	--	--	38	38	Si	>100
322.5	--	1390	6.28	6.28	--	--	-7	398	38	38	Si	5.7
580.5	332	--	9.42	6.28	-2	94	--	--	38	38	Si	26
645.0	--	771	9.42	6.28	--	--	-4	149	38	38	Si	12

Verifica aperture fessure: Wamm_Freq[mm]=0.400 Wamm_Qp[mm]=0.300

X	M	Act	Aft	pAft	$S_{r,max}$	σ_{fmed}	Wd	Wk	Cb	Ver.	Cs
cm	kg*m	mq	cmq	cm	cm	kg/cmq	mm	mm			
0.0	1559	0.0	9.42	18.85	10.4	302	0.009	0.009	33(Fr)	Si	45
0.0	1506	0.0	9.42	18.85	10.4	292	0.009	0.009	38(Qp)	Si	35
64.5	-43	0.0	6.28	12.57	12.2	12	0.000	0.000	38(Qp)	Si	>100
64.5	-64	0.0	6.28	12.57	12.2	18	0.001	0.001	33(Fr)	Si	>100
322.5	1390	0.0	6.28	12.57	12.2	398	0.014	0.014	38(Qp)	Si	22
322.5	1454	0.0	6.28	12.57	12.2	416	0.015	0.015	33(Fr)	Si	28
580.5	-332	0.0	6.28	12.57	12.2	94	0.003	0.003	38(Qp)	Si	91
580.5	-351	0.0	6.28	12.57	12.2	100	0.003	0.003	33(Fr)	Si	>100
645.0	771	0.0	9.42	18.85	10.4	149	0.004	0.004	38(Qp)	Si	68
645.0	807	0.0	9.42	18.85	10.4	156	0.005	0.005	33(Fr)	Si	86

Trave : 115 [32 , 841] Pilastrate [8 , -]

Sez. R: By= 40.0 cm Bz=60.0 cm L=122.5 cm Ln=142.5 cm

Criterio : CLS_TraviAlte_Esist

Combinazione Rara: σ_{ca} [kg/cmq]=56 σ_{fa} [kg/cmq]=2800

X	M+	M-	Afsup	Afinf	σ_c+	σ_f+	σ_c-	σ_f-	Cb+	Cb-	Ver.	CS
cm	kg*m	kg*m	cmq	cmq	kg/cmq	kg/cmq	kg/cmq	kg/cmq				
0.0	--	223	9.42	6.28	--	--	-1	43	26	24	Si	55
14.3	--	236	9.42	6.28	--	--	-1	46	27	24	Si	52
71.3	--	811	9.42	6.28	--	--	-4	157	27	24	Si	15
128.3	--	799	9.42	6.28	--	--	-4	155	27	24	Si	15
142.5	--	813	6.28	6.28	--	--	-4	233	27	24	Si	12

Combinazione QP: σ_{ca} [kg/cmq]=42 σ_{fa} [kg/cmq]=2800

X	M+	M-	Afsup	Afinf	σ_c+	σ_f+	σ_c-	σ_f-	Cb+	Cb-	Ver.	CS
cm	kg*m	kg*m	cmq	cmq	kg/cmq	kg/cmq	kg/cmq	kg/cmq				
0.0	--	200	9.42	6.28	--	--	-1	39	38	38	Si	46
14.3	--	202	9.42	6.28	--	--	-1	39	38	38	Si	45
71.3	--	691	9.42	6.28	--	--	-3	134	38	38	Si	13
128.3	--	691	9.42	6.28	--	--	-3	134	38	38	Si	13
142.5	--	705	6.28	6.28	--	--	-4	202	38	38	Si	11

Verifica aperture fessure: Wamm_Freq[mm]=0.400 Wamm_Qp[mm]=0.300

X	M	Act	Aft	pAft	$S_{r,max}$	σ_{fmed}	Wd	Wk	Cb	Ver.	Cs
cm	kg*m	mq	cmq	cm	cm	kg/cmq	mm	mm			
0.0	209	0.0	9.42	18.85	10.4	40	0.001	0.001	33(Fr)	Si	>100
0.0	200	0.0	9.42	18.85	10.4	39	0.001	0.001	38(Qp)	Si	>100
14.3	202	0.0	9.42	18.85	10.4	39	0.001	0.001	38(Qp)	Si	>100
14.3	209	0.0	9.42	18.85	10.4	41	0.001	0.001	33(Fr)	Si	>100
71.3	691	0.0	9.42	18.85	10.4	134	0.004	0.004	38(Qp)	Si	75
71.3	708	0.0	9.42	18.85	10.4	137	0.004	0.004	33(Fr)	Si	98
128.3	691	0.0	9.42	18.85	10.4	134	0.004	0.004	38(Qp)	Si	75
128.3	710	0.0	9.42	18.85	10.4	138	0.004	0.004	33(Fr)	Si	98
142.5	705	0.0	6.28	12.57	12.2	202	0.007	0.007	38(Qp)	Si	43
142.5	725	0.0	6.28	12.57	12.2	208	0.007	0.007	33(Fr)	Si	55

Trave : 115 [841 , 843] Pilastrate [- , -]

Sez. R: $B_y = 40.0$ cm $B_z = 60.0$ cm $L = 400.0$ cm $L_n = 400.0$ cm $L_2 = 400.0$ cm $L_3 = 400.0$ cm

Criterio : CLS_TraviAlte_Esist Verifica snellezza: $f_{cd} = 53$ [kg/cmq] **Verificato**

Cb	N	$f_{cd} \cdot A_c$	v	λ_{max}	λ_{lim}
	kg	kg			
24	1282	126990	0.010	34.641	248.783

Combinazione Rara: σ_{ca} [kg/cmq]=56 σ_{fa} [kg/cmq]=2800

X	M+	M-	Afsup	Afinf	σ_c+	σ_f+	σ_c-	σ_f-	Cb+	Cb-	Ver.	CS
cm	kg*m	kg*m	cmq	cmq	kg/cmq	kg/cmq	kg/cmq	kg/cmq				
0.0	--	728	6.28	6.28	--	--	-4	208	27	24	Si	13
40.0	--	68	6.28	6.28	--	--	-0	20	27	24	Si	>100
200.0	1130	--	6.28	6.28	-6	324	--	--	24	27	Si	8.7
360.0	328	--	9.42	6.28	-2	93	--	--	24	27	Si	30
400.0	--	278	9.42	6.28	--	--	-1	54	28	24	Si	44

Combinazione QP: σ_{ca} [kg/cmq]=42 σ_{fa} [kg/cmq]=2800

X	M+	M-	Afsup	Afinf	σ_c+	σ_f+	σ_c-	σ_f-	Cb+	Cb-	Ver.	CS
cm	kg*m	kg*m	cmq	cmq	kg/cmq	kg/cmq	kg/cmq	kg/cmq				
0.0	--	623	6.28	6.28	--	--	-3	179	38	38	Si	13
40.0	--	46	6.28	6.28	--	--	-0	13	38	38	Si	>100
200.0	1017	--	6.28	6.28	-5	291	--	--	38	38	Si	7.9
360.0	287	--	9.42	6.28	-1	81	--	--	38	38	Si	30
400.0	--	247	9.42	6.28	--	--	-1	48	38	38	Si	37

Verifica aperture fessure: Wamm_Freq[mm]=0.400 Wamm_Qp[mm]=0.300

X	M	Act	Aft	pAft	$S_{r,max}$	σ_{fmed}	Wd	Wk	Cb	Ver.	Cs
---	---	-----	-----	------	-------------	-----------------	----	----	----	------	----

X	M	Act	Aft	pAft	S _{r,max}	σ _{fmed}	Wd	Wk	Cb	Ver.	Cs
cm	kg*m	mq	cmq	cm	cm	kg/cmq	mm	mm			
0.0	643	0.0	6.28	12.57	12.2	184	0.006	0.006	33(Fr)	Si	62
0.0	623	0.0	6.28	12.57	12.2	179	0.006	0.006	38(Qp)	Si	48
40.0	46	0.0	6.28	12.57	12.2	13	0.000	0.000	38(Qp)	Si	>100
40.0	48	0.0	6.28	12.57	12.2	14	0.000	0.000	34(Fr)	Si	>100
200.0	-1017	0.0	6.28	12.57	12.2	291	0.010	0.010	38(Qp)	Si	30
200.0	-1047	0.0	6.28	12.57	12.2	300	0.010	0.010	33(Fr)	Si	38
360.0	-287	0.0	6.28	12.57	12.2	81	0.003	0.003	38(Qp)	Si	>100
360.0	-293	0.0	6.28	12.57	12.2	83	0.003	0.003	33(Fr)	Si	>100
400.0	247	0.0	9.42	18.85	10.4	48	0.001	0.001	38(Qp)	Si	>100
400.0	261	0.0	9.42	18.85	10.4	51	0.002	0.002	33(Fr)	Si	>100

Trave : 115 [843 , 44] Pilastrate [- , 10]

Sez. R: By= 40.0 cm Bz=60.0 cm L=122.5 cm Ln=102.5 cm

Criterio : CLS_TraviAlte_Esist

Combinazione Rara: σ_{ca}[kg/cmq]=56 σ_{fa}[kg/cmq]=2800

X	M+	M-	Afsup	Afinf	σ _{c+}	σ _{f+}	σ _{c-}	σ _{f-}	Cb+	Cb-	Ver.	CS
cm	kg*m	kg*m	cmq	cmq	kg/cmq	kg/cmq	kg/cmq	kg/cmq				
0.0	--	425	9.42	6.28	--	--	-2	82	28	24	Si	29
10.3	--	410	9.42	6.28	--	--	-2	79	28	24	Si	30
51.3	--	359	9.42	6.28	--	--	-2	70	26	24	Si	34
92.3	--	19	9.42	6.28	--	--	-0	4	24	27	Si	>100
102.5	47	--	9.42	6.28	-0	13	--	--	24	27	Si	>100

Combinazione QP: σ_{ca}[kg/cmq]=42 σ_{fa}[kg/cmq]=2800

X	M+	M-	Afsup	Afinf	σ _{c+}	σ _{f+}	σ _{c-}	σ _{f-}	Cb+	Cb-	Ver.	CS
cm	kg*m	kg*m	cmq	cmq	kg/cmq	kg/cmq	kg/cmq	kg/cmq				
0.0	--	381	9.42	6.28	--	--	-2	74	38	38	Si	24
10.3	--	369	9.42	6.28	--	--	-2	71	38	38	Si	25
51.3	--	321	9.42	6.28	--	--	-1	62	38	38	Si	29
92.3	--	14	9.42	6.28	--	--	-0	3	38	38	Si	>100
102.5	24	--	9.42	6.28	-0	7	--	--	38	38	Si	>100

Verifica aperture fessure: W_{amm_Freq}[mm]=0.400 W_{amm_Qp}[mm]=0.300

X	M	Act	Aft	pAft	S _{r,max}	σ _{fmed}	Wd	Wk	Cb	Ver.	Cs
cm	kg*m	mq	cmq	cm	cm	kg/cmq	mm	mm			
0.0	398	0.0	9.42	18.85	10.4	77	0.002	0.002	33(Fr)	Si	>100
0.0	381	0.0	9.42	18.85	10.4	74	0.002	0.002	38(Qp)	Si	>100
10.3	369	0.0	9.42	18.85	10.4	71	0.002	0.002	38(Qp)	Si	>100
10.3	384	0.0	9.42	18.85	10.4	74	0.002	0.002	33(Fr)	Si	>100
51.3	321	0.0	9.42	18.85	10.4	62	0.002	0.002	38(Qp)	Si	>100
51.3	334	0.0	9.42	18.85	10.4	65	0.002	0.002	33(Fr)	Si	>100
92.3	14	0.0	9.42	18.85	10.4	3	0.000	0.000	38(Qp)	Si	>100
92.3	19	0.0	9.42	18.85	10.4	4	0.000	0.000	33(Fr)	Si	>100
102.5	-24	0.0	6.28	12.57	12.2	7	0.000	0.000	38(Qp)	Si	>100
102.5	-28	0.0	6.28	12.57	12.2	8	0.000	0.000	34(Fr)	Si	>100

Trave : 116 [14 , 16] Pilastrate [13 , 15]

Sez. R: By= 40.0 cm Bz=60.0 cm L=120.0 cm Ln=126.5 cm

Criterio : CLS_TraviAlte_Esist

Combinazione Rara: σ_{ca}[kg/cmq]=56 σ_{fa}[kg/cmq]=2800

X	M+	M-	Afsup	Afinf	σ _{c+}	σ _{f+}	σ _{c-}	σ _{f-}	Cb+	Cb-	Ver.	CS
cm	kg*m	kg*m	cmq	cmq	kg/cmq	kg/cmq	kg/cmq	kg/cmq				
0.0	269	--	9.42	6.28	-1	76	--	--	24	27	Si	37
12.6	100	107	9.42	6.28	-0	28	-0	21	24	27	Si	99
63.2	--	557	9.42	6.28	--	--	-3	108	28	27	Si	22
113.8	--	1261	9.42	6.28	--	--	-6	244	28	24	Si	9.7
126.5	--	1430	9.42	6.28	--	--	-7	277	28	24	Si	8.5

Combinazione QP: $\sigma_{ca}[\text{kg/cm}^2]=42$ $\sigma_{fa}[\text{kg/cm}^2]=2800$

X	M+	M-	Afsup	Afinf	σ_{c+}	σ_{f+}	σ_{c-}	σ_{f-}	Cb+	Cb-	Ver.	CS
cm	kg*m	kg*m	cmq	cmq	kg/cm ²	kg/cm ²	kg/cm ²	kg/cm ²				
0.0	27	--	9.42	6.28	-0	8	--	--	38	38	Si	>100
12.6	--	92	9.42	6.28	--	--	-0	18	38	38	Si	99
63.2	--	485	9.42	6.28	--	--	-2	94	38	38	Si	19
113.8	--	928	9.42	6.28	--	--	-4	180	38	38	Si	9.9
126.5	--	1036	9.42	6.28	--	--	-5	201	38	38	Si	8.8

Verifica aperture fessure: Wamm_Freq[mm]=0.400 Wamm_Qp[mm]=0.300

X	M	Act	Aft	pAft	$S_{r,max}$	σ_{fmed}	Wd	Wk	Cb	Ver.	Cs
cm	kg*m	mq	cmq	cm	cm	kg/cm ²	mm	mm			
0.0	-47	0.0	6.28	12.57	12.2	13	0.000	0.000	34(Fr)	Si	>100
0.0	-27	0.0	6.28	12.57	12.2	8	0.000	0.000	38(Qp)	Si	>100
12.6	92	0.0	9.42	18.85	10.4	18	0.001	0.001	38(Qp)	Si	>100
12.6	92	0.0	9.42	18.85	10.4	18	0.001	0.001	33(Fr)	Si	>100
63.2	485	0.0	9.42	18.85	10.4	94	0.003	0.003	38(Qp)	Si	>100
63.2	490	0.0	9.42	18.85	10.4	95	0.003	0.003	34(Fr)	Si	>100
113.8	928	0.0	9.42	18.85	10.4	180	0.005	0.005	38(Qp)	Si	56
113.8	956	0.0	9.42	18.85	10.4	185	0.006	0.006	34(Fr)	Si	73
126.5	1036	0.0	9.42	18.85	10.4	201	0.006	0.006	38(Qp)	Si	50
126.5	1069	0.0	9.42	18.85	10.4	207	0.006	0.006	34(Fr)	Si	65

Trave : 116 [28 , 20] Pilastrate [17 , 5]

Sez. R: $B_y = 40.0 \text{ cm}$ $B_z = 50.0 \text{ cm}$ $L = 733.4 \text{ cm}$ $L_n = 733.4 \text{ cm}$ $L_2 = 733.4 \text{ cm}$ $L_3 = 733.4 \text{ cm}$

Criterio : CLS_TraviAlte_Esist Verifica snellezza: $f_{cd} = 53 [\text{kg/cm}^2]$ **Verificato**

Cb	N	$f_{cd} \cdot A_c$	v	λ_{max}	λ_{lim}
	kg	kg			
24	10922	105825	0.103	63.516	77.817

Combinazione Rara: $\sigma_{ca}[\text{kg/cm}^2]=56$ $\sigma_{fa}[\text{kg/cm}^2]=2800$

X	M+	M-	Afsup	Afinf	σ_{c+}	σ_{f+}	σ_{c-}	σ_{f-}	Cb+	Cb-	Ver.	CS
cm	kg*m	kg*m	cmq	cmq	kg/cm ²	kg/cm ²	kg/cm ²	kg/cm ²				
0.0	--	16460	28.27	31.42	--	--	-46	1267	29	24	Si	1.2
73.3	--	7031	28.27	21.99	--	--	-23	551	29	24	Si	2.5
366.7	9449	--	15.71	21.99	-36	956	--	--	24	27	Si	1.5
660.1	--	8045	31.42	21.99	--	--	-25	570	27	24	Si	2.2
733.4	--	17727	31.42	21.99	--	--	-56	1256	27	24	Si	1.0

Combinazione QP: $\sigma_{ca}[\text{kg/cm}^2]=42$ $\sigma_{fa}[\text{kg/cm}^2]=2800$

X	M+	M-	Afsup	Afinf	σ_{c+}	σ_{f+}	σ_{c-}	σ_{f-}	Cb+	Cb-	Ver.	CS
cm	kg*m	kg*m	cmq	cmq	kg/cm ²	kg/cm ²	kg/cm ²	kg/cm ²				
0.0	--	11389	28.27	31.42	--	--	-32	877	38	38	Si	1.3
73.3	--	4880	28.27	21.99	--	--	-16	382	38	38	Si	2.7
366.7	6507	--	15.71	21.99	-25	658	--	--	38	38	Si	1.7
660.1	--	5551	31.42	21.99	--	--	-18	393	38	38	Si	2.4
733.4	--	12228	31.42	21.99	--	--	-39	867	38	38	Si	1.1

Verifica aperture fessure: Wamm_Freq[mm]=0.400 Wamm_Qp[mm]=0.300

X	M	Act	Aft	pAft	$S_{r,max}$	σ_{fmed}	Wd	Wk	Cb	Ver.	Cs
cm	kg*m	mq	cmq	cm	cm	kg/cm ²	mm	mm			
0.0	11817	0.0	28.27	56.55	8.0	910	0.030	0.030	34(Fr)	Si	13
0.0	11389	0.0	28.27	56.55	8.0	877	0.029	0.029	38(Qp)	Si	10
73.3	4880	0.0	28.27	56.55	8.0	382	0.010	0.010	38(Qp)	Si	29
73.3	5061	0.0	28.27	56.55	8.0	397	0.011	0.011	34(Fr)	Si	37
366.7	-6507	0.0	21.99	43.98	8.3	658	0.021	0.021	38(Qp)	Si	14
366.7	-6754	0.0	21.99	43.98	8.3	683	0.022	0.022	34(Fr)	Si	18
660.1	5551	0.0	31.42	62.83	7.9	393	0.011	0.011	38(Qp)	Si	28

X	M	Act	Aft	pAft	S _{r,max}	σ _{fmed}	Wd	Wk	Cb	Ver.	Cs
660.1	5761	0.0	31.42	62.83	7.9	408	0.011	0.011	34(Fr)	Si	36
733.4	12228	0.0	31.42	62.83	7.9	867	0.028	0.028	38(Qp)	Si	11
733.4	12691	0.0	31.42	62.83	7.9	899	0.030	0.030	34(Fr)	Si	13

Trave : 116 [16 , 28] Pilastrate [15 , 17]

Sez. R: By= 40.0 cm Bz=50.0 cm L=715.1 cm Ln=734.8 cm L2=715.1 cm L3=715.1 cm

Criterio : CLS_TraviAlte_EsistVerifica snellezza: fcd=53 [kg/cm²]**Verificato**

Cb	N	fcd*Ac	v	λ _{max}	λ _{lim}
	kg	kg			
24	6493	105825	0.061	61.931	100.925

Combinazione Rara: σ_{ca}[kg/cm²]=56 σ_{fa}[kg/cm²]=2800

X	M+	M-	Afsup	Afinf	σ _{c+}	σ _{f+}	σ _{c-}	σ _{f-}	Cb+	Cb-	Ver.	CS
cm	kg*m	kg*m	cmq	cmq	kg/cm ²	kg/cm ²	kg/cm ²	kg/cm ²				
0.0	--	9222	12.57	9.42	--	--	-47	1622	28	24	Si	1.2
73.5	--	4115	12.57	9.42	--	--	-21	724	28	24	Si	2.7
367.4	4564	--	6.28	9.42	-28	1070	--	--	24	28	Si	2.0
661.3	--	5549	12.57	9.42	--	--	-28	976	29	24	Si	2.0
734.8	--	11014	12.57	31.42	--	--	-36	1861	29	24	Si	1.5

Combinazione QP: σ_{ca}[kg/cm²]=42 σ_{fa}[kg/cm²]=2800

X	M+	M-	Afsup	Afinf	σ _{c+}	σ _{f+}	σ _{c-}	σ _{f-}	Cb+	Cb-	Ver.	CS
cm	kg*m	kg*m	cmq	cmq	kg/cm ²	kg/cm ²	kg/cm ²	kg/cm ²				
0.0	--	6778	12.57	9.42	--	--	-35	1192	38	38	Si	1.2
73.5	--	3052	12.57	9.42	--	--	-16	537	38	38	Si	2.7
367.4	3334	--	6.28	9.42	-20	781	--	--	38	38	Si	2.1
661.3	--	3909	12.57	9.42	--	--	-20	688	38	38	Si	2.1
734.8	--	7849	12.57	31.42	--	--	-26	1326	38	38	Si	1.6

Verifica aperture fessure: Wamm_Freq[mm]=0.400 Wamm_Qp[mm]=0.300

X	M	Act	Aft	pAft	S _{r,max}	σ _{fmed}	Wd	Wk	Cb	Ver.	Cs
cm	kg*m	mq	cmq	cm	cm	kg/cm ²	mm	mm			
0.0	6983	0.0	12.57	25.13	9.5	1228	0.049	0.049	34(Fr)	Si	8.1
0.0	6778	0.0	12.57	25.13	9.5	1192	0.048	0.048	38(Qp)	Si	6.3
73.5	3052	0.0	12.57	25.13	9.5	537	0.018	0.018	38(Qp)	Si	17
73.5	3141	0.0	12.57	25.13	9.5	552	0.019	0.019	34(Fr)	Si	21
367.4	-3334	0.0	9.42	18.85	10.4	781	0.031	0.031	38(Qp)	Si	9.6
367.4	-3438	0.0	9.42	18.85	10.4	806	0.032	0.032	34(Fr)	Si	12
661.3	3909	0.0	12.57	25.13	9.5	688	0.025	0.025	38(Qp)	Si	12
661.3	4047	0.0	12.57	25.13	9.5	712	0.026	0.026	34(Fr)	Si	15
734.8	7849	0.0	12.57	25.13	9.5	1326	0.054	0.054	38(Qp)	Si	5.6
734.8	8116	0.0	12.57	25.13	9.5	1372	0.056	0.056	34(Fr)	Si	7.2

Trave : 201 [20 , 18] Pilastrate [9 , 7]

Sez. R: By= 40.0 cm Bz=50.0 cm L=650.0 cm Ln=620.0 cm L2=650.0 cm L3=650.0 cm

Criterio : CLS_TraviAlte_EsistVerifica snellezza: fcd=53 [kg/cm²]**Verificato**

Cb	N	fcd*Ac	v	λ _{max}	λ _{lim}
	kg	kg			
24	1443	105825	0.014	56.292	214.106

Combinazione Rara: σ_{ca}[kg/cm²]=56 σ_{fa}[kg/cm²]=2800

X	M+	M-	Afsup	Afinf	σ _{c+}	σ _{f+}	σ _{c-}	σ _{f-}	Cb+	Cb-	Ver.	CS
cm	kg*m	kg*m	cmq	cmq	kg/cm ²	kg/cm ²	kg/cm ²	kg/cm ²				
0.0	--	1487	6.28	6.28	--	--	-10	515	27	24	Si	5.4
62.0	--	626	6.28	6.28	--	--	-4	217	27	24	Si	13
310.0	881	--	6.28	6.28	-6	305	--	--	24	28	Si	9.1
558.0	--	793	6.28	6.28	--	--	-6	274	24	29	Si	10

X	M+	M-	Afsup	Afinf	σ_c+	σ_f+	σ_c-	σ_f-	Cb+	Cb-	Ver.	CS
620.0	--	1700	6.28	6.28	--	--	-12	589	24	29	Si	4.7

Combinazione QP: $\sigma_{ca}[\text{kg/cm}^2]=42$ $\sigma_{fa}[\text{kg/cm}^2]=2800$

X	M+	M-	Afsup	Afinf	σ_c+	σ_f+	σ_c-	σ_f-	Cb+	Cb-	Ver.	CS
cm	kg*m	kg*m	cmq	cmq	kg/cmq	kg/cmq	kg/cmq	kg/cmq				
0.0	--	1408	6.28	6.28	--	--	-10	487	38	38	Si	4.3
62.0	--	566	6.28	6.28	--	--	-4	196	38	38	Si	11
310.0	869	--	6.28	6.28	-6	301	--	--	38	38	Si	7.0
558.0	--	808	6.28	6.28	--	--	-6	280	38	38	Si	7.5
620.0	--	1718	6.28	6.28	--	--	-12	595	38	38	Si	3.5

Verifica aperture fessure: Wamm_Freq[mm]=0.400 Wamm_Qp[mm]=0.300

X	M	Act	Aft	pAft	$S_{r,max}$	σ_{fmed}	Wd	Wk	Cb	Ver.	Cs
cm	kg*m	mq	cmq	cm	cm	kg/cmq	mm	mm			
0.0	1414	0.0	6.28	12.57	12.2	490	0.018	0.018	34(Fr)	Si	23
0.0	1408	0.0	6.28	12.57	12.2	487	0.018	0.018	38(Qp)	Si	17
62.0	566	0.0	6.28	12.57	12.2	196	0.007	0.007	38(Qp)	Si	44
62.0	571	0.0	6.28	12.57	12.2	198	0.007	0.007	34(Fr)	Si	58
310.0	-869	0.0	6.28	12.57	12.2	301	0.010	0.010	38(Qp)	Si	29
310.0	-870	0.0	6.28	12.57	12.2	301	0.011	0.011	34(Fr)	Si	38
558.0	808	0.0	6.28	12.57	12.2	280	0.010	0.010	38(Qp)	Si	31
558.0	808	0.0	6.28	12.57	12.2	280	0.010	0.010	35(Fr)	Si	41
620.0	1718	0.0	6.28	12.57	12.2	595	0.024	0.024	38(Qp)	Si	13
620.0	1718	0.0	6.28	12.57	12.2	595	0.024	0.024	35(Fr)	Si	17

Trave : 201 [18 , 28] Pilastrate [7 , 17]

Sez. R: By= 40.0 cm Bz=50.0 cm L=660.0 cm Ln=660.0 cm L2=660.0 cm L3=660.0 cm

Criterio : CLS_TraviAlte_EsistVerifica snellezza: fcd=53 [kg/cm²]**Verificato**

Cb	N	fcd*Ac	v	λ_{max}	λ_{lim}
	kg	kg			
24	1144	105825	0.011	57.158	240.480

Combinazione Rara: $\sigma_{ca}[\text{kg/cm}^2]=56$ $\sigma_{fa}[\text{kg/cm}^2]=2800$

X	M+	M-	Afsup	Afinf	σ_c+	σ_f+	σ_c-	σ_f-	Cb+	Cb-	Ver.	CS
cm	kg*m	kg*m	cmq	cmq	kg/cmq	kg/cmq	kg/cmq	kg/cmq				
0.0	--	1607	6.28	6.28	--	--	-11	556	24	28	Si	5.0
66.0	--	659	6.28	6.28	--	--	-5	228	24	28	Si	12
330.0	956	--	6.28	6.28	-7	331	--	--	24	28	Si	8.4
594.0	--	948	6.28	6.28	--	--	-7	328	28	24	Si	8.5
660.0	--	1968	6.28	6.28	--	--	-14	681	28	24	Si	4.1

Combinazione QP: $\sigma_{ca}[\text{kg/cm}^2]=42$ $\sigma_{fa}[\text{kg/cm}^2]=2800$

X	M+	M-	Afsup	Afinf	σ_c+	σ_f+	σ_c-	σ_f-	Cb+	Cb-	Ver.	CS
cm	kg*m	kg*m	cmq	cmq	kg/cmq	kg/cmq	kg/cmq	kg/cmq				
0.0	--	1628	6.28	6.28	--	--	-11	563	38	38	Si	3.7
66.0	--	676	6.28	6.28	--	--	-5	234	38	38	Si	8.9
330.0	952	--	6.28	6.28	-7	329	--	--	38	38	Si	6.3
594.0	--	905	6.28	6.28	--	--	-6	313	38	38	Si	6.7
660.0	--	1914	6.28	6.28	--	--	-13	662	38	38	Si	3.2

Verifica aperture fessure: Wamm_Freq[mm]=0.400 Wamm_Qp[mm]=0.300

X	M	Act	Aft	pAft	$S_{r,max}$	σ_{fmed}	Wd	Wk	Cb	Ver.	Cs
cm	kg*m	mq	cmq	cm	cm	kg/cmq	mm	mm			
0.0	1628	0.0	6.28	12.57	12.2	563	0.022	0.022	35(Fr)	Si	18
0.0	1628	0.0	6.28	12.57	12.2	563	0.022	0.022	38(Qp)	Si	14
66.0	676	0.0	6.28	12.57	12.2	234	0.008	0.008	38(Qp)	Si	37
66.0	676	0.0	6.28	12.57	12.2	234	0.008	0.008	35(Fr)	Si	49

X	M	Act	Aft	pAft	S _{r,max}	σ _{fmed}	Wd	Wk	Cb	Ver.	Cs
330.0	-952	0.0	6.28	12.57	12.2	329	0.011	0.011	38(Qp)	Si	26
330.0	-952	0.0	6.28	12.57	12.2	330	0.012	0.012	33(Fr)	Si	35
594.0	905	0.0	6.28	12.57	12.2	313	0.011	0.011	38(Qp)	Si	27
594.0	910	0.0	6.28	12.57	12.2	315	0.011	0.011	33(Fr)	Si	36
660.0	1914	0.0	6.28	12.57	12.2	662	0.028	0.028	38(Qp)	Si	11
660.0	1920	0.0	6.28	12.57	12.2	664	0.028	0.028	33(Fr)	Si	14

Trave : 201 [28 , 36] Pilastrate [17 , 25]

Sez. R: By= 40.0 cm Bz=50.0 cm L=710.0 cm Ln=690.0 cm

Criterio : CLS_TraviAlte_Esist

Combinazione Rara: σ_{ca}[kg/cmq]=56 σ_{fa}[kg/cmq]=2800

X	M+	M-	Afsup	Afinf	σ _{c+}	σ _{f+}	σ _{c-}	σ _{f-}	Cb+	Cb-	Ver.	CS
cm	kg*m	kg*m	cmq	cmq	kg/cmq	kg/cmq	kg/cmq	kg/cmq				
0.0	--	2171	6.28	6.28	--	--	-15	751	27	28	Si	3.7
69.0	--	1063	6.28	6.28	--	--	-7	368	27	28	Si	7.6
345.0	985	--	6.28	6.28	-7	341	--	--	28	24	Si	8.2
621.0	--	786	6.28	6.28	--	--	-5	272	28	27	Si	10
690.0	--	1824	6.28	6.28	--	--	-13	631	28	27	Si	4.4

Combinazione QP: σ_{ca}[kg/cmq]=42 σ_{fa}[kg/cmq]=2800

X	M+	M-	Afsup	Afinf	σ _{c+}	σ _{f+}	σ _{c-}	σ _{f-}	Cb+	Cb-	Ver.	CS
cm	kg*m	kg*m	cmq	cmq	kg/cmq	kg/cmq	kg/cmq	kg/cmq				
0.0	--	2162	6.28	6.28	--	--	-15	748	38	38	Si	2.8
69.0	--	1056	6.28	6.28	--	--	-7	366	38	38	Si	5.7
345.0	985	--	6.28	6.28	-7	341	--	--	38	38	Si	6.1
621.0	--	781	6.28	6.28	--	--	-5	270	38	38	Si	7.7
690.0	--	1818	6.28	6.28	--	--	-13	629	38	38	Si	3.3

Verifica aperture fessure: Wamm_Freq[mm]=0.400 Wamm_Qp[mm]=0.300

X	M	Act	Aft	pAft	S _{r,max}	σ _{fmed}	Wd	Wk	Cb	Ver.	Cs
cm	kg*m	mq	cmq	cm	cm	kg/cmq	mm	mm			
0.0	2163	0.0	6.28	12.57	12.2	748	0.033	0.033	33(Fr)	Si	12
0.0	2162	0.0	6.28	12.57	12.2	748	0.033	0.033	38(Qp)	Si	9.2
69.0	1056	0.0	6.28	12.57	12.2	366	0.013	0.013	38(Qp)	Si	24
69.0	1057	0.0	6.28	12.57	12.2	366	0.013	0.013	33(Fr)	Si	31
345.0	-985	0.0	6.28	12.57	12.2	341	0.012	0.012	38(Qp)	Si	25
345.0	-985	0.0	6.28	12.57	12.2	341	0.012	0.012	35(Fr)	Si	34
621.0	781	0.0	6.28	12.57	12.2	270	0.009	0.009	38(Qp)	Si	32
621.0	781	0.0	6.28	12.57	12.2	270	0.009	0.009	35(Fr)	Si	42
690.0	1818	0.0	6.28	12.57	12.2	629	0.026	0.026	38(Qp)	Si	12
690.0	1818	0.0	6.28	12.57	12.2	629	0.026	0.026	35(Fr)	Si	16

Trave : 201 [36 , 44] Pilastrate [25 , 2]

Sez. R: By= 40.0 cm Bz=50.0 cm L=713.0 cm Ln=693.0 cm

Criterio : CLS_TraviAlte_Esist

Combinazione Rara: σ_{ca}[kg/cmq]=56 σ_{fa}[kg/cmq]=2800

X	M+	M-	Afsup	Afinf	σ _{c+}	σ _{f+}	σ _{c-}	σ _{f-}	Cb+	Cb-	Ver.	CS
cm	kg*m	kg*m	cmq	cmq	kg/cmq	kg/cmq	kg/cmq	kg/cmq				
0.0	--	1971	6.28	6.28	--	--	-14	682	24	27	Si	4.1
69.3	--	878	6.28	6.28	--	--	-6	304	24	27	Si	9.2
346.5	1092	--	6.28	6.28	-8	378	--	--	28	24	Si	7.4
623.7	--	807	6.28	6.28	--	--	-6	279	27	24	Si	10.0
693.0	--	1881	6.28	6.28	--	--	-13	651	27	24	Si	4.3

Combinazione QP: σ_{ca}[kg/cmq]=42 σ_{fa}[kg/cmq]=2800

X	M+	M-	Afsup	Afinf	σ _{c+}	σ _{f+}	σ _{c-}	σ _{f-}	Cb+	Cb-	Ver.	CS
cm	kg*m	kg*m	cmq	cmq	kg/cmq	kg/cmq	kg/cmq	kg/cmq				
0.0	--	1982	6.28	6.28	--	--	-14	686	38	38	Si	3.0

X	M+	M-	Afsup	Afinf	σ_c+	σ_f+	σ_c-	σ_f-	Cb+	Cb-	Ver.	CS
69.3	--	887	6.28	6.28	--	--	-6	307	38	38	Si	6.8
346.5	1093	--	6.28	6.28	-8	378	--	--	38	38	Si	5.5
623.7	--	770	6.28	6.28	--	--	-5	266	38	38	Si	7.9
693.0	--	1836	6.28	6.28	--	--	-13	635	38	38	Si	3.3

Verifica aperture fessure: Wamm_Freq[mm]=0.400 Wamm_Qp[mm]=0.300

X	M	Act	Aft	pAft	$S_{r,max}$	σ_{fmed}	Wd	Wk	Cb	Ver.	Cs
cm	kg*m	mq	cmq	cm	cm	kg/cmq	mm	mm			
0.0	1982	0.0	6.28	12.57	12.2	686	0.029	0.029	35(Fr)	Si	14
0.0	1982	0.0	6.28	12.57	12.2	686	0.029	0.029	38(Qp)	Si	10
69.3	887	0.0	6.28	12.57	12.2	307	0.011	0.011	38(Qp)	Si	28
69.3	887	0.0	6.28	12.57	12.2	307	0.011	0.011	35(Fr)	Si	37
346.5	-1093	0.0	6.28	12.57	12.2	378	0.013	0.013	38(Qp)	Si	23
346.5	-1093	0.0	6.28	12.57	12.2	378	0.013	0.013	35(Fr)	Si	30
623.7	770	0.0	6.28	12.57	12.2	266	0.009	0.009	38(Qp)	Si	32
623.7	773	0.0	6.28	12.57	12.2	267	0.009	0.009	33(Fr)	Si	43
693.0	1836	0.0	6.28	12.57	12.2	635	0.026	0.026	38(Qp)	Si	11
693.0	1839	0.0	6.28	12.57	12.2	637	0.026	0.026	33(Fr)	Si	15

Trave : 202 [24 , 32] Pilastrate [13 , 21]

Sez. R: By= 40.0 cm Bz=60.0 cm L=505.0 cm Ln=505.0 cm

Criterio : CLS_TraviAlte_Esist

Combinazione Rara: σ_{ca} [kg/cmq]=56 σ_{fa} [kg/cmq]=2800

X	M+	M-	Afsup	Afinf	σ_c+	σ_f+	σ_c-	σ_f-	Cb+	Cb-	Ver.	CS
cm	kg*m	kg*m	cmq	cmq	kg/cmq	kg/cmq	kg/cmq	kg/cmq				
0.0	329	--	9.42	6.28	-2	93	--	--	24	29	Si	30
50.5	783	--	9.42	6.28	-4	222	--	--	24	29	Si	13
252.5	1069	--	6.28	6.28	-6	306	--	--	24	27	Si	9.1
454.5	--	1092	9.42	6.28	--	--	-5	212	28	24	Si	11
505.0	--	2015	9.42	6.28	--	--	-9	390	28	24	Si	6.1

Combinazione QP: σ_{ca} [kg/cmq]=42 σ_{fa} [kg/cmq]=2800

X	M+	M-	Afsup	Afinf	σ_c+	σ_f+	σ_c-	σ_f-	Cb+	Cb-	Ver.	CS
cm	kg*m	kg*m	cmq	cmq	kg/cmq	kg/cmq	kg/cmq	kg/cmq				
0.0	204	--	9.42	6.28	-1	58	--	--	38	38	Si	43
50.5	682	--	9.42	6.28	-3	194	--	--	38	38	Si	13
252.5	1066	--	6.28	6.28	-6	305	--	--	38	38	Si	7.5
454.5	--	998	9.42	6.28	--	--	-5	193	38	38	Si	9.2
505.0	--	1897	9.42	6.28	--	--	-9	368	38	38	Si	4.8

Verifica aperture fessure: Wamm_Freq[mm]=0.400 Wamm_Qp[mm]=0.300

X	M	Act	Aft	pAft	$S_{r,max}$	σ_{fmed}	Wd	Wk	Cb	Ver.	Cs
cm	kg*m	mq	cmq	cm	cm	kg/cmq	mm	mm			
0.0	-216	0.0	6.28	12.57	12.2	61	0.002	0.002	33(Fr)	Si	>100
0.0	-204	0.0	6.28	12.57	12.2	58	0.002	0.002	38(Qp)	Si	>100
50.5	-682	0.0	6.28	12.57	12.2	194	0.007	0.007	38(Qp)	Si	44
50.5	-692	0.0	6.28	12.57	12.2	197	0.007	0.007	33(Fr)	Si	58
252.5	-1066	0.0	6.28	12.57	12.2	305	0.011	0.011	38(Qp)	Si	28
252.5	-1066	0.0	6.28	12.57	12.2	305	0.011	0.011	33(Fr)	Si	38
454.5	998	0.0	9.42	18.85	10.4	193	0.006	0.006	38(Qp)	Si	52
454.5	1007	0.0	9.42	18.85	10.4	195	0.006	0.006	33(Fr)	Si	69
505.0	1897	0.0	9.42	18.85	10.4	368	0.011	0.011	38(Qp)	Si	27
505.0	1909	0.0	9.42	18.85	10.4	370	0.011	0.011	33(Fr)	Si	36

Trave : 202 [32 , 34] Pilastrate [21 , 23]

Sez. R: By= 40.0 cm Bz=60.0 cm L=420.0 cm Ln=380.0 cm

Criterio : CLS_TraviAlte_Esist

Combinazione Rara: σ_{ca} [kg/cmq]=56 σ_{fa} [kg/cmq]=2800

X	M+	M-	Afsup	Afinf	σ_c+	σ_f+	σ_c-	σ_f-	Cb+	Cb-	Ver.	CS
cm	kg*m	kg*m	cmq	cmq	kg/cmq	kg/cmq	kg/cmq	kg/cmq				
0.0	--	1700	9.42	6.28	--	--	-8	329	28	24	Si	7.2
38.0	--	1297	9.42	6.28	--	--	-6	251	28	24	Si	9.4
190.0	--	554	9.42	6.28	--	--	-3	107	29	24	Si	22
342.0	--	1197	9.42	6.28	--	--	-5	232	29	24	Si	10
380.0	--	1574	9.42	6.28	--	--	-7	305	29	24	Si	7.8

Combinazione QP: σ_{ca} [kg/cmq]=42 σ_{fa} [kg/cmq]=2800

X	M+	M-	Afsup	Afinf	σ_c+	σ_f+	σ_c-	σ_f-	Cb+	Cb-	Ver.	CS
cm	kg*m	kg*m	cmq	cmq	kg/cmq	kg/cmq	kg/cmq	kg/cmq				
0.0	--	1614	9.42	6.28	--	--	-7	313	38	38	Si	5.7
38.0	--	1212	9.42	6.28	--	--	-6	235	38	38	Si	7.5
190.0	--	471	9.42	6.28	--	--	-2	91	38	38	Si	19
342.0	--	1117	9.42	6.28	--	--	-5	216	38	38	Si	8.2
380.0	--	1495	9.42	6.28	--	--	-7	290	38	38	Si	6.1

Verifica aperture fessure: Wamm_Freq[mm]=0.400 Wamm_Qp[mm]=0.300

X	M	Act	Aft	pAft	$S_{r,max}$	σ_{fmed}	Wd	Wk	Cb	Ver.	Cs
cm	kg*m	mq	cmq	cm	cm	kg/cmq	mm	mm			
0.0	1622	0.0	9.42	18.85	10.4	314	0.009	0.009	33(Fr)	Si	43
0.0	1614	0.0	9.42	18.85	10.4	313	0.009	0.009	38(Qp)	Si	32
38.0	1212	0.0	9.42	18.85	10.4	235	0.007	0.007	38(Qp)	Si	43
38.0	1221	0.0	9.42	18.85	10.4	236	0.007	0.007	33(Fr)	Si	57
190.0	471	0.0	9.42	18.85	10.4	91	0.003	0.003	38(Qp)	Si	>100
190.0	479	0.0	9.42	18.85	10.4	93	0.003	0.003	33(Fr)	Si	>100
342.0	1117	0.0	9.42	18.85	10.4	216	0.006	0.006	38(Qp)	Si	47
342.0	1124	0.0	9.42	18.85	10.4	218	0.006	0.006	33(Fr)	Si	62
380.0	1495	0.0	9.42	18.85	10.4	290	0.009	0.009	38(Qp)	Si	35
380.0	1502	0.0	9.42	18.85	10.4	291	0.009	0.009	33(Fr)	Si	46

Trave : 202 [34 , 46] Pilastrate [23 , 35]

Sez. R: $B_y = 40.0 \text{ cm}$ $B_z = 60.0 \text{ cm}$ $L = 498.0 \text{ cm}$ $L_n = 498.0 \text{ cm}$

Criterio : CLS_TraviAlte_Esist

Combinazione Rara: σ_{ca} [kg/cmq]=56 σ_{fa} [kg/cmq]=2800

X	M+	M-	Afsup	Afinf	σ_c+	σ_f+	σ_c-	σ_f-	Cb+	Cb-	Ver.	CS
cm	kg*m	kg*m	cmq	cmq	kg/cmq	kg/cmq	kg/cmq	kg/cmq				
0.0	--	1802	12.57	6.28	--	--	-8	265	29	24	Si	7.4
49.8	--	928	12.57	6.28	--	--	-4	136	29	24	Si	14
249.0	1082	--	6.28	6.28	-6	310	--	--	24	27	Si	9.0
448.2	711	--	9.42	6.28	-3	202	--	--	24	29	Si	14
498.0	246	--	9.42	6.28	-1	70	--	--	24	29	Si	40

Combinazione QP: σ_{ca} [kg/cmq]=42 σ_{fa} [kg/cmq]=2800

X	M+	M-	Afsup	Afinf	σ_c+	σ_f+	σ_c-	σ_f-	Cb+	Cb-	Ver.	CS
cm	kg*m	kg*m	cmq	cmq	kg/cmq	kg/cmq	kg/cmq	kg/cmq				
0.0	--	1699	12.57	6.28	--	--	-7	250	38	38	Si	5.9
49.8	--	846	12.57	6.28	--	--	-4	124	38	38	Si	12
249.0	1078	--	6.28	6.28	-6	309	--	--	38	38	Si	7.4
448.2	620	--	9.42	6.28	-3	176	--	--	38	38	Si	14
498.0	134	--	9.42	6.28	-1	38	--	--	38	38	Si	65

Verifica aperture fessure: Wamm_Freq[mm]=0.400 Wamm_Qp[mm]=0.300

X	M	Act	Aft	pAft	$S_{r,max}$	σ_{fmed}	Wd	Wk	Cb	Ver.	Cs
cm	kg*m	mq	cmq	cm	cm	kg/cmq	mm	mm			
0.0	1709	0.0	12.57	25.13	9.5	251	0.007	0.007	33(Fr)	Si	59
0.0	1699	0.0	12.57	25.13	9.5	250	0.007	0.007	38(Qp)	Si	44
49.8	846	0.0	12.57	25.13	9.5	124	0.003	0.003	38(Qp)	Si	89
49.8	854	0.0	12.57	25.13	9.5	126	0.003	0.003	33(Fr)	Si	>100

X	M	Act	Aft	pAft	S _{r,max}	σfmed	Wd	Wk	Cb	Ver.	Cs
249.0	-1078	0.0	6.28	12.57	12.2	309	0.011	0.011	38(Qp)	Si	28
249.0	-1078	0.0	6.28	12.57	12.2	309	0.011	0.011	33(Fr)	Si	37
448.2	-620	0.0	6.28	12.57	12.2	176	0.006	0.006	38(Qp)	Si	49
448.2	-630	0.0	6.28	12.57	12.2	179	0.006	0.006	33(Fr)	Si	64
498.0	-134	0.0	6.28	12.57	12.2	38	0.001	0.001	38(Qp)	Si	>100
498.0	-146	0.0	6.28	12.57	12.2	41	0.001	0.001	33(Fr)	Si	>100

Trave : 203 [38 , 46] Pilastrate [17 , 25]

Sez. R: By= 40.0 cm Bz=60.0 cm L=710.0 cm Ln=690.0 cm L2=710.0 cm L3=710.0 cm

Criterio : CLS_TraviAlte_EsistVerifica snellezza: fcd=53 [kg/cm²]**Verificato**

Cb	N	fcd*Ac	v	λmax	λlim
	kg	kg			
28	1112	126990	0.009	61.488	267.123

Combinazione Rara: σca[kg/cm²]=56 σfa[kg/cm²]=2800

X	M+	M-	Afsup	Afinf	σc+	σf+	σc-	σf-	Cb+	Cb-	Ver.	CS
cm	kg*m	kg*m	cmq	cmq	kg/cm ²	kg/cm ²	kg/cm ²	kg/cm ²				
0.0	--	1200	9.42	6.28	--	--	-6	232	27	28	Si	10
69.0	--	71	9.42	6.28	--	--	-0	14	27	28	Si	>100
345.0	1590	--	6.28	6.28	-8	455	--	--	24	27	Si	6.2
621.0	--	1337	12.57	6.28	--	--	-6	197	24	27	Si	10
690.0	--	2781	12.57	6.28	--	--	-12	409	24	27	Si	4.8

Combinazione QP: σca[kg/cm²]=42 σfa[kg/cm²]=2800

X	M+	M-	Afsup	Afinf	σc+	σf+	σc-	σf-	Cb+	Cb-	Ver.	CS
cm	kg*m	kg*m	cmq	cmq	kg/cm ²	kg/cm ²	kg/cm ²	kg/cm ²				
0.0	--	1192	9.42	6.28	--	--	-5	231	38	38	Si	7.7
69.0	--	65	9.42	6.28	--	--	-0	13	38	38	Si	>100
345.0	1584	--	6.28	6.28	-8	454	--	--	38	38	Si	5.0
621.0	--	1338	12.57	6.28	--	--	-6	197	38	38	Si	7.5
690.0	--	2782	12.57	6.28	--	--	-12	409	38	38	Si	3.6

Verifica aperture fessure:Wamm_Freq[mm]=0.400 Wamm_Qp[mm]=0.300

X	M	Act	Aft	pAft	S _{r,max}	σfmed	Wd	Wk	Cb	Ver.	Cs
cm	kg*m	mq	cmq	cm	cm	kg/cm ²	mm	mm			
0.0	1193	0.0	9.42	18.85	10.4	231	0.007	0.007	33(Fr)	Si	58
0.0	1192	0.0	9.42	18.85	10.4	231	0.007	0.007	38(Qp)	Si	44
69.0	65	0.0	9.42	18.85	10.4	13	0.000	0.000	38(Qp)	Si	>100
69.0	67	0.0	9.42	18.85	10.4	13	0.000	0.000	33(Fr)	Si	>100
345.0	-1584	0.0	6.28	12.57	12.2	454	0.016	0.016	38(Qp)	Si	19
345.0	-1584	0.0	6.28	12.57	12.2	454	0.016	0.016	34(Fr)	Si	25
621.0	1338	0.0	12.57	25.13	9.5	197	0.005	0.005	38(Qp)	Si	56
621.0	1338	0.0	12.57	25.13	9.5	197	0.005	0.005	35(Fr)	Si	75
690.0	2782	0.0	12.57	25.13	9.5	409	0.012	0.012	38(Qp)	Si	24
690.0	2782	0.0	12.57	25.13	9.5	409	0.012	0.012	35(Fr)	Si	33

Trave : 203 [46 , 54] Pilastrate [25 , 2]

Sez. R: By= 40.0 cm Bz=60.0 cm L=713.0 cm Ln=693.0 cm L2=713.0 cm L3=713.0 cm

Criterio : CLS_TraviAlte_EsistVerifica snellezza: fcd=53 [kg/cm²]**Verificato**

Cb	N	fcd*Ac	v	λmax	λlim
	kg	kg			
28	1430	126990	0.011	61.748	235.603

Combinazione Rara: σca[kg/cm²]=56 σfa[kg/cm²]=2800

X	M+	M-	Afsup	Afinf	σc+	σf+	σc-	σf-	Cb+	Cb-	Ver.	CS
cm	kg*m	kg*m	cmq	cmq	kg/cm ²	kg/cm ²	kg/cm ²	kg/cm ²				
0.0	--	2897	12.57	6.28	--	--	-12	426	24	27	Si	4.6

X	M+	M-	Afsup	Afinf	σ_c+	σ_f+	σ_c-	σ_f-	Cb+	Cb-	Ver.	CS
69.3	--	1424	12.57	6.28	--	--	-6	209	24	27	Si	9.4
346.5	1589	--	6.28	6.28	-8	455	--	--	24	27	Si	6.2
623.7	--	29	9.42	6.28	--	--	-0	6	27	24	Si	>100
693.0	--	1153	9.42	6.28	--	--	-5	223	27	24	Si	11

Combinazione QP: σ_{ca} [kg/cm²]=42 σ_{fa} [kg/cm²]=2800

X	M+	M-	Afsup	Afinf	σ_c+	σ_f+	σ_c-	σ_f-	Cb+	Cb-	Ver.	CS
cm	kg*m	kg*m	cmq	cmq	kg/cm ²	kg/cm ²	kg/cm ²	kg/cm ²				
0.0	--	2902	12.57	6.28	--	--	-12	427	38	38	Si	3.5
69.3	--	1428	12.57	6.28	--	--	-6	210	38	38	Si	7.0
346.5	1586	--	6.28	6.28	-8	454	--	--	38	38	Si	5.0
623.7	--	10	9.42	6.28	--	--	-0	2	38	38	Si	>100
693.0	--	1130	9.42	6.28	--	--	-5	219	38	38	Si	8.1

Verifica aperture fessure: Wamm_Freq[mm]=0.400 Wamm_Qp[mm]=0.300

X	M	Act	Aft	pAft	$S_{r,max}$	σ_{fmed}	Wd	Wk	Cb	Ver.	Cs
cm	kg*m	mq	cmq	cm	cm	kg/cm ²	mm	mm			
0.0	2902	0.0	12.57	25.13	9.5	427	0.013	0.013	35(Fr)	Si	31
0.0	2902	0.0	12.57	25.13	9.5	427	0.013	0.013	38(Qp)	Si	23
69.3	1428	0.0	12.57	25.13	9.5	210	0.006	0.006	38(Qp)	Si	53
69.3	1428	0.0	12.57	25.13	9.5	210	0.006	0.006	35(Fr)	Si	70
346.5	-1586	0.0	6.28	12.57	12.2	454	0.016	0.016	38(Qp)	Si	19
346.5	-1586	0.0	6.28	12.57	12.2	454	0.016	0.016	34(Fr)	Si	25
623.7	10	0.0	9.42	18.85	10.4	2	0.000	0.000	38(Qp)	Si	>100
623.7	12	0.0	9.42	18.85	10.4	2	0.000	0.000	33(Fr)	Si	>100
693.0	1130	0.0	9.42	18.85	10.4	219	0.007	0.007	38(Qp)	Si	46
693.0	1132	0.0	9.42	18.85	10.4	219	0.007	0.007	33(Fr)	Si	61

Trave : 204 [46 , 54] Pilastrate [35 , 2]

Sez. R: $B_y = 40.0 \text{ cm}$ $B_z = 60.0 \text{ cm}$ $L = 804.1 \text{ cm}$ $L_n = 804.1 \text{ cm}$ $L_2 = 804.1 \text{ cm}$ $L_3 = 804.1 \text{ cm}$

Criterio : CLS_TraviAlte_Esist Verifica snellezza: $f_{cd} = 53 \text{ [kg/cm}^2\text{]}$ **Verificato**

Cb	N	$f_{cd} \cdot A_c$	v	λ_{max}	λ_{lim}
	kg	kg			
33	834	126990	0.007	69.638	308.551

Combinazione Rara: σ_{ca} [kg/cm²]=56 σ_{fa} [kg/cm²]=2800

X	M+	M-	Afsup	Afinf	σ_c+	σ_f+	σ_c-	σ_f-	Cb+	Cb-	Ver.	CS
cm	kg*m	kg*m	cmq	cmq	kg/cm ²	kg/cm ²	kg/cm ²	kg/cm ²				
0.0	--	1005	9.42	6.28	--	--	-5	195	24	27	Si	12
80.4	706	--	9.42	6.28	-3	200	--	--	24	27	Si	14
402.1	2651	--	6.28	6.28	-14	759	--	--	29	24	Si	3.7
723.7	--	1598	9.42	6.28	--	--	-7	310	29	24	Si	7.6
804.1	--	3601	9.42	6.28	--	--	-17	698	29	24	Si	3.4

Combinazione QP: σ_{ca} [kg/cm²]=42 σ_{fa} [kg/cm²]=2800

X	M+	M-	Afsup	Afinf	σ_c+	σ_f+	σ_c-	σ_f-	Cb+	Cb-	Ver.	CS
cm	kg*m	kg*m	cmq	cmq	kg/cm ²	kg/cm ²	kg/cm ²	kg/cm ²				
0.0	--	1079	9.42	6.28	--	--	-5	209	38	38	Si	8.5
80.4	432	--	9.42	6.28	-2	123	--	--	38	38	Si	20
402.1	2665	--	6.28	6.28	-14	763	--	--	38	38	Si	3.0
723.7	--	1201	9.42	6.28	--	--	-6	233	38	38	Si	7.6
804.1	--	3121	9.42	6.28	--	--	-14	605	38	38	Si	2.9

Verifica aperture fessure: Wamm_Freq[mm]=0.400 Wamm_Qp[mm]=0.300

X	M	Act	Aft	pAft	$S_{r,max}$	σ_{fmed}	Wd	Wk	Cb	Ver.	Cs
cm	kg*m	mq	cmq	cm	cm	kg/cm ²	mm	mm			
0.0	1079	0.0	9.42	18.85	10.4	209	0.006	0.006	33(Fr)	Si	64

X	M	Act	Aft	pAft	S _{r,max}	σ _{fmed}	Wd	Wk	Cb	Ver.	Cs
0.0	1079	0.0	9.42	18.85	10.4	209	0.006	0.006	38(Qp)	Si	48
80.4	-432	0.0	6.28	12.57	12.2	123	0.004	0.004	38(Qp)	Si	70
80.4	-455	0.0	6.28	12.57	12.2	129	0.005	0.005	34(Fr)	Si	89
402.1	-2665	0.0	6.28	12.57	12.2	763	0.034	0.034	38(Qp)	Si	8.9
402.1	-2665	0.0	6.28	12.57	12.2	763	0.034	0.034	35(Fr)	Si	12
723.7	1201	0.0	9.42	18.85	10.4	233	0.007	0.007	38(Qp)	Si	43
723.7	1235	0.0	9.42	18.85	10.4	239	0.007	0.007	34(Fr)	Si	56
804.1	3121	0.0	9.42	18.85	10.4	605	0.022	0.022	38(Qp)	Si	13
804.1	3161	0.0	9.42	18.85	10.4	612	0.023	0.023	34(Fr)	Si	18

Trave : 205 [24 , 38] Pilastrate [13 , 17]

Sez. R: By= 40.0 cm Bz=60.0 cm L=804.1 cm Ln=804.1 cm L2=804.1 cm L3=804.1 cm

Criterio : CLS_TraviAlte_EsistVerifica snellezza: fcd=53 [kg/cm²]**Verificato**

Cb	N	fcd*Ac	v	λ _{max}	λ _{lim}
	kg	kg			
27	1126	126990	0.009	69.638	265.493

Combinazione Rara: σ_{ca}[kg/cm²]=56 σ_{fa}[kg/cm²]=2800

X	M+	M-	Afsup	Afinf	σ _{c+}	σ _{f+}	σ _{c-}	σ _{f-}	Cb+	Cb-	Ver.	CS
cm	kg*m	kg*m	cmq	cmq	kg/cm ²	kg/cm ²	kg/cm ²	kg/cm ²				
0.0	--	1514	9.42	6.28	--	--	-7	293	24	27	Si	8.1
80.4	266	--	9.42	6.28	-1	76	--	--	24	27	Si	37
402.1	2718	--	6.28	6.28	-14	778	--	--	29	24	Si	3.6
723.7	--	1012	9.42	6.28	--	--	-5	196	27	24	Si	12
804.1	--	2887	9.42	6.28	--	--	-13	559	27	24	Si	4.2

Combinazione QP: σ_{ca}[kg/cm²]=42 σ_{fa}[kg/cm²]=2800

X	M+	M-	Afsup	Afinf	σ _{c+}	σ _{f+}	σ _{c-}	σ _{f-}	Cb+	Cb-	Ver.	CS
cm	kg*m	kg*m	cmq	cmq	kg/cm ²	kg/cm ²	kg/cm ²	kg/cm ²				
0.0	--	1506	9.42	6.28	--	--	-7	292	38	38	Si	6.1
80.4	103	--	9.42	6.28	-0	29	--	--	38	38	Si	84
402.1	2729	--	6.28	6.28	-14	782	--	--	38	38	Si	2.9
723.7	--	743	9.42	6.28	--	--	-3	144	38	38	Si	12
804.1	--	2563	9.42	6.28	--	--	-12	497	38	38	Si	3.6

Verifica aperture fessure: Wamm_Freq[mm]=0.400 Wamm_Qp[mm]=0.300

X	M	Act	Aft	pAft	S _{r,max}	σ _{fmed}	Wd	Wk	Cb	Ver.	Cs
cm	kg*m	mq	cmq	cm	cm	kg/cm ²	mm	mm			
0.0	1507	0.0	9.42	18.85	10.4	292	0.009	0.009	33(Fr)	Si	46
0.0	1506	0.0	9.42	18.85	10.4	292	0.009	0.009	38(Qp)	Si	35
80.4	-103	0.0	6.28	12.57	12.2	29	0.001	0.001	38(Qp)	Si	>100
80.4	-117	0.0	6.28	12.57	12.2	33	0.001	0.001	34(Fr)	Si	>100
402.1	-2729	0.0	6.28	12.57	12.2	782	0.035	0.035	38(Qp)	Si	8.7
402.1	-2729	0.0	6.28	12.57	12.2	782	0.035	0.035	35(Fr)	Si	12
723.7	743	0.0	9.42	18.85	10.4	144	0.004	0.004	38(Qp)	Si	70
723.7	765	0.0	9.42	18.85	10.4	148	0.004	0.004	34(Fr)	Si	91
804.1	2563	0.0	9.42	18.85	10.4	497	0.017	0.017	38(Qp)	Si	18
804.1	2591	0.0	9.42	18.85	10.4	502	0.017	0.017	34(Fr)	Si	23

Trave : 206 [10 , 802] Pilastrate [- , -]

Sez. R: By= 80.0 cm Bz=20.0 cm L=645.0 cm Ln=645.0 cm L2=645.0 cm L3=645.0 cm

Criterio : CLS_TraviSpessore_EsistVerifica snellezza: fcd=118 [kg/cm²]**Verificato**

Cb	N	fcd*Ac	v	λ _{max}	λ _{lim}
	kg	kg			
24	2460	188133	0.013	111.717	218.612

Combinazione Rara: σ_{ca}[kg/cm²]=125 σ_{fa}[kg/cm²]=2933

X	M+	M-	Afsup	Afinf	σ_c+	σ_f+	σ_c-	σ_f-	Cb+	Cb-	Ver.	CS
cm	kg*m	kg*m	cmq	cmq	kg/cmq	kg/cmq	kg/cmq	kg/cmq				
0.0	--	1189	12.57	12.57	--	--	-24	644	27	28	Si	4.6
64.5	--	477	12.57	12.57	--	--	-10	258	27	28	Si	11
322.5	765	--	12.57	12.57	-15	414	--	--	24	29	Si	7.1
580.5	--	567	12.57	12.57	--	--	-11	307	24	27	Si	9.6
645.0	--	1301	12.57	12.57	--	--	-26	705	24	27	Si	4.2

Combinazione QP: σ_{ca} [kg/cmq]=93 σ_{fa} [kg/cmq]=2933

X	M+	M-	Afsup	Afinf	σ_c+	σ_f+	σ_c-	σ_f-	Cb+	Cb-	Ver.	CS
cm	kg*m	kg*m	cmq	cmq	kg/cmq	kg/cmq	kg/cmq	kg/cmq				
0.0	--	1189	12.57	12.57	--	--	-24	644	38	38	Si	3.9
64.5	--	477	12.57	12.57	--	--	-10	258	38	38	Si	9.8
322.5	764	--	12.57	12.57	-15	414	--	--	38	38	Si	6.1
580.5	--	567	12.57	12.57	--	--	-11	307	38	38	Si	8.2
645.0	--	1301	12.57	12.57	--	--	-26	705	38	38	Si	3.6

Verifica aperture fessure: Wamm_Freq[mm]=0.400 Wamm_Qp[mm]=0.300

X	M	Act	Aft	pAft	$S_{r,max}$	σ_{fmed}	Wd	Wk	Cb	Ver.	Cs
cm	kg*m	mq	cmq	cm	cm	kg/cmq	mm	mm			
0.0	1189	0.0	12.57	25.13	16.8	644	0.031	0.031	33(Fr)	Si	13
0.0	1189	0.0	12.57	25.13	16.8	644	0.031	0.031	38(Qp)	Si	9.7
64.5	477	0.0	12.57	25.13	16.8	258	0.012	0.012	38(Qp)	Si	24
64.5	477	0.0	12.57	25.13	16.8	258	0.012	0.012	33(Fr)	Si	32
322.5	-764	0.0	12.57	25.13	16.8	414	0.020	0.020	38(Qp)	Si	15
322.5	-764	0.0	12.57	25.13	16.8	414	0.020	0.020	34(Fr)	Si	20
580.5	567	0.0	12.57	25.13	16.8	307	0.015	0.015	38(Qp)	Si	20
580.5	567	0.0	12.57	25.13	16.8	307	0.015	0.015	33(Fr)	Si	27
645.0	1301	0.0	12.57	25.13	16.8	705	0.034	0.034	38(Qp)	Si	8.8
645.0	1301	0.0	12.57	25.13	16.8	705	0.034	0.034	33(Fr)	Si	12

Trave : 207 [803 , 10] Pilastrate [41 , 1]

Sez. R: By= 40.0 cm Bz=50.0 cm L=645.0 cm Ln=645.0 cm

Criterio : CLS_TraviAlte_Esist

Combinazione Rara: σ_{ca} [kg/cmq]=56 σ_{fa} [kg/cmq]=2800

X	M+	M-	Afsup	Afinf	σ_c+	σ_f+	σ_c-	σ_f-	Cb+	Cb-	Ver.	CS
cm	kg*m	kg*m	cmq	cmq	kg/cmq	kg/cmq	kg/cmq	kg/cmq				
0.0	--	1109	6.28	6.28	--	--	-8	384	24	29	Si	7.3
64.5	--	192	6.28	6.28	--	--	-1	66	24	29	Si	42
322.5	1400	--	6.28	6.28	-10	485	--	--	24	29	Si	5.8
580.5	--	342	6.28	6.28	--	--	-2	118	24	29	Si	24
645.0	--	1297	6.28	6.28	--	--	-9	449	24	29	Si	6.2

Combinazione QP: σ_{ca} [kg/cmq]=42 σ_{fa} [kg/cmq]=2800

X	M+	M-	Afsup	Afinf	σ_c+	σ_f+	σ_c-	σ_f-	Cb+	Cb-	Ver.	CS
cm	kg*m	kg*m	cmq	cmq	kg/cmq	kg/cmq	kg/cmq	kg/cmq				
0.0	--	1109	6.28	6.28	--	--	-8	384	38	38	Si	5.5
64.5	--	192	6.28	6.28	--	--	-1	66	38	38	Si	32
322.5	1397	--	6.28	6.28	-10	483	--	--	38	38	Si	4.3
580.5	--	343	6.28	6.28	--	--	-2	119	38	38	Si	18
645.0	--	1298	6.28	6.28	--	--	-9	449	38	38	Si	4.7

Verifica aperture fessure: Wamm_Freq[mm]=0.400 Wamm_Qp[mm]=0.300

X	M	Act	Aft	pAft	$S_{r,max}$	σ_{fmed}	Wd	Wk	Cb	Ver.	Cs
cm	kg*m	mq	cmq	cm	cm	kg/cmq	mm	mm			
0.0	1109	0.0	6.28	12.57	12.2	384	0.013	0.013	33(Fr)	Si	30
0.0	1109	0.0	6.28	12.57	12.2	384	0.013	0.013	38(Qp)	Si	22
64.5	192	0.0	6.28	12.57	12.2	66	0.002	0.002	38(Qp)	Si	>100
64.5	192	0.0	6.28	12.57	12.2	67	0.002	0.002	33(Fr)	Si	>100

X	M	Act	Aft	pAft	S _{r,max}	σ _{fmed}	Wd	Wk	Cb	Ver.	Cs
322.5	-1397	0.0	6.28	12.57	12.2	483	0.017	0.017	38(Qp)	Si	17
322.5	-1397	0.0	6.28	12.57	12.2	484	0.017	0.017	34(Fr)	Si	23
580.5	343	0.0	6.28	12.57	12.2	119	0.004	0.004	38(Qp)	Si	73
580.5	343	0.0	6.28	12.57	12.2	119	0.004	0.004	33(Fr)	Si	97
645.0	1298	0.0	6.28	12.57	12.2	449	0.016	0.016	38(Qp)	Si	19
645.0	1298	0.0	6.28	12.57	12.2	449	0.016	0.016	33(Fr)	Si	26

Trave : 8000 [20 , 6] Pilastrate [9 , 3]

Sez. R: By= 40.0 cm Bz=50.0 cm L=687.6 cm Ln=687.6 cm L2=687.6 cm L3=687.6 cm

Criterio : CLS_TraviAlte_EsistVerifica snellezza: fcd=53 [kg/cm²]**Verificato**

Cb	N	fcd*Ac	v	λ _{max}	λ _{lim}
	kg	kg			
24	4047	105825	0.038	59.545	127.833

Combinazione Rara: σ_{ca}[kg/cm²]=56 σ_{fa}[kg/cm²]=2800

X	M+	M-	Afsup	Afinf	σ _{c+}	σ _{f+}	σ _{c-}	σ _{f-}	Cb+	Cb-	Ver.	CS
cm	kg*m	kg*m	cmq	cmq	kg/cm ²	kg/cm ²	kg/cm ²	kg/cm ²				
0.0	--	9027	12.57	9.42	--	--	-46	1588	29	24	Si	1.2
68.8	--	4389	12.57	9.42	--	--	-23	772	29	24	Si	2.5
343.8	4236	--	6.28	9.42	-26	993	--	--	24	27	Si	2.2
618.8	--	3030	9.42	9.42	--	--	-17	702	27	24	Si	3.3
687.6	--	7330	9.42	9.42	--	--	-41	1699	27	24	Si	1.4

Combinazione QP: σ_{ca}[kg/cm²]=42 σ_{fa}[kg/cm²]=2800

X	M+	M-	Afsup	Afinf	σ _{c+}	σ _{f+}	σ _{c-}	σ _{f-}	Cb+	Cb-	Ver.	CS
cm	kg*m	kg*m	cmq	cmq	kg/cm ²	kg/cm ²	kg/cm ²	kg/cm ²				
0.0	--	6570	12.57	9.42	--	--	-34	1156	38	38	Si	1.2
68.8	--	3196	12.57	9.42	--	--	-16	562	38	38	Si	2.6
343.8	3090	--	6.28	9.42	-19	724	--	--	38	38	Si	2.2
618.8	--	2164	9.42	9.42	--	--	-12	502	38	38	Si	3.5
687.6	--	5280	9.42	9.42	--	--	-30	1224	38	38	Si	1.4

Verifica aperture fessure:Wamm_Freq[mm]=0.400 Wamm_Qp[mm]=0.300

X	M	Act	Aft	pAft	S _{r,max}	σ _{fmed}	Wd	Wk	Cb	Ver.	Cs
cm	kg*m	mq	cmq	cm	cm	kg/cm ²	mm	mm			
0.0	6776	0.0	12.57	25.13	9.5	1192	0.048	0.048	34(Fr)	Si	8.4
0.0	6570	0.0	12.57	25.13	9.5	1156	0.046	0.046	38(Qp)	Si	6.5
68.8	3196	0.0	12.57	25.13	9.5	562	0.019	0.019	38(Qp)	Si	16
68.8	3296	0.0	12.57	25.13	9.5	580	0.020	0.020	34(Fr)	Si	20
343.8	-3090	0.0	9.42	18.85	10.4	724	0.028	0.028	38(Qp)	Si	11
343.8	-3186	0.0	9.42	18.85	10.4	747	0.029	0.029	34(Fr)	Si	14
618.8	2164	0.0	9.42	18.85	10.4	502	0.017	0.017	38(Qp)	Si	17
618.8	2238	0.0	9.42	18.85	10.4	519	0.018	0.018	34(Fr)	Si	22
687.6	5280	0.0	9.42	18.85	10.4	1224	0.053	0.053	38(Qp)	Si	5.7
687.6	5454	0.0	9.42	18.85	10.4	1264	0.055	0.055	34(Fr)	Si	7.3

Trave : 8001 [18 , 12] Pilastrate [7 , 4]

Sez. R: By= 40.0 cm Bz=50.0 cm L=733.4 cm Ln=714.7 cm L2=733.4 cm L3=733.4 cm

Criterio : CLS_TraviAlte_EsistVerifica snellezza: fcd=53 [kg/cm²]**Verificato**

Cb	N	fcd*Ac	v	λ _{max}	λ _{lim}
	kg	kg			
24	11340	105825	0.107	63.516	76.371

Combinazione Rara: σ_{ca}[kg/cm²]=56 σ_{fa}[kg/cm²]=2800

X	M+	M-	Afsup	Afinf	σ _{c+}	σ _{f+}	σ _{c-}	σ _{f-}	Cb+	Cb-	Ver.	CS
cm	kg*m	kg*m	cmq	cmq	kg/cm ²	kg/cm ²	kg/cm ²	kg/cm ²				
0.0	--	15965	25.13	43.98	--	--	-38	1358	29	24	Si	1.5

X	M+	M-	Afsup	Afinf	σ_c+	σ_f+	σ_c-	σ_f-	Cb+	Cb-	Ver.	CS
71.5	--	7272	25.13	21.99	--	--	-24	638	29	24	Si	2.3
357.3	8180	--	12.57	21.99	-34	835	--	--	24	27	Si	1.7
643.2	--	7275	25.13	21.99	--	--	-24	638	27	24	Si	2.3
714.7	--	15895	25.13	21.99	--	--	-53	1393	27	24	Si	1.1

Combinazione QP: σ_{ca} [kg/cm²]=42 σ_{fa} [kg/cm²]=2800

X	M+	M-	Afsup	Afinf	σ_c+	σ_f+	σ_c-	σ_f-	Cb+	Cb-	Ver.	CS
cm	kg*m	kg*m	cmq	cmq	kg/cm ²	kg/cm ²	kg/cm ²	kg/cm ²				
0.0	--	11036	25.13	43.98	--	--	-26	939	38	38	Si	1.6
71.5	--	5024	25.13	21.99	--	--	-17	440	38	38	Si	2.5
357.3	5663	--	12.57	21.99	-23	578	--	--	38	38	Si	1.8
643.2	--	5029	25.13	21.99	--	--	-17	441	38	38	Si	2.5
714.7	--	10996	25.13	21.99	--	--	-36	964	38	38	Si	1.2

Verifica aperture fessure: Wamm_Freq[mm]=0.400 Wamm_Qp[mm]=0.300

X	M	Act	Aft	pAft	$S_{r,max}$	σ_{fmed}	Wd	Wk	Cb	Ver.	Cs
cm	kg*m	mq	cmq	cm	cm	kg/cm ²	mm	mm			
0.0	11452	0.0	25.13	50.27	8.2	974	0.033	0.033	34(Fr)	Si	12
0.0	11036	0.0	25.13	50.27	8.2	939	0.032	0.032	38(Qp)	Si	9.4
71.5	5024	0.0	25.13	50.27	8.2	440	0.013	0.013	38(Qp)	Si	24
71.5	5214	0.0	25.13	50.27	8.2	457	0.013	0.013	34(Fr)	Si	30
357.3	-5663	0.0	21.99	43.98	8.3	578	0.018	0.018	38(Qp)	Si	16
357.3	-5874	0.0	21.99	43.98	8.3	600	0.019	0.019	34(Fr)	Si	21
643.2	5029	0.0	25.13	50.27	8.2	441	0.013	0.013	38(Qp)	Si	24
643.2	5218	0.0	25.13	50.27	8.2	457	0.013	0.013	34(Fr)	Si	30
714.7	10996	0.0	25.13	50.27	8.2	964	0.033	0.033	38(Qp)	Si	9.1
714.7	11408	0.0	25.13	50.27	8.2	1000	0.034	0.034	34(Fr)	Si	12

Trave : 8001 [4 , 18] Pilastrate [14 , 7]

Sez. R: $B_y = 40.0 \text{ cm}$ $B_z = 50.0 \text{ cm}$ $L = 715.1 \text{ cm}$ $L_n = 715.1 \text{ cm}$ $L_2 = 715.1 \text{ cm}$ $L_3 = 715.1 \text{ cm}$

Criterio : CLS_TraviAlte_Esist Verifica snellezza: $f_{cd} = 53 \text{ [kg/cm}^2\text{]}$ **Verificato**

Cb	N	$f_{cd} \cdot A_c$	v	λ_{max}	λ_{lim}
	kg	kg			
24	11221	105825	0.106	61.931	76.775

Combinazione Rara: σ_{ca} [kg/cm²]=56 σ_{fa} [kg/cm²]=2800

X	M+	M-	Afsup	Afinf	σ_c+	σ_f+	σ_c-	σ_f-	Cb+	Cb-	Ver.	CS
cm	kg*m	kg*m	cmq	cmq	kg/cm ²	kg/cm ²	kg/cm ²	kg/cm ²				
0.0	--	15073	25.13	21.99	--	--	-50	1321	28	24	Si	1.1
71.5	--	6686	25.13	21.99	--	--	-22	586	28	24	Si	2.5
357.6	8139	--	12.57	21.99	-33	831	--	--	24	28	Si	1.7
643.6	--	7362	25.13	21.99	--	--	-24	645	29	24	Si	2.3
715.1	--	16035	25.13	43.98	--	--	-38	1364	29	24	Si	1.5

Combinazione QP: σ_{ca} [kg/cm²]=42 σ_{fa} [kg/cm²]=2800

X	M+	M-	Afsup	Afinf	σ_c+	σ_f+	σ_c-	σ_f-	Cb+	Cb-	Ver.	CS
cm	kg*m	kg*m	cmq	cmq	kg/cm ²	kg/cm ²	kg/cm ²	kg/cm ²				
0.0	--	10473	25.13	21.99	--	--	-35	918	38	38	Si	1.2
71.5	--	4655	25.13	21.99	--	--	-15	408	38	38	Si	2.7
357.6	5636	--	12.57	21.99	-23	576	--	--	38	38	Si	1.8
643.6	--	5077	25.13	21.99	--	--	-17	445	38	38	Si	2.5
715.1	--	11075	25.13	43.98	--	--	-26	942	38	38	Si	1.6

Verifica aperture fessure: Wamm_Freq[mm]=0.400 Wamm_Qp[mm]=0.300

X	M	Act	Aft	pAft	$S_{r,max}$	σ_{fmed}	Wd	Wk	Cb	Ver.	Cs
cm	kg*m	mq	cmq	cm	cm	kg/cm ²	mm	mm			
0.0	10858	0.0	25.13	50.27	8.2	952	0.033	0.033	34(Fr)	Si	12

X	M	Act	Aft	pAft	S _{r,max}	σ _{fmed}	Wd	Wk	Cb	Ver.	Cs
0.0	10473	0.0	25.13	50.27	8.2	918	0.031	0.031	38(Qp)	Si	9.6
71.5	4655	0.0	25.13	50.27	8.2	408	0.011	0.011	38(Qp)	Si	26
71.5	4825	0.0	25.13	50.27	8.2	423	0.012	0.012	34(Fr)	Si	33
357.6	-5636	0.0	21.99	43.98	8.3	576	0.018	0.018	38(Qp)	Si	16
357.6	-5847	0.0	21.99	43.98	8.3	597	0.019	0.019	34(Fr)	Si	21
643.6	5077	0.0	25.13	50.27	8.2	445	0.013	0.013	38(Qp)	Si	23
643.6	5270	0.0	25.13	50.27	8.2	462	0.014	0.014	34(Fr)	Si	30
715.1	11075	0.0	25.13	50.27	8.2	942	0.032	0.032	38(Qp)	Si	9.3
715.1	11494	0.0	25.13	50.27	8.2	978	0.034	0.034	34(Fr)	Si	12

Trave : 8002 [36 , 28] Pilastrate [25 , 6]

Sez. R: By= 40.0 cm Bz=50.0 cm L=733.4 cm Ln=696.0 cm L2=733.4 cm L3=733.4 cm

Criterio : CLS_TraviAlte_EsistVerifica snellezza: fcd=53 [kg/cm²] **Verificato**

Cb	N	fcd*Ac	v	λ _{max}	λ _{lim}
	kg	kg			
24	9916	105825	0.094	63.516	81.670

Combinazione Rara: σ_{ca}[kg/cm²]=56 σ_{fa}[kg/cm²]=2800

X	M+	M-	Afsup	Afinf	σ _{c+}	σ _{f+}	σ _{c-}	σ _{f-}	Cb+	Cb-	Ver.	CS
cm	kg*m	kg*m	cmq	cmq	kg/cm ²	kg/cm ²	kg/cm ²	kg/cm ²				
0.0	--	10713	18.85	25.13	--	--	-36	1230	29	24	Si	1.6
69.6	--	2639	18.85	25.13	--	--	-9	303	29	24	Si	6.4
348.0	10027	--	12.57	25.13	-40	902	--	--	24	27	Si	1.4
626.4	--	8711	31.42	25.13	--	--	-26	613	27	24	Si	2.1
696.0	--	18302	31.42	25.13	--	--	-55	1288	27	24	Si	1.0

Combinazione QP: σ_{ca}[kg/cm²]=42 σ_{fa}[kg/cm²]=2800

X	M+	M-	Afsup	Afinf	σ _{c+}	σ _{f+}	σ _{c-}	σ _{f-}	Cb+	Cb-	Ver.	CS
cm	kg*m	kg*m	cmq	cmq	kg/cm ²	kg/cm ²	kg/cm ²	kg/cm ²				
0.0	--	7390	18.85	25.13	--	--	-25	849	38	38	Si	1.7
69.6	--	1829	18.85	25.13	--	--	-6	210	38	38	Si	6.9
348.0	6897	--	12.57	25.13	-27	621	--	--	38	38	Si	1.5
626.4	--	6004	31.42	25.13	--	--	-18	423	38	38	Si	2.3
696.0	--	12608	31.42	25.13	--	--	-38	887	38	38	Si	1.1

Verifica aperture fessure: Wamm_Freq[mm]=0.400 Wamm_Qp[mm]=0.300

X	M	Act	Aft	pAft	S _{r,max}	σ _{fmed}	Wd	Wk	Cb	Ver.	Cs
cm	kg*m	mq	cmq	cm	cm	kg/cm ²	mm	mm			
0.0	7670	0.0	18.85	37.70	8.6	881	0.031	0.031	34(Fr)	Si	13
0.0	7390	0.0	18.85	37.70	8.6	849	0.030	0.030	38(Qp)	Si	10
69.6	1829	0.0	18.85	37.70	8.6	210	0.005	0.005	38(Qp)	Si	58
69.6	1898	0.0	18.85	37.70	8.6	218	0.005	0.005	34(Fr)	Si	75
348.0	-6897	0.0	25.13	50.27	8.2	621	0.020	0.020	38(Qp)	Si	15
348.0	-7160	0.0	25.13	50.27	8.2	644	0.021	0.021	34(Fr)	Si	19
626.4	6004	0.0	31.42	62.83	7.9	423	0.012	0.012	38(Qp)	Si	26
626.4	6232	0.0	31.42	62.83	7.9	439	0.012	0.012	34(Fr)	Si	32
696.0	12608	0.0	31.42	62.83	7.9	887	0.029	0.029	38(Qp)	Si	10
696.0	13087	0.0	31.42	62.83	7.9	921	0.030	0.030	34(Fr)	Si	13

Trave : 8003 [44 , 30] Pilastrate [2 , 11]

Sez. R: By= 40.0 cm Bz=50.0 cm L=733.4 cm Ln=696.0 cm L2=733.4 cm L3=733.4 cm

Criterio : CLS_TraviAlte_EsistVerifica snellezza: fcd=53 [kg/cm²] **Verificato**

Cb	N	fcd*Ac	v	λ _{max}	λ _{lim}
	kg	kg			
24	5645	105825	0.053	63.516	108.239

Combinazione Rara: σ_{ca}[kg/cm²]=56 σ_{fa}[kg/cm²]=2800

X	M+	M-	Afsup	Afinf	σ_c+	σ_f+	σ_c-	σ_f-	Cb+	Cb-	Ver.	CS
cm	kg*m	kg*m	cmq	cmq	kg/cmq	kg/cmq	kg/cmq	kg/cmq				
0.0	--	6253	9.42	9.42	--	--	-35	1449	27	24	Si	1.6
69.6	--	1669	9.42	9.42	--	--	-9	387	27	24	Si	6.0
348.0	5703	--	6.28	9.42	-35	1336	--	--	24	29	Si	1.6
626.4	--	4465	12.57	9.42	--	--	-23	785	29	24	Si	2.4
696.0	--	9747	12.57	9.42	--	--	-50	1714	29	24	Si	1.1

Combinazione QP: σ_{ca} [kg/cmq]=42 σ_{fa} [kg/cmq]=2800

X	M+	M-	Afsup	Afinf	σ_c+	σ_f+	σ_c-	σ_f-	Cb+	Cb-	Ver.	CS
cm	kg*m	kg*m	cmq	cmq	kg/cmq	kg/cmq	kg/cmq	kg/cmq				
0.0	--	4483	9.42	9.42	--	--	-25	1039	38	38	Si	1.7
69.6	--	1184	9.42	9.42	--	--	-7	274	38	38	Si	6.4
348.0	4115	--	6.28	9.42	-25	964	--	--	38	38	Si	1.7
626.4	--	3227	12.57	9.42	--	--	-17	568	38	38	Si	2.5
696.0	--	7037	12.57	9.42	--	--	-36	1238	38	38	Si	1.2

Verifica aperture fessure: Wamm_Freq[mm]=0.400 Wamm_Qp[mm]=0.300

X	M	Act	Aft	pAft	$S_{r,max}$	σ_{fmed}	Wd	Wk	Cb	Ver.	Cs
cm	kg*m	mq	cmq	cm	cm	kg/cmq	mm	mm			
0.0	4633	0.0	9.42	18.85	10.4	1074	0.046	0.046	34(Fr)	Si	8.8
0.0	4483	0.0	9.42	18.85	10.4	1039	0.044	0.044	38(Qp)	Si	6.8
69.6	1184	0.0	9.42	18.85	10.4	274	0.008	0.008	38(Qp)	Si	37
69.6	1225	0.0	9.42	18.85	10.4	284	0.008	0.008	34(Fr)	Si	47
348.0	-4115	0.0	9.42	18.85	10.4	964	0.040	0.040	38(Qp)	Si	7.5
348.0	-4249	0.0	9.42	18.85	10.4	996	0.042	0.042	34(Fr)	Si	9.6
626.4	3227	0.0	12.57	25.13	9.5	568	0.019	0.019	38(Qp)	Si	15
626.4	3331	0.0	12.57	25.13	9.5	586	0.020	0.020	34(Fr)	Si	20
696.0	7037	0.0	12.57	25.13	9.5	1238	0.050	0.050	38(Qp)	Si	6.0
696.0	7266	0.0	12.57	25.13	9.5	1278	0.052	0.052	34(Fr)	Si	7.8

Trave : 8004 [2 , 20] Pilastrate [12 , 9]

Sez. R: By= 40.0 cm Bz=50.0 cm L=717.6 cm Ln=711.8 cm L2=717.6 cm L3=717.6 cm

Criterio : CLS_TraviAlte_EsistVerifica snellezza: fcd=53 [kg/cmq]Verificato

Cb	N	fcd*Ac	v	λ_{max}	λ_{lim}
	kg	kg			
24	4619	105825	0.044	62.149	119.664

Combinazione Rara: σ_{ca} [kg/cmq]=56 σ_{fa} [kg/cmq]=2800

X	M+	M-	Afsup	Afinf	σ_c+	σ_f+	σ_c-	σ_f-	Cb+	Cb-	Ver.	CS
cm	kg*m	kg*m	cmq	cmq	kg/cmq	kg/cmq	kg/cmq	kg/cmq				
0.0	--	7873	9.42	9.42	--	--	-44	1825	28	24	Si	1.3
71.2	--	3358	9.42	9.42	--	--	-19	778	28	24	Si	3.0
355.9	4648	--	6.28	9.42	-28	1089	--	--	24	28	Si	2.0
640.6	--	3801	12.57	9.42	--	--	-20	669	29	24	Si	2.9
711.8	--	8542	12.57	9.42	--	--	-44	1502	29	24	Si	1.3

Combinazione QP: σ_{ca} [kg/cmq]=42 σ_{fa} [kg/cmq]=2800

X	M+	M-	Afsup	Afinf	σ_c+	σ_f+	σ_c-	σ_f-	Cb+	Cb-	Ver.	CS
cm	kg*m	kg*m	cmq	cmq	kg/cmq	kg/cmq	kg/cmq	kg/cmq				
0.0	--	5718	9.42	9.42	--	--	-32	1325	38	38	Si	1.3
71.2	--	2424	9.42	9.42	--	--	-14	562	38	38	Si	3.1
355.9	3400	--	6.28	9.42	-21	797	--	--	38	38	Si	2.0
640.6	--	2776	12.57	9.42	--	--	-14	488	38	38	Si	2.9
711.8	--	6232	12.57	9.42	--	--	-32	1096	38	38	Si	1.3

Verifica aperture fessure: Wamm_Freq[mm]=0.400 Wamm_Qp[mm]=0.300

X	M	Act	Aft	pAft	$S_{r,max}$	σ_{fmed}	Wd	Wk	Cb	Ver.	Cs
---	---	-----	-----	------	-------------	-----------------	----	----	----	------	----

X	M	Act	Aft	pAft	S _{r,max}	σ _{fmed}	Wd	Wk	Cb	Ver.	Cs
cm	kg*m	mq	cmq	cm	cm	kg/cmq	mm	mm			
0.0	5900	0.0	9.42	18.85	10.4	1368	0.060	0.060	34(Fr)	Si	6.6
0.0	5718	0.0	9.42	18.85	10.4	1325	0.058	0.058	38(Qp)	Si	5.2
71.2	2424	0.0	9.42	18.85	10.4	562	0.020	0.020	38(Qp)	Si	15
71.2	2503	0.0	9.42	18.85	10.4	580	0.021	0.021	34(Fr)	Si	19
355.9	-3400	0.0	9.42	18.85	10.4	797	0.032	0.032	38(Qp)	Si	9.4
355.9	-3505	0.0	9.42	18.85	10.4	821	0.033	0.033	34(Fr)	Si	12
640.6	2776	0.0	12.57	25.13	9.5	488	0.016	0.016	38(Qp)	Si	19
640.6	2862	0.0	12.57	25.13	9.5	503	0.017	0.017	34(Fr)	Si	24
711.8	6232	0.0	12.57	25.13	9.5	1096	0.043	0.043	38(Qp)	Si	6.9
711.8	6426	0.0	12.57	25.13	9.5	1130	0.045	0.045	34(Fr)	Si	8.9

Trave : 8005 [38 , 10] Pilastrate [37 , 1]

Sez. R: By= 40.0 cm Bz=50.0 cm L=610.1 cm Ln=610.1 cm L2=610.1 cm L3=610.1 cm

Criterio : CLS_TraviAlte_EsistVerifica snellezza: fcd=53 [kg/cmq]Verificato

Cb	N	fcd*Ac	v	λ _{max}	λ _{lim}
	kg	kg			
24	6773	105825	0.064	52.832	98.818

Combinazione Rara: σ_{ca}[kg/cmq]=56 σ_{fa}[kg/cmq]=2800

X	M+	M-	Afsup	Afinf	σ _{c+}	σ _{f+}	σ _{c-}	σ _{f-}	Cb+	Cb-	Ver.	CS
cm	kg*m	kg*m	cmq	cmq	kg/cmq	kg/cmq	kg/cmq	kg/cmq				
0.0	--	5865	6.28	6.28	--	--	-41	2030	28	24	Si	1.4
61.0	--	2438	6.28	6.28	--	--	-17	844	28	24	Si	3.3
305.0	3482	--	6.28	6.28	-24	1205	--	--	24	28	Si	2.3
549.1	--	3059	9.42	6.28	--	--	-19	717	29	24	Si	3.0
610.1	--	6641	9.42	6.28	--	--	-40	1556	29	24	Si	1.4

Combinazione QP: σ_{ca}[kg/cmq]=42 σ_{fa}[kg/cmq]=2800

X	M+	M-	Afsup	Afinf	σ _{c+}	σ _{f+}	σ _{c-}	σ _{f-}	Cb+	Cb-	Ver.	CS
cm	kg*m	kg*m	cmq	cmq	kg/cmq	kg/cmq	kg/cmq	kg/cmq				
0.0	--	4205	6.28	6.28	--	--	-29	1456	38	38	Si	1.4
61.0	--	1724	6.28	6.28	--	--	-12	597	38	38	Si	3.5
305.0	2541	--	6.28	6.28	-18	879	--	--	38	38	Si	2.4
549.1	--	2248	9.42	6.28	--	--	-14	527	38	38	Si	3.1
610.1	--	4860	9.42	6.28	--	--	-30	1139	38	38	Si	1.4

Verifica aperture fessure: Wamm_Freq[mm]=0.400 Wamm_Qp[mm]=0.300

X	M	Act	Aft	pAft	S _{r,max}	σ _{fmed}	Wd	Wk	Cb	Ver.	Cs
cm	kg*m	mq	cmq	cm	cm	kg/cmq	mm	mm			
0.0	4345	0.0	6.28	12.57	12.2	1504	0.077	0.077	34(Fr)	Si	5.2
0.0	4205	0.0	6.28	12.57	12.2	1456	0.074	0.074	38(Qp)	Si	4.1
61.0	1724	0.0	6.28	12.57	12.2	597	0.024	0.024	38(Qp)	Si	13
61.0	1785	0.0	6.28	12.57	12.2	618	0.025	0.025	34(Fr)	Si	16
305.0	-2541	0.0	6.28	12.57	12.2	879	0.040	0.040	38(Qp)	Si	7.4
305.0	-2620	0.0	6.28	12.57	12.2	907	0.042	0.042	34(Fr)	Si	9.5
549.1	2248	0.0	9.42	18.85	10.4	527	0.018	0.018	38(Qp)	Si	16
549.1	2317	0.0	9.42	18.85	10.4	543	0.019	0.019	34(Fr)	Si	21
610.1	4860	0.0	9.42	18.85	10.4	1139	0.049	0.049	38(Qp)	Si	6.1
610.1	5010	0.0	9.42	18.85	10.4	1174	0.051	0.051	34(Fr)	Si	7.9

Trave : 8005 [802 , 44] Pilastrate [- , 10]

Sez. R: By= 40.0 cm Bz=50.0 cm L=691.5 cm Ln=691.5 cm L2=691.5 cm L3=691.5 cm

Criterio : CLS_TraviAlte_EsistVerifica snellezza: fcd=53 [kg/cmq]Verificato

Cb	N	fcd*Ac	v	λ _{max}	λ _{lim}
	kg	kg			
24	7602	105825	0.072	59.888	93.277

Combinazione Rara: $\sigma_{ca}[\text{kg/cm}^2]=56$ $\sigma_{fa}[\text{kg/cm}^2]=2800$

X	M+	M-	Afsup	Afinf	σ_{c+}	σ_{f+}	σ_{c-}	σ_{f-}	Cb+	Cb-	Ver.	CS
cm	kg*m	kg*m	cmq	cmq	kg/cmq	kg/cmq	kg/cmq	kg/cmq				
0.0	--	5766	6.28	15.71	--	--	-31	1953	29	24	Si	1.4
69.2	--	1607	6.28	9.42	--	--	-10	551	29	24	Si	5.1
345.8	5035	--	6.28	9.42	-31	1180	--	--	24	27	Si	1.8
622.4	--	4313	12.57	9.42	--	--	-22	759	27	24	Si	2.5
691.5	--	9149	12.57	9.42	--	--	-47	1609	27	24	Si	1.2

Combinazione QP: $\sigma_{ca}[\text{kg/cm}^2]=42$ $\sigma_{fa}[\text{kg/cm}^2]=2800$

X	M+	M-	Afsup	Afinf	σ_{c+}	σ_{f+}	σ_{c-}	σ_{f-}	Cb+	Cb-	Ver.	CS
cm	kg*m	kg*m	cmq	cmq	kg/cmq	kg/cmq	kg/cmq	kg/cmq				
0.0	--	4194	6.28	15.71	--	--	-22	1420	38	38	Si	1.9
69.2	--	1170	6.28	9.42	--	--	-7	401	38	38	Si	5.7
345.8	3664	--	6.28	9.42	-22	858	--	--	38	38	Si	1.9
622.4	--	3122	12.57	9.42	--	--	-16	549	38	38	Si	2.6
691.5	--	6633	12.57	9.42	--	--	-34	1167	38	38	Si	1.2

Verifica aperture fessure: $W_{amm_Freq}[\text{mm}]=0.400$ $W_{amm_Qp}[\text{mm}]=0.300$

X	M	Act	Aft	pAft	$S_{r,max}$	σ_{fmed}	Wd	Wk	Cb	Ver.	Cs
cm	kg*m	mq	cmq	cm	cm	kg/cmq	mm	mm			
0.0	4327	0.0	6.28	12.57	12.2	1465	0.074	0.074	34(Fr)	Si	5.4
0.0	4194	0.0	6.28	12.57	12.2	1420	0.072	0.072	38(Qp)	Si	4.2
69.2	1170	0.0	6.28	12.57	12.2	401	0.014	0.014	38(Qp)	Si	21
69.2	1207	0.0	6.28	12.57	12.2	414	0.014	0.014	34(Fr)	Si	28
345.8	-3664	0.0	9.42	18.85	10.4	858	0.035	0.035	38(Qp)	Si	8.6
345.8	-3779	0.0	9.42	18.85	10.4	886	0.036	0.036	34(Fr)	Si	11
622.4	3122	0.0	12.57	25.13	9.5	549	0.019	0.019	38(Qp)	Si	16
622.4	3222	0.0	12.57	25.13	9.5	567	0.019	0.019	34(Fr)	Si	21
691.5	6633	0.0	12.57	25.13	9.5	1167	0.047	0.047	38(Qp)	Si	6.4
691.5	6845	0.0	12.57	25.13	9.5	1204	0.048	0.048	34(Fr)	Si	8.3

Trave : 8005 [10 , 802] Pilastrate [1 , -]

Sez. R: $B_y=40.0\text{ cm}$ $B_z=50.0\text{ cm}$ $L=81.5\text{ cm}$ $L_n=81.5\text{ cm}$ $L_2=81.5\text{ cm}$ $L_3=81.5\text{ cm}$

Criterio : CLS_TraviAlte_EsistVerifica snellezza: $f_{cd}=53\text{ [kg/cm}^2\text{]}$ **Verificato**

Cb	N	$f_{cd}*Ac$	v	λ_{max}	λ_{lim}
	kg	kg			
24	6747	105825	0.064	7.057	99.008

Combinazione Rara: $\sigma_{ca}[\text{kg/cm}^2]=56$ $\sigma_{fa}[\text{kg/cm}^2]=2800$

X	M+	M-	Afsup	Afinf	σ_{c+}	σ_{f+}	σ_{c-}	σ_{f-}	Cb+	Cb-	Ver.	CS
cm	kg*m	kg*m	cmq	cmq	kg/cmq	kg/cmq	kg/cmq	kg/cmq				
0.0	--	8104	9.42	6.28	--	--	-49	1899	29	24	Si	1.1
8.1	--	7692	9.42	6.28	--	--	-47	1803	29	24	Si	1.2
40.7	--	6077	9.42	6.28	--	--	-37	1424	29	24	Si	1.5
73.3	--	4510	9.42	15.71	--	--	-22	1029	29	24	Si	2.6
81.5	--	4126	9.42	15.71	--	--	-20	942	29	24	Si	2.8

Combinazione QP: $\sigma_{ca}[\text{kg/cm}^2]=42$ $\sigma_{fa}[\text{kg/cm}^2]=2800$

X	M+	M-	Afsup	Afinf	σ_{c+}	σ_{f+}	σ_{c-}	σ_{f-}	Cb+	Cb-	Ver.	CS
cm	kg*m	kg*m	cmq	cmq	kg/cmq	kg/cmq	kg/cmq	kg/cmq				
0.0	--	5977	9.42	6.28	--	--	-36	1401	38	38	Si	1.2
8.1	--	5651	9.42	6.28	--	--	-34	1324	38	38	Si	1.2
40.7	--	4375	9.42	6.28	--	--	-27	1025	38	38	Si	1.6
73.3	--	3148	9.42	15.71	--	--	-15	719	38	38	Si	2.8
81.5	--	2849	9.42	15.71	--	--	-14	650	38	38	Si	3.1

Verifica aperture fessure:Wamm_Freq[mm]=0.400 Wamm_Qp[mm]=0.300

X	M	Act	Aft	pAft	S _{r,max}	σfmed	Wd	Wk	Cb	Ver.	Cs
cm	kg*m	mq	cmq	cm	cm	kg/cmq	mm	mm			
0.0	6157	0.0	9.42	18.85	10.4	1443	0.064	0.064	34(Fr)	Si	6.3
0.0	5977	0.0	9.42	18.85	10.4	1401	0.062	0.062	38(Qp)	Si	4.9
8.1	5651	0.0	9.42	18.85	10.4	1324	0.058	0.058	38(Qp)	Si	5.2
8.1	5823	0.0	9.42	18.85	10.4	1365	0.060	0.060	34(Fr)	Si	6.7
40.7	4375	0.0	9.42	18.85	10.4	1025	0.043	0.043	38(Qp)	Si	6.9
40.7	4518	0.0	9.42	18.85	10.4	1059	0.045	0.045	34(Fr)	Si	8.9
73.3	3148	0.0	9.42	18.85	10.4	719	0.028	0.028	38(Qp)	Si	11
73.3	3263	0.0	9.42	18.85	10.4	745	0.029	0.029	34(Fr)	Si	14
81.5	2849	0.0	9.42	18.85	10.4	650	0.025	0.025	38(Qp)	Si	12
81.5	2956	0.0	9.42	18.85	10.4	675	0.026	0.026	34(Fr)	Si	15

Trave : 8006 [36 , 803] Pilastrate [35 , 41]

Sez. R: By= 40.0 cm Bz=50.0 cm L=610.1 cm Ln=610.1 cm L2=610.1 cm L3=610.1 cm

Criterio : CLS_TraviAlte_EsistVerifica snellezza: fcd=53 [kg/cmq]**Verificato**

Cb	N	fcd*Ac	v	λmax	λlim
	kg	kg			
24	8683	105825	0.082	52.832	87.279

Combinazione Rara: σca[kg/cmq]=56 σfa[kg/cmq]=2800

X	M+	M-	Afsup	Afinf	σc+	σf+	σc-	σf-	Cb+	Cb-	Ver.	CS
cm	kg*m	kg*m	cmq	cmq	kg/cmq	kg/cmq	kg/cmq	kg/cmq				
0.0	--	6119	9.42	6.28	--	--	-37	1434	28	24	Si	1.5
61.0	--	2623	9.42	6.28	--	--	-16	615	28	24	Si	3.5
305.0	3577	--	6.28	6.28	-25	1238	--	--	24	28	Si	2.3
549.1	--	2684	6.28	6.28	--	--	-19	929	29	24	Si	3.0
610.1	--	6196	9.42	6.28	--	--	-38	1452	29	24	Si	1.5

Combinazione QP: σca[kg/cmq]=42 σfa[kg/cmq]=2800

X	M+	M-	Afsup	Afinf	σc+	σf+	σc-	σf-	Cb+	Cb-	Ver.	CS
cm	kg*m	kg*m	cmq	cmq	kg/cmq	kg/cmq	kg/cmq	kg/cmq				
0.0	--	4439	9.42	6.28	--	--	-27	1040	38	38	Si	1.6
61.0	--	1899	9.42	6.28	--	--	-12	445	38	38	Si	3.6
305.0	2599	--	6.28	6.28	-18	900	--	--	38	38	Si	2.3
549.1	--	1957	6.28	6.28	--	--	-14	677	38	38	Si	3.1
610.1	--	4510	9.42	6.28	--	--	-27	1057	38	38	Si	1.5

Verifica aperture fessure:Wamm_Freq[mm]=0.400 Wamm_Qp[mm]=0.300

X	M	Act	Aft	pAft	S _{r,max}	σfmed	Wd	Wk	Cb	Ver.	Cs
cm	kg*m	mq	cmq	cm	cm	kg/cmq	mm	mm			
0.0	4579	0.0	9.42	18.85	10.4	1073	0.046	0.046	34(Fr)	Si	8.8
0.0	4439	0.0	9.42	18.85	10.4	1040	0.044	0.044	38(Qp)	Si	6.8
61.0	1899	0.0	9.42	18.85	10.4	445	0.014	0.014	38(Qp)	Si	21
61.0	1959	0.0	9.42	18.85	10.4	459	0.015	0.015	34(Fr)	Si	26
305.0	-2599	0.0	6.28	12.57	12.2	900	0.042	0.042	38(Qp)	Si	7.2
305.0	-2681	0.0	6.28	12.57	12.2	928	0.043	0.043	34(Fr)	Si	9.3
549.1	1957	0.0	6.28	12.57	12.2	677	0.029	0.029	38(Qp)	Si	10
549.1	2020	0.0	6.28	12.57	12.2	699	0.030	0.030	34(Fr)	Si	13
610.1	4510	0.0	9.42	18.85	10.4	1057	0.045	0.045	38(Qp)	Si	6.7
610.1	4654	0.0	9.42	18.85	10.4	1091	0.046	0.046	34(Fr)	Si	8.6

Trave : 8006 [10 , 32] Pilastrate [- , 8]

Sez. R: By= 40.0 cm Bz=50.0 cm L=691.5 cm Ln=672.9 cm L2=691.5 cm L3=691.5 cm

Criterio : CLS_TraviAlte_EsistVerifica snellezza: fcd=53 [kg/cmq]**Verificato**

Cb	N	fcd*Ac	v	λmax	λlim
	kg	kg			
24	8984	105825	0.085	59.888	85.803

Combinazione Rara: $\sigma_{ca}[\text{kg/cm}^2]=56$ $\sigma_{fa}[\text{kg/cm}^2]=2800$

X	M+	M-	Afsup	Afinf	σ_c+	σ_f+	σ_c-	σ_f-	Cb+	Cb-	Ver.	CS
cm	kg*m	kg*m	cmq	cmq	kg/cmq	kg/cmq	kg/cmq	kg/cmq				
0.0	--	5506	6.28	15.71	--	--	-29	1865	29	24	Si	1.5
67.3	--	1597	6.28	9.42	--	--	-10	548	29	24	Si	5.1
336.5	4617	--	6.28	9.42	-28	1082	--	--	24	27	Si	2.0
605.6	--	4247	12.57	9.42	--	--	-22	747	27	24	Si	2.6
672.9	--	8818	12.57	9.42	--	--	-45	1551	27	24	Si	1.2

Combinazione QP: $\sigma_{ca}[\text{kg/cm}^2]=42$ $\sigma_{fa}[\text{kg/cm}^2]=2800$

X	M+	M-	Afsup	Afinf	σ_c+	σ_f+	σ_c-	σ_f-	Cb+	Cb-	Ver.	CS
cm	kg*m	kg*m	cmq	cmq	kg/cmq	kg/cmq	kg/cmq	kg/cmq				
0.0	--	3999	6.28	15.71	--	--	-21	1354	38	38	Si	2.0
67.3	--	1158	6.28	9.42	--	--	-7	397	38	38	Si	5.7
336.5	3357	--	6.28	9.42	-20	787	--	--	38	38	Si	2.1
605.6	--	3084	12.57	9.42	--	--	-16	542	38	38	Si	2.7
672.9	--	6406	12.57	9.42	--	--	-33	1127	38	38	Si	1.3

Verifica aperture fessure: $W_{amm_Freq}[\text{mm}]=0.400$ $W_{amm_Qp}[\text{mm}]=0.300$

X	M	Act	Aft	pAft	$S_{r,max}$	σ_{fmed}	Wd	Wk	Cb	Ver.	Cs
cm	kg*m	mq	cmq	cm	cm	kg/cmq	mm	mm			
0.0	4125	0.0	6.28	12.57	12.2	1397	0.070	0.070	34(Fr)	Si	5.7
0.0	3999	0.0	6.28	12.57	12.2	1354	0.068	0.068	38(Qp)	Si	4.4
67.3	1158	0.0	6.28	12.57	12.2	397	0.014	0.014	38(Qp)	Si	22
67.3	1194	0.0	6.28	12.57	12.2	410	0.014	0.014	34(Fr)	Si	28
336.5	-3357	0.0	9.42	18.85	10.4	787	0.031	0.031	38(Qp)	Si	9.6
336.5	-3463	0.0	9.42	18.85	10.4	812	0.033	0.033	34(Fr)	Si	12
605.6	3084	0.0	12.57	25.13	9.5	542	0.018	0.018	38(Qp)	Si	16
605.6	3181	0.0	12.57	25.13	9.5	560	0.019	0.019	34(Fr)	Si	21
672.9	6406	0.0	12.57	25.13	9.5	1127	0.045	0.045	38(Qp)	Si	6.7
672.9	6609	0.0	12.57	25.13	9.5	1162	0.046	0.046	34(Fr)	Si	8.6

Trave : 8006 [803 , 10] Pilastrate [41 , -]

Sez. R: $B_y=40.0\text{ cm}$ $B_z=50.0\text{ cm}$ $L=81.5\text{ cm}$ $L_n=81.5\text{ cm}$ $L_2=81.5\text{ cm}$ $L_3=81.5\text{ cm}$

Criterio : CLS_TraviAlte_EsistVerifica snellezza: $f_{cd}=53\text{ [kg/cm}^2\text{]}$ **Verificato**

Cb	N	$f_{cd}*Ac$	v	λ_{max}	λ_{lim}
	kg	kg			
24	7628	105825	0.072	7.057	93.119

Combinazione Rara: $\sigma_{ca}[\text{kg/cm}^2]=56$ $\sigma_{fa}[\text{kg/cm}^2]=2800$

X	M+	M-	Afsup	Afinf	σ_c+	σ_f+	σ_c-	σ_f-	Cb+	Cb-	Ver.	CS
cm	kg*m	kg*m	cmq	cmq	kg/cmq	kg/cmq	kg/cmq	kg/cmq				
0.0	--	7037	9.42	6.28	--	--	-43	1649	29	24	Si	1.3
8.1	--	6725	9.42	6.28	--	--	-41	1576	29	24	Si	1.4
40.7	--	5511	9.42	6.28	--	--	-34	1291	29	24	Si	1.7
73.3	--	4346	9.42	15.71	--	--	-21	992	29	24	Si	2.7
81.5	--	4063	9.42	15.71	--	--	-19	927	29	24	Si	2.9

Combinazione QP: $\sigma_{ca}[\text{kg/cm}^2]=42$ $\sigma_{fa}[\text{kg/cm}^2]=2800$

X	M+	M-	Afsup	Afinf	σ_c+	σ_f+	σ_c-	σ_f-	Cb+	Cb-	Ver.	CS
cm	kg*m	kg*m	cmq	cmq	kg/cmq	kg/cmq	kg/cmq	kg/cmq				
0.0	--	5180	9.42	6.28	--	--	-32	1214	38	38	Si	1.3
8.1	--	4929	9.42	6.28	--	--	-30	1155	38	38	Si	1.4
40.7	--	3952	9.42	6.28	--	--	-24	926	38	38	Si	1.7
73.3	--	3025	9.42	15.71	--	--	-14	690	38	38	Si	2.9
81.5	--	2801	9.42	15.71	--	--	-13	639	38	38	Si	3.1

Verifica aperture fessure: Wamm_Freq[mm]=0.400 Wamm_Qp[mm]=0.300

X	M	Act	Aft	pAft	S _{r,max}	σfmed	Wd	Wk	Cb	Ver.	Cs
cm	kg*m	mq	cmq	cm	cm	kg/cmq	mm	mm			
0.0	5342	0.0	9.42	18.85	10.4	1252	0.054	0.054	34(Fr)	Si	7.4
0.0	5180	0.0	9.42	18.85	10.4	1214	0.053	0.053	38(Qp)	Si	5.7
8.1	4929	0.0	9.42	18.85	10.4	1155	0.050	0.050	38(Qp)	Si	6.0
8.1	5085	0.0	9.42	18.85	10.4	1191	0.051	0.051	34(Fr)	Si	7.8
40.7	3952	0.0	9.42	18.85	10.4	926	0.038	0.038	38(Qp)	Si	7.8
40.7	4085	0.0	9.42	18.85	10.4	957	0.040	0.040	34(Fr)	Si	10
73.3	3025	0.0	9.42	18.85	10.4	690	0.027	0.027	38(Qp)	Si	11
73.3	3135	0.0	9.42	18.85	10.4	716	0.028	0.028	34(Fr)	Si	14
81.5	2801	0.0	9.42	18.85	10.4	639	0.024	0.024	38(Qp)	Si	12
81.5	2905	0.0	9.42	18.85	10.4	663	0.025	0.025	34(Fr)	Si	16

Trave di Fond. : 9001 [1 , 805] Pilastrate [12 , -]

Sez. R: By= 40.0 cm Bz=70.0 cm L=95.0 cm Ln=75.0 cm Terreno: Terreno

Criterio : CLS_TraviFondazione_Esist

Combinazione Rara: σca[kg/cmq]=68 σfa[kg/cmq]=2800

X	M+	M-	Afsup	Afinf	σc+	σf+	σc-	σf-	Cb+	Cb-	Ver.	CS
cm	kg*m	kg*m	cmq	cmq	kg/cmq	kg/cmq	kg/cmq	kg/cmq				
0.0	--	644	4.02	8.04	--	--	-3	249	29	24	Si	11
7.5	--	651	4.02	8.04	--	--	-3	252	29	24	Si	11
37.5	--	675	4.02	8.04	--	--	-3	262	29	24	Si	11
67.5	--	771	4.02	8.04	--	--	-4	298	29	24	Si	9.4
75.0	--	780	4.02	8.04	--	--	-4	302	29	24	Si	9.3

Combinazione QP: σca[kg/cmq]=51 σfa[kg/cmq]=2800

X	M+	M-	Afsup	Afinf	σc+	σf+	σc-	σf-	Cb+	Cb-	Ver.	CS
cm	kg*m	kg*m	cmq	cmq	kg/cmq	kg/cmq	kg/cmq	kg/cmq				
0.0	--	586	4.02	8.04	--	--	-3	227	38	38	Si	12
7.5	--	584	4.02	8.04	--	--	-3	226	38	38	Si	12
37.5	--	578	4.02	8.04	--	--	-3	224	38	38	Si	13
67.5	--	642	4.02	8.04	--	--	-3	249	38	38	Si	11
75.0	--	646	4.02	8.04	--	--	-3	250	38	38	Si	11

Verifica aperture fessure: Wamm_Freq[mm]=0.400 Wamm_Qp[mm]=0.300

X	M	Act	Aft	pAft	S _{r,max}	σfmed	Wd	Wk	Cb	Ver.	Cs
cm	kg*m	mq	cmq	cm	cm	kg/cmq	mm	mm			
0.0	594	0.0	4.02	10.05	30.5	230	0.020	0.020	33(Fr)	Si	20
0.0	586	0.0	4.02	10.05	30.5	227	0.020	0.020	38(Qp)	Si	15
7.5	584	0.0	4.02	10.05	30.5	226	0.020	0.020	38(Qp)	Si	15
7.5	593	0.0	4.02	10.05	30.5	230	0.020	0.020	33(Fr)	Si	20
37.5	578	0.0	4.02	10.05	30.5	224	0.020	0.020	38(Qp)	Si	15
37.5	590	0.0	4.02	10.05	30.5	229	0.020	0.020	33(Fr)	Si	20
67.5	642	0.0	4.02	10.05	30.5	249	0.022	0.022	38(Qp)	Si	14
67.5	659	0.0	4.02	10.05	30.5	255	0.022	0.022	33(Fr)	Si	18
75.0	646	0.0	4.02	10.05	30.5	250	0.022	0.022	38(Qp)	Si	14
75.0	663	0.0	4.02	10.05	30.5	257	0.022	0.022	33(Fr)	Si	18

Trave di Fond. : 9001 [3 , 814] Pilastrate [14 , -]

Sez. R: By= 40.0 cm Bz=70.0 cm L=130.0 cm Ln=110.0 cm Terreno: Terreno

Criterio : CLS_TraviFondazione_Esist

Combinazione Rara: σca[kg/cmq]=68 σfa[kg/cmq]=2800

X	M+	M-	Afsup	Afinf	σc+	σf+	σc-	σf-	Cb+	Cb-	Ver.	CS
cm	kg*m	kg*m	cmq	cmq	kg/cmq	kg/cmq	kg/cmq	kg/cmq				
0.0	1443	--	4.02	8.04	-6	287	--	--	24	29	Si	9.7
11.0	1254	--	4.02	8.04	-5	250	--	--	24	29	Si	11
55.0	851	--	4.02	8.04	-4	169	--	--	24	29	Si	17
99.0	627	--	4.02	8.04	-3	125	--	--	24	29	Si	22

X	M+	M-	Afsup	Afinf	σ_c+	σ_f+	σ_c-	σ_f-	Cb+	Cb-	Ver.	CS
110.0	615	--	4.02	8.04	-3	122	--	--	24	29	Si	23

Combinazione QP: $\sigma_{ca}[\text{kg/cm}^2]=51$ $\sigma_{fa}[\text{kg/cm}^2]=2800$

X	M+	M-	Afsup	Afinf	σ_c+	σ_f+	σ_c-	σ_f-	Cb+	Cb-	Ver.	CS
cm	kg*m	kg*m	cmq	cmq	kg/cmq	kg/cmq	kg/cmq	kg/cmq				
0.0	1231	--	4.02	8.04	-5	245	--	--	38	38	Si	9.8
11.0	1066	--	4.02	8.04	-5	212	--	--	38	38	Si	11
55.0	703	--	4.02	8.04	-3	140	--	--	38	38	Si	17
99.0	491	--	4.02	8.04	-2	98	--	--	38	38	Si	24
110.0	478	--	4.02	8.04	-2	95	--	--	38	38	Si	25

Verifica aperture fessure: Wamm_Freq[mm]=0.400 Wamm_Qp[mm]=0.300

X	M	Act	Aft	pAft	$S_{r,max}$	σ_{fmed}	Wd	Wk	Cb	Ver.	Cs
cm	kg*m	mq	cmq	cm	cm	kg/cmq	mm	mm			
0.0	-1250	0.0	8.04	20.11	22.1	249	0.016	0.016	33(Fr)	Si	26
0.0	-1231	0.0	8.04	20.11	22.1	245	0.015	0.015	38(Qp)	Si	19
11.0	-1066	0.0	8.04	20.11	22.1	212	0.013	0.013	38(Qp)	Si	22
11.0	-1083	0.0	8.04	20.11	22.1	216	0.014	0.014	33(Fr)	Si	29
55.0	-703	0.0	8.04	20.11	22.1	140	0.009	0.009	38(Qp)	Si	34
55.0	-717	0.0	8.04	20.11	22.1	143	0.009	0.009	33(Fr)	Si	44
99.0	-491	0.0	8.04	20.11	22.1	98	0.006	0.006	38(Qp)	Si	49
99.0	-503	0.0	8.04	20.11	22.1	100	0.006	0.006	33(Fr)	Si	63
110.0	-478	0.0	8.04	20.11	22.1	95	0.006	0.006	38(Qp)	Si	50
110.0	-490	0.0	8.04	20.11	22.1	98	0.006	0.006	33(Fr)	Si	65

Trave di Fond. : 9001 [805 , 807] Pilastrate [- , -]

Sez. R: By= 40.0 cm Bz=70.0 cm L=400.0 cm Ln=400.0 cm Terreno: **Terreno**

Criterio : CLS_TraviFondazione_Esist

Combinazione Rara: $\sigma_{ca}[\text{kg/cm}^2]=68$ $\sigma_{fa}[\text{kg/cm}^2]=2800$

X	M+	M-	Afsup	Afinf	σ_c+	σ_f+	σ_c-	σ_f-	Cb+	Cb-	Ver.	CS
cm	kg*m	kg*m	cmq	cmq	kg/cmq	kg/cmq	kg/cmq	kg/cmq				
0.0	--	204	4.02	8.04	--	--	-1	79	29	24	Si	35
40.0	--	1331	4.02	8.04	--	--	-7	516	29	24	Si	5.4
200.0	--	1187	4.02	8.04	--	--	-6	460	28	24	Si	6.1
360.0	212	--	4.02	8.04	-1	42	--	--	24	29	Si	66
400.0	1703	--	4.02	8.04	-7	339	--	--	24	29	Si	8.3

Combinazione QP: $\sigma_{ca}[\text{kg/cm}^2]=51$ $\sigma_{fa}[\text{kg/cm}^2]=2800$

X	M+	M-	Afsup	Afinf	σ_c+	σ_f+	σ_c-	σ_f-	Cb+	Cb-	Ver.	CS
cm	kg*m	kg*m	cmq	cmq	kg/cmq	kg/cmq	kg/cmq	kg/cmq				
0.0	--	125	4.02	8.04	--	--	-1	48	38	38	Si	58
40.0	--	1133	4.02	8.04	--	--	-6	439	38	38	Si	6.4
200.0	--	1047	4.02	8.04	--	--	-5	406	38	38	Si	6.9
360.0	124	--	4.02	8.04	-1	25	--	--	38	38	Si	97
400.0	1427	--	4.02	8.04	-6	284	--	--	38	38	Si	8.4

Verifica aperture fessure: Wamm_Freq[mm]=0.400 Wamm_Qp[mm]=0.300

X	M	Act	Aft	pAft	$S_{r,max}$	σ_{fmed}	Wd	Wk	Cb	Ver.	Cs
cm	kg*m	mq	cmq	cm	cm	kg/cmq	mm	mm			
0.0	138	0.0	4.02	10.05	30.5	53	0.005	0.005	33(Fr)	Si	86
0.0	125	0.0	4.02	10.05	30.5	48	0.004	0.004	38(Qp)	Si	71
40.0	1133	0.0	4.02	10.05	30.5	439	0.038	0.038	38(Qp)	Si	7.8
40.0	1157	0.0	4.02	10.05	30.5	448	0.039	0.039	33(Fr)	Si	10
200.0	1047	0.0	4.02	10.05	30.5	406	0.035	0.035	38(Qp)	Si	8.5
200.0	1063	0.0	4.02	10.05	30.5	412	0.036	0.036	33(Fr)	Si	11
360.0	-124	0.0	8.04	20.11	22.1	25	0.002	0.002	38(Qp)	Si	>100
360.0	-135	0.0	8.04	20.11	22.1	27	0.002	0.002	33(Fr)	Si	>100
400.0	-1427	0.0	8.04	20.11	22.1	284	0.018	0.018	38(Qp)	Si	17

X	M	Act	Aft	pAft	S _{r,max}	σfmed	Wd	Wk	Cb	Ver.	Cs
400.0	-1458	0.0	8.04	20.11	22.1	290	0.018	0.018	33(Fr)	Si	22

Trave di Fond. : 9001 [807 , 3] Pilastrate [- , 14]

Sez. R: By= 40.0 cm Bz=70.0 cm L=95.0 cm Ln=115.0 cm Terreno: **Terreno**

Criterio : CLS_TraviFondazione_Esist

Combinazione Rara: σca[kg/cm²]=68 σfa[kg/cm²]=2800

X	M+	M-	Afsup	Afinf	σc+	σf+	σc-	σf-	Cb+	Cb-	Ver.	CS
cm	kg*m	kg*m	cmq	cmq	kg/cm ²	kg/cm ²	kg/cm ²	kg/cm ²				
0.0	860	--	4.02	8.04	-4	171	--	--	24	29	Si	16
11.5	912	--	4.02	8.04	-4	182	--	--	24	29	Si	15
57.5	1053	--	4.02	8.04	-4	210	--	--	24	29	Si	13
103.5	1282	--	4.02	8.04	-5	255	--	--	24	29	Si	11
115.0	1501	--	4.02	8.04	-6	299	--	--	24	29	Si	9.4

Combinazione QP: σca[kg/cm²]=51 σfa[kg/cm²]=2800

X	M+	M-	Afsup	Afinf	σc+	σf+	σc-	σf-	Cb+	Cb-	Ver.	CS
cm	kg*m	kg*m	cmq	cmq	kg/cm ²	kg/cm ²	kg/cm ²	kg/cm ²				
0.0	697	--	4.02	8.04	-3	139	--	--	38	38	Si	17
11.5	745	--	4.02	8.04	-3	148	--	--	38	38	Si	16
57.5	882	--	4.02	8.04	-4	176	--	--	38	38	Si	14
103.5	1096	--	4.02	8.04	-5	218	--	--	38	38	Si	11
115.0	1293	--	4.02	8.04	-5	257	--	--	38	38	Si	9.3

Verifica aperture fessure: Wamm_Freq[mm]=0.400 Wamm_Qp[mm]=0.300

X	M	Act	Aft	pAft	S _{r,max}	σfmed	Wd	Wk	Cb	Ver.	Cs
cm	kg*m	mq	cmq	cm	cm	kg/cm ²	mm	mm			
0.0	-716	0.0	8.04	20.11	22.1	143	0.009	0.009	33(Fr)	Si	45
0.0	-697	0.0	8.04	20.11	22.1	139	0.009	0.009	38(Qp)	Si	34
11.5	-745	0.0	8.04	20.11	22.1	148	0.009	0.009	38(Qp)	Si	32
11.5	-764	0.0	8.04	20.11	22.1	152	0.010	0.010	33(Fr)	Si	42
57.5	-882	0.0	8.04	20.11	22.1	176	0.011	0.011	38(Qp)	Si	27
57.5	-900	0.0	8.04	20.11	22.1	179	0.011	0.011	33(Fr)	Si	35
103.5	-1096	0.0	8.04	20.11	22.1	218	0.014	0.014	38(Qp)	Si	22
103.5	-1113	0.0	8.04	20.11	22.1	222	0.014	0.014	33(Fr)	Si	29
115.0	-1293	0.0	8.04	20.11	22.1	257	0.016	0.016	38(Qp)	Si	18
115.0	-1311	0.0	8.04	20.11	22.1	261	0.016	0.016	33(Fr)	Si	24

Trave di Fond. : 9001 [814 , 817] Pilastrate [- , -]

Sez. R: By= 40.0 cm Bz=70.0 cm L=400.0 cm Ln=400.0 cm Terreno: **Terreno**

Criterio : CLS_TraviFondazione_Esist

Combinazione Rara: σca[kg/cm²]=68 σfa[kg/cm²]=2800

X	M+	M-	Afsup	Afinf	σc+	σf+	σc-	σf-	Cb+	Cb-	Ver.	CS
cm	kg*m	kg*m	cmq	cmq	kg/cm ²	kg/cm ²	kg/cm ²	kg/cm ²				
0.0	1398	--	4.02	8.04	-6	278	--	--	24	29	Si	10
40.0	81	--	4.02	8.04	-0	16	--	--	24	29	Si	>100
200.0	--	739	4.02	8.04	--	--	-4	286	29	24	Si	9.8
360.0	--	336	4.02	8.04	--	--	-2	130	29	24	Si	21
400.0	886	--	4.02	8.04	-4	176	--	--	24	29	Si	16

Combinazione QP: σca[kg/cm²]=51 σfa[kg/cm²]=2800

X	M+	M-	Afsup	Afinf	σc+	σf+	σc-	σf-	Cb+	Cb-	Ver.	CS
cm	kg*m	kg*m	cmq	cmq	kg/cm ²	kg/cm ²	kg/cm ²	kg/cm ²				
0.0	1160	--	4.02	8.04	-5	231	--	--	38	38	Si	10
40.0	1	--	4.02	8.04	-0	0	--	--	38	38	Si	>100
200.0	--	661	4.02	8.04	--	--	-3	256	38	38	Si	11
360.0	--	244	4.02	8.04	--	--	-1	95	38	38	Si	30
400.0	877	--	4.02	8.04	-4	175	--	--	38	38	Si	14

Verifica aperture fessure: Wamm_Freq[mm]=0.400 Wamm_Qp[mm]=0.300

X	M	Act	Aft	pAft	S _{r,max}	σ _{fmed}	Wd	Wk	Cb	Ver.	Cs
cm	kg*m	mq	cmq	cm	cm	kg/cmq	mm	mm			
0.0	-1182	0.0	8.04	20.11	22.1	235	0.015	0.015	33(Fr)	Si	27
0.0	-1160	0.0	8.04	20.11	22.1	231	0.015	0.015	38(Qp)	Si	21
40.0	-1	0.0	8.04	20.11	22.1	0	0.000	0.000	38(Qp)	Si	>100
40.0	-7	0.0	8.04	20.11	22.1	1	0.000	0.000	33(Fr)	Si	>100
200.0	661	0.0	4.02	10.05	30.5	256	0.022	0.022	38(Qp)	Si	13
200.0	669	0.0	4.02	10.05	30.5	259	0.023	0.023	33(Fr)	Si	18
360.0	244	0.0	4.02	10.05	30.5	95	0.008	0.008	38(Qp)	Si	36
360.0	253	0.0	4.02	10.05	30.5	98	0.009	0.009	33(Fr)	Si	47
400.0	-877	0.0	8.04	20.11	22.1	175	0.011	0.011	38(Qp)	Si	27
400.0	-879	0.0	8.04	20.11	22.1	175	0.011	0.011	33(Fr)	Si	36

Trave di Fond. : 9001 [817 , 15] Pilastrate [- , 15]

Sez. R: By= 40.0 cm Bz=70.0 cm L=130.0 cm Ln=150.0 cm Terreno: **Terreno**

Criterio : CLS_TraviFondazione_Esist

Combinazione Rara: σ_{ca}[kg/cmq]=68 σ_{fa}[kg/cmq]=2800

X	M+	M-	Afsup	Afinf	σ _{c+}	σ _{f+}	σ _{c-}	σ _{f-}	Cb+	Cb-	Ver.	CS
cm	kg*m	kg*m	cmq	cmq	kg/cmq	kg/cmq	kg/cmq	kg/cmq				
0.0	339	--	4.02	8.04	-1	68	--	--	29	24	Si	41
15.0	370	--	4.02	8.04	-2	74	--	--	29	24	Si	38
75.0	531	--	4.02	8.04	-2	106	--	--	24	29	Si	26
135.0	724	--	4.02	8.04	-3	144	--	--	24	29	Si	19
150.0	1005	--	4.02	8.04	-4	200	--	--	24	29	Si	14

Combinazione QP: σ_{ca}[kg/cmq]=51 σ_{fa}[kg/cmq]=2800

X	M+	M-	Afsup	Afinf	σ _{c+}	σ _{f+}	σ _{c-}	σ _{f-}	Cb+	Cb-	Ver.	CS
cm	kg*m	kg*m	cmq	cmq	kg/cmq	kg/cmq	kg/cmq	kg/cmq				
0.0	348	--	4.02	8.04	-1	69	--	--	38	38	Si	34
15.0	376	--	4.02	8.04	-2	75	--	--	38	38	Si	32
75.0	509	--	4.02	8.04	-2	101	--	--	38	38	Si	24
135.0	655	--	4.02	8.04	-3	130	--	--	38	38	Si	18
150.0	906	--	4.02	8.04	-4	180	--	--	38	38	Si	13

Verifica aperture fessure: Wamm_Freq[mm]=0.400 Wamm_Qp[mm]=0.300

X	M	Act	Aft	pAft	S _{r,max}	σ _{fmed}	Wd	Wk	Cb	Ver.	Cs
cm	kg*m	mq	cmq	cm	cm	kg/cmq	mm	mm			
0.0	-348	0.0	8.04	20.11	22.1	69	0.004	0.004	35(Fr)	Si	92
0.0	-348	0.0	8.04	20.11	22.1	69	0.004	0.004	38(Qp)	Si	69
15.0	-376	0.0	8.04	20.11	22.1	75	0.005	0.005	38(Qp)	Si	64
15.0	-376	0.0	8.04	20.11	22.1	75	0.005	0.005	35(Fr)	Si	85
75.0	-509	0.0	8.04	20.11	22.1	101	0.006	0.006	38(Qp)	Si	47
75.0	-511	0.0	8.04	20.11	22.1	102	0.006	0.006	33(Fr)	Si	62
135.0	-655	0.0	8.04	20.11	22.1	130	0.008	0.008	38(Qp)	Si	36
135.0	-660	0.0	8.04	20.11	22.1	131	0.008	0.008	34(Fr)	Si	48
150.0	-906	0.0	8.04	20.11	22.1	180	0.011	0.011	38(Qp)	Si	26
150.0	-913	0.0	8.04	20.11	22.1	182	0.011	0.011	33(Fr)	Si	35

Trave di Fond. : 9002 [9 , 850] Pilastrate [9 , -]

Sez. R: By= 40.0 cm Bz=70.0 cm L=125.0 cm Ln=75.0 cm Terreno: **Terreno**

Criterio : CLS_TraviFondazione_Esist

Combinazione Rara: σ_{ca}[kg/cmq]=68 σ_{fa}[kg/cmq]=2800

X	M+	M-	Afsup	Afinf	σ _{c+}	σ _{f+}	σ _{c-}	σ _{f-}	Cb+	Cb-	Ver.	CS
cm	kg*m	kg*m	cmq	cmq	kg/cmq	kg/cmq	kg/cmq	kg/cmq				
0.0	1413	--	4.02	8.04	-6	281	--	--	24	29	Si	10.0
7.5	1566	--	4.02	8.04	-7	312	--	--	24	29	Si	9.0
37.5	2943	--	4.02	8.04	-12	586	--	--	24	29	Si	4.8
67.5	3123	--	4.02	8.04	-13	622	--	--	24	29	Si	4.5

X	M+	M-	Afsup	Afinf	σ_c+	σ_f+	σ_c-	σ_f-	Cb+	Cb-	Ver.	CS
75.0	3079	--	4.02	8.04	-13	613	--	--	24	29	Si	4.6

Combinazione QP: $\sigma_{ca}[\text{kg/cm}^2]=51$ $\sigma_{fa}[\text{kg/cm}^2]=2800$

X	M+	M-	Afsup	Afinf	σ_c+	σ_f+	σ_c-	σ_f-	Cb+	Cb-	Ver.	CS
cm	kg*m	kg*m	cmq	cmq	kg/cmq	kg/cmq	kg/cmq	kg/cmq				
0.0	1300	--	4.02	8.04	-6	259	--	--	38	38	Si	9.2
7.5	1433	--	4.02	8.04	-6	285	--	--	38	38	Si	8.4
37.5	2695	--	4.02	8.04	-11	537	--	--	38	38	Si	4.5
67.5	2881	--	4.02	8.04	-12	574	--	--	38	38	Si	4.2
75.0	2846	--	4.02	8.04	-12	567	--	--	38	38	Si	4.2

Verifica aperture fessure: Wamm_Freq[mm]=0.400 Wamm_Qp[mm]=0.300

X	M	Act	Aft	pAft	$S_{r,max}$	σ_{fmed}	Wd	Wk	Cb	Ver.	Cs
cm	kg*m	mq	cmq	cm	cm	kg/cmq	mm	mm			
0.0	-1310	0.0	8.04	20.11	22.1	261	0.016	0.016	34(Fr)	Si	24
0.0	-1300	0.0	8.04	20.11	22.1	259	0.016	0.016	38(Qp)	Si	18
7.5	-1433	0.0	8.04	20.11	22.1	285	0.018	0.018	38(Qp)	Si	17
7.5	-1443	0.0	8.04	20.11	22.1	287	0.018	0.018	34(Fr)	Si	22
37.5	-2695	0.0	8.04	20.11	22.1	537	0.034	0.034	38(Qp)	Si	8.9
37.5	-2713	0.0	8.04	20.11	22.1	540	0.034	0.034	34(Fr)	Si	12
67.5	-2881	0.0	8.04	20.11	22.1	574	0.036	0.036	38(Qp)	Si	8.3
67.5	-2900	0.0	8.04	20.11	22.1	577	0.036	0.036	34(Fr)	Si	11
75.0	-2846	0.0	8.04	20.11	22.1	567	0.036	0.036	38(Qp)	Si	8.4
75.0	-2865	0.0	8.04	20.11	22.1	570	0.036	0.036	34(Fr)	Si	11

Trave di Fond. : 9002 [7 , 856] Pilastrate [7 , -]

Sez. R: $B_y = 40.0 \text{ cm}$ $B_z = 70.0 \text{ cm}$ $L = 130.0 \text{ cm}$ $L_n = 110.0 \text{ cm}$ Terreno: **Terreno**

Criterio : CLS_TraviFondazione_Esist

Combinazione Rara: $\sigma_{ca}[\text{kg/cm}^2]=68$ $\sigma_{fa}[\text{kg/cm}^2]=2800$

X	M+	M-	Afsup	Afinf	σ_c+	σ_f+	σ_c-	σ_f-	Cb+	Cb-	Ver.	CS
cm	kg*m	kg*m	cmq	cmq	kg/cmq	kg/cmq	kg/cmq	kg/cmq				
0.0	2023	--	4.02	8.04	-9	403	--	--	24	29	Si	7.0
11.0	2109	--	4.02	8.04	-9	420	--	--	24	29	Si	6.7
55.0	3759	--	4.02	8.04	-16	748	--	--	24	29	Si	3.7
99.0	5503	--	4.02	8.04	-23	1096	--	--	24	29	Si	2.6
110.0	5644	--	4.02	8.04	-24	1124	--	--	24	29	Si	2.5

Combinazione QP: $\sigma_{ca}[\text{kg/cm}^2]=51$ $\sigma_{fa}[\text{kg/cm}^2]=2800$

X	M+	M-	Afsup	Afinf	σ_c+	σ_f+	σ_c-	σ_f-	Cb+	Cb-	Ver.	CS
cm	kg*m	kg*m	cmq	cmq	kg/cmq	kg/cmq	kg/cmq	kg/cmq				
0.0	1772	--	4.02	8.04	-8	353	--	--	38	38	Si	6.8
11.0	1842	--	4.02	8.04	-8	367	--	--	38	38	Si	6.5
55.0	3263	--	4.02	8.04	-14	650	--	--	38	38	Si	3.7
99.0	4759	--	4.02	8.04	-20	947	--	--	38	38	Si	2.5
110.0	4876	--	4.02	8.04	-21	971	--	--	38	38	Si	2.5

Verifica aperture fessure: Wamm_Freq[mm]=0.400 Wamm_Qp[mm]=0.300

X	M	Act	Aft	pAft	$S_{r,max}$	σ_{fmed}	Wd	Wk	Cb	Ver.	Cs
cm	kg*m	mq	cmq	cm	cm	kg/cmq	mm	mm			
0.0	-1797	0.0	8.04	20.11	22.1	358	0.023	0.023	33(Fr)	Si	18
0.0	-1772	0.0	8.04	20.11	22.1	353	0.022	0.022	38(Qp)	Si	13
11.0	-1842	0.0	8.04	20.11	22.1	367	0.023	0.023	38(Qp)	Si	13
11.0	-1868	0.0	8.04	20.11	22.1	372	0.023	0.023	33(Fr)	Si	17
55.0	-3263	0.0	8.04	20.11	22.1	650	0.041	0.041	38(Qp)	Si	7.3
55.0	-3310	0.0	8.04	20.11	22.1	659	0.042	0.042	33(Fr)	Si	9.6
99.0	-4759	0.0	8.04	20.11	22.1	947	0.066	0.066	38(Qp)	Si	4.5
99.0	-4829	0.0	8.04	20.11	22.1	961	0.068	0.068	33(Fr)	Si	5.9
110.0	-4876	0.0	8.04	20.11	22.1	971	0.069	0.069	38(Qp)	Si	4.4

X	M	Act	Aft	pAft	S _{r,max}	σ _{fmed}	Wd	Wk	Cb	Ver.	Cs
110.0	-4948	0.0	8.04	20.11	22.1	985	0.070	0.070	33(Fr)	Si	5.7

Trave di Fond. : 9002 [17 , 869] Pilastrate [17 , -]

Sez. R: By= 40.0 cm Bz=70.0 cm L=155.0 cm Ln=135.0 cm Terreno: **Terreno**

Criterio : CLS_TraviFondazione_Esist

Combinazione Rara: σ_{ca}[kg/cm²]=68 σ_{fa}[kg/cm²]=2800

X	M+	M-	Afsup	Afinf	σ _{c+}	σ _{f+}	σ _{c-}	σ _{f-}	Cb+	Cb-	Ver.	CS
cm	kg*m	kg*m	cmq	cmq	kg/cm ²	kg/cm ²	kg/cm ²	kg/cm ²				
0.0	1084	--	4.02	8.04	-5	216	--	--	24	29	Si	13
13.5	1158	--	4.02	8.04	-5	231	--	--	24	29	Si	12
67.5	2574	--	4.02	8.04	-11	513	--	--	24	29	Si	5.5
121.5	4498	--	4.02	8.04	-19	896	--	--	24	29	Si	3.1
135.0	4702	--	4.02	8.04	-20	936	--	--	24	29	Si	3.0

Combinazione QP: σ_{ca}[kg/cm²]=51 σ_{fa}[kg/cm²]=2800

X	M+	M-	Afsup	Afinf	σ _{c+}	σ _{f+}	σ _{c-}	σ _{f-}	Cb+	Cb-	Ver.	CS
cm	kg*m	kg*m	cmq	cmq	kg/cm ²	kg/cm ²	kg/cm ²	kg/cm ²				
0.0	978	--	4.02	8.04	-4	195	--	--	38	38	Si	12
13.5	1041	--	4.02	8.04	-4	207	--	--	38	38	Si	12
67.5	2299	--	4.02	8.04	-10	458	--	--	38	38	Si	5.2
121.5	4011	--	4.02	8.04	-17	799	--	--	38	38	Si	3.0
135.0	4192	--	4.02	8.04	-18	835	--	--	38	38	Si	2.9

Verifica aperture fessure: W_{amm_Freq}[mm]=0.400 W_{amm_Qp}[mm]=0.300

X	M	Act	Aft	pAft	S _{r,max}	σ _{fmed}	Wd	Wk	Cb	Ver.	Cs
cm	kg*m	mq	cmq	cm	cm	kg/cm ²	mm	mm			
0.0	-989	0.0	8.04	20.11	22.1	197	0.012	0.012	33(Fr)	Si	32
0.0	-978	0.0	8.04	20.11	22.1	195	0.012	0.012	38(Qp)	Si	24
13.5	-1041	0.0	8.04	20.11	22.1	207	0.013	0.013	38(Qp)	Si	23
13.5	-1053	0.0	8.04	20.11	22.1	210	0.013	0.013	33(Fr)	Si	30
67.5	-2299	0.0	8.04	20.11	22.1	458	0.029	0.029	38(Qp)	Si	10
67.5	-2324	0.0	8.04	20.11	22.1	463	0.029	0.029	33(Fr)	Si	14
121.5	-4011	0.0	8.04	20.11	22.1	799	0.051	0.051	38(Qp)	Si	5.9
121.5	-4055	0.0	8.04	20.11	22.1	807	0.052	0.052	33(Fr)	Si	7.7
135.0	-4192	0.0	8.04	20.11	22.1	835	0.055	0.055	38(Qp)	Si	5.5
135.0	-4238	0.0	8.04	20.11	22.1	844	0.056	0.056	33(Fr)	Si	7.2

Trave di Fond. : 9002 [25 , 900] Pilastrate [25 , -]

Sez. R: By= 40.0 cm Bz=70.0 cm L=155.0 cm Ln=155.0 cm Terreno: **Terreno**

Criterio : CLS_TraviFondazione_Esist

Combinazione Rara: σ_{ca}[kg/cm²]=68 σ_{fa}[kg/cm²]=2800

X	M+	M-	Afsup	Afinf	σ _{c+}	σ _{f+}	σ _{c-}	σ _{f-}	Cb+	Cb-	Ver.	CS
cm	kg*m	kg*m	cmq	cmq	kg/cm ²	kg/cm ²	kg/cm ²	kg/cm ²				
0.0	1473	--	4.02	8.04	-6	293	--	--	24	29	Si	9.5
15.5	1390	--	4.02	8.04	-6	277	--	--	24	29	Si	10
77.5	2904	--	4.02	8.04	-12	578	--	--	24	27	Si	4.8
139.5	6111	--	4.02	8.04	-26	1217	--	--	24	27	Si	2.3
155.0	6557	--	4.02	8.04	-28	1305	--	--	24	27	Si	2.1

Combinazione QP: σ_{ca}[kg/cm²]=51 σ_{fa}[kg/cm²]=2800

X	M+	M-	Afsup	Afinf	σ _{c+}	σ _{f+}	σ _{c-}	σ _{f-}	Cb+	Cb-	Ver.	CS
cm	kg*m	kg*m	cmq	cmq	kg/cm ²	kg/cm ²	kg/cm ²	kg/cm ²				
0.0	1328	--	4.02	8.04	-6	264	--	--	38	38	Si	9.0
15.5	1251	--	4.02	8.04	-5	249	--	--	38	38	Si	9.6
77.5	2603	--	4.02	8.04	-11	518	--	--	38	38	Si	4.6
139.5	5474	--	4.02	8.04	-23	1090	--	--	38	38	Si	2.2
155.0	5873	--	4.02	8.04	-25	1169	--	--	38	38	Si	2.0

Verifica aperture fessure: Wamm_Freq[mm]=0.400 Wamm_Qp[mm]=0.300

X	M	Act	Aft	pAft	S _{r,max}	σ _{fmed}	Wd	Wk	Cb	Ver.	Cs
cm	kg*m	mq	cmq	cm	cm	kg/cmq	mm	mm			
0.0	-1341	0.0	8.04	20.11	22.1	267	0.017	0.017	33(Fr)	Si	24
0.0	-1328	0.0	8.04	20.11	22.1	264	0.017	0.017	38(Qp)	Si	18
15.5	-1251	0.0	8.04	20.11	22.1	249	0.016	0.016	38(Qp)	Si	19
15.5	-1263	0.0	8.04	20.11	22.1	252	0.016	0.016	33(Fr)	Si	25
77.5	-2603	0.0	8.04	20.11	22.1	518	0.033	0.033	38(Qp)	Si	9.2
77.5	-2629	0.0	8.04	20.11	22.1	523	0.033	0.033	33(Fr)	Si	12
139.5	-5474	0.0	8.04	20.11	22.1	1090	0.081	0.081	38(Qp)	Si	3.7
139.5	-5528	0.0	8.04	20.11	22.1	1101	0.083	0.083	33(Fr)	Si	4.8
155.0	-5873	0.0	8.04	20.11	22.1	1169	0.090	0.090	38(Qp)	Si	3.3
155.0	-5930	0.0	8.04	20.11	22.1	1181	0.091	0.091	33(Fr)	Si	4.4

Trave di Fond. : 9002 [850 , 853] Pilastrate [- , -]

Sez. R: By= 40.0 cm Bz=70.0 cm L=400.0 cm Ln=400.0 cm Terreno: **Terreno**

Criterio : CLS_TraviFondazione_Esist

Combinazione Rara: σ_{ca}[kg/cmq]=68 σ_{fa}[kg/cmq]=2800

X	M+	M-	Afsup	Afinf	σ _{c+}	σ _{f+}	σ _{c-}	σ _{f-}	Cb+	Cb-	Ver.	CS
cm	kg*m	kg*m	cmq	cmq	kg/cmq	kg/cmq	kg/cmq	kg/cmq				
0.0	2784	--	4.02	8.04	-12	554	--	--	24	29	Si	5.1
40.0	--	731	4.02	8.04	--	--	-4	283	29	24	Si	9.9
200.0	--	5968	4.02	8.04	--	--	-30	2312	29	24	Si	1.2
360.0	1969	--	4.02	8.04	-8	392	--	--	24	29	Si	7.1
400.0	6438	--	4.02	8.04	-27	1282	--	--	24	29	Si	2.2

Combinazione QP: σ_{ca}[kg/cmq]=51 σ_{fa}[kg/cmq]=2800

X	M+	M-	Afsup	Afinf	σ _{c+}	σ _{f+}	σ _{c-}	σ _{f-}	Cb+	Cb-	Ver.	CS
cm	kg*m	kg*m	cmq	cmq	kg/cmq	kg/cmq	kg/cmq	kg/cmq				
0.0	2583	--	4.02	8.04	-11	514	--	--	38	38	Si	4.6
40.0	--	564	4.02	8.04	--	--	-3	218	38	38	Si	13
200.0	--	5278	4.02	8.04	--	--	-26	2045	38	38	Si	1.4
360.0	1659	--	4.02	8.04	-7	330	--	--	38	38	Si	7.2
400.0	5574	--	4.02	8.04	-24	1110	--	--	38	38	Si	2.2

Verifica aperture fessure: Wamm_Freq[mm]=0.400 Wamm_Qp[mm]=0.300

X	M	Act	Aft	pAft	S _{r,max}	σ _{fmed}	Wd	Wk	Cb	Ver.	Cs
cm	kg*m	mq	cmq	cm	cm	kg/cmq	mm	mm			
0.0	-2600	0.0	8.04	20.11	22.1	518	0.033	0.033	34(Fr)	Si	12
0.0	-2583	0.0	8.04	20.11	22.1	514	0.032	0.032	38(Qp)	Si	9.3
40.0	564	0.0	4.02	10.05	30.5	218	0.019	0.019	38(Qp)	Si	16
40.0	596	0.0	4.02	10.05	30.5	231	0.020	0.020	33(Fr)	Si	20
200.0	5278	0.0	4.02	10.05	30.5	2045	0.221	0.221	38(Qp)	Si	1.4
200.0	5349	0.0	4.02	10.05	30.5	2072	0.225	0.225	33(Fr)	Si	1.8
360.0	-1659	0.0	8.04	20.11	22.1	330	0.021	0.021	38(Qp)	Si	14
360.0	-1700	0.0	8.04	20.11	22.1	338	0.021	0.021	33(Fr)	Si	19
400.0	-5574	0.0	8.04	20.11	22.1	1110	0.084	0.084	38(Qp)	Si	3.6
400.0	-5674	0.0	8.04	20.11	22.1	1130	0.086	0.086	33(Fr)	Si	4.7

Trave di Fond. : 9002 [853 , 7] Pilastrate [- , 7]

Sez. R: By= 40.0 cm Bz=70.0 cm L=125.0 cm Ln=145.0 cm Terreno: **Terreno**

Criterio : CLS_TraviFondazione_Esist

Combinazione Rara: σ_{ca}[kg/cmq]=68 σ_{fa}[kg/cmq]=2800

X	M+	M-	Afsup	Afinf	σ _{c+}	σ _{f+}	σ _{c-}	σ _{f-}	Cb+	Cb-	Ver.	CS
cm	kg*m	kg*m	cmq	cmq	kg/cmq	kg/cmq	kg/cmq	kg/cmq				
0.0	6737	--	4.02	8.04	-29	1341	--	--	24	29	Si	2.1
14.5	6455	--	4.02	8.04	-27	1285	--	--	24	29	Si	2.2
72.5	3432	--	4.02	8.04	-15	683	--	--	24	29	Si	4.1
130.5	1975	--	4.02	8.04	-8	393	--	--	24	29	Si	7.1

X	M+	M-	Afsup	Afinf	σ_c+	σ_f+	σ_c-	σ_f-	Cb+	Cb-	Ver.	CS
145.0	2009	--	4.02	8.04	-9	400	--	--	24	29	Si	7.0

Combinazione QP: $\sigma_{ca}[\text{kg/cm}^2]=51$ $\sigma_{fa}[\text{kg/cm}^2]=2800$

X	M+	M-	Afsup	Afinf	σ_c+	σ_f+	σ_c-	σ_f-	Cb+	Cb-	Ver.	CS
cm	kg*m	kg*m	cmq	cmq	kg/cmq	kg/cmq	kg/cmq	kg/cmq				
0.0	5836	--	4.02	8.04	-25	1162	--	--	38	38	Si	2.1
14.5	5597	--	4.02	8.04	-24	1114	--	--	38	38	Si	2.1
72.5	2986	--	4.02	8.04	-13	594	--	--	38	38	Si	4.0
130.5	1726	--	4.02	8.04	-7	344	--	--	38	38	Si	7.0
145.0	1758	--	4.02	8.04	-7	350	--	--	38	38	Si	6.8

Verifica aperture fessure: Wamm_Freq[mm]=0.400 Wamm_Qp[mm]=0.300

X	M	Act	Aft	pAft	$S_{r,max}$	σ_{fmed}	Wd	Wk	Cb	Ver.	Cs
cm	kg*m	mq	cmq	cm	cm	kg/cmq	mm	mm			
0.0	-5940	0.0	8.04	20.11	22.1	1183	0.091	0.091	33(Fr)	Si	4.4
0.0	-5836	0.0	8.04	20.11	22.1	1162	0.089	0.089	38(Qp)	Si	3.4
14.5	-5597	0.0	8.04	20.11	22.1	1114	0.084	0.084	38(Qp)	Si	3.6
14.5	-5696	0.0	8.04	20.11	22.1	1134	0.086	0.086	33(Fr)	Si	4.6
72.5	-2986	0.0	8.04	20.11	22.1	594	0.037	0.037	38(Qp)	Si	8.0
72.5	-3036	0.0	8.04	20.11	22.1	604	0.038	0.038	33(Fr)	Si	11
130.5	-1726	0.0	8.04	20.11	22.1	344	0.022	0.022	38(Qp)	Si	14
130.5	-1750	0.0	8.04	20.11	22.1	349	0.022	0.022	33(Fr)	Si	18
145.0	-1758	0.0	8.04	20.11	22.1	350	0.022	0.022	38(Qp)	Si	14
145.0	-1782	0.0	8.04	20.11	22.1	355	0.022	0.022	33(Fr)	Si	18

Trave di Fond. : 9002 [856 , 858] Pilastrate [- , -]

Sez. R: $B_y = 40.0 \text{ cm}$ $B_z = 70.0 \text{ cm}$ $L = 400.0 \text{ cm}$ $L_n = 400.0 \text{ cm}$ Terreno: **Terreno**

Criterio : CLS_TraviFondazione_Esist

Combinazione Rara: $\sigma_{ca}[\text{kg/cm}^2]=68$ $\sigma_{fa}[\text{kg/cm}^2]=2800$

X	M+	M-	Afsup	Afinf	σ_c+	σ_f+	σ_c-	σ_f-	Cb+	Cb-	Ver.	CS
cm	kg*m	kg*m	cmq	cmq	kg/cmq	kg/cmq	kg/cmq	kg/cmq				
0.0	5348	--	4.02	8.04	-23	1065	--	--	24	29	Si	2.6
40.0	1150	--	4.02	8.04	-5	229	--	--	24	29	Si	12
200.0	--	5793	4.02	8.04	--	--	-29	2244	29	24	Si	1.2
360.0	877	--	4.02	8.04	-4	175	--	--	24	27	Si	16
400.0	4891	--	4.02	8.04	-21	974	--	--	24	29	Si	2.9

Combinazione QP: $\sigma_{ca}[\text{kg/cm}^2]=51$ $\sigma_{fa}[\text{kg/cm}^2]=2800$

X	M+	M-	Afsup	Afinf	σ_c+	σ_f+	σ_c-	σ_f-	Cb+	Cb-	Ver.	CS
cm	kg*m	kg*m	cmq	cmq	kg/cmq	kg/cmq	kg/cmq	kg/cmq				
0.0	4617	--	4.02	8.04	-20	919	--	--	38	38	Si	2.6
40.0	941	--	4.02	8.04	-4	187	--	--	38	38	Si	13
200.0	--	5122	4.02	8.04	--	--	-26	1984	38	38	Si	1.4
360.0	849	--	4.02	8.04	-4	169	--	--	38	38	Si	14
400.0	4431	--	4.02	8.04	-19	882	--	--	38	38	Si	2.7

Verifica aperture fessure: Wamm_Freq[mm]=0.400 Wamm_Qp[mm]=0.300

X	M	Act	Aft	pAft	$S_{r,max}$	σ_{fmed}	Wd	Wk	Cb	Ver.	Cs
cm	kg*m	mq	cmq	cm	cm	kg/cmq	mm	mm			
0.0	-4685	0.0	8.04	20.11	22.1	933	0.065	0.065	33(Fr)	Si	6.2
0.0	-4617	0.0	8.04	20.11	22.1	919	0.063	0.063	38(Qp)	Si	4.7
40.0	-941	0.0	8.04	20.11	22.1	187	0.012	0.012	38(Qp)	Si	25
40.0	-958	0.0	8.04	20.11	22.1	191	0.012	0.012	33(Fr)	Si	33
200.0	5122	0.0	4.02	10.05	30.5	1984	0.212	0.212	38(Qp)	Si	1.4
200.0	5189	0.0	4.02	10.05	30.5	2010	0.216	0.216	33(Fr)	Si	1.9
360.0	-849	0.0	8.04	20.11	22.1	169	0.011	0.011	38(Qp)	Si	28
360.0	-855	0.0	8.04	20.11	22.1	170	0.011	0.011	33(Fr)	Si	37
400.0	-4431	0.0	8.04	20.11	22.1	882	0.060	0.060	38(Qp)	Si	5.0

X	M	Act	Aft	pAft	S _{r,max}	σfmed	Wd	Wk	Cb	Ver.	Cs
400.0	-4482	0.0	8.04	20.11	22.1	892	0.061	0.061	33(Fr)	Si	6.6

Trave di Fond. : 9002 [858 , 17] Pilastrate [- , 17]

Sez. R: By= 40.0 cm Bz=70.0 cm L=130.0 cm Ln=150.0 cm Terreno: **Terreno**

Criterio : CLS_TraviFondazione_Esist

Combinazione Rara: σca[kg/cm²]=68 σfa[kg/cm²]=2800

X	M+	M-	Afsup	Afinf	σc+	σf+	σc-	σf-	Cb+	Cb-	Ver.	CS
cm	kg*m	kg*m	cmq	cmq	kg/cm ²	kg/cm ²	kg/cm ²	kg/cm ²				
0.0	5186	--	4.02	8.04	-22	1033	--	--	24	29	Si	2.7
15.0	5010	--	4.02	8.04	-21	997	--	--	24	29	Si	2.8
75.0	2626	--	4.02	8.04	-11	523	--	--	24	29	Si	5.4
135.0	1291	--	4.02	8.04	-5	257	--	--	24	29	Si	11
150.0	1315	--	4.02	8.04	-6	262	--	--	24	29	Si	11

Combinazione QP: σca[kg/cm²]=51 σfa[kg/cm²]=2800

X	M+	M-	Afsup	Afinf	σc+	σf+	σc-	σf-	Cb+	Cb-	Ver.	CS
cm	kg*m	kg*m	cmq	cmq	kg/cm ²	kg/cm ²	kg/cm ²	kg/cm ²				
0.0	4694	--	4.02	8.04	-20	935	--	--	38	38	Si	2.6
15.0	4527	--	4.02	8.04	-19	901	--	--	38	38	Si	2.7
75.0	2364	--	4.02	8.04	-10	471	--	--	38	38	Si	5.1
135.0	1166	--	4.02	8.04	-5	232	--	--	38	38	Si	10
150.0	1187	--	4.02	8.04	-5	236	--	--	38	38	Si	10

Verifica aperture fessure: Wamm_Freq[mm]=0.400 Wamm_Qp[mm]=0.300

X	M	Act	Aft	pAft	S _{r,max}	σfmed	Wd	Wk	Cb	Ver.	Cs
cm	kg*m	mq	cmq	cm	cm	kg/cm ²	mm	mm			
0.0	-4748	0.0	8.04	20.11	22.1	945	0.066	0.066	33(Fr)	Si	6.0
0.0	-4694	0.0	8.04	20.11	22.1	935	0.065	0.065	38(Qp)	Si	4.6
15.0	-4527	0.0	8.04	20.11	22.1	901	0.062	0.062	38(Qp)	Si	4.9
15.0	-4580	0.0	8.04	20.11	22.1	912	0.063	0.063	33(Fr)	Si	6.4
75.0	-2364	0.0	8.04	20.11	22.1	471	0.030	0.030	38(Qp)	Si	10
75.0	-2392	0.0	8.04	20.11	22.1	476	0.030	0.030	33(Fr)	Si	13
135.0	-1166	0.0	8.04	20.11	22.1	232	0.015	0.015	38(Qp)	Si	21
135.0	-1176	0.0	8.04	20.11	22.1	234	0.015	0.015	33(Fr)	Si	27
150.0	-1187	0.0	8.04	20.11	22.1	236	0.015	0.015	38(Qp)	Si	20
150.0	-1197	0.0	8.04	20.11	22.1	238	0.015	0.015	33(Fr)	Si	27

Trave di Fond. : 9002 [869 , 871] Pilastrate [- , -]

Sez. R: By= 40.0 cm Bz=70.0 cm L=400.0 cm Ln=400.0 cm Terreno: **Terreno**

Criterio : CLS_TraviFondazione_Esist

Combinazione Rara: σca[kg/cm²]=68 σfa[kg/cm²]=2800

X	M+	M-	Afsup	Afinf	σc+	σf+	σc-	σf-	Cb+	Cb-	Ver.	CS
cm	kg*m	kg*m	cmq	cmq	kg/cm ²	kg/cm ²	kg/cm ²	kg/cm ²				
0.0	4367	--	4.02	8.04	-19	869	--	--	24	29	Si	3.2
40.0	447	--	4.02	8.04	-2	89	--	--	24	28	Si	31
200.0	--	5909	4.02	8.04	--	--	-30	2289	29	24	Si	1.2
360.0	1622	--	4.02	8.04	-7	323	--	--	24	27	Si	8.7
400.0	6079	--	4.02	14.07	-21	708	--	--	24	27	Si	3.2

Combinazione QP: σca[kg/cm²]=51 σfa[kg/cm²]=2800

X	M+	M-	Afsup	Afinf	σc+	σf+	σc-	σf-	Cb+	Cb-	Ver.	CS
cm	kg*m	kg*m	cmq	cmq	kg/cm ²	kg/cm ²	kg/cm ²	kg/cm ²				
0.0	3893	--	4.02	8.04	-16	775	--	--	38	38	Si	3.1
40.0	389	--	4.02	8.04	-2	78	--	--	38	38	Si	31
200.0	--	5291	4.02	8.04	--	--	-26	2049	38	38	Si	1.4
360.0	1457	--	4.02	8.04	-6	290	--	--	38	38	Si	8.2
400.0	5450	--	4.02	14.07	-19	634	--	--	38	38	Si	2.7

Verifica aperture fessure: Wamm_Freq[mm]=0.400 Wamm_Qp[mm]=0.300

X	M	Act	Aft	pAft	S _{r,max}	σ _{fmed}	Wd	Wk	Cb	Ver.	Cs
cm	kg*m	mq	cmq	cm	cm	kg/cmq	mm	mm			
0.0	-3936	0.0	8.04	20.11	22.1	784	0.049	0.049	33(Fr)	Si	8.1
0.0	-3893	0.0	8.04	20.11	22.1	775	0.049	0.049	38(Qp)	Si	6.1
40.0	-389	0.0	8.04	20.11	22.1	78	0.005	0.005	38(Qp)	Si	61
40.0	-393	0.0	8.04	20.11	22.1	78	0.005	0.005	34(Fr)	Si	81
200.0	5291	0.0	4.02	10.05	30.5	2049	0.221	0.221	38(Qp)	Si	1.4
200.0	5350	0.0	4.02	10.05	30.5	2072	0.225	0.225	33(Fr)	Si	1.8
360.0	-1457	0.0	8.04	20.11	22.1	290	0.018	0.018	38(Qp)	Si	16
360.0	-1476	0.0	8.04	20.11	22.1	294	0.019	0.019	33(Fr)	Si	22
400.0	-5450	0.0	14.07	35.19	18.4	634	0.036	0.036	38(Qp)	Si	8.3
400.0	-5514	0.0	14.07	35.19	18.4	642	0.037	0.037	33(Fr)	Si	11

Trave di Fond. : 9002 [871 , 25] Pilastrate [- , 25]

Sez. R: By= 40.0 cm Bz=70.0 cm L=155.0 cm Ln=155.0 cm Terreno: **Terreno**

Criterio : CLS_TraviFondazione_Esist

Combinazione Rara: σ_{ca}[kg/cmq]=68 σ_{fa}[kg/cmq]=2800

X	M+	M-	Afsup	Afinf	σ _{c+}	σ _{f+}	σ _{c-}	σ _{f-}	Cb+	Cb-	Ver.	CS
cm	kg*m	kg*m	cmq	cmq	kg/cmq	kg/cmq	kg/cmq	kg/cmq				
0.0	6448	--	4.02	8.04	-27	1284	--	--	24	27	Si	2.2
15.5	6014	--	4.02	8.04	-25	1197	--	--	24	27	Si	2.3
77.5	2821	--	4.02	8.04	-12	562	--	--	24	27	Si	5.0
139.5	1390	--	4.02	8.04	-6	277	--	--	24	29	Si	10
155.0	1484	--	4.02	8.04	-6	295	--	--	24	29	Si	9.5

Combinazione QP: σ_{ca}[kg/cmq]=51 σ_{fa}[kg/cmq]=2800

X	M+	M-	Afsup	Afinf	σ _{c+}	σ _{f+}	σ _{c-}	σ _{f-}	Cb+	Cb-	Ver.	CS
cm	kg*m	kg*m	cmq	cmq	kg/cmq	kg/cmq	kg/cmq	kg/cmq				
0.0	5780	--	4.02	8.04	-24	1151	--	--	38	38	Si	2.1
15.5	5391	--	4.02	8.04	-23	1073	--	--	38	38	Si	2.2
77.5	2529	--	4.02	8.04	-11	503	--	--	38	38	Si	4.7
139.5	1252	--	4.02	8.04	-5	249	--	--	38	38	Si	9.6
155.0	1338	--	4.02	8.04	-6	266	--	--	38	38	Si	9.0

Verifica aperture fessure: Wamm_Freq[mm]=0.400 Wamm_Qp[mm]=0.300

X	M	Act	Aft	pAft	S _{r,max}	σ _{fmed}	Wd	Wk	Cb	Ver.	Cs
cm	kg*m	mq	cmq	cm	cm	kg/cmq	mm	mm			
0.0	-5848	0.0	8.04	20.11	22.1	1164	0.089	0.089	33(Fr)	Si	4.5
0.0	-5780	0.0	8.04	20.11	22.1	1151	0.088	0.088	38(Qp)	Si	3.4
15.5	-5391	0.0	8.04	20.11	22.1	1073	0.080	0.080	38(Qp)	Si	3.8
15.5	-5454	0.0	8.04	20.11	22.1	1086	0.081	0.081	33(Fr)	Si	4.9
77.5	-2529	0.0	8.04	20.11	22.1	503	0.032	0.032	38(Qp)	Si	9.5
77.5	-2558	0.0	8.04	20.11	22.1	509	0.032	0.032	33(Fr)	Si	12
139.5	-1252	0.0	8.04	20.11	22.1	249	0.016	0.016	38(Qp)	Si	19
139.5	-1265	0.0	8.04	20.11	22.1	252	0.016	0.016	33(Fr)	Si	25
155.0	-1338	0.0	8.04	20.11	22.1	266	0.017	0.017	38(Qp)	Si	18
155.0	-1351	0.0	8.04	20.11	22.1	269	0.017	0.017	33(Fr)	Si	24

Trave di Fond. : 9002 [900 , 902] Pilastrate [- , -]

Sez. R: By= 40.0 cm Bz=70.0 cm L=403.0 cm Ln=403.0 cm Terreno: **Terreno**

Criterio : CLS_TraviFondazione_Esist

Combinazione Rara: σ_{ca}[kg/cmq]=68 σ_{fa}[kg/cmq]=2800

X	M+	M-	Afsup	Afinf	σ _{c+}	σ _{f+}	σ _{c-}	σ _{f-}	Cb+	Cb-	Ver.	CS
cm	kg*m	kg*m	cmq	cmq	kg/cmq	kg/cmq	kg/cmq	kg/cmq				
0.0	6190	--	4.02	8.04	-26	1232	--	--	24	27	Si	2.3
40.3	1703	--	4.02	8.04	-7	339	--	--	24	27	Si	8.3
201.5	--	5955	4.02	8.04	--	--	-30	2307	29	24	Si	1.2
362.7	39	--	4.02	8.04	-0	8	--	--	27	28	Si	>100

X	M+	M-	Afsup	Afinf	σ_c+	σ_f+	σ_c-	σ_f-	Cb+	Cb-	Ver.	CS
403.0	3793	--	4.02	8.04	-16	755	--	--	24	29	Si	3.7

Combinazione QP: $\sigma_{ca}[\text{kg/cm}^2]=51$ $\sigma_{fa}[\text{kg/cm}^2]=2800$

X	M+	M-	Afsup	Afinf	σ_c+	σ_f+	σ_c-	σ_f-	Cb+	Cb-	Ver.	CS
cm	kg*m	kg*m	cmq	cmq	kg/cmq	kg/cmq	kg/cmq	kg/cmq				
0.0	5543	--	4.02	8.04	-23	1104	--	--	38	38	Si	2.2
40.3	1515	--	4.02	8.04	-6	302	--	--	38	38	Si	7.9
201.5	--	5361	4.02	8.04	--	--	-27	2077	38	38	Si	1.3
362.7	35	--	4.02	8.04	-0	7	--	--	38	38	Si	>100
403.0	3438	--	4.02	8.04	-15	685	--	--	38	38	Si	3.5

Verifica aperture fessure: $W_{amm_Freq}[\text{mm}]=0.400$ $W_{amm_Qp}[\text{mm}]=0.300$

X	M	Act	Aft	pAft	$S_{r,max}$	σ_{fmed}	Wd	Wk	Cb	Ver.	Cs
cm	kg*m	mq	cmq	cm	cm	kg/cmq	mm	mm			
0.0	-5597	0.0	8.04	20.11	22.1	1114	0.084	0.084	33(Fr)	Si	4.8
0.0	-5543	0.0	8.04	20.11	22.1	1104	0.083	0.083	38(Qp)	Si	3.6
40.3	-1515	0.0	8.04	20.11	22.1	302	0.019	0.019	38(Qp)	Si	16
40.3	-1528	0.0	8.04	20.11	22.1	304	0.019	0.019	33(Fr)	Si	21
201.5	5361	0.0	4.02	10.05	30.5	2077	0.225	0.225	38(Qp)	Si	1.3
201.5	5416	0.0	4.02	10.05	30.5	2098	0.228	0.228	33(Fr)	Si	1.8
362.7	-35	0.0	8.04	20.11	22.1	7	0.000	0.000	38(Qp)	Si	>100
362.7	-35	0.0	8.04	20.11	22.1	7	0.000	0.000	35(Fr)	Si	>100
403.0	-3438	0.0	8.04	20.11	22.1	685	0.043	0.043	38(Qp)	Si	7.0
403.0	-3472	0.0	8.04	20.11	22.1	691	0.044	0.044	33(Fr)	Si	9.2

Trave di Fond. : 9002 [902 , 2] Pilastrate [- , 2]

Sez. R: $B_y = 40.0 \text{ cm}$ $B_z = 70.0 \text{ cm}$ $L = 155.0 \text{ cm}$ $L_n = 135.0 \text{ cm}$ Terreno: **Terreno**

Criterio : **CLS_TraviFondazione_Esist**

Combinazione Rara: $\sigma_{ca}[\text{kg/cm}^2]=68$ $\sigma_{fa}[\text{kg/cm}^2]=2800$

X	M+	M-	Afsup	Afinf	σ_c+	σ_f+	σ_c-	σ_f-	Cb+	Cb-	Ver.	CS
cm	kg*m	kg*m	cmq	cmq	kg/cmq	kg/cmq	kg/cmq	kg/cmq				
0.0	4159	--	4.02	8.04	-18	828	--	--	24	29	Si	3.4
13.5	4007	--	4.02	8.04	-17	798	--	--	24	29	Si	3.5
67.5	2358	--	4.02	8.04	-10	469	--	--	24	29	Si	6.0
121.5	259	--	4.02	8.04	-1	52	--	--	24	29	Si	54
135.0	--	134	4.02	8.04	--	--	-1	52	27	28	Si	54

Combinazione QP: $\sigma_{ca}[\text{kg/cm}^2]=51$ $\sigma_{fa}[\text{kg/cm}^2]=2800$

X	M+	M-	Afsup	Afinf	σ_c+	σ_f+	σ_c-	σ_f-	Cb+	Cb-	Ver.	CS
cm	kg*m	kg*m	cmq	cmq	kg/cmq	kg/cmq	kg/cmq	kg/cmq				
0.0	3768	--	4.02	8.04	-16	750	--	--	38	38	Si	3.2
13.5	3629	--	4.02	8.04	-15	722	--	--	38	38	Si	3.3
67.5	2133	--	4.02	8.04	-9	425	--	--	38	38	Si	5.6
121.5	230	--	4.02	8.04	-1	46	--	--	38	38	Si	52
135.0	--	127	4.02	8.04	--	--	-1	49	38	38	Si	57

Verifica aperture fessure: $W_{amm_Freq}[\text{mm}]=0.400$ $W_{amm_Qp}[\text{mm}]=0.300$

X	M	Act	Aft	pAft	$S_{r,max}$	σ_{fmed}	Wd	Wk	Cb	Ver.	Cs
cm	kg*m	mq	cmq	cm	cm	kg/cmq	mm	mm			
0.0	-3806	0.0	8.04	20.11	22.1	758	0.048	0.048	33(Fr)	Si	8.4
0.0	-3768	0.0	8.04	20.11	22.1	750	0.047	0.047	38(Qp)	Si	6.3
13.5	-3629	0.0	8.04	20.11	22.1	722	0.046	0.046	38(Qp)	Si	6.6
13.5	-3665	0.0	8.04	20.11	22.1	730	0.046	0.046	33(Fr)	Si	8.7
67.5	-2133	0.0	8.04	20.11	22.1	425	0.027	0.027	38(Qp)	Si	11
67.5	-2154	0.0	8.04	20.11	22.1	429	0.027	0.027	33(Fr)	Si	15
121.5	-230	0.0	8.04	20.11	22.1	46	0.003	0.003	38(Qp)	Si	>100
121.5	-232	0.0	8.04	20.11	22.1	46	0.003	0.003	34(Fr)	Si	>100
135.0	127	0.0	4.02	10.05	30.5	49	0.004	0.004	38(Qp)	Si	70

X	M	Act	Aft	pAft	S _{r,max}	σ _{fmed}	Wd	Wk	Cb	Ver.	Cs
135.0	130	0.0	4.02	10.05	30.5	50	0.004	0.004	33(Fr)	Si	91

Trave di Fond. : 9003 [4 , 888] Pilastrate [4 , -]

Sez. R: By= 40.0 cm Bz=70.0 cm L=130.0 cm Ln=110.0 cm Terreno: **Terreno**

Criterio : CLS_TraviFondazione_Esist

Combinazione Rara: σ_{ca}[kg/cm²]=68 σ_{fa}[kg/cm²]=2800

X	M+	M-	Afsup	Afinf	σ _{c+}	σ _{f+}	σ _{c-}	σ _{f-}	Cb+	Cb-	Ver.	CS
cm	kg*m	kg*m	cmq	cmq	kg/cm ²	kg/cm ²	kg/cm ²	kg/cm ²				
0.0	2552	--	4.02	8.04	-11	508	--	--	24	29	Si	5.5
11.0	2132	--	4.02	8.04	-9	425	--	--	24	29	Si	6.6
55.0	1136	--	4.02	8.04	-5	226	--	--	24	29	Si	12
99.0	683	--	4.02	8.04	-3	136	--	--	24	29	Si	21
110.0	644	--	4.02	8.04	-3	128	--	--	24	29	Si	22

Combinazione QP: σ_{ca}[kg/cm²]=51 σ_{fa}[kg/cm²]=2800

X	M+	M-	Afsup	Afinf	σ _{c+}	σ _{f+}	σ _{c-}	σ _{f-}	Cb+	Cb-	Ver.	CS
cm	kg*m	kg*m	cmq	cmq	kg/cm ²	kg/cm ²	kg/cm ²	kg/cm ²				
0.0	2245	--	4.02	8.04	-10	447	--	--	38	38	Si	5.3
11.0	1876	--	4.02	8.04	-8	373	--	--	38	38	Si	6.4
55.0	1000	--	4.02	8.04	-4	199	--	--	38	38	Si	12
99.0	605	--	4.02	8.04	-3	120	--	--	38	38	Si	20
110.0	571	--	4.02	8.04	-2	114	--	--	38	38	Si	21

Verifica aperture fessure: Wamm_Freq[mm]=0.400 Wamm_Qp[mm]=0.300

X	M	Act	Aft	pAft	S _{r,max}	σ _{fmed}	Wd	Wk	Cb	Ver.	Cs
cm	kg*m	mq	cmq	cm	cm	kg/cm ²	mm	mm			
0.0	-2274	0.0	8.04	20.11	22.1	453	0.029	0.029	33(Fr)	Si	14
0.0	-2245	0.0	8.04	20.11	22.1	447	0.028	0.028	38(Qp)	Si	11
11.0	-1876	0.0	8.04	20.11	22.1	373	0.024	0.024	38(Qp)	Si	13
11.0	-1900	0.0	8.04	20.11	22.1	378	0.024	0.024	33(Fr)	Si	17
55.0	-1000	0.0	8.04	20.11	22.1	199	0.013	0.013	38(Qp)	Si	24
55.0	-1013	0.0	8.04	20.11	22.1	202	0.013	0.013	33(Fr)	Si	31
99.0	-605	0.0	8.04	20.11	22.1	120	0.008	0.008	38(Qp)	Si	40
99.0	-612	0.0	8.04	20.11	22.1	122	0.008	0.008	33(Fr)	Si	52
110.0	-571	0.0	8.04	20.11	22.1	114	0.007	0.007	38(Qp)	Si	42
110.0	-578	0.0	8.04	20.11	22.1	115	0.007	0.007	33(Fr)	Si	55

Trave di Fond. : 9003 [5 , 892] Pilastrate [5 , -]

Sez. R: By= 40.0 cm Bz=70.0 cm L=155.0 cm Ln=135.0 cm Terreno: **Terreno**

Criterio : CLS_TraviFondazione_Esist

Combinazione Rara: σ_{ca}[kg/cm²]=68 σ_{fa}[kg/cm²]=2800

X	M+	M-	Afsup	Afinf	σ _{c+}	σ _{f+}	σ _{c-}	σ _{f-}	Cb+	Cb-	Ver.	CS
cm	kg*m	kg*m	cmq	cmq	kg/cm ²	kg/cm ²	kg/cm ²	kg/cm ²				
0.0	1041	--	4.02	8.04	-4	207	--	--	24	29	Si	14
13.5	894	--	4.02	8.04	-4	178	--	--	24	29	Si	16
67.5	742	--	4.02	8.04	-3	148	--	--	24	29	Si	19
121.5	681	--	4.02	8.04	-3	136	--	--	24	29	Si	21
135.0	723	--	4.02	8.04	-3	144	--	--	24	29	Si	19

Combinazione QP: σ_{ca}[kg/cm²]=51 σ_{fa}[kg/cm²]=2800

X	M+	M-	Afsup	Afinf	σ _{c+}	σ _{f+}	σ _{c-}	σ _{f-}	Cb+	Cb-	Ver.	CS
cm	kg*m	kg*m	cmq	cmq	kg/cm ²	kg/cm ²	kg/cm ²	kg/cm ²				
0.0	899	--	4.02	8.04	-4	179	--	--	38	38	Si	13
13.5	772	--	4.02	8.04	-3	154	--	--	38	38	Si	16
67.5	636	--	4.02	8.04	-3	127	--	--	38	38	Si	19
121.5	577	--	4.02	8.04	-2	115	--	--	38	38	Si	21
135.0	613	--	4.02	8.04	-3	122	--	--	38	38	Si	20

Verifica aperture fessure: Wamm_Freq[mm]=0.400 Wamm_Qp[mm]=0.300

X	M	Act	Aft	pAft	S _{r,max}	σfmed	Wd	Wk	Cb	Ver.	Cs
cm	kg*m	mq	cmq	cm	cm	kg/cmq	mm	mm			
0.0	-911	0.0	8.04	20.11	22.1	181	0.011	0.011	33(Fr)	Si	35
0.0	-899	0.0	8.04	20.11	22.1	179	0.011	0.011	38(Qp)	Si	27
13.5	-772	0.0	8.04	20.11	22.1	154	0.010	0.010	38(Qp)	Si	31
13.5	-782	0.0	8.04	20.11	22.1	156	0.010	0.010	33(Fr)	Si	41
67.5	-636	0.0	8.04	20.11	22.1	127	0.008	0.008	38(Qp)	Si	38
67.5	-646	0.0	8.04	20.11	22.1	129	0.008	0.008	33(Fr)	Si	49
121.5	-577	0.0	8.04	20.11	22.1	115	0.007	0.007	38(Qp)	Si	41
121.5	-587	0.0	8.04	20.11	22.1	117	0.007	0.007	33(Fr)	Si	54
135.0	-613	0.0	8.04	20.11	22.1	122	0.008	0.008	38(Qp)	Si	39
135.0	-624	0.0	8.04	20.11	22.1	124	0.008	0.008	33(Fr)	Si	51

Trave di Fond. : 9003 [6 , 896] Pilastrate [6 , -]

Sez. R: By= 40.0 cm Bz=70.0 cm L=155.0 cm Ln=155.0 cm Terreno: **Terreno**

Criterio : CLS_TraviFondazione_Esist

Combinazione Rara: σca[kg/cmq]=68 σfa[kg/cmq]=2800

X	M+	M-	Afsup	Afinf	σc+	σf+	σc-	σf-	Cb+	Cb-	Ver.	CS
cm	kg*m	kg*m	cmq	cmq	kg/cmq	kg/cmq	kg/cmq	kg/cmq				
0.0	939	--	4.02	8.04	-4	187	--	--	24	27	Si	15
15.5	714	--	4.02	8.04	-3	142	--	--	24	27	Si	20
77.5	691	--	4.02	8.04	-3	138	--	--	24	29	Si	20
139.5	448	--	4.02	8.04	-2	89	--	--	24	29	Si	31
155.0	450	--	4.02	8.04	-2	90	--	--	24	29	Si	31

Combinazione QP: σca[kg/cmq]=51 σfa[kg/cmq]=2800

X	M+	M-	Afsup	Afinf	σc+	σf+	σc-	σf-	Cb+	Cb-	Ver.	CS
cm	kg*m	kg*m	cmq	cmq	kg/cmq	kg/cmq	kg/cmq	kg/cmq				
0.0	827	--	4.02	8.04	-4	165	--	--	38	38	Si	15
15.5	627	--	4.02	8.04	-3	125	--	--	38	38	Si	19
77.5	601	--	4.02	8.04	-3	120	--	--	38	38	Si	20
139.5	379	--	4.02	8.04	-2	75	--	--	38	38	Si	32
155.0	381	--	4.02	8.04	-2	76	--	--	38	38	Si	32

Verifica aperture fessure: Wamm_Freq[mm]=0.400 Wamm_Qp[mm]=0.300

X	M	Act	Aft	pAft	S _{r,max}	σfmed	Wd	Wk	Cb	Ver.	Cs
cm	kg*m	mq	cmq	cm	cm	kg/cmq	mm	mm			
0.0	-836	0.0	8.04	20.11	22.1	167	0.010	0.010	33(Fr)	Si	38
0.0	-827	0.0	8.04	20.11	22.1	165	0.010	0.010	38(Qp)	Si	29
15.5	-627	0.0	8.04	20.11	22.1	125	0.008	0.008	38(Qp)	Si	38
15.5	-634	0.0	8.04	20.11	22.1	126	0.008	0.008	33(Fr)	Si	50
77.5	-601	0.0	8.04	20.11	22.1	120	0.008	0.008	38(Qp)	Si	40
77.5	-611	0.0	8.04	20.11	22.1	122	0.008	0.008	33(Fr)	Si	52
139.5	-379	0.0	8.04	20.11	22.1	75	0.005	0.005	38(Qp)	Si	63
139.5	-387	0.0	8.04	20.11	22.1	77	0.005	0.005	33(Fr)	Si	82
155.0	-381	0.0	8.04	20.11	22.1	76	0.005	0.005	38(Qp)	Si	63
155.0	-389	0.0	8.04	20.11	22.1	77	0.005	0.005	33(Fr)	Si	82

Trave di Fond. : 9003 [888 , 890] Pilastrate [- , -]

Sez. R: By= 40.0 cm Bz=70.0 cm L=400.0 cm Ln=400.0 cm Terreno: **Terreno**

Criterio : CLS_TraviFondazione_Esist

Combinazione Rara: σca[kg/cmq]=68 σfa[kg/cmq]=2800

X	M+	M-	Afsup	Afinf	σc+	σf+	σc-	σf-	Cb+	Cb-	Ver.	CS
cm	kg*m	kg*m	cmq	cmq	kg/cmq	kg/cmq	kg/cmq	kg/cmq				
0.0	1513	--	4.02	8.04	-6	301	--	--	24	29	Si	9.3
40.0	16	--	4.02	8.04	-0	3	--	--	27	28	Si	>100
200.0	--	791	4.02	8.04	--	--	-4	306	29	24	Si	9.1
360.0	--	208	4.02	8.04	--	--	-1	81	27	24	Si	35

X	M+	M-	Afsup	Afinf	σ_c+	σ_f+	σ_c-	σ_f-	Cb+	Cb-	Ver.	CS
400.0	1208	--	4.02	8.04	-5	241	--	--	24	29	Si	12

Combinazione QP: $\sigma_{ca}[\text{kg/cm}^2]=51$ $\sigma_{fa}[\text{kg/cm}^2]=2800$

X	M+	M-	Afsup	Afinf	σ_c+	σ_f+	σ_c-	σ_f-	Cb+	Cb-	Ver.	CS
cm	kg*m	kg*m	cmq	cmq	kg/cmq	kg/cmq	kg/cmq	kg/cmq				
0.0	1338	--	4.02	8.04	-6	266	--	--	38	38	Si	9.0
40.0	17	--	4.02	8.04	-0	3	--	--	38	38	Si	>100
200.0	--	688	4.02	8.04	--	--	-3	267	38	38	Si	11
360.0	--	194	4.02	8.04	--	--	-1	75	38	38	Si	37
400.0	1052	--	4.02	8.04	-4	209	--	--	38	38	Si	11

Verifica aperture fessure: Wamm_Freq[mm]=0.400 Wamm_Qp[mm]=0.300

X	M	Act	Aft	pAft	$S_{r,max}$	σ_{fmed}	Wd	Wk	Cb	Ver.	Cs
cm	kg*m	mq	cmq	cm	cm	kg/cmq	mm	mm			
0.0	-1355	0.0	8.04	20.11	22.1	270	0.017	0.017	33(Fr)	Si	24
0.0	-1338	0.0	8.04	20.11	22.1	266	0.017	0.017	38(Qp)	Si	18
40.0	-17	0.0	8.04	20.11	22.1	3	0.000	0.000	38(Qp)	Si	>100
40.0	-17	0.0	8.04	20.11	22.1	3	0.000	0.000	34(Fr)	Si	>100
200.0	688	0.0	4.02	10.05	30.5	267	0.023	0.023	38(Qp)	Si	13
200.0	698	0.0	4.02	10.05	30.5	270	0.024	0.024	33(Fr)	Si	17
360.0	194	0.0	4.02	10.05	30.5	75	0.007	0.007	38(Qp)	Si	46
360.0	195	0.0	4.02	10.05	30.5	76	0.007	0.007	34(Fr)	Si	61
400.0	-1052	0.0	8.04	20.11	22.1	209	0.013	0.013	38(Qp)	Si	23
400.0	-1069	0.0	8.04	20.11	22.1	213	0.013	0.013	33(Fr)	Si	30

Trave di Fond. : 9003 [890 , 5] Pilastrate [- , 5]

Sez. R: $B_y = 40.0 \text{ cm}$ $B_z = 70.0 \text{ cm}$ $L = 130.0 \text{ cm}$ $L_n = 150.0 \text{ cm}$ Terreno: **Terreno**

Criterio : CLS_TraviFondazione_Esist

Combinazione Rara: $\sigma_{ca}[\text{kg/cm}^2]=68$ $\sigma_{fa}[\text{kg/cm}^2]=2800$

X	M+	M-	Afsup	Afinf	σ_c+	σ_f+	σ_c-	σ_f-	Cb+	Cb-	Ver.	CS
cm	kg*m	kg*m	cmq	cmq	kg/cmq	kg/cmq	kg/cmq	kg/cmq				
0.0	441	--	4.02	8.04	-2	88	--	--	24	29	Si	32
15.0	465	--	4.02	8.04	-2	93	--	--	24	29	Si	30
75.0	612	--	4.02	8.04	-3	122	--	--	24	29	Si	23
135.0	916	--	4.02	8.04	-4	182	--	--	24	29	Si	15
150.0	1275	--	4.02	8.04	-5	254	--	--	24	29	Si	11

Combinazione QP: $\sigma_{ca}[\text{kg/cm}^2]=51$ $\sigma_{fa}[\text{kg/cm}^2]=2800$

X	M+	M-	Afsup	Afinf	σ_c+	σ_f+	σ_c-	σ_f-	Cb+	Cb-	Ver.	CS
cm	kg*m	kg*m	cmq	cmq	kg/cmq	kg/cmq	kg/cmq	kg/cmq				
0.0	378	--	4.02	8.04	-2	75	--	--	38	38	Si	32
15.0	399	--	4.02	8.04	-2	79	--	--	38	38	Si	30
75.0	530	--	4.02	8.04	-2	105	--	--	38	38	Si	23
135.0	794	--	4.02	8.04	-3	158	--	--	38	38	Si	15
150.0	1110	--	4.02	8.04	-5	221	--	--	38	38	Si	11

Verifica aperture fessure: Wamm_Freq[mm]=0.400 Wamm_Qp[mm]=0.300

X	M	Act	Aft	pAft	$S_{r,max}$	σ_{fmed}	Wd	Wk	Cb	Ver.	Cs
cm	kg*m	mq	cmq	cm	cm	kg/cmq	mm	mm			
0.0	-386	0.0	8.04	20.11	22.1	77	0.005	0.005	33(Fr)	Si	83
0.0	-378	0.0	8.04	20.11	22.1	75	0.005	0.005	38(Qp)	Si	63
15.0	-399	0.0	8.04	20.11	22.1	79	0.005	0.005	38(Qp)	Si	60
15.0	-407	0.0	8.04	20.11	22.1	81	0.005	0.005	33(Fr)	Si	78
75.0	-530	0.0	8.04	20.11	22.1	105	0.007	0.007	38(Qp)	Si	45
75.0	-538	0.0	8.04	20.11	22.1	107	0.007	0.007	33(Fr)	Si	59
135.0	-794	0.0	8.04	20.11	22.1	158	0.010	0.010	38(Qp)	Si	30
135.0	-804	0.0	8.04	20.11	22.1	160	0.010	0.010	33(Fr)	Si	40
150.0	-1110	0.0	8.04	20.11	22.1	221	0.014	0.014	38(Qp)	Si	22

X	M	Act	Aft	pAft	S _{r,max}	σfmed	Wd	Wk	Cb	Ver.	Cs
150.0	-1124	0.0	8.04	20.11	22.1	224	0.014	0.014	33(Fr)	Si	28

Trave di Fond. : 9003 [892 , 895] Pilastrate [- , -]

Sez. R: By= 40.0 cm Bz=70.0 cm L=400.0 cm Ln=400.0 cm Terreno: **Terreno**

Criterio : CLS_TraviFondazione_Esist

Combinazione Rara: σca[kg/cm²]=68 σfa[kg/cm²]=2800

X	M+	M-	Afsup	Afinf	σc+	σf+	σc-	σf-	Cb+	Cb-	Ver.	CS
cm	kg*m	kg*m	cmq	cmq	kg/cm ²	kg/cm ²	kg/cm ²	kg/cm ²				
0.0	1540	--	4.02	8.04	-7	307	--	--	24	29	Si	9.1
40.0	116	--	4.02	8.04	-0	23	--	--	24	29	Si	>100
200.0	--	768	4.02	8.04	--	--	-4	297	27	24	Si	9.4
360.0	--	361	4.02	8.04	--	--	-2	140	29	24	Si	20
400.0	923	--	4.02	8.04	-4	184	--	--	24	27	Si	15

Combinazione QP: σca[kg/cm²]=51 σfa[kg/cm²]=2800

X	M+	M-	Afsup	Afinf	σc+	σf+	σc-	σf-	Cb+	Cb-	Ver.	CS
cm	kg*m	kg*m	cmq	cmq	kg/cm ²	kg/cm ²	kg/cm ²	kg/cm ²				
0.0	1328	--	4.02	8.04	-6	264	--	--	38	38	Si	9.0
40.0	78	--	4.02	8.04	-0	16	--	--	38	38	Si	>100
200.0	--	667	4.02	8.04	--	--	-3	259	38	38	Si	11
360.0	--	299	4.02	8.04	--	--	-1	116	38	38	Si	24
400.0	840	--	4.02	8.04	-4	167	--	--	38	38	Si	14

Verifica aperture fessure: Wamm_Freq[mm]=0.400 Wamm_Qp[mm]=0.300

X	M	Act	Aft	pAft	S _{r,max}	σfmed	Wd	Wk	Cb	Ver.	Cs
cm	kg*m	mq	cmq	cm	cm	kg/cm ²	mm	mm			
0.0	-1348	0.0	8.04	20.11	22.1	268	0.017	0.017	33(Fr)	Si	24
0.0	-1328	0.0	8.04	20.11	22.1	264	0.017	0.017	38(Qp)	Si	18
40.0	-78	0.0	8.04	20.11	22.1	16	0.001	0.001	38(Qp)	Si	>100
40.0	-81	0.0	8.04	20.11	22.1	16	0.001	0.001	33(Fr)	Si	>100
200.0	667	0.0	4.02	10.05	30.5	259	0.023	0.023	38(Qp)	Si	13
200.0	677	0.0	4.02	10.05	30.5	262	0.023	0.023	33(Fr)	Si	17
360.0	299	0.0	4.02	10.05	30.5	116	0.010	0.010	38(Qp)	Si	30
360.0	304	0.0	4.02	10.05	30.5	118	0.010	0.010	33(Fr)	Si	39
400.0	-840	0.0	8.04	20.11	22.1	167	0.011	0.011	38(Qp)	Si	28
400.0	-850	0.0	8.04	20.11	22.1	169	0.011	0.011	33(Fr)	Si	38

Trave di Fond. : 9003 [895 , 6] Pilastrate [- , 6]

Sez. R: By= 40.0 cm Bz=70.0 cm L=155.0 cm Ln=155.0 cm Terreno: **Terreno**

Criterio : CLS_TraviFondazione_Esist

Combinazione Rara: σca[kg/cm²]=68 σfa[kg/cm²]=2800

X	M+	M-	Afsup	Afinf	σc+	σf+	σc-	σf-	Cb+	Cb-	Ver.	CS
cm	kg*m	kg*m	cmq	cmq	kg/cm ²	kg/cm ²	kg/cm ²	kg/cm ²				
0.0	235	--	4.02	8.04	-1	47	--	--	24	27	Si	60
15.5	239	--	4.02	8.04	-1	48	--	--	24	27	Si	59
77.5	538	--	4.02	8.04	-2	107	--	--	24	27	Si	26
139.5	711	--	4.02	8.04	-3	142	--	--	24	27	Si	20
155.0	969	--	4.02	8.04	-4	193	--	--	24	27	Si	15

Combinazione QP: σca[kg/cm²]=51 σfa[kg/cm²]=2800

X	M+	M-	Afsup	Afinf	σc+	σf+	σc-	σf-	Cb+	Cb-	Ver.	CS
cm	kg*m	kg*m	cmq	cmq	kg/cm ²	kg/cm ²	kg/cm ²	kg/cm ²				
0.0	227	--	4.02	8.04	-1	45	--	--	38	38	Si	53
15.5	228	--	4.02	8.04	-1	45	--	--	38	38	Si	53
77.5	483	--	4.02	8.04	-2	96	--	--	38	38	Si	25
139.5	623	--	4.02	8.04	-3	124	--	--	38	38	Si	19
155.0	849	--	4.02	8.04	-4	169	--	--	38	38	Si	14

Verifica aperture fessure: Wamm_Freq[mm]=0.400 Wamm_Qp[mm]=0.300

X	M	Act	Aft	pAft	S _{r,max}	σfmed	Wd	Wk	Cb	Ver.	Cs
cm	kg*m	mq	cmq	cm	cm	kg/cmq	mm	mm			
0.0	-230	0.0	8.04	20.11	22.1	46	0.003	0.003	33(Fr)	Si	>100
0.0	-227	0.0	8.04	20.11	22.1	45	0.003	0.003	38(Qp)	Si	>100
15.5	-228	0.0	8.04	20.11	22.1	45	0.003	0.003	38(Qp)	Si	>100
15.5	-231	0.0	8.04	20.11	22.1	46	0.003	0.003	33(Fr)	Si	>100
77.5	-483	0.0	8.04	20.11	22.1	96	0.006	0.006	38(Qp)	Si	50
77.5	-490	0.0	8.04	20.11	22.1	97	0.006	0.006	33(Fr)	Si	65
139.5	-623	0.0	8.04	20.11	22.1	124	0.008	0.008	38(Qp)	Si	38
139.5	-631	0.0	8.04	20.11	22.1	126	0.008	0.008	33(Fr)	Si	51
155.0	-849	0.0	8.04	20.11	22.1	169	0.011	0.011	38(Qp)	Si	28
155.0	-859	0.0	8.04	20.11	22.1	171	0.011	0.011	33(Fr)	Si	37

Trave di Fond. : 9003 [896 , 898] Pilastrate [- , -]

Sez. R: By= 40.0 cm Bz=70.0 cm L=403.0 cm Ln=403.0 cm Terreno: **Terreno**

Criterio : CLS_TraviFondazione_Esist

Combinazione Rara: σca[kg/cmq]=68 σfa[kg/cmq]=2800

X	M+	M-	Afsup	Afinf	σc+	σf+	σc-	σf-	Cb+	Cb-	Ver.	CS
cm	kg*m	kg*m	cmq	cmq	kg/cmq	kg/cmq	kg/cmq	kg/cmq				
0.0	1194	--	4.02	8.04	-5	238	--	--	24	29	Si	12
40.3	--	179	4.02	8.04	--	--	-1	69	27	24	Si	40
201.5	--	949	4.02	8.04	--	--	-5	367	27	24	Si	7.6
362.7	--	373	4.02	8.04	--	--	-2	144	29	24	Si	19
403.0	994	--	4.02	8.04	-4	198	--	--	24	27	Si	14

Combinazione QP: σca[kg/cmq]=51 σfa[kg/cmq]=2800

X	M+	M-	Afsup	Afinf	σc+	σf+	σc-	σf-	Cb+	Cb-	Ver.	CS
cm	kg*m	kg*m	cmq	cmq	kg/cmq	kg/cmq	kg/cmq	kg/cmq				
0.0	1037	--	4.02	8.04	-4	206	--	--	38	38	Si	12
40.3	--	178	4.02	8.04	--	--	-1	69	38	38	Si	41
201.5	--	832	4.02	8.04	--	--	-4	322	38	38	Si	8.7
362.7	--	316	4.02	8.04	--	--	-2	122	38	38	Si	23
403.0	904	--	4.02	8.04	-4	180	--	--	38	38	Si	13

Verifica aperture fessure: Wamm_Freq[mm]=0.400 Wamm_Qp[mm]=0.300

X	M	Act	Aft	pAft	S _{r,max}	σfmed	Wd	Wk	Cb	Ver.	Cs
cm	kg*m	mq	cmq	cm	cm	kg/cmq	mm	mm			
0.0	-1054	0.0	8.04	20.11	22.1	210	0.013	0.013	33(Fr)	Si	30
0.0	-1037	0.0	8.04	20.11	22.1	206	0.013	0.013	38(Qp)	Si	23
40.3	178	0.0	4.02	10.05	30.5	69	0.006	0.006	38(Qp)	Si	50
40.3	178	0.0	4.02	10.05	30.5	69	0.006	0.006	34(Fr)	Si	67
201.5	832	0.0	4.02	10.05	30.5	322	0.028	0.028	38(Qp)	Si	11
201.5	845	0.0	4.02	10.05	30.5	327	0.029	0.029	33(Fr)	Si	14
362.7	316	0.0	4.02	10.05	30.5	122	0.011	0.011	38(Qp)	Si	28
362.7	323	0.0	4.02	10.05	30.5	125	0.011	0.011	33(Fr)	Si	37
403.0	-904	0.0	8.04	20.11	22.1	180	0.011	0.011	38(Qp)	Si	26
403.0	-912	0.0	8.04	20.11	22.1	181	0.011	0.011	33(Fr)	Si	35

Trave di Fond. : 9003 [898 , 7] Pilastrate [- , 11]

Sez. R: By= 40.0 cm Bz=70.0 cm L=155.0 cm Ln=135.0 cm Terreno: **Terreno**

Criterio : CLS_TraviFondazione_Esist

Combinazione Rara: σca[kg/cmq]=68 σfa[kg/cmq]=2800

X	M+	M-	Afsup	Afinf	σc+	σf+	σc-	σf-	Cb+	Cb-	Ver.	CS
cm	kg*m	kg*m	cmq	cmq	kg/cmq	kg/cmq	kg/cmq	kg/cmq				
0.0	342	--	4.02	8.04	-1	68	--	--	24	27	Si	41
13.5	310	--	4.02	8.04	-1	62	--	--	24	27	Si	45
67.5	577	--	4.02	8.04	-2	115	--	--	24	27	Si	24
121.5	172	--	4.02	8.04	-1	34	--	--	24	29	Si	82

X	M+	M-	Afsup	Afinf	σ_c+	σ_f+	σ_c-	σ_f-	Cb+	Cb-	Ver.	CS
135.0	192	--	4.02	8.04	-1	38	--	--	24	29	Si	73

Combinazione QP: $\sigma_{ca}[\text{kg/cm}^2]=51$ $\sigma_{fa}[\text{kg/cm}^2]=2800$

X	M+	M-	Afsup	Afinf	σ_c+	σ_f+	σ_c-	σ_f-	Cb+	Cb-	Ver.	CS
cm	kg*m	kg*m	cmq	cmq	kg/cmq	kg/cmq	kg/cmq	kg/cmq				
0.0	321	--	4.02	8.04	-1	64	--	--	38	38	Si	37
13.5	290	--	4.02	8.04	-1	58	--	--	38	38	Si	41
67.5	521	--	4.02	8.04	-2	104	--	--	38	38	Si	23
121.5	150	--	4.02	8.04	-1	30	--	--	38	38	Si	80
135.0	163	--	4.02	8.04	-1	32	--	--	38	38	Si	74

Verifica aperture fessure: Wamm_Freq[mm]=0.400 Wamm_Qp[mm]=0.300

X	M	Act	Aft	pAft	$S_{r,max}$	σ_{fmed}	Wd	Wk	Cb	Ver.	Cs
cm	kg*m	mq	cmq	cm	cm	kg/cmq	mm	mm			
0.0	-322	0.0	8.04	20.11	22.1	64	0.004	0.004	33(Fr)	Si	99
0.0	-321	0.0	8.04	20.11	22.1	64	0.004	0.004	38(Qp)	Si	75
13.5	-290	0.0	8.04	20.11	22.1	58	0.004	0.004	38(Qp)	Si	82
13.5	-292	0.0	8.04	20.11	22.1	58	0.004	0.004	33(Fr)	Si	>100
67.5	-521	0.0	8.04	20.11	22.1	104	0.007	0.007	38(Qp)	Si	46
67.5	-527	0.0	8.04	20.11	22.1	105	0.007	0.007	33(Fr)	Si	60
121.5	-150	0.0	8.04	20.11	22.1	30	0.002	0.002	38(Qp)	Si	>100
121.5	-151	0.0	8.04	20.11	22.1	30	0.002	0.002	34(Fr)	Si	>100
135.0	-163	0.0	8.04	20.11	22.1	32	0.002	0.002	38(Qp)	Si	>100
135.0	-165	0.0	8.04	20.11	22.1	33	0.002	0.002	34(Fr)	Si	>100

Trave di Fond. : 9004 [3 , 882] Pilastrate [3 , -]

Sez. R: $B_y = 40.0 \text{ cm}$ $B_z = 70.0 \text{ cm}$ $L = 125.0 \text{ cm}$ $L_n = 105.4 \text{ cm}$ Terreno: **Terreno**

Criterio : CLS_TraviFondazione_Esist

Combinazione Rara: $\sigma_{ca}[\text{kg/cm}^2]=68$ $\sigma_{fa}[\text{kg/cm}^2]=2800$

X	M+	M-	Afsup	Afinf	σ_c+	σ_f+	σ_c-	σ_f-	Cb+	Cb-	Ver.	CS
cm	kg*m	kg*m	cmq	cmq	kg/cmq	kg/cmq	kg/cmq	kg/cmq				
0.0	263	--	4.02	8.04	-1	52	--	--	24	27	Si	54
10.5	166	--	4.02	8.04	-1	33	--	--	24	27	Si	85
52.7	67	--	4.02	8.04	-0	13	--	--	28	27	Si	>100
94.9	--	130	4.02	8.04	--	--	-1	51	28	24	Si	55
105.4	--	154	4.02	8.04	--	--	-1	60	29	24	Si	47

Combinazione QP: $\sigma_{ca}[\text{kg/cm}^2]=51$ $\sigma_{fa}[\text{kg/cm}^2]=2800$

X	M+	M-	Afsup	Afinf	σ_c+	σ_f+	σ_c-	σ_f-	Cb+	Cb-	Ver.	CS
cm	kg*m	kg*m	cmq	cmq	kg/cmq	kg/cmq	kg/cmq	kg/cmq				
0.0	231	--	4.02	8.04	-1	46	--	--	38	38	Si	52
10.5	148	--	4.02	8.04	-1	29	--	--	38	38	Si	81
52.7	69	--	4.02	8.04	-0	14	--	--	38	38	Si	>100
94.9	--	91	4.02	8.04	--	--	-0	35	38	38	Si	79
105.4	--	109	4.02	8.04	--	--	-1	42	38	38	Si	66

Verifica aperture fessure: Wamm_Freq[mm]=0.400 Wamm_Qp[mm]=0.300

X	M	Act	Aft	pAft	$S_{r,max}$	σ_{fmed}	Wd	Wk	Cb	Ver.	Cs
cm	kg*m	mq	cmq	cm	cm	kg/cmq	mm	mm			
0.0	-233	0.0	8.04	20.11	22.1	46	0.003	0.003	34(Fr)	Si	>100
0.0	-231	0.0	8.04	20.11	22.1	46	0.003	0.003	38(Qp)	Si	>100
10.5	-148	0.0	8.04	20.11	22.1	29	0.002	0.002	38(Qp)	Si	>100
10.5	-150	0.0	8.04	20.11	22.1	30	0.002	0.002	34(Fr)	Si	>100
52.7	-69	0.0	8.04	20.11	22.1	14	0.001	0.001	38(Qp)	Si	>100
52.7	-70	0.0	8.04	20.11	22.1	14	0.001	0.001	34(Fr)	Si	>100
94.9	91	0.0	4.02	10.05	30.5	35	0.003	0.003	38(Qp)	Si	97
94.9	98	0.0	4.02	10.05	30.5	38	0.003	0.003	33(Fr)	Si	>100
105.4	109	0.0	4.02	10.05	30.5	42	0.004	0.004	38(Qp)	Si	81

X	M	Act	Aft	pAft	S _{r,max}	σfmed	Wd	Wk	Cb	Ver.	Cs
105.4	117	0.0	4.02	10.05	30.5	45	0.004	0.004	33(Fr)	Si	>100

Trave di Fond. : 9004 [882 , 883] Pilastrate [- , -]

Sez. R: By= 40.0 cm Bz=70.0 cm L=401.8 cm Ln=383.5 cm Terreno: **Terreno**

Criterio : CLS_TraviFondazione_Esist

Combinazione Rara: σca[kg/cm²]=68 σfa[kg/cm²]=2800

X	M+	M-	Afsup	Afinf	σc+	σf+	σc-	σf-	Cb+	Cb-	Ver.	CS
cm	kg*m	kg*m	cmq	cmq	kg/cm ²	kg/cm ²	kg/cm ²	kg/cm ²				
0.0	--	75	4.02	8.04	--	--	-0	29	28	24	Si	97
38.4	--	1143	4.02	8.04	--	--	-6	443	29	24	Si	6.3
191.8	--	1677	4.02	8.04	--	--	-8	649	29	24	Si	4.3
345.2	--	276	4.02	8.04	--	--	-1	107	27	28	Si	26
383.5	1597	--	4.02	8.04	-7	318	--	--	24	29	Si	8.8

Combinazione QP: σca[kg/cm²]=51 σfa[kg/cm²]=2800

X	M+	M-	Afsup	Afinf	σc+	σf+	σc-	σf-	Cb+	Cb-	Ver.	CS
cm	kg*m	kg*m	cmq	cmq	kg/cm ²	kg/cm ²	kg/cm ²	kg/cm ²				
0.0	--	34	4.02	8.04	--	--	-0	13	38	38	Si	>100
38.4	--	993	4.02	8.04	--	--	-5	385	38	38	Si	7.3
191.8	--	1485	4.02	8.04	--	--	-7	575	38	38	Si	4.9
345.2	--	272	4.02	8.04	--	--	-1	105	38	38	Si	27
383.5	1384	--	4.02	8.04	-6	276	--	--	38	38	Si	8.7

Verifica aperture fessure: Wamm_Freq[mm]=0.400 Wamm_Qp[mm]=0.300

X	M	Act	Aft	pAft	S _{r,max}	σfmed	Wd	Wk	Cb	Ver.	Cs
cm	kg*m	mq	cmq	cm	cm	kg/cm ²	mm	mm			
0.0	43	0.0	4.02	10.05	30.5	16	0.001	0.001	33(Fr)	Si	>100
0.0	34	0.0	4.02	10.05	30.5	13	0.001	0.001	38(Qp)	Si	>100
38.4	993	0.0	4.02	10.05	30.5	385	0.034	0.034	38(Qp)	Si	9.0
38.4	1011	0.0	4.02	10.05	30.5	392	0.034	0.034	33(Fr)	Si	12
191.8	1485	0.0	4.02	10.05	30.5	575	0.050	0.050	38(Qp)	Si	6.0
191.8	1505	0.0	4.02	10.05	30.5	583	0.051	0.051	33(Fr)	Si	7.9
345.2	272	0.0	4.02	10.05	30.5	105	0.009	0.009	38(Qp)	Si	33
345.2	273	0.0	4.02	10.05	30.5	106	0.009	0.009	34(Fr)	Si	43
383.5	-1384	0.0	8.04	20.11	22.1	276	0.017	0.017	38(Qp)	Si	17
383.5	-1407	0.0	8.04	20.11	22.1	280	0.018	0.018	33(Fr)	Si	23

Trave di Fond. : 9004 [883 , 4] Pilastrate [- , 4]

Sez. R: By= 40.0 cm Bz=70.0 cm L=125.0 cm Ln=124.6 cm Terreno: **Terreno**

Criterio : CLS_TraviFondazione_Esist

Combinazione Rara: σca[kg/cm²]=68 σfa[kg/cm²]=2800

X	M+	M-	Afsup	Afinf	σc+	σf+	σc-	σf-	Cb+	Cb-	Ver.	CS
cm	kg*m	kg*m	cmq	cmq	kg/cm ²	kg/cm ²	kg/cm ²	kg/cm ²				
0.0	--	182	4.02	8.04	--	--	-1	71	27	28	Si	40
12.5	148	--	4.02	8.04	-1	29	--	--	24	29	Si	95
62.3	1056	--	4.02	8.04	-4	210	--	--	24	29	Si	13
112.2	3455	--	4.02	8.04	-15	688	--	--	24	29	Si	4.1
124.6	4376	--	4.02	8.04	-19	871	--	--	24	29	Si	3.2

Combinazione QP: σca[kg/cm²]=51 σfa[kg/cm²]=2800

X	M+	M-	Afsup	Afinf	σc+	σf+	σc-	σf-	Cb+	Cb-	Ver.	CS
cm	kg*m	kg*m	cmq	cmq	kg/cm ²	kg/cm ²	kg/cm ²	kg/cm ²				
0.0	--	184	4.02	8.04	--	--	-1	71	38	38	Si	39
12.5	105	--	4.02	8.04	-0	21	--	--	38	38	Si	>100
62.3	917	--	4.02	8.04	-4	183	--	--	38	38	Si	13
112.2	3048	--	4.02	8.04	-13	607	--	--	38	38	Si	3.9
124.6	3865	--	4.02	8.04	-16	770	--	--	38	38	Si	3.1

Verifica aperture fessure: Wamm_Freq[mm]=0.400 Wamm_Qp[mm]=0.300

X	M	Act	Aft	pAft	S _{r,max}	σfmed	Wd	Wk	Cb	Ver.	Cs
cm	kg*m	mq	cmq	cm	cm	kg/cmq	mm	mm			
0.0	184	0.0	4.02	10.05	30.5	71	0.006	0.006	34(Fr)	Si	64
0.0	184	0.0	4.02	10.05	30.5	71	0.006	0.006	38(Qp)	Si	48
12.5	-105	0.0	8.04	20.11	22.1	21	0.001	0.001	38(Qp)	Si	>100
12.5	-111	0.0	8.04	20.11	22.1	22	0.001	0.001	33(Fr)	Si	>100
62.3	-917	0.0	8.04	20.11	22.1	183	0.012	0.012	38(Qp)	Si	26
62.3	-931	0.0	8.04	20.11	22.1	185	0.012	0.012	33(Fr)	Si	34
112.2	-3048	0.0	8.04	20.11	22.1	607	0.038	0.038	38(Qp)	Si	7.8
112.2	-3087	0.0	8.04	20.11	22.1	615	0.039	0.039	33(Fr)	Si	10
124.6	-3865	0.0	8.04	20.11	22.1	770	0.048	0.048	38(Qp)	Si	6.2
124.6	-3914	0.0	8.04	20.11	22.1	779	0.049	0.049	33(Fr)	Si	8.1

Trave di Fond. : 9005 [1 , 904] Pilastrate [12 , -]

Sez. R: By= 40.0 cm Bz=70.0 cm L=135.0 cm Ln=115.5 cm Terreno: **Terreno**

Criterio : CLS_TraviFondazione_Esist

Combinazione Rara: σca[kg/cmq]=68 σfa[kg/cmq]=2800

X	M+	M-	Afsup	Afinf	σc+	σf+	σc-	σf-	Cb+	Cb-	Ver.	CS
cm	kg*m	kg*m	cmq	cmq	kg/cmq	kg/cmq	kg/cmq	kg/cmq				
0.0	368	--	4.02	8.04	-2	73	--	--	24	27	Si	38
11.6	290	--	4.02	8.04	-1	58	--	--	24	29	Si	48
57.8	302	--	4.02	8.04	-1	60	--	--	24	28	Si	47
104.0	5	3	4.02	8.04	-0	1	-0	1	24	28	Si	>100
115.5	--	74	4.02	8.04	--	--	-0	29	27	28	Si	97

Combinazione QP: σca[kg/cmq]=51 σfa[kg/cmq]=2800

X	M+	M-	Afsup	Afinf	σc+	σf+	σc-	σf-	Cb+	Cb-	Ver.	CS
cm	kg*m	kg*m	cmq	cmq	kg/cmq	kg/cmq	kg/cmq	kg/cmq				
0.0	342	--	4.02	8.04	-1	68	--	--	38	38	Si	35
11.6	265	--	4.02	8.04	-1	53	--	--	38	38	Si	45
57.8	263	--	4.02	8.04	-1	52	--	--	38	38	Si	46
104.0	--	2	4.02	8.04	--	--	-0	1	38	38	Si	>100
115.5	--	69	4.02	8.04	--	--	-0	27	38	38	Si	>100

Verifica aperture fessure: Wamm_Freq[mm]=0.400 Wamm_Qp[mm]=0.300

X	M	Act	Aft	pAft	S _{r,max}	σfmed	Wd	Wk	Cb	Ver.	Cs
cm	kg*m	mq	cmq	cm	cm	kg/cmq	mm	mm			
0.0	-347	0.0	8.04	20.11	22.1	69	0.004	0.004	33(Fr)	Si	92
0.0	-342	0.0	8.04	20.11	22.1	68	0.004	0.004	38(Qp)	Si	70
11.6	-265	0.0	8.04	20.11	22.1	53	0.003	0.003	38(Qp)	Si	90
11.6	-270	0.0	8.04	20.11	22.1	54	0.003	0.003	33(Fr)	Si	>100
57.8	-263	0.0	8.04	20.11	22.1	52	0.003	0.003	38(Qp)	Si	91
57.8	-267	0.0	8.04	20.11	22.1	53	0.003	0.003	33(Fr)	Si	>100
104.0	2	0.0	4.02	10.05	30.5	1	0.000	0.000	38(Qp)	Si	>100
104.0	2	0.0	4.02	10.05	30.5	1	0.000	0.000	35(Fr)	Si	>100
115.5	69	0.0	4.02	10.05	30.5	27	0.002	0.002	38(Qp)	Si	>100
115.5	70	0.0	4.02	10.05	30.5	27	0.002	0.002	33(Fr)	Si	>100

Trave di Fond. : 9005 [904 , 907] Pilastrate [- , -]

Sez. R: By= 40.0 cm Bz=70.0 cm L=402.7 cm Ln=403.8 cm Terreno: **Terreno**

Criterio : CLS_TraviFondazione_Esist

Combinazione Rara: σca[kg/cmq]=68 σfa[kg/cmq]=2800

X	M+	M-	Afsup	Afinf	σc+	σf+	σc-	σf-	Cb+	Cb-	Ver.	CS
cm	kg*m	kg*m	cmq	cmq	kg/cmq	kg/cmq	kg/cmq	kg/cmq				
0.0	901	--	4.02	8.04	-4	179	--	--	24	28	Si	16
40.4	--	644	4.02	8.04	--	--	-3	249	29	24	Si	11
201.9	--	1396	4.02	8.04	--	--	-7	541	29	24	Si	5.2
363.4	--	631	4.02	8.04	--	--	-3	244	28	24	Si	11

X	M+	M-	Afsup	Afinf	σ_c+	σ_f+	σ_c-	σ_f-	Cb+	Cb-	Ver.	CS
403.8	1057	--	4.02	8.04	-4	210	--	--	24	29	Si	13

Combinazione QP: $\sigma_{ca}[\text{kg/cm}^2]=51$ $\sigma_{fa}[\text{kg/cm}^2]=2800$

X	M+	M-	Afsup	Afinf	σ_c+	σ_f+	σ_c-	σ_f-	Cb+	Cb-	Ver.	CS
cm	kg*m	kg*m	cmq	cmq	kg/cmq	kg/cmq	kg/cmq	kg/cmq				
0.0	802	--	4.02	8.04	-3	160	--	--	38	38	Si	15
40.4	--	572	4.02	8.04	--	--	-3	222	38	38	Si	13
201.9	--	1230	4.02	8.04	--	--	-6	476	38	38	Si	5.9
363.4	--	560	4.02	8.04	--	--	-3	217	38	38	Si	13
403.8	945	--	4.02	8.04	-4	188	--	--	38	38	Si	13

Verifica aperture fessure: Wamm_Freq[mm]=0.400 Wamm_Qp[mm]=0.300

X	M	Act	Aft	pAft	$S_{r,max}$	σ_{fmed}	Wd	Wk	Cb	Ver.	Cs
cm	kg*m	mq	cmq	cm	cm	kg/cmq	mm	mm			
0.0	-813	0.0	8.04	20.11	22.1	162	0.010	0.010	33(Fr)	Si	39
0.0	-802	0.0	8.04	20.11	22.1	160	0.010	0.010	38(Qp)	Si	30
40.4	572	0.0	4.02	10.05	30.5	222	0.019	0.019	38(Qp)	Si	16
40.4	578	0.0	4.02	10.05	30.5	224	0.020	0.020	33(Fr)	Si	20
201.9	1230	0.0	4.02	10.05	30.5	476	0.042	0.042	38(Qp)	Si	7.2
201.9	1245	0.0	4.02	10.05	30.5	482	0.042	0.042	33(Fr)	Si	9.5
363.4	560	0.0	4.02	10.05	30.5	217	0.019	0.019	38(Qp)	Si	16
363.4	567	0.0	4.02	10.05	30.5	220	0.019	0.019	33(Fr)	Si	21
403.8	-945	0.0	8.04	20.11	22.1	188	0.012	0.012	38(Qp)	Si	25
403.8	-955	0.0	8.04	20.11	22.1	190	0.012	0.012	33(Fr)	Si	33

Trave di Fond. : 9005 [907 , 9] Pilastrate [- , 9]

Sez. R: $B_y = 40.0 \text{ cm}$ $B_z = 70.0 \text{ cm}$ $L = 135.0 \text{ cm}$ $L_n = 150.8 \text{ cm}$ Terreno: **Terreno**

Criterio : CLS_TraviFondazione_Esist

Combinazione Rara: $\sigma_{ca}[\text{kg/cm}^2]=68$ $\sigma_{fa}[\text{kg/cm}^2]=2800$

X	M+	M-	Afsup	Afinf	σ_c+	σ_f+	σ_c-	σ_f-	Cb+	Cb-	Ver.	CS
cm	kg*m	kg*m	cmq	cmq	kg/cmq	kg/cmq	kg/cmq	kg/cmq				
0.0	--	1085	4.02	8.04	--	--	-5	420	29	24	Si	6.7
15.1	--	746	4.02	8.04	--	--	-4	289	28	24	Si	9.7
75.4	699	--	4.02	8.04	-3	139	--	--	24	29	Si	20
135.7	3869	--	4.02	8.04	-16	770	--	--	24	29	Si	3.6
150.8	5103	--	4.02	8.04	-22	1016	--	--	24	29	Si	2.8

Combinazione QP: $\sigma_{ca}[\text{kg/cm}^2]=51$ $\sigma_{fa}[\text{kg/cm}^2]=2800$

X	M+	M-	Afsup	Afinf	σ_c+	σ_f+	σ_c-	σ_f-	Cb+	Cb-	Ver.	CS
cm	kg*m	kg*m	cmq	cmq	kg/cmq	kg/cmq	kg/cmq	kg/cmq				
0.0	--	969	4.02	8.04	--	--	-5	375	38	38	Si	7.5
15.1	--	667	4.02	8.04	--	--	-3	258	38	38	Si	11
75.4	619	--	4.02	8.04	-3	123	--	--	38	38	Si	19
135.7	3443	--	4.02	8.04	-15	686	--	--	38	38	Si	3.5
150.8	4544	--	4.02	8.04	-19	905	--	--	38	38	Si	2.6

Verifica aperture fessure: Wamm_Freq[mm]=0.400 Wamm_Qp[mm]=0.300

X	M	Act	Aft	pAft	$S_{r,max}$	σ_{fmed}	Wd	Wk	Cb	Ver.	Cs
cm	kg*m	mq	cmq	cm	cm	kg/cmq	mm	mm			
0.0	981	0.0	4.02	10.05	30.5	380	0.033	0.033	33(Fr)	Si	12
0.0	969	0.0	4.02	10.05	30.5	375	0.033	0.033	38(Qp)	Si	9.2
15.1	667	0.0	4.02	10.05	30.5	258	0.023	0.023	38(Qp)	Si	13
15.1	675	0.0	4.02	10.05	30.5	261	0.023	0.023	33(Fr)	Si	18
75.4	-619	0.0	8.04	20.11	22.1	123	0.008	0.008	38(Qp)	Si	39
75.4	-626	0.0	8.04	20.11	22.1	125	0.008	0.008	33(Fr)	Si	51
135.7	-3443	0.0	8.04	20.11	22.1	686	0.043	0.043	38(Qp)	Si	6.9
135.7	-3486	0.0	8.04	20.11	22.1	694	0.044	0.044	33(Fr)	Si	9.1
150.8	-4544	0.0	8.04	20.11	22.1	905	0.062	0.062	38(Qp)	Si	4.8

X	M	Act	Aft	pAft	S _{r,max}	σfmed	Wd	Wk	Cb	Ver.	Cs
150.8	-4600	0.0	8.04	20.11	22.1	916	0.063	0.063	33(Fr)	Si	6.3

Trave di Fond. : 9006 [9 , 875] Pilastrate [9 , -]

Sez. R: By= 40.0 cm Bz=70.0 cm L=120.2 cm Ln=100.2 cm Terreno: **Terreno**

Criterio : CLS_TraviFondazione_Esist

Combinazione Rara: σca[kg/cm²]=68 σfa[kg/cm²]=2800

X	M+	M-	Afsup	Afinf	σc+	σf+	σc-	σf-	Cb+	Cb-	Ver.	CS
cm	kg*m	kg*m	cmq	cmq	kg/cm ²	kg/cm ²	kg/cm ²	kg/cm ²				
0.0	3324	--	4.02	8.04	-14	662	--	--	24	29	Si	4.2
10.0	2762	--	4.02	8.04	-12	550	--	--	24	29	Si	5.1
50.1	1499	--	4.02	8.04	-6	298	--	--	24	29	Si	9.4
90.2	943	--	4.02	8.04	-4	188	--	--	24	29	Si	15
100.2	875	--	4.02	8.04	-4	174	--	--	24	29	Si	16

Combinazione QP: σca[kg/cm²]=51 σfa[kg/cm²]=2800

X	M+	M-	Afsup	Afinf	σc+	σf+	σc-	σf-	Cb+	Cb-	Ver.	CS
cm	kg*m	kg*m	cmq	cmq	kg/cm ²	kg/cm ²	kg/cm ²	kg/cm ²				
0.0	2957	--	4.02	8.04	-13	589	--	--	38	38	Si	4.1
10.0	2456	--	4.02	8.04	-10	489	--	--	38	38	Si	4.9
50.1	1327	--	4.02	8.04	-6	264	--	--	38	38	Si	9.0
90.2	832	--	4.02	8.04	-4	166	--	--	38	38	Si	14
100.2	772	--	4.02	8.04	-3	154	--	--	38	38	Si	16

Verifica aperture fessure: Wamm_Freq[mm]=0.400 Wamm_Qp[mm]=0.300

X	M	Act	Aft	pAft	S _{r,max}	σfmed	Wd	Wk	Cb	Ver.	Cs
cm	kg*m	mq	cmq	cm	cm	kg/cm ²	mm	mm			
0.0	-2996	0.0	8.04	20.11	22.1	596	0.038	0.038	33(Fr)	Si	11
0.0	-2957	0.0	8.04	20.11	22.1	589	0.037	0.037	38(Qp)	Si	8.1
10.0	-2456	0.0	8.04	20.11	22.1	489	0.031	0.031	38(Qp)	Si	9.7
10.0	-2487	0.0	8.04	20.11	22.1	495	0.031	0.031	33(Fr)	Si	13
50.1	-1327	0.0	8.04	20.11	22.1	264	0.017	0.017	38(Qp)	Si	18
50.1	-1343	0.0	8.04	20.11	22.1	267	0.017	0.017	33(Fr)	Si	24
90.2	-832	0.0	8.04	20.11	22.1	166	0.010	0.010	38(Qp)	Si	29
90.2	-840	0.0	8.04	20.11	22.1	167	0.011	0.011	33(Fr)	Si	38
100.2	-772	0.0	8.04	20.11	22.1	154	0.010	0.010	38(Qp)	Si	31
100.2	-780	0.0	8.04	20.11	22.1	155	0.010	0.010	33(Fr)	Si	41

Trave di Fond. : 9006 [875 , 877] Pilastrate [- , -]

Sez. R: By= 40.0 cm Bz=70.0 cm L=400.0 cm Ln=400.0 cm Terreno: **Terreno**

Criterio : CLS_TraviFondazione_Esist

Combinazione Rara: σca[kg/cm²]=68 σfa[kg/cm²]=2800

X	M+	M-	Afsup	Afinf	σc+	σf+	σc-	σf-	Cb+	Cb-	Ver.	CS
cm	kg*m	kg*m	cmq	cmq	kg/cm ²	kg/cm ²	kg/cm ²	kg/cm ²				
0.0	1787	--	4.02	8.04	-8	356	--	--	24	29	Si	7.9
40.0	209	--	4.02	8.04	-1	42	--	--	24	28	Si	67
200.0	--	1157	4.02	8.04	--	--	-6	448	29	24	Si	6.2
360.0	--	1185	4.02	8.04	--	--	-6	459	29	24	Si	6.1
400.0	77	--	4.02	8.04	-0	15	--	--	28	27	Si	>100

Combinazione QP: σca[kg/cm²]=51 σfa[kg/cm²]=2800

X	M+	M-	Afsup	Afinf	σc+	σf+	σc-	σf-	Cb+	Cb-	Ver.	CS
cm	kg*m	kg*m	cmq	cmq	kg/cm ²	kg/cm ²	kg/cm ²	kg/cm ²				
0.0	1584	--	4.02	8.04	-7	315	--	--	38	38	Si	7.6
40.0	180	--	4.02	8.04	-1	36	--	--	38	38	Si	67
200.0	--	1017	4.02	8.04	--	--	-5	394	38	38	Si	7.1
360.0	--	1047	4.02	8.04	--	--	-5	406	38	38	Si	6.9
400.0	71	--	4.02	8.04	-0	14	--	--	38	38	Si	>100

Verifica aperture fessure: Wamm_Freq[mm]=0.400 Wamm_Qp[mm]=0.300

X	M	Act	Aft	pAft	S _{r,max}	σfmed	Wd	Wk	Cb	Ver.	Cs
cm	kg*m	mq	cmq	cm	cm	kg/cmq	mm	mm			
0.0	-1602	0.0	8.04	20.11	22.1	319	0.020	0.020	33(Fr)	Si	20
0.0	-1584	0.0	8.04	20.11	22.1	315	0.020	0.020	38(Qp)	Si	15
40.0	-180	0.0	8.04	20.11	22.1	36	0.002	0.002	38(Qp)	Si	>100
40.0	-182	0.0	8.04	20.11	22.1	36	0.002	0.002	34(Fr)	Si	>100
200.0	1017	0.0	4.02	10.05	30.5	394	0.034	0.034	38(Qp)	Si	8.7
200.0	1030	0.0	4.02	10.05	30.5	399	0.035	0.035	33(Fr)	Si	11
360.0	1047	0.0	4.02	10.05	30.5	406	0.035	0.035	38(Qp)	Si	8.5
360.0	1059	0.0	4.02	10.05	30.5	410	0.036	0.036	33(Fr)	Si	11
400.0	-71	0.0	8.04	20.11	22.1	14	0.001	0.001	38(Qp)	Si	>100
400.0	-73	0.0	8.04	20.11	22.1	15	0.001	0.001	33(Fr)	Si	>100

Trave di Fond. : 9006 [877 , 3] Pilastrate [- , 3]

Sez. R: By= 40.0 cm Bz=70.0 cm L=120.3 cm Ln=100.3 cm Terreno: **Terreno**

Criterio : CLS_TraviFondazione_Esist

Combinazione Rara: σca[kg/cmq]=68 σfa[kg/cmq]=2800

X	M+	M-	Afsup	Afinf	σc+	σf+	σc-	σf-	Cb+	Cb-	Ver.	CS
cm	kg*m	kg*m	cmq	cmq	kg/cmq	kg/cmq	kg/cmq	kg/cmq				
0.0	--	519	4.02	8.04	--	--	-3	201	29	24	Si	14
10.0	--	511	4.02	8.04	--	--	-3	198	29	24	Si	14
50.1	--	188	4.02	8.04	--	--	-1	73	29	24	Si	38
90.2	--	551	4.02	8.04	--	--	-3	213	27	24	Si	13
100.3	--	580	4.02	8.04	--	--	-3	225	27	24	Si	12

Combinazione QP: σca[kg/cmq]=51 σfa[kg/cmq]=2800

X	M+	M-	Afsup	Afinf	σc+	σf+	σc-	σf-	Cb+	Cb-	Ver.	CS
cm	kg*m	kg*m	cmq	cmq	kg/cmq	kg/cmq	kg/cmq	kg/cmq				
0.0	--	457	4.02	8.04	--	--	-2	177	38	38	Si	16
10.0	--	451	4.02	8.04	--	--	-2	175	38	38	Si	16
50.1	--	169	4.02	8.04	--	--	-1	65	38	38	Si	43
90.2	--	491	4.02	8.04	--	--	-2	190	38	38	Si	15
100.3	--	515	4.02	8.04	--	--	-3	199	38	38	Si	14

Verifica aperture fessure: Wamm_Freq[mm]=0.400 Wamm_Qp[mm]=0.300

X	M	Act	Aft	pAft	S _{r,max}	σfmed	Wd	Wk	Cb	Ver.	Cs
cm	kg*m	mq	cmq	cm	cm	kg/cmq	mm	mm			
0.0	461	0.0	4.02	10.05	30.5	179	0.016	0.016	33(Fr)	Si	26
0.0	457	0.0	4.02	10.05	30.5	177	0.015	0.015	38(Qp)	Si	19
10.0	451	0.0	4.02	10.05	30.5	175	0.015	0.015	38(Qp)	Si	20
10.0	456	0.0	4.02	10.05	30.5	177	0.015	0.015	33(Fr)	Si	26
50.1	169	0.0	4.02	10.05	30.5	65	0.006	0.006	38(Qp)	Si	53
50.1	170	0.0	4.02	10.05	30.5	66	0.006	0.006	33(Fr)	Si	70
90.2	491	0.0	4.02	10.05	30.5	190	0.017	0.017	38(Qp)	Si	18
90.2	495	0.0	4.02	10.05	30.5	192	0.017	0.017	33(Fr)	Si	24
100.3	515	0.0	4.02	10.05	30.5	199	0.017	0.017	38(Qp)	Si	17
100.3	519	0.0	4.02	10.05	30.5	201	0.018	0.018	33(Fr)	Si	23

Trave di Fond. : 9007 [3 , 912] Pilastrate [14 , -]

Sez. R: By= 40.0 cm Bz=70.0 cm L=350.0 cm Ln=330.0 cm Terreno: **Terreno**

Criterio : CLS_TraviFondazione_Esist

Combinazione Rara: σca[kg/cmq]=68 σfa[kg/cmq]=2800

X	M+	M-	Afsup	Afinf	σc+	σf+	σc-	σf-	Cb+	Cb-	Ver.	CS
cm	kg*m	kg*m	cmq	cmq	kg/cmq	kg/cmq	kg/cmq	kg/cmq				
0.0	--	485	4.02	8.04	--	--	-2	188	29	24	Si	15
33.0	--	547	4.02	8.04	--	--	-3	212	29	24	Si	13
165.0	247	--	4.02	8.04	-1	49	--	--	24	29	Si	57
297.0	52	44	4.02	8.04	-0	10	-0	17	27	24	Si	>100

X	M+	M-	Afsup	Afinf	σ_c+	σ_f+	σ_c-	σ_f-	Cb+	Cb-	Ver.	CS
330.0	313	--	4.02	8.04	-1	62	--	--	27	24	Si	45

Combinazione QP: $\sigma_{ca}[\text{kg/cm}^2]=51$ $\sigma_{fa}[\text{kg/cm}^2]=2800$

X	M+	M-	Afsup	Afinf	σ_c+	σ_f+	σ_c-	σ_f-	Cb+	Cb-	Ver.	CS
cm	kg*m	kg*m	cmq	cmq	kg/cmq	kg/cmq	kg/cmq	kg/cmq				
0.0	--	416	4.02	8.04	--	--	-2	161	38	38	Si	17
33.0	--	479	4.02	8.04	--	--	-2	185	38	38	Si	15
165.0	217	--	4.02	8.04	-1	43	--	--	38	38	Si	55
297.0	108	--	4.02	8.04	-0	22	--	--	38	38	Si	>100
330.0	373	--	4.02	8.04	-2	74	--	--	38	38	Si	32

Verifica aperture fessure: Wamm_Freq[mm]=0.400 Wamm_Qp[mm]=0.300

X	M	Act	Aft	pAft	$S_{r,max}$	σ_{fmed}	Wd	Wk	Cb	Ver.	Cs
cm	kg*m	mq	cmq	cm	cm	kg/cmq	mm	mm			
0.0	421	0.0	4.02	10.05	30.5	163	0.014	0.014	34(Fr)	Si	28
0.0	416	0.0	4.02	10.05	30.5	161	0.014	0.014	38(Qp)	Si	21
33.0	479	0.0	4.02	10.05	30.5	185	0.016	0.016	38(Qp)	Si	19
33.0	484	0.0	4.02	10.05	30.5	187	0.016	0.016	33(Fr)	Si	24
165.0	-217	0.0	8.04	20.11	22.1	43	0.003	0.003	38(Qp)	Si	>100
165.0	-219	0.0	8.04	20.11	22.1	44	0.003	0.003	33(Fr)	Si	>100
297.0	-108	0.0	8.04	20.11	22.1	22	0.001	0.001	38(Qp)	Si	>100
297.0	-108	0.0	8.04	20.11	22.1	22	0.001	0.001	35(Fr)	Si	>100
330.0	-373	0.0	8.04	20.11	22.1	74	0.005	0.005	38(Qp)	Si	64
330.0	-373	0.0	8.04	20.11	22.1	74	0.005	0.005	35(Fr)	Si	85

Trave di Fond. : 9007 [7 , 4] Pilastrate [7 , 4]

Sez. R: $B_y = 40.0 \text{ cm}$ $B_z = 70.0 \text{ cm}$ $L = 689.5 \text{ cm}$ $L_n = 624.5 \text{ cm}$ Terreno: **Terreno**

Criterio : CLS_TraviFondazione_Esist

Combinazione Rara: $\sigma_{ca}[\text{kg/cm}^2]=68$ $\sigma_{fa}[\text{kg/cm}^2]=2800$

X	M+	M-	Afsup	Afinf	σ_c+	σ_f+	σ_c-	σ_f-	Cb+	Cb-	Ver.	CS
cm	kg*m	kg*m	cmq	cmq	kg/cmq	kg/cmq	kg/cmq	kg/cmq				
0.0	2223	--	4.02	8.04	-9	442	--	--	24	29	Si	6.3
62.5	--	347	4.02	8.04	--	--	-2	134	29	24	Si	21
312.3	2400	--	4.02	8.04	-10	478	--	--	24	29	Si	5.9
562.1	--	1262	4.02	8.04	--	--	-6	489	29	24	Si	5.7
624.5	--	143	4.02	8.04	--	--	-1	55	29	24	Si	51

Combinazione QP: $\sigma_{ca}[\text{kg/cm}^2]=51$ $\sigma_{fa}[\text{kg/cm}^2]=2800$

X	M+	M-	Afsup	Afinf	σ_c+	σ_f+	σ_c-	σ_f-	Cb+	Cb-	Ver.	CS
cm	kg*m	kg*m	cmq	cmq	kg/cmq	kg/cmq	kg/cmq	kg/cmq				
0.0	1900	--	4.02	8.04	-8	378	--	--	38	38	Si	6.3
62.5	--	325	4.02	8.04	--	--	-2	126	38	38	Si	22
312.3	2124	--	4.02	8.04	-9	423	--	--	38	38	Si	5.7
562.1	--	1113	4.02	8.04	--	--	-6	431	38	38	Si	6.5
624.5	--	117	4.02	8.04	--	--	-1	45	38	38	Si	62

Verifica aperture fessure: Wamm_Freq[mm]=0.400 Wamm_Qp[mm]=0.300

X	M	Act	Aft	pAft	$S_{r,max}$	σ_{fmed}	Wd	Wk	Cb	Ver.	Cs
cm	kg*m	mq	cmq	cm	cm	kg/cmq	mm	mm			
0.0	-1935	0.0	8.04	20.11	22.1	385	0.024	0.024	33(Fr)	Si	16
0.0	-1900	0.0	8.04	20.11	22.1	378	0.024	0.024	38(Qp)	Si	13
62.5	325	0.0	4.02	10.05	30.5	126	0.011	0.011	38(Qp)	Si	27
62.5	326	0.0	4.02	10.05	30.5	126	0.011	0.011	34(Fr)	Si	36
312.3	-2124	0.0	8.04	20.11	22.1	423	0.027	0.027	38(Qp)	Si	11
312.3	-2150	0.0	8.04	20.11	22.1	428	0.027	0.027	33(Fr)	Si	15
562.1	1113	0.0	4.02	10.05	30.5	431	0.038	0.038	38(Qp)	Si	8.0
562.1	1126	0.0	4.02	10.05	30.5	436	0.038	0.038	33(Fr)	Si	11
624.5	117	0.0	4.02	10.05	30.5	45	0.004	0.004	38(Qp)	Si	76

X	M	Act	Aft	pAft	S _{r,max}	σfmed	Wd	Wk	Cb	Ver.	Cs
624.5	120	0.0	4.02	10.05	30.5	46	0.004	0.004	34(Fr)	Si	99

Trave di Fond. : 9007 [908 , 7] Pilastrate [- , 7]

Sez. R: By= 40.0 cm Bz=70.0 cm L=70.0 cm Ln=90.0 cm Terreno: **Terreno**

Criterio : CLS_TraviFondazione_Esist

Combinazione Rara: σca[kg/cm²]=68 σfa[kg/cm²]=2800

X	M+	M-	Afsup	Afinf	σc+	σf+	σc-	σf-	Cb+	Cb-	Ver.	CS
cm	kg*m	kg*m	cmq	cmq	kg/cm ²	kg/cm ²	kg/cm ²	kg/cm ²				
0.0	4102	--	4.02	8.04	-17	817	--	--	24	29	Si	3.4
9.0	4280	--	4.02	8.04	-18	852	--	--	24	29	Si	3.3
45.0	3616	--	4.02	8.04	-15	720	--	--	24	29	Si	3.9
81.0	2664	--	4.02	8.04	-11	530	--	--	24	29	Si	5.3
90.0	2565	--	4.02	8.04	-11	511	--	--	24	29	Si	5.5

Combinazione QP: σca[kg/cm²]=51 σfa[kg/cm²]=2800

X	M+	M-	Afsup	Afinf	σc+	σf+	σc-	σf-	Cb+	Cb-	Ver.	CS
cm	kg*m	kg*m	cmq	cmq	kg/cm ²	kg/cm ²	kg/cm ²	kg/cm ²				
0.0	3407	--	4.02	8.04	-14	678	--	--	38	38	Si	3.5
9.0	3568	--	4.02	8.04	-15	710	--	--	38	38	Si	3.4
45.0	3043	--	4.02	8.04	-13	606	--	--	38	38	Si	3.9
81.0	2264	--	4.02	8.04	-10	451	--	--	38	38	Si	5.3
90.0	2190	--	4.02	8.04	-9	436	--	--	38	38	Si	5.5

Verifica aperture fessure: Wamm_Freq[mm]=0.400 Wamm_Qp[mm]=0.300

X	M	Act	Aft	pAft	S _{r,max}	σfmed	Wd	Wk	Cb	Ver.	Cs
cm	kg*m	mq	cmq	cm	cm	kg/cm ²	mm	mm			
0.0	-3488	0.0	8.04	20.11	22.1	694	0.044	0.044	33(Fr)	Si	9.1
0.0	-3407	0.0	8.04	20.11	22.1	678	0.043	0.043	38(Qp)	Si	7.0
9.0	-3568	0.0	8.04	20.11	22.1	710	0.045	0.045	38(Qp)	Si	6.7
9.0	-3650	0.0	8.04	20.11	22.1	727	0.046	0.046	33(Fr)	Si	8.7
45.0	-3043	0.0	8.04	20.11	22.1	606	0.038	0.038	38(Qp)	Si	7.9
45.0	-3108	0.0	8.04	20.11	22.1	619	0.039	0.039	33(Fr)	Si	10
81.0	-2264	0.0	8.04	20.11	22.1	451	0.028	0.028	38(Qp)	Si	11
81.0	-2309	0.0	8.04	20.11	22.1	460	0.029	0.029	33(Fr)	Si	14
90.0	-2190	0.0	8.04	20.11	22.1	436	0.027	0.027	38(Qp)	Si	11
90.0	-2232	0.0	8.04	20.11	22.1	444	0.028	0.028	33(Fr)	Si	14

Trave di Fond. : 9007 [912 , 908] Pilastrate [- , -]

Sez. R: By= 40.0 cm Bz=70.0 cm L=250.0 cm Ln=250.0 cm Terreno: **Terreno**

Criterio : CLS_TraviFondazione_Esist

Combinazione Rara: σca[kg/cm²]=68 σfa[kg/cm²]=2800

X	M+	M-	Afsup	Afinf	σc+	σf+	σc-	σf-	Cb+	Cb-	Ver.	CS
cm	kg*m	kg*m	cmq	cmq	kg/cm ²	kg/cm ²	kg/cm ²	kg/cm ²				
0.0	--	668	4.02	8.04	--	--	-3	259	27	24	Si	11
25.0	--	1970	4.02	8.04	--	--	-10	763	29	24	Si	3.7
125.0	--	3349	4.02	8.04	--	--	-17	1297	29	24	Si	2.2
225.0	1653	--	4.02	8.04	-7	329	--	--	24	29	Si	8.5
250.0	3997	--	4.02	8.04	-17	796	--	--	24	29	Si	3.5

Combinazione QP: σca[kg/cm²]=51 σfa[kg/cm²]=2800

X	M+	M-	Afsup	Afinf	σc+	σf+	σc-	σf-	Cb+	Cb-	Ver.	CS
cm	kg*m	kg*m	cmq	cmq	kg/cm ²	kg/cm ²	kg/cm ²	kg/cm ²				
0.0	--	371	4.02	8.04	--	--	-2	144	38	38	Si	19
25.0	--	1566	4.02	8.04	--	--	-8	607	38	38	Si	4.6
125.0	--	2948	4.02	8.04	--	--	-15	1142	38	38	Si	2.5
225.0	1295	--	4.02	8.04	-5	258	--	--	38	38	Si	9.3
250.0	3314	--	4.02	8.04	-14	660	--	--	38	38	Si	3.6

Verifica aperture fessure: Wamm_Freq[mm]=0.400 Wamm_Qp[mm]=0.300

X	M	Act	Aft	pAft	S _{r,max}	σ _{fmed}	Wd	Wk	Cb	Ver.	Cs
cm	kg*m	mq	cmq	cm	cm	kg/cmq	mm	mm			
0.0	412	0.0	4.02	10.05	30.5	160	0.014	0.014	33(Fr)	Si	29
0.0	371	0.0	4.02	10.05	30.5	144	0.013	0.013	38(Qp)	Si	24
25.0	1566	0.0	4.02	10.05	30.5	607	0.053	0.053	38(Qp)	Si	5.7
25.0	1615	0.0	4.02	10.05	30.5	626	0.055	0.055	33(Fr)	Si	7.3
125.0	2948	0.0	4.02	10.05	30.5	1142	0.100	0.100	38(Qp)	Si	3.0
125.0	2988	0.0	4.02	10.05	30.5	1157	0.101	0.101	33(Fr)	Si	4.0
225.0	-1295	0.0	8.04	20.11	22.1	258	0.016	0.016	38(Qp)	Si	18
225.0	-1340	0.0	8.04	20.11	22.1	267	0.017	0.017	33(Fr)	Si	24
250.0	-3314	0.0	8.04	20.11	22.1	660	0.042	0.042	38(Qp)	Si	7.2
250.0	-3394	0.0	8.04	20.11	22.1	676	0.043	0.043	33(Fr)	Si	9.4

Trave di Fond. : 9008 [13 , 21] Pilastrate [13 , 21]

Sez. R: By= 40.0 cm Bz=70.0 cm L=505.0 cm Ln=505.0 cm Terreno: **Terreno**

Criterio : CLS_TraviFondazione_Esist

Combinazione Rara: σ_{ca}[kg/cmq]=68 σ_{fa}[kg/cmq]=2800

X	M+	M-	Afsup	Afinf	σ _{c+}	σ _{f+}	σ _{c-}	σ _{f-}	Cb+	Cb-	Ver.	CS
cm	kg*m	kg*m	cmq	cmq	kg/cmq	kg/cmq	kg/cmq	kg/cmq				
0.0	4350	--	4.02	8.04	-18	866	--	--	24	28	Si	3.2
50.5	1246	--	4.02	8.04	-5	248	--	--	24	29	Si	11
252.5	--	2874	4.02	8.04	--	--	-14	1113	28	24	Si	2.5
454.5	141	--	4.02	8.04	-1	28	--	--	28	24	Si	>100
505.0	1654	--	4.02	8.04	-7	329	--	--	29	24	Si	8.5

Combinazione QP: σ_{ca}[kg/cmq]=51 σ_{fa}[kg/cmq]=2800

X	M+	M-	Afsup	Afinf	σ _{c+}	σ _{f+}	σ _{c-}	σ _{f-}	Cb+	Cb-	Ver.	CS
cm	kg*m	kg*m	cmq	cmq	kg/cmq	kg/cmq	kg/cmq	kg/cmq				
0.0	3931	--	4.02	8.04	-17	783	--	--	38	38	Si	3.1
50.5	1113	--	4.02	8.04	-5	222	--	--	38	38	Si	11
252.5	--	2647	4.02	8.04	--	--	-13	1025	38	38	Si	2.7
454.5	175	--	4.02	8.04	-1	35	--	--	38	38	Si	69
505.0	1675	--	4.02	8.04	-7	334	--	--	38	38	Si	7.2

Verifica aperture fessure: Wamm_Freq[mm]=0.400 Wamm_Qp[mm]=0.300

X	M	Act	Aft	pAft	S _{r,max}	σ _{fmed}	Wd	Wk	Cb	Ver.	Cs
cm	kg*m	mq	cmq	cm	cm	kg/cmq	mm	mm			
0.0	-3972	0.0	8.04	20.11	22.1	791	0.050	0.050	33(Fr)	Si	8.0
0.0	-3931	0.0	8.04	20.11	22.1	783	0.049	0.049	38(Qp)	Si	6.1
50.5	-1113	0.0	8.04	20.11	22.1	222	0.014	0.014	38(Qp)	Si	21
50.5	-1127	0.0	8.04	20.11	22.1	224	0.014	0.014	33(Fr)	Si	28
252.5	2647	0.0	4.02	10.05	30.5	1025	0.089	0.089	38(Qp)	Si	3.4
252.5	2668	0.0	4.02	10.05	30.5	1034	0.090	0.090	33(Fr)	Si	4.4
454.5	-175	0.0	8.04	20.11	22.1	35	0.002	0.002	38(Qp)	Si	>100
454.5	-175	0.0	8.04	20.11	22.1	35	0.002	0.002	35(Fr)	Si	>100
505.0	-1675	0.0	8.04	20.11	22.1	334	0.021	0.021	38(Qp)	Si	14
505.0	-1675	0.0	8.04	20.11	22.1	334	0.021	0.021	35(Fr)	Si	19

Trave di Fond. : 9008 [21 , 23] Pilastrate [21 , 23]

Sez. R: By= 40.0 cm Bz=70.0 cm L=420.0 cm Ln=380.0 cm Terreno: **Terreno**

Criterio : CLS_TraviFondazione_Esist

Combinazione Rara: σ_{ca}[kg/cmq]=68 σ_{fa}[kg/cmq]=2800

X	M+	M-	Afsup	Afinf	σ _{c+}	σ _{f+}	σ _{c-}	σ _{f-}	Cb+	Cb-	Ver.	CS
cm	kg*m	kg*m	cmq	cmq	kg/cmq	kg/cmq	kg/cmq	kg/cmq				
0.0	1796	--	4.02	8.04	-8	358	--	--	29	24	Si	7.8
38.0	907	--	4.02	8.04	-4	181	--	--	29	24	Si	16
190.0	--	694	4.02	8.04	--	--	-3	269	29	24	Si	10
342.0	768	--	4.02	8.04	-3	153	--	--	29	24	Si	18

X	M+	M-	Afsup	Afinf	σ_c+	σ_f+	σ_c-	σ_f-	Cb+	Cb-	Ver.	CS
380.0	1633	--	4.02	8.04	-7	325	--	--	29	24	Si	8.6

Combinazione QP: $\sigma_{ca}[\text{kg/cm}^2]=51$ $\sigma_{fa}[\text{kg/cm}^2]=2800$

X	M+	M-	Afsup	Afinf	σ_c+	σ_f+	σ_c-	σ_f-	Cb+	Cb-	Ver.	CS
cm	kg*m	kg*m	cmq	cmq	kg/cmq	kg/cmq	kg/cmq	kg/cmq				
0.0	1811	--	4.02	8.04	-8	361	--	--	38	38	Si	6.6
38.0	919	--	4.02	8.04	-4	183	--	--	38	38	Si	13
190.0	--	670	4.02	8.04	--	--	-3	260	38	38	Si	11
342.0	785	--	4.02	8.04	-3	156	--	--	38	38	Si	15
380.0	1653	--	4.02	8.04	-7	329	--	--	38	38	Si	7.3

Verifica aperture fessure: Wamm_Freq[mm]=0.400 Wamm_Qp[mm]=0.300

X	M	Act	Aft	pAft	$S_{r,max}$	σ_{fmed}	Wd	Wk	Cb	Ver.	Cs
cm	kg*m	mq	cmq	cm	cm	kg/cmq	mm	mm			
0.0	-1811	0.0	8.04	20.11	22.1	361	0.023	0.023	35(Fr)	Si	18
0.0	-1811	0.0	8.04	20.11	22.1	361	0.023	0.023	38(Qp)	Si	13
38.0	-919	0.0	8.04	20.11	22.1	183	0.012	0.012	38(Qp)	Si	26
38.0	-919	0.0	8.04	20.11	22.1	183	0.012	0.012	35(Fr)	Si	35
190.0	670	0.0	4.02	10.05	30.5	260	0.023	0.023	38(Qp)	Si	13
190.0	672	0.0	4.02	10.05	30.5	260	0.023	0.023	33(Fr)	Si	18
342.0	-785	0.0	8.04	20.11	22.1	156	0.010	0.010	38(Qp)	Si	30
342.0	-785	0.0	8.04	20.11	22.1	156	0.010	0.010	35(Fr)	Si	41
380.0	-1653	0.0	8.04	20.11	22.1	329	0.021	0.021	38(Qp)	Si	14
380.0	-1653	0.0	8.04	20.11	22.1	329	0.021	0.021	35(Fr)	Si	19

Trave di Fond. : 9008 [23 , 35] Pilastrate [23 , 35]

Sez. R: $B_y = 40.0 \text{ cm}$ $B_z = 70.0 \text{ cm}$ $L = 498.0 \text{ cm}$ $L_n = 498.0 \text{ cm}$ Terreno: **Terreno**

Criterio : CLS_TraviFondazione_Esist

Combinazione Rara: $\sigma_{ca}[\text{kg/cm}^2]=68$ $\sigma_{fa}[\text{kg/cm}^2]=2800$

X	M+	M-	Afsup	Afinf	σ_c+	σ_f+	σ_c-	σ_f-	Cb+	Cb-	Ver.	CS
cm	kg*m	kg*m	cmq	cmq	kg/cmq	kg/cmq	kg/cmq	kg/cmq				
0.0	1562	--	4.02	8.04	-7	311	--	--	29	24	Si	9.0
49.8	116	--	4.02	8.04	-0	23	--	--	29	24	Si	>100
249.0	--	2371	4.02	8.04	--	--	-12	919	29	24	Si	3.0
448.2	2711	--	4.02	8.04	-11	540	--	--	24	29	Si	5.2
498.0	5956	--	4.02	8.04	-25	1186	--	--	24	29	Si	2.4

Combinazione QP: $\sigma_{ca}[\text{kg/cm}^2]=51$ $\sigma_{fa}[\text{kg/cm}^2]=2800$

X	M+	M-	Afsup	Afinf	σ_c+	σ_f+	σ_c-	σ_f-	Cb+	Cb-	Ver.	CS
cm	kg*m	kg*m	cmq	cmq	kg/cmq	kg/cmq	kg/cmq	kg/cmq				
0.0	1588	--	4.02	8.04	-7	316	--	--	38	38	Si	7.6
49.8	153	--	4.02	8.04	-1	30	--	--	38	38	Si	78
249.0	--	2193	4.02	8.04	--	--	-11	850	38	38	Si	3.3
448.2	2394	--	4.02	8.04	-10	477	--	--	38	38	Si	5.0
498.0	5322	--	4.02	8.04	-23	1060	--	--	38	38	Si	2.3

Verifica aperture fessure: Wamm_Freq[mm]=0.400 Wamm_Qp[mm]=0.300

X	M	Act	Aft	pAft	$S_{r,max}$	σ_{fmed}	Wd	Wk	Cb	Ver.	Cs
cm	kg*m	mq	cmq	cm	cm	kg/cmq	mm	mm			
0.0	-1588	0.0	8.04	20.11	22.1	316	0.020	0.020	35(Fr)	Si	20
0.0	-1588	0.0	8.04	20.11	22.1	316	0.020	0.020	38(Qp)	Si	15
49.8	-153	0.0	8.04	20.11	22.1	30	0.002	0.002	38(Qp)	Si	>100
49.8	-153	0.0	8.04	20.11	22.1	30	0.002	0.002	35(Fr)	Si	>100
249.0	2193	0.0	4.02	10.05	30.5	850	0.074	0.074	38(Qp)	Si	4.1
249.0	2210	0.0	4.02	10.05	30.5	856	0.075	0.075	33(Fr)	Si	5.4
448.2	-2394	0.0	8.04	20.11	22.1	477	0.030	0.030	38(Qp)	Si	10.0
448.2	-2425	0.0	8.04	20.11	22.1	483	0.030	0.030	33(Fr)	Si	13
498.0	-5322	0.0	8.04	20.11	22.1	1060	0.078	0.078	38(Qp)	Si	3.8

X	M	Act	Aft	pAft	S _{r,max}	σ _{fmed}	Wd	Wk	Cb	Ver.	Cs
498.0	-5383	0.0	8.04	20.11	22.1	1072	0.080	0.080	33(Fr)	Si	5.0

Trave di Fond. : 9008 [35 , 37] Pilastrate [35 , 37]

Sez. R: By= 40.0 cm Bz=70.0 cm L=645.0 cm Ln=645.0 cm Terreno: **Terreno**

Criterio : CLS_TraviFondazione_Esist

Combinazione Rara: σ_{ca}[kg/cm²]=68 σ_{fa}[kg/cm²]=2800

X	M+	M-	Afsup	Afinf	σ _{c+}	σ _{f+}	σ _{c-}	σ _{f-}	Cb+	Cb-	Ver.	CS
cm	kg*m	kg*m	cmq	cmq	kg/cm ²	kg/cm ²	kg/cm ²	kg/cm ²				
0.0	3213	--	4.02	8.04	-14	640	--	--	24	29	Si	4.4
64.5	294	--	4.02	8.04	-1	59	--	--	24	29	Si	48
322.5	2316	--	4.02	8.04	-10	461	--	--	24	29	Si	6.1
580.5	--	853	4.02	8.04	--	--	-4	330	29	24	Si	8.5
645.0	893	--	4.02	8.04	-4	178	--	--	24	29	Si	16

Combinazione QP: σ_{ca}[kg/cm²]=51 σ_{fa}[kg/cm²]=2800

X	M+	M-	Afsup	Afinf	σ _{c+}	σ _{f+}	σ _{c-}	σ _{f-}	Cb+	Cb-	Ver.	CS
cm	kg*m	kg*m	cmq	cmq	kg/cm ²	kg/cm ²	kg/cm ²	kg/cm ²				
0.0	2912	--	4.02	8.04	-12	580	--	--	38	38	Si	4.1
64.5	242	--	4.02	8.04	-1	48	--	--	38	38	Si	50
322.5	2132	--	4.02	8.04	-9	424	--	--	38	38	Si	5.6
580.5	--	784	4.02	8.04	--	--	-4	304	38	38	Si	9.2
645.0	806	--	4.02	8.04	-3	160	--	--	38	38	Si	15

Verifica aperture fessure: Wamm_Freq[mm]=0.400 Wamm_Qp[mm]=0.300

X	M	Act	Aft	pAft	S _{r,max}	σ _{fmed}	Wd	Wk	Cb	Ver.	Cs
cm	kg*m	mq	cmq	cm	cm	kg/cm ²	mm	mm			
0.0	-2939	0.0	8.04	20.11	22.1	585	0.037	0.037	33(Fr)	Si	11
0.0	-2912	0.0	8.04	20.11	22.1	580	0.037	0.037	38(Qp)	Si	8.2
64.5	-242	0.0	8.04	20.11	22.1	48	0.003	0.003	38(Qp)	Si	99
64.5	-247	0.0	8.04	20.11	22.1	49	0.003	0.003	33(Fr)	Si	>100
322.5	-2132	0.0	8.04	20.11	22.1	424	0.027	0.027	38(Qp)	Si	11
322.5	-2150	0.0	8.04	20.11	22.1	428	0.027	0.027	33(Fr)	Si	15
580.5	784	0.0	4.02	10.05	30.5	304	0.026	0.026	38(Qp)	Si	11
580.5	791	0.0	4.02	10.05	30.5	306	0.027	0.027	33(Fr)	Si	15
645.0	-806	0.0	8.04	20.11	22.1	160	0.010	0.010	38(Qp)	Si	30
645.0	-812	0.0	8.04	20.11	22.1	162	0.010	0.010	33(Fr)	Si	39

Trave di Fond. : 9009 [13 , 15] Pilastrate [13 , 15]

Sez. R: By= 40.0 cm Bz=70.0 cm L=120.0 cm Ln=120.0 cm Terreno: **Terreno**

Criterio : CLS_TraviFondazione_Esist

Combinazione Rara: σ_{ca}[kg/cm²]=68 σ_{fa}[kg/cm²]=2800

X	M+	M-	Afsup	Afinf	σ _{c+}	σ _{f+}	σ _{c-}	σ _{f-}	Cb+	Cb-	Ver.	CS
cm	kg*m	kg*m	cmq	cmq	kg/cm ²	kg/cm ²	kg/cm ²	kg/cm ²				
0.0	--	268	4.02	8.04	--	--	-1	104	28	24	Si	27
12.0	--	148	4.02	8.04	--	--	-1	57	28	24	Si	49
60.0	--	55	4.02	8.04	--	--	-0	21	28	24	Si	>100
108.0	350	--	4.02	8.04	-1	70	--	--	24	29	Si	40
120.0	632	--	4.02	8.04	-3	126	--	--	24	29	Si	22

Combinazione QP: σ_{ca}[kg/cm²]=51 σ_{fa}[kg/cm²]=2800

X	M+	M-	Afsup	Afinf	σ _{c+}	σ _{f+}	σ _{c-}	σ _{f-}	Cb+	Cb-	Ver.	CS
cm	kg*m	kg*m	cmq	cmq	kg/cm ²	kg/cm ²	kg/cm ²	kg/cm ²				
0.0	--	239	4.02	8.04	--	--	-1	92	38	38	Si	30
12.0	--	133	4.02	8.04	--	--	-1	51	38	38	Si	54
60.0	--	55	4.02	8.04	--	--	-0	21	38	38	Si	>100
108.0	315	--	4.02	8.04	-1	63	--	--	38	38	Si	38
120.0	574	--	4.02	8.04	-2	114	--	--	38	38	Si	21

Verifica aperture fessure:Wamm_Freq[mm]=0.400 Wamm_Qp[mm]=0.300

X	M	Act	Aft	pAft	S _{r,max}	σfmed	Wd	Wk	Cb	Ver.	Cs
cm	kg*m	mq	cmq	cm	cm	kg/cmq	mm	mm			
0.0	242	0.0	4.02	10.05	30.5	94	0.008	0.008	33(Fr)	Si	49
0.0	239	0.0	4.02	10.05	30.5	92	0.008	0.008	38(Qp)	Si	37
12.0	133	0.0	4.02	10.05	30.5	51	0.004	0.004	38(Qp)	Si	67
12.0	135	0.0	4.02	10.05	30.5	52	0.005	0.005	33(Fr)	Si	88
60.0	55	0.0	4.02	10.05	30.5	21	0.002	0.002	38(Qp)	Si	>100
60.0	55	0.0	4.02	10.05	30.5	21	0.002	0.002	34(Fr)	Si	>100
108.0	-315	0.0	8.04	20.11	22.1	63	0.004	0.004	38(Qp)	Si	76
108.0	-320	0.0	8.04	20.11	22.1	64	0.004	0.004	33(Fr)	Si	100
120.0	-574	0.0	8.04	20.11	22.1	114	0.007	0.007	38(Qp)	Si	42
120.0	-581	0.0	8.04	20.11	22.1	116	0.007	0.007	33(Fr)	Si	55

Trave di Fond. : 9009 [15 , 915] Pilastrate [15 , -]

Sez. R: By= 40.0 cm Bz=70.0 cm L=350.0 cm Ln=330.0 cm Terreno: **Terreno**

Criterio : CLS_TraviFondazione_Esist

Combinazione Rara: σca[kg/cmq]=68 σfa[kg/cmq]=2800

X	M+	M-	Afsup	Afinf	σc+	σf+	σc-	σf-	Cb+	Cb-	Ver.	CS
cm	kg*m	kg*m	cmq	cmq	kg/cmq	kg/cmq	kg/cmq	kg/cmq				
0.0	240	--	4.02	8.04	-1	48	--	--	29	26	Si	59
33.0	--	108	4.02	8.04	--	--	-1	42	29	24	Si	67
165.0	102	--	4.02	8.04	-0	20	--	--	24	28	Si	>100
297.0	--	768	4.02	8.04	--	--	-4	297	29	24	Si	9.4
330.0	--	467	4.02	8.04	--	--	-2	181	27	24	Si	15

Combinazione QP: σca[kg/cmq]=51 σfa[kg/cmq]=2800

X	M+	M-	Afsup	Afinf	σc+	σf+	σc-	σf-	Cb+	Cb-	Ver.	CS
cm	kg*m	kg*m	cmq	cmq	kg/cmq	kg/cmq	kg/cmq	kg/cmq				
0.0	233	--	4.02	8.04	-1	46	--	--	38	38	Si	52
33.0	--	93	4.02	8.04	--	--	-0	36	38	38	Si	77
165.0	99	--	4.02	8.04	-0	20	--	--	38	38	Si	>100
297.0	--	640	4.02	8.04	--	--	-3	248	38	38	Si	11
330.0	--	354	4.02	8.04	--	--	-2	137	38	38	Si	20

Verifica aperture fessure:Wamm_Freq[mm]=0.400 Wamm_Qp[mm]=0.300

X	M	Act	Aft	pAft	S _{r,max}	σfmed	Wd	Wk	Cb	Ver.	Cs
cm	kg*m	mq	cmq	cm	cm	kg/cmq	mm	mm			
0.0	-237	0.0	8.04	20.11	22.1	47	0.003	0.003	33(Fr)	Si	>100
0.0	-233	0.0	8.04	20.11	22.1	46	0.003	0.003	38(Qp)	Si	>100
33.0	93	0.0	4.02	10.05	30.5	36	0.003	0.003	38(Qp)	Si	95
33.0	95	0.0	4.02	10.05	30.5	37	0.003	0.003	34(Fr)	Si	>100
165.0	-99	0.0	8.04	20.11	22.1	20	0.001	0.001	38(Qp)	Si	>100
165.0	-99	0.0	8.04	20.11	22.1	20	0.001	0.001	34(Fr)	Si	>100
297.0	640	0.0	4.02	10.05	30.5	248	0.022	0.022	38(Qp)	Si	14
297.0	654	0.0	4.02	10.05	30.5	253	0.022	0.022	33(Fr)	Si	18
330.0	354	0.0	4.02	10.05	30.5	137	0.012	0.012	38(Qp)	Si	25
330.0	366	0.0	4.02	10.05	30.5	142	0.012	0.012	33(Fr)	Si	32

Trave di Fond. : 9009 [17 , 5] Pilastrate [17 , 5]

Sez. R: By= 40.0 cm Bz=70.0 cm L=689.5 cm Ln=649.5 cm Terreno: **Terreno**

Criterio : CLS_TraviFondazione_Esist

Combinazione Rara: σca[kg/cmq]=68 σfa[kg/cmq]=2800

X	M+	M-	Afsup	Afinf	σc+	σf+	σc-	σf-	Cb+	Cb-	Ver.	CS
cm	kg*m	kg*m	cmq	cmq	kg/cmq	kg/cmq	kg/cmq	kg/cmq				
0.0	1974	--	4.02	8.04	-8	393	--	--	24	29	Si	7.1
65.0	--	397	4.02	8.04	--	--	-2	154	29	24	Si	18
324.8	1648	--	4.02	8.04	-7	328	--	--	24	29	Si	8.5
584.6	--	1031	4.02	8.04	--	--	-5	399	29	24	Si	7.0

X	M+	M-	Afsup	Afinf	σ_c+	σ_f+	σ_c-	σ_f-	Cb+	Cb-	Ver.	CS
649.5	703	--	4.02	8.04	-3	140	--	--	24	29	Si	20

Combinazione QP: $\sigma_{ca}[\text{kg/cm}^2]=51$ $\sigma_{fa}[\text{kg/cm}^2]=2800$

X	M+	M-	Afsup	Afinf	σ_c+	σ_f+	σ_c-	σ_f-	Cb+	Cb-	Ver.	CS
cm	kg*m	kg*m	cmq	cmq	kg/cmq	kg/cmq	kg/cmq	kg/cmq				
0.0	1714	--	4.02	8.04	-7	341	--	--	38	38	Si	7.0
65.0	--	376	4.02	8.04	--	--	-2	146	38	38	Si	19
324.8	1463	--	4.02	8.04	-6	291	--	--	38	38	Si	8.2
584.6	--	907	4.02	8.04	--	--	-5	351	38	38	Si	8.0
649.5	634	--	4.02	8.04	-3	126	--	--	38	38	Si	19

Verifica aperture fessure: $W_{amm_Freq}[\text{mm}]=0.400$ $W_{amm_Qp}[\text{mm}]=0.300$

X	M	Act	Aft	pAft	$S_{r,max}$	σ_{fmed}	Wd	Wk	Cb	Ver.	Cs
cm	kg*m	mq	cmq	cm	cm	kg/cmq	mm	mm			
0.0	-1742	0.0	8.04	20.11	22.1	347	0.022	0.022	33(Fr)	Si	18
0.0	-1714	0.0	8.04	20.11	22.1	341	0.022	0.022	38(Qp)	Si	14
65.0	376	0.0	4.02	10.05	30.5	146	0.013	0.013	38(Qp)	Si	24
65.0	378	0.0	4.02	10.05	30.5	146	0.013	0.013	33(Fr)	Si	31
324.8	-1463	0.0	8.04	20.11	22.1	291	0.018	0.018	38(Qp)	Si	16
324.8	-1480	0.0	8.04	20.11	22.1	295	0.019	0.019	33(Fr)	Si	22
584.6	907	0.0	4.02	10.05	30.5	351	0.031	0.031	38(Qp)	Si	9.8
584.6	918	0.0	4.02	10.05	30.5	356	0.031	0.031	33(Fr)	Si	13
649.5	-634	0.0	8.04	20.11	22.1	126	0.008	0.008	38(Qp)	Si	38
649.5	-645	0.0	8.04	20.11	22.1	128	0.008	0.008	33(Fr)	Si	49

Trave di Fond. : 9009 [911 , 17] Pilastrate [- , 17]

Sez. R: $B_y = 40.0 \text{ cm}$ $B_z = 70.0 \text{ cm}$ $L = 70.0 \text{ cm}$ $L_n = 90.0 \text{ cm}$ Terreno: **Terreno**

Criterio : **CLS_TraviFondazione_Esist**

Combinazione Rara: $\sigma_{ca}[\text{kg/cm}^2]=68$ $\sigma_{fa}[\text{kg/cm}^2]=2800$

X	M+	M-	Afsup	Afinf	σ_c+	σ_f+	σ_c-	σ_f-	Cb+	Cb-	Ver.	CS
cm	kg*m	kg*m	cmq	cmq	kg/cmq	kg/cmq	kg/cmq	kg/cmq				
0.0	1075	--	4.02	8.04	-5	214	--	--	24	29	Si	13
9.0	1121	--	4.02	8.04	-5	223	--	--	24	29	Si	13
45.0	1227	--	4.02	8.04	-5	244	--	--	24	29	Si	11
81.0	1355	--	4.02	8.04	-6	270	--	--	24	29	Si	10
90.0	1500	--	4.02	8.04	-6	299	--	--	24	29	Si	9.4

Combinazione QP: $\sigma_{ca}[\text{kg/cm}^2]=51$ $\sigma_{fa}[\text{kg/cm}^2]=2800$

X	M+	M-	Afsup	Afinf	σ_c+	σ_f+	σ_c-	σ_f-	Cb+	Cb-	Ver.	CS
cm	kg*m	kg*m	cmq	cmq	kg/cmq	kg/cmq	kg/cmq	kg/cmq				
0.0	894	--	4.02	8.04	-4	178	--	--	38	38	Si	13
9.0	936	--	4.02	8.04	-4	186	--	--	38	38	Si	13
45.0	1040	--	4.02	8.04	-4	207	--	--	38	38	Si	12
81.0	1170	--	4.02	8.04	-5	233	--	--	38	38	Si	10
90.0	1304	--	4.02	8.04	-6	260	--	--	38	38	Si	9.2

Verifica aperture fessure: $W_{amm_Freq}[\text{mm}]=0.400$ $W_{amm_Qp}[\text{mm}]=0.300$

X	M	Act	Aft	pAft	$S_{r,max}$	σ_{fmed}	Wd	Wk	Cb	Ver.	Cs
cm	kg*m	mq	cmq	cm	cm	kg/cmq	mm	mm			
0.0	-913	0.0	8.04	20.11	22.1	182	0.011	0.011	33(Fr)	Si	35
0.0	-894	0.0	8.04	20.11	22.1	178	0.011	0.011	38(Qp)	Si	27
9.0	-936	0.0	8.04	20.11	22.1	186	0.012	0.012	38(Qp)	Si	26
9.0	-955	0.0	8.04	20.11	22.1	190	0.012	0.012	33(Fr)	Si	33
45.0	-1040	0.0	8.04	20.11	22.1	207	0.013	0.013	38(Qp)	Si	23
45.0	-1059	0.0	8.04	20.11	22.1	211	0.013	0.013	33(Fr)	Si	30
81.0	-1170	0.0	8.04	20.11	22.1	233	0.015	0.015	38(Qp)	Si	20
81.0	-1189	0.0	8.04	20.11	22.1	237	0.015	0.015	33(Fr)	Si	27
90.0	-1304	0.0	8.04	20.11	22.1	260	0.016	0.016	38(Qp)	Si	18

X	M	Act	Aft	pAft	S _{r,max}	σfmed	Wd	Wk	Cb	Ver.	Cs
90.0	-1325	0.0	8.04	20.11	22.1	264	0.017	0.017	33(Fr)	Si	24

Trave di Fond. : 9009 [915 , 911] Pilastrate [- , -]

Sez. R: By= 40.0 cm Bz=70.0 cm L=250.0 cm Ln=250.0 cm Terreno: **Terreno**

Criterio : CLS_TraviFondazione_Esist

Combinazione Rara: σca[kg/cm²]=68 σfa[kg/cm²]=2800

X	M+	M-	Afsup	Afinf	σc+	σf+	σc-	σf-	Cb+	Cb-	Ver.	CS
cm	kg*m	kg*m	cmq	cmq	kg/cm ²	kg/cm ²	kg/cm ²	kg/cm ²				
0.0	--	720	4.02	8.04	--	--	-4	279	29	24	Si	10
25.0	--	1093	4.02	8.04	--	--	-5	423	29	24	Si	6.6
125.0	--	560	4.02	8.04	--	--	-3	217	29	24	Si	13
225.0	686	--	4.02	8.04	-3	137	--	--	24	27	Si	20
250.0	1471	--	4.02	8.04	-6	293	--	--	24	29	Si	9.6

Combinazione QP: σca[kg/cm²]=51 σfa[kg/cm²]=2800

X	M+	M-	Afsup	Afinf	σc+	σf+	σc-	σf-	Cb+	Cb-	Ver.	CS
cm	kg*m	kg*m	cmq	cmq	kg/cm ²	kg/cm ²	kg/cm ²	kg/cm ²				
0.0	--	574	4.02	8.04	--	--	-3	222	38	38	Si	13
25.0	--	923	4.02	8.04	--	--	-5	358	38	38	Si	7.8
125.0	--	502	4.02	8.04	--	--	-3	195	38	38	Si	14
225.0	550	--	4.02	8.04	-2	110	--	--	38	38	Si	22
250.0	1240	--	4.02	8.04	-5	247	--	--	38	38	Si	9.7

Verifica aperture fessure: Wamm_Freq[mm]=0.400 Wamm_Qp[mm]=0.300

X	M	Act	Aft	pAft	S _{r,max}	σfmed	Wd	Wk	Cb	Ver.	Cs
cm	kg*m	mq	cmq	cm	cm	kg/cm ²	mm	mm			
0.0	589	0.0	4.02	10.05	30.5	228	0.020	0.020	33(Fr)	Si	20
0.0	574	0.0	4.02	10.05	30.5	222	0.019	0.019	38(Qp)	Si	15
25.0	923	0.0	4.02	10.05	30.5	358	0.031	0.031	38(Qp)	Si	9.6
25.0	941	0.0	4.02	10.05	30.5	364	0.032	0.032	33(Fr)	Si	13
125.0	502	0.0	4.02	10.05	30.5	195	0.017	0.017	38(Qp)	Si	18
125.0	508	0.0	4.02	10.05	30.5	197	0.017	0.017	33(Fr)	Si	23
225.0	-550	0.0	8.04	20.11	22.1	110	0.007	0.007	38(Qp)	Si	43
225.0	-564	0.0	8.04	20.11	22.1	112	0.007	0.007	33(Fr)	Si	56
250.0	-1240	0.0	8.04	20.11	22.1	247	0.016	0.016	38(Qp)	Si	19
250.0	-1264	0.0	8.04	20.11	22.1	252	0.016	0.016	33(Fr)	Si	25

Trave di Fond. : 9010 [25 , 6] Pilastrate [25 , 6]

Sez. R: By= 40.0 cm Bz=70.0 cm L=689.5 cm Ln=629.5 cm Terreno: **Terreno**

Criterio : CLS_TraviFondazione_Esist

Combinazione Rara: σca[kg/cm²]=68 σfa[kg/cm²]=2800

X	M+	M-	Afsup	Afinf	σc+	σf+	σc-	σf-	Cb+	Cb-	Ver.	CS
cm	kg*m	kg*m	cmq	cmq	kg/cm ²	kg/cm ²	kg/cm ²	kg/cm ²				
0.0	446	--	4.02	8.04	-2	89	--	--	24	27	Si	32
63.0	--	1092	4.02	8.04	--	--	-5	423	29	24	Si	6.6
314.8	1039	--	4.02	8.04	-4	207	--	--	24	29	Si	14
566.6	--	962	4.02	8.04	--	--	-5	373	27	24	Si	7.5
629.5	638	--	4.02	8.04	-3	127	--	--	24	29	Si	22

Combinazione QP: σca[kg/cm²]=51 σfa[kg/cm²]=2800

X	M+	M-	Afsup	Afinf	σc+	σf+	σc-	σf-	Cb+	Cb-	Ver.	CS
cm	kg*m	kg*m	cmq	cmq	kg/cm ²	kg/cm ²	kg/cm ²	kg/cm ²				
0.0	389	--	4.02	8.04	-2	77	--	--	38	38	Si	31
63.0	--	981	4.02	8.04	--	--	-5	380	38	38	Si	7.4
314.8	931	--	4.02	8.04	-4	185	--	--	38	38	Si	13
566.6	--	856	4.02	8.04	--	--	-4	332	38	38	Si	8.4
629.5	571	--	4.02	8.04	-2	114	--	--	38	38	Si	21

Verifica aperture fessure: Wamm_Freq[mm]=0.400 Wamm_Qp[mm]=0.300

X	M	Act	Aft	pAft	S _{r,max}	σfmed	Wd	Wk	Cb	Ver.	Cs
cm	kg*m	mq	cmq	cm	cm	kg/cmq	mm	mm			
0.0	-395	0.0	8.04	20.11	22.1	79	0.005	0.005	33(Fr)	Si	81
0.0	-389	0.0	8.04	20.11	22.1	77	0.005	0.005	38(Qp)	Si	62
63.0	981	0.0	4.02	10.05	30.5	380	0.033	0.033	38(Qp)	Si	9.1
63.0	991	0.0	4.02	10.05	30.5	384	0.033	0.033	33(Fr)	Si	12
314.8	-931	0.0	8.04	20.11	22.1	185	0.012	0.012	38(Qp)	Si	26
314.8	-941	0.0	8.04	20.11	22.1	187	0.012	0.012	33(Fr)	Si	34
566.6	856	0.0	4.02	10.05	30.5	332	0.029	0.029	38(Qp)	Si	10
566.6	866	0.0	4.02	10.05	30.5	335	0.029	0.029	33(Fr)	Si	14
629.5	-571	0.0	8.04	20.11	22.1	114	0.007	0.007	38(Qp)	Si	42
629.5	-581	0.0	8.04	20.11	22.1	116	0.007	0.007	33(Fr)	Si	55

Trave di Fond. : 9011 [35 , 846] Pilastrate [35 , -]

Sez. R: By= 40.0 cm Bz=70.0 cm L=84.8 cm Ln=64.7 cm Terreno: **Terreno**

Criterio : CLS_TraviFondazione_Esist

Combinazione Rara: σca[kg/cmq]=68 σfa[kg/cmq]=2800

X	M+	M-	Afsup	Afinf	σc+	σf+	σc-	σf-	Cb+	Cb-	Ver.	CS
cm	kg*m	kg*m	cmq	cmq	kg/cmq	kg/cmq	kg/cmq	kg/cmq				
0.0	647	--	4.02	8.04	-3	129	--	--	29	24	Si	22
6.5	945	--	4.02	8.04	-4	188	--	--	24	28	Si	15
32.4	1701	--	4.02	8.04	-7	339	--	--	24	28	Si	8.3
58.3	1678	--	4.02	8.04	-7	334	--	--	27	28	Si	8.4
64.7	1562	--	4.02	8.04	-7	311	--	--	27	24	Si	9.0

Combinazione QP: σca[kg/cmq]=51 σfa[kg/cmq]=2800

X	M+	M-	Afsup	Afinf	σc+	σf+	σc-	σf-	Cb+	Cb-	Ver.	CS
cm	kg*m	kg*m	cmq	cmq	kg/cmq	kg/cmq	kg/cmq	kg/cmq				
0.0	641	--	4.02	8.04	-3	128	--	--	38	38	Si	19
6.5	917	--	4.02	8.04	-4	183	--	--	38	38	Si	13
32.4	1659	--	4.02	8.04	-7	330	--	--	38	38	Si	7.2
58.3	1657	--	4.02	8.04	-7	330	--	--	38	38	Si	7.2
64.7	1548	--	4.02	8.04	-7	308	--	--	38	38	Si	7.8

Verifica aperture fessure: Wamm_Freq[mm]=0.400 Wamm_Qp[mm]=0.300

X	M	Act	Aft	pAft	S _{r,max}	σfmed	Wd	Wk	Cb	Ver.	Cs
cm	kg*m	mq	cmq	cm	cm	kg/cmq	mm	mm			
0.0	-645	0.0	8.04	20.11	22.1	128	0.008	0.008	33(Fr)	Si	49
0.0	-641	0.0	8.04	20.11	22.1	128	0.008	0.008	38(Qp)	Si	37
6.5	-917	0.0	8.04	20.11	22.1	183	0.012	0.012	38(Qp)	Si	26
6.5	-924	0.0	8.04	20.11	22.1	184	0.012	0.012	33(Fr)	Si	35
32.4	-1659	0.0	8.04	20.11	22.1	330	0.021	0.021	38(Qp)	Si	14
32.4	-1670	0.0	8.04	20.11	22.1	333	0.021	0.021	33(Fr)	Si	19
58.3	-1657	0.0	8.04	20.11	22.1	330	0.021	0.021	38(Qp)	Si	14
58.3	-1668	0.0	8.04	20.11	22.1	332	0.021	0.021	33(Fr)	Si	19
64.7	-1548	0.0	8.04	20.11	22.1	308	0.019	0.019	38(Qp)	Si	15
64.7	-1557	0.0	8.04	20.11	22.1	310	0.020	0.020	33(Fr)	Si	20

Trave di Fond. : 9011 [41 , 2] Pilastrate [41 , 2]

Sez. R: By= 40.0 cm Bz=70.0 cm L=220.5 cm Ln=220.5 cm Terreno: **Terreno**

Criterio : CLS_TraviFondazione_Esist

Combinazione Rara: σca[kg/cmq]=68 σfa[kg/cmq]=2800

X	M+	M-	Afsup	Afinf	σc+	σf+	σc-	σf-	Cb+	Cb-	Ver.	CS
cm	kg*m	kg*m	cmq	cmq	kg/cmq	kg/cmq	kg/cmq	kg/cmq				
0.0	2434	--	6.03	8.04	-10	482	--	--	24	28	Si	5.8
22.0	1008	--	6.03	8.04	-4	200	--	--	24	28	Si	14
110.2	--	1372	6.03	8.04	--	--	-6	358	29	24	Si	7.8
198.4	1597	--	6.03	8.04	-6	316	--	--	28	27	Si	8.8

X	M+	M-	Afsup	Afinf	σ_c+	σ_f+	σ_c-	σ_f-	Cb+	Cb-	Ver.	CS
220.5	3171	--	6.03	8.04	-13	628	--	--	24	27	Si	4.5

Combinazione QP: $\sigma_{ca}[\text{kg/cm}^2]=51$ $\sigma_{fa}[\text{kg/cm}^2]=2800$

X	M+	M-	Afsup	Afinf	σ_c+	σ_f+	σ_c-	σ_f-	Cb+	Cb-	Ver.	CS
cm	kg*m	kg*m	cmq	cmq	kg/cmq	kg/cmq	kg/cmq	kg/cmq				
0.0	2086	--	6.03	8.04	-8	413	--	--	38	38	Si	6.0
22.0	826	--	6.03	8.04	-3	164	--	--	38	38	Si	15
110.2	--	1219	6.03	8.04	--	--	-5	318	38	38	Si	8.8
198.4	1545	--	6.03	8.04	-6	306	--	--	38	38	Si	8.1
220.5	3006	--	6.03	8.04	-12	596	--	--	38	38	Si	4.2

Verifica aperture fessure: $W_{amm_Freq}[\text{mm}]=0.400$ $W_{amm_Qp}[\text{mm}]=0.300$

X	M	Act	Aft	pAft	$S_{r,max}$	σ_{fmed}	Wd	Wk	Cb	Ver.	Cs
cm	kg*m	mq	cmq	cm	cm	kg/cmq	mm	mm			
0.0	-2154	0.0	8.04	20.11	22.1	427	0.027	0.027	33(Fr)	Si	15
0.0	-2086	0.0	8.04	20.11	22.1	413	0.026	0.026	38(Qp)	Si	12
22.0	-826	0.0	8.04	20.11	22.1	164	0.010	0.010	38(Qp)	Si	29
22.0	-870	0.0	8.04	20.11	22.1	172	0.011	0.011	33(Fr)	Si	37
110.2	1219	0.0	6.03	15.08	24.9	318	0.023	0.023	38(Qp)	Si	13
110.2	1234	0.0	6.03	15.08	24.9	322	0.023	0.023	33(Fr)	Si	17
198.4	-1545	0.0	8.04	20.11	22.1	306	0.019	0.019	38(Qp)	Si	16
198.4	-1555	0.0	8.04	20.11	22.1	308	0.019	0.019	34(Fr)	Si	21
220.5	-3006	0.0	8.04	20.11	22.1	596	0.038	0.038	38(Qp)	Si	8.0
220.5	-3024	0.0	8.04	20.11	22.1	599	0.038	0.038	34(Fr)	Si	11

Trave di Fond. : 9011 [2 , 8] Pilastrate [2 , 8]

Sez. R: $B_y = 40.0 \text{ cm}$ $B_z = 70.0 \text{ cm}$ $L = 499.5 \text{ cm}$ $L_n = 459.5 \text{ cm}$ Terreno: **Terreno**

Criterio : **CLS_TraviFondazione_Esist**

Combinazione Rara: $\sigma_{ca}[\text{kg/cm}^2]=68$ $\sigma_{fa}[\text{kg/cm}^2]=2800$

X	M+	M-	Afsup	Afinf	σ_c+	σ_f+	σ_c-	σ_f-	Cb+	Cb-	Ver.	CS
cm	kg*m	kg*m	cmq	cmq	kg/cmq	kg/cmq	kg/cmq	kg/cmq				
0.0	1654	--	4.02	8.04	-7	329	--	--	24	27	Si	8.5
45.9	234	--	4.02	8.04	-1	47	--	--	28	27	Si	60
229.7	797	--	4.02	8.04	-3	159	--	--	24	29	Si	18
413.5	--	422	4.02	8.04	--	--	-2	164	27	24	Si	17
459.5	538	--	4.02	8.04	-2	107	--	--	24	29	Si	26

Combinazione QP: $\sigma_{ca}[\text{kg/cm}^2]=51$ $\sigma_{fa}[\text{kg/cm}^2]=2800$

X	M+	M-	Afsup	Afinf	σ_c+	σ_f+	σ_c-	σ_f-	Cb+	Cb-	Ver.	CS
cm	kg*m	kg*m	cmq	cmq	kg/cmq	kg/cmq	kg/cmq	kg/cmq				
0.0	1555	--	4.02	8.04	-7	310	--	--	38	38	Si	7.7
45.9	230	--	4.02	8.04	-1	46	--	--	38	38	Si	52
229.7	720	--	4.02	8.04	-3	143	--	--	38	38	Si	17
413.5	--	380	4.02	8.04	--	--	-2	147	38	38	Si	19
459.5	482	--	4.02	8.04	-2	96	--	--	38	38	Si	25

Verifica aperture fessure: $W_{amm_Freq}[\text{mm}]=0.400$ $W_{amm_Qp}[\text{mm}]=0.300$

X	M	Act	Aft	pAft	$S_{r,max}$	σ_{fmed}	Wd	Wk	Cb	Ver.	Cs
cm	kg*m	mq	cmq	cm	cm	kg/cmq	mm	mm			
0.0	-1564	0.0	8.04	20.11	22.1	311	0.020	0.020	34(Fr)	Si	20
0.0	-1555	0.0	8.04	20.11	22.1	310	0.020	0.020	38(Qp)	Si	15
45.9	-230	0.0	8.04	20.11	22.1	46	0.003	0.003	38(Qp)	Si	>100
45.9	-231	0.0	8.04	20.11	22.1	46	0.003	0.003	34(Fr)	Si	>100
229.7	-720	0.0	8.04	20.11	22.1	143	0.009	0.009	38(Qp)	Si	33
229.7	-726	0.0	8.04	20.11	22.1	145	0.009	0.009	33(Fr)	Si	44
413.5	380	0.0	4.02	10.05	30.5	147	0.013	0.013	38(Qp)	Si	23
413.5	383	0.0	4.02	10.05	30.5	148	0.013	0.013	33(Fr)	Si	31
459.5	-482	0.0	8.04	20.11	22.1	96	0.006	0.006	38(Qp)	Si	50

X	M	Act	Aft	pAft	S _{r,max}	σfmed	Wd	Wk	Cb	Ver.	Cs
459.5	-490	0.0	8.04	20.11	22.1	98	0.006	0.006	33(Fr)	Si	65

Trave di Fond. : 9011 [8 , 7] Pilastrate [8 , 11]

Sez. R: By= 40.0 cm Bz=70.0 cm L=190.0 cm Ln=210.0 cm Terreno: **Terreno**

Criterio : CLS_TraviFondazione_Esist

Combinazione Rara: σca[kg/cm²]=68 σfa[kg/cm²]=2800

X	M+	M-	Afsup	Afinf	σc+	σf+	σc-	σf-	Cb+	Cb-	Ver.	CS
cm	kg*m	kg*m	cmq	cmq	kg/cm ²	kg/cm ²	kg/cm ²	kg/cm ²				
0.0	789	--	4.02	8.04	-3	157	--	--	24	27	Si	18
21.0	208	--	4.02	8.04	-1	41	--	--	24	27	Si	68
105.0	136	--	4.02	8.04	-1	27	--	--	24	27	Si	>100
189.0	--	257	4.02	8.04	--	--	-1	100	29	24	Si	28
210.0	45	--	4.02	8.04	-0	9	--	--	29	24	Si	>100

Combinazione QP: σca[kg/cm²]=51 σfa[kg/cm²]=2800

X	M+	M-	Afsup	Afinf	σc+	σf+	σc-	σf-	Cb+	Cb-	Ver.	CS
cm	kg*m	kg*m	cmq	cmq	kg/cm ²	kg/cm ²	kg/cm ²	kg/cm ²				
0.0	702	--	4.02	8.04	-3	140	--	--	38	38	Si	17
21.0	182	--	4.02	8.04	-1	36	--	--	38	38	Si	66
105.0	121	--	4.02	8.04	-1	24	--	--	38	38	Si	99
189.0	--	221	4.02	8.04	--	--	-1	85	38	38	Si	33
210.0	44	--	4.02	8.04	-0	9	--	--	38	38	Si	>100

Verifica aperture fessure: Wamm_Freq[mm]=0.400 Wamm_Qp[mm]=0.300

X	M	Act	Aft	pAft	S _{r,max}	σfmed	Wd	Wk	Cb	Ver.	Cs
cm	kg*m	mq	cmq	cm	cm	kg/cm ²	mm	mm			
0.0	-710	0.0	8.04	20.11	22.1	141	0.009	0.009	33(Fr)	Si	45
0.0	-702	0.0	8.04	20.11	22.1	140	0.009	0.009	38(Qp)	Si	34
21.0	-182	0.0	8.04	20.11	22.1	36	0.002	0.002	38(Qp)	Si	>100
21.0	-184	0.0	8.04	20.11	22.1	37	0.002	0.002	33(Fr)	Si	>100
105.0	-121	0.0	8.04	20.11	22.1	24	0.002	0.002	38(Qp)	Si	>100
105.0	-122	0.0	8.04	20.11	22.1	24	0.002	0.002	34(Fr)	Si	>100
189.0	221	0.0	4.02	10.05	30.5	85	0.007	0.007	38(Qp)	Si	40
189.0	223	0.0	4.02	10.05	30.5	86	0.008	0.008	34(Fr)	Si	53
210.0	-44	0.0	8.04	20.11	22.1	9	0.001	0.001	38(Qp)	Si	>100
210.0	-47	0.0	8.04	20.11	22.1	9	0.001	0.001	33(Fr)	Si	>100

Trave di Fond. : 9011 [846 , 848] Pilastrate [- , -]

Sez. R: By= 40.0 cm Bz=70.0 cm L=400.0 cm Ln=400.0 cm Terreno: **Terreno**

Criterio : CLS_TraviFondazione_Esist

Combinazione Rara: σca[kg/cm²]=68 σfa[kg/cm²]=2800

X	M+	M-	Afsup	Afinf	σc+	σf+	σc-	σf-	Cb+	Cb-	Ver.	CS
cm	kg*m	kg*m	cmq	cmq	kg/cm ²	kg/cm ²	kg/cm ²	kg/cm ²				
0.0	1432	--	4.02	8.04	-6	285	--	--	27	24	Si	9.8
40.0	--	1297	4.02	8.04	--	--	-6	502	29	24	Si	5.6
200.0	--	5133	4.02	8.04	--	--	-26	1989	29	24	Si	1.4
360.0	1717	--	4.02	8.04	-7	342	--	--	24	29	Si	8.2
400.0	5532	--	4.02	8.04	-23	1101	--	--	24	29	Si	2.5

Combinazione QP: σca[kg/cm²]=51 σfa[kg/cm²]=2800

X	M+	M-	Afsup	Afinf	σc+	σf+	σc-	σf-	Cb+	Cb-	Ver.	CS
cm	kg*m	kg*m	cmq	cmq	kg/cm ²	kg/cm ²	kg/cm ²	kg/cm ²				
0.0	1423	--	4.02	8.04	-6	283	--	--	38	38	Si	8.4
40.0	--	1077	4.02	8.04	--	--	-5	417	38	38	Si	6.7
200.0	--	4674	4.02	8.04	--	--	-23	1811	38	38	Si	1.5
360.0	1467	--	4.02	8.04	-6	292	--	--	38	38	Si	8.2
400.0	4897	--	4.02	8.04	-21	975	--	--	38	38	Si	2.5

Verifica aperture fessure: Wamm_Freq[mm]=0.400 Wamm_Qp[mm]=0.300

X	M	Act	Aft	pAft	S _{r,max}	σ _{fmed}	Wd	Wk	Cb	Ver.	Cs
cm	kg*m	mq	cmq	cm	cm	kg/cmq	mm	mm			
0.0	-1431	0.0	8.04	20.11	22.1	285	0.018	0.018	33(Fr)	Si	22
0.0	-1423	0.0	8.04	20.11	22.1	283	0.018	0.018	38(Qp)	Si	17
40.0	1077	0.0	4.02	10.05	30.5	417	0.036	0.036	38(Qp)	Si	8.2
40.0	1091	0.0	4.02	10.05	30.5	423	0.037	0.037	34(Fr)	Si	11
200.0	4674	0.0	4.02	10.05	30.5	1811	0.187	0.187	38(Qp)	Si	1.6
200.0	4719	0.0	4.02	10.05	30.5	1828	0.189	0.189	33(Fr)	Si	2.1
360.0	-1467	0.0	8.04	20.11	22.1	292	0.018	0.018	38(Qp)	Si	16
360.0	-1492	0.0	8.04	20.11	22.1	297	0.019	0.019	33(Fr)	Si	21
400.0	-4897	0.0	8.04	20.11	22.1	975	0.069	0.069	38(Qp)	Si	4.3
400.0	-4961	0.0	8.04	20.11	22.1	988	0.071	0.071	33(Fr)	Si	5.7

Trave di Fond. : 9011 [848 , 41] Pilastrate [- , 41]

Sez. R: By= 40.0 cm Bz=70.0 cm L=84.8 cm Ln=104.8 cm Terreno: Terreno

Criterio : CLS_TraviFondazione_Esist

Combinazione Rara: σ_{ca}[kg/cmq]=68 σ_{fa}[kg/cmq]=2800

X	M+	M-	Afsup	Afinf	σ _{c+}	σ _{f+}	σ _{c-}	σ _{f-}	Cb+	Cb-	Ver.	CS
cm	kg*m	kg*m	cmq	cmq	kg/cmq	kg/cmq	kg/cmq	kg/cmq				
0.0	5685	--	4.02	8.04	-24	1132	--	--	24	29	Si	2.5
10.5	5734	--	4.02	8.04	-24	1142	--	--	24	29	Si	2.5
52.4	4190	--	4.02	8.04	-18	834	--	--	24	29	Si	3.4
94.3	2529	--	4.02	8.04	-11	504	--	--	24	28	Si	5.6
104.8	2278	--	4.02	8.04	-10	454	--	--	24	28	Si	6.2

Combinazione QP: σ_{ca}[kg/cmq]=51 σ_{fa}[kg/cmq]=2800

X	M+	M-	Afsup	Afinf	σ _{c+}	σ _{f+}	σ _{c-}	σ _{f-}	Cb+	Cb-	Ver.	CS
cm	kg*m	kg*m	cmq	cmq	kg/cmq	kg/cmq	kg/cmq	kg/cmq				
0.0	5035	--	4.02	8.04	-21	1002	--	--	38	38	Si	2.4
10.5	5084	--	4.02	8.04	-22	1012	--	--	38	38	Si	2.4
52.4	3713	--	4.02	8.04	-16	739	--	--	38	38	Si	3.2
94.3	2215	--	4.02	8.04	-9	441	--	--	38	38	Si	5.4
104.8	1988	--	4.02	8.04	-8	396	--	--	38	38	Si	6.0

Verifica aperture fessure: Wamm_Freq[mm]=0.400 Wamm_Qp[mm]=0.300

X	M	Act	Aft	pAft	S _{r,max}	σ _{fmed}	Wd	Wk	Cb	Ver.	Cs
cm	kg*m	mq	cmq	cm	cm	kg/cmq	mm	mm			
0.0	-5101	0.0	8.04	20.11	22.1	1016	0.074	0.074	33(Fr)	Si	5.4
0.0	-5035	0.0	8.04	20.11	22.1	1002	0.072	0.072	38(Qp)	Si	4.2
10.5	-5084	0.0	8.04	20.11	22.1	1012	0.073	0.073	38(Qp)	Si	4.1
10.5	-5151	0.0	8.04	20.11	22.1	1025	0.075	0.075	33(Fr)	Si	5.4
52.4	-3713	0.0	8.04	20.11	22.1	739	0.047	0.047	38(Qp)	Si	6.4
52.4	-3767	0.0	8.04	20.11	22.1	750	0.047	0.047	33(Fr)	Si	8.5
94.3	-2215	0.0	8.04	20.11	22.1	441	0.028	0.028	38(Qp)	Si	11
94.3	-2262	0.0	8.04	20.11	22.1	450	0.028	0.028	33(Fr)	Si	14
104.8	-1988	0.0	8.04	20.11	22.1	396	0.025	0.025	38(Qp)	Si	12
104.8	-2035	0.0	8.04	20.11	22.1	405	0.026	0.026	33(Fr)	Si	16

Trave di Fond. : 9012 [37 , 830] Pilastrate [37 , -]

Sez. R: By= 40.0 cm Bz=70.0 cm L=84.8 cm Ln=64.7 cm Terreno: Terreno

Criterio : CLS_TraviFondazione_Esist

Combinazione Rara: σ_{ca}[kg/cmq]=68 σ_{fa}[kg/cmq]=2800

X	M+	M-	Afsup	Afinf	σ _{c+}	σ _{f+}	σ _{c-}	σ _{f-}	Cb+	Cb-	Ver.	CS
cm	kg*m	kg*m	cmq	cmq	kg/cmq	kg/cmq	kg/cmq	kg/cmq				
0.0	151	--	4.02	8.04	-1	30	--	--	24	29	Si	93
6.5	99	--	4.02	8.04	-0	20	--	--	24	27	Si	>100
32.4	--	143	4.02	8.04	--	--	-1	55	28	24	Si	51
58.3	--	356	4.02	8.04	--	--	-2	138	28	24	Si	20

X	M+	M-	Afsup	Afinf	σ_c+	σ_f+	σ_c-	σ_f-	Cb+	Cb-	Ver.	CS
64.7	--	390	4.02	8.04	--	--	-2	151	28	24	Si	19

Combinazione QP: $\sigma_{ca}[\text{kg/cm}^2]=51$ $\sigma_{fa}[\text{kg/cm}^2]=2800$

X	M+	M-	Afsup	Afinf	σ_c+	σ_f+	σ_c-	σ_f-	Cb+	Cb-	Ver.	CS
cm	kg*m	kg*m	cmq	cmq	kg/cmq	kg/cmq	kg/cmq	kg/cmq				
0.0	141	--	4.02	8.04	-1	28	--	--	38	38	Si	85
6.5	93	--	4.02	8.04	-0	19	--	--	38	38	Si	>100
32.4	--	128	4.02	8.04	--	--	-1	50	38	38	Si	56
58.3	--	321	4.02	8.04	--	--	-2	124	38	38	Si	23
64.7	--	352	4.02	8.04	--	--	-2	136	38	38	Si	21

Verifica aperture fessure: Wamm_Freq[mm]=0.400 Wamm_Qp[mm]=0.300

X	M	Act	Aft	pAft	$S_{r,max}$	σ_{fmed}	Wd	Wk	Cb	Ver.	Cs
cm	kg*m	mq	cmq	cm	cm	kg/cmq	mm	mm			
0.0	-143	0.0	8.04	20.11	22.1	29	0.002	0.002	33(Fr)	Si	>100
0.0	-141	0.0	8.04	20.11	22.1	28	0.002	0.002	38(Qp)	Si	>100
6.5	-93	0.0	8.04	20.11	22.1	19	0.001	0.001	38(Qp)	Si	>100
6.5	-94	0.0	8.04	20.11	22.1	19	0.001	0.001	33(Fr)	Si	>100
32.4	128	0.0	4.02	10.05	30.5	50	0.004	0.004	38(Qp)	Si	69
32.4	129	0.0	4.02	10.05	30.5	50	0.004	0.004	34(Fr)	Si	92
58.3	321	0.0	4.02	10.05	30.5	124	0.011	0.011	38(Qp)	Si	28
58.3	324	0.0	4.02	10.05	30.5	125	0.011	0.011	33(Fr)	Si	37
64.7	352	0.0	4.02	10.05	30.5	136	0.012	0.012	38(Qp)	Si	25
64.7	355	0.0	4.02	10.05	30.5	137	0.012	0.012	33(Fr)	Si	33

Trave di Fond. : 9012 [1 , 835] Pilastrate [1 , -]

Sez. R: $B_y = 40.0 \text{ cm}$ $B_z = 70.0 \text{ cm}$ $L = 160.0 \text{ cm}$ $L_n = 140.0 \text{ cm}$ Terreno: **Terreno**

Criterio : CLS_TraviFondazione_Esist

Combinazione Rara: $\sigma_{ca}[\text{kg/cm}^2]=68$ $\sigma_{fa}[\text{kg/cm}^2]=2800$

X	M+	M-	Afsup	Afinf	σ_c+	σ_f+	σ_c-	σ_f-	Cb+	Cb-	Ver.	CS
cm	kg*m	kg*m	cmq	cmq	kg/cmq	kg/cmq	kg/cmq	kg/cmq				
0.0	1281	--	4.02	8.04	-5	255	--	--	24	29	Si	11
14.0	1062	--	4.02	8.04	-5	211	--	--	24	29	Si	13
70.0	714	--	4.02	8.04	-3	142	--	--	24	28	Si	20
126.0	545	--	4.02	8.04	-2	108	--	--	24	28	Si	26
140.0	561	--	4.02	8.04	-2	112	--	--	24	28	Si	25

Combinazione QP: $\sigma_{ca}[\text{kg/cm}^2]=51$ $\sigma_{fa}[\text{kg/cm}^2]=2800$

X	M+	M-	Afsup	Afinf	σ_c+	σ_f+	σ_c-	σ_f-	Cb+	Cb-	Ver.	CS
cm	kg*m	kg*m	cmq	cmq	kg/cmq	kg/cmq	kg/cmq	kg/cmq				
0.0	1159	--	4.02	8.04	-5	231	--	--	38	38	Si	10
14.0	962	--	4.02	8.04	-4	191	--	--	38	38	Si	12
70.0	648	--	4.02	8.04	-3	129	--	--	38	38	Si	19
126.0	502	--	4.02	8.04	-2	100	--	--	38	38	Si	24
140.0	519	--	4.02	8.04	-2	103	--	--	38	38	Si	23

Verifica aperture fessure: Wamm_Freq[mm]=0.400 Wamm_Qp[mm]=0.300

X	M	Act	Aft	pAft	$S_{r,max}$	σ_{fmed}	Wd	Wk	Cb	Ver.	Cs
cm	kg*m	mq	cmq	cm	cm	kg/cmq	mm	mm			
0.0	-1176	0.0	8.04	20.11	22.1	234	0.015	0.015	33(Fr)	Si	27
0.0	-1159	0.0	8.04	20.11	22.1	231	0.015	0.015	38(Qp)	Si	21
14.0	-962	0.0	8.04	20.11	22.1	191	0.012	0.012	38(Qp)	Si	25
14.0	-975	0.0	8.04	20.11	22.1	194	0.012	0.012	33(Fr)	Si	33
70.0	-648	0.0	8.04	20.11	22.1	129	0.008	0.008	38(Qp)	Si	37
70.0	-658	0.0	8.04	20.11	22.1	131	0.008	0.008	33(Fr)	Si	48
126.0	-502	0.0	8.04	20.11	22.1	100	0.006	0.006	38(Qp)	Si	48
126.0	-510	0.0	8.04	20.11	22.1	102	0.006	0.006	33(Fr)	Si	62
140.0	-519	0.0	8.04	20.11	22.1	103	0.007	0.007	38(Qp)	Si	46

X	M	Act	Aft	pAft	S _{r,max}	σfmed	Wd	Wk	Cb	Ver.	Cs
140.0	-528	0.0	8.04	20.11	22.1	105	0.007	0.007	33(Fr)	Si	60

Trave di Fond. : 9012 [830 , 833] Pilastrate [- , -]

Sez. R: By= 40.0 cm Bz=70.0 cm L=400.0 cm Ln=400.0 cm Terreno: **Terreno**

Criterio : CLS_TraviFondazione_Esist

Combinazione Rara: σca[kg/cmq]=68 σfa[kg/cmq]=2800

X	M+	M-	Afsup	Afinf	σc+	σf+	σc-	σf-	Cb+	Cb-	Ver.	CS
cm	kg*m	kg*m	cmq	cmq	kg/cmq	kg/cmq	kg/cmq	kg/cmq				
0.0	231	--	4.02	8.04	-1	46	--	--	24	27	Si	61
40.0	--	1015	4.02	8.04	--	--	-5	393	28	24	Si	7.1
200.0	--	1144	4.02	8.04	--	--	-6	443	29	24	Si	6.3
360.0	48	--	4.02	8.04	-0	10	--	--	27	24	Si	>100
400.0	1504	--	4.02	8.04	-6	299	--	--	24	29	Si	9.4

Combinazione QP: σca[kg/cmq]=51 σfa[kg/cmq]=2800

X	M+	M-	Afsup	Afinf	σc+	σf+	σc-	σf-	Cb+	Cb-	Ver.	CS
cm	kg*m	kg*m	cmq	cmq	kg/cmq	kg/cmq	kg/cmq	kg/cmq				
0.0	218	--	4.02	8.04	-1	43	--	--	38	38	Si	55
40.0	--	916	4.02	8.04	--	--	-5	355	38	38	Si	7.9
200.0	--	1022	4.02	8.04	--	--	-5	396	38	38	Si	7.1
360.0	45	--	4.02	8.04	-0	9	--	--	38	38	Si	>100
400.0	1375	--	4.02	8.04	-6	274	--	--	38	38	Si	8.7

Verifica aperture fessure: Wamm_Freq[mm]=0.400 Wamm_Qp[mm]=0.300

X	M	Act	Aft	pAft	S _{r,max}	σfmed	Wd	Wk	Cb	Ver.	Cs
cm	kg*m	mq	cmq	cm	cm	kg/cmq	mm	mm			
0.0	-220	0.0	8.04	20.11	22.1	44	0.003	0.003	33(Fr)	Si	>100
0.0	-218	0.0	8.04	20.11	22.1	43	0.003	0.003	38(Qp)	Si	>100
40.0	916	0.0	4.02	10.05	30.5	355	0.031	0.031	38(Qp)	Si	9.7
40.0	925	0.0	4.02	10.05	30.5	358	0.031	0.031	33(Fr)	Si	13
200.0	1022	0.0	4.02	10.05	30.5	396	0.035	0.035	38(Qp)	Si	8.7
200.0	1032	0.0	4.02	10.05	30.5	400	0.035	0.035	33(Fr)	Si	11
360.0	-45	0.0	8.04	20.11	22.1	9	0.001	0.001	38(Qp)	Si	>100
360.0	-47	0.0	8.04	20.11	22.1	9	0.001	0.001	33(Fr)	Si	>100
400.0	-1375	0.0	8.04	20.11	22.1	274	0.017	0.017	38(Qp)	Si	17
400.0	-1392	0.0	8.04	20.11	22.1	277	0.017	0.017	33(Fr)	Si	23

Trave di Fond. : 9012 [833 , 1] Pilastrate [- , 1]

Sez. R: By= 40.0 cm Bz=70.0 cm L=84.8 cm Ln=104.8 cm Terreno: **Terreno**

Criterio : CLS_TraviFondazione_Esist

Combinazione Rara: σca[kg/cmq]=68 σfa[kg/cmq]=2800

X	M+	M-	Afsup	Afinf	σc+	σf+	σc-	σf-	Cb+	Cb-	Ver.	CS
cm	kg*m	kg*m	cmq	cmq	kg/cmq	kg/cmq	kg/cmq	kg/cmq				
0.0	700	--	4.02	8.04	-3	139	--	--	24	28	Si	20
10.5	765	--	4.02	8.04	-3	152	--	--	24	28	Si	18
52.4	963	--	4.02	8.04	-4	192	--	--	24	29	Si	15
94.3	1211	--	4.02	8.04	-5	241	--	--	24	29	Si	12
104.8	1409	--	4.02	8.04	-6	281	--	--	24	29	Si	10.0

Combinazione QP: σca[kg/cmq]=51 σfa[kg/cmq]=2800

X	M+	M-	Afsup	Afinf	σc+	σf+	σc-	σf-	Cb+	Cb-	Ver.	CS
cm	kg*m	kg*m	cmq	cmq	kg/cmq	kg/cmq	kg/cmq	kg/cmq				
0.0	642	--	4.02	8.04	-3	128	--	--	38	38	Si	19
10.5	700	--	4.02	8.04	-3	139	--	--	38	38	Si	17
52.4	875	--	4.02	8.04	-4	174	--	--	38	38	Si	14
94.3	1097	--	4.02	8.04	-5	218	--	--	38	38	Si	11
104.8	1277	--	4.02	8.04	-5	254	--	--	38	38	Si	9.4

Verifica aperture fessure: Wamm_Freq[mm]=0.400 Wamm_Qp[mm]=0.300

X	M	Act	Aft	pAft	S _{r,max}	σfmed	Wd	Wk	Cb	Ver.	Cs
cm	kg*m	mq	cmq	cm	cm	kg/cmq	mm	mm			
0.0	-651	0.0	8.04	20.11	22.1	130	0.008	0.008	33(Fr)	Si	49
0.0	-642	0.0	8.04	20.11	22.1	128	0.008	0.008	38(Qp)	Si	37
10.5	-700	0.0	8.04	20.11	22.1	139	0.009	0.009	38(Qp)	Si	34
10.5	-709	0.0	8.04	20.11	22.1	141	0.009	0.009	33(Fr)	Si	45
52.4	-875	0.0	8.04	20.11	22.1	174	0.011	0.011	38(Qp)	Si	27
52.4	-886	0.0	8.04	20.11	22.1	176	0.011	0.011	33(Fr)	Si	36
94.3	-1097	0.0	8.04	20.11	22.1	218	0.014	0.014	38(Qp)	Si	22
94.3	-1111	0.0	8.04	20.11	22.1	221	0.014	0.014	33(Fr)	Si	29
104.8	-1277	0.0	8.04	20.11	22.1	254	0.016	0.016	38(Qp)	Si	19
104.8	-1294	0.0	8.04	20.11	22.1	258	0.016	0.016	33(Fr)	Si	25

Trave di Fond. : 9012 [835 , 837] Pilastrate [- , -]

Sez. R: By= 40.0 cm Bz=70.0 cm L=400.0 cm Ln=400.0 cm Terreno: **Terreno**

Criterio : CLS_TraviFondazione_Esist

Combinazione Rara: σca[kg/cmq]=68 σfa[kg/cmq]=2800

X	M+	M-	Afsup	Afinf	σc+	σf+	σc-	σf-	Cb+	Cb-	Ver.	CS
cm	kg*m	kg*m	cmq	cmq	kg/cmq	kg/cmq	kg/cmq	kg/cmq				
0.0	1339	--	4.02	8.04	-6	267	--	--	24	28	Si	11
40.0	23	3	4.02	8.04	-0	5	-0	1	27	28	Si	>100
200.0	--	906	4.02	8.04	--	--	-5	351	29	24	Si	8.0
360.0	--	583	4.02	8.04	--	--	-3	226	28	24	Si	12
400.0	623	--	4.02	8.04	-3	124	--	--	24	27	Si	23

Combinazione QP: σca[kg/cmq]=51 σfa[kg/cmq]=2800

X	M+	M-	Afsup	Afinf	σc+	σf+	σc-	σf-	Cb+	Cb-	Ver.	CS
cm	kg*m	kg*m	cmq	cmq	kg/cmq	kg/cmq	kg/cmq	kg/cmq				
0.0	1225	--	4.02	8.04	-5	244	--	--	38	38	Si	9.8
40.0	11	--	4.02	8.04	-0	2	--	--	38	38	Si	>100
200.0	--	801	4.02	8.04	--	--	-4	310	38	38	Si	9.0
360.0	--	531	4.02	8.04	--	--	-3	206	38	38	Si	14
400.0	550	--	4.02	8.04	-2	109	--	--	38	38	Si	22

Verifica aperture fessure: Wamm_Freq[mm]=0.400 Wamm_Qp[mm]=0.300

X	M	Act	Aft	pAft	S _{r,max}	σfmed	Wd	Wk	Cb	Ver.	Cs
cm	kg*m	mq	cmq	cm	cm	kg/cmq	mm	mm			
0.0	-1243	0.0	8.04	20.11	22.1	247	0.016	0.016	33(Fr)	Si	26
0.0	-1225	0.0	8.04	20.11	22.1	244	0.015	0.015	38(Qp)	Si	20
40.0	-11	0.0	8.04	20.11	22.1	2	0.000	0.000	38(Qp)	Si	>100
40.0	-14	0.0	8.04	20.11	22.1	3	0.000	0.000	33(Fr)	Si	>100
200.0	801	0.0	4.02	10.05	30.5	310	0.027	0.027	38(Qp)	Si	11
200.0	811	0.0	4.02	10.05	30.5	314	0.027	0.027	33(Fr)	Si	15
360.0	531	0.0	4.02	10.05	30.5	206	0.018	0.018	38(Qp)	Si	17
360.0	540	0.0	4.02	10.05	30.5	209	0.018	0.018	33(Fr)	Si	22
400.0	-550	0.0	8.04	20.11	22.1	109	0.007	0.007	38(Qp)	Si	44
400.0	-555	0.0	8.04	20.11	22.1	111	0.007	0.007	34(Fr)	Si	57

Trave di Fond. : 9012 [837 , 9] Pilastrate [- , 10]

Sez. R: By= 40.0 cm Bz=70.0 cm L=160.0 cm Ln=140.0 cm Terreno: **Terreno**

Criterio : CLS_TraviFondazione_Esist

Combinazione Rara: σca[kg/cmq]=68 σfa[kg/cmq]=2800

X	M+	M-	Afsup	Afinf	σc+	σf+	σc-	σf-	Cb+	Cb-	Ver.	CS
cm	kg*m	kg*m	cmq	cmq	kg/cmq	kg/cmq	kg/cmq	kg/cmq				
0.0	93	--	4.02	8.04	-0	19	--	--	24	27	Si	>100
14.0	63	--	4.02	8.04	-0	13	--	--	24	27	Si	>100
70.0	321	--	4.02	8.04	-1	64	--	--	24	27	Si	44
126.0	--	149	4.02	8.04	--	--	-1	58	27	24	Si	48

X	M+	M-	Afsup	Afinf	σ_c+	σ_f+	σ_c-	σ_f-	Cb+	Cb-	Ver.	CS
140.0	--	129	4.02	8.04	--	--	-1	50	27	24	Si	56

Combinazione QP: $\sigma_{ca}[\text{kg/cm}^2]=51$ $\sigma_{fa}[\text{kg/cm}^2]=2800$

X	M+	M-	Afsup	Afinf	σ_c+	σ_f+	σ_c-	σ_f-	Cb+	Cb-	Ver.	CS
cm	kg*m	kg*m	cmq	cmq	kg/cmq	kg/cmq	kg/cmq	kg/cmq				
0.0	72	--	4.02	8.04	-0	14	--	--	38	38	Si	>100
14.0	45	--	4.02	8.04	-0	9	--	--	38	38	Si	>100
70.0	280	--	4.02	8.04	-1	56	--	--	38	38	Si	43
126.0	--	129	4.02	8.04	--	--	-1	50	38	38	Si	56
140.0	--	107	4.02	8.04	--	--	-1	41	38	38	Si	68

Verifica aperture fessure: Wamm_Freq[mm]=0.400 Wamm_Qp[mm]=0.300

X	M	Act	Aft	pAft	$S_{r,max}$	σ_{fmed}	Wd	Wk	Cb	Ver.	Cs
cm	kg*m	mq	cmq	cm	cm	kg/cmq	mm	mm			
0.0	-75	0.0	8.04	20.11	22.1	15	0.001	0.001	34(Fr)	Si	>100
0.0	-72	0.0	8.04	20.11	22.1	14	0.001	0.001	38(Qp)	Si	>100
14.0	-45	0.0	8.04	20.11	22.1	9	0.001	0.001	38(Qp)	Si	>100
14.0	-47	0.0	8.04	20.11	22.1	9	0.001	0.001	34(Fr)	Si	>100
70.0	-280	0.0	8.04	20.11	22.1	56	0.004	0.004	38(Qp)	Si	85
70.0	-283	0.0	8.04	20.11	22.1	56	0.004	0.004	34(Fr)	Si	>100
126.0	129	0.0	4.02	10.05	30.5	50	0.004	0.004	38(Qp)	Si	69
126.0	131	0.0	4.02	10.05	30.5	51	0.004	0.004	34(Fr)	Si	90
140.0	107	0.0	4.02	10.05	30.5	41	0.004	0.004	38(Qp)	Si	83
140.0	109	0.0	4.02	10.05	30.5	42	0.004	0.004	34(Fr)	Si	>100

Trave di Fond. : 9013 [41 , 1] Pilastrate [41 , 1]

Sez. R: $B_y = 40.0 \text{ cm}$ $B_z = 70.0 \text{ cm}$ $L = 645.0 \text{ cm}$ $L_n = 645.0 \text{ cm}$ Terreno: **Terreno**

Criterio : CLS_TraviFondazione_Esist

Combinazione Rara: $\sigma_{ca}[\text{kg/cm}^2]=68$ $\sigma_{fa}[\text{kg/cm}^2]=2800$

X	M+	M-	Afsup	Afinf	σ_c+	σ_f+	σ_c-	σ_f-	Cb+	Cb-	Ver.	CS
cm	kg*m	kg*m	cmq	cmq	kg/cmq	kg/cmq	kg/cmq	kg/cmq				
0.0	2154	--	4.02	8.04	-9	429	--	--	24	29	Si	6.5
64.5	--	483	4.02	8.04	--	--	-2	187	29	24	Si	15
322.5	2437	--	4.02	8.04	-10	485	--	--	24	29	Si	5.8
580.5	--	897	4.02	8.04	--	--	-4	348	29	24	Si	8.1
645.0	489	--	4.02	8.04	-2	97	--	--	24	29	Si	29

Combinazione QP: $\sigma_{ca}[\text{kg/cm}^2]=51$ $\sigma_{fa}[\text{kg/cm}^2]=2800$

X	M+	M-	Afsup	Afinf	σ_c+	σ_f+	σ_c-	σ_f-	Cb+	Cb-	Ver.	CS
cm	kg*m	kg*m	cmq	cmq	kg/cmq	kg/cmq	kg/cmq	kg/cmq				
0.0	1935	--	4.02	8.04	-8	385	--	--	38	38	Si	6.2
64.5	--	442	4.02	8.04	--	--	-2	171	38	38	Si	16
322.5	2210	--	4.02	8.04	-9	440	--	--	38	38	Si	5.4
580.5	--	816	4.02	8.04	--	--	-4	316	38	38	Si	8.9
645.0	448	--	4.02	8.04	-2	89	--	--	38	38	Si	27

Verifica aperture fessure: Wamm_Freq[mm]=0.400 Wamm_Qp[mm]=0.300

X	M	Act	Aft	pAft	$S_{r,max}$	σ_{fmed}	Wd	Wk	Cb	Ver.	Cs
cm	kg*m	mq	cmq	cm	cm	kg/cmq	mm	mm			
0.0	-1955	0.0	8.04	20.11	22.1	389	0.025	0.025	33(Fr)	Si	16
0.0	-1935	0.0	8.04	20.11	22.1	385	0.024	0.024	38(Qp)	Si	12
64.5	442	0.0	4.02	10.05	30.5	171	0.015	0.015	38(Qp)	Si	20
64.5	446	0.0	4.02	10.05	30.5	173	0.015	0.015	33(Fr)	Si	27
322.5	-2210	0.0	8.04	20.11	22.1	440	0.028	0.028	38(Qp)	Si	11
322.5	-2237	0.0	8.04	20.11	22.1	445	0.028	0.028	33(Fr)	Si	14
580.5	816	0.0	4.02	10.05	30.5	316	0.028	0.028	38(Qp)	Si	11
580.5	826	0.0	4.02	10.05	30.5	320	0.028	0.028	33(Fr)	Si	14
645.0	-448	0.0	8.04	20.11	22.1	89	0.006	0.006	38(Qp)	Si	53

X	M	Act	Aft	pAft	S _{r,max}	σ _{fmed}	Wd	Wk	Cb	Ver.	Cs
645.0	-452	0.0	8.04	20.11	22.1	90	0.006	0.006	34(Fr)	Si	71

Trave di Fond. : 9014 [8 , 840] Pilastrate [8 , -]

Sez. R: By= 40.0 cm Bz=70.0 cm L=122.5 cm Ln=142.5 cm Terreno: **Terreno**

Criterio : CLS_TraviFondazione_Esist

Combinazione Rara: σ_{ca}[kg/cm²]=68 σ_{fa}[kg/cm²]=2800

X	M+	M-	Afsup	Afinf	σ _{c+}	σ _{f+}	σ _{c-}	σ _{f-}	Cb+	Cb-	Ver.	CS
cm	kg*m	kg*m	cmq	cmq	kg/cm ²	kg/cm ²	kg/cm ²	kg/cm ²				
0.0	531	--	4.02	8.04	-2	106	--	--	24	27	Si	26
14.3	360	--	4.02	8.04	-2	72	--	--	24	29	Si	39
71.3	906	--	4.02	8.04	-4	180	--	--	24	27	Si	16
128.3	656	--	4.02	8.04	-3	131	--	--	24	29	Si	21
142.5	629	--	4.02	8.04	-3	125	--	--	24	29	Si	22

Combinazione QP: σ_{ca}[kg/cm²]=51 σ_{fa}[kg/cm²]=2800

X	M+	M-	Afsup	Afinf	σ _{c+}	σ _{f+}	σ _{c-}	σ _{f-}	Cb+	Cb-	Ver.	CS
cm	kg*m	kg*m	cmq	cmq	kg/cm ²	kg/cm ²	kg/cm ²	kg/cm ²				
0.0	475	--	4.02	8.04	-2	95	--	--	38	38	Si	25
14.3	321	--	4.02	8.04	-1	64	--	--	38	38	Si	37
71.3	807	--	4.02	8.04	-3	161	--	--	38	38	Si	15
128.3	584	--	4.02	8.04	-2	116	--	--	38	38	Si	21
142.5	560	--	4.02	8.04	-2	111	--	--	38	38	Si	21

Verifica aperture fessure: W_{amm_Freq}[mm]=0.400 W_{amm_Qp}[mm]=0.300

X	M	Act	Aft	pAft	S _{r,max}	σ _{fmed}	Wd	Wk	Cb	Ver.	Cs
cm	kg*m	mq	cmq	cm	cm	kg/cm ²	mm	mm			
0.0	-479	0.0	8.04	20.11	22.1	95	0.006	0.006	34(Fr)	Si	67
0.0	-475	0.0	8.04	20.11	22.1	95	0.006	0.006	38(Qp)	Si	50
14.3	-321	0.0	8.04	20.11	22.1	64	0.004	0.004	38(Qp)	Si	74
14.3	-324	0.0	8.04	20.11	22.1	64	0.004	0.004	34(Fr)	Si	99
71.3	-807	0.0	8.04	20.11	22.1	161	0.010	0.010	38(Qp)	Si	30
71.3	-817	0.0	8.04	20.11	22.1	163	0.010	0.010	33(Fr)	Si	39
128.3	-584	0.0	8.04	20.11	22.1	116	0.007	0.007	38(Qp)	Si	41
128.3	-591	0.0	8.04	20.11	22.1	118	0.007	0.007	33(Fr)	Si	54
142.5	-560	0.0	8.04	20.11	22.1	111	0.007	0.007	38(Qp)	Si	43
142.5	-567	0.0	8.04	20.11	22.1	113	0.007	0.007	33(Fr)	Si	56

Trave di Fond. : 9014 [840 , 842] Pilastrate [- , -]

Sez. R: By= 40.0 cm Bz=70.0 cm L=400.0 cm Ln=400.0 cm Terreno: **Terreno**

Criterio : CLS_TraviFondazione_Esist

Combinazione Rara: σ_{ca}[kg/cm²]=68 σ_{fa}[kg/cm²]=2800

X	M+	M-	Afsup	Afinf	σ _{c+}	σ _{f+}	σ _{c-}	σ _{f-}	Cb+	Cb-	Ver.	CS
cm	kg*m	kg*m	cmq	cmq	kg/cm ²	kg/cm ²	kg/cm ²	kg/cm ²				
0.0	1321	--	4.02	8.04	-6	263	--	--	24	29	Si	11
40.0	--	141	4.02	8.04	--	--	-1	55	27	24	Si	51
200.0	--	1189	4.02	8.04	--	--	-6	461	27	24	Si	6.1
360.0	--	855	4.02	8.04	--	--	-4	331	29	24	Si	8.5
400.0	371	--	4.02	8.04	-2	74	--	--	24	27	Si	38

Combinazione QP: σ_{ca}[kg/cm²]=51 σ_{fa}[kg/cm²]=2800

X	M+	M-	Afsup	Afinf	σ _{c+}	σ _{f+}	σ _{c-}	σ _{f-}	Cb+	Cb-	Ver.	CS
cm	kg*m	kg*m	cmq	cmq	kg/cm ²	kg/cm ²	kg/cm ²	kg/cm ²				
0.0	1179	--	4.02	8.04	-5	235	--	--	38	38	Si	10
40.0	--	128	4.02	8.04	--	--	-1	49	38	38	Si	57
200.0	--	1053	4.02	8.04	--	--	-5	408	38	38	Si	6.9
360.0	--	768	4.02	8.04	--	--	-4	297	38	38	Si	9.4
400.0	327	--	4.02	8.04	-1	65	--	--	38	38	Si	37

Verifica aperture fessure: Wamm_Freq[mm]=0.400 Wamm_Qp[mm]=0.300

X	M	Act	Aft	pAft	S _{r,max}	σfmed	Wd	Wk	Cb	Ver.	Cs
cm	kg*m	mq	cmq	cm	cm	kg/cmq	mm	mm			
0.0	-1193	0.0	8.04	20.11	22.1	237	0.015	0.015	33(Fr)	Si	27
0.0	-1179	0.0	8.04	20.11	22.1	235	0.015	0.015	38(Qp)	Si	20
40.0	128	0.0	4.02	10.05	30.5	49	0.004	0.004	38(Qp)	Si	70
40.0	130	0.0	4.02	10.05	30.5	50	0.004	0.004	33(Fr)	Si	91
200.0	1053	0.0	4.02	10.05	30.5	408	0.036	0.036	38(Qp)	Si	8.4
200.0	1069	0.0	4.02	10.05	30.5	414	0.036	0.036	33(Fr)	Si	11
360.0	768	0.0	4.02	10.05	30.5	297	0.026	0.026	38(Qp)	Si	12
360.0	780	0.0	4.02	10.05	30.5	302	0.026	0.026	33(Fr)	Si	15
400.0	-327	0.0	8.04	20.11	22.1	65	0.004	0.004	38(Qp)	Si	73
400.0	-331	0.0	8.04	20.11	22.1	66	0.004	0.004	34(Fr)	Si	96

Trave di Fond. : 9014 [842 , 9] Pilastrate [- , 10]

Sez. R: By= 40.0 cm Bz=70.0 cm L=122.5 cm Ln=102.5 cm Terreno: **Terreno**

Criterio : CLS_TraviFondazione_Esist

Combinazione Rara: σca[kg/cmq]=68 σfa[kg/cmq]=2800

X	M+	M-	Afsup	Afinf	σc+	σf+	σc-	σf-	Cb+	Cb-	Ver.	CS
cm	kg*m	kg*m	cmq	cmq	kg/cmq	kg/cmq	kg/cmq	kg/cmq				
0.0	--	194	4.02	8.04	--	--	-1	75	28	24	Si	37
10.3	--	182	4.02	8.04	--	--	-1	70	28	24	Si	40
51.3	124	--	4.02	8.04	-1	25	--	--	24	27	Si	>100
92.3	--	80	4.02	8.04	--	--	-0	31	28	27	Si	90
102.5	--	64	4.02	8.04	--	--	-0	25	24	27	Si	>100

Combinazione QP: σca[kg/cmq]=51 σfa[kg/cmq]=2800

X	M+	M-	Afsup	Afinf	σc+	σf+	σc-	σf-	Cb+	Cb-	Ver.	CS
cm	kg*m	kg*m	cmq	cmq	kg/cmq	kg/cmq	kg/cmq	kg/cmq				
0.0	--	178	4.02	8.04	--	--	-1	69	38	38	Si	41
10.3	--	168	4.02	8.04	--	--	-1	65	38	38	Si	43
51.3	106	--	4.02	8.04	-0	21	--	--	38	38	Si	>100
92.3	--	77	4.02	8.04	--	--	-0	30	38	38	Si	94
102.5	--	60	4.02	8.04	--	--	-0	23	38	38	Si	>100

Verifica aperture fessure: Wamm_Freq[mm]=0.400 Wamm_Qp[mm]=0.300

X	M	Act	Aft	pAft	S _{r,max}	σfmed	Wd	Wk	Cb	Ver.	Cs
cm	kg*m	mq	cmq	cm	cm	kg/cmq	mm	mm			
0.0	183	0.0	4.02	10.05	30.5	71	0.006	0.006	33(Fr)	Si	65
0.0	178	0.0	4.02	10.05	30.5	69	0.006	0.006	38(Qp)	Si	50
10.3	168	0.0	4.02	10.05	30.5	65	0.006	0.006	38(Qp)	Si	53
10.3	172	0.0	4.02	10.05	30.5	67	0.006	0.006	33(Fr)	Si	69
51.3	-106	0.0	8.04	20.11	22.1	21	0.001	0.001	38(Qp)	Si	>100
51.3	-107	0.0	8.04	20.11	22.1	21	0.001	0.001	34(Fr)	Si	>100
92.3	77	0.0	4.02	10.05	30.5	30	0.003	0.003	38(Qp)	Si	>100
92.3	79	0.0	4.02	10.05	30.5	31	0.003	0.003	33(Fr)	Si	>100
102.5	60	0.0	4.02	10.05	30.5	23	0.002	0.002	38(Qp)	Si	>100
102.5	63	0.0	4.02	10.05	30.5	24	0.002	0.002	33(Fr)	Si	>100

Verifica dei pilastri (Stati limite esercizio)

Scenario di calcolo : Scenario di calcolo N.T. 2018

Simbologia:

$L[cm]$:Lunghezza teorica elemento (distanza tra i nodi)
 $L_n[cm]$:Lunghezza netta elemento (tiene conto dei conci rigidi)
Terreno :Nome della stratigrafia per travi Winkler
 $L_2, L_3[cm]$:Lunghezze libere di inflessione
Sez. R :Sezione Rettangolare
 $B_y[cm]$:Larghezza (asse locale y)
 $B_z[cm]$:Larghezza (asse locale z)

Sez. T : Sezione a T (rovescia e non)
 $B_a[cm]$:Larghezza base inferiore
 $H_a[cm]$:Altezza inferiore
 $B_s[cm]$:Larghezza superiore
 $H_s[cm]$:Altezza superiore

Sez. L : Sezione ad L (rovescia e non)
 $B_a[cm]$:Larghezza base inferiore
 $H_a[cm]$:Altezza inferiore
 $B_s[cm]$:Larghezza superiore
 $H_s[cm]$:Altezza superiore

Sez. C : Sezione circolare
 $R[cm]$:Raggio

Criterio : Criterio di verifica adottato

 $X[cm]$: Punto di verifica

 $\sigma_{ca}[kg/cm^2]$: Tensione ammissibile nel cls
 $\sigma_{fa}[kg/cm^2]$: Tensione ammissibile nell'acciaio
 $\sigma_{cta}[kg/cm^2]$: Tensione ammissibile a trazione (quando richiesto dalla verifica)
 $M_-[kg*m]$: Momento negativo massimo di calcolo
 $M_+[kg*m]$: Momento positivo massimo di calcolo
 $M[kg*m]$: Momento di calcolo (travi a flessione, pilastri circolari)
 $M_y[kg*m]$: Momento calcolo per verifiche a pressoflessione
 $M_z[kg*m]$: Momento calcolo per verifiche a pressoflessione (Sez. L, Pilastri)
 $N[kg]$: Sforzo normale corrispondente ad M_y (e M_z per Sez. L, Pilastri)
 $A_{fsup}[cm^2]$: Area di ferro superiore
 $A_{finf}[cm^2]$: Area di ferro inferiore
 $A_{fsin}[cm^2]$: Area di ferro sinistra (Sez. L)
 $A_{fdes}[cm^2]$: Area di ferro destra (Sez. L)
 $\sigma_{c-}[kg/cm^2]$: Tensione nel cls compresso per effetto di M_-
 $\sigma_{c+}[kg/cm^2]$: Tensione nel cls compresso per effetto di M_+
 $\sigma_{ct-}[kg/cm^2]$: Tensione nel cls teso per effetto di M_-
 $\sigma_{ct+}[kg/cm^2]$: Tensione nel cls teso per effetto di M_+
 $\sigma_f[kg/cm^2]$: Tensione nell'acciaio per effetto di M_-
 $\sigma_{f+}[kg/cm^2]$: Tensione nell'acciaio per effetto di M_+
 Cb_- : Combinazione di carico generatore di M_-
 Cb_+ : Combinazione di carico generatore di M_+
 σ_c : Tensione nel cls per effetto di N M_y
 σ_f : Tensione nell'acciaio per effetto di N M_y
 Cb : Combinazione di carico generatore di N M_y

 $A_{ct}[m^2]$: Area di calcestruzzo teso
 $A_{ft}[cm^2]$: Area di acciaio teso
 $pA_{ft}[cm]$: Perimetro area di acciaio teso
 $S_{r,max}[cm]$: Distanza massima delle fessure
 $\sigma_{fmed}[kg/cm^2]$: Tensione media dell'acciaio
 $W_d[mm]$: Apertura delle fessure

Wk[mm] : Apertura caratteristica delle fessure

Wamm_Freq[mm]: Apertura ammissibile delle fessure per combinazione Frequente

Wamm_Qp[mm]: Apertura ammissibile delle fessure per combinazione Quasi Permanente

Wamm_Rara[mm]: Apertura ammissibile delle fessure per combinazione Rara

Cs : Coefficiente di sicurezza definito come minimo di σ_{Amm}/σ tra acciaio e calcestruzzo oppure Wamm/Wk

Pilastro : 1 [1 , 820]

Sez. R: By= 40.0 cm Bz=40.0 cm L=80.0 cm Ln=80.0 cm L2=80.0 cm L3=80.0 cm

Criterio : CLS_Pilastr-Esist

Zona[cm]	Armature[cmq]		
0.0	AfSpigolo = 2.54	Afy = 2.54	Afz = 2.54
80.0	AfSpigolo = 2.54	Afy = 2.54	Afz = 2.54

Verifica snellezza: fcd=74 [kg/cmq] **Verificato**

Cb	N	fcd*Ac	v	λ_{max}	λ_{lim}
	kg	kg			
24	3257	118524	0.027	6.928	150.823

Combinazione Rara: σ_{ca} [kg/cm²]=78 σ_{fa} [kg/cm²]=2800

X	N	My	Mz	σ_{cmax}	σ_{fmax}	Cb	Ver.	Cs
cm	kg	kg*m	kg*m	kg/cm ²	kg/cm ²			
0.0	-3078	-103	-130	-3	-2	28	Si	25
0.0	-3257	-109	-139	-3	-2	24	Si	23
80.0	-2356	-16	-58	-2	-11	31	Si	45
80.0	-2534	-16	-61	-2	-13	25	Si	42

Combinazione QP: σ_{ca} [kg/cm²]=59 σ_{fa} [kg/cm²]=2800

X	N	My	Mz	σ_{cmax}	σ_{fmax}	Cb	Ver.	Cs
cm	kg	kg*m	kg*m	kg/cm ²	kg/cm ²			
0.0	-2953	-98	-126	-3	-2	38	Si	19
80.0	-2270	-14	-55	-2	-11	38	Si	35

Verifica aperture fessure: Wamm_Freq[mm]=0.400 Wamm_Qp[mm]=0.300

X	N	My	Mz	Act	Aft	pAft	S _{r,max}	σ_{fmed}	Wd	Wk	Cb	Ver.	Cs
cm	kg	kg*m	kg*m	mq	cmq	cm	cm	kg/cmq	mm	mm			
0.0	-2953	-98	-126	0.0	0.00	0.00	0.0	0	0.000	0.000	38(Qp)	Si	>100
0.0	-2953	-98	-126	0.0	0.00	0.00	0.0	0	0.000	0.000	37(Fr)	Si	>100
80.0	-2270	-14	-55	0.0	0.00	0.00	0.0	0	0.000	0.000	38(Qp)	Si	>100
80.0	-2294	-15	-56	0.0	0.00	0.00	0.0	0	0.000	0.000	33(Fr)	Si	>100

Pilastro : 1 [40 , 10]

Sez. R: By= 40.0 cm Bz=40.0 cm L=218.7 cm Ln=218.7 cm L2=218.7 cm L3=218.7 cm

Criterio : CLS_Pilastr-Esist

Zona[cm]	Armature[cmq]		
0.0	AfSpigolo = 2.54	Afy = 0.00	Afz = 5.09
218.7	AfSpigolo = 2.54	Afy = 0.00	Afz = 5.09

Verifica snellezza: fcd=74 [kg/cm²] **Verificato**

Cb	N	fcd*Ac	v	λ_{max}	λ_{lim}
	kg	kg			
24	15193	118524	0.128	18.942	69.826

Combinazione Rara: σ_{ca} [kg/cm²]=78 σ_{fa} [kg/cm²]=2800

X	N	My	Mz	σ_{cmax}	σ_{fmax}	Cb	Ver.	Cs
cm	kg	kg*m	kg*m	kg/cm ²	kg/cm ²			

X	N	My	Mz	σ_{max}	σ_{fmax}	Cb	Ver.	Cs
0.0	-12982	280	460	-12	-33	28	Si	6.7
0.0	-15193	246	445	-13	-55	24	Si	6.3
218.7	-12107	-293	-1303	-17	61	28	Si	4.6

Combinazione QP: $\sigma_{\text{ca}}[\text{kg/cm}^2]=59$ $\sigma_{\text{fa}}[\text{kg/cm}^2]=2800$

X	N	My	Mz	σ_{max}	σ_{fmax}	Cb	Ver.	Cs
cm	kg	kg*m	kg*m	kg/cm ²	kg/cm ²			
0.0	-12126	186	457	-11	-36	38	Si	5.6
218.7	-11251	-107	-1302	-15	47	38	Si	3.9

Verifica aperture fessure: $W_{\text{amm_Freq}}[\text{mm}]=0.400$ $W_{\text{amm_Qp}}[\text{mm}]=0.300$

X	N	My	Mz	Act	Aft	pAft	$S_{r,\text{max}}$	σ_{fmed}	Wd	Wk	Cb	Ver.	Cs
cm	kg	kg*m	kg*m	mq	cmq	cm	cm	kg/cm ²	mm	mm			
0.0	-12126	186	457	0.0	0.00	0.00	0.0	0	0.000	0.000	38(Qp)	Si	>100
0.0	-12126	186	457	0.0	0.00	0.00	0.0	0	0.000	0.000	37(Fr)	Si	>100
218.7	-11251	-107	-1302	0.0	10.18	22.62	9.6	35	0.001	0.001	38(Qp)	Si	>100
218.7	-11246	-106	-1305	0.0	10.18	22.62	9.6	35	0.001	0.001	33(Fr)	Si	>100

Pilastro : 1 [820 , 826]

Sez. R: $B_y = 40.0 \text{ cm}$ $B_z = 40.0 \text{ cm}$ $L = 300.0 \text{ cm}$ $L_n = 300.0 \text{ cm}$ $L_2 = 300.0 \text{ cm}$ $L_3 = 300.0 \text{ cm}$

Criterio : CLS_Pilastrini-Exist

Zona[cm]	Armature[cmq]
0.0	AfSpigolo = 2.54 Afy = 2.54 Afz = 2.54
300.0	AfSpigolo = 2.54 Afy = 2.54 Afz = 2.54

Verifica snellezza: $f_{\text{cd}}=74$ [kg/cm²] **Verificato**

Cb	N	fcd*Ac	v	λ_{max}	λ_{lim}
	kg	kg			
25	3419	118524	0.029	25.981	147.190

Combinazione Rara: $\sigma_{\text{ca}}[\text{kg/cm}^2]=78$ $\sigma_{\text{fa}}[\text{kg/cm}^2]=2800$

X	N	My	Mz	σ_{max}	σ_{fmax}	Cb	Ver.	Cs
cm	kg	kg*m	kg*m	kg/cm ²	kg/cm ²			
0.0	-2966	139	8	-3	-9	29	Si	31
0.0	-3186	147	7	-3	-10	24	Si	29
300.0	-3038	31	2	-2	-21	31	Si	43
300.0	-3419	30	5	-2	-24	25	Si	39

Combinazione QP: $\sigma_{\text{ca}}[\text{kg/cm}^2]=59$ $\sigma_{\text{fa}}[\text{kg/cm}^2]=2800$

X	N	My	Mz	σ_{max}	σ_{fmax}	Cb	Ver.	Cs
cm	kg	kg*m	kg*m	kg/cm ²	kg/cm ²			
0.0	-2863	133	7	-2	-9	38	Si	24
300.0	-2885	32	5	-2	-19	38	Si	33

Verifica aperture fessure: $W_{\text{amm_Freq}}[\text{mm}]=0.400$ $W_{\text{amm_Qp}}[\text{mm}]=0.300$

X	N	My	Mz	Act	Aft	pAft	$S_{r,\text{max}}$	σ_{fmed}	Wd	Wk	Cb	Ver.	Cs
cm	kg	kg*m	kg*m	mq	cmq	cm	cm	kg/cm ²	mm	mm			
0.0	-2863	133	7	0.0	0.00	0.00	0.0	0	0.000	0.000	38(Qp)	Si	>100
0.0	-2863	133	7	0.0	0.00	0.00	0.0	0	0.000	0.000	37(Fr)	Si	>100
300.0	-2885	32	5	0.0	0.00	0.00	0.0	0	0.000	0.000	38(Qp)	Si	>100
300.0	-2917	32	3	0.0	0.00	0.00	0.0	0	0.000	0.000	33(Fr)	Si	>100

Pilastro : 1 [826 , 40]

Sez. R: $B_y = 40.0 \text{ cm}$ $B_z = 40.0 \text{ cm}$ $L = 80.0 \text{ cm}$ $L_n = 80.0 \text{ cm}$ $L_2 = 80.0 \text{ cm}$ $L_3 = 80.0 \text{ cm}$

Criterio : CLS_Pilastr-Esist

Zona[cm]	Armature[cmq]		
0.0	AfSpigolo = 2.54	Afy = 2.54	Afz = 2.54
80.0	AfSpigolo = 2.54	Afy = 2.54	Afz = 2.54

Verifica snellezza: fcd=74 [kg/cm²]**Verificato**

Cb	N	fcd*Ac	v	λmax	λlim
	kg	kg			
25	5391	118524	0.045	6.928	117.217

Combinazione Rara: σca[kg/cm²]=78 σfa[kg/cm²]=2800

X	N	My	Mz	σcmax	σfmax	Cb	Ver.	Cs
cm	kg	kg*m	kg*m	kg/cm ²	kg/cm ²			
0.0	-3429	6	17	-2	-25	29	Si	40
0.0	-3900	6	20	-2	-28	24	Si	35
80.0	-4689	-32	-52	-3	-29	31	Si	26
80.0	-5391	-34	-56	-3	-34	25	Si	23

Combinazione QP: σca[kg/cm²]=59 σfa[kg/cm²]=2800

X	N	My	Mz	σcmax	σfmax	Cb	Ver.	Cs
cm	kg	kg*m	kg*m	kg/cm ²	kg/cm ²			
0.0	-3253	6	17	-2	-23	38	Si	32
80.0	-4427	-31	-43	-3	-28	38	Si	21

Verifica aperture fessure:Wamm_Freq[mm]=0.400 Wamm_Qp[mm]=0.300

X	N	My	Mz	Act	Aft	pAft	S _{r,max}	σfmed	Wd	Wk	Cb	Ver.	Cs
cm	kg	kg*m	kg*m	m ²	cm ²	cm	cm	kg/cm ²	mm	mm			
0.0	-3253	6	17	0.0	0.00	0.00	0.0	0	0.000	0.000	38(Qp)	Si	>100
0.0	-3253	6	17	0.0	0.00	0.00	0.0	0	0.000	0.000	37(Fr)	Si	>100
80.0	-4427	-31	-43	0.0	0.00	0.00	0.0	0	0.000	0.000	38(Qp)	Si	>100
80.0	-4474	-31	-48	0.0	0.00	0.00	0.0	0	0.000	0.000	33(Fr)	Si	>100

Pilastro : 2 [2 , 844]

Sez. R: By= 40.0 cm Bz=40.0 cm L=80.0 cm Ln=80.0 cm L2=80.0 cm L3=80.0 cm

Criterio : CLS_Pilastr-Esist

Zona[cm]	Armature[cmq]		
0.0	AfSpigolo = 2.54	Afy = 2.54	Afz = 2.54
80.0	AfSpigolo = 2.54	Afy = 2.54	Afz = 2.54

Verifica snellezza: fcd=74 [kg/cm²]**Verificato**

Cb	N	fcd*Ac	v	λmax	λlim
	kg	kg			
24	3631	118524	0.031	6.928	142.841

Combinazione Rara: σca[kg/cm²]=78 σfa[kg/cm²]=2800

X	N	My	Mz	σcmax	σfmax	Cb	Ver.	Cs
cm	kg	kg*m	kg*m	kg/cm ²	kg/cm ²			
0.0	-3460	281	-24	-4	2	28	Si	20
0.0	-3631	277	-26	-4	1	24	Si	20
80.0	-2698	-10	-134	-2	-7	27	Si	33
80.0	-2918	-10	-142	-3	-8	25	Si	31

Combinazione QP: σca[kg/cm²]=59 σfa[kg/cm²]=2800

X	N	My	Mz	σcmax	σfmax	Cb	Ver.	Cs
cm	kg	kg*m	kg*m	kg/cm ²	kg/cm ²			

X	N	My	Mz	σ_{\max}	$\sigma_{f\max}$	Cb	Ver.	Cs
0.0	-3310	273	-25	-4	3	38	Si	16
80.0	-2639	-9	-128	-2	-8	38	Si	25

Verifica aperture fessure: Wamm_Freq[mm]=0.400 Wamm_Qp[mm]=0.300

X	N	My	Mz	Act	Aft	pAft	$S_{r,\max}$	σ_{fmed}	Wd	Wk	Cb	Ver.	Cs
cm	kg	kg*m	kg*m	m	cm	cm	cm	kg/cm	mm	mm			
0.0	-3310	273	-25	0.0	4.16	9.24	8.2	2	0.000	0.000	38(Qp)	Si	>100
0.0	-3325	268	-24	0.0	3.76	8.36	7.9	2	0.000	0.000	33(Fr)	Si	>100
80.0	-2639	-9	-128	0.0	0.00	0.00	0.0	0	0.000	0.000	38(Qp)	Si	>100
80.0	-2647	-9	-130	0.0	0.00	0.00	0.0	0	0.000	0.000	33(Fr)	Si	>100

Pilastro : 2 [34 , 44]

Sez. R: By= 40.0 cm Bz=40.0 cm L=250.0 cm Ln=250.0 cm L2=250.0 cm L3=250.0 cm

Criterio : CLS_Pilastri-Exist

Zona[cm]	Armature[cmq]
0.0	AfSpigolo = 2.54 Afy = 0.00 Afz = 5.09
250.0	AfSpigolo = 2.54 Afy = 0.00 Afz = 5.09

Verifica snellezza: fcd=74 [kg/cm] **Verificato**

Cb	N	fcd*Ac	v	λ_{\max}	λ_{lim}
	kg	kg			
24	15314	118524	0.129	21.651	69.550

Combinazione Rara: σ_{ca} [kg/cm]=78 σ_{fa} [kg/cm]=2800

X	N	My	Mz	σ_{\max}	$\sigma_{f\max}$	Cb	Ver.	Cs
cm	kg	kg*m	kg*m	kg/cm	kg/cm			
0.0	-15314	1258	622	-22	77	24	Si	3.6
250.0	-14314	-4074	-837	-56	1031	25	Si	1.4

Combinazione QP: σ_{ca} [kg/cm]=59 σ_{fa} [kg/cm]=2800

X	N	My	Mz	σ_{\max}	$\sigma_{f\max}$	Cb	Ver.	Cs
cm	kg	kg*m	kg*m	kg/cm	kg/cm			
0.0	-12882	908	569	-17	48	38	Si	3.4
250.0	-11882	-2943	-796	-43	704	38	Si	1.4

Verifica aperture fessure: Wamm_Freq[mm]=0.400 Wamm_Qp[mm]=0.300

X	N	My	Mz	Act	Aft	pAft	$S_{r,\max}$	σ_{fmed}	Wd	Wk	Cb	Ver.	Cs
cm	kg	kg*m	kg*m	m	cm	cm	cm	kg/cm	mm	mm			
0.0	-12882	908	569	0.0	3.82	8.49	7.3	48	0.001	0.001	38(Qp)	Si	>100
0.0	-13086	939	570	0.0	3.83	8.51	7.3	51	0.001	0.001	34(Fr)	Si	>100
250.0	-11882	-2943	-796	0.0	10.65	23.67	15.6	414	0.018	0.018	38(Qp)	Si	16
250.0	-12086	-3038	-797	0.0	10.68	23.74	15.6	433	0.019	0.019	34(Fr)	Si	21

Pilastro : 2 [44 , 54]

Sez. R: By= 40.0 cm Bz=40.0 cm L=150.0 cm Ln=150.0 cm L2=150.0 cm L3=150.0 cm

Criterio : CLS_Pilastri-Exist

Zona[cm]	Armature[cmq]
0.0	AfSpigolo = 2.54 Afy = 2.54 Afz = 2.54
150.0	AfSpigolo = 2.54 Afy = 2.54 Afz = 2.54

Verifica snellezza: fcd=74 [kg/cm] **Verificato**

Cb	N	fcd*Ac	v	λ_{\max}	λ_{lim}
	kg	kg			
24	5197	118524	0.044	12.990	119.390

Combinazione Rara: $\sigma_{ca}[\text{kg/cm}^2]=78$ $\sigma_{fa}[\text{kg/cm}^2]=2800$

X	N	My	Mz	σ_{cmax}	σ_{fmax}	Cb	Ver.	Cs
cm	kg	kg*m	kg*m	kg/cm ²	kg/cm ²			
0.0	-5197	2463	694	-33	706	24	Si	2.4
150.0	-4597	2714	-1463	-44	983	25	Si	1.8

Combinazione QP: $\sigma_{ca}[\text{kg/cm}^2]=59$ $\sigma_{fa}[\text{kg/cm}^2]=2800$

X	N	My	Mz	σ_{cmax}	σ_{fmax}	Cb	Ver.	Cs
cm	kg	kg*m	kg*m	kg/cm ²	kg/cm ²			
0.0	-5014	1805	707	-27	503	38	Si	2.2
150.0	-4414	2531	-1442	-42	929	38	Si	1.4

Verifica aperture fessure: $Wamm_Freq[\text{mm}]=0.400$ $Wamm_Qp[\text{mm}]=0.300$

X	N	My	Mz	Act	Aft	pAft	$S_{r,max}$	σ_{fmed}	Wd	Wk	Cb	Ver.	Cs
cm	kg	kg*m	kg*m	mq	cmq	cm	cm	kg/cm ²	mm	mm			
0.0	-5014	1805	707	0.0	10.69	23.75	16.4	334	0.016	0.016	38(Qp)	Si	19
0.0	-5029	1861	706	0.0	10.70	23.79	16.5	348	0.016	0.016	34(Fr)	Si	24
150.0	-4414	2531	-1442	0.0	11.03	24.51	17.1	606	0.030	0.030	38(Qp)	Si	10
150.0	-4429	2547	-1443	0.0	11.03	24.51	17.1	610	0.030	0.030	34(Fr)	Si	13

Pilastro : 2 [844 , 845]

Sez. R: $B_y = 40.0 \text{ cm}$ $B_z = 40.0 \text{ cm}$ $L = 300.0 \text{ cm}$ $L_n = 300.0 \text{ cm}$ $L_2 = 300.0 \text{ cm}$ $L_3 = 300.0 \text{ cm}$

Criterio : CLS_Pilastrini-Exist

Zona[cm]	Armature[cmq]		
0.0	AfSpigolo = 2.54	Afy = 2.54	Afz = 2.54
300.0	AfSpigolo = 2.54	Afy = 2.54	Afz = 2.54

Verifica snellezza: $fcd=74$ [kg/cm²] **Verificato**

Cb	N	fcd*Ac	v	λ_{max}	λ_{lim}
	kg	kg			
25	3320	118524	0.028	25.981	149.373

Combinazione Rara: $\sigma_{ca}[\text{kg/cm}^2]=78$ $\sigma_{fa}[\text{kg/cm}^2]=2800$

X	N	My	Mz	σ_{cmax}	σ_{fmax}	Cb	Ver.	Cs
cm	kg	kg*m	kg*m	kg/cm ²	kg/cm ²			
0.0	-2677	-4	-180	-3	-3	27	Si	30
0.0	-2903	-4	-191	-3	-4	24	Si	28
300.0	-2900	60	-97	-3	-8	31	Si	30
300.0	-3320	76	-101	-3	-9	25	Si	27

Combinazione QP: $\sigma_{ca}[\text{kg/cm}^2]=59$ $\sigma_{fa}[\text{kg/cm}^2]=2800$

X	N	My	Mz	σ_{cmax}	σ_{fmax}	Cb	Ver.	Cs
cm	kg	kg*m	kg*m	kg/cm ²	kg/cm ²			
0.0	-2611	-2	-172	-3	-4	38	Si	23
300.0	-2771	55	-92	-2	-8	38	Si	24

Verifica aperture fessure: $Wamm_Freq[\text{mm}]=0.400$ $Wamm_Qp[\text{mm}]=0.300$

X	N	My	Mz	Act	Aft	pAft	$S_{r,max}$	σ_{fmed}	Wd	Wk	Cb	Ver.	Cs
cm	kg	kg*m	kg*m	mq	cmq	cm	cm	kg/cm ²	mm	mm			
0.0	-2611	-2	-172	0.0	0.00	0.00	0.0	0	0.000	0.000	38(Qp)	Si	>100
0.0	-2611	-2	-172	0.0	0.00	0.00	0.0	0	0.000	0.000	37(Fr)	Si	>100
300.0	-2771	55	-92	0.0	0.00	0.00	0.0	0	0.000	0.000	38(Qp)	Si	>100
300.0	-2782	56	-94	0.0	0.00	0.00	0.0	0	0.000	0.000	33(Fr)	Si	>100

Pilastro : 2 [845 , 34]

Sez. R: By= 40.0 cm Bz=40.0 cm L=80.0 cm Ln=80.0 cm L2=80.0 cm L3=80.0 cm

Criterio : CLS_Pilastr-Esist

Zona[cm]	Armature[cmq]		
0.0	AfSpigolo = 2.54	Afy = 2.54	Afz = 2.54
80.0	AfSpigolo = 2.54	Afy = 2.54	Afz = 2.54

Verifica snellezza: fcd=74 [kg/cm²]**Verificato**

Cb	N	fcd*Ac	v	λ _{max}	λ _{lim}
	kg	kg			
25	5111	118524	0.043	6.928	120.389

Combinazione Rara: σ_{ca}[kg/cm²]=78 σ_{fa}[kg/cm²]=2800

X	N	My	Mz	σ _{cmax}	σ _{fmax}	Cb	Ver.	Cs
cm	kg	kg*m	kg*m	kg/cm ²	kg/cm ²			
0.0	-3522	76	-0	-2	-20	29	Si	33
0.0	-4016	94	2	-3	-22	24	Si	28
80.0	-4492	12	215	-4	-13	27	Si	20
80.0	-5111	22	230	-4	-16	25	Si	18

Combinazione QP: σ_{ca}[kg/cm²]=59 σ_{fa}[kg/cm²]=2800

X	N	My	Mz	σ _{cmax}	σ _{fmax}	Cb	Ver.	Cs
cm	kg	kg*m	kg*m	kg/cm ²	kg/cm ²			
0.0	-3365	70	1	-2	-20	38	Si	26
80.0	-4273	-12	207	-4	-13	38	Si	16

Verifica aperture fessure:W_{amm_Freq}[mm]=0.400 W_{amm_Qp}[mm]=0.300

X	N	My	Mz	Act	Aft	pAft	S _{r,max}	σ _{fmed}	W _d	W _k	Cb	Ver.	Cs
cm	kg	kg*m	kg*m	m ²	cm ²	cm	cm	kg/cm ²	mm	mm			
0.0	-3365	70	1	0.0	0.00	0.00	0.0	0	0.000	0.000	38(Qp)	Si	>100
0.0	-3365	70	1	0.0	0.00	0.00	0.0	0	0.000	0.000	37(Fr)	Si	>100
80.0	-4273	-12	207	0.0	0.00	0.00	0.0	0	0.000	0.000	38(Qp)	Si	>100
80.0	-4293	-8	210	0.0	0.00	0.00	0.0	0	0.000	0.000	33(Fr)	Si	>100

Pilastro : 3 [3 , 872]

Sez. R: By= 40.0 cm Bz=40.0 cm L=80.0 cm Ln=80.0 cm L2=80.0 cm L3=80.0 cm

Criterio : CLS_Pilastr-Esist

Zona[cm]	Armature[cmq]		
0.0	AfSpigolo = 2.54	Afy = 2.54	Afz = 2.54
80.0	AfSpigolo = 2.54	Afy = 2.54	Afz = 2.54

Verifica snellezza: fcd=74 [kg/cm²]**Verificato**

Cb	N	fcd*Ac	v	λ _{max}	λ _{lim}
	kg	kg			
24	1905	118524	0.016	6.928	197.199

Combinazione Rara: σ_{ca}[kg/cm²]=78 σ_{fa}[kg/cm²]=2800

X	N	My	Mz	σ _{cmax}	σ _{fmax}	Cb	Ver.	Cs
cm	kg	kg*m	kg*m	kg/cm ²	kg/cm ²			
0.0	-1905	211	281	-5	57	24	Si	15
80.0	-880	182	128	-3	47	25	Si	24

Combinazione QP: σ_{ca}[kg/cm²]=59 σ_{fa}[kg/cm²]=2800

X	N	My	Mz	σ _{cmax}	σ _{fmax}	Cb	Ver.	Cs
---	---	----	----	-------------------	-------------------	----	------	----

X	N	My	Mz	σ_{\max}	$\sigma_{f\max}$	Cb	Ver.	Cs
cm	kg	kg*m	kg*m	kg/cmq	kg/cmq			
0.0	-1694	191	248	-5	51	38	Si	13
80.0	-745	164	118	-3	45	38	Si	20

Verifica aperture fessure: Wamm_Freq[mm]=0.400 Wamm_Qp[mm]=0.300

X	N	My	Mz	Act	Aft	pAft	$S_{r,\max}$	σ_{fmed}	Wd	Wk	Cb	Ver.	Cs
cm	kg	kg*m	kg*m	mq	cmq	cm	cm	kg/cmq	mm	mm			
0.0	-1694	191	248	0.0	7.05	15.67	16.4	31	0.001	0.001	38(Qp)	Si	>100
0.0	-1715	194	250	0.0	7.05	15.66	16.4	32	0.001	0.001	33(Fr)	Si	>100
80.0	-745	164	118	0.0	10.31	22.91	15.6	25	0.001	0.001	38(Qp)	Si	>100
80.0	-756	166	118	0.0	10.30	22.89	15.6	25	0.001	0.001	33(Fr)	Si	>100

Pilastro : 3 [872 , 873]

Sez. R: By= 40.0 cm Bz=40.0 cm L=300.0 cm Ln=300.0 cm L2=300.0 cm L3=300.0 cm

Criterio : CLS_Pilastr-Esist

Zona[cm]	Armature[cmq]
0.0	AfSpigolo = 2.54 Afy = 2.54 Afz = 2.54
300.0	AfSpigolo = 2.54 Afy = 2.54 Afz = 2.54

Verifica snellezza: fcd=74 [kg/cmq] **Verificato**

Cb	N	fcd*Ac	v	λ_{\max}	λ_{\lim}
	kg	kg			
24	562	118524	0.005	25.981	363.015

Combinazione Rara: σ_{ca} [kg/cmq]=78 σ_{fa} [kg/cmq]=2800

X	N	My	Mz	σ_{\max}	$\sigma_{f\max}$	Cb	Ver.	Cs
cm	kg	kg*m	kg*m	kg/cmq	kg/cmq			
0.0	-562	198	177	-4	78	24	Si	19
300.0	281	266	258	-6	167	25	Si	14

Combinazione QP: σ_{ca} [kg/cmq]=59 σ_{fa} [kg/cmq]=2800

X	N	My	Mz	σ_{\max}	$\sigma_{f\max}$	Cb	Ver.	Cs
cm	kg	kg*m	kg*m	kg/cmq	kg/cmq			
0.0	-476	176	161	-4	72	38	Si	16
300.0	342	216	221	-5	145	38	Si	13

Verifica aperture fessure: Wamm_Freq[mm]=0.400 Wamm_Qp[mm]=0.300

X	N	My	Mz	Act	Aft	pAft	$S_{r,\max}$	σ_{fmed}	Wd	Wk	Cb	Ver.	Cs
cm	kg	kg*m	kg*m	mq	cmq	cm	cm	kg/cmq	mm	mm			
0.0	-476	176	161	0.0	13.57	30.15	15.0	35	0.001	0.001	38(Qp)	Si	>100
0.0	-480	178	163	0.0	13.57	30.15	15.0	35	0.002	0.002	33(Fr)	Si	>100
300.0	342	216	221	0.0	14.71	32.68	16.2	83	0.004	0.004	38(Qp)	Si	78
300.0	358	218	227	0.0	14.72	32.71	16.2	84	0.004	0.004	33(Fr)	Si	>100

Pilastro : 3 [873 , 6]

Sez. R: By= 40.0 cm Bz=40.0 cm L=80.0 cm Ln=80.0 cm L2=80.0 cm L3=80.0 cm

Criterio : CLS_Pilastr-Esist

Zona[cm]	Armature[cmq]
0.0	AfSpigolo = 2.54 Afy = 2.54 Afz = 2.54
80.0	AfSpigolo = 2.54 Afy = 2.54 Afz = 2.54

Verifica snellezza: fcd=74 [kg/cmq] **Verificato**

Cb	N	fcd*Ac	v	λ_{\max}	λ_{\lim}
	kg	kg			

Cb	N	fcd*Ac	v	λ_{max}	λ_{lim}
25	2435	118524	0.021	6.928	174.404

Combinazione Rara: σ_{ca} [kg/cm²]=78 σ_{fa} [kg/cm²]=2800

X	N	My	Mz	σ_{cmax}	σ_{fmax}	Cb	Ver.	Cs
cm	kg	kg*m	kg*m	kg/cm ²	kg/cm ²			
0.0	-837	303	165	-5	95	24	Si	16
80.0	-2435	854	48	-9	181	25	Si	8.4

Combinazione QP: σ_{ca} [kg/cm²]=59 σ_{fa} [kg/cm²]=2800

X	N	My	Mz	σ_{cmax}	σ_{fmax}	Cb	Ver.	Cs
cm	kg	kg*m	kg*m	kg/cm ²	kg/cm ²			
0.0	-560	236	143	-4	81	38	Si	15
80.0	-1775	617	45	-7	132	38	Si	8.6

Verifica aperture fessure: Wamm_Freq[mm]=0.400 Wamm_Qp[mm]=0.300

X	N	My	Mz	Act	Aft	pAft	$S_{r,max}$	σ_{fmed}	Wd	Wk	Cb	Ver.	Cs
cm	kg	kg*m	kg*m	m ²	cm ²	cm	cm	kg/cm ²	mm	mm			
0.0	-560	236	143	0.0	10.88	24.18	16.8	51	0.002	0.002	38(Qp)	Si	>100
0.0	-551	237	147	0.0	10.90	24.23	16.9	52	0.003	0.003	33(Fr)	Si	>100
80.0	-1775	617	45	0.0	10.60	23.56	16.2	82	0.004	0.004	38(Qp)	Si	79
80.0	-1827	637	44	0.0	10.60	23.56	16.2	85	0.004	0.004	34(Fr)	Si	>100

Pilastro : 4 [4 , 880]

Sez. R: $B_y = 40.0 \text{ cm}$ $B_z = 90.0 \text{ cm}$ $L = 80.0 \text{ cm}$ $L_n = 80.0 \text{ cm}$ $L_2 = 80.0 \text{ cm}$ $L_3 = 80.0 \text{ cm}$

Criterio : CLS_Pilastr-Esist

Zona[cm]	Armature[cm ²]
0.0	AfSpigolo = 2.54 Afy = 0.00 Afz = 15.27
80.0	AfSpigolo = 2.54 Afy = 0.00 Afz = 15.27

Verifica snellezza: fcd=74 [kg/cm²]**Verificato**

Cb	N	fcd*Ac	v	λ_{max}	λ_{lim}
	kg	kg			
24	10338	266679	0.039	6.928	126.975

Combinazione Rara: σ_{ca} [kg/cm²]=78 σ_{fa} [kg/cm²]=2800

X	N	My	Mz	σ_{cmax}	σ_{fmax}	Cb	Ver.	Cs
cm	kg	kg*m	kg*m	kg/cm ²	kg/cm ²			
0.0	-10338	2286	-685	-9	62	24	Si	9.1
80.0	-7991	1093	161	-4	3	27	Si	19
80.0	-8699	1178	176	-4	3	25	Si	18

Combinazione QP: σ_{ca} [kg/cm²]=59 σ_{fa} [kg/cm²]=2800

X	N	My	Mz	σ_{cmax}	σ_{fmax}	Cb	Ver.	Cs
cm	kg	kg*m	kg*m	kg/cm ²	kg/cm ²			
0.0	-9162	2032	-610	-8	55	38	Si	7.7
80.0	-7631	1047	156	-4	3	38	Si	15

Verifica aperture fessure: Wamm_Freq[mm]=0.400 Wamm_Qp[mm]=0.300

X	N	My	Mz	Act	Aft	pAft	$S_{r,max}$	σ_{fmed}	Wd	Wk	Cb	Ver.	Cs
cm	kg	kg*m	kg*m	m ²	cm ²	cm	cm	kg/cm ²	mm	mm			
0.0	-9162	2032	-610	0.0	10.34	22.97	15.9	32	0.001	0.001	38(Qp)	Si	>100
0.0	-9282	2060	-617	0.0	10.33	22.96	15.9	32	0.001	0.001	33(Fr)	Si	>100
80.0	-7631	1047	156	0.0	3.43	7.62	7.3	3	0.000	0.000	38(Qp)	Si	>100
80.0	-7690	1054	157	0.0	3.42	7.61	7.3	3	0.000	0.000	34(Fr)	Si	>100

Pilastro : 4 [880 , 885]

Sez. R: By= 40.0 cm Bz=90.0 cm L=300.0 cm Ln=300.0 cm L2=300.0 cm L3=300.0 cm

Criterio : CLS_Pilastr-Esist

Zona[cm]	Armature[cmq]		
0.0	AfSpigolo = 2.54	Afy = 0.00	Afz = 15.27
300.0	AfSpigolo = 2.54	Afy = 0.00	Afz = 15.27

Verifica snellezza: fcd=74 [kg/cm²]**Verificato**

Cb	N	fcd*Ac	v	λ _{max}	λ _{lim}
	kg	kg			
25	9812	266679	0.037	25.981	130.336

Combinazione Rara: σ_{ca}[kg/cm²]=78 σ_{fa}[kg/cm²]=2800

X	N	My	Mz	σ _{cmax}	σ _{fmax}	Cb	Ver.	Cs
cm	kg	kg*m	kg*m	kg/cm ²	kg/cm ²			
0.0	-7711	834	-161	-4	-2	27	Si	22
0.0	-8417	889	-179	-4	-3	24	Si	20
300.0	-9812	2368	12	-6	30	25	Si	12

Combinazione QP: σ_{ca}[kg/cm²]=59 σ_{fa}[kg/cm²]=2800

X	N	My	Mz	σ _{cmax}	σ _{fmax}	Cb	Ver.	Cs
cm	kg	kg*m	kg*m	kg/cm ²	kg/cm ²			
0.0	-7362	799	-151	-3	-2	38	Si	17
300.0	-7510	1715	-14	-5	18	38	Si	13

Verifica aperture fessure: W_{amm_Freq}[mm]=0.400 W_{amm_Qp}[mm]=0.300

X	N	My	Mz	Act	Aft	pAft	S _{r,max}	σ _{fmed}	Wd	Wk	Cb	Ver.	Cs
cm	kg	kg*m	kg*m	m ²	cm ²	cm	cm	kg/cm ²	mm	mm			
0.0	-7362	799	-151	0.0	0.00	0.00	0.0	0	0.000	0.000	38(Qp)	Si	>100
0.0	-7362	799	-151	0.0	0.00	0.00	0.0	0	0.000	0.000	37(Fr)	Si	>100
300.0	-7510	1715	-14	0.0	11.39	25.31	14.1	12	0.000	0.000	38(Qp)	Si	>100
300.0	-7677	1767	-11	0.0	11.53	25.62	14.1	12	0.000	0.000	34(Fr)	Si	>100

Pilastro : 4 [885 , 12]

Sez. R: By= 40.0 cm Bz=90.0 cm L=80.0 cm Ln=80.0 cm L2=80.0 cm L3=80.0 cm

Criterio : CLS_Pilastr-Esist

Zona[cm]	Armature[cmq]		
0.0	AfSpigolo = 2.54	Afy = 0.00	Afz = 15.27
80.0	AfSpigolo = 2.54	Afy = 0.00	Afz = 15.27

Verifica snellezza: fcd=74 [kg/cm²]**Verificato**

Cb	N	fcd*Ac	v	λ _{max}	λ _{lim}
	kg	kg			
25	17311	266679	0.065	6.928	98.125

Combinazione Rara: σ_{ca}[kg/cm²]=78 σ_{fa}[kg/cm²]=2800

X	N	My	Mz	σ _{cmax}	σ _{fmax}	Cb	Ver.	Cs
cm	kg	kg*m	kg*m	kg/cm ²	kg/cm ²			
0.0	-13131	2533	78	-7	16	24	Si	11
80.0	-17311	5647	-484	-17	172	25	Si	4.7

Combinazione QP: σ_{ca}[kg/cm²]=59 σ_{fa}[kg/cm²]=2800

X	N	My	Mz	σ _{cmax}	σ _{fmax}	Cb	Ver.	Cs
---	---	----	----	-------------------	-------------------	----	------	----

X	N	My	Mz	σ_{\max}	$\sigma_{f\max}$	Cb	Ver.	Cs
cm	kg	kg*m	kg*m	kg/cmq	kg/cmq			
0.0	-9856	1833	75	-5	11	38	Si	11
80.0	-12608	4051	-430	-12	126	38	Si	4.8

Verifica aperture fessure: Wamm_Freq[mm]=0.400 Wamm_Qp[mm]=0.300

X	N	My	Mz	Act	Aft	pAft	$S_{r,\max}$	σ_{fmed}	Wd	Wk	Cb	Ver.	Cs
cm	kg	kg*m	kg*m	mq	cmq	cm	cm	kg/cmq	mm	mm			
0.0	-9856	1833	75	0.0	7.78	17.29	11.7	7	0.000	0.000	38(Qp)	Si	>100
0.0	-10103	1888	74	0.0	7.86	17.47	11.7	8	0.000	0.000	34(Fr)	Si	>100
80.0	-12608	4051	-430	0.0	17.17	38.15	15.8	58	0.003	0.003	38(Qp)	Si	>100
80.0	-12973	4179	-430	0.0	17.19	38.21	15.8	60	0.003	0.003	34(Fr)	Si	>100

Pilastro : 5 [5 , 879]

Sez. R: By= 40.0 cm Bz=40.0 cm L=80.0 cm Ln=80.0 cm L2=80.0 cm L3=80.0 cm

Criterio : CLS_Pilastri-Esist

Zona[cm]	Armature[cmq]
0.0	AfSpigolo = 2.54 Afy = 2.54 Afz = 2.54
80.0	AfSpigolo = 2.54 Afy = 2.54 Afz = 2.54

Verifica snellezza: fcd=74 [kg/cmq] **Verificato**

Cb	N	fcd*Ac	v	λ_{\max}	λ_{\lim}
	kg	kg			
24	3215	118524	0.027	6.928	151.802

Combinazione Rara: σ_{ca} [kg/cmq]=78 σ_{fa} [kg/cmq]=2800

X	N	My	Mz	σ_{\max}	$\sigma_{f\max}$	Cb	Ver.	Cs
cm	kg	kg*m	kg*m	kg/cmq	kg/cmq			
0.0	-2963	130	94	-3	-2	27	Si	26
0.0	-3215	137	102	-3	-2	24	Si	24
80.0	-2523	38	50	-2	-11	31	Si	41
80.0	-2766	43	56	-2	-12	25	Si	37

Combinazione QP: σ_{ca} [kg/cmq]=59 σ_{fa} [kg/cmq]=2800

X	N	My	Mz	σ_{\max}	$\sigma_{f\max}$	Cb	Ver.	Cs
cm	kg	kg*m	kg*m	kg/cmq	kg/cmq			
0.0	-2836	125	89	-3	-2	38	Si	20
80.0	-2402	37	48	-2	-11	38	Si	32

Verifica aperture fessure: Wamm_Freq[mm]=0.400 Wamm_Qp[mm]=0.300

X	N	My	Mz	Act	Aft	pAft	$S_{r,\max}$	σ_{fmed}	Wd	Wk	Cb	Ver.	Cs
cm	kg	kg*m	kg*m	mq	cmq	cm	cm	kg/cmq	mm	mm			
0.0	-2836	125	89	0.0	0.00	0.00	0.0	0	0.000	0.000	38(Qp)	Si	>100
0.0	-2836	125	89	0.0	0.00	0.00	0.0	0	0.000	0.000	37(Fr)	Si	>100
80.0	-2402	37	48	0.0	0.00	0.00	0.0	0	0.000	0.000	38(Qp)	Si	>100
80.0	-2437	37	48	0.0	0.00	0.00	0.0	0	0.000	0.000	33(Fr)	Si	>100

Pilastro : 5 [879 , 886]

Sez. R: By= 40.0 cm Bz=40.0 cm L=300.0 cm Ln=300.0 cm L2=300.0 cm L3=300.0 cm

Criterio : CLS_Pilastri-Esist

Zona[cm]	Armature[cmq]
0.0	AfSpigolo = 2.54 Afy = 2.54 Afz = 2.54
300.0	AfSpigolo = 2.54 Afy = 2.54 Afz = 2.54

Verifica snellezza: fcd=74 [kg/cmq] **Verificato**

Cb	N	fcd*Ac	v	λ_{max}	λ_{lim}
	kg	kg			
24	3233	118524	0.027	25.981	151.359

Combinazione Rara: σ_{ca} [kg/cm²]=78 σ_{fa} [kg/cm²]=2800

X	N	My	Mz	σ_{cmax}	σ_{fmax}	Cb	Ver.	Cs
cm	kg	kg*m	kg*m	kg/cm ²	kg/cm ²			
0.0	-2954	1	-52	-2	-18	29	Si	41
0.0	-3233	-2	-59	-2	-20	24	Si	37
300.0	-2510	274	16	-3	11	25	Si	23

Combinazione QP: σ_{ca} [kg/cm²]=59 σ_{fa} [kg/cm²]=2800

X	N	My	Mz	σ_{cmax}	σ_{fmax}	Cb	Ver.	Cs
cm	kg	kg*m	kg*m	kg/cm ²	kg/cm ²			
0.0	-2813	2	-50	-2	-17	38	Si	32
300.0	-2009	186	3	-2	3	38	Si	25

Verifica aperture fessure: Wamm_Freq[mm]=0.400 Wamm_Qp[mm]=0.300

X	N	My	Mz	Act	Aft	pAft	$S_{r,max}$	σ_{fmed}	Wd	Wk	Cb	Ver.	Cs
cm	kg	kg*m	kg*m	m ²	cm ²	cm	cm	kg/cm ²	mm	mm			
0.0	-2813	2	-50	0.0	0.00	0.00	0.0	0	0.000	0.000	38(Qp)	Si	>100
0.0	-2813	2	-50	0.0	0.00	0.00	0.0	0	0.000	0.000	37(Fr)	Si	>100
300.0	-2009	186	3	0.0	7.99	17.76	8.8	3	0.000	0.000	38(Qp)	Si	>100
300.0	-2042	194	5	0.0	8.06	17.91	9.0	3	0.000	0.000	34(Fr)	Si	>100

Pilastro : 5 [886 , 20]

Sez. R: $B_y = 40.0$ cm $B_z = 40.0$ cm $L = 80.0$ cm $L_n = 80.0$ cm $L_2 = 80.0$ cm $L_3 = 80.0$ cm

Criterio : CLS_Pilastris-Esist

Zona[cm]	Armature[cm ²]
0.0	AfSpigolo = 2.54 $A_{fy} = 2.54$ $A_{fz} = 2.54$
80.0	AfSpigolo = 2.54 $A_{fy} = 2.54$ $A_{fz} = 2.54$

Verifica snellezza: fcd=74 [kg/cm²]**Verificato**

Cb	N	fcd*Ac	v	λ_{max}	λ_{lim}
	kg	kg			
25	4366	118524	0.037	6.928	130.255

Combinazione Rara: σ_{ca} [kg/cm²]=78 σ_{fa} [kg/cm²]=2800

X	N	My	Mz	σ_{cmax}	σ_{fmax}	Cb	Ver.	Cs
cm	kg	kg*m	kg*m	kg/cm ²	kg/cm ²			
0.0	-2431	161	7	-2	-3	24	Si	33
80.0	-4366	1531	76	-17	323	25	Si	4.7

Combinazione QP: σ_{ca} [kg/cm²]=59 σ_{fa} [kg/cm²]=2800

X	N	My	Mz	σ_{cmax}	σ_{fmax}	Cb	Ver.	Cs
cm	kg	kg*m	kg*m	kg/cm ²	kg/cm ²			
0.0	-1946	110	8	-2	-4	38	Si	32
80.0	-3279	1067	64	-12	218	38	Si	5.0

Verifica aperture fessure: Wamm_Freq[mm]=0.400 Wamm_Qp[mm]=0.300

X	N	My	Mz	Act	Aft	pAft	$S_{r,max}$	σ_{fmed}	Wd	Wk	Cb	Ver.	Cs
cm	kg	kg*m	kg*m	m ²	cm ²	cm	cm	kg/cm ²	mm	mm			
0.0	-1946	110	8	0.0	0.00	0.00	0.0	0	0.000	0.000	38(Qp)	Si	>100
0.0	-1946	110	8	0.0	0.00	0.00	0.0	0	0.000	0.000	37(Fr)	Si	>100
80.0	-3279	1067	64	0.0	10.54	23.43	16.1	135	0.006	0.006	38(Qp)	Si	48

X	N	My	Mz	Act	Aft	pAft	S _{r,max}	σ _{fmed}	Wd	Wk	Cb	Ver.	Cs
80.0	-3360	1106	65	0.0	10.55	23.45	16.1	141	0.006	0.006	34(Fr)	Si	62

Pilastro : 6 [6 , 878]

Sez. R: By= 40.0 cm Bz=40.0 cm L=80.0 cm Ln=80.0 cm L2=80.0 cm L3=80.0 cm

Criterio : CLS_Pilastr-Esist

Zona[cm]	Armature[cmq]		
0.0	AfSpigolo = 2.54	Afy = 2.54	Afz = 2.54
80.0	AfSpigolo = 2.54	Afy = 2.54	Afz = 2.54

Verifica snellezza: fcd=74 [kg/cm²]**Verificato**

Cb	N	fcd*Ac	v	λ _{max}	λ _{lim}
	kg	kg			
25	2438	118524	0.021	6.928	174.313

Combinazione Rara: σ_{ca}[kg/cm²]=78 σ_{fa}[kg/cm²]=2800

X	N	My	Mz	σ _{cmax}	σ _{fmax}	Cb	Ver.	Cs
cm	kg	kg*m	kg*m	kg/cm ²	kg/cm ²			
0.0	-2194	137	-15	-2	-3	27	Si	36
0.0	-2372	147	-18	-2	-3	24	Si	33
80.0	-2224	35	9	-1	-13	27	Si	54
80.0	-2438	38	10	-2	-15	25	Si	49

Combinazione QP: σ_{ca}[kg/cm²]=59 σ_{fa}[kg/cm²]=2800

X	N	My	Mz	σ _{cmax}	σ _{fmax}	Cb	Ver.	Cs
cm	kg	kg*m	kg*m	kg/cm ²	kg/cm ²			
0.0	-2105	131	-14	-2	-3	38	Si	28
80.0	-2118	34	8	-1	-13	38	Si	42

Verifica aperture fessure:Wamm_Freq[mm]=0.400 Wamm_Qp[mm]=0.300

X	N	My	Mz	Act	Aft	pAft	S _{r,max}	σ _{fmed}	Wd	Wk	Cb	Ver.	Cs
cm	kg	kg*m	kg*m	mq	cmq	cm	cm	kg/cm ²	mm	mm			
0.0	-2105	131	-14	0.0	0.00	0.00	0.0	0	0.000	0.000	38(Qp)	Si	>100
0.0	-2105	131	-14	0.0	0.00	0.00	0.0	0	0.000	0.000	37(Fr)	Si	>100
80.0	-2118	34	8	0.0	0.00	0.00	0.0	0	0.000	0.000	38(Qp)	Si	>100
80.0	-2149	34	8	0.0	0.00	0.00	0.0	0	0.000	0.000	33(Fr)	Si	>100

Pilastro : 6 [878 , 887]

Sez. R: By= 40.0 cm Bz=40.0 cm L=300.0 cm Ln=300.0 cm L2=300.0 cm L3=300.0 cm

Criterio : CLS_Pilastr-Esist

Zona[cm]	Armature[cmq]		
0.0	AfSpigolo = 2.54	Afy = 2.54	Afz = 2.54
300.0	AfSpigolo = 2.54	Afy = 2.54	Afz = 2.54

Verifica snellezza: fcd=74 [kg/cm²]**Verificato**

Cb	N	fcd*Ac	v	λ _{max}	λ _{lim}
	kg	kg			
24	2963	118524	0.025	25.981	158.112

Combinazione Rara: σ_{ca}[kg/cm²]=78 σ_{fa}[kg/cm²]=2800

X	N	My	Mz	σ _{cmax}	σ _{fmax}	Cb	Ver.	Cs
cm	kg	kg*m	kg*m	kg/cm ²	kg/cm ²			
0.0	-2708	11	9	-2	-19	27	Si	50
0.0	-2963	9	11	-2	-21	24	Si	46
300.0	-1969	348	-4	-4	37	25	Si	21

Combinazione QP: σ_{ca} [kg/cm²]=59 σ_{fa} [kg/cm²]=2800

X	N	My	Mz	σ_{cmax}	σ_{fmax}	Cb	Ver.	Cs
cm	kg	kg*m	kg*m	kg/cm ²	kg/cm ²			
0.0	-2579	11	8	-1	-18	38	Si	40
300.0	-1551	239	-2	-3	20	38	Si	22

Verifica aperture fessure: Wamm_Freq[mm]=0.400 Wamm_Qp[mm]=0.300

X	N	My	Mz	Act	Aft	pAft	$S_{r,max}$	σ_{fmed}	Wd	Wk	Cb	Ver.	Cs
cm	kg	kg*m	kg*m	m ²	cm ²	cm	cm	kg/cm ²	mm	mm			
0.0	-2579	11	8	0.0	0.00	0.00	0.0	0	0.000	0.000	38(Qp)	Si	>100
0.0	-2579	11	8	0.0	0.00	0.00	0.0	0	0.000	0.000	37(Fr)	Si	>100
300.0	-1551	239	-2	0.0	9.38	20.85	10.3	20	0.001	0.001	38(Qp)	Si	>100
300.0	-1580	248	-2	0.0	9.43	20.95	10.2	21	0.001	0.001	34(Fr)	Si	>100

Pilastro : 6 [887 , 28]

Sez. R: $B_y = 40.0$ cm $B_z = 40.0$ cm $L = 80.0$ cm $L_n = 80.0$ cm $L_2 = 80.0$ cm $L_3 = 80.0$ cm

Criterio : CLS_Pilastr-Esist

Zona[cm]	Armature[cm ²]
0.0	AfSpigolo = 2.54 $A_{fy} = 2.54$ $A_{fz} = 2.54$
80.0	AfSpigolo = 2.54 $A_{fy} = 2.54$ $A_{fz} = 2.54$

Verifica snellezza: $f_{cd} = 74$ [kg/cm²] **Verificato**

Cb	N	$f_{cd} \cdot A_c$	ν	λ_{max}	λ_{lim}
	kg	kg			
25	3793	118524	0.032	6.928	139.742

Combinazione Rara: σ_{ca} [kg/cm²]=78 σ_{fa} [kg/cm²]=2800

X	N	My	Mz	σ_{cmax}	σ_{fmax}	Cb	Ver.	Cs
cm	kg	kg*m	kg*m	kg/cm ²	kg/cm ²			
0.0	-1793	230	3	-3	13	24	Si	30
80.0	-3793	1843	-13	-19	438	25	Si	4.2

Combinazione QP: σ_{ca} [kg/cm²]=59 σ_{fa} [kg/cm²]=2800

X	N	My	Mz	σ_{cmax}	σ_{fmax}	Cb	Ver.	Cs
cm	kg	kg*m	kg*m	kg/cm ²	kg/cm ²			
0.0	-1410	162	3	-2	7	38	Si	31
80.0	-2739	1274	-12	-13	298	38	Si	4.5

Verifica aperture fessure: Wamm_Freq[mm]=0.400 Wamm_Qp[mm]=0.300

X	N	My	Mz	Act	Aft	pAft	$S_{r,max}$	σ_{fmed}	Wd	Wk	Cb	Ver.	Cs
cm	kg	kg*m	kg*m	m ²	cm ²	cm	cm	kg/cm ²	mm	mm			
0.0	-1410	162	3	0.0	8.60	19.11	10.6	6	0.000	0.000	38(Qp)	Si	>100
0.0	-1438	167	3	0.0	8.64	19.21	10.5	7	0.000	0.000	34(Fr)	Si	>100
80.0	-2739	1274	-12	0.0	10.80	24.01	16.7	201	0.010	0.010	38(Qp)	Si	31
80.0	-2822	1321	-12	0.0	10.81	24.01	16.7	209	0.010	0.010	34(Fr)	Si	40

Pilastro : 7 [7 , 862]

Sez. R: $B_y = 40.0$ cm $B_z = 40.0$ cm $L = 80.0$ cm $L_n = 80.0$ cm $L_2 = 80.0$ cm $L_3 = 80.0$ cm

Criterio : CLS_Pilastr-Esist

Zona[cm]	Armature[cm ²]
0.0	AfSpigolo = 2.54 $A_{fy} = 2.54$ $A_{fz} = 2.54$
80.0	AfSpigolo = 2.54 $A_{fy} = 2.54$ $A_{fz} = 2.54$

Verifica snellezza: $f_{cd}=74$ [kg/cm²]**Verificato**

Cb	N	$f_{cd} \cdot A_c$	v	λ_{max}	λ_{lim}
	kg	kg			
25	3551	118524	0.030	6.928	144.424

Combinazione Rara: σ_{ca} [kg/cm²]=78 σ_{fa} [kg/cm²]=2800

X	N	My	Mz	σ_{cmax}	σ_{fmax}	Cb	Ver.	Cs
cm	kg	kg*m	kg*m	kg/cm ²	kg/cm ²			
0.0	-2758	-23	235	-3	3	24	Si	25
80.0	-3234	4	52	-2	-20	31	Si	38
80.0	-3551	5	57	-2	-22	25	Si	34

Combinazione QP: σ_{ca} [kg/cm²]=59 σ_{fa} [kg/cm²]=2800

X	N	My	Mz	σ_{cmax}	σ_{fmax}	Cb	Ver.	Cs
cm	kg	kg*m	kg*m	kg/cm ²	kg/cm ²			
0.0	-2465	-21	207	-3	3	38	Si	21
80.0	-3077	3	50	-2	-19	38	Si	30

Verifica aperture fessure: W_{amm_Freq} [mm]=0.400 W_{amm_Qp} [mm]=0.300

X	N	My	Mz	Act	Aft	pAft	$S_{r,max}$	σ_{fmed}	Wd	Wk	Cb	Ver.	Cs
cm	kg	kg*m	kg*m	mq	cmq	cm	cm	kg/cm ²	mm	mm			
0.0	-2465	-21	207	0.0	4.38	9.73	8.4	2	0.000	0.000	38(Qp)	Si	>100
0.0	-2492	-21	209	0.0	4.43	9.84	8.4	2	0.000	0.000	33(Fr)	Si	>100
80.0	-3077	3	50	0.0	0.00	0.00	0.0	0	0.000	0.000	38(Qp)	Si	>100
80.0	-3122	3	50	0.0	0.00	0.00	0.0	0	0.000	0.000	33(Fr)	Si	>100

Pilastro : 7 [8 , 18]

Sez. R: $B_y = 40.0$ cm $B_z = 40.0$ cm $L = 250.0$ cm $L_n = 250.0$ cm $L_2 = 250.0$ cm $L_3 = 250.0$ cm

Criterio : CLS_Pilastris-Esist

Zona[cm]	Armature[cmq]
0.0	AfSpigolo = 2.54 $A_{fy} = 0.00$ $A_{fz} = 5.09$
250.0	AfSpigolo = 2.54 $A_{fy} = 0.00$ $A_{fz} = 5.09$

Verifica snellezza: $f_{cd}=74$ [kg/cm²]**Verificato**

Cb	N	$f_{cd} \cdot A_c$	v	λ_{max}	λ_{lim}
	kg	kg			
24	29199	118524	0.246	21.651	50.369

Combinazione Rara: σ_{ca} [kg/cm²]=78 σ_{fa} [kg/cm²]=2800

X	N	My	Mz	σ_{cmax}	σ_{fmax}	Cb	Ver.	Cs
cm	kg	kg*m	kg*m	kg/cm ²	kg/cm ²			
0.0	-23740	-141	359	-16	-141	27	Si	5.0
0.0	-29199	-9	368	-18	-197	24	Si	4.4
250.0	-22761	-418	-270	-17	-112	28	Si	4.7
250.0	-28199	-40	-300	-17	-191	25	Si	4.6

Combinazione QP: σ_{ca} [kg/cm²]=59 σ_{fa} [kg/cm²]=2800

X	N	My	Mz	σ_{cmax}	σ_{fmax}	Cb	Ver.	Cs
cm	kg	kg*m	kg*m	kg/cm ²	kg/cm ²			
0.0	-21297	-12	331	-13	-137	38	Si	4.4
250.0	-20297	-23	-257	-12	-135	38	Si	4.7

Verifica aperture fessure: W_{amm_Freq} [mm]=0.400 W_{amm_Qp} [mm]=0.300

X	N	My	Mz	Act	Aft	pAft	$S_{r,max}$	σ_{fmed}	Wd	Wk	Cb	Ver.	Cs
cm	kg	kg*m	kg*m	mq	cmq	cm	cm	kg/cm ²	mm	mm			

X	N	My	Mz	Act	Aft	pAft	S _{r,max}	σ _{fmed}	Wd	Wk	Cb	Ver.	Cs
0.0	-21297	-12	331	0.0	0.00	0.00	0.0	0	0.000	0.000	38(Qp)	Si	>100
0.0	-21297	-12	331	0.0	0.00	0.00	0.0	0	0.000	0.000	37(Fr)	Si	>100
250.0	-20297	-23	-257	0.0	0.00	0.00	0.0	0	0.000	0.000	38(Qp)	Si	>100
250.0	-20250	-25	-264	0.0	0.00	0.00	0.0	0	0.000	0.000	33(Fr)	Si	>100

Pilastro : 7 [855 , 8]

Sez. R: By= 40.0 cm Bz=40.0 cm L=80.0 cm Ln=80.0 cm L2=80.0 cm L3=80.0 cm

Criterio : CLS_Pilastr-Esist

Zona[cm]	Armature[cmq]		
0.0	AfSpigolo = 2.54	Afy = 2.54	Afz = 2.54
80.0	AfSpigolo = 2.54	Afy = 2.54	Afz = 2.54

Verifica snellezza: fcd=74 [kg/cm²]**Verificato**

Cb	N	fcd*Ac	v	λ _{max}	λ _{lim}
	kg	kg			
25	8566	118524	0.072	6.928	92.992

Combinazione Rara: σ_{ca}[kg/cm²]=78 σ_{fa}[kg/cm²]=2800

X	N	My	Mz	σ _{cmax}	σ _{fmax}	Cb	Ver.	Cs
cm	kg	kg*m	kg*m	kg/cm ²	kg/cm ²			
0.0	-5296	-32	80	-4	-31	29	Si	22
0.0	-6348	-36	87	-4	-38	24	Si	19
80.0	-7033	-6	179	-5	-38	31	Si	16
80.0	-8566	-6	204	-6	-47	25	Si	13

Combinazione QP: σ_{ca}[kg/cm²]=59 σ_{fa}[kg/cm²]=2800

X	N	My	Mz	σ _{cmax}	σ _{fmax}	Cb	Ver.	Cs
cm	kg	kg*m	kg*m	kg/cm ²	kg/cm ²			
0.0	-4932	-28	73	-3	-29	38	Si	18
80.0	-6529	-6	165	-5	-35	38	Si	13

Verifica aperture fessure: W_{amm_Freq}[mm]=0.400 W_{amm_Qp}[mm]=0.300

X	N	My	Mz	Act	Aft	pAft	S _{r,max}	σ _{fmed}	Wd	Wk	Cb	Ver.	Cs
cm	kg	kg*m	kg*m	m ²	cm ²	cm	cm	kg/cm ²	mm	mm			
0.0	-4932	-28	73	0.0	0.00	0.00	0.0	0	0.000	0.000	38(Qp)	Si	>100
0.0	-4932	-28	73	0.0	0.00	0.00	0.0	0	0.000	0.000	37(Fr)	Si	>100
80.0	-6529	-6	165	0.0	0.00	0.00	0.0	0	0.000	0.000	38(Qp)	Si	>100
80.0	-6589	-6	169	0.0	0.00	0.00	0.0	0	0.000	0.000	33(Fr)	Si	>100

Pilastro : 7 [862 , 855]

Sez. R: By= 40.0 cm Bz=40.0 cm L=300.0 cm Ln=300.0 cm L2=300.0 cm L3=300.0 cm

Criterio : CLS_Pilastr-Esist

Zona[cm]	Armature[cmq]		
0.0	AfSpigolo = 2.54	Afy = 2.54	Afz = 2.54
300.0	AfSpigolo = 2.54	Afy = 2.54	Afz = 2.54

Verifica snellezza: fcd=74 [kg/cm²]**Verificato**

Cb	N	fcd*Ac	v	λ _{max}	λ _{lim}
	kg	kg			
25	5408	118524	0.046	25.981	117.038

Combinazione Rara: σ_{ca}[kg/cm²]=78 σ_{fa}[kg/cm²]=2800

X	N	My	Mz	σ _{cmax}	σ _{fmax}	Cb	Ver.	Cs
cm	kg	kg*m	kg*m	kg/cm ²	kg/cm ²			

X	N	My	Mz	σ_{cmax}	σ_{fmax}	Cb	Ver.	Cs
0.0	-4331	113	-43	-3	-19	29	Si	24
0.0	-4766	125	-46	-4	-21	24	Si	21
300.0	-4567	-87	-13	-3	-26	31	Si	26
300.0	-5408	-104	-7	-4	-32	25	Si	22

Combinazione QP: $\sigma_{\text{ca}}[\text{kg/cm}^2]=59$ $\sigma_{\text{fa}}[\text{kg/cm}^2]=2800$

X	N	My	Mz	σ_{cmax}	σ_{fmax}	Cb	Ver.	Cs
cm	kg	kg*m	kg*m	kg/cm ²	kg/cm ²			
0.0	-4115	107	-41	-3	-18	38	Si	19
300.0	-4258	-78	-10	-3	-25	38	Si	21

Verifica aperture fessure: $W_{\text{amm_Freq}}[\text{mm}]=0.400$ $W_{\text{amm_Qp}}[\text{mm}]=0.300$

X	N	My	Mz	Act	Aft	pAft	$S_{r,\text{max}}$	σ_{fmed}	Wd	Wk	Cb	Ver.	Cs
cm	kg	kg*m	kg*m	m ²	cm ²	cm	cm	kg/cm ²	mm	mm			
0.0	-4115	107	-41	0.0	0.00	0.00	0.0	0	0.000	0.000	38(Qp)	Si	>100
0.0	-4115	107	-41	0.0	0.00	0.00	0.0	0	0.000	0.000	37(Fr)	Si	>100
300.0	-4258	-78	-10	0.0	0.00	0.00	0.0	0	0.000	0.000	38(Qp)	Si	>100
300.0	-4311	-81	-13	0.0	0.00	0.00	0.0	0	0.000	0.000	33(Fr)	Si	>100

Pilastro : 8 [8 , 822]

Sez. R: $B_y = 40.0 \text{ cm}$ $B_z = 40.0 \text{ cm}$ $L = 80.0 \text{ cm}$ $L_n = 80.0 \text{ cm}$ $L_2 = 80.0 \text{ cm}$ $L_3 = 80.0 \text{ cm}$

Criterio : CLS_Pilastrini-Esist

Zona[cm]	Armature[cm ²]
0.0	AfSpigolo = 2.54 Afy = 2.54 Afz = 2.54
80.0	AfSpigolo = 2.54 Afy = 2.54 Afz = 2.54

Verifica snellezza: $f_{\text{cd}}=74$ [kg/cm²] **Verificato**

Cb	N	fcd*Ac	v	λ_{max}	λ_{lim}
	kg	kg			
24	3701	118524	0.031	6.928	141.467

Combinazione Rara: $\sigma_{\text{ca}}[\text{kg/cm}^2]=78$ $\sigma_{\text{fa}}[\text{kg/cm}^2]=2800$

X	N	My	Mz	σ_{cmax}	σ_{fmax}	Cb	Ver.	Cs
cm	kg	kg*m	kg*m	kg/cm ²	kg/cm ²			
0.0	-3454	63	-202	-4	-2	27	Si	22
0.0	-3701	65	-215	-4	-2	24	Si	20
80.0	-1778	28	121	-2	0	27	Si	40
80.0	-1958	31	128	-2	-0	25	Si	37

Combinazione QP: $\sigma_{\text{ca}}[\text{kg/cm}^2]=59$ $\sigma_{\text{fa}}[\text{kg/cm}^2]=2800$

X	N	My	Mz	σ_{cmax}	σ_{fmax}	Cb	Ver.	Cs
cm	kg	kg*m	kg*m	kg/cm ²	kg/cm ²			
0.0	-3322	60	-193	-3	-2	38	Si	17
80.0	-1708	27	115	-2	0	38	Si	32

Verifica aperture fessure: $W_{\text{amm_Freq}}[\text{mm}]=0.400$ $W_{\text{amm_Qp}}[\text{mm}]=0.300$

X	N	My	Mz	Act	Aft	pAft	$S_{r,\text{max}}$	σ_{fmed}	Wd	Wk	Cb	Ver.	Cs
cm	kg	kg*m	kg*m	m ²	cm ²	cm	cm	kg/cm ²	mm	mm			
0.0	-3322	60	-193	0.0	0.00	0.00	0.0	0	0.000	0.000	38(Qp)	Si	>100
0.0	-3322	60	-193	0.0	0.00	0.00	0.0	0	0.000	0.000	37(Fr)	Si	>100
80.0	-1708	27	115	0.0	2.68	5.95	7.0	0	0.000	0.000	38(Qp)	Si	>100
80.0	-1723	27	117	0.0	2.75	6.12	7.1	0	0.000	0.000	33(Fr)	Si	>100

Pilastro : 8 [822 , 828]

Sez. R: $B_y = 40.0 \text{ cm}$ $B_z = 40.0 \text{ cm}$ $L = 300.0 \text{ cm}$ $L_n = 300.0 \text{ cm}$ $L_2 = 300.0 \text{ cm}$ $L_3 = 300.0 \text{ cm}$
 Criterio : CLS_Pilastr-Esist

Zona[cm]	Armature[cmq]		
0.0	AfSpigolo = 2.54	Afy = 2.54	Afz = 2.54
300.0	AfSpigolo = 2.54	Afy = 2.54	Afz = 2.54

Verifica snellezza: $f_{cd} = 74 \text{ [kg/cm}^2\text{]}$ **Verificato**

Cb	N	$f_{cd} \cdot A_c$	v	λ_{max}	λ_{lim}
	kg	kg			
25	2389	118524	0.020	25.981	176.094

Combinazione Rara: $\sigma_{ca}[\text{kg/cm}^2] = 78$ $\sigma_{fa}[\text{kg/cm}^2] = 2800$

X	N	My	Mz	σ_{cmax}	σ_{fmax}	Cb	Ver.	Cs
cm	kg	kg*m	kg*m	kg/cm ²	kg/cm ²			
0.0	-1556	-27	73	-1	-3	27	Si	53
0.0	-1744	-30	81	-2	-3	24	Si	47
300.0	-1847	70	-24	-2	-5	31	Si	49
300.0	-2389	91	-36	-2	-7	25	Si	37

Combinazione QP: $\sigma_{ca}[\text{kg/cm}^2] = 59$ $\sigma_{fa}[\text{kg/cm}^2] = 2800$

X	N	My	Mz	σ_{cmax}	σ_{fmax}	Cb	Ver.	Cs
cm	kg	kg*m	kg*m	kg/cm ²	kg/cm ²			
0.0	-1497	-25	71	-1	-2	38	Si	41
300.0	-1727	65	-24	-2	-5	38	Si	39

Verifica aperture fessure: $W_{amm_Freq}[\text{mm}] = 0.400$ $W_{amm_Qp}[\text{mm}] = 0.300$

X	N	My	Mz	Act	Aft	pAft	$S_{r,max}$	σ_{fmed}	Wd	Wk	Cb	Ver.	Cs
cm	kg	kg*m	kg*m	m ²	cm ²	cm	cm	kg/cm ²	mm	mm			
0.0	-1497	-25	71	0.0	0.00	0.00	0.0	0	0.000	0.000	38(Qp)	Si	>100
0.0	-1497	-25	71	0.0	0.00	0.00	0.0	0	0.000	0.000	37(Fr)	Si	>100
300.0	-1727	65	-24	0.0	0.00	0.00	0.0	0	0.000	0.000	38(Qp)	Si	>100
300.0	-1712	65	-22	0.0	0.00	0.00	0.0	0	0.000	0.000	33(Fr)	Si	>100

Pilastro : 8 [828 , 32]

Sez. R: $B_y = 40.0 \text{ cm}$ $B_z = 40.0 \text{ cm}$ $L = 80.0 \text{ cm}$ $L_n = 80.0 \text{ cm}$ $L_2 = 80.0 \text{ cm}$ $L_3 = 80.0 \text{ cm}$
 Criterio : CLS_Pilastr-Esist

Zona[cm]	Armature[cmq]		
0.0	AfSpigolo = 2.54	Afy = 2.54	Afz = 2.54
80.0	AfSpigolo = 2.54	Afy = 2.54	Afz = 2.54

Verifica snellezza: $f_{cd} = 74 \text{ [kg/cm}^2\text{]}$ **Verificato**

Cb	N	$f_{cd} \cdot A_c$	v	λ_{max}	λ_{lim}
	kg	kg			
25	7754	118524	0.065	6.928	97.740

Combinazione Rara: $\sigma_{ca}[\text{kg/cm}^2] = 78$ $\sigma_{fa}[\text{kg/cm}^2] = 2800$

X	N	My	Mz	σ_{cmax}	σ_{fmax}	Cb	Ver.	Cs
cm	kg	kg*m	kg*m	kg/cm ²	kg/cm ²			
0.0	-3002	46	48	-2	-15	27	Si	35
0.0	-3777	57	43	-3	-20	24	Si	30
80.0	-7754	847	-225	-12	56	25	Si	6.6

Combinazione QP: $\sigma_{ca}[\text{kg/cm}^2] = 59$ $\sigma_{fa}[\text{kg/cm}^2] = 2800$

X	N	My	Mz	σ_{cmax}	σ_{fmax}	Cb	Ver.	Cs
cm	kg	kg*m	kg*m	kg/cm ²	kg/cm ²			

X	N	My	Mz	σ_{max}	σ_{fmax}	Cb	Ver.	Cs
0.0	-2821	42	46	-2	-14	38	Si	28
80.0	-5819	619	-184	-9	41	38	Si	6.7

Verifica aperture fessure: Wamm_Freq[mm]=0.400 Wamm_Qp[mm]=0.300

X	N	My	Mz	Act	Aft	pAft	$S_{r,\text{max}}$	σ_{fmed}	Wd	Wk	Cb	Ver.	Cs
cm	kg	kg*m	kg*m	mq	cmq	cm	cm	kg/cmq	mm	mm			
0.0	-2821	42	46	0.0	0.00	0.00	0.0	0	0.000	0.000	38(Qp)	Si	>100
0.0	-2821	42	46	0.0	0.00	0.00	0.0	0	0.000	0.000	37(Fr)	Si	>100
80.0	-5819	619	-184	0.0	8.46	18.79	10.4	21	0.001	0.001	38(Qp)	Si	>100
80.0	-5845	620	-187	0.0	5.90	13.11	10.9	31	0.001	0.001	33(Fr)	Si	>100

Pilastro : 9 [9 , 861]

Sez. R: $B_y = 100.0 \text{ cm}$ $B_z = 40.0 \text{ cm}$ $L = 80.0 \text{ cm}$ $L_n = 80.0 \text{ cm}$ $L_2 = 80.0 \text{ cm}$ $L_3 = 80.0 \text{ cm}$

Criterio : CLS_Pilastr-Esist

Zona[cm]	Armature[cmq]
0.0	AfSpigolo = 2.54 $A_{fy} = 15.27$ $A_{fz} = 0.00$
80.0	AfSpigolo = 2.54 $A_{fy} = 15.27$ $A_{fz} = 0.00$

Verifica snellezza: $f_{cd} = 74 \text{ [kg/cmq]}$ **Verificato**

Cb	N	$f_{cd} \cdot A_c$	v	λ_{max}	λ_{lim}
	kg	kg			
25	14094	296310	0.048	6.928	114.628

Combinazione Rara: $\sigma_{ca} \text{[kg/cmq]} = 78$ $\sigma_{fa} \text{[kg/cmq]} = 2800$

X	N	My	Mz	σ_{max}	σ_{fmax}	Cb	Ver.	Cs
cm	kg	kg*m	kg*m	kg/cmq	kg/cmq			
0.0	-12200	747	3105	-9	69	24	Si	8.3
80.0	-14094	-330	4374	-11	85	25	Si	7.4

Combinazione QP: $\sigma_{ca} \text{[kg/cmq]} = 59$ $\sigma_{fa} \text{[kg/cmq]} = 2800$

X	N	My	Mz	σ_{max}	σ_{fmax}	Cb	Ver.	Cs
cm	kg	kg*m	kg*m	kg/cmq	kg/cmq			
0.0	-10938	668	2804	-8	63	38	Si	7.0
80.0	-12484	-288	3903	-9	77	38	Si	6.2

Verifica aperture fessure: Wamm_Freq[mm]=0.400 Wamm_Qp[mm]=0.300

X	N	My	Mz	Act	Aft	pAft	$S_{r,\text{max}}$	σ_{fmed}	Wd	Wk	Cb	Ver.	Cs
cm	kg	kg*m	kg*m	mq	cmq	cm	cm	kg/cmq	mm	mm			
0.0	-10938	668	2804	0.0	12.86	28.57	15.5	29	0.001	0.001	38(Qp)	Si	>100
0.0	-11012	672	2824	0.0	12.86	28.59	15.5	29	0.001	0.001	34(Fr)	Si	>100
80.0	-12484	-288	3903	0.0	15.27	33.93	16.3	44	0.002	0.002	38(Qp)	Si	>100
80.0	-12644	-293	3954	0.0	15.28	33.94	16.3	44	0.002	0.002	33(Fr)	Si	>100

Pilastro : 9 [10 , 20]

Sez. R: $B_y = 100.0 \text{ cm}$ $B_z = 40.0 \text{ cm}$ $L = 250.0 \text{ cm}$ $L_n = 250.0 \text{ cm}$ $L_2 = 250.0 \text{ cm}$ $L_3 = 250.0 \text{ cm}$

Criterio : CLS_Pilastr-Esist

Zona[cm]	Armature[cmq]
0.0	AfSpigolo = 2.54 $A_{fy} = 10.18$ $A_{fz} = 10.18$
250.0	AfSpigolo = 2.54 $A_{fy} = 10.18$ $A_{fz} = 10.18$

Verifica snellezza: $f_{cd} = 74 \text{ [kg/cmq]}$ **Verificato**

Cb	N	$f_{cd} \cdot A_c$	v	λ_{max}	λ_{lim}
	kg	kg			
24	18742	296310	0.063	21.651	99.405

Combinazione Rara: σ_{ca} [kg/cmq]=78 σ_{fa} [kg/cmq]=2800

X	N	My	Mz	σ_{cmax}	σ_{fmax}	Cb	Ver.	Cs
cm	kg	kg*m	kg*m	kg/cmq	kg/cmq			
0.0	-15904	-219	-1623	-6	-15	27	Si	14
0.0	-18742	-173	-1843	-6	-23	24	Si	12
250.0	-13404	1317	1766	-9	51	27	Si	8.8
250.0	-16242	1238	1731	-9	29	25	Si	8.8

Combinazione QP: σ_{ca} [kg/cmq]=59 σ_{fa} [kg/cmq]=2800

X	N	My	Mz	σ_{cmax}	σ_{fmax}	Cb	Ver.	Cs
cm	kg	kg*m	kg*m	kg/cmq	kg/cmq			
0.0	-14619	-130	-1504	-5	-17	38	Si	12
250.0	-12119	906	1636	-7	28	38	Si	8.4

Verifica aperture fessure: Wamm_Freq[mm]=0.400 Wamm_Qp[mm]=0.300

X	N	My	Mz	Act	Aft	pAft	$S_{r,max}$	σ_{fmed}	Wd	Wk	Cb	Ver.	Cs
cm	kg	kg*m	kg*m	m	cm	cm	cm	kg/cmq	mm	mm			
0.0	-14619	-130	-1504	0.0	0.00	0.00	0.0	0	0.000	0.000	38(Qp)	Si	>100
0.0	-14619	-130	-1504	0.0	0.00	0.00	0.0	0	0.000	0.000	37(Fr)	Si	>100
250.0	-12119	906	1636	0.0	11.55	25.67	10.8	16	0.000	0.000	38(Qp)	Si	>100
250.0	-12116	905	1645	0.0	11.57	25.72	10.8	16	0.001	0.001	33(Fr)	Si	>100

Pilastro : 9 [854 , 10]

Sez. R: $B_y = 100.0$ cm $B_z = 40.0$ cm $L = 80.0$ cm $L_n = 80.0$ cm $L_2 = 80.0$ cm $L_3 = 80.0$ cm

Criterio : CLS_Pilastr-Esist

Zona[cm]	Armature[cmq]
0.0	AfSpigolo = 2.54 $A_{fy} = 15.27$ $A_{fz} = 0.00$
80.0	AfSpigolo = 2.54 $A_{fy} = 15.27$ $A_{fz} = 0.00$

Verifica snellezza: $f_{cd} = 74$ [kg/cmq] **Verificato**

Cb	N	$f_{cd} \cdot A_c$	v	λ_{max}	λ_{lim}
	kg	kg			
24	13571	296310	0.046	6.928	116.817

Combinazione Rara: σ_{ca} [kg/cmq]=78 σ_{fa} [kg/cmq]=2800

X	N	My	Mz	σ_{cmax}	σ_{fmax}	Cb	Ver.	Cs
cm	kg	kg*m	kg*m	kg/cmq	kg/cmq			
0.0	-11970	-168	2297	-6	11	29	Si	13
0.0	-13571	-182	2494	-7	10	24	Si	12
80.0	-11609	161	430	-3	-24	31	Si	22
80.0	-13440	151	494	-4	-29	25	Si	20

Combinazione QP: σ_{ca} [kg/cmq]=59 σ_{fa} [kg/cmq]=2800

X	N	My	Mz	σ_{cmax}	σ_{fmax}	Cb	Ver.	Cs
cm	kg	kg*m	kg*m	kg/cmq	kg/cmq			
0.0	-11290	-162	2138	-6	10	38	Si	10
80.0	-10891	163	418	-3	-22	38	Si	18

Verifica aperture fessure: Wamm_Freq[mm]=0.400 Wamm_Qp[mm]=0.300

X	N	My	Mz	Act	Aft	pAft	$S_{r,max}$	σ_{fmed}	Wd	Wk	Cb	Ver.	Cs
cm	kg	kg*m	kg*m	m	cm	cm	cm	kg/cmq	mm	mm			
0.0	-11290	-162	2138	0.0	4.44	9.86	7.2	10	0.000	0.000	38(Qp)	Si	>100
0.0	-11448	-163	2205	0.0	4.56	10.12	7.2	11	0.000	0.000	33(Fr)	Si	>100
80.0	-10891	163	418	0.0	0.00	0.00	0.0	0	0.000	0.000	38(Qp)	Si	>100

X	N	My	Mz	Act	Aft	pAft	S _{r,max}	σ _{fmed}	Wd	Wk	Cb	Ver.	Cs
80.0	-11035	163	415	0.0	0.00	0.00	0.0	0	0.000	0.000	33(Fr)	Si	>100

Pilastro : 9 [861 , 854]

Sez. R: By= 100.0 cm Bz=40.0 cm L=300.0 cm Ln=300.0 cm L2=300.0 cm L3=300.0 cm

Criterio : CLS_Pilastr-Esist

Zona[cm]	Armature[cmq]		
0.0	AfSpigolo = 2.54	Afy = 15.27	Afz = 0.00
300.0	AfSpigolo = 2.54	Afy = 15.27	Afz = 0.00

Verifica snellezza: fcd=74 [kg/cm²]**Verificato**

Cb	N	fcd*Ac	v	λ _{max}	λ _{lim}
	kg	kg			
24	16320	296310	0.055	25.981	106.526

Combinazione Rara: σ_{ca}[kg/cm²]=78 σ_{fa}[kg/cm²]=2800

X	N	My	Mz	σ _{cmax}	σ _{fmax}	Cb	Ver.	Cs
cm	kg	kg*m	kg*m	kg/cm ²	kg/cm ²			
0.0	-16320	207	4083	-10	43	24	Si	8.1
300.0	-12843	102	2490	-6	9	31	Si	13
300.0	-14382	97	2729	-7	8	25	Si	11

Combinazione QP: σ_{ca}[kg/cm²]=59 σ_{fa}[kg/cm²]=2800

X	N	My	Mz	σ _{cmax}	σ _{fmax}	Cb	Ver.	Cs
cm	kg	kg*m	kg*m	kg/cm ²	kg/cm ²			
0.0	-14422	179	3647	-9	40	38	Si	6.8
300.0	-12104	100	2320	-6	8	38	Si	10

Verifica aperture fessure:Wamm_Freq[mm]=0.400 Wamm_Qp[mm]=0.300

X	N	My	Mz	Act	Aft	pAft	S _{r,max}	σ _{fmed}	Wd	Wk	Cb	Ver.	Cs
cm	kg	kg*m	kg*m	mq	cmq	cm	cm	kg/cm ²	mm	mm			
0.0	-14422	179	3647	0.0	11.48	25.52	14.9	21	0.001	0.001	38(Qp)	Si	>100
0.0	-14621	184	3695	0.0	11.48	25.50	14.9	21	0.001	0.001	33(Fr)	Si	>100
300.0	-12104	100	2320	0.0	6.58	14.62	10.6	4	0.000	0.000	38(Qp)	Si	>100
300.0	-12309	102	2386	0.0	6.77	15.05	10.9	5	0.000	0.000	33(Fr)	Si	>100

Pilastro : 10 [9 , 821]

Sez. R: By= 40.0 cm Bz=40.0 cm L=80.0 cm Ln=80.0 cm L2=80.0 cm L3=80.0 cm

Criterio : CLS_Pilastr-Esist

Zona[cm]	Armature[cmq]		
0.0	AfSpigolo = 2.54	Afy = 2.54	Afz = 2.54
80.0	AfSpigolo = 2.54	Afy = 2.54	Afz = 2.54

Verifica snellezza: fcd=74 [kg/cm²]**Verificato**

Cb	N	fcd*Ac	v	λ _{max}	λ _{lim}
	kg	kg			
24	949	118524	0.008	6.928	279.383

Combinazione Rara: σ_{ca}[kg/cm²]=78 σ_{fa}[kg/cm²]=2800

X	N	My	Mz	σ _{cmax}	σ _{fmax}	Cb	Ver.	Cs
cm	kg	kg*m	kg*m	kg/cm ²	kg/cm ²			
0.0	-949	70	-87	-2	10	24	Si	47
80.0	-147	136	-169	-3	80	25	Si	24

Combinazione QP: $\sigma_{ca}[\text{kg/cm}^2]=59$ $\sigma_{fa}[\text{kg/cm}^2]=2800$

X	N	My	Mz	σ_{max}	σ_{fmax}	Cb	Ver.	Cs
cm	kg	kg*m	kg*m	kg/cm ²	kg/cm ²			
0.0	-871	67	-78	-2	9	38	Si	39
80.0	-126	121	-149	-3	71	38	Si	20

Verifica aperture fessure: $W_{\text{amm_Freq}}[\text{mm}]=0.400$ $W_{\text{amm_Qp}}[\text{mm}]=0.300$

X	N	My	Mz	Act	Aft	pAft	$S_{r,\text{max}}$	σ_{fmed}	Wd	Wk	Cb	Ver.	Cs
cm	kg	kg*m	kg*m	mq	cmq	cm	cm	kg/cm ²	mm	mm			
0.0	-871	67	-78	0.0	5.62	12.48	12.7	4	0.000	0.000	38(Qp)	Si	>100
0.0	-874	66	-79	0.0	5.62	12.49	12.8	4	0.000	0.000	34(Fr)	Si	>100
80.0	-126	121	-149	0.0	14.05	31.21	15.7	37	0.002	0.002	38(Qp)	Si	>100
80.0	-126	122	-150	0.0	14.05	31.22	15.7	38	0.002	0.002	34(Fr)	Si	>100

Pilastro : 10 [821 , 827]

Sez. R: $B_y = 40.0 \text{ cm}$ $B_z = 40.0 \text{ cm}$ $L = 300.0 \text{ cm}$ $L_n = 300.0 \text{ cm}$

Criterio : CLS_Pilastris-Exist

Zona[cm]	Armature[cmq]
0.0	AfSpigolo = 2.54 $A_{fy} = 2.54$ $A_{fz} = 2.54$
300.0	AfSpigolo = 2.54 $A_{fy} = 2.54$ $A_{fz} = 2.54$

Combinazione Rara: $\sigma_{ca}[\text{kg/cm}^2]=78$ $\sigma_{fa}[\text{kg/cm}^2]=2800$

X	N	My	Mz	σ_{max}	σ_{fmax}	Cb	Ver.	Cs
cm	kg	kg*m	kg*m	kg/cm ²	kg/cm ²			
0.0	4	143	-210	-4	102	24	Si	21
300.0	-47	175	-223	-4	112	25	Si	18

Combinazione QP: $\sigma_{ca}[\text{kg/cm}^2]=59$ $\sigma_{fa}[\text{kg/cm}^2]=2800$

X	N	My	Mz	σ_{max}	σ_{fmax}	Cb	Ver.	Cs
cm	kg	kg*m	kg*m	kg/cm ²	kg/cm ²			
0.0	5	126	-186	-3	91	38	Si	18
300.0	114	138	-196	-4	103	38	Si	17

Verifica aperture fessure: $W_{\text{amm_Freq}}[\text{mm}]=0.400$ $W_{\text{amm_Qp}}[\text{mm}]=0.300$

X	N	My	Mz	Act	Aft	pAft	$S_{r,\text{max}}$	σ_{fmed}	Wd	Wk	Cb	Ver.	Cs
cm	kg	kg*m	kg*m	mq	cmq	cm	cm	kg/cm ²	mm	mm			
0.0	5	126	-186	0.0	14.19	31.53	15.9	50	0.002	0.002	38(Qp)	Si	>100
0.0	3	127	-189	0.0	14.18	31.51	15.9	50	0.002	0.002	33(Fr)	Si	>100
300.0	114	138	-196	0.0	14.38	31.96	16.1	57	0.003	0.003	38(Qp)	Si	>100
300.0	124	139	-201	0.0	14.38	31.95	16.1	59	0.003	0.003	33(Fr)	Si	>100

Pilastro : 10 [827 , 44]

Sez. R: $B_y = 40.0 \text{ cm}$ $B_z = 40.0 \text{ cm}$ $L = 80.0 \text{ cm}$ $L_n = 80.0 \text{ cm}$ $L_2 = 80.0 \text{ cm}$ $L_3 = 80.0 \text{ cm}$

Criterio : CLS_Pilastris-Exist

Zona[cm]	Armature[cmq]
0.0	AfSpigolo = 2.54 $A_{fy} = 2.54$ $A_{fz} = 2.54$
80.0	AfSpigolo = 2.54 $A_{fy} = 2.54$ $A_{fz} = 2.54$

Verifica snellezza: $f_{cd}=74$ [kg/cm²] **Verificato**

Cb	N	$f_{cd} \cdot A_c$	v	λ_{max}	λ_{lim}
	kg	kg			
25	3079	118524	0.026	6.928	155.108

Combinazione Rara: $\sigma_{ca}[\text{kg/cm}^2]=78$ $\sigma_{fa}[\text{kg/cm}^2]=2800$

X	N	My	Mz	σ_{max}	σ_{fmax}	Cb	Ver.	Cs
cm	kg	kg*m	kg*m	kg/cmq	kg/cmq			
0.0	-1215	253	-123	-4	54	24	Si	20
80.0	-3079	1110	84	-12	243	25	Si	6.4

Combinazione QP: σ_{ca} [kg/cm²]=59 σ_{fa} [kg/cm²]=2800

X	N	My	Mz	σ_{max}	σ_{fmax}	Cb	Ver.	Cs
cm	kg	kg*m	kg*m	kg/cmq	kg/cmq			
0.0	-826	189	-113	-3	48	38	Si	18
80.0	-2219	800	68	-9	176	38	Si	6.6

Verifica aperture fessure: Wamm_Freq[mm]=0.400 Wamm_Qp[mm]=0.300

X	N	My	Mz	Act	Aft	pAft	$S_{r,\text{max}}$	σ_{fmed}	Wd	Wk	Cb	Ver.	Cs
cm	kg	kg*m	kg*m	mq	cmq	cm	cm	kg/cmq	mm	mm			
0.0	-826	189	-113	0.0	10.29	22.87	15.5	28	0.001	0.001	38(Qp)	Si	>100
0.0	-821	189	-117	0.0	10.32	22.92	15.6	28	0.001	0.001	33(Fr)	Si	>100
80.0	-2219	800	68	0.0	10.63	23.63	16.3	109	0.005	0.005	38(Qp)	Si	59
80.0	-2289	826	70	0.0	10.63	23.63	16.3	113	0.005	0.005	34(Fr)	Si	76

Pilastro : 11 [7 , 823]

Sez. R: $B_y = 40.0 \text{ cm}$ $B_z = 40.0 \text{ cm}$ $L = 80.0 \text{ cm}$ $L_n = 80.0 \text{ cm}$ $L_2 = 80.0 \text{ cm}$ $L_3 = 80.0 \text{ cm}$

Criterio : CLS_Pilastrini-Esist

Zona[cm]	Armature[cmq]
0.0	AfSpigolo = 2.54 Afy = 2.54 Afz = 2.54
80.0	AfSpigolo = 2.54 Afy = 2.54 Afz = 2.54

Verifica snellezza: fcd=74 [kg/cm²]**Verificato**

Cb	N	fcd*Ac	v	λ_{max}	λ_{lim}
	kg	kg			
24	1548	118524	0.013	6.928	218.749

Combinazione Rara: σ_{ca} [kg/cm²]=78 σ_{fa} [kg/cm²]=2800

X	N	My	Mz	σ_{max}	σ_{fmax}	Cb	Ver.	Cs
cm	kg	kg*m	kg*m	kg/cmq	kg/cmq			
0.0	-1434	62	-2	-1	-5	27	Si	66
0.0	-1548	63	-8	-1	-5	24	Si	61
80.0	-1093	43	-123	-2	10	25	Si	44

Combinazione QP: σ_{ca} [kg/cm²]=59 σ_{fa} [kg/cm²]=2800

X	N	My	Mz	σ_{max}	σ_{fmax}	Cb	Ver.	Cs
cm	kg	kg*m	kg*m	kg/cmq	kg/cmq			
0.0	-1381	59	-3	-1	-5	38	Si	51
80.0	-952	39	-111	-2	10	38	Si	36

Verifica aperture fessure: Wamm_Freq[mm]=0.400 Wamm_Qp[mm]=0.300

X	N	My	Mz	Act	Aft	pAft	$S_{r,\text{max}}$	σ_{fmed}	Wd	Wk	Cb	Ver.	Cs
cm	kg	kg*m	kg*m	mq	cmq	cm	cm	kg/cmq	mm	mm			
0.0	-1381	59	-3	0.0	0.00	0.00	0.0	0	0.000	0.000	38(Qp)	Si	>100
0.0	-1381	59	-3	0.0	0.00	0.00	0.0	0	0.000	0.000	37(Fr)	Si	>100
80.0	-952	39	-111	0.0	8.73	19.40	11.3	5	0.000	0.000	38(Qp)	Si	>100
80.0	-960	39	-111	0.0	8.73	19.39	11.3	5	0.000	0.000	34(Fr)	Si	>100

Pilastro : 11 [823 , 829]

Sez. R: $B_y = 40.0 \text{ cm}$ $B_z = 40.0 \text{ cm}$ $L = 300.0 \text{ cm}$ $L_n = 300.0 \text{ cm}$ $L_2 = 300.0 \text{ cm}$ $L_3 = 300.0 \text{ cm}$

Criterio : CLS_Pilastrini-Esist

Zona[cm]	Armature[cmq]		
0.0	AfSpigolo = 2.54	Afy = 2.54	Afz = 2.54
300.0	AfSpigolo = 2.54	Afy = 2.54	Afz = 2.54

Verifica snellezza: $f_{cd}=74$ [kg/cm²]**Verificato**

Cb	N	fcd*Ac	v	λ_{max}	λ_{lim}
	kg	kg			
24	1087	118524	0.009	25.981	261.051

Combinazione Rara: σ_{ca} [kg/cm²]=78 σ_{fa} [kg/cm²]=2800

X	N	My	Mz	σ_{cmax}	σ_{fmax}	Cb	Ver.	Cs
cm	kg	kg*m	kg*m	kg/cm ²	kg/cm ²			
0.0	-1087	-10	-181	-2	19	24	Si	38
300.0	-762	200	-149	-4	62	25	Si	21

Combinazione QP: σ_{ca} [kg/cm²]=59 σ_{fa} [kg/cm²]=2800

X	N	My	Mz	σ_{cmax}	σ_{fmax}	Cb	Ver.	Cs
cm	kg	kg*m	kg*m	kg/cm ²	kg/cm ²			
0.0	-961	-9	-162	-2	17	38	Si	32
300.0	-599	140	-125	-3	46	38	Si	21

Verifica aperture fessure:Wamm_Freq[mm]=0.400 Wamm_Qp[mm]=0.300

X	N	My	Mz	Act	Aft	pAft	$S_{r,max}$	σ_{fmed}	Wd	Wk	Cb	Ver.	Cs
cm	kg	kg*m	kg*m	m ²	cm ²	cm	cm	kg/cm ²	mm	mm			
0.0	-961	-9	-162	0.0	9.59	21.31	10.2	16	0.000	0.000	38(Qp)	Si	>100
0.0	-971	-9	-165	0.0	9.60	21.34	10.2	16	0.000	0.000	33(Fr)	Si	>100
300.0	-599	140	-125	0.0	13.06	29.02	14.2	20	0.001	0.001	38(Qp)	Si	>100
300.0	-613	145	-126	0.0	10.51	23.36	16.0	26	0.001	0.001	34(Fr)	Si	>100

Pilastro : 11 [829 , 30]

Sez. R: $B_y = 40.0$ cm $B_z = 40.0$ cm $L = 80.0$ cm $L_n = 80.0$ cm $L_2 = 80.0$ cm $L_3 = 80.0$ cm

Criterio : CLS_Pilastrini-Exist

Zona[cm]	Armature[cmq]		
0.0	AfSpigolo = 2.54	Afy = 2.54	Afz = 2.54
80.0	AfSpigolo = 2.54	Afy = 2.54	Afz = 2.54

Verifica snellezza: $f_{cd}=74$ [kg/cm²]**Verificato**

Cb	N	fcd*Ac	v	λ_{max}	λ_{lim}
	kg	kg			
25	6435	118524	0.054	6.928	107.290

Combinazione Rara: σ_{ca} [kg/cm²]=78 σ_{fa} [kg/cm²]=2800

X	N	My	Mz	σ_{cmax}	σ_{fmax}	Cb	Ver.	Cs
cm	kg	kg*m	kg*m	kg/cm ²	kg/cm ²			
0.0	-2404	434	-7	-5	48	24	Si	16
80.0	-6435	2047	136	-23	414	25	Si	3.5

Combinazione QP: σ_{ca} [kg/cm²]=59 σ_{fa} [kg/cm²]=2800

X	N	My	Mz	σ_{cmax}	σ_{fmax}	Cb	Ver.	Cs
cm	kg	kg*m	kg*m	kg/cm ²	kg/cm ²			
0.0	-1841	315	-9	-4	33	38	Si	17
80.0	-4763	1498	104	-17	301	38	Si	3.5

Verifica aperture fessure:Wamm_Freq[mm]=0.400 Wamm_Qp[mm]=0.300

X	N	My	Mz	Act	Aft	pAft	S _{r,max}	σ _{fmed}	Wd	Wk	Cb	Ver.	Cs
cm	kg	kg*m	kg*m	mq	cmq	cm	cm	kg/cmq	mm	mm			
0.0	-1841	315	-9	0.0	9.62	21.37	10.2	32	0.001	0.001	38(Qp)	Si	>100
0.0	-1888	325	-8	0.0	9.63	21.40	10.2	33	0.001	0.001	34(Fr)	Si	>100
80.0	-4763	1498	104	0.0	10.51	23.36	16.0	184	0.008	0.008	38(Qp)	Si	36
80.0	-4900	1544	107	0.0	10.51	23.36	16.0	190	0.009	0.009	34(Fr)	Si	46

Pilastro : 12 [1 , 809]

Sez. R: By= 40.0 cm Bz=40.0 cm L=80.0 cm Ln=80.0 cm L2=80.0 cm L3=80.0 cm

Criterio : CLS_Pilastr-Esist

Zona[cm]	Armature[cmq]		
0.0	AfSpigolo = 2.54	Afy = 2.54	Afz = 2.54
80.0	AfSpigolo = 2.54	Afy = 2.54	Afz = 2.54

Verifica snellezza: fcd=74 [kg/cmq] **Verificato**

Cb	N	fcd*Ac	v	λ _{max}	λ _{lim}
	kg	kg			
24	2081	118524	0.018	6.928	188.661

Combinazione Rara: σ_{ca}[kg/cmq]=78 σ_{fa}[kg/cmq]=2800

X	N	My	Mz	σ _{cmax}	σ _{fmax}	Cb	Ver.	Cs
cm	kg	kg*m	kg*m	kg/cmq	kg/cmq			
0.0	-2081	-291	253	-6	63	24	Si	14
80.0	-962	-150	197	-4	53	27	Si	21
80.0	-1052	-158	202	-4	53	25	Si	21

Combinazione QP: σ_{ca}[kg/cmq]=59 σ_{fa}[kg/cmq]=2800

X	N	My	Mz	σ _{cmax}	σ _{fmax}	Cb	Ver.	Cs
cm	kg	kg*m	kg*m	kg/cmq	kg/cmq			
0.0	-1827	-266	219	-5	57	38	Si	12
80.0	-883	-141	194	-4	53	38	Si	17

Verifica aperture fessure: W_{amm_Freq}[mm]=0.400 W_{amm_Qp}[mm]=0.300

X	N	My	Mz	Act	Aft	pAft	S _{r,max}	σ _{fmed}	Wd	Wk	Cb	Ver.	Cs
cm	kg	kg*m	kg*m	mq	cmq	cm	cm	kg/cmq	mm	mm			
0.0	-1827	-266	219	0.0	7.07	15.72	16.5	36	0.002	0.002	38(Qp)	Si	>100
0.0	-1857	-270	222	0.0	7.07	15.71	16.5	36	0.002	0.002	33(Fr)	Si	>100
80.0	-883	-141	194	0.0	10.31	22.91	15.6	30	0.001	0.001	38(Qp)	Si	>100
80.0	-890	-142	195	0.0	10.30	22.90	15.6	30	0.001	0.001	34(Fr)	Si	>100

Pilastro : 12 [809 , 811]

Sez. R: By= 40.0 cm Bz=40.0 cm L=300.0 cm Ln=300.0 cm L2=300.0 cm L3=300.0 cm

Criterio : CLS_Pilastr-Esist

Zona[cm]	Armature[cmq]		
0.0	AfSpigolo = 2.54	Afy = 2.54	Afz = 2.54
300.0	AfSpigolo = 2.54	Afy = 2.54	Afz = 2.54

Verifica snellezza: fcd=74 [kg/cmq] **Verificato**

Cb	N	fcd*Ac	v	λ _{max}	λ _{lim}
	kg	kg			
24	824	118524	0.007	25.981	299.772

Combinazione Rara: σ_{ca}[kg/cmq]=78 σ_{fa}[kg/cmq]=2800

X	N	My	Mz	σ _{cmax}	σ _{fmax}	Cb	Ver.	Cs
cm	kg	kg*m	kg*m	kg/cmq	kg/cmq			

X	N	My	Mz	σ_{max}	σ_{fmax}	Cb	Ver.	Cs
0.0	-824	-192	244	-5	83	24	Si	17
300.0	-135	-284	287	-6	157	25	Si	13

Combinazione QP: $\sigma_{\text{ca}}[\text{kg/cm}^2]=59$ $\sigma_{\text{fa}}[\text{kg/cm}^2]=2800$

X	N	My	Mz	σ_{max}	σ_{fmax}	Cb	Ver.	Cs
cm	kg	kg*m	kg*m	kg/cm ²	kg/cm ²			
0.0	-709	-170	230	-4	79	38	Si	14
300.0	-90	-226	238	-5	129	38	Si	12

Verifica aperture fessure: Wamm_Freq[mm]=0.400 Wamm_Qp[mm]=0.300

X	N	My	Mz	Act	Aft	pAft	$S_{r,\text{max}}$	σ_{fmed}	Wd	Wk	Cb	Ver.	Cs
cm	kg	kg*m	kg*m	mq	cmq	cm	cm	kg/cm ²	mm	mm			
0.0	-709	-170	230	0.0	10.76	23.90	16.6	47	0.002	0.002	38(Qp)	Si	>100
0.0	-713	-171	230	0.0	10.76	23.90	16.6	47	0.002	0.002	34(Fr)	Si	>100
300.0	-90	-226	238	0.0	14.23	31.62	15.8	69	0.003	0.003	38(Qp)	Si	96
300.0	-95	-228	246	0.0	14.22	31.61	15.8	70	0.003	0.003	33(Fr)	Si	>100

Pilastro : 12 [811 , 2]

Sez. R: $B_y = 40.0 \text{ cm}$ $B_z = 40.0 \text{ cm}$ $L = 80.0 \text{ cm}$ $L_n = 80.0 \text{ cm}$ $L_2 = 80.0 \text{ cm}$ $L_3 = 80.0 \text{ cm}$

Criterio : CLS_Pilastri-Exist

Zona[cm]	Armature[cmq]
0.0	AfSpigolo = 2.54 $A_{fy} = 2.54$ $A_{fz} = 2.54$
80.0	AfSpigolo = 2.54 $A_{fy} = 2.54$ $A_{fz} = 2.54$

Verifica snellezza: $f_{cd} = 74 [\text{kg/cm}^2]$ **Verificato**

Cb	N	$f_{cd} \cdot A_c$	v	λ_{max}	λ_{lim}
	kg	kg			
25	2251	118524	0.019	6.928	181.388

Combinazione Rara: $\sigma_{\text{ca}}[\text{kg/cm}^2]=78$ $\sigma_{\text{fa}}[\text{kg/cm}^2]=2800$

X	N	My	Mz	σ_{max}	σ_{fmax}	Cb	Ver.	Cs
cm	kg	kg*m	kg*m	kg/cm ²	kg/cm ²			
0.0	-1035	-350	201	-6	109	24	Si	13
80.0	-2251	-1179	12	-12	288	25	Si	6.6

Combinazione QP: $\sigma_{\text{ca}}[\text{kg/cm}^2]=59$ $\sigma_{\text{fa}}[\text{kg/cm}^2]=2800$

X	N	My	Mz	σ_{max}	σ_{fmax}	Cb	Ver.	Cs
cm	kg	kg*m	kg*m	kg/cm ²	kg/cm ²			
0.0	-815	-267	167	-5	85	38	Si	13
80.0	-1701	-861	14	-9	209	38	Si	6.7

Verifica aperture fessure: Wamm_Freq[mm]=0.400 Wamm_Qp[mm]=0.300

X	N	My	Mz	Act	Aft	pAft	$S_{r,\text{max}}$	σ_{fmed}	Wd	Wk	Cb	Ver.	Cs
cm	kg	kg*m	kg*m	mq	cmq	cm	cm	kg/cm ²	mm	mm			
0.0	-815	-267	167	0.0	10.70	23.78	16.4	52	0.002	0.002	38(Qp)	Si	>100
0.0	-833	-274	168	0.0	10.70	23.78	16.4	53	0.002	0.002	34(Fr)	Si	>100
80.0	-1701	-861	14	0.0	10.85	24.11	16.8	141	0.007	0.007	38(Qp)	Si	44
80.0	-1744	-888	14	0.0	10.85	24.12	16.8	146	0.007	0.007	34(Fr)	Si	57

Pilastro : 13 [13 , 865]

Sez. R: $B_y = 40.0 \text{ cm}$ $B_z = 40.0 \text{ cm}$ $L = 80.0 \text{ cm}$ $L_n = 80.0 \text{ cm}$ $L_2 = 80.0 \text{ cm}$ $L_3 = 80.0 \text{ cm}$

Criterio : CLS_Pilastri-Exist

Zona[cm]	Armature[cmq]
----------	---------------

0.0	AfSpigolo = 2.54	Afy = 2.54	Afz = 2.54
80.0	AfSpigolo = 2.54	Afy = 2.54	Afz = 2.54

Verifica snellezza: fcd=74 [kg/cm²]**Verificato**

Cb	N	fcd*Ac	v	λ _{max}	λ _{lim}
	kg	kg			
24	6174	118524	0.052	6.928	109.538

Combinazione Rara: σ_{ca}[kg/cm²]=78 σ_{fa}[kg/cm²]=2800

X	N	My	Mz	σ _{cmax}	σ _{fmax}	Cb	Ver.	Cs
cm	kg	kg*m	kg*m	kg/cm ²	kg/cm ²			
0.0	-6174	182	2057	-23	435	24	Si	3.4
80.0	-4773	-7	492	-6	14	25	Si	13

Combinazione QP: σ_{ca}[kg/cm²]=59 σ_{fa}[kg/cm²]=2800

X	N	My	Mz	σ _{cmax}	σ _{fmax}	Cb	Ver.	Cs
cm	kg	kg*m	kg*m	kg/cm ²	kg/cm ²			
0.0	-5635	158	1857	-21	390	38	Si	2.8
80.0	-4368	-8	442	-5	12	38	Si	11

Verifica aperture fessure:Wamm_Freq[mm]=0.400 Wamm_Qp[mm]=0.300

X	N	My	Mz	Act	Aft	pAft	S _{r,max}	σ _{fmed}	Wd	Wk	Cb	Ver.	Cs
cm	kg	kg*m	kg*m	m ²	cm ²	cm	cm	kg/cm ²	mm	mm			
0.0	-5635	158	1857	0.0	10.56	23.46	16.1	237	0.011	0.011	38(Qp)	Si	27
0.0	-5687	160	1877	0.0	10.56	23.46	16.1	240	0.011	0.011	33(Fr)	Si	36
80.0	-4368	-8	442	0.0	8.25	18.33	9.7	11	0.000	0.000	38(Qp)	Si	>100
80.0	-4407	-8	447	0.0	8.25	18.33	9.7	11	0.000	0.000	33(Fr)	Si	>100

Pilastro : 13 [14 , 24]

Sez. R: B_y= 40.0 cm B_z=40.0 cm L=250.0 cm L_n=250.0 cm L₂=250.0 cm L₃=250.0 cm

Criterio : CLS_Pilastrini-Esist

Zona[cm]	Armature[cm ²]
0.0	AfSpigolo = 2.54 Afy = 0.00 Afz = 5.09
250.0	AfSpigolo = 2.54 Afy = 0.00 Afz = 5.09

Verifica snellezza: fcd=74 [kg/cm²]**Verificato**

Cb	N	fcd*Ac	v	λ _{max}	λ _{lim}
	kg	kg			
37	4506	118524	0.038	21.651	128.215

Combinazione Rara: σ_{ca}[kg/cm²]=78 σ_{fa}[kg/cm²]=2800

X	N	My	Mz	σ _{cmax}	σ _{fmax}	Cb	Ver.	Cs
cm	kg	kg*m	kg*m	kg/cm ²	kg/cm ²			
0.0	-4340	-325	307	-7	33	24	Si	12
250.0	-3484	-1593	-180	-20	483	27	Si	3.8

Combinazione QP: σ_{ca}[kg/cm²]=59 σ_{fa}[kg/cm²]=2800

X	N	My	Mz	σ _{cmax}	σ _{fmax}	Cb	Ver.	Cs
cm	kg	kg*m	kg*m	kg/cm ²	kg/cm ²			
0.0	-4506	20	224	-4	-14	38	Si	15
250.0	-3506	-1580	-115	-20	466	38	Si	3.0

Verifica aperture fessure:Wamm_Freq[mm]=0.400 Wamm_Qp[mm]=0.300

X	N	My	Mz	Act	Aft	pAft	S _{r,max}	σ _{fmed}	Wd	Wk	Cb	Ver.	Cs
cm	kg	kg*m	kg*m	m ²	cm ²	cm	cm	kg/cm ²	mm	mm			

X	N	My	Mz	Act	Aft	pAft	S _{r,max}	σ _{fmed}	Wd	Wk	Cb	Ver.	Cs
0.0	-4506	20	224	0.0	0.00	0.00	0.0	0	0.000	0.000	38(Qp)	Si	>100
0.0	-4506	20	224	0.0	0.00	0.00	0.0	0	0.000	0.000	37(Fr)	Si	>100
250.0	-3506	-1580	-115	0.0	11.56	25.69	16.2	331	0.015	0.015	38(Qp)	Si	20
250.0	-3502	-1581	-130	0.0	11.56	25.70	16.2	332	0.015	0.015	33(Fr)	Si	26

Pilastro : 13 [865 , 866]

Sez. R: By= 40.0 cm Bz=40.0 cm L=300.0 cm Ln=300.0 cm L2=300.0 cm L3=300.0 cm

Criterio : CLS_Pilastr-Esist

Zona[cm]	Armature[cmq]		
0.0	AfSpigolo = 2.54	Afy = 2.54	Afz = 2.54
300.0	AfSpigolo = 2.54	Afy = 2.54	Afz = 2.54

Verifica snellezza: fcd=74 [kg/cmq] **Verificato**

Cb	N	fcd*Ac	v	λ _{max}	λ _{lim}
	kg	kg			
24	3735	118524	0.032	25.981	140.826

Combinazione Rara: σ_{ca}[kg/cmq]=78 σ_{fa}[kg/cmq]=2800

X	N	My	Mz	σ _{cmax}	σ _{fmax}	Cb	Ver.	Cs
cm	kg	kg*m	kg*m	kg/cmq	kg/cmq			
0.0	-3735	-65	434	-6	26	24	Si	14
300.0	-1295	-26	26	-1	-5	25	Si	76

Combinazione QP: σ_{ca}[kg/cmq]=59 σ_{fa}[kg/cmq]=2800

X	N	My	Mz	σ _{cmax}	σ _{fmax}	Cb	Ver.	Cs
cm	kg	kg*m	kg*m	kg/cmq	kg/cmq			
0.0	-3477	-57	388	-5	21	38	Si	12
300.0	-1528	-10	16	-1	-10	38	Si	60

Verifica aperture fessure: Wamm_Freq[mm]=0.400 Wamm_Qp[mm]=0.300

X	N	My	Mz	Act	Aft	pAft	S _{r,max}	σ _{fmed}	Wd	Wk	Cb	Ver.	Cs
cm	kg	kg*m	kg*m	mq	cmq	cm	cm	kg/cmq	mm	mm			
0.0	-3477	-57	388	0.0	8.54	18.99	10.7	14	0.000	0.000	38(Qp)	Si	>100
0.0	-3503	-58	392	0.0	8.55	19.00	10.8	15	0.000	0.000	33(Fr)	Si	>100
300.0	-1528	-10	16	0.0	0.00	0.00	0.0	0	0.000	0.000	38(Qp)	Si	>100
300.0	-1532	-10	16	0.0	0.00	0.00	0.0	0	0.000	0.000	33(Fr)	Si	>100

Pilastro : 13 [866 , 14]

Sez. R: By= 40.0 cm Bz=40.0 cm L=80.0 cm Ln=80.0 cm L2=80.0 cm L3=80.0 cm

Criterio : CLS_Pilastr-Esist

Zona[cm]	Armature[cmq]		
0.0	AfSpigolo = 2.54	Afy = 2.54	Afz = 2.54
80.0	AfSpigolo = 2.54	Afy = 2.54	Afz = 2.54

Verifica snellezza: fcd=74 [kg/cmq] **Verificato**

Cb	N	fcd*Ac	v	λ _{max}	λ _{lim}
	kg	kg			
33	2260	118524	0.019	6.928	181.044

Combinazione Rara: σ_{ca}[kg/cmq]=78 σ_{fa}[kg/cmq]=2800

X	N	My	Mz	σ _{cmax}	σ _{fmax}	Cb	Ver.	Cs
cm	kg	kg*m	kg*m	kg/cmq	kg/cmq			
0.0	-1612	-20	27	-1	-8	24	Si	67
80.0	-2223	102	138	-3	6	27	Si	28

Combinazione QP: $\sigma_{ca}[\text{kg/cm}^2]=59$ $\sigma_{fa}[\text{kg/cm}^2]=2800$

X	N	My	Mz	σ_{cmax}	σ_{fmax}	Cb	Ver.	Cs
cm	kg	kg*m	kg*m	kg/cm ²	kg/cm ²			
0.0	-1891	9	13	-1	-13	38	Si	52
80.0	-2260	97	120	-3	3	38	Si	22

Verifica aperture fessure: Wamm_Freq[mm]=0.400 Wamm_Qp[mm]=0.300

X	N	My	Mz	Act	Aft	pAft	$S_{r,max}$	σ_{fmed}	Wd	Wk	Cb	Ver.	Cs
cm	kg	kg*m	kg*m	m ²	cm ²	cm	cm	kg/cm ²	mm	mm			
0.0	-1891	9	13	0.0	0.00	0.00	0.0	0	0.000	0.000	38(Qp)	Si	>100
0.0	-1891	9	13	0.0	0.00	0.00	0.0	0	0.000	0.000	37(Fr)	Si	>100
80.0	-2260	97	120	0.0	3.33	7.41	7.3	3	0.000	0.000	38(Qp)	Si	>100
80.0	-2260	97	125	0.0	3.44	7.65	7.3	4	0.000	0.000	33(Fr)	Si	>100

Pilastro : 14 [3 , 808]

Sez. R: $B_y = 40.0 \text{ cm}$ $B_z = 40.0 \text{ cm}$ $L = 80.0 \text{ cm}$ $L_n = 80.0 \text{ cm}$ $L_2 = 80.0 \text{ cm}$ $L_3 = 80.0 \text{ cm}$

Criterio : CLS_Pilastr-Esist

Zona[cm]	Armature[cm ²]
0.0	AfSpigolo = 2.54 Afy = 2.54 Afz = 2.54
80.0	AfSpigolo = 2.54 Afy = 2.54 Afz = 2.54

Verifica snellezza: $f_{cd} = 74 [\text{kg/cm}^2]$ **Verificato**

Cb	N	$f_{cd} \cdot A_c$	ν	λ_{max}	λ_{lim}
	kg	kg			
24	3080	118524	0.026	6.928	155.089

Combinazione Rara: $\sigma_{ca}[\text{kg/cm}^2]=78$ $\sigma_{fa}[\text{kg/cm}^2]=2800$

X	N	My	Mz	σ_{cmax}	σ_{fmax}	Cb	Ver.	Cs
cm	kg	kg*m	kg*m	kg/cm ²	kg/cm ²			
0.0	-2862	-77	140	-3	-2	29	Si	26
0.0	-3080	-77	154	-3	-2	24	Si	25
80.0	-2330	-43	28	-2	-12	28	Si	46
80.0	-2523	-46	33	-2	-12	25	Si	42

Combinazione QP: $\sigma_{ca}[\text{kg/cm}^2]=59$ $\sigma_{fa}[\text{kg/cm}^2]=2800$

X	N	My	Mz	σ_{cmax}	σ_{fmax}	Cb	Ver.	Cs
cm	kg	kg*m	kg*m	kg/cm ²	kg/cm ²			
0.0	-2749	-75	132	-3	-2	38	Si	21
80.0	-2234	-41	27	-2	-11	38	Si	36

Verifica aperture fessure: Wamm_Freq[mm]=0.400 Wamm_Qp[mm]=0.300

X	N	My	Mz	Act	Aft	pAft	$S_{r,max}$	σ_{fmed}	Wd	Wk	Cb	Ver.	Cs
cm	kg	kg*m	kg*m	m ²	cm ²	cm	cm	kg/cm ²	mm	mm			
0.0	-2749	-75	132	0.0	0.00	0.00	0.0	0	0.000	0.000	38(Qp)	Si	>100
0.0	-2749	-75	132	0.0	0.00	0.00	0.0	0	0.000	0.000	37(Fr)	Si	>100
80.0	-2234	-41	27	0.0	0.00	0.00	0.0	0	0.000	0.000	38(Qp)	Si	>100
80.0	-2263	-42	27	0.0	0.00	0.00	0.0	0	0.000	0.000	33(Fr)	Si	>100

Pilastro : 14 [808 , 812]

Sez. R: $B_y = 40.0 \text{ cm}$ $B_z = 40.0 \text{ cm}$ $L = 300.0 \text{ cm}$ $L_n = 300.0 \text{ cm}$ $L_2 = 300.0 \text{ cm}$ $L_3 = 300.0 \text{ cm}$

Criterio : CLS_Pilastr-Esist

Zona[cm]	Armature[cm ²]
0.0	AfSpigolo = 2.54 Afy = 2.54 Afz = 2.54

300.0	AfSpigolo = 2.54	Afy = 2.54	Afz = 2.54
-------	------------------	------------	------------

Verifica snellezza: fcd=74 [kg/cm²]**Verificato**

Cb	N	fcd*Ac	v	λ _{max}	λ _{lim}
	kg	kg			
24	3163	118524	0.027	25.981	153.040

Combinazione Rara: σ_{ca}[kg/cm²]=78 σ_{fa}[kg/cm²]=2800

X	N	My	Mz	σ _{cmax}	σ _{fmax}	Cb	Ver.	Cs
cm	kg	kg*m	kg*m	kg/cm ²	kg/cm ²			
0.0	-2915	-30	-132	-3	-7	28	Si	30
0.0	-3163	-31	-149	-3	-8	24	Si	27
300.0	-2474	-271	-46	-4	14	25	Si	22

Combinazione QP: σ_{ca}[kg/cm²]=59 σ_{fa}[kg/cm²]=2800

X	N	My	Mz	σ _{cmax}	σ _{fmax}	Cb	Ver.	Cs
cm	kg	kg*m	kg*m	kg/cm ²	kg/cm ²			
0.0	-2787	-29	-124	-2	-7	38	Si	24
300.0	-1942	-190	-53	-3	10	38	Si	22

Verifica aperture fessure:Wamm_Freq[mm]=0.400 Wamm_Qp[mm]=0.300

X	N	My	Mz	Act	Aft	pAft	S _{r,max}	σ _{fmed}	Wd	Wk	Cb	Ver.	Cs
cm	kg	kg*m	kg*m	m ²	cm ²	cm	cm	kg/cm ²	mm	mm			
0.0	-2787	-29	-124	0.0	0.00	0.00	0.0	0	0.000	0.000	38(Qp)	Si	>100
0.0	-2787	-29	-124	0.0	0.00	0.00	0.0	0	0.000	0.000	37(Fr)	Si	>100
300.0	-1942	-190	-53	0.0	5.45	12.12	11.0	7	0.000	0.000	38(Qp)	Si	>100
300.0	-1976	-197	-51	0.0	5.59	12.43	10.8	8	0.000	0.000	34(Fr)	Si	>100

Pilastro : 14 [812 , 4]

Sez. R: By= 40.0 cm Bz=40.0 cm L=80.0 cm Ln=80.0 cm L2=80.0 cm L3=80.0 cm

Criterio : CLS_Pilastris-Esist

Zona[cm]	Armature[cm ²]
0.0	AfSpigolo = 2.54 Afy = 2.54 Afz = 2.54
80.0	AfSpigolo = 2.54 Afy = 2.54 Afz = 2.54

Verifica snellezza: fcd=74 [kg/cm²]**Verificato**

Cb	N	fcd*Ac	v	λ _{max}	λ _{lim}
	kg	kg			
25	7526	118524	0.063	6.928	99.214

Combinazione Rara: σ_{ca}[kg/cm²]=78 σ_{fa}[kg/cm²]=2800

X	N	My	Mz	σ _{cmax}	σ _{fmax}	Cb	Ver.	Cs
cm	kg	kg*m	kg*m	kg/cm ²	kg/cm ²			
0.0	-3264	-416	4	-5	23	24	Si	16
80.0	-7526	-2079	46	-22	366	25	Si	3.5

Combinazione QP: σ_{ca}[kg/cm²]=59 σ_{fa}[kg/cm²]=2800

X	N	My	Mz	σ _{cmax}	σ _{fmax}	Cb	Ver.	Cs
cm	kg	kg*m	kg*m	kg/cm ²	kg/cm ²			
0.0	-2453	-290	7	-3	14	38	Si	17
80.0	-5457	-1445	45	-16	248	38	Si	3.8

Verifica aperture fessure:Wamm_Freq[mm]=0.400 Wamm_Qp[mm]=0.300

X	N	My	Mz	Act	Aft	pAft	S _{r,max}	σ _{fmed}	Wd	Wk	Cb	Ver.	Cs
cm	kg	kg*m	kg*m	m ²	cm ²	cm	cm	kg/cm ²	mm	mm			

X	N	My	Mz	Act	Aft	pAft	S _{r,max}	σ _{fmed}	Wd	Wk	Cb	Ver.	Cs
0.0	-2453	-290	7	0.0	8.69	19.31	10.5	13	0.000	0.000	38(Qp)	Si	>100
0.0	-2512	-300	7	0.0	8.72	19.38	10.5	14	0.000	0.000	34(Fr)	Si	>100
80.0	-5457	-1445	45	0.0	10.32	22.94	15.6	150	0.007	0.007	38(Qp)	Si	45
80.0	-5618	-1498	45	0.0	10.33	22.96	15.6	157	0.007	0.007	34(Fr)	Si	57

Pilastro : 15 [15 , 810]

Sez. R: By= 40.0 cm Bz=40.0 cm L=80.0 cm Ln=80.0 cm L2=80.0 cm L3=80.0 cm

Criterio : CLS_Pilastr-Esist

Zona[cm]	Armature[cmq]		
0.0	AfSpigolo = 2.54	Afy = 2.54	Afz = 2.54
80.0	AfSpigolo = 2.54	Afy = 2.54	Afz = 2.54

Verifica snellezza: fcd=74 [kg/cm²]**Verificato**

Cb	N	fcd*Ac	v	λ _{max}	λ _{lim}
	kg	kg			
24	3852	118524	0.033	6.928	138.667

Combinazione Rara: σ_{ca}[kg/cm²]=78 σ_{fa}[kg/cm²]=2800

X	N	My	Mz	σ _{cmax}	σ _{fmax}	Cb	Ver.	Cs
cm	kg	kg*m	kg*m	kg/cm ²	kg/cm ²			
0.0	-3649	-12	282	-4	-0	29	Si	20
0.0	-3852	-9	294	-4	-1	24	Si	19
80.0	-2359	-28	-57	-2	-10	31	Si	43
80.0	-2578	-31	-56	-2	-12	25	Si	40

Combinazione QP: σ_{ca}[kg/cm²]=59 σ_{fa}[kg/cm²]=2800

X	N	My	Mz	σ _{cmax}	σ _{fmax}	Cb	Ver.	Cs
cm	kg	kg*m	kg*m	kg/cm ²	kg/cm ²			
0.0	-3536	-12	273	-4	-0	38	Si	16
80.0	-2262	-26	-55	-2	-10	38	Si	34

Verifica aperture fessure: W_{amm_Freq}[mm]=0.400 W_{amm_Qp}[mm]=0.300

X	N	My	Mz	Act	Aft	pAft	S _{r,max}	σ _{fmed}	Wd	Wk	Cb	Ver.	Cs
cm	kg	kg*m	kg*m	m ²	cm ²	cm	cm	kg/cm ²	mm	mm			
0.0	-3536	-12	273	0.0	0.00	0.00	0.0	0	0.000	0.000	38(Qp)	Si	>100
0.0	-3536	-12	273	0.0	0.00	0.00	0.0	0	0.000	0.000	37(Fr)	Si	>100
80.0	-2262	-26	-55	0.0	0.00	0.00	0.0	0	0.000	0.000	38(Qp)	Si	>100
80.0	-2286	-27	-56	0.0	0.00	0.00	0.0	0	0.000	0.000	33(Fr)	Si	>100

Pilastro : 15 [810 , 813]

Sez. R: By= 40.0 cm Bz=40.0 cm L=300.0 cm Ln=300.0 cm L2=300.0 cm L3=300.0 cm

Criterio : CLS_Pilastr-Esist

Zona[cm]	Armature[cmq]		
0.0	AfSpigolo = 2.54	Afy = 2.54	Afz = 2.54
300.0	AfSpigolo = 2.54	Afy = 2.54	Afz = 2.54

Verifica snellezza: fcd=74 [kg/cm²]**Verificato**

Cb	N	fcd*Ac	v	λ _{max}	λ _{lim}
	kg	kg			
24	2279	118524	0.019	25.981	180.293

Combinazione Rara: σ_{ca}[kg/cm²]=78 σ_{fa}[kg/cm²]=2800

X	N	My	Mz	σ _{cmax}	σ _{fmax}	Cb	Ver.	Cs
cm	kg	kg*m	kg*m	kg/cm ²	kg/cm ²			

X	N	My	Mz	σ_{max}	σ_{fmax}	Cb	Ver.	Cs
0.0	-2067	15	-11	-1	-14	28	Si	62
0.0	-2279	18	-9	-1	-15	24	Si	57
300.0	-1591	-27	38	-1	-6	31	Si	62
300.0	-2006	-48	45	-2	-7	25	Si	47

Combinazione QP: $\sigma_{\text{ca}}[\text{kg/cm}^2]=59$ $\sigma_{\text{fa}}[\text{kg/cm}^2]=2800$

X	N	My	Mz	σ_{max}	σ_{fmax}	Cb	Ver.	Cs
cm	kg	kg*m	kg*m	kg/cm ²	kg/cm ²			
0.0	-1980	13	-14	-1	-13	38	Si	48
300.0	-1507	-22	38	-1	-6	38	Si	49

Verifica aperture fessure: $W_{\text{amm_Freq}}[\text{mm}]=0.400$ $W_{\text{amm_Qp}}[\text{mm}]=0.300$

X	N	My	Mz	Act	Aft	pAft	$S_{r,\text{max}}$	σ_{fmed}	Wd	Wk	Cb	Ver.	Cs
cm	kg	kg*m	kg*m	m ²	cm ²	cm	cm	kg/cm ²	mm	mm			
0.0	-1980	13	-14	0.0	0.00	0.00	0.0	0	0.000	0.000	38(Qp)	Si	>100
0.0	-1980	13	-14	0.0	0.00	0.00	0.0	0	0.000	0.000	37(Fr)	Si	>100
300.0	-1507	-22	38	0.0	0.00	0.00	0.0	0	0.000	0.000	38(Qp)	Si	>100
300.0	-1490	-22	36	0.0	0.00	0.00	0.0	0	0.000	0.000	33(Fr)	Si	>100

Pilastro : 15 [813 , 16]

Sez. R: $B_y = 40.0 \text{ cm}$ $B_z = 40.0 \text{ cm}$ $L = 80.0 \text{ cm}$ $L_n = 80.0 \text{ cm}$ $L_2 = 80.0 \text{ cm}$ $L_3 = 80.0 \text{ cm}$

Criterio : CLS_Pilastrini-Esist

Zona[cm]	Armature[cm ²]
0.0	AfSpigolo = 2.54 Afy = 2.54 Afz = 2.54
80.0	AfSpigolo = 2.54 Afy = 2.54 Afz = 2.54

Verifica snellezza: $f_{\text{cd}}=74$ [kg/cm²] **Verificato**

Cb	N	fcd*Ac	v	λ_{max}	λ_{lim}
	kg	kg			
25	6933	118524	0.058	6.928	103.367

Combinazione Rara: $\sigma_{\text{ca}}[\text{kg/cm}^2]=78$ $\sigma_{\text{fa}}[\text{kg/cm}^2]=2800$

X	N	My	Mz	σ_{max}	σ_{fmax}	Cb	Ver.	Cs
cm	kg	kg*m	kg*m	kg/cm ²	kg/cm ²			
0.0	-2678	-28	-40	-2	-14	29	Si	42
0.0	-3317	-36	-36	-2	-19	24	Si	35
80.0	-6933	-737	192	-10	45	25	Si	7.6

Combinazione QP: $\sigma_{\text{ca}}[\text{kg/cm}^2]=59$ $\sigma_{\text{fa}}[\text{kg/cm}^2]=2800$

X	N	My	Mz	σ_{max}	σ_{fmax}	Cb	Ver.	Cs
cm	kg	kg*m	kg*m	kg/cm ²	kg/cm ²			
0.0	-2518	-26	-39	-2	-14	38	Si	33
80.0	-5204	-531	155	-8	32	38	Si	7.7

Verifica aperture fessure: $W_{\text{amm_Freq}}[\text{mm}]=0.400$ $W_{\text{amm_Qp}}[\text{mm}]=0.300$

X	N	My	Mz	Act	Aft	pAft	$S_{r,\text{max}}$	σ_{fmed}	Wd	Wk	Cb	Ver.	Cs
cm	kg	kg*m	kg*m	m ²	cm ²	cm	cm	kg/cm ²	mm	mm			
0.0	-2518	-26	-39	0.0	0.00	0.00	0.0	0	0.000	0.000	38(Qp)	Si	>100
0.0	-2518	-26	-39	0.0	0.00	0.00	0.0	0	0.000	0.000	37(Fr)	Si	>100
80.0	-5204	-531	155	0.0	5.68	12.62	11.0	23	0.001	0.001	38(Qp)	Si	>100
80.0	-5345	-548	158	0.0	5.72	12.71	10.9	24	0.001	0.001	34(Fr)	Si	>100

Pilastro : 17 [17 , 863]

Sez. R: $B_y = 40.0 \text{ cm}$ $B_z = 40.0 \text{ cm}$ $L = 80.0 \text{ cm}$ $L_n = 80.0 \text{ cm}$ $L_2 = 80.0 \text{ cm}$ $L_3 = 80.0 \text{ cm}$

Criterio : CLS_Pilastr-Esist

Zona[cm]	Armature[cmq]		
0.0	AfSpigolo = 2.54	Afy = 2.54	Afz = 2.54
80.0	AfSpigolo = 2.54	Afy = 2.54	Afz = 2.54

Verifica snellezza: fcd=74 [kg/cm²]**Verificato**

Cb	N	fcd*Ac	v	λ _{max}	λ _{lim}
	kg	kg			
24	3260	118524	0.028	6.928	150.735

Combinazione Rara: σ_{ca}[kg/cm²]=78 σ_{fa}[kg/cm²]=2800

X	N	My	Mz	σ _{cmax}	σ _{fmax}	Cb	Ver.	Cs
cm	kg	kg*m	kg*m	kg/cm ²	kg/cm ²			
0.0	-3260	-162	155	-4	5	24	Si	20
80.0	-2785	40	23	-2	-16	31	Si	42
80.0	-3023	46	24	-2	-17	25	Si	38

Combinazione QP: σ_{ca}[kg/cm²]=59 σ_{fa}[kg/cm²]=2800

X	N	My	Mz	σ _{cmax}	σ _{fmax}	Cb	Ver.	Cs
cm	kg	kg*m	kg*m	kg/cm ²	kg/cm ²			
0.0	-2910	-139	137	-3	4	38	Si	17
80.0	-2670	36	24	-2	-15	38	Si	33

Verifica aperture fessure:Wamm_Freq[mm]=0.400 Wamm_Qp[mm]=0.300

X	N	My	Mz	Act	Aft	pAft	S _{r,max}	σ _{fmed}	Wd	Wk	Cb	Ver.	Cs
cm	kg	kg*m	kg*m	m ²	cm ²	cm	cm	kg/cm ²	mm	mm			
0.0	-2910	-139	137	0.0	3.27	7.27	7.3	4	0.000	0.000	38(Qp)	Si	>100
0.0	-2947	-141	140	0.0	3.30	7.33	7.3	4	0.000	0.000	33(Fr)	Si	>100
80.0	-2670	36	24	0.0	0.00	0.00	0.0	0	0.000	0.000	38(Qp)	Si	>100
80.0	-2702	37	23	0.0	0.00	0.00	0.0	0	0.000	0.000	33(Fr)	Si	>100

Pilastro : 17 [18 , 28]

Sez. R: By= 40.0 cm Bz=40.0 cm L=250.0 cm Ln=250.0 cm L2=250.0 cm L3=250.0 cm

Criterio : CLS_Pilastr-Esist

Zona[cm]	Armature[cmq]		
0.0	AfSpigolo = 2.54	Afy = 0.00	Afz = 5.09
250.0	AfSpigolo = 2.54	Afy = 0.00	Afz = 5.09

Verifica snellezza: fcd=74 [kg/cm²]**Verificato**

Cb	N	fcd*Ac	v	λ _{max}	λ _{lim}
	kg	kg			
24	30188	118524	0.255	21.651	49.536

Combinazione Rara: σ_{ca}[kg/cm²]=78 σ_{fa}[kg/cm²]=2800

X	N	My	Mz	σ _{cmax}	σ _{fmax}	Cb	Ver.	Cs
cm	kg	kg*m	kg*m	kg/cm ²	kg/cm ²			
0.0	-26009	494	296	-19	-127	28	Si	4.1
0.0	-30188	560	328	-22	-151	24	Si	3.6
250.0	-25009	-1630	-338	-27	2	28	Si	2.9
250.0	-29188	-1842	-380	-31	-5	25	Si	2.5

Combinazione QP: σ_{ca}[kg/cm²]=59 σ_{fa}[kg/cm²]=2800

X	N	My	Mz	σ _{cmax}	σ _{fmax}	Cb	Ver.	Cs
cm	kg	kg*m	kg*m	kg/cm ²	kg/cm ²			
0.0	-23665	348	278	-17	-126	38	Si	3.5

X	N	My	Mz	σ_{\max}	$\sigma_{f\max}$	Cb	Ver.	Cs
250.0	-22665	-1184	-319	-22	-27	38	Si	2.6

Verifica aperture fessure: Wamm_Freq[mm]=0.400 Wamm_Qp[mm]=0.300

X	N	My	Mz	Act	Aft	pAft	$S_{r,\max}$	σ_{fmed}	Wd	Wk	Cb	Ver.	Cs
cm	kg	kg*m	kg*m	m	cm	cm	cm	kg/cm	mm	mm			
0.0	-23665	348	278	0.0	0.00	0.00	0.0	0	0.000	0.000	38(Qp)	Si	>100
0.0	-23665	348	278	0.0	0.00	0.00	0.0	0	0.000	0.000	37(Fr)	Si	>100
250.0	-22665	-1184	-319	0.0	0.00	0.00	0.0	0	0.000	0.000	38(Qp)	Si	>100
250.0	-22649	-1185	-329	0.0	0.00	0.00	0.0	0	0.000	0.000	33(Fr)	Si	>100

Pilastro : 17 [28 , 38]

Sez. R: $B_y = 40.0 \text{ cm}$ $B_z = 40.0 \text{ cm}$ $L = 150.0 \text{ cm}$ $L_n = 150.0 \text{ cm}$ $L_2 = 150.0 \text{ cm}$ $L_3 = 150.0 \text{ cm}$

Criterio : CLS_Pilastr-Esist

Zona[cm]	Armature[cmq]
0.0	AfSpigolo = 2.54 $A_{fy} = 2.54$ $A_{fz} = 2.54$
150.0	AfSpigolo = 2.54 $A_{fy} = 2.54$ $A_{fz} = 2.54$

Verifica snellezza: $f_{cd} = 74 \text{ [kg/cm}^2\text{]}$ **Verificato**

Cb	N	$f_{cd} \cdot A_c$	v	λ_{\max}	λ_{\lim}
	kg	kg			
24	4979	118524	0.042	12.990	121.979

Combinazione Rara: $\sigma_{ca} \text{ [kg/cm}^2\text{]} = 78$ $\sigma_{fa} \text{ [kg/cm}^2\text{]} = 2800$

X	N	My	Mz	σ_{\max}	$\sigma_{f\max}$	Cb	Ver.	Cs
cm	kg	kg*m	kg*m	kg/cm	kg/cm			
0.0	-4979	1228	-266	-16	236	24	Si	5.0
150.0	-4335	2048	1441	-37	781	28	Si	2.1
150.0	-4379	2050	1445	-38	780	25	Si	2.1

Combinazione QP: $\sigma_{ca} \text{ [kg/cm}^2\text{]} = 59$ $\sigma_{fa} \text{ [kg/cm}^2\text{]} = 2800$

X	N	My	Mz	σ_{\max}	$\sigma_{f\max}$	Cb	Ver.	Cs
cm	kg	kg*m	kg*m	kg/cm	kg/cm			
0.0	-4857	870	-259	-12	133	38	Si	4.9
150.0	-4257	2000	1429	-37	767	38	Si	1.6

Verifica aperture fessure: Wamm_Freq[mm]=0.400 Wamm_Qp[mm]=0.300

X	N	My	Mz	Act	Aft	pAft	$S_{r,\max}$	σ_{fmed}	Wd	Wk	Cb	Ver.	Cs
cm	kg	kg*m	kg*m	m	cm	cm	cm	kg/cm	mm	mm			
0.0	-4857	870	-259	0.0	9.76	21.69	14.3	77	0.003	0.003	38(Qp)	Si	96
0.0	-4867	900	-259	0.0	9.82	21.81	14.4	83	0.003	0.003	34(Fr)	Si	>100
150.0	-4257	2000	1429	0.0	13.55	30.12	15.1	381	0.016	0.016	38(Qp)	Si	18
150.0	-4267	2004	1430	0.0	13.55	30.12	15.1	382	0.017	0.017	34(Fr)	Si	24

Pilastro : 17 [860 , 18]

Sez. R: $B_y = 40.0 \text{ cm}$ $B_z = 40.0 \text{ cm}$ $L = 80.0 \text{ cm}$ $L_n = 80.0 \text{ cm}$ $L_2 = 80.0 \text{ cm}$ $L_3 = 80.0 \text{ cm}$

Criterio : CLS_Pilastr-Esist

Zona[cm]	Armature[cmq]
0.0	AfSpigolo = 2.54 $A_{fy} = 2.54$ $A_{fz} = 2.54$
80.0	AfSpigolo = 2.54 $A_{fy} = 2.54$ $A_{fz} = 2.54$

Verifica snellezza: $f_{cd} = 74 \text{ [kg/cm}^2\text{]}$ **Verificato**

Cb	N	$f_{cd} \cdot A_c$	v	λ_{\max}	λ_{\lim}
	kg	kg			
25	7979	118524	0.067	6.928	96.357

Combinazione Rara: $\sigma_{ca}[\text{kg/cm}^2]=78$ $\sigma_{fa}[\text{kg/cm}^2]=2800$

X	N	My	Mz	σ_{cmax}	σ_{fmax}	Cb	Ver.	Cs
cm	kg	kg*m	kg*m	kg/cm ²	kg/cm ²			
0.0	-4852	-7	38	-3	-34	29	Si	28
0.0	-5618	-6	42	-3	-40	24	Si	24
80.0	-6793	7	130	-4	-40	31	Si	17
80.0	-7979	16	151	-5	-47	25	Si	15

Combinazione QP: $\sigma_{ca}[\text{kg/cm}^2]=59$ $\sigma_{fa}[\text{kg/cm}^2]=2800$

X	N	My	Mz	σ_{cmax}	σ_{fmax}	Cb	Ver.	Cs
cm	kg	kg*m	kg*m	kg/cm ²	kg/cm ²			
0.0	-4603	-6	36	-3	-32	38	Si	22
80.0	-6407	4	119	-4	-39	38	Si	14

Verifica aperture fessure: $W_{amm_Freq}[\text{mm}]=0.400$ $W_{amm_Qp}[\text{mm}]=0.300$

X	N	My	Mz	Act	Aft	pAft	$S_{r,max}$	σ_{fmed}	Wd	Wk	Cb	Ver.	Cs
cm	kg	kg*m	kg*m	m	cm	cm	cm	kg/cm ²	mm	mm			
0.0	-4603	-6	36	0.0	0.00	0.00	0.0	0	0.000	0.000	38(Qp)	Si	>100
0.0	-4603	-6	36	0.0	0.00	0.00	0.0	0	0.000	0.000	37(Fr)	Si	>100
80.0	-6407	4	119	0.0	0.00	0.00	0.0	0	0.000	0.000	38(Qp)	Si	>100
80.0	-6451	4	122	0.0	0.00	0.00	0.0	0	0.000	0.000	33(Fr)	Si	>100

Pilastro : 17 [863 , 860]

Sez. R: $B_y = 40.0 \text{ cm}$ $B_z = 40.0 \text{ cm}$ $L = 300.0 \text{ cm}$ $L_n = 300.0 \text{ cm}$ $L_2 = 300.0 \text{ cm}$ $L_3 = 300.0 \text{ cm}$

Criterio : CLS_Pilastrini-Esist

Zona[cm]	Armature[cm ²]		
0.0	AfSpigolo = 2.54	Afy = 2.54	Afz = 2.54
300.0	AfSpigolo = 2.54	Afy = 2.54	Afz = 2.54

Verifica snellezza: $f_{cd}=74$ [kg/cm²]**Verificato**

Cb	N	$f_{cd} \cdot A_c$	v	λ_{max}	λ_{lim}
	kg	kg			
25	4749	118524	0.040	25.981	124.900

Combinazione Rara: $\sigma_{ca}[\text{kg/cm}^2]=78$ $\sigma_{fa}[\text{kg/cm}^2]=2800$

X	N	My	Mz	σ_{cmax}	σ_{fmax}	Cb	Ver.	Cs
cm	kg	kg*m	kg*m	kg/cm ²	kg/cm ²			
0.0	-3768	153	-23	-3	-13	29	Si	25
0.0	-4103	169	-23	-3	-14	24	Si	23
300.0	-4122	-55	-37	-3	-24	31	Si	28
300.0	-4749	-62	-35	-3	-28	25	Si	25

Combinazione QP: $\sigma_{ca}[\text{kg/cm}^2]=59$ $\sigma_{fa}[\text{kg/cm}^2]=2800$

X	N	My	Mz	σ_{cmax}	σ_{fmax}	Cb	Ver.	Cs
cm	kg	kg*m	kg*m	kg/cm ²	kg/cm ²			
0.0	-3605	145	-23	-3	-12	38	Si	19
300.0	-3913	-51	-31	-3	-23	38	Si	23

Verifica aperture fessure: $W_{amm_Freq}[\text{mm}]=0.400$ $W_{amm_Qp}[\text{mm}]=0.300$

X	N	My	Mz	Act	Aft	pAft	$S_{r,max}$	σ_{fmed}	Wd	Wk	Cb	Ver.	Cs
cm	kg	kg*m	kg*m	m	cm	cm	cm	kg/cm ²	mm	mm			
0.0	-3605	145	-23	0.0	0.00	0.00	0.0	0	0.000	0.000	38(Qp)	Si	>100
0.0	-3605	145	-23	0.0	0.00	0.00	0.0	0	0.000	0.000	37(Fr)	Si	>100
300.0	-3913	-51	-31	0.0	0.00	0.00	0.0	0	0.000	0.000	38(Qp)	Si	>100

X	N	My	Mz	Act	Aft	pAft	S _{r,max}	σ _{fmed}	Wd	Wk	Cb	Ver.	Cs
300.0	-3939	-52	-35	0.0	0.00	0.00	0.0	0	0.000	0.000	33(Fr)	Si	>100

Pilastro : 21 [21 , 22]

Sez. R: B_y= 40.0 cm B_z=40.0 cm L=460.0 cm L_n=460.0 cm L₂=460.0 cm L₃=460.0 cm

Criterio : CLS_Pilastr-Esist

Zona[cm]	Armature[cmq]		
0.0	AfSpigolo = 2.54	Afy = 2.54	Afz = 2.54
460.0	AfSpigolo = 2.54	Afy = 2.54	Afz = 2.54

Verifica snellezza: fcd=74 [kg/cm²]**Verificato**

Cb	N	fcd*Ac	v	λ _{max}	λ _{lim}
	kg	kg			
24	5992	118524	0.051	39.837	111.186

Combinazione Rara: σ_{ca}[kg/cm²]=78 σ_{fa}[kg/cm²]=2800

X	N	My	Mz	σ _{cmax}	σ _{fmax}	Cb	Ver.	Cs
cm	kg	kg*m	kg*m	kg/cm ²	kg/cm ²			
0.0	-5992	-33	158	-4	-29	24	Si	18
460.0	-4152	-200	-162	-5	2	25	Si	17

Combinazione QP: σ_{ca}[kg/cm²]=59 σ_{fa}[kg/cm²]=2800

X	N	My	Mz	σ _{cmax}	σ _{fmax}	Cb	Ver.	Cs
cm	kg	kg*m	kg*m	kg/cm ²	kg/cm ²			
0.0	-5942	-15	135	-4	-32	38	Si	14
460.0	-4102	-190	-148	-4	0	38	Si	13

Verifica aperture fessure:W_{amm_Freq}[mm]=0.400 W_{amm_Qp}[mm]=0.300

X	N	My	Mz	Act	Aft	pAft	S _{r,max}	σ _{fmed}	Wd	Wk	Cb	Ver.	Cs
cm	kg	kg*m	kg*m	m ²	cm ²	cm	cm	kg/cm ²	mm	mm			
0.0	-5942	-15	135	0.0	0.00	0.00	0.0	0	0.000	0.000	38(Qp)	Si	>100
0.0	-5942	-15	135	0.0	0.00	0.00	0.0	0	0.000	0.000	37(Fr)	Si	>100
460.0	-4102	-190	-148	0.0	0.00	0.00	0.0	0	0.000	0.000	38(Qp)	Si	>100
460.0	-4105	-191	-149	0.0	2.61	5.79	6.9	0	0.000	0.000	34(Fr)	Si	>100

Pilastro : 21 [22 , 32]

Sez. R: B_y= 40.0 cm B_z=40.0 cm L=250.0 cm L_n=250.0 cm L₂=250.0 cm L₃=250.0 cm

Criterio : CLS_Pilastr-Esist

Zona[cm]	Armature[cmq]		
0.0	AfSpigolo = 2.54	Afy = 2.54	Afz = 2.54
250.0	AfSpigolo = 2.54	Afy = 2.54	Afz = 2.54

Verifica snellezza: fcd=74 [kg/cm²]**Verificato**

Cb	N	fcd*Ac	v	λ _{max}	λ _{lim}
	kg	kg			
24	4152	118524	0.035	21.651	133.569

Combinazione Rara: σ_{ca}[kg/cm²]=78 σ_{fa}[kg/cm²]=2800

X	N	My	Mz	σ _{cmax}	σ _{fmax}	Cb	Ver.	Cs
cm	kg	kg*m	kg*m	kg/cm ²	kg/cm ²			
0.0	-4152	-200	-162	-5	2	24	Si	17
250.0	-3152	-291	-337	-7	54	25	Si	12

Combinazione QP: σ_{ca}[kg/cm²]=59 σ_{fa}[kg/cm²]=2800

X	N	My	Mz	σ_{\max}	$\sigma_{f\max}$	Cb	Ver.	Cs
cm	kg	kg*m	kg*m	kg/cmq	kg/cmq			
0.0	-4102	-190	-148	-4	0	38	Si	13
250.0	-3102	-285	-302	-6	47	38	Si	9.6

Verifica aperture fessure: Wamm_Freq[mm]=0.400 Wamm_Qp[mm]=0.300

X	N	My	Mz	Act	Aft	pAft	$S_{r,\max}$	σ_{fmed}	Wd	Wk	Cb	Ver.	Cs
cm	kg	kg*m	kg*m	m	cmq	cm	cm	kg/cmq	mm	mm			
0.0	-4102	-190	-148	0.0	0.00	0.00	0.0	0	0.000	0.000	38(Qp)	Si	>100
0.0	-4105	-191	-149	0.0	2.61	5.79	6.9	0	0.000	0.000	34(Fr)	Si	>100
250.0	-3102	-285	-302	0.0	6.06	13.47	13.9	24	0.001	0.001	38(Qp)	Si	>100
250.0	-3107	-286	-305	0.0	6.08	13.50	13.9	25	0.001	0.001	33(Fr)	Si	>100

Pilastro : 23 [23 , 24]

Sez. R: $B_y = 40.0 \text{ cm}$ $B_z = 40.0 \text{ cm}$ $L = 460.0 \text{ cm}$ $L_n = 460.0 \text{ cm}$ $L_2 = 460.0 \text{ cm}$ $L_3 = 460.0 \text{ cm}$

Criterio : CLS_Pilastr-Esist

Zona[cm]	Armature[cmq]
0.0	AfSpigolo = 2.54 $A_{fy} = 2.54$ $A_{fz} = 2.54$
460.0	AfSpigolo = 2.54 $A_{fy} = 2.54$ $A_{fz} = 2.54$

Verifica snellezza: $f_{cd} = 74 \text{ [kg/cmq]}$ **Verificato**

Cb	N	$f_{cd} \cdot A_c$	v	λ_{\max}	λ_{\lim}
	kg	kg			
24	5852	118524	0.049	39.837	112.508

Combinazione Rara: $\sigma_{ca} \text{ [kg/cmq]} = 78$ $\sigma_{fa} \text{ [kg/cmq]} = 2800$

X	N	My	Mz	σ_{\max}	$\sigma_{f\max}$	Cb	Ver.	Cs
cm	kg	kg*m	kg*m	kg/cmq	kg/cmq			
0.0	-5852	-123	-81	-4	-27	24	Si	18
460.0	-4012	-206	128	-4	1	25	Si	18

Combinazione QP: $\sigma_{ca} \text{ [kg/cmq]} = 59$ $\sigma_{fa} \text{ [kg/cmq]} = 2800$

X	N	My	Mz	σ_{\max}	$\sigma_{f\max}$	Cb	Ver.	Cs
cm	kg	kg*m	kg*m	kg/cmq	kg/cmq			
0.0	-5811	-92	-65	-4	-31	38	Si	14
460.0	-3971	-196	117	-4	-1	38	Si	14

Verifica aperture fessure: Wamm_Freq[mm]=0.400 Wamm_Qp[mm]=0.300

X	N	My	Mz	Act	Aft	pAft	$S_{r,\max}$	σ_{fmed}	Wd	Wk	Cb	Ver.	Cs
cm	kg	kg*m	kg*m	m	cmq	cm	cm	kg/cmq	mm	mm			
0.0	-5811	-92	-65	0.0	0.00	0.00	0.0	0	0.000	0.000	38(Qp)	Si	>100
0.0	-5811	-92	-65	0.0	0.00	0.00	0.0	0	0.000	0.000	37(Fr)	Si	>100
460.0	-3971	-196	117	0.0	0.00	0.00	0.0	0	0.000	0.000	38(Qp)	Si	>100
460.0	-3975	-196	118	0.0	0.00	0.00	0.0	0	0.000	0.000	33(Fr)	Si	>100

Pilastro : 23 [24 , 34]

Sez. R: $B_y = 40.0 \text{ cm}$ $B_z = 40.0 \text{ cm}$ $L = 250.0 \text{ cm}$ $L_n = 250.0 \text{ cm}$ $L_2 = 250.0 \text{ cm}$ $L_3 = 250.0 \text{ cm}$

Criterio : CLS_Pilastr-Esist

Zona[cm]	Armature[cmq]
0.0	AfSpigolo = 2.54 $A_{fy} = 2.54$ $A_{fz} = 2.54$
250.0	AfSpigolo = 2.54 $A_{fy} = 2.54$ $A_{fz} = 2.54$

Verifica snellezza: $f_{cd} = 74 \text{ [kg/cmq]}$ **Verificato**

Cb	N	$f_{cd} \cdot A_c$	v	λ_{\max}	λ_{\lim}
	kg	kg			

Cb	N	fcd*Ac	v	λ_{max}	λ_{lim}
24	4012	118524	0.034	21.651	135.878

Combinazione Rara: σ_{ca} [kg/cm²]=78 σ_{fa} [kg/cm²]=2800

X	N	My	Mz	σ_{cmax}	σ_{fmax}	Cb	Ver.	Cs
cm	kg	kg*m	kg*m	kg/cm ²	kg/cm ²			
0.0	-4012	-206	128	-4	1	24	Si	18
250.0	-3012	-251	242	-5	32	25	Si	15

Combinazione QP: σ_{ca} [kg/cm²]=59 σ_{fa} [kg/cm²]=2800

X	N	My	Mz	σ_{cmax}	σ_{fmax}	Cb	Ver.	Cs
cm	kg	kg*m	kg*m	kg/cm ²	kg/cm ²			
0.0	-3971	-196	117	-4	-1	38	Si	14
250.0	-2971	-252	216	-5	28	38	Si	12

Verifica aperture fessure: Wamm_Freq[mm]=0.400 Wamm_Qp[mm]=0.300

X	N	My	Mz	Act	Aft	pAft	$S_{r,max}$	σ_{fmed}	Wd	Wk	Cb	Ver.	Cs
cm	kg	kg*m	kg*m	m ²	cm ²	cm	cm	kg/cm ²	mm	mm			
0.0	-3971	-196	117	0.0	0.00	0.00	0.0	0	0.000	0.000	38(Qp)	Si	>100
0.0	-3971	-196	117	0.0	0.00	0.00	0.0	0	0.000	0.000	37(Fr)	Si	>100
250.0	-2971	-252	216	0.0	5.43	12.07	12.3	12	0.000	0.000	38(Qp)	Si	>100
250.0	-2975	-252	219	0.0	5.45	12.10	12.3	12	0.000	0.000	33(Fr)	Si	>100

Pilastro : 25 [25 , 864]

Sez. R: $B_y = 40.0$ cm $B_z = 40.0$ cm $L = 80.0$ cm $L_n = 80.0$ cm $L_2 = 80.0$ cm $L_3 = 80.0$ cm

Criterio : CLS_Pilastr-Esist

Zona[cm]	Armature[cmq]
0.0	AfSpigolo = 2.54 $A_{fy} = 2.54$ $A_{fz} = 2.54$
80.0	AfSpigolo = 2.54 $A_{fy} = 2.54$ $A_{fz} = 2.54$

Verifica snellezza: fcd=74 [kg/cm²]**Verificato**

Cb	N	fcd*Ac	v	λ_{max}	λ_{lim}
	kg	kg			
24	2189	118524	0.018	6.928	183.940

Combinazione Rara: σ_{ca} [kg/cm²]=78 σ_{fa} [kg/cm²]=2800

X	N	My	Mz	σ_{cmax}	σ_{fmax}	Cb	Ver.	Cs
cm	kg	kg*m	kg*m	kg/cm ²	kg/cm ²			
0.0	-2189	-254	-9	-3	12	24	Si	26
80.0	-1930	-52	2	-1	-10	31	Si	57
80.0	-2100	-55	2	-1	-11	25	Si	53

Combinazione QP: σ_{ca} [kg/cm²]=59 σ_{fa} [kg/cm²]=2800

X	N	My	Mz	σ_{cmax}	σ_{fmax}	Cb	Ver.	Cs
cm	kg	kg*m	kg*m	kg/cm ²	kg/cm ²			
0.0	-1965	-225	-8	-3	10	38	Si	22
80.0	-1847	-50	2	-1	-9	38	Si	44

Verifica aperture fessure: Wamm_Freq[mm]=0.400 Wamm_Qp[mm]=0.300

X	N	My	Mz	Act	Aft	pAft	$S_{r,max}$	σ_{fmed}	Wd	Wk	Cb	Ver.	Cs
cm	kg	kg*m	kg*m	m ²	cm ²	cm	cm	kg/cm ²	mm	mm			
0.0	-1965	-225	-8	0.0	8.60	19.11	10.6	9	0.000	0.000	38(Qp)	Si	>100
0.0	-1986	-228	-8	0.0	8.61	19.14	10.6	9	0.000	0.000	33(Fr)	Si	>100
80.0	-1847	-50	2	0.0	0.00	0.00	0.0	0	0.000	0.000	38(Qp)	Si	>100
80.0	-1870	-51	2	0.0	0.00	0.00	0.0	0	0.000	0.000	33(Fr)	Si	>100

Pilastro : 25 [26 , 36]

Sez. R: By= 40.0 cm Bz=40.0 cm L=250.0 cm Ln=250.0 cm L2=250.0 cm L3=250.0 cm

Criterio : CLS_Pilastri-Esist

Zona[cm]	Armature[cmq]		
0.0	AfSpigolo = 2.54	Afy = 2.54	Afz = 5.09
250.0	AfSpigolo = 2.54	Afy = 2.54	Afz = 5.09

Verifica snellezza: fcd=74 [kg/cm²]**Verificato**

Cb	N	fcd*Ac	v	λmax	λlim
	kg	kg			
24	22840	118524	0.193	21.651	56.950

Combinazione Rara: σca[kg/cm²]=78 σfa[kg/cm²]=2800

X	N	My	Mz	σcmax	σfmax	Cb	Ver.	Cs
cm	kg	kg*m	kg*m	kg/cm ²	kg/cm ²			
0.0	-22840	2353	241	-29	89	24	Si	2.7
250.0	-21840	-7474	-260	-77	1416	25	Si	1.0

Combinazione QP: σca[kg/cm²]=59 σfa[kg/cm²]=2800

X	N	My	Mz	σcmax	σfmax	Cb	Ver.	Cs
cm	kg	kg*m	kg*m	kg/cm ²	kg/cm ²			
0.0	-18713	1627	198	-22	33	38	Si	2.7
250.0	-17713	-5127	-215	-54	882	38	Si	1.1

Verifica aperture fessure: Wamm_Freq[mm]=0.400 Wamm_Qp[mm]=0.300

X	N	My	Mz	Act	Aft	pAft	S _{r,max}	σfmed	Wd	Wk	Cb	Ver.	Cs
cm	kg	kg*m	kg*m	m ²	cm ²	cm	cm	kg/cm ²	mm	mm			
0.0	-18713	1627	198	0.0	5.36	11.91	9.0	24	0.001	0.001	38(Qp)	Si	>100
0.0	-19062	1689	200	0.0	5.66	12.57	9.2	28	0.001	0.001	34(Fr)	Si	>100
250.0	-17713	-5127	-215	0.0	13.11	29.12	13.9	642	0.025	0.025	38(Qp)	Si	12
250.0	-18062	-5324	-217	0.0	13.14	29.20	13.9	676	0.027	0.027	34(Fr)	Si	15

Pilastro : 25 [36 , 46]

Sez. R: By= 40.0 cm Bz=40.0 cm L=150.0 cm Ln=150.0 cm L2=150.0 cm L3=150.0 cm

Criterio : CLS_Pilastri-Esist

Zona[cm]	Armature[cmq]		
0.0	AfSpigolo = 2.54	Afy = 2.54	Afz = 2.54
150.0	AfSpigolo = 2.54	Afy = 2.54	Afz = 2.54

Verifica snellezza: fcd=74 [kg/cm²]**Verificato**

Cb	N	fcd*Ac	v	λmax	λlim
	kg	kg			
37	5235	118524	0.044	12.990	118.954

Combinazione Rara: σca[kg/cm²]=78 σfa[kg/cm²]=2800

X	N	My	Mz	σcmax	σfmax	Cb	Ver.	Cs
cm	kg	kg*m	kg*m	kg/cm ²	kg/cm ²			
0.0	-5223	1926	-268	-23	448	24	Si	3.4
150.0	-4623	1568	204	-18	347	25	Si	4.3

Combinazione QP: σca[kg/cm²]=59 σfa[kg/cm²]=2800

X	N	My	Mz	σcmax	σfmax	Cb	Ver.	Cs
cm	kg	kg*m	kg*m	kg/cm ²	kg/cm ²			

X	N	My	Mz	σ_{\max}	$\sigma_{f\max}$	Cb	Ver.	Cs
0.0	-5235	1402	-265	-18	280	38	Si	3.4
150.0	-4635	1197	216	-15	231	38	Si	4.0

Verifica aperture fessure: Wamm_Freq[mm]=0.400 Wamm_Qp[mm]=0.300

X	N	My	Mz	Act	Aft	pAft	$S_{r,\max}$	σ_{fmed}	Wd	Wk	Cb	Ver.	Cs
cm	kg	kg*m	kg*m	mq	cmq	cm	cm	kg/cmq	mm	mm			
0.0	-5235	1402	-265	0.0	10.35	23.01	15.7	193	0.009	0.009	38(Qp)	Si	35
0.0	-5235	1446	-266	0.0	10.39	23.08	15.8	204	0.009	0.009	34(Fr)	Si	43
150.0	-4635	1197	216	0.0	10.31	22.91	15.6	159	0.007	0.007	38(Qp)	Si	42
150.0	-4635	1228	215	0.0	10.34	22.97	15.7	166	0.007	0.007	34(Fr)	Si	54

Pilastro : 25 [864 , 867]

Sez. R: By= 40.0 cm Bz=40.0 cm L=300.0 cm Ln=300.0 cm L2=300.0 cm L3=300.0 cm

Criterio : CLS_Pilastr-Esist

Zona[cm]	Armature[cmq]
0.0	AfSpigolo = 2.54 Afy = 2.54 Afz = 2.54
300.0	AfSpigolo = 2.54 Afy = 2.54 Afz = 2.54

Verifica snellezza: fcd=74 [kg/cmq] **Verificato**

Cb	N	fcd*Ac	v	λ_{\max}	λ_{lim}
	kg	kg			
25	4508	118524	0.038	25.981	128.184

Combinazione Rara: σ_{ca} [kg/cmq]=78 σ_{fa} [kg/cmq]=2800

X	N	My	Mz	σ_{\max}	$\sigma_{f\max}$	Cb	Ver.	Cs
cm	kg	kg*m	kg*m	kg/cmq	kg/cmq			
0.0	-2886	-20	-0	-2	-21	29	Si	48
0.0	-3135	-22	0	-2	-23	24	Si	44
300.0	-3930	92	5	-3	-22	27	Si	29
300.0	-4508	116	5	-3	-24	25	Si	25

Combinazione QP: σ_{ca} [kg/cmq]=59 σ_{fa} [kg/cmq]=2800

X	N	My	Mz	σ_{\max}	$\sigma_{f\max}$	Cb	Ver.	Cs
cm	kg	kg*m	kg*m	kg/cmq	kg/cmq			
0.0	-2765	-18	0	-2	-20	38	Si	37
300.0	-3743	85	4	-3	-21	38	Si	23

Verifica aperture fessure: Wamm_Freq[mm]=0.400 Wamm_Qp[mm]=0.300

X	N	My	Mz	Act	Aft	pAft	$S_{r,\max}$	σ_{fmed}	Wd	Wk	Cb	Ver.	Cs
cm	kg	kg*m	kg*m	mq	cmq	cm	cm	kg/cmq	mm	mm			
0.0	-2765	-18	0	0.0	0.00	0.00	0.0	0	0.000	0.000	38(Qp)	Si	>100
0.0	-2765	-18	0	0.0	0.00	0.00	0.0	0	0.000	0.000	37(Fr)	Si	>100
300.0	-3743	85	4	0.0	0.00	0.00	0.0	0	0.000	0.000	38(Qp)	Si	>100
300.0	-3764	86	4	0.0	0.00	0.00	0.0	0	0.000	0.000	33(Fr)	Si	>100

Pilastro : 25 [867 , 26]

Sez. R: By= 40.0 cm Bz=40.0 cm L=80.0 cm Ln=80.0 cm L2=80.0 cm L3=80.0 cm

Criterio : CLS_Pilastr-Esist

Zona[cm]	Armature[cmq]
0.0	AfSpigolo = 2.54 Afy = 2.54 Afz = 2.54
80.0	AfSpigolo = 2.54 Afy = 2.54 Afz = 2.54

Verifica snellezza: fcd=74 [kg/cmq] **Verificato**

Cb	N	fcd*Ac	v	λ_{\max}	λ_{lim}
----	---	--------	---	------------------	-----------------

Cb	N	fcd*Ac	v	λ_{max}	λ_{lim}
	kg	kg			
25	6523	118524	0.055	6.928	106.568

Combinazione Rara: $\sigma_{ca}[\text{kg/cm}^2]=78$ $\sigma_{fa}[\text{kg/cm}^2]=2800$

X	N	My	Mz	σ_{cmax}	σ_{fmax}	Cb	Ver.	Cs
cm	kg	kg*m	kg*m	kg/cm ²	kg/cm ²			
0.0	-4395	73	8	-3	-27	27	Si	27
0.0	-5053	95	9	-3	-30	24	Si	23
80.0	-5640	152	10	-4	-29	27	Si	19
80.0	-6523	203	12	-5	-31	25	Si	16

Combinazione QP: $\sigma_{ca}[\text{kg/cm}^2]=59$ $\sigma_{fa}[\text{kg/cm}^2]=2800$

X	N	My	Mz	σ_{cmax}	σ_{fmax}	Cb	Ver.	Cs
cm	kg	kg*m	kg*m	kg/cm ²	kg/cm ²			
0.0	-4193	68	8	-3	-26	38	Si	22
80.0	-5369	139	8	-4	-28	38	Si	15

Verifica aperture fessure: Wamm_Freq[mm]=0.400 Wamm_Qp[mm]=0.300

X	N	My	Mz	Act	Aft	pAft	$S_{r,max}$	σ_{fmed}	Wd	Wk	Cb	Ver.	Cs
cm	kg	kg*m	kg*m	m	cm	cm	cm	kg/cm ²	mm	mm			
0.0	-4193	68	8	0.0	0.00	0.00	0.0	0	0.000	0.000	38(Qp)	Si	>100
0.0	-4193	68	8	0.0	0.00	0.00	0.0	0	0.000	0.000	37(Fr)	Si	>100
80.0	-5369	139	8	0.0	0.00	0.00	0.0	0	0.000	0.000	38(Qp)	Si	>100
80.0	-5389	139	8	0.0	0.00	0.00	0.0	0	0.000	0.000	33(Fr)	Si	>100

Pilastro : 35 [35 , 818]

Sez. R: $B_y=40.0\text{ cm}$ $B_z=40.0\text{ cm}$ $L=80.0\text{ cm}$ $L_n=80.0\text{ cm}$ $L_2=80.0\text{ cm}$ $L_3=80.0\text{ cm}$

Criterio : CLS_Pilastri-Esist

Zona[cm]	Armature[cm]
0.0	AfSpigolo = 2.54 Afy = 2.54 Afz = 2.54
80.0	AfSpigolo = 2.54 Afy = 2.54 Afz = 2.54

Verifica snellezza: fcd=74 [kg/cm²]**Verificato**

Cb	N	fcd*Ac	v	λ_{max}	λ_{lim}
	kg	kg			
24	9446	118524	0.080	6.928	88.557

Combinazione Rara: $\sigma_{ca}[\text{kg/cm}^2]=78$ $\sigma_{fa}[\text{kg/cm}^2]=2800$

X	N	My	Mz	σ_{cmax}	σ_{fmax}	Cb	Ver.	Cs
cm	kg	kg*m	kg*m	kg/cm ²	kg/cm ²			
0.0	-8835	-212	-524	-10	1	29	Si	8.2
0.0	-9446	-201	-563	-10	-1	24	Si	7.8
80.0	-5125	-318	9	-5	-9	31	Si	16
80.0	-5514	-332	5	-5	-11	25	Si	15

Combinazione QP: $\sigma_{ca}[\text{kg/cm}^2]=59$ $\sigma_{fa}[\text{kg/cm}^2]=2800$

X	N	My	Mz	σ_{cmax}	σ_{fmax}	Cb	Ver.	Cs
cm	kg	kg*m	kg*m	kg/cm ²	kg/cm ²			
0.0	-8526	-212	-504	-9	2	38	Si	6.3
80.0	-4941	-311	9	-5	-8	38	Si	12

Verifica aperture fessure: Wamm_Freq[mm]=0.400 Wamm_Qp[mm]=0.300

X	N	My	Mz	Act	Aft	pAft	$S_{r,max}$	σ_{fmed}	Wd	Wk	Cb	Ver.	Cs
cm	kg	kg*m	kg*m	m	cm	cm	cm	kg/cm ²	mm	mm			

X	N	My	Mz	Act	Aft	pAft	S _{r,max}	σ _{fmed}	Wd	Wk	Cb	Ver.	Cs
0.0	-8526	-212	-504	0.0	2.71	6.02	7.0	2	0.000	0.000	38(Qp)	Si	>100
0.0	-8617	-214	-510	0.0	2.71	6.03	7.0	2	0.000	0.000	33(Fr)	Si	>100
80.0	-4941	-311	9	0.0	0.00	0.00	0.0	0	0.000	0.000	38(Qp)	Si	>100
80.0	-4991	-313	9	0.0	0.00	0.00	0.0	0	0.000	0.000	33(Fr)	Si	>100

Pilastro : 35 [36 , 46]

Sez. R: By= 40.0 cm Bz=40.0 cm L=250.0 cm Ln=250.0 cm L2=250.0 cm L3=250.0 cm

Criterio : CLS_Pilastr-Esist

Zona[cm]	Armature[cmq]
0.0	AfSpigolo = 2.54 Afy = 0.00 Afz = 5.09
250.0	AfSpigolo = 2.54 Afy = 0.00 Afz = 5.09

Verifica snellezza: fcd=74 [kg/cmq] **Verificato**

Cb	N	fcd*Ac	v	λ _{max}	λ _{lim}
	kg	kg			
37	4360	118524	0.037	21.651	130.343

Combinazione Rara: σ_{ca}[kg/cmq]=78 σ_{fa}[kg/cmq]=2800

X	N	My	Mz	σ _{cmax}	σ _{fmax}	Cb	Ver.	Cs
cm	kg	kg*m	kg*m	kg/cmq	kg/cmq			
0.0	-4142	-473	-404	-9	83	24	Si	8.5
250.0	-3306	-958	107	-12	232	27	Si	6.3

Combinazione QP: σ_{ca}[kg/cmq]=59 σ_{fa}[kg/cmq]=2800

X	N	My	Mz	σ _{cmax}	σ _{fmax}	Cb	Ver.	Cs
cm	kg	kg*m	kg*m	kg/cmq	kg/cmq			
0.0	-4360	-51	-311	-5	-2	38	Si	13
250.0	-3360	-1052	50	-13	257	38	Si	4.6

Verifica aperture fessure: Wamm_Freq[mm]=0.400 Wamm_Qp[mm]=0.300

X	N	My	Mz	Act	Aft	pAft	S _{r,max}	σ _{fmed}	Wd	Wk	Cb	Ver.	Cs
cm	kg	kg*m	kg*m	m	cmq	cm	cm	kg/cmq	mm	mm			
0.0	-4360	-51	-311	0.0	0.00	0.00	0.0	0	0.000	0.000	38(Qp)	Si	>100
0.0	-4343	-87	-315	0.0	3.29	7.31	7.3	3	0.000	0.000	34(Fr)	Si	>100
250.0	-3360	-1052	50	0.0	11.08	24.62	15.9	179	0.008	0.008	38(Qp)	Si	37
250.0	-3356	-1052	64	0.0	11.08	24.63	15.9	179	0.008	0.008	33(Fr)	Si	49

Pilastro : 35 [818 , 824]

Sez. R: By= 40.0 cm Bz=40.0 cm L=300.0 cm Ln=300.0 cm L2=300.0 cm L3=300.0 cm

Criterio : CLS_Pilastr-Esist

Zona[cm]	Armature[cmq]
0.0	AfSpigolo = 2.54 Afy = 2.54 Afz = 2.54
300.0	AfSpigolo = 2.54 Afy = 2.54 Afz = 2.54

Verifica snellezza: fcd=74 [kg/cmq] **Verificato**

Cb	N	fcd*Ac	v	λ _{max}	λ _{lim}
	kg	kg			
24	4694	118524	0.040	25.981	125.628

Combinazione Rara: σ_{ca}[kg/cmq]=78 σ_{fa}[kg/cmq]=2800

X	N	My	Mz	σ _{cmax}	σ _{fmax}	Cb	Ver.	Cs
cm	kg	kg*m	kg*m	kg/cmq	kg/cmq			
0.0	-4384	-280	-135	-5	6	29	Si	15
0.0	-4694	-295	-141	-5	5	24	Si	14

X	N	My	Mz	σ_{\max}	$\sigma_{f\max}$	Cb	Ver.	Cs
300.0	-3313	-347	-34	-4	14	25	Si	18

Combinazione QP: $\sigma_{ca}[\text{kg/cm}^2]=59$ $\sigma_{fa}[\text{kg/cm}^2]=2800$

X	N	My	Mz	σ_{\max}	$\sigma_{f\max}$	Cb	Ver.	Cs
cm	kg	kg*m	kg*m	kg/cm ²	kg/cm ²			
0.0	-4239	-273	-130	-5	6	38	Si	12
300.0	-3007	-268	-28	-4	5	38	Si	16

Verifica aperture fessure: $W_{amm_Freq}[\text{mm}]=0.400$ $W_{amm_Qp}[\text{mm}]=0.300$

X	N	My	Mz	Act	Aft	pAft	$S_{r,\max}$	σ_{fmed}	Wd	Wk	Cb	Ver.	Cs
cm	kg	kg*m	kg*m	mq	cmq	cm	cm	kg/cm ²	mm	mm			
0.0	-4239	-273	-130	0.0	3.39	7.53	7.3	6	0.000	0.000	38(Qp)	Si	>100
0.0	-4278	-275	-132	0.0	3.39	7.53	7.3	6	0.000	0.000	33(Fr)	Si	>100
300.0	-3007	-268	-28	0.0	5.24	11.64	9.2	4	0.000	0.000	38(Qp)	Si	>100
300.0	-3007	-268	-28	0.0	5.24	11.64	9.2	4	0.000	0.000	35(Fr)	Si	>100

Pilastro : 35 [824 , 36]

Sez. R: $B_y = 40.0 \text{ cm}$ $B_z = 40.0 \text{ cm}$ $L = 80.0 \text{ cm}$ $L_n = 80.0 \text{ cm}$ $L_2 = 80.0 \text{ cm}$ $L_3 = 80.0 \text{ cm}$

Criterio : CLS_Pilastr-Esist

Zona[cm]	Armature[cmq]
0.0	AfSpigolo = 2.54 $A_{fy} = 2.54$ $A_{fz} = 2.54$
80.0	AfSpigolo = 2.54 $A_{fy} = 2.54$ $A_{fz} = 2.54$

Verifica snellezza: $f_{cd} = 74 [\text{kg/cm}^2]$ **Verificato**

Cb	N	$f_{cd} \cdot A_c$	v	λ_{\max}	λ_{\lim}
	kg	kg			
25	5845	118524	0.049	6.928	112.573

Combinazione Rara: $\sigma_{ca}[\text{kg/cm}^2]=78$ $\sigma_{fa}[\text{kg/cm}^2]=2800$

X	N	My	Mz	σ_{\max}	$\sigma_{f\max}$	Cb	Ver.	Cs
cm	kg	kg*m	kg*m	kg/cm ²	kg/cm ²			
0.0	-4169	-285	-24	-4	-3	24	Si	18
80.0	-5845	-794	-117	-10	66	25	Si	7.9

Combinazione QP: $\sigma_{ca}[\text{kg/cm}^2]=59$ $\sigma_{fa}[\text{kg/cm}^2]=2800$

X	N	My	Mz	σ_{\max}	$\sigma_{f\max}$	Cb	Ver.	Cs
cm	kg	kg*m	kg*m	kg/cm ²	kg/cm ²			
0.0	-3715	-207	-25	-4	-7	38	Si	17
80.0	-5041	-533	-109	-7	28	38	Si	8.2

Verifica aperture fessure: $W_{amm_Freq}[\text{mm}]=0.400$ $W_{amm_Qp}[\text{mm}]=0.300$

X	N	My	Mz	Act	Aft	pAft	$S_{r,\max}$	σ_{fmed}	Wd	Wk	Cb	Ver.	Cs
cm	kg	kg*m	kg*m	mq	cmq	cm	cm	kg/cm ²	mm	mm			
0.0	-3715	-207	-25	0.0	0.00	0.00	0.0	0	0.000	0.000	38(Qp)	Si	>100
0.0	-3715	-207	-25	0.0	0.00	0.00	0.0	0	0.000	0.000	37(Fr)	Si	>100
80.0	-5041	-533	-109	0.0	8.40	18.67	10.3	17	0.000	0.000	38(Qp)	Si	>100
80.0	-5100	-555	-109	0.0	8.48	18.85	10.5	19	0.001	0.001	34(Fr)	Si	>100

Pilastro : 37 [37 , 819]

Sez. R: $B_y = 40.0 \text{ cm}$ $B_z = 40.0 \text{ cm}$ $L = 80.0 \text{ cm}$ $L_n = 80.0 \text{ cm}$ $L_2 = 80.0 \text{ cm}$ $L_3 = 80.0 \text{ cm}$

Criterio : CLS_Pilastr-Esist

Zona[cm]	Armature[cmq]
0.0	AfSpigolo = 2.54 $A_{fy} = 2.54$ $A_{fz} = 2.54$

80.0	AfSpigolo = 2.54	Afy = 2.54	Afz = 2.54
------	------------------	------------	------------

Verifica snellezza: fcd=74 [kg/cm²]**Verificato**

Cb	N	fcd*Ac	v	λ _{max}	λ _{lim}
	kg	kg			
24	2592	118524	0.022	6.928	169.049

Combinazione Rara: σ_{ca}[kg/cm²]=78 σ_{fa}[kg/cm²]=2800

X	N	My	Mz	σ _{cmax}	σ _{fmax}	Cb	Ver.	Cs
cm	kg	kg*m	kg*m	kg/cm ²	kg/cm ²			
0.0	-2592	-154	-174	-4	13	24	Si	22
80.0	-1913	-192	-32	-3	8	28	Si	31
80.0	-2059	-202	-32	-3	8	25	Si	29

Combinazione QP: σ_{ca}[kg/cm²]=59 σ_{fa}[kg/cm²]=2800

X	N	My	Mz	σ _{cmax}	σ _{fmax}	Cb	Ver.	Cs
cm	kg	kg*m	kg*m	kg/cm ²	kg/cm ²			
0.0	-2370	-142	-157	-3	12	38	Si	18
80.0	-1841	-184	-31	-2	8	38	Si	24

Verifica aperture fessure:Wamm_Freq[mm]=0.400 Wamm_Qp[mm]=0.300

X	N	My	Mz	Act	Aft	pAft	S _{r,max}	σ _{fmed}	Wd	Wk	Cb	Ver.	Cs
cm	kg	kg*m	kg*m	m ²	cm ²	cm	cm	kg/cm ²	mm	mm			
0.0	-2370	-142	-157	0.0	4.53	10.07	7.2	12	0.000	0.000	38(Qp)	Si	>100
0.0	-2392	-144	-158	0.0	4.53	10.07	7.2	12	0.000	0.000	33(Fr)	Si	>100
80.0	-1841	-184	-31	0.0	8.23	18.29	9.7	4	0.000	0.000	38(Qp)	Si	>100
80.0	-1859	-186	-31	0.0	8.23	18.29	9.7	4	0.000	0.000	33(Fr)	Si	>100

Pilastro : 37 [819 , 825]

Sez. R: By= 40.0 cm Bz=40.0 cm L=300.0 cm Ln=300.0 cm L2=300.0 cm L3=300.0 cm

Criterio : CLS_Pilastris-Esist

Zona[cm]	Armature[cm ²]
0.0	AfSpigolo = 2.54 Afy = 2.54 Afz = 2.54
300.0	AfSpigolo = 2.54 Afy = 2.54 Afz = 2.54

Verifica snellezza: fcd=74 [kg/cm²]**Verificato**

Cb	N	fcd*Ac	v	λ _{max}	λ _{lim}
	kg	kg			
24	2347	118524	0.020	25.981	177.661

Combinazione Rara: σ_{ca}[kg/cm²]=78 σ_{fa}[kg/cm²]=2800

X	N	My	Mz	σ _{cmax}	σ _{fmax}	Cb	Ver.	Cs
cm	kg	kg*m	kg*m	kg/cm ²	kg/cm ²			
0.0	-2347	-243	-30	-3	10	24	Si	25
300.0	-1712	-172	-17	-2	6	27	Si	35
300.0	-1927	-188	-15	-2	5	25	Si	32

Combinazione QP: σ_{ca}[kg/cm²]=59 σ_{fa}[kg/cm²]=2800

X	N	My	Mz	σ _{cmax}	σ _{fmax}	Cb	Ver.	Cs
cm	kg	kg*m	kg*m	kg/cm ²	kg/cm ²			
0.0	-2097	-220	-27	-3	9	38	Si	21
300.0	-1573	-154	-16	-2	5	38	Si	29

Verifica aperture fessure:Wamm_Freq[mm]=0.400 Wamm_Qp[mm]=0.300

X	N	My	Mz	Act	Aft	pAft	S _{r,max}	σ _{fmed}	Wd	Wk	Cb	Ver.	Cs
---	---	----	----	-----	-----	------	--------------------	-------------------	----	----	----	------	----

X	N	My	Mz	Act	Aft	pAft	S _{r,max}	σ _{fmed}	Wd	Wk	Cb	Ver.	Cs
cm	kg	kg*m	kg*m	mq	cmq	cm	cm	kg/cmq	mm	mm			
0.0	-2097	-220	-27	0.0	8.35	18.57	10.1	6	0.000	0.000	38(Qp)	Si	>100
0.0	-2115	-221	-27	0.0	8.35	18.56	10.1	6	0.000	0.000	33(Fr)	Si	>100
300.0	-1573	-154	-16	0.0	8.16	18.13	9.4	3	0.000	0.000	38(Qp)	Si	>100
300.0	-1597	-157	-16	0.0	8.17	18.15	9.4	3	0.000	0.000	34(Fr)	Si	>100

Pilastro : 37 [825 , 38]

Sez. R: By= 40.0 cm Bz=40.0 cm L=80.0 cm Ln=80.0 cm L2=80.0 cm L3=80.0 cm

Criterio : CLS_Pilastr-Esist

Zona[cm]	Armature[cmq]		
0.0	AfSpigolo = 2.54	Afy = 2.54	Afz = 2.54
80.0	AfSpigolo = 2.54	Afy = 2.54	Afz = 2.54

Verifica snellezza: fcd=74 [kg/cmq] **Verificato**

Cb	N	fcd*Ac	v	λ _{max}	λ _{lim}
	kg	kg			
25	3468	118524	0.029	6.928	146.152

Combinazione Rara: σ_{ca}[kg/cmq]=78 σ_{fa}[kg/cmq]=2800

X	N	My	Mz	σ _{cmax}	σ _{fmax}	Cb	Ver.	Cs
cm	kg	kg*m	kg*m	kg/cmq	kg/cmq			
0.0	-2073	-154	-11	-2	-0	27	Si	36
0.0	-2356	-175	-11	-2	-1	24	Si	31
80.0	-3468	-720	-92	-9	108	25	Si	9.1

Combinazione QP: σ_{ca}[kg/cmq]=59 σ_{fa}[kg/cmq]=2800

X	N	My	Mz	σ _{cmax}	σ _{fmax}	Cb	Ver.	Cs
cm	kg	kg*m	kg*m	kg/cmq	kg/cmq			
0.0	-1882	-132	-10	-2	-1	38	Si	30
80.0	-2633	-517	-84	-6	76	38	Si	9.2

Verifica aperture fessure: Wamm_Freq[mm]=0.400 Wamm_Qp[mm]=0.300

X	N	My	Mz	Act	Aft	pAft	S _{r,max}	σ _{fmed}	Wd	Wk	Cb	Ver.	Cs
cm	kg	kg*m	kg*m	mq	cmq	cm	cm	kg/cmq	mm	mm			
0.0	-1882	-132	-10	0.0	0.00	0.00	0.0	0	0.000	0.000	38(Qp)	Si	>100
0.0	-1882	-132	-10	0.0	0.00	0.00	0.0	0	0.000	0.000	37(Fr)	Si	>100
80.0	-2633	-517	-84	0.0	9.90	22.00	14.6	49	0.002	0.002	38(Qp)	Si	>100
80.0	-2696	-534	-84	0.0	9.91	22.03	14.7	51	0.002	0.002	34(Fr)	Si	>100

Pilastro : 41 [41 , 838]

Sez. R: By= 40.0 cm Bz=40.0 cm L=80.0 cm Ln=80.0 cm L2=80.0 cm L3=80.0 cm

Criterio : CLS_Pilastr-Esist

Zona[cm]	Armature[cmq]		
0.0	AfSpigolo = 2.54	Afy = 2.54	Afz = 2.54
80.0	AfSpigolo = 2.54	Afy = 2.54	Afz = 2.54

Verifica snellezza: fcd=74 [kg/cmq] **Verificato**

Cb	N	fcd*Ac	v	λ _{max}	λ _{lim}
	kg	kg			
24	6094	118524	0.051	6.928	110.255

Combinazione Rara: σ_{ca}[kg/cmq]=78 σ_{fa}[kg/cmq]=2800

X	N	My	Mz	σ _{cmax}	σ _{fmax}	Cb	Ver.	Cs
cm	kg	kg*m	kg*m	kg/cmq	kg/cmq			

X	N	My	Mz	σ_{max}	σ_{fmax}	Cb	Ver.	Cs
0.0	-5788	-381	-147	-7	5	27	Si	12
0.0	-6094	-396	-155	-7	5	24	Si	11
80.0	-3349	95	32	-3	-14	28	Si	30
80.0	-3684	98	32	-3	-16	25	Si	28

Combinazione QP: $\sigma_{\text{ca}}[\text{kg/cm}^2]=59$ $\sigma_{\text{fa}}[\text{kg/cm}^2]=2800$

X	N	My	Mz	σ_{max}	σ_{fmax}	Cb	Ver.	Cs
cm	kg	kg*m	kg*m	kg/cm ²	kg/cm ²			
0.0	-5357	-340	-136	-6	4	38	Si	9.8
80.0	-3181	92	29	-2	-13	38	Si	24

Verifica aperture fessure: $W_{\text{amm_Freq}}[\text{mm}]=0.400$ $W_{\text{amm_Qp}}[\text{mm}]=0.300$

X	N	My	Mz	Act	Aft	pAft	$S_{r,\text{max}}$	σ_{fmed}	Wd	Wk	Cb	Ver.	Cs
cm	kg	kg*m	kg*m	m ²	cm ²	cm	cm	kg/cm ²	mm	mm			
0.0	-5357	-340	-136	0.0	3.06	6.79	7.4	4	0.000	0.000	38(Qp)	Si	>100
0.0	-5480	-352	-139	0.0	3.11	6.92	7.4	4	0.000	0.000	33(Fr)	Si	>100
80.0	-3181	92	29	0.0	0.00	0.00	0.0	0	0.000	0.000	38(Qp)	Si	>100
80.0	-3252	92	30	0.0	0.00	0.00	0.0	0	0.000	0.000	33(Fr)	Si	>100

Pilastro : 41 [42 , 803]

Sez. R: $B_y = 40.0 \text{ cm}$ $B_z = 40.0 \text{ cm}$ $L = 218.7 \text{ cm}$ $L_n = 218.7 \text{ cm}$ $L_2 = 218.7 \text{ cm}$ $L_3 = 218.7 \text{ cm}$

Criterio : CLS_Pilastri-Exist

Zona[cm]	Armature[cm ²]
0.0	AfSpigolo = 2.54 Afy = 0.00 Afz = 5.09
218.7	AfSpigolo = 2.54 Afy = 0.00 Afz = 5.09

Verifica snellezza: $f_{\text{cd}}=74$ [kg/cm²] **Verificato**

Cb	N	fcd*Ac	v	λ_{max}	λ_{lim}
	kg	kg			
24	13545	118524	0.114	18.942	73.953

Combinazione Rara: $\sigma_{\text{ca}}[\text{kg/cm}^2]=78$ $\sigma_{\text{fa}}[\text{kg/cm}^2]=2800$

X	N	My	Mz	σ_{max}	σ_{fmax}	Cb	Ver.	Cs
cm	kg	kg*m	kg*m	kg/cm ²	kg/cm ²			
0.0	-11803	-141	-227	-9	-58	27	Si	9.1
0.0	-13545	-80	-192	-9	-81	24	Si	8.8
218.7	-10928	481	1342	-19	112	27	Si	4.2

Combinazione QP: $\sigma_{\text{ca}}[\text{kg/cm}^2]=59$ $\sigma_{\text{fa}}[\text{kg/cm}^2]=2800$

X	N	My	Mz	σ_{max}	σ_{fmax}	Cb	Ver.	Cs
cm	kg	kg*m	kg*m	kg/cm ²	kg/cm ²			
0.0	-10869	-58	-240	-8	-58	38	Si	7.7
218.7	-9994	262	1345	-16	95	38	Si	3.6

Verifica aperture fessure: $W_{\text{amm_Freq}}[\text{mm}]=0.400$ $W_{\text{amm_Qp}}[\text{mm}]=0.300$

X	N	My	Mz	Act	Aft	pAft	$S_{r,\text{max}}$	σ_{fmed}	Wd	Wk	Cb	Ver.	Cs
cm	kg	kg*m	kg*m	m ²	cm ²	cm	cm	kg/cm ²	mm	mm			
0.0	-10869	-58	-240	0.0	0.00	0.00	0.0	0	0.000	0.000	38(Qp)	Si	>100
0.0	-10869	-58	-240	0.0	0.00	0.00	0.0	0	0.000	0.000	37(Fr)	Si	>100
218.7	-9994	262	1345	0.0	10.18	22.62	11.0	61	0.002	0.002	38(Qp)	Si	>100
218.7	-9958	270	1347	0.0	10.18	22.62	11.0	62	0.002	0.002	33(Fr)	Si	>100

Pilastro : 41 [838 , 839]

Sez. R: $B_y = 40.0 \text{ cm}$ $B_z = 40.0 \text{ cm}$ $L = 300.0 \text{ cm}$ $L_n = 300.0 \text{ cm}$ $L_2 = 300.0 \text{ cm}$ $L_3 = 300.0 \text{ cm}$

Criterio : CLS_Pilastr-Esist

Zona[cm]	Armature[cmq]		
0.0	AfSpigolo = 2.54	Afy = 2.54	Afz = 2.54
300.0	AfSpigolo = 2.54	Afy = 2.54	Afz = 2.54

Verifica snellezza: fcd=74 [kg/cm²]**Verificato**

Cb	N	fcd*Ac	v	λmax	λlim
	kg	kg			
25	7901	118524	0.067	25.981	96.829

Combinazione Rara: σca[kg/cm²]=78 σfa[kg/cm²]=2800

X	N	My	Mz	σcmax	σfmax	Cb	Ver.	Cs
cm	kg	kg*m	kg*m	kg/cm ²	kg/cm ²			
0.0	-3658	244	-97	-4	4	28	Si	19
0.0	-4020	257	-103	-5	3	24	Si	17
300.0	-6955	-222	-78	-6	-26	31	Si	14
300.0	-7901	-249	-98	-6	-29	25	Si	12

Combinazione QP: σca[kg/cm²]=59 σfa[kg/cm²]=2800

X	N	My	Mz	σcmax	σfmax	Cb	Ver.	Cs
cm	kg	kg*m	kg*m	kg/cm ²	kg/cm ²			
0.0	-3472	233	-91	-4	4	38	Si	15
300.0	-6646	-211	-79	-5	-24	38	Si	11

Verifica aperture fessure:Wamm_Freq[mm]=0.400 Wamm_Qp[mm]=0.300

X	N	My	Mz	Act	Aft	pAft	S _{r,max}	σfmed	Wd	Wk	Cb	Ver.	Cs
cm	kg	kg*m	kg*m	m ²	cm ²	cm	cm	kg/cm ²	mm	mm			
0.0	-3472	233	-91	0.0	3.34	7.43	7.4	4	0.000	0.000	38(Qp)	Si	>100
0.0	-3531	235	-94	0.0	3.33	7.39	7.4	4	0.000	0.000	33(Fr)	Si	>100
300.0	-6646	-211	-79	0.0	0.00	0.00	0.0	0	0.000	0.000	38(Qp)	Si	>100
300.0	-6681	-213	-75	0.0	0.00	0.00	0.0	0	0.000	0.000	33(Fr)	Si	>100

Pilastro : 41 [839 , 42]

Sez. R: By= 40.0 cm Bz=40.0 cm L=80.0 cm Ln=80.0 cm L2=80.0 cm L3=80.0 cm

Criterio : CLS_Pilastr-Esist

Zona[cm]	Armature[cmq]		
0.0	AfSpigolo = 2.54	Afy = 2.54	Afz = 2.54
80.0	AfSpigolo = 2.54	Afy = 2.54	Afz = 2.54

Verifica snellezza: fcd=74 [kg/cm²]**Verificato**

Cb	N	fcd*Ac	v	λmax	λlim
	kg	kg			
25	13373	118524	0.113	6.928	74.426

Combinazione Rara: σca[kg/cm²]=78 σfa[kg/cm²]=2800

X	N	My	Mz	σcmax	σfmax	Cb	Ver.	Cs
cm	kg	kg*m	kg*m	kg/cm ²	kg/cm ²			
0.0	-10346	328	-142	-9	-36	29	Si	9.1
0.0	-11699	351	-156	-10	-43	24	Si	8.2
80.0	-11765	-500	-292	-12	-16	31	Si	6.8
80.0	-13373	-530	-335	-13	-22	25	Si	6.1

Combinazione QP: σca[kg/cm²]=59 σfa[kg/cm²]=2800

X	N	My	Mz	σcmax	σfmax	Cb	Ver.	Cs
cm	kg	kg*m	kg*m	kg/cm ²	kg/cm ²			

X	N	My	Mz	σ_{max}	σ_{fmax}	Cb	Ver.	Cs
0.0	-9944	320	-137	-8	-34	38	Si	7.1
80.0	-11320	-499	-281	-11	-14	38	Si	5.2

Verifica aperture fessure: Wamm_Freq[mm]=0.400 Wamm_Qp[mm]=0.300

X	N	My	Mz	Act	Aft	pAft	$S_{r,\text{max}}$	σ_{fmed}	Wd	Wk	Cb	Ver.	Cs
cm	kg	kg*m	kg*m	m	cm	cm	cm	kg/cm	mm	mm			
0.0	-9944	320	-137	0.0	0.00	0.00	0.0	0	0.000	0.000	38(Qp)	Si	>100
0.0	-9944	320	-137	0.0	0.00	0.00	0.0	0	0.000	0.000	37(Fr)	Si	>100
80.0	-11320	-499	-281	0.0	0.00	0.00	0.0	0	0.000	0.000	38(Qp)	Si	>100
80.0	-11330	-494	-280	0.0	0.00	0.00	0.0	0	0.000	0.000	33(Fr)	Si	>100

Verifica dei Muri (Stati limite esercizio)

Scenario di calcolo : Scenario di calcolo N.T. 2018

Simbologia:

P. : Numero pannello
 Nx[kg/mq] : Sforzo normale in direzione x
 Ny[kg/mq] : Sforzo normale in direzione y
 Nxy[kg/mq] : Sforzo tagliante in direzione xy
 Mx[kg] : Momento flettente in direzione x
 My[kg] : Momento flettente in direzione y
 Mxy[kg] : Momento torcente
 Afx[cmq/m] : Area acciaio in direzione x per metro lineare
 Afy[cmq/m] : Area acciaio in direzione y per metro lineare
 σ_{max} [kg/cm] : Tensione massima nel calcestruzzo
 σ_{fmax} [kg/cm] : Tensione massima nell'acciaio
 σ_{c} [kg/cm] : Tensione nel calcestruzzo compresso
 σ_{ct} [kg/cm] : Tensione nel calcestruzzo teso (quando richiesto dalla verifica)
 σ_{ca} [kg/cm] : Tensione ammissibile nel calcestruzzo
 σ_{fa} [kg/cm] : Tensione ammissibile nell'acciaio
 σ_{cta} [kg/cm] : Tensione ammissibile nel calcestruzzo teso
 Cbc : Combinazione generatore tensione massima cls
 Cbf : Combinazione generatore tensione massima acciaio
 Cb : Combinazione
 σ_{fmed} [kg/cm] : Tensione media dell'acciaio
 Wd[mm] : Apertura delle fessure
 Wk[mm] : Apertura caratteristica delle fessure
 Wamm_Freq[mm]: Apertura ammissibile delle fessure per combinazione Frequente
 Wamm_Qp[mm] : Apertura ammissibile delle fessure per combinazione Quasi Permanente
 Wamm_Rara[mm]: Apertura ammissibile delle fessure per combinazione Rara
 Cs : Coefficiente di sicurezza definito come minimo di $\sigma_{\text{Amm}}/\sigma$ tra acciaio e calcestruzzo oppure Wamm/Wk
 Muro : 1 - Nodi : [1 - 805 - 10 - 809]

Pann.X=4 Pann.Y=4 Spess.= 30 cm Criterio CLS_Muri_Esist Materiale: C20/25rcm=200
 [kg/cm], fym=4200 [kg/cm], FC=1.20 qd=2.5, qf=1.5 :

Armatura a maglia doppia, Stampa elementi piu' gravosi
 Combinazione Rara: σ_{ca} [kg/cm]=83 σ_{fa} [kg/cm]=2800

P.	Nx	Ny	Nxy	Mx	My	Mxy	Afx	Afy	σ_{max}	σ_{fmax}	Cbc	Cbf	Ver	Cs
	kg/m	kg/m	kg/m	kg	kg	kg	cm/m	cm/m	kg/cm	kg/cm				
16	35021	-68019	4758	-107	241	-38	31.42	31.42	-7	362	28	32	Si	7.7

Combinazione QP: σ_{ca} [kg/cmq]=62 σ_{fa} [kg/cmq]=2800

P.	Nx	Ny	Nxy	Mx	My	Mxy	Afx	Afy	σ_{cmax}	σ_{fmax}	Cbc	Cbf	Ver	Cs
	kg/mq	kg/mq	kg/mq	kg	kg	kg	cmq/m	cmq/m	kg/cmq	kg/cmq				
16	32207	-66200	4504	-102	232	-36	31.42	31.42	-7	335	38	38	Si	8.4

Verifica aperture fessure:Wamm_Freq[mm]=0.400 Wamm_Qp[mm]=0.300

P.	Nx	Ny	Nxy	Mx	My	Mxy	σ_{fmed}	Wd	Wk	Cb	Ver	Cs
	kg/mq	kg/mq	kg/mq	kg	kg	kg	kg/cmq	mm	mm			
16	32207	-66200	4504	-102	232	-36	335	0.036	0.036	38(Qp)	Si	8.3
16	32207	-66200	4504	-102	232	-36	335	0.036	0.036	35(Fr)	Si	11

Muro :2 - Nodi : [805 - 807 - 10 - 10]

Pann.X=4 Pann.Y=4 Spess.= 30 cm Criterio CLS_Muri_Esist Materiale: C20/25rcm=200
[kg/cmq],fym=4200 [kg/cmq], FC=1.20 qd=2.5, qf=1.5 :

Armatura a maglia doppia, Stampa elementi piu' gravosi

Combinazione Rara: σ_{ca} [kg/cmq]=83 σ_{fa} [kg/cmq]=2800

P.	Nx	Ny	Nxy	Mx	My	Mxy	Afx	Afy	σ_{cmax}	σ_{fmax}	Cbc	Cbf	Ver	Cs
	kg/mq	kg/mq	kg/mq	kg	kg	kg	cmq/m	cmq/m	kg/cmq	kg/cmq				
13	-4152	-23236	-40125	28	185	116	31.42	31.42	-3	-19	29	29	Si	28
8	92279	-3216	-365	55	-8	-6	31.42	31.42	-0	896	29	32	Si	3.1

Combinazione QP: σ_{ca} [kg/cmq]=62 σ_{fa} [kg/cmq]=2800

P.	Nx	Ny	Nxy	Mx	My	Mxy	Afx	Afy	σ_{cmax}	σ_{fmax}	Cbc	Cbf	Ver	Cs
	kg/mq	kg/mq	kg/mq	kg	kg	kg	cmq/m	cmq/m	kg/cmq	kg/cmq				
13	-3764	-22076	-37987	27	178	112	31.42	31.42	-3	-18	38	38	Si	22
8	87901	-2949	-266	53	-7	-6	31.42	31.42	-0	853	38	38	Si	3.3

Verifica aperture fessure:Wamm_Freq[mm]=0.400 Wamm_Qp[mm]=0.300

P.	Nx	Ny	Nxy	Mx	My	Mxy	σ_{fmed}	Wd	Wk	Cb	Ver	Cs
	kg/mq	kg/mq	kg/mq	kg	kg	kg	kg/cmq	mm	mm			
8	87901	-2949	-266	53	-7	-6	853	0.099	0.099	38(Qp)	Si	3.0
8	87901	-2949	-266	53	-7	-6	853	0.099	0.099	35(Fr)	Si	4.1

Muro :3 - Nodi : [807 - 3 - 808 - 10]

Pann.X=4 Pann.Y=4 Spess.= 30 cm Criterio CLS_Muri_Esist Materiale: C20/25rcm=200
[kg/cmq],fym=4200 [kg/cmq], FC=1.20 qd=2.5, qf=1.5 :

Armatura a maglia doppia, Stampa elementi piu' gravosi

Combinazione Rara: σ_{ca} [kg/cmq]=83 σ_{fa} [kg/cmq]=2800

P.	Nx	Ny	Nxy	Mx	My	Mxy	Afx	Afy	σ_{cmax}	σ_{fmax}	Cbc	Cbf	Ver	Cs
	kg/mq	kg/mq	kg/mq	kg	kg	kg	cmq/m	cmq/m	kg/cmq	kg/cmq				
4	-51994	-71153	-15958	-23	185	104	31.42	31.42	-7	-81	29	29	Si	12

Combinazione QP: σ_{ca} [kg/cmq]=62 σ_{fa} [kg/cmq]=2800

P.	Nx	Ny	Nxy	Mx	My	Mxy	Afx	Afy	σ_{cmax}	σ_{fmax}	Cbc	Cbf	Ver	Cs
	kg/mq	kg/mq	kg/mq	kg	kg	kg	cmq/m	cmq/m	kg/cmq	kg/cmq				
4	-48063	-67268	-15143	-23	178	100	31.42	31.42	-7	-76	38	38	Si	9.3

Verifica aperture fessure:Wamm_Freq[mm]=0.400 Wamm_Qp[mm]=0.300

P.	Nx	Ny	Nxy	Mx	My	Mxy	σ_{fmed}	Wd	Wk	Cb	Ver	Cs
	kg/mq	kg/mq	kg/mq	kg	kg	kg	kg/cmq	mm	mm			
1	-6146	-27175	-26119	33	247	147	0	0.000	0.000	38(Qp)	Si	>100
1	-6293	-27598	-26477	34	251	149	0	0.000	0.000	33(Fr)	Si	>100

Muro :4 - Nodi : [10 - 808 - 812 - 10]

Pann.X=4 Pann.Y=4 Spess.= 30 cm Criterio CLS_Muri_Esist Materiale: C20/25rcm=200
[kg/cmq],fym=4200 [kg/cmq], FC=1.20 qd=2.5, qf=1.5 :

Armatura a maglia doppia, Stampa elementi piu' gravosi

Combinazione Rara: σ_{ca} [kg/cmq]=83 σ_{fa} [kg/cmq]=2800

P.	Nx	Ny	Nxy	Mx	My	Mxy	Afx	Afy	σ_{cmax}	σ_{fmax}	Cbc	Cbf	Ver	Cs
	kg/mq	kg/mq	kg/mq	kg	kg	kg	cmq/m	cmq/m	kg/cmq	kg/cmq				
4	-13249	-68514	25292	75	406	-141	31.42	31.42	-8	-62	28	24	Si	10
1	-13303	-76803	-27711	-4	113	20	31.42	31.42	-7	-93	29	28	Si	11

Combinazione QP: σ_{ca} [kg/cmq]=62 σ_{fa} [kg/cmq]=2800

P.	Nx	Ny	Nxy	Mx	My	Mxy	Afx	Afy	σ_{cmax}	σ_{fmax}	Cbc	Cbf	Ver	Cs
	kg/mq	kg/mq	kg/mq	kg	kg	kg	cmq/m	cmq/m	kg/cmq	kg/cmq				
4	-12432	-64945	24078	69	377	-131	31.42	31.42	-8	-61	38	38	Si	8.3
1	-12718	-72525	-26040	-4	110	18	31.42	31.42	-7	-87	38	38	Si	9.1

Verifica aperture fessure:Wamm_Freq[mm]=0.400 Wamm_Qp[mm]=0.300

P.	Nx	Ny	Nxy	Mx	My	Mxy	σ_{fmed}	Wd	Wk	Cb	Ver	Cs
	kg/mq	kg/mq	kg/mq	kg	kg	kg	kg/cmq	mm	mm			
1	-12718	-72525	-26040	-4	110	18	0	0.000	0.000	38(Qp)	Si	>100
1	-12936	-73930	-26566	-4	111	19	0	0.000	0.000	33(Fr)	Si	>100

Muro :5 - Nodi : [10 - 812 - 4 - 806]

Pann.X=4 Pann.Y=4 Spess.= 30 cm Criterio CLS_Muri_Esist Materiale: C20/25rcm=200
[kg/cmq],fym=4200 [kg/cmq], FC=1.20 qd=2.5, qf=1.5 :

Armatura a maglia doppia, Stampa elementi piu' gravosi

Combinazione Rara: σ_{ca} [kg/cmq]=83 σ_{fa} [kg/cmq]=2800

P.	Nx	Ny	Nxy	Mx	My	Mxy	Afx	Afy	σ_{cmax}	σ_{fmax}	Cbc	Cbf	Ver	Cs
	kg/mq	kg/mq	kg/mq	kg	kg	kg	cmq/m	cmq/m	kg/cmq	kg/cmq				
16	51589	-728	6992	496	1619	143	31.42	31.42	-12	626	28	32	Si	4.5

Combinazione QP: σ_{ca} [kg/cmq]=62 σ_{fa} [kg/cmq]=2800

P.	Nx	Ny	Nxy	Mx	My	Mxy	Afx	Afy	σ_{cmax}	σ_{fmax}	Cbc	Cbf	Ver	Cs
	kg/mq	kg/mq	kg/mq	kg	kg	kg	cmq/m	cmq/m	kg/cmq	kg/cmq				
16	49437	-407	6542	458	1495	131	31.42	31.42	-11	594	38	38	Si	4.7

Verifica aperture fessure:Wamm_Freq[mm]=0.400 Wamm_Qp[mm]=0.300

P.	Nx	Ny	Nxy	Mx	My	Mxy	σ_{fmed}	Wd	Wk	Cb	Ver	Cs
	kg/mq	kg/mq	kg/mq	kg	kg	kg	kg/cmq	mm	mm			
4	53641	-15629	4659	134	600	-79	548	0.060	0.060	38(Qp)	Si	5.0
4	53606	-15669	4675	136	617	-80	548	0.060	0.060	34(Fr)	Si	6.7

Muro :6 - Nodi : [809 - 10 - 10 - 811]

Pann.X=4 Pann.Y=4 Spess.= 30 cm Criterio CLS_Muri_Esist Materiale: C20/25rcm=200
[kg/cmq],fym=4200 [kg/cmq], FC=1.20 qd=2.5, qf=1.5 :

Armatura a maglia doppia, Stampa elementi piu' gravosi

Combinazione Rara: σ_{ca} [kg/cmq]=83 σ_{fa} [kg/cmq]=2800

P.	Nx	Ny	Nxy	Mx	My	Mxy	Afx	Afy	σ_{cmax}	σ_{fmax}	Cbc	Cbf	Ver	Cs
	kg/mq	kg/mq	kg/mq	kg	kg	kg	cmq/m	cmq/m	kg/cmq	kg/cmq				
13	-16461	-94270	6106	-49	234	59	31.42	31.42	-9	-108	28	28	Si	8.9
2	1741	18202	645	-180	202	-2	31.42	31.42	-1	227	29	32	Si	12

Combinazione QP: $\sigma_{ca}[\text{kg/cm}^2]=62$ $\sigma_{fa}[\text{kg/cm}^2]=2800$

P.	Nx	Ny	Nxy	Mx	My	Mxy	Afx	Afy	σ_{cmax}	σ_{fmax}	Cbc	Cbf	Ver	Cs
	kg/mq	kg/mq	kg/mq	kg	kg	kg	cmq/m	cmq/m	kg/cmq	kg/cmq				
13	-15743	-91573	6302	-47	226	57	31.42	31.42	-9	-105	38	38	Si	6.9
2	1737	17629	1075	-172	193	-0	31.42	31.42	-1	220	38	38	Si	13

Verifica aperture fessure: Wamm_Freq[mm]=0.400 Wamm_Qp[mm]=0.300

P.	Nx	Ny	Nxy	Mx	My	Mxy	σ_{fmed}	Wd	Wk	Cb	Ver	Cs
	kg/mq	kg/mq	kg/mq	kg	kg	kg	kg/cmq	mm	mm			
2	1737	17629	1075	-172	193	-0	220	0.020	0.020	38(Qp)	Si	15
2	1737	17629	1075	-172	193	-0	220	0.020	0.020	35(Fr)	Si	20

Muro :7 - Nodi : [811 - 10 - 804 - 2]

Pann.X=4 Pann.Y=4 Spess.= 30 cm Criterio CLS_Muri_Esist Materiale: C20/25rcm=200
[kg/cmq],fym=4200 [kg/cmq], FC=1.20 qd=2.5, qf=1.5 :

Armatura a maglia doppia, Stampa elementi piu' gravosi

Combinazione Rara: $\sigma_{ca}[\text{kg/cm}^2]=83$ $\sigma_{fa}[\text{kg/cm}^2]=2800$

P.	Nx	Ny	Nxy	Mx	My	Mxy	Afx	Afy	σ_{cmax}	σ_{fmax}	Cbc	Cbf	Ver	Cs
	kg/mq	kg/mq	kg/mq	kg	kg	kg	cmq/m	cmq/m	kg/cmq	kg/cmq				
4	-5370	5987	211	52	1018	-61	31.42	31.42	-7	325	28	32	Si	8.6

Combinazione QP: $\sigma_{ca}[\text{kg/cm}^2]=62$ $\sigma_{fa}[\text{kg/cm}^2]=2800$

P.	Nx	Ny	Nxy	Mx	My	Mxy	Afx	Afy	σ_{cmax}	σ_{fmax}	Cbc	Cbf	Ver	Cs
	kg/mq	kg/mq	kg/mq	kg	kg	kg	cmq/m	cmq/m	kg/cmq	kg/cmq				
4	-5311	5548	24	48	952	-57	31.42	31.42	-7	301	38	38	Si	9.3

Verifica aperture fessure: Wamm_Freq[mm]=0.400 Wamm_Qp[mm]=0.300

P.	Nx	Ny	Nxy	Mx	My	Mxy	σ_{fmed}	Wd	Wk	Cb	Ver	Cs
	kg/mq	kg/mq	kg/mq	kg	kg	kg	kg/cmq	mm	mm			
4	-5311	5548	24	48	952	-57	301	0.021	0.021	38(Qp)	Si	15
4	-5154	5518	167	49	952	-56	301	0.021	0.021	33(Fr)	Si	19

Muro :8 - Nodi : [10 - 10 - 806 - 804]

Pann.X=4 Pann.Y=4 Spess.= 30 cm Criterio CLS_Muri_Esist Materiale: C20/25rcm=200
[kg/cmq],fym=4200 [kg/cmq], FC=1.20 qd=2.5, qf=1.5 :

Armatura a maglia doppia, Stampa elementi piu' gravosi

Combinazione Rara: $\sigma_{ca}[\text{kg/cm}^2]=83$ $\sigma_{fa}[\text{kg/cm}^2]=2800$

P.	Nx	Ny	Nxy	Mx	My	Mxy	Afx	Afy	σ_{cmax}	σ_{fmax}	Cbc	Cbf	Ver	Cs
	kg/mq	kg/mq	kg/mq	kg	kg	kg	cmq/m	cmq/m	kg/cmq	kg/cmq				
8	-55990	-5968	-914	-74	61	5	31.42	31.42	-5	-68	29	28	Si	16
5	70607	-3810	-558	-48	-16	-10	31.42	31.42	-0	687	28	32	Si	4.1

Combinazione QP: $\sigma_{ca}[\text{kg/cm}^2]=62$ $\sigma_{fa}[\text{kg/cm}^2]=2800$

P.	Nx	Ny	Nxy	Mx	My	Mxy	Afx	Afy	σ_{cmax}	σ_{fmax}	Cbc	Cbf	Ver	Cs
	kg/mq	kg/mq	kg/mq	kg	kg	kg	cmq/m	cmq/m	kg/cmq	kg/cmq				
8	-52702	-5524	-649	-70	56	3	31.42	31.42	-5	-64	38	38	Si	13
5	67126	-3581	-439	-45	-15	-10	31.42	31.42	-0	653	38	38	Si	4.3

Verifica aperture fessure: Wamm_Freq[mm]=0.400 Wamm_Qp[mm]=0.300

P.	Nx	Ny	Nxy	Mx	My	Mxy	σ_{fmed}	Wd	Wk	Cb	Ver	Cs
	kg/mq	kg/mq	kg/mq	kg	kg	kg	kg/cmq	mm	mm			
5	67126	-3581	-439	-45	-15	-10	653	0.075	0.075	38(Qp)	Si	4.0

P.	Nx	Ny	Nxy	Mx	My	Mxy	σ_{fmed}	Wd	Wk	Cb	Ver	Cs
5	67126	-3581	-439	-45	-15	-10	653	0.075	0.075	35(Fr)	Si	5.3

Muro :9 - Nodi : [10 - 814 - 3 - 808]

Pann.X=4 Pann.Y=4 Spess.= 30 cm Criterio CLS_Muri_Esist Materiale: C20/25rcm=200
[kg/cmq],fym=4200 [kg/cmq], FC=1.20 qd=2.5, qf=1.5 :

Armatura a maglia doppia, Stampa elementi piu' gravosi
Combinazione Rara: σ_{ca} [kg/cmq]=83 σ_{fa} [kg/cmq]=2800

P.	Nx	Ny	Nxy	Mx	My	Mxy	Afx	Afy	σ_{cmax}	σ_{fmax}	Cbc	Cbf	Ver	Cs
	kg/mq	kg/mq	kg/mq	kg	kg	kg	cmq/m	cmq/m	kg/cmq	kg/cmq				
1	-46780	-44263	15012	-147	34	65	31.42	31.42	-5	-55	29	29	Si	17

Combinazione QP: σ_{ca} [kg/cmq]=62 σ_{fa} [kg/cmq]=2800

P.	Nx	Ny	Nxy	Mx	My	Mxy	Afx	Afy	σ_{cmax}	σ_{fmax}	Cbc	Cbf	Ver	Cs
	kg/mq	kg/mq	kg/mq	kg	kg	kg	cmq/m	cmq/m	kg/cmq	kg/cmq				
1	-44545	-41010	14257	-144	34	63	31.42	31.42	-5	-51	38	38	Si	14

Verifica aperture fessure:Wamm_Freq[mm]=0.400 Wamm_Qp[mm]=0.300

P.	Nx	Ny	Nxy	Mx	My	Mxy	σ_{fmed}	Wd	Wk	Cb	Ver	Cs
	kg/mq	kg/mq	kg/mq	kg	kg	kg	kg/cmq	mm	mm			
1	-44545	-41010	14257	-144	34	63	0	0.000	0.000	38(Qp)	Si	>100
1	-45189	-41895	14485	-145	34	64	0	0.000	0.000	33(Fr)	Si	>100

Muro :10 - Nodi : [10 - 812 - 4 - 815]

Pann.X=4 Pann.Y=4 Spess.= 30 cm Criterio CLS_Muri_Esist Materiale: C20/25rcm=200
[kg/cmq],fym=4200 [kg/cmq], FC=1.20 qd=2.5, qf=1.5 :

Armatura a maglia doppia, Stampa elementi piu' gravosi
Combinazione Rara: σ_{ca} [kg/cmq]=83 σ_{fa} [kg/cmq]=2800

P.	Nx	Ny	Nxy	Mx	My	Mxy	Afx	Afy	σ_{cmax}	σ_{fmax}	Cbc	Cbf	Ver	Cs
	kg/mq	kg/mq	kg/mq	kg	kg	kg	cmq/m	cmq/m	kg/cmq	kg/cmq				
16	38116	2384	877	-272	-1623	-114	31.42	31.42	-12	453	28	32	Si	6.2

Combinazione QP: σ_{ca} [kg/cmq]=62 σ_{fa} [kg/cmq]=2800

P.	Nx	Ny	Nxy	Mx	My	Mxy	Afx	Afy	σ_{cmax}	σ_{fmax}	Cbc	Cbf	Ver	Cs
	kg/mq	kg/mq	kg/mq	kg	kg	kg	cmq/m	cmq/m	kg/cmq	kg/cmq				
16	36552	2526	793	-246	-1497	-107	31.42	31.42	-11	416	38	38	Si	5.7

Verifica aperture fessure:Wamm_Freq[mm]=0.400 Wamm_Qp[mm]=0.300

P.	Nx	Ny	Nxy	Mx	My	Mxy	σ_{fmed}	Wd	Wk	Cb	Ver	Cs
	kg/mq	kg/mq	kg/mq	kg	kg	kg	kg/cmq	mm	mm			
16	36552	2526	793	-246	-1497	-107	414	0.041	0.041	38(Qp)	Si	7.3
16	36411	2533	891	-253	-1551	-112	415	0.041	0.041	34(Fr)	Si	9.8

Muro :11 - Nodi : [16 - 813 - 10 - 816]

Pann.X=4 Pann.Y=4 Spess.= 30 cm Criterio CLS_Muri_Esist Materiale: C20/25rcm=200
[kg/cmq],fym=4200 [kg/cmq], FC=1.20 qd=2.5, qf=1.5 :

Armatura a maglia doppia, Stampa elementi piu' gravosi
Combinazione Rara: σ_{ca} [kg/cmq]=83 σ_{fa} [kg/cmq]=2800

P.	Nx	Ny	Nxy	Mx	My	Mxy	Afx	Afy	σ_{cmax}	σ_{fmax}	Cbc	Cbf	Ver	Cs
	kg/mq	kg/mq	kg/mq	kg	kg	kg	cmq/m	cmq/m	kg/cmq	kg/cmq				
16	-44160	-14457	4706	-226	29	113	31.42	31.42	-5	-43	28	27	Si	17
3	-12120	30284	-929	-303	-22	61	31.42	31.42	-3	295	28	32	Si	9.5

Combinazione QP: $\sigma_{ca}[\text{kg/cm}^2]=62$ $\sigma_{fa}[\text{kg/cm}^2]=2800$

P.	Nx	Ny	Nxy	Mx	My	Mxy	Afx	Afy	σ_{cmax}	σ_{fmax}	Cbc	Cbf	Ver	Cs
	kg/mq	kg/mq	kg/mq	kg	kg	kg	cmq/m	cmq/m	kg/cmq	kg/cmq				
16	-41311	-12468	4399	-210	23	107	31.42	31.42	-5	-41	38	38	Si	13
3	-11326	28118	-841	-283	-24	57	31.42	31.42	-3	275	38	38	Si	10

Verifica aperture fessure: Wamm_Freq[mm]=0.400 Wamm_Qp[mm]=0.300

P.	Nx	Ny	Nxy	Mx	My	Mxy	σ_{fmed}	Wd	Wk	Cb	Ver	Cs
	kg/mq	kg/mq	kg/mq	kg	kg	kg	kg/cmq	mm	mm			
3	-11326	28118	-841	-283	-24	57	275	0.032	0.032	38(Qp)	Si	9.5
3	-11326	28118	-841	-283	-24	57	275	0.032	0.032	35(Fr)	Si	13

Muro :12 - Nodi : [10 - 810 - 15 - 817]

Pann.X=4 Pann.Y=4 Spess.= 30 cm Criterio CLS_Muri_Esist Materiale: C20/25rcm=200
[kg/cmq],fym=4200 [kg/cmq], FC=1.20 qd=2.5, qf=1.5 :

Armatura a maglia doppia, Stampa elementi piu' gravosi

Combinazione Rara: $\sigma_{ca}[\text{kg/cm}^2]=83$ $\sigma_{fa}[\text{kg/cm}^2]=2800$

P.	Nx	Ny	Nxy	Mx	My	Mxy	Afx	Afy	σ_{cmax}	σ_{fmax}	Cbc	Cbf	Ver	Cs
	kg/mq	kg/mq	kg/mq	kg	kg	kg	cmq/m	cmq/m	kg/cmq	kg/cmq				
1	-16422	-55514	8975	46	-152	76	31.42	31.42	-6	-63	29	29	Si	15

Combinazione QP: $\sigma_{ca}[\text{kg/cm}^2]=62$ $\sigma_{fa}[\text{kg/cm}^2]=2800$

P.	Nx	Ny	Nxy	Mx	My	Mxy	Afx	Afy	σ_{cmax}	σ_{fmax}	Cbc	Cbf	Ver	Cs
	kg/mq	kg/mq	kg/mq	kg	kg	kg	cmq/m	cmq/m	kg/cmq	kg/cmq				
1	-17122	-53972	8719	44	-147	72	31.42	31.42	-5	-61	38	38	Si	11

Verifica aperture fessure: Wamm_Freq[mm]=0.400 Wamm_Qp[mm]=0.300

P.	Nx	Ny	Nxy	Mx	My	Mxy	σ_{fmed}	Wd	Wk	Cb	Ver	Cs
	kg/mq	kg/mq	kg/mq	kg	kg	kg	kg/cmq	mm	mm			
13	-14359	-19064	-5656	331	41	-57	4	0.000	0.000	38(Qp)	Si	>100
13	-14359	-19064	-5656	331	41	-57	4	0.000	0.000	35(Fr)	Si	>100

Muro :13 - Nodi : [817 - 814 - 10 - 10]

Pann.X=4 Pann.Y=4 Spess.= 30 cm Criterio CLS_Muri_Esist Materiale: C20/25rcm=200
[kg/cmq],fym=4200 [kg/cmq], FC=1.20 qd=2.5, qf=1.5 :

Armatura a maglia doppia, Stampa elementi piu' gravosi

Combinazione Rara: $\sigma_{ca}[\text{kg/cm}^2]=83$ $\sigma_{fa}[\text{kg/cm}^2]=2800$

P.	Nx	Ny	Nxy	Mx	My	Mxy	Afx	Afy	σ_{cmax}	σ_{fmax}	Cbc	Cbf	Ver	Cs
	kg/mq	kg/mq	kg/mq	kg	kg	kg	cmq/m	cmq/m	kg/cmq	kg/cmq				
13	-3853	-22516	-32249	-25	-169	-73	31.42	31.42	-3	-19	29	29	Si	30
8	52861	-10826	745	-54	5	35	31.42	31.42	-1	519	29	32	Si	5.4

Combinazione QP: $\sigma_{ca}[\text{kg/cm}^2]=62$ $\sigma_{fa}[\text{kg/cm}^2]=2800$

P.	Nx	Ny	Nxy	Mx	My	Mxy	Afx	Afy	σ_{cmax}	σ_{fmax}	Cbc	Cbf	Ver	Cs
	kg/mq	kg/mq	kg/mq	kg	kg	kg	cmq/m	cmq/m	kg/cmq	kg/cmq				
13	-3500	-21479	-30614	-24	-163	-73	31.42	31.42	-3	-18	38	38	Si	23
8	50469	-10296	794	-53	5	32	31.42	31.42	-1	496	38	38	Si	5.6

Verifica aperture fessure: Wamm_Freq[mm]=0.400 Wamm_Qp[mm]=0.300

P.	Nx	Ny	Nxy	Mx	My	Mxy	σ_{fmed}	Wd	Wk	Cb	Ver	Cs
	kg/mq	kg/mq	kg/mq	kg	kg	kg	kg/cmq	mm	mm			
8	50469	-10296	794	-53	5	32	496	0.057	0.057	38(Qp)	Si	5.3

P.	Nx	Ny	Nxy	Mx	My	Mxy	σ_{fmed}	Wd	Wk	Cb	Ver	Cs
8	50469	-10296	794	-53	5	32	496	0.057	0.057	35(Fr)	Si	7.1

Muro :14 - Nodi : [10 - 808 - 812 - 10]

Pann.X=4 Pann.Y=4 Spess.= 30 cm Criterio CLS_Muri_Esist Materiale: C20/25rcm=200
[kg/cmq],fym=4200 [kg/cmq], FC=1.20 qd=2.5, qf=1.5 :

Armatura a maglia doppia, Stampa elementi piu' gravosi

Combinazione Rara: σ_{ca} [kg/cmq]=83 σ_{fa} [kg/cmq]=2800

P.	Nx	Ny	Nxy	Mx	My	Mxy	Afx	Afy	σ_{cmax}	σ_{fmax}	Cbc	Cbf	Ver	Cs
	kg/mq	kg/mq	kg/mq	kg	kg	kg	cmq/m	cmq/m	kg/cmq	kg/cmq				
4	-15800	-52374	22067	-48	-335	84	31.42	31.42	-6	-44	28	24	Si	13
1	-16265	-56815	-24071	17	-71	7	31.42	31.42	-5	-69	29	29	Si	16

Combinazione QP: σ_{ca} [kg/cmq]=62 σ_{fa} [kg/cmq]=2800

P.	Nx	Ny	Nxy	Mx	My	Mxy	Afx	Afy	σ_{cmax}	σ_{fmax}	Cbc	Cbf	Ver	Cs
	kg/mq	kg/mq	kg/mq	kg	kg	kg	cmq/m	cmq/m	kg/cmq	kg/cmq				
4	-14931	-49573	20967	-42	-308	76	31.42	31.42	-6	-45	38	38	Si	11
1	-15469	-53927	-22670	17	-71	7	31.42	31.42	-5	-66	38	38	Si	12

Verifica aperture fessure:Wamm_Freq[mm]=0.400 Wamm_Qp[mm]=0.300

P.	Nx	Ny	Nxy	Mx	My	Mxy	σ_{fmed}	Wd	Wk	Cb	Ver	Cs
	kg/mq	kg/mq	kg/mq	kg	kg	kg	kg/cmq	mm	mm			
15	-12194	-25815	958	258	45	-20	1	0.000	0.000	38(Qp)	Si	>100
15	-12525	-26352	1101	260	45	-20	0	0.000	0.000	33(Fr)	Si	>100

Muro :15 - Nodi : [10 - 813 - 810 - 10]

Pann.X=4 Pann.Y=4 Spess.= 30 cm Criterio CLS_Muri_Esist Materiale: C20/25rcm=200
[kg/cmq],fym=4200 [kg/cmq], FC=1.20 qd=2.5, qf=1.5 :

Armatura a maglia doppia, Stampa elementi piu' gravosi

Combinazione Rara: σ_{ca} [kg/cmq]=83 σ_{fa} [kg/cmq]=2800

P.	Nx	Ny	Nxy	Mx	My	Mxy	Afx	Afy	σ_{cmax}	σ_{fmax}	Cbc	Cbf	Ver	Cs
	kg/mq	kg/mq	kg/mq	kg	kg	kg	cmq/m	cmq/m	kg/cmq	kg/cmq				
4	-14926	-72070	14760	23	-42	-31	31.42	31.42	-6	-91	29	29	Si	13

Combinazione QP: σ_{ca} [kg/cmq]=62 σ_{fa} [kg/cmq]=2800

P.	Nx	Ny	Nxy	Mx	My	Mxy	Afx	Afy	σ_{cmax}	σ_{fmax}	Cbc	Cbf	Ver	Cs
	kg/mq	kg/mq	kg/mq	kg	kg	kg	cmq/m	cmq/m	kg/cmq	kg/cmq				
4	-14509	-70076	14641	23	-40	-32	31.42	31.42	-6	-88	38	38	Si	9.9

Verifica aperture fessure:Wamm_Freq[mm]=0.400 Wamm_Qp[mm]=0.300

P.	Nx	Ny	Nxy	Mx	My	Mxy	σ_{fmed}	Wd	Wk	Cb	Ver	Cs
	kg/mq	kg/mq	kg/mq	kg	kg	kg	kg/cmq	mm	mm			
15	-3294	-24411	945	226	44	9	32	0.002	0.002	38(Qp)	Si	>100
15	-3294	-24411	945	226	44	9	32	0.002	0.002	35(Fr)	Si	>100

Muro :16 - Nodi : [10 - 10 - 815 - 816]

Pann.X=4 Pann.Y=4 Spess.= 30 cm Criterio CLS_Muri_Esist Materiale: C20/25rcm=200
[kg/cmq],fym=4200 [kg/cmq], FC=1.20 qd=2.5, qf=1.5 :

Armatura a maglia doppia, Stampa elementi piu' gravosi

Combinazione Rara: σ_{ca} [kg/cmq]=83 σ_{fa} [kg/cmq]=2800

P.	Nx	Ny	Nxy	Mx	My	Mxy	Afx	Afy	σ_{cmax}	σ_{fmax}	Cbc	Cbf	Ver	Cs
	kg/mq	kg/mq	kg/mq	kg	kg	kg	cmq/m	cmq/m	kg/cmq	kg/cmq				

P.	Nx	Ny	Nxy	Mx	My	Mxy	Afx	Afy	σ_{cmax}	σ_{fmax}	Cbc	Cbf	Ver	Cs
8	-38318	-5315	-4371	54	-49	-50	31.42	31.42	-4	-46	26	26	Si	23
5	46810	-10240	-1357	34	7	-48	31.42	31.42	-1	456	28	32	Si	6.1

Combinazione QP: $\sigma_{ca}[kg/cm^2]=62$ $\sigma_{fa}[kg/cm^2]=2800$

P.	Nx	Ny	Nxy	Mx	My	Mxy	Afx	Afy	σ_{cmax}	σ_{fmax}	Cbc	Cbf	Ver	Cs
	kg/mq	kg/mq	kg/mq	kg	kg	kg	cmq/m	cmq/m	kg/cmq	kg/cmq				
8	-36149	-4935	-3833	50	-44	-44	31.42	31.42	-3	-44	38	38	Si	18
5	44613	-9620	-1215	32	7	-45	31.42	31.42	-1	434	38	38	Si	6.4

Verifica aperture fessure: Wamm_Freq[mm]=0.400 Wamm_Qp[mm]=0.300

P.	Nx	Ny	Nxy	Mx	My	Mxy	σ_{fmed}	Wd	Wk	Cb	Ver	Cs
	kg/mq	kg/mq	kg/mq	kg	kg	kg	kg/cmq	mm	mm			
5	44613	-9620	-1215	32	7	-45	434	0.050	0.050	38(Qp)	Si	6.0
5	44518	-9629	-1230	32	7	-46	434	0.050	0.050	34(Fr)	Si	8.0

Muro :17 - Nodi : [819 - 37 - 35 - 818]

Pann.X=4 Pann.Y=4 Spess.= 30 cm Criterio CLS_Muri_Esist Materiale: C20/25rcm=200
[kg/cmq],fym=4200 [kg/cmq], FC=1.20 qd=2.5, qf=1.5 :

Armatura a maglia doppia, Stampa elementi piu' gravosi

Combinazione Rara: $\sigma_{ca}[kg/cm^2]=83$ $\sigma_{fa}[kg/cm^2]=2800$

P.	Nx	Ny	Nxy	Mx	My	Mxy	Afx	Afy	σ_{cmax}	σ_{fmax}	Cbc	Cbf	Ver	Cs
	kg/mq	kg/mq	kg/mq	kg	kg	kg	cmq/m	cmq/m	kg/cmq	kg/cmq				
15	-22696	-3401	4676	-278	-33	-28	31.42	31.42	-3	-12	29	29	Si	25
12	1797	-6548	1736	-303	-40	-45	31.42	31.42	-2	96	28	32	Si	29

Combinazione QP: $\sigma_{ca}[kg/cm^2]=62$ $\sigma_{fa}[kg/cm^2]=2800$

P.	Nx	Ny	Nxy	Mx	My	Mxy	Afx	Afy	σ_{cmax}	σ_{fmax}	Cbc	Cbf	Ver	Cs
	kg/mq	kg/mq	kg/mq	kg	kg	kg	cmq/m	cmq/m	kg/cmq	kg/cmq				
15	-22048	-3303	4550	-270	-32	-27	31.42	31.42	-3	-12	38	38	Si	19
12	1506	-6293	1667	-298	-39	-43	31.42	31.42	-2	92	38	38	Si	30

Verifica aperture fessure: Wamm_Freq[mm]=0.400 Wamm_Qp[mm]=0.300

P.	Nx	Ny	Nxy	Mx	My	Mxy	σ_{fmed}	Wd	Wk	Cb	Ver	Cs
	kg/mq	kg/mq	kg/mq	kg	kg	kg	kg/cmq	mm	mm			
12	1506	-6293	1667	-298	-39	-43	92	0.006	0.006	38(Qp)	Si	48
12	1506	-6293	1667	-298	-39	-43	92	0.006	0.006	35(Fr)	Si	63

Muro :18 - Nodi : [818 - 824 - 825 - 819]

Pann.X=4 Pann.Y=4 Spess.= 30 cm Criterio CLS_Muri_Esist Materiale: C20/25rcm=200
[kg/cmq],fym=4200 [kg/cmq], FC=1.20 qd=2.5, qf=1.5 :

Armatura a maglia doppia, Stampa elementi piu' gravosi

Combinazione Rara: $\sigma_{ca}[kg/cm^2]=83$ $\sigma_{fa}[kg/cm^2]=2800$

P.	Nx	Ny	Nxy	Mx	My	Mxy	Afx	Afy	σ_{cmax}	σ_{fmax}	Cbc	Cbf	Ver	Cs
	kg/mq	kg/mq	kg/mq	kg	kg	kg	cmq/m	cmq/m	kg/cmq	kg/cmq				
2	-16929	-2069	2105	-293	-19	-13	31.42	31.42	-3	-4	29	24	Si	28
16	-9851	699	658	-198	-66	-22	31.42	31.42	-2	24	28	32	Si	44

Combinazione QP: $\sigma_{ca}[kg/cm^2]=62$ $\sigma_{fa}[kg/cm^2]=2800$

P.	Nx	Ny	Nxy	Mx	My	Mxy	Afx	Afy	σ_{cmax}	σ_{fmax}	Cbc	Cbf	Ver	Cs
	kg/mq	kg/mq	kg/mq	kg	kg	kg	cmq/m	cmq/m	kg/cmq	kg/cmq				
2	-16379	-2007	2062	-284	-19	-13	31.42	31.42	-3	-4	38	38	Si	22
4	-11622	1926	-858	-265	-15	6	31.42	31.42	-2	22	38	38	Si	26

Verifica aperture fessure:Wamm_Freq[mm]=0.400 Wamm_Qp[mm]=0.300

P.	Nx	Ny	Nxy	Mx	My	Mxy	σfmed	Wd	Wk	Cb	Ver	Cs
	kg/mq	kg/mq	kg/mq	kg	kg	kg	kg/cmq	mm	mm			
4	-11622	1926	-858	-265	-15	6	22	0.002	0.002	38(Qp)	Si	>100
4	-11622	1926	-858	-265	-15	6	22	0.002	0.002	35(Fr)	Si	>100

Muro :19 - Nodi : [825 - 824 - 36 - 38]

Pann.X=4 Pann.Y=4 Spess.= 30 cm Criterio CLS_Muri_Esist Materiale: C20/25rcm=200
[kg/cmq],fym=4200 [kg/cmq], FC=1.20 qd=2.5, qf=1.5 :

Armatura a maglia doppia, Stampa elementi piu' gravosi

Combinazione Rara: σca[kg/cmq]=83 σfa[kg/cmq]=2800

P.	Nx	Ny	Nxy	Mx	My	Mxy	Afx	Afy	σcmax	σfmax	Cbc	Cbf	Ver	Cs
	kg/mq	kg/mq	kg/mq	kg	kg	kg	cmq/m	cmq/m	kg/cmq	kg/cmq				
4	-3319	-7909	2699	-116	-404	39	31.42	31.42	-3	45	28	32	Si	25
16	3065	-6712	4114	60	-369	-31	31.42	31.42	-3	50	29	27	Si	27

Combinazione QP: σca[kg/cmq]=62 σfa[kg/cmq]=2800

P.	Nx	Ny	Nxy	Mx	My	Mxy	Afx	Afy	σcmax	σfmax	Cbc	Cbf	Ver	Cs
	kg/mq	kg/mq	kg/mq	kg	kg	kg	cmq/m	cmq/m	kg/cmq	kg/cmq				
4	-3257	-7299	2476	-106	-376	38	31.42	31.42	-3	41	38	38	Si	20
16	3063	-6340	3790	58	-333	-27	31.42	31.42	-3	45	38	38	Si	23

Verifica aperture fessure:Wamm_Freq[mm]=0.400 Wamm_Qp[mm]=0.300

P.	Nx	Ny	Nxy	Mx	My	Mxy	σfmed	Wd	Wk	Cb	Ver	Cs
	kg/mq	kg/mq	kg/mq	kg	kg	kg	kg/cmq	mm	mm			
16	3063	-6340	3790	58	-333	-27	45	0.004	0.004	38(Qp)	Si	85
16	2990	-6581	3912	59	-335	-26	44	0.003	0.003	33(Fr)	Si	>100

Muro :20 - Nodi : [10 - 830 - 37 - 819]

Pann.X=4 Pann.Y=4 Spess.= 30 cm Criterio CLS_Muri_Esist Materiale: C20/25rcm=200
[kg/cmq],fym=4200 [kg/cmq], FC=1.20 qd=2.5, qf=1.5 :

Armatura a maglia doppia, Stampa elementi piu' gravosi

Combinazione Rara: σca[kg/cmq]=83 σfa[kg/cmq]=2800

P.	Nx	Ny	Nxy	Mx	My	Mxy	Afx	Afy	σcmax	σfmax	Cbc	Cbf	Ver	Cs
	kg/mq	kg/mq	kg/mq	kg	kg	kg	cmq/m	cmq/m	kg/cmq	kg/cmq				
1	-71496	17032	6111	-128	24	61	31.42	31.42	-7	169	29	32	Si	12
5	-47347	22019	17320	-141	10	85	31.42	31.42	-5	213	29	32	Si	13

Combinazione QP: σca[kg/cmq]=62 σfa[kg/cmq]=2800

P.	Nx	Ny	Nxy	Mx	My	Mxy	Afx	Afy	σcmax	σfmax	Cbc	Cbf	Ver	Cs
	kg/mq	kg/mq	kg/mq	kg	kg	kg	cmq/m	cmq/m	kg/cmq	kg/cmq				
1	-69073	16450	5919	-125	24	60	31.42	31.42	-7	163	38	38	Si	9.4
5	-45775	21269	16736	-138	10	83	31.42	31.42	-5	206	38	38	Si	13

Verifica aperture fessure:Wamm_Freq[mm]=0.400 Wamm_Qp[mm]=0.300

P.	Nx	Ny	Nxy	Mx	My	Mxy	σfmed	Wd	Wk	Cb	Ver	Cs
	kg/mq	kg/mq	kg/mq	kg	kg	kg	kg/cmq	mm	mm			
5	-45775	21269	16736	-138	10	83	206	0.024	0.024	38(Qp)	Si	13
5	-45775	21269	16736	-138	10	83	206	0.024	0.024	35(Fr)	Si	17

Muro :21 - Nodi : [10 - 10 - 833 - 830]

Pann.X=4 Pann.Y=4 Spess.= 30 cm Criterio CLS_Muri_Esist Materiale: C20/25rcm=200
[kg/cmq],fym=4200 [kg/cmq], FC=1.20 qd=2.5, qf=1.5 :

Armatura a maglia doppia, Stampa elementi piu' gravosi

Combinazione Rara: σ_{ca} [kg/cm²]=83 σ_{fa} [kg/cm²]=2800

P.	Nx	Ny	Nxy	Mx	My	Mxy	Afx	Afy	σ_{cmax}	σ_{fmax}	Cbc	Cbf	Ver	Cs
	kg/mq	kg/mq	kg/mq	kg	kg	kg	cmq/m	cmq/m	kg/cm ²	kg/cm ²				
16	-3450	-22794	38826	-30	-209	128	31.42	31.42	-3	-17	29	29	Si	27
5	91970	-279	-323	-57	-1	4	31.42	31.42	-0	832	24	32	Si	3.4

Combinazione QP: σ_{ca} [kg/cm²]=62 σ_{fa} [kg/cm²]=2800

P.	Nx	Ny	Nxy	Mx	My	Mxy	Afx	Afy	σ_{cmax}	σ_{fmax}	Cbc	Cbf	Ver	Cs
	kg/mq	kg/mq	kg/mq	kg	kg	kg	cmq/m	cmq/m	kg/cm ²	kg/cm ²				
16	-3335	-22056	37469	-29	-202	123	31.42	31.42	-3	-16	38	38	Si	21
5	82692	-547	-261	-52	-0	0	31.42	31.42	-0	803	38	38	Si	3.5

Verifica aperture fessure: Wamm_Freq[mm]=0.400 Wamm_Qp[mm]=0.300

P.	Nx	Ny	Nxy	Mx	My	Mxy	σ_{fmed}	Wd	Wk	Cb	Ver	Cs
	kg/mq	kg/mq	kg/mq	kg	kg	kg	kg/cm ²	mm	mm			
5	82692	-547	-261	-52	-0	0	803	0.093	0.093	38(Qp)	Si	3.2
5	82692	-547	-261	-52	-0	0	803	0.093	0.093	35(Fr)	Si	4.3

Muro :22 - Nodi : [10 - 820 - 1 - 833]

Pann.X=4 Pann.Y=4 Spess.= 30 cm Criterio CLS_Muri_Esist Materiale: C20/25rcm=200
[kg/cm²],fym=4200 [kg/cm²], FC=1.20 qd=2.5, qf=1.5 :

Armatura a maglia doppia, Stampa elementi piu' gravosi

Combinazione Rara: σ_{ca} [kg/cm²]=83 σ_{fa} [kg/cm²]=2800

P.	Nx	Ny	Nxy	Mx	My	Mxy	Afx	Afy	σ_{cmax}	σ_{fmax}	Cbc	Cbf	Ver	Cs
	kg/mq	kg/mq	kg/mq	kg	kg	kg	cmq/m	cmq/m	kg/cm ²	kg/cm ²				
1	-47015	-71922	15048	53	-210	104	31.42	31.42	-7	-80	29	29	Si	11

Combinazione QP: σ_{ca} [kg/cm²]=62 σ_{fa} [kg/cm²]=2800

P.	Nx	Ny	Nxy	Mx	My	Mxy	Afx	Afy	σ_{cmax}	σ_{fmax}	Cbc	Cbf	Ver	Cs
	kg/mq	kg/mq	kg/mq	kg	kg	kg	cmq/m	cmq/m	kg/cm ²	kg/cm ²				
1	-45313	-69451	14528	51	-202	100	31.42	31.42	-7	-78	38	38	Si	8.8

Verifica aperture fessure: Wamm_Freq[mm]=0.400 Wamm_Qp[mm]=0.300

P.	Nx	Ny	Nxy	Mx	My	Mxy	σ_{fmed}	Wd	Wk	Cb	Ver	Cs
	kg/mq	kg/mq	kg/mq	kg	kg	kg	kg/cm ²	mm	mm			
1	-45313	-69451	14528	51	-202	100	0	0.000	0.000	38(Qp)	Si	>100
1	-45974	-70190	14697	52	-205	101	0	0.000	0.000	33(Fr)	Si	>100

Muro :23 - Nodi : [10 - 10 - 819 - 825]

Pann.X=4 Pann.Y=4 Spess.= 30 cm Criterio CLS_Muri_Esist Materiale: C20/25rcm=200
[kg/cm²],fym=4200 [kg/cm²], FC=1.20 qd=2.5, qf=1.5 :

Armatura a maglia doppia, Stampa elementi piu' gravosi

Combinazione Rara: σ_{ca} [kg/cm²]=83 σ_{fa} [kg/cm²]=2800

P.	Nx	Ny	Nxy	Mx	My	Mxy	Afx	Afy	σ_{cmax}	σ_{fmax}	Cbc	Cbf	Ver	Cs
	kg/mq	kg/mq	kg/mq	kg	kg	kg	cmq/m	cmq/m	kg/cm ²	kg/cm ²				
13	-95328	-13420	10920	-77	6	-9	31.42	31.42	-9	-119	29	29	Si	9.6

Combinazione QP: σ_{ca} [kg/cm²]=62 σ_{fa} [kg/cm²]=2800

P.	Nx	Ny	Nxy	Mx	My	Mxy	Afx	Afy	σ_{cmax}	σ_{fmax}	Cbc	Cbf	Ver	Cs
	kg/mq	kg/mq	kg/mq	kg	kg	kg	cmq/m	cmq/m	kg/cm ²	kg/cm ²				
13	-92085	-13033	10580	-75	6	-9	31.42	31.42	-8	-115	38	38	Si	7.5

Verifica aperture fessure: Wamm_Freq[mm]=0.400 Wamm_Qp[mm]=0.300

P.	Nx	Ny	Nxy	Mx	My	Mxy	σfmed	Wd	Wk	Cb	Ver	Cs
	kg/mq	kg/mq	kg/mq	kg	kg	kg	kg/cmq	mm	mm			
4	-3817	1736	4505	-14	-2	-30	17	0.002	0.002	38(Qp)	Si	>100
4	-3817	1736	4505	-14	-2	-30	17	0.002	0.002	35(Fr)	Si	>100

Muro :24 - Nodi : [10 - 826 - 820 - 10]

Pann.X=4 Pann.Y=4 Spess.= 30 cm Criterio CLS_Muri_Esist Materiale: C20/25rcm=200
[kg/cmql],fym=4200 [kg/cmql], FC=1.20 qd=2.5, qf=1.5 :

Armatura a maglia doppia, Stampa elementi piu' gravosi

Combinazione Rara: σca[kg/cmql]=83 σfa[kg/cmql]=2800

P.	Nx	Ny	Nxy	Mx	My	Mxy	Afx	Afy	σcmax	σfmax	Cbc	Cbf	Ver	Cs
	kg/mq	kg/mq	kg/mq	kg	kg	kg	cmq/m	cmq/m	kg/cmql	kg/cmql				
4	-8872	-72660	25778	14	-118	-4	31.42	31.42	-7	-87	29	29	Si	12

Combinazione QP: σca[kg/cmql]=62 σfa[kg/cmql]=2800

P.	Nx	Ny	Nxy	Mx	My	Mxy	Afx	Afy	σcmax	σfmax	Cbc	Cbf	Ver	Cs
	kg/mq	kg/mq	kg/mq	kg	kg	kg	cmq/m	cmq/m	kg/cmql	kg/cmql				
4	-8626	-70191	24889	14	-114	-5	31.42	31.42	-7	-84	38	38	Si	9.4

Verifica aperture fessure: Wamm_Freq[mm]=0.400 Wamm_Qp[mm]=0.300

P.	Nx	Ny	Nxy	Mx	My	Mxy	σfmed	Wd	Wk	Cb	Ver	Cs
	kg/mq	kg/mq	kg/mq	kg	kg	kg	kg/cmql	mm	mm			
10	-876	-31190	-2987	33	21	-6	2	0.000	0.000	38(Qp)	Si	>100
10	-876	-31190	-2987	33	21	-6	2	0.000	0.000	35(Fr)	Si	>100

Muro :25 - Nodi : [10 - 825 - 38 - 831]

Pann.X=4 Pann.Y=4 Spess.= 30 cm Criterio CLS_Muri_Esist Materiale: C20/25rcm=200
[kg/cmql],fym=4200 [kg/cmql], FC=1.20 qd=2.5, qf=1.5 :

Armatura a maglia doppia, Stampa elementi piu' gravosi

Combinazione Rara: σca[kg/cmql]=83 σfa[kg/cmql]=2800

P.	Nx	Ny	Nxy	Mx	My	Mxy	Afx	Afy	σcmax	σfmax	Cbc	Cbf	Ver	Cs
	kg/mq	kg/mq	kg/mq	kg	kg	kg	cmq/m	cmq/m	kg/cmql	kg/cmql				
1	31057	-39115	3984	-113	-71	90	31.42	31.42	-4	325	28	32	Si	8.6

Combinazione QP: σca[kg/cmql]=62 σfa[kg/cmql]=2800

P.	Nx	Ny	Nxy	Mx	My	Mxy	Afx	Afy	σcmax	σfmax	Cbc	Cbf	Ver	Cs
	kg/mq	kg/mq	kg/mq	kg	kg	kg	cmq/m	cmq/m	kg/cmql	kg/cmql				
1	29261	-37785	3845	-106	-67	84	31.42	31.42	-4	308	38	38	Si	9.1

Verifica aperture fessure: Wamm_Freq[mm]=0.400 Wamm_Qp[mm]=0.300

P.	Nx	Ny	Nxy	Mx	My	Mxy	σfmed	Wd	Wk	Cb	Ver	Cs
	kg/mq	kg/mq	kg/mq	kg	kg	kg	kg/cmql	mm	mm			
1	29261	-37785	3845	-106	-67	84	308	0.033	0.033	38(Qp)	Si	9.1
1	29261	-37785	3845	-106	-67	84	308	0.033	0.033	35(Fr)	Si	12

Muro :26 - Nodi : [831 - 832 - 10 - 10]

Pann.X=4 Pann.Y=4 Spess.= 30 cm Criterio CLS_Muri_Esist Materiale: C20/25rcm=200
[kg/cmql],fym=4200 [kg/cmql], FC=1.20 qd=2.5, qf=1.5 :

Armatura a maglia doppia, Stampa elementi piu' gravosi

Combinazione Rara: σ_{ca} [kg/cmq]=83 σ_{fa} [kg/cmq]=2800

P.	Nx	Ny	Nxy	Mx	My	Mxy	Afx	Afy	σ_{cmax}	σ_{fmax}	Cbc	Cbf	Ver	Cs
	kg/mq	kg/mq	kg/mq	kg	kg	kg	cmq/m	cmq/m	kg/cmq	kg/cmq				
1	-18859	-6675	3088	-65	-62	24	31.42	31.42	-2	-20	28	28	Si	42
4	53605	5242	1615	-110	-42	79	31.42	31.42	0	469	24	32	Si	6.0

Combinazione QP: σ_{ca} [kg/cmq]=62 σ_{fa} [kg/cmq]=2800

P.	Nx	Ny	Nxy	Mx	My	Mxy	Afx	Afy	σ_{cmax}	σ_{fmax}	Cbc	Cbf	Ver	Cs
	kg/mq	kg/mq	kg/mq	kg	kg	kg	cmq/m	cmq/m	kg/cmq	kg/cmq				
1	-18912	-6356	3085	-60	-58	22	31.42	31.42	-2	-21	38	38	Si	32
4	44209	3944	2042	-90	-35	66	31.42	31.42	0	446	38	38	Si	6.3

Verifica aperture fessure: Wamm_Freq[mm]=0.400 Wamm_Qp[mm]=0.300

P.	Nx	Ny	Nxy	Mx	My	Mxy	σ_{fmed}	Wd	Wk	Cb	Ver	Cs
	kg/mq	kg/mq	kg/mq	kg	kg	kg	kg/cmq	mm	mm			
8	45166	-1648	-403	0	5	16	431	0.051	0.051	38(Qp)	Si	5.9
8	45166	-1648	-403	0	5	16	431	0.051	0.051	35(Fr)	Si	7.9

Muro :27 - Nodi : [832 - 40 - 826 - 10]

Pann.X=4 Pann.Y=4 Spess.= 30 cm Criterio CLS_Muri_Esist Materiale: C20/25rcm=200
[kg/cmq],fym=4200 [kg/cmq], FC=1.20 qd=2.5, qf=1.5 :

Armatura a maglia doppia, Stampa elementi piu' gravosi

Combinazione Rara: σ_{ca} [kg/cmq]=83 σ_{fa} [kg/cmq]=2800

P.	Nx	Ny	Nxy	Mx	My	Mxy	Afx	Afy	σ_{cmax}	σ_{fmax}	Cbc	Cbf	Ver	Cs
	kg/mq	kg/mq	kg/mq	kg	kg	kg	cmq/m	cmq/m	kg/cmq	kg/cmq				
4	-11455	-34502	-2827	97	-17	16	31.42	31.42	-3	-44	29	29	Si	27
1	43033	-7651	-1493	116	-48	-10	31.42	31.42	-1	442	29	32	Si	6.3

Combinazione QP: σ_{ca} [kg/cmq]=62 σ_{fa} [kg/cmq]=2800

P.	Nx	Ny	Nxy	Mx	My	Mxy	Afx	Afy	σ_{cmax}	σ_{fmax}	Cbc	Cbf	Ver	Cs
	kg/mq	kg/mq	kg/mq	kg	kg	kg	cmq/m	cmq/m	kg/cmq	kg/cmq				
4	-11522	-33702	-2841	90	-15	14	31.42	31.42	-3	-43	38	38	Si	21
1	41667	-7469	-1514	108	-45	-10	31.42	31.42	-1	427	38	38	Si	6.6

Verifica aperture fessure: Wamm_Freq[mm]=0.400 Wamm_Qp[mm]=0.300

P.	Nx	Ny	Nxy	Mx	My	Mxy	σ_{fmed}	Wd	Wk	Cb	Ver	Cs
	kg/mq	kg/mq	kg/mq	kg	kg	kg	kg/cmq	mm	mm			
1	41667	-7469	-1514	108	-45	-10	427	0.047	0.047	38(Qp)	Si	6.4
1	41667	-7469	-1514	108	-45	-10	427	0.047	0.047	35(Fr)	Si	8.6

Muro :28 - Nodi : [835 - 1 - 820 - 10]

Pann.X=4 Pann.Y=4 Spess.= 30 cm Criterio CLS_Muri_Esist Materiale: C20/25rcm=200
[kg/cmq],fym=4200 [kg/cmq], FC=1.20 qd=2.5, qf=1.5 :

Armatura a maglia doppia, Stampa elementi piu' gravosi

Combinazione Rara: σ_{ca} [kg/cmq]=83 σ_{fa} [kg/cmq]=2800

P.	Nx	Ny	Nxy	Mx	My	Mxy	Afx	Afy	σ_{cmax}	σ_{fmax}	Cbc	Cbf	Ver	Cs
	kg/mq	kg/mq	kg/mq	kg	kg	kg	cmq/m	cmq/m	kg/cmq	kg/cmq				
4	-41970	-46227	-14471	35	-232	-111	31.42	31.42	-5	-52	29	28	Si	16

Combinazione QP: σ_{ca} [kg/cmq]=62 σ_{fa} [kg/cmq]=2800

P.	Nx	Ny	Nxy	Mx	My	Mxy	Afx	Afy	σ_{cmax}	σ_{fmax}	Cbc	Cbf	Ver	Cs
	kg/mq	kg/mq	kg/mq	kg	kg	kg	cmq/m	cmq/m	kg/cmq	kg/cmq				
4	-40356	-44493	-13919	33	-223	-107	31.42	31.42	-5	-50	38	38	Si	12

Verifica aperture fessure:Wamm_Freq[mm]=0.400 Wamm_Qp[mm]=0.300

P.	Nx	Ny	Nxy	Mx	My	Mxy	σfmed	Wd	Wk	Cb	Ver	Cs
	kg/mq	kg/mq	kg/mq	kg	kg	kg	kg/cmq	mm	mm			
13	-5736	-8629	-2496	19	-179	-34	0	0.000	0.000	38(Qp)	Si	>100
13	-5807	-8699	-2540	20	-180	-35	0	0.000	0.000	33(Fr)	Si	>100

Muro :29 - Nodi : [10 - 10 - 837 - 835]

Pann.X=4 Pann.Y=4 Spess.= 30 cm Criterio CLS_Muri_Esist Materiale: C20/25rcm=200
[kg/cmq],fym=4200 [kg/cmq], FC=1.20 qd=2.5, qf=1.5 :

Armatura a maglia doppia, Stampa elementi piu' gravosi

Combinazione Rara: σca[kg/cmq]=83 σfa[kg/cmq]=2800

P.	Nx	Ny	Nxy	Mx	My	Mxy	Afx	Afy	σcmax	σfmax	Cbc	Cbf	Ver	Cs
	kg/mq	kg/mq	kg/mq	kg	kg	kg	cmq/m	cmq/m	kg/cmq	kg/cmq				
4	-3493	-23118	-34142	-28	-196	-138	31.42	31.42	-3	-18	29	28	Si	28
9	67052	-9465	593	-52	7	-16	31.42	31.42	-1	647	28	32	Si	4.3

Combinazione QP: σca[kg/cmq]=62 σfa[kg/cmq]=2800

P.	Nx	Ny	Nxy	Mx	My	Mxy	Afx	Afy	σcmax	σfmax	Cbc	Cbf	Ver	Cs
	kg/mq	kg/mq	kg/mq	kg	kg	kg	cmq/m	cmq/m	kg/cmq	kg/cmq				
4	-3371	-22304	-32821	-27	-189	-132	31.42	31.42	-3	-17	38	38	Si	22
9	63644	-9175	518	-50	6	-14	31.42	31.42	-1	621	38	38	Si	4.5

Verifica aperture fessure:Wamm_Freq[mm]=0.400 Wamm_Qp[mm]=0.300

P.	Nx	Ny	Nxy	Mx	My	Mxy	σfmed	Wd	Wk	Cb	Ver	Cs
	kg/mq	kg/mq	kg/mq	kg	kg	kg	kg/cmq	mm	mm			
9	63644	-9175	518	-50	6	-14	621	0.071	0.071	38(Qp)	Si	4.2
9	63644	-9175	518	-50	6	-14	621	0.071	0.071	35(Fr)	Si	5.6

Muro :30 - Nodi : [10 - 821 - 9 - 837]

Pann.X=4 Pann.Y=4 Spess.= 30 cm Criterio CLS_Muri_Esist Materiale: C20/25rcm=200
[kg/cmq],fym=4200 [kg/cmq], FC=1.20 qd=2.5, qf=1.5 :

Armatura a maglia doppia, Stampa elementi piu' gravosi

Combinazione Rara: σca[kg/cmq]=83 σfa[kg/cmq]=2800

P.	Nx	Ny	Nxy	Mx	My	Mxy	Afx	Afy	σcmax	σfmax	Cbc	Cbf	Ver	Cs
	kg/mq	kg/mq	kg/mq	kg	kg	kg	cmq/m	cmq/m	kg/cmq	kg/cmq				
1	-1574	-61074	4262	-5	-241	74	31.42	31.42	-7	-64	27	27	Si	13
13	323	4714	-2371	50	-187	-1	31.42	31.42	-1	91	28	32	Si	31

Combinazione QP: σca[kg/cmq]=62 σfa[kg/cmq]=2800

P.	Nx	Ny	Nxy	Mx	My	Mxy	Afx	Afy	σcmax	σfmax	Cbc	Cbf	Ver	Cs
	kg/mq	kg/mq	kg/mq	kg	kg	kg	cmq/m	cmq/m	kg/cmq	kg/cmq				
1	-1881	-58862	4072	-6	-233	72	31.42	31.42	-6	-62	38	38	Si	9.9
13	360	4406	-2191	49	-176	1	31.42	31.42	-1	88	38	38	Si	32

Verifica aperture fessure:Wamm_Freq[mm]=0.400 Wamm_Qp[mm]=0.300

P.	Nx	Ny	Nxy	Mx	My	Mxy	σfmed	Wd	Wk	Cb	Ver	Cs
	kg/mq	kg/mq	kg/mq	kg	kg	kg	kg/cmq	mm	mm			
2	7183	-47381	10432	-12	-220	76	72	0.008	0.008	38(Qp)	Si	37
2	7183	-47381	10432	-12	-220	76	72	0.008	0.008	35(Fr)	Si	50

Muro :31 - Nodi : [10 - 826 - 40 - 834]

Pann.X=4 Pann.Y=4 Spess.= 30 cm Criterio CLS_Muri_Esist Materiale: C20/25rcm=200
[kg/cmq],fym=4200 [kg/cmq], FC=1.20 qd=2.5, qf=1.5 :

Armatura a maglia doppia, Stampa elementi piu' gravosi

Combinazione Rara: σ_{ca} [kg/cm²]=83 σ_{fa} [kg/cm²]=2800

P.	Nx	Ny	Nxy	Mx	My	Mxy	Afx	Afy	σ_{cmax}	σ_{fmax}	Cbc	Cbf	Ver	Cs
	kg/mq	kg/mq	kg/mq	kg	kg	kg	cmq/m	cmq/m	kg/cm ²	kg/cm ²				
15	14064	-24059	-6920	-26	-50	25	31.42	31.42	-2	141	29	32	Si	20
4	34574	-5453	948	-12	-86	38	31.42	31.42	-1	319	28	32	Si	8.8

Combinazione QP: σ_{ca} [kg/cm²]=62 σ_{fa} [kg/cm²]=2800

P.	Nx	Ny	Nxy	Mx	My	Mxy	Afx	Afy	σ_{cmax}	σ_{fmax}	Cbc	Cbf	Ver	Cs
	kg/mq	kg/mq	kg/mq	kg	kg	kg	cmq/m	cmq/m	kg/cm ²	kg/cm ²				
15	13751	-22732	-6485	-26	-43	25	31.42	31.42	-2	138	38	38	Si	20
4	31934	-5382	1050	-14	-82	37	31.42	31.42	-1	309	38	38	Si	9.1

Verifica aperture fessure: Wamm_Freq[mm]=0.400 Wamm_Qp[mm]=0.300

P.	Nx	Ny	Nxy	Mx	My	Mxy	σ_{fmed}	Wd	Wk	Cb	Ver	Cs
	kg/mq	kg/mq	kg/mq	kg	kg	kg	kg/cm ²	mm	mm			
4	31934	-5382	1050	-14	-82	37	309	0.036	0.036	38(Qp)	Si	8.4
4	31934	-5382	1050	-14	-82	37	309	0.036	0.036	35(Fr)	Si	11

Muro :32 - Nodi : [834 - 836 - 10 - 10]

Pann.X=4 Pann.Y=4 Spess.= 30 cm Criterio CLS_Muri_Esist Materiale: C20/25rcm=200
[kg/cm²],fym=4200 [kg/cm²], FC=1.20 qd=2.5, qf=1.5 :

Armatura a maglia doppia, Stampa elementi piu' gravosi

Combinazione Rara: σ_{ca} [kg/cm²]=83 σ_{fa} [kg/cm²]=2800

P.	Nx	Ny	Nxy	Mx	My	Mxy	Afx	Afy	σ_{cmax}	σ_{fmax}	Cbc	Cbf	Ver	Cs
	kg/mq	kg/mq	kg/mq	kg	kg	kg	cmq/m	cmq/m	kg/cm ²	kg/cm ²				
9	-6797	-1415	719	-7	-10	41	31.42	31.42	-1	-8	24	24	Si	>100
12	39823	-2875	-405	-14	4	51	31.42	31.42	-0	356	24	32	Si	7.9

Combinazione QP: σ_{ca} [kg/cm²]=62 σ_{fa} [kg/cm²]=2800

P.	Nx	Ny	Nxy	Mx	My	Mxy	Afx	Afy	σ_{cmax}	σ_{fmax}	Cbc	Cbf	Ver	Cs
	kg/mq	kg/mq	kg/mq	kg	kg	kg	cmq/m	cmq/m	kg/cm ²	kg/cm ²				
9	-8461	-1315	243	-8	-10	36	31.42	31.42	-1	-10	38	38	Si	80
12	35779	-3046	-424	-15	3	45	31.42	31.42	-0	346	38	38	Si	8.1

Verifica aperture fessure: Wamm_Freq[mm]=0.400 Wamm_Qp[mm]=0.300

P.	Nx	Ny	Nxy	Mx	My	Mxy	σ_{fmed}	Wd	Wk	Cb	Ver	Cs
	kg/mq	kg/mq	kg/mq	kg	kg	kg	kg/cm ²	mm	mm			
12	35779	-3046	-424	-15	3	45	346	0.040	0.040	38(Qp)	Si	7.5
12	35779	-3046	-424	-15	3	45	346	0.040	0.040	35(Fr)	Si	10.0

Muro :33 - Nodi : [836 - 44 - 827 - 10]

Pann.X=4 Pann.Y=4 Spess.= 30 cm Criterio CLS_Muri_Esist Materiale: C20/25rcm=200
[kg/cm²],fym=4200 [kg/cm²], FC=1.20 qd=2.5, qf=1.5 :

Armatura a maglia doppia, Stampa elementi piu' gravosi

Combinazione Rara: σ_{ca} [kg/cm²]=83 σ_{fa} [kg/cm²]=2800

P.	Nx	Ny	Nxy	Mx	My	Mxy	Afx	Afy	σ_{cmax}	σ_{fmax}	Cbc	Cbf	Ver	Cs
	kg/mq	kg/mq	kg/mq	kg	kg	kg	cmq/m	cmq/m	kg/cm ²	kg/cm ²				
13	-55104	5764	1439	-123	-16	17	31.42	31.42	-5	-64	29	29	Si	15
4	13707	-35599	3318	-55	-112	-7	31.42	31.42	-4	150	27	32	Si	19

Combinazione QP: σ_{ca} [kg/cm²]=62 σ_{fa} [kg/cm²]=2800

P.	Nx	Ny	Nxy	Mx	My	Mxy	Afx	Afy	σ_{cmax}	σ_{fmax}	Cbc	Cbf	Ver	Cs
----	----	----	-----	----	----	-----	-----	-----	-----------------	-----------------	-----	-----	-----	----

P.	Nx	Ny	Nxy	Mx	My	Mxy	Afx	Afy	σ_{cmax}	σ_{fmax}	Cbc	Cbf	Ver	Cs
	kg/mq	kg/mq	kg/mq	kg	kg	kg	cmq/m	cmq/m	kg/cmq	kg/cmq				
13	-50896	5316	1391	-115	-14	17	31.42	31.42	-5	-59	38	38	Si	12
4	13132	-34226	3034	-53	-105	-7	31.42	31.42	-3	139	38	38	Si	18

Verifica aperture fessure: Wamm_Freq[mm]=0.400 Wamm_Qp[mm]=0.300

P.	Nx	Ny	Nxy	Mx	My	Mxy	σ_{fmed}	Wd	Wk	Cb	Ver	Cs
	kg/mq	kg/mq	kg/mq	kg	kg	kg	kg/cmq	mm	mm			
4	13132	-34226	3034	-53	-105	-7	139	0.015	0.015	38(Qp)	Si	20
4	13132	-34226	3034	-53	-105	-7	139	0.015	0.015	35(Fr)	Si	27

Muro :34 - Nodi : [10 - 827 - 821 - 10]

Pann.X=4 Pann.Y=4 Spess.= 30 cm Criterio CLS_Muri_Esist Materiale: C20/25rcm=200
[kg/cmq],fym=4200 [kg/cmq], FC=1.20 qd=2.5, qf=1.5 :

Armatura a maglia doppia, Stampa elementi piu' gravosi

Combinazione Rara: σ_{ca} [kg/cmq]=83 σ_{fa} [kg/cmq]=2800

P.	Nx	Ny	Nxy	Mx	My	Mxy	Afx	Afy	σ_{cmax}	σ_{fmax}	Cbc	Cbf	Ver	Cs
	kg/mq	kg/mq	kg/mq	kg	kg	kg	cmq/m	cmq/m	kg/cmq	kg/cmq				
4	-15601	-78565	10844	-10	-308	21	31.42	31.42	-8	-83	27	27	Si	9.9
15	717	10520	3778	31	-256	4	31.42	31.42	-0	168	29	32	Si	17

Combinazione QP: σ_{ca} [kg/cmq]=62 σ_{fa} [kg/cmq]=2800

P.	Nx	Ny	Nxy	Mx	My	Mxy	Afx	Afy	σ_{cmax}	σ_{fmax}	Cbc	Cbf	Ver	Cs
	kg/mq	kg/mq	kg/mq	kg	kg	kg	cmq/m	cmq/m	kg/cmq	kg/cmq				
4	-15061	-75806	10524	-10	-296	22	31.42	31.42	-8	-80	38	38	Si	7.7
15	697	10131	3525	30	-244	5	31.42	31.42	-0	162	38	38	Si	17

Verifica aperture fessure: Wamm_Freq[mm]=0.400 Wamm_Qp[mm]=0.300

P.	Nx	Ny	Nxy	Mx	My	Mxy	σ_{fmed}	Wd	Wk	Cb	Ver	Cs
	kg/mq	kg/mq	kg/mq	kg	kg	kg	kg/cmq	mm	mm			
15	697	10131	3525	30	-244	5	162	0.012	0.012	38(Qp)	Si	25
15	697	10131	3525	30	-244	5	162	0.012	0.012	35(Fr)	Si	34

Muro :35 - Nodi : [10 - 10 - 820 - 826]

Pann.X=4 Pann.Y=4 Spess.= 30 cm Criterio CLS_Muri_Esist Materiale: C20/25rcm=200
[kg/cmq],fym=4200 [kg/cmq], FC=1.20 qd=2.5, qf=1.5 :

Armatura a maglia doppia, Stampa elementi piu' gravosi

Combinazione Rara: σ_{ca} [kg/cmq]=83 σ_{fa} [kg/cmq]=2800

P.	Nx	Ny	Nxy	Mx	My	Mxy	Afx	Afy	σ_{cmax}	σ_{fmax}	Cbc	Cbf	Ver	Cs
	kg/mq	kg/mq	kg/mq	kg	kg	kg	cmq/m	cmq/m	kg/cmq	kg/cmq				
13	-60329	-20490	24574	-163	9	-2	31.42	31.42	-6	-68	29	29	Si	14

Combinazione QP: σ_{ca} [kg/cmq]=62 σ_{fa} [kg/cmq]=2800

P.	Nx	Ny	Nxy	Mx	My	Mxy	Afx	Afy	σ_{cmax}	σ_{fmax}	Cbc	Cbf	Ver	Cs
	kg/mq	kg/mq	kg/mq	kg	kg	kg	cmq/m	cmq/m	kg/cmq	kg/cmq				
13	-58028	-19700	23619	-157	9	-2	31.42	31.42	-6	-66	38	38	Si	11

Verifica aperture fessure: Wamm_Freq[mm]=0.400 Wamm_Qp[mm]=0.300

P.	Nx	Ny	Nxy	Mx	My	Mxy	σ_{fmed}	Wd	Wk	Cb	Ver	Cs
	kg/mq	kg/mq	kg/mq	kg	kg	kg	kg/cmq	mm	mm			
4	-21812	-3115	4394	20	105	-4	6	0.000	0.000	38(Qp)	Si	>100
4	-21812	-3115	4394	20	105	-4	6	0.000	0.000	35(Fr)	Si	>100

Muro :36 - Nodi : [1 - 41 - 838 - 820]

Pann.X=4 Pann.Y=4 Spess.= 30 cm Criterio CLS_Muri_Esist Materiale: C20/25rcm=200
[kg/cmq],fym=4200 [kg/cmq], FC=1.20 qd=2.5, qf=1.5 :

Armatura a maglia doppia, Stampa elementi piu' gravosi

Combinazione Rara: σ_{ca} [kg/cmq]=83 σ_{fa} [kg/cmq]=2800

P.	Nx	Ny	Nxy	Mx	My	Mxy	Afx	Afy	σ_{cmax}	σ_{fmax}	Cbc	Cbf	Ver	Cs
	kg/mq	kg/mq	kg/mq	kg	kg	kg	cmq/m	cmq/m	kg/cmq	kg/cmq				
13	-3322	-22415	-1294	-30	-228	-125	31.42	31.42	-3	-14	28	27	Si	27
15	-4252	-22130	4415	-6	-14	-99	31.42	31.42	-2	-27	28	29	Si	42

Combinazione QP: σ_{ca} [kg/cmq]=62 σ_{fa} [kg/cmq]=2800

P.	Nx	Ny	Nxy	Mx	My	Mxy	Afx	Afy	σ_{cmax}	σ_{fmax}	Cbc	Cbf	Ver	Cs
	kg/mq	kg/mq	kg/mq	kg	kg	kg	cmq/m	cmq/m	kg/cmq	kg/cmq				
13	-3175	-21442	-1336	-29	-218	-120	31.42	31.42	-3	-14	38	38	Si	21
15	-4059	-21095	4101	-5	-13	-95	31.42	31.42	-2	-27	38	38	Si	33

Verifica aperture fessure:Wamm_Freq[mm]=0.400 Wamm_Qp[mm]=0.300

P.	Nx	Ny	Nxy	Mx	My	Mxy	σ_{fmed}	Wd	Wk	Cb	Ver	Cs
	kg/mq	kg/mq	kg/mq	kg	kg	kg	kg/cmq	mm	mm			
4	2104	-20010	-6003	-5	-27	39	21	0.002	0.002	38(Qp)	Si	>100
4	2104	-20010	-6003	-5	-27	39	21	0.002	0.002	35(Fr)	Si	>100

Muro :37 - Nodi : [826 - 839 - 42 - 40]

Pann.X=4 Pann.Y=4 Spess.= 30 cm Criterio CLS_Muri_Esist Materiale: C20/25rcm=200
[kg/cmq],fym=4200 [kg/cmq], FC=1.20 qd=2.5, qf=1.5 :

Armatura a maglia doppia, Stampa elementi piu' gravosi

Combinazione Rara: σ_{ca} [kg/cmq]=83 σ_{fa} [kg/cmq]=2800

P.	Nx	Ny	Nxy	Mx	My	Mxy	Afx	Afy	σ_{cmax}	σ_{fmax}	Cbc	Cbf	Ver	Cs
	kg/mq	kg/mq	kg/mq	kg	kg	kg	cmq/m	cmq/m	kg/cmq	kg/cmq				
16	11192	-17797	5608	-13	-313	61	31.42	31.42	-3	110	29	32	Si	25

Combinazione QP: σ_{ca} [kg/cmq]=62 σ_{fa} [kg/cmq]=2800

P.	Nx	Ny	Nxy	Mx	My	Mxy	Afx	Afy	σ_{cmax}	σ_{fmax}	Cbc	Cbf	Ver	Cs
	kg/mq	kg/mq	kg/mq	kg	kg	kg	cmq/m	cmq/m	kg/cmq	kg/cmq				
16	11242	-16247	5311	-12	-305	57	31.42	31.42	-3	110	38	38	Si	21

Verifica aperture fessure:Wamm_Freq[mm]=0.400 Wamm_Qp[mm]=0.300

P.	Nx	Ny	Nxy	Mx	My	Mxy	σ_{fmed}	Wd	Wk	Cb	Ver	Cs
	kg/mq	kg/mq	kg/mq	kg	kg	kg	kg/cmq	mm	mm			
16	11242	-16247	5311	-12	-305	57	110	0.013	0.013	38(Qp)	Si	24
16	10898	-16940	5480	-11	-307	59	107	0.012	0.012	33(Fr)	Si	33

Muro :38 - Nodi : [826 - 820 - 838 - 839]

Pann.X=4 Pann.Y=4 Spess.= 30 cm Criterio CLS_Muri_Esist Materiale: C20/25rcm=200
[kg/cmq],fym=4200 [kg/cmq], FC=1.20 qd=2.5, qf=1.5 :

Armatura a maglia doppia, Stampa elementi piu' gravosi

Combinazione Rara: σ_{ca} [kg/cmq]=83 σ_{fa} [kg/cmq]=2800

P.	Nx	Ny	Nxy	Mx	My	Mxy	Afx	Afy	σ_{cmax}	σ_{fmax}	Cbc	Cbf	Ver	Cs
	kg/mq	kg/mq	kg/mq	kg	kg	kg	cmq/m	cmq/m	kg/cmq	kg/cmq				
12	-26225	-3181	-3147	51	23	-30	31.42	31.42	-3	-31	29	29	Si	33
8	-26172	-3737	-1039	5	18	-46	31.42	31.42	-2	-34	29	29	Si	36

Combinazione QP: σ_{ca} [kg/cm²]=62 σ_{fa} [kg/cm²]=2800

P.	Nx	Ny	Nxy	Mx	My	Mxy	Afx	Afy	σ_{cmax}	σ_{fmax}	Cbc	Cbf	Ver	Cs
	kg/mq	kg/mq	kg/mq	kg	kg	kg	cmq/m	cmq/m	kg/cmq	kg/cmq				
12	-24890	-3043	-2827	52	23	-29	31.42	31.42	-2	-29	38	38	Si	26
8	-24728	-3591	-815	8	17	-45	31.42	31.42	-2	-32	38	38	Si	29

Verifica aperture fessure: Wamm_Freq[mm]=0.400 Wamm_Qp[mm]=0.300

P.	Nx	Ny	Nxy	Mx	My	Mxy	σ_{fmed}	Wd	Wk	Cb	Ver	Cs
	kg/mq	kg/mq	kg/mq	kg	kg	kg	kg/cmq	mm	mm			
13	-20762	1570	4815	-3	5	-14	16	0.002	0.002	38(Qp)	Si	>100
13	-20762	1570	4815	-3	5	-14	16	0.002	0.002	35(Fr)	Si	>100

Muro :39 - Nodi : [8 - 840 - 10 - 822]

Pann.X=4 Pann.Y=4 Spess.= 30 cm Criterio CLS_Muri_Esist Materiale: C20/25rcm=200
[kg/cm²],fym=4200 [kg/cm²], FC=1.20 qd=2.5, qf=1.5 :

Armatura a maglia doppia, Stampa elementi piu' gravosi

Combinazione Rara: σ_{ca} [kg/cm²]=83 σ_{fa} [kg/cm²]=2800

P.	Nx	Ny	Nxy	Mx	My	Mxy	Afx	Afy	σ_{cmax}	σ_{fmax}	Cbc	Cbf	Ver	Cs
	kg/mq	kg/mq	kg/mq	kg	kg	kg	cmq/m	cmq/m	kg/cmq	kg/cmq				
16	-26552	-79511	9606	79	-229	81	31.42	31.42	-8	-89	27	27	Si	10

Combinazione QP: σ_{ca} [kg/cm²]=62 σ_{fa} [kg/cm²]=2800

P.	Nx	Ny	Nxy	Mx	My	Mxy	Afx	Afy	σ_{cmax}	σ_{fmax}	Cbc	Cbf	Ver	Cs
	kg/mq	kg/mq	kg/mq	kg	kg	kg	cmq/m	cmq/m	kg/cmq	kg/cmq				
16	-25577	-76122	9244	76	-221	78	31.42	31.42	-8	-85	38	38	Si	8.1

Verifica aperture fessure: Wamm_Freq[mm]=0.400 Wamm_Qp[mm]=0.300

P.	Nx	Ny	Nxy	Mx	My	Mxy	σ_{fmed}	Wd	Wk	Cb	Ver	Cs
	kg/mq	kg/mq	kg/mq	kg	kg	kg	kg/cmq	mm	mm			
1	-5975	-15375	-6643	19	-155	52	0	0.000	0.000	38(Qp)	Si	>100
1	-6048	-15537	-6842	19	-157	52	0	0.000	0.000	33(Fr)	Si	>100

Muro :40 - Nodi : [840 - 842 - 10 - 10]

Pann.X=4 Pann.Y=4 Spess.= 30 cm Criterio CLS_Muri_Esist Materiale: C20/25rcm=200
[kg/cm²],fym=4200 [kg/cm²], FC=1.20 qd=2.5, qf=1.5 :

Armatura a maglia doppia, Stampa elementi piu' gravosi

Combinazione Rara: σ_{ca} [kg/cm²]=83 σ_{fa} [kg/cm²]=2800

P.	Nx	Ny	Nxy	Mx	My	Mxy	Afx	Afy	σ_{cmax}	σ_{fmax}	Cbc	Cbf	Ver	Cs
	kg/mq	kg/mq	kg/mq	kg	kg	kg	cmq/m	cmq/m	kg/cmq	kg/cmq				
1	-1343	-21631	34525	-33	-238	124	31.42	31.42	-3	-13	27	27	Si	27
12	85378	-5682	-997	-52	4	7	31.42	31.42	-1	829	29	32	Si	3.4

Combinazione QP: σ_{ca} [kg/cm²]=62 σ_{fa} [kg/cm²]=2800

P.	Nx	Ny	Nxy	Mx	My	Mxy	Afx	Afy	σ_{cmax}	σ_{fmax}	Cbc	Cbf	Ver	Cs
	kg/mq	kg/mq	kg/mq	kg	kg	kg	cmq/m	cmq/m	kg/cmq	kg/cmq				
1	-1308	-20837	33118	-32	-230	120	31.42	31.42	-3	-13	38	38	Si	21
12	81686	-5457	-954	-50	4	6	31.42	31.42	-0	793	38	38	Si	3.5

Verifica aperture fessure: Wamm_Freq[mm]=0.400 Wamm_Qp[mm]=0.300

P.	Nx	Ny	Nxy	Mx	My	Mxy	σ_{fmed}	Wd	Wk	Cb	Ver	Cs
	kg/mq	kg/mq	kg/mq	kg	kg	kg	kg/cmq	mm	mm			
12	81686	-5457	-954	-50	4	6	793	0.092	0.092	38(Qp)	Si	3.3
12	81686	-5457	-954	-50	4	6	793	0.092	0.092	35(Fr)	Si	4.4

Muro :41 - Nodi : [842 - 9 - 821 - 10]

Pann.X=4 Pann.Y=4 Spess.= 30 cm Criterio CLS_Muri_Esist Materiale: C20/25rcm=200
[kg/cmq],fym=4200 [kg/cmq], FC=1.20 qd=2.5, qf=1.5 :

Armatura a maglia doppia, Stampa elementi piu' gravosi

Combinazione Rara: σ_{ca} [kg/cmq]=83 σ_{fa} [kg/cmq]=2800

P.	Nx	Ny	Nxy	Mx	My	Mxy	Afx	Afy	σ_{cmax}	σ_{fmax}	Cbc	Cbf	Ver	Cs
	kg/mq	kg/mq	kg/mq	kg	kg	kg	cmq/m	cmq/m	kg/cmq	kg/cmq				
4	12239	-71705	-4319	12	-201	-67	31.42	31.42	-7	120	27	32	Si	11
3	18661	-51724	-12991	1	-195	-78	31.42	31.42	-5	178	27	32	Si	15

Combinazione QP: σ_{ca} [kg/cmq]=62 σ_{fa} [kg/cmq]=2800

P.	Nx	Ny	Nxy	Mx	My	Mxy	Afx	Afy	σ_{cmax}	σ_{fmax}	Cbc	Cbf	Ver	Cs
	kg/mq	kg/mq	kg/mq	kg	kg	kg	cmq/m	cmq/m	kg/cmq	kg/cmq				
4	11462	-68761	-4178	13	-194	-64	31.42	31.42	-7	113	38	38	Si	9.0
3	17754	-49665	-12499	1	-188	-74	31.42	31.42	-5	170	38	38	Si	12

Verifica aperture fessure:Wamm_Freq[mm]=0.400 Wamm_Qp[mm]=0.300

P.	Nx	Ny	Nxy	Mx	My	Mxy	σ_{fmed}	Wd	Wk	Cb	Ver	Cs
	kg/mq	kg/mq	kg/mq	kg	kg	kg	kg/cmq	mm	mm			
3	17754	-49665	-12499	1	-188	-74	170	0.020	0.020	38(Qp)	Si	15
3	17754	-49665	-12499	1	-188	-74	170	0.020	0.020	35(Fr)	Si	20

Muro :42 - Nodi : [828 - 10 - 841 - 32]

Pann.X=4 Pann.Y=4 Spess.= 30 cm Criterio CLS_Muri_Esist Materiale: C20/25rcm=200
[kg/cmq],fym=4200 [kg/cmq], FC=1.20 qd=2.5, qf=1.5 :

Armatura a maglia doppia, Stampa elementi piu' gravosi

Combinazione Rara: σ_{ca} [kg/cmq]=83 σ_{fa} [kg/cmq]=2800

P.	Nx	Ny	Nxy	Mx	My	Mxy	Afx	Afy	σ_{cmax}	σ_{fmax}	Cbc	Cbf	Ver	Cs
	kg/mq	kg/mq	kg/mq	kg	kg	kg	cmq/m	cmq/m	kg/cmq	kg/cmq				
13	-20686	-56749	-4224	63	-258	-133	31.42	31.42	-6	-57	27	28	Si	13
16	38560	-16884	-3741	55	-303	-71	31.42	31.42	-3	384	27	32	Si	7.3

Combinazione QP: σ_{ca} [kg/cmq]=62 σ_{fa} [kg/cmq]=2800

P.	Nx	Ny	Nxy	Mx	My	Mxy	Afx	Afy	σ_{cmax}	σ_{fmax}	Cbc	Cbf	Ver	Cs
	kg/mq	kg/mq	kg/mq	kg	kg	kg	cmq/m	cmq/m	kg/cmq	kg/cmq				
13	-19190	-53304	-3923	62	-240	-123	31.42	31.42	-6	-54	38	38	Si	11
16	36276	-15712	-3497	54	-281	-66	31.42	31.42	-3	361	38	38	Si	7.8

Verifica aperture fessure:Wamm_Freq[mm]=0.400 Wamm_Qp[mm]=0.300

P.	Nx	Ny	Nxy	Mx	My	Mxy	σ_{fmed}	Wd	Wk	Cb	Ver	Cs
	kg/mq	kg/mq	kg/mq	kg	kg	kg	kg/cmq	mm	mm			
16	36276	-15712	-3497	54	-281	-66	361	0.041	0.041	38(Qp)	Si	7.4
16	36276	-15712	-3497	54	-281	-66	361	0.041	0.041	35(Fr)	Si	9.8

Muro :43 - Nodi : [10 - 10 - 843 - 841]

Pann.X=4 Pann.Y=4 Spess.= 30 cm Criterio CLS_Muri_Esist Materiale: C20/25rcm=200
[kg/cmq],fym=4200 [kg/cmq], FC=1.20 qd=2.5, qf=1.5 :

Armatura a maglia doppia, Stampa elementi piu' gravosi

Combinazione Rara: σ_{ca} [kg/cmq]=83 σ_{fa} [kg/cmq]=2800

P.	Nx	Ny	Nxy	Mx	My	Mxy	Afx	Afy	σ_{cmax}	σ_{fmax}	Cbc	Cbf	Ver	Cs
	kg/mq	kg/mq	kg/mq	kg	kg	kg	cmq/m	cmq/m	kg/cmq	kg/cmq				
12	-51679	-5575	3969	76	-51	-14	31.42	31.42	-5	-62	28	26	Si	17
9	64007	-5123	1895	54	11	-25	31.42	31.42	-0	626	27	32	Si	4.5

Combinazione QP: σ_{ca} [kg/cm²]=62 σ_{fa} [kg/cm²]=2800

P.	Nx	Ny	Nxy	Mx	My	Mxy	Afx	Afy	σ_{cmax}	σ_{fmax}	Cbc	Cbf	Ver	Cs
	kg/mq	kg/mq	kg/mq	kg	kg	kg	cmq/m	cmq/m	kg/cm ²	kg/cm ²				
12	-48454	-5106	3755	74	-46	-13	31.42	31.42	-5	-58	38	38	Si	14
9	60308	-4755	1775	52	10	-24	31.42	31.42	-0	590	38	38	Si	4.7

Verifica aperture fessure:Wamm_Freq[mm]=0.400 Wamm_Qp[mm]=0.300

P.	Nx	Ny	Nxy	Mx	My	Mxy	σ_{fmed}	Wd	Wk	Cb	Ver	Cs
	kg/mq	kg/mq	kg/mq	kg	kg	kg	kg/cm ²	mm	mm			
9	60308	-4755	1775	52	10	-24	590	0.068	0.068	38(Qp)	Si	4.4
9	60308	-4755	1775	52	10	-24	590	0.068	0.068	35(Fr)	Si	5.9

Muro :44 - Nodi : [10 - 827 - 44 - 843]

Pann.X=4 Pann.Y=4 Spess.= 30 cm Criterio CLS_Muri_Esist Materiale: C20/25rcm=200
[kg/cm²],fym=4200 [kg/cm²], FC=1.20 qd=2.5, qf=1.5 :

Armatura a maglia doppia, Stampa elementi piu' gravosi

Combinazione Rara: σ_{ca} [kg/cm²]=83 σ_{fa} [kg/cm²]=2800

P.	Nx	Ny	Nxy	Mx	My	Mxy	Afx	Afy	σ_{cmax}	σ_{fmax}	Cbc	Cbf	Ver	Cs
	kg/mq	kg/mq	kg/mq	kg	kg	kg	cmq/m	cmq/m	kg/cm ²	kg/cm ²				
16	1201	-2257	-5127	-70	-914	-10	31.42	31.42	-7	221	27	32	Si	12

Combinazione QP: σ_{ca} [kg/cm²]=62 σ_{fa} [kg/cm²]=2800

P.	Nx	Ny	Nxy	Mx	My	Mxy	Afx	Afy	σ_{cmax}	σ_{fmax}	Cbc	Cbf	Ver	Cs
	kg/mq	kg/mq	kg/mq	kg	kg	kg	cmq/m	cmq/m	kg/cm ²	kg/cm ²				
16	1014	-2193	-4849	-63	-852	-9	31.42	31.42	-7	204	38	38	Si	9.5

Verifica aperture fessure:Wamm_Freq[mm]=0.400 Wamm_Qp[mm]=0.300

P.	Nx	Ny	Nxy	Mx	My	Mxy	σ_{fmed}	Wd	Wk	Cb	Ver	Cs
	kg/mq	kg/mq	kg/mq	kg	kg	kg	kg/cm ²	mm	mm			
4	15814	-16182	3793	-34	-312	35	160	0.018	0.018	38(Qp)	Si	17
4	15791	-16201	3798	-35	-320	35	160	0.018	0.018	34(Fr)	Si	23

Muro :45 - Nodi : [822 - 10 - 10 - 828]

Pann.X=4 Pann.Y=4 Spess.= 30 cm Criterio CLS_Muri_Esist Materiale: C20/25rcm=200
[kg/cm²],fym=4200 [kg/cm²], FC=1.20 qd=2.5, qf=1.5 :

Armatura a maglia doppia, Stampa elementi piu' gravosi

Combinazione Rara: σ_{ca} [kg/cm²]=83 σ_{fa} [kg/cm²]=2800

P.	Nx	Ny	Nxy	Mx	My	Mxy	Afx	Afy	σ_{cmax}	σ_{fmax}	Cbc	Cbf	Ver	Cs
	kg/mq	kg/mq	kg/mq	kg	kg	kg	cmq/m	cmq/m	kg/cm ²	kg/cm ²				
13	-18263	-102462	20554	35	-116	-64	31.42	31.42	-9	-126	27	27	Si	8.8

Combinazione QP: σ_{ca} [kg/cm²]=62 σ_{fa} [kg/cm²]=2800

P.	Nx	Ny	Nxy	Mx	My	Mxy	Afx	Afy	σ_{cmax}	σ_{fmax}	Cbc	Cbf	Ver	Cs
	kg/mq	kg/mq	kg/mq	kg	kg	kg	cmq/m	cmq/m	kg/cm ²	kg/cm ²				
13	-17503	-97983	19758	33	-113	-61	31.42	31.42	-9	-120	38	38	Si	6.9

Verifica aperture fessure:Wamm_Freq[mm]=0.400 Wamm_Qp[mm]=0.300

P.	Nx	Ny	Nxy	Mx	My	Mxy	σ_{fmed}	Wd	Wk	Cb	Ver	Cs
	kg/mq	kg/mq	kg/mq	kg	kg	kg	kg/cm ²	mm	mm			
2	-3441	-29571	4884	235	38	-67	33	0.002	0.002	38(Qp)	Si	>100
2	-3441	-29571	4884	235	38	-67	33	0.002	0.002	35(Fr)	Si	>100

Muro :46 - Nodi : [10 - 821 - 827 - 10]

Pann.X=4 Pann.Y=4 Spess.= 30 cm Criterio CLS_Muri_Esist Materiale: C20/25rcm=200
[kg/cmq],fym=4200 [kg/cmq], FC=1.20 qd=2.5, qf=1.5 :

Armatura a maglia doppia, Stampa elementi piu' gravosi

Combinazione Rara: σ_{ca} [kg/cmq]=83 σ_{fa} [kg/cmq]=2800

P.	Nx	Ny	Nxy	Mx	My	Mxy	Afx	Afy	σ_{cmax}	σ_{fmax}	Cbc	Cbf	Ver	Cs
	kg/mq	kg/mq	kg/mq	kg	kg	kg	cmq/m	cmq/m	kg/cmq	kg/cmq				
1	-15662	-94533	-9207	-1	-228	-5	31.42	31.42	-9	-109	27	27	Si	8.9
14	869	13026	545	41	-154	5	31.42	31.42	-0	165	29	32	Si	17

Combinazione QP: σ_{ca} [kg/cmq]=62 σ_{fa} [kg/cmq]=2800

P.	Nx	Ny	Nxy	Mx	My	Mxy	Afx	Afy	σ_{cmax}	σ_{fmax}	Cbc	Cbf	Ver	Cs
	kg/mq	kg/mq	kg/mq	kg	kg	kg	cmq/m	cmq/m	kg/cmq	kg/cmq				
1	-15047	-90557	-8956	-0	-221	-3	31.42	31.42	-9	-104	38	38	Si	7.0
14	843	12560	322	39	-148	6	31.42	31.42	-0	159	38	38	Si	18

Verifica aperture fessure:Wamm_Freq[mm]=0.400 Wamm_Qp[mm]=0.300

P.	Nx	Ny	Nxy	Mx	My	Mxy	σ_{fmed}	Wd	Wk	Cb	Ver	Cs
	kg/mq	kg/mq	kg/mq	kg	kg	kg	kg/cmq	mm	mm			
14	843	12560	322	39	-148	6	159	0.014	0.014	38(Qp)	Si	21
14	843	12560	322	39	-148	6	159	0.014	0.014	35(Fr)	Si	28

Muro :47 - Nodi : [844 - 2 - 8 - 822]

Pann.X=4 Pann.Y=4 Spess.= 30 cm Criterio CLS_Muri_Esist Materiale: C20/25rcm=200
[kg/cmq],fym=4200 [kg/cmq], FC=1.20 qd=2.5, qf=1.5 :

Armatura a maglia doppia, Stampa elementi piu' gravosi

Combinazione Rara: σ_{ca} [kg/cmq]=83 σ_{fa} [kg/cmq]=2800

P.	Nx	Ny	Nxy	Mx	My	Mxy	Afx	Afy	σ_{cmax}	σ_{fmax}	Cbc	Cbf	Ver	Cs
	kg/mq	kg/mq	kg/mq	kg	kg	kg	cmq/m	cmq/m	kg/cmq	kg/cmq				
15	-22746	-2214	-2545	288	39	-139	31.42	31.42	-3	-12	29	29	Si	24
4	-16324	717	-45	-55	-135	-16	31.42	31.42	-2	42	27	32	Si	49

Combinazione QP: σ_{ca} [kg/cmq]=62 σ_{fa} [kg/cmq]=2800

P.	Nx	Ny	Nxy	Mx	My	Mxy	Afx	Afy	σ_{cmax}	σ_{fmax}	Cbc	Cbf	Ver	Cs
	kg/mq	kg/mq	kg/mq	kg	kg	kg	cmq/m	cmq/m	kg/cmq	kg/cmq				
15	-21879	-2138	-2508	277	38	-134	31.42	31.42	-3	-11	38	38	Si	19
4	-15669	657	-152	-53	-129	-16	31.42	31.42	-2	40	38	38	Si	38

Verifica aperture fessure:Wamm_Freq[mm]=0.400 Wamm_Qp[mm]=0.300

P.	Nx	Ny	Nxy	Mx	My	Mxy	σ_{fmed}	Wd	Wk	Cb	Ver	Cs
	kg/mq	kg/mq	kg/mq	kg	kg	kg	kg/cmq	mm	mm			
4	-15669	657	-152	-53	-129	-16	40	0.003	0.003	38(Qp)	Si	>100
4	-15669	657	-152	-53	-129	-16	40	0.003	0.003	35(Fr)	Si	>100

Muro :48 - Nodi : [844 - 822 - 828 - 845]

Pann.X=4 Pann.Y=4 Spess.= 30 cm Criterio CLS_Muri_Esist Materiale: C20/25rcm=200
[kg/cmq],fym=4200 [kg/cmq], FC=1.20 qd=2.5, qf=1.5 :

Armatura a maglia doppia, Stampa elementi piu' gravosi

Combinazione Rara: σ_{ca} [kg/cmq]=83 σ_{fa} [kg/cmq]=2800

P.	Nx	Ny	Nxy	Mx	My	Mxy	Afx	Afy	σ_{cmax}	σ_{fmax}	Cbc	Cbf	Ver	Cs
	kg/mq	kg/mq	kg/mq	kg	kg	kg	cmq/m	cmq/m	kg/cmq	kg/cmq				
1	-568	-15009	2527	22	154	79	31.42	31.42	-2	-10	29	27	Si	40
16	6664	-16609	108	-234	-88	-45	31.42	31.42	-2	126	27	32	Si	22

Combinazione QP: $\sigma_{ca}[\text{kg/cm}^2]=62$ $\sigma_{fa}[\text{kg/cm}^2]=2800$

P.	Nx	Ny	Nxy	Mx	My	Mxy	Afx	Afy	σ_{cmax}	σ_{fmax}	Cbc	Cbf	Ver	Cs
	kg/mq	kg/mq	kg/mq	kg	kg	kg	cmq/m	cmq/m	kg/cmq	kg/cmq				
1	-640	-14584	2165	21	148	76	31.42	31.42	-2	-10	38	38	Si	31
16	6269	-15660	226	-225	-84	-43	31.42	31.42	-2	119	38	38	Si	24

Verifica aperture fessure: Wamm_Freq[mm]=0.400 Wamm_Qp[mm]=0.300

P.	Nx	Ny	Nxy	Mx	My	Mxy	σ_{fmed}	Wd	Wk	Cb	Ver	Cs
	kg/mq	kg/mq	kg/mq	kg	kg	kg	kg/cmq	mm	mm			
15	4987	-13083	108	-266	-136	-42	117	0.008	0.008	38(Qp)	Si	37
15	4987	-13083	108	-266	-136	-42	117	0.008	0.008	35(Fr)	Si	50

Muro :49 - Nodi : [845 - 828 - 32 - 34]

Pann.X=4 Pann.Y=4 Spess.= 30 cm Criterio CLS_Muri_Esist Materiale: C20/25rcm=200
[kg/cmq],fym=4200 [kg/cmq], FC=1.20 qd=2.5, qf=1.5 :

Armatura a maglia doppia, Stampa elementi piu' gravosi

Combinazione Rara: $\sigma_{ca}[\text{kg/cm}^2]=83$ $\sigma_{fa}[\text{kg/cm}^2]=2800$

P.	Nx	Ny	Nxy	Mx	My	Mxy	Afx	Afy	σ_{cmax}	σ_{fmax}	Cbc	Cbf	Ver	Cs
	kg/mq	kg/mq	kg/mq	kg	kg	kg	cmq/m	cmq/m	kg/cmq	kg/cmq				
15	-5319	-37598	-2305	-167	91	-55	31.42	31.42	-4	-43	27	27	Si	22
4	17443	-15892	2022	40	-119	-25	31.42	31.42	-2	175	27	32	Si	16

Combinazione QP: $\sigma_{ca}[\text{kg/cm}^2]=62$ $\sigma_{fa}[\text{kg/cm}^2]=2800$

P.	Nx	Ny	Nxy	Mx	My	Mxy	Afx	Afy	σ_{cmax}	σ_{fmax}	Cbc	Cbf	Ver	Cs
	kg/mq	kg/mq	kg/mq	kg	kg	kg	cmq/m	cmq/m	kg/cmq	kg/cmq				
15	-4817	-35051	-2047	-162	85	-53	31.42	31.42	-3	-40	38	38	Si	18
4	15700	-15630	2140	39	-113	-23	31.42	31.42	-2	160	38	38	Si	17

Verifica aperture fessure: Wamm_Freq[mm]=0.400 Wamm_Qp[mm]=0.300

P.	Nx	Ny	Nxy	Mx	My	Mxy	σ_{fmed}	Wd	Wk	Cb	Ver	Cs
	kg/mq	kg/mq	kg/mq	kg	kg	kg	kg/cmq	mm	mm			
4	15700	-15630	2140	39	-113	-23	160	0.018	0.018	38(Qp)	Si	17
4	15700	-15630	2140	39	-113	-23	160	0.018	0.018	35(Fr)	Si	23

Muro :50 - Nodi : [8 - 7 - 823 - 822]

Pann.X=4 Pann.Y=4 Spess.= 30 cm Criterio CLS_Muri_Esist Materiale: C20/25rcm=200
[kg/cmq],fym=4200 [kg/cmq], FC=1.20 qd=2.5, qf=1.5 :

Armatura a maglia doppia, Stampa elementi piu' gravosi

Combinazione Rara: $\sigma_{ca}[\text{kg/cm}^2]=83$ $\sigma_{fa}[\text{kg/cm}^2]=2800$

P.	Nx	Ny	Nxy	Mx	My	Mxy	Afx	Afy	σ_{cmax}	σ_{fmax}	Cbc	Cbf	Ver	Cs
	kg/mq	kg/mq	kg/mq	kg	kg	kg	cmq/m	cmq/m	kg/cmq	kg/cmq				
5	-2091	-20012	4373	25	258	-313	31.42	31.42	-3	-10	27	27	Si	27
4	-669	-14077	3575	-380	-128	-153	31.42	31.42	-3	94	29	32	Si	29

Combinazione QP: $\sigma_{ca}[\text{kg/cm}^2]=62$ $\sigma_{fa}[\text{kg/cm}^2]=2800$

P.	Nx	Ny	Nxy	Mx	My	Mxy	Afx	Afy	σ_{cmax}	σ_{fmax}	Cbc	Cbf	Ver	Cs
	kg/mq	kg/mq	kg/mq	kg	kg	kg	cmq/m	cmq/m	kg/cmq	kg/cmq				
5	-2014	-19271	4213	24	248	-299	31.42	31.42	-3	-10	38	38	Si	21
4	-671	-13509	3405	-364	-123	-147	31.42	31.42	-3	90	38	38	Si	22

Verifica aperture fessure: Wamm_Freq[mm]=0.400 Wamm_Qp[mm]=0.300

P.	Nx	Ny	Nxy	Mx	My	Mxy	σ_{fmed}	Wd	Wk	Cb	Ver	Cs
----	----	----	-----	----	----	-----	-----------------	----	----	----	-----	----

P.	Nx	Ny	Nxy	Mx	My	Mxy	σ_{fmed}	Wd	Wk	Cb	Ver	Cs
	kg/mq	kg/mq	kg/mq	kg	kg	kg	kg/cmq	mm	mm			
4	-671	-13509	3405	-364	-123	-147	90	0.006	0.006	38(Qp)	Si	51
4	-671	-13509	3405	-364	-123	-147	90	0.006	0.006	35(Fr)	Si	67

Muro :51 - Nodi : [822 - 823 - 829 - 828]

Pann.X=4 Pann.Y=4 Spess.= 30 cm Criterio CLS_Muri_Esist Materiale: C20/25rcm=200
[kg/cmq],fym=4200 [kg/cmq], FC=1.20 qd=2.5, qf=1.5 :

Armatura a maglia doppia, Stampa elementi piu' gravosi

Combinazione Rara: σ_{ca} [kg/cmq]=83 σ_{fa} [kg/cmq]=2800

P.	Nx	Ny	Nxy	Mx	My	Mxy	Afx	Afy	σ_{cmax}	σ_{fmax}	Cbc	Cbf	Ver	Cs
	kg/mq	kg/mq	kg/mq	kg	kg	kg	cmq/m	cmq/m	kg/cmq	kg/cmq				
2	3239	-11677	699	-546	-177	-53	31.42	31.42	-4	173	29	32	Si	16

Combinazione QP: σ_{ca} [kg/cmq]=62 σ_{fa} [kg/cmq]=2800

P.	Nx	Ny	Nxy	Mx	My	Mxy	Afx	Afy	σ_{cmax}	σ_{fmax}	Cbc	Cbf	Ver	Cs
	kg/mq	kg/mq	kg/mq	kg	kg	kg	cmq/m	cmq/m	kg/cmq	kg/cmq				
2	3027	-11126	587	-521	-168	-50	31.42	31.42	-4	165	38	38	Si	17

Verifica aperture fessure:Wamm_Freq[mm]=0.400 Wamm_Qp[mm]=0.300

P.	Nx	Ny	Nxy	Mx	My	Mxy	σ_{fmed}	Wd	Wk	Cb	Ver	Cs
	kg/mq	kg/mq	kg/mq	kg	kg	kg	kg/cmq	mm	mm			
16	10295	-209	6953	188	101	138	148	0.012	0.012	38(Qp)	Si	25
16	10295	-209	6953	188	101	138	148	0.012	0.012	35(Fr)	Si	34

Muro :52 - Nodi : [828 - 829 - 30 - 32]

Pann.X=4 Pann.Y=4 Spess.= 30 cm Criterio CLS_Muri_Esist Materiale: C20/25rcm=200
[kg/cmq],fym=4200 [kg/cmq], FC=1.20 qd=2.5, qf=1.5 :

Armatura a maglia doppia, Stampa elementi piu' gravosi

Combinazione Rara: σ_{ca} [kg/cmq]=83 σ_{fa} [kg/cmq]=2800

P.	Nx	Ny	Nxy	Mx	My	Mxy	Afx	Afy	σ_{cmax}	σ_{fmax}	Cbc	Cbf	Ver	Cs
	kg/mq	kg/mq	kg/mq	kg	kg	kg	cmq/m	cmq/m	kg/cmq	kg/cmq				
16	-101488	16740	-13588	295	-35	109	31.42	31.42	-10	169	29	32	Si	8.1
4	46163	21269	-18918	-47	244	40	31.42	31.42	0	365	24	32	Si	7.7

Combinazione QP: σ_{ca} [kg/cmq]=62 σ_{fa} [kg/cmq]=2800

P.	Nx	Ny	Nxy	Mx	My	Mxy	Afx	Afy	σ_{cmax}	σ_{fmax}	Cbc	Cbf	Ver	Cs
	kg/mq	kg/mq	kg/mq	kg	kg	kg	cmq/m	cmq/m	kg/cmq	kg/cmq				
16	-93575	15466	-12433	279	-32	102	31.42	31.42	-10	156	38	38	Si	6.5
4	34835	15053	-14159	-34	199	40	31.42	31.42	0	342	38	38	Si	8.2

Verifica aperture fessure:Wamm_Freq[mm]=0.400 Wamm_Qp[mm]=0.300

P.	Nx	Ny	Nxy	Mx	My	Mxy	σ_{fmed}	Wd	Wk	Cb	Ver	Cs
	kg/mq	kg/mq	kg/mq	kg	kg	kg	kg/cmq	mm	mm			
4	34835	15053	-14159	-34	199	40	342	0.039	0.039	38(Qp)	Si	7.7
4	34835	15053	-14159	-34	199	40	342	0.039	0.039	35(Fr)	Si	10

Muro :53 - Nodi : [35 - 846 - 10 - 818]

Pann.X=4 Pann.Y=4 Spess.= 30 cm Criterio CLS_Muri_Esist Materiale: C20/25rcm=200
[kg/cmq],fym=4200 [kg/cmq], FC=1.20 qd=2.5, qf=1.5 :

Armatura a maglia doppia, Stampa elementi piu' gravosi

Combinazione Rara: σ_{ca} [kg/cmq]=83 σ_{fa} [kg/cmq]=2800

P.	Nx	Ny	Nxy	Mx	My	Mxy	Afx	Afy	σ_{cmax}	σ_{fmax}	Cbc	Cbf	Ver	Cs
	kg/mq	kg/mq	kg/mq	kg	kg	kg	cmq/m	cmq/m	kg/cmq	kg/cmq				
13	-19962	-133103	22360	60	695	-65	31.42	31.42	-15	-130	28	28	Si	5.5
16	288	-111823	1410	7	168	18	31.42	31.42	-11	-135	29	29	Si	7.9

Combinazione QP: $\sigma_{\text{ca}}[\text{kg/cm}^2]=62$ $\sigma_{\text{fa}}[\text{kg/cm}^2]=2800$

P.	Nx	Ny	Nxy	Mx	My	Mxy	Afx	Afy	σ_{cmax}	σ_{fmax}	Cbc	Cbf	Ver	Cs
	kg/mq	kg/mq	kg/mq	kg	kg	kg	cmq/m	cmq/m	kg/cmq	kg/cmq				
13	-19704	-130295	22061	58	673	-65	31.42	31.42	-15	-128	38	38	Si	4.2
16	210	-108792	1472	7	162	17	31.42	31.42	-10	-131	38	38	Si	6.1

Verifica aperture fessure: Wamm_Freq[mm]=0.400 Wamm_Qp[mm]=0.300

P.	Nx	Ny	Nxy	Mx	My	Mxy	σ_{fmed}	Wd	Wk	Cb	Ver	Cs
	kg/mq	kg/mq	kg/mq	kg	kg	kg	kg/cmq	mm	mm			
4	-257	-18073	817	-166	62	95	41	0.003	0.003	38(Qp)	Si	>100
4	-257	-18073	817	-166	62	95	41	0.003	0.003	35(Fr)	Si	>100

Muro :54 - Nodi : [818 - 10 - 10 - 824]

Pann.X=4 Pann.Y=4 Spess.= 30 cm Criterio CLS_Muri_Esist Materiale: C20/25rcm=200
[kg/cmq],fym=4200 [kg/cmq], FC=1.20 qd=2.5, qf=1.5 :

Armatura a maglia doppia, Stampa elementi piu' gravosi

Combinazione Rara: $\sigma_{\text{ca}}[\text{kg/cm}^2]=83$ $\sigma_{\text{fa}}[\text{kg/cm}^2]=2800$

P.	Nx	Ny	Nxy	Mx	My	Mxy	Afx	Afy	σ_{cmax}	σ_{fmax}	Cbc	Cbf	Ver	Cs
	kg/mq	kg/mq	kg/mq	kg	kg	kg	cmq/m	cmq/m	kg/cmq	kg/cmq				
13	-2277	-109060	519	-2	17	39	31.42	31.42	-10	-140	29	29	Si	8.7

Combinazione QP: $\sigma_{\text{ca}}[\text{kg/cm}^2]=62$ $\sigma_{\text{fa}}[\text{kg/cm}^2]=2800$

P.	Nx	Ny	Nxy	Mx	My	Mxy	Afx	Afy	σ_{cmax}	σ_{fmax}	Cbc	Cbf	Ver	Cs
	kg/mq	kg/mq	kg/mq	kg	kg	kg	cmq/m	cmq/m	kg/cmq	kg/cmq				
13	-2237	-105765	585	-2	16	37	31.42	31.42	-9	-136	38	38	Si	6.7

Verifica aperture fessure: Wamm_Freq[mm]=0.400 Wamm_Qp[mm]=0.300

P.	Nx	Ny	Nxy	Mx	My	Mxy	σ_{fmed}	Wd	Wk	Cb	Ver	Cs
	kg/mq	kg/mq	kg/mq	kg	kg	kg	kg/cmq	mm	mm			
1	-479	-12707	2222	-122	10	79	28	0.002	0.002	38(Qp)	Si	>100
1	-479	-12707	2222	-122	10	79	28	0.002	0.002	35(Fr)	Si	>100

Muro :55 - Nodi : [824 - 10 - 847 - 36]

Pann.X=4 Pann.Y=4 Spess.= 30 cm Criterio CLS_Muri_Esist Materiale: C20/25rcm=200
[kg/cmq],fym=4200 [kg/cmq], FC=1.20 qd=2.5, qf=1.5 :

Armatura a maglia doppia, Stampa elementi piu' gravosi

Combinazione Rara: $\sigma_{\text{ca}}[\text{kg/cm}^2]=83$ $\sigma_{\text{fa}}[\text{kg/cm}^2]=2800$

P.	Nx	Ny	Nxy	Mx	My	Mxy	Afx	Afy	σ_{cmax}	σ_{fmax}	Cbc	Cbf	Ver	Cs
	kg/mq	kg/mq	kg/mq	kg	kg	kg	cmq/m	cmq/m	kg/cmq	kg/cmq				
13	14461	-72703	734	101	111	100	31.42	31.42	-7	165	29	32	Si	12

Combinazione QP: $\sigma_{\text{ca}}[\text{kg/cm}^2]=62$ $\sigma_{\text{fa}}[\text{kg/cm}^2]=2800$

P.	Nx	Ny	Nxy	Mx	My	Mxy	Afx	Afy	σ_{cmax}	σ_{fmax}	Cbc	Cbf	Ver	Cs
	kg/mq	kg/mq	kg/mq	kg	kg	kg	cmq/m	cmq/m	kg/cmq	kg/cmq				
13	13652	-69079	687	95	107	94	31.42	31.42	-7	156	38	38	Si	9.6

Verifica aperture fessure: Wamm_Freq[mm]=0.400 Wamm_Qp[mm]=0.300

P.	Nx	Ny	Nxy	Mx	My	Mxy	σ_{fmed}	Wd	Wk	Cb	Ver	Cs
	kg/mq	kg/mq	kg/mq	kg	kg	kg	kg/cmq	mm	mm			
13	13652	-69079	687	95	107	94	156	0.015	0.015	38(Qp)	Si	20
13	13566	-69493	752	97	107	95	155	0.015	0.015	33(Fr)	Si	26

Muro :56 - Nodi : [10 - 10 - 849 - 847]

Pann.X=4 Pann.Y=4 Spess.= 30 cm Criterio CLS_Muri_Esist Materiale: C20/25rcm=200
[kg/cm²],fym=4200 [kg/cm²], FC=1.20 qd=2.5, qf=1.5 :

Armatura a maglia doppia, Stampa elementi piu' gravosi

Combinazione Rara: σ_{ca} [kg/cm²]=83 σ_{fa} [kg/cm²]=2800

P.	Nx	Ny	Nxy	Mx	My	Mxy	Afx	Afy	σ_{cmax}	σ_{fmax}	Cbc	Cbf	Ver	Cs
	kg/mq	kg/mq	kg/mq	kg	kg	kg	cmq/m	cmq/m	kg/cm ²	kg/cm ²				
12	-14880	-1355	1054	-65	18	7	31.42	31.42	-2	-15	28	24	Si	51
13	36124	52280	-2441	-74	50	-13	31.42	31.42	0	486	24	32	Si	5.8

Combinazione QP: σ_{ca} [kg/cm²]=62 σ_{fa} [kg/cm²]=2800

P.	Nx	Ny	Nxy	Mx	My	Mxy	Afx	Afy	σ_{cmax}	σ_{fmax}	Cbc	Cbf	Ver	Cs
	kg/mq	kg/mq	kg/mq	kg	kg	kg	cmq/m	cmq/m	kg/cm ²	kg/cm ²				
12	-15059	-1281	1128	-60	18	6	31.42	31.42	-2	-16	38	38	Si	39
13	32274	48584	-1776	-58	45	-15	31.42	31.42	0	476	38	38	Si	5.9

Verifica aperture fessure:Wamm_Freq[mm]=0.400 Wamm_Qp[mm]=0.300

P.	Nx	Ny	Nxy	Mx	My	Mxy	σ_{fmed}	Wd	Wk	Cb	Ver	Cs
	kg/mq	kg/mq	kg/mq	kg	kg	kg	kg/cm ²	mm	mm			
13	32274	48584	-1776	-58	45	-15	476	0.055	0.055	38(Qp)	Si	5.5
13	32274	48584	-1776	-58	45	-15	476	0.055	0.055	35(Fr)	Si	7.3

Muro :57 - Nodi : [848 - 41 - 838 - 10]

Pann.X=4 Pann.Y=4 Spess.= 30 cm Criterio CLS_Muri_Esist Materiale: C20/25rcm=200
[kg/cm²],fym=4200 [kg/cm²], FC=1.20 qd=2.5, qf=1.5 :

Armatura a maglia doppia, Stampa elementi piu' gravosi

Combinazione Rara: σ_{ca} [kg/cm²]=83 σ_{fa} [kg/cm²]=2800

P.	Nx	Ny	Nxy	Mx	My	Mxy	Afx	Afy	σ_{cmax}	σ_{fmax}	Cbc	Cbf	Ver	Cs
	kg/mq	kg/mq	kg/mq	kg	kg	kg	cmq/m	cmq/m	kg/cm ²	kg/cm ²				
1	-51367	-195003	-61131	97	1002	159	31.42	31.42	-22	-191	29	29	Si	3.8

Combinazione QP: σ_{ca} [kg/cm²]=62 σ_{fa} [kg/cm²]=2800

P.	Nx	Ny	Nxy	Mx	My	Mxy	Afx	Afy	σ_{cmax}	σ_{fmax}	Cbc	Cbf	Ver	Cs
	kg/mq	kg/mq	kg/mq	kg	kg	kg	cmq/m	cmq/m	kg/cm ²	kg/cm ²				
1	-49301	-187824	-58641	93	962	152	31.42	31.42	-21	-184	38	38	Si	2.9

Verifica aperture fessure:Wamm_Freq[mm]=0.400 Wamm_Qp[mm]=0.300

P.	Nx	Ny	Nxy	Mx	My	Mxy	σ_{fmed}	Wd	Wk	Cb	Ver	Cs
	kg/mq	kg/mq	kg/mq	kg	kg	kg	kg/cm ²	mm	mm			
9	-21167	-18074	-9095	35	532	135	20	0.001	0.001	38(Qp)	Si	>100
9	-21167	-18074	-9095	35	532	135	20	0.001	0.001	35(Fr)	Si	>100

Muro :58 - Nodi : [10 - 838 - 839 - 10]

Pann.X=4 Pann.Y=4 Spess.= 30 cm Criterio CLS_Muri_Esist Materiale: C20/25rcm=200
[kg/cm²],fym=4200 [kg/cm²], FC=1.20 qd=2.5, qf=1.5 :

Armatura a maglia doppia, Stampa elementi piu' gravosi

Combinazione Rara: σ_{ca} [kg/cm²]=83 σ_{fa} [kg/cm²]=2800

P.	Nx	Ny	Nxy	Mx	My	Mxy	Afx	Afy	σ_{cmax}	σ_{fmax}	Cbc	Cbf	Ver	Cs
	kg/mq	kg/mq	kg/mq	kg	kg	kg	cmq/m	cmq/m	kg/cmq	kg/cmq				
1	1088	-87683	-3750	-8	-53	-52	31.42	31.42	-8	-110	29	29	Si	11

Combinazione QP: σ_{ca} [kg/cm²]=62 σ_{fa} [kg/cm²]=2800

P.	Nx	Ny	Nxy	Mx	My	Mxy	Afx	Afy	σ_{cmax}	σ_{fmax}	Cbc	Cbf	Ver	Cs
	kg/mq	kg/mq	kg/mq	kg	kg	kg	cmq/m	cmq/m	kg/cmq	kg/cmq				
1	959	-85015	-3601	-8	-51	-50	31.42	31.42	-8	-107	38	38	Si	8.2

Verifica aperture fessure: Wamm_Freq[mm]=0.400 Wamm_Qp[mm]=0.300

P.	Nx	Ny	Nxy	Mx	My	Mxy	σ_{fmed}	Wd	Wk	Cb	Ver	Cs
	kg/mq	kg/mq	kg/mq	kg	kg	kg	kg/cmq	mm	mm			
16	3509	-33461	-20620	-100	43	66	60	0.004	0.004	38(Qp)	Si	73
16	3509	-33461	-20620	-100	43	66	60	0.004	0.004	35(Fr)	Si	97

Muro :59 - Nodi : [854 - 10 - 851 - 10]

Pann.X=4 Pann.Y=4 Spess.= 30 cm Criterio CLS_Muri_Esist Materiale: C20/25rcm=200
[kg/cm²],fym=4200 [kg/cm²], FC=1.20 qd=2.5, qf=1.5 :

Armatura a maglia doppia, Stampa elementi piu' gravosi

Combinazione Rara: σ_{ca} [kg/cm²]=83 σ_{fa} [kg/cm²]=2800

P.	Nx	Ny	Nxy	Mx	My	Mxy	Afx	Afy	σ_{cmax}	σ_{fmax}	Cbc	Cbf	Ver	Cs
	kg/mq	kg/mq	kg/mq	kg	kg	kg	cmq/m	cmq/m	kg/cmq	kg/cmq				
13	-27234	-86338	-2871	30	133	101	31.42	31.42	-8	-104	29	29	Si	10
16	39218	-25162	-5859	61	143	60	31.42	31.42	-3	391	29	32	Si	7.2

Combinazione QP: σ_{ca} [kg/cm²]=62 σ_{fa} [kg/cm²]=2800

P.	Nx	Ny	Nxy	Mx	My	Mxy	Afx	Afy	σ_{cmax}	σ_{fmax}	Cbc	Cbf	Ver	Cs
	kg/mq	kg/mq	kg/mq	kg	kg	kg	cmq/m	cmq/m	kg/cmq	kg/cmq				
13	-23676	-80219	-2553	29	121	93	31.42	31.42	-8	-97	38	38	Si	8.2
16	35702	-23367	-5491	56	130	55	31.42	31.42	-3	356	38	38	Si	7.9

Verifica aperture fessure: Wamm_Freq[mm]=0.400 Wamm_Qp[mm]=0.300

P.	Nx	Ny	Nxy	Mx	My	Mxy	σ_{fmed}	Wd	Wk	Cb	Ver	Cs
	kg/mq	kg/mq	kg/mq	kg	kg	kg	kg/cmq	mm	mm			
16	35702	-23367	-5491	56	130	55	356	0.040	0.040	38(Qp)	Si	7.5
16	35702	-23367	-5491	56	130	55	356	0.040	0.040	35(Fr)	Si	10.0

Muro :60 - Nodi : [10 - 10 - 852 - 851]

Pann.X=4 Pann.Y=4 Spess.= 30 cm Criterio CLS_Muri_Esist Materiale: C20/25rcm=200
[kg/cm²],fym=4200 [kg/cm²], FC=1.20 qd=2.5, qf=1.5 :

Armatura a maglia doppia, Stampa elementi piu' gravosi

Combinazione Rara: σ_{ca} [kg/cm²]=83 σ_{fa} [kg/cm²]=2800

P.	Nx	Ny	Nxy	Mx	My	Mxy	Afx	Afy	σ_{cmax}	σ_{fmax}	Cbc	Cbf	Ver	Cs
	kg/mq	kg/mq	kg/mq	kg	kg	kg	cmq/m	cmq/m	kg/cmq	kg/cmq				
8	-63686	-9891	-8726	-47	75	27	31.42	31.42	-6	-80	26	26	Si	14
5	84466	-7284	-3526	-20	-2	23	31.42	31.42	-1	811	26	32	Si	3.5

Combinazione QP: σ_{ca} [kg/cm²]=62 σ_{fa} [kg/cm²]=2800

P.	Nx	Ny	Nxy	Mx	My	Mxy	Afx	Afy	σ_{cmax}	σ_{fmax}	Cbc	Cbf	Ver	Cs
	kg/mq	kg/mq	kg/mq	kg	kg	kg	cmq/m	cmq/m	kg/cmq	kg/cmq				
8	-58921	-9039	-7818	-43	68	25	31.42	31.42	-5	-74	38	38	Si	12
5	79101	-6681	-3172	-18	-2	21	31.42	31.42	-1	760	38	38	Si	3.7

Verifica aperture fessure:Wamm_Freq[mm]=0.400 Wamm_Qp[mm]=0.300

P.	Nx	Ny	Nxy	Mx	My	Mxy	σfmed	Wd	Wk	Cb	Ver	Cs
	kg/mq	kg/mq	kg/mq	kg	kg	kg	kg/cmq	mm	mm			
5	79101	-6681	-3172	-18	-2	21	760	0.089	0.089	38(Qp)	Si	3.4
5	79101	-6681	-3172	-18	-2	21	760	0.089	0.089	35(Fr)	Si	4.5

Muro :61 - Nodi : [10 - 855 - 8 - 852]

Pann.X=4 Pann.Y=4 Spess.= 30 cm Criterio CLS_Muri_Esist Materiale: C20/25rcm=200
[kg/cmq],fym=4200 [kg/cmql], FC=1.20 qd=2.5, qf=1.5 :

Armatura a maglia doppia, Stampa elementi piu' gravosi

Combinazione Rara: σca[kg/cmql]=83 σfa[kg/cmql]=2800

P.	Nx	Ny	Nxy	Mx	My	Mxy	Afx	Afy	σcmax	σfmax	Cbc	Cbf	Ver	Cs
	kg/mq	kg/mq	kg/mq	kg	kg	kg	cmq/m	cmq/m	kg/cmql	kg/cmql				
1	-33775	-64486	10857	38	208	-134	31.42	31.42	-7	-70	28	27	Si	13
8	64132	-19834	4173	87	220	-68	31.42	31.42	-3	635	28	32	Si	4.4

Combinazione QP: σca[kg/cmql]=62 σfa[kg/cmql]=2800

P.	Nx	Ny	Nxy	Mx	My	Mxy	Afx	Afy	σcmax	σfmax	Cbc	Cbf	Ver	Cs
	kg/mq	kg/mq	kg/mq	kg	kg	kg	cmq/m	cmq/m	kg/cmql	kg/cmql				
1	-31737	-60002	9957	35	192	-124	31.42	31.42	-6	-66	38	38	Si	10
8	60583	-18151	3764	80	205	-63	31.42	31.42	-3	600	38	38	Si	4.7

Verifica aperture fessure:Wamm_Freq[mm]=0.400 Wamm_Qp[mm]=0.300

P.	Nx	Ny	Nxy	Mx	My	Mxy	σfmed	Wd	Wk	Cb	Ver	Cs
	kg/mq	kg/mq	kg/mq	kg	kg	kg	kg/cmql	mm	mm			
8	60583	-18151	3764	80	205	-63	600	0.068	0.068	38(Qp)	Si	4.4
8	60583	-18151	3764	80	205	-63	600	0.068	0.068	35(Fr)	Si	5.9

Muro :62 - Nodi : [855 - 10 - 857 - 8]

Pann.X=4 Pann.Y=4 Spess.= 30 cm Criterio CLS_Muri_Esist Materiale: C20/25rcm=200
[kg/cmql],fym=4200 [kg/cmql], FC=1.20 qd=2.5, qf=1.5 :

Armatura a maglia doppia, Stampa elementi piu' gravosi

Combinazione Rara: σca[kg/cmql]=83 σfa[kg/cmql]=2800

P.	Nx	Ny	Nxy	Mx	My	Mxy	Afx	Afy	σcmax	σfmax	Cbc	Cbf	Ver	Cs
	kg/mq	kg/mq	kg/mq	kg	kg	kg	cmq/m	cmq/m	kg/cmql	kg/cmql				
13	-39208	-67557	-10258	39	214	133	31.42	31.42	-7	-74	29	27	Si	12
12	50210	-20727	598	110	268	79	31.42	31.42	-3	509	29	32	Si	5.5

Combinazione QP: σca[kg/cmql]=62 σfa[kg/cmql]=2800

P.	Nx	Ny	Nxy	Mx	My	Mxy	Afx	Afy	σcmax	σfmax	Cbc	Cbf	Ver	Cs
	kg/mq	kg/mq	kg/mq	kg	kg	kg	cmq/m	cmq/m	kg/cmql	kg/cmql				
13	-36371	-62779	-9381	31	195	120	31.42	31.42	-6	-69	38	38	Si	9.7
12	47199	-19130	655	97	246	71	31.42	31.42	-3	476	38	38	Si	5.9

Verifica aperture fessure:Wamm_Freq[mm]=0.400 Wamm_Qp[mm]=0.300

P.	Nx	Ny	Nxy	Mx	My	Mxy	σfmed	Wd	Wk	Cb	Ver	Cs
	kg/mq	kg/mq	kg/mq	kg	kg	kg	kg/cmql	mm	mm			
16	47472	-23855	-7644	72	231	69	473	0.053	0.053	38(Qp)	Si	5.6
16	47300	-23934	-7659	73	232	69	471	0.053	0.053	34(Fr)	Si	7.5

Muro :63 - Nodi : [10 - 10 - 859 - 857]

Pann.X=4 Pann.Y=4 Spess.= 30 cm Criterio CLS_Muri_Esist Materiale: C20/25rcm=200
[kg/cmql],fym=4200 [kg/cmql], FC=1.20 qd=2.5, qf=1.5 :

Armatura a maglia doppia, Stampa elementi piu' gravosi

Combinazione Rara: σ_{ca} [kg/cm²]=83 σ_{fa} [kg/cm²]=2800

P.	Nx	Ny	Nxy	Mx	My	Mxy	Afx	Afy	σ_{cmax}	σ_{fmax}	Cbc	Cbf	Ver	Cs
	kg/mq	kg/mq	kg/mq	kg	kg	kg	cmq/m	cmq/m	kg/cm ²	kg/cm ²				
8	-57952	-10115	-9187	-71	82	32	31.42	31.42	-5	-71	28	28	Si	15
5	71183	-13255	-2798	-39	-8	27	31.42	31.42	-1	690	28	32	Si	4.1

Combinazione QP: σ_{ca} [kg/cm²]=62 σ_{fa} [kg/cm²]=2800

P.	Nx	Ny	Nxy	Mx	My	Mxy	Afx	Afy	σ_{cmax}	σ_{fmax}	Cbc	Cbf	Ver	Cs
	kg/mq	kg/mq	kg/mq	kg	kg	kg	cmq/m	cmq/m	kg/cm ²	kg/cm ²				
8	-52778	-9181	-8630	-67	75	29	31.42	31.42	-5	-64	38	38	Si	13
5	65869	-12157	-2641	-37	-7	24	31.42	31.42	-1	639	38	38	Si	4.4

Verifica aperture fessure:Wamm_Freq[mm]=0.400 Wamm_Qp[mm]=0.300

P.	Nx	Ny	Nxy	Mx	My	Mxy	σ_{fmed}	Wd	Wk	Cb	Ver	Cs
	kg/mq	kg/mq	kg/mq	kg	kg	kg	kg/cm ²	mm	mm			
5	65869	-12157	-2641	-37	-7	24	639	0.074	0.074	38(Qp)	Si	4.1
5	65869	-12157	-2641	-37	-7	24	639	0.074	0.074	35(Fr)	Si	5.4

Muro :64 - Nodi : [10 - 860 - 18 - 859]

Pann.X=4 Pann.Y=4 Spess.= 30 cm Criterio CLS_Muri_Esist Materiale: C20/25rcm=200
[kg/cm²],fym=4200 [kg/cm²], FC=1.20 qd=2.5, qf=1.5 :

Armatura a maglia doppia, Stampa elementi piu' gravosi

Combinazione Rara: σ_{ca} [kg/cm²]=83 σ_{fa} [kg/cm²]=2800

P.	Nx	Ny	Nxy	Mx	My	Mxy	Afx	Afy	σ_{cmax}	σ_{fmax}	Cbc	Cbf	Ver	Cs
	kg/mq	kg/mq	kg/mq	kg	kg	kg	cmq/m	cmq/m	kg/cm ²	kg/cm ²				
1	-41518	-66176	9723	-5	198	-122	31.42	31.42	-7	-74	29	29	Si	12
8	65582	-19633	1858	33	211	-76	31.42	31.42	-3	633	28	32	Si	4.4

Combinazione QP: σ_{ca} [kg/cm²]=62 σ_{fa} [kg/cm²]=2800

P.	Nx	Ny	Nxy	Mx	My	Mxy	Afx	Afy	σ_{cmax}	σ_{fmax}	Cbc	Cbf	Ver	Cs
	kg/mq	kg/mq	kg/mq	kg	kg	kg	cmq/m	cmq/m	kg/cm ²	kg/cm ²				
1	-37516	-60952	8956	-0	181	-114	31.42	31.42	-6	-68	38	38	Si	10
8	60626	-18024	1787	35	196	-70	31.42	31.42	-3	588	38	38	Si	4.8

Verifica aperture fessure:Wamm_Freq[mm]=0.400 Wamm_Qp[mm]=0.300

P.	Nx	Ny	Nxy	Mx	My	Mxy	σ_{fmed}	Wd	Wk	Cb	Ver	Cs
	kg/mq	kg/mq	kg/mq	kg	kg	kg	kg/cm ²	mm	mm			
4	60860	-23127	6136	19	210	-65	586	0.068	0.068	38(Qp)	Si	4.4
4	60860	-23127	6136	19	210	-65	586	0.068	0.068	35(Fr)	Si	5.9

Muro :65 - Nodi : [9 - 850 - 10 - 861]

Pann.X=4 Pann.Y=4 Spess.= 30 cm Criterio CLS_Muri_Esist Materiale: C20/25rcm=200
[kg/cm²],fym=4200 [kg/cm²], FC=1.20 qd=2.5, qf=1.5 :

Armatura a maglia doppia, Stampa elementi piu' gravosi

Combinazione Rara: σ_{ca} [kg/cm²]=83 σ_{fa} [kg/cm²]=2800

P.	Nx	Ny	Nxy	Mx	My	Mxy	Afx	Afy	σ_{cmax}	σ_{fmax}	Cbc	Cbf	Ver	Cs
	kg/mq	kg/mq	kg/mq	kg	kg	kg	cmq/m	cmq/m	kg/cm ²	kg/cm ²				
13	-23824	-136249	27778	34	324	-124	31.42	31.42	-13	-157	29	29	Si	6.2
1	-2257	16128	-26590	-20	-81	-135	31.42	31.42	-0	176	29	32	Si	16

Combinazione QP: σ_{ca} [kg/cm²]=62 σ_{fa} [kg/cm²]=2800

P.	Nx	Ny	Nxy	Mx	My	Mxy	Afx	Afy	σ_{cmax}	σ_{fmax}	Cbc	Cbf	Ver	Cs
	kg/mq	kg/mq	kg/mq	kg	kg	kg	cmq/m	cmq/m	kg/cm ²	kg/cm ²				

P.	Nx	Ny	Nxy	Mx	My	Mxy	Afx	Afy	σ_{\max}	σ_{\min}	Cbc	Cbf	Ver	Cs
13	-23199	-131520	27176	33	311	-119	31.42	31.42	-13	-151	38	38	Si	4.8
1	-2164	15833	-25430	-20	-79	-129	31.42	31.42	-0	172	38	38	Si	16

Verifica aperture fessure: Wamm_Freq[mm]=0.400 Wamm_Qp[mm]=0.300

P.	Nx	Ny	Nxy	Mx	My	Mxy	σ_{fmed}	Wd	Wk	Cb	Ver	Cs
	kg/mq	kg/mq	kg/mq	kg	kg	kg	kg/cmq	mm	mm			
1	-2164	15833	-25430	-20	-79	-129	172	0.018	0.018	38(Qp)	Si	17
1	-2164	15833	-25430	-20	-79	-129	172	0.018	0.018	35(Fr)	Si	23

Muro :66 - Nodi : [861 - 10 - 10 - 854]

Pann.X=4 Pann.Y=4 Spess.= 30 cm Criterio CLS_Muri_Esist Materiale: C20/25rcm=200
[kg/cmq],fym=4200 [kg/cmq], FC=1.20 qd=2.5, qf=1.5 :

Armatura a maglia doppia, Stampa elementi piu' gravosi

Combinazione Rara: σ_{ca} [kg/cmq]=83 σ_{fa} [kg/cmq]=2800

P.	Nx	Ny	Nxy	Mx	My	Mxy	Afx	Afy	σ_{\max}	σ_{\min}	Cbc	Cbf	Ver	Cs
	kg/mq	kg/mq	kg/mq	kg	kg	kg	cmq/m	cmq/m	kg/cmq	kg/cmq				
16	-21162	-125832	-21637	23	117	54	31.42	31.42	-11	-156	29	29	Si	7.2

Combinazione QP: σ_{ca} [kg/cmq]=62 σ_{fa} [kg/cmq]=2800

P.	Nx	Ny	Nxy	Mx	My	Mxy	Afx	Afy	σ_{\max}	σ_{\min}	Cbc	Cbf	Ver	Cs
	kg/mq	kg/mq	kg/mq	kg	kg	kg	cmq/m	cmq/m	kg/cmq	kg/cmq				
16	-19421	-116870	-19467	22	108	51	31.42	31.42	-11	-145	38	38	Si	5.8

Verifica aperture fessure: Wamm_Freq[mm]=0.400 Wamm_Qp[mm]=0.300

P.	Nx	Ny	Nxy	Mx	My	Mxy	σ_{fmed}	Wd	Wk	Cb	Ver	Cs
	kg/mq	kg/mq	kg/mq	kg	kg	kg	kg/cmq	mm	mm			
1	302	7578	-7573	43	48	-43	85	0.009	0.009	38(Qp)	Si	35
1	302	7578	-7573	43	48	-43	85	0.009	0.009	35(Fr)	Si	47

Muro :67 - Nodi : [853 - 7 - 862 - 10]

Pann.X=4 Pann.Y=4 Spess.= 30 cm Criterio CLS_Muri_Esist Materiale: C20/25rcm=200
[kg/cmq],fym=4200 [kg/cmq], FC=1.20 qd=2.5, qf=1.5 :

Armatura a maglia doppia, Stampa elementi piu' gravosi

Combinazione Rara: σ_{ca} [kg/cmq]=83 σ_{fa} [kg/cmq]=2800

P.	Nx	Ny	Nxy	Mx	My	Mxy	Afx	Afy	σ_{\max}	σ_{\min}	Cbc	Cbf	Ver	Cs
	kg/mq	kg/mq	kg/mq	kg	kg	kg	cmq/m	cmq/m	kg/cmq	kg/cmq				
1	-52816	-168350	-72457	77	721	202	31.42	31.42	-18	-174	29	29	Si	4.6

Combinazione QP: σ_{ca} [kg/cmq]=62 σ_{fa} [kg/cmq]=2800

P.	Nx	Ny	Nxy	Mx	My	Mxy	Afx	Afy	σ_{\max}	σ_{\min}	Cbc	Cbf	Ver	Cs
	kg/mq	kg/mq	kg/mq	kg	kg	kg	cmq/m	cmq/m	kg/cmq	kg/cmq				
1	-50174	-160181	-68914	74	689	192	31.42	31.42	-17	-165	38	38	Si	3.6

Verifica aperture fessure: Wamm_Freq[mm]=0.400 Wamm_Qp[mm]=0.300

P.	Nx	Ny	Nxy	Mx	My	Mxy	σ_{fmed}	Wd	Wk	Cb	Ver	Cs
	kg/mq	kg/mq	kg/mq	kg	kg	kg	kg/cmq	mm	mm			
9	-15274	-163	-15328	17	207	202	53	0.004	0.004	38(Qp)	Si	85
9	-15274	-163	-15328	17	207	202	53	0.004	0.004	35(Fr)	Si	>100

Muro :68 - Nodi : [10 - 862 - 855 - 10]

Pann.X=4 Pann.Y=4 Spess.= 30 cm Criterio CLS_Muri_Esist Materiale: C20/25rcm=200

[kg/cm²],fym=4200 [kg/cm²], FC=1.20 qd=2.5, qf=1.5 :

Armatura a maglia doppia, Stampa elementi piu' gravosi

Combinazione Rara: σ_{ca} [kg/cm²]=83 σ_{fa} [kg/cm²]=2800

P.	Nx	Ny	Nxy	Mx	My	Mxy	Afx	Afy	σ_{cmax}	σ_{fmax}	Cbc	Cbf	Ver	Cs
	kg/mq	kg/mq	kg/mq	kg	kg	kg	cmq/m	cmq/m	kg/cmq	kg/cmq				
4	-20243	-84574	28589	30	180	-72	31.42	31.42	-8	-98	29	27	Si	10

Combinazione QP: σ_{ca} [kg/cm²]=62 σ_{fa} [kg/cm²]=2800

P.	Nx	Ny	Nxy	Mx	My	Mxy	Afx	Afy	σ_{cmax}	σ_{fmax}	Cbc	Cbf	Ver	Cs
	kg/mq	kg/mq	kg/mq	kg	kg	kg	cmq/m	cmq/m	kg/cmq	kg/cmq				
4	-18798	-78976	26652	28	164	-66	31.42	31.42	-8	-92	38	38	Si	8.1

Verifica aperture fessure:Wamm_Freq[mm]=0.400 Wamm_Qp[mm]=0.300

P.	Nx	Ny	Nxy	Mx	My	Mxy	σ_{fmed}	Wd	Wk	Cb	Ver	Cs
	kg/mq	kg/mq	kg/mq	kg	kg	kg	kg/cmq	mm	mm			
1	963	-61770	-7083	3	2	-7	10	0.001	0.001	38(Qp)	Si	>100
1	963	-61770	-7083	3	2	-7	10	0.001	0.001	35(Fr)	Si	>100

Muro :69 - Nodi : [7 - 856 - 10 - 862]

Pann.X=4 Pann.Y=4 Spess.= 30 cm Criterio CLS_Muri_Esist Materiale: C20/25rcm=200

[kg/cm²],fym=4200 [kg/cm²], FC=1.20 qd=2.5, qf=1.5 :

Armatura a maglia doppia, Stampa elementi piu' gravosi

Combinazione Rara: σ_{ca} [kg/cm²]=83 σ_{fa} [kg/cm²]=2800

P.	Nx	Ny	Nxy	Mx	My	Mxy	Afx	Afy	σ_{cmax}	σ_{fmax}	Cbc	Cbf	Ver	Cs
	kg/mq	kg/mq	kg/mq	kg	kg	kg	cmq/m	cmq/m	kg/cmq	kg/cmq				
13	-41319	-153934	59906	67	626	-155	31.42	31.42	-17	-161	29	29	Si	5.0

Combinazione QP: σ_{ca} [kg/cm²]=62 σ_{fa} [kg/cm²]=2800

P.	Nx	Ny	Nxy	Mx	My	Mxy	Afx	Afy	σ_{cmax}	σ_{fmax}	Cbc	Cbf	Ver	Cs
	kg/mq	kg/mq	kg/mq	kg	kg	kg	cmq/m	cmq/m	kg/cmq	kg/cmq				
13	-39353	-146720	57096	65	601	-148	31.42	31.42	-16	-153	38	38	Si	3.9

Verifica aperture fessure:Wamm_Freq[mm]=0.400 Wamm_Qp[mm]=0.300

P.	Nx	Ny	Nxy	Mx	My	Mxy	σ_{fmed}	Wd	Wk	Cb	Ver	Cs
	kg/mq	kg/mq	kg/mq	kg	kg	kg	kg/cmq	mm	mm			
1	-6773	4441	-5572	-45	56	-96	57	0.005	0.005	38(Qp)	Si	60
1	-6773	4441	-5572	-45	56	-96	57	0.005	0.005	35(Fr)	Si	80

Muro :70 - Nodi : [862 - 10 - 10 - 855]

Pann.X=4 Pann.Y=4 Spess.= 30 cm Criterio CLS_Muri_Esist Materiale: C20/25rcm=200

[kg/cm²],fym=4200 [kg/cm²], FC=1.20 qd=2.5, qf=1.5 :

Armatura a maglia doppia, Stampa elementi piu' gravosi

Combinazione Rara: σ_{ca} [kg/cm²]=83 σ_{fa} [kg/cm²]=2800

P.	Nx	Ny	Nxy	Mx	My	Mxy	Afx	Afy	σ_{cmax}	σ_{fmax}	Cbc	Cbf	Ver	Cs
	kg/mq	kg/mq	kg/mq	kg	kg	kg	cmq/m	cmq/m	kg/cmq	kg/cmq				
16	-22770	-92971	-30042	29	175	61	31.42	31.42	-9	-110	29	27	Si	9.3

Combinazione QP: σ_{ca} [kg/cm²]=62 σ_{fa} [kg/cm²]=2800

P.	Nx	Ny	Nxy	Mx	My	Mxy	Afx	Afy	σ_{cmax}	σ_{fmax}	Cbc	Cbf	Ver	Cs
	kg/mq	kg/mq	kg/mq	kg	kg	kg	cmq/m	cmq/m	kg/cmq	kg/cmq				
16	-21094	-86585	-27869	24	158	54	31.42	31.42	-8	-103	38	38	Si	7.5

Verifica aperture fessure:Wamm_Freq[mm]=0.400 Wamm_Qp[mm]=0.300

P.	Nx	Ny	Nxy	Mx	My	Mxy	σfmed	Wd	Wk	Cb	Ver	Cs
	kg/mq	kg/mq	kg/mq	kg	kg	kg	kg/cmq	mm	mm			
13	1061	-62289	6795	-0	-23	19	10	0.001	0.001	38(Qp)	Si	>100
13	1061	-62289	6795	-0	-23	19	10	0.001	0.001	35(Fr)	Si	>100

Muro :71 - Nodi : [858 - 17 - 863 - 10]

Pann.X=4 Pann.Y=4 Spess.= 30 cm Criterio CLS_Muri_Esist Materiale: C20/25rcm=200
[kg/cmq],fym=4200 [kg/cmq], FC=1.20 qd=2.5, qf=1.5 :

Armatura a maglia doppia, Stampa elementi piu' gravosi

Combinazione Rara: σca[kg/cmq]=83 σfa[kg/cmq]=2800

P.	Nx	Ny	Nxy	Mx	My	Mxy	Afx	Afy	σcmax	σfmax	Cbc	Cbf	Ver	Cs
	kg/mq	kg/mq	kg/mq	kg	kg	kg	cmq/m	cmq/m	kg/cmq	kg/cmq				
1	-42917	-143575	-59888	76	716	191	31.42	31.42	-16	-142	29	29	Si	5.2
2	-16496	-133945	-39502	36	449	108	31.42	31.42	-14	-146	29	29	Si	6.0

Combinazione QP: σca[kg/cmq]=62 σfa[kg/cmq]=2800

P.	Nx	Ny	Nxy	Mx	My	Mxy	Afx	Afy	σcmax	σfmax	Cbc	Cbf	Ver	Cs
	kg/mq	kg/mq	kg/mq	kg	kg	kg	cmq/m	cmq/m	kg/cmq	kg/cmq				
1	-41360	-138039	-57749	73	686	182	31.42	31.42	-15	-137	38	38	Si	4.0
2	-15896	-128686	-38126	35	430	102	31.42	31.42	-13	-140	38	38	Si	4.7

Verifica aperture fessure:Wamm_Freq[mm]=0.400 Wamm_Qp[mm]=0.300

P.	Nx	Ny	Nxy	Mx	My	Mxy	σfmed	Wd	Wk	Cb	Ver	Cs
	kg/mq	kg/mq	kg/mq	kg	kg	kg	kg/cmq	mm	mm			
9	-12428	-5221	-10191	29	293	186	35	0.002	0.002	38(Qp)	Si	>100
9	-12428	-5221	-10191	29	293	186	35	0.002	0.002	35(Fr)	Si	>100

Muro :72 - Nodi : [10 - 863 - 860 - 10]

Pann.X=4 Pann.Y=4 Spess.= 30 cm Criterio CLS_Muri_Esist Materiale: C20/25rcm=200
[kg/cmq],fym=4200 [kg/cmq], FC=1.20 qd=2.5, qf=1.5 :

Armatura a maglia doppia, Stampa elementi piu' gravosi

Combinazione Rara: σca[kg/cmq]=83 σfa[kg/cmq]=2800

P.	Nx	Ny	Nxy	Mx	My	Mxy	Afx	Afy	σcmax	σfmax	Cbc	Cbf	Ver	Cs
	kg/mq	kg/mq	kg/mq	kg	kg	kg	cmq/m	cmq/m	kg/cmq	kg/cmq				
4	-23165	-92922	30980	11	159	-54	31.42	31.42	-9	-111	29	29	Si	9.4

Combinazione QP: σca[kg/cmq]=62 σfa[kg/cmq]=2800

P.	Nx	Ny	Nxy	Mx	My	Mxy	Afx	Afy	σcmax	σfmax	Cbc	Cbf	Ver	Cs
	kg/mq	kg/mq	kg/mq	kg	kg	kg	cmq/m	cmq/m	kg/cmq	kg/cmq				
4	-21293	-85593	28370	12	146	-53	31.42	31.42	-8	-102	38	38	Si	7.6

Verifica aperture fessure:Wamm_Freq[mm]=0.400 Wamm_Qp[mm]=0.300

P.	Nx	Ny	Nxy	Mx	My	Mxy	σfmed	Wd	Wk	Cb	Ver	Cs
	kg/mq	kg/mq	kg/mq	kg	kg	kg	kg/cmq	mm	mm			
1	929	-60436	-6124	4	-15	-12	10	0.001	0.001	38(Qp)	Si	>100
1	929	-60811	-6163	4	-15	-12	10	0.001	0.001	34(Fr)	Si	>100

Muro :73 - Nodi : [865 - 13 - 15 - 810]

Pann.X=4 Pann.Y=4 Spess.= 30 cm Criterio CLS_Muri_Esist Materiale: C20/25rcm=200
[kg/cmq],fym=4200 [kg/cmq], FC=1.20 qd=2.5, qf=1.5 :

Armatura a maglia doppia, Stampa elementi piu' gravosi

Combinazione Rara: σ_{ca} [kg/cm²]=83 σ_{fa} [kg/cm²]=2800

P.	Nx	Ny	Nxy	Mx	My	Mxy	Afx	Afy	σ_{cmax}	σ_{fmax}	Cbc	Cbf	Ver	Cs
	kg/mq	kg/mq	kg/mq	kg	kg	kg	cmq/m	cmq/m	kg/cm ²	kg/cm ²				
13	-12954	-2888	1042	-1632	-300	610	31.42	31.42	-13	317	28	32	Si	6.4

Combinazione QP: σ_{ca} [kg/cm²]=62 σ_{fa} [kg/cm²]=2800

P.	Nx	Ny	Nxy	Mx	My	Mxy	Afx	Afy	σ_{cmax}	σ_{fmax}	Cbc	Cbf	Ver	Cs
	kg/mq	kg/mq	kg/mq	kg	kg	kg	cmq/m	cmq/m	kg/cm ²	kg/cm ²				
13	-12548	-2767	899	-1575	-290	590	31.42	31.42	-13	305	38	38	Si	5.0

Verifica aperture fessure:Wamm_Freq[mm]=0.400 Wamm_Qp[mm]=0.300

P.	Nx	Ny	Nxy	Mx	My	Mxy	σ_{fmed}	Wd	Wk	Cb	Ver	Cs
	kg/mq	kg/mq	kg/mq	kg	kg	kg	kg/cm ²	mm	mm			
13	-12548	-2767	899	-1575	-290	590	305	0.019	0.019	38(Qp)	Si	16
13	-12548	-2767	899	-1575	-290	590	305	0.019	0.019	35(Fr)	Si	21

Muro :74 - Nodi : [865 - 810 - 813 - 866]

Pann.X=4 Pann.Y=4 Spess.= 30 cm Criterio CLS_Muri_Esist Materiale: C20/25rcm=200
[kg/cm²],fym=4200 [kg/cm²], FC=1.20 qd=2.5, qf=1.5 :

Armatura a maglia doppia, Stampa elementi piu' gravosi

Combinazione Rara: σ_{ca} [kg/cm²]=83 σ_{fa} [kg/cm²]=2800

P.	Nx	Ny	Nxy	Mx	My	Mxy	Afx	Afy	σ_{cmax}	σ_{fmax}	Cbc	Cbf	Ver	Cs
	kg/mq	kg/mq	kg/mq	kg	kg	kg	cmq/m	cmq/m	kg/cm ²	kg/cm ²				
13	-1697	-15235	-2529	603	105	20	31.42	31.42	-5	143	28	32	Si	18

Combinazione QP: σ_{ca} [kg/cm²]=62 σ_{fa} [kg/cm²]=2800

P.	Nx	Ny	Nxy	Mx	My	Mxy	Afx	Afy	σ_{cmax}	σ_{fmax}	Cbc	Cbf	Ver	Cs
	kg/mq	kg/mq	kg/mq	kg	kg	kg	cmq/m	cmq/m	kg/cm ²	kg/cm ²				
13	-1747	-14683	-2130	583	102	17	31.42	31.42	-4	138	38	38	Si	14

Verifica aperture fessure:Wamm_Freq[mm]=0.400 Wamm_Qp[mm]=0.300

P.	Nx	Ny	Nxy	Mx	My	Mxy	σ_{fmed}	Wd	Wk	Cb	Ver	Cs
	kg/mq	kg/mq	kg/mq	kg	kg	kg	kg/cm ²	mm	mm			
13	-1747	-14683	-2130	583	102	17	138	0.009	0.009	38(Qp)	Si	33
13	-1747	-14683	-2130	583	102	17	138	0.009	0.009	35(Fr)	Si	44

Muro :75 - Nodi : [866 - 813 - 16 - 14]

Pann.X=4 Pann.Y=4 Spess.= 30 cm Criterio CLS_Muri_Esist Materiale: C20/25rcm=200
[kg/cm²],fym=4200 [kg/cm²], FC=1.20 qd=2.5, qf=1.5 :

Armatura a maglia doppia, Stampa elementi piu' gravosi

Combinazione Rara: σ_{ca} [kg/cm²]=83 σ_{fa} [kg/cm²]=2800

P.	Nx	Ny	Nxy	Mx	My	Mxy	Afx	Afy	σ_{cmax}	σ_{fmax}	Cbc	Cbf	Ver	Cs
	kg/mq	kg/mq	kg/mq	kg	kg	kg	cmq/m	cmq/m	kg/cm ²	kg/cm ²				
15	-10247	4784	-2341	-148	-129	43	31.42	31.42	-2	80	29	32	Si	35
16	-1549	10282	8078	-202	-175	4	31.42	31.42	-2	145	29	32	Si	19

Combinazione QP: σ_{ca} [kg/cm²]=62 σ_{fa} [kg/cm²]=2800

P.	Nx	Ny	Nxy	Mx	My	Mxy	Afx	Afy	σ_{cmax}	σ_{fmax}	Cbc	Cbf	Ver	Cs
	kg/mq	kg/mq	kg/mq	kg	kg	kg	cmq/m	cmq/m	kg/cm ²	kg/cm ²				
4	1701	-13391	6010	37	-106	87	31.42	31.42	-2	26	38	38	Si	37
16	-710	9392	7492	-183	-163	4	31.42	31.42	-1	133	38	38	Si	21

Verifica aperture fessure:Wamm_Freq[mm]=0.400 Wamm_Qp[mm]=0.300

P.	Nx	Ny	Nxy	Mx	My	Mxy	σfmed	Wd	Wk	Cb	Ver	Cs
	kg/mq	kg/mq	kg/mq	kg	kg	kg	kg/cmq	mm	mm			
16	-710	9392	7492	-183	-163	4	133	0.011	0.011	38(Qp)	Si	28
16	-686	9347	7453	-189	-166	6	133	0.011	0.011	33(Fr)	Si	37

Muro :76 - Nodi : [860 - 10 - 868 - 18]

Pann.X=4 Pann.Y=4 Spess.= 30 cm Criterio CLS_Muri_Esist Materiale: C20/25rcm=200
[kg/cmq],fym=4200 [kg/cmq], FC=1.20 qd=2.5, qf=1.5 :

Armatura a maglia doppia, Stampa elementi piu' gravosi

Combinazione Rara: σca[kg/cmq]=83 σfa[kg/cmq]=2800

P.	Nx	Ny	Nxy	Mx	My	Mxy	Afx	Afy	σcmax	σfmax	Cbc	Cbf	Ver	Cs
	kg/mq	kg/mq	kg/mq	kg	kg	kg	cmq/m	cmq/m	kg/cmq	kg/cmq				
13	-39240	-42982	-4755	-51	110	34	31.42	31.42	-4	-49	29	27	Si	19
16	54539	-16896	-2607	-21	155	27	31.42	31.42	-2	526	29	32	Si	5.3

Combinazione QP: σca[kg/cmq]=62 σfa[kg/cmq]=2800

P.	Nx	Ny	Nxy	Mx	My	Mxy	Afx	Afy	σcmax	σfmax	Cbc	Cbf	Ver	Cs
	kg/mq	kg/mq	kg/mq	kg	kg	kg	cmq/m	cmq/m	kg/cmq	kg/cmq				
13	-36815	-40663	-4324	-49	102	31	31.42	31.42	-4	-46	38	38	Si	15
16	51642	-15793	-2371	-21	145	24	31.42	31.42	-2	499	38	38	Si	5.6

Verifica aperture fessure:Wamm_Freq[mm]=0.400 Wamm_Qp[mm]=0.300

P.	Nx	Ny	Nxy	Mx	My	Mxy	σfmed	Wd	Wk	Cb	Ver	Cs
	kg/mq	kg/mq	kg/mq	kg	kg	kg	kg/cmq	mm	mm			
16	51642	-15793	-2371	-21	145	24	499	0.058	0.058	38(Qp)	Si	5.2
16	51642	-15793	-2371	-21	145	24	499	0.058	0.058	35(Fr)	Si	6.9

Muro :77 - Nodi : [10 - 870 - 26 - 867]

Pann.X=4 Pann.Y=4 Spess.= 30 cm Criterio CLS_Muri_Esist Materiale: C20/25rcm=200
[kg/cmq],fym=4200 [kg/cmq], FC=1.20 qd=2.5, qf=1.5 :

Armatura a maglia doppia, Stampa elementi piu' gravosi

Combinazione Rara: σca[kg/cmq]=83 σfa[kg/cmq]=2800

P.	Nx	Ny	Nxy	Mx	My	Mxy	Afx	Afy	σcmax	σfmax	Cbc	Cbf	Ver	Cs
	kg/mq	kg/mq	kg/mq	kg	kg	kg	cmq/m	cmq/m	kg/cmq	kg/cmq				
12	-36581	10894	-8009	134	-169	127	31.42	31.42	-4	148	27	32	Si	19
14	-12034	25980	679	-70	-103	78	31.42	31.42	-1	274	26	32	Si	10

Combinazione QP: σca[kg/cmq]=62 σfa[kg/cmq]=2800

P.	Nx	Ny	Nxy	Mx	My	Mxy	Afx	Afy	σcmax	σfmax	Cbc	Cbf	Ver	Cs
	kg/mq	kg/mq	kg/mq	kg	kg	kg	cmq/m	cmq/m	kg/cmq	kg/cmq				
12	-34722	10047	-7636	120	-161	118	31.42	31.42	-4	139	38	38	Si	17
14	-11149	24315	690	-72	-97	71	31.42	31.42	-1	258	38	38	Si	11

Verifica aperture fessure:Wamm_Freq[mm]=0.400 Wamm_Qp[mm]=0.300

P.	Nx	Ny	Nxy	Mx	My	Mxy	σfmed	Wd	Wk	Cb	Ver	Cs
	kg/mq	kg/mq	kg/mq	kg	kg	kg	kg/cmq	mm	mm			
14	-11149	24315	690	-72	-97	71	258	0.027	0.027	38(Qp)	Si	11
14	-11149	24315	690	-72	-97	71	258	0.027	0.027	35(Fr)	Si	15

Muro :78 - Nodi : [9 - 875 - 10 - 861]

Pann.X=4 Pann.Y=4 Spess.= 30 cm Criterio CLS_Muri_Esist Materiale: C20/25rcm=200
[kg/cmq],fym=4200 [kg/cmq], FC=1.20 qd=2.5, qf=1.5 :

Armatura a maglia doppia, Stampa elementi piu' gravosi

Combinazione Rara: σ_{ca} [kg/cm²]=83 σ_{fa} [kg/cm²]=2800

P.	Nx	Ny	Nxy	Mx	My	Mxy	Afx	Afy	σ_{cmax}	σ_{fmax}	Cbc	Cbf	Ver	Cs
	kg/mq	kg/mq	kg/mq	kg	kg	kg	cmq/m	cmq/m	kg/cmq	kg/cmq				
16	-64657	-55990	17123	84	-307	52	31.42	31.42	-6	-79	29	29	Si	13
4	-37418	6996	14455	99	-303	-6	31.42	31.42	-4	146	29	32	Si	19

Combinazione QP: σ_{ca} [kg/cm²]=62 σ_{fa} [kg/cm²]=2800

P.	Nx	Ny	Nxy	Mx	My	Mxy	Afx	Afy	σ_{cmax}	σ_{fmax}	Cbc	Cbf	Ver	Cs
	kg/mq	kg/mq	kg/mq	kg	kg	kg	cmq/m	cmq/m	kg/cmq	kg/cmq				
16	-62008	-53766	16406	82	-296	51	31.42	31.42	-6	-75	38	38	Si	10
4	-35954	6747	13714	96	-291	-6	31.42	31.42	-4	141	38	38	Si	17

Verifica aperture fessure:Wamm_Freq[mm]=0.400 Wamm_Qp[mm]=0.300

P.	Nx	Ny	Nxy	Mx	My	Mxy	σ_{fmed}	Wd	Wk	Cb	Ver	Cs
	kg/mq	kg/mq	kg/mq	kg	kg	kg	kg/cmq	mm	mm			
4	-35954	6747	13714	96	-291	-6	141	0.010	0.010	38(Qp)	Si	31
4	-35954	6747	13714	96	-291	-6	141	0.010	0.010	35(Fr)	Si	41

Muro :79 - Nodi : [875 - 877 - 10 - 10]

Pann.X=4 Pann.Y=4 Spess.= 30 cm Criterio CLS_Muri_Esist Materiale: C20/25rcm=200
[kg/cm²],fym=4200 [kg/cm²], FC=1.20 qd=2.5, qf=1.5 :

Armatura a maglia doppia, Stampa elementi piu' gravosi

Combinazione Rara: σ_{ca} [kg/cm²]=83 σ_{fa} [kg/cm²]=2800

P.	Nx	Ny	Nxy	Mx	My	Mxy	Afx	Afy	σ_{cmax}	σ_{fmax}	Cbc	Cbf	Ver	Cs
	kg/mq	kg/mq	kg/mq	kg	kg	kg	cmq/m	cmq/m	kg/cmq	kg/cmq				
4	-39077	4268	31002	-32	-116	115	31.42	31.42	-4	71	29	32	Si	23
12	91644	-5850	295	-58	11	-41	31.42	31.42	-1	878	28	32	Si	3.2

Combinazione QP: σ_{ca} [kg/cm²]=62 σ_{fa} [kg/cm²]=2800

P.	Nx	Ny	Nxy	Mx	My	Mxy	Afx	Afy	σ_{cmax}	σ_{fmax}	Cbc	Cbf	Ver	Cs
	kg/mq	kg/mq	kg/mq	kg	kg	kg	cmq/m	cmq/m	kg/cmq	kg/cmq				
4	-37525	4065	29732	-31	-112	112	31.42	31.42	-3	68	38	38	Si	18
12	86609	-5678	301	-56	10	-39	31.42	31.42	-1	842	38	38	Si	3.3

Verifica aperture fessure:Wamm_Freq[mm]=0.400 Wamm_Qp[mm]=0.300

P.	Nx	Ny	Nxy	Mx	My	Mxy	σ_{fmed}	Wd	Wk	Cb	Ver	Cs
	kg/mq	kg/mq	kg/mq	kg	kg	kg	kg/cmq	mm	mm			
12	86609	-5678	301	-56	10	-39	842	0.097	0.097	38(Qp)	Si	3.1
12	86609	-5678	301	-56	10	-39	842	0.097	0.097	35(Fr)	Si	4.1

Muro :80 - Nodi : [877 - 3 - 872 - 10]

Pann.X=4 Pann.Y=4 Spess.= 30 cm Criterio CLS_Muri_Esist Materiale: C20/25rcm=200
[kg/cm²],fym=4200 [kg/cm²], FC=1.20 qd=2.5, qf=1.5 :

Armatura a maglia doppia, Stampa elementi piu' gravosi

Combinazione Rara: σ_{ca} [kg/cm²]=83 σ_{fa} [kg/cm²]=2800

P.	Nx	Ny	Nxy	Mx	My	Mxy	Afx	Afy	σ_{cmax}	σ_{fmax}	Cbc	Cbf	Ver	Cs
	kg/mq	kg/mq	kg/mq	kg	kg	kg	cmq/m	cmq/m	kg/cmq	kg/cmq				
4	24647	-69980	-4345	76	-287	-85	31.42	31.42	-8	252	27	32	Si	11
3	27510	-51615	-14239	44	-282	-118	31.42	31.42	-6	273	27	32	Si	10

Combinazione QP: σ_{ca} [kg/cm²]=62 σ_{fa} [kg/cm²]=2800

P.	Nx	Ny	Nxy	Mx	My	Mxy	Afx	Afy	σ_{cmax}	σ_{fmax}	Cbc	Cbf	Ver	Cs
----	----	----	-----	----	----	-----	-----	-----	-----------------	-----------------	-----	-----	-----	----

P.	Nx	Ny	Nxy	Mx	My	Mxy	Afx	Afy	σ _{cmax}	σ _{fmax}	Cbc	Cbf	Ver	Cs
	kg/mq	kg/mq	kg/mq	kg	kg	kg	cmq/m	cmq/m	kg/cmq	kg/cmq				
4	23354	-67289	-4132	73	-276	-80	31.42	31.42	-7	242	38	38	Si	8.6
3	26230	-49650	-13587	43	-271	-111	31.42	31.42	-6	262	38	38	Si	11

Verifica aperture fessure: Wamm_Freq[mm]=0.400 Wamm_Qp[mm]=0.300

P.	Nx	Ny	Nxy	Mx	My	Mxy	σ _{fmed}	Wd	Wk	Cb	Ver	Cs
	kg/mq	kg/mq	kg/mq	kg	kg	kg	kg/cmq	mm	mm			
3	26230	-49650	-13587	43	-271	-111	262	0.029	0.029	38(Qp)	Si	10
3	26230	-49650	-13587	43	-271	-111	262	0.029	0.029	35(Fr)	Si	14

Muro :81 - Nodi : [10 - 872 - 873 - 10]

Pann.X=4 Pann.Y=4 Spess.= 30 cm Criterio CLS_Muri_Esist Materiale: C20/25rcm=200
[kg/cmq],fym=4200 [kg/cmq], FC=1.20 qd=2.5, qf=1.5 :

Armatura a maglia doppia, Stampa elementi piu' gravosi

Combinazione Rara: σ_{ca}[kg/cmq]=83 σ_{fa}[kg/cmq]=2800

P.	Nx	Ny	Nxy	Mx	My	Mxy	Afx	Afy	σ _{cmax}	σ _{fmax}	Cbc	Cbf	Ver	Cs
	kg/mq	kg/mq	kg/mq	kg	kg	kg	cmq/m	cmq/m	kg/cmq	kg/cmq				
1	-14609	-90421	-6741	30	-280	38	31.42	31.42	-9	-100	27	27	Si	9.0
15	1303	15497	-2769	123	-244	-24	31.42	31.42	-1	212	27	32	Si	13

Combinazione QP: σ_{ca}[kg/cmq]=62 σ_{fa}[kg/cmq]=2800

P.	Nx	Ny	Nxy	Mx	My	Mxy	Afx	Afy	σ _{cmax}	σ _{fmax}	Cbc	Cbf	Ver	Cs
	kg/mq	kg/mq	kg/mq	kg	kg	kg	cmq/m	cmq/m	kg/cmq	kg/cmq				
1	-14036	-86971	-6545	29	-270	37	31.42	31.42	-9	-96	38	38	Si	7.0
15	1208	14719	-2602	116	-231	-22	31.42	31.42	-1	202	38	38	Si	14

Verifica aperture fessure: Wamm_Freq[mm]=0.400 Wamm_Qp[mm]=0.300

P.	Nx	Ny	Nxy	Mx	My	Mxy	σ _{fmed}	Wd	Wk	Cb	Ver	Cs
	kg/mq	kg/mq	kg/mq	kg	kg	kg	kg/cmq	mm	mm			
15	1208	14719	-2602	116	-231	-22	202	0.017	0.017	38(Qp)	Si	18
15	1208	14719	-2602	116	-231	-22	202	0.017	0.017	35(Fr)	Si	24

Muro :82 - Nodi : [10 - 873 - 6 - 876]

Pann.X=4 Pann.Y=4 Spess.= 30 cm Criterio CLS_Muri_Esist Materiale: C20/25rcm=200
[kg/cmq],fym=4200 [kg/cmq], FC=1.20 qd=2.5, qf=1.5 :

Armatura a maglia doppia, Stampa elementi piu' gravosi

Combinazione Rara: σ_{ca}[kg/cmq]=83 σ_{fa}[kg/cmq]=2800

P.	Nx	Ny	Nxy	Mx	My	Mxy	Afx	Afy	σ _{cmax}	σ _{fmax}	Cbc	Cbf	Ver	Cs
	kg/mq	kg/mq	kg/mq	kg	kg	kg	cmq/m	cmq/m	kg/cmq	kg/cmq				
16	-57228	10213	-1674	-131	-111	-16	31.42	31.42	-6	128	27	32	Si	15
13	9590	14955	-2684	15	-211	-82	31.42	31.42	0	174	24	32	Si	16

Combinazione QP: σ_{ca}[kg/cmq]=62 σ_{fa}[kg/cmq]=2800

P.	Nx	Ny	Nxy	Mx	My	Mxy	Afx	Afy	σ _{cmax}	σ _{fmax}	Cbc	Cbf	Ver	Cs
	kg/mq	kg/mq	kg/mq	kg	kg	kg	cmq/m	cmq/m	kg/cmq	kg/cmq				
16	-53069	9537	-1597	-121	-102	-14	31.42	31.42	-5	118	38	38	Si	12
13	7026	12050	-3072	13	-179	-68	31.42	31.42	0	163	38	38	Si	17

Verifica aperture fessure: Wamm_Freq[mm]=0.400 Wamm_Qp[mm]=0.300

P.	Nx	Ny	Nxy	Mx	My	Mxy	σ _{fmed}	Wd	Wk	Cb	Ver	Cs
	kg/mq	kg/mq	kg/mq	kg	kg	kg	kg/cmq	mm	mm			
1	15275	-46502	-1490	12	-185	28	149	0.017	0.017	38(Qp)	Si	17
1	15275	-46502	-1490	12	-185	28	149	0.017	0.017	35(Fr)	Si	23

Muro :83 - Nodi : [861 - 10 - 10 - 854]

Pann.X=4 Pann.Y=4 Spess.= 30 cm Criterio CLS_Muri_Esist Materiale: C20/25rcm=200
[kg/cmq],fym=4200 [kg/cmq], FC=1.20 qd=2.5, qf=1.5 :

Armatura a maglia doppia, Stampa elementi piu' gravosi

Combinazione Rara: σ_{ca} [kg/cmq]=83 σ_{fa} [kg/cmq]=2800

P.	Nx	Ny	Nxy	Mx	My	Mxy	Afx	Afy	σ_{cmax}	σ_{fmax}	Cbc	Cbf	Ver	Cs
	kg/mq	kg/mq	kg/mq	kg	kg	kg	cmq/m	cmq/m	kg/cmq	kg/cmq				
13	-17045	-65110	31460	32	-371	-38	31.42	31.42	-8	-62	29	29	Si	11
1	-35585	1594	13820	143	-293	-16	31.42	31.42	-4	92	29	32	Si	22

Combinazione QP: σ_{ca} [kg/cmq]=62 σ_{fa} [kg/cmq]=2800

P.	Nx	Ny	Nxy	Mx	My	Mxy	Afx	Afy	σ_{cmax}	σ_{fmax}	Cbc	Cbf	Ver	Cs
	kg/mq	kg/mq	kg/mq	kg	kg	kg	cmq/m	cmq/m	kg/cmq	kg/cmq				
13	-16355	-62538	30160	31	-356	-37	31.42	31.42	-7	-59	38	38	Si	8.6
1	-34170	1477	13077	139	-280	-16	31.42	31.42	-4	87	38	38	Si	17

Verifica aperture fessure:Wamm_Freq[mm]=0.400 Wamm_Qp[mm]=0.300

P.	Nx	Ny	Nxy	Mx	My	Mxy	σ_{fmed}	Wd	Wk	Cb	Ver	Cs
	kg/mq	kg/mq	kg/mq	kg	kg	kg	kg/cmq	mm	mm			
1	-34170	1477	13077	139	-280	-16	87	0.006	0.006	38(Qp)	Si	50
1	-34170	1477	13077	139	-280	-16	87	0.006	0.006	35(Fr)	Si	67

Muro :84 - Nodi : [854 - 10 - 874 - 10]

Pann.X=4 Pann.Y=4 Spess.= 30 cm Criterio CLS_Muri_Esist Materiale: C20/25rcm=200
[kg/cmq],fym=4200 [kg/cmq], FC=1.20 qd=2.5, qf=1.5 :

Armatura a maglia doppia, Stampa elementi piu' gravosi

Combinazione Rara: σ_{ca} [kg/cmq]=83 σ_{fa} [kg/cmq]=2800

P.	Nx	Ny	Nxy	Mx	My	Mxy	Afx	Afy	σ_{cmax}	σ_{fmax}	Cbc	Cbf	Ver	Cs
	kg/mq	kg/mq	kg/mq	kg	kg	kg	cmq/m	cmq/m	kg/cmq	kg/cmq				
13	-7846	-21148	-3284	10	-131	-18	31.42	31.42	-2	-19	29	29	Si	33
16	21162	-5108	-2016	-22	-64	-7	31.42	31.42	-1	201	28	32	Si	14

Combinazione QP: σ_{ca} [kg/cmq]=62 σ_{fa} [kg/cmq]=2800

P.	Nx	Ny	Nxy	Mx	My	Mxy	Afx	Afy	σ_{cmax}	σ_{fmax}	Cbc	Cbf	Ver	Cs
	kg/mq	kg/mq	kg/mq	kg	kg	kg	cmq/m	cmq/m	kg/cmq	kg/cmq				
13	-7880	-20713	-3268	10	-124	-18	31.42	31.42	-2	-19	38	38	Si	26
16	19973	-5004	-2064	-23	-62	-7	31.42	31.42	-1	197	38	38	Si	14

Verifica aperture fessure:Wamm_Freq[mm]=0.400 Wamm_Qp[mm]=0.300

P.	Nx	Ny	Nxy	Mx	My	Mxy	σ_{fmed}	Wd	Wk	Cb	Ver	Cs
	kg/mq	kg/mq	kg/mq	kg	kg	kg	kg/cmq	mm	mm			
16	19973	-5004	-2064	-23	-62	-7	197	0.022	0.022	38(Qp)	Si	13
16	19973	-5004	-2064	-23	-62	-7	197	0.022	0.022	35(Fr)	Si	18

Muro :85 - Nodi : [10 - 10 - 876 - 874]

Pann.X=4 Pann.Y=4 Spess.= 30 cm Criterio CLS_Muri_Esist Materiale: C20/25rcm=200
[kg/cmq],fym=4200 [kg/cmq], FC=1.20 qd=2.5, qf=1.5 :

Armatura a maglia doppia, Stampa elementi piu' gravosi

Combinazione Rara: σ_{ca} [kg/cmq]=83 σ_{fa} [kg/cmq]=2800

P.	Nx	Ny	Nxy	Mx	My	Mxy	Afx	Afy	σ_{cmax}	σ_{fmax}	Cbc	Cbf	Ver	Cs
	kg/mq	kg/mq	kg/mq	kg	kg	kg	cmq/m	cmq/m	kg/cmq	kg/cmq				
12	-22671	-1471	-469	19	-18	0	31.42	31.42	-2	-28	27	29	Si	40

P.	Nx	Ny	Nxy	Mx	My	Mxy	Afx	Afy	σ_{cmax}	σ_{fmax}	Cbc	Cbf	Ver	Cs
9	37960	-2339	572	10	11	-5	31.42	31.42	-0	358	28	32	Si	7.8

Combinazione QP: $\sigma_{ca}[kg/cm^2]=62$ $\sigma_{fa}[kg/cm^2]=2800$

P.	Nx	Ny	Nxy	Mx	My	Mxy	Afx	Afy	σ_{cmax}	σ_{fmax}	Cbc	Cbf	Ver	Cs
	kg/mq	kg/mq	kg/mq	kg	kg	kg	cmq/m	cmq/m	kg/cmq	kg/cmq				
12	-22239	-1454	-408	20	-17	0	31.42	31.42	-2	-28	38	38	Si	31
9	36228	-2381	593	10	10	-4	31.42	31.42	-0	349	38	38	Si	8.0

Verifica aperture fessure: $W_{amm_Freq}[mm]=0.400$ $W_{amm_Qp}[mm]=0.300$

P.	Nx	Ny	Nxy	Mx	My	Mxy	σ_{fmed}	Wd	Wk	Cb	Ver	Cs
	kg/mq	kg/mq	kg/mq	kg	kg	kg	kg/cmq	mm	mm			
9	36228	-2381	593	10	10	-4	349	0.041	0.041	38(Qp)	Si	7.4
9	36228	-2381	593	10	10	-4	349	0.041	0.041	35(Fr)	Si	9.8

Muro :86 - Nodi : [10 - 869 - 17 - 863]

Pann.X=4 Pann.Y=4 Spess.= 30 cm Criterio CLS_Muri_Esist Materiale: C20/25rcm=200
[kg/cmq],fym=4200 [kg/cmq], FC=1.20 qd=2.5, qf=1.5 :

Armatura a maglia doppia, Stampa elementi piu' gravosi

Combinazione Rara: $\sigma_{ca}[kg/cm^2]=83$ $\sigma_{fa}[kg/cm^2]=2800$

P.	Nx	Ny	Nxy	Mx	My	Mxy	Afx	Afy	σ_{cmax}	σ_{fmax}	Cbc	Cbf	Ver	Cs
	kg/mq	kg/mq	kg/mq	kg	kg	kg	cmq/m	cmq/m	kg/cmq	kg/cmq				
13	-121525	-33650	51023	-667	-73	190	31.42	31.42	-14	-117	29	29	Si	6.0
9	-118070	-17793	38191	-443	-39	117	31.42	31.42	-12	-126	29	29	Si	6.7

Combinazione QP: $\sigma_{ca}[kg/cm^2]=62$ $\sigma_{fa}[kg/cm^2]=2800$

P.	Nx	Ny	Nxy	Mx	My	Mxy	Afx	Afy	σ_{cmax}	σ_{fmax}	Cbc	Cbf	Ver	Cs
	kg/mq	kg/mq	kg/mq	kg	kg	kg	cmq/m	cmq/m	kg/cmq	kg/cmq				
13	-116919	-32366	49045	-641	-70	183	31.42	31.42	-13	-112	38	38	Si	4.6
9	-113610	-17112	36700	-426	-37	113	31.42	31.42	-12	-121	38	38	Si	5.2

Verifica aperture fessure: $W_{amm_Freq}[mm]=0.400$ $W_{amm_Qp}[mm]=0.300$

P.	Nx	Ny	Nxy	Mx	My	Mxy	σ_{fmed}	Wd	Wk	Cb	Ver	Cs
	kg/mq	kg/mq	kg/mq	kg	kg	kg	kg/cmq	mm	mm			
15	-4896	-7542	2714	-286	-27	176	35	0.002	0.002	38(Qp)	Si	>100
15	-4896	-7542	2714	-286	-27	176	35	0.002	0.002	35(Fr)	Si	>100

Muro :87 - Nodi : [10 - 864 - 25 - 871]

Pann.X=4 Pann.Y=4 Spess.= 30 cm Criterio CLS_Muri_Esist Materiale: C20/25rcm=200
[kg/cmq],fym=4200 [kg/cmq], FC=1.20 qd=2.5, qf=1.5 :

Armatura a maglia doppia, Stampa elementi piu' gravosi

Combinazione Rara: $\sigma_{ca}[kg/cm^2]=83$ $\sigma_{fa}[kg/cm^2]=2800$

P.	Nx	Ny	Nxy	Mx	My	Mxy	Afx	Afy	σ_{cmax}	σ_{fmax}	Cbc	Cbf	Ver	Cs
	kg/mq	kg/mq	kg/mq	kg	kg	kg	cmq/m	cmq/m	kg/cmq	kg/cmq				
4	-44573	-141744	65313	-76	-719	157	31.42	31.42	-16	-140	29	29	Si	5.2
3	-23719	-139714	48902	-38	-519	89	31.42	31.42	-15	-149	29	29	Si	5.6

Combinazione QP: $\sigma_{ca}[kg/cm^2]=62$ $\sigma_{fa}[kg/cm^2]=2800$

P.	Nx	Ny	Nxy	Mx	My	Mxy	Afx	Afy	σ_{cmax}	σ_{fmax}	Cbc	Cbf	Ver	Cs
	kg/mq	kg/mq	kg/mq	kg	kg	kg	cmq/m	cmq/m	kg/cmq	kg/cmq				
4	-42905	-136437	62885	-73	-692	151	31.42	31.42	-15	-134	38	38	Si	4.1
3	-22831	-134449	47086	-37	-499	85	31.42	31.42	-14	-144	38	38	Si	4.4

Verifica aperture fessure:Wamm_Freq[mm]=0.400 Wamm_Qp[mm]=0.300

P.	Nx	Ny	Nxy	Mx	My	Mxy	σfmed	Wd	Wk	Cb	Ver	Cs
	kg/mq	kg/mq	kg/mq	kg	kg	kg	kg/cmq	mm	mm			
12	-10179	-714	9364	-35	-349	121	85	0.006	0.006	38(Qp)	Si	53
12	-10179	-714	9364	-35	-349	121	85	0.006	0.006	35(Fr)	Si	71

Muro :88 - Nodi : [10 - 863 - 860 - 10]

Pann.X=4 Pann.Y=4 Spess.= 30 cm Criterio CLS_Muri_Esist Materiale: C20/25rcm=200
[kg/cmq],fym=4200 [kg/cmq], FC=1.20 qd=2.5, qf=1.5 :

Armatura a maglia doppia, Stampa elementi piu' gravosi

Combinazione Rara: σca[kg/cmq]=83 σfa[kg/cmq]=2800

P.	Nx	Ny	Nxy	Mx	My	Mxy	Afx	Afy	σcmax	σfmax	Cbc	Cbf	Ver	Cs
	kg/mq	kg/mq	kg/mq	kg	kg	kg	cmq/m	cmq/m	kg/cmq	kg/cmq				
4	-20399	-68829	24593	20	-77	-7	31.42	31.42	-6	-85	27	27	Si	13

Combinazione QP: σca[kg/cmq]=62 σfa[kg/cmq]=2800

P.	Nx	Ny	Nxy	Mx	My	Mxy	Afx	Afy	σcmax	σfmax	Cbc	Cbf	Ver	Cs
	kg/mq	kg/mq	kg/mq	kg	kg	kg	cmq/m	cmq/m	kg/cmq	kg/cmq				
4	-19242	-65355	23171	20	-69	-8	31.42	31.42	-6	-80	38	38	Si	10

Verifica aperture fessure:Wamm_Freq[mm]=0.400 Wamm_Qp[mm]=0.300

P.	Nx	Ny	Nxy	Mx	My	Mxy	σfmed	Wd	Wk	Cb	Ver	Cs
	kg/mq	kg/mq	kg/mq	kg	kg	kg	kg/cmq	mm	mm			
2	1752	-41191	-1804	6	63	15	18	0.002	0.002	38(Qp)	Si	>100
2	1752	-41191	-1804	6	63	15	18	0.002	0.002	35(Fr)	Si	>100

Muro :89 - Nodi : [864 - 10 - 10 - 867]

Pann.X=4 Pann.Y=4 Spess.= 30 cm Criterio CLS_Muri_Esist Materiale: C20/25rcm=200
[kg/cmq],fym=4200 [kg/cmq], FC=1.20 qd=2.5, qf=1.5 :

Armatura a maglia doppia, Stampa elementi piu' gravosi

Combinazione Rara: σca[kg/cmq]=83 σfa[kg/cmq]=2800

P.	Nx	Ny	Nxy	Mx	My	Mxy	Afx	Afy	σcmax	σfmax	Cbc	Cbf	Ver	Cs
	kg/mq	kg/mq	kg/mq	kg	kg	kg	cmq/m	cmq/m	kg/cmq	kg/cmq				
13	401	-64675	9983	-7	-102	-14	31.42	31.42	-6	-78	29	29	Si	14

Combinazione QP: σca[kg/cmq]=62 σfa[kg/cmq]=2800

P.	Nx	Ny	Nxy	Mx	My	Mxy	Afx	Afy	σcmax	σfmax	Cbc	Cbf	Ver	Cs
	kg/mq	kg/mq	kg/mq	kg	kg	kg	cmq/m	cmq/m	kg/cmq	kg/cmq				
13	376	-62078	9615	-7	-98	-13	31.42	31.42	-6	-74	38	38	Si	11

Verifica aperture fessure:Wamm_Freq[mm]=0.400 Wamm_Qp[mm]=0.300

P.	Nx	Ny	Nxy	Mx	My	Mxy	σfmed	Wd	Wk	Cb	Ver	Cs
	kg/mq	kg/mq	kg/mq	kg	kg	kg	kg/cmq	mm	mm			
14	2642	-41245	2707	-2	9	-40	26	0.003	0.003	38(Qp)	Si	>100
14	2642	-41245	2707	-2	9	-40	26	0.003	0.003	35(Fr)	Si	>100

Muro :90 - Nodi : [10 - 10 - 870 - 868]

Pann.X=4 Pann.Y=4 Spess.= 30 cm Criterio CLS_Muri_Esist Materiale: C20/25rcm=200
[kg/cmq],fym=4200 [kg/cmq], FC=1.20 qd=2.5, qf=1.5 :

Armatura a maglia doppia, Stampa elementi piu' gravosi

Combinazione Rara: σca[kg/cmq]=83 σfa[kg/cmq]=2800

P.	Nx	Ny	Nxy	Mx	My	Mxy	Afx	Afy	σcmax	σfmax	Cbc	Cbf	Ver	Cs
----	----	----	-----	----	----	-----	-----	-----	-------	-------	-----	-----	-----	----

P.	Nx	Ny	Nxy	Mx	My	Mxy	Afx	Afy	σ_{cmax}	σ_{fmax}	Cbc	Cbf	Ver	Cs
	kg/mq	kg/mq	kg/mq	kg	kg	kg	cmq/m	cmq/m	kg/cmq	kg/cmq				
1	-40030	4036	-24915	-47	48	46	31.42	31.42	-4	52	27	32	Si	22
9	53012	-10371	253	-10	-2	-43	31.42	31.42	-1	509	26	32	Si	5.5

Combinazione QP: $\sigma_{\text{ca}}[\text{kg/cm}^2]=62$ $\sigma_{\text{fa}}[\text{kg/cm}^2]=2800$

P.	Nx	Ny	Nxy	Mx	My	Mxy	Afx	Afy	σ_{cmax}	σ_{fmax}	Cbc	Cbf	Ver	Cs
	kg/mq	kg/mq	kg/mq	kg	kg	kg	cmq/m	cmq/m	kg/cmq	kg/cmq				
1	-38168	3957	-23507	-46	44	41	31.42	31.42	-4	49	38	38	Si	18
9	50008	-9691	228	-10	-2	-39	31.42	31.42	-1	480	38	38	Si	5.8

Verifica aperture fessure: $W_{\text{amm_Freq}}[\text{mm}]=0.400$ $W_{\text{amm_Qp}}[\text{mm}]=0.300$

P.	Nx	Ny	Nxy	Mx	My	Mxy	σ_{fmed}	Wd	Wk	Cb	Ver	Cs
	kg/mq	kg/mq	kg/mq	kg	kg	kg	kg/cmq	mm	mm			
9	50008	-9691	228	-10	-2	-39	480	0.056	0.056	38(Qp)	Si	5.3
9	50008	-9691	228	-10	-2	-39	480	0.056	0.056	35(Fr)	Si	7.1

Muro :91 - Nodi : [882 - 3 - 872 - 10]

Pann.X=4 Pann.Y=4 Spess.= 30 cm Criterio CLS_Muri_Esist Materiale: C20/25rcm=200
[kg/cmq],fym=4200 [kg/cmq], FC=1.20 qd=2.5, qf=1.5 :

Armatura a maglia doppia, Stampa elementi piu' gravosi

Combinazione Rara: $\sigma_{\text{ca}}[\text{kg/cm}^2]=83$ $\sigma_{\text{fa}}[\text{kg/cm}^2]=2800$

P.	Nx	Ny	Nxy	Mx	My	Mxy	Afx	Afy	σ_{cmax}	σ_{fmax}	Cbc	Cbf	Ver	Cs
	kg/mq	kg/mq	kg/mq	kg	kg	kg	cmq/m	cmq/m	kg/cmq	kg/cmq				
4	25629	-60252	-4063	-109	675	331	31.42	31.42	-9	272	27	32	Si	9.6

Combinazione QP: $\sigma_{\text{ca}}[\text{kg/cm}^2]=62$ $\sigma_{\text{fa}}[\text{kg/cm}^2]=2800$

P.	Nx	Ny	Nxy	Mx	My	Mxy	Afx	Afy	σ_{cmax}	σ_{fmax}	Cbc	Cbf	Ver	Cs
	kg/mq	kg/mq	kg/mq	kg	kg	kg	cmq/m	cmq/m	kg/cmq	kg/cmq				
4	23726	-58065	-3909	-105	650	318	31.42	31.42	-8	254	38	38	Si	7.5

Verifica aperture fessure: $W_{\text{amm_Freq}}[\text{mm}]=0.400$ $W_{\text{amm_Qp}}[\text{mm}]=0.300$

P.	Nx	Ny	Nxy	Mx	My	Mxy	σ_{fmed}	Wd	Wk	Cb	Ver	Cs
	kg/mq	kg/mq	kg/mq	kg	kg	kg	kg/cmq	mm	mm			
3	24090	-42651	-12123	-72	617	435	249	0.027	0.027	38(Qp)	Si	11
3	24090	-42651	-12123	-72	617	435	249	0.027	0.027	35(Fr)	Si	15

Muro :92 - Nodi : [10 - 872 - 873 - 10]

Pann.X=4 Pann.Y=4 Spess.= 30 cm Criterio CLS_Muri_Esist Materiale: C20/25rcm=200
[kg/cmq],fym=4200 [kg/cmq], FC=1.20 qd=2.5, qf=1.5 :

Armatura a maglia doppia, Stampa elementi piu' gravosi

Combinazione Rara: $\sigma_{\text{ca}}[\text{kg/cm}^2]=83$ $\sigma_{\text{fa}}[\text{kg/cm}^2]=2800$

P.	Nx	Ny	Nxy	Mx	My	Mxy	Afx	Afy	σ_{cmax}	σ_{fmax}	Cbc	Cbf	Ver	Cs
	kg/mq	kg/mq	kg/mq	kg	kg	kg	cmq/m	cmq/m	kg/cmq	kg/cmq				
4	-14570	-85009	11865	61	552	-180	31.42	31.42	-10	-76	29	28	Si	8.2
16	-1154	15601	-3287	-140	256	-76	31.42	31.42	-1	216	27	32	Si	13

Combinazione QP: $\sigma_{\text{ca}}[\text{kg/cm}^2]=62$ $\sigma_{\text{fa}}[\text{kg/cm}^2]=2800$

P.	Nx	Ny	Nxy	Mx	My	Mxy	Afx	Afy	σ_{cmax}	σ_{fmax}	Cbc	Cbf	Ver	Cs
	kg/mq	kg/mq	kg/mq	kg	kg	kg	cmq/m	cmq/m	kg/cmq	kg/cmq				
4	-13617	-79741	10924	57	513	-169	31.42	31.42	-10	-72	38	38	Si	6.5
16	-1084	14590	-3233	-129	242	-70	31.42	31.42	-1	203	38	38	Si	14

Verifica aperture fessure:Wamm_Freq[mm]=0.400 Wamm_Qp[mm]=0.300

P.	Nx	Ny	Nxy	Mx	My	Mxy	σfmed	Wd	Wk	Cb	Ver	Cs
	kg/mq	kg/mq	kg/mq	kg	kg	kg	kg/cmq	mm	mm			
15	1077	14785	1775	-167	219	-31	199	0.017	0.017	38(Qp)	Si	18
15	1077	14785	1775	-167	219	-31	199	0.017	0.017	35(Fr)	Si	24

Muro :93 - Nodi : [10 - 873 - 6 - 881]

Pann.X=4 Pann.Y=4 Spess.= 30 cm Criterio CLS_Muri_Esist Materiale: C20/25rcm=200
[kg/cm²],fym=4200 [kg/cm²], FC=1.20 qd=2.5, qf=1.5 :

Armatura a maglia doppia, Stampa elementi piu' gravosi

Combinazione Rara: σca[kg/cm²]=83 σfa[kg/cm²]=2800

P.	Nx	Ny	Nxy	Mx	My	Mxy	Afx	Afy	σcmax	σfmax	Cbc	Cbf	Ver	Cs
	kg/mq	kg/mq	kg/mq	kg	kg	kg	cmq/m	cmq/m	kg/cm ²	kg/cm ²				
1	-9389	-57120	1435	60	556	-319	31.42	31.42	-8	-39	27	28	Si	11
16	3417	4731	-4788	183	805	-75	31.42	31.42	-6	257	27	32	Si	11

Combinazione QP: σca[kg/cm²]=62 σfa[kg/cm²]=2800

P.	Nx	Ny	Nxy	Mx	My	Mxy	Afx	Afy	σcmax	σfmax	Cbc	Cbf	Ver	Cs
	kg/mq	kg/mq	kg/mq	kg	kg	kg	cmq/m	cmq/m	kg/cm ²	kg/cm ²				
1	-8112	-53483	1349	58	514	-295	31.42	31.42	-7	-38	38	38	Si	8.6
16	3091	4346	-4441	168	749	-69	31.42	31.42	-5	237	38	38	Si	12

Verifica aperture fessure:Wamm_Freq[mm]=0.400 Wamm_Qp[mm]=0.300

P.	Nx	Ny	Nxy	Mx	My	Mxy	σfmed	Wd	Wk	Cb	Ver	Cs
	kg/mq	kg/mq	kg/mq	kg	kg	kg	kg/cm ²	mm	mm			
4	16996	-15284	1189	113	503	-149	192	0.019	0.019	38(Qp)	Si	16
4	16996	-15284	1189	113	503	-149	192	0.019	0.019	35(Fr)	Si	21

Muro :94 - Nodi : [4 - 883 - 10 - 880]

Pann.X=4 Pann.Y=4 Spess.= 30 cm Criterio CLS_Muri_Esist Materiale: C20/25rcm=200
[kg/cm²],fym=4200 [kg/cm²], FC=1.20 qd=2.5, qf=1.5 :

Armatura a maglia doppia, Stampa elementi piu' gravosi

Combinazione Rara: σca[kg/cm²]=83 σfa[kg/cm²]=2800

P.	Nx	Ny	Nxy	Mx	My	Mxy	Afx	Afy	σcmax	σfmax	Cbc	Cbf	Ver	Cs
	kg/mq	kg/mq	kg/mq	kg	kg	kg	cmq/m	cmq/m	kg/cm ²	kg/cm ²				
13	-7017	-14072	10545	193	1361	-712	31.42	31.42	-11	238	29	32	Si	7.6
9	-11203	-8057	204	148	1249	-748	31.42	31.42	-10	258	29	32	Si	8.4

Combinazione QP: σca[kg/cm²]=62 σfa[kg/cm²]=2800

P.	Nx	Ny	Nxy	Mx	My	Mxy	Afx	Afy	σcmax	σfmax	Cbc	Cbf	Ver	Cs
	kg/mq	kg/mq	kg/mq	kg	kg	kg	cmq/m	cmq/m	kg/cm ²	kg/cm ²				
13	-6654	-13398	10064	185	1304	-683	31.42	31.42	-11	228	38	38	Si	5.9
9	-10672	-7683	258	142	1197	-717	31.42	31.42	-9	248	38	38	Si	6.6

Verifica aperture fessure:Wamm_Freq[mm]=0.400 Wamm_Qp[mm]=0.300

P.	Nx	Ny	Nxy	Mx	My	Mxy	σfmed	Wd	Wk	Cb	Ver	Cs
	kg/mq	kg/mq	kg/mq	kg	kg	kg	kg/cm ²	mm	mm			
9	-10672	-7683	258	142	1197	-717	248	0.016	0.016	38(Qp)	Si	19
9	-10672	-7683	258	142	1197	-717	248	0.016	0.016	35(Fr)	Si	25

Muro :95 - Nodi : [883 - 882 - 10 - 10]

Pann.X=4 Pann.Y=4 Spess.= 30 cm Criterio CLS_Muri_Esist Materiale: C20/25rcm=200
[kg/cm²],fym=4200 [kg/cm²], FC=1.20 qd=2.5, qf=1.5 :

Armatura a maglia doppia, Stampa elementi piu' gravosi

Combinazione Rara: σ_{ca} [kg/cm²]=83 σ_{fa} [kg/cm²]=2800

P.	Nx	Ny	Nxy	Mx	My	Mxy	Afx	Afy	σ_{cmax}	σ_{fmax}	Cbc	Cbf	Ver	Cs
	kg/mq	kg/mq	kg/mq	kg	kg	kg	cmq/m	cmq/m	kg/cm ²	kg/cm ²				
1	-4268	-32146	33476	155	988	-491	31.42	31.42	-8	41	29	32	Si	9.8
12	84052	-8051	703	233	-11	126	31.42	31.42	-1	865	29	32	Si	3.2

Combinazione QP: σ_{ca} [kg/cm²]=62 σ_{fa} [kg/cm²]=2800

P.	Nx	Ny	Nxy	Mx	My	Mxy	Afx	Afy	σ_{cmax}	σ_{fmax}	Cbc	Cbf	Ver	Cs
	kg/mq	kg/mq	kg/mq	kg	kg	kg	cmq/m	cmq/m	kg/cm ²	kg/cm ²				
1	-4000	-30743	31826	148	947	-472	31.42	31.42	-8	40	38	38	Si	7.7
12	80203	-7636	638	225	-11	121	31.42	31.42	-1	825	38	38	Si	3.4

Verifica aperture fessure: Wamm_Freq[mm]=0.400 Wamm_Qp[mm]=0.300

P.	Nx	Ny	Nxy	Mx	My	Mxy	σ_{fmed}	Wd	Wk	Cb	Ver	Cs
	kg/mq	kg/mq	kg/mq	kg	kg	kg	kg/cm ²	mm	mm			
12	80203	-7636	638	225	-11	121	825	0.090	0.090	38(Qp)	Si	3.3
12	80203	-7636	638	225	-11	121	825	0.090	0.090	35(Fr)	Si	4.4

Muro :96 - Nodi : [10 - 10 - 881 - 884]

Pann.X=4 Pann.Y=4 Spess.= 30 cm Criterio CLS_Muri_Esist Materiale: C20/25rcm=200
[kg/cm²],fym=4200 [kg/cm²], FC=1.20 qd=2.5, qf=1.5 :

Armatura a maglia doppia, Stampa elementi piu' gravosi

Combinazione Rara: σ_{ca} [kg/cm²]=83 σ_{fa} [kg/cm²]=2800

P.	Nx	Ny	Nxy	Mx	My	Mxy	Afx	Afy	σ_{cmax}	σ_{fmax}	Cbc	Cbf	Ver	Cs
	kg/mq	kg/mq	kg/mq	kg	kg	kg	cmq/m	cmq/m	kg/cm ²	kg/cm ²				
12	-51677	-7240	2090	-97	205	-69	31.42	31.42	-5	-61	29	27	Si	17
9	54246	-7823	1687	-18	-16	-61	31.42	31.42	-1	524	27	32	Si	5.3

Combinazione QP: σ_{ca} [kg/cm²]=62 σ_{fa} [kg/cm²]=2800

P.	Nx	Ny	Nxy	Mx	My	Mxy	Afx	Afy	σ_{cmax}	σ_{fmax}	Cbc	Cbf	Ver	Cs
	kg/mq	kg/mq	kg/mq	kg	kg	kg	cmq/m	cmq/m	kg/cm ²	kg/cm ²				
12	-48337	-6660	1945	-90	188	-62	31.42	31.42	-5	-57	38	38	Si	13
9	51467	-7327	1558	-17	-15	-54	31.42	31.42	-1	496	38	38	Si	5.6

Verifica aperture fessure: Wamm_Freq[mm]=0.400 Wamm_Qp[mm]=0.300

P.	Nx	Ny	Nxy	Mx	My	Mxy	σ_{fmed}	Wd	Wk	Cb	Ver	Cs
	kg/mq	kg/mq	kg/mq	kg	kg	kg	kg/cm ²	mm	mm			
9	51467	-7327	1558	-17	-15	-54	496	0.058	0.058	38(Qp)	Si	5.2
9	51467	-7327	1558	-17	-15	-54	496	0.058	0.058	35(Fr)	Si	6.9

Muro :97 - Nodi : [885 - 10 - 884 - 12]

Pann.X=4 Pann.Y=4 Spess.= 30 cm Criterio CLS_Muri_Esist Materiale: C20/25rcm=200
[kg/cm²],fym=4200 [kg/cm²], FC=1.20 qd=2.5, qf=1.5 :

Armatura a maglia doppia, Stampa elementi piu' gravosi

Combinazione Rara: σ_{ca} [kg/cm²]=83 σ_{fa} [kg/cm²]=2800

P.	Nx	Ny	Nxy	Mx	My	Mxy	Afx	Afy	σ_{cmax}	σ_{fmax}	Cbc	Cbf	Ver	Cs
	kg/mq	kg/mq	kg/mq	kg	kg	kg	cmq/m	cmq/m	kg/cm ²	kg/cm ²				
16	43802	-9540	5709	218	888	227	31.42	31.42	-7	478	27	32	Si	5.9
4	48421	5275	2919	170	572	121	31.42	31.42	-4	510	27	32	Si	5.5

Combinazione QP: σ_{ca} [kg/cm²]=62 σ_{fa} [kg/cm²]=2800

P.	Nx	Ny	Nxy	Mx	My	Mxy	Afx	Afy	σ_{cmax}	σ_{fmax}	Cbc	Cbf	Ver	Cs
	kg/mq	kg/mq	kg/mq	kg	kg	kg	cmq/m	cmq/m	kg/cm ²	kg/cm ²				

P.	Nx	Ny	Nxy	Mx	My	Mxy	Afx	Afy	σ_{cmax}	σ_{fmax}	Cbc	Cbf	Ver	Cs
16	41916	-8918	5311	206	823	211	31.42	31.42	-7	455	38	38	Si	6.2
4	45966	4993	2619	161	530	112	31.42	31.42	-3	482	38	38	Si	5.8

Verifica aperture fessure: Wamm_Freq[mm]=0.400 Wamm_Qp[mm]=0.300

P.	Nx	Ny	Nxy	Mx	My	Mxy	σ_{fmed}	Wd	Wk	Cb	Ver	Cs
	kg/mq	kg/mq	kg/mq	kg	kg	kg	kg/cmq	mm	mm			
4	45966	4993	2619	161	530	112	482	0.052	0.052	38(Qp)	Si	5.8
4	45966	4993	2619	161	530	112	482	0.052	0.052	35(Fr)	Si	7.8

Muro :98 - Nodi : [880 - 10 - 10 - 885]

Pann.X=4 Pann.Y=4 Spess.= 30 cm Criterio CLS_Muri_Esist Materiale: C20/25rcm=200
[kg/cmq],fym=4200 [kg/cmq], FC=1.20 qd=2.5, qf=1.5 :

Armatura a maglia doppia, Stampa elementi piu' gravosi

Combinazione Rara: σ_{ca} [kg/cmq]=83 σ_{fa} [kg/cmq]=2800

P.	Nx	Ny	Nxy	Mx	My	Mxy	Afx	Afy	σ_{cmax}	σ_{fmax}	Cbc	Cbf	Ver	Cs
	kg/mq	kg/mq	kg/mq	kg	kg	kg	cmq/m	cmq/m	kg/cmq	kg/cmq				
13	-18099	-70269	30292	3	601	-43	31.42	31.42	-9	-54	29	29	Si	9.1

Combinazione QP: σ_{ca} [kg/cmq]=62 σ_{fa} [kg/cmq]=2800

P.	Nx	Ny	Nxy	Mx	My	Mxy	Afx	Afy	σ_{cmax}	σ_{fmax}	Cbc	Cbf	Ver	Cs
	kg/mq	kg/mq	kg/mq	kg	kg	kg	cmq/m	cmq/m	kg/cmq	kg/cmq				
13	-17219	-66692	28765	2	578	-40	31.42	31.42	-9	-51	38	38	Si	7.1

Verifica aperture fessure: Wamm_Freq[mm]=0.400 Wamm_Qp[mm]=0.300

P.	Nx	Ny	Nxy	Mx	My	Mxy	σ_{fmed}	Wd	Wk	Cb	Ver	Cs
	kg/mq	kg/mq	kg/mq	kg	kg	kg	kg/cmq	mm	mm			
2	-13802	-25409	5066	-483	-55	38	28	0.001	0.001	38(Qp)	Si	>100
2	-13802	-25409	5066	-483	-55	38	28	0.001	0.001	35(Fr)	Si	>100

Muro :99 - Nodi : [888 - 4 - 880 - 10]

Pann.X=4 Pann.Y=4 Spess.= 30 cm Criterio CLS_Muri_Esist Materiale: C20/25rcm=200
[kg/cmq],fym=4200 [kg/cmq], FC=1.20 qd=2.5, qf=1.5 :

Armatura a maglia doppia, Stampa elementi piu' gravosi

Combinazione Rara: σ_{ca} [kg/cmq]=83 σ_{fa} [kg/cmq]=2800

P.	Nx	Ny	Nxy	Mx	My	Mxy	Afx	Afy	σ_{cmax}	σ_{fmax}	Cbc	Cbf	Ver	Cs
	kg/mq	kg/mq	kg/mq	kg	kg	kg	cmq/m	cmq/m	kg/cmq	kg/cmq				
4	-49633	-49323	-16591	-95	237	72	31.42	31.42	-5	-59	29	29	Si	15

Combinazione QP: σ_{ca} [kg/cmq]=62 σ_{fa} [kg/cmq]=2800

P.	Nx	Ny	Nxy	Mx	My	Mxy	Afx	Afy	σ_{cmax}	σ_{fmax}	Cbc	Cbf	Ver	Cs
	kg/mq	kg/mq	kg/mq	kg	kg	kg	cmq/m	cmq/m	kg/cmq	kg/cmq				
4	-47582	-47210	-15817	-90	226	68	31.42	31.42	-5	-56	38	38	Si	12

Verifica aperture fessure: Wamm_Freq[mm]=0.400 Wamm_Qp[mm]=0.300

P.	Nx	Ny	Nxy	Mx	My	Mxy	σ_{fmed}	Wd	Wk	Cb	Ver	Cs
	kg/mq	kg/mq	kg/mq	kg	kg	kg	kg/cmq	mm	mm			
9	-8179	-6874	-12012	10	294	24	25	0.001	0.001	38(Qp)	Si	>100
9	-8179	-6874	-12012	10	294	24	25	0.001	0.001	35(Fr)	Si	>100

Muro :100 - Nodi : [10 - 10 - 890 - 888]

Pann.X=4 Pann.Y=4 Spess.= 30 cm Criterio CLS_Muri_Esist Materiale: C20/25rcm=200

[kg/cm²], f_{ym}=4200 [kg/cm²], FC=1.20 q_d=2.5, q_f=1.5 :

Armatura a maglia doppia, Stampa elementi piu' gravosi

Combinazione Rara: σ_{ca} [kg/cm²]=83 σ_{fa} [kg/cm²]=2800

P.	Nx	Ny	Nxy	Mx	My	Mxy	Afx	Afy	σ_{cmax}	σ_{fmax}	Cbc	Cbf	Ver	Cs
	kg/mq	kg/mq	kg/mq	kg	kg	kg	cmq/m	cmq/m	kg/cm ²	kg/cm ²				
4	-4281	-25270	-35683	32	236	113	31.42	31.42	-3	-18	29	27	Si	24
9	53052	-14166	880	61	-4	-12	31.42	31.42	-1	523	29	32	Si	5.4

Combinazione QP: σ_{ca} [kg/cm²]=62 σ_{fa} [kg/cm²]=2800

P.	Nx	Ny	Nxy	Mx	My	Mxy	Afx	Afy	σ_{cmax}	σ_{fmax}	Cbc	Cbf	Ver	Cs
	kg/mq	kg/mq	kg/mq	kg	kg	kg	cmq/m	cmq/m	kg/cm ²	kg/cm ²				
4	-4119	-24225	-34117	30	226	106	31.42	31.42	-3	-18	38	38	Si	19
9	50791	-13467	828	58	-4	-13	31.42	31.42	-1	501	38	38	Si	5.6

Verifica aperture fessure: Wamm_Freq[mm]=0.400 Wamm_Qp[mm]=0.300

P.	Nx	Ny	Nxy	Mx	My	Mxy	σ_{fmed}	Wd	Wk	Cb	Ver	Cs
	kg/mq	kg/mq	kg/mq	kg	kg	kg	kg/cm ²	mm	mm			
9	50791	-13467	828	58	-4	-13	501	0.057	0.057	38(Qp)	Si	5.3
9	50791	-13467	828	58	-4	-13	501	0.057	0.057	35(Fr)	Si	7.0

Muro :101 - Nodi : [890 - 10 - 879 - 5]

Pann.X=4 Pann.Y=4 Spess.= 30 cm Criterio CLS_Muri_Esist Materiale: C20/25rcm=200

[kg/cm²], f_{ym}=4200 [kg/cm²], FC=1.20 q_d=2.5, q_f=1.5 :

Armatura a maglia doppia, Stampa elementi piu' gravosi

Combinazione Rara: σ_{ca} [kg/cm²]=83 σ_{fa} [kg/cm²]=2800

P.	Nx	Ny	Nxy	Mx	My	Mxy	Afx	Afy	σ_{cmax}	σ_{fmax}	Cbc	Cbf	Ver	Cs
	kg/mq	kg/mq	kg/mq	kg	kg	kg	cmq/m	cmq/m	kg/cm ²	kg/cm ²				
13	-50910	-32492	-15117	192	7	113	31.42	31.42	-5	-54	29	29	Si	15

Combinazione QP: σ_{ca} [kg/cm²]=62 σ_{fa} [kg/cm²]=2800

P.	Nx	Ny	Nxy	Mx	My	Mxy	Afx	Afy	σ_{cmax}	σ_{fmax}	Cbc	Cbf	Ver	Cs
	kg/mq	kg/mq	kg/mq	kg	kg	kg	cmq/m	cmq/m	kg/cm ²	kg/cm ²				
13	-48499	-30695	-14379	186	6	109	31.42	31.42	-5	-51	38	38	Si	12

Verifica aperture fessure: Wamm_Freq[mm]=0.400 Wamm_Qp[mm]=0.300

P.	Nx	Ny	Nxy	Mx	My	Mxy	σ_{fmed}	Wd	Wk	Cb	Ver	Cs
	kg/mq	kg/mq	kg/mq	kg	kg	kg	kg/cm ²	mm	mm			
1	-27750	-4605	-22843	261	37	128	0	0.000	0.000	38(Qp)	Si	>100
1	-28145	-4685	-23155	264	38	129	0	0.000	0.000	33(Fr)	Si	>100

Muro :102 - Nodi : [10 - 885 - 12 - 889]

Pann.X=4 Pann.Y=4 Spess.= 30 cm Criterio CLS_Muri_Esist Materiale: C20/25rcm=200

[kg/cm²], f_{ym}=4200 [kg/cm²], FC=1.20 q_d=2.5, q_f=1.5 :

Armatura a maglia doppia, Stampa elementi piu' gravosi

Combinazione Rara: σ_{ca} [kg/cm²]=83 σ_{fa} [kg/cm²]=2800

P.	Nx	Ny	Nxy	Mx	My	Mxy	Afx	Afy	σ_{cmax}	σ_{fmax}	Cbc	Cbf	Ver	Cs
	kg/mq	kg/mq	kg/mq	kg	kg	kg	cmq/m	cmq/m	kg/cm ²	kg/cm ²				
1	-22932	-34719	8122	-47	265	-96	31.42	31.42	-4	-28	27	28	Si	19
16	33905	5661	-2610	107	503	59	31.42	31.42	-3	354	27	32	Si	7.9

Combinazione QP: σ_{ca} [kg/cm²]=62 σ_{fa} [kg/cm²]=2800

P.	Nx	Ny	Nxy	Mx	My	Mxy	Afx	Afy	σ_{cmax}	σ_{fmax}	Cbc	Cbf	Ver	Cs
----	----	----	-----	----	----	-----	-----	-----	-----------------	-----------------	-----	-----	-----	----

P.	Nx	Ny	Nxy	Mx	My	Mxy	Afx	Afy	σ_{\max}	σ_{\max}	Cbc	Cbf	Ver	Cs
	kg/mq	kg/mq	kg/mq	kg	kg	kg	cmq/m	cmq/m	kg/cmq	kg/cmq				
1	-20991	-32476	7618	-40	246	-90	31.42	31.42	-4	-27	38	38	Si	15
16	32074	5387	-2447	103	467	54	31.42	31.42	-3	334	38	38	Si	8.4

Verifica aperture fessure: Wamm_Freq[mm]=0.400 Wamm_Qp[mm]=0.300

P.	Nx	Ny	Nxy	Mx	My	Mxy	σ_{\max}	Wd	Wk	Cb	Ver	Cs
	kg/mq	kg/mq	kg/mq	kg	kg	kg	kg/cmq	mm	mm			
16	32074	5387	-2447	103	467	54	334	0.036	0.036	38(Qp)	Si	8.3
16	31991	5681	-2381	104	481	57	333	0.036	0.036	34(Fr)	Si	11

Muro :103 - Nodi : [10 - 10 - 880 - 885]

Pann.X=4 Pann.Y=4 Spess.= 30 cm Criterio CLS_Muri_Esist Materiale: C20/25rcm=200
[kg/cmq],fym=4200 [kg/cmq], FC=1.20 qd=2.5, qf=1.5 :

Armatura a maglia doppia, Stampa elementi piu' gravosi

Combinazione Rara: σ_{ca} [kg/cmq]=83 σ_{fa} [kg/cmq]=2800

P.	Nx	Ny	Nxy	Mx	My	Mxy	Afx	Afy	σ_{\max}	σ_{\max}	Cbc	Cbf	Ver	Cs
	kg/mq	kg/mq	kg/mq	kg	kg	kg	cmq/m	cmq/m	kg/cmq	kg/cmq				
13	-61174	-18254	26939	123	-45	55	31.42	31.42	-6	-72	29	27	Si	14

Combinazione QP: σ_{ca} [kg/cmq]=62 σ_{fa} [kg/cmq]=2800

P.	Nx	Ny	Nxy	Mx	My	Mxy	Afx	Afy	σ_{\max}	σ_{\max}	Cbc	Cbf	Ver	Cs
	kg/mq	kg/mq	kg/mq	kg	kg	kg	cmq/m	cmq/m	kg/cmq	kg/cmq				
13	-58518	-17425	25764	118	-42	53	31.42	31.42	-6	-69	38	38	Si	11

Verifica aperture fessure: Wamm_Freq[mm]=0.400 Wamm_Qp[mm]=0.300

P.	Nx	Ny	Nxy	Mx	My	Mxy	σ_{\max}	Wd	Wk	Cb	Ver	Cs
	kg/mq	kg/mq	kg/mq	kg	kg	kg	kg/cmq	mm	mm			
8	-21760	-10723	-986	-25	-265	-31	5	0.000	0.000	38(Qp)	Si	>100
8	-22179	-11054	-1170	-26	-270	-32	4	0.000	0.000	33(Fr)	Si	>100

Muro :104 - Nodi : [10 - 10 - 889 - 891]

Pann.X=4 Pann.Y=4 Spess.= 30 cm Criterio CLS_Muri_Esist Materiale: C20/25rcm=200
[kg/cmq],fym=4200 [kg/cmq], FC=1.20 qd=2.5, qf=1.5 :

Armatura a maglia doppia, Stampa elementi piu' gravosi

Combinazione Rara: σ_{ca} [kg/cmq]=83 σ_{fa} [kg/cmq]=2800

P.	Nx	Ny	Nxy	Mx	My	Mxy	Afx	Afy	σ_{\max}	σ_{\max}	Cbc	Cbf	Ver	Cs
	kg/mq	kg/mq	kg/mq	kg	kg	kg	cmq/m	cmq/m	kg/cmq	kg/cmq				
12	-39266	-5432	5432	-57	56	-41	31.42	31.42	-4	-47	28	28	Si	23
9	41397	-12864	1343	-35	-11	-35	31.42	31.42	-1	405	29	32	Si	6.9

Combinazione QP: σ_{ca} [kg/cmq]=62 σ_{fa} [kg/cmq]=2800

P.	Nx	Ny	Nxy	Mx	My	Mxy	Afx	Afy	σ_{\max}	σ_{\max}	Cbc	Cbf	Ver	Cs
	kg/mq	kg/mq	kg/mq	kg	kg	kg	cmq/m	cmq/m	kg/cmq	kg/cmq				
12	-36598	-4994	5069	-53	51	-37	31.42	31.42	-3	-44	38	38	Si	18
9	39152	-12092	1244	-33	-10	-33	31.42	31.42	-1	383	38	38	Si	7.3

Verifica aperture fessure: Wamm_Freq[mm]=0.400 Wamm_Qp[mm]=0.300

P.	Nx	Ny	Nxy	Mx	My	Mxy	σ_{\max}	Wd	Wk	Cb	Ver	Cs
	kg/mq	kg/mq	kg/mq	kg	kg	kg	kg/cmq	mm	mm			
9	39152	-12092	1244	-33	-10	-33	383	0.044	0.044	38(Qp)	Si	6.8
9	39152	-12092	1244	-33	-10	-33	383	0.044	0.044	35(Fr)	Si	9.1

Muro :105 - Nodi : [891 - 20 - 886 - 10]

Pann.X=4 Pann.Y=4 Spess.= 30 cm Criterio CLS_Muri_Esist Materiale: C20/25rcm=200
[kg/cmq],fym=4200 [kg/cmq], FC=1.20 qd=2.5, qf=1.5 :

Armatura a maglia doppia, Stampa elementi piu' gravosi

Combinazione Rara: σ_{ca} [kg/cmq]=83 σ_{fa} [kg/cmq]=2800

P.	Nx	Ny	Nxy	Mx	My	Mxy	Afx	Afy	σ_{cmax}	σ_{fmax}	Cbc	Cbf	Ver	Cs
	kg/mq	kg/mq	kg/mq	kg	kg	kg	cmq/m	cmq/m	kg/cmq	kg/cmq				
13	32534	1325	-5180	367	1157	-148	31.42	31.42	-9	448	27	25	Si	6.3

Combinazione QP: σ_{ca} [kg/cmq]=62 σ_{fa} [kg/cmq]=2800

P.	Nx	Ny	Nxy	Mx	My	Mxy	Afx	Afy	σ_{cmax}	σ_{fmax}	Cbc	Cbf	Ver	Cs
	kg/mq	kg/mq	kg/mq	kg	kg	kg	cmq/m	cmq/m	kg/cmq	kg/cmq				
13	30882	1295	-4787	333	1063	-136	31.42	31.42	-8	383	38	38	Si	7.3

Verifica aperture fessure:Wamm_Freq[mm]=0.400 Wamm_Qp[mm]=0.300

P.	Nx	Ny	Nxy	Mx	My	Mxy	σ_{fmed}	Wd	Wk	Cb	Ver	Cs
	kg/mq	kg/mq	kg/mq	kg	kg	kg	kg/cmq	mm	mm			
1	36588	-14287	-3696	72	359	44	369	0.041	0.041	38(Qp)	Si	7.3
1	36588	-14287	-3696	72	359	44	369	0.041	0.041	35(Fr)	Si	9.7

Muro :106 - Nodi : [10 - 886 - 879 - 10]

Pann.X=4 Pann.Y=4 Spess.= 30 cm Criterio CLS_Muri_Esist Materiale: C20/25rcm=200
[kg/cmq],fym=4200 [kg/cmq], FC=1.20 qd=2.5, qf=1.5 :

Armatura a maglia doppia, Stampa elementi piu' gravosi

Combinazione Rara: σ_{ca} [kg/cmq]=83 σ_{fa} [kg/cmq]=2800

P.	Nx	Ny	Nxy	Mx	My	Mxy	Afx	Afy	σ_{cmax}	σ_{fmax}	Cbc	Cbf	Ver	Cs
	kg/mq	kg/mq	kg/mq	kg	kg	kg	cmq/m	cmq/m	kg/cmq	kg/cmq				
1	-16191	-57322	-21458	61	307	124	31.42	31.42	-7	-54	27	28	Si	13
4	-17030	-61315	22367	11	130	-40	31.42	31.42	-6	-71	29	29	Si	14

Combinazione QP: σ_{ca} [kg/cmq]=62 σ_{fa} [kg/cmq]=2800

P.	Nx	Ny	Nxy	Mx	My	Mxy	Afx	Afy	σ_{cmax}	σ_{fmax}	Cbc	Cbf	Ver	Cs
	kg/mq	kg/mq	kg/mq	kg	kg	kg	cmq/m	cmq/m	kg/cmq	kg/cmq				
1	-15233	-53960	-20174	55	281	113	31.42	31.42	-6	-53	38	38	Si	10
4	-16193	-58308	21232	10	127	-38	31.42	31.42	-6	-68	38	38	Si	11

Verifica aperture fessure:Wamm_Freq[mm]=0.400 Wamm_Qp[mm]=0.300

P.	Nx	Ny	Nxy	Mx	My	Mxy	σ_{fmed}	Wd	Wk	Cb	Ver	Cs
	kg/mq	kg/mq	kg/mq	kg	kg	kg	kg/cmq	mm	mm			
1	-15233	-53960	-20174	55	281	113	0	0.000	0.000	38(Qp)	Si	>100
1	-15698	-55546	-20803	56	285	116	0	0.000	0.000	33(Fr)	Si	>100

Muro :107 - Nodi : [892 - 5 - 879 - 10]

Pann.X=4 Pann.Y=4 Spess.= 30 cm Criterio CLS_Muri_Esist Materiale: C20/25rcm=200
[kg/cmq],fym=4200 [kg/cmq], FC=1.20 qd=2.5, qf=1.5 :

Armatura a maglia doppia, Stampa elementi piu' gravosi

Combinazione Rara: σ_{ca} [kg/cmq]=83 σ_{fa} [kg/cmq]=2800

P.	Nx	Ny	Nxy	Mx	My	Mxy	Afx	Afy	σ_{cmax}	σ_{fmax}	Cbc	Cbf	Ver	Cs
	kg/mq	kg/mq	kg/mq	kg	kg	kg	cmq/m	cmq/m	kg/cmq	kg/cmq				
4	-45800	-52662	-14464	-11	174	83	31.42	31.42	-5	-59	29	29	Si	15

Combinazione QP: σ_{ca} [kg/cmq]=62 σ_{fa} [kg/cmq]=2800

P.	Nx	Ny	Nxy	Mx	My	Mxy	Afx	Afy	σ_{cmax}	σ_{fmax}	Cbc	Cbf	Ver	Cs
	kg/mq	kg/mq	kg/mq	kg	kg	kg	cmq/m	cmq/m	kg/cmq	kg/cmq				
4	-43342	-50146	-13759	-11	167	79	31.42	31.42	-5	-56	38	38	Si	12

Verifica aperture fessure: Wamm_Freq[mm]=0.400 Wamm_Qp[mm]=0.300

P.	Nx	Ny	Nxy	Mx	My	Mxy	σ_{fmed}	Wd	Wk	Cb	Ver	Cs
	kg/mq	kg/mq	kg/mq	kg	kg	kg	kg/cmq	mm	mm			
1	-5655	-29647	-18765	34	260	93	0	0.000	0.000	38(Qp)	Si	>100
1	-5744	-30066	-19026	34	263	94	0	0.000	0.000	33(Fr)	Si	>100

Muro :108 - Nodi : [892 - 10 - 10 - 895]

Pann.X=4 Pann.Y=4 Spess.= 30 cm Criterio CLS_Muri_Esist Materiale: C20/25rcm=200
[kg/cmq],fym=4200 [kg/cmq], FC=1.20 qd=2.5, qf=1.5 :

Armatura a maglia doppia, Stampa elementi piu' gravosi

Combinazione Rara: σ_{ca} [kg/cmq]=83 σ_{fa} [kg/cmq]=2800

P.	Nx	Ny	Nxy	Mx	My	Mxy	Afx	Afy	σ_{cmax}	σ_{fmax}	Cbc	Cbf	Ver	Cs
	kg/mq	kg/mq	kg/mq	kg	kg	kg	cmq/m	cmq/m	kg/cmq	kg/cmq				
1	-25069	-4559	34219	187	29	-68	31.42	31.42	-3	-21	29	29	Si	27
15	-15571	53637	-468	-9	59	46	31.42	31.42	-1	528	29	32	Si	5.3

Combinazione QP: σ_{ca} [kg/cmq]=62 σ_{fa} [kg/cmq]=2800

P.	Nx	Ny	Nxy	Mx	My	Mxy	Afx	Afy	σ_{cmax}	σ_{fmax}	Cbc	Cbf	Ver	Cs
	kg/mq	kg/mq	kg/mq	kg	kg	kg	cmq/m	cmq/m	kg/cmq	kg/cmq				
1	-23940	-4303	32556	180	28	-66	31.42	31.42	-3	-20	38	38	Si	21
15	-14788	51112	-467	-9	56	45	31.42	31.42	-1	503	38	38	Si	5.6

Verifica aperture fessure: Wamm_Freq[mm]=0.400 Wamm_Qp[mm]=0.300

P.	Nx	Ny	Nxy	Mx	My	Mxy	σ_{fmed}	Wd	Wk	Cb	Ver	Cs
	kg/mq	kg/mq	kg/mq	kg	kg	kg	kg/cmq	mm	mm			
15	-14788	51112	-467	-9	56	45	503	0.057	0.057	38(Qp)	Si	5.2
15	-14788	51112	-467	-9	56	45	503	0.057	0.057	35(Fr)	Si	7.0

Muro :109 - Nodi : [895 - 10 - 878 - 6]

Pann.X=4 Pann.Y=4 Spess.= 30 cm Criterio CLS_Muri_Esist Materiale: C20/25rcm=200
[kg/cmq],fym=4200 [kg/cmq], FC=1.20 qd=2.5, qf=1.5 :

Armatura a maglia doppia, Stampa elementi piu' gravosi

Combinazione Rara: σ_{ca} [kg/cmq]=83 σ_{fa} [kg/cmq]=2800

P.	Nx	Ny	Nxy	Mx	My	Mxy	Afx	Afy	σ_{cmax}	σ_{fmax}	Cbc	Cbf	Ver	Cs
	kg/mq	kg/mq	kg/mq	kg	kg	kg	cmq/m	cmq/m	kg/cmq	kg/cmq				
13	-43255	-21610	-13042	223	-14	127	31.42	31.42	-5	-42	27	27	Si	17

Combinazione QP: σ_{ca} [kg/cmq]=62 σ_{fa} [kg/cmq]=2800

P.	Nx	Ny	Nxy	Mx	My	Mxy	Afx	Afy	σ_{cmax}	σ_{fmax}	Cbc	Cbf	Ver	Cs
	kg/mq	kg/mq	kg/mq	kg	kg	kg	cmq/m	cmq/m	kg/cmq	kg/cmq				
13	-41428	-20963	-12448	215	-14	122	31.42	31.42	-5	-40	38	38	Si	13

Verifica aperture fessure: Wamm_Freq[mm]=0.400 Wamm_Qp[mm]=0.300

P.	Nx	Ny	Nxy	Mx	My	Mxy	σ_{fmed}	Wd	Wk	Cb	Ver	Cs
	kg/mq	kg/mq	kg/mq	kg	kg	kg	kg/cmq	mm	mm			
1	-25731	-3202	-19676	280	35	147	0	0.000	0.000	38(Qp)	Si	>100
1	-26074	-3241	-19953	283	35	149	0	0.000	0.000	33(Fr)	Si	>100

Muro :110 - Nodi : [10 - 886 - 20 - 893]

Pann.X=4 Pann.Y=4 Spess.= 30 cm Criterio CLS_Muri_Esist Materiale: C20/25rcm=200
[kg/cmq],fym=4200 [kg/cmq], FC=1.20 qd=2.5, qf=1.5 :

Armatura a maglia doppia, Stampa elementi piu' gravosi

Combinazione Rara: σ_{ca} [kg/cmq]=83 σ_{fa} [kg/cmq]=2800

P.	Nx	Ny	Nxy	Mx	My	Mxy	Afx	Afy	σ_{cmax}	σ_{fmax}	Cbc	Cbf	Ver	Cs
	kg/mq	kg/mq	kg/mq	kg	kg	kg	cmq/m	cmq/m	kg/cmq	kg/cmq				
16	23304	1874	189	304	1228	103	31.42	31.42	-9	342	27	32	Si	8.2

Combinazione QP: σ_{ca} [kg/cmq]=62 σ_{fa} [kg/cmq]=2800

P.	Nx	Ny	Nxy	Mx	My	Mxy	Afx	Afy	σ_{cmax}	σ_{fmax}	Cbc	Cbf	Ver	Cs
	kg/mq	kg/mq	kg/mq	kg	kg	kg	cmq/m	cmq/m	kg/cmq	kg/cmq				
16	22244	1799	135	284	1129	93	31.42	31.42	-8	313	38	38	Si	7.5

Verifica aperture fessure:Wamm_Freq[mm]=0.400 Wamm_Qp[mm]=0.300

P.	Nx	Ny	Nxy	Mx	My	Mxy	σ_{fmed}	Wd	Wk	Cb	Ver	Cs
	kg/mq	kg/mq	kg/mq	kg	kg	kg	kg/cmq	mm	mm			
8	25201	-9024	-226	182	627	-66	289	0.028	0.028	38(Qp)	Si	11
8	25128	-9087	-231	185	645	-66	289	0.028	0.028	34(Fr)	Si	14

Muro :111 - Nodi : [893 - 894 - 10 - 10]

Pann.X=4 Pann.Y=4 Spess.= 30 cm Criterio CLS_Muri_Esist Materiale: C20/25rcm=200
[kg/cmq],fym=4200 [kg/cmq], FC=1.20 qd=2.5, qf=1.5 :

Armatura a maglia doppia, Stampa elementi piu' gravosi

Combinazione Rara: σ_{ca} [kg/cmq]=83 σ_{fa} [kg/cmq]=2800

P.	Nx	Ny	Nxy	Mx	My	Mxy	Afx	Afy	σ_{cmax}	σ_{fmax}	Cbc	Cbf	Ver	Cs
	kg/mq	kg/mq	kg/mq	kg	kg	kg	cmq/m	cmq/m	kg/cmq	kg/cmq				
5	-38074	-5805	4016	-29	51	-41	31.42	31.42	-3	-48	28	28	Si	24
8	46660	-13470	1014	-4	-19	-39	31.42	31.42	-1	447	29	32	Si	6.3

Combinazione QP: σ_{ca} [kg/cmq]=62 σ_{fa} [kg/cmq]=2800

P.	Nx	Ny	Nxy	Mx	My	Mxy	Afx	Afy	σ_{cmax}	σ_{fmax}	Cbc	Cbf	Ver	Cs
	kg/mq	kg/mq	kg/mq	kg	kg	kg	cmq/m	cmq/m	kg/cmq	kg/cmq				
5	-35378	-5333	3833	-27	46	-37	31.42	31.42	-3	-44	38	38	Si	19
8	43998	-12626	958	-4	-18	-37	31.42	31.42	-1	421	38	38	Si	6.6

Verifica aperture fessure:Wamm_Freq[mm]=0.400 Wamm_Qp[mm]=0.300

P.	Nx	Ny	Nxy	Mx	My	Mxy	σ_{fmed}	Wd	Wk	Cb	Ver	Cs
	kg/mq	kg/mq	kg/mq	kg	kg	kg	kg/cmq	mm	mm			
8	43998	-12626	958	-4	-18	-37	421	0.049	0.049	38(Qp)	Si	6.1
8	43998	-12626	958	-4	-18	-37	421	0.049	0.049	35(Fr)	Si	8.1

Muro :112 - Nodi : [894 - 28 - 887 - 10]

Pann.X=4 Pann.Y=4 Spess.= 30 cm Criterio CLS_Muri_Esist Materiale: C20/25rcm=200
[kg/cmq],fym=4200 [kg/cmq], FC=1.20 qd=2.5, qf=1.5 :

Armatura a maglia doppia, Stampa elementi piu' gravosi

Combinazione Rara: σ_{ca} [kg/cmq]=83 σ_{fa} [kg/cmq]=2800

P.	Nx	Ny	Nxy	Mx	My	Mxy	Afx	Afy	σ_{cmax}	σ_{fmax}	Cbc	Cbf	Ver	Cs
	kg/mq	kg/mq	kg/mq	kg	kg	kg	cmq/m	cmq/m	kg/cmq	kg/cmq				
13	33582	5138	-5026	183	1389	-172	31.42	31.42	-10	412	27	32	Si	6.8
14	19744	8929	-1669	80	1349	-136	31.42	31.42	-9	437	27	32	Si	6.4

Combinazione QP: σ_{ca} [kg/cmq]=62 σ_{fa} [kg/cmq]=2800

P.	Nx	Ny	Nxy	Mx	My	Mxy	Afx	Afy	σ_{\max}	σ_{\max}	Cbc	Cbf	Ver	Cs
	kg/mq	kg/mq	kg/mq	kg	kg	kg	cmq/m	cmq/m	kg/cmq	kg/cmq				
13	31679	4702	-4607	161	1270	-157	31.42	31.42	-9	376	38	38	Si	6.9
14	18743	8127	-1524	67	1233	-125	31.42	31.42	-8	399	38	38	Si	7.0

Verifica aperture fessure: Wamm_Freq[mm]=0.400 Wamm_Qp[mm]=0.300

P.	Nx	Ny	Nxy	Mx	My	Mxy	σ_{\max}	Wd	Wk	Cb	Ver	Cs
	kg/mq	kg/mq	kg/mq	kg	kg	kg	kg/cmq	mm	mm			
1	39109	-14347	-3275	-43	393	34	385	0.044	0.044	38(Qp)	Si	6.8
1	39109	-14347	-3275	-43	393	34	385	0.044	0.044	35(Fr)	Si	9.1

Muro :113 - Nodi : [10 - 879 - 886 - 10]

Pann.X=4 Pann.Y=4 Spess.= 30 cm Criterio CLS_Muri_Esist Materiale: C20/25rcm=200
[kg/cmq],fym=4200 [kg/cmq], FC=1.20 qd=2.5, qf=1.5 :

Armatura a maglia doppia, Stampa elementi piu' gravosi

Combinazione Rara: σ_{ca} [kg/cmq]=83 σ_{fa} [kg/cmq]=2800

P.	Nx	Ny	Nxy	Mx	My	Mxy	Afx	Afy	σ_{\max}	σ_{\max}	Cbc	Cbf	Ver	Cs
	kg/mq	kg/mq	kg/mq	kg	kg	kg	cmq/m	cmq/m	kg/cmq	kg/cmq				
1	-22091	-70723	-26748	-3	101	6	31.42	31.42	-7	-85	29	29	Si	13

Combinazione QP: σ_{ca} [kg/cmq]=62 σ_{fa} [kg/cmq]=2800

P.	Nx	Ny	Nxy	Mx	My	Mxy	Afx	Afy	σ_{\max}	σ_{\max}	Cbc	Cbf	Ver	Cs
	kg/mq	kg/mq	kg/mq	kg	kg	kg	cmq/m	cmq/m	kg/cmq	kg/cmq				
1	-20994	-67210	-25390	-3	98	5	31.42	31.42	-6	-81	38	38	Si	9.9

Verifica aperture fessure: Wamm_Freq[mm]=0.400 Wamm_Qp[mm]=0.300

P.	Nx	Ny	Nxy	Mx	My	Mxy	σ_{\max}	Wd	Wk	Cb	Ver	Cs
	kg/mq	kg/mq	kg/mq	kg	kg	kg	kg/cmq	mm	mm			
1	-20994	-67210	-25390	-3	98	5	0	0.000	0.000	38(Qp)	Si	>100
1	-21317	-68275	-25781	-3	100	5	0	0.000	0.000	33(Fr)	Si	>100

Muro :114 - Nodi : [878 - 10 - 10 - 887]

Pann.X=4 Pann.Y=4 Spess.= 30 cm Criterio CLS_Muri_Esist Materiale: C20/25rcm=200
[kg/cmq],fym=4200 [kg/cmq], FC=1.20 qd=2.5, qf=1.5 :

Armatura a maglia doppia, Stampa elementi piu' gravosi

Combinazione Rara: σ_{ca} [kg/cmq]=83 σ_{fa} [kg/cmq]=2800

P.	Nx	Ny	Nxy	Mx	My	Mxy	Afx	Afy	σ_{\max}	σ_{\max}	Cbc	Cbf	Ver	Cs
	kg/mq	kg/mq	kg/mq	kg	kg	kg	cmq/m	cmq/m	kg/cmq	kg/cmq				
16	-19209	-56927	-22794	-5	323	56	31.42	31.42	-7	-53	29	28	Si	13
13	-17068	-53370	18554	1	143	-33	31.42	31.42	-5	-60	27	27	Si	16

Combinazione QP: σ_{ca} [kg/cmq]=62 σ_{fa} [kg/cmq]=2800

P.	Nx	Ny	Nxy	Mx	My	Mxy	Afx	Afy	σ_{\max}	σ_{\max}	Cbc	Cbf	Ver	Cs
	kg/mq	kg/mq	kg/mq	kg	kg	kg	cmq/m	cmq/m	kg/cmq	kg/cmq				
16	-17994	-53398	-21320	-6	293	51	31.42	31.42	-6	-51	38	38	Si	10
13	-16344	-51125	17812	0	139	-30	31.42	31.42	-5	-58	38	38	Si	12

Verifica aperture fessure: Wamm_Freq[mm]=0.400 Wamm_Qp[mm]=0.300

P.	Nx	Ny	Nxy	Mx	My	Mxy	σ_{\max}	Wd	Wk	Cb	Ver	Cs
	kg/mq	kg/mq	kg/mq	kg	kg	kg	kg/cmq	mm	mm			
1	-18986	-19275	4871	-223	-10	-5	0	0.000	0.000	38(Qp)	Si	>100
1	-19297	-19593	4875	-226	-11	-5	0	0.000	0.000	33(Fr)	Si	>100

Muro :115 - Nodi : [896 - 6 - 878 - 10]

Pann.X=4 Pann.Y=4 Spess.= 30 cm Criterio CLS_Muri_Esist Materiale: C20/25rcm=200
[kg/cmq],fym=4200 [kg/cmq], FC=1.20 qd=2.5, qf=1.5 :

Armatura a maglia doppia, Stampa elementi piu' gravosi

Combinazione Rara: σ_{ca} [kg/cmq]=83 σ_{fa} [kg/cmq]=2800

P.	Nx	Ny	Nxy	Mx	My	Mxy	Afx	Afy	σ_{cmax}	σ_{fmax}	Cbc	Cbf	Ver	Cs
	kg/mq	kg/mq	kg/mq	kg	kg	kg	cmq/m	cmq/m	kg/cmq	kg/cmq				
4	-29666	-50399	-13185	-7	232	146	31.42	31.42	-6	-51	27	29	Si	15

Combinazione QP: σ_{ca} [kg/cmq]=62 σ_{fa} [kg/cmq]=2800

P.	Nx	Ny	Nxy	Mx	My	Mxy	Afx	Afy	σ_{cmax}	σ_{fmax}	Cbc	Cbf	Ver	Cs
	kg/mq	kg/mq	kg/mq	kg	kg	kg	cmq/m	cmq/m	kg/cmq	kg/cmq				
4	-27973	-48033	-12586	-8	224	140	31.42	31.42	-5	-48	38	38	Si	12

Verifica aperture fessure:Wamm_Freq[mm]=0.400 Wamm_Qp[mm]=0.300

P.	Nx	Ny	Nxy	Mx	My	Mxy	σ_{fmed}	Wd	Wk	Cb	Ver	Cs
	kg/mq	kg/mq	kg/mq	kg	kg	kg	kg/cmq	mm	mm			
1	-3880	-27275	-19901	36	283	168	0	0.000	0.000	38(Qp)	Si	>100
1	-3947	-27658	-20164	36	286	170	0	0.000	0.000	33(Fr)	Si	>100

Muro :116 - Nodi : [898 - 896 - 10 - 10]

Pann.X=4 Pann.Y=4 Spess.= 30 cm Criterio CLS_Muri_Esist Materiale: C20/25rcm=200
[kg/cmq],fym=4200 [kg/cmq], FC=1.20 qd=2.5, qf=1.5 :

Armatura a maglia doppia, Stampa elementi piu' gravosi

Combinazione Rara: σ_{ca} [kg/cmq]=83 σ_{fa} [kg/cmq]=2800

P.	Nx	Ny	Nxy	Mx	My	Mxy	Afx	Afy	σ_{cmax}	σ_{fmax}	Cbc	Cbf	Ver	Cs
	kg/mq	kg/mq	kg/mq	kg	kg	kg	cmq/m	cmq/m	kg/cmq	kg/cmq				
13	-1807	-21865	-31942	29	196	150	31.42	31.42	-3	-16	27	29	Si	29
8	64428	-11413	1339	49	1	16	31.42	31.42	-1	629	27	32	Si	4.5

Combinazione QP: σ_{ca} [kg/cmq]=62 σ_{fa} [kg/cmq]=2800

P.	Nx	Ny	Nxy	Mx	My	Mxy	Afx	Afy	σ_{cmax}	σ_{fmax}	Cbc	Cbf	Ver	Cs
	kg/mq	kg/mq	kg/mq	kg	kg	kg	cmq/m	cmq/m	kg/cmq	kg/cmq				
13	-1674	-20932	-30447	28	188	144	31.42	31.42	-3	-16	38	38	Si	22
8	61467	-10873	1307	47	1	16	31.42	31.42	-1	600	38	38	Si	4.7

Verifica aperture fessure:Wamm_Freq[mm]=0.400 Wamm_Qp[mm]=0.300

P.	Nx	Ny	Nxy	Mx	My	Mxy	σ_{fmed}	Wd	Wk	Cb	Ver	Cs
	kg/mq	kg/mq	kg/mq	kg	kg	kg	kg/cmq	mm	mm			
8	61467	-10873	1307	47	1	16	600	0.069	0.069	38(Qp)	Si	4.3
8	61467	-10873	1307	47	1	16	600	0.069	0.069	35(Fr)	Si	5.8

Muro :117 - Nodi : [7 - 898 - 10 - 823]

Pann.X=4 Pann.Y=4 Spess.= 30 cm Criterio CLS_Muri_Esist Materiale: C20/25rcm=200
[kg/cmq],fym=4200 [kg/cmq], FC=1.20 qd=2.5, qf=1.5 :

Armatura a maglia doppia, Stampa elementi piu' gravosi

Combinazione Rara: σ_{ca} [kg/cmq]=83 σ_{fa} [kg/cmq]=2800

P.	Nx	Ny	Nxy	Mx	My	Mxy	Afx	Afy	σ_{cmax}	σ_{fmax}	Cbc	Cbf	Ver	Cs
	kg/mq	kg/mq	kg/mq	kg	kg	kg	cmq/m	cmq/m	kg/cmq	kg/cmq				
16	-15802	-68788	6378	100	128	-140	31.42	31.42	-7	-81	27	27	Si	13

Combinazione QP: σ_{ca} [kg/cmq]=62 σ_{fa} [kg/cmq]=2800

P.	Nx	Ny	Nxy	Mx	My	Mxy	Afx	Afy	σ_{cmax}	σ_{fmax}	Cbc	Cbf	Ver	Cs
	kg/mq	kg/mq	kg/mq	kg	kg	kg	cmq/m	cmq/m	kg/cmq	kg/cmq				
16	-15616	-65967	6143	95	124	-133	31.42	31.42	-6	-78	38	38	Si	9.8

Verifica aperture fessure: Wamm_Freq[mm]=0.400 Wamm_Qp[mm]=0.300

P.	Nx	Ny	Nxy	Mx	My	Mxy	σ_{fmed}	Wd	Wk	Cb	Ver	Cs
	kg/mq	kg/mq	kg/mq	kg	kg	kg	kg/cmq	mm	mm			
14	173	-42932	14534	52	129	-131	15	0.001	0.001	38(Qp)	Si	>100
14	173	-42932	14534	52	129	-131	15	0.001	0.001	35(Fr)	Si	>100

Muro :118 - Nodi : [10 - 878 - 887 - 10]

Pann.X=4 Pann.Y=4 Spess.= 30 cm Criterio CLS_Muri_Esist Materiale: C20/25rcm=200
[kg/cmq],fym=4200 [kg/cmq], FC=1.20 qd=2.5, qf=1.5 :

Armatura a maglia doppia, Stampa elementi piu' gravosi

Combinazione Rara: σ_{ca} [kg/cmq]=83 σ_{fa} [kg/cmq]=2800

P.	Nx	Ny	Nxy	Mx	My	Mxy	Afx	Afy	σ_{cmax}	σ_{fmax}	Cbc	Cbf	Ver	Cs
	kg/mq	kg/mq	kg/mq	kg	kg	kg	cmq/m	cmq/m	kg/cmq	kg/cmq				
4	-19753	-62464	23467	-12	347	-41	31.42	31.42	-7	-58	27	24	Si	12
1	-19189	-63731	-21527	5	152	54	31.42	31.42	-6	-73	27	29	Si	13

Combinazione QP: σ_{ca} [kg/cmq]=62 σ_{fa} [kg/cmq]=2800

P.	Nx	Ny	Nxy	Mx	My	Mxy	Afx	Afy	σ_{cmax}	σ_{fmax}	Cbc	Cbf	Ver	Cs
	kg/mq	kg/mq	kg/mq	kg	kg	kg	cmq/m	cmq/m	kg/cmq	kg/cmq				
4	-18607	-58908	22124	-13	317	-36	31.42	31.42	-7	-57	38	38	Si	9.3
1	-18266	-60582	-20449	5	148	50	31.42	31.42	-6	-69	38	38	Si	10

Verifica aperture fessure: Wamm_Freq[mm]=0.400 Wamm_Qp[mm]=0.300

P.	Nx	Ny	Nxy	Mx	My	Mxy	σ_{fmed}	Wd	Wk	Cb	Ver	Cs
	kg/mq	kg/mq	kg/mq	kg	kg	kg	kg/cmq	mm	mm			
1	-18266	-60582	-20449	5	148	50	0	0.000	0.000	38(Qp)	Si	>100
1	-18549	-61601	-20772	5	150	51	0	0.000	0.000	33(Fr)	Si	>100

Muro :119 - Nodi : [10 - 887 - 28 - 897]

Pann.X=4 Pann.Y=4 Spess.= 30 cm Criterio CLS_Muri_Esist Materiale: C20/25rcm=200
[kg/cmq],fym=4200 [kg/cmq], FC=1.20 qd=2.5, qf=1.5 :

Armatura a maglia doppia, Stampa elementi piu' gravosi

Combinazione Rara: σ_{ca} [kg/cmq]=83 σ_{fa} [kg/cmq]=2800

P.	Nx	Ny	Nxy	Mx	My	Mxy	Afx	Afy	σ_{cmax}	σ_{fmax}	Cbc	Cbf	Ver	Cs
	kg/mq	kg/mq	kg/mq	kg	kg	kg	cmq/m	cmq/m	kg/cmq	kg/cmq				
16	34040	5394	3775	167	1391	170	31.42	31.42	-10	415	27	32	Si	6.8
4	46337	-15927	3277	-44	449	-45	31.42	31.42	-4	455	27	32	Si	6.2

Combinazione QP: σ_{ca} [kg/cmq]=62 σ_{fa} [kg/cmq]=2800

P.	Nx	Ny	Nxy	Mx	My	Mxy	Afx	Afy	σ_{cmax}	σ_{fmax}	Cbc	Cbf	Ver	Cs
	kg/mq	kg/mq	kg/mq	kg	kg	kg	cmq/m	cmq/m	kg/cmq	kg/cmq				
16	32137	4950	3390	146	1271	155	31.42	31.42	-9	379	38	38	Si	6.9
4	44097	-14840	3033	-44	413	-42	31.42	31.42	-4	433	38	38	Si	6.5

Verifica aperture fessure: Wamm_Freq[mm]=0.400 Wamm_Qp[mm]=0.300

P.	Nx	Ny	Nxy	Mx	My	Mxy	σ_{fmed}	Wd	Wk	Cb	Ver	Cs
	kg/mq	kg/mq	kg/mq	kg	kg	kg	kg/cmq	mm	mm			
4	44097	-14840	3033	-44	413	-42	433	0.049	0.049	38(Qp)	Si	6.1
4	44097	-14840	3033	-44	413	-42	433	0.049	0.049	35(Fr)	Si	8.1

Muro :120 - Nodi : [10 - 10 - 897 - 899]

Pann.X=4 Pann.Y=4 Spess.= 30 cm Criterio CLS_Muri_Esist Materiale: C20/25rcm=200
[kg/cmq],fym=4200 [kg/cmq], FC=1.20 qd=2.5, qf=1.5 :

Armatura a maglia doppia, Stampa elementi piu' gravosi

Combinazione Rara: σ_{ca} [kg/cmq]=83 σ_{fa} [kg/cmq]=2800

P.	Nx	Ny	Nxy	Mx	My	Mxy	Afx	Afy	σ_{cmax}	σ_{fmax}	Cbc	Cbf	Ver	Cs
	kg/mq	kg/mq	kg/mq	kg	kg	kg	cmq/m	cmq/m	kg/cmq	kg/cmq				
8	-43386	-5844	-2415	35	43	20	31.42	31.42	-4	-54	28	28	Si	21
5	58151	-10611	-931	57	-19	17	31.42	31.42	-1	571	29	32	Si	4.9

Combinazione QP: σ_{ca} [kg/cmq]=62 σ_{fa} [kg/cmq]=2800

P.	Nx	Ny	Nxy	Mx	My	Mxy	Afx	Afy	σ_{cmax}	σ_{fmax}	Cbc	Cbf	Ver	Cs
	kg/mq	kg/mq	kg/mq	kg	kg	kg	cmq/m	cmq/m	kg/cmq	kg/cmq				
8	-40711	-5388	-2206	34	39	18	31.42	31.42	-4	-51	38	38	Si	17
5	54949	-9950	-845	56	-17	16	31.42	31.42	-1	540	38	38	Si	5.2

Verifica aperture fessure:Wamm_Freq[mm]=0.400 Wamm_Qp[mm]=0.300

P.	Nx	Ny	Nxy	Mx	My	Mxy	σ_{fmed}	Wd	Wk	Cb	Ver	Cs
	kg/mq	kg/mq	kg/mq	kg	kg	kg	kg/cmq	mm	mm			
5	54949	-9950	-845	56	-17	16	540	0.062	0.062	38(Qp)	Si	4.9
5	54949	-9950	-845	56	-17	16	540	0.062	0.062	35(Fr)	Si	6.5

Muro :121 - Nodi : [899 - 30 - 829 - 10]

Pann.X=4 Pann.Y=4 Spess.= 30 cm Criterio CLS_Muri_Esist Materiale: C20/25rcm=200
[kg/cmq],fym=4200 [kg/cmq], FC=1.20 qd=2.5, qf=1.5 :

Armatura a maglia doppia, Stampa elementi piu' gravosi

Combinazione Rara: σ_{ca} [kg/cmq]=83 σ_{fa} [kg/cmq]=2800

P.	Nx	Ny	Nxy	Mx	My	Mxy	Afx	Afy	σ_{cmax}	σ_{fmax}	Cbc	Cbf	Ver	Cs
	kg/mq	kg/mq	kg/mq	kg	kg	kg	cmq/m	cmq/m	kg/cmq	kg/cmq				
13	4618	-5141	3626	270	1660	2	31.42	31.42	-13	391	29	32	Si	6.5

Combinazione QP: σ_{ca} [kg/cmq]=62 σ_{fa} [kg/cmq]=2800

P.	Nx	Ny	Nxy	Mx	My	Mxy	Afx	Afy	σ_{cmax}	σ_{fmax}	Cbc	Cbf	Ver	Cs
	kg/mq	kg/mq	kg/mq	kg	kg	kg	cmq/m	cmq/m	kg/cmq	kg/cmq				
13	4243	-4884	3463	254	1540	3	31.42	31.42	-12	362	38	38	Si	5.2

Verifica aperture fessure:Wamm_Freq[mm]=0.400 Wamm_Qp[mm]=0.300

P.	Nx	Ny	Nxy	Mx	My	Mxy	σ_{fmed}	Wd	Wk	Cb	Ver	Cs
	kg/mq	kg/mq	kg/mq	kg	kg	kg	kg/cmq	mm	mm			
13	4243	-4884	3463	254	1540	3	362	0.024	0.024	38(Qp)	Si	13
13	4470	-4978	3585	257	1542	6	361	0.024	0.024	33(Fr)	Si	17

Muro :122 - Nodi : [10 - 829 - 823 - 10]

Pann.X=4 Pann.Y=4 Spess.= 30 cm Criterio CLS_Muri_Esist Materiale: C20/25rcm=200
[kg/cmq],fym=4200 [kg/cmq], FC=1.20 qd=2.5, qf=1.5 :

Armatura a maglia doppia, Stampa elementi piu' gravosi

Combinazione Rara: σ_{ca} [kg/cmq]=83 σ_{fa} [kg/cmq]=2800

P.	Nx	Ny	Nxy	Mx	My	Mxy	Afx	Afy	σ_{cmax}	σ_{fmax}	Cbc	Cbf	Ver	Cs
	kg/mq	kg/mq	kg/mq	kg	kg	kg	cmq/m	cmq/m	kg/cmq	kg/cmq				
4	-19592	-91835	16615	64	149	-139	31.42	31.42	-9	-110	27	27	Si	9.5

Combinazione QP: σ_{ca} [kg/cmq]=62 σ_{fa} [kg/cmq]=2800

P.	Nx	Ny	Nxy	Mx	My	Mxy	Afx	Afy	σ_{cmax}	σ_{fmax}	Cbc	Cbf	Ver	Cs
	kg/mq	kg/mq	kg/mq	kg	kg	kg	cmq/m	cmq/m	kg/cmq	kg/cmq				
4	-18850	-88068	16102	61	144	-132	31.42	31.42	-8	-105	38	38	Si	7.5

Verifica aperture fessure: Wamm_Freq[mm]=0.400 Wamm_Qp[mm]=0.300

P.	Nx	Ny	Nxy	Mx	My	Mxy	σ_{fmed}	Wd	Wk	Cb	Ver	Cs
	kg/mq	kg/mq	kg/mq	kg	kg	kg	kg/cmq	mm	mm			
13	-2483	-1512	8276	95	133	104	22	0.001	0.001	38(Qp)	Si	>100
13	-2483	-1512	8276	95	133	104	22	0.001	0.001	35(Fr)	Si	>100

Muro :123 - Nodi : [862 - 7 - 4 - 880]

Pann.X=4 Pann.Y=4 Spess.= 30 cm Criterio CLS_Muri_Esist Materiale: C20/25rcm=200
[kg/cmq],fym=4200 [kg/cmq], FC=1.20 qd=2.5, qf=1.5 :

Armatura a maglia doppia, Stampa elementi piu' gravosi

Combinazione Rara: σ_{ca} [kg/cmq]=83 σ_{fa} [kg/cmq]=2800

P.	Nx	Ny	Nxy	Mx	My	Mxy	Afx	Afy	σ_{cmax}	σ_{fmax}	Cbc	Cbf	Ver	Cs
	kg/mq	kg/mq	kg/mq	kg	kg	kg	cmq/m	cmq/m	kg/cmq	kg/cmq				
14	-28904	-3352	-5800	-240	-35	-29	31.42	31.42	-4	-23	29	29	Si	22
4	-18908	9104	-4943	-72	-59	72	31.42	31.42	-2	103	29	32	Si	27

Combinazione QP: σ_{ca} [kg/cmq]=62 σ_{fa} [kg/cmq]=2800

P.	Nx	Ny	Nxy	Mx	My	Mxy	Afx	Afy	σ_{cmax}	σ_{fmax}	Cbc	Cbf	Ver	Cs
	kg/mq	kg/mq	kg/mq	kg	kg	kg	cmq/m	cmq/m	kg/cmq	kg/cmq				
14	-27640	-3208	-5339	-230	-33	-29	31.42	31.42	-4	-22	38	38	Si	17
4	-18059	8696	-4775	-69	-56	69	31.42	31.42	-2	98	38	38	Si	29

Verifica aperture fessure: Wamm_Freq[mm]=0.400 Wamm_Qp[mm]=0.300

P.	Nx	Ny	Nxy	Mx	My	Mxy	σ_{fmed}	Wd	Wk	Cb	Ver	Cs
	kg/mq	kg/mq	kg/mq	kg	kg	kg	kg/cmq	mm	mm			
4	-18059	8696	-4775	-69	-56	69	98	0.010	0.010	38(Qp)	Si	31
4	-18059	8696	-4775	-69	-56	69	98	0.010	0.010	35(Fr)	Si	41

Muro :124 - Nodi : [862 - 880 - 885 - 855]

Pann.X=4 Pann.Y=4 Spess.= 30 cm Criterio CLS_Muri_Esist Materiale: C20/25rcm=200
[kg/cmq],fym=4200 [kg/cmq], FC=1.20 qd=2.5, qf=1.5 :

Armatura a maglia doppia, Stampa elementi piu' gravosi

Combinazione Rara: σ_{ca} [kg/cmq]=83 σ_{fa} [kg/cmq]=2800

P.	Nx	Ny	Nxy	Mx	My	Mxy	Afx	Afy	σ_{cmax}	σ_{fmax}	Cbc	Cbf	Ver	Cs
	kg/mq	kg/mq	kg/mq	kg	kg	kg	cmq/m	cmq/m	kg/cmq	kg/cmq				
4	7990	-28481	7582	8	-32	-24	31.42	31.42	-3	78	29	32	Si	32
16	11952	-21112	-3530	-34	-29	29	31.42	31.42	-2	124	27	32	Si	23

Combinazione QP: σ_{ca} [kg/cmq]=62 σ_{fa} [kg/cmq]=2800

P.	Nx	Ny	Nxy	Mx	My	Mxy	Afx	Afy	σ_{cmax}	σ_{fmax}	Cbc	Cbf	Ver	Cs
	kg/mq	kg/mq	kg/mq	kg	kg	kg	cmq/m	cmq/m	kg/cmq	kg/cmq				
4	7270	-26528	6792	8	-30	-22	31.42	31.42	-2	72	38	38	Si	25
16	11048	-19777	-3276	-34	-27	28	31.42	31.42	-2	115	38	38	Si	24

Verifica aperture fessure: Wamm_Freq[mm]=0.400 Wamm_Qp[mm]=0.300

P.	Nx	Ny	Nxy	Mx	My	Mxy	σ_{fmed}	Wd	Wk	Cb	Ver	Cs
	kg/mq	kg/mq	kg/mq	kg	kg	kg	kg/cmq	mm	mm			
16	11048	-19777	-3276	-34	-27	28	115	0.012	0.012	38(Qp)	Si	24
16	11048	-19777	-3276	-34	-27	28	115	0.012	0.012	35(Fr)	Si	32

Muro :125 - Nodi : [855 - 885 - 12 - 8]

Pann.X=4 Pann.Y=4 Spess.= 30 cm Criterio CLS_Muri_Esist Materiale: C20/25rcm=200
[kg/cmq],fym=4200 [kg/cmq], FC=1.20 qd=2.5, qf=1.5 :

Armatura a maglia doppia, Stampa elementi piu' gravosi

Combinazione Rara: σ_{ca} [kg/cmq]=83 σ_{fa} [kg/cmq]=2800

P.	Nx	Ny	Nxy	Mx	My	Mxy	Afx	Afy	σ_{cmax}	σ_{fmax}	Cbc	Cbf	Ver	Cs
	kg/mq	kg/mq	kg/mq	kg	kg	kg	cmq/m	cmq/m	kg/cmq	kg/cmq				
15	-10432	-32804	-8647	24	32	38	31.42	31.42	-3	-41	27	27	Si	28
8	12337	-3865	-686	-40	-45	-2	31.42	31.42	-1	128	29	32	Si	22

Combinazione QP: σ_{ca} [kg/cmq]=62 σ_{fa} [kg/cmq]=2800

P.	Nx	Ny	Nxy	Mx	My	Mxy	Afx	Afy	σ_{cmax}	σ_{fmax}	Cbc	Cbf	Ver	Cs
	kg/mq	kg/mq	kg/mq	kg	kg	kg	cmq/m	cmq/m	kg/cmq	kg/cmq				
15	-9880	-30563	-8034	19	29	36	31.42	31.42	-3	-38	38	38	Si	22
8	11367	-3779	-696	-38	-43	-2	31.42	31.42	-1	119	38	38	Si	24

Verifica aperture fessure:Wamm_Freq[mm]=0.400 Wamm_Qp[mm]=0.300

P.	Nx	Ny	Nxy	Mx	My	Mxy	σ_{fmed}	Wd	Wk	Cb	Ver	Cs
	kg/mq	kg/mq	kg/mq	kg	kg	kg	kg/cmq	mm	mm			
8	11367	-3779	-696	-38	-43	-2	119	0.013	0.013	38(Qp)	Si	24
8	11367	-3779	-696	-38	-43	-2	119	0.013	0.013	35(Fr)	Si	31

Muro :126 - Nodi : [863 - 17 - 5 - 879]

Pann.X=4 Pann.Y=4 Spess.= 30 cm Criterio CLS_Muri_Esist Materiale: C20/25rcm=200
[kg/cmq],fym=4200 [kg/cmq], FC=1.20 qd=2.5, qf=1.5 :

Armatura a maglia doppia, Stampa elementi piu' gravosi

Combinazione Rara: σ_{ca} [kg/cmq]=83 σ_{fa} [kg/cmq]=2800

P.	Nx	Ny	Nxy	Mx	My	Mxy	Afx	Afy	σ_{cmax}	σ_{fmax}	Cbc	Cbf	Ver	Cs
	kg/mq	kg/mq	kg/mq	kg	kg	kg	cmq/m	cmq/m	kg/cmq	kg/cmq				
14	-23743	-3039	-6092	-234	-33	-36	31.42	31.42	-3	-16	29	29	Si	26
8	-23535	1692	-4015	-96	-17	57	31.42	31.42	-3	-25	29	29	Si	33

Combinazione QP: σ_{ca} [kg/cmq]=62 σ_{fa} [kg/cmq]=2800

P.	Nx	Ny	Nxy	Mx	My	Mxy	Afx	Afy	σ_{cmax}	σ_{fmax}	Cbc	Cbf	Ver	Cs
	kg/mq	kg/mq	kg/mq	kg	kg	kg	cmq/m	cmq/m	kg/cmq	kg/cmq				
14	-22806	-2911	-5618	-225	-32	-35	31.42	31.42	-3	-16	38	38	Si	20
8	-22490	1619	-3843	-92	-16	55	31.42	31.42	-2	-24	38	38	Si	26

Verifica aperture fessure:Wamm_Freq[mm]=0.400 Wamm_Qp[mm]=0.300

P.	Nx	Ny	Nxy	Mx	My	Mxy	σ_{fmed}	Wd	Wk	Cb	Ver	Cs
	kg/mq	kg/mq	kg/mq	kg	kg	kg	kg/cmq	mm	mm			
4	-19739	2084	-3764	-70	-13	41	23	0.002	0.002	38(Qp)	Si	>100
4	-19739	2084	-3764	-70	-13	41	23	0.002	0.002	35(Fr)	Si	>100

Muro :127 - Nodi : [863 - 879 - 886 - 860]

Pann.X=4 Pann.Y=4 Spess.= 30 cm Criterio CLS_Muri_Esist Materiale: C20/25rcm=200
[kg/cmq],fym=4200 [kg/cmq], FC=1.20 qd=2.5, qf=1.5 :

Armatura a maglia doppia, Stampa elementi piu' gravosi

Combinazione Rara: σ_{ca} [kg/cmq]=83 σ_{fa} [kg/cmq]=2800

P.	Nx	Ny	Nxy	Mx	My	Mxy	Afx	Afy	σ_{cmax}	σ_{fmax}	Cbc	Cbf	Ver	Cs
	kg/mq	kg/mq	kg/mq	kg	kg	kg	cmq/m	cmq/m	kg/cmq	kg/cmq				
16	10233	-26672	2371	-15	-15	16	31.42	31.42	-2	102	27	32	Si	27

Combinazione QP: $\sigma_{ca}[\text{kg/cm}^2]=62$ $\sigma_{fa}[\text{kg/cm}^2]=2800$

P.	Nx	Ny	Nxy	Mx	My	Mxy	Afx	Afy	σ_{cmax}	σ_{fmax}	Cbc	Cbf	Ver	Cs
	kg/mq	kg/mq	kg/mq	kg	kg	kg	cmq/m	cmq/m	kg/cmq	kg/cmq				
16	9391	-24787	2240	-17	-14	16	31.42	31.42	-2	94	38	38	Si	28

Verifica aperture fessure: Wamm_Freq[mm]=0.400 Wamm_Qp[mm]=0.300

P.	Nx	Ny	Nxy	Mx	My	Mxy	σ_{fmed}	Wd	Wk	Cb	Ver	Cs
	kg/mq	kg/mq	kg/mq	kg	kg	kg	kg/cmq	mm	mm			
16	9391	-24787	2240	-17	-14	16	94	0.011	0.011	38(Qp)	Si	28
16	9391	-24787	2240	-17	-14	16	94	0.011	0.011	35(Fr)	Si	38

Muro :128 - Nodi : [860 - 886 - 20 - 18]

Pann.X=4 Pann.Y=4 Spess.= 30 cm Criterio CLS_Muri_Esist Materiale: C20/25rcm=200
[kg/cmq],fym=4200 [kg/cmq], FC=1.20 qd=2.5, qf=1.5 :

Armatura a maglia doppia, Stampa elementi piu' gravosi

Combinazione Rara: $\sigma_{ca}[\text{kg/cm}^2]=83$ $\sigma_{fa}[\text{kg/cm}^2]=2800$

P.	Nx	Ny	Nxy	Mx	My	Mxy	Afx	Afy	σ_{cmax}	σ_{fmax}	Cbc	Cbf	Ver	Cs
	kg/mq	kg/mq	kg/mq	kg	kg	kg	cmq/m	cmq/m	kg/cmq	kg/cmq				
15	-18368	-85629	-11010	-11	-42	29	31.42	31.42	-8	-108	27	27	Si	11
12	14587	1061	4890	-24	-61	-8	31.42	31.42	-0	123	24	32	Si	23

Combinazione QP: $\sigma_{ca}[\text{kg/cm}^2]=62$ $\sigma_{fa}[\text{kg/cm}^2]=2800$

P.	Nx	Ny	Nxy	Mx	My	Mxy	Afx	Afy	σ_{cmax}	σ_{fmax}	Cbc	Cbf	Ver	Cs
	kg/mq	kg/mq	kg/mq	kg	kg	kg	cmq/m	cmq/m	kg/cmq	kg/cmq				
15	-16862	-78789	-10070	-14	-40	28	31.42	31.42	-7	-100	38	38	Si	8.9
12	11268	-22	3336	-22	-48	-4	31.42	31.42	-0	113	38	38	Si	25

Verifica aperture fessure: Wamm_Freq[mm]=0.400 Wamm_Qp[mm]=0.300

P.	Nx	Ny	Nxy	Mx	My	Mxy	σ_{fmed}	Wd	Wk	Cb	Ver	Cs
	kg/mq	kg/mq	kg/mq	kg	kg	kg	kg/cmq	mm	mm			
12	11268	-22	3336	-22	-48	-4	113	0.013	0.013	38(Qp)	Si	24
12	11268	-22	3336	-22	-48	-4	113	0.013	0.013	35(Fr)	Si	32

Muro :129 - Nodi : [900 - 25 - 864 - 10]

Pann.X=4 Pann.Y=4 Spess.= 30 cm Criterio CLS_Muri_Esist Materiale: C20/25rcm=200
[kg/cmq],fym=4200 [kg/cmq], FC=1.20 qd=2.5, qf=1.5 :

Armatura a maglia doppia, Stampa elementi piu' gravosi

Combinazione Rara: $\sigma_{ca}[\text{kg/cm}^2]=83$ $\sigma_{fa}[\text{kg/cm}^2]=2800$

P.	Nx	Ny	Nxy	Mx	My	Mxy	Afx	Afy	σ_{cmax}	σ_{fmax}	Cbc	Cbf	Ver	Cs
	kg/mq	kg/mq	kg/mq	kg	kg	kg	cmq/m	cmq/m	kg/cmq	kg/cmq				
1	-44852	-142189	-65187	-75	-715	-169	31.42	31.42	-16	-140	29	27	Si	5.2
2	-23850	-140650	-48766	-38	-516	-100	31.42	31.42	-15	-151	29	27	Si	5.6

Combinazione QP: $\sigma_{ca}[\text{kg/cm}^2]=62$ $\sigma_{fa}[\text{kg/cm}^2]=2800$

P.	Nx	Ny	Nxy	Mx	My	Mxy	Afx	Afy	σ_{cmax}	σ_{fmax}	Cbc	Cbf	Ver	Cs
	kg/mq	kg/mq	kg/mq	kg	kg	kg	cmq/m	cmq/m	kg/cmq	kg/cmq				
1	-43260	-137112	-62890	-73	-689	-162	31.42	31.42	-15	-135	38	38	Si	4.0
2	-23003	-135596	-47051	-37	-497	-96	31.42	31.42	-14	-145	38	38	Si	4.4

Verifica aperture fessure: Wamm_Freq[mm]=0.400 Wamm_Qp[mm]=0.300

P.	Nx	Ny	Nxy	Mx	My	Mxy	σ_{fmed}	Wd	Wk	Cb	Ver	Cs
	kg/mq	kg/mq	kg/mq	kg	kg	kg	kg/cmq	mm	mm			

P.	Nx	Ny	Nxy	Mx	My	Mxy	σ_{fmed}	Wd	Wk	Cb	Ver	Cs
9	-10261	-580	-8121	-35	-347	-134	86	0.006	0.006	38(Qp)	Si	53
9	-10261	-580	-8121	-35	-347	-134	86	0.006	0.006	35(Fr)	Si	70

Muro :130 - Nodi : [2 - 902 - 10 - 844]

Pann.X=4 Pann.Y=4 Spess.= 30 cm Criterio CLS_Muri_Esist Materiale: C20/25rcm=200
[kg/cmq],fym=4200 [kg/cmq], FC=1.20 qd=2.5, qf=1.5 :

Armatura a maglia doppia, Stampa elementi piu' gravosi

Combinazione Rara: σ_{ca} [kg/cmq]=83 σ_{fa} [kg/cmq]=2800

P.	Nx	Ny	Nxy	Mx	My	Mxy	Afx	Afy	σ_{cmax}	σ_{fmax}	Cbc	Cbf	Ver	Cs
	kg/mq	kg/mq	kg/mq	kg	kg	kg	cmq/m	cmq/m	kg/cmq	kg/cmq				
13	-29721	-122303	38416	-59	-536	193	31.42	31.42	-13	-126	29	29	Si	6.2
14	-15099	-125458	26790	-33	-368	133	31.42	31.42	-13	-140	29	29	Si	6.5

Combinazione QP: σ_{ca} [kg/cmq]=62 σ_{fa} [kg/cmq]=2800

P.	Nx	Ny	Nxy	Mx	My	Mxy	Afx	Afy	σ_{cmax}	σ_{fmax}	Cbc	Cbf	Ver	Cs
	kg/mq	kg/mq	kg/mq	kg	kg	kg	cmq/m	cmq/m	kg/cmq	kg/cmq				
13	-28740	-118096	37218	-57	-514	187	31.42	31.42	-13	-121	38	38	Si	4.8
14	-14605	-121064	25981	-32	-352	128	31.42	31.42	-12	-135	38	38	Si	5.1

Verifica aperture fessure:Wamm_Freq[mm]=0.400 Wamm_Qp[mm]=0.300

P.	Nx	Ny	Nxy	Mx	My	Mxy	σ_{fmed}	Wd	Wk	Cb	Ver	Cs
	kg/mq	kg/mq	kg/mq	kg	kg	kg	kg/cmq	mm	mm			
3	-3271	-15288	-10527	85	31	81	2	0.000	0.000	38(Qp)	Si	>100
3	-3341	-15303	-10789	85	29	82	2	0.000	0.000	33(Fr)	Si	>100

Muro :131 - Nodi : [10 - 864 - 867 - 10]

Pann.X=4 Pann.Y=4 Spess.= 30 cm Criterio CLS_Muri_Esist Materiale: C20/25rcm=200
[kg/cmq],fym=4200 [kg/cmq], FC=1.20 qd=2.5, qf=1.5 :

Armatura a maglia doppia, Stampa elementi piu' gravosi

Combinazione Rara: σ_{ca} [kg/cmq]=83 σ_{fa} [kg/cmq]=2800

P.	Nx	Ny	Nxy	Mx	My	Mxy	Afx	Afy	σ_{cmax}	σ_{fmax}	Cbc	Cbf	Ver	Cs
	kg/mq	kg/mq	kg/mq	kg	kg	kg	cmq/m	cmq/m	kg/cmq	kg/cmq				
1	434	-66844	-9696	-8	-101	0	31.42	31.42	-6	-80	29	29	Si	13

Combinazione QP: σ_{ca} [kg/cmq]=62 σ_{fa} [kg/cmq]=2800

P.	Nx	Ny	Nxy	Mx	My	Mxy	Afx	Afy	σ_{cmax}	σ_{fmax}	Cbc	Cbf	Ver	Cs
	kg/mq	kg/mq	kg/mq	kg	kg	kg	cmq/m	cmq/m	kg/cmq	kg/cmq				
1	406	-64254	-9364	-7	-98	1	31.42	31.42	-6	-77	38	38	Si	10

Verifica aperture fessure:Wamm_Freq[mm]=0.400 Wamm_Qp[mm]=0.300

P.	Nx	Ny	Nxy	Mx	My	Mxy	σ_{fmed}	Wd	Wk	Cb	Ver	Cs
	kg/mq	kg/mq	kg/mq	kg	kg	kg	kg/cmq	mm	mm			
2	2464	-44467	-2454	-2	9	27	24	0.003	0.003	38(Qp)	Si	>100
2	2464	-44467	-2454	-2	9	27	24	0.003	0.003	35(Fr)	Si	>100

Muro :132 - Nodi : [845 - 844 - 10 - 10]

Pann.X=4 Pann.Y=4 Spess.= 30 cm Criterio CLS_Muri_Esist Materiale: C20/25rcm=200
[kg/cmq],fym=4200 [kg/cmq], FC=1.20 qd=2.5, qf=1.5 :

Armatura a maglia doppia, Stampa elementi piu' gravosi

Combinazione Rara: σ_{ca} [kg/cmq]=83 σ_{fa} [kg/cmq]=2800

P.	Nx	Ny	Nxy	Mx	My	Mxy	Afx	Afy	σ_{cmax}	σ_{fmax}	Cbc	Cbf	Ver	Cs
----	----	----	-----	----	----	-----	-----	-----	-----------------	-----------------	-----	-----	-----	----

P.	Nx	Ny	Nxy	Mx	My	Mxy	Afx	Afy	σ_{cmax}	σ_{fmax}	Cbc	Cbf	Ver	Cs
	kg/mq	kg/mq	kg/mq	kg	kg	kg	cmq/m	cmq/m	kg/cmq	kg/cmq				
16	-93563	73	-3717	-79	-10	-41	31.42	31.42	-8	-116	29	29	Si	9.8

Combinazione QP: σ_{ca} [kg/cm²]=62 σ_{fa} [kg/cm²]=2800

P.	Nx	Ny	Nxy	Mx	My	Mxy	Afx	Afy	σ_{cmax}	σ_{fmax}	Cbc	Cbf	Ver	Cs
	kg/mq	kg/mq	kg/mq	kg	kg	kg	cmq/m	cmq/m	kg/cmq	kg/cmq				
16	-89856	59	-3653	-75	-9	-39	31.42	31.42	-8	-112	38	38	Si	7.6

Verifica aperture fessure: Wamm_Freq[mm]=0.400 Wamm_Qp[mm]=0.300

P.	Nx	Ny	Nxy	Mx	My	Mxy	σ_{fmed}	Wd	Wk	Cb	Ver	Cs
	kg/mq	kg/mq	kg/mq	kg	kg	kg	kg/cmq	mm	mm			
9	-15120	814	-1679	-7	-2	-26	8	0.001	0.001	38(Qp)	Si	>100
9	-15120	814	-1679	-7	-2	-26	8	0.001	0.001	35(Fr)	Si	>100

Muro :133 - Nodi : [10 - 903 - 34 - 845]

Pann.X=4 Pann.Y=4 Spess.= 30 cm Criterio CLS_Muri_Esist Materiale: C20/25rcm=200
[kg/cm²],fym=4200 [kg/cm²], FC=1.20 qd=2.5, qf=1.5 :

Armatura a maglia doppia, Stampa elementi piu' gravosi

Combinazione Rara: σ_{ca} [kg/cm²]=83 σ_{fa} [kg/cm²]=2800

P.	Nx	Ny	Nxy	Mx	My	Mxy	Afx	Afy	σ_{cmax}	σ_{fmax}	Cbc	Cbf	Ver	Cs
	kg/mq	kg/mq	kg/mq	kg	kg	kg	cmq/m	cmq/m	kg/cmq	kg/cmq				
1	-52165	-24704	-327	-38	4	36	31.42	31.42	-5	-65	27	29	Si	18
13	-15783	41860	996	-73	-2	27	31.42	31.42	-2	401	27	32	Si	7.0

Combinazione QP: σ_{ca} [kg/cm²]=62 σ_{fa} [kg/cm²]=2800

P.	Nx	Ny	Nxy	Mx	My	Mxy	Afx	Afy	σ_{cmax}	σ_{fmax}	Cbc	Cbf	Ver	Cs
	kg/mq	kg/mq	kg/mq	kg	kg	kg	cmq/m	cmq/m	kg/cmq	kg/cmq				
1	-49264	-23389	-445	-38	3	34	31.42	31.42	-4	-62	38	38	Si	14
13	-14729	39969	847	-72	-3	25	31.42	31.42	-2	382	38	38	Si	7.3

Verifica aperture fessure: Wamm_Freq[mm]=0.400 Wamm_Qp[mm]=0.300

P.	Nx	Ny	Nxy	Mx	My	Mxy	σ_{fmed}	Wd	Wk	Cb	Ver	Cs
	kg/mq	kg/mq	kg/mq	kg	kg	kg	kg/cmq	mm	mm			
13	-14729	39969	847	-72	-3	25	382	0.045	0.045	38(Qp)	Si	6.7
13	-14729	39969	847	-72	-3	25	382	0.045	0.045	35(Fr)	Si	8.9

Muro :134 - Nodi : [10 - 867 - 26 - 901]

Pann.X=4 Pann.Y=4 Spess.= 30 cm Criterio CLS_Muri_Esist Materiale: C20/25rcm=200
[kg/cm²],fym=4200 [kg/cm²], FC=1.20 qd=2.5, qf=1.5 :

Armatura a maglia doppia, Stampa elementi piu' gravosi

Combinazione Rara: σ_{ca} [kg/cm²]=83 σ_{fa} [kg/cm²]=2800

P.	Nx	Ny	Nxy	Mx	My	Mxy	Afx	Afy	σ_{cmax}	σ_{fmax}	Cbc	Cbf	Ver	Cs
	kg/mq	kg/mq	kg/mq	kg	kg	kg	cmq/m	cmq/m	kg/cmq	kg/cmq				
15	10296	-37941	-9836	-165	133	118	31.42	31.42	-4	142	29	32	Si	20
8	29993	-12285	-350	-104	-79	72	31.42	31.42	-1	315	26	32	Si	8.9

Combinazione QP: σ_{ca} [kg/cm²]=62 σ_{fa} [kg/cm²]=2800

P.	Nx	Ny	Nxy	Mx	My	Mxy	Afx	Afy	σ_{cmax}	σ_{fmax}	Cbc	Cbf	Ver	Cs
	kg/mq	kg/mq	kg/mq	kg	kg	kg	cmq/m	cmq/m	kg/cmq	kg/cmq				
15	9614	-35940	-9399	-155	120	110	31.42	31.42	-4	133	38	38	Si	17
8	28257	-11356	-315	-98	-80	66	31.42	31.42	-1	296	38	38	Si	9.5

Verifica aperture fessure:Wamm_Freq[mm]=0.400 Wamm_Qp[mm]=0.300

P.	Nx	Ny	Nxy	Mx	My	Mxy	σfmed	Wd	Wk	Cb	Ver	Cs
	kg/mq	kg/mq	kg/mq	kg	kg	kg	kg/cmq	mm	mm			
8	28257	-11356	-315	-98	-80	66	296	0.032	0.032	38(Qp)	Si	9.5
8	28214	-11411	-319	-98	-78	67	295	0.032	0.032	34(Fr)	Si	13

Muro :135 - Nodi : [10 - 10 - 901 - 903]

Pann.X=4 Pann.Y=4 Spess.= 30 cm Criterio CLS_Muri_Esist Materiale: C20/25rcm=200
[kg/cm²],fym=4200 [kg/cm²], FC=1.20 qd=2.5, qf=1.5 :

Armatura a maglia doppia, Stampa elementi piu' gravosi

Combinazione Rara: σca[kg/cm²]=83 σfa[kg/cm²]=2800

P.	Nx	Ny	Nxy	Mx	My	Mxy	Afx	Afy	σcmax	σfmax	Cbc	Cbf	Ver	Cs
	kg/mq	kg/mq	kg/mq	kg	kg	kg	cmq/m	cmq/m	kg/cm ²	kg/cm ²				
12	-40132	-5447	4098	0	-39	32	31.42	31.42	-3	-52	27	27	Si	24
9	54555	-7455	1295	-17	3	37	31.42	31.42	-1	523	26	32	Si	5.4

Combinazione QP: σca[kg/cm²]=62 σfa[kg/cm²]=2800

P.	Nx	Ny	Nxy	Mx	My	Mxy	Afx	Afy	σcmax	σfmax	Cbc	Cbf	Ver	Cs
	kg/mq	kg/mq	kg/mq	kg	kg	kg	cmq/m	cmq/m	kg/cm ²	kg/cm ²				
12	-37592	-4999	3729	-1	-36	31	31.42	31.42	-3	-49	38	38	Si	19
9	51383	-6930	1220	-16	3	34	31.42	31.42	-1	495	38	38	Si	5.7

Verifica aperture fessure:Wamm_Freq[mm]=0.400 Wamm_Qp[mm]=0.300

P.	Nx	Ny	Nxy	Mx	My	Mxy	σfmed	Wd	Wk	Cb	Ver	Cs
	kg/mq	kg/mq	kg/mq	kg	kg	kg	kg/cm ²	mm	mm			
9	51383	-6930	1220	-16	3	34	495	0.058	0.058	38(Qp)	Si	5.2
9	51383	-6930	1220	-16	3	34	495	0.058	0.058	35(Fr)	Si	6.9

Muro :136 - Nodi : [10 - 809 - 1 - 904]

Pann.X=4 Pann.Y=4 Spess.= 30 cm Criterio CLS_Muri_Esist Materiale: C20/25rcm=200
[kg/cm²],fym=4200 [kg/cm²], FC=1.20 qd=2.5, qf=1.5 :

Armatura a maglia doppia, Stampa elementi piu' gravosi

Combinazione Rara: σca[kg/cm²]=83 σfa[kg/cm²]=2800

P.	Nx	Ny	Nxy	Mx	My	Mxy	Afx	Afy	σcmax	σfmax	Cbc	Cbf	Ver	Cs
	kg/mq	kg/mq	kg/mq	kg	kg	kg	cmq/m	cmq/m	kg/cm ²	kg/cm ²				
1	13780	-64056	3612	112	-846	404	31.42	31.42	-10	161	29	32	Si	8.4
2	18718	-48695	11969	74	-798	543	31.42	31.42	-8	198	29	32	Si	10

Combinazione QP: σca[kg/cm²]=62 σfa[kg/cm²]=2800

P.	Nx	Ny	Nxy	Mx	My	Mxy	Afx	Afy	σcmax	σfmax	Cbc	Cbf	Ver	Cs
	kg/mq	kg/mq	kg/mq	kg	kg	kg	cmq/m	cmq/m	kg/cm ²	kg/cm ²				
1	13391	-61266	3439	108	-816	389	31.42	31.42	-9	157	38	38	Si	6.6
2	18039	-46586	11432	72	-769	522	31.42	31.42	-8	191	38	38	Si	7.8

Verifica aperture fessure:Wamm_Freq[mm]=0.400 Wamm_Qp[mm]=0.300

P.	Nx	Ny	Nxy	Mx	My	Mxy	σfmed	Wd	Wk	Cb	Ver	Cs
	kg/mq	kg/mq	kg/mq	kg	kg	kg	kg/cm ²	mm	mm			
2	18039	-46586	11432	72	-769	522	191	0.020	0.020	38(Qp)	Si	15
2	18039	-46586	11432	72	-769	522	191	0.020	0.020	35(Fr)	Si	20

Muro :137 - Nodi : [10 - 904 - 907 - 10]

Pann.X=4 Pann.Y=4 Spess.= 30 cm Criterio CLS_Muri_Esist Materiale: C20/25rcm=200
[kg/cm²],fym=4200 [kg/cm²], FC=1.20 qd=2.5, qf=1.5 :

Armatura a maglia doppia, Stampa elementi piu' gravosi

Combinazione Rara: σ_{ca} [kg/cm²]=83 σ_{fa} [kg/cm²]=2800

P.	Nx	Ny	Nxy	Mx	My	Mxy	Afx	Afy	σ_{cmax}	σ_{fmax}	Cbc	Cbf	Ver	Cs
	kg/mq	kg/mq	kg/mq	kg	kg	kg	cmq/m	cmq/m	kg/cm ²	kg/cm ²				
16	-31432	-2351	28417	-1040	-161	453	31.42	31.42	-9	53	29	32	Si	9.4
2	-6392	77805	142	21	-257	-168	31.42	31.42	-1	800	27	32	Si	3.5

Combinazione QP: σ_{ca} [kg/cm²]=62 σ_{fa} [kg/cm²]=2800

P.	Nx	Ny	Nxy	Mx	My	Mxy	Afx	Afy	σ_{cmax}	σ_{fmax}	Cbc	Cbf	Ver	Cs
	kg/mq	kg/mq	kg/mq	kg	kg	kg	cmq/m	cmq/m	kg/cm ²	kg/cm ²				
16	-30222	-2276	27184	-1002	-155	436	31.42	31.42	-9	51	38	38	Si	7.3
2	-6183	73435	172	20	-244	-161	31.42	31.42	-1	766	38	38	Si	3.7

Verifica aperture fessure:Wamm_Freq[mm]=0.400 Wamm_Qp[mm]=0.300

P.	Nx	Ny	Nxy	Mx	My	Mxy	σ_{fmed}	Wd	Wk	Cb	Ver	Cs
	kg/mq	kg/mq	kg/mq	kg	kg	kg	kg/cm ²	mm	mm			
2	-6183	73435	172	20	-244	-161	766	0.082	0.082	38(Qp)	Si	3.6
2	-6183	73435	172	20	-244	-161	766	0.082	0.082	35(Fr)	Si	4.9

Muro :138 - Nodi : [10 - 907 - 9 - 861]

Pann.X=4 Pann.Y=4 Spess.= 30 cm Criterio CLS_Muri_Esist Materiale: C20/25rcm=200
[kg/cm²],fym=4200 [kg/cm²], FC=1.20 qd=2.5, qf=1.5 :

Armatura a maglia doppia, Stampa elementi piu' gravosi

Combinazione Rara: σ_{ca} [kg/cm²]=83 σ_{fa} [kg/cm²]=2800

P.	Nx	Ny	Nxy	Mx	My	Mxy	Afx	Afy	σ_{cmax}	σ_{fmax}	Cbc	Cbf	Ver	Cs
	kg/mq	kg/mq	kg/mq	kg	kg	kg	cmq/m	cmq/m	kg/cm ²	kg/cm ²				
13	-14573	-4012	10657	-1436	-200	670	31.42	31.42	-12	253	29	32	Si	7.2
14	-5113	-9556	4197	-1284	-151	714	31.42	31.42	-10	292	29	32	Si	8.3

Combinazione QP: σ_{ca} [kg/cm²]=62 σ_{fa} [kg/cm²]=2800

P.	Nx	Ny	Nxy	Mx	My	Mxy	Afx	Afy	σ_{cmax}	σ_{fmax}	Cbc	Cbf	Ver	Cs
	kg/mq	kg/mq	kg/mq	kg	kg	kg	cmq/m	cmq/m	kg/cm ²	kg/cm ²				
13	-14013	-3861	10097	-1384	-193	645	31.42	31.42	-11	244	38	38	Si	5.6
14	-4943	-9178	3878	-1239	-146	687	31.42	31.42	-10	282	38	38	Si	6.5

Verifica aperture fessure:Wamm_Freq[mm]=0.400 Wamm_Qp[mm]=0.300

P.	Nx	Ny	Nxy	Mx	My	Mxy	σ_{fmed}	Wd	Wk	Cb	Ver	Cs
	kg/mq	kg/mq	kg/mq	kg	kg	kg	kg/cm ²	mm	mm			
14	-4943	-9178	3878	-1239	-146	687	282	0.018	0.018	38(Qp)	Si	16
14	-4943	-9178	3878	-1239	-146	687	282	0.018	0.018	35(Fr)	Si	22

Muro :139 - Nodi : [10 - 10 - 861 - 854]

Pann.X=4 Pann.Y=4 Spess.= 30 cm Criterio CLS_Muri_Esist Materiale: C20/25rcm=200
[kg/cm²],fym=4200 [kg/cm²], FC=1.20 qd=2.5, qf=1.5 :

Armatura a maglia doppia, Stampa elementi piu' gravosi

Combinazione Rara: σ_{ca} [kg/cm²]=83 σ_{fa} [kg/cm²]=2800

P.	Nx	Ny	Nxy	Mx	My	Mxy	Afx	Afy	σ_{cmax}	σ_{fmax}	Cbc	Cbf	Ver	Cs
	kg/mq	kg/mq	kg/mq	kg	kg	kg	cmq/m	cmq/m	kg/cm ²	kg/cm ²				
13	-51403	-17151	26189	-923	-10	21	31.42	31.42	-9	-22	29	29	Si	9.0
16	3574	-32498	10045	-289	555	59	31.42	31.42	-6	109	29	32	Si	15

Combinazione QP: σ_{ca} [kg/cm²]=62 σ_{fa} [kg/cm²]=2800

P.	Nx	Ny	Nxy	Mx	My	Mxy	Afx	Afy	σ_{cmax}	σ_{fmax}	Cbc	Cbf	Ver	Cs
	kg/mq	kg/mq	kg/mq	kg	kg	kg	cmq/m	cmq/m	kg/cm ²	kg/cm ²				

P.	Nx	Ny	Nxy	Mx	My	Mxy	Afx	Afy	σ_{cmax}	σ_{fmax}	Cbc	Cbf	Ver	Cs
13	-49384	-16441	25106	-887	-9	20	31.42	31.42	-9	-21	38	38	Si	7.1
16	3372	-31171	9430	-276	536	55	31.42	31.42	-5	104	38	38	Si	11

Verifica aperture fessure: Wamm_Freq[mm]=0.400 Wamm_Qp[mm]=0.300

P.	Nx	Ny	Nxy	Mx	My	Mxy	σ_{fmed}	Wd	Wk	Cb	Ver	Cs
	kg/mq	kg/mq	kg/mq	kg	kg	kg	kg/cmq	mm	mm			
16	3372	-31171	9430	-276	536	55	104	0.007	0.007	38(Qp)	Si	42
16	3372	-31171	9430	-276	536	55	104	0.007	0.007	35(Fr)	Si	56

Muro :140 - Nodi : [10 - 811 - 809 - 10]

Pann.X=4 Pann.Y=4 Spess.= 30 cm Criterio CLS_Muri_Esist Materiale: C20/25rcm=200
[kg/cmq], fym=4200 [kg/cmq], FC=1.20 qd=2.5, qf=1.5 :

Armatura a maglia doppia, Stampa elementi piu' gravosi

Combinazione Rara: σ_{ca} [kg/cmq]=83 σ_{fa} [kg/cmq]=2800

P.	Nx	Ny	Nxy	Mx	My	Mxy	Afx	Afy	σ_{cmax}	σ_{fmax}	Cbc	Cbf	Ver	Cs
	kg/mq	kg/mq	kg/mq	kg	kg	kg	cmq/m	cmq/m	kg/cmq	kg/cmq				
4	-13174	-81446	7030	11	-807	21	31.42	31.42	-11	-56	28	28	Si	7.4
14	592	12452	1214	143	-339	-58	31.42	31.42	-1	209	29	32	Si	13

Combinazione QP: σ_{ca} [kg/cmq]=62 σ_{fa} [kg/cmq]=2800

P.	Nx	Ny	Nxy	Mx	My	Mxy	Afx	Afy	σ_{cmax}	σ_{fmax}	Cbc	Cbf	Ver	Cs
	kg/mq	kg/mq	kg/mq	kg	kg	kg	cmq/m	cmq/m	kg/cmq	kg/cmq				
4	-12612	-78051	6740	10	-778	21	31.42	31.42	-11	-53	38	38	Si	5.8
15	462	11700	876	234	-334	-51	31.42	31.42	-2	200	38	38	Si	14

Verifica aperture fessure: Wamm_Freq[mm]=0.400 Wamm_Qp[mm]=0.300

P.	Nx	Ny	Nxy	Mx	My	Mxy	σ_{fmed}	Wd	Wk	Cb	Ver	Cs
	kg/mq	kg/mq	kg/mq	kg	kg	kg	kg/cmq	mm	mm			
14	553	11871	972	136	-320	-54	198	0.014	0.014	38(Qp)	Si	22
14	553	11871	972	136	-320	-54	198	0.014	0.014	35(Fr)	Si	29

Muro :141 - Nodi : [906 - 10 - 854 - 10]

Pann.X=4 Pann.Y=4 Spess.= 30 cm Criterio CLS_Muri_Esist Materiale: C20/25rcm=200
[kg/cmq], fym=4200 [kg/cmq], FC=1.20 qd=2.5, qf=1.5 :

Armatura a maglia doppia, Stampa elementi piu' gravosi

Combinazione Rara: σ_{ca} [kg/cmq]=83 σ_{fa} [kg/cmq]=2800

P.	Nx	Ny	Nxy	Mx	My	Mxy	Afx	Afy	σ_{cmax}	σ_{fmax}	Cbc	Cbf	Ver	Cs
	kg/mq	kg/mq	kg/mq	kg	kg	kg	cmq/m	cmq/m	kg/cmq	kg/cmq				
13	-16818	-7510	-2622	-231	-91	-159	31.42	31.42	-3	-8	29	28	Si	32
1	-3146	34452	2591	-220	-117	-84	31.42	31.42	-2	360	29	32	Si	7.8

Combinazione QP: σ_{ca} [kg/cmq]=62 σ_{fa} [kg/cmq]=2800

P.	Nx	Ny	Nxy	Mx	My	Mxy	Afx	Afy	σ_{cmax}	σ_{fmax}	Cbc	Cbf	Ver	Cs
	kg/mq	kg/mq	kg/mq	kg	kg	kg	cmq/m	cmq/m	kg/cmq	kg/cmq				
13	-16466	-7503	-2635	-222	-89	-156	31.42	31.42	-3	-8	38	38	Si	24
1	-3106	33388	2515	-216	-114	-83	31.42	31.42	-2	349	38	38	Si	8.0

Verifica aperture fessure: Wamm_Freq[mm]=0.400 Wamm_Qp[mm]=0.300

P.	Nx	Ny	Nxy	Mx	My	Mxy	σ_{fmed}	Wd	Wk	Cb	Ver	Cs
	kg/mq	kg/mq	kg/mq	kg	kg	kg	kg/cmq	mm	mm			
1	-3106	33388	2515	-216	-114	-83	349	0.037	0.037	38(Qp)	Si	8.0
1	-3106	33388	2515	-216	-114	-83	349	0.037	0.037	35(Fr)	Si	11

Muro :142 - Nodi : [905 - 2 - 811 - 10]

Pann.X=4 Pann.Y=4 Spess.= 30 cm Criterio CLS_Muri_Esist Materiale: C20/25rcm=200
[kg/cmq],fym=4200 [kg/cmq], FC=1.20 qd=2.5, qf=1.5 :

Armatura a maglia doppia, Stampa elementi piu' gravosi

Combinazione Rara: σ_{ca} [kg/cmq]=83 σ_{fa} [kg/cmq]=2800

P.	Nx	Ny	Nxy	Mx	My	Mxy	Afx	Afy	σ_{cmax}	σ_{fmax}	Cbc	Cbf	Ver	Cs
	kg/mq	kg/mq	kg/mq	kg	kg	kg	cmq/m	cmq/m	kg/cmq	kg/cmq				
13	-64625	12864	1831	-149	-218	-54	31.42	31.42	-6	182	28	32	Si	13
16	12080	14361	-277	58	-299	-22	31.42	31.42	0	183	24	32	Si	15

Combinazione QP: σ_{ca} [kg/cmq]=62 σ_{fa} [kg/cmq]=2800

P.	Nx	Ny	Nxy	Mx	My	Mxy	Afx	Afy	σ_{cmax}	σ_{fmax}	Cbc	Cbf	Ver	Cs
	kg/mq	kg/mq	kg/mq	kg	kg	kg	cmq/m	cmq/m	kg/cmq	kg/cmq				
13	-59981	12057	1772	-142	-206	-53	31.42	31.42	-6	170	38	38	Si	11

Verifica aperture fessure:Wamm_Freq[mm]=0.400 Wamm_Qp[mm]=0.300

P.	Nx	Ny	Nxy	Mx	My	Mxy	σ_{fmed}	Wd	Wk	Cb	Ver	Cs
	kg/mq	kg/mq	kg/mq	kg	kg	kg	kg/cmq	mm	mm			
13	-59981	12057	1772	-142	-206	-53	170	0.014	0.014	38(Qp)	Si	22
13	-59998	12000	1780	-141	-207	-52	169	0.014	0.014	33(Fr)	Si	29

Muro :143 - Nodi : [10 - 10 - 906 - 905]

Pann.X=4 Pann.Y=4 Spess.= 30 cm Criterio CLS_Muri_Esist Materiale: C20/25rcm=200
[kg/cmq],fym=4200 [kg/cmq], FC=1.20 qd=2.5, qf=1.5 :

Armatura a maglia doppia, Stampa elementi piu' gravosi

Combinazione Rara: σ_{ca} [kg/cmq]=83 σ_{fa} [kg/cmq]=2800

P.	Nx	Ny	Nxy	Mx	My	Mxy	Afx	Afy	σ_{cmax}	σ_{fmax}	Cbc	Cbf	Ver	Cs
	kg/mq	kg/mq	kg/mq	kg	kg	kg	cmq/m	cmq/m	kg/cmq	kg/cmq				
8	-20804	-2113	140	26	-52	3	31.42	31.42	-2	-25	28	29	Si	43
5	36760	-3070	-694	1	14	10	31.42	31.42	-0	351	29	32	Si	8.0

Combinazione QP: σ_{ca} [kg/cmq]=62 σ_{fa} [kg/cmq]=2800

P.	Nx	Ny	Nxy	Mx	My	Mxy	Afx	Afy	σ_{cmax}	σ_{fmax}	Cbc	Cbf	Ver	Cs
	kg/mq	kg/mq	kg/mq	kg	kg	kg	cmq/m	cmq/m	kg/cmq	kg/cmq				
8	-20486	-2062	93	27	-50	2	31.42	31.42	-2	-25	38	38	Si	33
5	35597	-3086	-689	1	13	9	31.42	31.42	-0	340	38	38	Si	8.2

Verifica aperture fessure:Wamm_Freq[mm]=0.400 Wamm_Qp[mm]=0.300

P.	Nx	Ny	Nxy	Mx	My	Mxy	σ_{fmed}	Wd	Wk	Cb	Ver	Cs
	kg/mq	kg/mq	kg/mq	kg	kg	kg	kg/cmq	mm	mm			
5	35597	-3086	-689	1	13	9	340	0.040	0.040	38(Qp)	Si	7.5
5	35597	-3086	-689	1	13	9	340	0.040	0.040	35(Fr)	Si	10

Muro :144 - Nodi : [808 - 3 - 912 - 10]

Pann.X=4 Pann.Y=4 Spess.= 30 cm Criterio CLS_Muri_Esist Materiale: C20/25rcm=200
[kg/cmq],fym=4200 [kg/cmq], FC=1.20 qd=2.5, qf=1.5 :

Armatura a maglia doppia, Stampa elementi piu' gravosi

Combinazione Rara: σ_{ca} [kg/cmq]=83 σ_{fa} [kg/cmq]=2800

P.	Nx	Ny	Nxy	Mx	My	Mxy	Afx	Afy	σ_{cmax}	σ_{fmax}	Cbc	Cbf	Ver	Cs
	kg/mq	kg/mq	kg/mq	kg	kg	kg	cmq/m	cmq/m	kg/cmq	kg/cmq				
16	-39043	-5721	-9743	-304	-36	-76	31.42	31.42	-5	-32	29	29	Si	17
8	-40031	-4146	-5986	-235	-24	-56	31.42	31.42	-5	-37	29	29	Si	18

Combinazione QP: σ_{ca} [kg/cmq]=62 σ_{fa} [kg/cmq]=2800

P.	Nx	Ny	Nxy	Mx	My	Mxy	Afx	Afy	σ_{cmax}	σ_{fmax}	Cbc	Cbf	Ver	Cs
	kg/mq	kg/mq	kg/mq	kg	kg	kg	cmq/m	cmq/m	kg/cmq	kg/cmq				
16	-37463	-5759	-9587	-294	-35	-74	31.42	31.42	-5	-30	38	38	Si	13
8	-38785	-4265	-6103	-227	-23	-54	31.42	31.42	-5	-36	38	38	Si	14

Verifica aperture fessure:Wamm_Freq[mm]=0.400 Wamm_Qp[mm]=0.300

P.	Nx	Ny	Nxy	Mx	My	Mxy	σ_{fmed}	Wd	Wk	Cb	Ver	Cs
	kg/mq	kg/mq	kg/mq	kg	kg	kg	kg/cmq	mm	mm			
1	-16797	1900	7128	-12	36	-63	28	0.002	0.002	38(Qp)	Si	>100
1	-16797	1900	7128	-12	36	-63	28	0.002	0.002	35(Fr)	Si	>100

Muro :145 - Nodi : [908 - 7 - 862 - 10]

Pann.X=4 Pann.Y=4 Spess.= 30 cm Criterio CLS_Muri_Esist Materiale: C20/25rcm=200
[kg/cmq],fym=4200 [kg/cmq], FC=1.20 qd=2.5, qf=1.5 :

Armatura a maglia doppia, Stampa elementi piu' gravosi

Combinazione Rara: σ_{ca} [kg/cmq]=83 σ_{fa} [kg/cmq]=2800

P.	Nx	Ny	Nxy	Mx	My	Mxy	Afx	Afy	σ_{cmax}	σ_{fmax}	Cbc	Cbf	Ver	Cs
	kg/mq	kg/mq	kg/mq	kg	kg	kg	cmq/m	cmq/m	kg/cmq	kg/cmq				
1	-44113	-185511	-56278	-78	-840	-130	31.42	31.42	-20	-189	29	29	Si	4.1

Combinazione QP: σ_{ca} [kg/cmq]=62 σ_{fa} [kg/cmq]=2800

P.	Nx	Ny	Nxy	Mx	My	Mxy	Afx	Afy	σ_{cmax}	σ_{fmax}	Cbc	Cbf	Ver	Cs
	kg/mq	kg/mq	kg/mq	kg	kg	kg	cmq/m	cmq/m	kg/cmq	kg/cmq				
1	-41417	-175032	-53000	-74	-798	-123	31.42	31.42	-19	-178	38	38	Si	3.2

Verifica aperture fessure:Wamm_Freq[mm]=0.400 Wamm_Qp[mm]=0.300

P.	Nx	Ny	Nxy	Mx	My	Mxy	σ_{fmed}	Wd	Wk	Cb	Ver	Cs
	kg/mq	kg/mq	kg/mq	kg	kg	kg	kg/cmq	mm	mm			
3	26	-96703	-11370	-7	-179	11	2	0.000	0.000	38(Qp)	Si	>100
3	26	-96703	-11370	-7	-179	11	2	0.000	0.000	35(Fr)	Si	>100

Muro :146 - Nodi : [909 - 10 - 855 - 8]

Pann.X=4 Pann.Y=4 Spess.= 30 cm Criterio CLS_Muri_Esist Materiale: C20/25rcm=200
[kg/cmq],fym=4200 [kg/cmq], FC=1.20 qd=2.5, qf=1.5 :

Armatura a maglia doppia, Stampa elementi piu' gravosi

Combinazione Rara: σ_{ca} [kg/cmq]=83 σ_{fa} [kg/cmq]=2800

P.	Nx	Ny	Nxy	Mx	My	Mxy	Afx	Afy	σ_{cmax}	σ_{fmax}	Cbc	Cbf	Ver	Cs
	kg/mq	kg/mq	kg/mq	kg	kg	kg	cmq/m	cmq/m	kg/cmq	kg/cmq				
4	-36579	-38933	9364	-197	-57	3	31.42	31.42	-4	-46	29	27	Si	20
13	12636	62591	3221	-113	38	-29	31.42	31.42	0	521	24	32	Si	5.4

Combinazione QP: σ_{ca} [kg/cmq]=62 σ_{fa} [kg/cmq]=2800

P.	Nx	Ny	Nxy	Mx	My	Mxy	Afx	Afy	σ_{cmax}	σ_{fmax}	Cbc	Cbf	Ver	Cs
	kg/mq	kg/mq	kg/mq	kg	kg	kg	cmq/m	cmq/m	kg/cmq	kg/cmq				
4	-33889	-34609	8518	-184	-57	3	31.42	31.42	-4	-41	38	38	Si	16
13	7775	48918	2066	-95	27	-27	31.42	31.42	0	474	38	38	Si	5.9

Verifica aperture fessure:Wamm_Freq[mm]=0.400 Wamm_Qp[mm]=0.300

P.	Nx	Ny	Nxy	Mx	My	Mxy	σ_{fmed}	Wd	Wk	Cb	Ver	Cs
	kg/mq	kg/mq	kg/mq	kg	kg	kg	kg/cmq	mm	mm			
13	7775	48918	2066	-95	27	-27	474	0.055	0.055	38(Qp)	Si	5.5
13	7775	48918	2066	-95	27	-27	474	0.055	0.055	35(Fr)	Si	7.3

Muro :147 - Nodi : [909 - 913 - 10 - 10]

Pann.X=4 Pann.Y=4 Spess.= 30 cm Criterio CLS_Muri_Esist Materiale: C20/25rcm=200
[kg/cmq],fym=4200 [kg/cmq], FC=1.20 qd=2.5, qf=1.5 :

Armatura a maglia doppia, Stampa elementi piu' gravosi

Combinazione Rara: σ_{ca} [kg/cmq]=83 σ_{fa} [kg/cmq]=2800

P.	Nx	Ny	Nxy	Mx	My	Mxy	Afx	Afy	σ_{cmax}	σ_{fmax}	Cbc	Cbf	Ver	Cs
	kg/mq	kg/mq	kg/mq	kg	kg	kg	cmq/m	cmq/m	kg/cmq	kg/cmq				
16	-57381	-12214	-25519	-67	-9	-2	31.42	31.42	-5	-70	29	29	Si	16
4	84971	10121	-19911	22	-47	61	31.42	31.42	0	706	24	32	Si	4.0

Combinazione QP: σ_{ca} [kg/cmq]=62 σ_{fa} [kg/cmq]=2800

P.	Nx	Ny	Nxy	Mx	My	Mxy	Afx	Afy	σ_{cmax}	σ_{fmax}	Cbc	Cbf	Ver	Cs
	kg/mq	kg/mq	kg/mq	kg	kg	kg	cmq/m	cmq/m	kg/cmq	kg/cmq				
16	-51936	-11212	-23612	-62	-8	-1	31.42	31.42	-5	-64	38	38	Si	13
4	67213	7957	-14740	12	-41	54	31.42	31.42	0	645	38	38	Si	4.3

Verifica aperture fessure:Wamm_Freq[mm]=0.400 Wamm_Qp[mm]=0.300

P.	Nx	Ny	Nxy	Mx	My	Mxy	σ_{fmed}	Wd	Wk	Cb	Ver	Cs
	kg/mq	kg/mq	kg/mq	kg	kg	kg	kg/cmq	mm	mm			
4	67213	7957	-14740	12	-41	54	645	0.075	0.075	38(Qp)	Si	4.0
4	67213	7957	-14740	12	-41	54	645	0.075	0.075	35(Fr)	Si	5.3

Muro :148 - Nodi : [913 - 4 - 812 - 10]

Pann.X=4 Pann.Y=4 Spess.= 30 cm Criterio CLS_Muri_Esist Materiale: C20/25rcm=200
[kg/cmq],fym=4200 [kg/cmq], FC=1.20 qd=2.5, qf=1.5 :

Armatura a maglia doppia, Stampa elementi piu' gravosi

Combinazione Rara: σ_{ca} [kg/cmq]=83 σ_{fa} [kg/cmq]=2800

P.	Nx	Ny	Nxy	Mx	My	Mxy	Afx	Afy	σ_{cmax}	σ_{fmax}	Cbc	Cbf	Ver	Cs
	kg/mq	kg/mq	kg/mq	kg	kg	kg	cmq/m	cmq/m	kg/cmq	kg/cmq				
13	-84169	-32428	22536	-10	-123	-56	31.42	31.42	-7	-109	28	28	Si	11
1	52640	-5975	4832	-44	-40	-9	31.42	31.42	-1	514	29	32	Si	5.4

Combinazione QP: σ_{ca} [kg/cmq]=62 σ_{fa} [kg/cmq]=2800

P.	Nx	Ny	Nxy	Mx	My	Mxy	Afx	Afy	σ_{cmax}	σ_{fmax}	Cbc	Cbf	Ver	Cs
	kg/mq	kg/mq	kg/mq	kg	kg	kg	cmq/m	cmq/m	kg/cmq	kg/cmq				
13	-78127	-29959	20861	-7	-115	-52	31.42	31.42	-7	-101	38	38	Si	9.2
1	48591	-5767	4350	-41	-38	-8	31.42	31.42	-1	475	38	38	Si	5.9

Verifica aperture fessure:Wamm_Freq[mm]=0.400 Wamm_Qp[mm]=0.300

P.	Nx	Ny	Nxy	Mx	My	Mxy	σ_{fmed}	Wd	Wk	Cb	Ver	Cs
	kg/mq	kg/mq	kg/mq	kg	kg	kg	kg/cmq	mm	mm			
1	48591	-5767	4350	-41	-38	-8	475	0.055	0.055	38(Qp)	Si	5.5
1	48591	-5767	4350	-41	-38	-8	475	0.055	0.055	35(Fr)	Si	7.3

Muro :149 - Nodi : [855 - 10 - 10 - 862]

Pann.X=4 Pann.Y=4 Spess.= 30 cm Criterio CLS_Muri_Esist Materiale: C20/25rcm=200
[kg/cmq],fym=4200 [kg/cmq], FC=1.20 qd=2.5, qf=1.5 :

Armatura a maglia doppia, Stampa elementi piu' gravosi

Combinazione Rara: σ_{ca} [kg/cmq]=83 σ_{fa} [kg/cmq]=2800

P.	Nx	Ny	Nxy	Mx	My	Mxy	Afx	Afy	σ_{cmax}	σ_{fmax}	Cbc	Cbf	Ver	Cs
	kg/mq	kg/mq	kg/mq	kg	kg	kg	cmq/m	cmq/m	kg/cmq	kg/cmq				
16	4651	-58526	-2279	5	32	32	31.42	31.42	-5	-74	29	29	Si	16

P.	Nx	Ny	Nxy	Mx	My	Mxy	Afx	Afy	σ_{cmax}	σ_{fmax}	Cbc	Cbf	Ver	Cs
1	17965	-25880	-11919	51	-28	7	31.42	31.42	-2	185	29	32	Si	15

Combinazione QP: $\sigma_{\text{ca}}[\text{kg/cm}^2]=62$ $\sigma_{\text{fa}}[\text{kg/cm}^2]=2800$

P.	Nx	Ny	Nxy	Mx	My	Mxy	Afx	Afy	σ_{cmax}	σ_{fmax}	Cbc	Cbf	Ver	Cs
	kg/mq	kg/mq	kg/mq	kg	kg	kg	cmq/m	cmq/m	kg/cmq	kg/cmq				
16	4209	-55282	-2153	5	31	30	31.42	31.42	-5	-70	38	38	Si	13
1	16173	-24504	-10774	48	-26	6	31.42	31.42	-2	167	38	38	Si	17

Verifica aperture fessure: $W_{\text{amm_Freq}}[\text{mm}]=0.400$ $W_{\text{amm_Qp}}[\text{mm}]=0.300$

P.	Nx	Ny	Nxy	Mx	My	Mxy	σ_{fmed}	Wd	Wk	Cb	Ver	Cs
	kg/mq	kg/mq	kg/mq	kg	kg	kg	kg/cmq	mm	mm			
1	16173	-24504	-10774	48	-26	6	167	0.018	0.018	38(Qp)	Si	17
1	16173	-24504	-10774	48	-26	6	167	0.018	0.018	35(Fr)	Si	22

Muro :150 - Nodi : [10 - 812 - 808 - 10]

Pann.X=4 Pann.Y=4 Spess.= 30 cm Criterio CLS_Muri_Esist Materiale: C20/25rcm=200
 $[\text{kg/cm}^2]$, $f_{\text{ym}}=4200$ $[\text{kg/cm}^2]$, $FC=1.20$ $q_d=2.5$, $q_f=1.5$:

Armatura a maglia doppia, Stampa elementi piu' gravosi

Combinazione Rara: $\sigma_{\text{ca}}[\text{kg/cm}^2]=83$ $\sigma_{\text{fa}}[\text{kg/cm}^2]=2800$

P.	Nx	Ny	Nxy	Mx	My	Mxy	Afx	Afy	σ_{cmax}	σ_{fmax}	Cbc	Cbf	Ver	Cs
	kg/mq	kg/mq	kg/mq	kg	kg	kg	cmq/m	cmq/m	kg/cmq	kg/cmq				
4	-1075	-36187	2336	-18	-149	33	31.42	31.42	-4	-38	29	29	Si	21
13	14394	-20196	-1158	20	7	-42	31.42	31.42	-2	144	28	32	Si	19

Combinazione QP: $\sigma_{\text{ca}}[\text{kg/cm}^2]=62$ $\sigma_{\text{fa}}[\text{kg/cm}^2]=2800$

P.	Nx	Ny	Nxy	Mx	My	Mxy	Afx	Afy	σ_{cmax}	σ_{fmax}	Cbc	Cbf	Ver	Cs
	kg/mq	kg/mq	kg/mq	kg	kg	kg	cmq/m	cmq/m	kg/cmq	kg/cmq				
4	-1079	-34902	2413	-17	-143	32	31.42	31.42	-4	-36	38	38	Si	17
13	13313	-18855	-1008	21	7	-39	31.42	31.42	-2	133	38	38	Si	21

Verifica aperture fessure: $W_{\text{amm_Freq}}[\text{mm}]=0.400$ $W_{\text{amm_Qp}}[\text{mm}]=0.300$

P.	Nx	Ny	Nxy	Mx	My	Mxy	σ_{fmed}	Wd	Wk	Cb	Ver	Cs
	kg/mq	kg/mq	kg/mq	kg	kg	kg	kg/cmq	mm	mm			
13	13313	-18855	-1008	21	7	-39	133	0.015	0.015	38(Qp)	Si	20
13	13313	-18855	-1008	21	7	-39	133	0.015	0.015	35(Fr)	Si	27

Muro :151 - Nodi : [10 - 810 - 15 - 915]

Pann.X=4 Pann.Y=4 Spess.= 30 cm Criterio CLS_Muri_Esist Materiale: C20/25rcm=200
 $[\text{kg/cm}^2]$, $f_{\text{ym}}=4200$ $[\text{kg/cm}^2]$, $FC=1.20$ $q_d=2.5$, $q_f=1.5$:

Armatura a maglia doppia, Stampa elementi piu' gravosi

Combinazione Rara: $\sigma_{\text{ca}}[\text{kg/cm}^2]=83$ $\sigma_{\text{fa}}[\text{kg/cm}^2]=2800$

P.	Nx	Ny	Nxy	Mx	My	Mxy	Afx	Afy	σ_{cmax}	σ_{fmax}	Cbc	Cbf	Ver	Cs
	kg/mq	kg/mq	kg/mq	kg	kg	kg	cmq/m	cmq/m	kg/cmq	kg/cmq				
1	18541	-27940	956	-28	-150	71	31.42	31.42	-3	184	29	32	Si	15

Combinazione QP: $\sigma_{\text{ca}}[\text{kg/cm}^2]=62$ $\sigma_{\text{fa}}[\text{kg/cm}^2]=2800$

P.	Nx	Ny	Nxy	Mx	My	Mxy	Afx	Afy	σ_{cmax}	σ_{fmax}	Cbc	Cbf	Ver	Cs
	kg/mq	kg/mq	kg/mq	kg	kg	kg	cmq/m	cmq/m	kg/cmq	kg/cmq				
1	17086	-27071	1047	-27	-146	70	31.42	31.42	-3	170	38	38	Si	16

Verifica aperture fessure: $W_{\text{amm_Freq}}[\text{mm}]=0.400$ $W_{\text{amm_Qp}}[\text{mm}]=0.300$

P.	Nx	Ny	Nxy	Mx	My	Mxy	σ_{fmed}	Wd	Wk	Cb	Ver	Cs
	kg/mq	kg/mq	kg/mq	kg	kg	kg	kg/cm ²	mm	mm			
1	17086	-27071	1047	-27	-146	70	170	0.019	0.019	38(Qp)	Si	16
1	17086	-27071	1047	-27	-146	70	170	0.019	0.019	35(Fr)	Si	21

Muro :152 - Nodi : [10 - 915 - 911 - 10]

Pann.X=4 Pann.Y=4 Spess.= 30 cm Criterio CLS_Muri_Esist Materiale: C20/25rcm=200
[kg/cm²],fym=4200 [kg/cm²], FC=1.20 qd=2.5, qf=1.5 :

Armatura a maglia doppia, Stampa elementi piu' gravosi
Combinazione Rara: σ_{ca} [kg/cm²]=83 σ_{fa} [kg/cm²]=2800

P.	Nx	Ny	Nxy	Mx	My	Mxy	Afx	Afy	σ_{cmax}	σ_{fmax}	Cbc	Cbf	Ver	Cs
	kg/mq	kg/mq	kg/mq	kg	kg	kg	cmq/m	cmq/m	kg/cm ²	kg/cm ²				
4	-5176	-57872	31690	-64	-28	115	31.42	31.42	-5	-73	29	29	Si	16
1	4607	65318	6190	-76	-69	-81	31.42	31.42	0	571	24	32	Si	4.9

Combinazione QP: σ_{ca} [kg/cm²]=62 σ_{fa} [kg/cm²]=2800

P.	Nx	Ny	Nxy	Mx	My	Mxy	Afx	Afy	σ_{cmax}	σ_{fmax}	Cbc	Cbf	Ver	Cs
	kg/mq	kg/mq	kg/mq	kg	kg	kg	cmq/m	cmq/m	kg/cm ²	kg/cm ²				
4	-4907	-53932	29966	-61	-27	110	31.42	31.42	-5	-68	38	38	Si	13
1	3387	54109	3974	-71	-64	-77	31.42	31.42	0	534	38	38	Si	5.2

Verifica aperture fessure:Wamm_Freq[mm]=0.400 Wamm_Qp[mm]=0.300

P.	Nx	Ny	Nxy	Mx	My	Mxy	σ_{fmed}	Wd	Wk	Cb	Ver	Cs
	kg/mq	kg/mq	kg/mq	kg	kg	kg	kg/cm ²	mm	mm			
1	3387	54109	3974	-71	-64	-77	534	0.061	0.061	38(Qp)	Si	4.9
1	3387	54109	3974	-71	-64	-77	534	0.061	0.061	35(Fr)	Si	6.6

Muro :153 - Nodi : [10 - 911 - 17 - 863]

Pann.X=4 Pann.Y=4 Spess.= 30 cm Criterio CLS_Muri_Esist Materiale: C20/25rcm=200
[kg/cm²],fym=4200 [kg/cm²], FC=1.20 qd=2.5, qf=1.5 :

Armatura a maglia doppia, Stampa elementi piu' gravosi
Combinazione Rara: σ_{ca} [kg/cm²]=83 σ_{fa} [kg/cm²]=2800

P.	Nx	Ny	Nxy	Mx	My	Mxy	Afx	Afy	σ_{cmax}	σ_{fmax}	Cbc	Cbf	Ver	Cs
	kg/mq	kg/mq	kg/mq	kg	kg	kg	cmq/m	cmq/m	kg/cm ²	kg/cm ²				
1	-81393	-59557	15169	-118	63	39	31.42	31.42	-8	-98	29	29	Si	11

Combinazione QP: σ_{ca} [kg/cm²]=62 σ_{fa} [kg/cm²]=2800

P.	Nx	Ny	Nxy	Mx	My	Mxy	Afx	Afy	σ_{cmax}	σ_{fmax}	Cbc	Cbf	Ver	Cs
	kg/mq	kg/mq	kg/mq	kg	kg	kg	cmq/m	cmq/m	kg/cm ²	kg/cm ²				
1	-77168	-55773	14424	-113	60	37	31.42	31.42	-7	-93	38	38	Si	8.6

Verifica aperture fessure:Wamm_Freq[mm]=0.400 Wamm_Qp[mm]=0.300

P.	Nx	Ny	Nxy	Mx	My	Mxy	σ_{fmed}	Wd	Wk	Cb	Ver	Cs
	kg/mq	kg/mq	kg/mq	kg	kg	kg	kg/cm ²	mm	mm			
1	-77168	-55773	14424	-113	60	37	0	0.000	0.000	38(Qp)	Si	>100
1	-78399	-56917	14653	-114	61	38	0	0.000	0.000	33(Fr)	Si	>100

Muro :154 - Nodi : [860 - 10 - 10 - 863]

Pann.X=4 Pann.Y=4 Spess.= 30 cm Criterio CLS_Muri_Esist Materiale: C20/25rcm=200
[kg/cm²],fym=4200 [kg/cm²], FC=1.20 qd=2.5, qf=1.5 :

Armatura a maglia doppia, Stampa elementi piu' gravosi
Combinazione Rara: σ_{ca} [kg/cm²]=83 σ_{fa} [kg/cm²]=2800

P.	Nx	Ny	Nxy	Mx	My	Mxy	Afx	Afy	σ_{max}	σ_{fmax}	Cbc	Cbf	Ver	Cs
	kg/mq	kg/mq	kg/mq	kg	kg	kg	cmq/m	cmq/m	kg/cmq	kg/cmq				
16	5499	-84013	-24158	31	0	37	31.42	31.42	-7	-109	29	29	Si	11
1	10688	-26839	-7729	39	9	-8	31.42	31.42	-2	112	29	32	Si	25

Combinazione QP: σ_{ca} [kg/cm²]=62 σ_{fa} [kg/cm²]=2800

P.	Nx	Ny	Nxy	Mx	My	Mxy	Afx	Afy	σ_{max}	σ_{fmax}	Cbc	Cbf	Ver	Cs
	kg/mq	kg/mq	kg/mq	kg	kg	kg	cmq/m	cmq/m	kg/cmq	kg/cmq				
16	4994	-79721	-22828	30	-1	35	31.42	31.42	-7	-103	38	38	Si	9.0

Verifica aperture fessure: Wamm_Freq[mm]=0.400 Wamm_Qp[mm]=0.300

P.	Nx	Ny	Nxy	Mx	My	Mxy	σ_{fmed}	Wd	Wk	Cb	Ver	Cs
	kg/mq	kg/mq	kg/mq	kg	kg	kg	kg/cmq	mm	mm			
1	9857	-25634	-7132	34	6	-8	103	0.011	0.011	38(Qp)	Si	27
1	9857	-25634	-7132	34	6	-8	103	0.011	0.011	35(Fr)	Si	36

Muro :155 - Nodi : [910 - 10 - 860 - 18]

Pann.X=4 Pann.Y=4 Spess.= 30 cm Criterio CLS_Muri_Esist Materiale: C20/25rcm=200
[kg/cm²],fym=4200 [kg/cm²], FC=1.20 qd=2.5, qf=1.5 :

Armatura a maglia doppia, Stampa elementi piu' gravosi

Combinazione Rara: σ_{ca} [kg/cm²]=83 σ_{fa} [kg/cm²]=2800

P.	Nx	Ny	Nxy	Mx	My	Mxy	Afx	Afy	σ_{max}	σ_{fmax}	Cbc	Cbf	Ver	Cs
	kg/mq	kg/mq	kg/mq	kg	kg	kg	cmq/m	cmq/m	kg/cmq	kg/cmq				
4	-37392	-34564	11447	-166	-124	20	31.42	31.42	-4	-38	29	29	Si	20
13	3310	43405	-476	-74	-4	-29	31.42	31.42	0	369	24	32	Si	7.6

Combinazione QP: σ_{ca} [kg/cm²]=62 σ_{fa} [kg/cm²]=2800

P.	Nx	Ny	Nxy	Mx	My	Mxy	Afx	Afy	σ_{max}	σ_{fmax}	Cbc	Cbf	Ver	Cs
	kg/mq	kg/mq	kg/mq	kg	kg	kg	cmq/m	cmq/m	kg/cmq	kg/cmq				
4	-35109	-31103	10523	-155	-121	18	31.42	31.42	-4	-36	38	38	Si	16
13	1380	36040	-846	-62	-12	-27	31.42	31.42	-0	347	38	38	Si	8.1

Verifica aperture fessure: Wamm_Freq[mm]=0.400 Wamm_Qp[mm]=0.300

P.	Nx	Ny	Nxy	Mx	My	Mxy	σ_{fmed}	Wd	Wk	Cb	Ver	Cs
	kg/mq	kg/mq	kg/mq	kg	kg	kg	kg/cmq	mm	mm			
13	1380	36040	-846	-62	-12	-27	347	0.040	0.040	38(Qp)	Si	7.4
13	1380	36040	-846	-62	-12	-27	347	0.040	0.040	35(Fr)	Si	9.9

Muro :156 - Nodi : [914 - 10 - 10 - 910]

Pann.X=4 Pann.Y=4 Spess.= 30 cm Criterio CLS_Muri_Esist Materiale: C20/25rcm=200
[kg/cm²],fym=4200 [kg/cm²], FC=1.20 qd=2.5, qf=1.5 :

Armatura a maglia doppia, Stampa elementi piu' gravosi

Combinazione Rara: σ_{ca} [kg/cm²]=83 σ_{fa} [kg/cm²]=2800

P.	Nx	Ny	Nxy	Mx	My	Mxy	Afx	Afy	σ_{max}	σ_{fmax}	Cbc	Cbf	Ver	Cs
	kg/mq	kg/mq	kg/mq	kg	kg	kg	cmq/m	cmq/m	kg/cmq	kg/cmq				
13	-8837	-41599	19155	-3	-48	7	31.42	31.42	-4	-51	27	27	Si	22
16	2135	52109	10640	-34	-23	-46	31.42	31.42	0	450	24	32	Si	6.2

Combinazione QP: σ_{ca} [kg/cm²]=62 σ_{fa} [kg/cm²]=2800

P.	Nx	Ny	Nxy	Mx	My	Mxy	Afx	Afy	σ_{max}	σ_{fmax}	Cbc	Cbf	Ver	Cs
	kg/mq	kg/mq	kg/mq	kg	kg	kg	cmq/m	cmq/m	kg/cmq	kg/cmq				
13	-8294	-38568	18130	-3	-44	6	31.42	31.42	-4	-47	38	38	Si	17
16	1541	43656	7948	-30	-30	-41	31.42	31.42	0	425	38	38	Si	6.6

Verifica aperture fessure:Wamm_Freq[mm]=0.400 Wamm_Qp[mm]=0.300

P.	Nx	Ny	Nxy	Mx	My	Mxy	σfmed	Wd	Wk	Cb	Ver	Cs
	kg/mq	kg/mq	kg/mq	kg	kg	kg	kg/cmq	mm	mm			
16	1541	43656	7948	-30	-30	-41	425	0.049	0.049	38(Qp)	Si	6.1
16	1541	43656	7948	-30	-30	-41	425	0.049	0.049	35(Fr)	Si	8.2

Muro :157 - Nodi : [914 - 16 - 813 - 10]

Pann.X=4 Pann.Y=4 Spess.= 30 cm Criterio CLS_Muri_Esist Materiale: C20/25rcm=200
[kg/cmq],fym=4200 [kg/cmq], FC=1.20 qd=2.5, qf=1.5 :

Armatura a maglia doppia, Stampa elementi piu' gravosi

Combinazione Rara: σca[kg/cmq]=83 σfa[kg/cmq]=2800

P.	Nx	Ny	Nxy	Mx	My	Mxy	Afx	Afy	σcmax	σfmax	Cbc	Cbf	Ver	Cs
	kg/mq	kg/mq	kg/mq	kg	kg	kg	cmq/m	cmq/m	kg/cmq	kg/cmq				
14	-2428	-24916	-239	3	-114	-32	31.42	31.42	-3	-25	28	28	Si	30
1	33436	-4863	2542	-18	-24	-15	31.42	31.42	-1	324	29	32	Si	8.6

Combinazione QP: σca[kg/cmq]=62 σfa[kg/cmq]=2800

P.	Nx	Ny	Nxy	Mx	My	Mxy	Afx	Afy	σcmax	σfmax	Cbc	Cbf	Ver	Cs
	kg/mq	kg/mq	kg/mq	kg	kg	kg	cmq/m	cmq/m	kg/cmq	kg/cmq				
14	-1608	-23296	-345	7	-106	-31	31.42	31.42	-3	-24	38	38	Si	24
1	31819	-4786	2310	-16	-24	-14	31.42	31.42	-1	308	38	38	Si	9.1

Verifica aperture fessure:Wamm_Freq[mm]=0.400 Wamm_Qp[mm]=0.300

P.	Nx	Ny	Nxy	Mx	My	Mxy	σfmed	Wd	Wk	Cb	Ver	Cs
	kg/mq	kg/mq	kg/mq	kg	kg	kg	kg/cmq	mm	mm			
1	31819	-4786	2310	-16	-24	-14	308	0.036	0.036	38(Qp)	Si	8.4
1	31819	-4786	2310	-16	-24	-14	308	0.036	0.036	35(Fr)	Si	11

Muro :158 - Nodi : [10 - 813 - 810 - 10]

Pann.X=4 Pann.Y=4 Spess.= 30 cm Criterio CLS_Muri_Esist Materiale: C20/25rcm=200
[kg/cmq],fym=4200 [kg/cmq], FC=1.20 qd=2.5, qf=1.5 :

Armatura a maglia doppia, Stampa elementi piu' gravosi

Combinazione Rara: σca[kg/cmq]=83 σfa[kg/cmq]=2800

P.	Nx	Ny	Nxy	Mx	My	Mxy	Afx	Afy	σcmax	σfmax	Cbc	Cbf	Ver	Cs
	kg/mq	kg/mq	kg/mq	kg	kg	kg	cmq/m	cmq/m	kg/cmq	kg/cmq				
8	3119	-20154	-1169	-27	-51	50	31.42	31.42	-2	37	29	32	Si	41
16	-290	-15656	-274	240	93	-1	31.42	31.42	-2	61	29	32	Si	45

Combinazione QP: σca[kg/cmq]=62 σfa[kg/cmq]=2800

P.	Nx	Ny	Nxy	Mx	My	Mxy	Afx	Afy	σcmax	σfmax	Cbc	Cbf	Ver	Cs
	kg/mq	kg/mq	kg/mq	kg	kg	kg	cmq/m	cmq/m	kg/cmq	kg/cmq				
4	4931	-16263	-4088	-23	-111	44	31.42	31.42	-2	53	38	38	Si	32
16	-432	-15046	-264	234	91	-2	31.42	31.42	-2	58	38	38	Si	35

Verifica aperture fessure:Wamm_Freq[mm]=0.400 Wamm_Qp[mm]=0.300

P.	Nx	Ny	Nxy	Mx	My	Mxy	σfmed	Wd	Wk	Cb	Ver	Cs
	kg/mq	kg/mq	kg/mq	kg	kg	kg	kg/cmq	mm	mm			
4	4931	-16263	-4088	-23	-111	44	53	0.006	0.006	38(Qp)	Si	54
4	4931	-16263	-4088	-23	-111	44	53	0.006	0.006	35(Fr)	Si	72

Muro :159 - Nodi : [864 - 25 - 6 - 878]

Pann.X=4 Pann.Y=4 Spess.= 30 cm Criterio CLS_Muri_Esist Materiale: C20/25rcm=200
[kg/cmq],fym=4200 [kg/cmq], FC=1.20 qd=2.5, qf=1.5 :

Armatura a maglia doppia, Stampa elementi piu' gravosi

Combinazione Rara: σ_{ca} [kg/cm²]=83 σ_{fa} [kg/cm²]=2800

P.	Nx	Ny	Nxy	Mx	My	Mxy	Afx	Afy	σ_{cmax}	σ_{fmax}	Cbc	Cbf	Ver	Cs
	kg/mq	kg/mq	kg/mq	kg	kg	kg	cmq/m	cmq/m	kg/cm ²	kg/cm ²				
15	-26929	-2876	-160	-5	-0	-0	31.42	31.42	-2	-35	29	29	Si	35
1	-19635	3722	-1910	-1	1	6	31.42	31.42	-2	36	29	32	Si	49

Combinazione QP: σ_{ca} [kg/cm²]=62 σ_{fa} [kg/cm²]=2800

P.	Nx	Ny	Nxy	Mx	My	Mxy	Afx	Afy	σ_{cmax}	σ_{fmax}	Cbc	Cbf	Ver	Cs
	kg/mq	kg/mq	kg/mq	kg	kg	kg	cmq/m	cmq/m	kg/cm ²	kg/cm ²				
15	-25883	-2770	-270	-5	-0	-0	31.42	31.42	-2	-33	38	38	Si	28
1	-18878	3587	-1625	-2	1	5	31.42	31.42	-2	35	38	38	Si	38

Verifica aperture fessure: Wamm_Freq[mm]=0.400 Wamm_Qp[mm]=0.300

P.	Nx	Ny	Nxy	Mx	My	Mxy	σ_{fmed}	Wd	Wk	Cb	Ver	Cs
	kg/mq	kg/mq	kg/mq	kg	kg	kg	kg/cm ²	mm	mm			
1	-18878	3587	-1625	-2	1	5	35	0.004	0.004	38(Qp)	Si	74
1	-18878	3587	-1625	-2	1	5	35	0.004	0.004	35(Fr)	Si	99

Muro :160 - Nodi : [878 - 887 - 867 - 864]

Pann.X=4 Pann.Y=4 Spess.= 30 cm Criterio CLS_Muri_Esist Materiale: C20/25rcm=200
[kg/cm²],fym=4200 [kg/cm²], FC=1.20 qd=2.5, qf=1.5 :

Armatura a maglia doppia, Stampa elementi piu' gravosi

Combinazione Rara: σ_{ca} [kg/cm²]=83 σ_{fa} [kg/cm²]=2800

P.	Nx	Ny	Nxy	Mx	My	Mxy	Afx	Afy	σ_{cmax}	σ_{fmax}	Cbc	Cbf	Ver	Cs
	kg/mq	kg/mq	kg/mq	kg	kg	kg	cmq/m	cmq/m	kg/cm ²	kg/cm ²				
13	-29391	12694	-1105	-0	16	-1	31.42	31.42	-3	125	27	32	Si	22

Combinazione QP: σ_{ca} [kg/cm²]=62 σ_{fa} [kg/cm²]=2800

P.	Nx	Ny	Nxy	Mx	My	Mxy	Afx	Afy	σ_{cmax}	σ_{fmax}	Cbc	Cbf	Ver	Cs
	kg/mq	kg/mq	kg/mq	kg	kg	kg	cmq/m	cmq/m	kg/cm ²	kg/cm ²				
13	-27200	11619	-1052	-0	14	-1	31.42	31.42	-2	115	38	38	Si	24

Verifica aperture fessure: Wamm_Freq[mm]=0.400 Wamm_Qp[mm]=0.300

P.	Nx	Ny	Nxy	Mx	My	Mxy	σ_{fmed}	Wd	Wk	Cb	Ver	Cs
	kg/mq	kg/mq	kg/mq	kg	kg	kg	kg/cm ²	mm	mm			
13	-27200	11619	-1052	-0	14	-1	115	0.013	0.013	38(Qp)	Si	23
13	-27200	11619	-1052	-0	14	-1	115	0.013	0.013	35(Fr)	Si	31

Muro :161 - Nodi : [867 - 887 - 28 - 26]

Pann.X=4 Pann.Y=4 Spess.= 30 cm Criterio CLS_Muri_Esist Materiale: C20/25rcm=200
[kg/cm²],fym=4200 [kg/cm²], FC=1.20 qd=2.5, qf=1.5 :

Armatura a maglia doppia, Stampa elementi piu' gravosi

Combinazione Rara: σ_{ca} [kg/cm²]=83 σ_{fa} [kg/cm²]=2800

P.	Nx	Ny	Nxy	Mx	My	Mxy	Afx	Afy	σ_{cmax}	σ_{fmax}	Cbc	Cbf	Ver	Cs
	kg/mq	kg/mq	kg/mq	kg	kg	kg	cmq/m	cmq/m	kg/cm ²	kg/cm ²				
15	-27815	-107036	-15334	18	6	0	31.42	31.42	-9	-138	27	27	Si	8.9
4	19330	-10744	2633	5	-7	-0	31.42	31.42	-1	186	29	32	Si	15

Combinazione QP: σ_{ca} [kg/cm²]=62 σ_{fa} [kg/cm²]=2800

P.	Nx	Ny	Nxy	Mx	My	Mxy	Afx	Afy	σ_{cmax}	σ_{fmax}	Cbc	Cbf	Ver	Cs
	kg/mq	kg/mq	kg/mq	kg	kg	kg	cmq/m	cmq/m	kg/cm ²	kg/cm ²				
15	-25411	-98032	-13989	16	6	1	31.42	31.42	-9	-127	38	38	Si	7.3

P.	Nx	Ny	Nxy	Mx	My	Mxy	Afx	Afy	σ_{cmax}	σ_{fmax}	Cbc	Cbf	Ver	Cs
4	17661	-10452	2706	5	-6	0	31.42	31.42	-1	170	38	38	Si	16

Verifica aperture fessure: Wamm_Freq[mm]=0.400 Wamm_Qp[mm]=0.300

P.	Nx	Ny	Nxy	Mx	My	Mxy	σ_{fmed}	Wd	Wk	Cb	Ver	Cs
	kg/mq	kg/mq	kg/mq	kg	kg	kg	kg/cm ²	mm	mm			
4	17661	-10452	2706	5	-6	0	170	0.020	0.020	38(Qp)	Si	15
4	17659	-10548	2822	5	-6	-0	170	0.020	0.020	33(Fr)	Si	20

Visto lo scenario di calcolo: Scenario di calcolo N.T. 2018, da cui si evince che che il Cs coefficiente di sicurezza definito dal rapporto $Fr/Fd = 1.1$ che è il minimo valore (Fr =resistenza, Fd =azione).

La struttura risulta quindi verificata, dato che il coefficiente di sicurezza globale Cs, più basso degli elementi verificati è pari a 1.1

Il Progettista e D.L.

Arch. Marcello D'Amico

GEO.CAL. s.r.l.

Laboratorio di ricerca e di analisi su materiali da costruzione e strutture

Min. LL.PP. Concessione L. 1086/71 - M.U.R.S.T. Laboratorio Altamente Qualificato

Via Reggio Calabria, 12 - 87100 Cosenza tel./fax 0984/22361-22362

SETTORE CONGLOMERATI CEMENTIZI

CERTIFICATO N. 1133 del 16.04.2003

V.A. 440 del 24.03.03

RICHIEDENTE : Ing. Igino Smeriglio -- Ing. Bruno Gravina e Ing. Domenico Malatacca
Tecnici incaricati dall'Amministrazione Comunale di Montalto Uffugo
per " *Esecuzione di indagini, esami, prove, verifiche strutturali,
certificazione di idoneità statica sugli edifici e strutture comunali*".
Delibera G.M. n° 291 del 19.12.2002

EDIFICIO : Scuola Elementare " Taverna " - Montalto U.

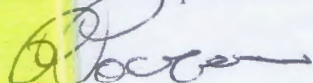
PROVE ESEGUITE

Prelievo di n° 2 carote di calcestruzzo indurito (UNI 6131/87), rottura a compressione (UNI 6132/72) e determinazione della profondità di carbonatazione (UNI 9944) .

Il presente certificato è composto di n° 01 pagine oltre la presente che ne costituisce parte integrante e inoltre di n° 1 pianta del fabbricato e 2 allegati.

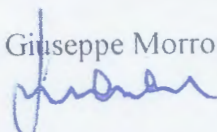
Lo Sperimentatore

(Geom. Pasquale Ponzano)



Il Direttore del Laboratorio

(Ing. Giuseppe Morrone)



GEO.CAL. s.r.l.

Laboratorio di ricerca e di analisi su materiali da costruzione e strutture

Min. LL.PP. Concessione L. 1086/71 - M.U.R.S.T. Laboratorio Altamente Qualificato

Via Reggio Calabria, 12 - 87100 Cosenza tel./fax 0984/22361-22362

Il giorno 24 del mese di Marzo 2003, tecnici del nostro Laboratorio, previo incarico conferito da **Ing. Igino Smeriglio - Ing. Bruno Gravina e Ing. Domenico Malatacca**, tecnici incaricati dall'Amministrazione Comunale di Montalto Uffugo per "*Esecuzione di indagini, esami, prove, verifiche strutturali, certificazione di idoneità statica sugli edifici e strutture comunali*", nei punti indicati dagli stessi hanno prelevato n° 2 carote di calcestruzzo indurito.

I prelievi sono stati effettuati tramite carotiere elettrico (marca Hilty) munito di corona diamantata.

Su tutti i campioni è stata determinata la resistenza a compressione e la profondità di carbonatazione.

Gli stessi prima di essere sottoposti alla prova di resistenza a compressione sono stati rettificati come previsto dalle norme UNI.

Al prelievo delle carote hanno presenziato ininterrottamente:

I tecnici incaricati : Ing. Bruno Gravina.

Per Geo. Cal. : Geom. Ponzano e signor R. Gardi.

Determinazione della profondità di carbonatazione (UNI 9944)

Carota N°	Prelievo	Profondità di Carbonatazione (cm)	Data del prelievo	Data della prova
C49	Trave solaio (lato ovest)	8.7	24.03.2003	25.03.2003
C50	Trave solaio (lato est)	4.2	"	"

Determinazione della resistenza a compressione (UNI 6132/72)

Data delle prove : 02.04.2003

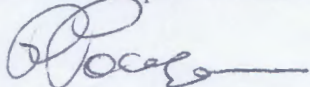
Sigla	Elemento Strutturale	Direzione di perforazione	ϕ cm	H cm	Massa Kg	Rc N/mm ²	Data prelievo
C49	Trave solaio (lato ovest)	Orizzontale	9.4	16.0	2.425	9.93	24.03.2003
C50	Trave solaio (lato est)	"	"	16.5	2.422	6.51	"

Rc = resistenza a compressione della carota

Al presente certificato si allegano n° 1 pianta con indicazione degli elementi strutturali oggetto dei prelievi e n° 2 grafici nei quali si individua il carico di rottura (KN) delle carote di calcestruzzo sottoposte a prova.

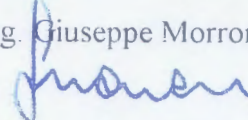
Lo Sperimentatore

(Geom. Pasquale Ponzano)



Il Direttore del Laboratorio

(Ing. Giuseppe Morrone)

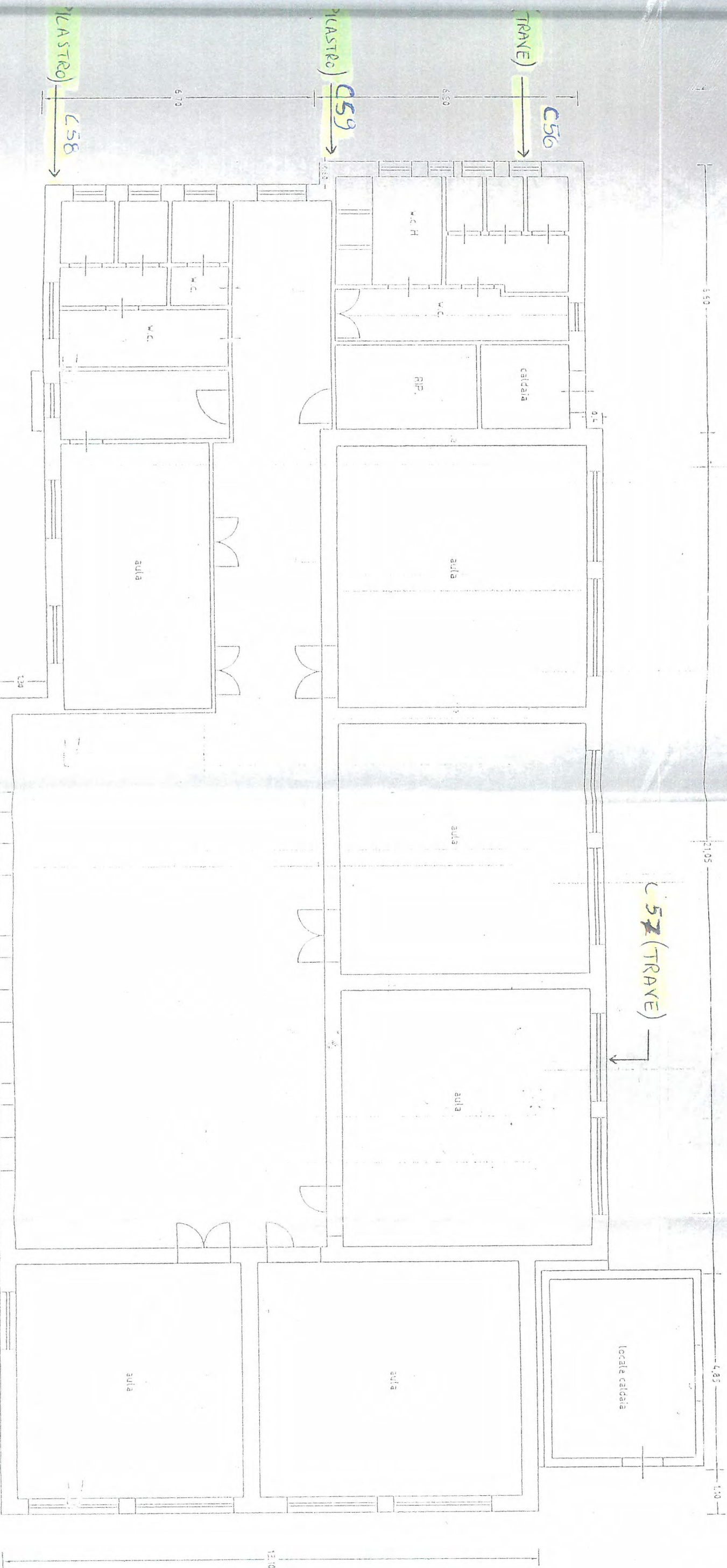


PIANTA PIANO TERRA

SCALA 1:100

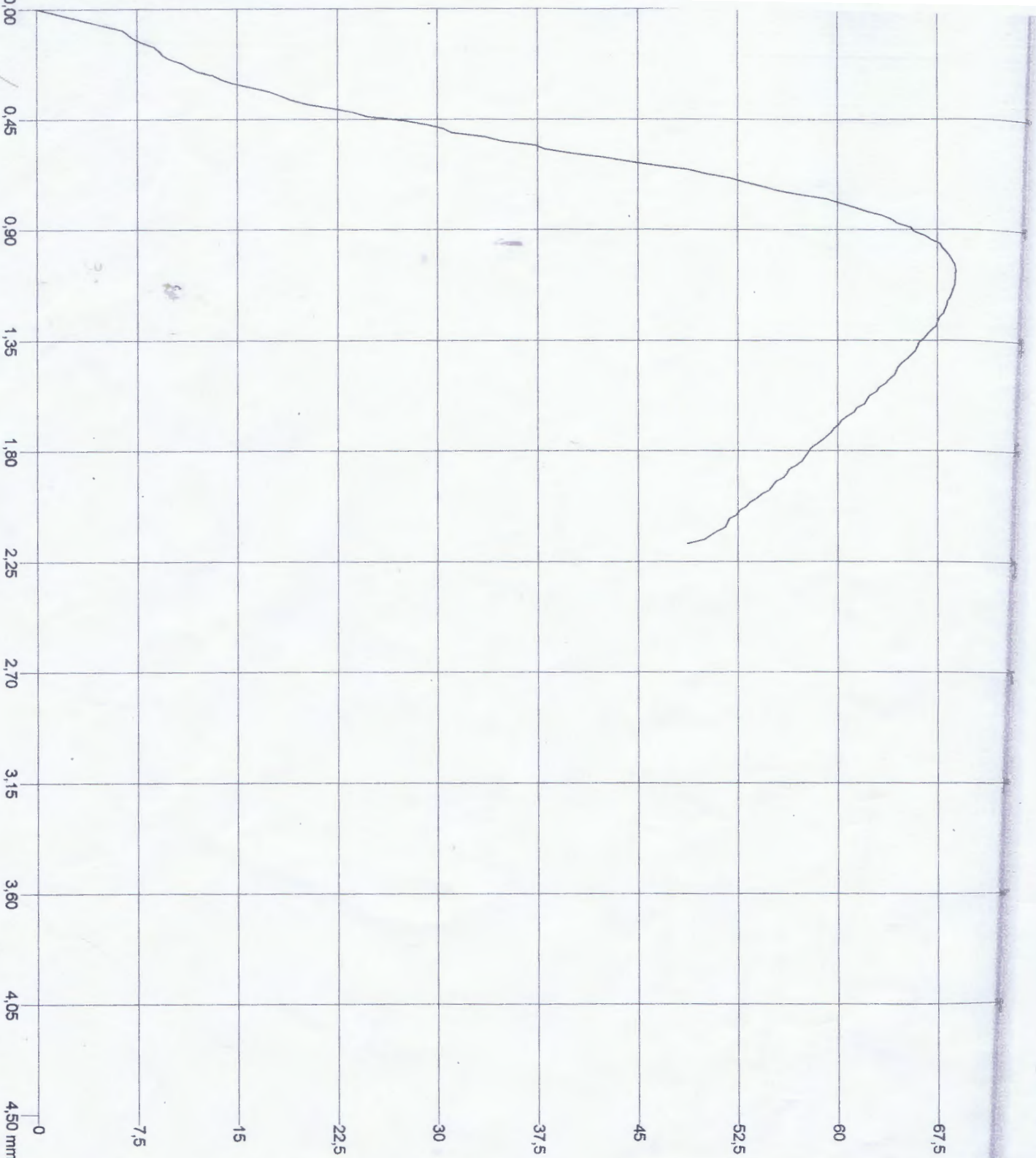
ELEMENTARE TAVERNA

STATO ATTUALE



Allegato al
certificato n° 4473
del 15/05/2003.

De Rosa



Data: 02/04/2003

1.
 Fornitore: NON DICHIARATO
 Cliente: ING. SMERGLIO GR

Tipo: Generico
 Materiale: CAROTEDI CLS

Peso (kg): 2,425

kg / dm³: 2,184

Sez. nom. (mm²): 6939,99

So mm²: 160,00

Lt mm: 68,88

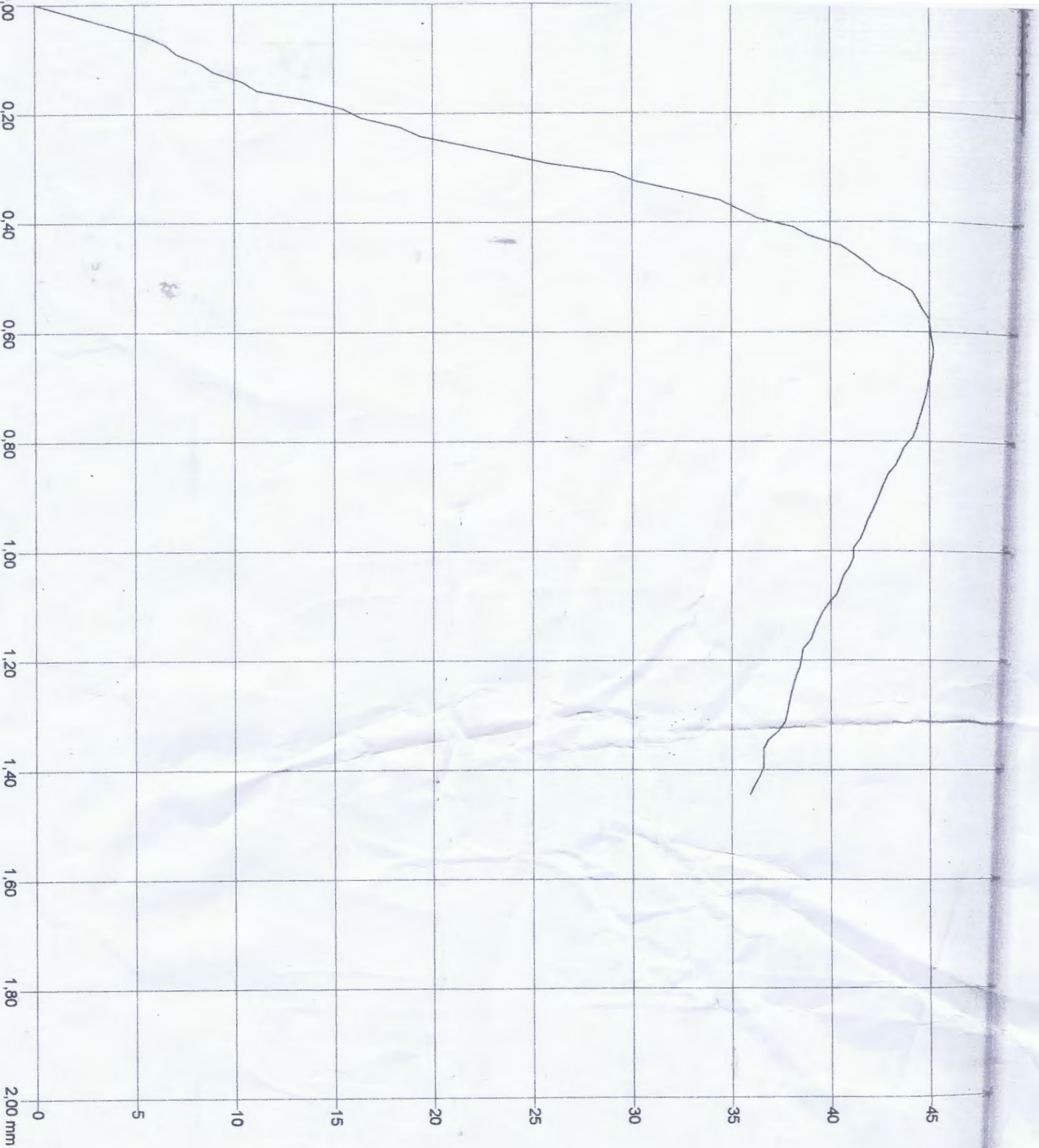
Fm kN: 9,93

Rm N/mm²

Attestato al costi
 n° 1133 del 16/01

Geom. Pasquale Ponzano

ORIGINALE



02/04/2003

NON DICHIARATO
ING. SMERGLIO GRA

CAROTEDI CLS

2,422

2,115

6940,00

165,00

Fornitore
Cliente
Tipo: Generico
Materiale
Peso (kg)
kg / dm³
Sez. nom. (mm²)
So mm²
Lt mm

Fm kN
Rim N/mm²

45,19
6,51

Allegato al certificato
n° 1133 del 16/

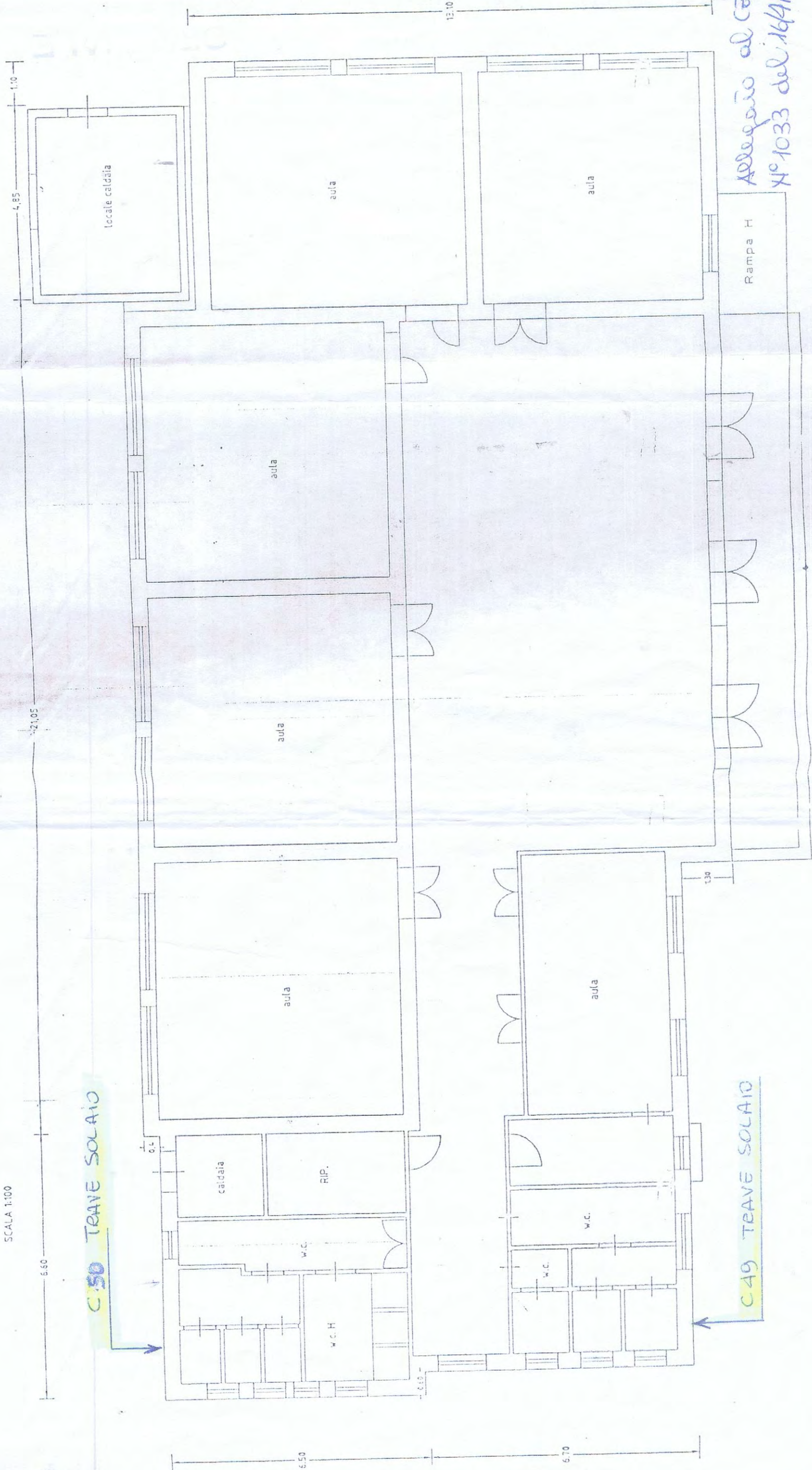
Geom. Pasquale Ponzano

ELEMENTARE TAVERNA

PIANTA PIANO TERRA

SCALA 1:100

STATO ATTUAL



Allegato al C.E.
N° 1033 del 16/41

D. Perini

GEO.CAL. s.r.l.

Laboratorio di ricerca e di analisi su materiali da costruzione e strutture

Min. LL.PP. Concessione L. 1086/71 - M.U.R.S.T. Laboratorio Altamente Qualificato

Via Reggio Calabria, 12 - 87100 Cosenza tel./fax 0984/22361-22362

SETTORE CONGLOMERATI CEMENTIZI

CERTIFICATO N. 1131 del 16.04.2003

V.A. 372 del 12.03.03

RICHIEDENTE : Ing. Iginio Smeriglio – Ing. Bruno Gravina e Ing. Domenico Malatacca
Tecnici incaricati dall'Amministrazione Comunale di Montalto Uffugo
per “ *Esecuzione di indagini, esami, prove, verifiche strutturali,
certificazione di idoneità statica sugli edifici e strutture comunali*”.
Delibera G.M. n° 291 del 19.12.2002

EDIFICIO : Scuola Elementare “ Taverna ” – Montalto U.

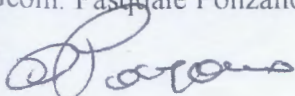
PROVE ESEGUITE

Prelievo di n° 5 carote di calcestruzzo indurito (UNI 6131/87), rottura a compressione (UNI 6132/72) e determinazione della profondità di carbonatazione (UNI 9944) .

Il presente certificato è composto di n° 01 pagine oltre la presente che ne costituisce parte integrante e inoltre di n° 1 pianta del fabbricato e 5 allegati.

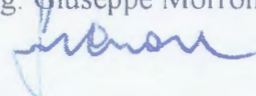
Lo Sperimentatore

(Geom. Pasquale Ponzano)



Il Direttore del Laboratorio

(Ing. Giuseppe Morrone)



GEO.CAL. s.r.l.

Laboratorio di ricerca e di analisi su materiali da costruzione e strutture

Min. LL.PP. Concessione L. 1086/71 - M.U.R.S.T. Laboratorio Altamente Qualificato

Via Reggio Calabria, 12 - 87100 Cosenza tel./fax 0984/22361-22362

Il giorno 12 del mese di Marzo 2003, tecnici del nostro Laboratorio, previo incarico conferito da **Ing. Igino Smeriglio - Ing. Bruno Gravina e Ing. Domenico Malatacca**, tecnici incaricati dall'Amministrazione Comunale di Montalto Uffugo per "Esecuzione di indagini, esami, prove, verifiche strutturali, certificazione di idoneità statica sugli edifici e strutture comunali", nei punti indicati dagli stessi hanno prelevato n° 5 carote di calcestruzzo indurito.

I prelievi sono stati effettuati tramite carotiere elettrico (marca Hilty) munito di corona diamantata.

Su tutti i campioni è stata determinata la resistenza a compressione e la profondità di carbonatazione.

Gli stessi prima di essere sottoposti alla prova di resistenza a compressione sono stati rettificati come previsto dalle norme UNI.

Al prelievo delle carote hanno presenziato ininterrottamente:

I tecnici incaricati : Ing. Igino Smeriglio e Ing. Bruno Gravina.

Per Geo. Cal. : Ing. V. Sannuto, Geom. Ponzano e Geom. G. La Macchia.

Determinazione della profondità di carbonatazione (UNI 9944)

Carota N°	Prelievo	Profondità di Carbonatazione (cm)	Data del prelievo	Data della prova
C2	Fondazione	0.7	12.03.2003	13.03.2003
C3	Fondazione	1.2	"	"
C4	Pilastro 1° solaio	5.1	"	"
C5	Pilastro 1° solaio	4.5	"	"
C6	Pilastro 1° solaio	4.3	"	"

Determinazione della resistenza a compressione (UNI 6132/72)

Data delle prove : 01.04.2003

Sigla	Elemento Strutturale	Direzione di perforazione	ϕ cm	H cm	Massa Kg	Rc N/mm ²	Data prelievo
C2	Fondazione	Orizzontale	9.4	18.1	2.841	18.8	12.03.2003
C3	Fondazione	"	"	18.4	2.890	13.9	"
C4	Pilastro 1° solaio	"	"	18.4	2.838	24.5	"
C5	Pilastro 1° solaio	"	"	14.7	2.234	10.5	"
C6	Pilastro 1° solaio	"	"	14.5	2.314	22.2	"

Rc = resistenza a compressione della carota

Al presente certificato si allegano n° 1 pianta con indicazione degli elementi strutturali oggetto dei prelievi e n° 5 grafici nei quali si individua il carico di rottura (KN) delle carote di calcestruzzo sottoposte a prova.

Lo Sperimentatore

(Geom. Pasquale Ponzano)

Il Direttore del Laboratorio

(Ing. Giuseppe Morrone)

DATA

NON DICHIARATO
ING. SMERIGLIO GRA

CAROTE DI CLS

2,841

2,260

6945,19

181,00

130,53

18,79

Fornitore

Cliente

Tipo: Generico

Materiale

Peso (kg)

kg / dm³

Sez. nom. (mm²)

So mm²

Li mm

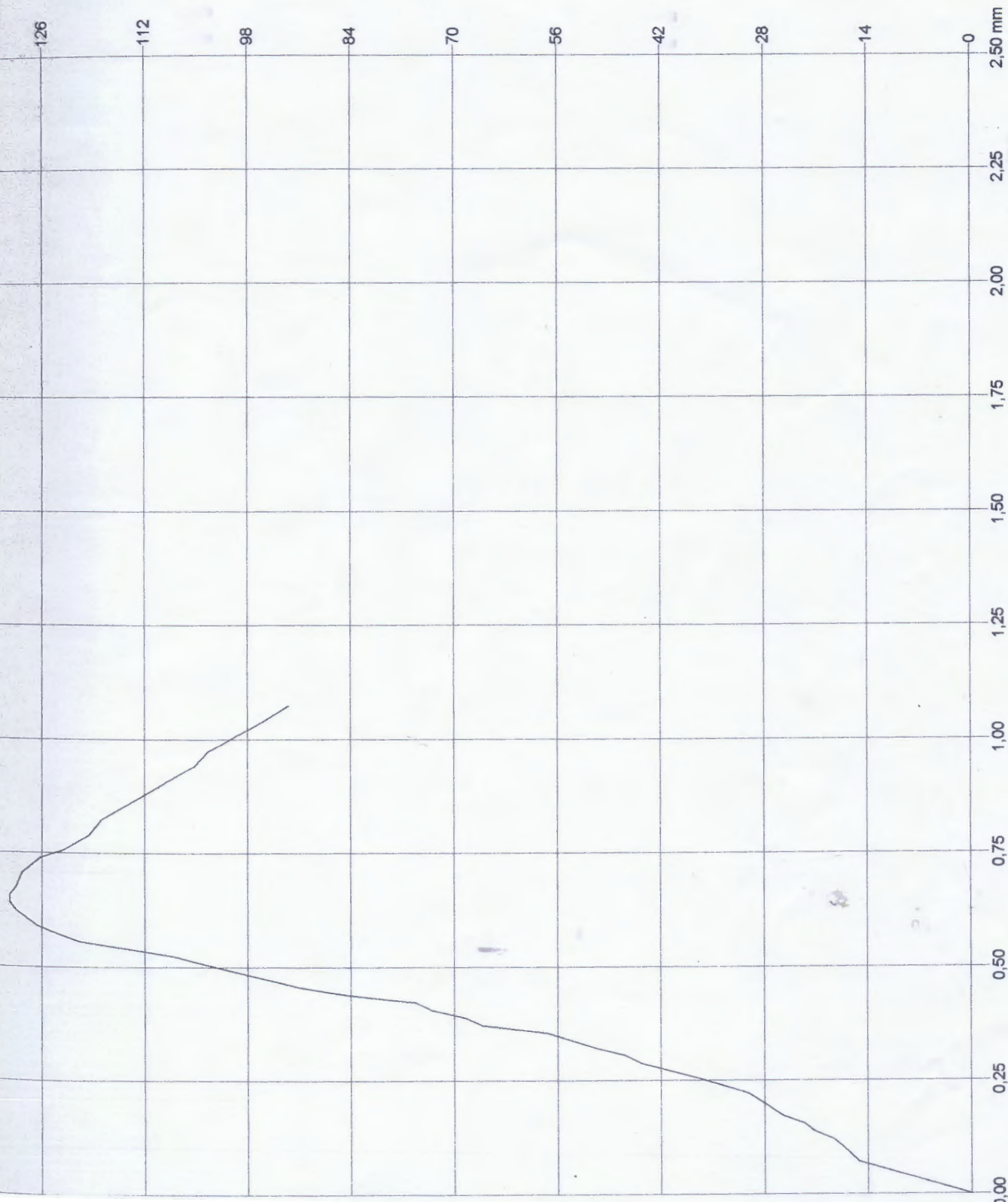
Fm kN

Rm N/mm²

Allegato al certificato
n° 1131 del
16/04/2003

[Signature]

ORIGINALE

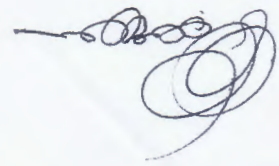


UNITA

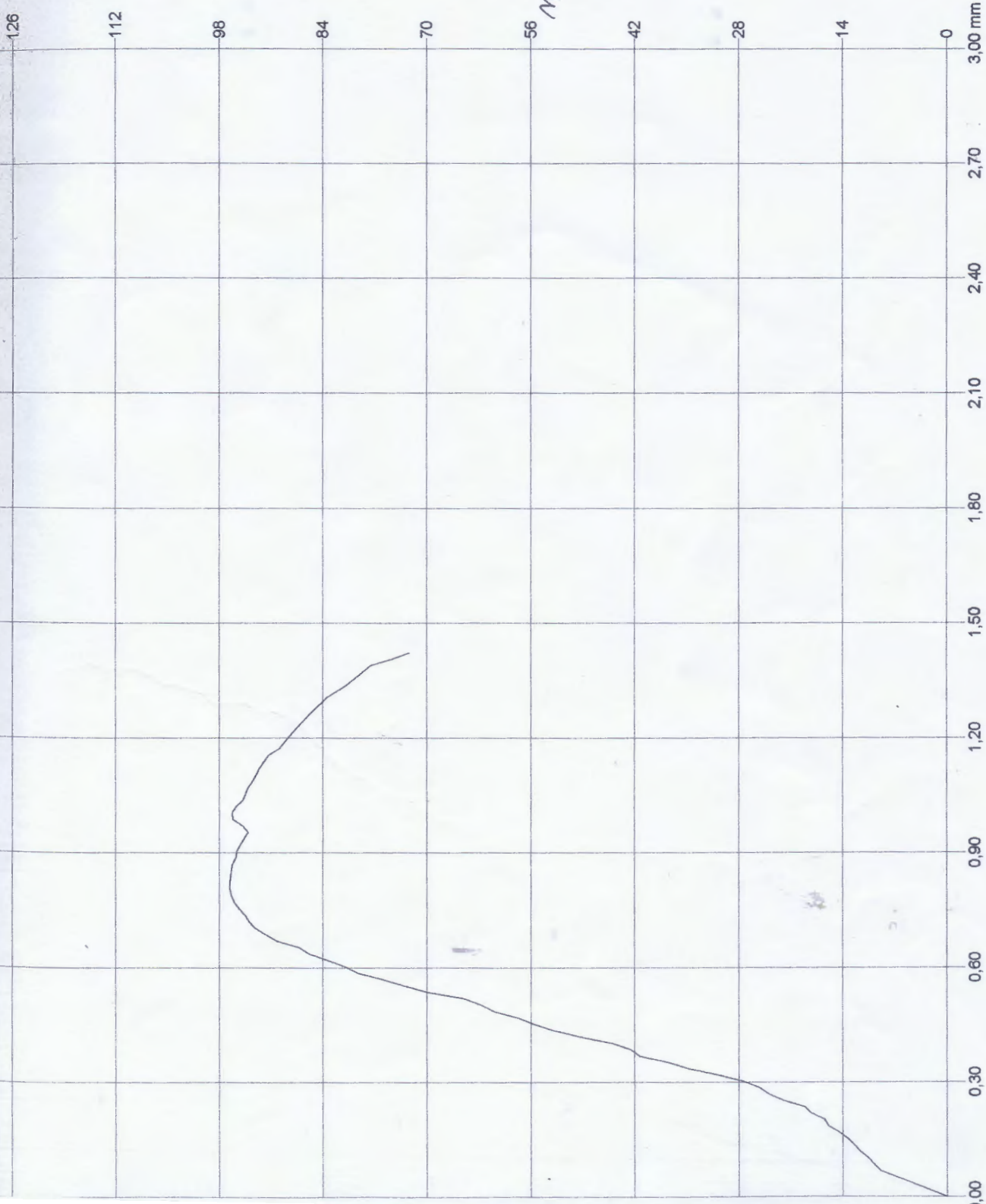
NON DICHIARATO
ING. SMERIGLIO GRA
CAROTE DI CLS
2,890
2,260
6949,79
184,00

Fm kN
Rm N/mm²
96,60
13,91

Alleggio al cert.
n° 1131 del 16/04/12



ORIGINAL E



Data

C

Fornitore

Ciente

Tipo: Generico

Materiale

Peso (kg)

kg / dm³

Sez. nom. (mm²)

So mm²

Lt mm

Lt mm

Lt mm

Sez. nom.

Fm kN

Rm N/mm²

Fm kN

Rm N/mm²

Fm kN

Rm N/mm²

Fm kN

Rm N/mm²

Fm kN

Rm N/mm²

NON DICHIARATO
ING. SMERGLIO GRA

CAROTE DI CLS

2,838

2,222

6941,45

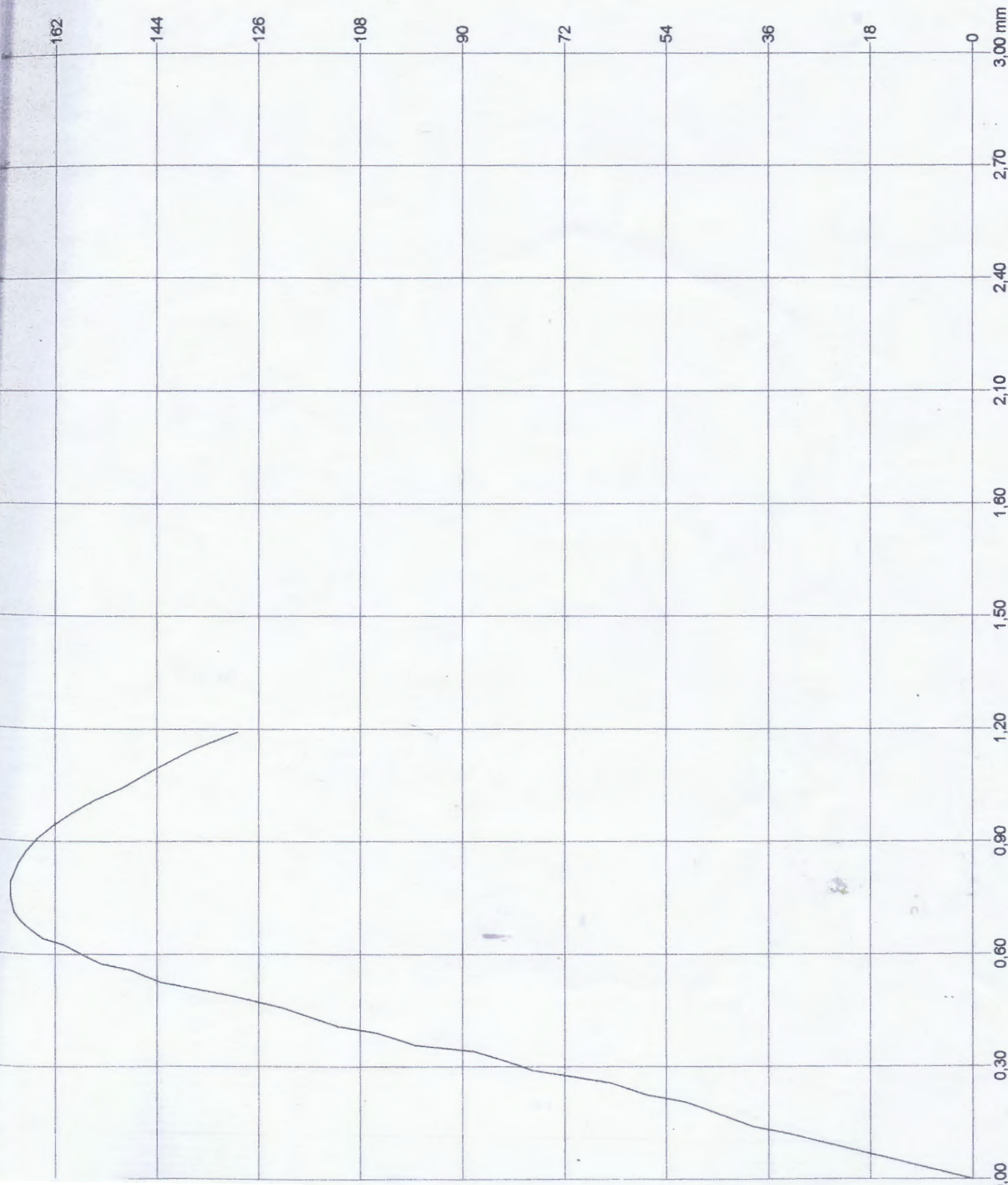
184,00

170,22

24,52

Allegato al certificato
n° 1131 del 16/04

ORIGINAL



Data

NON DICHIARATO
ING. SMERIGLIO GRA

CAROTE DI CLS

2,234

2,189

6942,57

147,00

73,06

10,52

Fornitore

Cliente

Tipo: Generico

Materiale

Peso (kg)

kg / dm³

Sez. nom. (mm²)

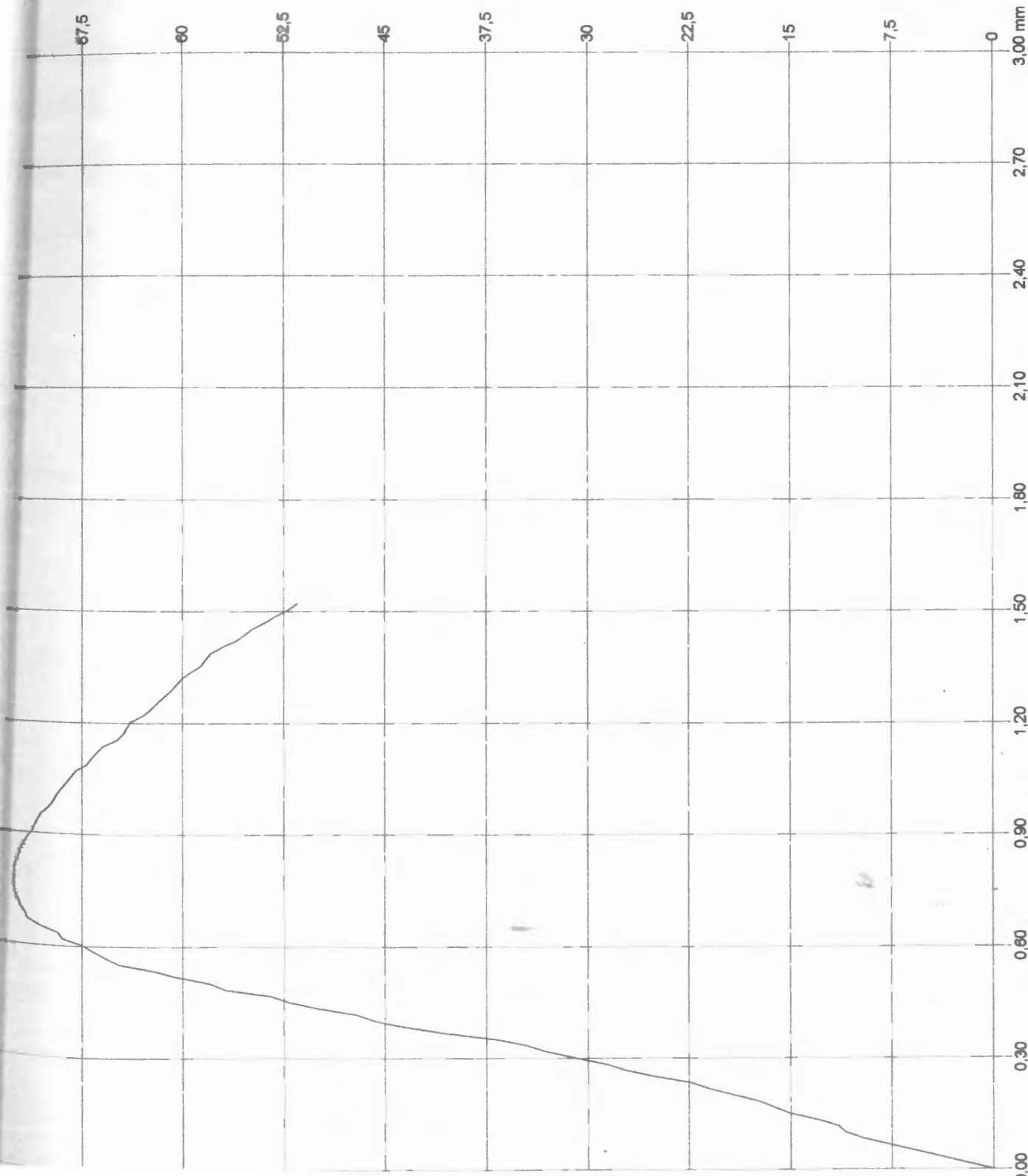
So mm²

Lt mm

Fm kN

Rm N/mm²

Allegato al certificato
n° 1131 del 16/04



Data

01/09/2000

Fornitore

NON DICHIARATO
ING. SMERGLIO GRA

Cliente

Tipo: Generico

CAROTE DI CLS

Materiale

2,314

Peso (kg)

2,299

kg / dm³

6941,55

Sez. nom. (mm²)

145,00

So mm²

154,40

Lt mm

22,24

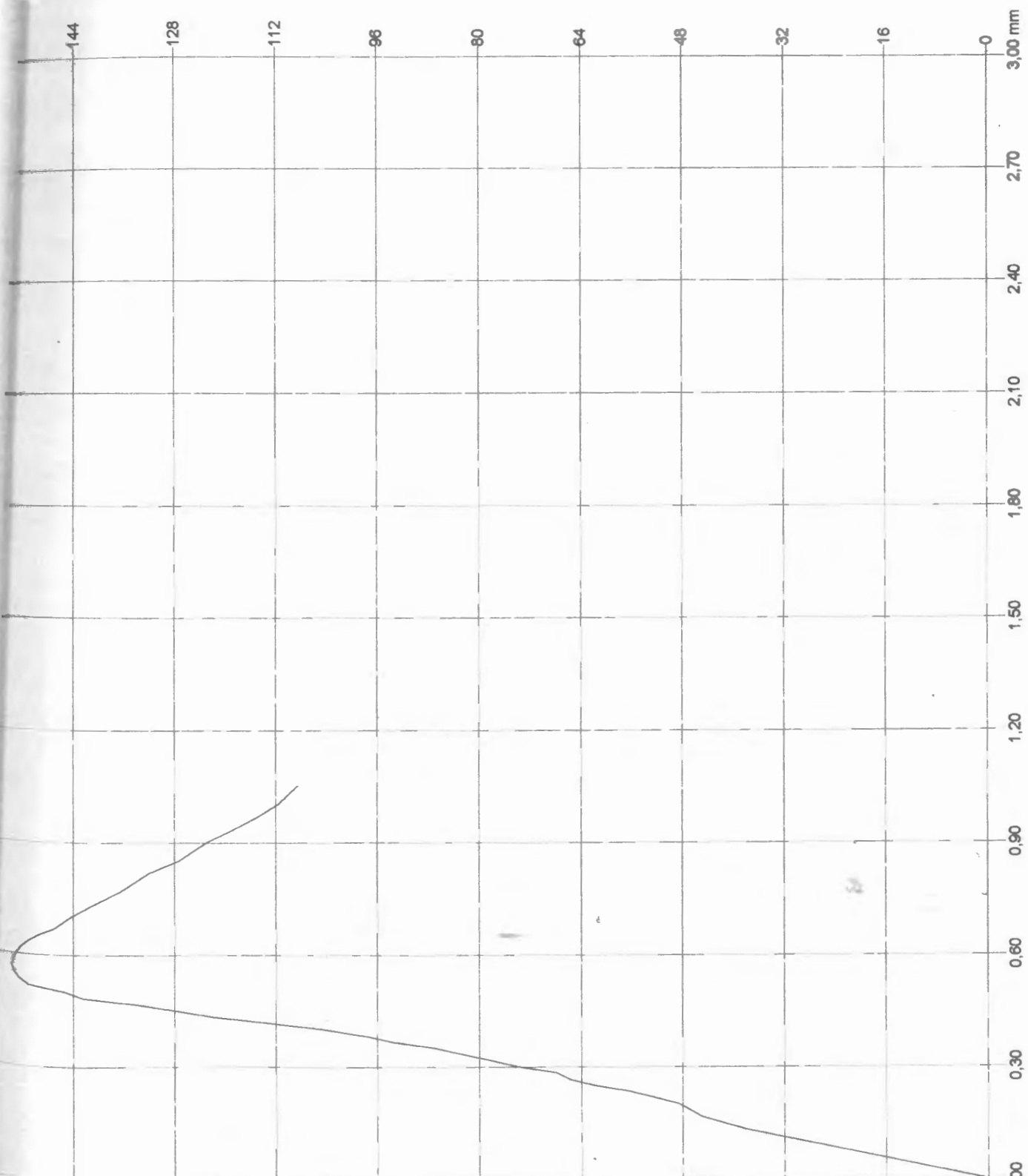
Fm kN

154,40

Rm N/mm²

22,24

Allegato al cert. f.
n° 1131 del 16/04/



GEO.CAL. s.r.l.

Laboratorio di ricerca e di analisi su materiali da costruzione e strutture

Min. LL.PP. Concessione L. 1086/71 - M.U.R.S.T. Laboratorio Altamente Qualificato

Via Reggio Calabria, 12 - 87100 Cosenza tel./fax 0984/22361-22362

SETTORE CONGLOMERATI CEMENTIZI

Rapporto di prova N. 1132 del 16.04.2003

V.A. 373 del 12.03.03

RICHIEDENTE : Ing. Igino Smeriglio – Ing. Bruno Gravina e Ing. Domenico Malatacca
Tecnici incaricati dall'Amministrazione Comunale di Montalto Uffugo
per “ *Esecuzione di indagini, esami, prove, verifiche strutturali,
certificazione di idoneità statica sugli edifici e strutture comunali*”.
Delibera G.M. n° 291 del 19.12.2002

EDIFICIO : Scuola elementare “ Taverna ” – Montalto U.

PROVE ESEGUITE

- Prove sclerometriche su calcestruzzo indurito (UNI 9189)
- Rilievi della velocità degli ultrasuoni nel calcestruzzo indurito (UNI 9524)
- Rilievo dell'armatura metallica negli elementi strutturali

Il presente certificato è composto di n° 02 pagine oltre la presente che ne costituisce parte integrante e inoltre di n° 1 pianta del fabbricato.

Lo Sperimentatore

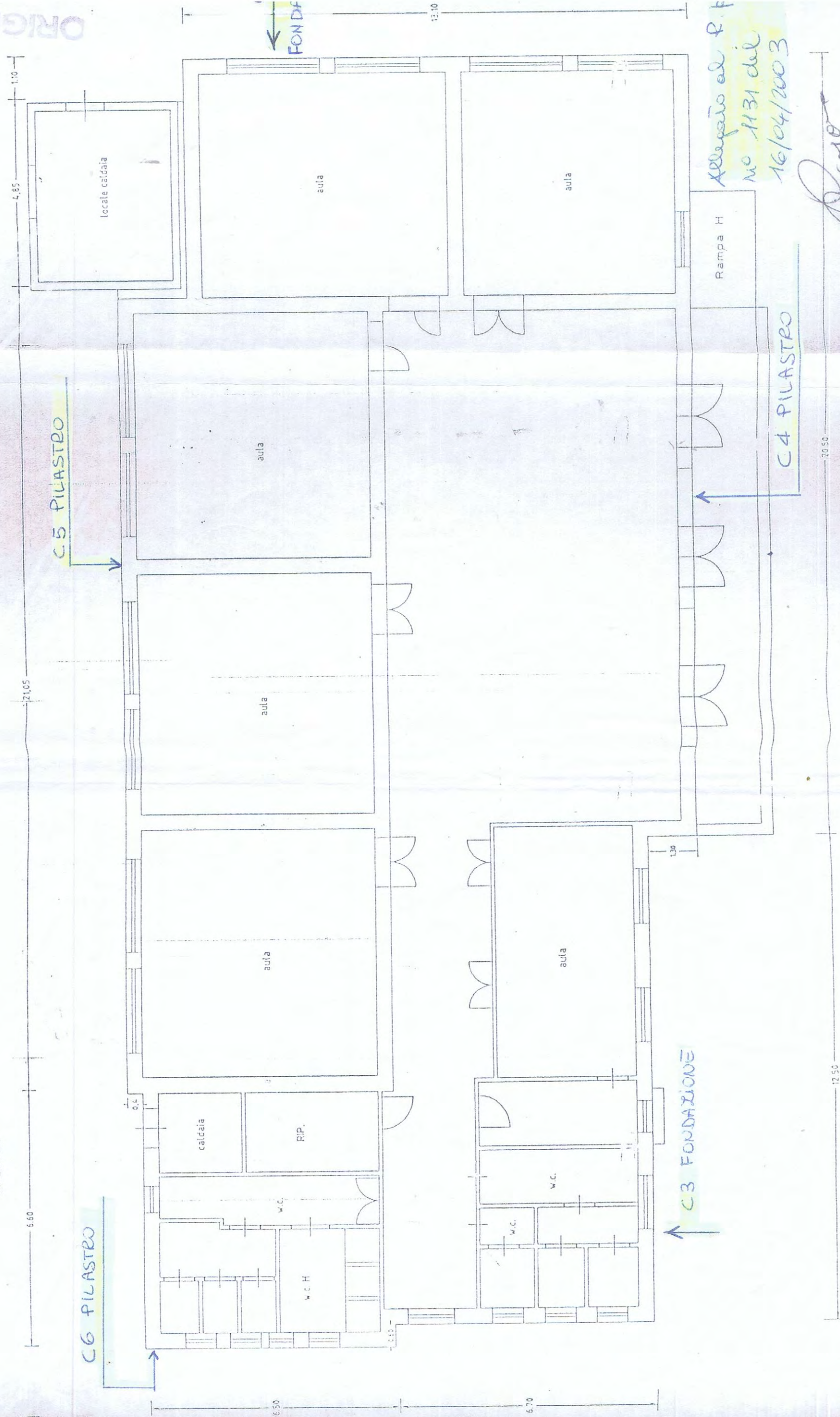
(Ing. Vincenzo Sannuto)

Il Direttore del Laboratorio

(Ing. Giuseppe Morrone)

ELEMENTARE TAVERNA

STATO ATTUALE



Allegato al P.F.
n° 1131 del
16/04/2003

10

GEO.CAL. s.r.l.

Laboratorio di ricerca e di analisi su materiali da costruzione e strutture

Min. LL.PP. Concessione L. 1086/71 - M.U.R.S.T. Laboratorio Altamente Qualificato

Via Reggio Calabria, 12 - 87100 Cosenza tel./fax 0984/22361-22362

Il giorno 12 del mese di Marzo 2003, tecnici del nostro Laboratorio, previo incarico conferito da Ing. Igino Smeriglio - Ing. Bruno Gravina e Ing. Domenico Malatacca, tecnici incaricati dall'Amministrazione Comunale di Montalto Uffugo per "Esecuzione di indagini, esami, prove, verifiche strutturali, certificazione di idoneità statica sugli edifici e strutture comunali", negli elementi strutturali indicati dagli stessi hanno eseguito prove sclerometriche, rilievi della velocità degli ultrasuoni e rilievi dell'armatura metallica

Alle prove hanno presenziato ininterrottamente:

I tecnici incaricati : Ing. Igino Smeriglio e Ing. Bruno Gravina

Per Geo. Cal. : Ing. V. Sannuto, Geom. P. Ponzano e Geom. G. La Macchia.

RISULTATI DELLE PROVE

ORIGINALE

Determinazione dell'indice di rimbalzo sclerometrico (UNI 9189)

STRUMENTI e TARATURA

1. Sclerometro tipo Smith marca Controls
2. Indice di rimbalzo dello sclerometro posto in verticale a contatto con l'incudine di taratura : 79
3. Data di verifica dello strumento su incudine di taratura : 12.03.2003

Modalità di prova

- Preparazione della superficie di prova : ☐ nessuna ☒ con pietra abrasiva ☐ altro
- Condizione della superficie : ☒ asciutta ☐ bagnata ☐ piana
- Individuazione della presenza di armature metalliche previa indagine con pacometro : ☒ si ☐ no
- Presenza armatura sulla superficie oggetto della prova ☒ assenti ☐ ortogonali ☐ parallele

Elemento strutturale	posizione	Direzione battuta	P1	P2	P3	P4	P5	P6	P7	P8	P9	P10	Media
Pilastro (vedi tavola allegata)	A circa 1,50 ml dal piano pavimento	Orizzontale	25	25	25	24	27	25	30	26	26	24	25.7

Chianci

GEO.CAL. s.r.l.

Laboratorio di ricerca e di analisi su materiali da costruzione e strutture

Min. LL.PP. Concessione L. 1086/71 - M.U.R.S.T. Laboratorio Altamente Qualificato

Via Reggio Calabria, 12 - 87100 Cosenza tel./fax 0984/22361-22362

Determinazione della velocità di propagazione degli ultrasuoni (UNI 9524)

- Apparecchiatura utilizzata per l'effettuazione delle prove

Apparecchio ad ultrasuoni marca Sirio mod. RP 4000 CSM corredato di sonde trasmettente e ricevente di forma cilindrica e frequenza 50 KH. Visualizzazione delle misure su display digitale con risoluzione 0.1 μ s, amplificazione fino a 130 dB a scatti di 2 dB e rappresentazione del segnale su tubo a raggi catodici (TRC) di dimensioni 80x60 mm.

La calibrazione delle sonde è stata effettuata col blocco di calibrazione ($T_R = 53.8 \mu$ s).

Le prove sono state effettuate previa lisciatura con pietra abrasiva e mappatura, con pacometro, dell'armatura (ferri longitudinali e staffe) su ogni singolo elemento strutturale indagato allo scopo di eseguire le misure in zone prive di armatura metallica.

Per l'accoppiamento delle sonde all'elemento da sottoporre a prova, al fine di evitare la presenza di aria, è stato utilizzato grasso di vasellina.

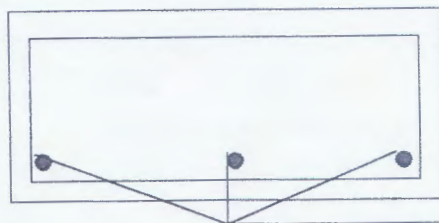
Risultati delle prove

Elemento strutturale	Metodo di misura	d (m)	T_R (μ s)	V (m/s)
Pilastro (vedi pianta allegata)	indiretto	0.200	78.0	2560

RILIEVO DELL' ARMATURA METALLICA

La rilevazione delle armature metallica negli elementi strutturali è stata effettuata tramite il pacometro Covermaster CM5 della Protovale.

Rilievo armatura n° 1 - Pilastro (vedi pianta)



staffe / 20 cm

n° 3 barre longitudinali

Non è stato possibile indagare i restanti lati del pilastro perché risultano annegati nella muratura.

Lo Sperimentatore

(Ing. Vincenzo Sannuto)

Il Direttore del Laboratorio

(Ing. Giuseppe Morrone)

GEO.CAL. s.r.l.

Laboratorio di ricerca e di analisi su materiali da costruzione e strutture
Min. LL.PP. Concessione L. 1086/71 - M.U.R.S.T. Laboratorio Altamente Qualificato
Via Reggio Calabria, 12 - 87100 Cosenza tel./fax 0984/22361-22362

SETTORE CONGLOMERATI CEMENTIZI

CERTIFICATO N. 1473 del 15.05.2003

V.A. 756 del 13.05.03

RICHIEDENTE : Ing. Iginio Smeriglio – Ing. Bruno Gravina e Ing. Domenico Malatacca
Tecnici incaricati dall'Amministrazione Comunale di Montalto Uffugo
per “ *Esecuzione di indagini, esami, prove, verifiche strutturali,
certificazione di idoneità statica sugli edifici e strutture comunali*”.
Delibera G.M. n° 291 del 19.12.2002

EDIFICIO : Scuola Elementare “ Taverna ” – Montalto U.

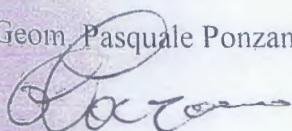
PROVE ESEGUITE

Prelievo di n° 4 carote di calcestruzzo indurito (UNI 6131/87), rottura a compressione (UNI 6132/72) e determinazione della profondità di carbonatazione (UNI 9944).

Il presente certificato è composto di n° 01 pagine oltre la presente che ne costituisce parte integrante e inoltre di n° 1 pianta del fabbricato e 4 allegati.

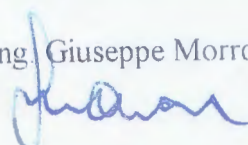
Lo Sperimentatore

(Geom. Pasquale Ponzano)



Il Direttore del Laboratorio

(Ing. Giuseppe Morrone)

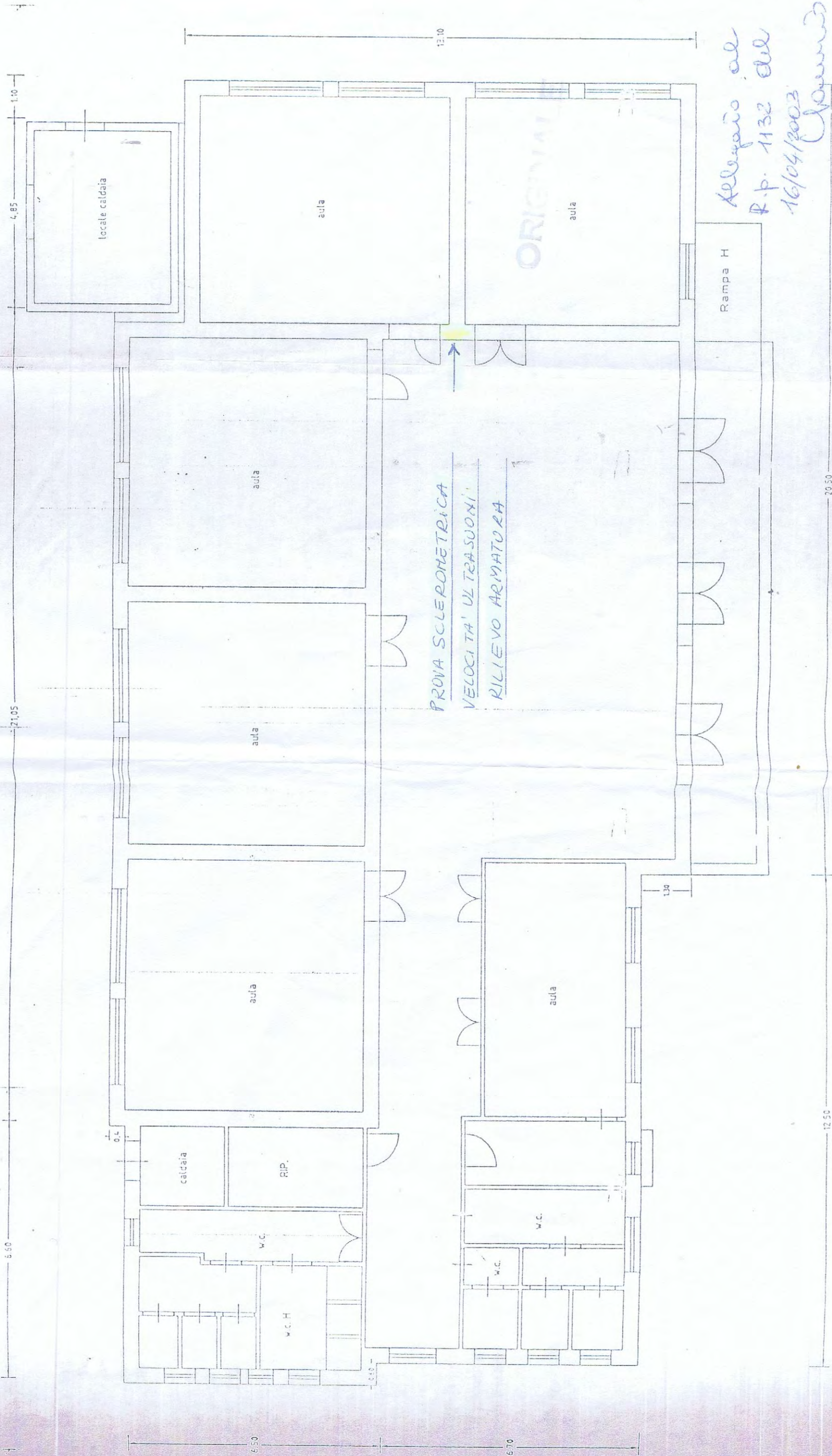


PIANTA PIANO TERRA

SCALA 1:100

ELEMENTARE TAVERNA

STATO ATTUALE



GEO.CAL. s.r.l.

Laboratorio di ricerca e di analisi su materiali da costruzione e strutture

Min. LL.PP. Concessione L. 1086/71 - M.U.R.S.T. Laboratorio Altamente Qualificato

Via Reggio Calabria, 12 - 87100 Cosenza tel./fax 0984/22361-22362

Il giorno 07 del mese di Maggio 2003, tecnici del nostro Laboratorio, previo incarico conferito da Ing. Igino Smeriglio - Ing. Bruno Gravina e Ing. Domenico Malatacca, tecnici incaricati dall'Amministrazione Comunale di Montalto Uffugo per "Esecuzione di indagini, esami, prove, verifiche strutturali, certificazione di idoneità statica sugli edifici e strutture comunali", nei punti indicati dagli stessi hanno prelevato n° 4 carote di calcestruzzo indurito.

I prelievi sono stati effettuati tramite carotiere elettrico (marca Hilty) munito di corona diamantata. Su tutti i campioni è stata determinata la resistenza a compressione e la profondità di carbonatazione.

Gli stessi prima di essere sottoposti alla prova di resistenza a compressione sono stati rettificati come previsto dalle norme UNI.

Al prelievo delle carote hanno presenziato ininterrottamente:

I tecnici incaricati : Ing. Bruno Gravina.

Per Geo. Cal. : Ing. Maurizio Rosselli e signor R. Gardi.

Determinazione della profondità di carbonatazione (UNI 9944)

Carota N°	Prelievo	Profondità di Carbonatazione (cm)	Data del prelievo	Data della prova
C56	Trave solaio (lato Nord)	9.4	07.05.2003	13.05.2003
C57	Trave solaio (lato est)	7.1	"	"
C58	Pilastro (lato sud)	7.0	"	"
C59	Pilastro (lato sud)	6.8	"	"

Determinazione della resistenza a compressione (UNI 6132/72)

Data delle prove : 14.05.2003

Sigla	Elemento Strutturale	Direzione di perforazione	ϕ cm	H cm	Massa Kg	Rc N/mm ²	Data prelievo
C56	Trave solaio (lato Nord)	Orizzontale	9.4	19.9	2.987	8.1	07.05.2003
C57	Trave solaio (lato est)	"	"	20.0	3.143	11.9	"
C58	Pilastro (lato sud)	"	"	20.1	3.235	17.6	"
C59	Pilastro (lato sud)	"	"	17.5	2.770	19.7	"

Rc = resistenza a compressione della carota

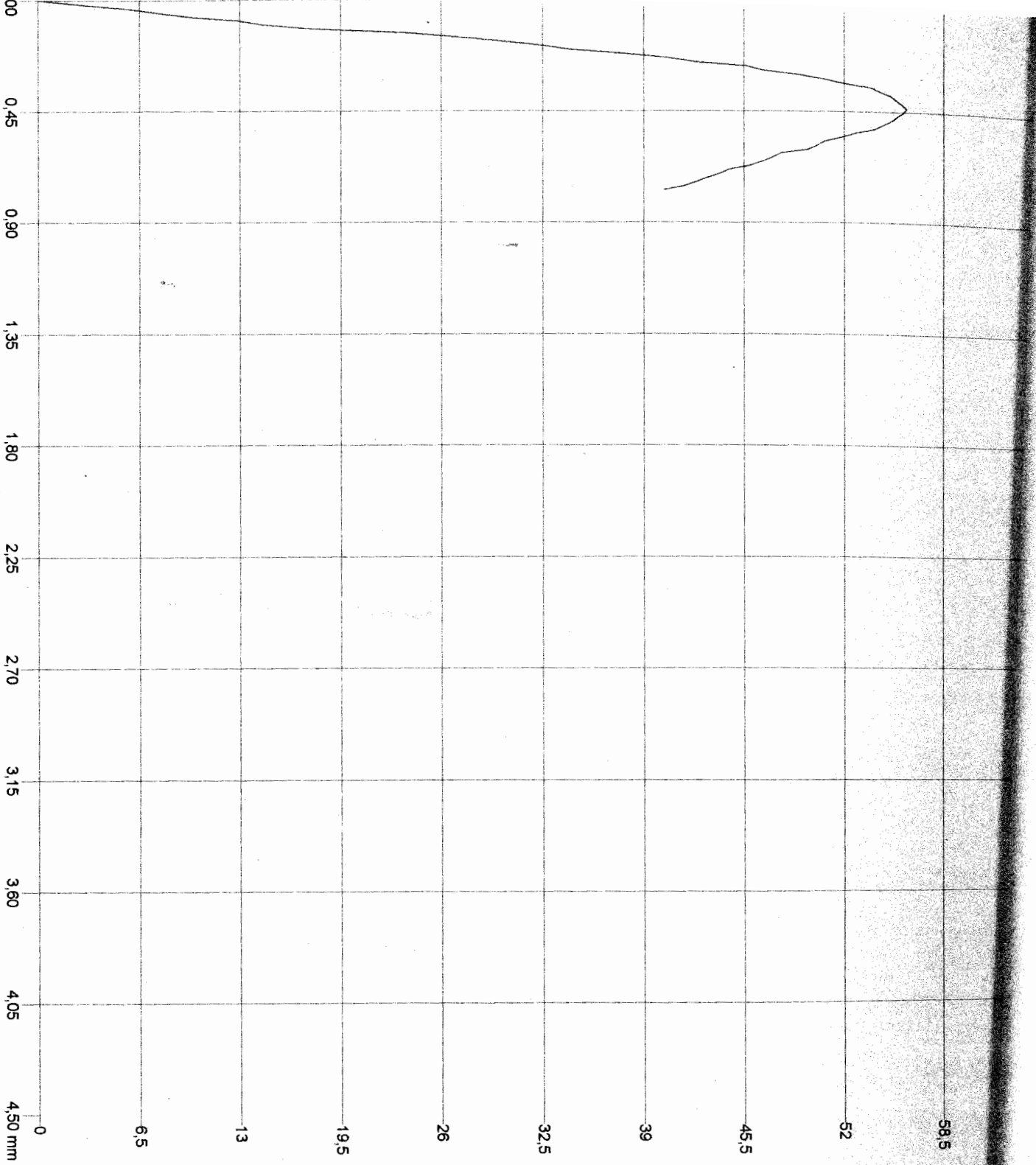
Al presente certificato si allegano n° 1 pianta con indicazione degli elementi strutturali oggetto dei prelievi e n° 4 grafici nei quali si individua il carico di rottura (KN) delle carote di calcestruzzo sottoposte a prova.

Lo Sperimentatore

(Geom. Pasquale Ponzano)

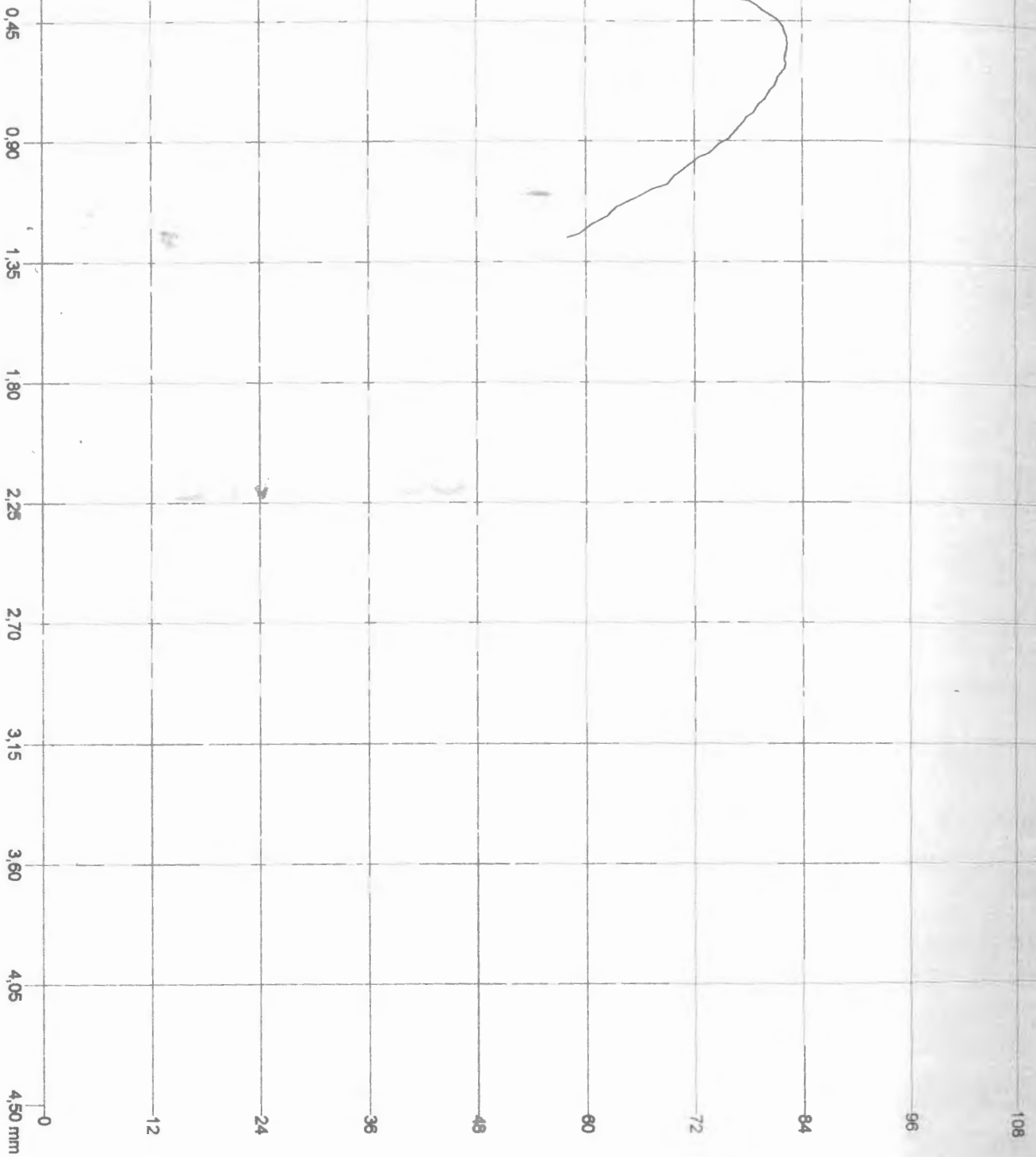
Il Direttore del Laboratorio

(Ing. Giuseppe Morrone)



Fornitore	NON DICHIARATO
Cliente	ING. SIMEGLIO GRAVILLI
Tipo: Generico	
Materiale	CAROTE DI CLS
Peso (kg)	2,987
kg / dm³	2,163
Sez. nom. (mm²)	6940,10
So mm²	199,00
Lt mm	
Fm kN	56,06
Rm N/mm²	8,08

Allegato al cert
 n° 1413 del
 15/05/2003



Data

Fornitore

Cliente

Tipo: Genetico

Materiale

Peso (kg)

Sez. nom. (mm²)

So mm²

Lt mm

...

...

...

Fm kN

Rm N/mm²

NON DICHIARATO
ING.SMEIGLIO GRAVINA

CAROTE DI CLS

3,143

2,284

6939,81

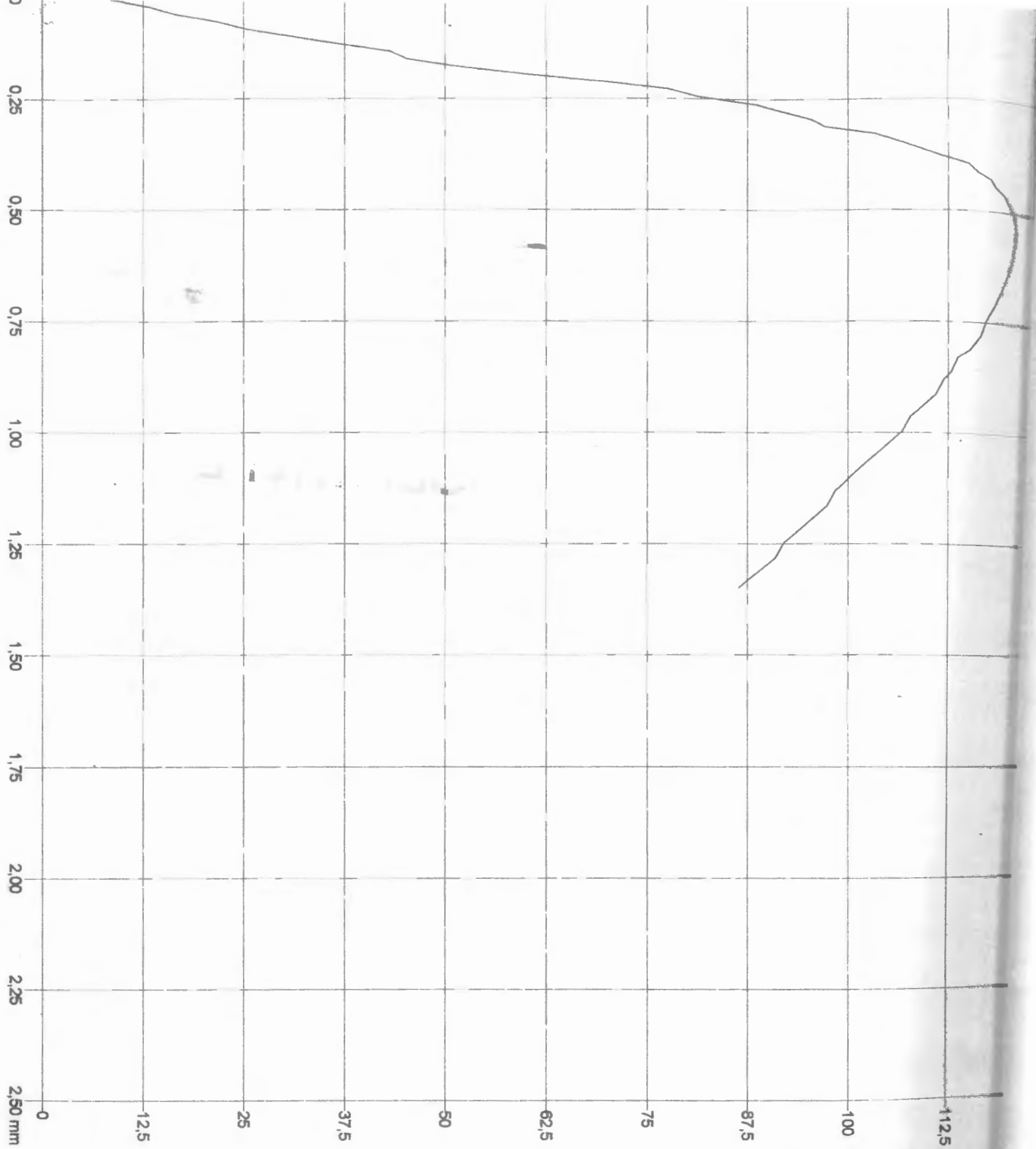
200,00

82,30

11,86

Relazione al
CATTI/Guano n° 4493
15/05/2003

Bozza



Data

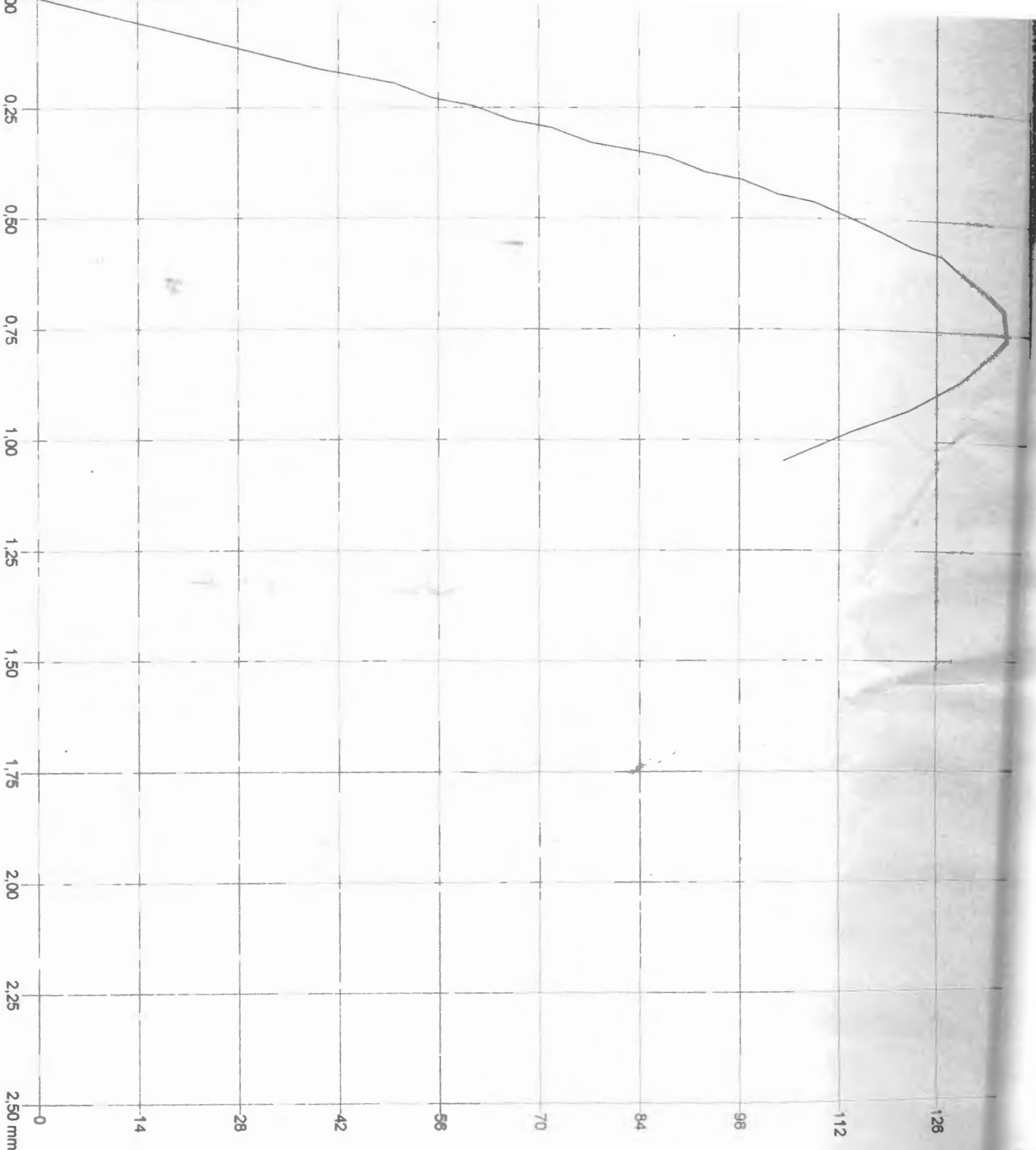
NON DICHIARATO
ING. SMEIGLIO GRAVIN

Carote di CLS

3.235
2.319
6939,81
201,00

121,86
17,56

Allegato al cost.
n° 1443 del
15/05/2003



Dr. id
Provetta N. V.A.756/03 N.59

FORNITORE
CLIENTE
TIPO: Generico
Materiale
Peso (kg)
kg / dm³
Sez. nom. (mm²)
So mm²
Lt mm

NON DICHIARATO
ING. SMEIGLIO GRAVIN
CAROTE DI CLS

2,770
2,281
6939,92
175,00

Fm KN 136,43
Rm N/mm² 19,66

Allegato al carti:
N° 1473 del
15/05/2003

[Handwritten signature]



GEO.CAL. S.r.l.

Laboratorio di ricerca e di analisi su materiali da costruzione e strutture

Ministero LL.PP. - L. 1086/71 - Decreto N° 15653/77 e successivi - - Man. Qual. UNI EN ISO 9001/08

Via A. Danoli c.da Lecco Zona Industriale, 87036 Rende (CS) tel/fax. 0984/401121- 0984/404456

Web: www.geocal.it Email: geo.cal@libero.it



Certificato n. 1919 del 09/11/2018 V.A. n. 1277 del 06/11/2018

Committente: Arch. Marcello D'Amico
Via D. Cimarosa - Montalto Uffugo (CS)

Lavoro : Verifica Strutturale - Montalto Uffugo (CS)

Proprietà: Comune di Montalto Uffugo
Piazza De Munno - Montalto Uffugo (CS)

Tecnico Incaricato: Arch. Marcello D'Amico

ORIGINALE

Richiesta non sottoscritta dal Direttore dei Lavori.

PROVE RICHIESTE

- N° 2 Estrazione di Provini di Cls - Carotaggi (UNI EN 12504-1)
- 2 Rotture a compressione (UNI EN 12390-3:2012)



Lo Sperimentatore
(Geom. Pasquale Ponzano)

Il Direttore del Laboratorio
(Ing. Giuseppe Morrone)

Nel giorno 06/11/2018

I tecnici del nostro laboratorio hanno proceduto ai prelievi di carote di calcestruzzo sulla struttura in oggetto. L'incarico è stato conferito dall' Arch. Marcello D'Amico. Sono stati prelevati n.2 campione sulla struttura, secondo la norma UNI EN 12504-1. Dai carotaggi sono stati ricavati n.2 Campioni da sottoporre a prove di compressione.

Metodo

Il prelievo è stato effettuato tramite carotiere elettrico munito di corona diamantata, con taglio ad acqua. Le facce del campione ricavato, prima di essere sottoposto alla prova di resistenza a compressione, è stato rettificato con cemento ad alta resistenza come previsto dalle UNI EN 12390-1.

Alle prove hanno presenziato:

Per la Geo. Cal. : Gli Sperimentatori Geom. Pasquale Ponzano, Tec. Giuseppe Martire

Il Tecnico Incaricato : Arch. Marcello D'Amico

Ricavo dei campioni da sottoporre a prova di compressione (UNI EN 12504-1)

Contrassegno e Posizione	Lunghezza lorda della carota-L- (mm)	Campione ricavato nel tratto l (mm)	Dimensione massima degli inerti (mm)
C1 - Pilastro	230	20<l<210	17
C2 - Trave	218	20<l<210	20

Determinazione della resistenza a compressione (UNI EN 12390-3)

Data esecuzione delle prove: 08/11/2018

Nota: Campioni spianati con rettifica meccanica

Sigla Lab.	Contrassegno	Direzione del Prelievo	D medio (mm)	H (mm)	λ (h/d)	Massa (Kg)	Massa Volumica (Kg/m ³)	Rc (N/mm ²)	Data del prelievo
3512	C1 - Pilastro	Oriz.	94,0	187,0	2,0	2,910	2242	13,2	06/11/2018
3513	C2 - Trave	Oriz.	94,0	187,0	2,0	2,940	2265	7,0	06/11/2018

Rc: Resistenza a compressione del campione

Documentazione Fotografica



C1



C2

Lo Sperimentatore
(Geom. Pasquale Ponzano)

[Signature]

Il Direttore del Laboratorio
(Ing. Giuseppe Morrone)

[Signature]

GEO.CAL. s.r.l.

Laboratorio di ricerca e di analisi su materiali da costruzione e strutture
Sede Amm. e Lab. : Via Danoli - C.da Lecco - 87036 Rende (CS) – tel./fax 0984/401121-404456

Allegato al Rapporti di prova n. 1911 del 09/11 /2018

V.A. n.1278 del 06/11/2018

SETTORE CONGLOMERATI CEMENTIZI

COMMITTENTE : Arch. Marcello D'Amico - Via D. Cimarosa Montalto Uffugo (CS)

LAVORO : Verifica strutturale scuola dell'infanzia Taverna di MontaltoUffugo (CS)

PROPRIETÀ : Comune di Montalto Uffugo (CS)

Tecnico Incaricato: : Arch. Marcello D'Amico

ORIGINALE



PROVE RICHIESTE

a) Prelievo Barre di armature

Lo Sperimentatore
(Geom. Pasquale Ponzano)

Il Direttore del Laboratorio
(Ing. Giuseppe Morrone)

GEO.CAL. s.r.l.

Laboratorio di ricerca e di analisi su materiali da costruzione e strutture
Sede Amm. e Lab. : Via Danoli - C.da Lecco - 87036 Rende (CS) – tel./fax 0984/401121-404456

Allegato al Rapporti di prova n. 1911 del 09/11 /2018

V.A. n.1278 del 06/11/2018

SETTORE CONGLOMERATI CEMENTIZI

COMMITTENTE : Arch. Marcello D'Amico - Via D. Cimarosa Montalto Uffugo (CS)

LAVORO : Verifica strutturale scuola dell'infanzia Taverna di MontaltoUffugo (CS)

PROPRIETÀ : Comune di Montalto Uffugo (CS)

Tecnico Incaricato: : Arch. Marcello D'Amico

ORIGINALE



PROVE RICHIESTE

a) *Prelievo Barre di armature*

Lo Sperimentatore
(Geom. Pasquale Ponzano)

Il Direttore del Laboratorio
(Ing. Giuseppe Morrone)

GEO.CAL. s.r.l.

Laboratorio di ricerca e di analisi su materiali da costruzione e strutture
Sede Amm. e Lab. : Via Danoli - C.da Lecco - 87036 Rende (CS) - tel./fax 0984/401121-404456

Allegato al Rapporti di prova n. 1911 del 09/11 /2018

V.A. n.1278 del 06/11/2018

SETTORE CONGLOMERATI CEMENTIZI

COMMITTENTE : Arch. Marcello D'Amico - Via D. Cimarosa Montalto Uffugo (CS)

LAVORO : Verifica strutturale scuola dell'infanzia Taverna di MontaltoUffugo (CS)

PROPRIETÀ : Comune di Montalto Uffugo (CS)

Tecnico Incaricato: : Arch. Marcello D'Amico

ORIGINALE



PROVE RICHIESTE

a) Prelievo Barre di armature

Lo Sperimentatore
(Geom. Pasquale Ponzano)

Il Direttore del Laboratorio
(Ing. Giuseppe Morrone)

Il giorno 06/11/2018 , tecnici del nostro laboratorio, previo incarico conferito dall' Arch. Marcello D'amico sulla struttura in oggetto i seguenti lavori:

- **Prelievo Barre di Armatura**

Alle prove hanno presenziato:

Per la Geo.Cal Geom. Pasquale Ponzano Tec. Giuseppe Martire

PROVE Magnetometriche

Apparecchiature utilizzate per l'esecuzione delle prove pacometriche

Per il rilievo dell'armatura metallica presente negli elementi strutturali indagati è stato utilizzato Ferroskan Hilti PS 200



Gli schemi di seguito riportati non sono in scala.

Note:

Di seguito la dicitura

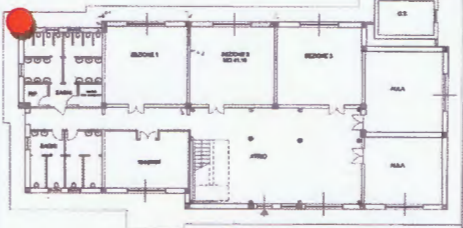
NI: Non Individuabile per presenza di altri elementi strutturali o ostacoli sulle sezioni indagate.

NR: Non rilevate, lo strumento non ha rilevato presenza di barre o è presente uno spessore elevato di copriferro e intonaco.

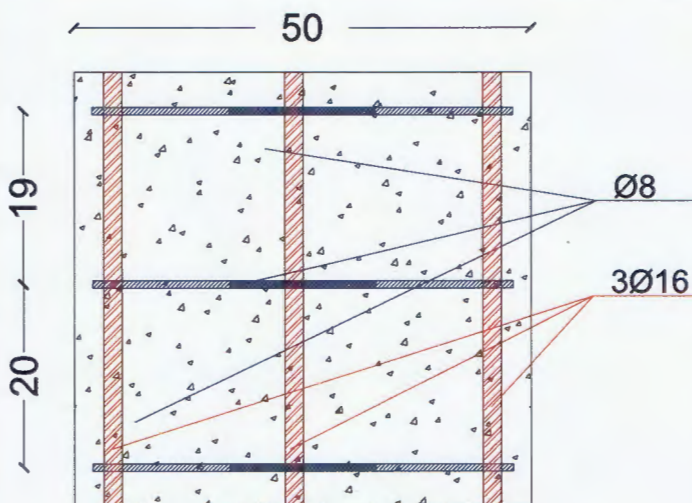
A handwritten signature in blue ink, consisting of a stylized 'P' followed by a flourish.

Determinazione

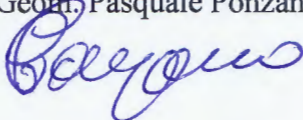
Prelievi Barre di Armature

Prelievo 1	Elemento strutturale	 <small>PIANTA PIANO TERRA - STATO ATTUALE - SCALA 1:100</small>
Pilastri	Pilastro	

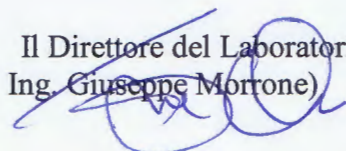
ORIGINALE



Lo Sperimentatore
(Geom. Pasquale Ponzano)



Il Direttore del Laboratorio
(Ing. Giuseppe Morrone)



GEO.CAL. s.r.l.

Laboratorio di ricerca e di analisi su materiali da costruzione e strutture
Sede Amm. e Lab. : Via Danoli - C.da Lecco - 87036 Rende (CS) - tel./fax 0984/401121-404456

Rapporti di prova n. 1920 del 09/10 /2018

V.A. n.1277 del 10/10/2018

SETTORE PROVE ESTERNE

COMMITTENTE : Arch. Marcello D'Amico - Via D. Cimarosa Montalto Uffugo (CS)

LAVORO : *Verifica strutturale scuola dell'infanzia Taverna di MontaltoUffugo (CS)*

PROPRIETÀ : Comune di Montalto Uffugo

Tecnico Incaricato: : Arch. Marcello D'Amico



ORIGINALE

PROVE RICHIESTE

a) Prove Pacometriche

Lo Sperimentatore
(Geom. Pasquale Ponzano)

A handwritten signature in blue ink, appearing to read 'Pasquale'.

Il Direttore del Laboratorio
(Ing. Giuseppe Morrone)

A handwritten signature in blue ink, appearing to read 'Giuseppe Morrone'.

Il giorno 06/11/2018 , tecnici del nostro laboratorio, previo incarico conferito dall' Arch. Marcello D'amico sulla struttura in oggetto i seguenti lavori:

- ***Prove Pacometriche***

Alle prove hanno presenziato:

Per la Geo. Cal Geom Pasquale Ponzano Tec. Giuseppe Martire

PROVE Magnetometriche

Apparecchiature utilizzate per l'esecuzione delle prove pacometriche

Per il rilievo dell'armatura metallica presente negli elementi strutturali indagati è stato utilizzato Ferrosan Hilti PS 200



Gli schemi di seguito riportati non sono in scala.

Note:

Di seguito la dicitura

NI: Non Individuabile per presenza di altri elementi strutturali o ostacoli sulle sezioni indagate.

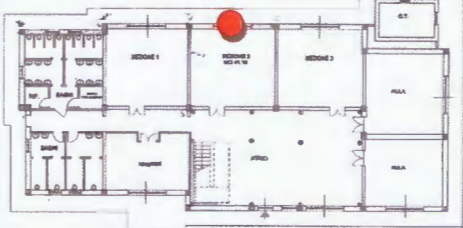
NR: Non rilevate, lo strumento non ha rilevato presenza di barre o è presente uno spessore elevato di copriferro e intonaco.

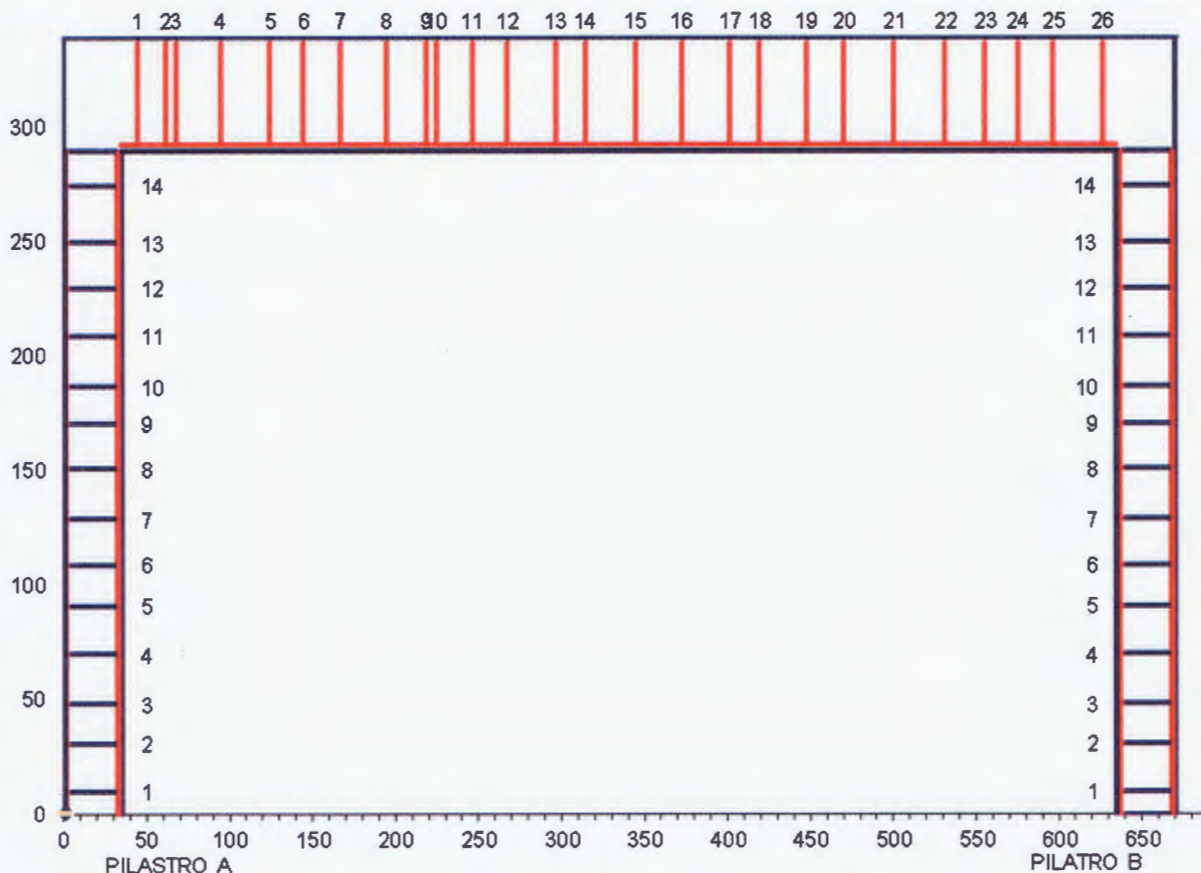
A handwritten signature in blue ink, consisting of a stylized 'G' followed by a loop.

Determinazione

Pacometriche

ORIGINALE

Rilievo 1	Elemento strutturale	
Telaio A-B	Disposizione staffe nel pilastro A Disposizione staffe nella trave n° A-B Disposizione staffe nel pilastro B	



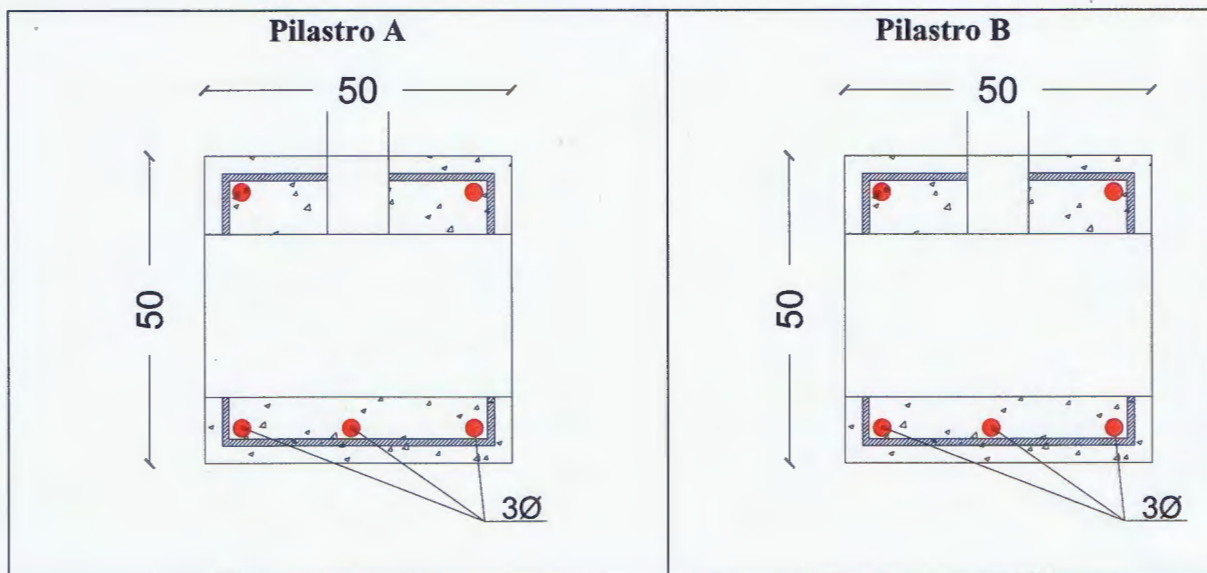
Posizione staffe Pilastro A

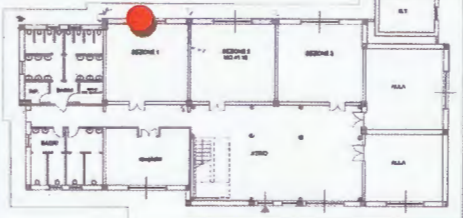
Ordinata	1°	2°	3°	4°	5°	6°	7°	8°	9°	10°	11°	12°
Staffa	10	31	48	70	91	109	129	151	171	187	209	230
Ordinata	13°	14°	15°	16°	17°	18°	19°	20°	21°	22°	23°	24°
Staffa	250	275	290									

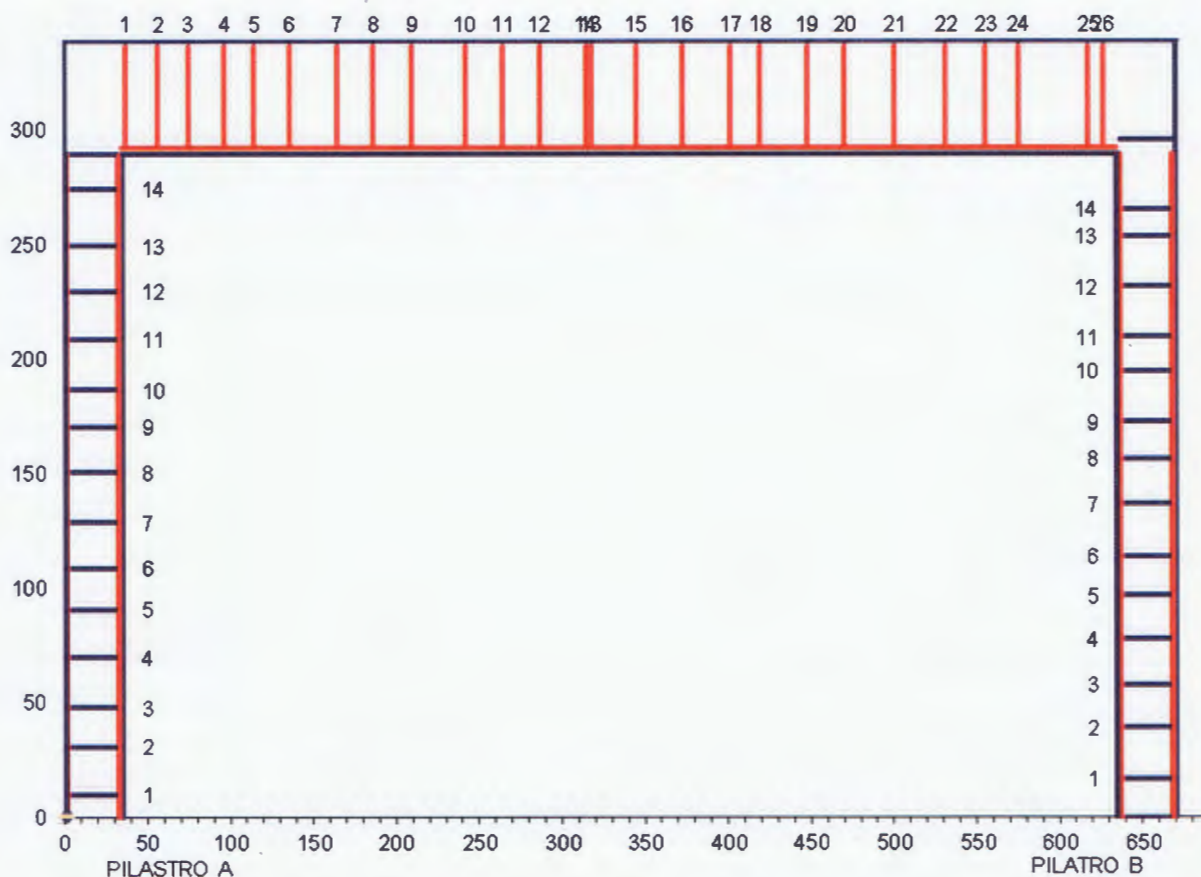
Posizione staffe Trave A – B												
Ordinata	1°	2°	3°	4°	5°	6°	7°	8°	9°	10°	11°	12°
Staffa	10	27	33	60	90	110	132	160	184	190	212	233
Ordinata	13°	14°	15°	16°	17°	18°	19°	20°	21°	22°	23°	24°
Staffa	262	280	310	338	367	385	413	436	466	497	521	541
Ordinata	25°	26°	27°	28°	29°	30°	31°	32°	33°	34°	35°	36°
Staffa	562	592										

Posizione staffe Pilastro B												
Ordinata	1°	2°	3°	4°	5°	6°	7°	8°	9°	10°	11°	12°
Staffa	10	31	48	70	91	109	129	151	171	187	209	230
Ordinata	13°	14°	15°	16°	17°	18°	19°	20°	21°	22°	23°	24°
Staffa	250	275	290									

Rilievo pacometrico armatura longitudinale sezione pilastro A/B



Rilievo 2	Elemento strutturale	
Telaio B-C	Disposizione staffe nel pilastro B Disposizione staffe nella trave n° B-C Disposizione staffe nel pilastro C	



Posizione staffe Pilastro B

Ordinata	1°	2°	3°	4°	5°	6°	7°	8°	9°	10°	11°	12°
Staffa	10	31	48	70	91	109	129	151	171	187	209	230
Ordinata	13°	14°	15°	16°	17°	18°	19°	20°	21°	22°	23°	24°
Staffa	250	275	290									



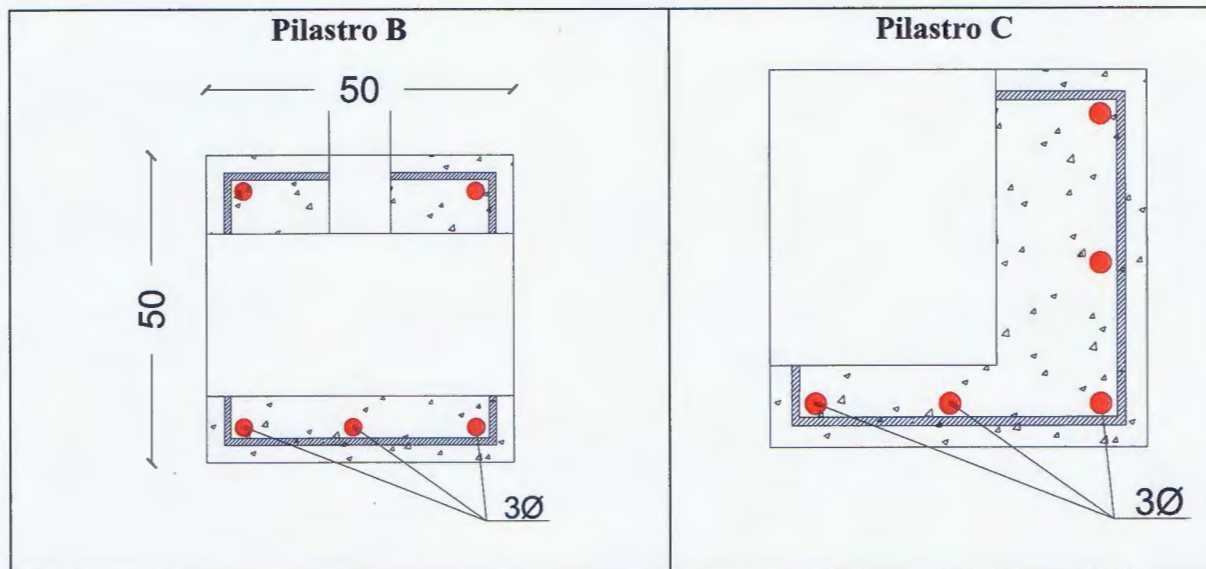
Posizione staffe Trave B – C

Ordinata	1°	2°	3°	4°	5°	6°	7°	8°	9°	10°	11°	12°
Staffa	2	22	40	62	80	101	130	152	175	207	230	252
Ordinata	13°	14°	15°	16°	17°	18°	19°	20°	21°	22°	23°	24°
Staffa	283	280	310	338	367	385	413	436	466	497	521	541
Ordinata	25°	26°	27°	28°	29°	30°	31°	32°	33°	34°	35°	36°
Staffa	583	592										

Posizione staffe Pilastro C

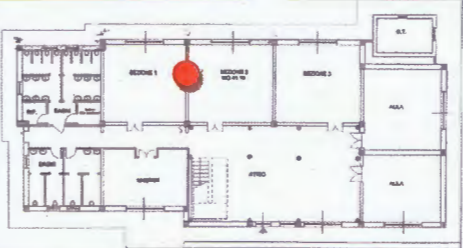
Ordinata	1°	2°	3°	4°	5°	6°	7°	8°	9°	10°	11°	12°
Staffa	17	39	58	78	97	114	137	157	173	195	210	232
Ordinata	13°	14°	15°	16°	17°	18°	19°	20°	21°	22°	23°	24°
Staffa	254	266	296									

Rilievo pacometrico armatura longitudinale sezione pilastro B / C

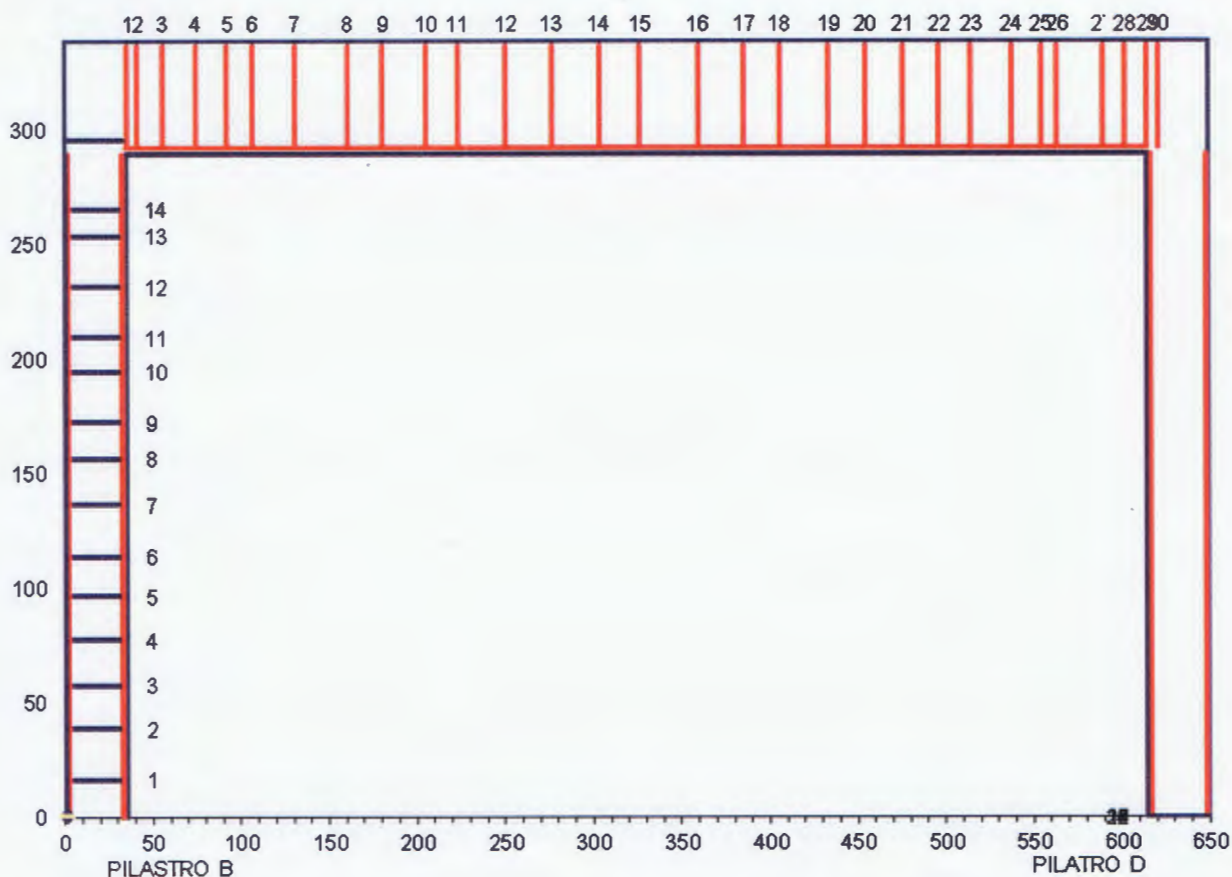


GEO.CAL. s.r.l.

Laboratorio di ricerca e di analisi su materiali da costruzione e strutture
Sede Amm. e Lab. : Via Danoli - C.da Lecco - 87036 Rende (CS) - tel./fax 0984/401121-404456

Rilievo 3	Elemento strutturale	
Telaio B-E	Disposizione staffe nel pilastro B Disposizione staffe nella trave n° B-E Disposizione staffe nel pilastro E	

ORIGINALE

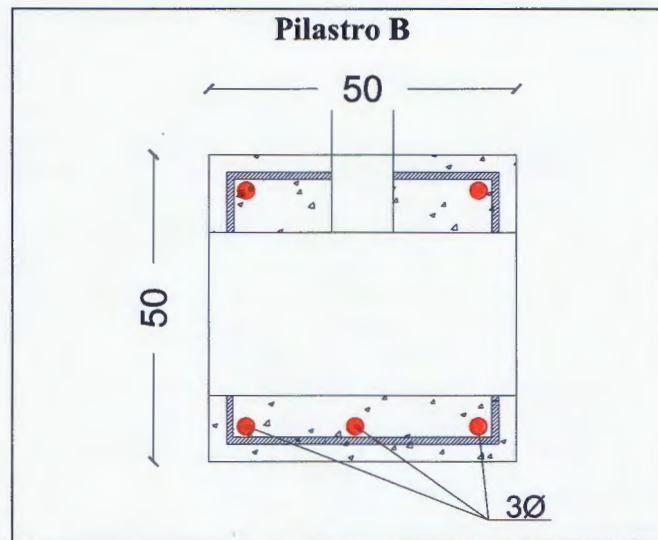


Posizione staffe Pilastro B

Ordinata	1°	2°	3°	4°	5°	6°	7°	8°	9°	10°	11°	12°
Staffa	10	31	48	70	91	109	129	151	171	187	209	230
Ordinata	13°	14°	15°	16°	17°	18°	19°	20°	21°	22°	23°	24°
Staffa	250	275	290									

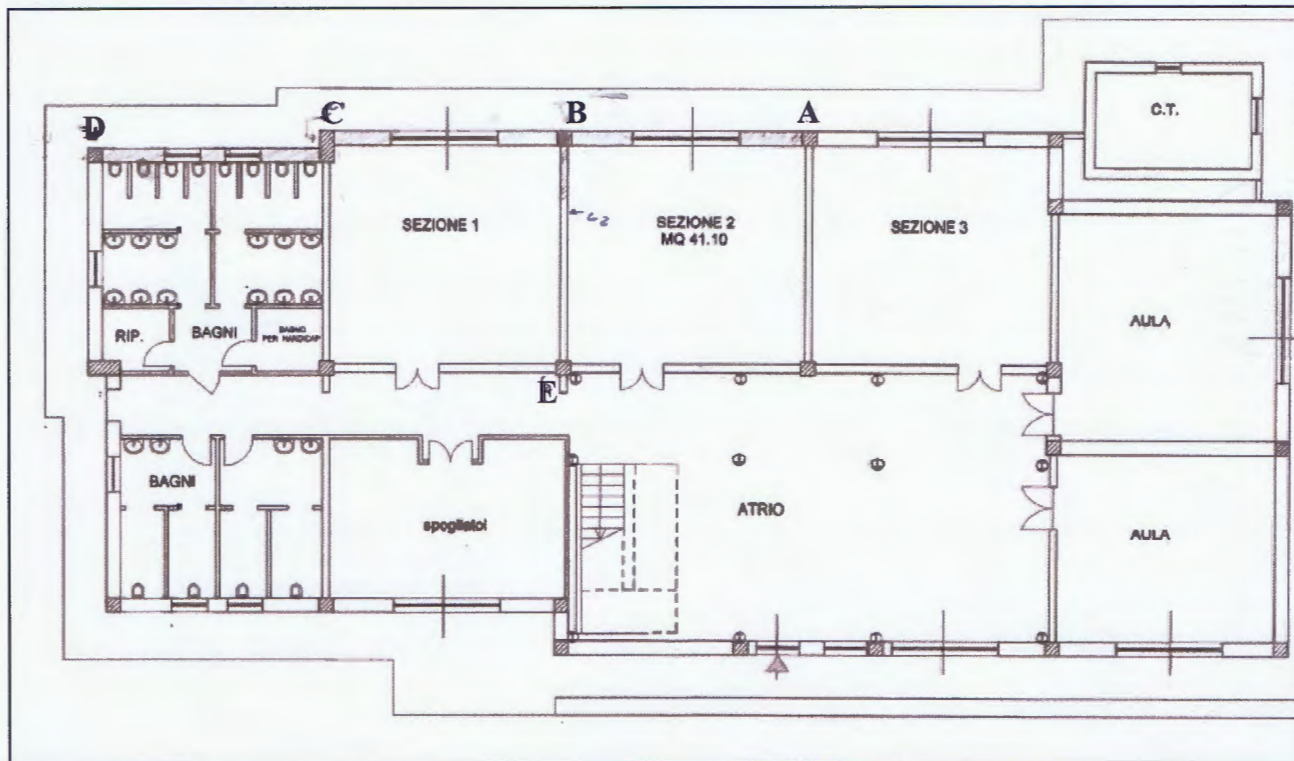
Posizione staffe Trave B - E												
Ordinata	1°	2°	3°	4°	5°	6°	7°	8°	9°	10°	11°	12°
Staffa	2	22	40	62	80	101	130	152	175	207	230	252
Ordinata	13°	14°	15°	16°	17°	18°	19°	20°	21°	22°	23°	24°
Staffa	283	280	310	338	367	385	413	436	466	497	521	541
Ordinata	25°	26°	27°	28°	29°	30°	31°	32°	33°	34°	35°	36°
Staffa	583	592										

Rilievo pacometrico armatura longitudinale sezione pilastro B



GEO.CAL. s.r.l.

Laboratorio di ricerca e di analisi su materiali da costruzione e strutture
Sede Amm. e Lab. : Via Danoli - C.da Lecco - 87036 Rende (CS) - tel./fax 0984/401121-404456



ORIGINALE

Lo Sperimentatore
(Geom. Pasquale Ponzano)

Il Direttore del Laboratorio
(Ing. Giuseppe Morrone)